

مقدمة فى

الجيوفيزياء التطبيقية

أ. د. / محمد رفعت عبد الله شريف



المكتبة الأكاديمية

شركة مساهمة مصرية



المقدمة

فى الأعوام الأخيرة تطور العلم تطورا مذهلا من ناحية التقدم فى أساسيات العلوم ونظرياتها أو فى تقدمها التكنولوجى فى سرعة إجراء الأبحاث لإنتاج الأجهزة العملية الخاصة بهذه العلوم وتطبيقاتها. ودخل بعد ذلك فى حلبة السباق العلمى أجهزة الحاسب الآلى وتطوراتها السريعة المذهلة وكل هذا كان باللغات الأجنبية، وافترت اللغة العربية لكل هذا لعدم وجود من يتابع الترجمة لكل هذا لكى نضع أولادنا على طريق البحث العلمى بلغتهم القومية ولكى يكونوا منارا علميا حاضرا ومستقبلا، وكما فعلت معظم الدول سابقا كما حدث فى عصر النهضة بأوروبا حيث قام الغرب بترجمة كل ماوصل أيديهم من مؤلفات رواد العلم العرب إلى لغتهم، وكذلك فعلت الصين واليابان وأصبحت لكل دولة منهجها العلمى بلغتها.

وأتمنى أن يحظى هذا الكتاب (مقدمة فى الحيوفيزياء التطبيقية) رضا السادة الزملاء والأبناء، وأكون شاكرا لأى تعليق يفيد فى إخراج طبعة أخرى، والله الموفق.

المؤلف

قائمة المحتويات

رقم الصفحة

5

المقدمة

الفصل الأول

- 1.1 رؤية عامة على طرق الجيوفيزياء General view Geophysical Methods 13
2.1 أقسام علم الجيوفيزياء 15
3.1 طرق التنقيب الجيوفيزيائي 15

الفصل الثاني

- الطرق الإهتزازية Seismic Methods 23
1.2 مقدمة Introduction 24
2.2 أساسيات إنتشار الموجه السيزمية Fundamental of Seismic Wave Propagation 33
3.2 علم الزلازل وتركيب الأرض Seismology and the Earth's Structure 53
4.2 الطرق السيزمية للتنقيب Seismic Methods of Prospecting 138
5.2 سيزمولوجية القشرة الأرضية Crustal Seismology 15

الفصل الثالث

- التنقيب الثقالي (الجاذبي) Gravity Prospecting 147
1.3 مقدمة Introduction 147
2.3 أساسيات الطريقة والوحدات Fundamental Principles and Units 147
3.3 العوامل المؤثرة في تغير الجاذبية Factors Causing Variation in Gravity 148
4.3 مشاهدات في الجاذبية Observations in Gravity 151
5.3 توازن القشرة الأرضية Isostasy 172
6.3 تفسير شاذات الجاذبية Interpretation of Gravity Anomalies 175
7.3 تحليل وتفسير نتائج الجاذبية Analysis and Interpretation of Gravity Data 190
8.3 فصل الشاذات الإقليمية والمتبقيات (المحليات) Isolation of Anomalies Regional and 192
Residuals (Locals)
9.3 التفسير بواسطة النماذج Interpretation by Models 200
10.3 إستخدام الحسابات المساعدة وإعادة الطرق Use of Computational Aids and Iterative 202
Techniques
11.3 الشبكات Graticules 202
12.3 الشاذة الجاذبية والجيولوجيا التركيبية Gravity Anomalies and Geological Structures 203

رقم الصفحة

211	Mineral Exploration الكشف المعدنى 13.3
211	Glacier Thickness Determination تحديد سمك الثلجات 14.3
214	Engineering Application التطبيقات الهندسية 15.3
218	Hydrogeological Application التطبيق الهيدروجيولوجى 16.3
220	Volcanic Hazards مخاطر البراكين 17.3
222	Bouguer Gravity and Crustal Thickness جاذبية بوجير وسمك القشرة 18.3

الفصل الرابع

227	Magnetic Method طريقة المغناطيسية
227	Introduction مقدمة 1.4
227	Basic Concepts and Definitions الأساسيات والتعريفات 2.4
240	Earth's Magnetism المغناطيسية الأرضية 3.4
248	Geomagnetic Field Variation تغيرات المجال المغناطيسى الأرضى 4.4
257	Magnetic Prospecting التنقيب المغناطيسى 5.4

الفصل الخامس

287	Paleomagnetic Methods (باليومجنيتيك) طرق المغناطيسية القديمة
287	Introduction مقدمة 1-5
287	المغناطيسية المتبقية فى المعادن والصخور 2.5
293	Techniques of Paleomagnetism تكنولوجيا المغناطيسية القديمة 3.5
300	Reversals of Geomagnetic Field انعكاس المجال المغناطيسى الأرضى 4.5
304	Paleomagnetism of Sea Floor المغناطيسية القديمة لأرضية البحار 5.5
309	Paleomagnetic Evidence for Continental Drift دلائل المغناطيسية القديمة للتباعد القارى 6.5
313	Application to Miscellaneous Problems تطبيق لمسائل متنوعة 7.5

الفصل السادس

325	Electrical Prospecting Methods طرق الاستكشاف الكهربى
325	Introduction المقدمة 1.6
325	Electrical Properties of Rocks الخواص الكهربائية للصخور 2.6
326	Self-Electrical Methods طرق الكهربائية الذاتية 3.6
350	Electrical Resistivity Methods طرق المقاومة النوعية 4.6
386	(Induced Polarization Method (IP طريقة الإستقطاب المستحث 5.6

الفصل السابع

393	----- Electromagnetic Method (EM) الطريقة الكهرومغناطيسية
393	----- Introduction مقدمة 1.7
	2.7 توهين مجالات الكهرومغناطيسية والعمق المخترق Attenuation of EM Fields and Depth
394	----- Penetration
	3.7 علاقة الطور بين المجال الأولى والثانوى Phase Relation between Primary and
395	----- Secondary Fields
	4.7 المركبات الحقيقية والتخيلية لمجالات الكهرومغناطيسية Real and Imaginary Components of
396	----- EM Fields
397	----- Elliptic Polarization of EM Field إستقطاب القطع الناقص للمجال الكهرومغناطيسى
402	----- Subsurface Exploration Methods طرق الإستكشافات التحت سطحية
404	----- Interpretation of EM Data تفسيرات نتائج الكهرومغناطيسية
405	----- Model Experiments تجارب نموذجية
405	----- Ambiguity in EM Interpretation غموض فى تفسير الكهرومغناطيسية EM
406	----- Airborne EM Surveying الإستكشافات الكهرومغناطيسى الجوى
407	----- Sea Borne EM Surveying الإستكشاف الكهرومغناطيسى البحرى
408	----- Controlled-Source EM Methods طرق تحكم مصدر الكهرومغناطيسية
410	----- Borehole EM Surveying المسح الكهرومغناطيسى للآبار
413	----- Interpretation Methods طرق التفسير
418	----- Applications and Case Histories تطبيقات وحالات سيرية
	16.7 التخطيط الجيولوجى باستخدام المسح الجوى الكهرومغناطيسى Geological Mapping using
434	----- Airborne EM

الفصل الثامن

437	----- Radar Exploration الإستكشاف الرادارى
437	----- Introduction المقدمة 1.8
437	----- Applications of Ground Penetrating Radar (GRP) تطبيقات الإختراق الرادارى الأرضى
455	----- Modes of Data Acquisition أنماط الحصول على النتائج
456	----- Data Processing معالجة البيانات
459	----- Interpretation Techniques تقنيات التفسير
462	----- Applications and Case Histories تطبيقات وحالات سيرية
475	----- Borehole Radar رادار الآبار

الفصل التاسع

481	الطرق الإشعاعية Radiometric Methods
481	1.9 مقدمة Introduction
481	2.9 أساسيات التفكك أو التحلل الإشعاعي Fundamental of Radioactive Disintegration or Decay
483	3.9 إشعاعية الصخور Radioactivity of Rocks
484	4.9 الحرارة المسببة من الإشعاع Heating Due to Radioactivity
484	5.9 طرق تأرخ الإشعاع Radiometric Dating Methods
492	6.9 مقياس تأريخ المياه الظاهرية Phanerozoic Time Scale
492	7.9 تحديد أزمنة وتسلسل البريكامبرى Precambrian Chronology
493	8.9 نظائر الأوكسجين والمناخات القديمة Oxygen Isotopes and Paleoclimates
495	9.9 المسح الإشعاعي Radioactivity Surveying
496	10.9 أمثلة للمسوحات الإشعاعية Examples of Radioactivity Surveys

الفصل العاشر

499	طرق الحرارة الأرضية Geothermal Methods
499	1.10 مقدمة Introduction
500	2.10 الخواص الحرارية للصخور Thermal Properties of Rocks
501	3.10 إنسياب الحرارة الأرضية Terrestrial Heat Flow
508	4.10 الحرارة المنتجة وانتقالها في الأرض Heat Production and Transfer in the Earth
510	5.10 درجات الحرارة داخل الأرض Temperatures Within The Earth
512	6.10 طرق التنقيب الإشعاعي Thermal Prospecting Methods
516	7.10 إستكشاف لمصادر الحرارة الأرضية Exploration for Geothermal Resources

الفصل الحادى عشر

523	تسجيل الآبار Well Logging
523	1.11 مقدمة Introduction
523	2.11 حفر الآبار Well Drilling
527	3.11 التسجيلات الجيوفيزيائية Geophysical Logging
550	4.11 تقييم التكوين Formation Evaluation

الفصل الثانى عشر

557	تطبيقات جيوفيزيائية لحركات الألواح Geophysics Applied to Plate Tectonics
557	1.12 مقدمة Introduction
557	2.12 العناصر الأساسية لحركات الألواح Basic Elements of Plate Tectonics

رقم الصفحة

الملحقات والمراجع

573	-----	ملحق 1
577	-----	ملحق 2
579	-----	ملحق 3
582	-----	ملحق 4
583	-----	ملحق 5
584	-----	ملحق 6
585	-----	قائمة المراجع

الفصل الأول

1.1 رؤية عامة على طرق الجيوفيزياء: General view Geophysical Methods

تعريف:

الجيوفيزياء هي دراسة الأرض باستخدام الخواص الفيزيائية للصخور وهي تشغل موضعاً هاماً مع الجيولوجيا والجغرافيا في علوم الأرض، هذا الموضوع يغطي فيزيائية الأرض ككل من أعماقها الداخلية إلى غلافها الغازي ولذلك فهو يشمل عدة أنظمة. وغالباً من المؤلف عملياً ما نستخدم الجيوفيزياء لمعرفة محددة تشير للخواص الفيزيائية المطبقة لدراسة الجزء الصلب من الكرة الأرضية (بدون الغلاف المائي والغازي). وعلم الجيوفيزياء حتى بمعناه المحدد يشمل عدة مجالات للدراسة:

1- علم شكل الأرض (المساحة التطبيقية والجاذبية) Geodesy and gravitation
يشير لشكل الأرض والمجال الجاذبي.

2- علم الزلازل (حركات القشرة الأرضية) Seismology
يشير إلى الزلازل والذبذبة الأرضية الأخرى (نتيجة التفاعلات الكيميائية والتفجيرات النووية).

3- علم المغناطيسية الأرضية والكهربية الأرضية Geomagnetism and geoelectricity
يشير للمغناطيسية الأرضية والظواهر الكهربائية.

4- علم الحرارة الأرضية Geothermometry
يشير لانسباب الحرارة وتوزيع درجات الحرارة في الأرض

5- علم الحركات الفيزيائية Tetconophysics
يشير لوجهات النظر الفيزيائية الإقليمية وحركات الكرة الأرضية.

6- علم أصل الأرض Geolosmogony
يشير لأصل الأرض.

7- علم التاريخ الجيولوجي Geochronology
يشير لتحديد الأحداث في تاريخ الأرض.

بالإضافة إلى ماسبق فهناك دراسة بعض المجالات الأخرى والتي تظهر كمعرفة عامة خاصة بالجيوفيزياء لها علاقة وارتباط أكثر بعلم الجيولوجيا وذلك مثل البراكين، المياه الأرضية والتلجيات وأهمية مجالاتها واضحة من أسمائها.

يتضح الآن أن أى محاولة لتحديد حدود الطرق الجيوفيزيائية المختلفة تكون عديمة الفائدة. وذلك بسبب التداخل الكبير حيث أن جميع طرقها تعتمد بدرجة كبيرة كل على بعضها البعض وعملها يكمل كل منه الآخر فى مجال علوم الأرض. مثال لذلك دراسة حرارة الأرض التى لا ترتبط فقط بعلوم البراكين والزلازل والإشعاع ولكن ترتبط أيضا بعلوم تاريخ تكوين الأرض والحركات الطبيعية. ومثال آخر فإن موضوع الحركات الطبيعية الأرضية مرتبط تماما مع علوم الزلازل والحرارة الأرضية والبراكين والجاذبية ومغناطيسية الصخور ولا يمكن دراستها كموضوع فردى.

وبالنسبة لعلم الجيوفيزياء نفسه لا يمكن دراسته كنظام معزول مستقل. فالجيوفيزياء تمت من أنظمة الفيزياء والجيولوجيا ولا يوجد حدود حاده تميزها عن الأخرى. وتعتبر الجيوفيزياء الفرع التطبيقي لعلم الفيزياء، ولكن فى دراسة المكونات المختلفة للأرض تشارك الجيوفيزياء مع الموضوعات العامة للجيولوجيا لفهم الكوكب الذى نعيش عليه.

تكون دائما اعتبارات الجيوفيزيائية القياسات الحقيقية للظواهر الطبيعية للأرض مثل الطاقة السيزمية، الجاذبية، المجال المغناطيسى، وهكذا، وتعتبر هذه الكميات الأساسية الواضحة للجيوفيزيائي. أما الجيولوجى فتكون اعتباراته مع الكيفية والدراسة الوصفية مع قياسات تختص بالسلك والميل لبعض تكوينات سطحية معينة بالإضافة لعمل تركيبات تحت سطحه من نتائج حفر الآبار.

وتوجد اليوم اجتهادات مميزة جعلت التعاون بين الجيولوجيين والجيوفيزيائيين أفضل، وهذا الاتجاه ظاهرا فى البحث الجيوفيزيائى عن البترول حيث الغالبية العظمى من جيولوجى البترول يقومون ببذل الجهد فى استخراج كمية المعلومات من النتائج الجيوفيزيائية مثل قطاعات التسجيلات السيزمية وتسجيلات الآبار الكهربائية وغيرها، وبالمثل فإن الجيوفيزيائيون الذين يعتمدون على قياسات الظواهر الجيوفيزيائية يندمجون اليوم أكثر مع الجيولوجيا لكى تزيد قدرة استنتاجاتهم.

يقوم علم الجيوفيزياء فى الوقت الحاضر بالاشتراك الهام فى عمليات البحث عن الثروات المدفونة من خامات ومعادن اقتصادية ورواسب هيدروكربونية (بترول وغاز)، وكذلك المياه الجوفية، ومشاركته الفعالة حديثا فى الجيولوجيا الهندسية والبحث والتنقيب عن الآثار. وتتم هذه العمليات بقياس الخواص الفيزيائية المختلفة للصخور (جاذبية، مغناطيسية، سيزمية ... إلخ) على سطح الأرض ثم تحويل نتائج هذه القياسات لمعلومات جيولوجية مفيدة. والصورة الجيولوجية المناسبة المشتقة من هذه الطرق تحتاج لطريقة تطبيقية للخواص الفيزيائية السابقة أكثر من غيرها تبعا لنوعية النتائج ومهارة العرض والتفسير. وتزيد الآن تطبيقات الطرق الجيوفيزيائية فيما يتعلق بتفسيرات التلوث التى توضع تحت الملاحظة وتسمى هذه الجيوفيزياء البيئية وتعرف كالتى: "هى الطرق الجيوفيزيائية التى تفسر الظواهر الفيزيوكيميائية القريبة من السطح والتى يكون لها تطبيقات لإدارة البيئة المحلية".

كذلك فإن القياسات الجيوفيزيائية الموجودة لدينا الآن تقدم المعلومات للدراسات الجيولوجية عن تركيب وتكوين باطن الأرض، وأيضا عن الأعماق المحدودة التى وصلت إليها الآبار والمناجم.

ويرتبط علم الجيوفيزياء بالعلوم الأساسية الأخرى مثل الفلك، الرياضيات، الفيزياء، الجيولوجيا والكيمياء. وايضا تعتمد التقنيات المختلفة لطرق الجيوفيزياء على أساسيات الفيزياء، فمثلا تعتمد على قانون الجاذبية الأرضية، القابلية المغناطيسية، كذلك قوانين الانعكاس والانكسار الضوئى (المطبقة فى الطرق السيزمية)، وعناصر الكهربائية وقوانين الإشعاع، وأيضا النظريات الكهرومغناطيسية والردار.

ونجد أن الجيوفيزياء دخلت مجال الكشف عن بعض الخامات منذ فترة طويلة حيث اكتشفت المعادن الحديدية بواسطة البوصلة المغناطيسية منذ عام ١٦٠٠، ثم استجابت الجيوفيزياء للضغوط الملحة لإيجاد قدرات جديدة علمية واقتصادية، ففي القرن الماضى استخدمت بعض الأجهزة الخاصة فى استكشاف المعادن وأدلت بدلوها الجيد فى الكشف عن البترول منذ عام ١٩٢٤، وبخلاف المناطق التى تستكشف لأول مرة فإن معظم المسح الجيوفيزيائى تجرى على مناطق سبق أن فشلت فيها أعمال المسح بسبب عدم دقة الأجهزة وطرق المسح أو طرق التفسير، وكلما زاد التقدم فى تطوير الأجهزة وتطوير نتائج المسح زادت الاكتشافات المفيدة.

وقد زاد تطور علم الجيوفيزياء مع الثورة الفنية التى أعقبت الحرب العالمية الثانية وساهم ذلك مساهمة كبيرة فى عمليات الاستكشاف الجيوفيزيائى وكذلك بعض الأجهزة مثل الحاسبات الإلكترونية ووسائل تجهيز المعلومات، الأقمار الصناعية. واستخدم كل هذا التطوير للطرق الجيوفيزيائية للبحث عن البترول والمصادر الطبيعية الأخرى سواء فى المناطق الأرضية المأهولة أو المناطق الأرضية الغير مأهولة من صحراء وغابات وخلافه، ثم امتدت لتشمل البحار والمحيطات والصحارى الجليدية القطبية.

2.1 أقسام علم الجيوفيزياء:

ينقسم علم الجيوفيزياء لثلاثة أنواع:

- 1- الجيوفيزياء النظرية: وتختص بدراسات واستنتاجات المعادلات الرياضية المدعمة بالمدلولات الفيزيائية واستخدامها بعد ذلك فى الجيوفيزياء التطبيقية.
- 2- الجيوفيزياء الهندسية: تختص بتصميم الأجهزة المستخدمة فى القياسات الجيوفيزيائية.
- 3- الجيوفيزياء التطبيقية: تختص بقياسات الخواص الفيزيائية المختلفة للصخور على سطح الأرض وباستخدام المعادلات المستنتجة من الجيوفيزياء النظرية يمكن تحويل نتائج هذه القياسات لمعلومات جيولوجية مفيدة.

3.1 طرق التنقيب الجيوفيزيائى:

جميع الطرق الجيوفيزيائية المستعملة فى البحث والتنقيب عن البترول والخامات المعدنية والمياه الجوفية والمتطلبات الحديثة لتطبيقات الجيولوجيا الهندسية والبحث عن الآثار تعتمد على أساسيات الفيزياء. وأهم الخواص الفيزيائية للصخور التى تستخدم فى الاكتشافات الجيوفيزيائية هى المرونة $elasticity$ ، الكثافة $density$ ، القابلية المغناطيسية $magnetic susceptibility$ ، المغناطيسية المتبقية $remanent magnetization$ ، المقاومة أو التوصيل الكهربى $electric resistivity or conductivity$ ، الإشعاع $radioactivity$ ، التوصيل الحرارى $thermal conductivity$ واستخدمت هذه الخواص لاستنباط الطرق الجيوفيزيائية التى تعتمد أساسا على عدم الاستمرارية لهذه الخواص من منطقة لأخرى، وستقسم الطرق الجيوفيزيائية تحت عناوين أساسية:

Seismic methods	1- الطرق الاهتزازية
Gravity method	2- طريقة الجاذبية
Magnetic method	3- طريقة المغناطيسية
Paleomagnetic method	4- المغناطيسية القديمة
Electrical methods	5- طرق الكهرباء
Electromagnetic methods	6- طرق كهرومغناطيسية
Radar methods	7- طرق الرادار
Radiometric methods	8- طرق الإشعاع
Geothermal methods	9- طرق الحرارة الأرضية
Well logging	10- تسجيل الآبار

وتعتبر الدراسات الجيوفيزيائية كمية واضحة بالمقارنة بالدراسات الجيولوجية والتي تتميز بالكيفية والكمية والوصف. وربما هذا الخط الواضح بين النظامين يدمج كمحاولة مميزة ليصبحا أكثر اتفاقاً ونفعاً. وهذا الاتجاه واضح تماماً في البحث والتنقيب بالطرق الجيوفيزيائية ويظهر ذلك بوضوح في البحث والتنقيب عن البترول والثروات المعدنية حيث المعلومات الجيولوجية والفيزيائية تزيد القدرة على الاستنتاج.

ويوضح الجدول رقم (1-1) قواعد الطرق الجيوفيزيائية بخواصها الطبيعية وعلاقتها باستعمالها الأساسي ويستخدم هذا الجدول كمرشد.

وفيما يلي استعراض للطرق الجيوفيزيائية:

1.3.1 الطرق الاهتزازية والسيزمية:

وتنقسم هذه الطرق لطريقتين كبيرتين:

(i) اهتزاز طبيعي (الزلازل):

تحدث من الطاقة الناتجة من البراكين والفوالق والانزلاقات الأرضية والتي تظهر في صورة موجات اهتزازية (زلزالية) وتختص هذه الموجات أساساً بدراسة التركيب الداخلي للأرض وطبيعة مكوناتها الصخرية.

(ii) الاهتزازات (سيزمية) الصناعية:

وتنتج من تفجيرات صناعية كالديناميت، بندقية الهواء (في البحار والمحيطات)، اصطدام الأثقال بالأرض.

وينقسم استخدام طاقة هذه الموجات السيزمية الصناعية إلى طريقتين:

جدول (1-1)

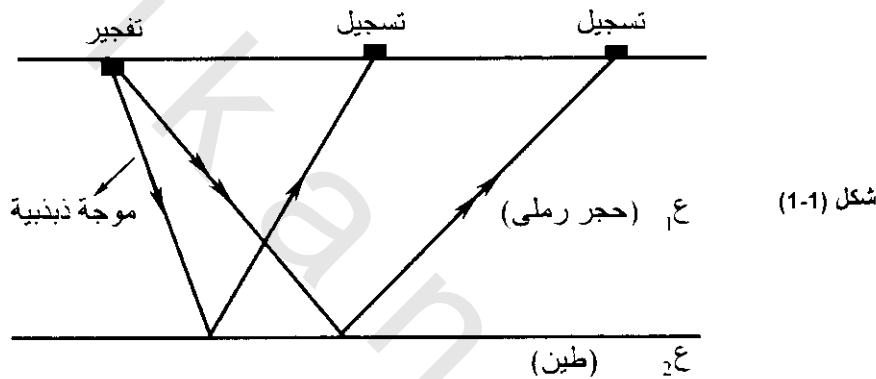
تطبيقاتها										الخاصية الفيزيائية المعتمدة عليها	الطريقة الجيوفيزيائية
10	9	8	7	6	5	4	3	2	1		
!	ث	!	!	'	'	'	ث	!	!	الكثافة	الحثية
!	!	!	!	م	!	ث	!	!	!	القابلية المغناطيسية	المغناطيسية
!	!	!	!	م	ث	ث	ث	!	!	ثوابت المرونة، الكثافة	الانكسار السيزمي (هزات انكسارية)
!	!	!	!	ث	ث	!	م	!	!	ثوابت المرونة، الكثافة	الانعكاس السيزمي (هزات انعكاسية)
ث	!	ث	!	!	!	!	!	م	م	المقاومة الكهربائية	المقاومة الكهربائية
!	!	م	م	!	!	!	!	!	!	اختلاف الجهد	الكهربائية الذاتية
م	م	م	م	ث	ث	م	!	م	م	المقاومة والسعة الكهربائية	الاستقطاب الذاتي
م	!	!	!	!	!	!	!	!	ث	التوصيل الكهربائي والعث الذاتي	الكهر ومغناطيسية
!	م	ث	ث	ث	ث	م	!	م	م	التوصيل الكهربائي والعث الذاتي	الكهر ومغناطيسية (موجات ذات ترددات منخفضة (VLE)
!	!	!	ث	!	!	!	م	!	!	معامل التوصيل، معامل السماحية	الكهر ومغناطيسية (ردار اختراق أرضي)
!	!	!	!	!	م	م	!	!	ث	المقاومة الكهربائية	المغناطيسية، الكهربائية الأرضية (Telluric)

أ- الطريقة الأساسية، م = ربما تستخدم ولكن ليس ضروريا لأحسن تقدم أو ليست أحسن تطور لهذا التطبيق، ! = غير ملائم

- 1- التقيت الهيدرولوجي (عدم - غار - زيت)
- 2- دراسات القلبية جيولوجية (عبر مساحات أكبر من 100 كم²)
- 3- تنقيب وتطوير معلمي
- 4- تفسيرات مواقع هندسية
- 5- تفسيرات هيدرولوجية
- 6- اكتشاف كهوف تحت سطح الأرض
- 7- تخطيط المياه المتداخل والموا الملوثة
- 8- تحديد مواقع الأنشاء المعدنية المدعومة
- 9- الجيوفيزياء الأثرية
- 10- تطبيقات الجيوفيزياء لفلون البنية

(أ) طريقة الانعكاس الاهتزازي (السيزمي) Seismic reflection method:

في هذه الطريقة يخرط التكوين تحت سطحى بقياس الزمن اللازم لموجه ذبذبية مولده فى الأرض من انفجار قريب من السطح (ديناميت - صدمة اليد - هزه) لتعود إلى السطح بعد انعكاسها من السطح الفاصل بين الطبقات ذات الخواص الطبيعية المختلفة (شكل 1-1). وتوضع أجهزة التسجيل على سطح الأرض على أبعاد صغيرة من نقطة التفجير التى تكون عادة أقل من سمك الطبقة العاكسه. والتغير فى أزمته الانعكاس من مكان إلى آخر على سطح الأرض توضح الظواهر التركيبية للطبقات السفلى. وهذا يتم باستخدام معلومات السرعة إما من الإشارات المنعكسة نفسها أو تسجيلات سرعات الآبار السابقة فى المنطقة. وتستعمل أيضا معطيات الانعكاس لتحديد الخصائص الصخرية.



هذه الطريقة من أدق الطرق لتقديم صورة تركيبية لما هو تحت السطح، وقدمت قطاعات تسجيل الانعكاسات الحديثة تشابه كبير فى مظهرها للقطاعات الجيولوجيه ومن الملاحظ أن الاستكشاف الناجح للمصادر البترولية بهذه الطريقة يتطلب تنسيق جيد المهارة للمعلومات الجيولوجيه والسيزمية الانعكاسية.

(ب) طريقة الإنكسار الاهتزازي (السيزمي) Seismic refraction method:

فى هذه الطريقة فإن أجهزة كشف الموجات السيزمية توضع على مسافة كبيرة من نقطة التفجير بالمقارنة بعمق المستوى المطلوب. ولذلك فإن موجات التفجير تسير لمسافات أفقية طويلة خلال الأرض (شكل 1-2). وتدل اختلافات تسجيل الزمن فى أماكن التسجيل المختلفة على تركيبات التكوينات.

وتمد هذه الطريقة الجيوفيزيائى بنتائج سرعات تسمح له بالتعرف على شكل طبقات الإنكسار ومعرفة خصائص الصخور. وهذه الطريقة مهمة للتركييب التى لها سطوح ذات سرعات عاليه مثل قمة صخور القاعدة والحجر الجبرى وهذه الطريقة مفيدة جدا فى الطبقات الملحية ذات السرعات الكبيرة عن الطبقات المحيطة بها، وتستخدم أيضا فى تجديد رميات الفوالق فى التكوينات ذات السرعات العالية. وبرغم مميزاتها فإنها تستخدم أقل من طريقة الإنعكاس فى الاستكشافات البترولية لاحتياجها لكميات أكبر والعمل الأكثر ودرجة أقل فى الدقة.

4.3.1- طريقة المغناطيسية القديمة Paleomagnetic Method:

تتضمن هذه الطريقة دراسة المغناطيسية الطبيعية المتبقية للصخور لكي نتعرف على مجال المغناطيسية الأرضية في الأزمنة الجيولوجية. وتعتبر هذه الطريقة مجال جديد في علم الجيوفيزياء وأمدتنا بمعلومات عن تاريخ المجال المغناطيسي الأرضي وشاملة إنعكاس القطبين، ومن أهم تطبيقات هذه الطريقة إمدادها ببراهين كمية عن نظريات إزاحة القارات continental drift، إنفراج قاع المحيط sea-floor spreading وحركة الألواح plate tectonics. وفي السنوات الأخيرة زاد استخدام المغناطيسية القديمة كأداة في دراسة التركيبات والترابطات لبعض المشاكل والجيولوجيا المحلية.

5.3.1- الطرق الكهربيه Electrical Methods:

تستخدم هذه الطرق للكشف عن الشذوذ في الخواص الكهربيه للصخور (معامل التوصيل، الجهد الذاتي، الحث الذاتي والمقاومة). من هذه النتائج يمكن تحديد معادن لها خواص كهربيه مميزة أو لعمل خرائط تركيبية مصاحبة للتجميعات البترولية أو التعدينية أو المياه الجوفية.

1.5.3.1- الطرق الكهربيه الذاتية:

(أ) طرق كهربيه ذاتية كيميائية:

تعتمد هذه الطريقة على النشاط الإلكتروكيميائي والتي تنتشر في عدة مساحات وخاصة الحاوية على الكبريتات والعناصر ذات البريق العالي، حيث أنها جيدة التوصيل الكهربى وبالتالي فلها مقاومة نوعية قليلة. وتعمل الكبريتات كعناصر بطارية إذا كان جزء منها أسفل مستوى الماء الجوفى (مالح نوعا ما) كقطب موجب والجزء الآخر فى المنطقة الهوائية كقطب سالب.

(ب) الكهربيه الأرضية Telluric Current:

يكون المصدر الكهربى لهذه الطريقة هو التيار الكهربى الأرضى بدلا من التيار المتولد صناعيا ويبحث فى داخل الأرض، ويوجد هذا المصدر على مقياس كبير داخل الأرض نتيجة للتغير اليومى المغناطيسى ولذلك فإنه يستمر لفترات قصيرة، ويختلف هذا التيار جغرافيا ويوميا وموسميا. ومن التطبيقات الهامة لهذه الطريقة هو استخدامها لاكتشاف أحواض الترسيب.

2.5.3.1- طريقة المقاومة الكهربيه Resistivity Method:

هذه الطريقة صناعية وفيها يبعث بتيار فى داخل الأرض من خلال قطبين ثم يقاس الجهد الخارج بقطبين آخرين وبهذه الطريقة يمكن معرفة نوعية الصخور المار بها التيار، وكذلك عمق الطبقات.

6.3.1- طريقة الكهرومغناطيسية Electromagnetic Method, EM:

هذه الطريقة واحدة من الأساليب الكهربيه التى تستخدم على نطاق واسع فى استكشافات المعادن وتعتمد على حث التيارات الكهربيه فى الموصلات المدفونة (مثل بعض الخامات والمعادن) بواسطة المركبات المغناطيسية للموجات الكهرومغناطيسية التى تتولد على سطح الأرض والناشئة من بث تيارات مترددة (من عدة

هيرتز إلى عدة ميجاهيرتز) في ملفات أو في سلك على الأرض أو في الهواء بطرق معينة. وتتولد عن هذا مجالات مغناطيسية مترددة تمتد كموجات داخل الأرض وتختلف هذه الموجات تبعاً لمعدل التردد، وعندما تنفذ هذه الموجات في الصخور، فإذا كان الجسم الصلب موصلًا كهربيًا، ففي هذه الحالة يحدث حث تيارات كهربيه مترددة في المواد الموصلة وتصبح هذه التيارات مصدر جديد لموجات كهرومغناطيسية والتي يمكن الكشف عنها بواسطة ملفات لاقطة مناسبة. وتستعمل هذه الطريقة لتحديد مكان المعادن المدفونة والألغام العسكرية.

7.3.1- طريقة التنقيب الإشعاعي Radioactivity Prospecting Method:

اكتشاف الإشعاع يتم بعدد جيجر Geiger counters أو عداد الومضات scintillation counter. وقد اكتشفت كميات كبيرة من اليورانيوم عن طريق الطيران بعدد الومضات. وتعتبر هذه الطريقة من أقل طرق الاختراق حيث يمتص الإشعاع لأقل من 3 قدم فوق المصدر.

8.3.1- طريقة الحرارة الأرضية Geothermal Method:

يعتقد أن المصدر الأساسي لطاقة الحرارة في داخل الأرض ناتج من اضمحلال المواد المشعة إلى النظائر. وهناك مصدر آخر للحرارة ناتج عن عمل الجاذبية في تجميع وضغط الجسم من مكونات صغيرة. وتنتقل الحرارة تدريجياً من داخل الأرض للسطح، وعن الأمثلة الممثلة هي البراكين والعيون الساخنة. وخروج الحرارة من داخل الأرض إما أن يكون مباشر أو غير مباشر، كما تنطلق من عمليات تغيرات جيولوجية والتي لها علاقة بالحركات التكتونية ونشاط الصخور النارية والمتحولة. وفي السنوات العشر الأخيرة فإن الدراسات الموسعة لانسياب الحرارة من داخل الأرض أمدتنا بمعلومات عن خواص الحالة الحرارية الإقليمية الواسعة تحت الظواهر الجيولوجية الكبيرة للقارات والمحيطات. وهذه المعلومات ذات أهمية خاصة لنظريات تيارات الحمل الحرارية في الستار والذي على أساسه تقارب ترابط نظريات إزاحة القارات، إتساع قاع المحيطات (انفراج قاع المحيط) وحركة الألواح. وعلى المستوى المحلي تستخدم القياسات الحرارية (الشواذ الحرارية الخاصة) لتقديم أوضاع التركيبات مثل القباب الملحية الضحلة، الطيات المحدبة، الفوالق، الشقوق وغيرها. بالإضافة إلى أن قياسات الحرارة في الآبار تستخدم في مضاهاة الطبقة الاستراتيجرافية.

9.3.1- موجات الرادار Waves of Radar:

شاعت وانتشرت طريقة اختراق الرادار الأرضي (GPR) ground penetrating radar في منتصف العقد ١٩٨٠ خاصة خلال الأعمال الهندسية والأثرية (حيث أنها تخترق أعماق أرضية لعدة أمتار)، واستخدم الرادار أيضاً للتطبيقات الجيولوجية خاصة في ارتباطها لتصوير صدى موجات الرادار لأقطاب ألواح الثلوج. وقسمت هذه الطريقة لقسمين مميزين على أساس تردد الإستشعار الأساسي. فبالنسبة للتطبيقات الجيولوجية تكون الترددات الاستشعارية أقل من 500 ميجاهرتز حيث المطلوب في هذه الحالة هو اختراق العمق أكثر من التحليلات الدقيقة التي تتطلب ترددات استشعارية أكبر من 500 ميجاهرتز ومن تطبيقات هذه الطريقة هي:

- 1- الكشف عن الكهوف الطبيعية
- 2- خرائط الهبوط والإنخفاف
- 3- خرائط الأجسام الرملية
- 4- تخطيط الرواسب السطحية
- 5- خرائط طبقات التربة
- 6- تفسير التلجالات الجيولوجية
- 7- التنقيب المعدني وتقدير مصدرها
- 8- الأعمال الهندسية والإنشائية
- 9- الدراسات البيئية
- 10- البحث والتنقيب عن الآثار

10.3.1- تسجيل الآبار Well Logging:

من الطرق التي تستعمل على نطاق واسع وذلك بعمل جسات أرضية بأجهزة تهبط داخل الآبار وتسجل نتائجها على السطح أثناء صعودها لأعلى. ومن بين الخواص الصخرية دائمة التسجيل هي:

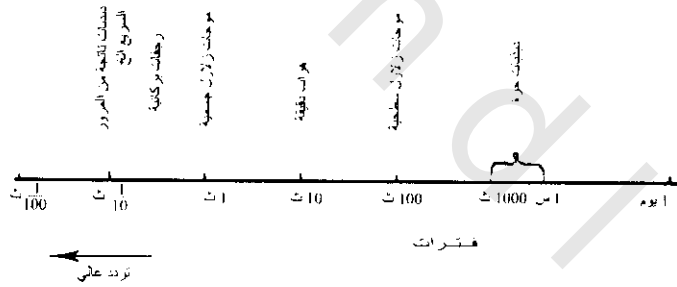
- 1- المقاومة الكهربائية
 - 2- الكهربيه الذاتية
 - 3- توالد أشعة جاما (سواء كان طبيعيا أو صناعيا بواسطة قذف الصخور بالنيترونات)
 - 4- الكثافة
 - 5- القابلية المغناطيسية
 - 6- السرعات السمعية
 - 7- التدرج الحرارى
- كثير من هذه التسجيلات يستخدمها الجيولوجيين باتساع أكثر من أى نتائج جيوفيزيائية أخرى.

الفصل الثاني

الطرق الإهتزازية Seismic Methods

1.2 مقدمة Introduction:

هذه الطرق من أهم الطرق المتقدمة من فروع الجيوفيزياء، وفي الحقيقة بدأ علم السيزمولوجي كعلم للهزات الأرضية (الزلازل) وتعنى كلمة seismos باليونانية بالهزة، وذلك لدراسة وتأثير أغلب الظواهر الطبيعية للكوارث الأرضية. وحاليا ربما يغطي دراسة هذا المجال الأنواع المختلفة للحركات الأرضية من أكبر موجات هزه أرضية إلى أقل نبضات هزيه موجودة فى كل زمان، ويحاط مدى التردد كإتساع طيفى يغطى أعلى ترددذبذبى أكبر من 100 سم/ث إلى أقل حركة بطيئة لفترة ساعة أو أكثر. ولهذا فإن الإتساع الطيفى للحركات الزلزالية تمثل المدى الزلزالى ويدل على أنواع مختلفة من الحركات الأرضية كما فى شكل (1-2).



شكل (1-2)

وعلى العموم فإن الطرق السيزمية تقسم إلى قسمين كبيرين يعتمد على طاقة مصدر الموجات السيزمية، أحدهما يدرس موجات الهزات الأرضية (الزلازل) لاستنتاج الخواص الطبيعية والتركيب الداخلى للأرض ويسمى هذا علم الزلازل earthquake seismology، والآخر تتولد الموجات السيزمية فيه بواسطة تفجيرات صناعية عند مواقع مختارة للحصول على معلومات عن تركيبات إقليمية أو محلية وتسمى هذه الطريقة الاستكشاف السيزمي explosion seismology، مع ملاحظة أن طريقة المراقبة (الملاحظة) لكلا الطريقتين فى مجالات تطبيقاتهما تظهر تداخل أو تراكيب بينهما، فمثلا التحكم بدقة فى التفجير النووى له قيمة فى استنتاج تفصيلات دقيقة عن التركيب الداخلى للأرض، بينما الموجات الزلزالية السطحية تشارك كثيرا فى دراسة تركيب القشرة الأرضية. والتطور السريع لأجهزة قياس أى طريقة سواء للهزات الأرضية أو للهزات الصناعية تؤدى إلى تقدم موازى للطريقة الأخرى لاستعمالها.

تعتبر الموجة السيزمية أساس للاستكشاف السيزمي ولإستنتاج المصطلحات الجيولوجية منها، لذلك يجب معرفة المبادئ الأساسية الفيزيائية التي تتحكم في خواص إنتشارها، مثل تولدها وإنتقالها وإمتصاصها وتخفيفها في المواد الأرضية وكذلك خواص انعكاسها وإنكسارها وحيودها، ويمكن القول بأن الموجات السيزمية هي موجات مرنة لأنها تسبب تشوه في المادة التي تنتشر خلالها وهذه التشوهات تتكون نتيجة ضغوط وتمددات متبادلة نتيجة لتحرك الجزيئات في المادة قربا أو بعدا عن بعضها البعض. وبالإضافة للمهمة الأساسية للطرق السيزمية في إكتشاف المواد الهيدروكربونية فإن الجدول الآتي يبين عدة تطبيقات الكشف السيزمولوجي

جدول (1-2) المعلومات المستخدمة وتطبيقات الكشف السيزمولوجي

معلومات بتروفيزيائية	الظواهر الجيولوجية	تطبيقات أخرى
1- ثوابت المرونة 2- الكثافة	1- عمق صخور الأساس 2- تحديد مناطق الفوالق والكسور	1- تفسيرات المواقع الهندسية 2- خواص الصخور
3- التوهين (التخفيف) 4- المسامية	3- إزاحة الفوالق 4- تحديد الأودية المدفونة وخصها	3- مصادر الرمل والحصى 4- إكتشاف الكهوف
5- سرعة الموجات المرنة	5- تحديد خواص الصخور	5- تحديد الطبقة الأساسية في البحار (لوضع أبراج الحفر)
6- عدم الإتجاهية	6- تحديد الطبقات الجيولوجية المختلفة	6- تحديد الماء والغاز المزال من الرسوبيات البحرية
	7- تحديد سدود الصخور النارية الأساسية	7- مواقع الإنهيارات الأرضية الجديدة 8- إكتشاف المياه الجوفية
		9- سرعة الجزيئات الأرضية 10- تحديد مواقع الإنشاءات (المباني الضخمة - إنشاء الأنفاق)
		11- تحديد مواقع المطارات والممرات بها 12- مواقع إنشاء المفاعلات النووية
		13- تحديد الخنادق الكبيرة للأسلحة الحربية

2.2 أساسيات انتشار الموجة السيزمية: Fundamental of Seismic Wave Propagation

حيث أن هذه الموجة تنتشر في أوساط مرنة فلمعرفة سلوك هذه الموجة التي تسير في هذه الأوساط فلا بد أولا تحديد الخواص المرنة لهذه الأوساط. لذلك يفترض أن الأجسام الصخرية متجانسة وإتجاهيه وإلا فإن إنتشار هذه الموجات تصبح أكثر تعقيدا. وتبسط هذه الفروض تفسيرات التأثيرات المقاسة (شدوذ الزمن) ومن هذه الخواص:

1.2.2 الإجهاد Stress:

وهو عبارة عن علاقة بين القوة والمساحة السطحية المؤثرة عليها

$$\text{Stress (الإجهاد)} = \frac{\text{Force (قوة)}}{\text{Area (مساحة)}} \quad \& \quad S = \frac{F}{A} \quad (2-1)$$

ويوجد أربع أنواع من الإجهاد:

(i) **الإجهاد الطولى** *Tensile stress*:

وفيه تكون القوة عمودية على المساحة وتسبب بذلك إستطالة خلال الجسم (شكل 2-2 أ).

(ii) **الإجهاد الضغطى** *Compressive stress*:

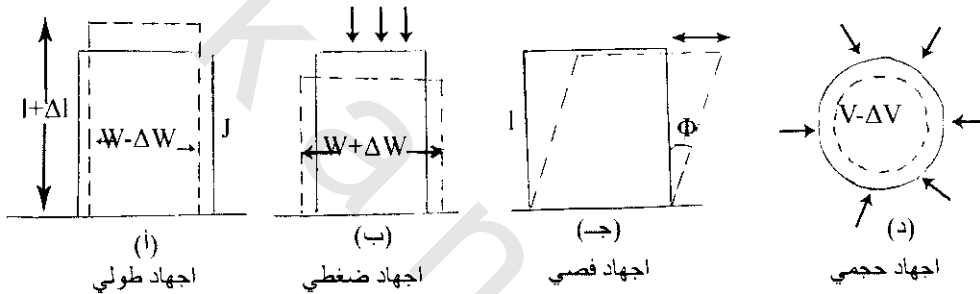
وفيه تكون القوة عمودية على المساحة ولكن تسبب بذلك قصرا خلال الجسم (شكل 2-2 ب).

(iii) **الإجهاد القصى** *Shearing stress*:

وفيه تكون القوة موازية للمساحة وتسبب تشوه (شكل 2-2 ج).

(iv) **الإجهاد الحجمى** *Volume stress*:

وفيه تكون القوة موزعة على حجم الجسم وتسبب نقص فى حجم الجسم (شكل 2-2 د).



شكل (2-2)

2.2.2 الانفعال Strain:

(i) **الإنفعال الطولى** *Longitudinal strain*:

هو عبارة عن نسبة بين الإستطالة الطولية الناتجة من الإجهاد الطولى إلى الطول الأسمى

$$\epsilon_l = \frac{\Delta l \text{ (الاستطالة)}}{l \text{ (الطول الأسمى)}} \quad (2-2)$$

(ii) **الإنفعال العرضى** *Transverse strain*:

هو نسبة بين الإستطالة العرضية إلى العرض الأسمى الناتج من الإجهاد الضغطى.

$$\epsilon_w = \frac{\Delta W \text{ (الزيادة فى العرض)}}{W \text{ (العرض الأسمى)}} \quad (2-3)$$

(iii) **الإنفعال القصى** *Shearing strain*:

وينتج من الإجهاد القصى وينشأ عن ذلك زاوية ϕ تسمى زاوية التشوه وتتغير هذه الزاوية بتغير الإجهاد فى علاقة طردية، ϵ (الإنفعال القصى = ϕ).

(iv) الإنفعال الحجمي *Volume strain*:

$$\epsilon = \frac{\Delta V}{V} \quad \text{(النقص في الحجم) / (الحجم الأصلي)} \quad (2-4)$$

ج) معامل ينج (E) *Young's modulus*:

يوجد علاقة طردية بين الإنفعال والإجهاد.

$$\epsilon \text{ \& } S \quad \epsilon = K S \quad (2-5)$$

حيث K ثابت وتساوى $\frac{1}{E}$

$$\therefore \epsilon = \frac{1}{E} S$$

حيث E معامل ينج، وأيضا

$$S = E \epsilon$$

وتبلغ قيمة ينج لأغلب الصخور 10^{10} - 10^{12} دايين/سم².

4.2.2 نسبة بواسون (σ) *Poisson's ratio*:

هي نسبة بين الإنفعال العرضي للإنفعال الطولي.

$$\sigma = \frac{\frac{\Delta W}{W}}{\frac{\Delta \ell}{\ell}} = \frac{\Delta W}{W} \times \frac{\ell}{\Delta \ell} \quad (2-6)$$

لاتزيد هذه النسبة عن 0.5 وهي لأغلب الجوامد المرنة في حدود 0.25.

5.2.2 الصلابة أو معامل القص (μ) *Rigidity or shear modulus*:

$$S_{sh} = \mu \phi \quad (2-7)$$

حيث μ الصلابة أو معامل القص ولأغلب المواد فإن μ عدديا حوالى نصف E (معامل ينج).

6.2.2 المعامل الحجمي والكبس (β) *Bulk modulus and compressibility*:

إذا تعرض جسم ذا حجم (V) إلى إجهاد ضغط متساوى في جميع الجهات فإن حجمه يقل بكمية ΔV

$$\beta = \frac{S}{\Delta V / V} \quad \text{(المعامل الحجمي)} \quad (2-8)$$

7.2.2 العلاقة بين ثوابت المرونة *Relation between Elastic Constants*:

$$\beta = \frac{E}{3(1-2\sigma)} \quad \& \quad \mu = \frac{E}{2(1+\sigma)}$$

$$E = \frac{6\beta\mu}{3\beta+\mu} \quad \& \quad \sigma = \frac{3\beta-2\mu}{3\beta+2\mu}$$

حيث μ = معامل القص & β = المعامل الحجمى

σ = نسبة بواسيون & E = معامل ينج

8.2.2 الموجات المرنة Elastic Waves:

$$P = s \sin \frac{2\pi}{\lambda} (X - Vt)$$

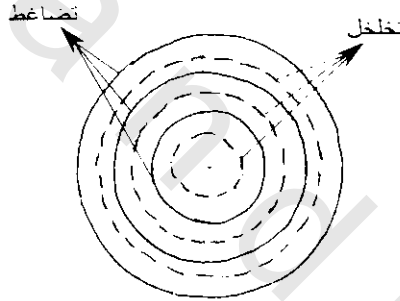
وهذه تمثل نوع الذبذبة لحركة هرمونية بسيطة.

$$\lambda = \frac{V}{\nu} \quad \text{حيث}$$

حيث λ الطول الموجى
 ν التردد $= \frac{1}{T}$ (الزمن)

V السرعة

ولهذه الموجة نوعان (شكل 3-2)



شكل (3-2)

1.8.2.2 الموجة التضاغطية Compressional wave:

وفيه تتحرك جزيئات المادة فى اتجاه انتشار الموجة أو بزاوية مقدارها 180° فى صورة تضاغطية وتخلخليه وهذه الموجة هى المستخدمة فى دراسة التقيب الزلزالى (الطريقة الانكسارية والانعكاسية). وتقدر هذه الموجة بمعاملات المرونة كالاتى:

$$V_p = \sqrt{\frac{\beta + 4/3\mu}{\rho}} = \sqrt{\frac{E}{\rho \left(1 + \frac{2\sigma^2}{1 - \sigma - 2\sigma^2} \right)}} = \sqrt{\frac{E}{\rho (1 - 2\sigma)(1 + \sigma)}} \quad (2-9)$$

حيث ρ = الكثافة (مثل الموجودة فى 2-10)

2.8.2.2 الموجة العرضية Transverse Wave:

وفيهما تتحرك جزيئات المادة على اتجاه عمودى على اتجاه انتشار الموجة (وتسمى الموجة القصية أو الهدمية (shear or destroyed waves)).

$$V_T = \sqrt{\frac{\mu}{\rho}} = \sqrt{\frac{E}{\rho} \left(\frac{1}{2(1+\sigma)} \right)} \quad (2-10)$$

$$\frac{V_p}{V_T} = \sqrt{\frac{\beta}{\mu} \frac{4}{3}} = \sqrt{\frac{1-\sigma}{1/2-\sigma}}$$

$$\left(\frac{V_p}{V_T} \right)^2 = \frac{2(1-\sigma)}{(1-2\sigma)}$$

$$\therefore \frac{V_p}{V_T} = \frac{2}{1}$$

وبطرح المعادلة (2-10) من (2-9)

$$V_p^2 - 4/3 V_T^2 = \frac{\beta}{\rho} \quad (2-11)$$

ويلاحظ أن الموجه الطويله دائما أكبر من الموجه العرضية فى نفس الوسط. ويسمى هذين النوعين من الموجات بالموجات الجسمية (body waves).

3.8.2.2 الموجات السطحية Surface waves:

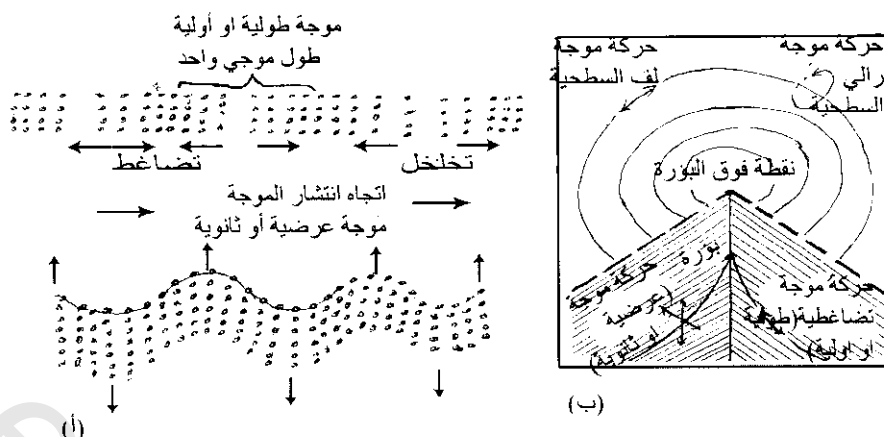
وهى تصاحب الموجتين السابقتين (التضاغطية والعرضية وهما):

أ- موجه رالى Rayleigh waves:

وتتميز هذه الموجه بأن سعة حركتها تتناقص أسيا مع العمق أسفل السطح. وسرعة هذه الموجه أبطأ من الموجات الجسميه بحوالى $\frac{9}{10}$ من الموجه العرضية فى نفس الوسط. هذا النوع من الموجات غالبا ماتخفى الإنعكاسات فى التسجيلات السيزمية التى نحصل عليها فى الإستكشاف البترولى، ويقوم السيزمولوجيين بتحليل تشتت هذه الموجات على تسجيلات الهزات الأرضية لاستنتاج كثير من المعلومات المفيدة الخاصة بالطبقات فى الجزء العلوى من القشرة الأرضية.

ب- موجات لف Love Waves:

تلاحظ هذه الموجات فقط عندما يوجد طبقة ذات سرعة منخفضة تعلو وسط فيه الموجات المرنة ولهذا يكون لها سرعة عالية وحركة هذه الموجه أفقيه وعرضيه، ولهذا لاتسجل هذه الموجه فى البحث والتنقيب السيزمى وتستخدم فى الزلازل لدراسة الطبقات القريبة من سطح الأرض. شكل (4-2) يمثل نموذج للموجات السابقة وحركة موجه طويله أوليه.

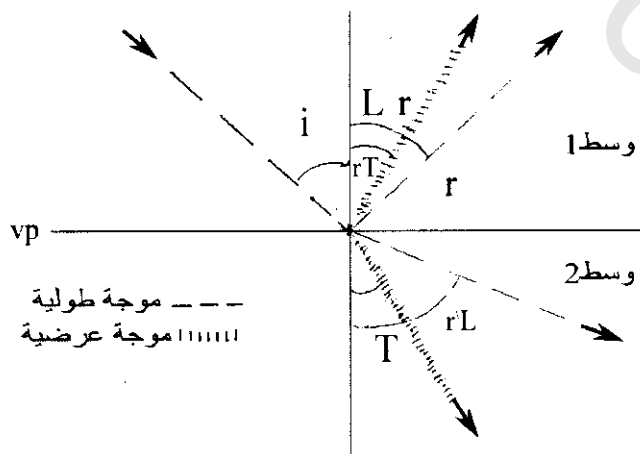


شكل (4-2) أ) حركة الجزيئات في الموجات الطولية والعرضية. ب) نموذج للموجات الجسمية والسطحية متولدة من زلزال

4.8.2.2 الموجات المنعكسة والمنكسرة :Reflection and Refraction Waves

تمتد الموجات الطولية (التضاغطية) L والموجات العرضية T بانتظام في الأوساط المتجانسة في جميع الاتجاهات عن مصدر الاضطراب وتنتقل الموجة للأمام بشكل كروي مركزه عند المصدر ومتعامد على اتجاه انتشار الموجة ونقل طاقة الموجة بسرعة مع مربع المسافة بينما تقل السعة مباشرة في تناسب مع مسافة الانتقال. وعندما تصطدم الموجة على سطح لوسط ثان له سرعة مرنة مختلفة فإن جزء من الطاقة ينعكس وجزء ينتقل بانكسار إلى هذا الوسط. ويحكم هذا الانعكاس والانكسار قوانين هندسة البصريات، وعند المسافة الكبيرة من المصدر فإن طرق الموجات يكون إشعاعيا، وتخضع الموجات في هذه الحالة لقانوني هايجن Huygenís و فير مات Fermat.

بالرغم من هذا التشابه في إنتشار الموجات الضوئية والسميزمية فإن العمليات الحقيقية للإنعكاس والإنكسار للموجات السميزمية تكون قليلا أكثر تعقيدا من الموجات الضوئية، وعامة فأى موجة طولية L أو عرضية T تصطدم عند الحد الفاصل بين وسطين سوف يتولد موجتين منعكستين L و T وكذلك موجتين منكسرتين L و T وباستعمال (الترقيم أو العلامات) لشكل السرعة V فإن قوانين الإنعكاس والإنكسار تعطى بواسطة قانون Snellis. شكل (٢-٥)



شكل (2-5): انعكاس وانكسار لموجه طوليه ساقط على حد فاصل بين وسطين بسرعات مختلفة. عامة يتولد أربع موجات عند الحد الفاصل.

$$\frac{\sin i_L}{V_{L_1}} = \frac{\sin r_L}{V_{L_1}} = \frac{\sin r_L}{V_{T_1}} = \frac{\sin r_L}{V_{L_2}} = \frac{\sin r_T}{V_{T_2}}$$

حيث $i =$ زاوية السقوط & $r =$ زاوية الانعكاس

$\bar{r} =$ زاوية الإنكسار & $v =$ السرعة

وإذا كانت موجة السقوط والانعكاس من نفس النوع فإن زاوية السقوط والانعكاس تتساوى أى $i_L = r_L$. وعندما تسقط الموجة الطولية عموديا على الحد الفاصل (أى $i_L = 0$ صفر) فإنها لا تنتج موجات ثانوية منعكسة أو منفذة وتتحول كل الطاقة إلى موجات أولية منعكسة ومنكسرة وهذه الخاصية تجعل الموجة الطولية L عند قرب الإسقاط العمودى يمثل قاعدة سائدة فى البحث السيزمى. وفى هذه الحالة فإن معامل الإنعكاس وهو النسبة بين السعة للموجة المنعكسة إلى الموجة الساقطة وتعطى قيمة هذا المعامل بواسطة

$$\mu_n = \frac{A_r}{A_i} = \frac{\rho_2 V_2 - \rho_1 V_1}{\rho_2 V_2 + \rho_1 V_1}$$

حيث $\mu_n =$ معامل الإنعكاس

$A_r =$ سعة الموجة المنعكسة

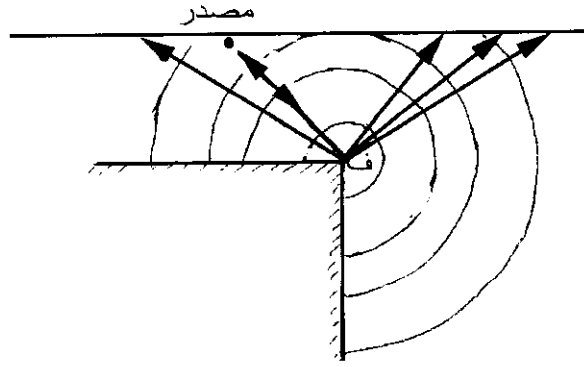
$A_i =$ سعة الموجة الساقطة

$\rho =$ الكثافة & $v =$ السرعة

ويظهر من هذه المعادلة أن معامل الإنعكاس يعتمد على التباين فى الممانعة السمعية (الناتجة من الكثافة وسرعة الموجة الطولية L) على جانبي الحد. وإذا كانت $\rho_1 V_1$ أكبر من $\rho_2 V_2$ فإن μ_n تكون سالبة ويتحول طور الموجة المنعكسة إلى 180° وينعكس التضاعط إلى تخلخل والعكس بالعكس. وعمليا ماتزيد السرعة بزيادة العمق ($\rho_1 V_1 < \rho_2 V_2$) فى هذه الحالة تكون أغلب الإنعكاسات القوية موجبة أى بدون تغير فى طورها. وهناك حالات خاصة مثل التركيبات الملحية فى الصخور الرسوبية حيث تزيد السرعة وتقل الكثافة فى مثل هذا التناسب فإن $\rho_1 V_1 \approx \rho_2 V_2$ وفى مثل هذه الحالات لا يلاحظ إنعكاس. ولذلك فإن الممانعة الصوتية تكون ذات أهمية كبيرة فى الدراسات الإنعكاسية السيزمية. فإذا كانت الممانعة الصوتية فى أحد الأوساط ($\rho_1 V_1$ أو $\rho_2 V_2$) تساوى صفر فإن $\mu_n = \pm 1$ وتنعكس كل الطاقة فى أى حالة ولا يوجد انتقال للموجات (أى إنكسار)، مثل هذا الوضع يحدث بواسطة سطح أرضى حر. إذا وضع المصدر السيزمى فى الهواء ($\rho_1 V_1 = 0$ صفر) فغالبا ما تنعكس الموجة الساقطة للخلف مع عدم فقد الطاقة ولا تغير فى الطور. وعند وضع المصدر تحت الأرض فإن الموجة المنعكسة من السطح الحر تكون كافية ومتساوية (أى تقريبا تنعكس كل الطاقة) ماعدا تغير الطور عند 180° .

والوضع الآخر عندما تقترب μ_n للواحد وتحدث عندما تسقط الموجة على سطح المادة الصلبة عند الزاوية الحرجة (أى زاوية السقوط التى تكون عندها زاوية الإنكسار 90°)، مثل هذا التراكم القوى فى سعة الإنعكاس بالقرب من الزاوية الحرجة تسمى مدى زاوية الإنعكاس (wide-angle reflection (WAR، ويستعمل العمق السيزمى هذه الظاهرة لتخطيط الإنعكاسات العميقة مثل سطح التماس بين القشرة والستار.

عندما يمثل حد سطح الإنعكاس كسر حاد (مثل فالق أو منحدر جرف) فإن مقدمة الموجة الساقطة تتشتت عند الركن الحاد لهذا السطح (شكل ٢-٦)



شكل (2-6): تشتت مقدمة الموجة من الحافة الحادة (ف).

وهذه الظاهرة تشبه نظيرتها فى البصريات ويعمل الركن الحاد كمصدر لتشتت الموجة. وتقدم الموجات المشتتة منفعة هامة كدليل للفوالق الصغيرة والتي لاكتشف بسهولة بواسطة تقنية الانعكاس.

عندما تصطدم الموجة الساقطة بالحد الفاصل فإن جزء من الطاقة ينكسر خلال هذا الحد، إذا كانت الطبقة أسفل هذا الحد ذات سرعة عالية (شكل 2-5) فإنها تعطى زاوية إنكسار بواسطة قانون سنل Snell's law

$$\frac{\sin i}{\sin r} = \frac{V_1}{V_2}$$

وعندما تكون زاوية الإنكسار 90° وحيث $1 = \sin 90^\circ$ فإن

$$\therefore \sin i = V_2/V_1 \quad \frac{\sin i}{1} = \frac{V_1}{V_2}$$

وتسمى زاوية السقوط i فى هذه الحالة بالزاوية الحرجة. وفى هذه الحالة أيضا يكون الإنكسار إنكسارا حرجا. وعندما يكون الإنكسار الحرج على طول أو موازى للحد الفاصل فإنه يكون قاعدة هامة فى طريقة الإنكسار السيزمى أى $i_c = \sin^{-1} V_1/V_2$ ، وعندئذ تسير الموجة الحرجة على طول الحد الفاصل بسرعة V_2 أى بسرعة الطبقة تحت الحد الفاصل، ولكن خلال هذا الانتشار فإن هذا الحد يتعرض لإجهاد مذبذب وكل نقطة عليه ترسل موجة ثانوية ولذلك فإن الطاقة تظهر مرة أخرى فى الطبقة العليا على طول إشعاعات بزاوية i_c زاوية السقوط الحرجة الأصلية (critical angle) وتتبع مرة أخرى قانون سنل. مثل هذه الإزديواجية للموجة المنكسرة تعطى معلومات عن عمق الحد الفاصل فى حالات تشمل تغير السرعة. وهذه الخاصية ذات أهمية فى توضيح وضع القشرة التى تعلو الستار ذات السرعة الأعلى من القشرة.

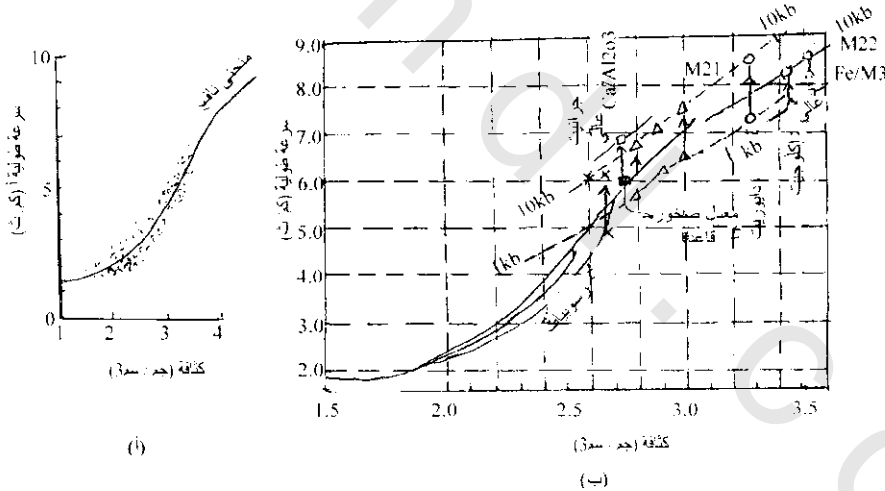
9.2.2 السرعات السيزمية فى الصخور Seismic Velocities in Rocks

فى تطبيقات الطرق السيزمية لحل المشاكل الجيولوجية فإن من أهم خواص الصخور تكون إنتشار سرعة الموجات السيزمية وخاصة الموجات الطولية والتي تكون أسرع وأول ما تسجل. وقد لوحظ مسبقا أن خواص الإنعكاس والإنكسار تعتمد أولا على فوارق السرعة عبر الحد. ولهذا فإن معرفة سرعات الصخور تكون أساس التفسير السيزمى، وتعتمد سرعة الصخور السيزمية على معاملات المرونة والكثافة، ومن الممكن حساب السرعات من قياسات معاملات المرونة لعينات صخرية. وربما تختلف نتيجة هذه القياسات للسرعة عن قياسات السرعة للصخور فى الحقل، وهذه تحدث فى الصخور الرسوبية والتي فيها تتأثر السرعة كثيرا بالعمق

والمسامية وتشبع السوائل بها. وتعتبر تغير السرعة في الصخور أكبر كثيرا من تغير كثافة الغازات والسوائل ويبين جدول (2-2) السرعات الطولية لبعض الصخور، وتعطى هذه النتائج فكرة عامة عن مدى السرعة المتوقعة عند المسح السيزمي. وغالبا ما توضح السرعات السيزمية التساوي (اتجاهي) في التكوينات الطباقية، فمثلا في الطين الصفحي والارتواز تكون السرعة على طول اتجاه التطابق أكبر تقريبا بـ 15% - 20% عن السرعات العمودية على هذا الاتجاه.

جدول (2-2)

نوع المادة	V_L (م/ث)	نوع الصخور	V_L (م/ث)	نوع الصخر	V_L (م/ث)	نوع الصخر
هواء	3000	رسوبيات (غرين، رمل)	1700-300	إردواز (طين صفحي متحجر)	5000-2400	بازلت
ماء	1500-1400	ركام تلاجت	2600-1500	حجر جيري ونولوميت انهاليريت	6000-4000	جابر
ثلج	4000-3000	حجر رملي	4500-2000	صخر رملي جارنيت ونيس	5500-4000 6200-5000	برودينوتيت



شكل (7-2): (أ) العلاقة بين سرعة الموجه الطولية والكثافة لمدى واسع للصخور الرسوبية ويلاحظ أن امتداد المنحنى يمثل الصخور الصلبة (After Nafe-Drake 1963).

(ب) العلاقة بين سرعة الموجه الطولية والكثافة للصخور الرسوبية والقاعية (After Nollard, 1975).

وأيضاً فإن تأثير التضاضط أو التحجر هام في الصخور الرسوبية والتي تعتمد فيها السرعة على العمق، ويوضح شكل (7-2) أ، ب العلاقة بين الكثافة والسرعة الطولية V_L ، ويمكن استخدام هذه العلاقة في تفسير المسح الجاذبي.

3.2 علم الزلازل وتركيب الأرض :Seismology and the Earth's Structure

من الصعب معرفة تركيب وتكوين الأرض مباشرة ولكن يمكن الإشارة لذلك فقط من دلالات غير مباشرة، ومن ضمن هذه الدلالات دراسات أمواج الزلازل التي تنتقل إلى داخل الأرض ومسار هذه الأمواج تعمل كاختبارات أشعة X، وهي تعطي معلومات عن تركيب وخواص الأرض الداخلية. وتعطي أيضا تسجيلات الانفجارات النووية معلومات وثيقة بالإضافة إلى المعلومات التي تمدنا بها مسجلات الزلازل. بالإضافة لذلك فإن تسجيلات الانفجارات الكيميائية الكثيرة بالإشتراك مع المعلومات الجيولوجية عن الصخور السطحية زادت من معلوماتنا عن الغلاف الخارجى للأرض. ومن أهم مسببات الزلازل الفوالق، البراكين والانزلاقات الأرضية.

1.3.2.2 مشاهدات نتائج الزلازل Observation data on earth

1.1.3.2 البؤرة Focus or hypocenter

عبارة عن نقطة مفردة عادة تحت سطح الأرض، والتي فيها يحدد اضطراب خلال أو تحت القشرة الأرضية.

2.1.3.2 أنواع الزلازل The type of earthquakes

على أساس عمق البؤرة قسمت الزلازل لثلاثة أنواع:

أ) زلزال عميق Deep earthquake:

وفيه يكون عمق البؤرة أكبر من 300 كم.

ب) زلزال متوسطة العمق Intermediate earthquake:

وفيه تكون البؤرة ذات عمق ما بين 70-300 كم.

ج) زلزال ضحل Shallow earthquake:

وفيه يكون عمق البؤرة يساوى أقل من 70 كم.

3.1.3.2 نقطة فوق البؤرة Epi center

هى نقطة على سطح الأرض عمودية فوق البؤرة.

4.1.3.2 أمواج الزلازل Earthquake wavs

أ- الموجات الأولية (P.W.) Primary waves:

هى موجات طوليه ذات سرعات ما بين 5.5 - 13.8 كم/ث وسميت أوليه لأنها أول ما يسجل بواسطة أجهزة قياس الزلازل.

ب- الموجات الثانوية (S.W) Secondary waves :

هى موجات عرضية تبلغ سرعتها تقريبا نصف سرعة الموجات الطولية وهى ما بين 3.2-7.3 كم/ث²، وسميت ثانوية لأنها ثانى مايسجل بواسطة أجهزة قياس الزلازل وتسمى أيضا بالموجات الهدمية destroyed waves لأنها هى المسببة للأعمال الهدمية المصاحبة للزلازل، ويرجع أهميتها أيضا فى دراسة التركيب الداخلى للأرض حيث أنها تمر فى القشرة والستار ولا تمر فى قلب الأرض (لأنها لا تمر فى الغازات والسوائل). والموجات الأولية والثانوية تخرج من البؤرة وتسمى بالموجات الجسمية body waves لأنها تسير فى داخل الأرض.

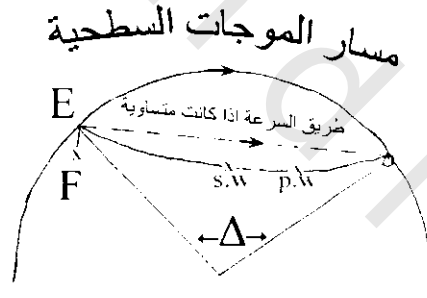
ج- الموجات السطحية Surface waves :

وتسمى أيضا بالموجات الطويلة long waves حيث أنها تتكون من تضاعف وتخلل وتسير الجزيئات فى اتجاه إنتشار الموجه وتتكون هذه الموجات من:

(i) موجات رالى Rayliegh waves.

(ii) موجات لف Love waves.

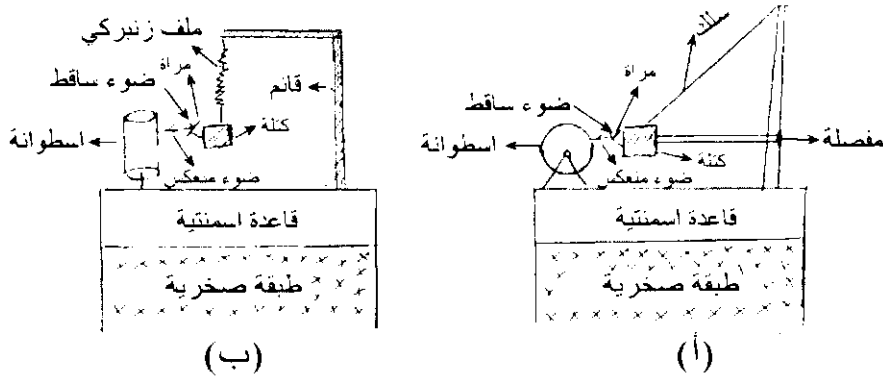
وهذه الموجات تخرج من نقطة فوق البؤرة وسرعتها تتراوح ما بين 4 - 4.4 كم/ث . شكل (2-8) يوضح مشاهدات الزلازل.



شكل (2-8) رسم تخطيطى لموجات أولية وثانوية و سطحية من زلزال بؤرته F ونقطة فوق البؤرة E ، محطة الرصد ، Δ زاوية نقطة فوق البؤرة.

5.1.3.2 سجل الزلزال (مرجاف أو مرسمه الزلزال) Seismograph :

تحتوى أى محطة زلازل على ثلاثة وحدات من أجهزة التسجيل، إثنين منهم متعامدين كل على الآخر (أحدهما فى إتجاه شمال-جنوب والآخر فى إتجاه شرق-غرب) لتسجيل المركبات الأفقية للحركة. والوحدة الثالثة لتسجيل المركبة الرأسية للحركة. شكل (2-9أ،ب) يوضح وحدتين تسجيل إحداهما لتسجيل المركبة الأفقية والآخر لتسجيل المركبة الرأسية.



شكل (9-2): (أ) وحدة تسجيل مركبة أفقية. (ب) وحدة تسجيل مركبة رأسية

طريقة عمل أجهزة التسجيل:

أولاً: بالنسبة لتسجيل المركبة الرأسية، في حالة عدم حدوث زلزال فإن الضوء المنعكس يرسم خط ضعيف الذبذبة يقرب للخط المستقيم على الورقة الضوئية المثبتة على الإسطوانة والتي تكمل دورتها كل 6 أو 12 أو 24 ساعة تبعاً لتصميم الجهاز، وعند حدوث زلزال فإن الكتلة تتذبذب لأعلى وأسفل ويرسم الضوء الساقط الموجات الزلزالية على الورقة الضوئية وتتوقف سعة وشدة الموجه على قوة الزلزال المحدث للحركة (شكل 9-2: أ).

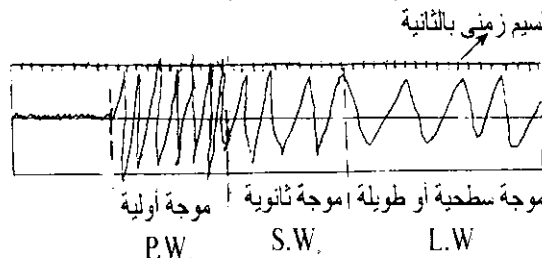
ثانياً: بالنسبة لتسجيل المركبة الأفقية: نفس فكرة عمل تسجيل المركبة الرأسية ولكن في هذه الحالة ستكون حركة الكتلة أفقية حيث تسمح المفصلة المتصلة بالعمود الحامل للكتلة بالحركة الأفقية وبالتالي فإن الضوء المنعكس يرسم موجات زلزالية تتوقف سعتها وشدتها على قوة الزلزال المحدث للحركة (شكل 9-2: ب).

6.1.3.2 صفحة مرسمة الزلازل (صفحة المرفاج) Seismogram:

وهي عبارة عن صفحة فوتوغرافية للأجهزة الضوئية أو صفحة ورقية للأجهزة الراسمة مباشرة. وعند حدوث زلزال ترسم مراسم أجهزة التسجيل على هذه الصفحة خطوط زجاجية مقسمة تبعاً لأنواع الموجات الزلزالية المذكورة سابقاً إلى ثلاثة أجزاء:

- (أ) الجزء الأول يمثل الموجات الأولية.
- (ب) الجزء الثاني يمثل الموجات الثانوية.
- (ج) الجزء الثالث يمثل الموجات السطحية.

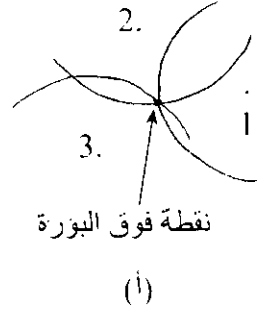
ويوضح شكل (10-2) صفحة المرفاج (مرسمة الزلزال).



شكل (10-2): صفحة مرسمة الزلزال سيزموجرام

2.3.2 تحديد نقطة فوق البؤرة Location of epicenter:

من اختلاف الزمن بين الموجات الأولية والموجات الثانوية يمكن حساب المسافة بين المحطة ونقطة فوق البؤرة. وبواسطة تحديد هذه المسافات لثلاثة محطات ترسم ثلاث دوائر (ترسم بمقياس معين بالنسبة للمسافة الحقيقية) أنصاف أقطارها هذه المسافات ونقط تلاقى هذه الدوائر هي نقطة فوق البؤرة شكل. وإذا لم تتقاطع هذه الدوائر في نقطة فيرسم مثلث في مساحة الواقعة بين هذه الدوائر ونقطة تلاقى منتصفات أضلاع هذا المثلث تمثل نقطة فوق البؤرة (شكل 2-11أ، ب).



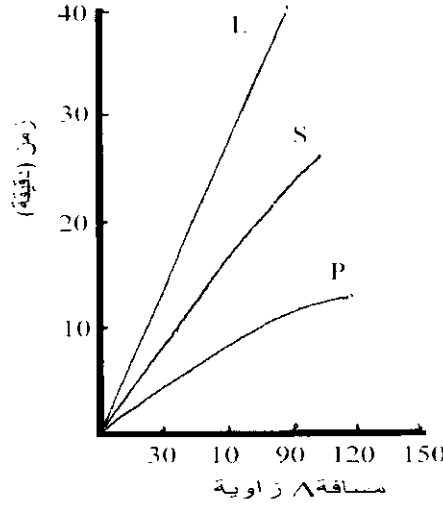
شكل (2-11) تحديد
نقطة فوق البؤرة.

3.3.2 منحنيات فترة (انتقال) الزمن Travel Time Curves:

عندما تحدث زلازل كبيرة فإن طور الموجات السيزمية المستقبلية في محطات الزلازل تنتشر حول الأرض، والخطوة التالية هو التحقق من وصول مختلف الأطوار للموجات الأولية والثانوية والسطحية عند المحطات المختلفة. وبمقارنة التسجيلات من المحطات المختلفة يمكن تحديد الأماكن والزمن التقريبي، ويلاحظ أن المحيطات القريبة هي التي تسجل الوصول أولاً في أطوار كبيرة، وبهذه الطريقة ومن هذه التسجيلات يمكن إنشاء منحنيات فترة الزمن للموجات المختلفة (شكل 2-12) وتعتبر مثل هذه المنحنيات أحسن الطرق لتحديد الزمن ومسافة نقطة فوق البؤرة. وفترة الزمن بين الموجه الأولية والثانوية له علاقة بالمسافة بين المرصد والزلازل (زاوية نقطة فوق الزلازل Δ شكل 2-8). وأحسن مجموعة لهذه المنحنيات موجودة في جداول أنشئت بواسطة Jeffreys and Bullen 1967. وباستعمال فترات الزمن بين P & S من عدة مراصد يمكن تحديد موقع الزلازل بدقة كما ذكر سابقاً.

4.3.2 الكثافة ومعاملات أخرى في الأرض Density and other parameters in the earth:

لاشتقاق نماذج الكثافات المختلفة للأرض، استخدم Bullen 1963 الطريقة الغير مباشرة آدم وويليامسون (Adms-Williamson) وهذه الطريقة تفترض أن الكثافة تزيد بالعمق بسبب الكبس الأديباتيكي الذاتي تحت الضغط الهيدروستاتيكي. وباعتبار تماثلية كروية الأرض التي كثافتها p دالة لنصف القطر r



شكل (12-2)

$$\therefore \frac{d\rho}{dr} = \frac{d\rho}{dP} \frac{dP}{dr} \quad (2-12)$$

حيث P الضغط الهيدروستاتيكي.

وحيث الكثافة والحجم لها علاقة عكسية $\left(\frac{d\rho}{\rho} = -\frac{dv}{dv}\right)$ وأن المعامل الحجمى K له علاقة بـ $\frac{dv}{v}$

$$\therefore \frac{d\rho}{dP} = \frac{P}{K} \quad (2-13)$$

وعلاوة على الضغط المتسلسل من خلال سمك الغلاف dr يكون

$$dP = -\rho_r g_r dr \quad (2-14)$$

حيث g عجلة الجاذبية والتي لها علاقة بكتلة الأرض M وثابت الجاذبية γ بالمعادلة

$$g_r = \frac{V}{r^2} \int_0^r 4\pi \rho r^2 dr = \frac{\gamma M_r}{r^2} \quad (2-15)$$

وبالتعويض بالمعادلة 2, 3, 4 بالمعادلة 1 ينتج

$$\frac{d\rho}{dr} = -\left(\frac{\rho}{K}\right) \frac{\gamma M_r \rho_r}{r^2} \quad (2-16)$$

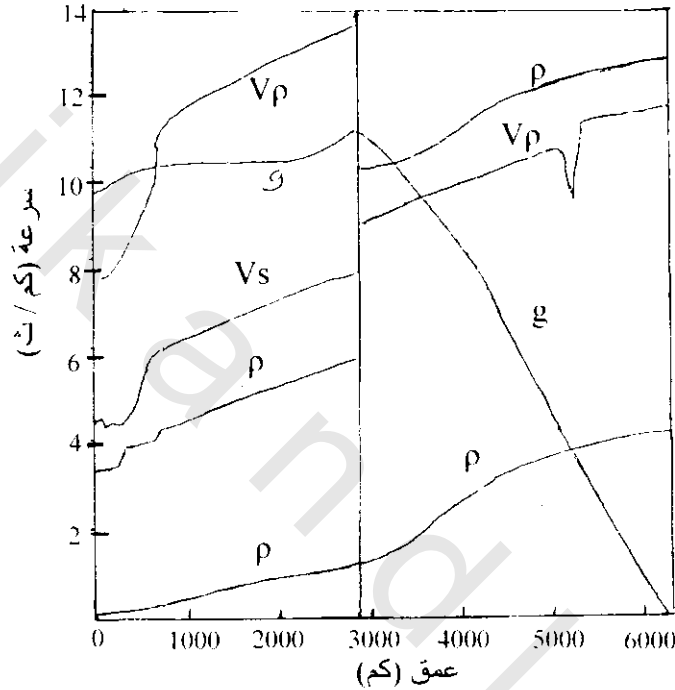
وبمساعدة العلاقة بين V_p , V_s ونسبة $\frac{K}{\rho}$ من المعادلة الخاصة بهما $\left(V_p^2 - \frac{4}{3}V_s^2\right) = K/\rho$

$$\frac{K}{\rho} = V_p^2 - \frac{4}{3}V_s^2 \quad (2-17)$$

وبالتعويض بالمعادلة (2-17) فى المعادلة (2-16)

$$\frac{dp}{dr} = \frac{-\gamma \mu_r \rho_r}{r^2 \left(V_p^2 - \frac{4}{3} V_s^2 \right)} \quad (2-18)$$

وهذه تمثل معادلة آدم ووليمسون Adams-Williamson، ويشير الحرف r اللاصق بأن القيم V_p , V_s , ρ الخ تحدث عند نصف قطر r . من المعادلة (2-14)، (2-15) يمكن استنتاج توزيع الكثافة والجاذبية والضغط فى الأرض ويوضح شكل (2-13) هذا التوزيع تبعاً لنموذج (هادن وبولن 1964, Haddon and Bullen).



شكل (2-13): نموذج للخواص الطبيعية داخل الأرض P الضغط ب 10^7 داي/سم²، ρ الكثافة ب 10^3 كجم/م³، g الجاذبية م/ث²، V_p سرعة الموجات الطولية والثانوية بالتوالى بالكم/ث. (بعد هادن وبولن 1964).

5.3.2 شدة الزلزال Magnitude of earthquake M:

وضع ريختر (Richter 1935) مقياس لشدة الزلزال وهو ذات استخدامات عملية كبيرة فى اقرار القياس الكمي لطاقة الإنفعال المرن المنطلقة لأى زلزال. وتحدد شدة ريختر كالاتى:

$$M = \log_{10} A \quad (\text{شدة الزلزال})$$

حيث A أكبر قياس سعة* بالميكرون مسجل بواسطة نموذج معيار وود وأندرسون Wood-Anderson لفترة قصيرة للمرجاف على بعد 100 كم من نقطة فوق البؤرة. وأنشأت كذلك جداول لعدة سعات (amplitudes) عديدة مع المسافات المختلفة ليستطيع المراقب لمسافات المحطات استنتاج قيم الشدة العيارية.

* المسجل على السيزموجرام

وتبعاً لمقياس ريختر** فإن قيمة الشدة (M) يمكن مقارنتها على وجه التقريب مع المراقبات السيزمية الكبيرة فمثلاً $M=2$ أقل هزات يشعر بها الإنسان، $M=5$ هزات مسببة لتحطيم الإنشاءات الضعيفة، $M>6$ هزات مدمرة.

6.3.2 طاقة الزلازل Energy of Earthquakes:

من أهم استخدامات شدة الزلزال M هو تقدير الطاقة المصاحبة للزلازل ولهذا اقترح (Bath 1966) علاقة رياضية كالآتي:

$$\log_{10} E (\text{جول}) = 4.24 + 1.44 M$$

وباستخدام هذه العلاقة وجد أن الطاقة المصاحبة لأكبر زلزال حدث في القرن العشرين في كولومبيا 1906 بشدة مقدارها 8.9 ريختر كانت 10^8 جول والتي تعادل الطاقة المنطلقة من 300 مليون طن قنابل وعادة فإن متوسط ما ينطلق من طاقة زلزالية سنوياً تعادل 10^{18} جول/سنة وأغلبها تنتج من هزات كبيرة، وأغلب هذه الهزات تحدث عند أعماق ضحلة عادة أقل من 30 كم لأن تردد الهزات المتوسطة العمق والعميقة عامة تقل بزيادة العمق، ولم تعرف هزات حدثت على عمق أكثر من 720 كم أي عند الأجزاء العميقة للأرض حيث تكون عديمة السيزمية تماماً.

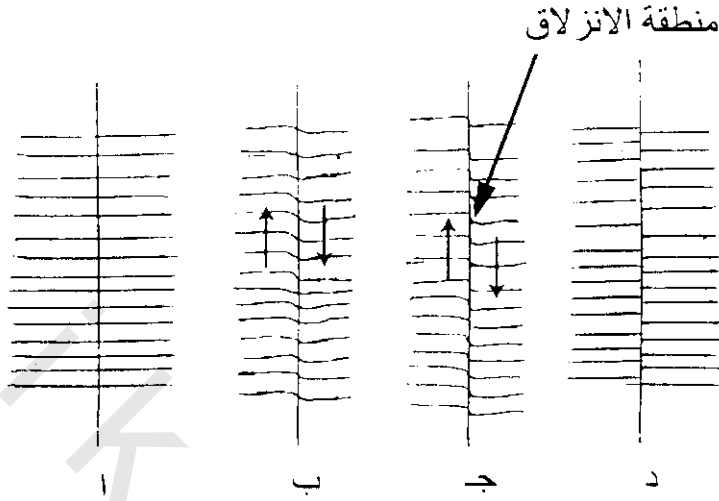
7.3.2 ميكانيكية الزلازل Earthquake Mechanisms:

من أكثر معلوماتنا عن الأحداث التي تحدث بجوار بؤرة الزلازل تأتي من نظرية رجوع أو رد المرونة التي صيغت بواسطة H.F. Reid بعد زلزال سان فرانسيسكو الكبير 1906. وتنتسب النظرية لتزايد تجمع طاقة الانفعال المرن في المناطق التكتونية (حركة القشرة الأرضية)، وفجأة تنطلق الطاقة المخزونة بواسطة التصدع عندما تزيد قوة الكسر شكل (2-14). وعادة ما يصاحب الزلازل الضحلة الكبيرة تشوهات أساسية (تصدع) للأرض عبر مئات الكيلومترات والتي تدل على حجم الصخور التي منها انطلقت الانفعالات المرنة.

إذا كانت الإزاحة (انزلاق) شكل (2-14) في اتجاه أفقي فإن الإنزلاق يسمى إنزلاق متجه طبقى -strike dip، وإذا كانت الإزاحة رأسية أو شديدة الانحدار فيسمى إزاحة مائلة dip-slip وهناك فوالق تجمع بينهما.

وتصور الكسر والتفلق المفاجئ يكون مقبولا عند تطبيق نظرية رد المرونة أو رجوع المرونة للهزات الضحلة. ونظرية الكسر القصي للتفلق تواجه صعوبات في تفسير ميكانيكية البؤرة للأحداث العميقة لأن الأعماق أسفل عشرات الكيلومترات تزيد فيها مقاومة الاحتكاك كبيراً لئلا تزلزل احتكاكياً جاف يحدث. ولتفسير ذلك يتطلب نظرية أخرى بأن ميكانيكية البؤرة في الحقيقة ماهي إلا تفلق ممكن حدوثه عند أعماق بواسطة وجود ضغط عالي لسوائل قليلة والتي تقلل مقاومة الاحتكاك للتزحلق بينما تترك الأجهاد القصي بدون تأثير. ومن هذه العلاقة لهذه النظرية ماهو ملاحظ لنشاط الزلازل الضحلة المحلية بعد الضغط العالي للسوائل التي تضخ في أبار الصرف، وهذا ما تفسره هذه النظرية في القشرة الأرضية حيث أكثر الصخور في الأجزاء الضحلة من القشرة

تحتوى مياه محبوسة و على أعماق ينطلق منها الماء بواسطة عمليات نزع الماء. وأيضا فى الستار فإن جزء الصهير من مادته ربما ينتج سوائل قليلة والتي تسلك كثيرا نفس الطريقة.



شكل (2-14): رسم كروى يوضح رد مرونة ميكانيكية مصدر زلزال عند H.F. Reid (بعد بنيوف 1964, Benioff)

وما زالت مشاكل الميكانيكية الفيزيائية المسببة للزلازل المتوسطة العمق والعميقة بعيدة عن التفسير، ولكن إهمال عدم التأكيدات يقابله وجوب معرفة نماذج الإزاحة عند أى بؤرة زلزال. وهذه المعلومة ذات أهمية فى دراسة الحركات السيزمية.

8.3.2 ديناميكية الفالق والحركات السيزمية: Faulting Dynamics and Seismotectonics

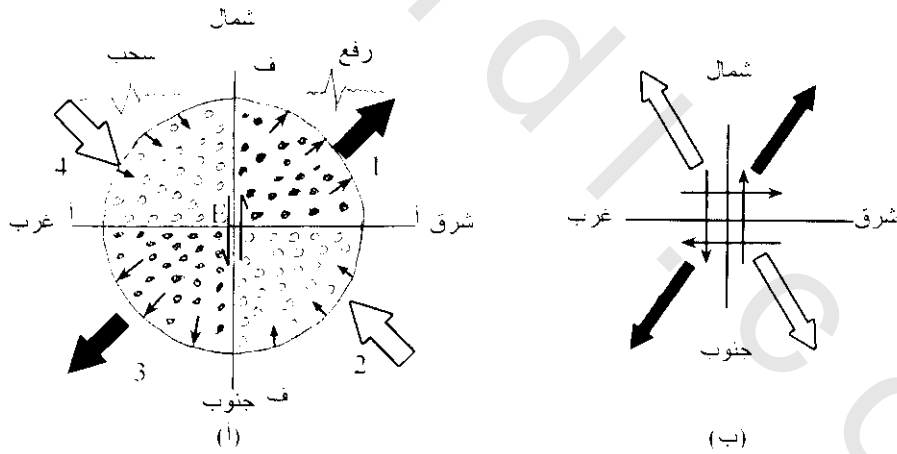
أكبر ظاهرة مصاحبة لأغلب الزلازل هى مستوى الفالق الذى عبره تتزحلق المواد المتجاورة. وفى عشرات السنين الحديثة نشرت طرق لتحديد اتجاه الفالق الذى سبب الزلزال وأيضا انزلاق هذا الفالق. وعادة فإن اتجاه الحركة الأولى للموجه الأولية المنتشرة من مركز الهزة تعطى معلومة عن ميكانيكية الهزة. فمثلا التوزيع السيزمى البادئ من نقطة مصدر نموذجى (مثل التى تنتج من الانفجارات الكيميائية والنووية) خلال إنتشارها فى وسط مرن متجانس فإنها تنتج ضغط متساوى (دفع) على المواد المحيطة فى جميع الإتجاهات. وفى هذه الحالة سيكون وصول أول موجه أوليه عبارة عن ضغط، وهذا يعنى أن إندفاع الجزيئات بعيدا عن المرصد فى جميع الأرباع أرباع (شكل 2-15). وفى حالة ما يكون مصدر الموجات الأولية فالق فإن توزيع أول نبضات الموجه الأولية تختلف فى المربعات.

والطريقة العادية لدراسة نموذج الإزاحة عند مركز الهزة (البؤرة) هو ملاحظة الحركة الأولى لوصول نبضات الموجه الأولية P_w المسجلة على ورقة التسجيل (ومن الواضح أن الزلازل الصغيرة تسجل فقط عند

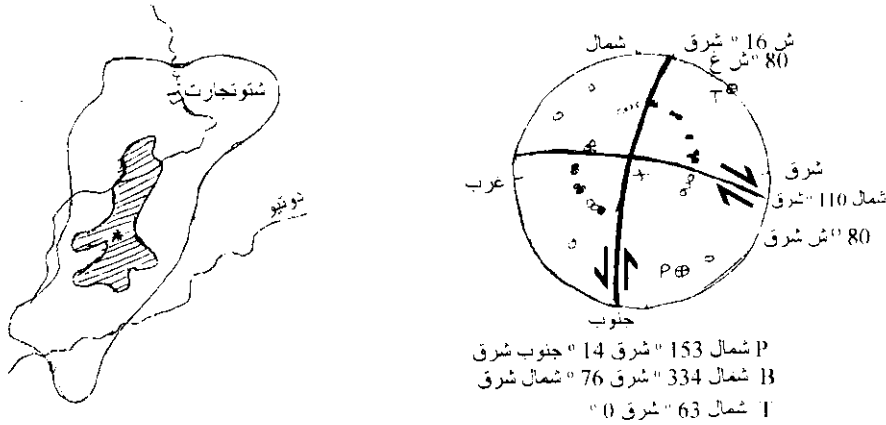
المحطات القريبة)، فإما أن تظهر النبضة الأولى عند كل محطة لـ P_w إما ضغط (دفع) وفى هذه الحالة يعطى للمحطة إشارة موجبة (+) أو تخلخل (سحب) وتعطى للمحطة فى هذه الحالة إشارة سالبة (-) وعندئذ ترسم هذه الإشارات على خريطة. ويوضح شكل (2-15) حالة افتراضية لتوزيع الحركات الأولى المصاحبة لحركة انزلاق متجه طبقي (strike-slip) على طول مضرب فائق شمال-جنوب فى المستوى الرأسى ف-ف' ويبين الشكل (15-2) أنه يمكن تقسيم توزيع الإشارات إلى أربع أرباع بحيث يكون توزيع الضغط والتخلخل متساوى ويلاحظ أنه يوجد أيضا مضرب انزلاق فائق فى اتجاه شرق-غرب فى مستوى إضافى $A-A'$.

ولتحديد اتجاه أكبر إجهاد أفقى (MHS) Maximum horizontal stress فهناك اختياريان للحل أحدهما الجيولوجيا الإقليمية للمساعدة فى تحديد هذا الإجهاد الأفقى والآخر باستخدام خرائط الخطوط السيزمية لتحديد مضرب الفائق.

ويوضح شكل (2-16) نموذج لهذا الحل لأن الشكل الإسقاطى فيه يفسر أن أول نبضة تضاغية فى المربعين شرق شمال شرق، غرب جنوب غرب (WSW, ENE) والتخلخل فى المربعين الآخرين واتجاه مستوى الفائق من الشكل الذى يوضح توزيع الخطوط السيزمية هو جنوب جنوب غرب - شمال شمال شرق (NNE-SSW) وهذا يدل على أن الحركة غالبا أفقية ويسارية. وقد وجد أن اتجاه أكبر إجهاد أفقى (MHS) التقريبي كما حدد من دراسة الحركة الأولى هو تقريبا شمال غرب - جنوب شرق (NW-SE) والتي تتفق مع متوسط اتجاه محور الضغط التكتونى للمنطقة.



شكل (2-15): (أ) ازدواج مفرد لميكانيكية الفائق. تسجيل الحركة الأولى للموجة الأولية P-W توضح توزيع نموذج توزيع تربيعى متشابه فى كل حالة. E = نقطة فوق البؤرة، ف - ف' = أثر مستوى الفائق، $A-A' =$ أثر مستوى إضافى، = ضغط، = تخلخل، \uparrow = تدل على اتجاه أكبر إجهاد أفقى. (ب) ازدواج مزدوج لميكانيكية الفائق



شكل (2-16): حل مستوى فائق زلزال جنوب ألمانيا (يناير 22، 1970) (شدته = 5.3). وقد أمكن الحصول على حلين من تحليل أول وصول الموجة الأولية يدل تساوى المنحنى السيزمي (الخط الثقيل) على أن مستوى الفائق له اتجاه شمال شمال شرق-جنوب جنوب غرب + نقطة فوق البؤرة • ضغط ، • تمديد (تخلخل) (بعد Ahorner et al., 1972).

والهدف من دراسة القيمة الأساسية للحركة الأولى هو تحديد اتجاه ونوع الحركة المصاحبة للزلزال وتوزيع محاور الإجهادات الأساسية في المنطقة التكتونية. وهذه التقنية أمدت بقوة أداة في علم الزلازل لكسب معلومات قيمة عن النشاط التكتوني الحالي للقشرة الأرضية.

9.3.2 التركيب الداخلي للأرض كما استنتج من الدلائل الزلزالية

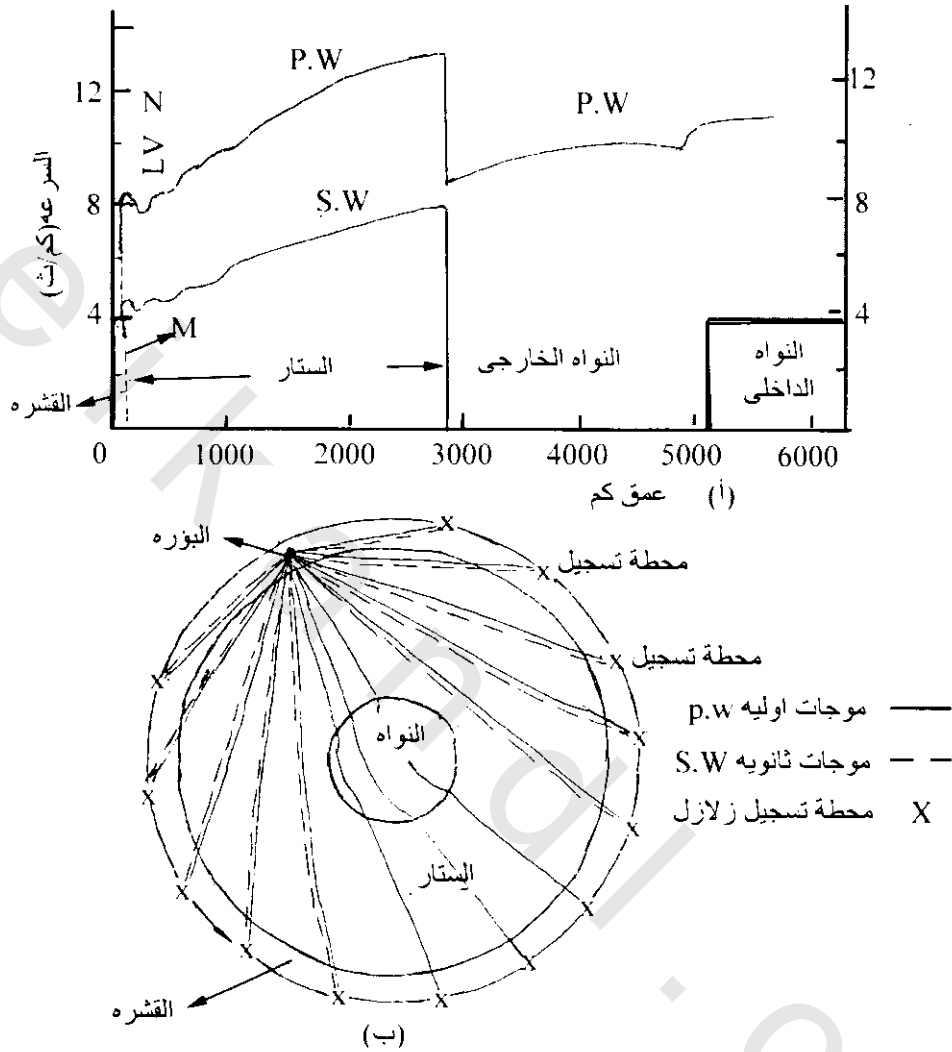
The Earth's Internal Structure as Deduced from Earthquake Evidence:

يوضح شكل (2-17) أ) منحنى نتائج فترات الزمن لكلا من الموجة الأولية P_w ، والموجة الثانوية S_w لأعماق مختلفة للأرض ويلاحظ من هذا الشكل أن أول وأكبر عدم استمرارية للموجات تدل بين القشرة والستار (عدم استمرارية Moho discontinuity) وقد وجد أن سمك القشرة يتراوح من 6-35 كم تحت أرضيه المحيطات. وأيضاً يلاحظ أن أكبر عدم استمرارية للموجات عند عمق 2900 كم ويحدث عندها انخفاض كبير للسرعة الأولية P_w من 13.7 كم/ث إلى حوالى 8 كم/ث وبينما تقل السرعة الثانوية من 7.2 كم/ث إلى الصفر وهذا يمثل الحد بين الستار ونواة الأرض (Gutenberg-Wiechert discontinuity). وفي داخل نواة الأرض تبدأ الموجة الأولية P_w فى الإزدياد ولا يوجد تسجيل للموجة الثانوية S_w على المنحنى فى هذه المنطقة مما يدل على أن نواة الأرض مادة سائلة. ويوضح شكل 17 ب) مسار الموجات الأولية والثانوية داخل الكرة الأرضية تبعاً لنتائج منحنى فترة الزمن ويلاحظ فى هذا الشكل أن بعض المراصد على سطح الكرة الأرضية سجل P_w ، S_w وبعضها سجل P_w فقط وهى المحطات التى حجت فيها نواة الأرض الموجات العرضية S_w عنها، وهذا يوضح أن نواة الأرض مادة سائلة حيث من المعروف أن الموجات العرضية لا تنتشر فى المادة السائلة.

10.3.2 منطقة الظل Shadow zone:

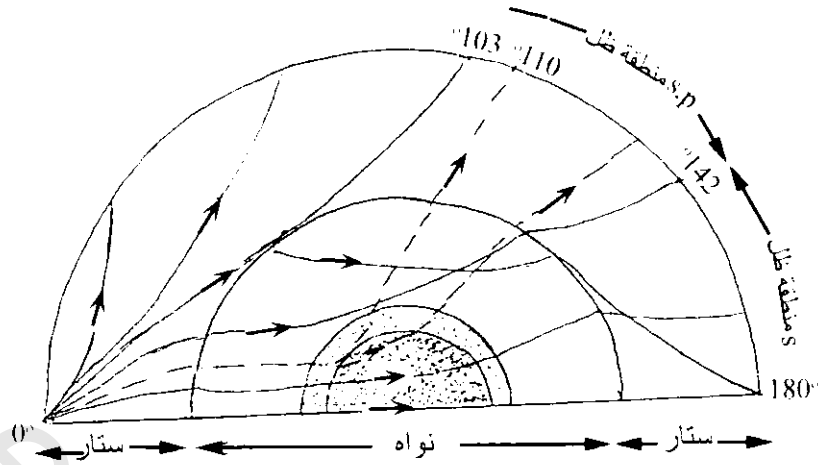
تظهر هذه المنطقة نتيجة الإنخفاض الحاد فى السرعة الأولية عند حد النواة - الستار ونتيجة لدخول أشعة الموجة الأولية للقلب فإنها تنتشر بعيداً عن الحد مسببة ظل فى المنطقة بين 103° - 142° من الزلزال. شكل (2-18) وربما لا تكون منطقة ظل كاملة ومن ملاحظة وصول الموجة الأولية الضعيفة فى منطقة الظل ما بين

تزيد بكميات ملحوظة وهذه الزيادة فى السرعة الأولية تشير إلى صلابة القلب الداخلى والتي من الممكن أن تمر فيها الموجه الثانوية كما هو موضح فى شكل (2-17).



شكل (2-17): نموذج مقترح للعلاقة بين إنتشار السرعة-العمق فى الأرض M عدم استمرار موهو، LVZ منطقة انخفاض سرعة (بعد أندرسون وهارت 1976 Anderson and Hart) نموذج توزيع السرعات الأولية والثانوية على سطح الأرض وداخلها.

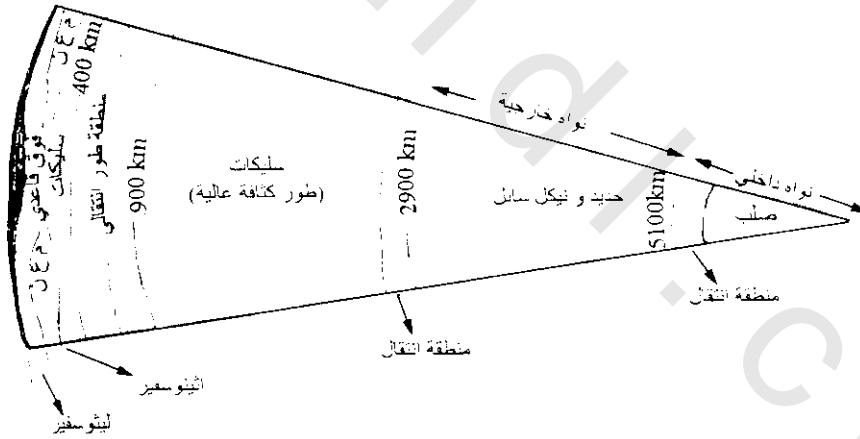
وعلى أساس توزيع السرعة مع العمق قسم بولن (Bullen 1963) الأرض إلى سبعة أغلفة بحدود يحدث عندها انخفاض مفاجئ للسرعة أو التدرج السريع. وعدلت هذه التقسيمات لأعماق عدم الاستمرارية ومناطق انتقال وأغلب النماذج التركيبية للأرض تشمل على منطقة السرعة المنخفضة The low-velocity zone فى أعلى الستار.



شكل (2-18): طريق مختار لأشعة موجه أوليه ومناطق ظل النواه لموجات أوليه وثانويه

11.3.2 منطقة السرعة المنخفضة (م ع خ) The Low-Velocity Zone (LVZ):

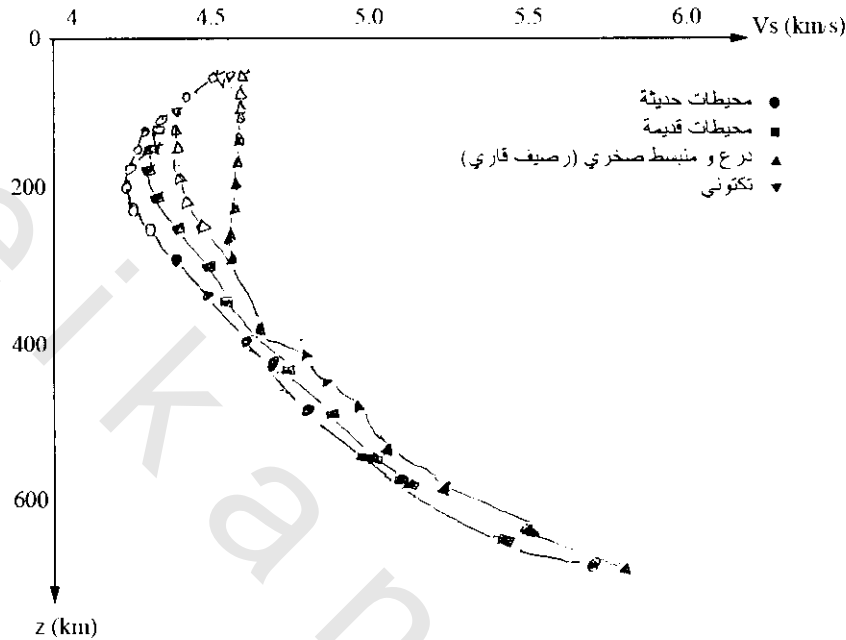
في شكل (2-17) لوحظ وجود ظاهرة إنخفاض السرعة في العمق ما بين 100-400 كم وهذه الأعماق تسمى منطقة السرعة المنخفضة وتوجد في الجزء العلوى من الستار ، وأول من إقترح هذه المنطقة هو جوتنبرج (Gutenberg 1926) والمجادلة عن وجودها إستمرت لعدة عشرات من السنين. ويوضح شكل (2-19) أماكن وجود هذه المنطقة.



شكل (2-19): عدم إستمرارية أساسية، طبقية، ومواد محتملة في داخل الأرض (معدلة من دهلنجر 1978 Dehlinger).

أظهرت دراسات حديثة عديدة (خاصة من التحكم الدقيق للانفجارات النووية تحت الأرض وجود منطقة سرعة منخفضة (م ع ن) في أعلى الستار بالرغم من وجود تأكيدات قليلة عن عمقها وعلاقتها مع التكتونية البينية. ومن دراسة إنتشار الموجات السطحية ومن تحليل نتائج الإهتزاز الحر جاءت كثير من البراهين الموجبة لها، حيث أن المميزات الكبيرة للموجات السطحية وقدرتها على تعيين الجزء الخارجى للأرض عبر طرق طويلة، ويعطى توزيع متوسط السرعة السطحية لأجزاء من الأرض مثل المحيطات التى لايمكن دراستها بسهولة بالموجات الجسمية body waves.

ويوضح شكل (20-2) أربع أنواع من توزيع الموجات السطحية حصل عليها من دراسات إنتشرت لموجات رالى وتظهر (م ع خ ، LVZ) بأحسن نمو تحت المحيطات الحديثة والمناطق التكتونية، وعلى العكس فإن منطقة الأقل نمو تكون تحت الدروع ومناطق الأرصفة القارية حيث تكون السرعة عالية. هذه النتائج تدل على الإختلاف الأساسى فى تركيب السرعة السطحية تحت الدروع والمناطق التكتونية الحديثة.



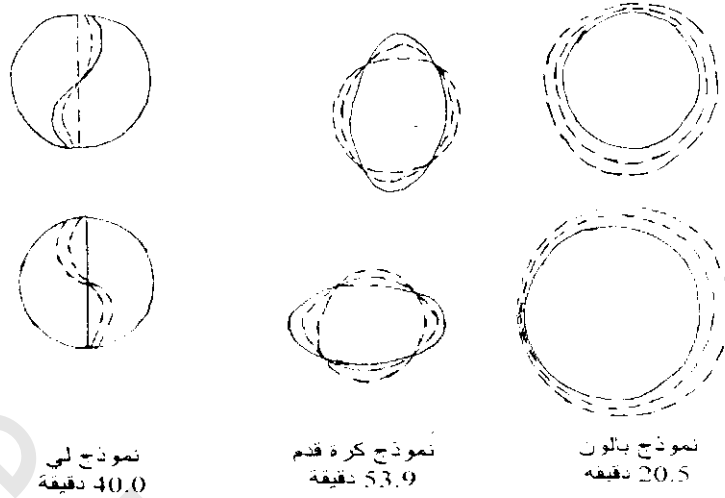
شكل (20-2): نموذج لأربع سرعات سطحية للجزء العلوى من الستار من تشتت موجات رالى Ragleigh. تشير العلامات الخالية إلى ملاءمة خفيفة. وتظهر (م ع خ) بنمو جيد فى الجميع ماعدا الدرع والرصيف القارى (بعد ليفيكي، Leveque, 1980)

وهناك دراسات كثيرة ذكرت الإختلاف الإقليمى فى السرعة السطحية وإمتداد العمق لمنطقة السرعة المنخفضة (م ع خ)، واقترحت أيضا هذه الدراسات أن (م ع خ) تمتد من 70-300 كم تحت أغلب المحيطات والمناطق القارية.

وفى الجيوتكتونية الحديثة فإن الجزء العلوى للأرض الشامل على القشرة والجزء العلوى من الستار يطلق عليه الليثوسفير Lithosphere وسمكه يتراوح بين 60-100 كم ويقع فوق (م ع خ) ويمتاز الليثوسفير بأن الموجات السيزمية تكون عالية السرعة وكافية الإنتشار فيه. وحيث أظهرت التجارب المعملية أن الموجات السيزمية تقل وتمتص فى خليط الصلب والسائل، وأيضا ذكر حديثا أن منطقة السرعة المنخفضة (م ع خ) عبارة عن منطقة جزئيا صهيرية من المحتمل (1-10%)، وإذا كانت هذه حقيقة فإن (م ع خ) تأخذ مكانها من الأهمية فى الديناميكا الأرضية حيث يبرهن الجزء المادى المنصهر من (م ع خ) بأنه وسط نموذجى لتزحلق الليثوسفير عليه. وحديثا فإن منطقة السرعة المنخفضة (م ع خ) بالآستينوسفير Asthenosphere ونسبيا هى طبقة لينة ونصف لدنة والتي يعتقد أنها حزام ناقل للألواح الليثوسفير.

12.3.2 الإهتزاز الحر للأرض :Free Oscillation of the Earth

جاءت دلائل كثيرة لوجود مناطق السرعة المنخفضة (م ع خ) من نتائج الإهتزاز للأرض. وحيث أن الأرض جسم مرن لذلك فإنها تخضع للإهتزاز الطبيعى بواسطة الهزات الكبيرة (شكل 21-2).



شكل (2-21): حركات سطحية وفتراتها لثلاث نماذج لإهتزازات حرة للأرض (معدلة من برس وسيفر 1978 Press and Siever)

فقد لوحظ من زلزال كالين Chilean الكبير والعنيف في 22 مايو 1906 تذبذب الأجزاء الداخلية للأرض وحدثت دقات مثل الجرس واستمرت هذه الدقات لمدة حوالى شهر وسجلت بواسطة أجهزة التسجيل الحساسة عند مراصد مختلفة. ويمكن استنتاج مرونة طبقات الأرض من تسجيلات الذبذبات التابعة للزلازل الكبيرة مع حسابات رياضية معملية عديدة. وتشمل الطريقة مقارنة الفترات المراقبة مع التى تحسب لأساليب مختلفة مختارة لنماذج أرضية. ويحدد النموذج الأرضى بواسطة الاختلاف الإشعاعى للكثافة والسرعة السيزمية والتي يمكن استنتاجها الخطى. وتنتج هذه الطريقة توافق قريب مع الفترات الملاحظة لكل النماذج (أساليب) والنتائج التى حصل عليها. كما أنها ترى أن مناطق السرعة المنخفضة (م ع خ LVZ) تحتاج إلى حسابات (تقارير) المراقبة فترة إهتزاز طويلة (أندرسون وهارت 1976 Andreson and Hart). وقد وجدت هزات حرة بواسطة الزلازل الكبيرة واستمرت لعدة أيام ولكن سعتها تقل لأن الأرض ليست كلياً جسم مرن. ويعطى تخميد الهز الحر براهين نافعة عن عدم مرونة الأجزاء العميقة من الأرض.

13.3.2 التضخم وتوقع الزلزال Dilatancy and Earthquake Prediction

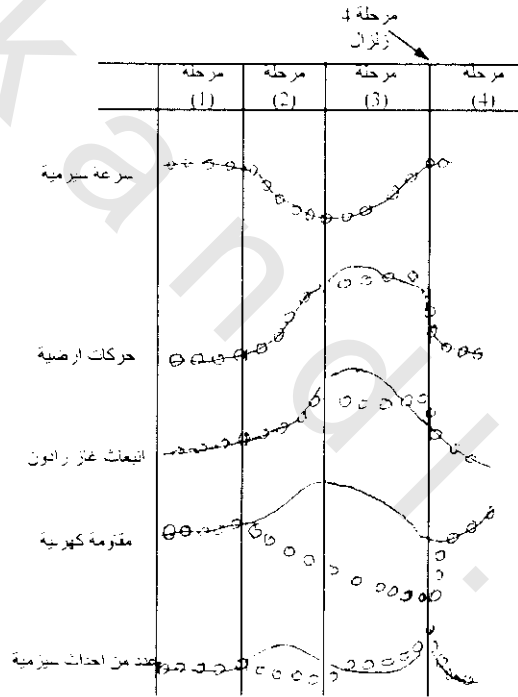
أصبح التوقع أو التنبأ بالزلازل من أهم إهتمامات علماء الأرض وعامة الناس والهيئات الإجتماعية والأكاديمية المشاركة فى حل هذه المشكلة ذات رعاية هامة فى بعض الأقطار التى تعاني من الزلازل المدمرة مثل اليابان والولايات المتحدة الأمريكية، روسيا، الصين، الهند وأقطار أخرى. وتحت برامج قومية مختلفة عن التنبأ بالزلازل دراسات عظيمة وصلت لعدة إشارات مشجعة والتى دلت على بلوغ الهدف. وأول نجاح عالمى للتنبأ بالزلازل الكبير بعدة ساعات قبل حدوثه تم بواسطة العلماء الصينيين فى 4 فبراير 1975 وكان زلزال هيشنغ Haichang فى شمال شرق الصين. والعناصر الآتية التى تشارك للوصول لهذا التنبأ هي:

1.13.3.2 النموذج التضخمى Dilatancy Models

أظهرت نتائج التجارب المعملية أن ضغط الإجهاد فى عينات الصخور إلى حوالى نصف قيمة إجهاد الكسر حيث تبدأ الشقوق الصغيرة فى الظهور مسببة زيادة محلية فى حجم المسام وتنمو الشقوق الصغيرة كزيادة للإجهاد، عندئذ تندمج هذه الشقوق لتكون واحداً أو أكثر لأساس كسور كبيرة فى مرحلة كسر نهائى. وزيادة عدم

المرونة فى الحجم الناتج للكسور الكبيرة تسمى التضخم. وعندما تصبح الصخور متضخمة فإنه يحدث تغيرات لقياسات فيزيائية أخرى فى المناطق المتأثرة مثال ذلك تغيرات فى السرعة السيزمية والمقاومة الكهربائية وإنسياب المياه وإنبعاث غاز الرادون. وقد افترض نموذجين أساسيين يصاحبان التغيرات الفيزيائية السالفة الذكر المؤثرة للتضخم وهذين النموذجين الأساسيين هما الإبتلال والجفاف:

1.1.13.3.2 نموذج البل: موضوع على أساس نظرية إنتشار السوائل فى الفراغات وتبعاً لهذه النظرية فإن السرعة فى وسط التضخم الجاف منخفضة عن الوسط المشبع بالماء ، يوضح شكل (2-22) فى المرحلة (2) وسط نمو شقوق التضخم وسط تحت تشبع وتقلل السرعة السيزمية وهذا التأثير يظهر فى السرعات الأولية P_w أكثر من السرعات الثانوية S_w وتنقص النسبة V_p/V_s من 1% - 20% من القيمة العادية وكذلك يتوقع ارتفاعها وميلها وفى هذه المرحلة (2) أيضاً ينساب الماء خلال فتحات شقوق جديدة مؤثرة على معدل إنبعاث الرادون. وكذلك تقل المقاومة الكهربائية للصخور (والتي تعتمد عكسياً على كمية الإلكتروليت الموجود فى الفراغات) إعتبارياً بسبب دخول الماء فى منطقة التضخم من المناطق حولها.



شكل (2-22): تغيرات فى معاملات فيزيائية بواسطة نموذج إنتشار تضخم. الدوائر المفتوحة: نشرت بواسطة شولز وآخرين (1973) Scholz et al. الخط المستمر: نموذج لتقلب التضخم ماجكن وآخرين (1975) Mjachkin et al.

وكنتيجة لدخول الماء وزيادة ضغط الفراغات فإن الموجه الأولية P_w تزداد سرعتها (المرحلة 3) وتستعيد قيمتها العادية مرة أخرى. وبزيادة ضغط الفراغات فإن الصخور تتشبع وتضعف إلى نقطة تزيد فيها عدد الزلازل الصغيرة (الخططات السابقة (الهزات) ويليهها بعد ذلك بقليل الهزات الأساسية. وباسترداد السرعة الأولية V_{pw} (أو نسبة $\frac{V_{pw}}{V_{sw}}$) فإن نشاط الزلازل الصغيرة يزيد فى المناطق المحلية وتعتبر هذه دلالة على التوقعات بفترة قصيرة للزلازل الكبير.

وقد وجد أن علاقة الوقت المنذر (مرحلتى 2 & 3) قريبة لقيمة الزلزال، فمثلا بالنسبة للزلازل الكبيرة ذات قيمة 7.6 ريختر فإن وقت الإنذار لتغير V_{pw}/V_{sw} ربما يمتد لعدة أعوام.

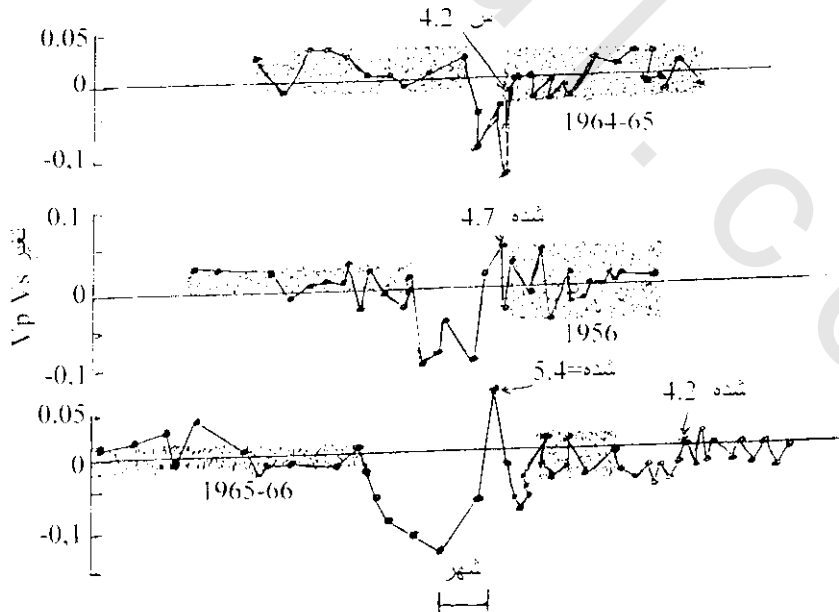
2.1.13.3.2 النموذج الجاف: وفيه نمو التضخم يلعب قاعدة أساسيه – لكن إنتشار الماء غير مطلوب –

فبالنسبة للصخور الجافة فإن المقاومة الكهربية تقل فى المرحلة 2 من الشكل 22. ونهايا يحدث الشق عندما تتضخم الشقوق والإجهاد المصاحب لها يشير إلى التركيز فى منطقة محدده. والتضخم الذى يحدث مرة فى مساحة واسعة خلال المرحلة 2 من الشكل 22 يقل فى المرحلة 3، حيث V_{pw} النهائية تعود إلى قيمتها العادية. ويتميز النموذج بتضخم قوى جدا فى بداية الشق المجاور مباشرة كما فى المرحلة 3 من الشكل (2-2). وهذا النموذج الملاحظ يدل على أن منطقة التضخم تكون واسعة أكثر من منطقة المركز.

2.13.3.2 الإنذار السيزمى :Seismic Precursors

تعتمد هذه الظاهرة على الدراسة الواسعة للتغير الزمنى فى السرعة السيزمية الأولية V_{pw} أو فى النسبية بين السرعة السيزمية الأولية V_{pw} والسرعة السيزمية الثانوية $(V_p/V_s)V_{sw}$ وبين شكل (2-23) أمثلة لتغير نسبة السرعة V_p/V_s لعدة زلازل قليلة فى بعض مناطق من الإتحاد السوفيتى. وعندما تقل النسبة من 10-15% يلاحظ إنطلاقات قصيرة وصغيرة قبل حدوث الزلزال. وعندما يكون هناك أكبر قيمة لانخفاض هذه النسبة فهذا يدل على حدوث زلزال وشيك. وسجلت هذه الملاحظة بواسطة العاملين فى هذا المجال من الأمريكان واليابانيين والصينيين وتوقع أجروال وآخرين (Aggarwal et al.) ١٩٧٥ بنجاح لزلزال فى منطقة بالولايات المتحدة، وذلك على أساس ملاحظة الهبوط المفاجئ لنسبة V_p/V_s من 1.73 إلى حوال 1.5 عبر اليومين السابقين حيث حدث التوقع فى 1 أغسطس بزلزال قيمته تتراوح ما بين 2.5 و 3 ريختر والذى سوف يحدث فى أيام قليلة مقبله وحدث فعلا زلزال بقيمة 2.6 فى 3 أغسطس.

وعلى عكس المثال السابق للزلزال المصاحب لنسبة الملاحظة لشذوذ V_p/V_s فإنه لم يحدث تغير مهم فى نسبة V_p/V_s قبل حدوث الزلزال الكبير فى منطقة فالق سان أندروز فى كاليفورنيا.

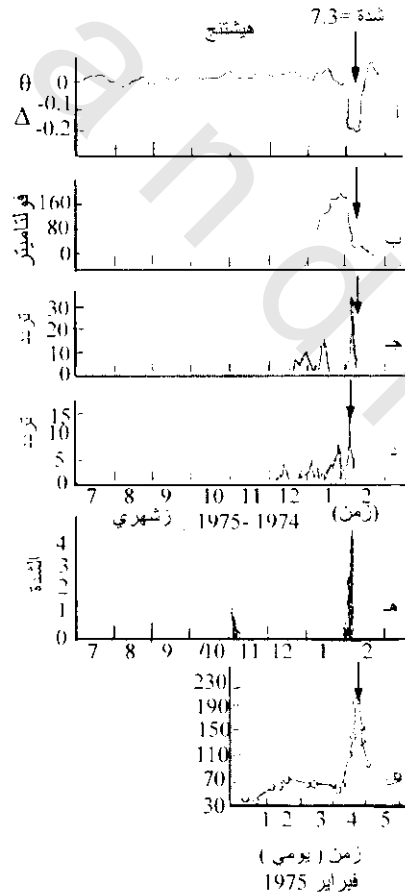


شكل (2-23): تغير فى نسبة السرعة السيزمية V_p/V_s السابقة لبعض الزلازل فى منطقة جاوم بالإتحاد السوفيتى (بعد ستمينوف (Semyenov, 1969)

أما مراقبة السرعة السيزمية الناتجة من تفجيرات المحاجر في مناطق متنوعة لا ترى أى شذوذ لـ V_p في هذه المساحات حيث يحدث الزلزال أخيراً، مع العلم أن التغير الزمنى لهذه السرعات السيزمية لا يكون دليل على الإنذار.

وقد دلت أبحاث نماذج الإنذار السيزمي وكثير من التقارير الواسفة لشدة النشاط الإنذارى لزلزال صغيرة في أو حول منطقة المصدر المستقبلية، وكذلك التفسيرات السابقة والتجارب المعملية الإمكانية بأن نمو التشققات الصغيرة في عينات صخور الاختبار ربما تؤدي للمكسر الرئيسى محدثة الزلزال الرئيسى. ويوضح شكل (24-2) تتابع الهزات السابقة والفترات القصيرة لشذوذ أخرى ملاحظة في منطقة هيشنج Haichang بشمال الصين قبل حدوث الهزة الأساسية.

ويلاحظ في هذا الشكل زيادة العلامات السيزمية المحلية خلال اليوم السابق وتبعت بسكون قصير في النشاط لعدة ساعات قبل حدوث زلزال ذات قيمة 7.3. وهذه الظاهرة للهدوء القصير قبل الهزة الرئيسية قد لوحظت في عدد من الحالات واعتبرت من الأهمية في إستنتاج نموذج توقع اقترح بواسطة (تالوان Talawan). ومن المؤكد سهولة معرفة الإنذار السابق للهزة إذا كانت المنطقة المعنية لها نشاط طويل كما في حالة زلزال هيشنج Haicheng. وفي منطقة الضجيج المتردده بواسطة التزاحم الزلزالي الميزة لها، فهناك أحداث أخرى عامة من الصعوبة معرفتها قبل الهزات.



شكل (24-2): شاذات فترة قصيرة ملاحظة قبل زلزال هيشنج في 4 فبراير 1975. (أ) ميل أرضى ، (ب) فرق جهد كهربى، (ج) سلوك شاذ غير عادي، (د) تغير مستوى الماء الجوفى، (هـ) هزات، (و) محتوى غاز الرادون في العينون الحارة. بعد زهانج وفيو (Zhang and Fu 1981) نشر توقع هنا الزلزال بواسطة علماء صينيون بعدة ساعات قبل حدوثه.

في عام 1982 صنع ركتاك Rikitake قائمة تشمل الإنذارات الزلزالية للمناطق السيزمية والغير سيزمية وذلك لأزمة متغيرة ومناطق متغيرة للعالم. ومع هذا فإن إستمرار التوضيح لإنذارات متغيرة مازالت غير كاملة وبالرغم من ذلك فإنه في بعض الحالات تكون الإشارات واضحة وكافية لإصدار إنذارات في الوقت الملائم.

3.13.3.2 الزلازل المستحثه Induced Earthquakes:

هناك عدة زلازل تحدث طبيعيا ولكن حدوثها ناتج من نشاط إنساني مثل الزلازل الناشئة من:

(I) حقن السوائل في الآبار العميقة.

(II) بناء السدود الكبيرة المكونة للخزانات العظيمة.

(III) تفجيرات المناجم العميقة.

(IV) التفجيرات النووية تحت الأرض.

1.3.13.3.2 الزلزلة المستحثه بواسطة حقن السوائل Seismicity Induced by Fluid Injection:

يعطينا التاريخ حالتين مسئولتين عن تواجد نتائج تتعلق بزلازل مستحثه بواسطة حقن السوائل:

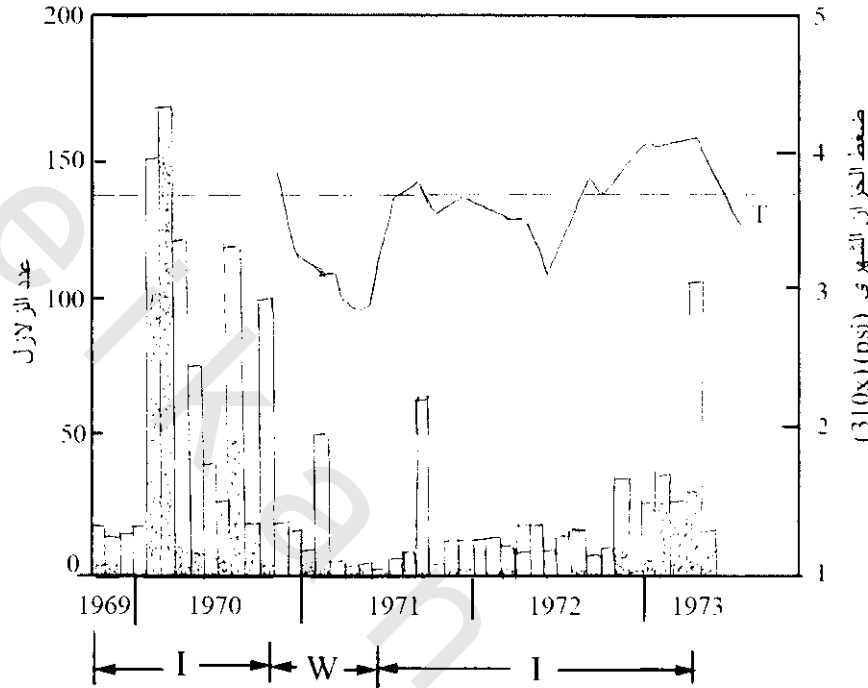
الأولى حقن نفاية الماء في بئر تصريف ذا عمق 3800 متر وبحجم ماء محقن حوالي 10×2^4 م³ كل شهر بصخور جبال روكي بالقرب من دنفر بكلورادو بالولايات المتحدة الأمريكية أدت إلى نشاط سيزمي استمر على هزات ذات قيمة فيما بين أو تزيد عن 5 ريختر. وبرغم وقف الحقن تماما في سبتمبر 69 فإن أحداث الزلازل استمرت لعدة سنوات. واقترح ايفنز (Evans 1966) نظرية بأن الاحتكاك عند سطح التصدع لقشرة الأرض تقل بزيادة ضغط الفراغات محدثة ارتفاع للانزلاق.

الثانية ويوضح شكل 2-25 التردد الشهري لزلازل صغيرة روقبت بواسطة ١٤ جهاز تسجيل زلازل موضوعة عبر حقل زيت ويتغير هذا التردد بحقن أو سحب الماء عند بئر التجربة على عمق حوالي 2 كم. ومن الواضح أن الزلازل تشير للحدوث عندما يزيد ضغط الدق (الإدخال) عن قيمة البدء بحوالي 250 رطل وعلى هذه الملاحظات وضع (ولاس Wallace 1974) البحث عن التحكم والتخفيف من خطورة الزلازل.

2.3.13.3.2 الزلزلة المستحثه للخزانات Reservoir-Induced Seismicity:

من خلال عشرات الأحداث المعروفة بالمتوسطه والكبيرة زلزاليا تبين أن هناك علاقة بينها وبين ملاء المياه في الخزانات الصناعية والزلازل المستحثه من هذه الخزانات تبدو بأن لها علاقة بالسدود المرتفعة أكثر من 100 م، وبنيت هذه الحالات على أن ارتفاع السد يكون أكثر دليل لمخاطر الزلازل من حجم الماء. ومن أكبر التقارير الدالة لهذه الأحداث زلزال كونيا Konya في الهند حيث بلغت قدرته 6.4 ريختر حيث كان إرتفاع السد 103 م. ويقع هذا السد وخزانه في درع بننسولار Peninsular المستقر وقد ملئ خزانه بالماء وباعتبار المنطقة مستقرة سيزميا فمن عام 1963 بدأت الرجفات أصبحت أكثر تردد إلى أن حدث الزلزال الكبير عام 1967. وبالمثل فإن الزلازل المستحثه المصاحبة للخزانات حدثت لسد هوفر بالولايات المتحدة الأمريكية، سد مونتينيونارد بفرنسا، سود كاريا بروديسيا، سد هسفينيكياج بالصين، سد كريماستا باليونان وأخرى. وبالعكس فهناك سدود إرتفاعها

من 115-220 متر لم تحدث زلازل مستحثه منها مثل سد أسوان بمصر وأمنياى جونسون بكندا، وبالرغم من دراسات متنوعة كثيرة للخرانات المستحثه سيزميا فإنها تحتاج لفهم أحسن للعمليات. ويظهر أن الخزان سوف ينتج نشاط سيزمى فقط إذا كانت المنطقة المجاورة بها تشققات كبيرة وإجهاد أصلى (داخلى) يكون كافى تقريبا ليسبب انزلاق على التشققات.

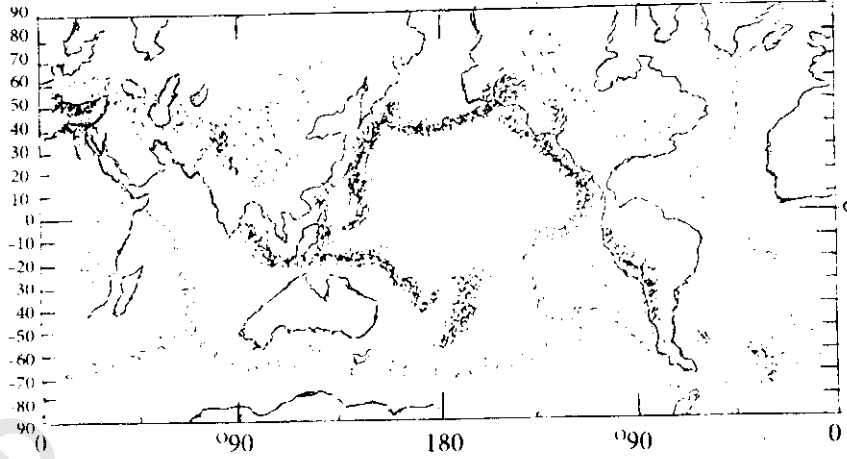


شكل (2-25): التغير الشهرى لعدد الزلازل مع حقن وسحب السوائل بحقل زيت رانجلى Rangley، غرب كلورادو، الولايات المتحدة الأمريكية. --- تدلان على ضغط مدخل الخزان المطلوب بخلق زلزال، I، W، فترات حقن وسحب السائل تبعاً (بعد ولاس Wallace 1974 وأعيدت من ركتاك Rikitake 1976).

14.3.2 السيزمية والتكتونسيزميه (الرجفة والتكتونيرجفية) : Seismicity and Seismotectonics

الرجفة (السيزمية) الكروية Global Seismicity :

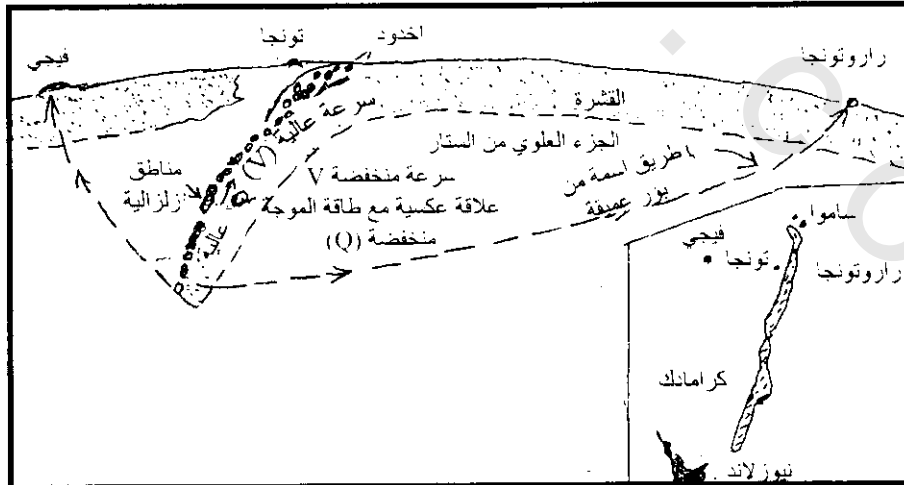
يستخدم تعريف الرجفة (السيزمية) لوصف جغرافية الزلازل خاصة توزيعها، ترددتها، وعلاقة طاقتها مع الظواهر السطحية. ويوضح شكل 2-26 توزيع النقط فوق المركز عبر العالم. ومن الشكل يتضح أن مناطق الزلازل حول العالم ليست عشوائيه التوزيع ولكنها مصفوفة فى نماذج تشبه الأحزمة. ويحتوى محيط أقواس جزر حزام المحيط الهادى على حوالى 80% من الزلازل الضحلة (عمق البؤرة اقل من 70 كم)، 90% من الزلازل المتوسطة (عمق البؤرة من 70-300 كم) وأيضاً على زلازل عميقة (عمق البؤرة أكبر من 300 كم)، وأغلب الزلازل الباقية الكبيرة تحدث فى حزام البيد (Alpide belt) الممتد من أزورد (Azores) خلال أوروبا وآسيا ليصل مع محيط حزام المحيط الهادى فى جوانا الجديدة (New Guina). وبالإضافة لهاتين المنطقتين الكبيرتين فأهم حزام لزلازل ذات بؤر صغيرة الضحالة يتبع نظام قمة جافة محيطية ممتدة على طول نظام الأخدود شرق أفريقيا. وأحداث عديدة صغيرة تحدث فى أماكن أخرى ولكن إنبعث طاقتها تكون غير هامة.



شكل (2-26): توزيع عالمي لتوزيع زلزالي لنقط فوق البوارة من 1967-961 كما نشرتها مساحة الشواطئ والجيويسين الأمريكيين (برازنجي ودورمان 1969 Barazangi and Dorman)

ولوحظ تردد هزات ضحلة بجوار البراكين وبعض منها (وليس جميعها) تصاحب الانفجارات البركانية. وتبعاً للتصور الحديث لحركة الألواح (Plate tectonic) فإن الأحزمة الزلزالية تحيط تقريباً حدود الألواح الصلبة للقشرة والتي تتحرك بسهولة على مواد الجزء العلوي للستار ذات اللينة والحرارة. وما زال هناك مجادلة لميكانيكية حركة الألواح بالرغم من النماذج الكثيرة لبعض أشكال تيارات الحمل في الجزء العلوي للستار ونشاط بوارة الزلازل العميقة على طول منطقة الميل (منطقة بينيف Benioff zone) والتي تشترك للدفع السفلي للوح القشرة العميق إلى الستار.

وتنتج الزلازل الضحلة عندما تصطدم ألواح القشرة كل ضد الآخر أو عندما تنزلق نسبياً كل على الآخر. ومن جهة أخرى عندما تهبط ألواح القشرة إلى الستار فإنها تعطي زلازل عميقة. شكل (2-27) يوضح مثال لزلازل في منطقة تونجا Tonga، ويشير أن البور تزيد في العمق غرب قوس الجزيرة إلى أن يصل العمق إلى 600 كم، وكذلك بفرض توزيع البورات فإن منطقة الزلازل تكون مائلة بمقدار تقريبي 145° أسفل إتجاه الجانب القاري للقوس.



شكل (2-27): مستوى مائل لبور زلزالية (النقط السوداء) تحت جزيرة تونجو. وأكبر عمق يصل إلى 600 كم. وأثر القشرة السفلى موضوع على الأماكن المحلية لبور الزلازل. والنطاقات لانتشار الموجات الزلزالية المميزة بسرعة عالية (V) والعلاقة العكسية لطاقة الموجه (Q) (أولفر 1982 Olver).

4.2 الطرق السيزمية للتنقيب :Seismic Methods of Prospecting

1.4.2 مقدمة :Introduction

تعتبر الطرق السيزمية من أحسن الطرق الجيوفيزيائية المستخدمة لغرض الإستكشاف وأكثرها مباشرة لإستنتاج التركيبات تحت سطحية حيث أنها عند الإستخدام تعطى أقل غموض للنتائج.

أساس هذه الطرق هو قياس الفترات الزمنية لموجات صناعية مرنة. وهذه الموجات تخرج من تفجيرات أو سقوط أوزان عند أو قرب السطح والتي تسير فى جميع الإتجاهات عن المصدر وتوضع كشافات (Detectors, Geophones, seismometers) حساسة على السطح عند مواضع مختلفة وبمسافات من نقطة التفجير لتلتقط الموجات السيزمية. وتغذى هذه الموجات السيزمية إلى مرسمة ذبذبات أو سلوجراف والتي تسجل حركة الأرض على شريط فوتوغرافى والذي يرى لحظات الهزه. ويستخدم هذا الشريط لتحديد زمن الوصول من نقطة التفجير إلى الكشافات. والزمن يكون دالة لطبيعة الصخور المخترقة، سرعة الموجه خلال الصخور وعدم تواجد الإستمراريه فى السرعة أو الكثافة تشير إلى إنعكاس أو إنكسار الموجه السيزمية تحت السطح.

وتعطى النتائج السيزمية والتي تم الحصول عليها معلومات أكثر أو أقل تحديدا، فعدم الإستمرارية المعينة للخواص الليثولوجية للتكوينات الصخرية وخواص سرعة الموجات تؤدي لمعرفة الأعماق.

2.4.2 تعريفات :Definition

1.2.4.2 القيم المقاسة :Quantities Measured

القيم التى تقاس فى السيزمولوجيه التطبيقية هى التغير فى الزمن والمسافة (من نقطة التفجير إلى الكشافات) بالإضافة إلى خواص التردد وسرعة الموجات. وتستعمل الكميتين الأخرتين فى الطرق الكمية لمقارنة الأحداث فى أجهزة التسجيلات المختلفة.

2.2.4.2 الكميات المحسوبة :Computed Quantities

وهذه الكميات هى: (i) السرعة، (ii) عمق الإختراق، (iii) مسار الموجه. وتعتمد هذه الكميات على ثوابت أو خواص المرونة للأوساط الجيولوجية التى خلالها تسير الموجات. ومعرفة هذه الكميات الثلاثة تؤدي إلى تحديد توزيع ووضع الوحدات الجيولوجية تحت أرضية. ثم يتم تفسير هذه الوحدات الجيولوجية لتركيبات جيولوجية أو تواجد خواص مميزة من الأوساط المحيطة بواسطة التباين لخواص مرونتها.

3.2.4.2 وظائف الأجهزة السيزمية :Function of Seismic Apparatus

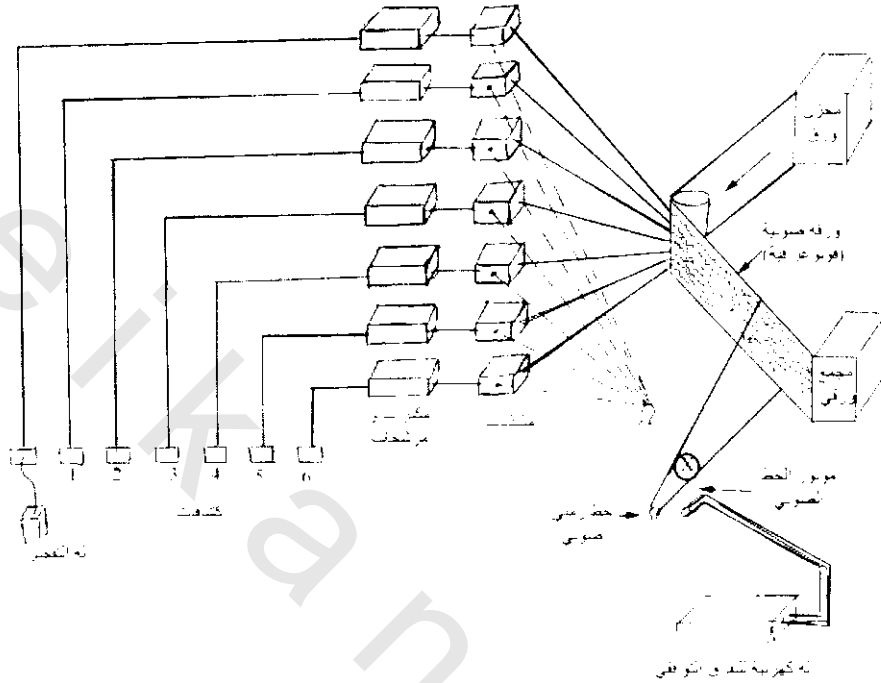
الغرض الأساسى من الأجهزة السيزمية والأعمال الحقلية هو تحديد فترات الزمن من مصدر الانفجار إلى الكشافات بدقة سواء للموجات المنكسرة أو المنعكسة كما يوضح الرسم التخطيطى شكل (2-28) والذي يتكون من:

1- التفجير Explosion: يولد الموجه المرنة.

2- الكشافات Detectors, Geophones, Seismometers: المسنولة عن تسجيل نتيجة حركة الأرض.

3- نظام المكبرات والمرشحات والمسجلات Amplifiers, Filters and Recorders: تعمل كمسجل ثابت لمركبات معينة من إستجابة الكشافات.

4- نظام التوقيت Timing System: لقياس الزمن بين لحظة التفجير وإستجابة الكشاف.



شكل (28-2): رسم تخطيطي لوظائف العناصر الأساسية لأجهزة سيموجراف حثلي

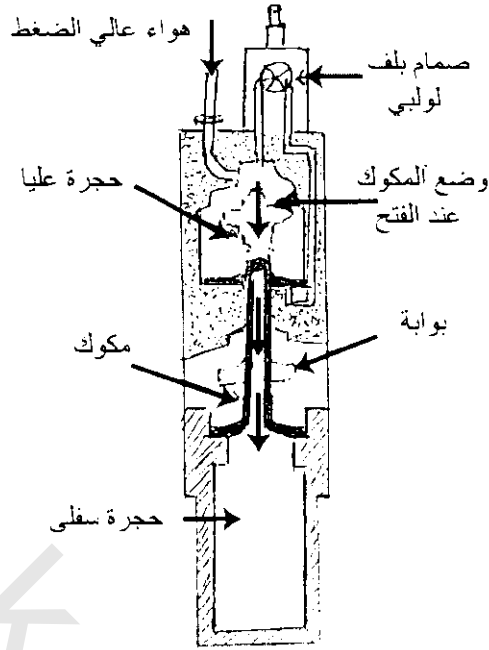
1.3.2.4.2 التفجير:

فى التفجير السيزمى عادة يوضع المفجر (الديناميت) فى ثقب على بعد تحت سطح الأرض ويغطى بكمية من الطين أو الطفلة. ويتغير وزن الشحنة تبعاً لغرض البحث والظروف الملائمة، فالشحنة الأقل من Ω كجم ديناميت سوف تعطى إنعكاس لعمق يتراوح من 3-5 كم، وعلى العموم فإن هناك علاقة بين العمق وكمية الديناميت المستعملة وهذه العلاقة ممثلة بالمعادلة الآتية:

$$\text{العمق} = 3.8 \times \text{الوزن}^{1/3}$$

ويفجر الديناميت كهربياً بواسطة ماكينة تفجير. وهناك طرق أخرى لتوليد الموجه السيزمى مثل:

- إسقاط أوزان.
- الذبذبة الميكانيكية.
- بندقية الهواء شكل (29-2) وهى عبارة عن مفجر عالى لضغط الهواء بواسطة الكهرباء أو شرارة غازية. وتعمل كمصدر تفجير تحت الماء.
- بندقية الغاز (تفجير لمخلوط غاز البروبان مع الأوكسجين) وتعمل كمصدر تفجير تحت الماء.

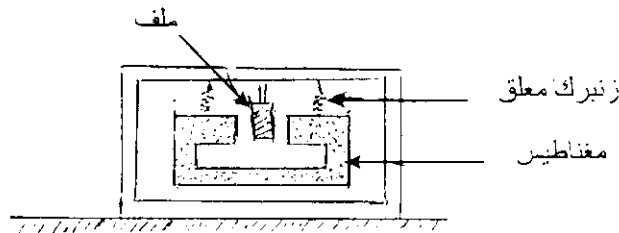


شكل (2-29): رسم تخطيطي لقطاع عرضي لبندقية الهواء

2.3.2.4.2 الكشافات السيزمية Seismic Detectors:

يشار للسماعات الأرضية geophones ككشافات detectors أو مقياس سيزمي seismometer والذي يحول ذبذبات الأرض إلى إشارات كهربيه وبالنسبة للاستكشاف البترولى فإن الكشافات تكون حساسة فقط لذبذبات ما بين 5-100 دورة لكل ثانية لطريقة الإنكسار وما بين 10-150 دورة لكل ثانية لطريقة الإنعكاس. وفي كلتا الحالتين فإن السماعات تكون مسنولة فقط. عن المركبة الرأسية للهزة الأرضية. ويوضح شكل (2-30) أبسط أنواع السماعات (النوع الكهرومغناطيسى) ويتكون من ملف ثابت ومغناطيسى متحرك وفيه يتصل الملف بصندوق الجهاز الذى يتحرك مع الأرض بينما المغناطيسى يمثل كعنصر عزم قصور ذاتي. ويوجد أنواع أخرى مثل نوع الممانعة المغناطيسية، نوع السعة (القدرة) ونوع الضغط. وفي حالة المسح السيزمي البحري فيستخدم ما يسمى بالهيدروفون hydrophone، وهو عبارة عن سيزمومتر ضغطى حساس، ويعلق فى الماء بواسطة عائم بلاستيك.

جميع أنواع السماعات لها إدراك للإخماد أو الكبت لحركة الذبذبات الناتجة فى الجهاز بواسطة حركة نبضات الأرض، ويتحكم فى درجة الإخماد بواسطة قيمة المقاومة المتصلة عبر النهايات.



شكل (2-30): رسم تخطيطي لسماعة أرضية كهرومغناطيسية (المغناطيسى هو عنصر القصور الذاتى والصندوق يتحرك مع الأرض)

3.3.2.4.2 التسجيل المغناطيسي Magnetic Recording :

كان التطور العظيم في الأجهزة السيزمية (المرجفية) هو إستعمال الشريط المغناطيسي magnetic tape بدلا من الفيلم الفوتوغرافي كمسجل للأوساط، ويحل الجلفانومتر محل رؤوس التسجيل لكل مرسوم. وإختلاف الخروج للكشافات (الجيوفونات) ممكن تسجيله تبعا للإختلاف في شدة مغناطيسية الشريط (تسجيل مشابه). وبالتعاقب يمكن تعيين الجهد الخارج كفترات منتظمة (مثلا 2 ميللى ثانية) وتتحول بواسطة محول رقمى إلى مجموعة من الأعداد والتي تنسخ على شريط مغناطيسى رقمى (مسجل رقمى). ومن أكبر المميزات للشريط المغناطيسى هو السماح لتسجيل نطاقات ذبذبات متسعة والذي فيه يحتاج لقطع الموجات السطحية ذات التردد المنخفض. ولتخزين أكثر المعلومات في مثل هذه التسجيلات فإنه يستخدم كثير من المرشحات السيزموجرافية التقليدية. وإذا رغب في قطع (إزالة) ترددات أخرى فإنه يمكن إرجاع الشريط بمرشح ملائم وتسجل النتيجة على شريط ورقى. كذلك يمكن مزج مخارج الجيوفونات (الكشافات) المختلفة مع بعضها في إرجاع الشريط في أى تجمع مرغوب فيه. ومن الممكن أثناء التراجع play back بإدخال تصحيحات التجويه والإرتفاع لكل إستدلال trace بواسطة وحدة دخول منفصلة وبإستعمال آلات معينة فإن معالجة النتائج ترتب أوتوماتيكى. ويتطور تسجيل الشريط المغناطيسى والمعالجة الأوتوماتيكية فإنه يمكن القول بأن التسجيل الضوئى لايقدم النتائج بالدقة والسرعة المطلوبة ماعدا إستخدامه في الإنكسار السيزمى. وربما يكون العمل النهائى لتفسير نتائج التسجيل الإنكسارى دائما يشابه النتائج المأخوذة من التسجيل الضوئى بعد معالجة هذه النتائج.

4.3.2.4.2 المكبرات والمرشحات Amplifiers and Filters :

يجب إستخدام المكبرات الإلكترونية كمرحلة متوسطة بين الإكتشاف والتسجيل ربما تكون هذه مقاومة ممانعة أو أنواع من محولات مزدوجة ولأن الذبذبة تكون في مستوى حركة الأرض فإن الفولتات الناتجة والتي ربما تغطى مدى من 20000 : 1 فى السعة وبالرغم من أن التسجيل الأوسلوجرافى يستطيع فقط تحليل الإختلاف لرتبة من 10 : 1، لهذا يجب إضافة متغيرات للنظام.

وفى الحقيقة فإن جميع الدوائر تشتمل على سلسلة من المرشحات للتحكم فى خواص التردد لنظام التسجيل. ومن المرغوب فيه عامة استثناء الترددات المنخفضة لكى تمنع الدرجة الأرضية (مركبات الحركة الأفقية) والتشويش لأنواع أخرى من تدخلها مع الإنعكاس.

5.3.2.4.2 نظام التوقيت The Timing System :

يمكن قياس زمن الأحداث بدقة على التسجيلات السيزمية بواسطة تصوير تراكبات لخطوط رأسية على خطوط أثرية معلومة أو لفترات زمنية بين هذه الخطوط التى تتراوح من 0.01 إلى 0.005. ثانياه، والمعايرة الدقيقة لموافقة (ضبط) التشتت تحكم بواسطة المذبذب الذى ينظم ضبط سرعة دوران قرص الموتور ذا الفتحات الضيقة التى تسمح بتحديد شعاع الضوء الخارجى من خلالها على فترات ملائمة للكاميرا. ويعتبر هذا النظام متوافق حيث يوجد خط تقيل لكل 0.1 ثانية لسهولة القراءة.

6.3.2.4.2 الحاسبات الآلية للتحكم فى التسجيل: Computers for Controlling in Recording

فى السنوات الحديثة أصبح من الشائع باضطراد وجود حاسبات آليه فى عربة التسجيل لمعالجة متطلبات كثيرة فى إكتساب المعطيات والتي كانت تتم سابقا بواسطة ملاحظة الحقل. فاختبارات تلك الموضوعات كاستمرارية التوصيلات لكل مجموعة جيوفونات (Geophones) على السطح، يمكن تأديتها أوتوماتيكيا بواسطة الحاسب الآلى، والذي يمكنه أيضا أن يرشد العامل خلال المراحل المتعددة فى تجهيز الحقل الإبتدائي. وأيضا يمكن بواسطة الحاسب الآلى ترتيب العمليات وتتبعها أوتوماتيكيا حتى يتم تغييرها بواسطة الملاحظ. ويتم مراقبة عناصر التسجيل بمساعدة وحدة العرض المرئية.

4.4.2 أنواع التنقيب السيزمى : Types of Seismic Prospecting

يوجد طريقتين تستخدم فى هذا المجال هما التسجيل الإنعكاسى والإنكسارى. ففي طريقة الإنعكاس تكون المسافة بين التفجير والكشافات أقل من سمك الطبقة المراد تخريطها، وفى طريقة الإنكسار فإن هذه المسافة تكون أكبر من سمك الطبقة المراد تخريطها.

1.4.4.2 الطريقة السيزمية الإنكسارية : The Seismic Refraction Method

من أول الطرق المستعملة فى التنقيب السيزمى وهذه الطريقة تكون ملائمة خاصة للإستكشاف فى المناطق التى يكون فيها التركيب الجيولوجى له تضاريس كبيرة حيث يوجد على الأقل وجود طبقة ذات سرعة عالية يعلوها تركيب ذا سرعة منخفضة. واستخدمت هذه الطريقة على مقياس صغير بنجاح فى المسح الهندسى لتحديد عمق صخور الأساس لمنشآت هندسية مثل ركائز السدود والكبارى. وهى من أنجح الطرق للكشف عن المياه الجوفية.

من أكثر المفاهيم الهامة لتفسير هذه الطريقة هى الإستفادة من قوانين البصريات والصوتيات الهندسية حيث حركة مستوى تقدم الموجه السيزمية والأرض. وفتراتها فى الأرض تتبع نفس القوانين المستخدمة فى إنتشار أشعة الضوء للمستويات المتوازية. وذلك باعتبار أن تقدم مستوى الموجه كإنتشارها بسرعة V_0 فى وسط ذا خواص مرونة محدد بواسطة مستوى سطحى يسمى الفاصل ويكون الجانب الآخر لهذا الفاصل وسط آخر ذا خواص مختلفة المرونة وتنتشر فيه الموجه بسرعة V_1 .

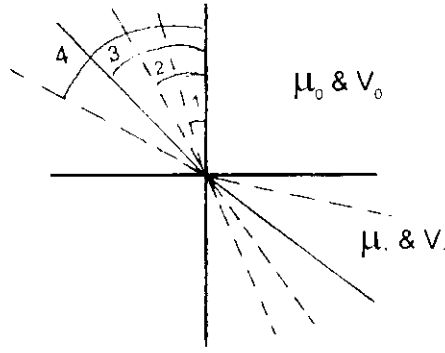
1.1.4.4.2 مسارات الموجه السيزمية الإنكسارية والعلاقة بين الزمن والمسافة لطبقات أفقية

Waves Paths of Seismic Refraction and Time-Distance Relation for Horizontal Layers:

يعبر عن الطاقة التى تمر عبر الحد الفاصل إلى الوسط الثانى بالإنكسار، حيث أن تغير خواص المرونة (السرعة) تسبب حيود لطريقة الأشعة والتي تعتمد على:

- الخواص النسبية لخواص المرونة للوسطين المنفصلين بواسطة سطح الإنكسار.
- كمية زاوية السقوط الزاوية بين الأشعة الساقطة والعمودى على سطح الإنكسار كما شكل (2-31).

وبزيادة زاوية السقوط $(1, 2, 3, 4)$ من وسط أقل كثافة إلى أكبر كثافة ستكون هناك زيادة لزاوية الإنكسار إلى أن تصل زاوية السقوط لقيمة تسمى الزاوية الحرجة والتي عندها تكون طاقة أشعة الإنكسار تسير على طول حد الإنكسار. وربما يكون حد الإنكسار بين أى وسطين أفقيا أو مائلا.



شكل (2-31):

من شكل (2-31) وتطبيق قوانين هندسة البصريات والصوتيات، فإن معامل الإنكسار للوسط الأول μ_0 والذي خلاله تخترق الموجه مكونه عدة زوايا سقوط على سطح الإنكسار يكون دائما ثابتا. ومعامل الإنكسار للوسط الثاني μ_1 والسرعة في الوسط الأول V_0 والثاني V_1 ، زاوية السقوط في الوسط الأول، i_1 زاوية الإنكسار في الوسط الثاني فتبعا لقانون سنل Snell فإن

$$\mu_0 \sin i_0 = \mu_1 \sin i_1$$

$$\text{وحيث } \frac{1}{V} = \mu \text{ فإن}$$

$$\frac{\sin i_0}{V_0} = \frac{\sin i_1}{V_1}$$

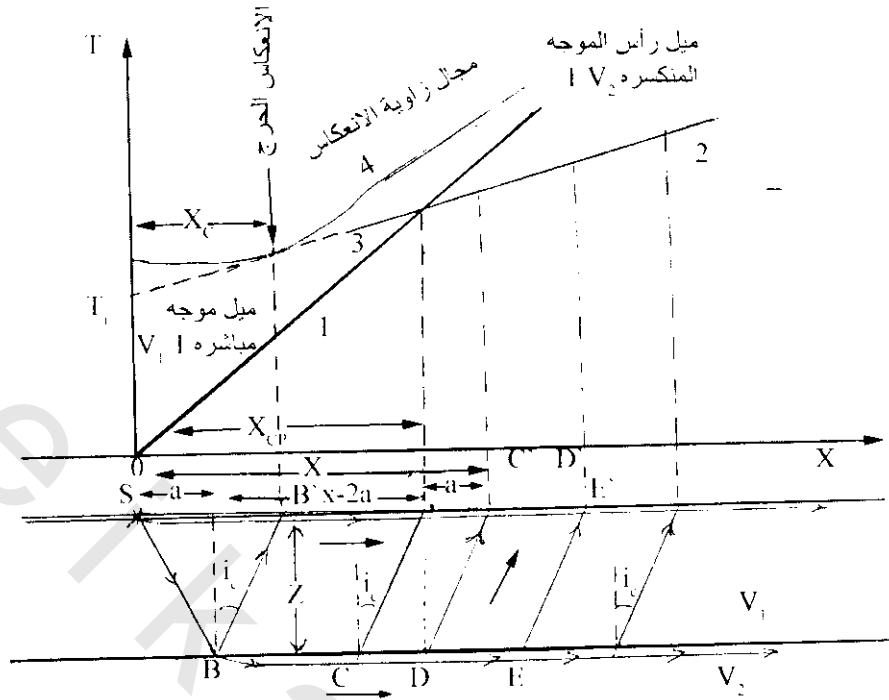
وعندما تساوى زاوية السقوط الزاوية الحرجة أى $i_1 = i_0$ والزاوية الحرجة هى زاوية سقوط يقابلها زاوية إنكسار مقدارها 90°

$$\therefore \frac{\sin i_0}{V_0} = \frac{\sin 90}{V_1} = \frac{1}{V_1}$$

$$\therefore \sin i_0 = \frac{V_1}{V_0}$$

2.1.4.4.2 تخريط الفواصل الأفقية Mapping of Horizontal Interfaces:

باعتبار أيسر حالة لذلك وهى طبقتين بسرعات V_1 & V_2 حيث $V_1 < V_2$ مفصولين بواسطة سطح فاصل على عمق شكل (2-32) وعندما يحدث إنفجار عند S تتحرك الطاقة فى جميع الاتجاهات. وتصطدم الموجه الساقطة SB بالسطح الفاصل عند الزاوية الحرجة i_0 منكسرة على طول السطح الفاصل وعندما تسير هذه الموجه المنكسرة على طول السطح الفاصل بسرعة V_2 للطبقة السفلى فإنها ترسل جزء من طاقتها كموجة إلى الطبقة التى تعلوها بزاوية إنشاق تساوى زاوية السقوط i_0 . ويوجد عدد لانهاى من هذه الموجات المنبعثة من الحد الفاصل مثل (DD' , CC' , BB') (الخ) وأول هذه الموجات التى تسير على طول BB' هى موجة حرجة منعكس (هذه الموجه من أولية الإهتمام فى مجال زوايا الإنعكاس). ويمكن إيجاد قيمة السرعة (تشير لنوع الطبقات) وعمق الطبقة التى تسير فيها الموجات (تعطى صورة عن التركيب الجيولوجى التحت سطحى) بثلاثة طرق:



شكل (32-2): أساس طريقة السيزمية الانكسارية، ويوضح الرسم منحنيات فترات الزمن مباشرة، موجات حرجة منكسرة (رؤوس موجات)، وأخيرا يرى وصول الموجات المنكسرة والمنعكسة بالأعداد 4,3,2,1 على التوالي، ويلاحظ أن الموجات المنكسرة الحرجة يبدأ وصولها بعد المسافة الحرجة X_c ولكنها تدرك الموجه المباشرة عنها تقدير المسافة X_c .

1.2.1.4.4.2 الطريقة العامة:

فترة الزمن لمسافة الشعاع الموجي المنكسر SBDD'

$$T = T_{SB} + T_{BD} + T_{DD'}$$

$$\frac{\text{المسافة}}{\text{السرعة}} = \text{حيث أن الزمن}$$

$$\therefore T = \frac{SB}{V_1} + \frac{BD}{V_2} + \frac{DD'}{V_1}$$

$$\text{وحيث أن } SB = DD'$$

$$= \frac{2SB}{V_1} + \frac{BD}{V_2}$$

$$\text{وحيث أن}$$

$$Z = SB \cos i_c$$

$$\& BD = X \hat{n} 2a \& a = z \tan i_c$$

$$\& BD = X 2 \tan i_c$$

$$\begin{aligned}\therefore T &= \frac{2}{V_1} \frac{Z}{\cos i_c} + \frac{x - 2z \tan i_c}{V_2} \\ &= \frac{X}{V_2} + \frac{2z}{V_1 \cos i_c} - \frac{2z \sin i_c}{V_2 \cos i_c}\end{aligned}\quad (2-18)$$

وحيث أن

$$\begin{aligned}V_2 &= \frac{V_1}{\sin i_c} \text{ (قانون سنل)} \\ \therefore T &= \frac{X}{V_2} + \frac{2Z}{V_1 \cos i_c} - \frac{2Z \sin^2 i_c}{V_1 \cos i_c} \\ &= \frac{X}{V_2} + \frac{2Z(1 - \sin^2 i_c)}{V_1 \cos i_c} \\ &= \frac{X}{V_2} + \frac{2Z \cos^2 i_c}{V_1 \cos i_c} \\ T &= \frac{X}{V_2} + \frac{2Z \cos i_c}{V_1}\end{aligned}\quad (2-19)$$

وحيث أن

$$\begin{aligned}\sin i_c &= \frac{V_1}{V_2} \\ \therefore \cos i_c &= \frac{\sqrt{V_2^2 - V_1^2}}{V_2} \\ \therefore T &= \frac{X}{V_2} + 2Z \frac{\sqrt{V_2^2 - V_1^2}}{V_1 V_2}\end{aligned}\quad (2-20)$$

وحيث أن X قيمة معلومة وهي المسافة ما بين نقطة التفجير والتسجيل T الزمن المقاس (الفرق بين زمن الانفجار والتسجيل) وحيث أن من خصائص المنحنى (منحنى فترات الزمن - منحنى الزمن والمسافة) أن مقلوب الميل لكل قطعة يساوى السرعة.

∴ من المعادلة السابقة يمكن حساب Z عمق الطبقة العلوية ذات السرعة V_1 .

2.2.1.4.4.2 طريقة الزمن المقطوع Time Intercept:

عند $X = 0$ ، فإن $T = T_i$

حيث T_i هي الزمن المقطوع، ويمكن إيجاده من تقاطع امتداد القطعة الثانية من المنحنى مع المحور الصادي (محور الزمن وفي هذه الحالة تصبح المعادلة (2-19))

$$T_i = 2Z \frac{\sqrt{V_2^2 - V_1^2}}{V_1 V_2}\quad (2-21)$$

وبمعرفة T_i والسرعات يمكن إيجاد Z

3.2.1.4.4.2 المسافة (X_{co}) Over Cross Distance :

هى نقطة تقاطع القطعتين على المحور السينى وتسمى المسافة بين هذا المسقط ونقطة الأصل بالمسافة الحرجة. وهذه تعنى أن الموجه المباشرة التى تسير على طول الطبقة العلوية ذات السرعة V_1 والموجه التى تنكسر على طول الحد الفاصل يصل إلى المسجل فى نفس الزمن، أى من المعادلة

$$\frac{C_{co}}{V_1} = \frac{X_{co}}{V_2} + 2Z \frac{\sqrt{V_2^2 - V_1^2}}{V_1 V_2}$$

$$X_{co} \left(\frac{1}{V_1} - \frac{1}{V_2} \right) = 2Z \frac{\sqrt{V_2^2 - V_1^2}}{V_1 V_2}$$

$$X_{co} \frac{V_2 - V_1}{V_1 V_2} = 2Z \frac{\sqrt{V_2^2 - V_1^2}}{V_1 V_2}$$

$$X_{co} (V_2 - V_1) = 2Z \sqrt{(V_2 - V_1)(V_2 + V_1)}$$

$$X_{co} = \frac{2Z}{(V_2 - V_1)} \sqrt{(V_2 - V_1)(V_2 + V_1)}$$

$$= 2Z \sqrt{\frac{(V_2 - V_1)(V_2 + V_1)}{(V_2 - V_1)(V_2 - V_1)}}$$

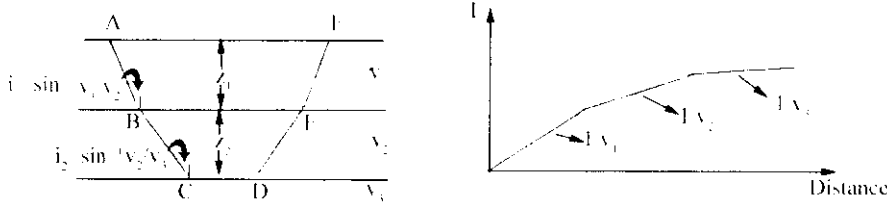
$$X_{co} = 2Z \sqrt{\frac{(V_2 + V_1)}{(V_2 - V_1)}} \quad (2-22)$$

وبتحديد X_{co} والسرعات من شكل 34 يمكن إيجاد Z .

ويمكن أن تمتد طريقة تفسير الطبقتين السابقة إلى عدد من الطبقات لسرعات $V_1, V_2, V_3, V_4, \dots, V_n$ طالما $V_{n+1} > V_n$ فمثلا حالة طبقتين فسوف يوجد ثلاث قطع على منحنى الزمن*. والمسافة شكل (2-33) ويمكن تحديد السرعات V_1, V_2, V_3 من هذه القطع (السرعة مقلوب ميل القطع). ويمكن تحديد أعماق فواصل الإنكسارات (تمثل عمق الطبقات) Z_1 & Z_2 من تقاطع القطعة الثانية والثالثة مع المحور الصادى (محور الزمن) حيث تمثل هذه التقاطعات الأزمنة المقطوعة $Ti_{(1)}, Ti_{(2)}$ ، وبتطبيق قانون زمن التقاطع يمكن تحديد الأعماق (المعادلة رقم 2-21) والقانون العام لذلك هو

$$Ti_{(n)} = 2 \sum_{i=1}^{n-1} \frac{Z_i \sqrt{V_n^2 - V_i^2}}{V_i V_n} \quad (2-23)$$

* ملحوظة هامة: عدد قطع المنحنى يزيد واحد عن عدد الطبقات

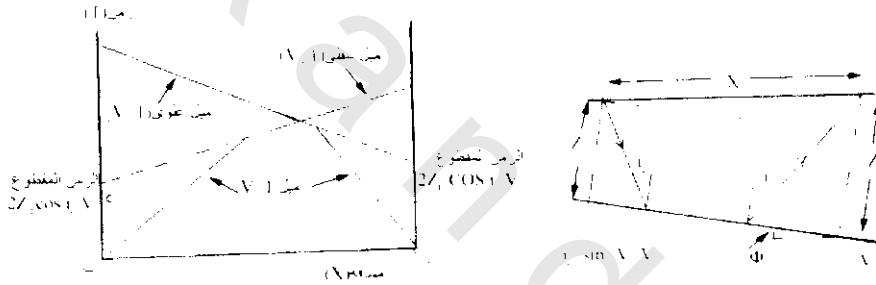


شكل (33-2):

3.1.4.4.2 تخريط الخطوط الفاصلة المائلة (طبقات مائلة)

Mapping of Dipping Interfaces (Dipping Beds):

لمعرفة الطبقات أفقية أو مائلة فإنه يتبادل وضع نقط التفجير مع آخر كاشف على البروفيل فإن كان رسم العلاقة للزمن والمسافة المتبادلين متساوي الميل للقطع فإن الطبقة تكون أفقية. أما إذا كان الميل غير متساوي فإن الطبقة تكون مائلة، أي الحد الفاصل بين سرعتين V_1 و V_2 يكون مائلا، ويمكن تحديد زاوية ميل الحد الفاصل للطبقة الإنكسارية من نتائج منحنى العلاقة بين الزمن والمسافة كما في شكل (34-2).



شكل (34-2): رسم خطي يوضح إنكسار حرج على طول خط فاصل بميل بزاوية ϕ ، وكلا المجموعتين العلاقة بين الزمن والمسافة تبعا للميل العلوي والسفلي على طول خط الانفجار والانفجار العكسي أب (دبرون 1960 Dobrine).

يوضح الشكل (34-2) حالة إنكسار فيها الحد الفاصل بين طبقتين بميل بزاوية ϕ مع الأفقى. ويعطى الانفجار والانفجار العكسي على طول البروفيل أب علاقة بين الزمن والمسافة لطرفي البروفيل، حيث يعطى الميل العكسي للقطعة الأولى لكلا الحالتين سرعة الطبقة العليا V_1 ، وعلى العكس فإن عكس ميل القطعة الثانية يختلف في كلتا الحالتين معطيا عكس ميل ظاهري علوي وسفلي V_u و V_d والذي يرتبط بعلاقة مع V_2 للطبقة الثانية تبعا للمعادلة

$$V_d = V_1 / \sin(i_c + \phi) = V_2 \sin i_c / \sin(i_c + \phi) \quad (2-24b)$$

$$V_u = V_1 / \sin(i_c - \phi) = V_2 \sin i_c / \sin(i_c - \phi) \quad (2-24b)$$

حيث

$$i_c = \sin^{-1} V_1 / V_2$$

وبحل المعادلتين نحصل على

$$\phi = \frac{1}{2} (\sin^{-1} V_1/V_d - \sin^{-1} V_1/V_u) \quad (2-25)$$

$$\& \quad i_c = \frac{1}{2} (\sin^{-1} V_1/V_d + \sin^{-1} V_1/V_u) \quad (2-26)$$

من المعادلة (2-25) يمكن حساب الميل مباشرة، ويكون الميل المستنتج في اتجاه خط (التفجير - الكاشف أب). وبوضع بروفييل عمودى على بروفييل شكل (2-34) واتباع الخطوات السابقة، من هذا يمكن حساب الميل الكلى لمنطقة الدراسة واتجاهه وكذلك مضربه.

وبتحديد i_c من المعادلة (2-26) يمكن الحصول على قيمة V_2 من العلاقة $i_c = V_1/V_2$. وكذلك يمكن الحصول العمق في طرفي البروفيل من علاقة الزمن المقطوع

$$Z_u = \frac{V_1 T_{int.(u)}}{2 \cos i_c} \quad (2-27)$$

$$Z_d = \frac{V_1 T_{int.(d)}}{2 \cos i_c} \quad (2-28)$$

4.1.4.4.2 تأثير الزيادة المنتظمة للسرعة مع العمق

Effect of Uniform Increase of Velocity with Depth:

من أهم دلائل المسح الإنكسارى فى أحواض الترسيب هو استمرار زيادة السرعة مع العمق، حيث تأثير العمق على السرعة متوقع بشكل كبير للصخور الحديثة والتي ربما ما تزال معرضة لزيادة الإنضغاط بينما الصخور القديمة والتي تعرضت لطول التاريخ للحركات الرأسية والإنضغاط لها سرعات كبيرة لاتعتمد على العمق الحاضر للدفن. والمعدل العام لزيادة السرعة مع العمق وجد فى التتابع الرسوبى بمعدل حوالى 0.3 إلى 1 م/ث لكل متر.

وهناك احتمال لوجود مشاكل فى دراسة إنكسار الموجه فى القطاع الجيولوجى الذى فيه تزيد السرعة باستمرار مع العمق شكل (2-35) وهذه المشاكل تحدث بسبب إنحناء طريق الأشعة للموجه المنكسرة وللزيادة المنتظمة للسرعة مع العمق لذلك فإن أكبر عمق للاختراق يعبر عنه بواسطة المعادلة الآتية

$$V = V_0 + KZ \quad (2-29)$$

حيث V = السرعة عند العمق Z

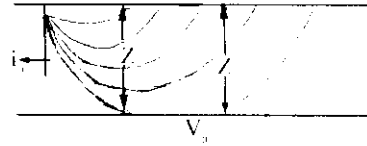
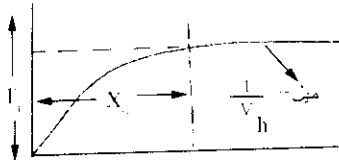
V_0 = السرعة عند العمق صفر أى فوق نقطة التفجير

K = ثابت

تطبق هذه المعادلة لتمثل تغير السرعة فى الأحواض الرسوبية. وأكبر عمق للاختراق يعبر عنه بواسطة المعادلة الآتية

$$Z_{max} = \sqrt{(X/2)^2 + (V_0/K)^2} - V_0/K \quad (2-30)$$

حيث X المسافة بين نقطة التفجير والتسجيل، (مجموعة القيم النموذجية لـ V_0 & K هى 2400 م/ث & 0.5 م/ث لكل متر تباعاً).



شكل (2-35): طرق موجيه ومنحنى الزمن - المسافة لقطاع رسوبي ، حيث تزيد السرعة خطيا مع العمق ، لطبقة تعلو سرعة عالية (نيتلتون 1940 Nettelton)

5.1.4.4.2 زمن التأخير The Delay Time:

تبعاً لنيتلتون Nettelton فإن الزمن المتأخر لأي قطعة من خط سير الأشعة يحدد كزمن مضاف للموجه المركبه الأفقيه لهذه القطعة عند السرعة العالية التي تصل بواسطة خط السير. من شكل (2-36) فإن زمن التأخير للقطعة (ab) من طريق الموجه يكون الفرق بين الزمن المطلوب لتسير هذه القطعة بسرعة V_1 والزمن المطلوب لتسير المسافة (S) بسرعة V_2 ويسمى هذا زمن تأخير D_{12} حيث يدل على (1) تعريف طبقة التأخير، (2) تشير إلى الطبقة التي فيها يضاف زمن التأخير للحصول على الزمن الكلي لمسار الأشعة

$$\begin{aligned} \therefore D_{12} &= \frac{\ell(ab)}{V_1} - \frac{S}{V_2} \\ &= \frac{Z}{V_1 \cos i} - \frac{Z \tan i}{V_2} \\ &= \frac{Z}{V_1 \cos i} - \frac{Z \sin i}{V_2 \cos i} \end{aligned} \quad (2-31)$$

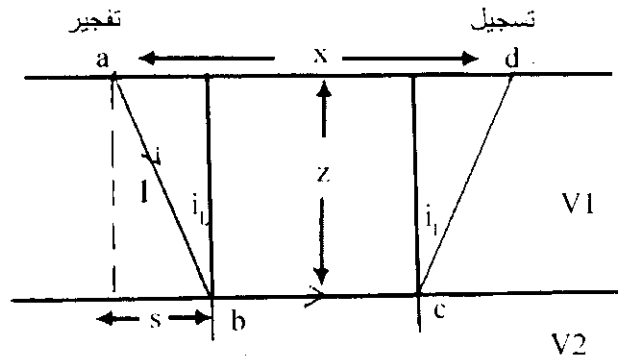
$$\text{وحيث } \sin i = \frac{V_1}{V_2} \quad \text{إذا } V_2 = \frac{V_1}{\sin i}$$

$$\begin{aligned} \therefore D_{12} &= \frac{Z}{V_1 \cos i} - \frac{Z \sin^2 i}{V_1 \cos i} \\ &= \frac{Z}{V_1 \cos i} (1 - \sin^2 i) \\ &= \frac{Z}{V_1 \cos i} \cos^2 i = Z \cos i \\ &= \frac{Z \sqrt{V_2^2 - V_1^2}}{V_1 V_2} \end{aligned} \quad (2-32)$$

ولهذا فإن الأعماق عند كل من D_1^* و D_2^* ممكن تحديدها إذا أمكن فصل الزمن المقطوع إلى مركبات زمن التأخير (في حالة ميل سطح الإنكسار). إذا كان سطح الإنكسار أفقياً فإن قيمة زمن التأخير لكل منهما يساوى نصف الزمن المقطوع.

* D_1 = العمق عند نقطة التسجيل

** D_2 = العمق عند نقطة التفجير



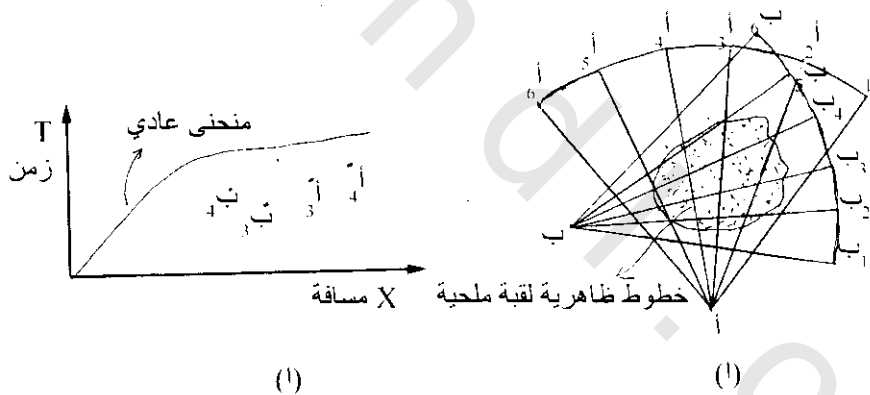
شكل (2-36): فصل الزمن المقطوع إلى زمن تأخير

6.1.4.4.2 ترتيب نقط التفجير والمسجلات فى الاستعمال العادى

Shot and Detectors Arrangement in Common Use:

1.6.1.4.4.2 التفجير المروحي Fan Shooting:

يوضح شكل (٢-٣٧) هذا الترتيب المروحي وفيه توضع الكشافات على مسافات تتراوح من 5-10 كم من نقطة التفجير وفى هذا الشكل تستعمل نقطتى التفجير أ & ب والمتعامدين تقريبا. عند رسم الزمن مع المسافات كما شكل (37 ب) فأتى نقطة تقع أسفل المنحنى تشير لوجود مادة ذات سرعة عالية (مثل الملح) فى مكان بين نقط التفجير والكشافات وسمك هذه المادة على طول مسار الموجه تتناسب مع اختلاف الزمن وتسمى الدليل.

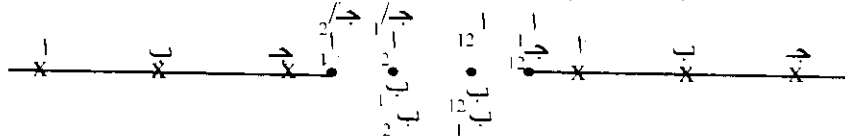


شكل (2-37):

2.6.1.4.4.2 التفجير الخطى Profile Shooting:

يوضح شكل (2-38) نموذج لبروفيل (الخط) إنكسار فمثلا نقط التفجير أ، أ' توفد بالتتابع فإن التسجيلات الإنكسارية تلتقط بواسطة الكشافات من أ₁ إلى أ₁₂.

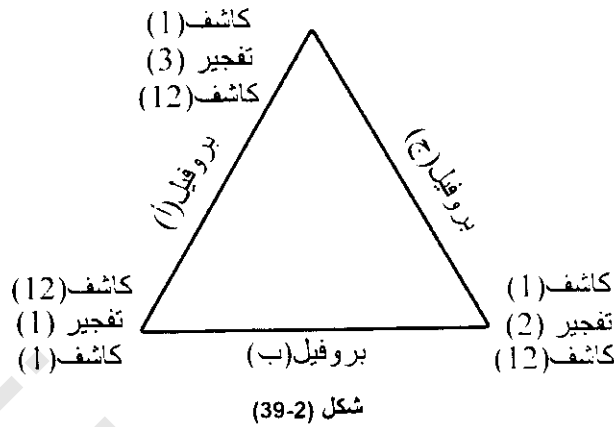
وعامة فإن نقط التفجيرات (أ، ب، ج) يعكس وضعها مع آخر الكشافات (أ، ب، ج')



شكل (2-38):

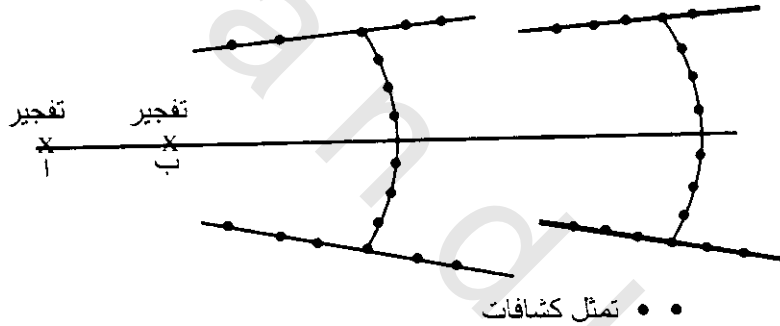
iii- التفجير المثلثي Triangle Shooting:

كما هو موضح في شكل (39-2)



iv- التفجير القوس Arc Shooting:

كما هو موضح في شكل (40-2).



شكل (40-2)

7.1.4.4.2 تطبيقات طريقة الانكسار :Application of the Refraction Method

1.7.1.4.4.2 تخريط الفوالق :Mapping of Faults

1.1.7.1.4.4.2 طبقة ذات سرعة عالية :High velocity bed

إذا أثر الفالق على طبقة ذات سرعة عالية (الطبقة السفلى) وكسرت كما في شكل (41-2) وفي هذه الحالة يتكون منحنى الزمن-المسافة من ثلاثة أجزاء:

1- الجزء السفلي X_n وتكون قطعتها ذات ميل $\frac{1}{V_1}$ وتمثل سطح موجة الانتقال.

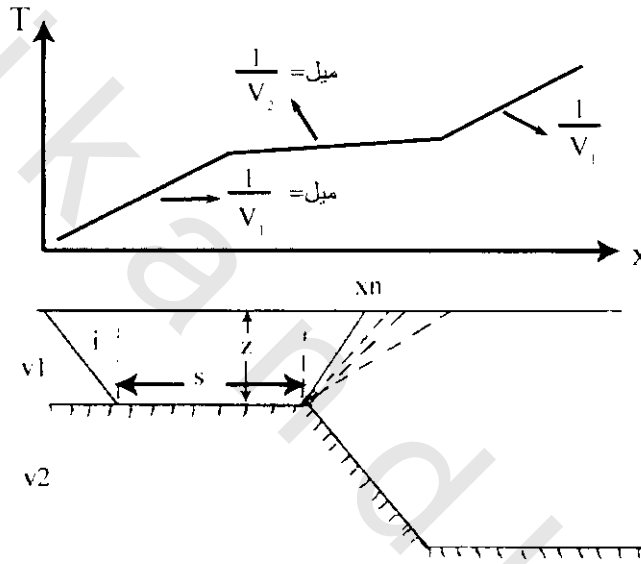
2- الجزء الآخر والذي خلاله تتبع الأشعة نفس الطريقة كما في حالة الطبقة العادية ويكون ميل قطعتها $\frac{1}{V_2}$.

3- خلف X_n سوف تصل الإشعاعات إلى السطح بواسطة خطوط واضحة منقطة، ويدل ذلك على أنه عند المسافات الكبيرة تتحول هذه الإشعاعات إلى فرق زمن تبعا لـ V_2 . إذ خلف X_n فإن ميل المنحنى سوف يزيد تدريجيا إلى $\frac{1}{V_1}$ ويكون الزمن على هذا الجزء من المنحنى كلاتى

$$T = \frac{Z_1 \cos i}{V_1} + \frac{S}{V_2} + \frac{\sqrt{(X-S)^2 + Z_1^2}}{V_1} \quad (2-33)$$

حيث S المسافة إلى أثر الفالق ويمكن حسابها بتحديد X_n لأن

$$S = X_n \tilde{n} X_1 \tan i \quad (2-34)$$



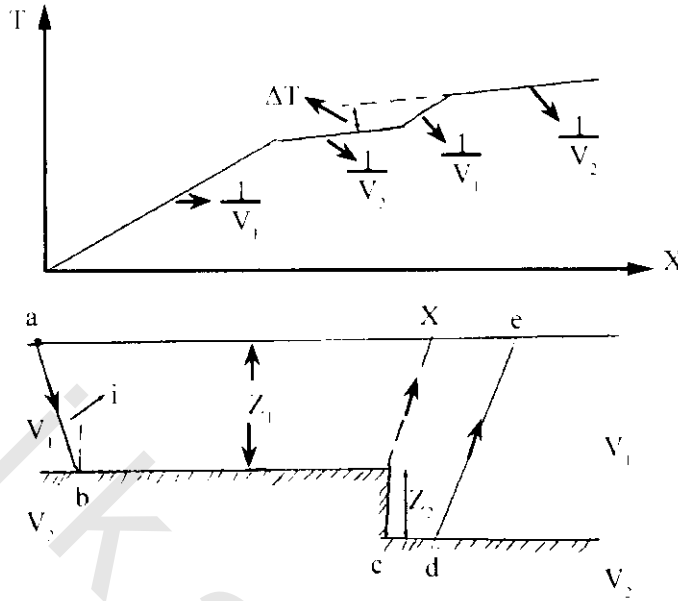
شكل (2-41):

2.1.7.1.4.4.2 رمية فالق سفلى Downthrow fault:

إذا كانت الطبقة ذات السرعة العالية تحت طبقة ذات سرعة منخفضة متصدعة رأسيا بعمق Z_2 فإنه من بروفيل الإنكسار المتعامد على مضرب الفالق يمكن إكتشاف الفالق وحساب رميته Z_2 كما هو موضح فى شكل (42-2) حيث يوجد إزاحة فى فترة الزمن التابعة للسرعة العالية V_2 ، فإذا كانت فترة الزمن ΔT موجبة لرمية الفالق السفلية حيث رمية الفالق ($Z_1 \gg Z_2$) فإنه يمكن حسابها من المعادلات الآتية:

$$\begin{aligned} T_1 &= \frac{2 Z_1 \cos i_c}{V_1} + \frac{X}{V_2} \quad \text{and} \\ T_2 &= \frac{2 Z_1 \cos i_c}{V_1} + \frac{X}{V_2} + \frac{(Z_1 + Z_2) \cos i_c}{V_1} \\ \therefore \Delta T &= T_2 - T_1 \\ &= \frac{Z_2 \cos i_c}{V_1} \end{aligned}$$

$$\therefore Z_2 = \Delta T V_1 V_2 / \sqrt{V_2^2 - V_1^2} \quad (2-35)$$

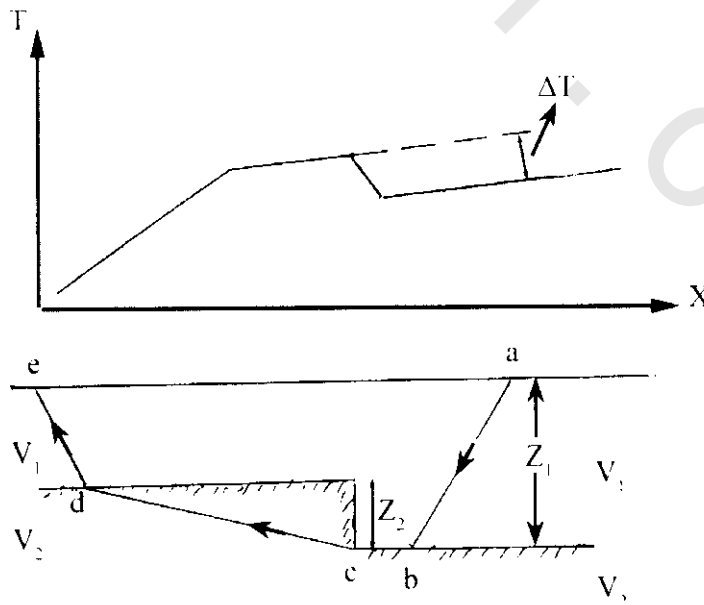


شكل (42-2):

يوضح شكل (43-2) تبادل الأماكن بالنسبة لنقطة التفجير وأماكن وضع الكشافات أى أن نقطة التفجير فوق الرمية السفلية للفاالق والكشافات فوق الرمية العلوية للفاالق وتصبح T_2 كالآتى:

$$T_2 = \frac{Z \cos i}{V_1} + \frac{X}{V_2} + \frac{(Z_1 - Z_2) \cos i}{V_1} \quad (2-36)$$

وبنفس الطريقة السابقة يمكن حساب الأعماق Z_2 و Z_1 .



شكل (43-2):

2.7.1.4.4.2 قبة الملح Salt Dome:

مرور الموجات السيزمية خلال قبة الملح (شكل 2-37) تسبب نقص بين فترات الزمن نتيجة الأزمنة المرشدة عند بعض الكشافات وبواسطة المروحة الثانية والتي تقريبا عمودية على المروحة الأولى يستطاع تحديد مكان وامتداد القمة الملحية ومن مناطق الاستكشافات الحديثة فإن طريقة التفجير المروحي مازال ملائما حيث تغطى مساحات واسعة بالمقارنة بالطرق الأخرى. وأساسا فإن هذه الطريقة تستعمل أيضا لتحديد الطيات المحدبة الكبيرة أو الوديان المدفونة وذلك بحساب زمن التأخير الناتج من التركيبات الملانمة.

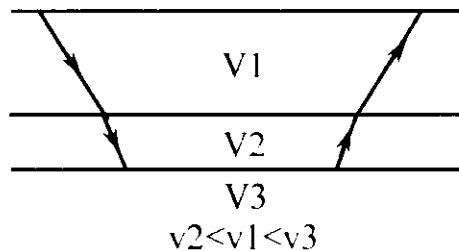
8.1.4.4.2 قابلية التطبيقات والتحديدات لطريقة الإنكسار

Applicability and Limitations of the Refraction Method:

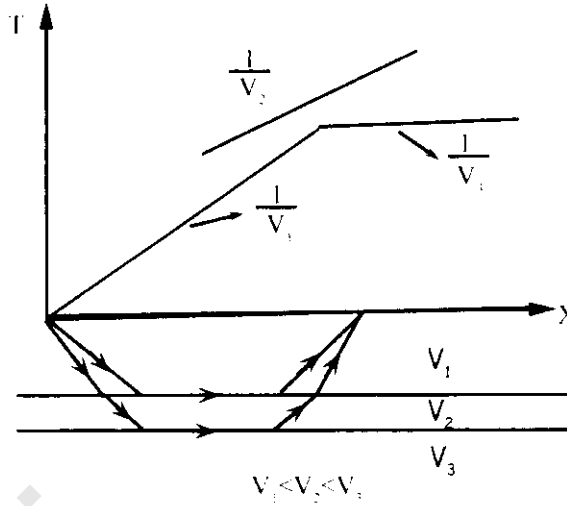
المسح الإنكسارى له بعض المميزات الهامة تفوق عمل الإنعكاس. ففي المناطق البكر حيث لا يوجد أى معلومات ملانمة عن الجيولوجيا تحت سطحية فإن طريقة الإنكسار تكون ذا قيمة للاستكشاف، ومن نتائج المسح الإنكسارى يمكن معرفة السرعات السيزمية وهندسة التكوينات، وعلى العكس فطريقة الإنعكاس تعطى فقط معلومات عن هندسة التحت سطحية وذلك فى غياب نتائج السرعة. والمعلومات الإضافية للسرعات غالبا ماتكون ذات استعمال كبير عند الربط والتعريف للتكوينات المختلفة عند تخطيطها. ولهذا السبب فإن الغالبية العظمى لدراسة القشرة الأرضية العميقة لابد من استنتاجها من الاستطلاعات الإنكسارية. ولطريقة الإنكسار أيضا ميزة هى السرعة والإقتصاد لبحث الأعماق الضحلة (مثل مشاريع الهندسة المدنية لدراسة عمق صخور الأساس).

وعلى الجانب الآخر فإن طريقة الإنعكاس تمتاز عن طريقة الإنكسار بالآتى:

أولا: طريقة الإنكسار لايمكن اكتشافها لطبقة ذات سرعة منخفضة V_2 محصورة بين سرعتين أكبر منها أحدهما أعلاها ذات سرعة V_1 والأخرى أسفلها ذات سرعة V_3 وبالتالي لايمكن تحديد سمكها ويوضح شكل (2-44) هذه المشكلة. لذلك من الصعب تحديد السرعة V_2 ، وينتج أيضا من تأثير وجود الطبقة المتوسطة ذات السرعة المنخفضة زيادة فى تقدير العمق للسطح الكاسر التحتى وهذه الزيادة تعتمد على سمك الطبقة ذات السرعة المنخفضة واختلاف محتوى السرعة.



شكل (2-44): طبقة ذات سرعة منخفضة محصورة بين طبقتين ذات سرعتين عالية



شكل (2-45): طبقة رقيقة جدا ذات سرعة V_2 بين طبقتين وتظهر هذه الطبقة على الوصول الأول لسيزموجرام إنكساري، ولكنها تعطي إشارة ثانية صالحة للاستعمال إذا كانت الشوشرة ليست عالية (نكس 1966 Dix)

ثانياً: يوضح شكل (2-45) أنه في حالة ما تكون الطبقة المتوسطة رقيقة السمك بالنسبة لعمقها فإن موجة الإنكسار فيها لاتصل أبداً للسطح كوصول أولى مثلاً الطبقة الأولى (V_1) تظهر بوضوح وكذلك الطبقة الثالثة (V_3) ولكن الطبقة المتوسطة (V_2) الرقيقة نسبياً لا تظهر أبداً كوصول أولى ولهذا تختار من خلفية الطاقات المختلفة والتي عادة ما يكون تحديدها صعب. والخطأ الناتج من مثل هذه الطبقة المخفية تجعل حساب العمق ضحل جداً أي أن الغطاء الصخري يفترض أنه أقل من الحقيقة بالإضافة لهذا فإن طريقة الإنكسار غير ملائمة لتوضيح التركيب بالتفصيل، ومن الأفضل إنتاج نموذج طبقة بسيطة والذي يكون أكثر تبسيطاً من التركيب المعقد. وتفترض الطريقة أيضاً أنه لا يوجد تغير جانبي للسرعة خلال الطبقات.

9.1.4.4.2 طرق التفسير Methods of Interpretation:

من المهم فحص العلاقة الخطية للزمن – المساحة الناتجة عن عملية المسح السيزمي الإنكساري وذلك لإيضاح التفسير المتوقع، ومن هذه المتطلبات:

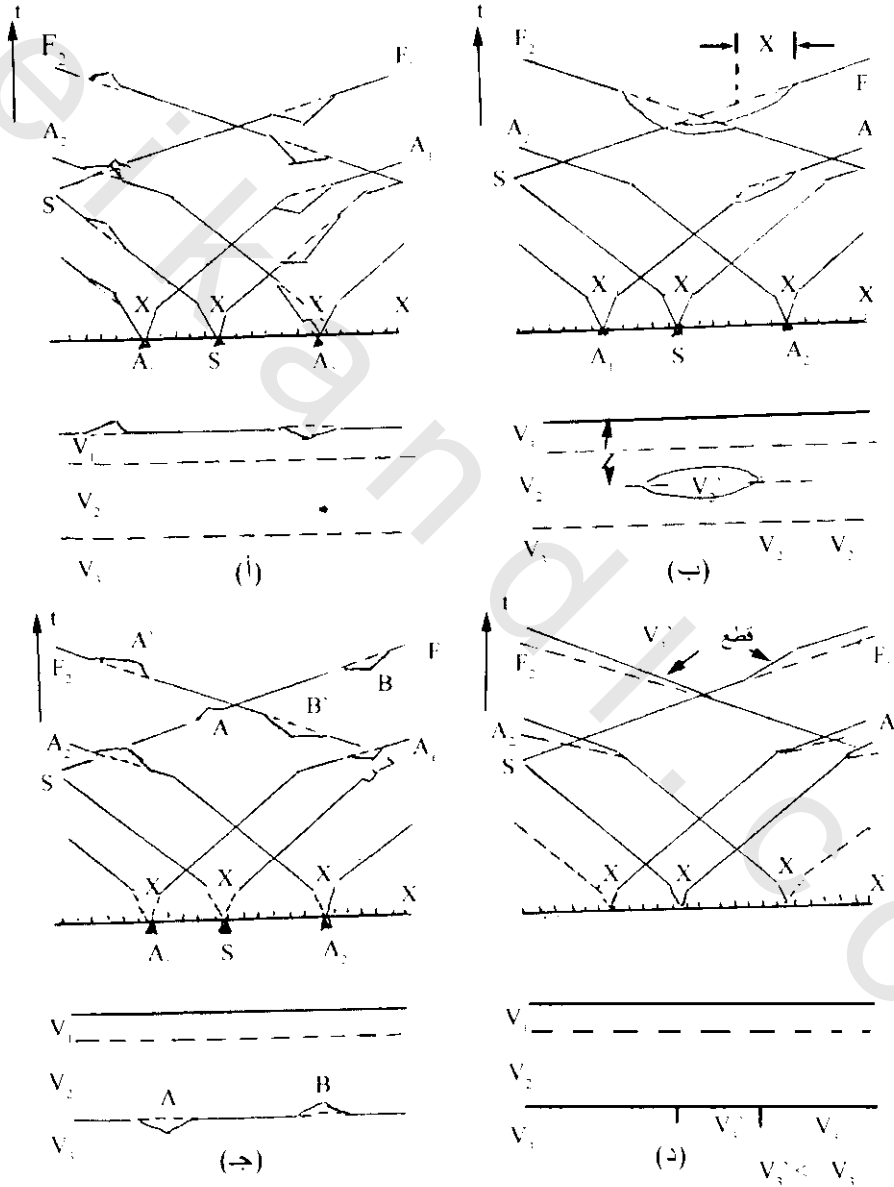
(أ) ضبط نوع النتائج المطلوبة.

(ب) تقرير طريقة التفسير المستخدم بالحلل البسيطة لخطوط الطبقات والإنكسارات المائلة، وأكثر التحليلات تؤدي لنتائج غير دقيقة لحالات عدم إنتظام الإنكسارات لذلك وضعت الضوابط الآتية:

- (i) عزل فترات الزمن الغير حقيقية (المزيفة) للوصول الأولى للموجه بسبب اللقط الخاطئ لأول وصول أو التنقيط الخاطئ لقيمة فترة الزمن الصحيحة.
- (ii) تغير السرعة أو السمك في مناطق قرب السطح.
- (iii) التغير في طوبغرافية السطح.
- (vi) نطاقات اختلاف السرعات خلال معدل متوسطات العمق.
- (v) تحديد ظواهر طوبغرافية على خلاف خط الإنكسار.
- (iv) التغير الأفقي في سرعة الإنكسارات.

بعض شاذات الزمن المصاحبة في الضوابط iii, iv، والموضحة في شكل (2-46) بدون تمييز تنعيم نقاط الالتقاء في نتائج فترات الزمن والتي ربما تعوق ظواهر هامة وبالتالي تنتج تتابع خاطئ في التفسير.

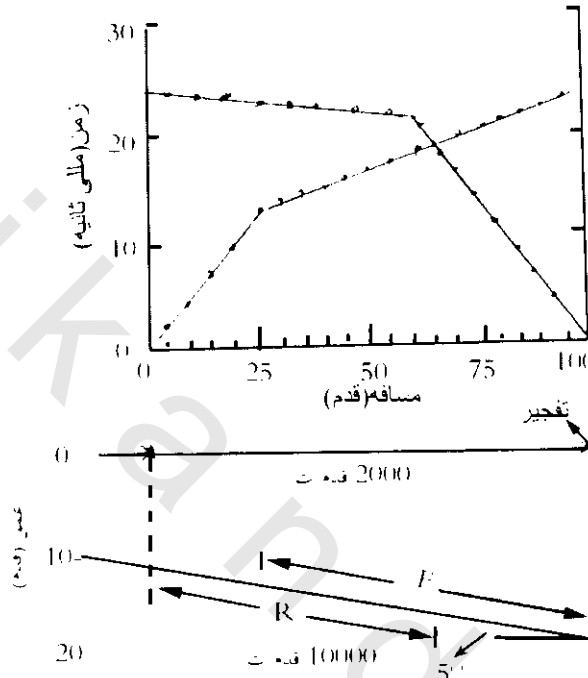
وقد نشرت عدة طرق مختلفة انتهت بالتفسير التقريبي، هما طريقة تأخير الزمن، وطريقة إنشاء مقدم الموجه. وأكثر طريقتين استخدمتا هي طريقة هاجدورن Hagedoorn 1959 (جمع - طرح)، وطريقة التبادل العامة (بالمر 1980 Palmer). وتشير الطرق الحديثة لتعديلات الطرق الأوليه أو إنشاء طرق حسابات جديدة.



شكل (2-46): شذوذ فترات زمنيه وسببها المقابل: (أ) نتوء وقمة، (ب) عدسات بسرعة V_2 في طبقة 2، (ج) قمة ونتوء عند فاصل بين طبقة 2، 3، (د) رأسيا طبقة ضيقة بسرعة V_3 خلال طبقة 3 (أودن 1975 Odins، ويتلي 1977 Whitely).

1.9.1.4.4.2 الطيف Phantoming:

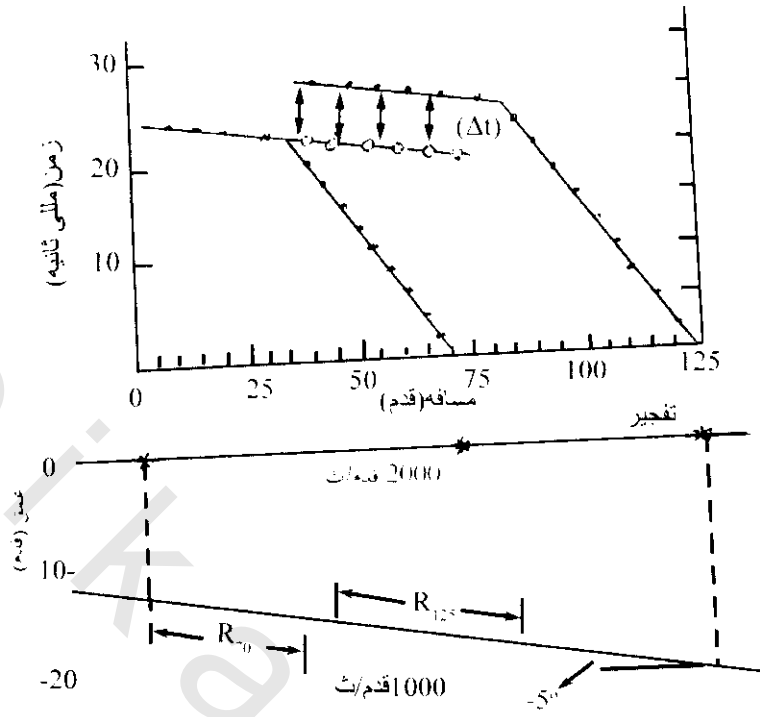
يُحصل على معطيات ميل الإنكسارات تحت سطحية بواسطة عكس نقطة التفجير ونقط التسجيل على طول جزء من الكاسر وليس عليه كلية (شكل 2-47) (لانكستون 1990)، حيث أن نتائج السرعة الظاهرية التي تأتي من الميل العلوى أو الميل السفلى مشتقة من القطع المختلفة للكاسر خطى، عندئذ فإن إستخدام مثل هذه السرعة الظاهرية لاستنتاج سمك الطبقة وزاوية الميل تكون مضبوطة.



شكل (2-47): طبقات متراكبة تحت سطحية غطت بانفجار في إتجاه وعكسه عبر ميل منكسر وعلاقة الزمن والمسافة المقابلة له (لانكستون 1990)

إذا لم يوجد تغير جانبي في سرعة الإنكسار أثناء تحريك نقطة الانفجار والكشافات، عندئذ تكون نتيجة شكل علاقة الزمن-المسافة من منبع الموجه المتولده من نقطة التفجير عند زيادة الإزاحة هو تأخر في فترة الزمن، ولكن لها نفس التدرج الذى ينتج لو كانت نقطة التفجير على النهاية المقابلة (شكل 2-48). التوازي الملاحظ فى الرسم لشكل فترات الزمن يدل على أن الاختلاف فى فترة الزمن ثابت لكل مكان كاشف. بطرح فرق هذا الزمن عن زمن وصول الموجه الأولى (الأصلية) من الكاسر فى الحالة الثانية، أى بعد إزاحة نقطة التفجير، عندئذ تكون فترات الأزمنة المخفضة المسجلة من التفجير الأول عبر المسافة بين النهاية والتفجير والمسافة المشتركة المتقاطعة بينهما هى وصول الزمن المزاج والذى يعرف بالوصول الطيفى Phantom arrivals (رديبات rodpath 1973) والعملية نفسها تسمى الطيفى phantoming.

تؤدى هذه العملية للحصول على معلومات للوصول الأول الحقيقى بين النهاية والتفجير والمسافة المتقاطعة الأصلية والتي تسجل من التفجير الاول.



شكل (2-48): رسم خطى لفترات الزمن والمسافة ومدى التغطية تحت سطحية من تراكب سرعتين مختلفتين الإتجاه، الدوائر المفتوحة تشير لوصول طيفى (لانكستون 1990)

2.9.1.4.4.2 طريقة هاجيدورن (جمع-طرح) Hagedoorn (Plus-Minus) Method:

فى هذه الطريقة يفترض أن الطبقات متجانسة وكذلك وجود فوارق كبيرة بين السرعات وزاوية ميل الكاسر تقل عن 10°. تستخدم هذه الطريقة الزمن المقطوع والزمن المتأخر فى حساب العمق للكاسر تحت أى كاشف. من شكل (2-47) يمكن إيجاد الزمن الكلى للتأخير. حيث يعادل مجموع تأخر الزمن عند نقطة التفجير وتأخر الزمن عند الكاشف.

الزمن الكلى للتأخر

$$\delta t = T_{SG} - T_{PQ}$$

$$T_{SG} = (SA + BG)/V_1 + AB/V_2 \quad \&$$

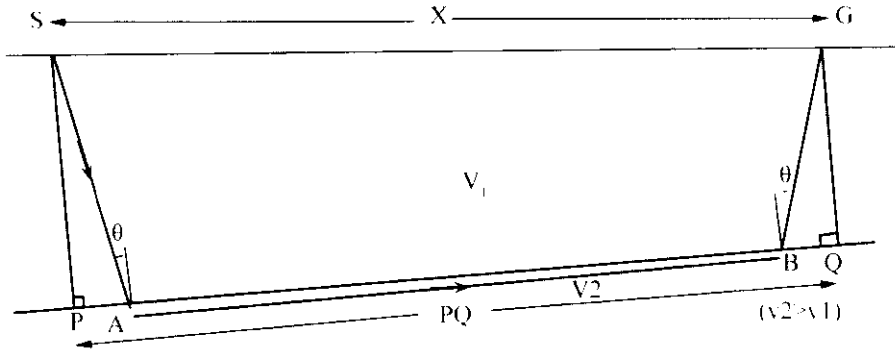
$$T_{PQ} = PQ/V_2$$

$$\therefore \delta t = (SA + BG)/V_1 - PQ/V_2$$

$$= (SA + BG)/V_1 - (PA + BQ)/V_2$$

$$= (SA/V_1 - PA/V_2) + (BG/V_1 - BQ/V_2)$$

$$= \delta t_s + \delta t_g \approx T_{SG} - X/V_2$$



شكل (2-49): اساس التأخير الزمني

وبالتالى فإن

$$T_{SG} = X/V_2 + \delta t_S + \delta t_G \quad (2-37)$$

حيث δt_s & δt_g زمن التأخير عند نقطة التفجير والكاشف في حالة الكاسر الأفقى فإن $\delta t = t_i$ حيث t_i الزمن المقطوع من شكل (32-2) (العلاقة X & T).

تحدد طريقة هاجدورن (جمع-طرح) أزمدة التأخير من نتائج تحليل الإنكسار من كلا نقطة انفجار وعكسها، وعندئذ يمكن تحديد سرعة وعمق الكاسر تحت أى كاشف. من المعادلات الآتية وشكل (2-50) يمكن تحديد زمن التجميع T^+ ومن التأخير T^- .

وبهذا يمكن تحديد العمق عن طريق السرعة (كم/ث) والزمن بالمللي ثانية فيكون العمق بالمتر. ويكون دقة نسبة العمق في هذه الحالة حوالي 10% ويمكن حساب T^+ , T^- كالآتي

$$t_{AG} = X/V_2 + \delta t_g + \delta t_s \quad (2-38)$$

$$t_{BG} = (L-X)/V_2 + \delta t_g + \delta t_s \quad (2-39)$$

$$t_{AB} = L/V_2 + \delta t_a + \delta t_b \quad (2-40)$$

ويعطي مجموعة هاجدورن T^+ كالآتي:

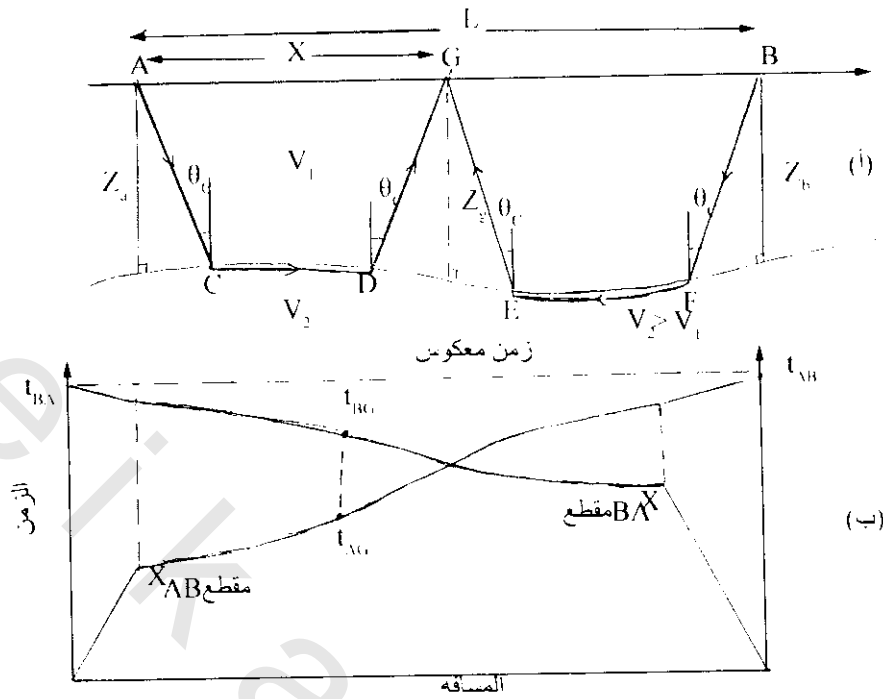
$$\begin{aligned} T^* &= t_{AG} + t_{BG} \bar{n} t_{AB} = 2 \delta t_g \\ &= 2 Zg (\cos \theta_c) / V_1 \end{aligned} \quad (2-41)$$

$$\therefore Z_g (\text{العمق عند الكاشف}) = T^+ / V_1 / 2 \cos \theta_c$$

$$= (T^+) V_1 V_2 / 2 (V_2^2 - V_1^2)^{1/2} \quad (2-42)$$

ویکون طرح هاجدورن T- کالاتی:

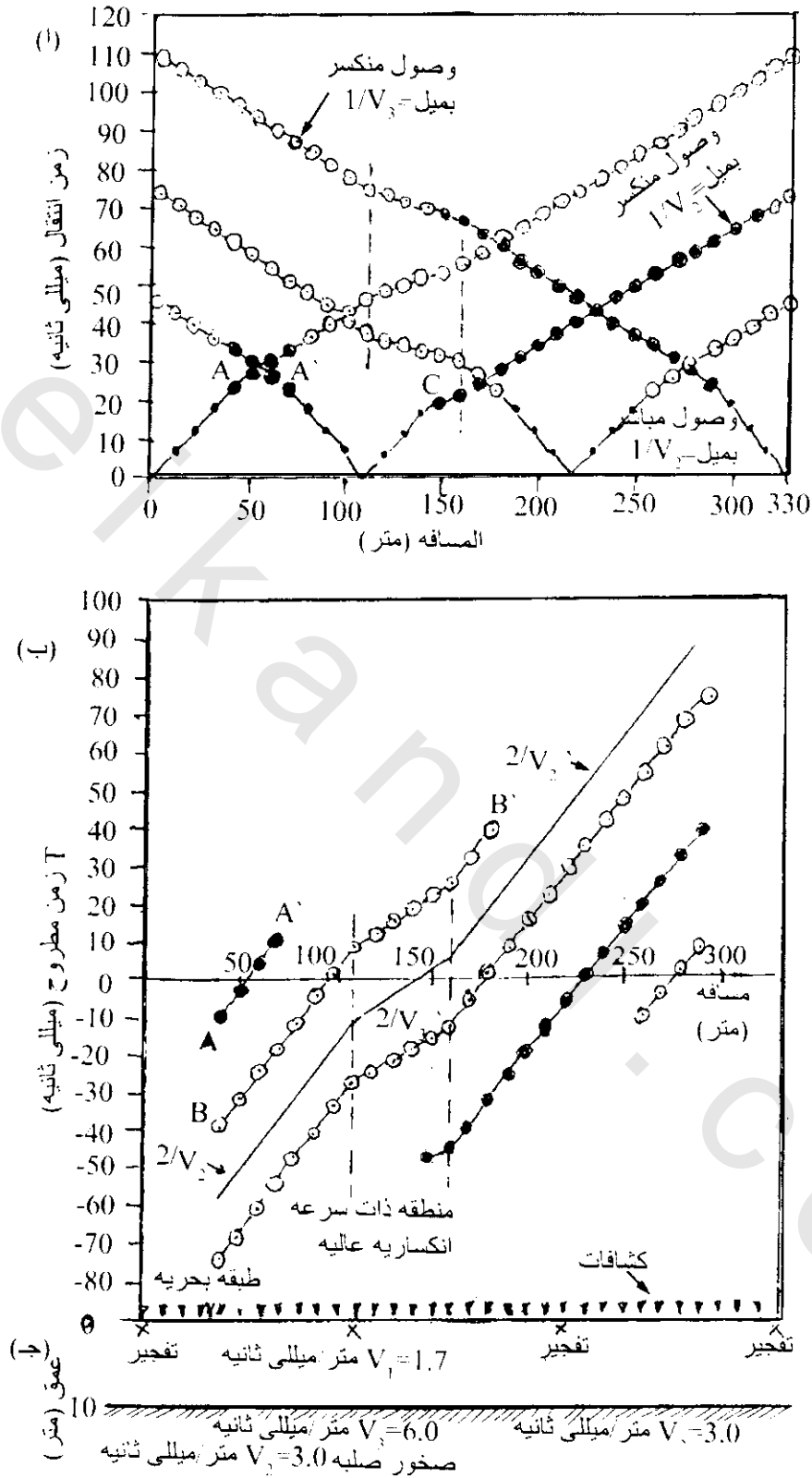
$$\begin{aligned} T &= t_{AG} = t_{AB} - t_{GB} \\ &= (2X-L)V_2 + \delta t_a - \delta t_b \end{aligned} \quad (2-43)$$



شكل (50-2): (أ) أشعة هندسية لتفجير وعكسة عبر كاسر لسطح غير منتظم طوبغرافية، (ب) رسم خطى لعلاقة الزمن - المسافة. القطع بين المسافات المتصلة بالتقاطعات وضحت بواسطة خطوط ثقيلة مثل هذه القطع التى تستخدم فى طريقة تحليل هجورن (جمع-طرح)

ويمثل شكل (51-2) طريقة (جمع-طرح) هاجدورن حيث تستخدم فى هذه الطريقة آلات الحاسب الحديثة وبرامج سوفت وير (software). تعتمد هذه الطريقة على تبادل نقطة الانفجار والتسجيل، وتستخدم إزاحة الإنكسار للحصول على تركيب واضح للكاسر ومعلومات عن أى تغير محلى جانبى بداخله. وتستخدم إزاحة الإنكسار إزاحة المسافة التى تفصل أفقياً النقطة الحرجة على الكاسر حيث تنكسر الأشعة وتظهر على السطح.

ويشير (سيزوجرين 1984 Sjoren) على أنه ربما لاتحدد إزاحة المسافة بالضبط الطبقات الرفيعة التى لها سرعة سيزمية منخفضة. وربما تكون هذه الطبقات هى هدف المسح الإنكسارى، لذلك من المهم أن تكون طريقة التفسير ملائمة لحل مثل هذا الغرض.



شكل (2-51): (أ) رسم مركب لزمن انتقال-مسافة، (ب) رسم طرح هاجدورن، (ج) عمق محسوب للكاسر جاردنر 1992 Gardener

1.2.9.1.4.4.2 طريقة التبادل العام General Reciprocal Method:

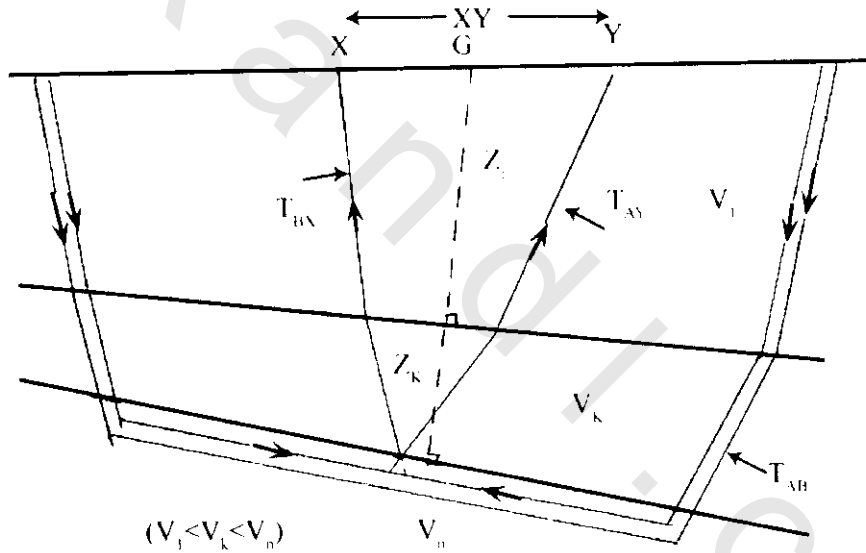
أشار بالمر 1991 Palmer إلى أن إختيار إزاحة المسافة لتحديد سطح الإنكسار لا تكون هامة بنفس الأهمية التي تعطى أفضل معلومة عن سرعة الإنكسار. تبعاً لذلك فإن طريقة التبادل العام (GRM) General Reciprocal Method يمكن استخدامها بنجاح لتحديد سرعة الطبقات الرفيعة ولكي تزيد ضبط طريقة GRM، افترض زانزي 1990 Zanzi الأخذ في الإعتبار بالتصحيات الغير خطية في حالة الكاسر الغير منتظم. شكل (52-2) يوضح معاملات هذه الطريقة والمعاملات الآتية تشير لاستنتاج هذه المعاملات. معادلة تحليل سرعة الكاسر t_v .

$$t_v = (T_{AY} \hat{n} T_{BX} + T_{AB})/2$$

حيث

$$AY = AG + XY/2 \quad \&$$

$$BX = AB \hat{n} AG + XY/2$$



شكل (52-2): موجز شكل تخطيطي لمعاملات تستخدم في طريقة التبادل العام (GRM) General Reciprocal Method

في العلاقة بين T_v والمسافة X يكون الميل $1/V_n$ حيث V_n السرعة السيزمية في الكاسر (عند طبقة n). وتعطى معادلة الزمن - المسافة كالآتي:

$$t_G = [T_{AY} \hat{n} T_{GX} - (T_{AB} + XY/V_n)]/2 \quad (2-44)$$

وتكون العلاقة بين الزمن-المسافة بالنسبة لنقطة G لها علاقة بالأسماك (Z_{jG}) للطبقات الفوقية.

$$\therefore t_G = \sum_{j=1}^{n-1} Z_{jG} (V_n^2 - V_j^2)^{1/2} / V_n V_j \quad (2-45)$$

حيث Z_{jG} السمك العمودي تحت G و V_j سرعة سمك j^{th} .

أفضل مسافة لـ XY لها علاقة بالسمك Z_{jG} والسرعة V_j و V_n بواسطة

$$XY_{opt} = 2 \sum_{j=1}^{n-1} Z_{jG} \tan \theta_{jn} \quad (2-46)$$

حيث

$$\sin \theta_{jn} = V_j/V_n$$

تعطى أفضل مسافة XY_{opt} معدل متوسط سرعة (V') لجميع الطبقات فوق الكاسر (n طبقة)

$$\therefore V' = [V_n^2 \times Y_{opt}/(XY_{opt} + 2 t_G V_n)]^{1/2} \quad (2-47)$$

عند أفضل قيمة لـ XY لكلا من الأشعة المتقدمة والمعوكة، يفترض أن لها كاسر دقيق عند أو قريب جدا من نفس النقطة على الكاسر. أفضل قيمة لـ XY في تحليل السرعة المحددة من العلاقة بين الزمن والعمق تكون تقريبا كخط مستقيم، عامة فإن أفضل قيمة لـ XY تكون متساوية لكلا من تحليل السرعة والعلاقة بين الزمن-العمق.

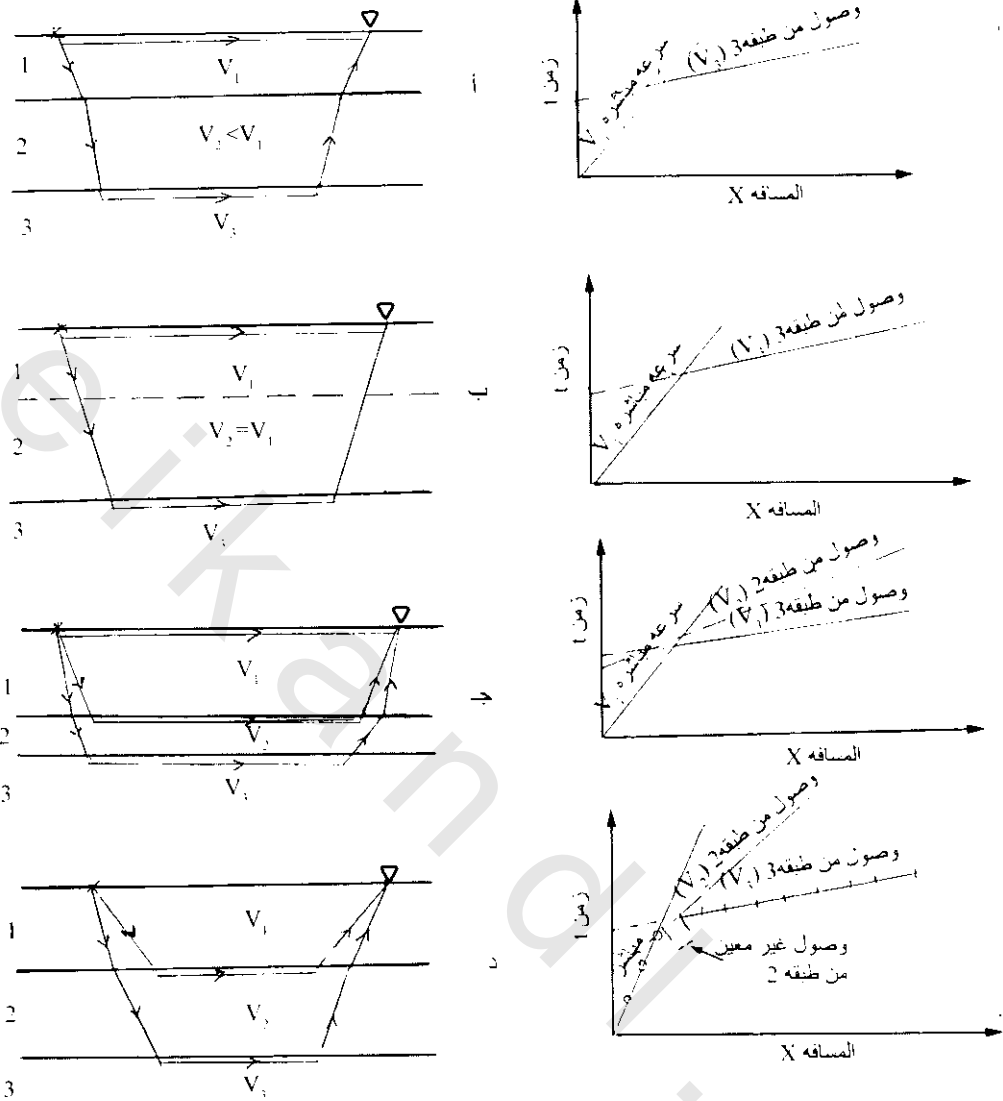
بتحديد قيم من سرعة الإنكسار من معادلة تحليل السرعة (t_v) ، وكذلك تحديد أفضل قيمة لـ XY ، عندئذ يمكن استخدام معادلة XY_{opt} لحساب العمق العمودي لكاسر أسفل مكان كل كاشف. وربما تكون هذه القيم محل هندسى لأعماق مركز على مكان معطى للكاشف، وعندئذ، يكون القوس المرسوم عند مكان الكاشف بنصف قطر يكافئ العمق المحسوب، ويعين السطح المنكسر بواسطة رسم المماس للأقواس المنشأة. ولذلك فإن هندسة الكاسر تزاوج للمكان المضبوط في الفراغ (لانكستون 1990).

2.2.9.1.4.4.2 مشكلة الطبقة المخفية Hidden-Layer Problem:

تحدث الطبقة المخفية أو الطبقة المستورة عندما لاكتشف بواسطة الإنكسار السيزمى، ويوجد أربعة أسباب لهذا:

- أ- السرعة المنعكسة
- ب- نقص تباين السرعة
- ج- وجود طبقة رقيقة
- د- مسافات الكشافات غير ملائمة

ويوضح شكل (2-53) هذه الحالات الأربعة. ففي الحالة الأولى يمكن عدم اكتشاف الطبقة ذات السرعة الأقل من سرعة الطبقة التى فوقها. وفي الحالة الثانية والتى يوجد فيها نقص فى تباين السرعة أى أن $V_2 \approx V_1$ فمن الصعب تحديد وصول بداية الموجه للطبقة ذات السرعة V_2 . وفي الحالة الثالثة حيث تزيد السرعة بزيادة العمق ولكن الطبقة ذات السرعة V_2 رقيقة جدا وأقل من الطول الموجى للموجه الساقطة، فى هذه الحالة ستختفى الطبقة من التسجيل الممثل للعلاقة بين الزمن والمسافة. وأيضا فى حالة وضع الكشافات بمسافات بعيدة فإن جزء من العلاقة بين الزمن والمسافة لايسجل على الرسم.



شكل (2-53): وصف مشاكل لطبقة مختلفة بسبب: (أ) سرعة معكوسة ($V_2 < V_1$)، (ب) نقص تباين السرعة ($V_2 = V_1$)، (ج) طبقة رقيقة (طبقة 2) محصورة بين طبقة 1، 3، (د) المسافة بين الكشافات أكبر جداً من الطبقة 2

3.2.9.1.4.4.2 تأثير تغير السرعة المستمر :Effect of Continuous Velocity Change

يفترض الآن أن كل طبقة لها سرعة متساوية في الإتجاه الأفقي والرأسي. ولكن في الحقيقة يوجد بعض المواد تجعل تساوي السرعة غير ملاحظ كتداخلات الطفله بالحجر الرملي أو وجود بعض أجسام الصخور النارية في الصخور الرسوبية وخلافه. في هذه الحالة يلاحظ تغير تدريجي للسرعة مع العمق (كنج وجارفس 1992 King and Jarvis) وعندئذ لا يوجد نقط تقاطع واضحة على شكل علاقة الزمن-المسافة. بدلاً من ذلك سيكون الشكل منحنى والتغير بما يسمى بالطبقة الأخرى يكون تدريجياً مما يجعل الطرق المستخدمة للتحليل غير ملائمة.

10.1.4.4.2 تطبيقات للطريقة السيزمية الانكسارية: Application of Seismic Refraction Method:

1.10.1.4.4.2 تحديد إطار عام لموقع مقترح لتصريف نفايات

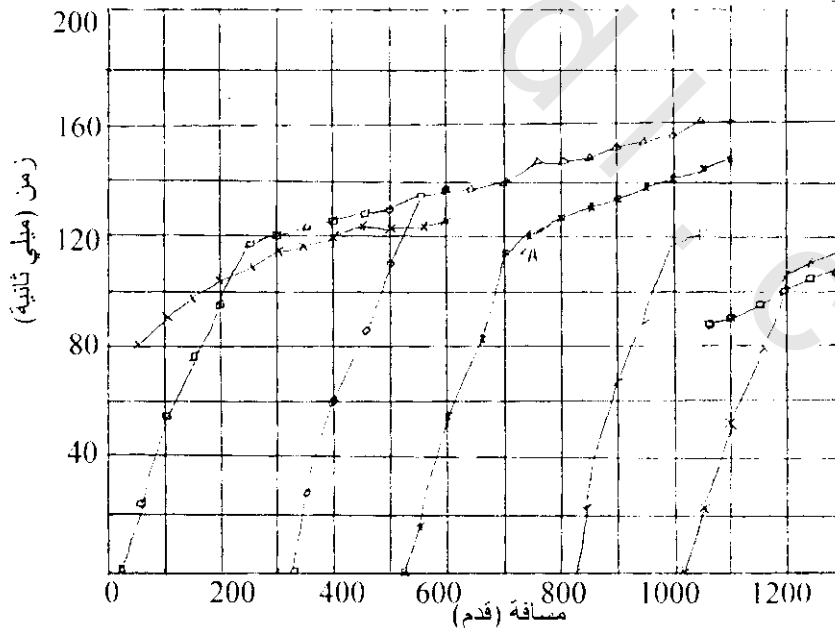
Determination for a Proposed Waste Disposal Site:

استعرض لانكستون 1990 Lankston مثال لذلك بعمل دراسة سيزمية على الموقع المختار حيث يتميز الموقع بوجود قاعدة صخرية من البازلت يعلوها رسوبيان نهريّة ورسوبيان ريحية مكونة كثنان رملية بارتفاع من 1-2 متر. وقد استخدمت مطرقة ثقيلة لعمل الموجات السيزمية وشمل المسح الإنكساري السيزمي تفجير طويل وقصير بالإضافة لنقطة تفجير متوسطة، بحيث يتراكم كل تتابع إنتشاري مع السابق له بواسطة كشافين.

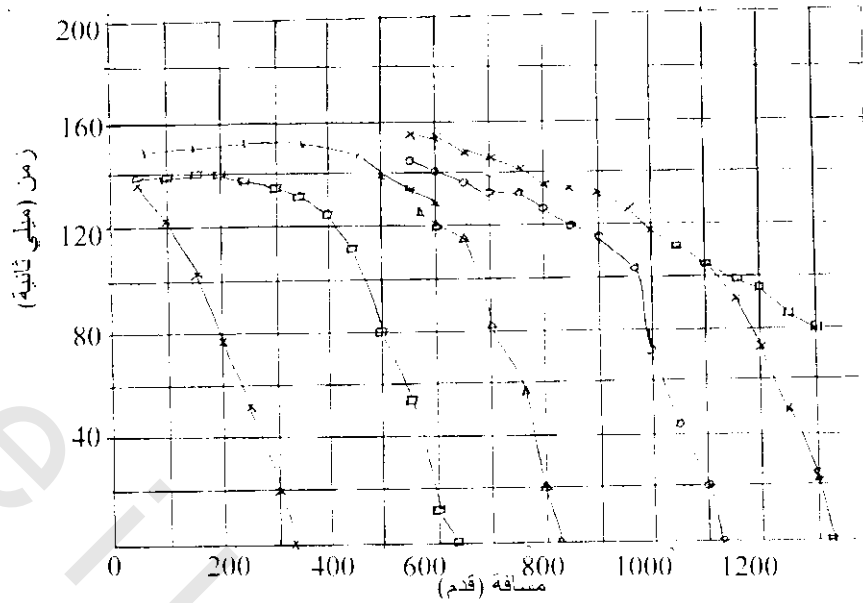
يوضح شكل (2-54) إتجاه تقدم للعلاقات بين الزمن والمسافة على طول خط مسمى واحد. وتشير النتائج لطبقتين ذات سرعات عالية متوازية، ويتوقع عمق الطبقة ما بين 700-800 قدم على طول الخط.

ويمثل شكل (2-55) الإتجاه العكسي للمسح السابق وربما لاتدل نتائج هذا الشكل على حل المشكلة عبر وجود الطبقة المتوسطة – أو عن ظاهرة الإمتداد الذي يحدث جانبيًا.

وباستخدام طريقة الطيف للنتائج المتقدمة (شكل 2-56) من نقط التفجير عند 325 قدم وعكس النتائج عند 1125 قدم بين كل نقطة ملاحظة أو مطوفه على علاقة شكل الزمن-المسافة وذلك لتحسين قيمة تحليل أفضل لـ XY باستخدام طريقة التبادل العامة، ويوضح شكل (2-57) نتائج تحليل السرعة.

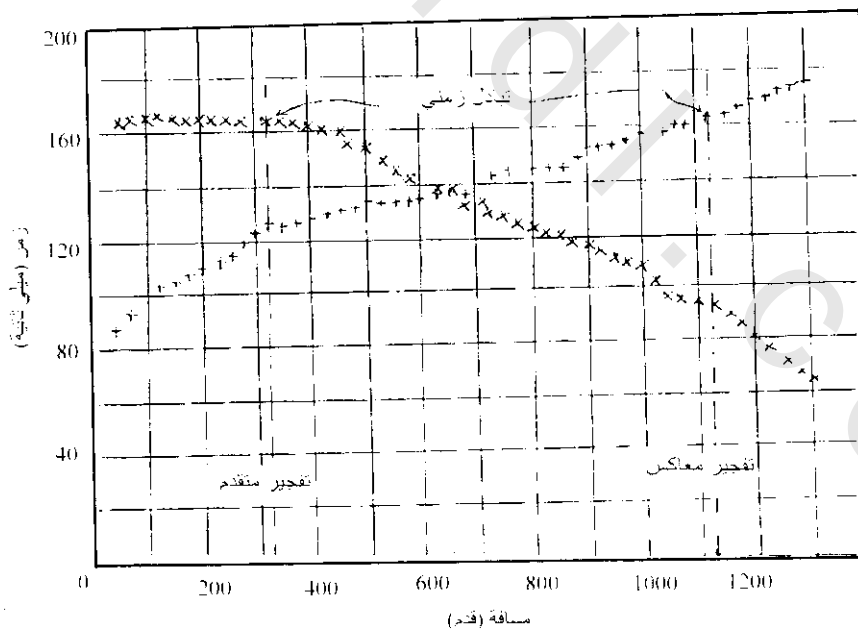


شكل (2-54): رسم تخطيطي لعلاقة فترات الزمن-المسافات لتفجيرات متقدمة للأمام. الإنكسارات الأولى للتفجيرات البعيدة (كقطاعات) تصل أولاً لأغلب الإنتشار الأيسر أكثر من التفجيرات القريبة (مربعات) لهذا الإنتشار. وهذا يحدث عندما تقل المسافة بين نقط التفجير والإنكسارات بدلالة القرب والبعد من نقط التفجير



شكل (55-2): رسم لعلاقة فترات الزمن-المسافات فى اتجاه عكسى لنقطة التفجير

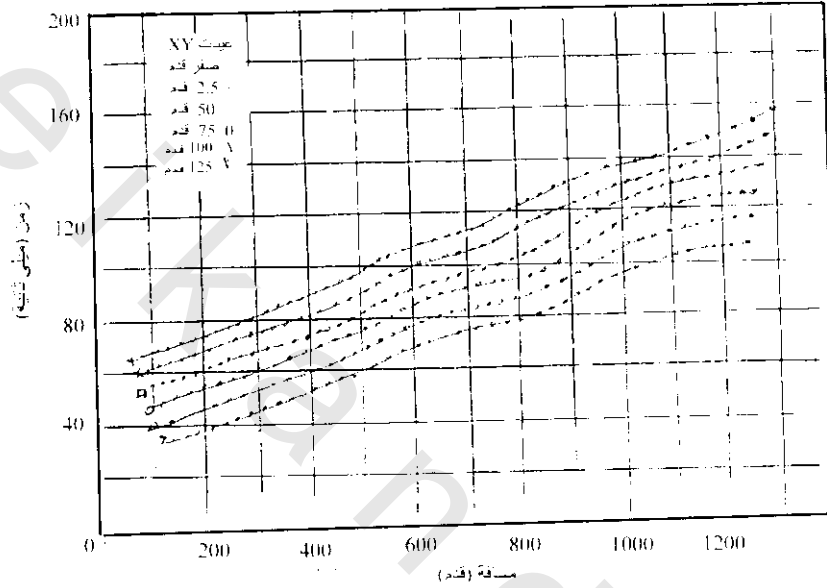
وبتطبيق طريقة بالمر Palmer 1980 (معيار التفسير الأدنى) اعتبر أنه عند $0=XY$ هى أحسن قيمة لتحديد لسرعة الإنكسار. وأيضاً بتطبيق طريقة بالمر (معيار التفسير الأعلى) فى شكل (58-2) أختير أيضاً $0=XY$ فى تكوين علاقة الزمن - العمق، حيث تتطلب سرعة الإنكسار ثلاث قيم فسرت على طول الكاسر كما فى شكل (59-2)،



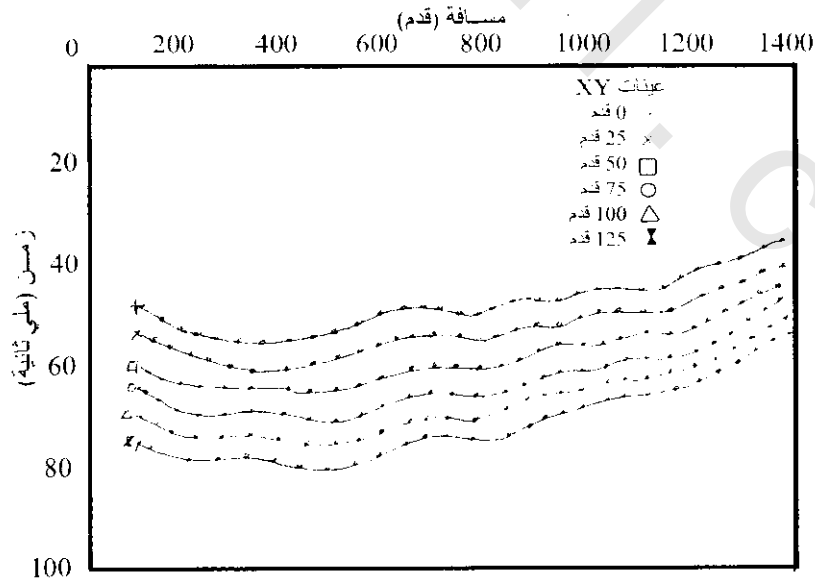
شكل (56-2): تقدم وانعكاس فترة الزمن-المسافة بعد تداخل خط الطيف وامتداد وصول جديد عند أماكن منتصفه بين الوصول الملاحظ. ويدل على تبادل الزمن المفسر من تقدم وعكس اتجاه التجارب

عندما تكون المسافة بين الكشافات (50 قدم \approx 15 متر). فإن قياس أى تغير لأفضل XY على قواعد النتائج المكتسبة يكون غير مستحيل. وعندما تكون أسماك الطبقات وسرعتها معروفة فإن أفضل قيمة لـ XY يمكن إكتشافها بواسطة العمل فى الإتجاهات الخلفية فى هذا المثال من تفسير السرعات والأعماق وتكون أفضل قيمة متوقعة تساوى حوالى 6 متر.

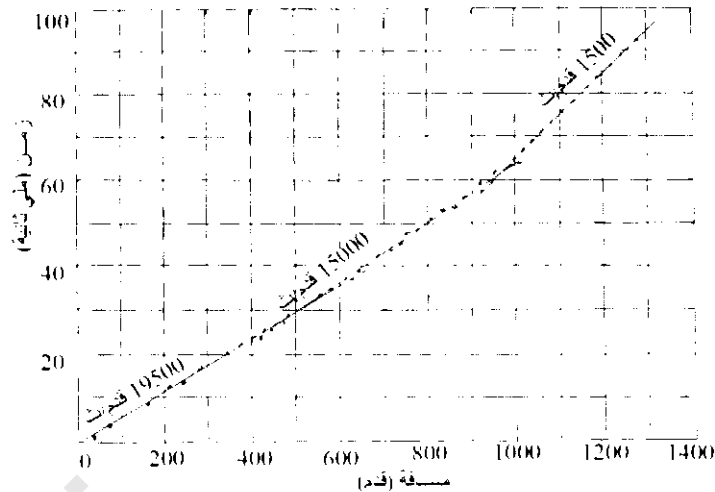
ويمكن تحديد العمق السطحي الكاسر تحت كل مكان كاشف خلال المسح السيزمي، وذلك بتحديد سرعة الإنكسار ومن الإنتشار الصغير للسرعة القريبة من سطح الطبقات. وتكون سرعة أعلى الطبقة المحددة هي 305 م/ث والسمك 3.1 متر على طول خط المسح. وأما الطبقة الثانية فتكون سرعتها 550 م/ث.



شكل (57-2): منحنيات تحليل سرعة لمسافات XY من صفر إلى 48 م (125 قدم)



شكل (58-2): منحنيات الزمن-العمق لمسافات Xy من 0-48 متر (125 قدم). سرعات الكاسر المستخدم لعمل هذه المنحنيات أشير إليها فى شكل (12-2) (لانكستون 1990 Lankston)

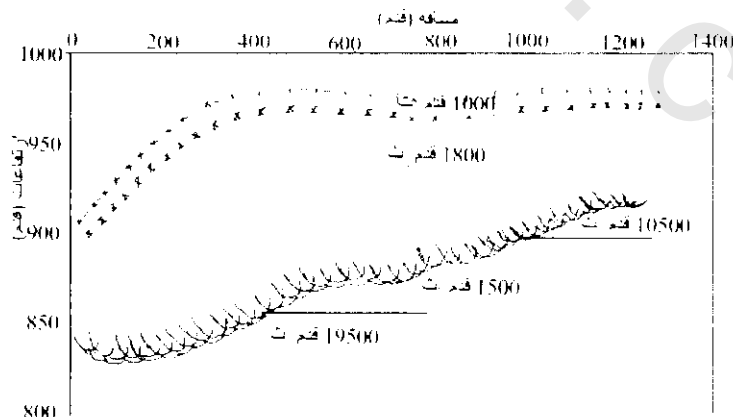


شكل (59-2): منحنى تحليل السرعة لحالة $XY = 0$. فسر الكاسر على أن له سرعتين متغيرتين جانبيًا (لانكستون Lankston 1990)

ويمكن إيجاد العمق المحسوب للكاسر تحت كاشف ملائم كقوس نصف قطره يساوى حساب العمق عند هذه النقطة (شكل 60-2). وعندئذ يستدل على السطح الحقيقي للكاسر بواسطة غلاف المماسات لقوس الدوائر. وايضا يشير (شكل 60-2) أعلى ثلاث قيم لسرعات الإنكسار، وأن صخر الأساس هو البازلت وتركيبه العام مسطح. لذلك فإن التفسير المتوقع فى (شكل 60-2) يكون ملائم بثلاث سرعات انكسارية داخلية تبعا للطبقات فى داخل البازلت. فى هذا المثال قرر لانكستون 1990 عند نقط تقاطع الخطوط، فإن تفسير عمق الكاسر يكون متفق مع الواقع خلال نسبة 5%. وأوضح أيضا أن النموذج النهائى الناتج يعكس بملامنة ومقبولية التركيب الجيولوجى.

2.10.1.4.4.2 تحديد أنابيب البالوعات المدفونة :Location of a Buried Deline

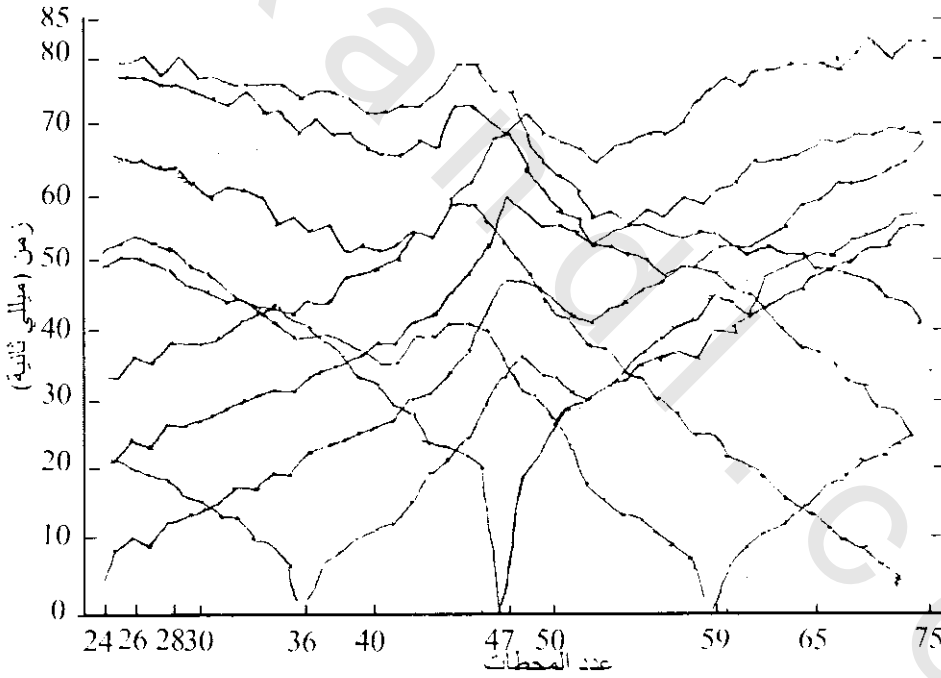
بواسطة مسح سيزمى إنكسارى وصف بالمر Palmer 1991 هذه الحالة عبر أنابيب البالوعات المتدهور فى رسوبيان سيلبوريان Silurian المتحولة باسترليا. وبالعكس المثال السابق فإن المسافة بين الكشافات 2.5 متر مع مسافة نقطة التفجير مقدارها 30 متر. يوضح شكل (61-2) علاقة المسافة-الزمن، وشكل (62-2) تحليل سرعة الإنكسار للتفجيرات عند محطات 12، 83، لقيم XY من صفر إلى 15 متر لمسافات 2.5 متر.



شكل (60-2): قطاع إزاحة نهائية، حيث يحتوى سطح الإنكسار على مماسات لأقواس ملائمة. وتظهر الأقواس الدائرة رياضيا بيضاوية لوجود مبالغة لمقياس الارتفاع. ويشار لسطح الأرض بواسطة منحنى متصل. وتمثل التقاطعات الصغيرة الحد الفاصل بين سرعة 1000 قدم/ث والتي أسفلها 1800 قدم/ث. ومكان التغير الأفقى للسرعة من الشكل السابق. يشاهد ويفسر كأنه بسبب طبقة البازلت (لانكستون Lankston 1990)

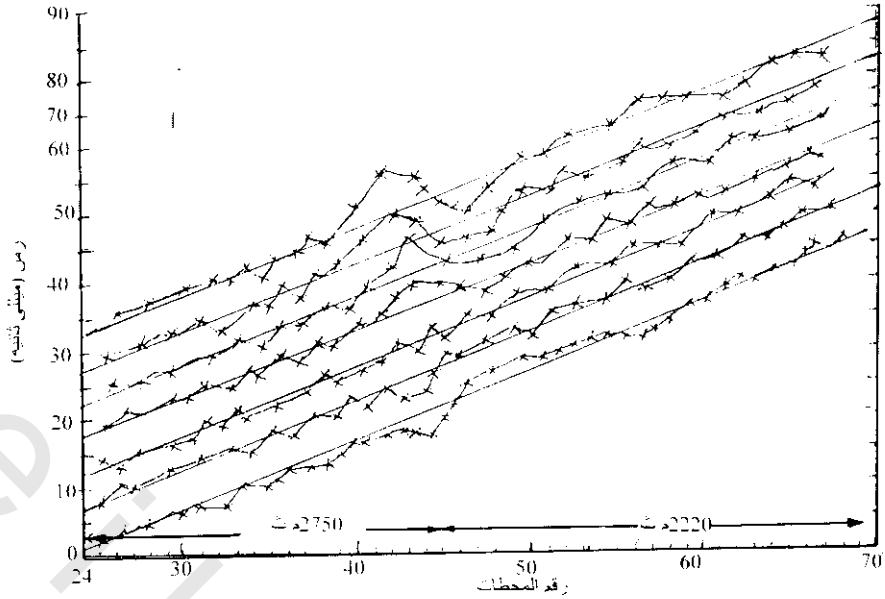
تشير السرعة المحللة للكاسر إلى 2750 م/ث بين المحطتين 24, 46 و 2220 م/ث بين المحطتين 46, 71. وحدد بالمر 1991 Palmer أن أفضل قيمة لـ XY هي 5 متر. ويوضح شكل (2-63) علاقة الزمن-العمق عبر نفس الانتشار وقيمة XY. من هذه الأشكال يتضح أن أفضل قيمة لـ XY هي 5 متر، وأعمق كاسر بين المحطتين 40, 52. وباستخدام قيمة 5 متر لـ XY في معادلتها، فإن زمن-العمق يكون 15 متر وسرعة الكاسر 1000 متر/ث بمعدل سرعة سيزمية 600 متر/ث فوق الكاسر. باستخدام هذه السرعات، أنشأ قطاع العمق شكل (2-63) حيث تمثل الأقواس في هذا الشكل أماكن سطح الإنكسار تحت المحطات 37, 46 وجميعها تتقاطع في تجمع تحت محطة 39، ونفس النتيجة لتجمع للأقواس من المحطات 47, 54 تحت المحطة 53. جميع المحطات تدل على أن جميع الوصول الزمني مصاحب لتدهور أنابيب البالوعات، وعند هذه الأماكن تكون الإنكسارات من الحواف.

السطح الكاسر الواضح في شكل (2-64) أقل كاسر مكافئ أكثر من الصورة (2-64) الحقيقية لأنابيب البالوعات. وبحفر بنز بالقرب من المحطة 47 حيث قطع الحفر غالباً 50 متر من حجر رملي سلسيس وفجوات. واستنتج من هذا الحفر أن الإمتداد الكبير الراسي لخط الصرف.

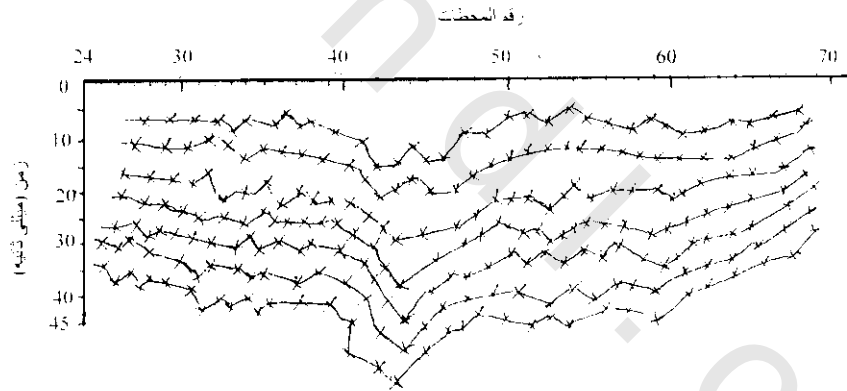


شكل (2-61): رسم لفترات الزمن-المسافة مسجلة عبر خط صرف مهدم وشرق استراليا. المسافات بين الكشافات 2.5 متر (بالمر 1991 Palmer)

بالنسبة لقطر 30 متر ومستوى قطاع شبه دائري، فإن أغلب الطاقة السيزمية تسير حول خط الصرف أكثر من أسفله، وتبعاً لذلك فإن أقل كاسر مكافئ يحتمل أنه نصف كروي بقطر حوالي 30 متر.

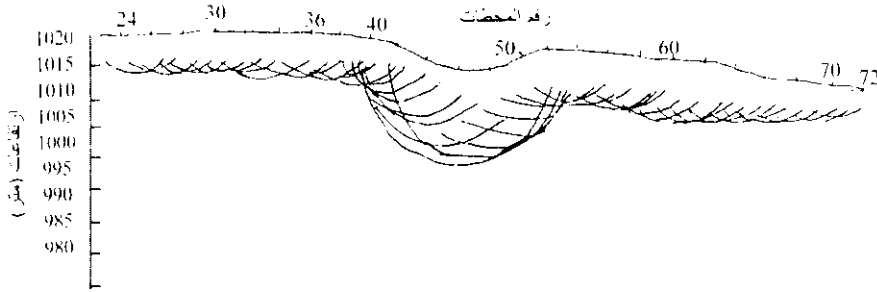


شكل (62-2): رسم يوضح حساب معادلة طريقة التبادل العامة لتحليل سرعة قيم XY من الصفر، المجموعة السفلى من النقاط إلى 15 متر، المجموعة العليا من النقاط، في تقسيمات 2.5 متر. ويزاد زمن التبادل بواسطة 10 متر لكل قيمة XY لكل إزاحة (بالمر 1991 Palmer)



شكل (63-2): رسم يوضح حساب معادلة طريقة التبادل العامة للزمن والعمق بقيم $XY = 0$. المجموعة السفلى من النقاط إلى 15 متر، المجموعة العليا من النقاط، في تقسيمات 2.5 متر. ويزاد زمن التبادلي بواسطة 10 متر لكل قيمة XY لكل إزاحة (بالمر 1991 Palmer).

من هذا التحليل باستخدام طريقة التبادل العام GRM، يستنتج أن نطاق السرعة المنخفضة يصاحب خط صرف مهذوم. وإذا استخدمت قيمة XY مساوية للصفر في معادلة تحليل السرعة، يمكن الإشارة لسرعة سيزمية حوالى 750 متر/ث بين الحطتين 44، 47. وربما أن تكون هذه نفسها تحذيرات لتفسيرات شائعة. حيث يظن أن الطاقة السيزمية تنتقل بملاءمة حول خط الصرف، ويحتمل أن تقدير الحجم تحت الظاهرة لا يكون بالبساطة المتوقعة.



شكل (64-2): قطاع عمق محسوب بـ $XY = 5$ متر ومتوسط السرعة في الغطاء الرسوبي 600 م/ث، وحدد بذلك موقع تدهور خط أنابيب الصرف (بالمر 1991 Palmer).

أيضا طريقة إزاحة عمق القطاع في شكل (64-2) تكون مفيدة في إشارة لتجمع الأقواس والتي تدل على الحيوذات. وأكثر من هذا فإن إشراك نتائج الحفر تساعد على تفسير ميكانيكية إنتشار الموجه في مجاورة خط الصرف المهدوم. التفسيرات المشتركة التي تنتج تكون أكثر إدراكا من إستخدام المسح السيزمي أو الحفر مفردا.

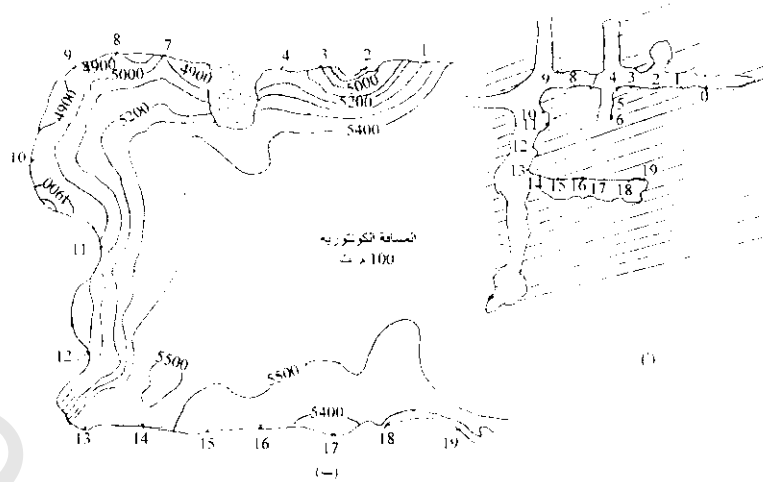
3.10.1.4.4.2 تقييم نوعية الصخر :Assessment of Rock Quality

إزداد طلب المسح الجيوفيزيائي أثناء تفسير ميكانيكية التربة والهندسة الجيولوجية لتعطي تعريفات عن نوعية الصخر والمعاملات الجيوتقنية الأخرى وصف نيو 1985 New دراسة توضيحية لنوعية تصميم تفسير هذه المسألة.

خضع جزء من برنامج بحوث تنظيم نفايات المواد النووية للمملكة المتحدة، النقل، معمل طريقة البحث لبروجرام قياس السرعة السيزمية عند كاوانان Cawnnan، كورنول Cornwall. ولإختيار الموقع تم حفر تجريبي في كتلة جرانيتية في اتجاه حافة الشمال الغربي لكارنمينيليز Carnmenellis، حيث يوجد كتلة كارنمينيليز الجرانيتية، وتكون كتلة كورنيوبيان Cornubian الباثوليثية جزء من كتلة كارنمينيليز الجرانيتية، حيث يسودها حبيبات البياتونيت الخشنة، ماسكوفيت، جارنت مع بللورات ظاهرة في صخور بورفيرية ليوتاسيوم فلسبار، لهذا فإن هذه الكتلة الصخرية صلبة جدا وضعيفة التجوية، كذلك يوجد بها مجموعة فواصل تحت رأسية باتجاه مضرب مقداره 120° ، ومسافات الفواصل عادة أكبر من 1 متر، وقد وجدت هذه التكوينات والتركيبات خلال اختبار الموقع.

أخذ المسح السيزمي خلال ثلاث إتجاهات رأسية لعمق 30 متر تحت مستوى الأرض. ثبت على طول ثلاث جوانب لقطاع صخري مربع 900 م² في المنطقة 20 نقطة مرجعية. رقت أماكن الإنبعث والإستقبال من 0-19 شكل (65-2)، وثبتت الكشافات جيدا في الصخور، وتم المسح بدقة ± 0.5 سم، وكان مصدر الموجات السيزمية هي مطرقة ثقيلة.

سجلت فترات الزمن وشكل نبضة الموجه السيزمية وحللت النتائج باستخدام معالجة فوريير Fourier وتمثل السرعة (V_R) المحددة لكل خلية من الشبكة المحسوبة لكتلة الصخر، ثم بعد ذلك مثلت نتائج السرعات كخرائط في شكل (65-2). من الشكل يتضح أن الصخور تأثرت بحفر السطوح والتي خفضت السرعة السيزمية لأقل من 5000 م/ث بالمقارنة ببقية الصخر (تقريبا 5000 م/ث).



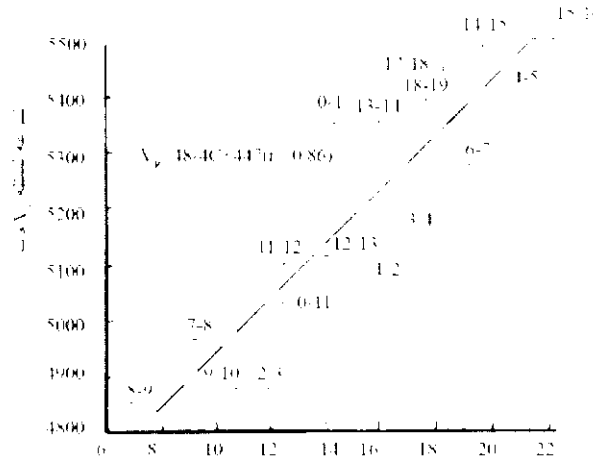
شكل (2-65): أ) خريطة لثلاث رؤوس تحت سطحية بأرقام أماكن مصدر - مستقبل، ب) خريطة كنتورية لتمثيل السرعة (V_R م/ث) بين أماكن مرجعية (نيو 1985).
(ج) خريطة كنتورية لتمثيل السرعة (V_R م/ث) بين أماكن مرجعية (نيو 1985).

ولاشتقاق التصنيف العددي لقيمة (c معامل نوعية الصخر)، استخدم نظام تصنيف موقع نوعية الصخر لكل منطقة جدارية بين مرجعيات النقاط ويعتمد هذا المعامل على:

- 1) المسافات بين الشقوق
- 2) حالة الشقوق (مجوف، مملوء، إلخ).
- 3) الحالة العامة لسلامة الصخر.
- 4) درجة الحفر - هدم تفجيرى مستحث.
- 5) كثافة ثقوب التفجير في المنطقة (أعماق هذه الثقوب ما بين 1-3 متر).

ويمثل شكل (2-66) العلاقة بين السرعة السيزمية ونوعية الصخر (c) لكل زوج لمرجعية النقاط. ومن الشكل يتضح أنه يوجد علاقة بين السرعة السيزمية ونوعية الصخر. حسب نيو 1985، هذه العلاقة ($V_R = 447 + 48.4c = 0.86$). ووجد أن أقل سرعة هي المصاحبة للمناطق المهدمة والمتجوية للصخور مع عدة شقوق كبيرة عند الإمتداد الغربى للمنطقة الممسوحة. أما جوانب الشمالى-الغربى والجنوب-الغربى للمنطقة المختبرة فقد تأثرت بتفجيرات كبيرة والحفر المنتشرة بالمقارنة بنفس المقدمة على طول الجانب الجنوبى الشرقى. وكذلك استخدمت هذه الطريقة للدلالة على الخواص الهندسية للكتل الصخرية (جاردنير 1992).

فى عام 1958 طورت شركة كاتربلر تراكتور Caterpillar Tractor Co. استخدام السرعة السيزمية المحددة من تجارب الإنكسار السطحية لإنتاج لوحة خاصة للكسر. وباستخدام هذه اللوحة، استطاع المقاولون تعيين سهولة أو صعوبة الحفر للمناطق المنوط بها العمل لهم باستخدام الأجهزة الميكانيكية لديهم، حيث تعطى اللوحة (شكل 2-67) الخطوط العامة المرشدة للاستخدام العملى. بعد ذلك قامت شركة كاتربلر 1988 بعمل لوحات أكثر دقة تتعلق بالمواد الجيولوجية والكسر تبعاً لنوع الآلات. وفى عام ١٩٩٤ استعرض ماك جيجور وآخرين MacGregor et al. على مدى واسع تعيين كسر الصخر باستخدام السرعة السيزمية.



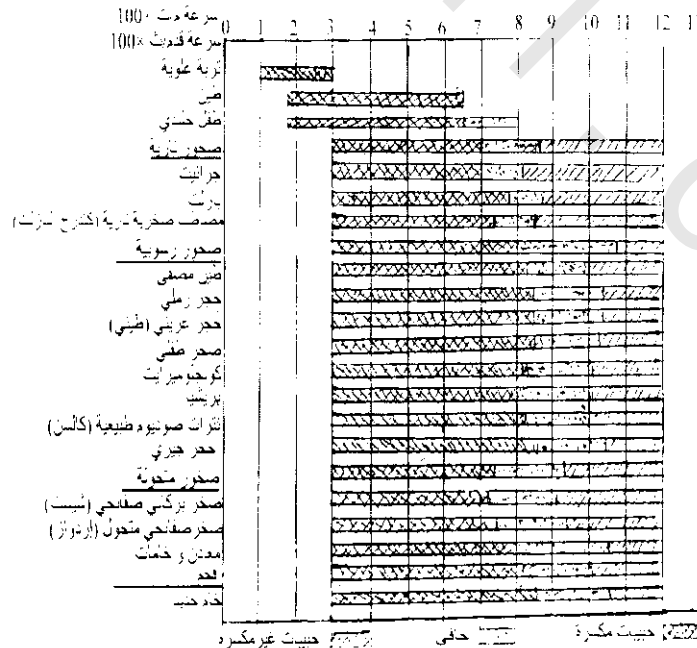
شكل (2-66): مقارنة تمثيل السرعة لتصنيف نوعية الصخر (نيو 1989 New).

4.10.1.4.4.2 فحص مدافن المخلفات Landfill Investigation:

في هذا الفحص يفضل استخدام طريقة الإنكسار عن طريقة الإنعكاس للأسباب الآتية:

- 1- أغلب المدافن تكون سطحية جداً.
- 2- مواد المدافن كبيرة التواهن (التخفف) ولذلك يكون من الصعب وضع طاقة كبيرة في موادها واكتشاف أى نبضات (إشارات) مميزة.
- 3- تكاليفها أرخص من طريقة الإنعكاس.

وقد أشار (رينولدز ومكون 1992 Reynold and McConn) أن المسح السيزمي الإنكسارى قلما يستخدم عبر المدافن المغلقة، وذلك لصعوبة وضع الطاقة، حيث أن المطرقة ليست ذى قوة كافية، وقنابل البندقية لاتستخدم حيث يوجد غاز الميثان! لذلك فإن استخدام الطرق السيزمية للمدافن نادراً ما تستخدم كلية.

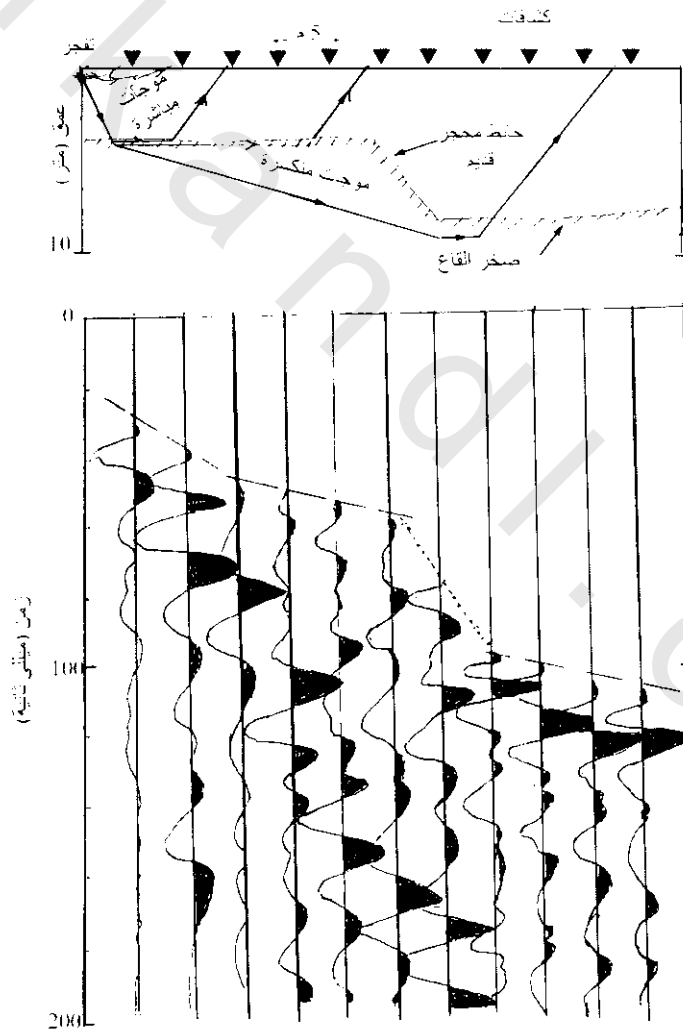


شكل (2-67): لوحة نموذجية توضح العلاقة بين الموجه الغربية وإنجاز الكسر (شركة كاترلر تراكتور).

والمواقع المختارة والتي تسمح حالاتها باستخدام السيزمية الإنكسارية وذلك لتحديد: (1) العمق، (2) الموجه الأولية والطبقات التحتية، (3) أماكن جوانب المحاجر القديمة التى ربما تحدد حواف المدافن، (4) حالة الغطاء الطينى من حيث سمكه.

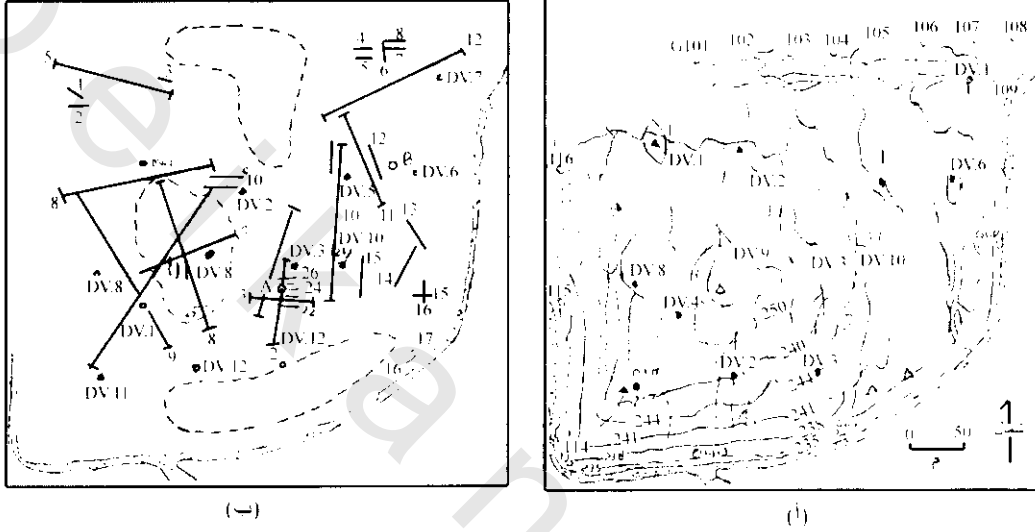
يمثل شكل (2-68) مثال لتسجيل إنكسار سيزمى بإزاحة الوصول الأول الناتج من الدرجة (السلبية) الرأسية المصاحبة لها خلال المحجر القديم المملوء. وقد وضع كاربنتر وآخرين (Carpenter et al. 1991) أثناء استخدامهم لكلا من المسح الإنكسارى السيزمى والمقاومة الكهربائية لإختيار تجمع الغطاء الطينى عبر المدافن البلدية لشمال مالرد Mallard North بالقرب من شيكاغو بالولايات المتحدة الأمريكية، أن الخريطة التفصيلية لسرعة الموجه الأولية P_w يمكن استخدامها لتحديد المناطق التى بها غطاء طينى متشقق (تعطى سرعة أولية منخفضة) بالمقارنة مع غطاء الطين المتماسك (تعطى سرعة أولية عالية).

نفس التغير فى المقاومة الكهربائية مع السمى (azimuth) حول نقطة المركز تدل على اتجاه التشققات خلال الغطاء الطينى. ويشاهد هذا المسح على خريطة الموقع شكل (2-69).



شكل (2-68): قطاع سيزمى عبر واجه محجر مدفون خلال موقع مدفن مخلفات مملوء مسبقا بالمارل (طين جيرى) وذلك تبعا لتسجيل إنكسارى، يدل على خطوط المكاسر الأولى بخطوط مقطعة ومنقطة (رينولد ومكان Reynolds and MacLann).

وقد وجد كاربنتر ومعاونيه أن سرعة الموجه الأولية على طول الخطوط الموازية أو العمودية على التشققات من 20 ± 370 م/ث، إلى 10 ± 365 م/ث بالتتالي، بينما تصل قيمتها إلى 140 ± 740 م/ث عبر الغطاء الطيني الغير متشقق. أيضا وضحوا صعوبة الحصول على وصول إنكساري في بعض المناطق بسبب السرعة الأولية تحت الفضلات والنفايات أقل من الطين التي فوقها. لذلك وجدوا أنه عندما يكون الغطاء الطيني من 1.5-2 متر، كما في هذه الحالة، فإن تصورهم لمسح الكهربى تحت سطحى يكون طريقة سريعة وملائمة لقياس سمك عدم المتداخلات.



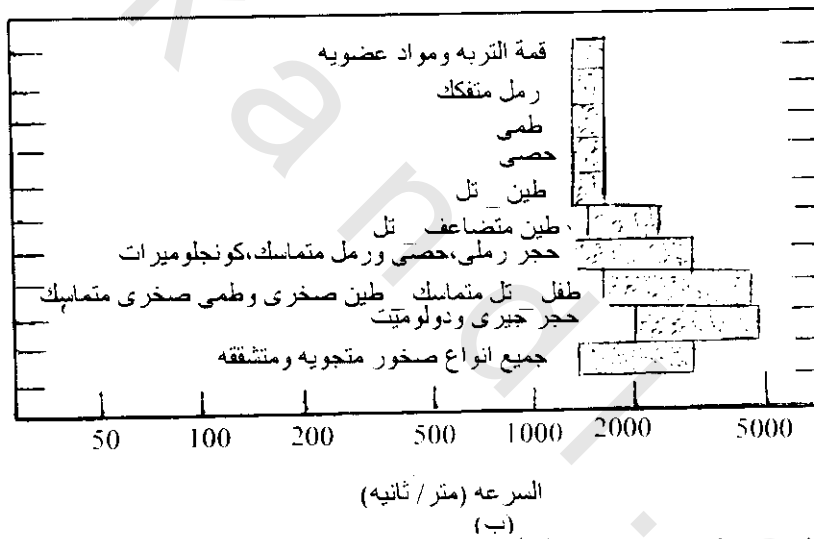
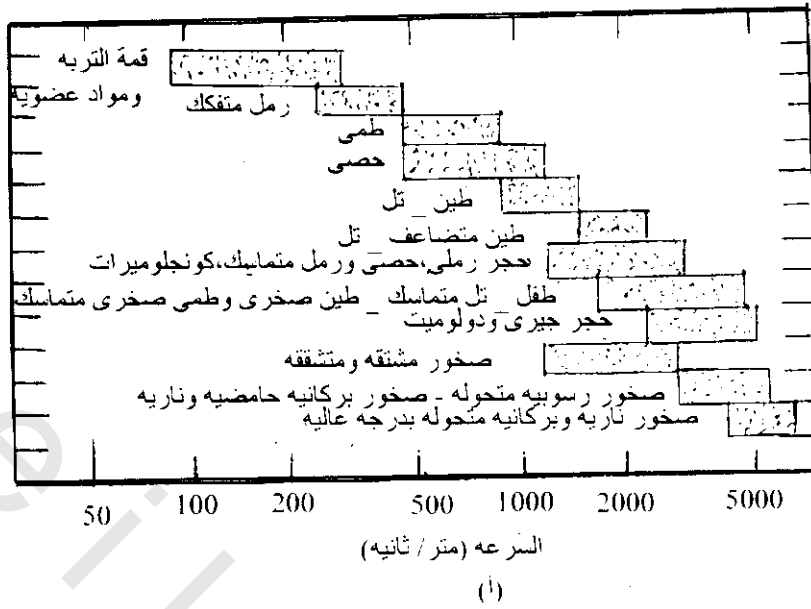
شكل (2-69): خريطة مدفن شمال مالارد (North Mallard)، (أ) الطبوغرافية التشققات الكبيرة، عروق الغاز الضحلة والعميقة وآبار المراقبة، (ب) خطوط المقاومة الكهربائية، وخطوط الإنكسار السيزمى، وسمت صفوف المقاومة الكهربائية (B) (A) & (كاربنتر وآخرين 1991 Carpenter et al.)

5.10.1.4.4.2 إستخدام السيزمية الإنكسارية للبحث عن المياه الجوفية

Using Seismic Refraction Method for Underground Water Exploration:

يوضح شكل (2-70) خواص السرعات السيزمية لمواد جيولوجية مختلفة، وهذه الخواص يمكن إستخدامها لتعريف طبيعة الرسوبيات الغير متماسكة أو صخور الأساس. وباستخدام السرعة السيزمية لمواد الرسوبيات الخشنة يمكن تمييز الطبقات المشبعة والغير مشبعة بالماء، وكذلك يمكن تخريط مستوى الماء الجوفى water table بدقة تبلغ غالبا 10% عندما تكون الحالات الجيولوجية متشابهة نسبيا.

وحيث أن التغير فى السرعة السيزمية ترتبط بالتغير فى خواص المرونة للتكوينات الجيولوجية فإن التباين الكبير فى هذه الخواص تؤدى لتحديد هذه التكوينات وحدودها. وفى الصخور الرسوبية، فإن تركيب الأنسجة والتاريخ الجيولوجى لها أكثر أهمية من التركيب المعدنى لها حيث تشير المسامية للصخور الرسوبية لنقص فى سرعة الموجات السيزمية ولكن تزيد هذه السرعة عندما تحتوى هذه الصخور على الماء. وبالنسبة للتركيبات



شكل (2-70): السرعة السيزمية للمواد الجيولوجية: (أ) مواد غير مشبعة، (ب) مواد مشبعة، (الجمعية الأمريكية للإنشاءات 1972).
المتناسكة المتساوية التوزيع المسامي الصغير مثل الحجر الرملي، فإن العلاقة بين السرعة والمسامية تكون كالآتي:

$$\frac{1}{V} = \frac{\alpha}{V_L} + \frac{1-\alpha}{V_S} \quad (2-48)$$

حيث V = السرعة المقاسة، V_L = السرعة في السائل* المشبع للصخور، V_S = سرعة نسيج الصخر الصلب، α = مسامية الصخر.

* السرعة السيزمية في الماء تحت حالات المياه الأرضية النموذجية تساوي تقريبا 1460 م/ث.

شكل (2-71) يوضح مسار الموجه الإنكسارية. فمثلا، فيفرض تجانس مواد غير متماسكة محتوية على الماء فعندما تصل الموجه لسطح الماء فإنها تسير على طول الحد الفاصل. وفي أثناء مسارها تنتشر سلسلة من الموجات عائدة إلى الطبقة الغير متماسكة (الغير مشبعة). أماكن تقدم الموجه مساوى لفترات قليلة من المللي ثانية موضحة هذا الإنكسار كما فى الشكل (2-72أ). عند أى مكان على السطح فإن الموجه الأولى ستصل إما مباشرة من نقطة التفجير أو من الأشعة المنكسرة. وبقياس فترات الزمن للوصول الأول عند مسافات مختلفة من نقطة التفجير ترسم العلاقة بين الزمن والمسافة شكل (2-72ب). ويعطى مقلوب الميل فى هذا الشكل قيمة للسرعة فوق مستوى الماء مقدارها 500 م/ث، 2000 م/ث للسرعة أسفلها. وباعتبار الطبقة أفقيه فإن العمق لمستوى الماء (Z) يمكن حسابه من السرعات V_1 , V_2 والمسافات المقطوعة فى الشكل (2-71ب) طبقا للمعادلة

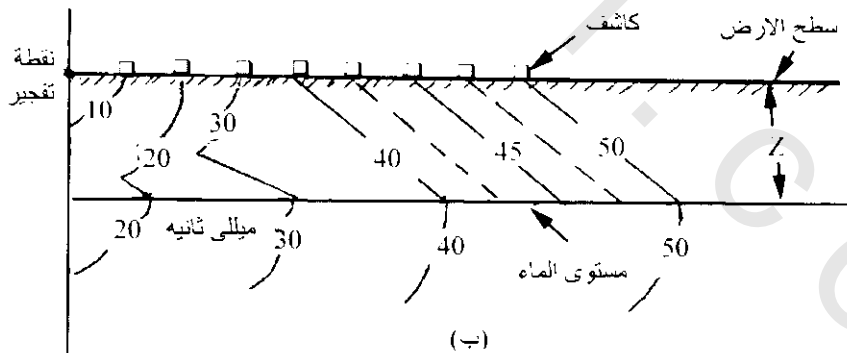
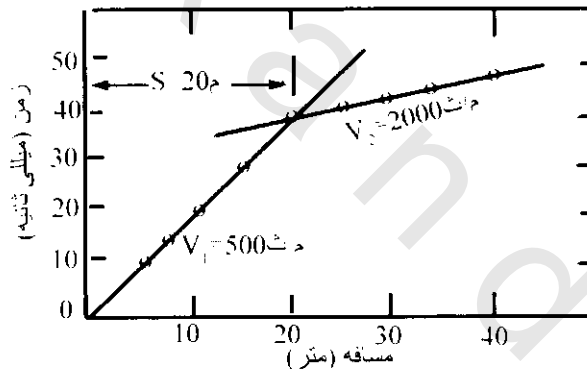
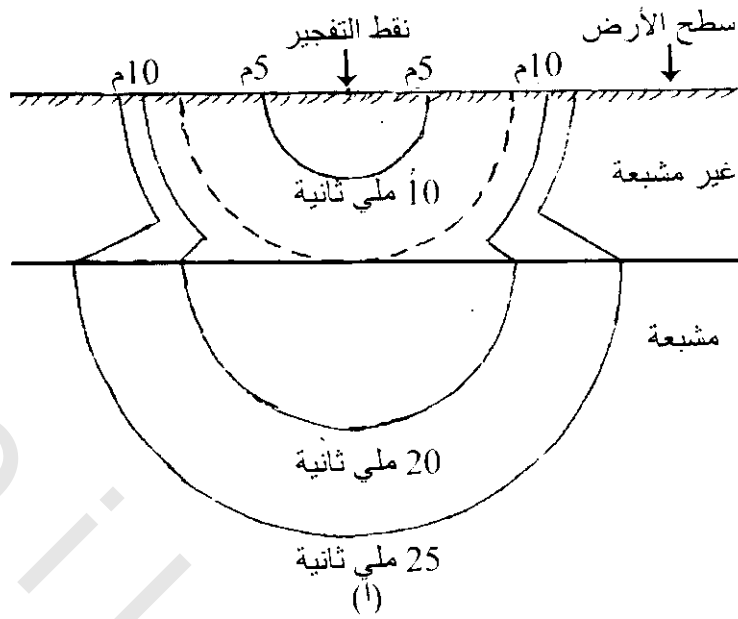
$$Z = \frac{S \sqrt{V_2 - V_1}}{2 V_2 + V_1} \quad (2-49)$$

فى هذا المثال تكون قيمة $Z = 8$ متر. ويمكن حساب عدة طبقات وميل التكوينات، الفوالق، والتغير فى شكل التداخلات بالطرق المفسرة سابقا أو باستخدام نومجرام السيزمية الإنكسارية الذى عمل بواسطة ميداف Meidav 1968.

وحيث أن مستوى الماء الجوفى يعتبر تقريبا كسطح فإنه يمكن تجنب كثير من المشاكل المفترضة بواسطة عدم إنتظام شكل التركيب الجيولوجى. التطبيق الجيد لهذه الطريقة تتطلب مهارة فى التفسير، مع العلم بأن معرفة معلومات أخرى مثل المواد الصخرية، الأعماق، عدم الإنتظام عن الحالات التحت سطحية تضاف لتسجيلات الحقل، وذلك لأنه من الصعب تحديد الموجود الحقيقى للماء الجوفى بدون معلومات معضده لأن السرعات تتراكم فى الطبقات المشبعة وغير مشبعة، وكذلك فإن زيادة السرعة مع العمق تجعل الطبقة الأكثر كثافة تحجب الطبقات الغير متماسكة الحاملة للماء التى تقع أسفلها.

الطريقة السيزمية الإنكسارية تشير بسرعة واقتصاد للمناطق الغير ملائمة لاختبارات الحفر، كما أنها غير مناسبة للمساحات الصغيرة. حيث أن أقل مسافة للمسح السيزمى لاتقل عن 100 متر فى الإتجاهات المختلفة مع ملاحظة أن الشوشرة المحلية أو الاهتزازات من مصادر مثل السكك الحديدية والمطارات ومواقع التشديد تتداخل فى تسجيلات العمل السيزمى. لهذا فإنه يتطلب فى هذه الطريقة بالنسبة للبحث عن المياه الجوفية أجهزة خاصة وتدريب تقنى جيد للعاملين والمفسرين للنتائج. وعامة تستخدم هذه الطريقة لعمل خرائط قطاعات عرضية لوديان الترسيب حيث يمكن تحديد الطبقات الحاملة للماء الغير حبيسة unconfined aquifers من التغير فى السمك.

وقد قام لينهان وكيث Linehan and Keith 1949 بتحديد امتداد المياه الجوفية فى نيوانجلاند New England التى أمدت بأمثلة واضحة لملائمة الطريقة السيزمية الإنكسارية لرسوبيات غير مشبعة باختلافات ليثولوجية والتى قورنت بآبار مياه منتجه.



شكل (2-71): الطريقة السيزمية الانكسارية مطبقة لتحديد عمق مستوى الماء: (أ) تقدم الموجه الأمامي ، (ب) رسم خطي للزمن-المسافة.

2.4.4.2 طريقة الإنعكاس Reflection Method:

تستخدم هذه الطريقة أكثر من غيرها من الطرق الجيوفيزيائية لتخريط التركيبات تحت سطحية العميقة في القطاع الرسوبي خاصة المتصل بالبحث عن البترول وحيث أنها غير ملائمة للأعماق الضحلة فإنها لا تستخدم في البحث عن الثروات المعدنية ولكن أحيانا تكون نافعة لتحديد وتفسير أنواع معينة من الظواهر الاسترجاعية. وأساسيات هذه الطريقة بسيطة لذا فإن تطبيقاتها العملية أصبحت أكثر إنتشارا.

1.2.4.4.2 أساسيات هذه الطريقة Principal of Rflection Method:

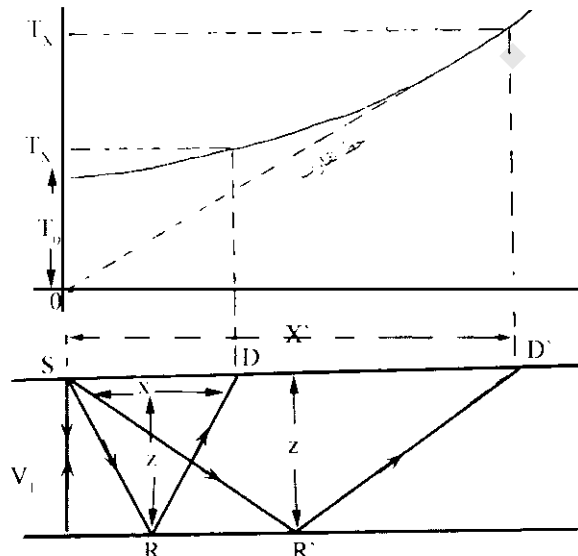
- 1- من الممكن تحديد العمق إلى الفاصل بين تركيبى صخرى بواسطة قياس فترة الزمن للموجات السيزمية المتولدة عند السطح وعودة الإنعكاس من الحد الفاصل.
- 2- تنعكس طاقة الموجه الأولية P_w والموجه الثانوية S_w جزئيا، فإذا كانت الموجات الساقطة والمنعكسة من نفس النوع أى موجه أوليه أو موجه ثانوية فإنه يمكن تطبيق القانون العادى للإنعكاس.
- 3- توزيع الكشافات فى هذه الطريقة من نقطة التفجير يكون صغيرا (25 م) بالمقارنة بعمق مستوى الإنعكاس الذى يكون حوالى 500 م، وعادة ما توزع الكشافات بتناسق على جانبي التفجير على طول خط مستقيم بحيث تكون مسافة توزيع الكشافات أقل من عمق مستوى الإنعكاس. وبهذا يكون الإرتجاع الملاحظ للكشافات ناتج من وصول موجه الإنعكاس وليست موجه الإنكسار.

ويوضح شكل (2-72) واحد من أبسط الأوضاع الجيولوجية، حيث يوجد سطح واحد عاكس بين تكوينين صخريين مختلفا السرعة ويبدأ مسار الموجه من نقطة التفجير S وتنعكس على السطح العاكس عند نقطة R ثم تصل إلى الكاشف عند D & D'. الخ. فإذا كانت Z تمثل سمك الطبقة العلوية، T_x زمن الإنعكاس الأول للموجه فإن

$$T_x = \frac{SR}{V_1} + \frac{RD}{V_1} = \frac{2SR}{V_1}$$

وباستخدام نظرية فيثاغوث

$$\therefore T_x^2 V_1^2 = (2 SR)^2$$



شكل (2-72): أساس طريقة الإنعكاس السيزمى ويوضح الجزء العلوى من الشكل علاقة زمن الإنعكاس مع مسافة الكشافات

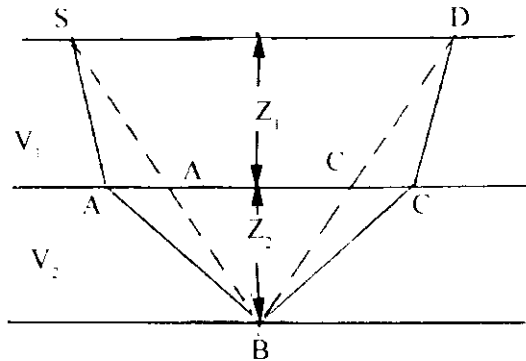
وحيث

$$\begin{aligned}
 SR &= \sqrt{Z^2 + \frac{X^2}{4}} \\
 \therefore T_N^2 V_1^2 &= 4 \left(Z^2 + \frac{X^2}{4} \right) \\
 \therefore T_N^2 &= \frac{4Z^2}{V_1^2} + \frac{X^2}{V_1^2} \\
 \therefore T_N &= \frac{Z}{V_1} \sqrt{4 + \frac{X^2}{Z^2}} \\
 \therefore Z &= \sqrt{V_1^2 T_N^2 - X^2}
 \end{aligned} \tag{2-50}$$

حيث V_1 تمثل السرعة فوق مستوى الإنعكاس.

وتوضح كلا المعادلتين الأخرتين أن منحنى X & T عبارة عن قطع ناقص مقعر فى اتجاه محور X ويمثل محور T محور تماثل والخط البادئ من $O = T$ & $O = X$ بميل $\frac{1}{V}$ هو خط تقارب، وربما تكون هذه العلاقة الهامة محدودة الاستخدام فى المهمة العملية حيث أن جزء القطع الناقص القريب من $O = X$ يلاحظ أنه عادة ما يكون تقريبا أفقيا.

ويلاحظ أنه إذا زادت X إلى مسافة X_{max} فإن زاوية السقوط عند A سوف تزيد إلى أن تصل إلى الزاوية الحرجة وفى هذه الحالة يصل إلى الكشف موجه منعكسة ومنكسرة ولتجنب هذا الاختلاط لابد من المحافظة على أن $X < X_{max}$ ويوضح شكل (73-2) هذه الملاحظة. وعامة إذا وجد مستويين إنعكاس مفصولين بطبقات مختلفة السرعة فعليا تهمل أشعة الإنكسار. فمن شكل (73-2) فإن مسار الأشعة $SA'BC'D$ تحل محل الأشعة $SABCD$ وهذا يبرر اعتبار الأشعة ما تكون غالبا رأسية وذلك بتوزيع الكشافات بمسافات صغيرة وفى هذه الحالة تكون فترة زمن الأشعة الرأسية المتجه لأسفل.



شكل (73-2):

$$t = \frac{Z_1}{V_1} + \frac{Z_2}{V_2} = (Z_1 + Z_2) / \bar{V} \quad (2-51)$$

حيث \bar{V} متوسط السرعة وإذا وجدت عدة طبقات فإن متوسط السرعات من الموجات المنعكسة من n^{th}

طبقة

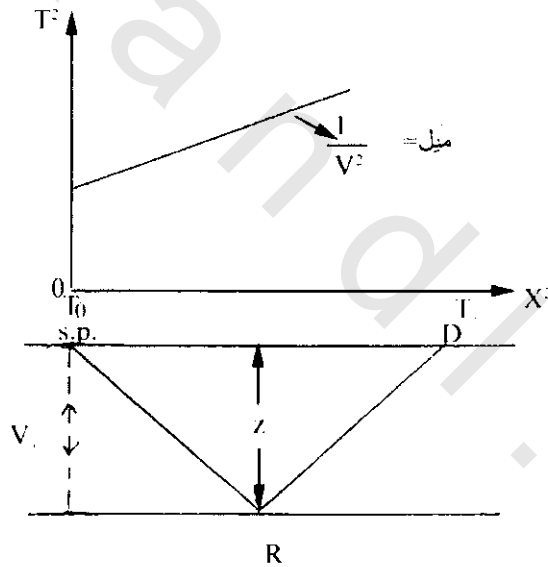
$$\bar{V} = \sum_i^n Z_i / \sum_i^n (Z_i / V_i) \quad (2-52)$$

أما إذا رسمت العلاقة من المعادلة السابقة

$$T_N^2 = \frac{4Z^2}{V_1^2} + \frac{X^2}{V_1^2} \quad (2-53)$$

أى العلاقة بين مربع الزمن ومربع المسافة لذلك تكون هذه العلاقة خط مستقيم كما هو موضح بالشكل (74-

2) وحيث T_0 تمثل الزمن فوق نقطة التفجير أى $O = X$ فإن $\frac{2Z}{V_1} = T_0$



شكل (74-2):

$$\therefore T_0^2 = \frac{4Z^2}{V_1^2}$$

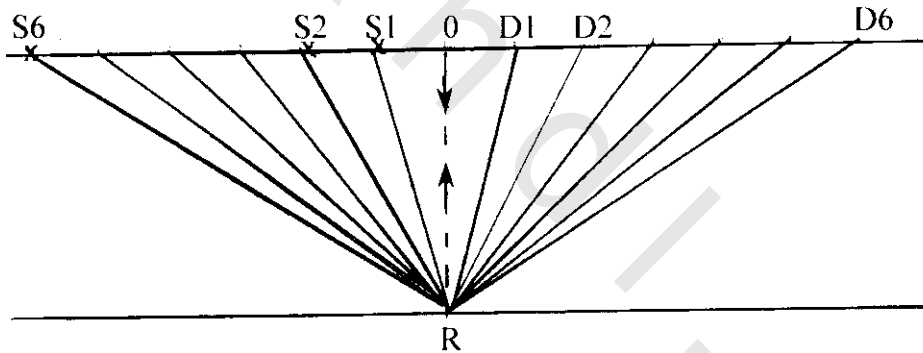
وبالتعويض فى المعادلة السابقة

$$\therefore T_N^2 = T_0^2 + \frac{X^2}{V_1^2} \quad (2-54)$$

وتسمى هذه الزيادة فى الفترة الزمنية ($T_x - T_0$) بسبب البعد العمودى لـ X أى ($X=0$) بالإزاحة العمودية (Normal Move Out (NMO) أو التصحيح الديناميكي Dynamic correction ويستعمل تعبير (NMO) لصغر كافى جدا للإزاحة العمودية بالنسبة للعمق أى أن $X \ll Z$ وتعطى كالاتى:

$$NMO = T_x - T_0 = \Delta T = X^2 / 2 T_0 V_1^2 \quad (2-55)$$

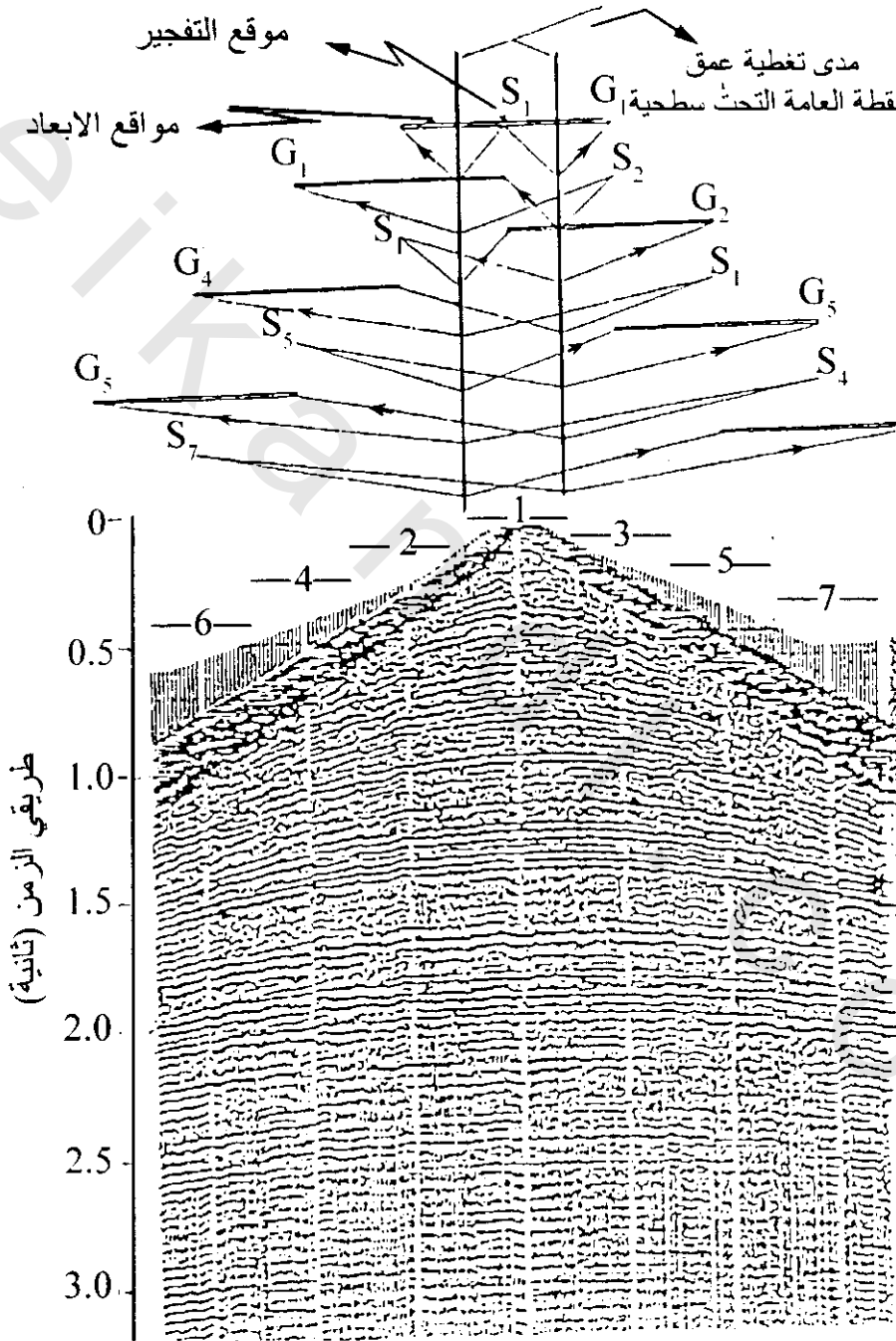
والمعلومات التى يحصل عليها بواسطة نبضة انعكاس لكاشف واحد يكون غير كاف لتوضيح تواجد مستوى انعكاس. وعمليا يوضع صف من الكشافات ($D^+ \dots D^-$) عند مسافة قصيرة نسبيا ($X \ll Z$) من نقطة الانفجار ويكون تخريط امتداد الانعكاس التحت سطحى بواسطة إنتشار الكشاف D^+ ، D^- هو R^+ ، R^- كما فى شكل (2-72). وبواسطة الإزاحة الخطية التدريجية لشكل توزيع الكشافات لنقطة التفجير يمكن تخريط مستمر لمستوى الانعكاس وطول توزيع الكشافات $D^+ - D^-$ لأغلب المسح الانعكاسى يكون من رتبة لمئات قليلة من الأمتار بمسافات لبعض عشرات الأمتار بين الكشافات وتكون المسافة X ، وتوزيع الكشافات $D^+ - D^-$ كبير لعدة رتب من القيم السابقة وذلك فى الإتساع الزاوى لتفجير الانعكاس (لعمل ترجيف عميق) وعامة يستخدم ترتيب (نسق مشطور) لتغطية مستمرة لمستوى الانعكاس وذلك بصف الكشافات على جانبي نقطة التفجير وبواسطة استخدام توزيع شكلى ملائم فإنه من الممكن تسجيل عدد من التفجيرات لنفس نقطة الانعكاس لجميع التوزيع المطبق شكل (2-75)، هذا النظام يسمى [نقطة العمق العامة (CDP) Common Depth Point].



شكل (2-75): رسم خطى يوضح طرق انعكاس الأشعة السيزمية خاصة بنقطة العمق العامة (R) (CDP) لعاكس أفقى. ويوضح الترتيب اعطاء ثنيات تغطى نقطة الانعكاس التحت سطحية

وتعرف عدد مرات نفس النقطة المعينة على العاكس طيه مدى التغطية the fold of coverage، وإذا عينت النقطة التحت سطحية مرة واحدة فقط كما فى إزاحة التفجير العامة (الشائعة) عندئذ تعرف هذه الثنية المفردة single-fold أو مدى تغطية 100% وإذا استعمل مثلا 12 مكان للكشافات لتعيين نفس النقطة على العاكس عندئذ يقال لها 12 ثنية أو مدى تغطية 1200% وثنيات مدى التغطية 6، 12، 24، 48، 96 تستخدم تكرارا فى صناعة الهيدروكربون. ومع الإرتفاع إلى 1000 ثنية المستعملة أسيا فى المساحة الهندسية فإن 12 ثنية مغطية تعتبر عادة زائدة. من عدد الطلقات الممره لمدى تغطية الثنية ممكن تجميعها مع بعض لجميع الآثار الناتجة من نفس نقطة المنتصف العامة (Common Mid Pint (MP) لإنتاج نقطة عامة منتصف مجموعة (Common Mid Point) (MG) شكل (2-76).

وتستخدم أغلب التسجيلات الحاضرة على الأقل ستة ثنيات مغطية (أى نقطة الإنعكاس تحت سطحية تعين ستة مرات) بعد تصحيح (NMO - تصحيح ديناميكي Dynamic correction وتصحيح التجويه) فإن آثار CDP تجمع مع بعضها للحصول على أحسن أول إنعكاس ويستخدم تأثير CDP لتخفيف تعدد الإنعكاس شكل (2-77)، وتعمل الطريقة على أساس أن الإنعكاس المتعدد له تصحيح NMO أكبر من الإنعكاس الأول الذى يصل فى نفس الوقت.



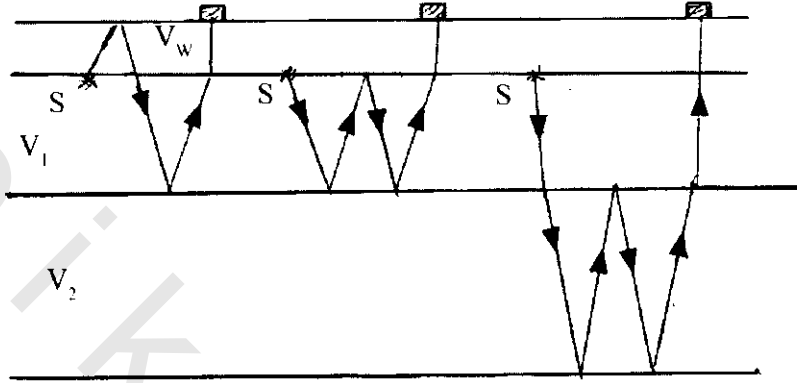
شكل (2-76): مثال لتجمع نقطة متوسطة عامة

وإذا كان هناك مستويين إنعكاسيين أو أكثر فاصلين بين طبقات ذات سرعات مختلفة شكل (2-78) فإن الزمن المقابل المقارب للإنعكاس العمودى يعطى بواسطة

$$T_1 = 2Z_1 / V_1 \quad \&$$

$$T_2 = 2(Z_1/V_1 + Z_2/V_2)$$

وهكذا لـ T_n و T_3 ،



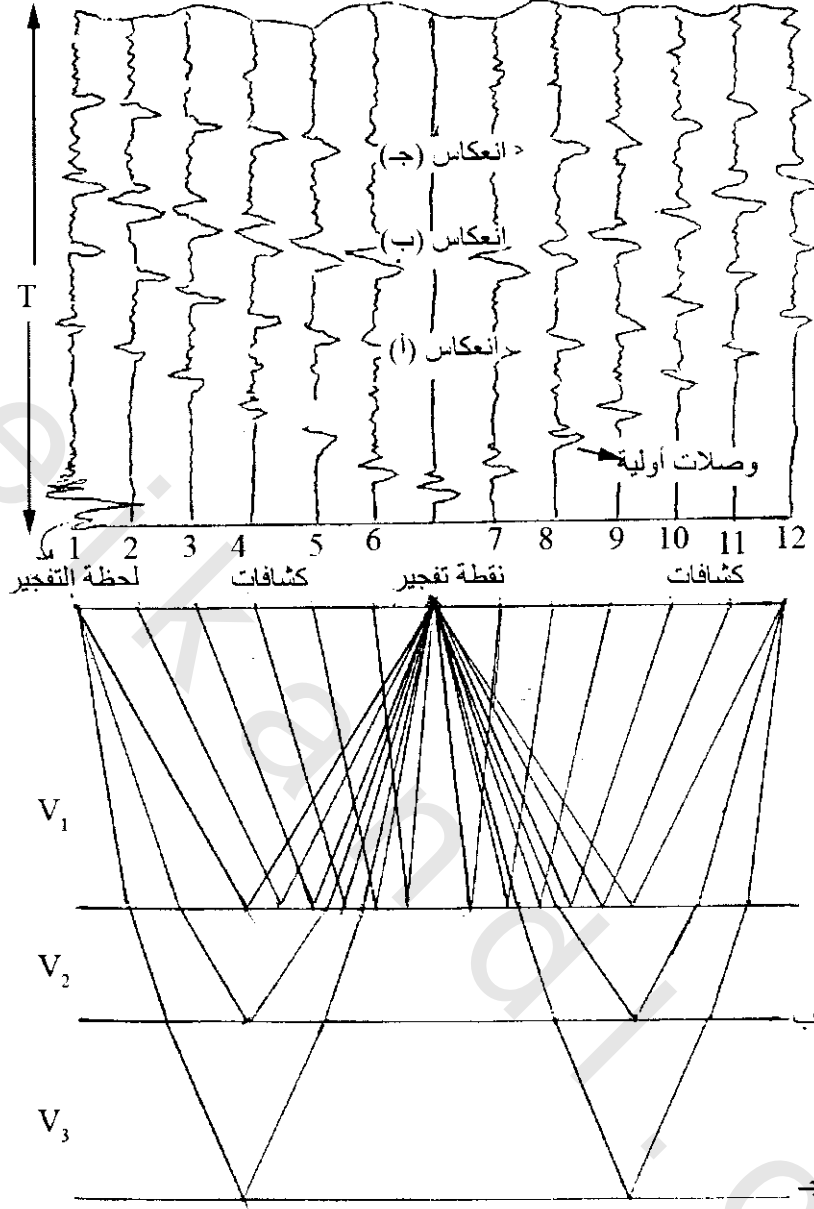
شكل (2-77): بعض تضاعف الإنعكاس. ويوضح الشكل مرور أشعة الانفجار تحت سطح التجويف

وإذا عرفت متوسط السرعات V_1 , V_n للطبقات المتتالية، عندئذ يمكن حساب السمك V_1 إلى Z_n لهذه الطبقات ويمكن قراءة الزمن T_1 , T_2 , T_n من سجلات الإنعكاس ويوضح شكل (2-78) جزء من سيزموجراف إنعكاس لإثنى عشر أثر. وتمثل الذبذبة كآثر فردى لإشارة أنعكاس أو حركة أرضية بسبب الشوشرة، ولا يدل هذا الأثر الفردي على إشارة مميزة. وربما تكون نبضات الشوشرة غير متشابهة بالضبط فى الطور عند جميع الكشافات، بينما نبضات الإنعكاس من فاصل ليثولوجى تصل تقريبا طوريا فى نفس الوقت طالما تكون الكشافات نسبيا صغيرة التوزيع طويا. ويلاحظ فى العرض الداخلى للسيزموجراف أن مستويات الإنعكاس ذات السعة الكبيرة محددة بواسطة محاذاة مميزة لإشاراتها. وغالبا ماتكون المحاذاة مستقيمة للإنعكاسات المتأخرة بينما للإنعكاسات الأولى فإن النبضات تقع على خط منحنى خفيف والذى يكون ممثلا لخط القطع كما فى المعادلة

$$T_X = \frac{2SR}{V_1} = \frac{2}{V_1} \sqrt{(Z^2 + X^2/4)} \quad (2-56)$$

وباستمرارية مستويات الإنعكاس ممكن تأكيد العلاقات الزمنية لسلسلة من السيزموجرافات المحصول عليها بروفيلات انعكاسات مستمرة. ويرى شكل (2-79) عرض بصرى (نوع مساحة متغيرة) لربط قطاعات الزمن لمستويات إنعكاسية مختلفة فى حوض رسوبى.

وتدل هذه القطاعات الزمنية على إعطاء أكثر الصور المباشرة للتركيبات الجيولوجية تحت سطحية.



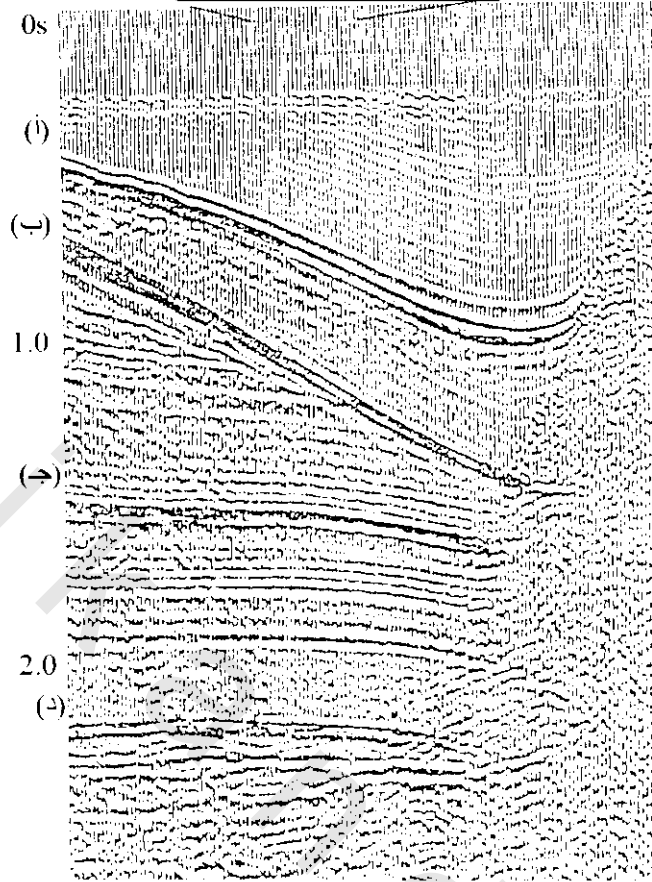
شكل (2-78): رسم خطي يوضح نتيجة سيزموجرام انعكاسي. ويرى أثر الإثني عشر تسجيل التتابع الزمني لنهضات الإنعكاس من طبقات الإنعكاس.

1.1.2.4.4.2 تحديد السرعة Velocity Determination من نقطتي إنعكاس:

من الشكل (2-80) فإن T_1 هي زمن إنعكاس الموجه عند الكاشف D_1 والذي يبعد عن نقطة التفجير بمسافة X_1 و T_2 هي زمن إنعكاس الموجه عند الكاشف D_2 والذي يبعد عن نقطة التفجير بمسافة X_2 .
 ∴ معادلة مسار الموجه عند الكاشف D_1 هي:

$$\left(\frac{V T_1}{2}\right)^2 = \left(\frac{X_1}{2}\right)^2 + Z^2 \quad (2-57)$$

مخرج 24 مسجل (Geophones)



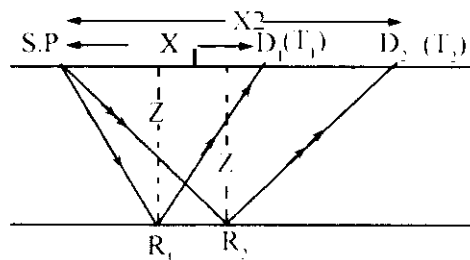
شكل (2-79): تسجيل منطقة متغيرة لمقاومة قطاعات الزمن لمستويات عاكسه متغيرة فى حوض رسوبى فى البحر الشمالى. تمثل علامات المستويات أ، ب، ج، د، قاعدة الثلاثى، الكريتايوى العلوى، الترياسى، وتكوين برمى بالتتابع، ملحوظة: عدم الاستمرارية الفجائية فى مستويات الإنعكاسى بسبب ارتفاع الملح

ومعادلة مسار الموجه عند الكشف D_2 هى:

$$\left(\frac{V T_2}{2}\right)^2 = \left(\frac{X_2}{2}\right)^2 + Z^2 \quad (2-58)$$

ب طرح المعادلة (2-65) من (2-66)

$$\therefore V^2 = \frac{V_2^2 - X_1^2}{T_2^2 - T_1^2} \quad (2-59)$$



شكل (2-80):

من هذا يتضح أنه للحصول على معدل سرعة لأي سطح عاكس معين فإنه من الضروري قياس زمن وصول الانعكاس لأي بعدين أفقيين مختلفين. ومن المعادلة يلاحظ أنه يوجد علاقة خطية بين X^2 , T^2 . ولذلك فإنه في العمل الحقلّي فبدلاً من ملاحظة علاقة بين نقطتين فقط للعلاقة X^2 , T^2 فإنه من الأفضل الحصول على قيم لـ X^2 , T^2 ويرسم أحسن خط مستقيم خلال جميع هذه النقط لكي نترك في تأثير خطأ بعض النقط المعينة الذي سيقل بذلك.

2.1.2.4.4.2 من المعادلة (2-67):

يمكن وضع المعادلة 2-67 في الصورة الآتية

$$T_2^2 - T_1^2 = \frac{1}{V^2} (X_2^2 - X_1^2) \quad (2-60)$$

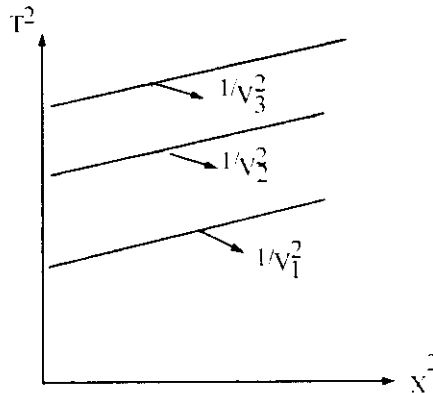
من هذه المعادلة يتضح أن V^2 هي مقلوب الميل كما في شكل (2-81). وإذا رسمت هذه العلاقة لعدة طبقات ذات سرعات مختلفة V_1, V_2, \dots, V_n فإن كل طبقة سيكون لها خط مستقيم خاصة بها 1, 2, \dots, n كما في شكل (2-81) ويدل ميل كل خط مستقيم على مقلوب السرعة لكل طبقة.

3.1.2.4.4.2 إيجاد متوسط السرعة من تسجيل إستمرارية السرعة

Continuous Velocity Logging (CVL):

أو بروفيل رأسى سيزمي (VSP) Vertical Seismic Profile:

إذا كان في المنطقة بئر عميق فإن طريقة (CVL = VSP) تستخدم لتحديد متوسط السرعة وبداية الطريقة تتكون من تفجير شحنة ديناميكية في حفرة ضحلة على جانب البئر العميق والذي فيه توضع كشافات لتسجيل زمن وصول الموجات عند فترات عميقة مختلفة تتراوح من 1-2 م كما في شكل (2-82) وفي هذه الطريقة يقاس فترات الزمن المقابلة لفترات العمق بواسطة إنزال الكشافات ويحسب منها الفترات السريعة interval velocity. ومن هذه النتائج تحسب ويرسم متوسط السرعة، وتسمى هذه الطريقة بالتسجيل الصوتي sonic log ويوضح شكل (2-83) جزء من تسجيل استمرارية السرعة مع القطاع الجيولوجي المقابل له والخط المتصل في الشكل يدل على متوسط السرعة.



شكل (2-81): تحديد السرعات المتوسطة لثلاثة مستويات جيولوجية متزامنة بتحليل الانعكاسات على إنتشارات السرعة

2.2.4.4.2 الانعكاس من فاصل Reflection from Dipping Interface:

إذا استقبلت الموجه المنعكسة من سطح فاصل مائل عند نقطتين أو أكثر على طول السطح فيمكن تحديد زاوية الميل من اختلاف الزمن بين الانعكاسات. وفى القطاعات الجيولوجية فعدد من الفواصل الليثولوجية أوضاع مائلة مختلفة.

ويوضح شكل (84-2) الطريقة (التصويرية) والتي تعرف بالطريقة التصويرية وغالبا ماتستخدم لتحديد مكان مستوى الميل.

من شكل (84-2) طريق الأشعة الحقيقية AS' الإمتداد لـ D_1A ، ويساوى SA . وبواسطة العناصر الهندسية نرى أن صور مرآئية لـ S فى مستوى الانعكاس وإذا كانت t_1 ، t_2 إلخ الفترات الزمنية على طول SAD_1 ، SAD_2 ... إلخ أنصاف أقطار لأقواس مراكزها الكشافات فسوف تتقاطع عند S' ، ومن الواضح أن المنصف العمودى لـ SS' تمثل مستوى الانعكاس.

وباستخدام نظرية الجتا للمستوى الهندسى للمثلين $SS'D_1$ ، $SS'D_2$ فتكون المسافة العمودية من S إلى مستوى الانعكاس هى

$$d = \frac{1}{2} \left[X_1 X_2 + \frac{V^2 (X_2 t_1^2 - X_1 t_2^2)}{X_2 - X_1} \right]^{1/2} \quad (2-61)$$

$$\text{حيث } SD_2 = X_2, SD_1 = X_1$$

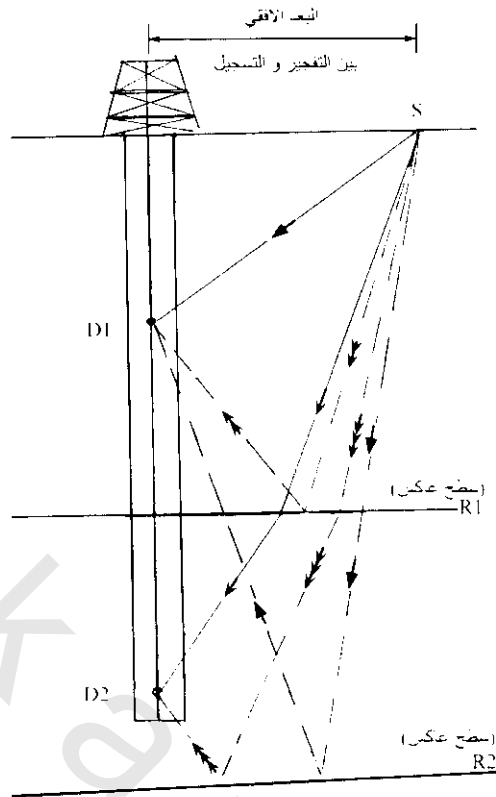
وبنفس النظرية يمكن إيجاد زاوية الميل θ من

$$\sin \theta = \frac{V^2 (t_2^2 - t_1^2)}{4d(X_2 - X_1)} \times \frac{X_2 + X_1}{4d} \quad (2-62)$$

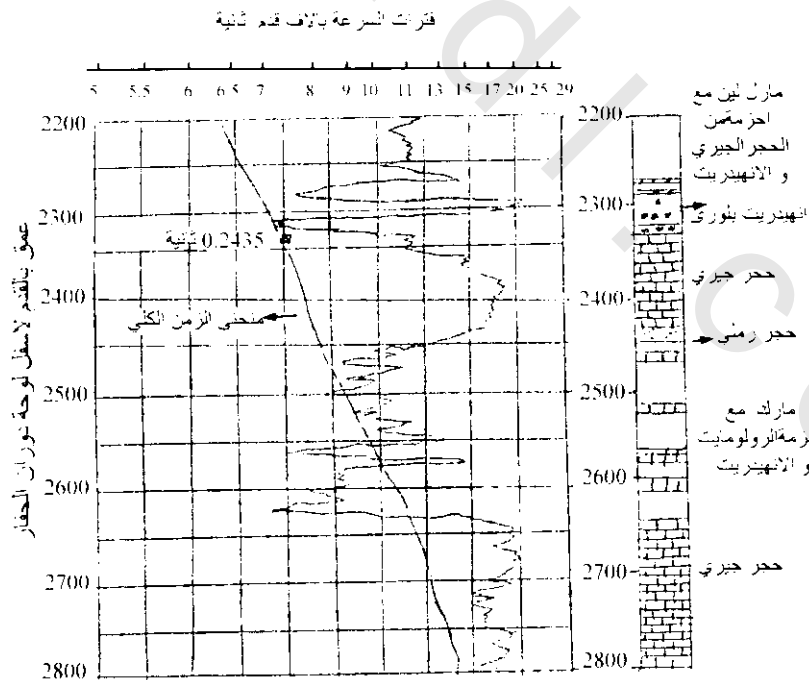
وإذا كانت D_1 ، D_2 على جانبى عاكس لـ S ($-X_1 = X_2$)، t_1 ، t_2 تقريبا يساوى $2d/v$ (زمن الانعكاس العمودى) فإن المعادلة السابقة تكتب فى الصورة البسيطة

$$\sin \theta = \frac{V \Delta t}{\Delta X} \quad (2-63)$$

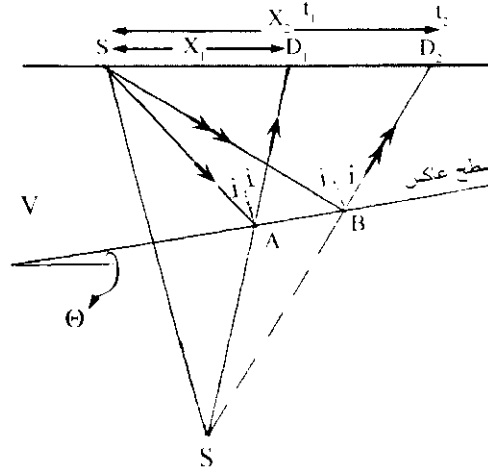
حيث $\Delta t = t_2 - t_1$ ، ΔX = مسافة توزيع الكشافات



شكل (2-82): رسم تخطيطي يوضح أساس بروفيل رأسى سيزمى (VSP)، حيث تعلق الكشافات بالبئر D_1 , D_2 ويتم التفجير عند S . ويتم تسجيل الموجات المنعكسة والمحايدة عند الكشافات R_1 , R_2 و D_1 , D_2 عواكس متتالية



شكل (2-83): جزء من تسجيل إستمرارية السرعة مع القطاع الجيولوجى المقابل له والخط المتصل فى الشكل يدل على متوسط السرعة



شكل (2-84):

3.2.4.4.2 طرق المسح Survey Methods:

1.3.2.4.4.2 طريقة المسح ذا الاتجاهين Two-Dimensional Survey Method:

يتوقف تصميم المسح على الهدف المستخدم من أجله، فيختلف في حالة التفسيرات الهندسية البسيطة عن البحث والتنقيب عن المواد الهيدروكربونية، حيث يوجد أيضا فروق في التكاليف. وتستخدم هذه الطريقة عادة في التفسيرات الهندسية ويكون النظام عبارة عن نقطة تفجير مع مجموعات من الكواشف تتراوح ما بين 12 إلى 24 كاشف ذات تردد أساسي لا يقل عن 100 هرتز متصلة بكابل إلى جهاز السيزموجراف الهندسي. ويمثل كاشف أثر واحد على التسجيل. ومن أجل مسح أكبر على إتساع واسع فإن عدة كشافات تتجمع مع بعضها لتكون مجموعة أو صف من الكشافات ويجمع التأثير الخارج مع بعضها ويسجل على قناة واحدة. ويوجد عدة أنظمة مختلفة لإجراء هذه الطريقة:

- 1- الصف الخطي In-line array: وفيها تقع جميع كشافات المجموعة على طول خط المسح.
- 2- الصف العمودي Perpendicular array: وفيه تصف الكشافات عمودية على خط المسح.
- 3- الصف الصليبي Cross array: وتشمل الطريقتين السابقتين.
- 4- الرقعة أو البقعة Patch.

في بعض الحالات ترتب عدد من الكشافات تبلغ عدة مئات في شبكة مربعة وتعرف هذه المجموعة من الكشافات بالرقعة.

وعند تمثيل الكشافات بمجموعات ففي هذه الحالة تحسب المسافة بين نقطة التفجير ومركز المجموعة وتعرف بفترة المجموعة group interval. واستخدام المجموعات المتكررة للكشافات تعطي رد مباشر للصفوف بقصد تقوية الموجات المنعكسة المنقولة القريبة (الرأسية المتجه لأعلى) وتقلل أي شوشرة متجمعة منقولة أفقيا والتي يمكن ربطها من أثر إلى أثر في تباين مع الشوشرة العشوائية والتي تجمع بين الأثر. والشوشرة المتجمعة مثلا ربما تكون في شكل موجات رالي. وإذا كانت المسافة بين الكشافات المفردة في المجاميع تساوى نصف

طول الموجه لموجه رالى عندئذ ستكون الإشارات على الكشافات المتتالية خارج الطور وتزال بواسطة تجمع المخارج من الكشافات. وأى إنتقال لإتجاه أعلى لإنعكاس الموجه الجسمية ربما تصل للكشافات فى نفس اللحظة. والمخارج الكلية تكون عندئذ مجموع مافى إشارات الطور من الكشافات خلال المجموعة. وهذه الميزة أيضا تساعد لترشيح بعض الشوشرة العشوائية ولها تأثير كلى للزيادة ليس فقط لشدة النبضات (الإشارات) ولكن أيضا لنسبة شوشرة النبضات.

عادة ما يكون وضع نقط التفجير لمسح الإنعكاس على الأرض كالاتى:

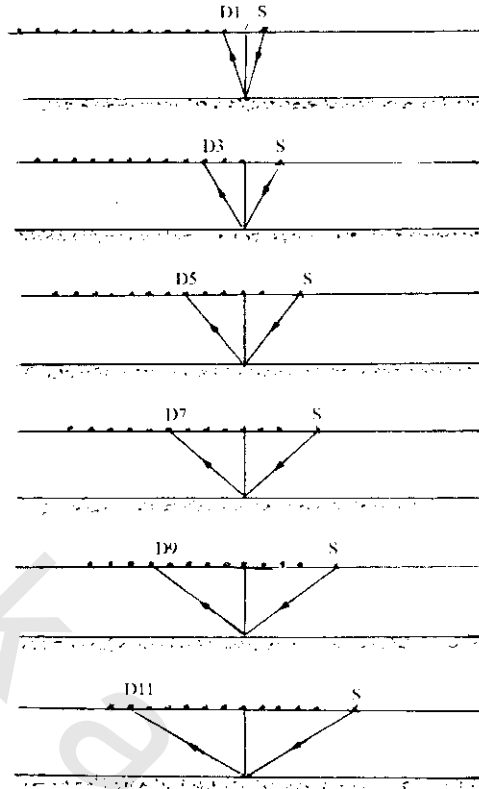
1- تفجير نهاية الخط إلى الكشافات.

2- تفجير إنتشارى وفيه يوضع مصدر التفجير خلال خط الكشافات.

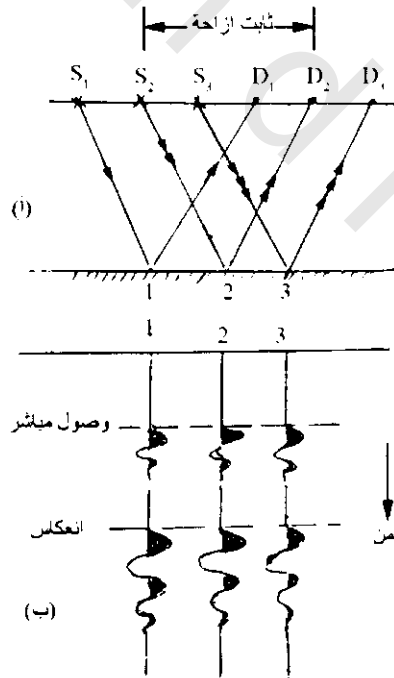
ويمكن حساب طى التغطية لبروفيل الإنعكاس من التعبير الآتى $N/2n$ حيث N العدد الكلى لمجموعة الكشافات فى التوزيع ، n عدد المسافات بين المجموعات والتى بواسطتها يتحرك التوزيع الداخلى على طول خط المسح بين التفجيرات وأفضل مسافة إزاحة تكون مدى الإزاحات التى عندها يصل إنعكاس صخر الأساس قبل أى من الإهتزازات السطحية او الموجات الهوائية. وتعتمد تزايد إختيار المسافة المتحركة بين التفجيرات على نوع الهدف المقصود. إذا كان العاكس المسئول له دلالة ميل أو تضريس سطحي عندئذ تكون أفضل أقل مسافة تتراوح ما بين 1-3 متر. وإذا كان الهدف العاكس سطح معتدل عندئذ ممكن زيادة المسافة ربما إلى 5 متر أو أكثر.

أما المسح المائى للتفجير عن المواد الهيدروكربونية فيستخدم واحدة أو أكثر من توليفة للتفجير (صفوف بندقية الهواء) إلى واحد أو أكثر من خطوط الكشافات المائية Hydrophone والتى فيها عدد من الكشافات المائية تتصل مع بعضها لتكون مجموعة نشطة ومجموع الخارج منها يغذى قناة واحدة. أما فى حالة المسح الهندسى الصغير فإن المصدر يكون بندقية هواء واحدة أو تردد عالى مع خط كشاف مائى قصير، ربما يكون طوله أقل من 10 متر ويجمع الخارج من كل كشاف مائى ليعطى قناة واحدة فقط. لهذا فبالنسبة لتوزيع 24 كشاف ($N=24$) بمعدل تحرك لفترة واحدة لكل فترة تفجير ($n=1$) فيكون تغطية الطيه $12 = I_x \times \frac{24}{2}$. ويوضح شكل (2-85) مثال لترتيب إنتشار تفجير متتابع مطلوب لإتمام 6 تغطية طيات من توزيع 12 قناة.

وبالنسبة للبحث الهندسى الضحل والمياه الأرضية فإن أبسط صورة لإستخدام المسح الإنعكاسى هى إستخدام كشاف واحد يزاح عن المصدر بمسافات ثابتة. ويعرف هذا الشكل المسحى بطريقة الإزاحة الثابتة ويتحرك المصدر والمستقبل (الكشاف) بتقدم على طول خط المسح فى زيادة متساوية لكل أثر ينتج من كشاف مفرد من كل تفجير شكل (2-86) ويحصل على التسجيل السيزمى بواسطة وضع الأثر المتتابع كل جنب للآخر وبالنسبة لمطالبات مسح خط قصير فإنه من الملائم إستخدام معلومات أساسية بواسطة سيزموجراف بسيط ورخيص لمسح إزاحة ثابتة. أما بالنسبة لمسح كبير فمن الأفضل تنظيم الكشافات فى صف ب 12 إلى 24 مقطع والتفجير بأفضل موازنة لكشاف واحد نشط مع إغلاق كل الكشافات الباقية. وفائدة هذا التقريب يعتمد على إختيار أفضل الموازنة والمسافة المختارة بين الكشافات لاكتساب أغلب النتائج الكافية وتصور العاكس.

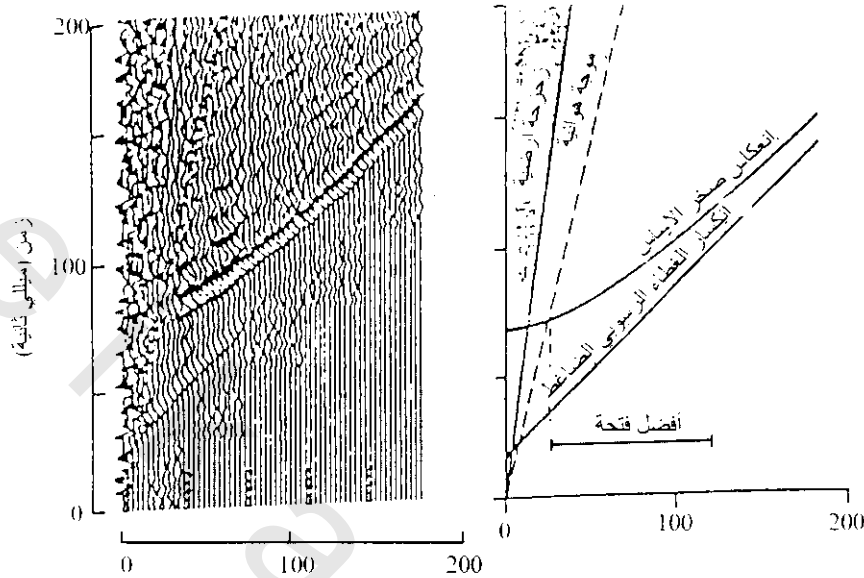


شكل (85-2): تتابع وضع مسحي لمتطلبات تغطية 6 طيات، تدل على المصدر، S على الجيوفونات (كشافات) وهيدروفون (كشافات بحرية) D



شكل (86-2): مسح انعكاسي ثابت إزاحة لمسح انعكاس سيزمي باستخدام أفضل إزاحة نافذة (أ) طرق الإشعاع، (ب) بثلاث أثار متجاورة باستخدام رسم تخطيطي

إذا كان المصدر والمستقبل الفردي يقعان افتراضيا عند نفس النقطة فإن الاهتزازات السطحية وربما الموجه الهوائية من التفجير ستعطى الكشف ولا يحصل على معلومات مفيدة. ولكي نقلل تأثير الاهتزازات السطحية يكون من الضروري إزاحة الكشف من المصدر بكمية مثلى (شكل 2-87). ومسافة الإزاحة هذه من الأفضل تحديدها من محاولات تفجير الانعكاس لقياس أهم إزاحة ملائمة لكي يمكن تصور العاكس المطلوب.



شكل (2-87): (أ) تسجيل ضحل مركب ناتج عن 5 تسجيلات (12 قناة) كل منها سجلت بزمن تأخير مختلف بين لحظة التفجير وبداية التسجيل، (ب) رسم خطي لزمن مسافة يوضح الأحداث السيزمية الكبيرة على التسجيل. أنسب فتحة تكون لمدى أبعاد (المصدر-المستقبل) التي تسمح لملاحظة هدف الانعكاس بدون الرجوع من أحداث أخرى (سلامة وآخرين 1990 Slama et al.)

2.3.2.4.4.2 المسح ثلاثي الاتجاه Three-Dimensional Survey :

بدأت هذه الطريقة في عام 1975 وبدأت تنمو بسرعة في الاستخدام خاصة بعد عام 1985 وكانت تستعمل سابقا فقط عبر حقول إنتاج كاملة التكوين لتنقيب جيد لاستخلاص الهيدروكربونية. وتستعمل أيضا لتحديد اتجاهات نوعية الخزان. والتميز البرهاني للمسح الثلاثي عن المسح الثنائي جعل استعمالها يزيد، وفي الحقيقة سيكون المسح الثلاثي طريقة أساسية في البحث والتنقيب عن المواد الهيدروكربونية لسنوات عديدة.

وبينما تكون هذه الطريقة ناجحة تماما في الصناعات الهيدروكربونية والتفسيرات الهندسية، فتستعمل أيضا فقط عندما تكون التكاليف المالية للإنشاءات عالية مثل التفسيرات الأساسية لإنشاء المحطات النووية أو أماكن الدفن العميقة للنفايات العالية الإشعاعية.

ويتطلب المسح الثلاثي ترتيب التفجير والكشافات بعناية فائقة لتجنب حيز مستعار. وفي الحقل يحصل على النتائج في مجموعات متبادلة تعرف بتجمعات التفجير العام (common shot gathers)، حيث تجمع جميع المتبادلات مع بعضها وتكون تجمعات التفجير العام مجموعة كاملة لنتائج المسح الثلاثي.

يتم المسح الثلاثي البحري بواسطة تفجيرات بمسافات متقاربة بخطوط متوازية تعرف بالتفجير الخطي (line shooting) (يبحر مركب التفجير في محاذاة خطوط الكشافات المتوازية). أما على الأرض والمياه الضحلة فالمسح يستخدم عدد من خطوط الكشافات المنتشرة متوازية مع بعضها لنقطة تفجير موضوعة عمودية على هذه الخطوط بتشكيل يعرف بالتفجير اللفافي (swathe shooting).

فى المسح البحرى يعرف الإتجاه الذى يبحر فيه مركب التفجير محاذاة الإتجاه (in-line direction)، بينما فى المسح الثلاثى الأرضى فإن كابل الكشافات ينتشر على طول محاذاة الإتجاه (In-line direction)، ويعرف الخط العمودى على محاذاة الاتجاه بخط الإتجاه المتقاطع (cross-line direction)، وتكون المسافات بين الخطوط البحرية أقل من 50 متر ويمكن أن تصل إلى 12.5 متر.

فى المسح الثنائى الإتجاه فإن الآثار traces تتجمع كنقطة متوسطة عامة (CMP)، أما فى المسح الثلاثى الإتجاه فإن الرسومات تتجمع مع بعضها كتجمع خلايا عام (صناديق Bins). وتأثيرها فإن النقط العامة للانعكاس من عدد كبير للمصدر وازدواج المستقبلات تقع فى داخل مساحة صندوق (Bin) على العاكس (شكل 2-88) بحجم مثالى لـ 25x25 متر. وتكون ثنية التغطية عندئذ هى الرسومات traces المتطابقة لتعطى صندوق (Bin) ويجب الأخذ فى الاعتبار ثلاثة مجموعات الإحداثيات الآتية:

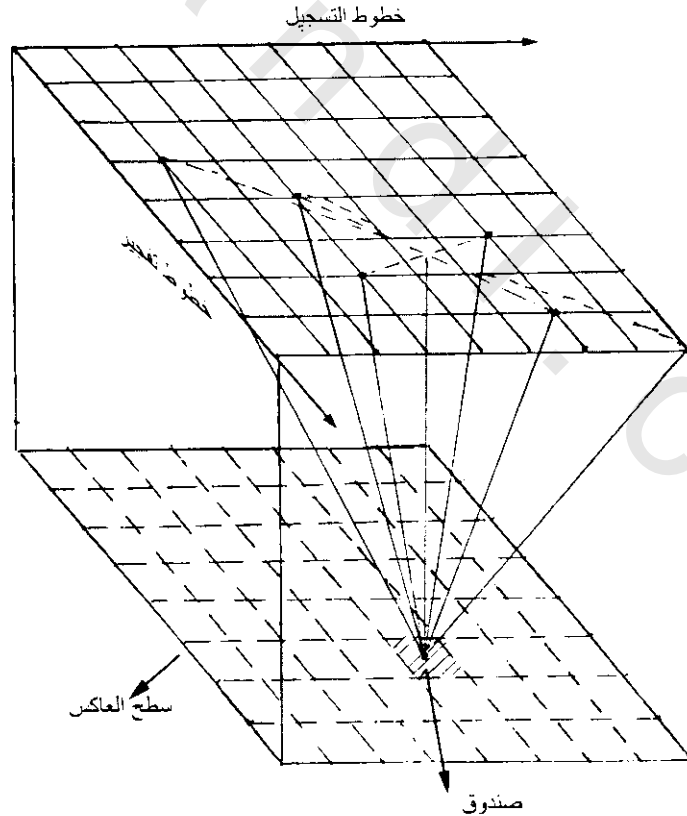
1- فترة الزمن Travel time.

2- ثنائى إحداثيات الحيز Two spatial coordinate.

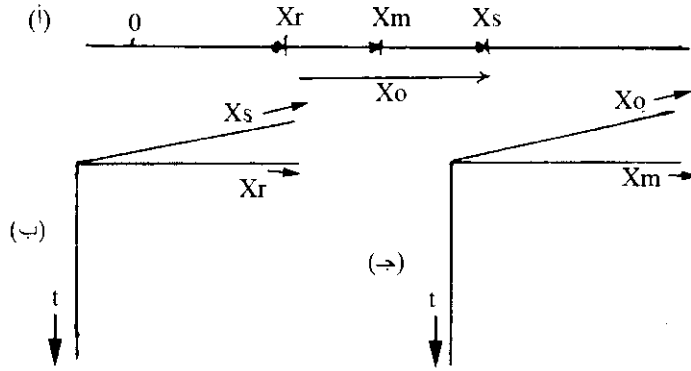
3- النقطة المتوسطة Mid point (X_m).

4- الإزاحة Offset (X_a).

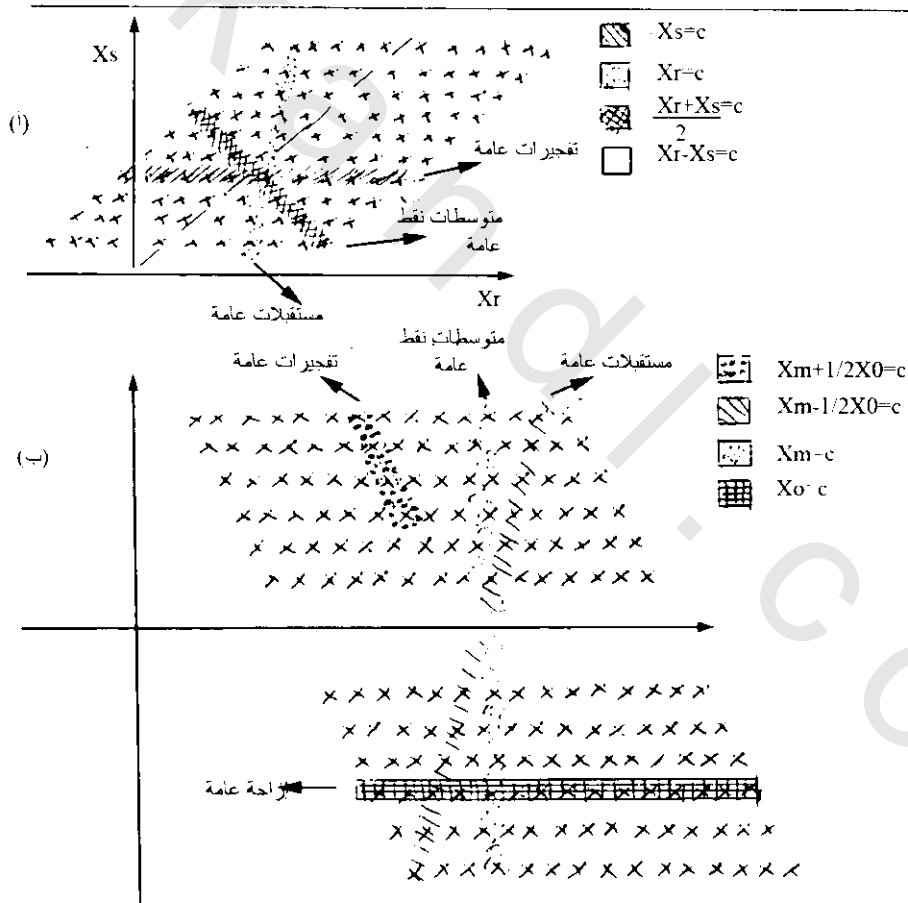
ونفس النتائج من الممكن وضعها فترات الزمن (X_o) terms of travel time وإحداثيات المستقبلات X_o . والعلاقة بين هذه المجموعات الإحداثية موضحة فى شكل (2-89).



شكل (2-88): مسح ثلاثى الأبعاد مع عدد قليل من طرق الإشعاع توضح صندوق تجمعات تفجير عام. لا يوجد مطلب لحجم الصندوق ليكون مساوى للتفجير (شبكة الاستقبال) وهذا موضح برسم خطى



شكل (2-89): نتائج نظام ترتيب: (أ) أربعة أنظمة ترتيب خاص في علاقة مع الخط السيزمي (المرجعي)، (ب) نظام ترتيب وتفجير واستقبال، (ج) نظام ترتيب إزاحة نقطة المنتصف (فيرمر 1991 Vermeer) ويوضح شكل (2-90) طريقتين للتوزيع الهندسي للمصدر والمستقبلات. أما شكل (2-91) فيوضح نظام مسح إضافي.



شكل (2-90): وصف لما قبل تجميع نظام نتائج سيزمية: (أ) نظام ترتيب تفجيرات ومستقبلات (شكل سطحي)، (ب) نظام ترتيب إزاحات منتصفات النقاط (شكل تحت سطحي أو شكل ترتيبي) (فيرمر 1991 Vermeer)

4.2.4.4.2 النبضات السيزمية: Seismic Pulses

1.4.2.4.4.2 انتشار النبضات Propagation of pulses

عندما تنفجر الشحنة فإن المادة حولها تنهدم وتتولد موجات سيزمية فى إتجاه الإنتقال الخارجى، حتى عند المسافات الكبيرة والتي تبلغ عدة أمتار من التفجير فإن أكبر إجهاد إختبارى للمادة ربما يزيد معدل العلاقة العكسية للإجهاد والإنفعال (Stress & strain) وأيضا يتضح الوضع العام للإنتشار الموجى. وعندما تكون المسافة حول التفجير التى يقع عندها أكبر إجهاد فإن علاقة الإجهاد والإنفعال تعرف بالفراغ المكافئ. وتعتبر هذه المنطقة (الفراغ المكافئ)، غالبا أكثر تأثيرا من التفجير نفسه حيث تكون مصدر للنبضات السيزمية. تبعا لنظرية رشر 1955 Richer، ينتقل مركز النبضات بسرعة تبعا لخواص وسط الإنتقال، ويقاس اتساع النبضة (بـ μS) والتي تزيد بزيادة إنتشار الزمن تبعا لقوانين معروفة (محددة). فمثلا فى الطفله، فإن اتساع النبضة تتناسب مع جذر مربع الزمن. إذا واجهت النبضة حد فاصل بين تركيبين جيولوجيين لهما ممانعة صوتية مختلفة (حاصل ضرب السرعة المرنة وكثافة التكوين) سيحدث إنعكاس للنبضة المتسعة وتستقبل عند سطح الأرض بعد مدة من الوقت شكل (2-92) (أنستى 1955 Ansty). ويعتمد شكل واتساع النبضة وكذلك طيف ترددها على فترة إنتقال الزمن. وسوف يشوه امتداد النبضة أما لأكبر أو لأقل بواسطة أجهزة التسجيل.

بالإضافة لوجود تباين كبير للسرعة والتي تسبب انعكاسات قوية، عامة يكون هناك عدد من تباين سرعى صغير فى العمود الجيولوجى. لكل هذا وكذلك لعدم تجانسات أخرى سوف تتولد نبضات انعكاسية والتي تصل للسطح فى شكل متسع يتكون التسجيل السيزموجرافى بين إنعكاسية قوية وليس فقط لشوشرة امتداد كبير ولكن كل هذه الإنعكاسات تتراكب عليه وتتداخل كل فى الآخر. وي طرح ماتبقى بعد هذه الإشارات، وتتكون الشوشرة بسبب الموجات السطحية والعرضية (تضاعف الموجات المنعكسة) حيث تنتقل خلال طبقات التجوية والرياح. الآن، يكون التسجيل السيزمى قيم لاحتوائه على كمية من المعلومات عن عدم التجانس التحت سطحى ولكن الجزء الصغير منه الشامل على الشوشرة فيمكن استخراجه بواسطة نظرية الأشعة البسيطة.

2.4.2.4.4.2 تخفيف النبضة Attenuation

تقل سعة الموجه السيزمية عند إنتشارها خلال الأرض بسبب ثلاثة عوامل:

أ- التفرق الهندسى للأشعة مع الانتقال الجزئى.

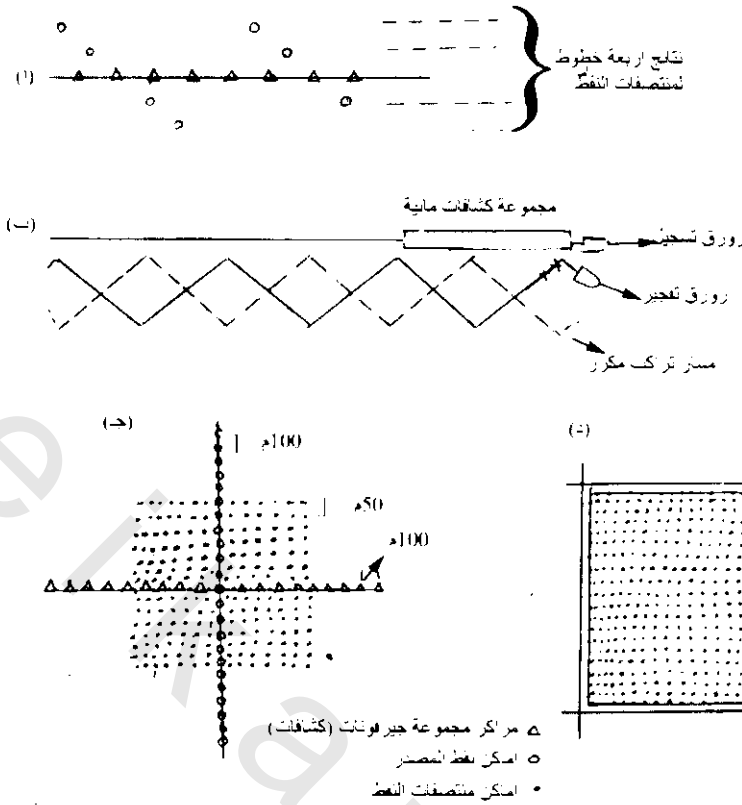
ب- الإنعكاس عند الحدود السمعية.

ج- إمتصاص الطاقة فى وسط الإنتقال.

التأثير الأول معروف جيدا حيث أن سعة الموجات الكروية تقل فى السعة فى تناسب عكسى مع مسافة إنتقال الموجه من المصدر. ومعاملات الإنتقال والإنعكاس للفواصل الجيولوجية فى التأثير الثانى هي دالات للتباين المرن بين الطبقات المتلاصقة. بعض المعلومات حول هذا التباين يمكن الحصول عليها من مقارنة سعيات نبضات الإنعكاس. ومع أن نظرية هذا العنوان (تخفيف النبضة) طورت إنتشار استخدام تقدم التحكم الأوتوماتيكى فى المكبرات السيزمية فما زالت مؤثر مانع لهذه المقارنة. ولكن بنظام التسجيل الرقمى الحديث الذى له معدل امتداد ديناميكى فإن هذا الموضوع جذب إنتباه أكثر لمعالجة هذه المسألة.

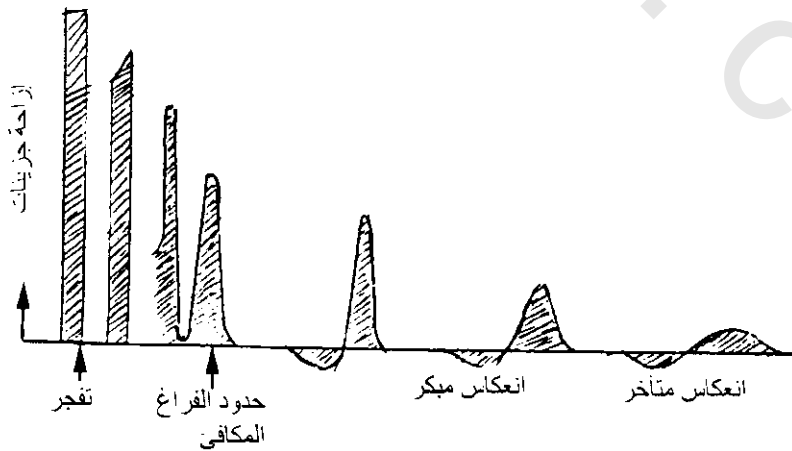
مستوى تخفيف الموجات بسبب إمتصاص الطاقة فى التأثير الثالث يكون أكثر معرفة بالشكل الأسى.

$$A = A_0 \exp (-\delta f/V)$$



شكل (2-91): مسح تخطيطي بحثي لثلاث أبعاد: (أ) تخطيط خطي واسع، (ب) زجاج (بوكوفس ونوتيوم Bukovics and Nooteboom 1990)، (ج) زلزال حلقى حيث توضع المصادر والكشافات حول محيط (شرف 1991 Sheriff)

حيث δ هي النقص الأسى، f التردد، A المسافة، V السرعة. القيمة النموذجية (δ) لكثافة المواد الأرض حوالي 0.02-0.03. واقترح نوعين للإمتصاص الميكانيكي هما اللزوجة والأجزاء الصلبة. وقد لوحظ هذين الإمتصاصين في الصخور ولكن يبدو أن الأجزاء الصخرية عامة هي السائدة. وظاهرياً فإن وجود المياه تزيد النقصان في الإمتصاص الميكانيكي وفي نفس الوقت تؤدي لسيادة الإخماد اللزج.



شكل (2-92): إتساع النبضة السيزمية

5.2.4.4.2 الترشيح وترتيب الجيوفونات Filtering and Geophone Arrays

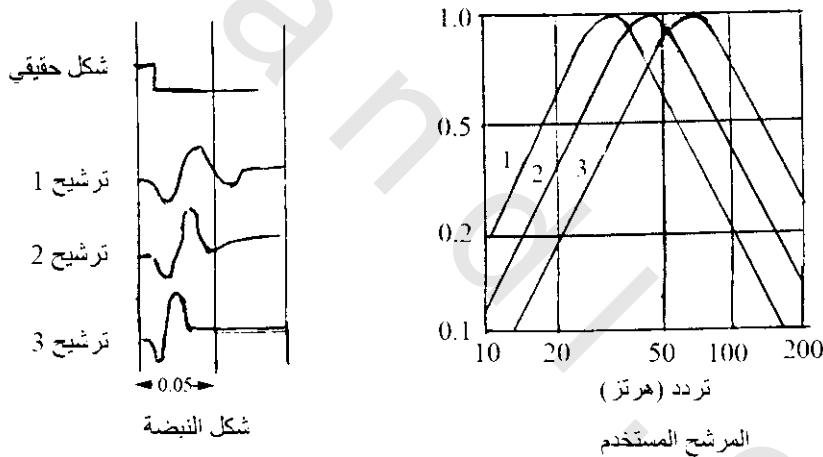
1.5.2.4.4.2 الترشيح Filtering

أهمية الترشيح هو إستبعاد الشوشرة المشارية إليها سابقا. هذه الشوشرة والتي ترجع أساسا للموجات السطحية (درجة أرضية) والرياح مسئولة عن إخفاء إشارات الإنعكاس. عامة، عمليا يتم فى الترشيح قطع تردد درجة الأرض المنخفضة بواسطة مرشح على المرور وتردد الرياح العالى بواسطة مرشح منخفض المرور. ومن أضرار المرشح أنه أحيانا يشوه شكل نبضة الإشارة. وعادة ما تكون الإشارة مستطالة وأيضا مزاحة الطور. لذلك فإن خواصها القمية والقاعية تزداد زمنيا كما هو موضح فى شكل (2-93) لنبضة بدايتها لها شكل طورى. وحاليا يستخدم الترشيح العدى أكثر من استخدام الأجهزة والتي مازال أيضا منتشرة. وعلى هذه التسجيلات السيزمية يتم تعكيس لتأثير وسط الانتقال، والتلامس وتقريب الموجة، وذلك بغية معرفة الإمتداد لها تحت مسارها فى الانتقال. الغرض الأساسى لهذا هو اشتقاق الشكل الأصلى للموجة، وتعرف هذه الطريقة بثنائى الطى وقد وضع سميث 1958 طرق الترشيح بالأجهزة وكذلك الترشيح الحسابى.

2.5.2.4.4.2 مضاعفة صفوف الكشافات وتصفيتها

Multiple Geophone Arrays and Stacking

ويتم ذلك بتجميع نقط العمق العامة [Common Depth Point (CDP)] كما ذكر فى صفحة 104 ، 105.

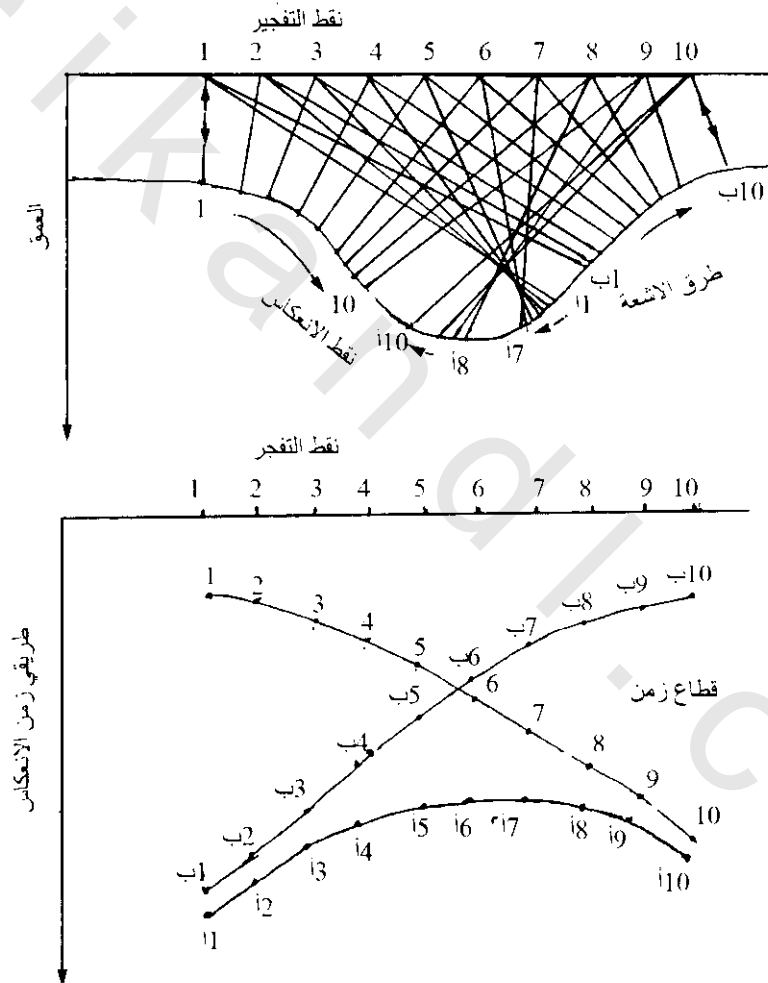


شكل (2-93): تأثير الترشيح على إشارة مترتبة

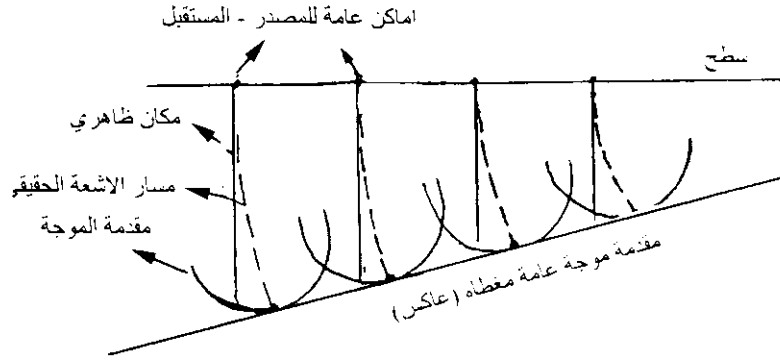
6.2.4.4.2 إزاحة (إرتجال) نقطة الإنعكاس Displacement of Reflection Point

تتجمع نقط العمق العامة (Common Depth Point (CDP)) لأحداث الإنعكاسات عند نقطة المراقبة تبعا لتكرار ثنائى لطريق فترة الزمن بين نقط الإنعكاس ومستقبل المصدر عامة مكانها مع موازنة الصفر (إزاحة الصفر). ولذلك تظهر قطع مستويات الإنعكاس رأسية أسفل نقطة الملاحظة (مثال لذلك قطعة أسفل النقطة 0 شكل (2-75))، وهذا يحدث عندما يكون مستوى الإنكسار أفقيا. أما فى حالة الطبقات المائلة فإن تنقيط قطع الإنعكاس رأسيا أسفل المكان العام لمستقبل المصدر ينتج تشتت فى تخريط الإنعكاس كما فى شكل (2-94)، وتظهر قطع الإنعكاسات فى منطقة الميل الشديد على قطاع الزمن إعتباريا مزاحة من مكانها الحقيقى. وليس من السهولة تفسير نتائج قطاع الزمن فى هذه الحالة ويكون الإرتجال (الإزاحة) عملية بواسطتها يزال تأثير هذا الميل والمنحنى للعاكس.

إذا كانت السرعة دالة للعمق فيمكن إزاحة الانعكاس بواسطة طريقة غلاف مقدمة الموجه ويكون الانعكاس المائل عمودي على أشعة الانعكاس في نموذج الموقع العام للمصدر والمستقبل. ويحدد العاكس بواسطة سطح مماس (غلاف عام) لجميع مقدمات الموجه المرسومة لجميع الأشعة السيزمية الساقطة (شكل 2-95). وبواسطة استخدام نتائج السرعة يمكن إنشاء مقدمة منحنيات مقدمة الموجه من زمن انعكاس طريقي الموجه (طريق السقوط وطريق الانعكاس). و سطح المماسات العامة لمقدمات هذه الموجات يعطى موضع الإزاحة الحقيقية للانعكاس. ويمكن تنفيذ الطرق المختلفة للعمليات المكافئة بواسطة طرق رياضية متقنة (مثلا معادلة الموجه أو بواسطة تطور فرق الإزاحة الدقيقة بواسطة (كليربوت 1971, Clearboud) التي تستخدم حديثا بواسطة أغلب نتائج عمليات المقاولين. والشرح المنتقد للطرق المختلفة للإزاحة ممكن إيجادها في البحث المرجعي (هود 1981, Hood).



شكل (2-94): انعكاسات من طيه مقعرة ضيقة وتبدأ الإشعاعات من أماكن المصدر (1-10) وتنعكس لأعلى ثلاثة أنواع من النقاط (جميعها عند حائط عمودية على عاكس مقعر. عدم التشابه لنتيجة قطاع الزمن تؤكد الاحتياج لإزاحة قطع الانعكاس (بعد ميكلون وآخرين 1979, McQuillin et al.)



شكل (2-95): أساس طريقة إزاحة على مقدمة موجة عامة مغطاه (بعد السعيد 1982 Al-Said)

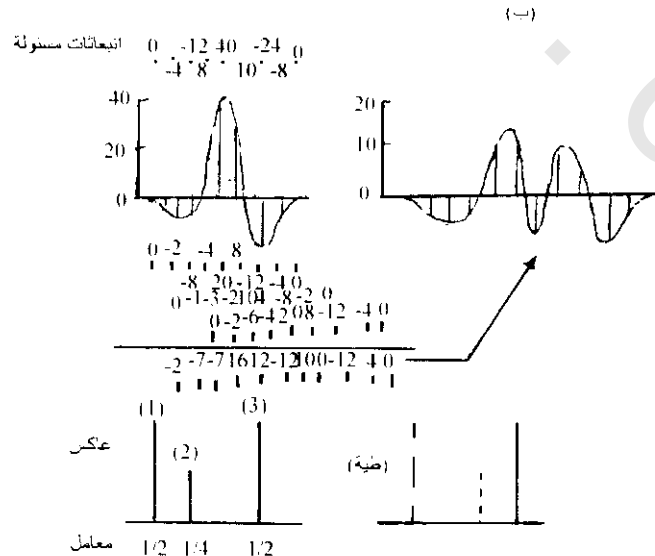
7.2.4.4.2 الف والتمودج السيزموجرافى Convolution and Synthetic Seismogram:

ينشأ الانعكاس السيزمى من التغير فى الممانعة الصوتية للأرض. إذا عرف معامل الانعكاس

$$\text{حيث } (\rho = \text{الكثافة}) \text{ عند كل حد فاصل فيمكن بذلك حساب سعة نبضة الانعكاس، وإذا أمكن} \quad \frac{V_2 \rho_2 - V_1 \rho_1}{V_2 \rho_2 + V_1 \rho_1}$$

جمع النبضات المختلفة فى علاقة زمنية صحيحة (مضبوطة) فإنه يمكن عمل نموذج لتسجيل سيزموجرافى. إذا كان معامل الانعكاس موجب، فتنعكس النبضة التصادمية باتساع كضغط تخلخل، بينما إذا كان معامل الانعكاس سالب فتسبب ضغط لينعكس كتخلخل والعكس بالعكس. وأكثر من هذا فى حالة أخرى تقل إزاحة النبضة فى اتجاه تناسبى لمعامل الانعكاس.

يوضح شكل (2-96) تأخر موجى ممثلاً لإضطراب أرضى عند السطح وذلك عندما تنعكس النبضة من الحد الفاصل بمعدل انعكاس نموذجى ويصل للسطح. ويكون هذا المعدل الانعكاسى كافياً ضبطياً لفرضنا لوصف التأخر الموجى بواسطة سلسلة من المسافات الموحدة المنتظمة من 0، 4، 8، 12، 16، 20، 24، 28، 32، 36، 40، 44، 48، 52، 56، 60، 64، 68، 72، 76، 80، 84، 88، 92، 96، 100، 104، 108، 112، 116، 120، 124، 128، 132، 136، 140، 144، 148، 152، 156، 160، 164، 168، 172، 176، 180، 184، 188، 192، 196، 200، 204، 208، 212، 216، 220، 224، 228، 232، 236، 240، 244، 248، 252، 256، 260، 264، 268، 272، 276، 280، 284، 288، 292، 296، 300، 304، 308، 312، 316، 320، 324، 328، 332، 336، 340، 344، 348، 352، 356، 360، 364، 368، 372، 376، 380، 384، 388، 392، 396، 400، 404، 408، 412، 416، 420، 424، 428، 432، 436، 440، 444، 448، 452، 456، 460، 464، 468، 472، 476، 480، 484، 488، 492، 496، 500، 504، 508، 512، 516، 520، 524، 528، 532، 536، 540، 544، 548، 552، 556، 560، 564، 568، 572، 576، 580، 584، 588، 592، 596، 600، 604، 608، 612، 616، 620، 624، 628، 632، 636، 640، 644، 648، 652، 656، 660، 664، 668، 672، 676، 680، 684، 688، 692، 696، 700، 704، 708، 712، 716، 720، 724، 728، 732، 736، 740، 744، 748، 752، 756، 760، 764، 768، 772، 776، 780، 784، 788، 792، 796، 800، 804، 808، 812، 816، 820، 824، 828، 832، 836، 840، 844، 848، 852، 856، 860، 864، 868، 872، 876، 880، 884، 888، 892، 896، 900، 904، 908، 912، 916، 920، 924، 928، 932، 936، 940، 944، 948، 952، 956، 960، 964، 968، 972، 976، 980، 984، 988، 992، 996، 1000. وسوف تنتج نصف نبضة كلما زاد الاضطراب (بفرض أن الأرض تكون وسط خطى وتتجه النبضة ليس لأكثر من تغير شكلى فى وصولها للسطح).



يرجع الإضطراب الأرضي للانعكاس من حد فاصل آخر (2)، نصف وحدته الزمنية "عمق" من الحد الفاصل (1) بمقدار $V/2$ وهي وحدات عمق تبعد عن 1 والتي تبدأ بوحدة واحدة مؤخرا (حيث أن نبضة ركر Ricker pulse المتجهه من وإلى الحد الفاصل 2 فى تكوين انعكاس فيها). بفرض أن معامل الانعكاس للحد الفاصل 2 هو 0.25، عندئذ فإن مجموعة من الترتيبات 0, 1-, 3-, 2-, 4, 6-, 2-, 0, نزاح بمقدار وحدة زمنية فى علاقة مع المجموعة الأولى 0, 2-, 60, \bar{O} وتكون حركة الأرض راجعة لهذا الانعكاس. بالمثل العاكس الثالث أعماق بوحدة زمنية أكثر من الحد الفاصل 2، وبفرض أن له معامل انعكاس 0.5 فسينتج وحدتين زمنيتين لإزاحة مضطربة. بإضافة التطبيقات الهندسية فسوف نحصل بذلك على محصلة الإضطرابات والتي تمثل بواسطة النبضة فى شكل (2-96ب) بعينة تنظيمات 0, 2-, 7-, 7, 12, 16, 12-, 10, 6, 12-, 4-, 0 (أو) بتعبير أكثر دقة بواسطة سلسلة تنظيمات والتي يمكن إستخدامها لإعادة تركيب التقريب الأولى لشكل النبضة).

نفس النتائج يمكن الحصول عليها إذا طويت بدلا من التراكب وذلك إذا إستخدمت الطريقة الآتية: إذا طويت سلسلة معاملات الانعكاس (1), (2), (3) راجعة على نفسها. وتزاح سالفا فى خطوات منقطعة مرة لوحدة زمن عبر سلسلة 0, 4-, 12-, \bar{O} إلخ ثم تضرب كل من ثلاثة معاملات الانعكاس لكل مكان من السلسلة الموجودة مباشرة أعلى هذه المعاملات بواسطة نبضة نظام، وبعد ذلك تضاف النتائج معا وبذلك نحصل مرة ثانية على سلسلة 0, 2-, 7-, \bar{O} وتعرف هذه الطريقة بالطى ونتائجها مضبوطة كما فى التراكب.

ويكون الشكل النهائى للتسجيل السيزمى متأثرا بمضاعفات إنعكاسية، شوشرة، وتغير النبضات فى تحولها. ولكن، خلاصة يكون التسجيل عبارة عن لف قاعدة تأخر موجى ركر Ricker مع لوغرمات طول السلسلة لكل متغيرات معاملات الانعكاس فى الأرض. إذا عرف اللوغاريمات فيمكن إنشاء نموذج سيزموجرافى بواسطة لف اللوغرمات مع النبضة الأساسية. ويكون هذا النموذج السيزمى مضبوط تصويريا تبعا لتجنب شوشرة التسجيل الحقلى. ربما، يكون مثل هذا التصوير Duplicate أكثر أهمية أكاديميا ولكنه إحدى الحقائق. وتجهز النماذج السيزمية لتقدم أساس إمكانية دراسة التغير فى التسجيل السيزمى الناتج من تغير الخواص المفروضة للأرض. هذه الدراسة بدورها تكون قادرة على تفسير لتعريف تفاصيل القطاعات الجيولوجية. وأكثر من هذا يمكن حساب النماذج السيزمية لوجهات نظر أخرى أكثر من الأماكن الحقيقية للجيوفونات. سوف تشير مثل هذه الحسابات لأى ميزة والتي تحدث من إضافة تسجيلات أخرى فى المنطقة. وفى هذه الحالة يجب الإنتباه للتغيرات فى التسجيلات المضافة.

8.2.4.4.2 إعادة الطى Decovolution:

يوضح شكل (2-96) أن تأثير طى النبضات السيزمية مع لوغرمات معامل الانعكاس هو مد أو تعريض النبضة، والهدف العكسى للتفسير السيزمى هو مايسمى بالكشف اللوغرمتائى الأصلى بواسطة إعادة طى (أو ضغط) للتسجيل السيزمى وتسمى الطريقة أيضا بعكس الترشيح.

إذا كانت s , p , ℓ تشير للتسجيل السيزمى، والنبضة الأساسية ولوغريمات الانعكاس كدالة للزمن، فيعبر عن الطى رمزيا بواسطة المعادلة

$$S = P * \ell$$

$$(2-64)$$

مع الإشارة إلى أن P, S, ℓ هي المقابل لتحويلات فوريير Fourier. والجانب الأيمن يكون المضاعفات الترتيبية ويمكن التعبير عن P, S بعددات الحدود فى تغيرات عامة، وأيضا يمكن الحصول على ℓ (كعدد حدود) بواسطة قسمة S/P . ويستخدم الحاسب الآلى لضبط حساب التحويلات وكذلك لقسمة الحدود، وتعطى اللوغرتمات المطلوبة بواسطة عكس تحويلات فوريير S/P ، وتكون الصورة العامة

$$L = F S \quad (2-65)$$

حيث F معامل الترشيح، والشكل الملائم لـ F هو $\text{Cot}(Wt/2)\sin(mwt)$ إذا كانت f هي عكس تحويلات فوريير لـ F ، فإن اللوغرتمات يمكن الحصول عليها بواسطة طى F مع S

$$\ell = f * S \quad (2-66)$$

وعمليا، فإن إعادة الطى تشمل ثلاثة مراحل أساسية:

1.8.2.4.4.2 حساب معادلة الارتباط الذاتى (ACF) autocorrelation function لقطاع ملائم من التسجيل:

وهذه تقيم من التكامل الآتى:

$$(1/2T) = \int_{-T}^T S(t) S(t + \tau) dt \quad (2-67)$$

لقيم مختلفة من T . هذه الطريقة الحسابية تمثل إستخراج الطى حيث إنزلاق الأثر يكون مثل الأثر الثابت. ويكون "القطاع الملائم" هو تراكب عشوائى لعناصر نبضية كثيرة كل منها معتدل بالقرب من بعض متوسطات شكلية وتشير T لطول القطاع (بالتوانى).

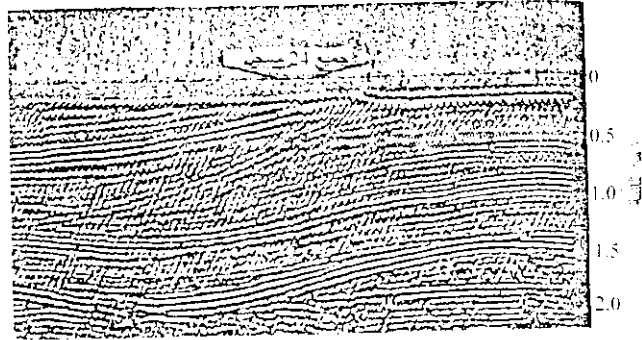
2.8.2.4.4.2 إختيار f :

يتطلب هذا، فى المقام الأول، تعيين المرشح المطلوب (F). نتيجة لذلك فإن F تتأثر بطيف فوريير Fourier للجزء المتوسط من (ACF). عندئذ يتطلب حساب (ACF) من المرحلة (1) لتحديد F وبعد ذلك يمكن الحصول على F كعكس تحويل فوريير Fourier.

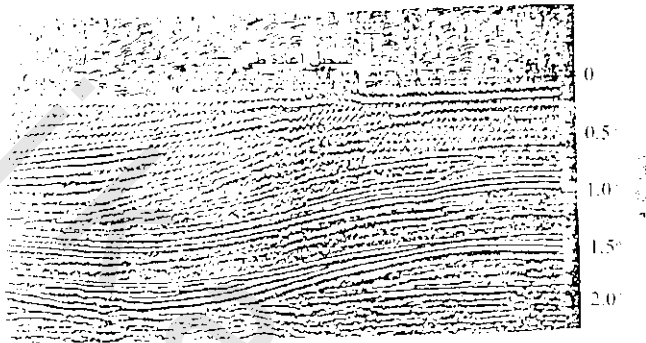
3.8.2.4.4.2 تطبيق المعادلة $L = f * S$

فى هذه المرحلة تختار $f(t)$ لتعطى $S(t)$ النتائج النهائية للوغرتمات المراده. ويحصل على اللوغرتمات كمعادلة للزمن ولكن تتحول كوحدة للعمق، بواسطة فروض ملائمة حول متوسط السرعة \bar{V} .

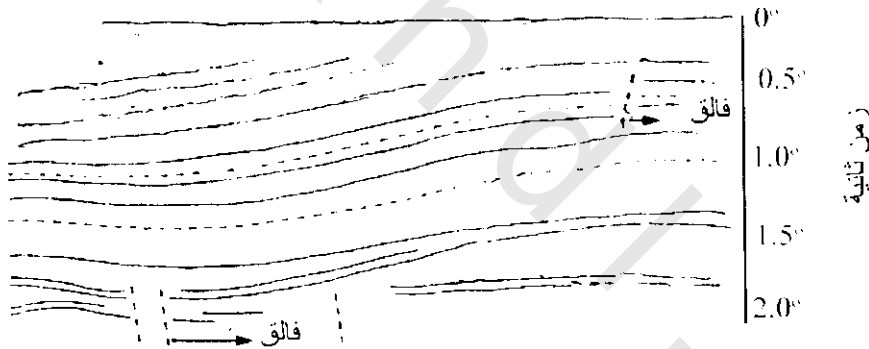
ويرى أن عملية إعادة الطى الكلى تكون مناسبة عمليا بالحاسب الآلى عالى السرعة، والذى يستخدم روتينيا فى عمليات تفسير نتائج السيزمية الإنعكاسية. ويوضح شكل (2-99) قطاع جيولوجى لشكل (2-97، 2-98) بعد عملية إعادة الطى، وفيه يظهر الإنعكاس الآن أكثر وضوحا بسبب ضغط النبضات. أحيانا لا يودى إعادة الى لوضوح التفسير، وذلك بسبب عكس المرشح الذى يؤثر عكسيا على شوشرة التذبذب (مضاعفة إشارات الإنعكاس وربما تكبرها).



شكل (97-2): عرض لمقارنة تسجيلات VAR من مجموعة جيوفونات متتابعة



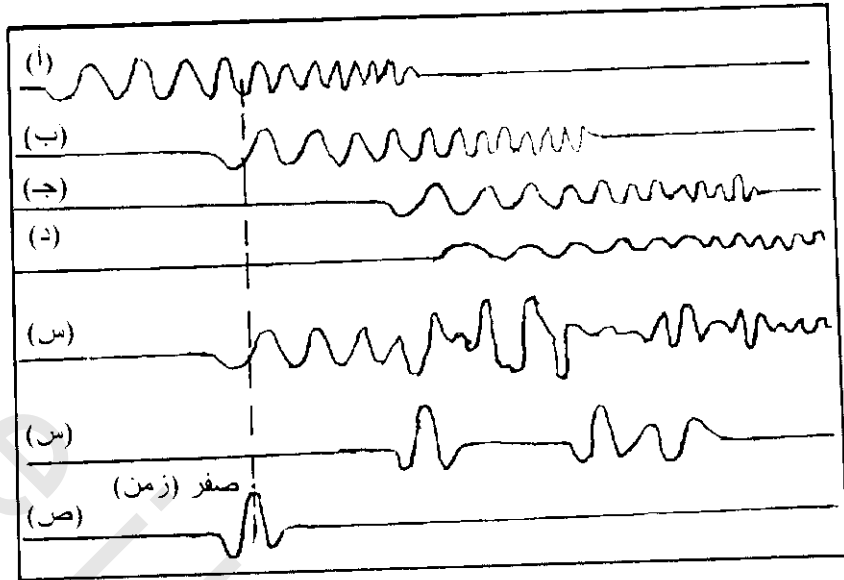
شكل (98-2): قطاع لشكل (97-2) بعد الطي



شكل (99-2): تفسير جيولوجي لشكلي (98-2, 97-2)

9.2.4.4.2 ذبذبات (اهتزازات) Vibroseis:

هذا نظام بديع (حاذق) للاستكشاف السيزمي (مسجل لشركة بترول كونتيننتال Continental Oil Company) حيث تستخدم الإهتزازات بدلا من مصدر النبضات، ومن المعروف أن دفع النبضات تنتج نطاق محدد من الترددات في الأرض. تستخدم الإشارة في نظام الإهتزاز لإنتاج نطاق يكون تردد خطي ذات شكل ممتد (شكل 2-100). في تقنية الردار، تسمى مثل هذه الإشارات (زقزقات iChirps) أو نبضات متضاغطة ويكون التردد النموذجي من 15-90 دورة/ثانية (C/S) في حوالي 7 ثوان. وتنتج الإشارة بواسطة مذبذب هيدروليكي أو الكتر ومغناطيسي قادر على توليد دفع كلي لعدة أطنان على الأرض من مصدر النبضات، تدخل النبضة السيزمية على كل إشارة إهتزازية تبعا لمعادلة الربط الذاتي. ويوضح شكل (2-100ص) مركز النبضة التي حصل عليها تبعا لفترة الزمن لطرق الطيات.



شكل (100-2): أ، ب، ج، د، س، س، ص) أساس نبضى

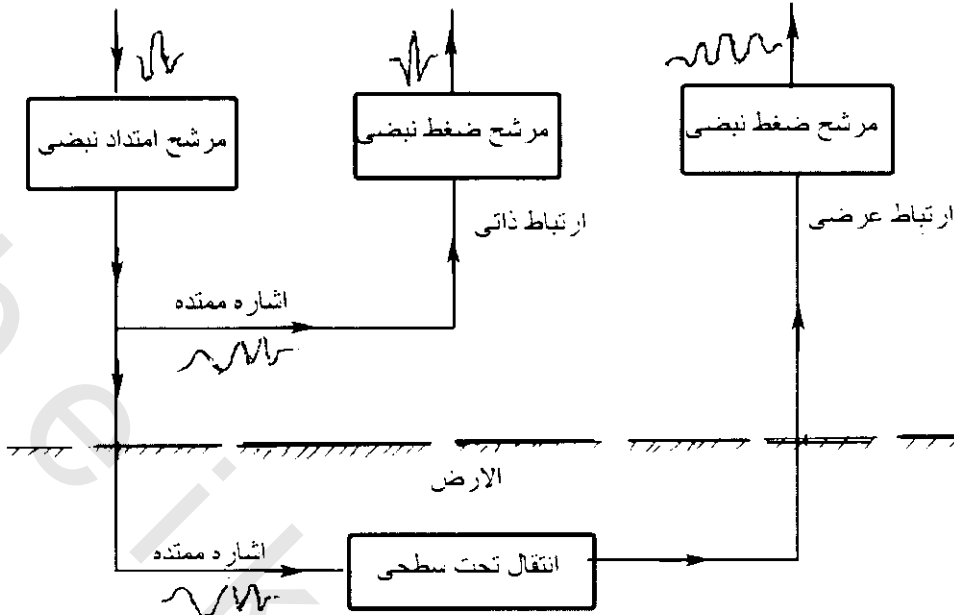
تكون الإشارة المردودة من كل عاكس فى الأرض مماثلة لتردد الإشارة الممتدة. ويرى شكل (101-2) ب، ج، د) ثلاثة أمثلة لهذه الإشارات، وتضاف إشارة التسجيل (100-2) د) لأعلى.

ولإكتشاف النبضات المنعكسة فإن الإشارة الكلية ترتبط عرضيا مع الإشارة الداخلة. حسابيا، هذه الطريقة تكون مثل الطيه ماعدا أن أثر الارتباط العرضى لا يكون مطويا ولكن ينزلق مباشرة قبل الأثر المرجعى لهذا المكان. ويكون لكل مكان ترتيب مضاعف على أثر التسجيل ومجموع عليه. يؤدى هذا الشكل (100-2) س) والذى يمثل أثر سيزمى مطوى فقط.

نظريا فإن نظام الإهتزاز يكافى بحث الطى السيزمى ولكن يختلف عنه فى طرق إكتشاف المعلومة السيزمية. ربما لأن له عدة عمليات ومميزات عملية. أولا، لأن حلوله أمانة وملانمة أكثر من إستخدام التفجيرات. ثانيا، يمكن أن يكون معدل الإمتداد والترددات أفضل إختيار لمجالات جيولوجية ملانمة فى مناطق معينة حيث أن القوة لاتبدد فى توليد ترددات لاتنقلها الأرض. فى النهاية فإن الطاقة المحقونة فى الأرض ربما تزيد غالبا بدون حد معين بواسطة إزدواجيتها مع بعضها ككثير من المهترات التى يراد أن يكون عملها فى طور من مهتر رئيسى. ويوضح شكل (100-2) هـ) شكل كامل لهذا النظام.

10.2.4.4.2 تفسير نتائج الانعكاس : Interpretation of Reflection Data

برغم أنها ظاهريا بسيطة بإستخدام القواعد الأساسية، فإن تحليل وتفسير نتائج الانعكاس يتطلب مهارة جيدة. علاوة على ذلك فلا بد من التدقيق فى إختيار الانعكاسات من السيزموجرام. وتوجد عوامل أخرى تعقد التفسير كالتى تحدث من تسجيل أبار السرعة CV-logs، حيث يحدث التغير اللوثولوجى بتكرار، وكذلك يوجد انعكاسات كثيرة خلال تكوين واحد، وذلك لوجود عدد إما قليل أو كثير من معاملات انعكاس. ويضاف التغير النسبى لانعكاسات صغيرة إلى شوشرة المرجع، حيث يحدث هذا لعدم واسطة عشوائية كلية. بالإضافة لذلك، فإن عدم



شكل (2-100هـ): نظام شكل هيكلي للذبذبات

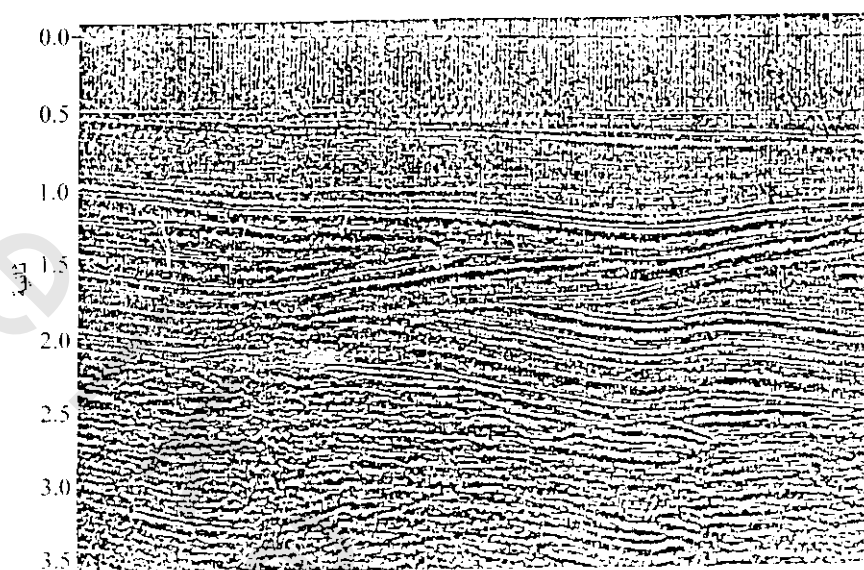
الانتظام التحت سطحي (حافات حادة، ظواهر متأكلة مدفونة، إلخ) للإنعكاسات ربما تسبب تشتت للموجات والتي أحيانا تغطي على أحداث الإنعكاس. وأكثر من هذا، لا يمكن إيجاد تضاعفات إنعكاسية غير عادية كما في شكل (2-101). هذه النبضات لها احتمالات إضافية لواحد أو أكثر من الإنعكاسات إما من سطح الأرض أو من فاصل أسفل. عندما تعرف وتحدد تضاعفات الإنعكاسات يمكن إضافتها إلى التفسير، خلافا لذلك فإنها تعقد التفسير بواسطة إنتاج طبقات عاكسة كاذبة. ربما يكون النموذج السيزموجرافي نافع في تمييز الإنعكاسات الأولية من تضاعفات الإنعكاس والأطياف، وفي مقارنة أحداث الإنعكاسات لطبقة جيولوجية معينة.

تتكون طرق التفسير من إختيار إنعكاسات من السيزموجرام ومقارنتها بواسطة تقارب (تجاور أو إتصال) السيزموجرامات من تتابع جيوفونات للتفجيرات المقامة. التفسير الأولي التقريبي يكون ذات أهمية فقط للظواهر الكبيرة، ولهذا السبب فإن قطاعات المناطق المتغيرة تخدم عرض مناسب.

ولتفسير واضح فإن قطاعات زمن الإنعكاس تحول لقطاعات أعماق. وكما وضح سابقا، فإن قطاعات عدم إزاحة تعطي صورة مشوشة للتركيب تحت سطحي، ويزداد التشويش بقيمة العمق. لذلك، كقاعدة، يلزم إزاحة القطاع الزمني قبل تحويله لقطاع عمق. وعمليا، تتم هذه العملية بواسطة الحاسبات الآلية باستخدام تقنية دقيقة. شكل (2-101ب) يوضح مثال إزاحة قطاع مع تفسيره الجيولوجي.

تقنية إكتشاف الهيدروكربونات موضوعة على أساس أن الرمل المشبع بالغاز له سرعة أوليه منخفضة عن الرمل المجاور المشبع بالماء أو الزيت. وهذه تنتج علاقة مميزة في الممانعة الصوتية عبر سطح أعلى أو أسفل نطاق الغاز والتي تعطي إنعكاسات ذات سعة كبيرة أكثر من الملاحظة من نفس الحد الفاصل على كلا جانبي نطاق الغاز. تقنية العمليات الحديثة تجعل من الممكن ملاحظة سعة الإنعكاسات الكبيرة مباشرة على القطاع

السيزمي من البقع اللامعة (الجليد). وفي النهاية فإن الإشارات القليلة تكون ملائمة لتفسير نتائج الانعكاس عمليا، فإن نبضات الانعكاس لها طيف ترددي عادة في معدل 15-75 هرتز، ومعدل السرعة في القطاعات الرسوبية تقريبا ما يكون بين 2000-4000 م/ث.



شكل (2-101): أ) مساحة قطاع زمني متغير منتج بواسطة تقارب 16 تسجيل انعكاس، بعد كل نقطة تفجير عن الجيوفون (مسجل) 2400 متر، ممكن قراءة أزمنة الانعكاسات على التدرج الرأسى (ثانية). ب) إزاحة القطاع (العق) تبعا لقطاع الزمن (p) وتفسيره الجيولوجى (أنستى 1970 Anstey)

مثلا، إذا أخذت قيم نموذجية 30 هرتز للتردد 3000 م/ث للسرعة، يكون الطول الموجى تبعا لذلك يساوى 100 م. وهذا يعنى أن للعاكس طول موجى حوالى 100م. لذلك يتضح أن نبضات الطول الموجى الطويل لايمكن توقع حل بها لتغير أقل من 100م وهكذا، ولهذا فإن الفوالق الصغيرة، الظواهر المتأكلة المدفونة والظواهر الاستراتيجرافية عامة ليس من السهل تحديدها (الإشارة إليها) بواسطة تقنية الإنعكاس. وحقيقة أخرى هى أن المعلومات عن معدل متوسط السرعة للتكوينات فى منطقة الدراسة تكون عظيمة الأهمية فى التفسير الإنعكاسى. وعندما تكون هذه السرعة نادرة، فإن تحويل العمق من الزم يكون خطرا والتفسيرات تكون خاصة.

1.10.2.4.4.2 إستنتاج التركيبات الجيولوجية الحاملة للبترول من طريقة الإنعكاس السيزمي

Deduce Structure Geology which Contain Oil from Seismic Reflection

من أكثر أهداف طريقة الإنعكاس هو البحث عن المصائد البترولية مثل الطيات المحدبة والفوالق والتركيبات الناشئة من تداخلات القباب الملحية وتداخلات أخرى يمكن استنتاجها أيضا من الخرائط.

2.10.2.4.4.2 الطيات المحدبة Anticline:

يمكن إستنتاج هذه الطيات من معطيات الإنعكاس ذات النوعية الجيدة وذلك عندما يكون الإنفلاق الخطي للخطوط السيزمية أكبر من عدم الإنتظام الزائف في تركيب ظاهري ناتج من تغير السرعة الجانبية. وعادة ما تكون الطية المحدبة المكونة لمصيدة بترولية ناتجة من قوى تكتونية أو بسبب الدفع لأعلى لقياب ملحية أو ظواهر أخرى دافعة لأعلى ويوضح شكل (2-102) نوعا من الطيات المحدبة من قطاع تسجيل مهاجر*، أما شكل (2-102ب) غير المهاجر يعطى صورة ليست ذات معنى.

3.10.2.4.4.2 الفوالق Faults:

بسبب الدور الذي تلعبه الفوالق غالبا في إحتجاز الهيدروكربونات فإن الأساليب الفنية لإيجادها ورسمها على الخرائط لها أهمية عملية كبيرة. وتوضح الدلائل الرئيسية الآتية التصدع على مقاطع الإنعكاس:

- i- عدم إستمرارية الإنعكاس على طول نموذج خط رئيسي.
- ii- عدم الإنغلاق (الأفقال) في ربط الإنعكاسات حول دوائر حلقية.
- iii- إتساعات (إنفراجات) في الميل غير متعلق بالطباقية.
- iv- وجود حيود في الخطوط السيزمية خاصة لتلك التي له قيم تتماشى بطريقة مطابقة للتصدع الموضعي.
- v- تشوه أو إختفاء إنعكاسات أسفل خطوط فالق.

ويؤخذ في الإعتبار الآتي:

(i) عندما يلاحظ على قطاعات التسجيل عدم إستمرارية محددة تماما فإن هذا يدل على وضوح جيد لموضوع رسم فالق. شكل (2-103) يوضح نظامين لفوالق عادية، تميل مجموعة فيها لليمين وأخرى لليساار. وظهرت الرميات بوضوح في الشكل بواسطة إزاحة للإنعكاسات والتي وصلت لحوالي 500 قدم. ويرجع التصدع لإرتفاع كتلة ملحية (غير مرئية على المقطع). بالإضافة لهبوط تكوينات في إتجاه مركز الحوض الرسوبي. ويرجع وضوح هذا الرصد لاستخدام الحاسبات الآلية لمعالجة البيانات الولية للتشويش المستبعد والذي كان من الممكن أن يحجب دلائل الفالق الأقل وضوحا.

(ii) وعن الظواهر الهامة في إكتشاف ورسم خرائط فوالق الدفع يعتمد على إنفراج الإنعكاسات فضلا عن تكرار إنعكاسات أعلى* وأسفل** مستوى الدفع. ويوضح هذا شكل (2-104) إنه من الممكن تمييز التصدع من أنفراج

* إزاحة لحساب الكشافات

** allochthonous تشير لتكوينات أعلى فالق دفع زائد.

autochthonous تشير لتكوينات أسفل مستوى الفالق.

الانعكاسات أسفل مستوى الفالق أو من اضطرابات انعكاسية أسفل الفالق المشكوك فيه والتي تبدو وكأنها تمر من خلاله. وقد أوضح كوارايس Quarles 1956 كيفية تعيين فوالق فى ساحل الخليج بواسطة انفرجات فى الميل الظاهرى لعواكس سفلية. كذلك بين لوبشمار Loubsher 1956 القيمة الوصفية المميزة لتشوه وتدهور انعكاسات من أسفل فالق.

(iii) ومن طرق رسم سطوح التصدع مجموعة نماذج للحيود التى تنشأ من حواف الطبقات الممزقة بالتصدع. حيث تعمل الحافة كنقطة مصدر لإعادة طاقة سيزمية بواسطة الحيود. ويكون النموذج الناتج متقن الشكل مثل الرسم لسطح له أكبر تحدب. وتبين قمم نماذج موضع حافة الحيود على القطاع. ويوضح شكل (2-105) حيودات لها قمم تبين طريقة تدعيم وجود اتجاهات الفالق، وذلك بواسطة زحزحة فى الانعكاسات.

وفى هذه الطريقة، ليس من الضروري أن تكون نماذج الحيود كاملة التكون، فأحيانا تكون أجزاء كسرية من النموذج ملائم لمنحنى مناسب له أكبر تحدب على أساس السرعة المعروفة لمنطقة العمل. وفى هذه الحالة يمكن استعمال هذا المنحنى لإسقاط موضع القمم حتى لو لم تكن ظاهرة على القطاع.

4.10.2.3.4.2 القباب المحلية وتركيبات احتراقية أخرى

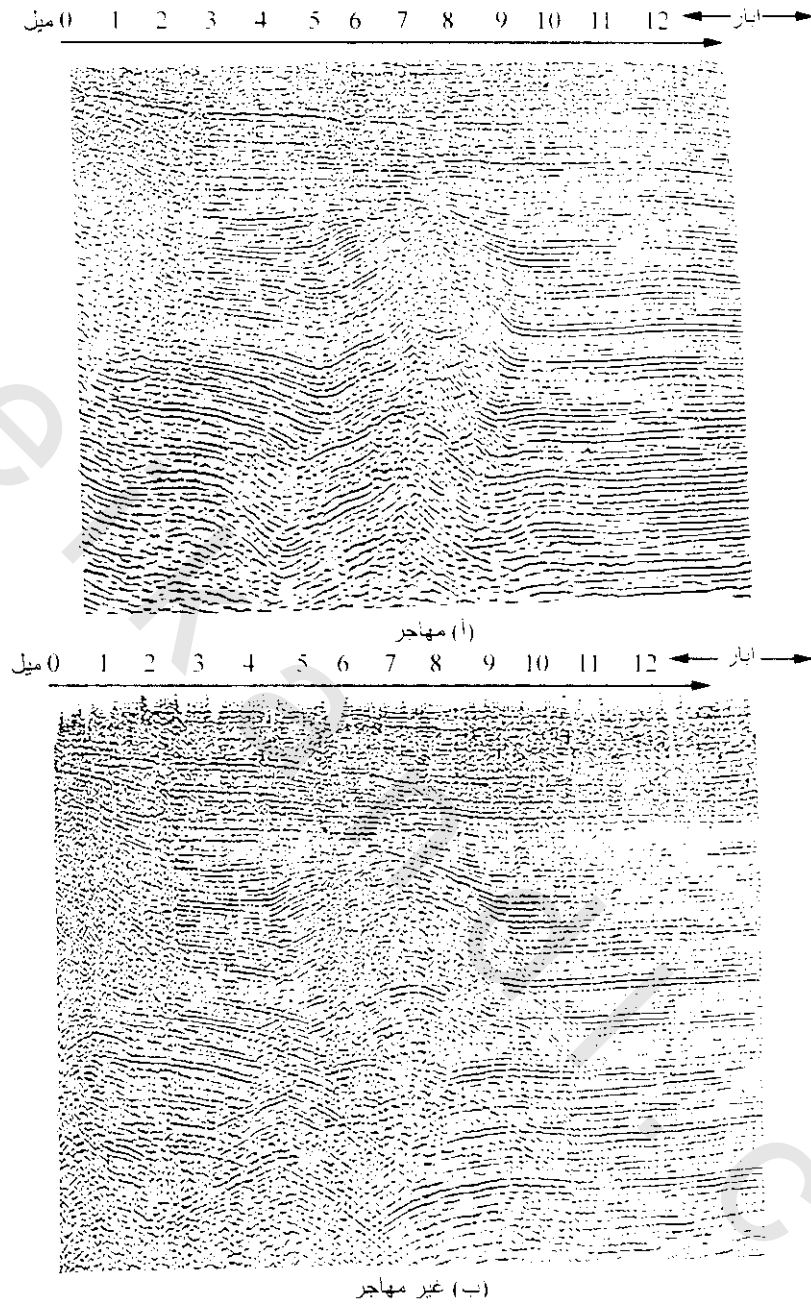
Salt Domes and Other Diapirs:

يبين شكل (2-106) القباب الملحية بوضوح تام على قطاعات انعكاس.

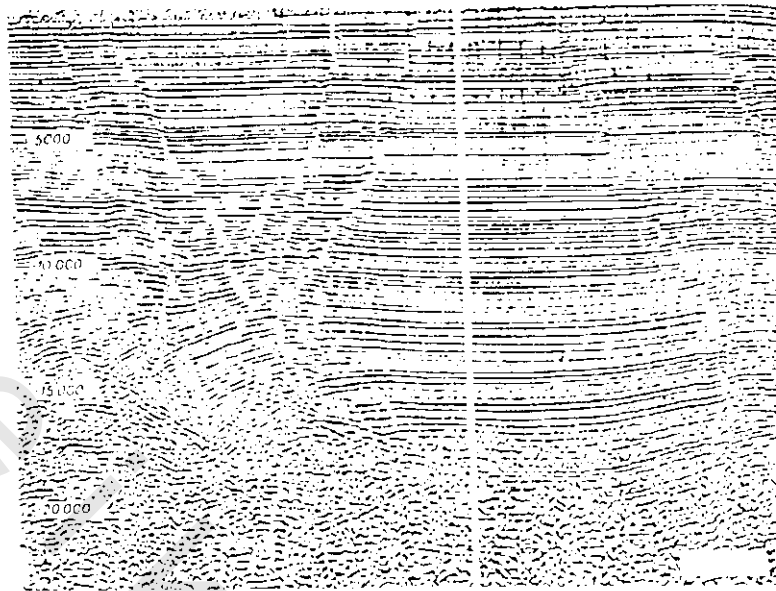
ومن الشكل يتضح إطار طيه مقعرة مشكلة حول القبة وتظهر بكل وضوح على الجانب الأيسر. كذلك تبين التكوينات إرتفاعا على كل جانب من الشكل مشيرة لظواهر ملحية أخرى فى كلا الإتجاهين. ومن النادر أن يعطى السطح الملحي نفسه. انعكاس واضح التحديد. لذلك فإن تشوه التكوينات العاكسة فوق القبة وعلى جانبها بالإضافة لعدم وجود انعكاسات من القبة الملحية نفسها يسمح على الأقل بتخطيط تقريبي لسطحها. وبسبب الميل الحاد للطبقات المجاورة من القبة الملحية فإن انعكاسات هذه الطبقات تمكن من زيادة دقة رسم الجوانب. وغالبا ما يكون صعود البنيات الإختراقية الأخرى مثل السدادات النارية لها مظهر قطاعات التسجيل تطابق الناتج من صعود القباب الملحية. وعلى العموم، فى مناطق الشواطئ المتدرجة من الأفضل إستخدام معلومات جاذبية ومغناطيسية للمساعدة لتعيين طبيعة البنية الإختراقية.

5.10.2.4.4.2 تركيب صخور القاعدة Basement Structure:

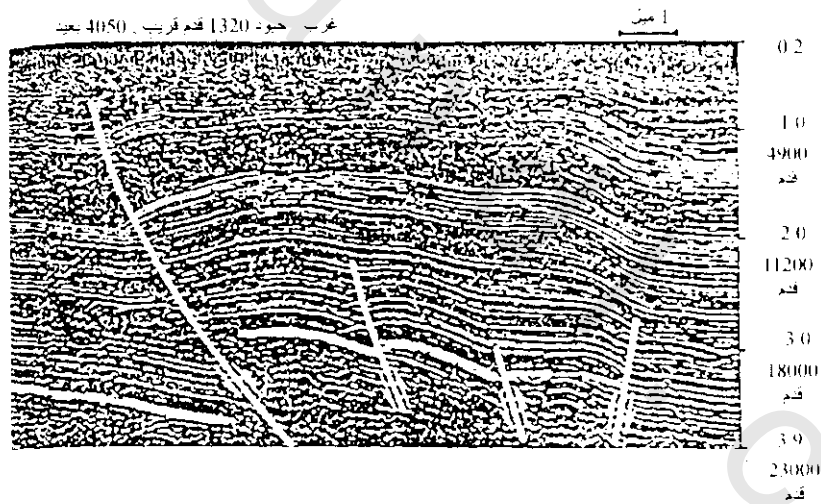
كان من الصعب تعيين سطح القاعدة من تسجيلات الانعكاس وذلك بسبب الانعكاسات المتعددة والتشويش الناشئ على الأجزاء العميقة للتسجيلات، إلى أن أصبح تسجيل نقطة العمق المشتركة والمعالجة الرقمية متاحة. لذلك فإن إزاحة التشويش والتعدادات ربما يجعل سطح صخور القاعدة قابل للرصد وخاصة العميقة منها ويوضح شكل (2-107) هذا التأثير فى منطقة بحرية عميقة، حيث عدم وجود أحداث انعكاسي أسفل هذا الغلاف يجعل التعيين أكثر احتمالا، حتى ولو لم يكون هناك حفر على طول الخط لتأكيداها.



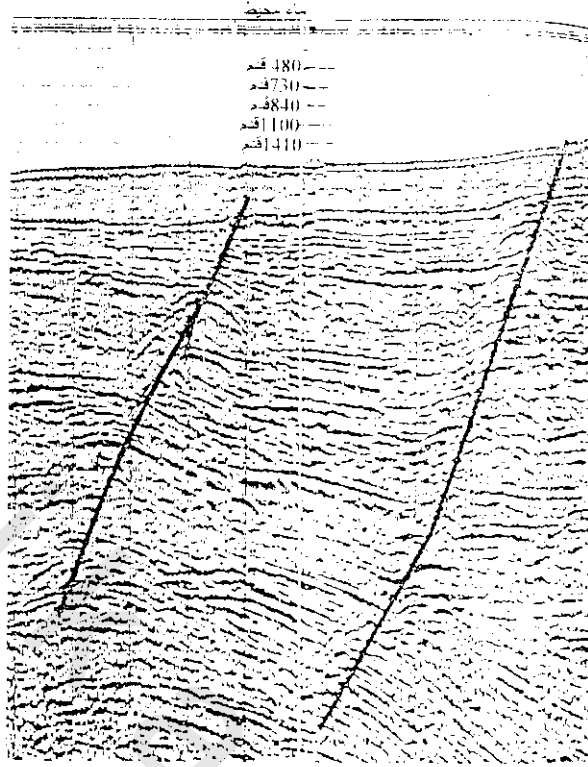
شكل (2-102): طيه محدبة بوادي سان جاكوبين كاليفورنيا. San Joaquin Vally-Calf. (أ) قطاع مهاجر بواسطة الحاسب، (ب) مقطع غير مهاجر. طوت الهجرة نماذج الحيوود العديدة التي أخفت التركيب الحقيقي



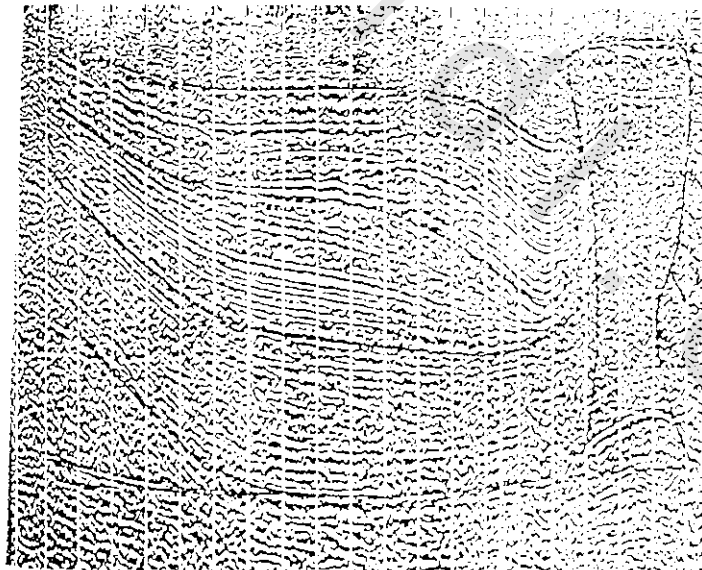
شكل (103-2): نموذج لفالق عادي في خليج المكسيكو Gulf of Mexico حيث تظهر الفوالق مصاحبة لتركيبات ملحبة عند أدنى اليمين واليسار



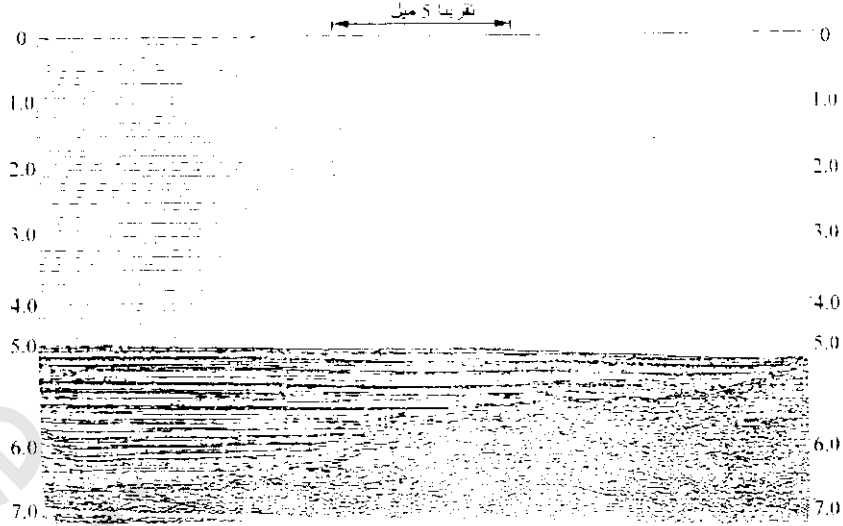
شكل (104-2): دفع زائد في حوض نهر الرياح في وايونج (Wind River, Basin Wyoming) كما هو مبين في القطاع مع مدى إزاحة ذي ترد منخفض (8-45 هرتز) خمس طيات



شكل (2-105): تتبع سطوح الفالق بمتابعة قمم نماذج الحيوود



شكل (2-106): تشوه طبقات رسوبية بسبب قوى مصاحبة بطفو فيه ملحية. بعض التركيبات المبينة الموجودة أسفل القبة الملحية من النوع الثاقب والوسادات المحلية (مثل الوسادة العميقة على اليمين) ليست حقيقية ولكنها ناتجة من تأثيرات السرعة



شكل (2-107): تعيين سطح القاعدة من نماذج حيود على طول قطاع مسح إجتيازي في مياه عميقة

11.2.4.4.2 شراك في التفسير التركيبى Pitfalls in Structural Interpretation:

عادة لا يجب النظر دائما لمعلومات الانعكاس السيزمية عند تمثيلها على أنها قطاع جيولوجى عرضى لأنه قد يتشوه الشكل الهندسى الفعلى التحت سطحى فى إتجاهين:

(i) التغيرات فى السرعة سواء كانت رأسية أو عرضية، تسبب فى أن يأخذ قطاع الزمن شكل مختلف عن المقطع الجيولوجى الفعلى المرسوم فى العمق.

(ii) الانحناء الهندسى لمسارات الأشعة بعيدا عن الرأس سوف يكون له نفس التأثير على عملية الانتقال الموجى.

وعادة فإن القطاعات المرسومة بالعمق شكل (2-108، 2-109) يتم فيها الإقلال من التشوه على قطاعات التسجيل التقليدية. لذلك من المهم أن يميز الجيوفيزيائيين الأخطاء التى يمكن أن تؤدى إليها هذه التشوهات فى التفسير السيزمى. ومن ضمن المشاكل الأخرى فى التفسير التركيبى استعمال معاملات مختارة خاطئة للمعالجة مثل تراكم سرعة غير صحيحة.

قام تيوكر ويورستون 1973 Tucker and Yorston باستعراض الأخطاء التى تسبب خطأ التفسير التركيبى. ومن هذه الأخطاء:

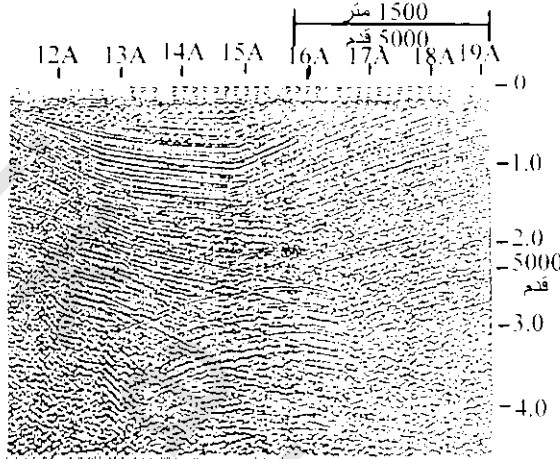
1.11.2.4.4.2 مساهمة السرعة Velocity Pitfalls:

بالنظر لشكل (2-106) يشاهد تراكيب غير حقيقية ناتجة من شاذات سرعة فى أجسام ملحية مغطاه. حيث يرصد إنعكاس شديد تحت القبة الملحية الكبيرة (حوالى 150 متر) عند النقطة الأقرب للسطح من الانعكاسات المرتبطة على جانبي القبة. ومع ذلك لا يوجد إرتفاع تركيبى حقيقى أسفل الملح. وهذا ناتج من أن السرعة فى العمود الملحى أعلى منها فى الصخور المحيطة ويعود إليها التركيب الظاهرى تحت الملح. والرصد الناقص

للانعكاس بالقرب من الحافة اليمنى للشكل يعزل بوجود شاذة ملحية أعلاها مباشرة والتي يكون لها سرعة أقل من التكوين المحيط. وكثيرا ما يظهر هذا التفسير عندما يكون الملح عميقا بصورة غير عادية.

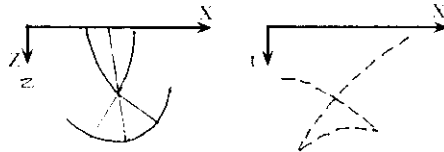
2.11.2.4.4.2 مساهمة الأشكال الهندسية Geometrical Pitfalls:

يوضح شكل (2-108) مساهمة هندسية وذلك عندما يعبر المقطع بالطيه المقعرة ذات إنحناء شديد، لدرجة تؤدي إلى تقاطع مسارات أشعة الانعكاس مع بعضها في طريقها من وإلى السطح.



شكل (2-108): تأثير تقوس مثلثي متقابل الرأس مقياس على طيه مقعرة حادة في البحر الأديراتي. الطيه المحدبة الظاهرة هي في الواقع ظاهرة حيود

ويوضح شكل (2-109) الشكل الهندسي لمسار الأشعة المؤدى لتقوس مثلثي متقابل الرأس الذي يشاهد على المقعد عند أعماق تحت 2.05 كم. والانعكاسان اللذان يميلان بشدة في الإتجاهات المتقابلة هي انعكاسات من جوانب مناظرة لتركيب الطبقة المقعرة التي تتقاطع مع بعضها في طريقها للسطح، وتكون الظاهرة المقوسة السفلية حيودا من نقطة ما عند قاع الطيه المقعرة، ويكون أقصر زمن مقياس على أعماق نقطة الطيه المقعرة. وتؤدي الإزاحة (الهجرة) الأتوماتيكية المصممة بعناية إلى طي قوس الحيود الذي يشير لنقل الجوانب لمواقعها الحقيقية. ويمكن للجيوفيزيائي والجيولوجي الخبيران من التعرف على الطبيعة الحقيقية للمصدر.



شكل (2-109): تأثير تقوس مثلثي متقابل الرأس. مسارات موجه ونموذج على مقطع تسجيل لانعكاسات من طيه مقعرة مع إنحناء أكبر من ذلك لجبهات (مقدمات) موجه مقربة

3.11.2.4.4.2 مساهمة المعالجة:

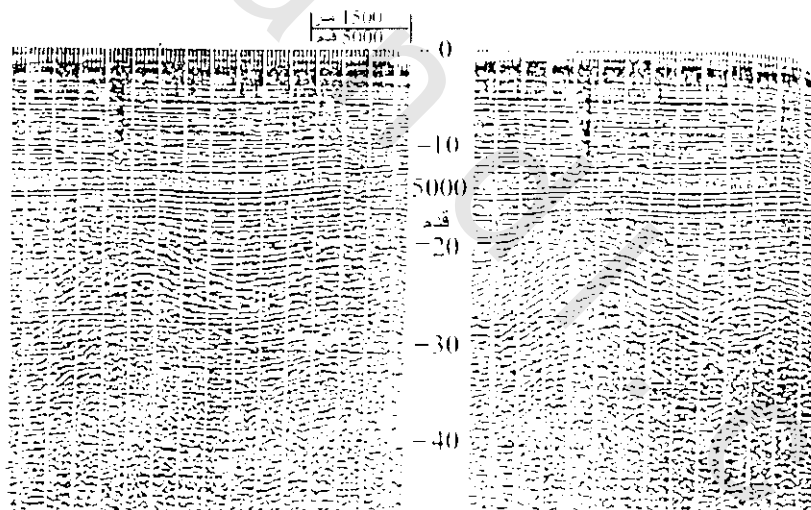
يوضح شكل (2-110) أسلوبين للمعالجة ويعطى في نفس الوقت مثلا عن كيفية أن الإختيارات المختلفة لتراكم السرعة تؤدي لتفسيرات مختلفة بدرجة كبيرة جدا. فمن الشكل على اليسار يظهر التركيب الأعماق أحادي

الميل خفيف (قليل) التعرج، وعلى اليمين كأنه طيه محدبة مع الإشارة بتصدع على جانب واحد. مقارنة الميل الأعماق على المقطع الأيسر بالظواهر القريبة من السطح عند منتصف أزمنتهم تجعل الظواهر الأعماق تشابه التعدادات. ومن هذه المطابقة فإن تراكم السرعة تشير لتكوين من نوع الطيه المحدبة وهى الاحتمال الصحيح.

12.2.4.4.2 استخدام الزمن مقابل العمق فى رسم الخرائط التركيبية

Time Versus Depth in Structural Mapping:

عند تقييم الخرائط التركيبية والقطاعات فى العمق تستخدم معلومات السرعة المستنتجة من علاقة الزمن والعمق. ومع استخدام برامج الحسابات لتعيين السرعة تحليليا من تسجيلات الانعكاس المنتظمة، فى هذه الحالة ليست هناك حاجة إلى مساحات الآبار على مسافات متجاورة لكى نحصل على معلومات وثيقة عن أعماق الانعكاس. وأيضاً، فى هذه الحالة، تعتمد الدقة على نوعية الانعكاس والتي لا تكون جيدة دائماً بالرغم من الأساليب المحسنة للمعلومات التي تعتمد على الحسابات الآلية. وكذلك فإن السرعات المعينة بالحاسبات الآلية تتركز على مسارات أشعة مائلة وعواكس منتظمة الميل، والتي عادة ما تختلف بسبب تباين الخواص الجيولوجية والسرعات الرأسية التي تستخدم لتحويلات الزمن-العمق. لذلك فإن العرض النهائي لنتائج أزمنة الانعكاس يجب أن يكون فى صيغة ذات معنى جيولوجى وليست بوحدات الزمن وهذا يتم بالمعلومات الجيوفيزيائية المنسقة بعناية.



شكل (2-110): كلا التركيبين يمثلان سرعة تراكم مختلفة. وحيث أن الأحداث ذات الميل الخفيف على اليسار لها كل خواص الانعكاسات المتعددة، لذلك فإن التركيب على اليمين هو الأفضل

13.2.4.4.2 استخدام الانعكاس للدراسات الطباقية Reflection as a Tool for Stratigraphic Studies:

تنشأ مصادد البترول الطباقية من شعب، نتوءات أو ظواهر أخرى مصاحبة بتآكل، سحنات انتقالية، عدسات رملية مصحوبة بفتوات مدفونة، بحيرات أو مصادر مشاهبة. ويبرز هذا التنوع الجيولوجى الكبير للمصادر مشكلة العثور عليها بطريقة سيزمية.

فى أغلب المصادد الطباقية، يوجد إختلاف فى الخواص الصخرية ينحصر غالبا لمسافة أقصر بكثير من طول الموجه لدرجة أن تحليل الموجه يصبح مشكلة كبرى. وحيث أن التغير فى الطباقية ينتج تغير أو تدمير للموجه بتأثيرات التداخل لإشارات الإنعكاس المصاحبة للطبقات على أى جانب للنقطة التى تتغير عندها صفات التناوب، لذلك فإنه بالتحليل المحدود للنبضة السيزمية يمكن إكتشاف ظواهر طباقية غير الشعب.

14.2.4.4.2 استخدام معلومات الإنعكاس لإعادة بناء التاريخ الترسيبي

Use of Reflection Data to Reconstruct Depositional History:

تستخدم طريقة الإنعكاس بطريقة غير مباشرة لإلقاء الضوء على البيئة المحيطة بالترسيب وتاريخ الترسيب فى المناطق التى يتم فيها الإستكشاف. وكثيرا ما يمكن دراسة السرعات-الفترات (الزمنية-الأعماق) عن إيضاح كيفية حدوث الترسيب فى المناطق تحت البحث، وبالتالى عن تعيين ظواهر صخرية ضخمة لإعادة بناء جيولوجى أكثر كمالا للبيئة المحيطة بالترسيب.

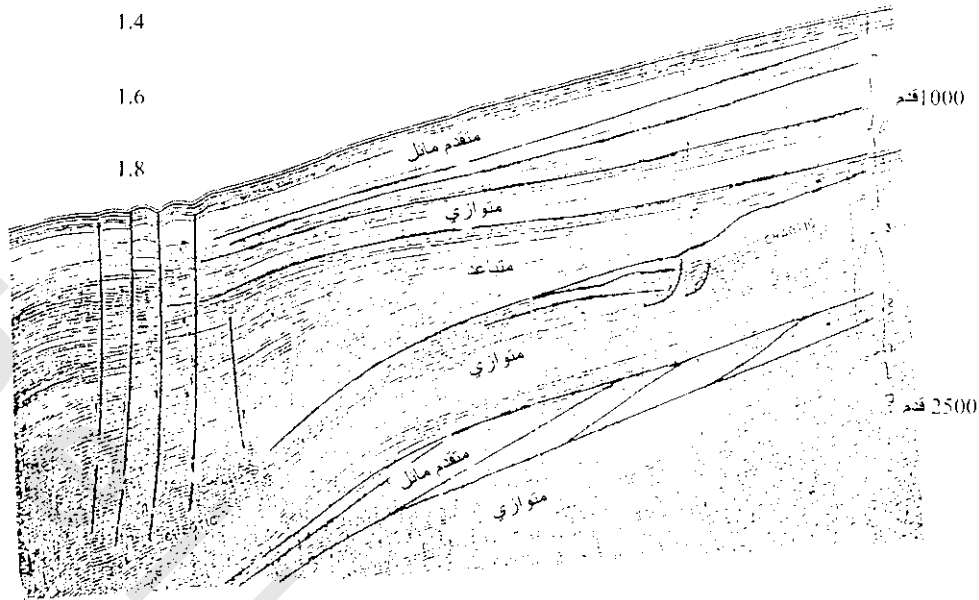
الحركات المتنوعة للترسيب والتى تشمل تقدم أو تقهقر البحار والمحيطات تقترن عادة بنماذج هندسية تبين أنواع الترسيب التى حدثت فى فترات مختلفة للتاريخ الجيولوجى. شكل (2-111) يوضح قطاعات سيزمية تمكن من إعادة بناء التاريخ الترسيبي، حيث تدل الطباقية المتوازية على الترسيب فى مياه عميقة على سطح ثابت. الحوض الصاعد المعلق (متقدم-مائل) عند الشاطئ يترك جزءا على شكل خابور يقل فى السمك فى إتجاه البحر، بينما الحوض الغاطس المعلق (متباعد) يقترن بجزء على هيئة خابور يتزايد فى السمك نحو البحر وتدل الأسهم بالشكل على هذه الحركات أثناء كل طور من أطوار الترسيب. وتدل نهاية الدورة على التسجيلات السيزمية على ترسيب متراكب فوقى ومتقدم كما هو الحال فى مراوح الدلتا. ويدل وجود تلامس غير متوافق على قطاع سيزمى على التاريخ الترسيبي والتأكل لمنطقة الدراسة وكذلك على البيئة المحيطة الموجودة أثناء حدوث الحركات الجيولوجية وبذلك يمكن رسم عدم التوافق على خرائط من النموذج للإنعكاسات على قطاع سيزمى.

يوضح شكل (2-112) زوج من عدم التوافق مع تباعدات كبيرة فى التركيب عبر كل عدم إستمرارية. ويزداد تعقيد التاريخ الجيولوجى بكثرة الطيات والتصدعات فى جزء القطاع الواقع بين عدم التقدم. فى المناطق البحرية حيث لا تتوافر من الحفر الاستكشافى بيانات، فإن النماذج السيزمية، ربما توفر الأساس الوحيد لإعادة البناء الترسيبي فضلا عن التاريخ التكتونى.

15.2.4.4.2 تصنيف المصادد الطباقية :Classification of Stratigraphic Traps

تقع أغلب هذه المصادد ضمن أربعة فئات:

- (1) شعب الحجر الجيرى.
- (2) عوائق نفاذية مقرونة بقطع تحتى.
- (3) أجسام رملية مثل العدسات أو قنوات تيار محاطة بمادة غير منفذة.
- (4) تغييرات السحنة من خواص منفذة إلى غير منفذة.



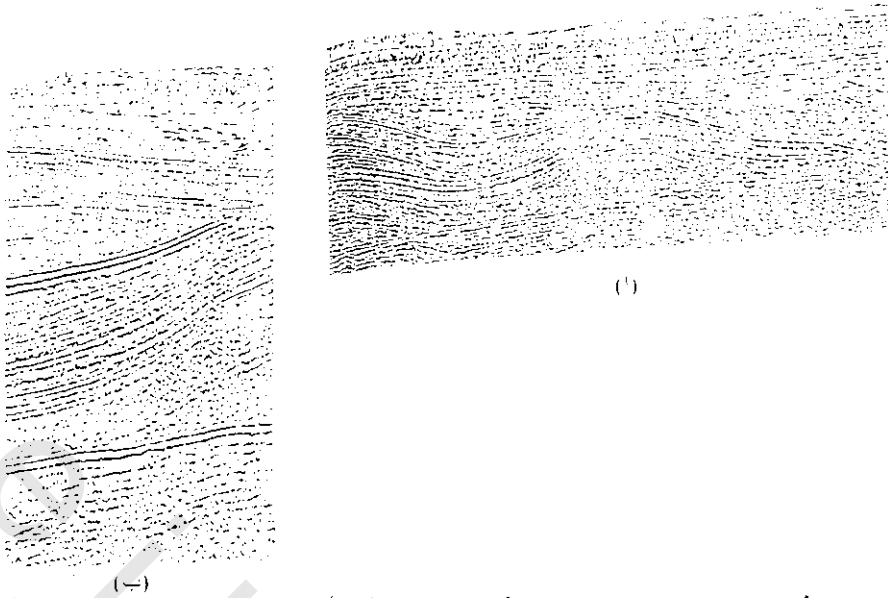
شكل (2-111): قطاع يوضح فترات متتالية لترسيب متقدم ومتراجع. تدل التبايدات والتقاربات على حركات الشاطئ أو هبوط الحوض. يشير التتابع المتقدم المائل إلى نموذج نهاية لميل صاعد لانعكاسات مائلة

1.15.2.4.4.2 شعب الحجر الجيري Limestone Reefs:

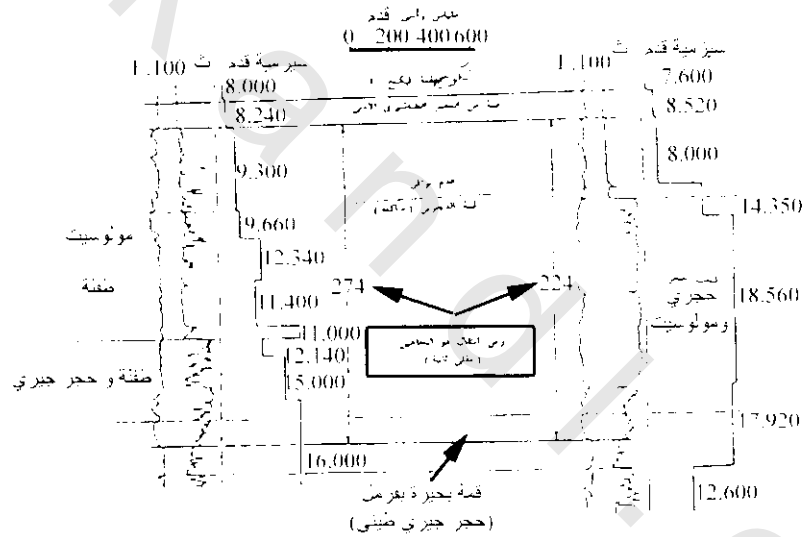
تتكون شعب الحجر الجيري من البقايا الهيكلية للمرجان، أو الطحالب، أو ماشابه ذلك من كائنات المياه الضحلة، وتحدث التراكمات غالباً في الأماكن الضحلة أو الجزر المحاطة بالمياه العميقة. وتحاط وتغطي المادة المسامية للشعب المترسبة بالطمي الذي يماسك فيما بعد إلى طفلة، وينتج عن ذلك ظروف مثالية لتكوين واحتجاز الهيدروكربونات. وعند إكتشاف البترول بالطريقة السيزمية في شعب لدوك Leduc في البرتا Alberta نجحت أساليب الإنعكاس الفنية في كشف شعب حجر جيري منتجة في غرب تكساس، البرتا، إلينوى، ليبيا، ومناطق بنزولية أخرى.

ويستغل التباين بين السرعة في شعب الحجر الجيري والطفلة المحيطة بها في تحديد مواقعها بالطريقة السيزمية. هذا التباين يفسر وجود الشعب كعدسات تبرز تراكيب ظاهرية في العواكس السفلية وتركيبات أخرى ناتجة من تأثيرات التغطية. وقد وضع سكيلس Skeels 1955 تباين تأثير السرعة بين شعب الحجر الجيري وشعب الطفلة البعيدة عنها وكذلك التسجيلات الكهربائية في بنرى أ، ب شكل (2-113) وهذا التباين يبين قصر الفترة الزمنية للإنعكاس من أسفل منطقة الشعب والآخر من أعلاها.

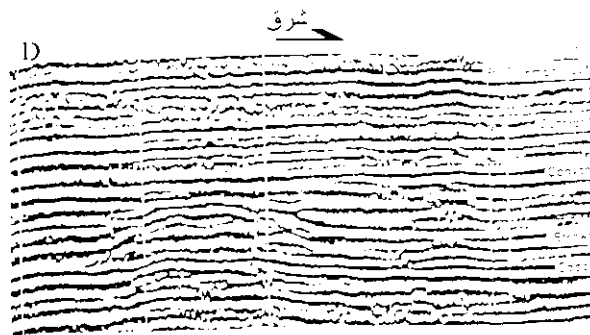
وأحيانا أخرى تظهر الشعب بانعكاسات سيزمية بما فيها التغير والإنقطاع. وبتأثير الحيود تظهر الشعب بوضوح كبير على مقاطع التسجيل شكل (2-114) فوق حقل شمال مدينة نوكس North Knox City



شكل (112-2): عدم توافق عند مستويين موضحين بنموذج سيزمي طباقى (أ) قطاع كامل، (ب) تفصيل للجزء الأوسط



شكل (113-2): قياسات كهربية وسرعات بينية سيزمية لأبار مجاورة فى البرتا Alberta. (أ) بعيدة عن الشعب، (ب) فى الشعب



شكل (114-2): قطاع سيزمي يوضح تكون شعب فى حقل شمال مدينة نوكس-تكساس North Knox City in West Texas

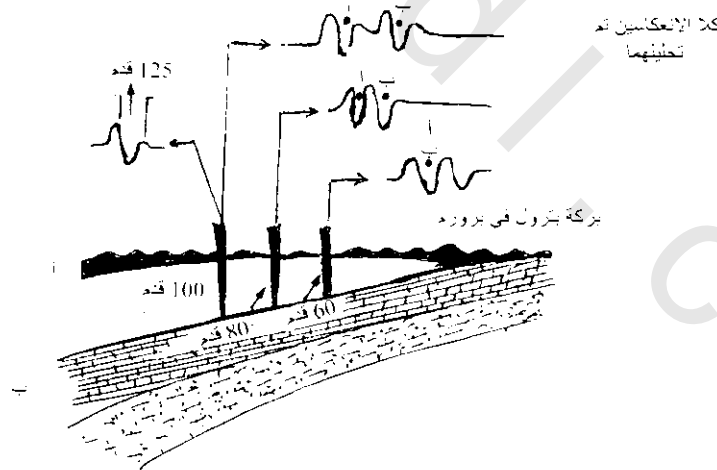
2.15.2.4.4.2 عوانق نفاذية مقرونة بقطع تحتى أوترقيقات وتقطيعات تآكلية أخرى

Pinchouts and Other Erosional Truncations:

أغلب الانعكاسات المرصودة على تسجيلات، هى إرتدادات من حدود منفردة عند زمن يسمح لها بالتداخل بطريقة إنشائية. أما فى حالة سطح عدم التوافق والذى لا يوازى أسطح بينيه أخرى أعلى أو أسفل فإن توليد الانعكاس يأتى بتكرار العمل العرضى لاستخدام ذلك فى رسم خرائط الانعكاس. وحيث أن عدم التوافق له أهمية كبرى فى إستكشافات البترول كما هو واضح فى شكل (2-115) حيث أن البترول ينحصر فى تكوينات لها شكل خابور بميل صاعد ناتج من تآكل الرمل المسامى المائل تم يغطى هذا الرمل بمادة غير منفذة فى ترسيب تالى.

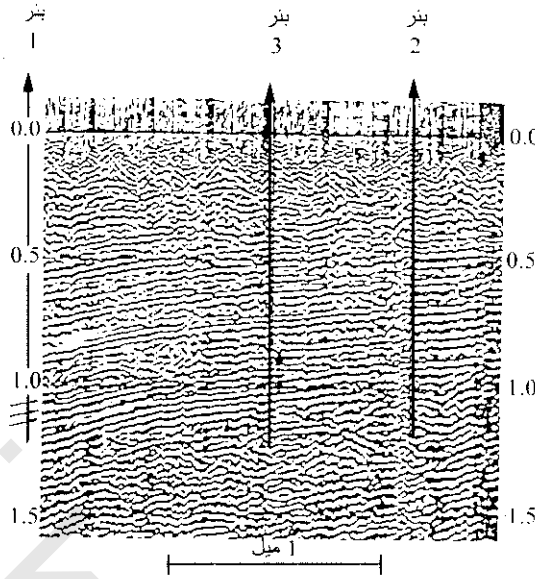
ولتحديد موقع مثل هذه الظاهرة، يجب إستخدام الانعكاس السيزمى بطريقة تضيق مدى الإلتباس كما فى شكل (2-116) حيث يوضح هذا الشكل مثل هذه الترققات والتى يمكن إكتشافها بإدماج المعلومات السيزمية والجيولوجية فعند 1.1 ثانية يوجد ثلاث قمم على الجانب الأيسر للقطاع والتى تترابط على أساس معلومات السرعة مع رمل حامل للمياه بسمك 200 قدم عندئذ عند بئر (1). وباتباع هذه القمم جهة اليمين نقل إلى قمتين بالقرب من مركز القطاع وتفقدان الترابط كلما اقتربا لأقصى اليمين.

هذا التغير فى شكل الموجه، تدل على أن التكوين العاكس يقل أو يختفى. أما فى البئر الثانى لايظهر الرمل مطلقا. أما فى البئر 3 المحفور فى إتجاه ميل أسفل بئر 2، ظهر الرمل فى مستوى أعلى وأرق ولكنه حامل للمياه. وهذا ما يوضح أنه عندما يترقق الرمل فى إتجاه الميل الصاعد يمكن أن يتشبع بالمياه كانه طيه محدبه حاملة للمياه عند قمتها.



شكل (2-115): تتبع طبقة متقاربة فى إتجاه نهايتها بإستخدام انعكاسات سيزمية من سطح قمتها وقاعها

وللبحث عن البترول فإنه يجب تحليل أفضل للانعكاسات من هذا المنسوب الذى وجد فيه الماء، وبذلك يمكن التنبأ بموقع ترقيق بدقة أكثر، ويحدد موقع البئر الثالثة التى ربما تعطى بترولا بدلا من الماء. ومع ذلك يمكن وجود آبار جافة قبل الحصول على بركة بتروليه طباقية أكثر مما تتطلب عادة الأكتشافات التركيبية. هذا المثال يوضح مدى خطورة الحفر فى المصائد البترولية الطباقية عنها فى مصائد البترول التركيبية. شكل (2-117)



شكل (2-116): ترقيق الجسم/ملى كما شوهد على قطاع سيزمى. الرمل مبين بالأسهم على طول الحافة اليسرى للقطاع حيث يوضحه بنرا بسمك 290 قدم يختفى الرمل عند بنر 2 ولقد وجد الرمل حاملا للمياه فى بنر 3 حيث يدل على عدم وجود بترول فى الترقيق (روبسون 1971 Robinson)

يوضح مصيدة تقطيعية منتجة من نوع مختلف إلى حد ما بالانعكاس السيزمى فى حوض جيفهورن Gifhorn basin فى الشمال الغربى لألمانيا، حيث يظهر رمل دوجريتا Dogger beta الحامل للبترول (من العصر الجورى) أسفل عدم التوافق عند قاعدة الألبان Albian (طباشيرى). يتجمع البترول على طول الخط المبين فى شكل (2-117) فى حالة على شكل خابور ذات الميل الصاعد لرمل الدوجر الجورى الذى ينتهى عند عدم التوافق بين العصر الطباشيرى والعصر الجورى. وبقياى التقارب الدليلى لمثل هذا الخابور على التسجيلات السيزمية المبكرة أدى إلى إكتشاف الإنتاج فى طبقة رمل دوجر Dogger فى حقل هوهن Hohne. القطاع السيزمى فى شكل (2-117) هو مسح تقليدى تم بعد تنمية الحقل.

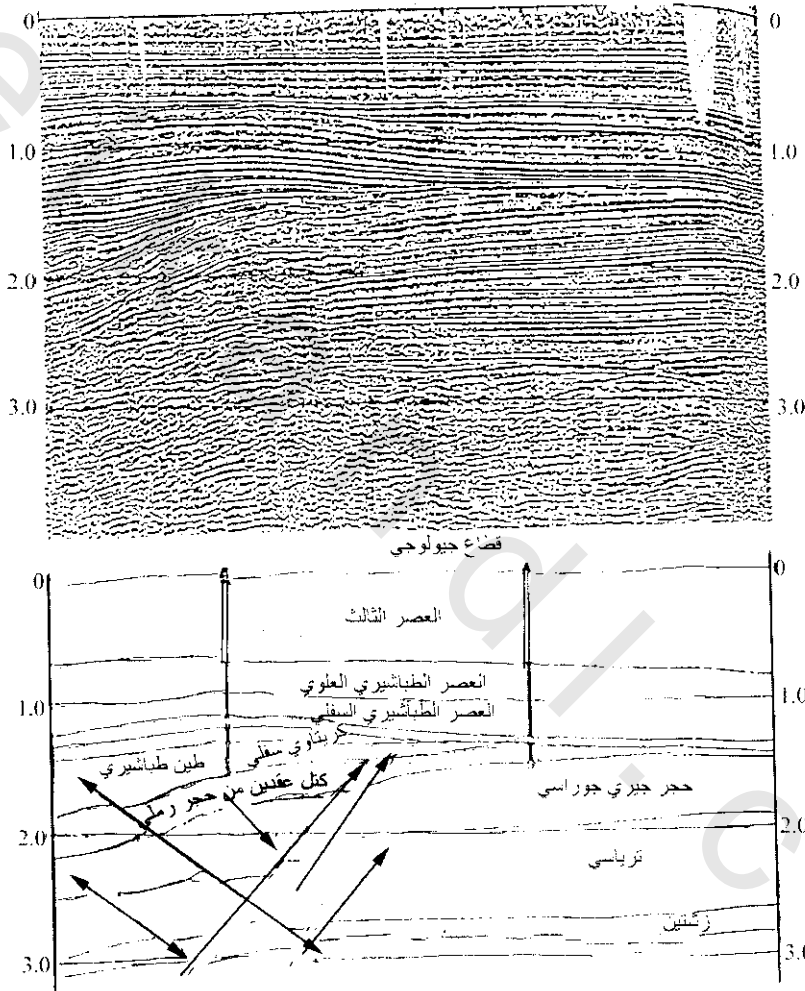
3.15.2.4.4.2 رواسب القنوات والعدسات الرملية

Channel-Sand Deposits and Other Sandlenses:

تستطيع أى قناة أو عدسة رملية مدفونة ومحاطة بطبقة غير منفذة أن تحتجز البترول تحت مصدر تخزين جيد، وقد وضع ليونس ودوبرن Lyons and Dobrin 1972 أن إمتداد بحقل جنوب سيرز south ceres فى مقاطعة نوبل، أوكلاهوفا Noble, Okla يحتجز البترول فى قناة رملية من هذا النوع وقد تحدد مكانه على أساس معلومات الانعكاسات السيزمية. يوضح شكل (2-118) قطاع عرضى خلال عدسات رملية بقياس متقن للأزمة التفاضلية بين إنعكاس ما فوق منطقة الرمل مباشرة وآخر تحتها. وأيضاً يتضح فى الشكل أن النموذج المتساوى للزمن يتطابق فيه الزمن الأكبر مع السمك الأكبر للجسم الرملى.

4.15.2.4.4.2 تغيرات السحنة Facies Changes:

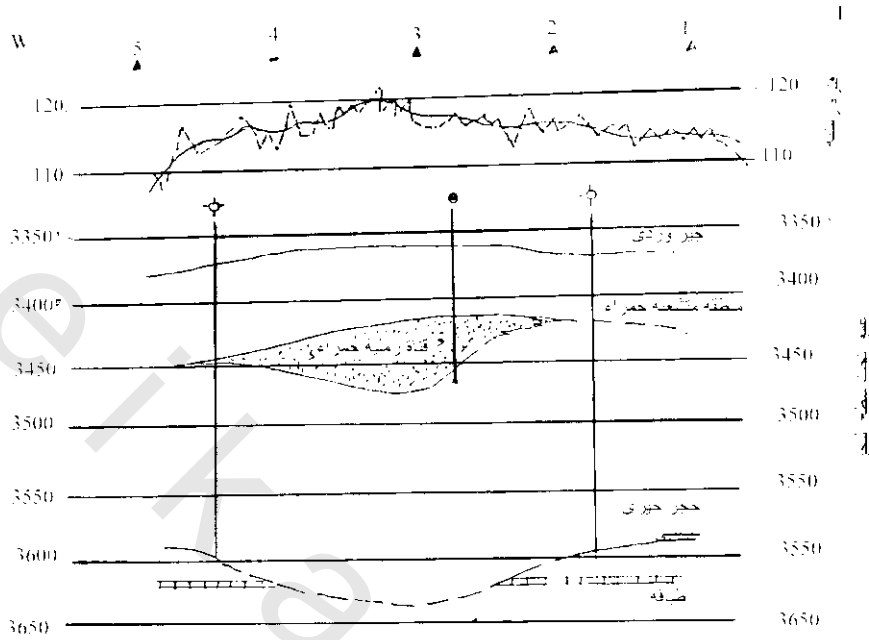
في بعض حقول البترول يحكم تجمع البترول التغيرات الجانبية من سحنة منفذة لأخرى غير منفذة. وقد ناقش رول 1972 Roll هذا الظاهرة في تكوين Bentheim بحقل برامبرج Barmberge بألمانيا، حيث تغيير السحنات مما جعل من الممكن احتجاز البترول بميل صاعد في الحقل. وعندما بنيت الكنتورات في الخريطة السيزمية وجد بها ميل افعال تركيبي ذي ميل صاعد مقابل فالق ما. ولكن عند حفر البئر الاستكشافي وجد البترول خارج الأفعال. ويشير هذا إلى أن التجمع البترولي كان بسبب تغيير السحنة من رمل لطفله. ويعكس هذا الإكتشاف وجوب الإجهاد التام في التكامل بين الجيولوجيا والجيوفيزياء.



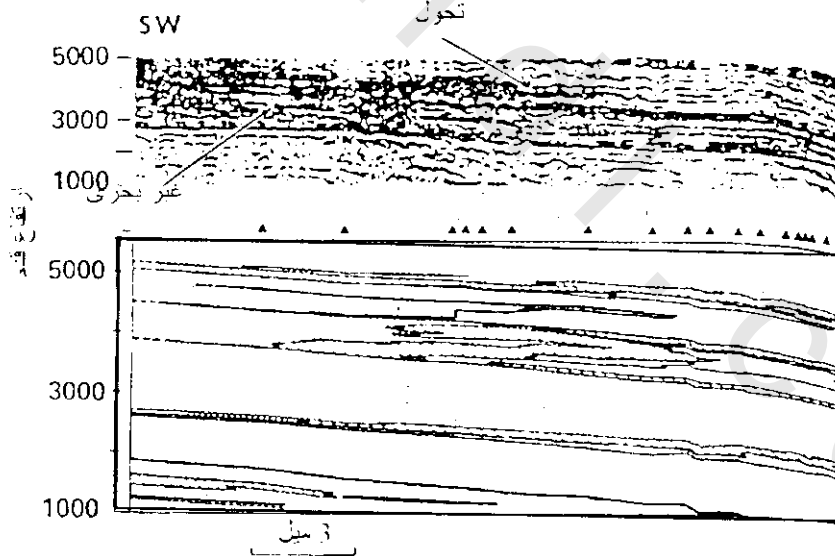
شكل (2-117): قطاع تسجيل وقطاع جيولوجي مناظر (حقل هوهن-ألمانيا الغربية Hohn W. Germany) في تقطيع كتل عقدية من الحجر الرملي أسفل عدم توافق من العصر الجوراسي الطباشيري

بالتطورات الحديثة في الحصول على المعلومات السيزمية والمعالجة، أمكن تتبع التداخل على هيئة أصابع بين الرمل والطفلة بنجاح أكبر في مناطق مناسبة عما كان في الأزمنة المبكرة. يوضح شكل (2-119) (سانجرى وديدمير Sangree and Widmeier 1974) تحول من طفلة بحرية (على اليمين) إلى حجر رملي نهري قريب من الشاطئ (على اليسار) يمكن تتبعه على مقطع تسجيل انعكاس. كثافة الانعكاسات الزائدة عند وسط مقطع التسجيل تدل على العدد الأكبر للتناوبات بين رمل وفطلات على طول هذا الجزء، وهذا يوضح كيف أن كثافة

أحداث الإنعكاس تعطى معلومات عن المكان لمثل هذه التحويلات. ويوضح القطاع الجيولوجي المدعم بـ 18 بئر متقاربة هذه الظاهرة.



شكل (2-118): قطاع عرضي من تسجيلات سيزمية يحدد قناة مملوءة منتجة (صخر رملي متشعب أحمر) على أساس شاذات في الفترة الزمنية بين إنعكاسين (جبر ووردى وحجر جيرى سيسبي/الرمل ذى جانبين (ليونس ودوبرن 1972)

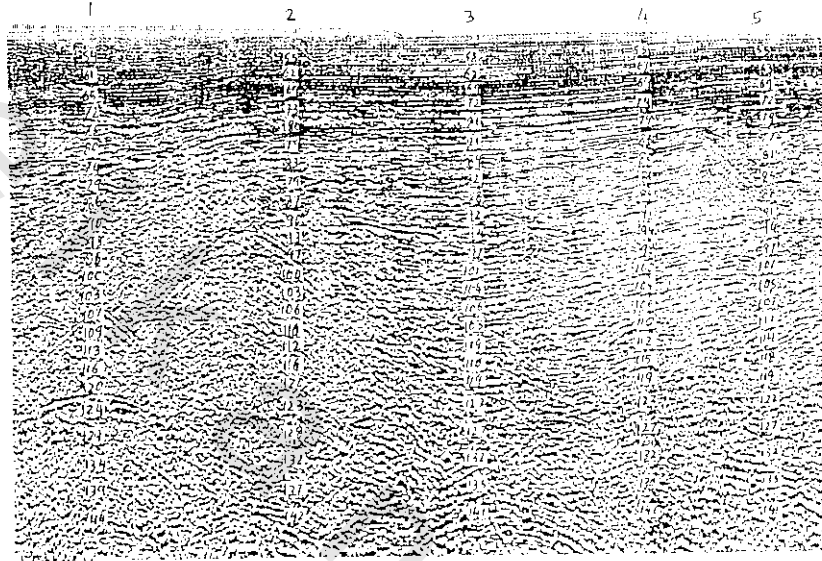


شكل (2-119): مقارنة لمقاطع عرضية جيولوجية وسيزمية فوق منطقة فى حوض سان يون San Jun. توضح المثلثات السوداء موانع الآبار (سانجرى وودمير Sangree & Widmerer)

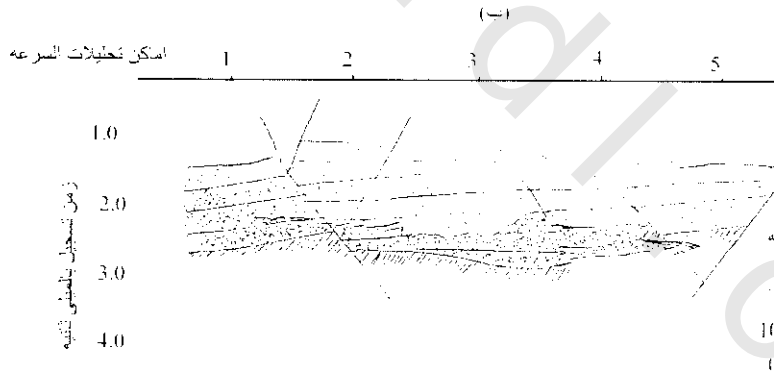
16.2.4.4.2 دراسة الخواص الصخرية من معلومات الانعكاس

Study of Lithology from Reflection Data:

بالأساليب الفنية الحديثة وطرق معالجات معلومات الانعكاس الجيده أمكن تقدير الخواص الصخرية كنسب رمل-طفلة أو نسب طفلة-حجر جبرى وذلك بدلا من استخدام السرعات البينية من انعكاسات متتالية أو استخدام معادلة دكس 1955 Dix.



(أ)



(ب)

شكل (2-120): معلومات بحرية سيزمية من لوسينا Lousiniana تربط التراكمات والخواص الصخرية. (أ) قطاع تسجيل سيزمى يوضح سرعات بينية بمنات الأقدام لكل ثانية، (ب) قطاع يوضح التركيب والخواص الصخرية المستنتجة من نسب رمل-طفلة كما قدرت من السرعات البينية (الاتجاهات التركيبية والتصدع على أساس مخططات الانعكاس والاستمرارية. النسبة المئوية للرمل على أسس سرعات بينية)

يوضح شكل (2-120) (أ) مقطعا سيزميا بحريا فى لوسينا Louisinna فيه حسب السرعات البينية عند خمسة مواضع متقاربة جدا، أما شكل (2-20) (ب) فيمثل قطاع عرضى لتوزيع الرمل المحسوب من السرعات. وقد أدى التوافق بين حدود الخواص المستنتجة والاتجاهات التركيبية لانطباع جيد لهذا الإنتاج.

وبطريقة أخرى حديثة المنشأ هي قياس تخفيف الموجات السيزمية التي تمر خلال القطاع، أمكن تحديد تغيرات في السعة النسبية بين إنعكاسات متتالية، حيث فسرت كتحويلات من رمل لطفله خلال الفترة الطباقية المعروضة. ويوضح شكل (2-121) هذه الحالة التي رسم فيها أجسام رملية في خرائط معلومات التخفيف والتي تطابقت مع نتائج حفر الآبار.

5.2 سيزمولوجية القشرة الأرضية Crustal Seismology:

أدى دراسة علم الزلازل لمعرفة كثير من المعلومات عن القشرة الأرضية، وتطبيق الآن طرق الانفجار السيزمي الصناعي (طريقة الإنكسار والانعكاس) لمعرفة سمك وتركيب القشرة الأرضية. ومن مميزات طرق الانفجار الكيميائية أو (التفجيرات النووية) عن الزلازل هي معرفة زمن ومكان التفجير، أيضا تحديد كمية التفجير المطلوبة بدلا من انتظار حدوث الزلزال الملائم. وفيما يلي نستعرض مشاركة التفجير السيزمي لفحص القشرة الأرضية:

1.5.2 تحديد القشرة Definition of the Crust:

القشرة هي جزء صلب من الأرض فوق فاصل، وهو Moho discontinuity الذي يفصلها عن الستار. وعند زيادة السرعة الأولية P.W بحوالي 8 كم/ث يمكن التعرف على فاصل موهو، وقد تحدد إمتداد هذا الفاصل بوساطة الدراسات تكون في بعض المناطق الغير مستقرة تكتونيا غالبا مبهمة لكنها تعطي نبضات واضحة. يمتد السمك الحقيقي فوق الموهو (القشرة الأرضية) من حوالي 6 كم تحت أرضية المحيطات إلى حوالي 70 كم تحت جبال الأنديز.

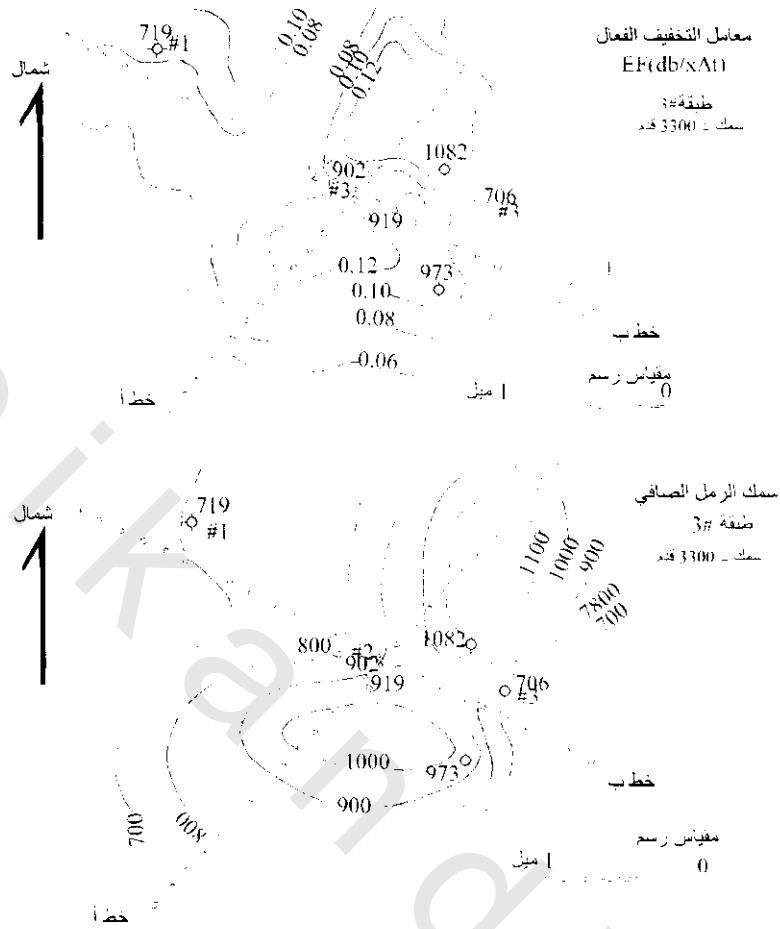
2.5.2 تركيب القشرة القارية (تغيرات إقليمية):

Structure of the Continental Crust (Regional Variations):

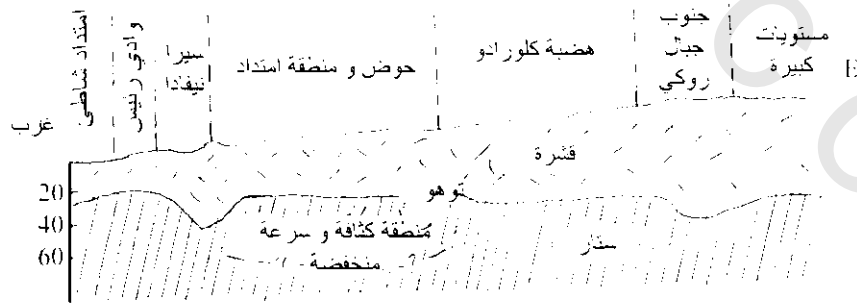
تمت دراسات مهمة لتركيبات القشرة بواسطة التفجيرات السيزمولوجية في الولايات المتحدة، روسيا ووسط أوروبا، وأهم نتائج هذه الدراسات موجودة في مجلدات هيكوك 1971, Heacock 1977, وميلر 1974 Muller. عادة يكون وجود الموهو بين عمق 20 كم، 50 كم، ولكن إقليميا ربما يكون أعظم مثال ذلك تحت سلسلة طيات الجبال الحديثة. في قليل من الأقاليم الخاصة، تمت دراسة التغيرات الإقليمية في عمق الموهو لعدد كبير من الإنكسارات لمدى طويل، مثل بروفيلات إنكسار امتدت لـ 200-300 كم وتطلبت شحنات انفجار بلغت عدة أطنان.

يرى شكل (2-122) أهم مثال من دراسات باكسر 1963 Pakiser تمت في غرب الولايات المتحدة. هذه الدراسة أشارت إلى أن زيادة سمك القشرة يحدث تحت سلسلة جبال، وأن كل منطقة جيولوجية أساسية تكون مصاحبة لخاصية سمكية للقشرة.

أمثلة أخرى لتغير إقليمي في سمك القشرة مدت بواسطة دراسات سيزمية عميقة في وسط أوروبا (جيس وآخرين 1976 Giese et al)، روسيا (كوسمنسكاى وآخرين 1969 Kosminskaya et al) والهند (كايل 1982 Kaila)، وعلى أساس النتائج المتاحة من شمال أمريكا وأوروبا أمكن الاستدلال على معلومات تفصيلية عن تركيب وعمق الموهو في عدة مناطق تكتونية. وقد وجد بروديهيل 1977 Prodehl أن الفاصل بين القشرة والستار يكون حاد فقط في مناطق القشرة الرفيعة، وفي مناطق القشرة السمكية فإن الفاصل يكون أكثر أو أقل



شكل (2-121): مقارنة التخفيف وسمك الرمل الصافي في حقل بير نوز، كاليفورنيا. Beer Nose, Calif. (سافت و ماتكر Savit and Mateker 1971)



شكل (2-122): تغير في سمك القشرة من كاليفورنيا إلى كلورادو على أساس مسح سيزمي إنكساري

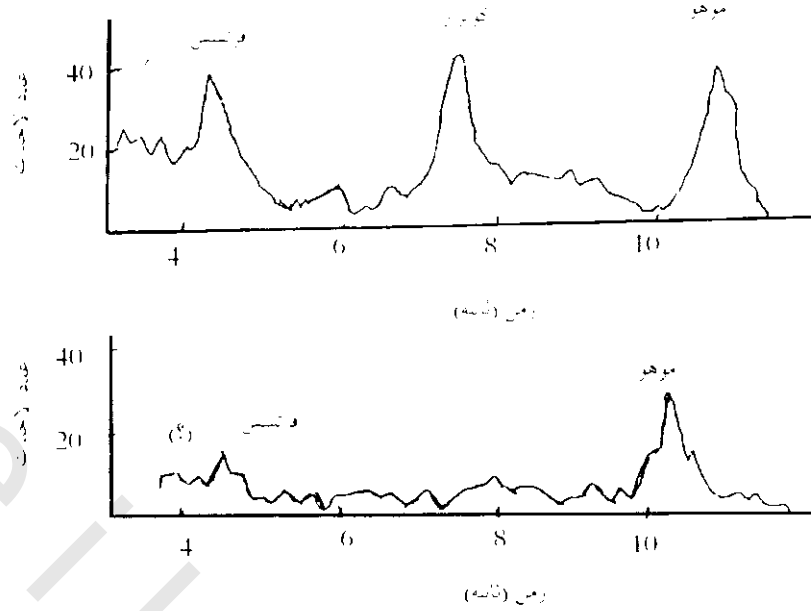
عرض لمنطقة إنتقالية من السمك تتغير من 2 إلى أكثر من 15 كم. يلخص جدول (2-3) تركيب القشرة والفواصل بين القشرة والستار في وحدات تكتونية مختلفة لشمال الولايات المتحدة وأوروبا.

توجد زيادة عددية لدراسة القشرة العميقة باستخدام السقوط التقريبي العمودي Near Normal Incidence (NNI) وأحداث موجة الانعكاس الواسعة Wide-angle reflection (WAR) شكل (2-123). ويوضح شكل (2-123) نتائج الدراسات الأولية لليشر 1964 Liebscher لتعريف طور الانعكاس الأخير الذي يحدث في التسجيلات التي تنتج من عمل التنقيب التجارى باستخدام السقوط التقريبي العمودي (NNI) للانعكاس. وقد اقترح التوزيع افحصانى للتوافق الحادث للأطوار المتأخرة ما بين 4 إلى 11 مرة انعكاس لاثلاثة فواصل فى بعض مناطق الدراسة. ويفسر شكل (2-123) لانعكاسات الحادث بين 10-11 مرة بعد الانفجار على أنه بسبب فاصل الموهو بين 7-8 مرة بسبب فاصل كونراد Conrad* والذي يحدث عند حوالى 4 مرات حيث يشارك لفاصل جديد يسمى فاصل فورتنش.

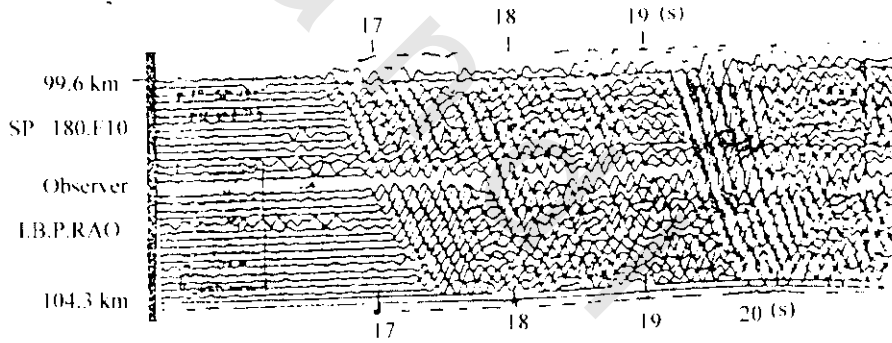
جدول (2-3) خواص تركيب القشرة لبعض المناطق التكتونية من شمال أمريكا وأوروبا

المنطقة	نوع القشرة	عمق الموهو كم	السرعة P_w كم/ث	معدل سرعة القشرة
كندا، اسكتلندا، درع أوكرانيا	درع	50-40	8.4-8.1	عالي
سهول كبير (أمريكا)	قارى مستقرة	50-40	8.4-8.1	عالي
هضبة كلورادو	جزء غربى متحرك أمريكا	50-40	7.8-7.7	عالي
جبال أبلشيا	حركة جبال بنانية قديمة	50	8.0~	عالي
سيرانيفادا	حركة جبال بنانية حديثة	60-40	7.9-7.8	متوسط
جبال روكى			8.0-7.8	منخفض
الألب			8.1-8.0	منخفض
كليديونيدز -شمال إنجلترا	حركة جبال بنانية قديمة	35-30	8.0~	منخفض
كليديونيدز - شمال اسكتلندا	حركة جبال بنانية قديمة	30-25	8.0	متوسط
هرسينى ألمانيا، فرنسا، برتغال	حركة جبال بنانية قديمة	30	8.4-8.0	منخفض
حوض ومنطقة سلاسل	جزء غربى متحرك (أمريكا)	30	7.9-7.8	منخفض
أخدود الراين العلوى	أخدود	25-20	8.1-8.0	منخفض
ليماجن، أوفرجن (أخدود بوتواوا)	أخدود	30-25	7.9-7.3	منخفض
سهول نهر مناك	أخدود	20		منخفض
		40		عالي
أبانتر	حركة جبال بنانية حديثة	20	8.0-7.3	منخفض
سلسلة شاطى CA	حركة جبال بنانية حديثة	25-20	8.0	منخفضة

* فاصل سرعة موجود بعد الكونراد العلوى، ومن الدراسة السيزمولوجية فى بداية عام 1920 اقترح طبقتين قاسمتين للقشرة القارية. هذا الإستنتاج يتفق جيدا مع الإتفاق الشائع الآن عن ان القشرة تتكون من طبقة جرانيتية عليا وطبقة بازالتية تحته.

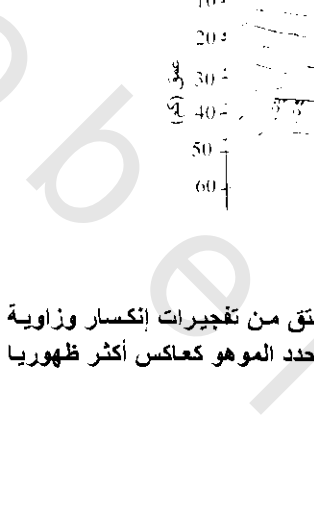


شكل (2-123): ترددات ضلعية توضح عدد الأحداث الملاحظة كدالة لطريقة فترتي زمن (ثانية) في سقوط عمودي لمسح سيزمي إنعكاسي (جنوب ألمانيا). وتفسر القمم كعدم استمرارية (انقطاعات) كبيرة خلال القشرة (فوتسش، كونراد) وعند القاعدة (موهو) (على أساس ليبشر (Liebscher 1964))



شكل (2-124): نموذج لجسمة سيزمية عميقة مسجلة بزاوية إنعكاس واسعة (عريضة) (PM) من تسجيل تقاطع الموهو Moho في غرب شبه جزيرة الهند حدث تماما بعد 9 ثانية (كايلا وآخرين Kaila et al 1981)

في عشرات السنين الماضية، امتدت دراسات زاوية الإنعكاس الواسعة (WAR) بكميات ملائمة من نتائج درع بيننسولار الهندي Peninsular Indian. ويوضح شكل (2-124) تسجيل نموذجي بزاوية إنعكاس واسعة (WAR) قوية (P_M) من فاصل موهو بعد 19 مرة. ويفسر شكل (2-125) قطاع قشرة عرضي على طول 200 كم ويبدأ البرفيل من الشاطئ الغربي عند خط عرض 18° شمالاً، وحدد فاصل الموهو غالباً كعكاس سائد عند عمق ما بين 36-40 كم. وأيضاً وضح الشكل عدد من قطع إنعكاسية تحت مصائد ديسان Deccan في اتجاه فاصل موهو. يقسم الفالق العميق أسفل مصائد ديسان القطاع العرضي الكلي، شاملاً فاصل موهو، إلى كتلتين قشريتين.



(كَيْلا وآخرين 1981 et al)

ملاحظة: الفالق العميق أثره عند عمق حوالي 40 كم

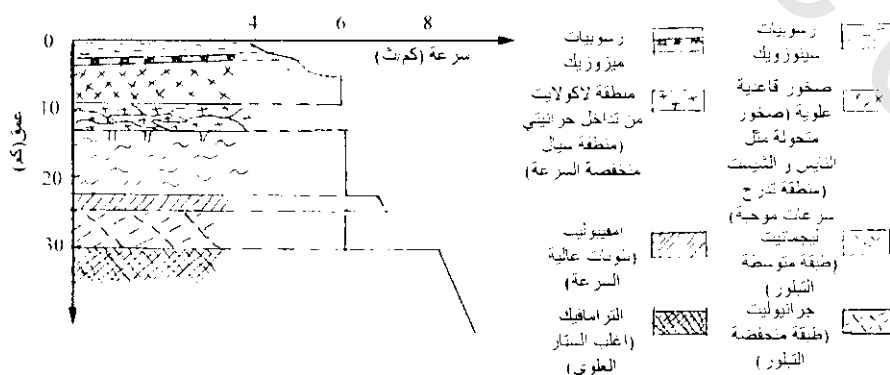
3.5.2 نموذج قشرة حديث بنطاقات السرعة المنخفضة:

New Crustal Model with Low-Velocity zones:

أدت زيادة عدد الدراسات، باستخدام تقنية معالجة النتائج السيزمية بدقة للدلالة على أن طبقة السرعة المنخفضة في جزء السيل من القشرة عند عمق 5-15 كم. لذلك اقترح مولر Muller 1977 نموذج جديد للقشرة، ويوضح شكل (2-126) علاقة خطية للسرعة والعمق والذي استخدم لتوضيح الظواهر المختلفة للنموذج الجديد للقشرة الأرضية.

يتميز النموذج بواسطة نطاقين للسرعة المنخفضة. (i) السرعة المنخفضة لطبقة السيل في أعلى القشرة الأرضية، (ii) نطاق السرعة المعكوسة (المنقالية) في أسفل القشرة الأرضية. وتعتبر السرعة المنخفضة للسيل عند عمق 10 كم مطابقة لفواصل فورتنش Fortsch شكل 123، وتتواء السرعة العالية عند عمق حوالي 22 كم يتفق مع فاصل كونراد Conrad، وقفزة السرعة عند عمق حوالي 30 كم يعتقد أنها فاصل موهو Moho.

كان ميللر وآخرين Muller et al 1969 أول من اقترحوا نوع هذا النموذج للفترة لمنطقة حوض الراين في وسط أوروبا وهذا النموذج غير قابل للتعميم.



شكل (2-126): نموذج خطي لقشرة قارية لمناطق منخفضة السرعة (ميللر 1977 Muller)

4.5.2 تركيب القشرة القارية : Composition of the Continental Crust

من الممكن نمذجة تركيب القشرة القارية من دراسات جيولوجية وجيوفيزيائية مشتركة لمناطق معينة والتي تظهر بها صخور القشرة العميقة، مثال ذلك منطقة أفريا Ivrea zone فى جنوب الألب (بركهمر Berckhemer 1969، مهنيرت 1975) حيث يتكون أعلى قطاع القشرة من شيسيت ونيس تحتهم تداخلات جرانيتية، والجزء الأوسط من القطاع يتكون من نيس جرانيتي وأجسام جابروية متداخلة طباقيا مع درجة نيس عالية. تدل هذه المعلومات على أن القشرة العميقة فى هذه المنطقة على الأقل جزئيا مشتقة من الرسوبيات، والنموذج القشرى يشبه الشكل الموضح لنماذج تدرج السرعة مع مكونات القشرة شكل (2-125).

عادة تعطى الصخور البللورية العلوية للقشرة فى سرعة أوليه P_w ما بين 5.9, 6.3 كم/ث والتي تطابق قيم الجيرانودايورات والمجانيثات (سمثون وآخرين 1977) هذه القيم مناسبة مع معدل الكثافة والتركيب الكيميائي المقيم (هارس 1971، جاكس 1973)، واللذان اقترحا أن هذه الصخور أكثر قاعدية من الجرانيت، بينما زالت المجادلة حول تركيب القشرة السفلية. ودلت الدراسة الإنكسارية للقشرة أن السرعة الأولية P_w تتراوح من 6.4-7 كم/ث فى القشرة السفلية والتي يمكن تمييزها عن القشرة العلوية. وتعتبر السرعة 7 كم/ث قليلة جدا للجابرو أو الأمفيبوليت عند الضغوط العالية (كرستنس وفونتان Christensen and Fountain 1975). لذلك اقترح سمثون وآخرين 1977 أن السرعة 6.5 كم/ث ملائمة لصخور الجرانوليتك فى القشرة السفلية، والسرعة 6.8 كم/ث تابعة للدايوريت والأنديزيت. وبدل وجود الإنعكاسات السيزمية خلال القشرة السفلية على تغيرها مع نطاقات تباين الممانعة الصوتية (السرعة الأولية $P_w \times$ الكثافة density).

مما سبق يتضح أن الإقتراحات الملاحظة تدل على أن القشرة القارية تتكون من طبقات رأسية وأفقية معقدة من الصخور المتحولة والنارية، والأولى أكثر سائدية ومنطقتى أفريا Ivrea zone (جنوب الألب) وتون ناب Jotun nappe (وسط النرويج Central Norwegian Caledonides) مثالين على إتساع كمية القشرة السفلية المكونة من سحنات صخور جرانوليت.

5.5.2 تركيب وتكوين القشرة المحيطية

Structure and Compsothion of the Oceanic Crust:

من دراسات الجاذبية لاتزان القشرة الأرضية وكذلك الدراسات الزلزالية، اتضح أن سمك القشرة المحيطية أرفع من سمك القشرة القارية. وباستخدام المسح البحرى لموجات السيزمية الإنكسارية تبين أن سمك القشرة المحيطية حوالى 6 كم فى المحيطات الكبيرة، كذلك أوضح هذا المسح أن تركيب القشرة المحيطية غير متشابه حيث أشار رايت 1963 Raitt أن هذه القشرة تتكون من ثلاثة طبقات كما هو مبين فى الجدول (2-4). وبالتقدم العديد فى مسح الموجات السيزمية الإنعكاسية والإنكسارية فى العشرات السنين الأخيرة تغير توضيح تركيب القشرة المحيطية حيث ظهرت عدة نماذج لهذا التركيب كإقتراح الطبقات الفرعية كما فى الجدول (2-4).

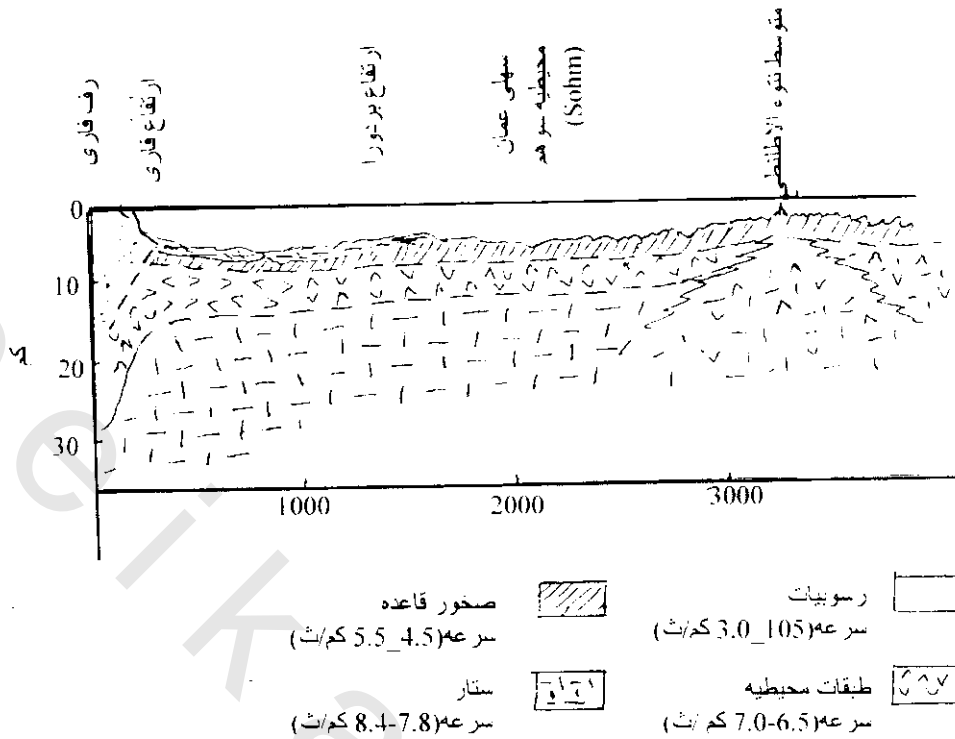
جدول (4-2) التركيب العادي للقشرة المحيطية وتكوينها

الطبقات	متوسط السرعة الأولية P_w كم/ث	متوسط السمك (كم)	سمك الطبقات الفرعية (كم)	السرعة الأولية (كم/ث)	التركيب الافتراضي
تحت الماء	1.5	4.8			
طبقة (1)	2.0	0.8			رسوبيات غير متماسكة
طبقة (2)	5.1	1.7	(أ) 2 (1-0.5)	3.8-2.5	وسائد بازلتية
			(ب) 2 (1.5-1)	6.0-4.0	بازلت متماسم وسدود لوحيه
طبقة (3)	6.7	4.8	(أ) 3 (3-2)	6.8-6.5	جابرو متحول
			(ب) 3 (4-2)	7.7-7.0	جابرو أو (سربنتينيات الترامفيك؟)
الستار العلوى	8.1	-	-	-	بريدوتيت

بعض مشاريع الحفر في عدة مناطق من المحيطات بينت أن الطبقة (2) تماثل الموجودة بالجدول، أما الطبقة (3) والمكونة الرئيسية لسمك القشرة المحيطية فما زالت محل مناقشة. وقد بين التغير الواسع لصخور القاعدية والفوق قاعدية (بازلت متحول، جابرو، سربنتينيات... إلخ) أنها جرفت من الأخاديد ومناطق التشققات، بينما حد الموهو المحيطى فيقع بين صخور الجابرو والبريدوتيت. تشترك اعتبارات المتبقيات المغناطيسية في تفسير كلا من الطبقتين 2, 3.

6.5.2 أمثلة لقطاع القشرة المحيطية :Examples of the Oceanic Sections

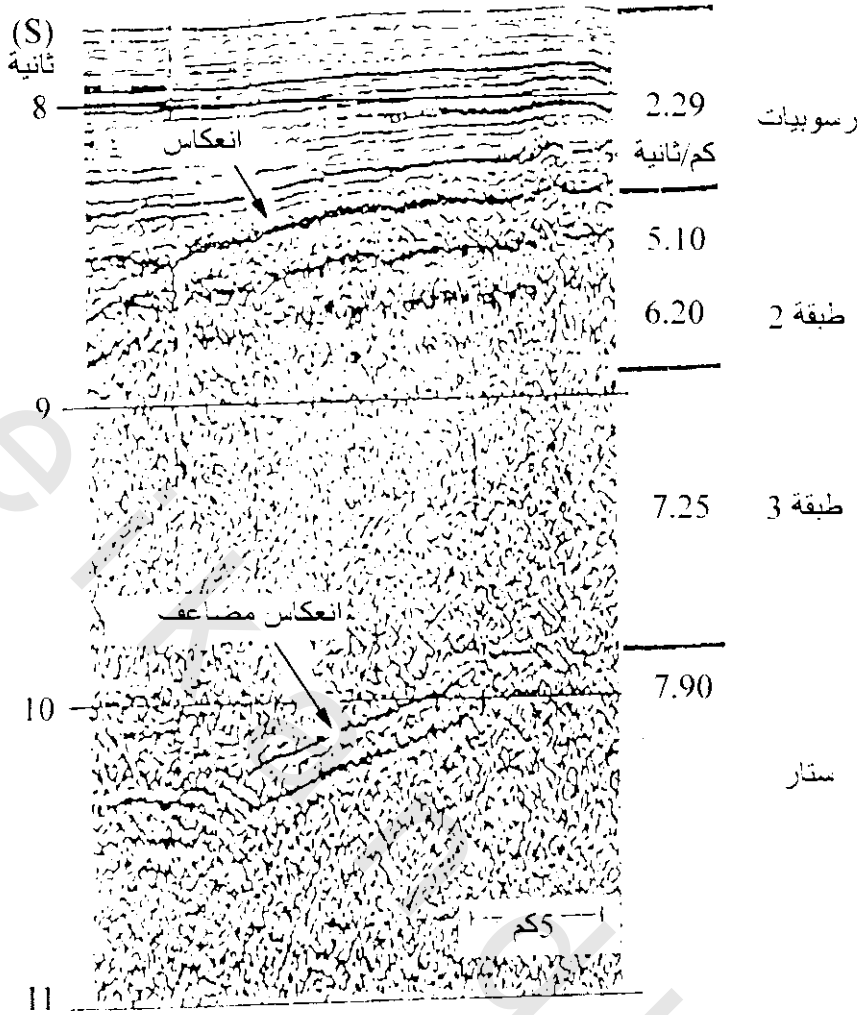
المثال الأول: يوضح شكل (2-127) قطاع للقشرة المحيطية من شمال الرف القارى الأمريكى إلى أخدود الأطلنطى الأوسط كما حدد بواسطة قياس السيزمية الإنكسارية. عمق الماء حوالى 5 كم يقل عند قمة الأخدود إلى 2 كم، كما أنه لا توجد طبقات رسوبية عند النتوء (إرتفاع) وتزيد فى السمك قرب إرتفاع القارات، أما الصخور القاعدية (طبقة 2) فيصل أكبر سمك لها عند قمة النتوء ويقل هذا السمك بالبعد عن النتوء. تظهر الطبقة المحيطية الأساسية (طبقة 3) أنها موحدة السمك ماعدا قربها من النتوء حيث تنتهى. يبلغ معدل عمق الموهو فى المحيط الأطلنطى حوالى 12 كم (محسوب من سطح الماء)، والاختلاف الأكثر معرفة لهذا العمق يحدث عند أجنحة النتوء (الإرتفاع) حيث سجلت السرعة السيزمية للستار عند أعماق 9-10 كم. ومن خواص هذا النتوء أيضا إختفاء الموهو فى قمة النطاق والسرعة المسجلة فى هذا النطاق الشاذ متوسطة ما بين الطبقة 3 والستار العلوى. والشذوذ التركيبى المصاحب لقمة النتوء ويكون علاقة مع تيارات الحمل وتكونية قاع البحر.



شكل (2-127): قطاع عام صخرى من رصيف القارى للقارة الأمريكية إلى متوسط نتوء الأطلنطي (أوينج 1969 Wwing)

المثال الثانى: من غرب الباسيفيكي، استخدم تلوانى وآخرين Talwani et al 1982 برفيلات متعددة القنوات السيزمية لتسجيلات لمساقط انعكاسات تقريبا رأسية فى البحر شرق أخدود اليابان. وذلك بهدف تخريط الموهو (تحديد مساحات تضاريس صخور القاعدة المسحجة (subdued)).

يوضح شكل (2-128) إنعكاسات قوية من صخور القاعدة (طبقة 2) والموهو ولم تحدد قمة الطبقة بدقة لقلّة ساعات الإنعكاس. قيم السرعة (على اليمين) محصول عليها من تجربة أخرى مستخدم فيها مصدر قوى كافى، ومجموعات استقبال، وتسجيلات انكسار واصلة بواسطة طافية صوتية ردارية Sonobuoyus والسرعات المعطاه (فى رتب زبائية) مطابقة لطبقات المحيط 1، 2، 3، والموهو كما فى جدول (2-4). يمكن تحديد سمك الطبقات من تسجيلات طريقى الإنعكاس ومتوسط السرعات فى قطاعات الطبقات. وتوضح النتائج التى حصل عليها تلوانى وآخرين Talwani et al 1982 أن السمك الصخرى يختلف اعتباريا عبر المساحة المسوحة.



شكل (2-128): قطاع تسجيل سيزمي لقرب انعكاسات رأسية ساقطة في غرب الباسيفيكي شرق أخدود اليابان، الانعكاس الأعلى عند حوالي 8.4 ثانية ناتج من صخور القاعدة وانعكاس القاع عند حوالي 0.4 ثانية حيث يكون مميز لتقاطع الموهو Moho (تالواني وآخرين 1982 Talwani et al 1982)

الفصل الثالث

التنقيب الثقالي (الجاذبي)

Gravity Prospecting

1.3 مقدمة Introduction:

تختص هذه الطريقة بالكشف والقياس للتغير الجانبي للجاذبية الأرضية والتي تكون مصاحبة للتغير في الكثافة القريبة للسطح. وتعطى كثيرا من التركيبات الجيولوجية تحت سطحية الهامة في البحث عن البترول أو الخامات حيث أن التغير في توزيع الكثافات الأرضية سببه شذات وصفية في المجال الجاذبي الأرضي.

2.3 أساسيات الطريقة والوحدات Fundamental Principles and Units:

1.2.3 قانون نيوتن للجاذبية Newton's Law of Gravitational Attraction:

تعتمد نظرية التنقيب الثقالي (الجاذبي) على تغيير قانون نيوتن لقوى الجذب بين كتلتين والمسافة بينهما.

$$F = \gamma \frac{m_1 m_2}{r^2} \quad (3-1)$$

حيث F القوة بين الكتلتين m_1 و m_2 ووحداتها بالداين والكتل بوحدات القياس الكتلي

r المسافة بينهما بوحدات القياس الطولي

γ ثابت الجاذبية العالمي وأبعاده $L^3 M^{-1} T^{-2}$ (الطول = L ، الكتلة = M ، الزمن = T)، ويعتمد قيمته العددية على نظام الوحدات المستخدمة.

2.2.3 ثابت الجاذبية العالمي The Universal Gravitational Constant:

في عام 1790 برهن كافندش Cavendish من خلال تجربته على أن القيمة العددية لهذا الثابت عند استخدام $cm^3 gm^{-1} sec^{-2}$ تساوى تقريبا $10^{-8} \times 7.754$ بينما حددها هايلن Heylin 1930 بقيمة قدرها $10^{-8} \times 6.67$ c.g.s.

3.2.3 الجاذبية The Gravitation:

يمكن تعريفها عامة كقوة بواسطتها تجذب الكتل كل للأخرى. ربما يستخدم تعبير قوى الجاذبية (الجاذبية) كتطبيق في الجيوفيزياء عادة كجذب بين الأرض ووحدات الكتل التي عليها أو القريبة من سطحها.

4.2.3 عجلة الجاذبية The Gravitational Acceleration:

يمكن الحصول على عجلة الجاذبية الأرضية (a) لكتلة m_2 بسبب جذب كتلة الأرض m_1 بواسطة استخدام قانوني نيوتن.

$$F = \gamma \frac{m_1 m_2}{r^2} \quad (\text{أ}) \text{ قانون الجذب السابق}$$

حيث m_1 = كتلة الأرض m_1 = ١ جرام

r = نصف قطر الأرض

(ب) قانون الحركة $F = a m_2$

من أ ، ب

$$\therefore a m_2 = \gamma \frac{m_1 m_2}{r^2} \quad \therefore a = \gamma \frac{m_1}{r^2} \quad (3-2)$$

وتوضح العجلة القوة المؤثرة على وحدات الكتلة معطية قياس المجال الجاذبي المؤثر على أى نقطة. فى نظام وحدات القياس سم.جم.ث فإن أبعاد العجلة يكون سم/ث^٢، وتشير هذه الوحدة فى الجيوفيزياء بالجال Gal (نسبة لجاليليو Galileo)، وتكون عندئذ قيمة الجاذبية على سطح الأرض حوالى 980 جال. ولكن هذه القيمة كبيرة فى التنقيب الجيوفيزيائى ولذلك فإن وحدات عجلة الجاذبية المستخدمة فى التنقيب الجيوفيزيائى هى وحدة من الألف من الجال (ميلي جال) أو وحدة من المليون من الجال (ميكروجال).

5.2.3 الجهد Potential:

يعرف الجهد عند أى نقطة فى المجال الجاذبي بالطاقة المطلوبة لتحريك وحدات الكتلة من نقطة مرجعية اختيارية (عادة فى البعد اللانهائى) إلى النقطة المطلوبة. وإذا كانت وحدات الكتلة محصورة من البعد اللانهائى فمن الممكن ملاحظة أن الطاقة المطلوبة لتحريكها إلى المكان المطلوب عند مسافة r من المصدر الجاذبي للكتلة m_1 $\gamma \frac{m_1}{r} = m_1$ ويكون هذا هو الجهد المصاحب للكتلة والمسافة.

3.3 العوامل المؤثرة فى تغير الجاذبية Factors Causing Variation in Gravity:

تعتمد قيمة الجاذبية عند أى نقطة على سطح الأرض على:

- (أ) خطوط العرض
- (ب) شكل الأرض
- (ج) تأثير المد والجزر
- (د) الظواهر الطبوغرافية (التضاريس حول نقطة القياس)
- (هـ) توزيع الكثافات تحت سطح الأرض
- (و) الارتفاع عن مستوى سطح البحر

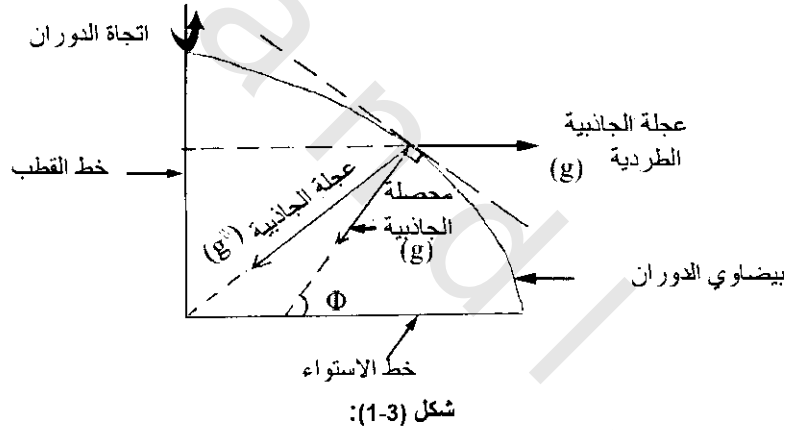
من هذا يتضح أن قيمة الجاذبية والتى مقدارها 980 جال غير ثابتة بل تختلف اعتباريا لكل من الإتجاه والقيمة من مكان لآخر على طول سطح الأرض وذلك لأن الأرض غير ثابتة وغير كروية وغير متجانسة.

1.3.3 التغير مع خطوط العرض* Variation of Gravity with Figure of the Earth

حيث أن الأرض تدور حول محورها الرأسى فإن تأثير قوى الجاذبية عند أى مكان سوف يكون نتيجة تأثير جاذبية كتلة الأرض ناقص تأثير قوة الطرد المركزية للدوران والمؤثرة فى الإتجاه العكسى لقوة جذب الأرض لذلك فإن مركبة قوة الطرد سوف تؤثر على قوة الجذب المتغيرة مع خط العرض ما بين صفر عند الأقطاب وتقل بمقدار 3 جال عند خط الإستواء عنها عند الأقطاب والتي تبلغ 980 جال^{***}.

2.3.3 تغير الجاذبية مع شكل الأرض: Variation of Gravity with Figure of the Earth

جاذبية الأرض لأى كتلة عليها تكون مختلفة من مكان لآخر على سطحها لأن هذه الأماكن لا تكون متساوية الأبعاد من مركز الأرض وهذا يدل على إبتعاد شكل الأرض من الكروية التامة والتي تسبب التغير فى الجاذبية بأكبر قيمة مقدارها 2 جال من مكان لآخر. وهذا يعتبر نتيجة مباشرة لدوران الأرض حول محورها الرأسى، والتي تؤثر على محصلة مجال الجاذبية F_g (الناتجة من قوة جذب الأرض F_a والمتجه إلى مركز الأرض ناقص قوة الطرد المركزية E_c والمتجه للخارج) تجريبيا، بواسطة جسم عند نقطة على سطح الأرض، وجد أن محصلة جاذبيته تختلف فى القيمة والإتجاه عن وضعه فى نقطة أخرى شكل (1-3). ومجموع الخطوط المماسية العمودية لمحصلة الجاذبية تثبت ببيضاوية الشكل.

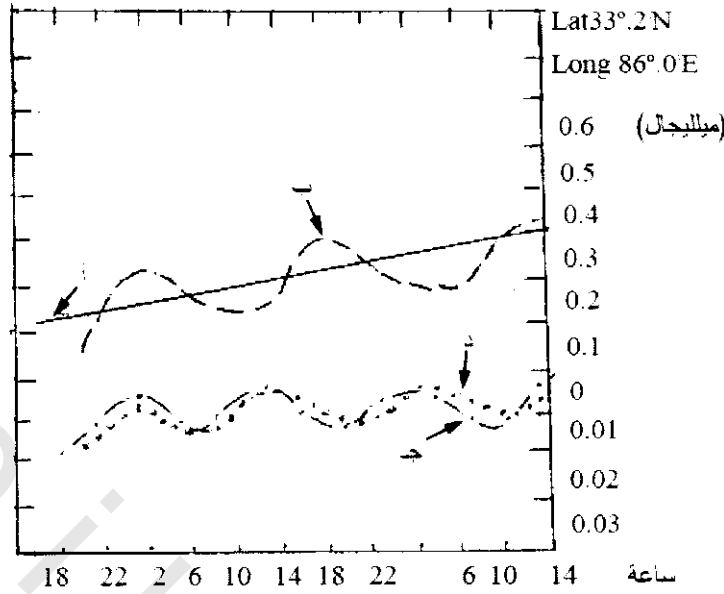


3.3.3 تغير الجاذبية مع تأثير المد Variation of Gravity with Tidal Effect

ينتج هذا التغير من تأثير جاذبية الشمس والقمر على الأرض. ومن المعروف أن الأرض ليست صلبة تماما ولذلك فإن سطحها يتشوه بسهولة بواسطة جذب الشمس والقمر وبالتالي بتأثير سطح الماء عليها برغم عدم تساوى الإمتداد. ولذلك فإن الإرتفاع والإنخفاض لنقطة على سطح الأرض أصغر بكثير من التذبذب فى مستوى الماء والذي يبلغ فقط قليل من البوصات. هذه الحركة والمعروفة بالمد برغم أنها صغيرة ولكن تغير فى قياس الجاذبية وذلك لتغير المسافة بين هذه النقطة ومركز الأرض. وقيمة هذا التغير يتغير مع خطوط العرض ودورة الزمن ويكون ما بين 0.2 إلى 0.3 مللجال شكل (2-3).

* المسافة بين خطى عرض وكذلك خطى طول حوالى 110 كم.

^{***} بتطبيق قانون نيوتن حيث تكون الكتلة ثابتة والمتغير أطوال خط الأقطاب وخط الإستواء، وبما أن طول خط الأقطاب 6357 كم أى طول خط الأقطاب يقل بمقدار 21 كم عن طول خط الإستواء لذلك فقد وجد أن القيمة المطلقة للجاذبية عند الأقطاب 980 جال وعند خط الإستواء 977 جال أى أن القيمة المطلقة للجاذبية عند الأقطاب أكبر منها بمقدار 3 جال عن قيمتها عند خط الإستواء.



شكل (2-3): مقارنة بين المنحنى النظري والملاحظ لتغير الجاذبية مع المد: (أ) قراءة جهاز قياس الجاذبية، (ب) منحنى الانحراف، (ج) الجاذبية الملاحظة من منحنى الانحراف (فرق أ & ب)، (د) تغير الجاذبية المحسوب*

4.3.3 تغير الجاذبية مع الظواهر الطبوغرافية

Variation of Gravity with Topographical Features:

بالرجوع إلى قانون نيوتن $F = \gamma \frac{m_1 m_2}{r^2}$ يرى أن التغير بالنسبة للارتفاع أو الانخفاض (تضاريس) عن مستوى سطح البحر ينتج تغير في قوة الجذب. وأيضاً من السهولة ملاحظة أن التلال المرتفعة فوق نقطة الرصد وكذلك الوديان المنخفضة تحت نقطة الرصد تشارك في التغير في المركب العادية بقيمة الجاذبية. وهذا المتغير في الحقيقة بسبب جذب مثل هذه الظواهر الطبوغرافية والتي تحيط بنقطة الرصد.

5.3.3 تغير الجاذبية مع توزيع الكثافات

Variation of Gravity with Density Distribution:

الاختلاف في كثافة مواد الأرض تساهم كثيراً في تغير الجاذبية حيث أن أى كتلة عامة لها مجال جاذبي تتناسب شدته مع كثافتها. هذه الظاهرة والتي توصف بتغير الجاذبية بسبب توزيع الكثافة، فإنها حقيقة تقدم الأساس الفيزيائي لطرق الجاذبية للبحث والتنقيب حيث أن الكثافة خاصية تختلف بواسطة أنواع الخامات الجيولوجية موضحة كل نوع عن الآخر.

* معادلة هايلند Heiland's formula للمركبة الرأسية لقوة المد (g) التسمية بواسطة الشمس والقمر عند أى نقطة للأرض مشوهة تماماً لمسافة (r) عندما يعمل مع جسم سماوي زوايا مقدارها α_m & α_s مع محطة الأرض

$$\Delta g = \frac{3\gamma M_m}{2D_m^3} \left(\cos 2\alpha_m + \frac{1}{3} \right) - \frac{3\gamma M_s}{2D_s^3} \left(\cos 2\alpha_s + \frac{1}{3} \right)$$

= حيث γ = ثابت الجذب العالمي & M_m = كتلة القمر & M_s = كتلة الشمس، D_m = مسافة القمر من الأرض & D_s = مسافة الشمس من الأرض، α_m = زاوية محطة الرصد مع القمر & α_s = زاوية محطة الرصد مع الشمس.

4.3 مشاهدات فى الجاذبية: Observations in Gravity

تشمل هذه المشاهدات خمس نقاط أساسية منها الطرق التى تقاس بها الجاذبية فى الحقل والأخرى لتحويل النتائج لصورة جيولوجية نافعة.

1.4.3 خواص الجاذبية: Properties of Gravity

1.1.4.3 الجاذبية النسبية: Relative Gravity

وهى عبارة عن فرق قيم الجاذبية عند محطة الرصد ومحطة أخرى ثابتة فى منطقة المسح. وعادة ما تقاس مباشرة بواسطة البندول ومقياس الجاذبية.

2.1.4.3 المجال أو معدل التدرج: Gradient

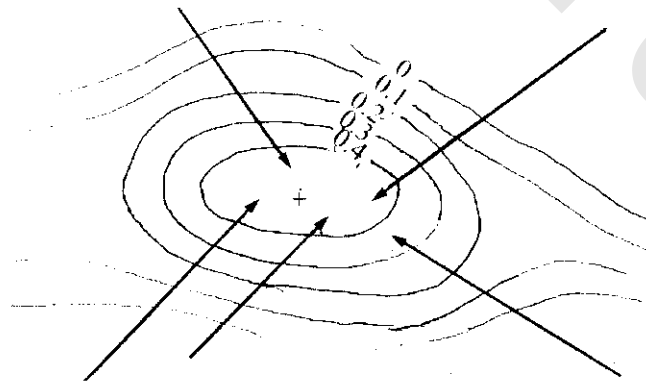
تدرج الجاذبية هو معدل تغيرها مع المسافة الأفقية لمركبة الجاذبية الرأسية. وفى المستوى الرأسى يكون التدرج ببساطة هو ميل بروفييل (قطاع) الجاذبية على طول أثر هذا المستوى على السطح.

ومن الممكن تحديد معدل التدرج على خرائط الجاذبية ثنائية الأبعاد من خطوط كنتور* الجاذبية بنفس الطريقة التى تحدد بها معدل تدرج الخرائط الطبوغرافية. وعادة ما يشار إلى معدل التدرج على الخرائط بواسطة أسهم تكون فى إتجاه أسرع تغير للجاذبية الرأسية شكل (3-3). ومعدل الإتجاه له الخواص الآتية:

$$(أ) \text{ قيمة} = \frac{\text{فرق قيم كنتورين متتالين}}{\text{المسافة} \times \text{مقياس الرسم}}$$

(ب) إتجاه = بالنسبة للاتجاهات الأصلية (شمالى - جنوب - شرق - غرب)

(ج) إشارة = إذا كان فى إتجاه تزايد القيمة تكون الإشارة موجبة وإذا كان فى إتجاه تناقص القيمة تكون الإشارة سالبة.



شكل (3-3): تشير الأسهم لإتجاه معدل التدرج (المسافة الكنتورية 0.1 ميللجال)

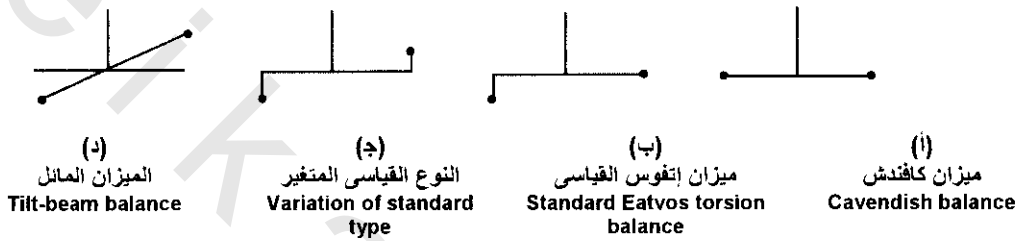
* خطوط تسامقية أو خطوط مقلدة ذات قيمة متساوية.

2.4.3 أجهزة قياس الجاذبية على الأرض Instruments for Measuring Gravity on land:

في التنقيب الجاذبي (الثقالي)، تستخدم ثلاثة أنواع من الأجهزة هي:

1.2.4.3 ميزان اللي Torsion Balance:

يتكون من وزنين متساويين متصلين بقضيب صلب ويعلق هذا النظام بواسطة سلك لي وبهذه الطريقة يكون النظام حر للدوران في المستوى الأفقي حول السلك. ولإستخدام هذا النظام لقياس الجاذبية يجب أن يكون سلك اللي في حالة إتزان لكي تكون حركة الكتل رأسية. ويوضح شكل (3-4) أنواع موازين اللي إستخدام ميزان كافندش Cavendish أساسا لتعيين قيم الجاذبية الثابتة (المطلقة)، ولأن ميزان لي إتفوس Eatvos به وزن رأسى لذلك يمكنه قياس معدل التدرج.



شكل (3-4): أنواع ميزان اللي

2.2.4.3 بندول الجاذبية The Gravity Pendulum:

يوجد عدة أنواع من هذا البندول لقياس كلا من قيم الجاذبية المطلقة والنسبية.

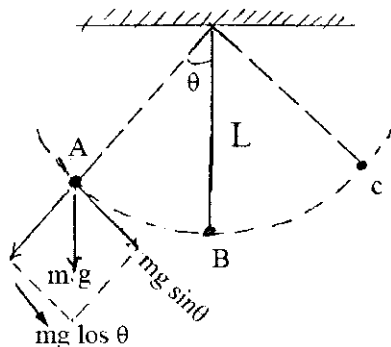
1.2.2.4.3 البندول البسيط Simple Pendulum:

يتكون من كتلة صغيرة ثقيلة معلقة بواسطة خيط مرن تماما، قابل لتغير الطول شكل (3-5)، ويكون زمن الذبذبة الكاملة

$$T = 2\pi \sqrt{\frac{\ell}{g}} \quad (3-3)$$

حيث ℓ = طول الخيط & g = عجلة الجاذبية.

ملحوظة: θ زاوية الحركة يجب أن تكون صغيرة جدا



شكل (3-5): البندول البسيط

2.2.2.4.3 البندول المركب The Compound Pendulum:

عبارة عن جسم صلب (متوازي مستطيلات سمكه صغير) وبه عدة ثقوب ويعلق بواسطة محور أفقى فى أحد ثقوبه ويتحرك من خلال زاوية صغيرة مع إهمال الاحتكاك شكل (6-3)

$$T = 2\pi \sqrt{\frac{I}{mgA}} \quad (3-4)$$

حيث A = كمية عزم القصور الذاتى للبندول حول نقطة التعليق

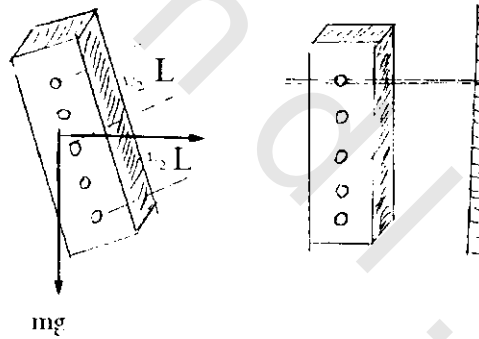
m = الكتلة، l = الطول من نقطة التثبيت لمركز كتلة البندول، g = عجلة الجاذبية

$$\frac{4\pi^2 l}{9AT^2} = g$$

لقياس الفرق (Δg) فى الجاذبية بين محطتين يقاس فرق الزمن (ΔT) بين المحطتين المرصودتين، حيث T_1 الزمن عند المحطة الأولى، T_2 الزمن عند المحطة الثانية.

$$\Delta T = T_2 - T_1 = 2c \sqrt{\frac{\Delta g}{g_1 g_2}} \quad (3-5)$$

$$\frac{2\pi \sqrt{I}}{\sqrt{mA}} = c \quad \text{حيث}$$



شكل (6-3): البندول المركب

3.2.2.4.3 بندول هولويك -ليجوى Holweck-Lejoy Pendulum:

هو بندول معكوس مكون من قضيب رأسى مدعم من أسفل بواسطة زنبرك صلب. فعندما يجذب أعلى القضيب جانباً كما فى شكل (7-3) فإن القوة المردودة للزنبرك تعاكس قوة جاذبية القضيب وتكون الأخيرة فى اتجاه الإزاحة. وكلما زادت الإزاحة زادت مركبة الجاذبية المعاكسة القوة المردودة. وتكون النتيجة زيادة الفترة، ولذلك تعتبر أكبر من إذا استخدم القضيب كبندول فيزيائى. ويمكن ملاحظة أن الفترة الزائدة تصنع حساسية كبيرة لتغير صغير فى الجاذبية من المحصول عليها كبندول فيزيائى. يستعمل فى تحديد جيودسياء الجاذبية وفى التنقيب البترولى.

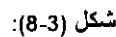
Diagram illustrating a vertical beam with a horizontal force applied at the top, causing it to deflect. The beam is supported by a fixed base. The horizontal force is labeled "قوة أفقية" (Horizontal Force). The deflection is shown by a dashed line, and the reaction force at the base is labeled "رد فعل" (Reaction Force).

3.2.4.3 الجرافيمترات (مقياسات التناقلي) :The Gravimeters

تقيس هذه الأجهزة بدقة حوالى جزء من المليون من قيمة الجاذبية المطلقة ويوجد نوعان من مقاييس التثاقل:

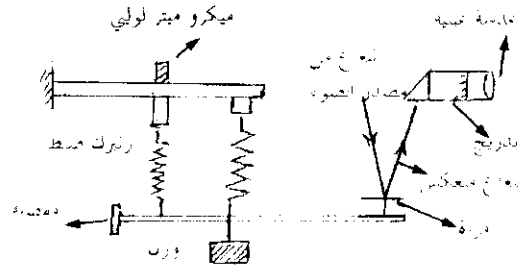
يتكون من كتلة ثقيلة وصلبة (m) متصلة بزنبرك مرن ليتجاوب مع التغير فى الجاذبية والإزاحة من وضع الإتزان، حيث تتناسب مباشرة مع التغير فى الجاذبية كما فى شكل (3-8). والمعادلة المستخدمة للقوة المرودة للوزن من الزنبرك تكون

حيث $(X_2 - X_1)$ = فرق إمتداد الزنبرك & C = ثابت الزنبرك.



وحيث أن الكتلة ثابتة فإن أى تغير فى الجاذبية تتناسب مع التغير فى إستطالة الزنبرك ومن أمثلة هذا النظام:

يوضح شكل (3-9) هذا الجهاز وفيه تكبير الحركة الرأسية للكتلة المعلقة حوالي 50,000 مرة. وعندما يطول أو ينقص طول الزنبرك الأساسي بواسطة تغير الجاذبية الناتجة من تغير حركة الكتلة والتي يمكن رجوها لوضعها الأصلي بواسطة الميكوميتر اللولبي. وتقرأ كمية حركة الميكرومتر اللولبي على التدرج والتي تعطي اختلاف الجاذبية من حركة الوزن هذه القياسات لها دقة في حدود 1 ميليجال.



شكل (9-3): قطاع لمقياس جاذبية هارنلي

3.3.2.4.3 الجرافيمتر المتغير (مقياس التثاقل المتغير) : Unstable Gravimeter

هذه الأنواع من مقاييس التثاقل صممت لتلاشى الزيادة في قوى أخرى ناتجة عن الإزاحة القياسية في مكان الإتزان بسبب التغير في الجاذبية ومن أمثلة هذا النظام:

4.3.2.4.3 مقياس تسين التثاقل : Tyssen Gravimeter

يوضح شكل (10-3) أساس هذا الجهاز حيث أنه بالنسبة لإزاحة قليلة ينتج ثلاث قوى.

1- قوة الجذب والتي تميل الكتلة $A(g-g_1)$.

2- قوة المرونة $\bar{n}BX$ حيث X إزاحة الكتلة في محطة القياس من المحطة الأساسية (الأولية).

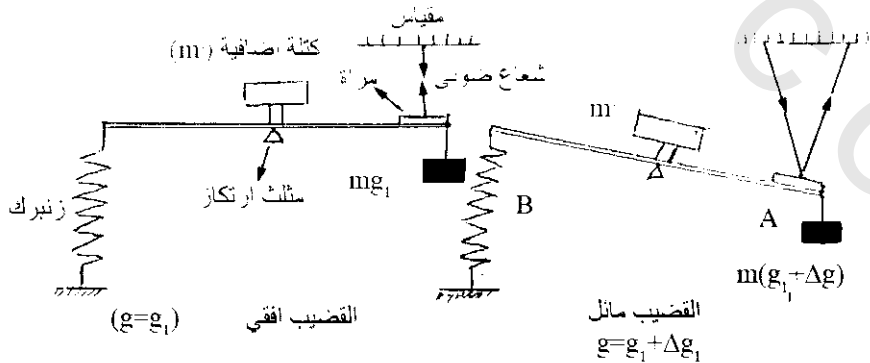
3- القوة الناتجة من الكتلة الإضافية $(m'X)$ عندئذ تكون محصلة هذه القوى على الكتلة في حالة الإتزان.

ومن الواضح أنه إذا كانت $B = m'$ فإن حساسية الجهاز $\frac{A}{(B-m')}$ يمكن زيادتها إلى أى قيمة مرغوب

فيها. ودقة هذا الجهاز في حدود 0.25 ميللجال.

$$A(g-g_1) \bar{n} X(B-m') = \text{zero}$$

$$A(g-g_1) = X(B-m')$$

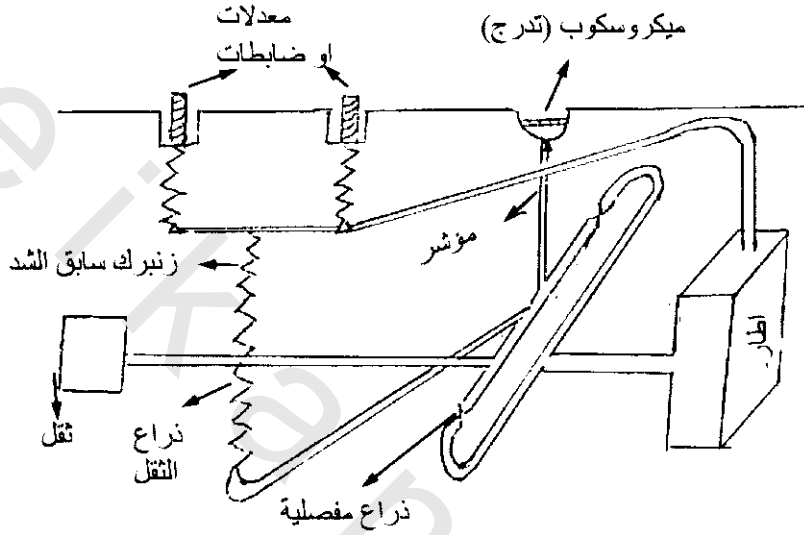


شكل (10-3): مقياس تسين التثاقل

$$\therefore X = \frac{A}{(B-m')} (g-g_1) \quad (3-7)$$

5.3.2.4.3 جرافيمتر ووردن (مقياس ووردن التثاقلي) Worden Gravimeter:

من أهم وأوسع الأجهزة استخداماً، وهو جهاز ملائم، خاصة في أغراض البحث والتنقيب (وزنه حوالى 6.9 كجم ودقته حوالى 0.01 ميلي جرام) ويجب ملاءمته لدرجة الحرارة* وخواص الانحراف. ويوضح شكل (11-3) رسم خطى لقطاع في هذا الجهاز



شكل (11-3): قطاع خطى لجهاز ووردن (قاعدة تشغيل مقياس ووردن للجاذبية)

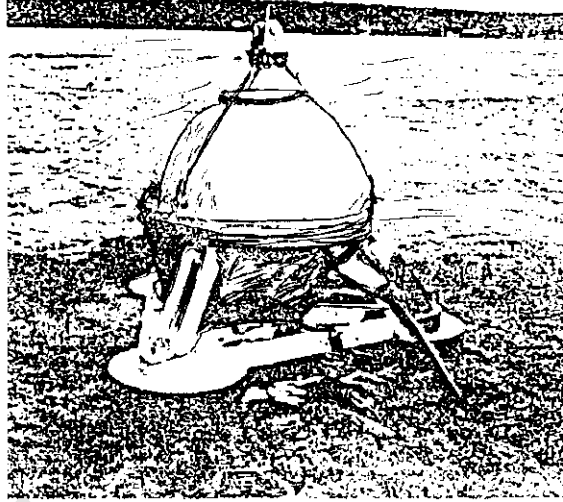
4.2.4.3 أجهزة لقياس الجاذبية في البحر Instruments for Measuring Gravity at Sea:

يوجد نوعان من هذه الأجهزة نوع مغطى بغلاف ضد الماء ويتدلى من المركب إلى قاع الماء وتقرأ القراءة على ظهر المركب. والآخر يقيس الجاذبية على ظهر المركب حيث يركب على قاعدة ثابتة ويضاف له معدات أخرى لتقليل حركة المركب على القيمة المقاسة.

1.4.2.4.3 أجهزة الأعماق Bottom Meters:

استخدمت في الرصد البحري من مدة طويلة من عام 1941 وما تزال تستخدم حيث أن الشاذة المقاسة بها يكون لها إمتداد مساحي صغير (مثل الناتجة من قبة ملحية) وينتج بذلك مساحات لها قراءات بأكبر دقة ممكنة. ويعتبر جهاز لاکوست ورمبرجى Lacoste and Romberg type من أكثر الأجهزة إنتشاراً. ويوضح شكل (12-3) هذا الجهاز أثناء إنزاله في الماء، يضاف له نظام يعادل الحركة الرأسية للقاع ويعطى قراءة الجاذبية أوتوماتيكياً إلى وحدة رقمية على ظهر الباخرة والدقة لهذا النظام في ظروف بحرية جيدة تكون 0.1 ميلي جال.

* اختلاف درجة حرارة مقدارها 0.002 °C تسبب تغير مقدار 0.025 ميللجال.



شكل (12-3) جهاز لاقوست ورمبرج لقاع الماء حين إنزاله في الماء من باخرة Lacoste & Romberg

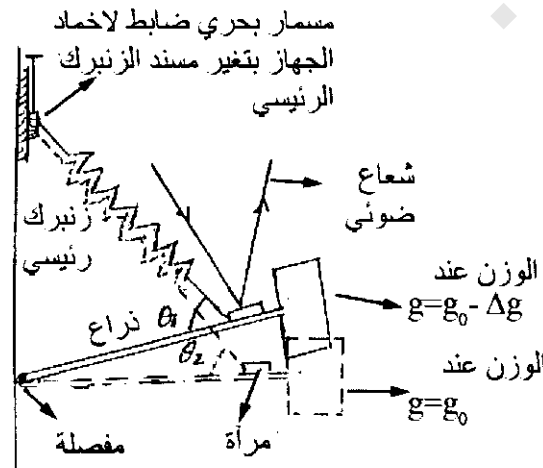
2.4.2.4.3 أجهزة محمولة على الباطرة Shipborne Meters:

المشكلة الرئيسية في هذه الحالة هي حركة الباطرة لذلك فإنه يلزم معادلة العجلات المصاحبة لحركة الباطرة، وهذه تتوقف على نوع الباطرة وحالة البحر حيث يكون هناك مركبتين أفقيتين ومركبة رأسية وتأتي الحركة الأفقية من التموج وتمایل المركب والرأسية تأتي من البحر. وعادة يمكن فصل الحركات الأفقية بواسطة قاعدة ثابتة جيروسكوبية وذلك باستخدام مسرعات تعمل على حفظ القاعدة أفقية لبضع ثوان. والحركة الرأسية يمكن إزالتها بإدخال جهاز تخميد يؤدي إلى ثبات الجهاز لوقت طويل (حوالي خمس دقائق).

3.4.2.4.3 مقياس لاقوست ورمبرج المحمول على الباطرة

LaCost, Romberg Shepborne Gravimeter:

له نفس التركيب الأساسي لجهاز القياس على اليابسة شكل (13-3) بالإضافة لتزويده بجهاز معوق لحركة الزنبرك (damping device) وهو بذلك يقيس عجلة الجاذبية بالإضافة لعجلة الحركة الرأسية الناتجة من التموج ثم يفصل عجلة التموج من العجلة الكلية المقاسة وبذلك يمكن الحصول على العجلة التفاضلية الأرضية.



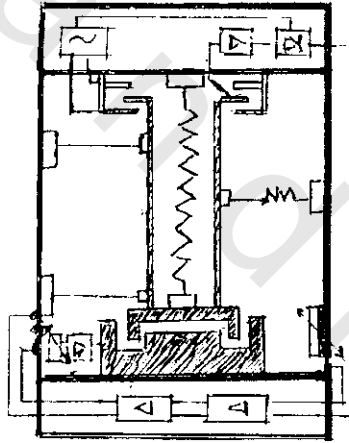
شكل (13-3): تشغيل مقياس لاقوست ورمبرج الأرضي (تخطيطي)

4.4.2.4.3 جرافيمتر أسكانيا البحرى Asknia Sea Gravimeter:

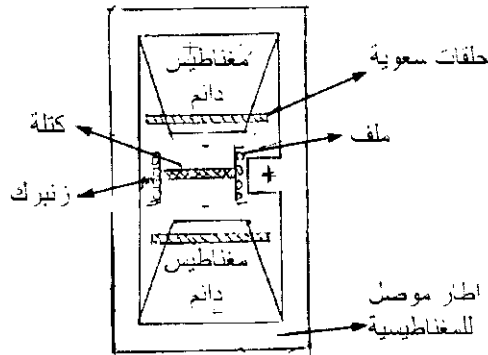
يوضح شكل (14-3) قطاع فى هذا الجهاز حيث يتكون من عمود أفقى متحرك ومزود بمغناطيس قوى لإعاقة الحركة الناتجة عن تموج البحر. الجهاز مزود بمكثفات كهربية لالتقاط حركة الزنبرك وتكبيرها مع عدد من مقومات التيار بالإضافة الى بعض الدوائر الكهربية التى تغذى الجهاز بقصد حذف تأثير حركة الأمواج الرأسية، أخيرا تم تطويره بحيث يسمح فقط بالحركة الرأسية للزنبرك.

5.4.2.4.3 جرافيمتر بل البحرى Bill Shipborne Gravimeter:

شكل (15-3) يوضح أساسيات هذا الجهاز حيث يتكون من كتلة محاطة بملف ومعلقة بثلاثة زنبركات وتقع هذه الكتلة بين لوحى مكثف على حلقتي ومحاط بمغناطيسين مخروطى الشكل قويين جدا ومتعاكسى الاتجاه والمجموعة كلها موضوعة فى إسطوانة معدنية تسلك سلوك ملف ينتج عنه مجال مغناطيسى وبمرور تيار كهربي متردد فى الملف المحيط بالكتلة ينتج عنه مجال مغناطيسى متردد. ويضبط هذا المجال بحيث يكون له سعة وتردد تساوى سعة وتردد الحركة فى الزنبرك ويعاكسها فى الاتجاه أى بفرق طول نصف دورة أى يصبح هناك نوع من التوازن الغير مستقر للزنبرك فإذا تغيرت عجلة التثاقلية الأرضية من نقطة قياس لأخرى كبرت حركة الكتلة والزنبرك الحامل لها. هذه الحركة تسجل وتقاس بالتغير فى سعة المكثفين الحلقين الموجودة بينهما الكتلة. يؤخذ التغير فى السعة ويترجم رقميا إلى تغير فى عجلة الجاذبية.



شكل (14-3): أساس تشغيل مقياس الجاذبية البحرى لاسكانيا



شكل (15-3): أساس تشغيل مقياس الجاذبية بل المحمول بالباخرة

5.2.4.3 قياس الجاذبية في الآبار Gravity Measurements in Wells:

يتم هذا القياس بنوعين من الأجهزة.

1.5.2.4.3 مقياس جاذبية اسو للآبار Esso Borehole Gravimeter:

يتكون هذا الجهاز من كتلة بلاتينية تعلق في خيط من التنجستن (بندول) في فراغ. ويركب في علبة إسطوانية ذات أبعاد تسمح لها لتبقى رأسية في الآبار التي تنحرف عن الرأس حتى 4° والقطر الخارجي للجهاز 10.2 سم، وتحفظ ترموستات درجة الحرارة عند 125° درجة مئوية وهي درجة أعلى من درجة الحرارة المحيطة والمتوقعة عند أى عمق في البئر وتقاس اختلاف الجاذبية بتحديد الزمن الدقيق المطلوب لعدد محدد من الذبذبات 10⁵، 10²×5، 10³×5... إلخ وكلما زادت فترة القياس زادت الدقة في قيمة الجاذبية ويلزم 20 دقيقة لأخذ قراءة جاذبية جيدة إلى 0.01 ميللجال.

2.5.2.4.3 جرافيمتر USGS:

أنتجته شركة لوكستروم وبرج بالتعاون مع المساحة الجيولوجية الأمريكية U.S. Geological Survey ومصمم بنفس أسلوب الأجهزة الأرضية والمحمولة بالباخرة ويركب على ذات المحورين المركب عليهم الجزء الحساس زنبرك صغير أطول من الجزء الحساس ومسمار محوري للضبط الخاص ليعطى مدى واسع للقراءات، ويمكن تسويته لانحراف البئر حتى 6.5° مع الرأسى. وتحفظ درجة الحرارة بواسطة ترموستات عند درجة 101°م. وتقاس الجاذبية بتصغير الجهاز ويلزم 5 دقائق للحصول على القراءة بدقة 0.01 ميللجال. وحيث أن زيادة درجة الحرارة تكون عادة منتظمة مع عمق الجهاز فإن هذا التأثير يمكن أن يدخل في الأطراف ويمكن فصله بنفس الطريقة مثل باقى تأثيرات الانحراف.

6.2.4.3 المسح الثقالى (الجاذبى) الجوى Airborne Gravity Surveying:

هناك بعض الصعوبات لتصميم وعمليات المسح الجوى يجب أن تحل لجعله ممكناً. وهذه الصعوبات تشبه المواجهة في عمليات المسح البحرى، ولكن أكثر مبالغة للسرعة الكبيرة للطيران. مثل ذلك، تصحيح إتفوس Eotvos يكون أكثر من 1000 ميللجال عندما تكون سرعة الطيران حوالى 400 كم/ساعة.

تم عمل أول جهاز (جرافيمتر طيرانى) لقياس الجاذبية الجوية عام 1958. وقد تم أول اختبار للمسح الجوى فى كاليفورنيا حيث كانت القياسات تتم بواسطة محطة رصد أرضية. ولضبط قياسات الجاذبية بعناية يجب التحكم فى الطيران خلال 10 ميللجال. فى الإختبارات المتتالية تحسنت أجهزة الطيران بواسطة جرافيمتر وجرو المتزن، بحيث يكون ضبط الدقة لمدى قليل من الميللجالات والتي يحصل عليها خلال طقس هادئ على طول طرق جيدة للعلامات.

فى عام 1971 بدأت عملية الحركة بطائرة هليكوبتر حيث يكون الطيران بسرعة بطيئة وذلك لإقلال تصحيح أتفوس وأخطاء الطيران. وقد وجد أنه مازال، عند سرعة 100 كم/ساعة يكون تصحيح اتفوس أكثر من 375 ميللجال، معتمدا على خطوط العرض واتجاه الطيران تبعا للمعادلة

$$E = 7.508 V \cos \phi \sin \beta + 0.00405 V^2 \quad (3-8)$$

حيث $E = \text{تصحيح افوس}$ & $V = \text{السرعة}$ & $\beta = \text{زاوية الطيران بالنسبة للشرق والغرب}$ ، E تكون موجبه لإتجاه الشرق ($0 < \beta < 180$) وتكون سالبة لاتجاه الغرب ($180 < \beta < 0$).

عند أخذ قياسات الجاذبية أثناء عبور منطقة قريبة من خط الإستواء عند إتجاه السرعة شرقا وغربا فإنها تختلف بمقدار 750 ميللجال بدون تصحيح افوس المناسب.

وبسبب الصعوبات فى حسابات التغير من دقيقة لدقيقة فى الإتجاه والسرعة يكون هناك أخطاء لعدة ميللجالات فى تصحيح افوس ويكون هذا الخطأ محتمل إلا فى حالات مسح نموذجي.

هناك تأثيرين لاشتراط حدين آخرين على المسح الجاذبى الجوى.

الأول: تأثير تحرك الجرافيمتر أبعد من مصادر لتغير شذوذ الجاذبية على سطح الأرض وهذه تؤدى لتقليل عشرات الميللجال عند مستوى مسح جوى ربما عند إرتفاع قدره 1000 متر.

الثانى: يكون تأثير التضاريس، حيث يكون للظواهر الطبوغرافية والقريبة لها على سطح الأرض جذب قوى أكثر من نفس الظواهر الأبعد، ويتلاشى الاختلاف عند إرتفاع مستوى الطيران، لذلك لابد من عمل مجهود كبير للحساب المناسب لأكثر بعدا عن التضاريس.

بالرغم من هذه الصعوبات فإن المسح الجاذبى الجوى بطائرات هليكوبتر أحدث مسح اكتشافي جاذبى نافع عندما تكون الدقة خلال عدة ميللجال قليلة مطلوبة. للعمليات الحديثة، يثبت جرافيمتر خامد كبير على اطار جيرو ثابت ويحمل بواسطة طائرة هليكوبتر كبيرة. وتقوم أجهزة الملاحة الجوية الإلكترونية بإعطاء تسجيلات مستمرة لتغيرات المكان، والمقياس الرادارى يقيس باستمرار الإرتفاع من على سطح الأرض.

3.4.3 قياس المجال الثقالي وتحويل (تصحيح) قراءات الجاذبية لمستوى سطح البحر

Gravity Field Measurements and Reductions (Corrections) of Gravity Readings to Sea Level:

حيث أن قياس الثقالية تتم عند نقطة مختلفة بعض منها فى أراضي منخفضة عن سطح البحر والأخرى على الجبال وبعضها فى البحار والمحيطات فهى بذلك تكون غير مقارنة لذلك فمن الضروري قبل إستخدام مثل هذه القياسات الثقالية للأغراض العملية يجب تحويلها (تصحيحها) إلى موافقة لمستوى إسناد واحد، عادة ما يكون سطح البحر.

1.3.4.3 قياس الثقالية على الأرض Measurement of Gravity on Land:

1.1.3.4.3 تحديد أماكن المحطات Determining Station Locations:

يعتمد تحديد أماكن المحطات والمسافة بينهما على الآتى:

(1) سهولة الانتقال لأماكن المحطات ويعتمد هذا العامل على طبيعة الأرض وتوزيع الطرق والعوائق الطبيعية (مثل الأنهار والمستنقعات والأماكن الوعرة). لذلك فإنه تجرى عمليات المسح بحيث يمكن الوصول للأهداف على الطرق السهلة لكى تكون عملية المسح أكثر اقتصادا.

2) النظام النسقى للمحطات: يصمم بحيث يكون المسح أقرب لتكوين شبكة مربعات كلما أتاحت الظروف ذلك. وتخضع هذه الشبكة للعمق والامتداد الجانبى للظواهر الجيولوجية المطلوب البحث عنها. فمثلا فى حالة البحث عن التركيبات البترولية (طيه محدبة) قبة ملحية، فالق) والموجودة على أعماق تتراوح لأكثر من ميل فإن المسافة بين المحطات المكونة لشبكة العمل تكون من ميل إلى نصف ميل أو من كيلومتر إلى نصف كيلومتر. أما إذا كان البحث يختص بخامات معدنية مثل كتل الكروميت فإن المسافة بين محطات الشبكة يكون من 10 م إلى 100 م. وإذا كان البحث خاص بالأعمال الهندسية مثل بناء السدود والكبارى والطرق والأبنية الضخمة والمصانع والمحطات النووية والبحث والتنقيب عن المياه الجوفية فإن المسافة بين المحطات تكون من 5 م إلى 20 م. فى حالة البحث والتنقيب عن الآثار فإن المسافة بين محطات الشبكة تتراوح من 1 م إلى 10 م.

2.1.3.4.3 المسح الأرضى Ground Survey:

عند إجراء عملية المسح يجب معرفة مكان المحطة وارتفاعها بدقة. وتعتمد طرق المسح على مقياس الرسم لكل من الخرائط الجيولوجية والطوبغرافية وشبكة الإرتفاعات. وتعتمد درجة الدقة المطلوبة لحساسية قراءة الجاذبية إلى الإرتفاع وخط العرض، ويمكن أن تتم الدقة المطلوبة لإرتفاع 0.1 قدم لإرتفاع المحطة النهائية (للقياس) بواسطة تقريب المسافات لأماكن القياس وتقصير الأطوال على الميول. وعادة ما يكون فى أى دولة نقطة قياس دولية غالبا ما تكون فى أرض أحد المطارات أو فى المرصد الجيوفيزيقي، أو يكون هناك عدة نقط مقاسة أوعدها المشتغلون بالقياسات الثقالية. وعند بدء المسح تؤخذ محطة أولية عند أقرب نقطة أساس دولية أو محلية وتسمى محطة الأساس (Base station) ثم بعد ذلك تؤخذ نقطة أصل (Base point) مختارة فى الموقع المراد إجراء المساحة الثقالية له. عند هذه النقطة تؤخذ القراءة أكثر من مرة فى أوقات مختلفة من النهار أثناء إجراء القياسات فى محطات أخرى لمعرفة إنحراف الجهاز Instrumental drift، أما فى مشاريع القياس الجاذبى على الشواطئ فإنه يتطلب نظام راديو أو رادارى متقن لتحديد أماكن المحطات.

3.1.3.4.3 ضبط الإنحراف Adjustment for Drift:

- قراءة الجهاز للقيمة الثقالية فى الحقل يتطلب تصحيح الإنحراف له وذلك لاختلاف القراءة لنفس المحطة على طول يوم المسح بتغير الزمن ودرجة الحرارة، ويتم هذا التصحيح كالاتى:
- 1- تؤخذ قراءة أو محطة وتعتبر هذه المحطة محطة الأساس.
 - 2- تؤخذ قراءة المحطات التالية بمسافات حسب طريقة البحث والمادة الخام المراد البحث عنها.
 - 3- بعد أخذ قراءة عدة محطات (ولتكن 5 محطات) يعاد مرة ثانية إلى أخذ قراءة أول محطة.
 - 4- ثم بعد أخذ عدة قراءات لمحطات أخرى (حوالى 5 محطات أخرى) يعاد مرة ثانية لأخذ قراءة أول محطة (محطة الأساس).
 - 5- تكرر هذه العملية عدة مرات إلى أن ينتهى خط المسح أو ينتهى يوم المسح.
 - 6- تسجل هذه القراءات فى علاقة بيانية، المحور الأفقى فيها يمثل الزمن (التغير اليومي) والمحور الرأسى يمثل قراءة الجهاز (شكل 3-16).

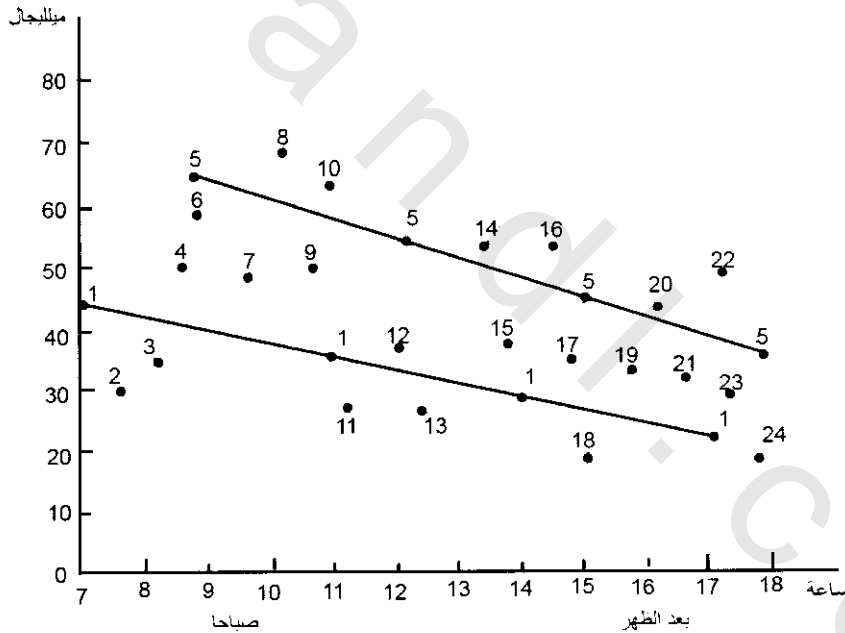
7- لزيادة التأكد من ضبط الإنحراف تؤخذ محطة أخرى كأساس آخر ولتكن المحطة رقم 5 ويعاد إليها القراءات أيضا وتسجل هذه القراءات في علاقة بيانية كما شكل (3-16) ثم توصل هذه القراءات ويمثل الخط الناتج من التوصيل إنحراف أيضا للجهاز. إذا كان هذا الخط الناتج (للمحطة رقم 5) يوازي أو تقريبا يوازي محطات الخط رقم (1) فهذا يدل على أن إنحراف الخط رقم (1) مضبوط تقريبا.

8- لضبط الإنحراف من الشكل (3-16) تعاد جميع القراءات المأخوذة طول اليوم إلى خط الإنحراف للمحطة رقم (1).

2.3.4.3 قياس الجاذبية في المساحات المغطاة بالمياه

Measurement of Gravity in Water-Covered Areas:

قياس الجاذبية في المساحات المغطاة بالمياه يكون صعبا نوعا ما حيث أن الجهاز الموضوع على سطح المركب يتأثر بعجلة حركة المركب المتوثرة بحركة المياه والتي لايمكن فصلها عن عجلة الجاذبية. أما الأجهزة التي تقيس في قاع المياه فإذا كانت المياه ضحلة فإنها تتأثر بحركة الأمواج أما إذا كانت المياه عميقة فإن ضغط الموجه وتأثيرها ينقص بزيادة العمق ونقصان زمن الموجه، وللتغلب على هذه الصعوبات فالأجهزة السابق عرضها صممت بحيث تتلاقى بقدر الإمكان هذه الصعوبات. هناك طريقتين لقياس الجاذبية في المساحات المغطاة بالمياه:



شكل (3-16): العلاقة بين تغير الزمن اليومي والتغير في قراءة الجهاز

1.2.3.4.3 قياسات بمقاييس محمولة على الباخرة:

تؤخذ قراءات الجاذبية في هذه الحالة باستمرار أثناء سير الباخرة وتعتمد دقة هذه القراءات على الآتي:

- 1- ثبات سرعة الباخرة.
- 2- مسارها في طريق مستقيم كلما أمكن ذلك ، بعيدة عن الاتجاه شرق-غرب حيث أن هذا الاتجاه يحدث زيادة أو نقصان في العجلة المركزية للأرض تبعا ما إذا كانت حركة السفينة في اتجاه أو ضد دوران الأرض.

3- إستخدام معادلة اتفوس Eotvos لتصحيح قراءة الجاذبية والتي تعتمد على سرعة الباخرة وخط عرضها ϕ وإتجاه مسارها α بالنسبة لإتجاه شمال-جنوب حيث

$$\Delta g_z = 7.487 V \cos \phi \sin \alpha \quad (3-9)$$

حيث V السرعة بالعقدة، Δg_z بالمليجال. هذا التصحيح موجب عند مسار السفينة فى إتجاه الشرق وسالب عند مسارها غربا. كذلك خطأ واحد عقدة فى سرعة تحرك السفينة شرق-غرب على خط الإستواء ينتج خطأ مقداره 7.5 ميليجال، وهذا كبير فى الأغراض الإستكشافية.

4- حالة البحر:

- أ) هادئ جدا: يجب عدم زيادة الخطأ عن 0.5 ميليجال عند نقط تقاطع القياس لشبكة المسح.
- ب) بحار عنيفة الحركة: يجب عدم زيادة الخطأ عن 1-0.7 ميليجال عند نقط تقاطع القياس لشبكة المسح.
- ج) بحار عنيفة جدا: يجب وقف عملية المسح.

2.2.3.4.3 قياس بمقاييس القاع:

عندما يصل مقياس القاع (جهاز لأكوست) للقاع تتم تسويته بنظام موازر داخلى وتؤخذ القراءة من لوحة متصلة بالجهاز وموضوعة فى حجرة دفة المركب. وتعتمد دقة القراءة على حركة قاع البحر الذى يتأثر بحركة الأمواج المائية وضغط الماء عليه وهذا التأثير يقترب لفترات طويلة (مثل فترات المد والجزر). خلال المدى المعتاد فإن ضغط الموجه وتأثيرها ينقص بزيادة العمق ونقصان زمن الموجه. لذا فتأثير الموجه لا يؤخذ فى الاعتبار إلا فى المياه الضحلة، والقاع الرخو سوف ينقل حركة الموجه إلى المقياس أكثر من القاع الصلب.

4.4.3 تحويل أو تخفيض (تصحيح) قراءات الجاذبية لمستوى سطح البحر:

Transformation of Reduction (Correction) of Gravity Reading to the Sea Level:

قبل إستخدام قياسات الجاذبية المنظورة (الملاحظة) للأغراض التطبيقية يجب تحويلها أو تخفيضها (تصحيح) بطريقة ملائمة لمستوى الإسناد (سطح البحر) والتصحيحات هي:

1.4.4.3 تصحيح خط العرض Latitude Correction:

حيث أن الأرض بيضاوية الشكل لذلك يلاحظ أن الجاذبية تزيد فى إتجاه الأقطاب*، ويلاحظ وجود اختلاف فى الجاذبية بين محطة القياس ومحطة الأساس بسبب اختلاف خطوط العرض بينهم ويكون التصحيح.

$$\Delta g_\phi = 0.81 \sin 2 \phi \quad \text{ميليال/10 م (فى إتجاه شمال-جنوب)}$$

$$= 0.024 \sin 2 \phi \quad \text{ميليال/10 قدم (فى إتجاه شمال-جنوب)}$$

حيث ϕ مرجع مستوى خط العرض (الأساسى)*. إذا كانت المحطة على خط عرض عالى** (تكون شمال محطة القاعدة وكلاهما فى نصف الكرة الشمالى فإن هذا التصحيح يكون سالب. أما إذا كانت المحطة فى إتجاه

* بما أن الأرض بيضاوية الشكل فإن أطوال الأقطاب تكون أقصر من خط الإستواء وتطبق قانون نيوتن تكون الجاذبية أكبر عند الأقطاب من خط الإستواء.

** يمكن أن تشتق هذه من المعادلة العامة $(\phi - 0.000059 \sin^2 \phi - 0.0052884 \sin^2 \phi) g = 978.079$ جال

عمليا يختار خط العرض المرجعى بحيث تصحح جميع القراءات إليه.

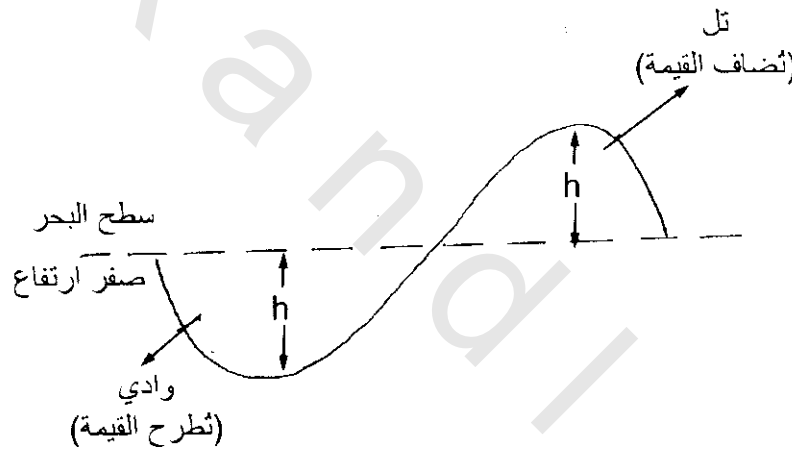
جنوب محطة القاعدة وكلاهما في نصف الكرة الجنوبي فإن هذا التصحيح يكون أيضا سالب)، وإذا كانت الحالة كما سبق يجب إضافة التصحيح. المعادلة السابقة لا تستخدم لحساب تصحيح خط العرض وراء المسافة شمال-جنوب قرب ٢ ك على جانبي محطة الأساس لأن فرق الجاذبية عندئذ يكون غير متناسب بدقة مع المسافة للوصول للدقة المطلوبة. والتصحيح المضبوط في هذه الحالة يعطى بواسطة $\Delta g\varphi = 51723(\sin^2 \varphi_1 - \sin^2 \varphi_0)$ ميللجال، حيث φ_0, φ_1 خطوط العرض للمحطة المقاسة والمحطة الأساسية بالتتابع.

2.4.4.3 تصحيح الإرتفاع Elevation or Free-Air Correction:

يلاحظ أن قوة الجذب الأرضية تقل مع الإرتفاع لذلك فإن أى محطة بارتفاع (h) فوق مستوى الإسناد (سطح البحر = صفر) ستكون لها تأثير جاذبي أقل من الموجودة على مستوى سطح البحر بمقدار يساوى تقريبا h/R حيث R نصف قطر الأرض. ويمكن حساب قيمة معامل هذا التصحيح كالاتى:

0.3086 ميللجال (إرتفاع بالمتر)

0.9406 ميللجال (إرتفاع بالقدم)



شكل (17-3):

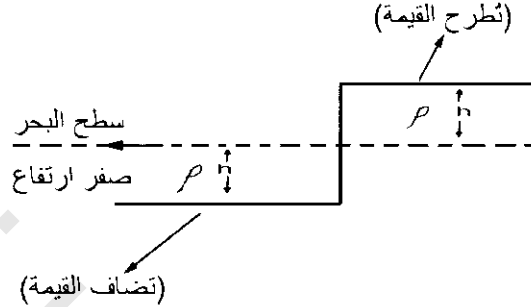
من شكل (17-3) يتضح أن التصحيح يجب إضافته لقياس الجاذبية للمحطة الواقعة فوق مستوى سطح البحر وتطرح من قياس الجاذبية للمحطة الواقعة أسفل مستوى سطح البحر.

3.4.4.3 تصحيح بوجير Bouguer Correction:

بالأخذ في الاعتبار كتل المواد المؤثرة على الجاذبية والموجودة بين مستوى المحطة ومستوى سطح البحر فإنه يلاحظ أن كتل هذه المواد الصخرية تسبب زيادة في الجاذبية عند موقع المحطة الموجودة فوق مستوى البحر ولهذا تشير إلى زيادة فروق الجاذبية بينهم.

*** يمكن إيجاد قيمتها من القانون العام للجاذبية.

أما إذا كانت تحت مستوى سطح البحر فإن هذا يؤدي إلى خفض فروق الجاذبية بسبب نقص كتل المواد الصخرية بينهما وبين مستوى سطح البحر كما فى شكل (3-18). فى هذا الشكل إذا اعتبرت المادة كلوح له امتداد جانبي بسمك h وهذا السمك يساوى فرق الارتفاع فإن تصحيح الجاذبية عند المحطة تعطى كالاتى ميللجال $0.4191h = (h \text{ الارتفاع بالمتر})$ ، ميللجال $0.1277 \rho h$ (الارتفاع بالقدم) حيث أن ρ هى كثافة المادة اللوحية ب كجم/م³ وهذا التصحيح دائما عكس إشارة تصحيح الارتفاع.

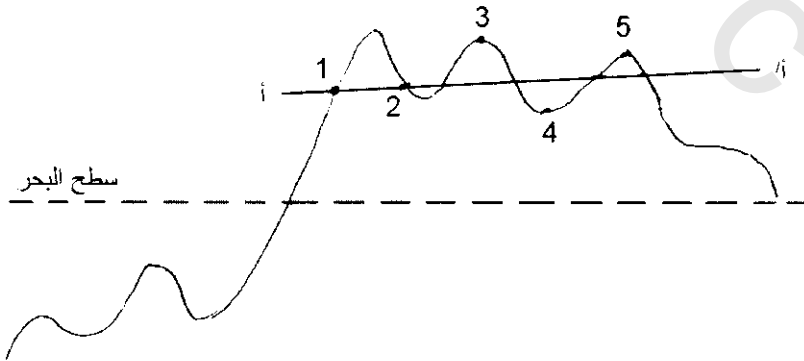


شكل (3-18):

4.4.4.3 تصحيح التضاريس Terrian Correction:

التصحيحين السابقين 2 & 3 متوافقين مع التضاريس المتجاورة للمحطة إذا كانت أفقية. أما إذا وجد اختلاف فى الارتفاعات (التضاريس) خاصة القريبة من المحطة فإن هذا الاختلاف المحلى للتضاريس يكون له تأثير ملاحظ على قيم الجاذبية المقاسة، ويجب أن يؤخذ فى الاعتبار تصحيح هذه القيم عند هذه المحطة.

يوضح شكل (3-19) حالة محطة واقعة فوق مستوى سطح البحر ويتضح عند تطبيق تصحيح بوجير للوح الصخرى ρ - ρ ومستوى سطح البحر فإنه يفترض أن النقط 1، 2، 4، والتي تمثل الإنخفاضات تكون ممتلئة بمواد صخرية. وفى نفس الوقت نفترض أن الارتفاعات مثل 3، 5 لا يكون لها تأثير جاذبى. فإن غرض تصحيح التضاريس يعوض هاتين الفرضيتين. والتصحيح العائد للإنخفاض يضاف إلى قيم الجاذبية المقاسة وأيضا التصحيح العائد للارتفاع يضاف إلى قيم الجاذبية عند المحطة. ولذلك فإن تصحيح التضاريس دائما موجب بصرف النظر سواء وجد إنخفاض بجوار المحطة أو الارتفاع، ولعمل هذا التصحيح يستخدم خريطة شكل (20-3) ومجموعة من الجداول نشرها همر 1939 Hammer* وتطبع هذه الخريطة على لوحة شفافة.

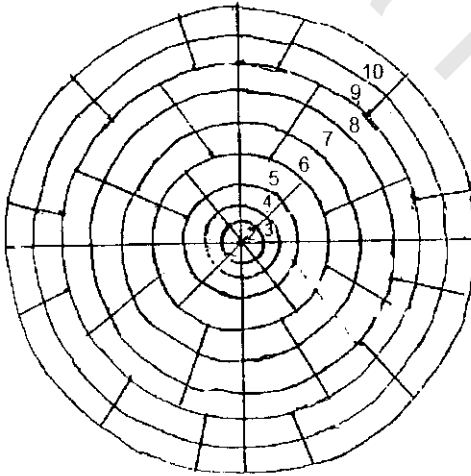


شكل (3-19):

* تمثل هذه الخريطة مجموعة من الدوائر ذات مركز واحد وتمثل هذه الدوائر مناطق حول المركز. وتقسّم هذه الدوائر إلى حجرات.

جدول (1-3) تصحيح الدراسات التضاريس (همر 1939 Hammer)

نطاق 7 12 حجرات 55.8-54.6		نطاق 6 8 حجرات 55.8-54.6		نطاق 5 8 حجرات 55.8-54.6		نطاق 4 6 حجرات 55.8-54.6		نطاق 3 6 حجرات 55.8-54.6		نطاق 2 4 حجرات 65.6-6.56	
تصحيح (3)	ارتفاع ± قدم (2)	تصحيح	ارتفاع ± قدم	تصحيح	ارتفاع ± قدم	تصحيح	ارتفاع ± قدم	تصحيح	ارتفاع ± قدم	تصحيح	ارتفاع ± قدم
0	58-0	0	57-0	0	18-0	0	7.7-0	0	4.3-0	0	1.1-0
0.1	100-58	0.1	96-27	0.1	30-18	0.1	13.4-7.7	0.1	7.5-4.3	0.1	1.9-1.1
0.2	129-100	0.2	60-46	0.2	39-30	0.2	17.3-13.4	0.2	9.9-7.5	0.2	2.5-1.9
-	-	-	-	-	-	-	-	-	-	-	-
-	-	-	-	-	-	-	-	-	-	-	-
-	-	-	-	-	-	-	-	-	-	-	-
-	-	-	-	-	-	-	-	-	-	-	-
15	1046-1009	15	983-466	15	331-318	15	152-146	15	110-104	15	30-27



شكل (20-3): (نقطة المركز هي رقم 1)

- (1) نصف قطر النطاق بالقدم.
- (2) ارتفاع التضاريس بالقدم (بصرف النظر عن الإشارة) ، في كل حجرة المقابلة لمستوى المحطة.
- (3) التصحيح لكل حجر بسبب تراوح تصحيح التضاريس في وحدات تبلغ 1/100 ميللجال لكثافة مقدارها 2.0 جم/سم³. وعندما يطبق هذا التصحيح لقيمة شاذة بوجير والمحسوبة بتصحيح بوجير تكون دائما موجبة.

لإجراء هذا التصحيح يتم الآتي:

- 1- يوضع مركز الخريطة الشفافة (شكل 20-3) على النقطة الممثلة للمحطة على الخريطة الطبوغرافية للمنطقة ويلاحظ أن الخريطة (شكل 20-3) تغطي المناطق المجاورة للمحطة على الخريطة الطبوغرافية.
- 2- باستخدام الحاسب الآلي لتقدير متوسط ارتفاع التضاريس خلال كل حجرة والاختلاف بينه وبين ارتفاع المحطة وتحديد التأثير الجاذبي أيضا من خلال الحجرات من جدول همر 1939 Hammer.

الاستنتاج Conclusion:

من التصحيحات السابقة يتضح أن التصحيح النهائي لتغير الجاذبية لا تعتمد فقط على الانحراف الأفقي من ثبات الكثافات للصخور تحت سطحية أسفل مستوى الإسناد (سطح البحر)، حيث أن عدم التحقق للتصحيحات يرجع عادة لإختبار الكثافة القريبة من السطح لاستخدامها في تصحيحات البوجير والتضاريس، خاصة عندما تكون الخواص للتكوينات القريبة من السطح غير منتظمة. وعادة ما يعرف تصحيحات الارتفاع، البوجير والتضاريس بصافي تصحيح الارتفاعات (Net Elevation Correction) وعادة ما تحدد كالتالي:

$$N.E.C = K h + T = \pm(0.09406 \pm 0.1277 \rho)h + T \quad (3-10)$$

5.4.3 تحويل معلومات الثقالية (المخفضة) أو التصحيحات إلى شواذ ثقالية

Conversion of (Reduced) or Correction Gravity Information Into Gravity Anomalies:

حتى بعد تخفيض أو تصحيح قراءات الجاذبية الملاحظة سابقا عند أى محطة من أجل صافي تصحيح الارتفاعات. فما زال يلاحظ إنحراف خفيف لتصحيح قيمة قراءة الجاذبية النظرية بالنسبة لقيمة الجاذبية الكروية عند خطوط العرض والطول عند المحطة. هذا الانحراف والذي عين سابقا كشذوذ جاذبي والمصاحب واقعا لمكان القياس يرجع إلى حقيقة أن الأرض ليست متجانسة ولكن مختلفة اعتباريا في توزيعها الأفقي لتغير الكثافة رأسيا.

1.5.4.3 شذوذ بوجير Bouguer Anomaly

إذا كانت قراءة جهاز الجرافيمتر عند المحطة S_1 وعند مستوى سطح البحر S_0 فإن الاختلاف الملاحظ هو $K(S_1 - S_0)$ حيث K ثابت معياري للجهاز (وحدات جاذبية لكل قسم من المقياس)، وهذا الفرق الملاحظ هو Δg (القيمة المقاسة). وبفرض أن القراءة قد صححت بالنسبة لانحراف الجهاز كما تم سابقا فبتطبيق التصحيحات السابقة (تصحيح خط العرض، الارتفاع، البوجير، التضاريس) فإن اختلاف الجاذبية السابق يصبح

$$\Delta g = \Delta g_{obs.} \pm \Delta g_p \pm (0.9406 \pm 0.1277 \rho)h + T_p \quad (3-11)$$

إشارة الموجب أو السالب لتصحيح خط العرض Δg_p تؤخذ كما فسرت سابقا. ويطلق على اختلاف التصحيح الكلي و Δg شذوذ بوجير النسبي عند المحطة المقاسة.

6.4.3 تحديد الكثافة Density Determination

يعتمد شذوذ بوجير في تطبيقه كثيرا على فروض كثافات الصخور أو بالأحرى على فروق الكثافات بين الصخور. عامة، وبرغم صغر هذه الفروق فمن المهم تحديد الكثافات خلال مسح المنطقة بدقة كلما أمكن ذلك، حيث يتضح من المعادلة (3-11) أن كل معلومات الارتفاعات وخطوط العرض تكون متاحة ببساطة ماعدا الكثافة. وتوجد عدة طرق لتحديد الكثافات.

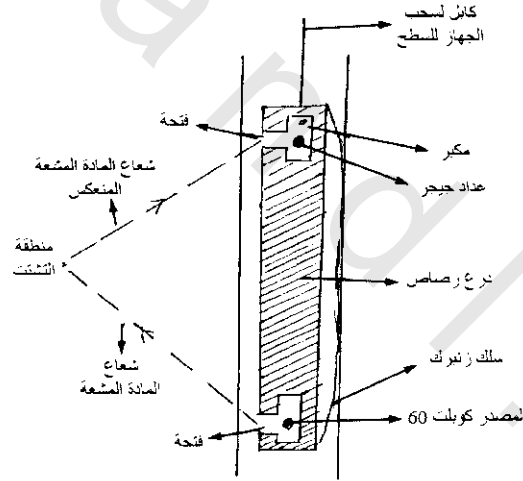
1.6.4.3 طرق مباشرة Direct Methods:

1.1.6.4.3 عينات صخرية:

فى بعض المسوح يكون من الضرورى قياس الكثافة مباشرة وذلك إما بعينات صخرية من المنكشفات الصخرية، من المناجم، من حفر الآبار، وذلك بواسطة بيكنومتر Bcnometer (مقياس الكثافة) أو ميزان تشوازر أوجالى Schwars or Jally Balance وفيه يتم تحديد الكثافة بواسطة إحلال الماء.

2.1.6.4.3 ثقل الكثافة Density Logger:

هذه الآلة ملائمة لصناعة البترول لقياس كثافة التكوينات فى الآبار. وهى تتكون من مصدر مشع (كوبالت 60) فى أسفل الجهاز وأعلى الجهاز يوضح كاشف (عداد جيجر Geiger Counter) ومكبر والمسافة بين المصدر والكاشف حوالى 18 بوصة كما فى شكل (3-21)، وتتكون الحوائط الخارجية للجهاز من درع رصاص والذي يكون له فتحتان أحدهما للأشعاع من المصدر والذي يصل للكشاف (عداد جيجر) بعد انحرافه من التكوين الجيولوجى بواسطة التشتت. وتعتمد سعة التشتت على تركيز الإلكترونات فى التكوين والذي بدوره يتناسب مع كثافة مادة التكوين وتتناسب درجة التشتت مع $(1-\theta)$ حيث θ هى الزاوية بين سقوط وتشتت الأشعة، وتشير هذه العلاقة إلى أن أكبر قيمة للطاقة $\theta = 90^\circ$ تبعاً لطاقة وعودة الأشعة والتي تعمل زاوية مقدارها 45° مع جدار البئر.



شكل (3-21): منظر مقطعى لثقل الكثافة

2.6.4.3 الطرق الغير مباشرة Indirect Methods:

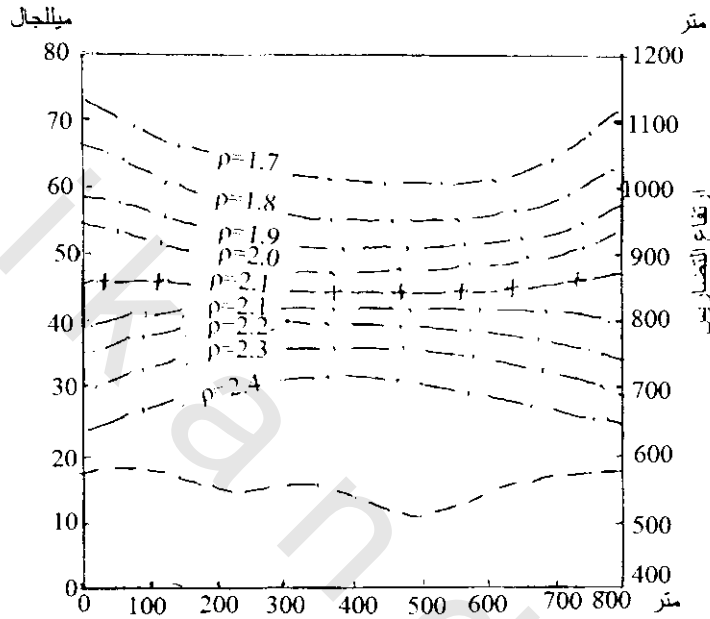
1.2.6.4.3 طريقة البروفيل The Profile Method:

بحسب شذوذ بوجير على طول خط لمجموعة من القيم الإفتراضية للكثافة ويرسم شكل منحنيات للشاذات من هذه القيم الإفتراضية ثم تقارن هذ المنحنيات مع بروفيل التضاريس على طول هذا الخط. والكثافة الإفتراضية التابعة للمنحنى والذي يوضح أقل مقارنة مع التضاريس (تقريباً خط مستقيم)، تكون هذه الكثافة هى الصالحة للوح الصخرى بمنطقة الدراسة (نيتلتون 1939 Nettelton) كما فى شكل (3-22) وتمتاز هذه الطريقة بإعطائها معدل كثافة حقيقية فى مناطق من الصعب أخذ عينات سطحية منها. ولكن هذه المعلومات الكثافية تكون لأعماق ضحلة نسبياً، لذا فإن إستخدامها يكون للصخور القريبة من السطح المتجانس.

2.2.6.4.3 طريقة الخط المستقيم :Straight Line Method

يفترض في هذه الطريقة أن شذوذ بوجير (المعادلة 3-11) عند المحطات على طول الخط يكون صفر عندئذ يمكن كتابة المعادلة السابقة (3-11) مع ترتيب صغير لحدودها كالآتي:

$$\begin{aligned}\Delta g_{obs} \pm \Delta g_p &= -0.9406 h + 0.1227 h \rho + T\rho \\ &= +(0.1227 h + T) \rho - 0.9406 h\end{aligned}\quad (3-12)$$



شكل (22-3): منحنيات الكثافات المفروضة مع منحني التضاريس، -- منحني التضاريس، -- منحنيات ممثلة للكثافة المفروضة، - - المنحني الممثل للكثافة المفروضة والملائمة للوح الصخرى بمنطقة الدراسة

وبوضع هذه المعادلة في صورة المعادلة العامة للخط المستقيم

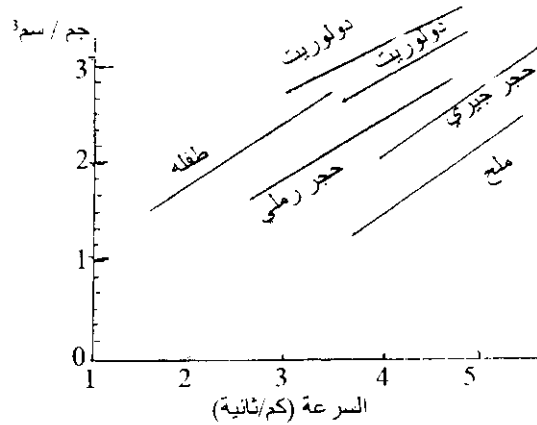
$$Y = X \rho - C$$

أي أن Y تمثل $\Delta g_{obs} \pm \Delta g_p$ و X تمثل $(0.1227 h + T)$ فإن ρ تمثل الميل، C تمثل الجزء المقطوع (- $0.9406 h$). وعلى ذلك إذا رسمت قيم هذا الخط المستقيم X, Y كقيم من المعادلة (3-12) فيكون ميل هذا الخط هو الكثافة. وعملياً لن تقع القيم السابقة على خط مستقيم بالضبط لأن قيم شذوذ بوجير عامة لا تساوي صفر. لذلك يستخدم المد الإحصائي لأقل تربيعات (Least squares) للحصول على أحسن خط مستقيم.

3.6.4.3 تعيين الكثافة من الطريق السيزمية

Density Determination from Seismic Methods:

من المعروف أن سرعات الموجات السيزمية تعتمد على كثافة الصخور وترتبط معها بعلاقة طردية خطية، ويوضح شكل (23-3) هذه العلاقة.



شكل (23-3): العلاقة بين سرعة الموجات السيزمية وكثافات الصخور

4.6.4.3 إختيار الكثافة :Choice of Density

فى تفسير الشذوذ الجاذبى يكون من الضرورى تقييم الكثافات للصخور التحت سطحية قبل إفتراض تركيبها. ولهذا السبب فمن المرغوب فيه إعطاء بعض نتائج الكثافات لصخور ممثلة فى مناطق المسح الجاذبى الإعتيادى. وكما أشير سابقا فإنها لا تكون كثافات مطلقة ولكن فروق الكثافات تكون هى الهامة والمطلوبة. ويشير الجدول رقم (2-3) لمعدل كثافات حصل عليها من عدد كبير من القياسات المعملية على عينات سطحية وأبارية.

جدول (2-3)

الصخر	معدل الكثافة	مدى الكثافة	الصخر	معدل الكثافة	مدى الكثافة
حجر رملى	2.32	2.76-1.61	دولوميت	2.7	2.93-2.36
طفل نضيدى طين	2.4	2.45	نارية قاعدية	2.79	3.17-2.09
صفحي متحجر طفله			نارية حمضية	2.61	3.11-2.3
حجر جبرى	2.45	2.9-1.93	صخور متحولة	274	3.1-2.4

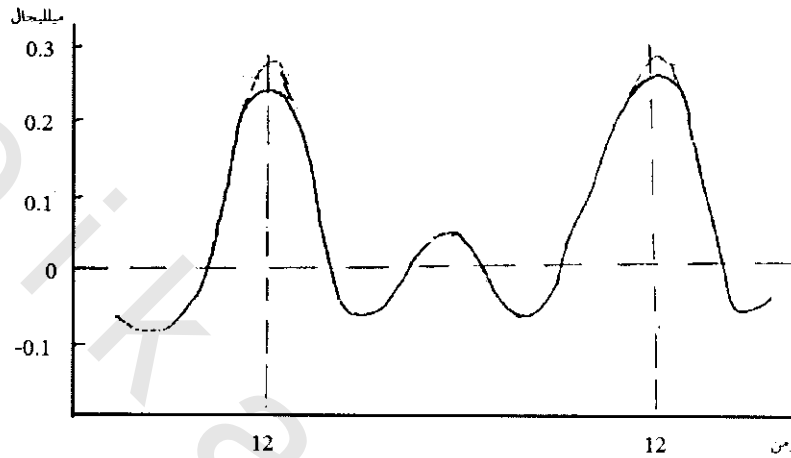
من هذا الجدول يتضح أن الصخور النارية لها كثافة أعلى من التكوينات الرسوبية. والفروق الكثافية بين الصخور الرسوبية صغيرة ولا تزيد عن 0.25 جم/سم³. ويوجد تراكب (تداخل) أساسى بين كثافات الصخور النارية والرسوبية وكذلك بين الأنواع المختلفة من الصخور النارية نفسها. وفى كثير من المناطق يوجد زيادة منتظمة للكثافة مع العمق للقطاعات الرسوبية على أساس زيادة الضغط بزيادة العمق. أما الصخور المحلية فكثافتها حوالى 2.2 جم/سم³ حيث أنها أخف من الصخور الرسوبية المحيطة بها عند أعماق أقل من 2500 قدم.

7.4.3 عوامل أخرى تؤثر على عجلة الجاذبية :Other Factors Effect on Gravity Accleration

1.7.4.3 تأثير المد والجذر :Tidel Effect

يؤخذ هذا العامل فى الإعتبار عندما يكون قيمة شاذات بوجير صغيرة وكما ذكر سابقا فى صفحة 119 أن هذه الخاصية تنتج بسبب تغير وضع القمر والشمس للأرض وبالتالي تتغير قوة جذبهم للأرض وأيضا تتغير قيمة

هذا الجذب حسب الوضع النسبى للموقع على سطح الأرض. وهناك جداول لحساب مقدار التغير فى عجلة الجاذبية الناتج من المد والجزر وحسابها رياضيا من معادلة هيلند Heiland السابقة. فى شكل (24-3) مثال محسوب للتغير فى قيمة الثقالية الأرضية (Δg) الناتجة من المد والجزر من القمر عند إكتماله وكما نرى فإن أقصى تغير هو 0.3 ميللجال وهى قيمة مهمة وخصوصا إذا كانت شاذات بوجير صغيرة أما إذا كانت كبيرة فيمكن أهمل المد والجزر.



شكل (24-3): التغير فى عجلة الجاذبية للمد والجزر خلال يوم كامل

مما سبق يكون التصحيح النهائى كالاتى:

$$\Delta g = \Delta g_{\text{observed}} \pm \text{latitude correction} \pm (\text{elevation corr.} \mp \text{Bougaer corr.}) + \text{Terrian corr.}) + \text{Tidal effect.}$$

2.7.4.3 تأثير توازن القشرة الأرضية Isostasy* :

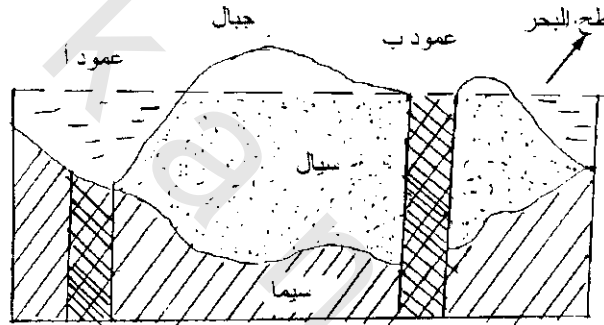
يعتبر التوازن الأيزوستى عامل يشارك فى تغير الجاذبية المشتقة من التغير الأفقى لها فى السمك العمودى للقشرة الأرضية. ويكون أكبر قيمة لهذا التغير هو قليل من الميللجال ولذا فهو يعتبر تغير اقليمى (Regional) وليس محلى (local) ولذلك لا يؤخذ هذا التغير فى الاعتبار فى المسح المحلى أو الصغير. لذا يجب فصل الشاذات المحلية (الناتجة من التراكيب التحت سطحية والخامات) والمستخدم فى حالة التنقيب عن الشاذات المناطقية regional anomalies المؤثرة فيها إتران القشرة الأرضية) وهذه الشاذات هامة عند دراسة تكتونية المنطقة وما يصاحبها من إقتراب لب الأرض وخروج مواد كثيفة.

* أطلق العالم الأمريكى دوتن Dutton 1861 على إتران القشرة الأرضية كلمة أيزوستسى Isostasy وهذه الخاصية تشير إلى أن الأماكن المرتفعة مثل سلسلة الجبال والقارات تقترب من حالة الإتران (الإتران الطافى Flotational equilibrium) مع الأماكن القليلة الإرتفاع مثل المنخفضات وأعماق المحيطات أو بمعنى آخر تشير إلى أن الكتل الثقيلة تغوص والأخرى الخفيفة ترتفع فى داخل الأرض اللدن وقد تناول تفسير هذه الظاهرة كل من (أيرى 1855)، (برات 1859).

5.3 توازن القشرة الأرضية Isostasy:

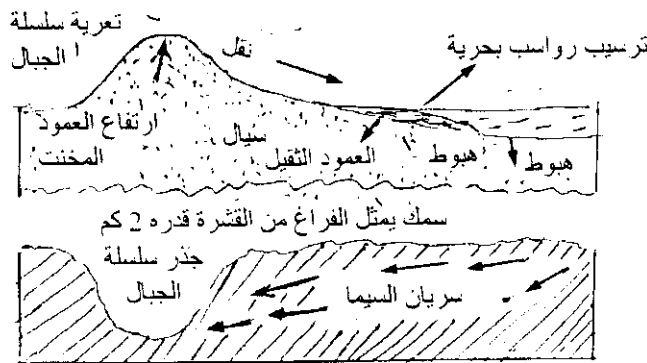
أثبتت آلاف القياسات الجاذبية أن الجبال العالية في مناطق الإنشاء وهي التي بنيت نتيجة تقوس وقذف الرواسب التي كانت تتجمع في متقابلات الميل الأرضية Geosynclines (تتكون من مواد خفيفة مشابهة لتلك المكونات لأسطح القارات) بينما يتكون قاع المحيط من مواد صخرية. ويعزى سبب الإرتفاع الشاهق لأحزمة الإنشاءات الجبلية (وهي التي تحوى المواد الصخرية الخفيفة) وكذلك سبب انخفاض قيعان المحيطات إلى خاصية من أهم خواص القشرة الأرضية وهي خاصية توازن هذه القشرة. وتعنى هذه الخاصية (والتي تشير إلى أن القشرة الأرضية متوازنة) أن الأعمدة الصخرية ذات القطاعات العرضية المتساوية الواقعة فوق مستوى معين يعرف بمستوى التوازن level of compensation والذي يقع بين 50-100 كم تحت سطح البحر تكون كتلتها واحدة مهما اختلفت أطوالها شكل (3-25).

ويوضح هذا الشكل أن كتلة العمود القصير أ تساوى كتلة العمود الطويل ب، وكذلك فإن القارات المكونة من السيل الخفيف تطفو على السيماء الثقيلة.



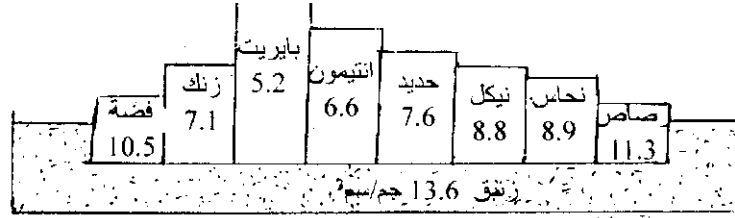
شكل (3-25): توازن القشرة الأرضية (ريد 1949 Reid)

يتوازن الضغط الاختلافي differential pressure على الأجزاء السفلية من القشرة الأرضية بسريان بطيء للمادة الصخرية السائلة المرتفعة الكثافة الموجودة في السيماء Sima والتي تعمل كمادة لزجة plastic substance من السيماء الواقعة تحت منطقة الترسيب إلى قاعدة أو جذر المنطقة التي حدث فيها التفتيت (وهي منطقة الإنشاء الجبلي) فترتفع هذه المنطقة وتعلو شكل (3-26) وهذا السريان الذي يتحقق به التوازن بين أجزاء القشرة الأرضية يعرف بإعادة الترتيب التوازني isostatic readjustment.



شكل (3-26): قطاع يبين إعادة الترتيب التوازني تبعا للتعرية والترسيب (هولمز 1956 Holms)

ويمكن توضيح توازن القشرة الأرضية وإعادة الترتيب التوازني بطريقة عملية بإعداد كتل معدنية متساوية الوزن والقطر ولكنها مكونة من مواد مختلفة وذات أطوال متباينة، ثم توضع هذه الكتل في حوض زئبق، فيلاحظ أن كتل المواد الخفيفة (الأقل كثافة) ترتفع على سطح الزئبق أعلى من ارتفاع كتل المواد الكثيفة شكل (27-3).



شكل (27-3): تجربة توضح توازن القشرة الأرضية وأن الاختلافات في ارتفاعات الأجزاء الكبيرة من القشرة الأرضية تتعادل باختلاف الكثافة (الكتل المعدنية لها قطاعات عرضية واحدة وهي متساوية في الوزن وعلى ذلك تغرس الأعماق متساوية، الكثافة جم/سم³) (أمونزوثل 1955 Amonzothe)

وفي تجربة أخرى توضع كتل من مادة نحاسية واحدة ومختلفة الأطوال في حوض زئبق، فيلاحظ أن الكتل الطويلة تنغمس في الزئبق لأعماق أبعد من الكتل القصيرة، وتعلو كذلك على سطح الزئبق إلى ارتفاعات أكثر من الكتل القصيرة شكل (28-3) إذا ما اقتطعت أجزاء من الكتل الطويلة وأضيفت إلى الكتل القصيرة فإن الكتل الأولى يزداد علوها بينما يزداد انغماس الكتل الثانية حيث أضيفت الأتقال إليها.



شكل (28-3): يوضح الكتل النحاسية ذات القطاعات العرضية الواحدة بأطوال مختلفة ، ترتفع الكتل الطويلة أكثر وتغوص أعماق من الكتل القصيرة (أمونزوثل 1955 Amonzothe)

ولقد حدث هذا التعديل في ارتفاعات الكتل المتباينة الأطوال، والذي يمكن مقارنته بما يحدث تحت سطح الأرض، نتيجة لسريان الزئبق من تحت الكتل التي اقتطع من أوزانها.

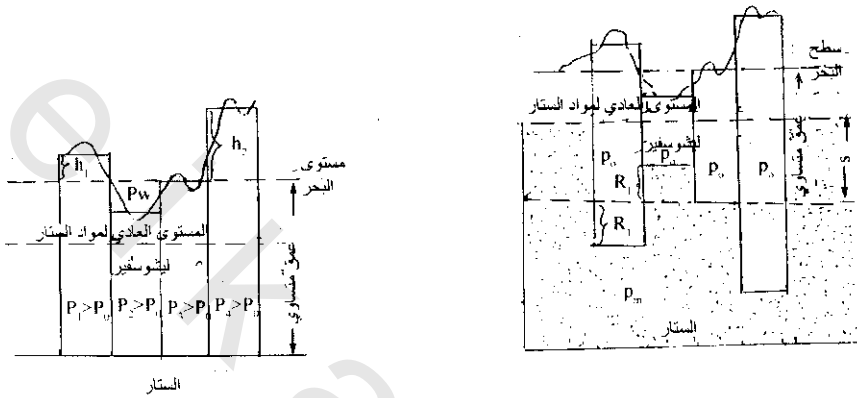
قد لاحظ العالمان برات وإيرى Pratt and Airy أن قياسات الجاذبية فوق مناطق الألب وساحل الأطلنطي بعد كل التصحيحات للوصول لشاذة بوجير Bouguer أكبر من معدلها المفروض أن تكون عليه فوق المناطق الساحلية وأقل مما يجب أن تكون عليه فوق المناطق الجبلية. وقد وضع كل منهما نظرية يعلل فيها هذه الظاهرة. فعمل برات Pratt ذلك بالتجربة الأولى شكل (27-3) بينما علل إيرى Airy ذلك بالتجربة الثانية شكل (28-3). وقد طور هاتين النظريتين من بعدهما علماء آخرون وأهمهم دوتون Dutton أول من نادى بنظرية توازن القشرة الأرضية وأطلق عليها أيزوستاسي Isostasy، ثم وضع هيسكانن Heiskanen نظريتي برات وإيرى موضع التخييل وقام بحساب ما يجب أن يكون عليه سمك القشرة لكلا النظريتين شكل (29-3)، ويمكن وضع نموذج رياضي لكلا النظريتين شكل (30-3).

فى نموذج ايرى Airy فإن عمق مستوى التعديل يعتمد على سمك جذور الجبال والمرتفعات. وباستخدام دلائل (30-3) فإن السمك الإضافى للقشرة h_a (المثل للجذر) يمكن الحصول عليه من المعادلة الآتية:

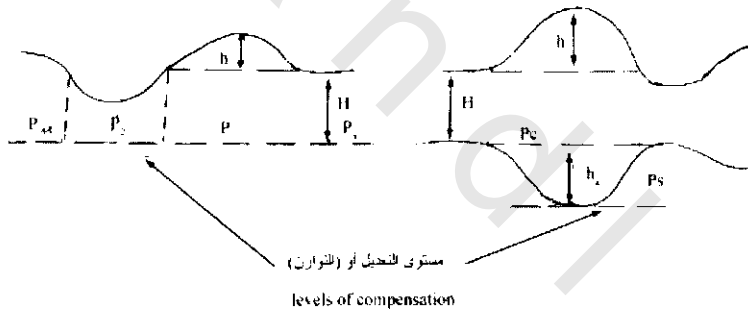
$$\rho_c (h + H + h_a) = \rho_c H + \rho_s h_a$$

أو

$$h_a = h \rho_c (\rho_s - \rho_c) \quad (3-13)$$



شكل (29-3): توازى القشرة الأرضية لكلا من نظريتى ايرى وبراى



شكل (30-3): نماذج رياضية لتوازن القشرة لكلا من نظريتى ايرى وبراى

حيث h_a = سمك الجذور، h = الارتفاع المقابل للجذور على سطح البحر، ρ_c = كثافة أعلى القشرة، ρ_s = كثافة باطن القشرة.

إذا كانت ρ_c متوسطة كثافة عمود أعلى القشرة 2.8 جم/سم³ ومتوسط كثافة باطن القشرة 3.30 جم/سم³ فإن

$$h_a = 6.3 h \quad (3-14)$$

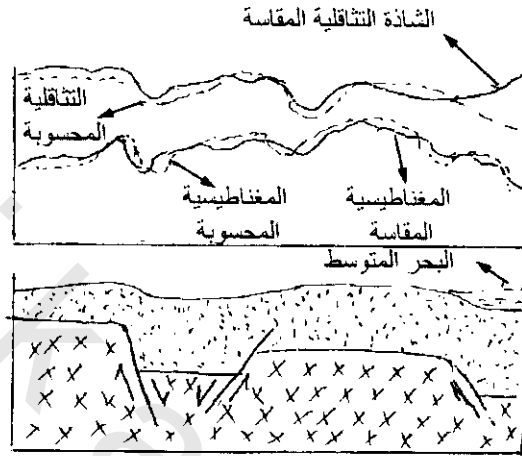
وتكون قاعدة القشرة كمرآة للتضاريس.

فى نموذج براى Pratt فإن إرتفاع تضاريس القشرة (فوق سطح البحر) h ، ويكون علاقتها بالكثافة كالاتى:

$$\rho_1 (H + h) = \rho_n H \quad (3-15)$$

حيث ρ_n متوسط كثافة عمود القشرة، H الإمتداد من سطح البحر إلى عمق مستوى التعديل.

هذا بالإضافة للقياسات السيزمية والجيوديسية أمكن توضيح عملية التوازن ومعرفة تكون القشرة الأرضية فمن القياسات السيزمية وجد أن كلا من نظريتي إيرى وبرات Airy and Pratt صحيحتين لحد ما. فالقشرة الأرضية تحت سطح المحيط (oceanic crust) أكبر كثافة بالفعل وهى أقل سمكا والموهو* Moho أقرب لسطح الأرض أما القشرة تحت القارات (continental crust) فهى أقل كثافة وسرعة الموجات السيزمية بها أقل منها تحت المحيطات وهى أكبر سمكا.



شكل (31-3): تغير الشاذة الثقالية لاقتراب البحر المتوسط (شمال مصر)

وهناك سؤال ما علاقة توازن القشرة الأرضية بالقياسات الجرافيمترية. نجد أن القياس بالقرب من البحار والمحيطات تعطى شاذات ثقالية أكبر من القيم المفروض أن تكون عليها شكل (31-3). لذا يجب تصحيح القراءات الناتجة من طبيعة المنطقة سواء كانت جبلية أو ساحلية، ويجب فى هذه الحالة فصل الشاذات المحلية local anomalies عن الشاذات المنطقية regional anomalies حيث أن لكل منهما استخدامه. فالشاذات المحلية تستخدم للتقريب والاستطلاع الجيوفيزيائى بينما الشاذات الإقليمية أهميتها فى دراسة تكتونية المنطقة وما يصاحبها من اقتراب لب الأرض وخروج مواد كثيفة.

6.3 تفسير شاذات الجاذبية Interpretation of Gravity Anomalies

يستكمل العمل الحقلى عادة بإعداد الشاذات عبر خطوط Gravity profile أو عبر شبكة من المحطات منتجة بما يسمى بخريطة الجاذبية (Gravity map or isogal map) وذلك بعد إجراء التصحيحات السابق ذكرها. وأى انحراف عن تجانس هذه الشاذات يدل حقيقة على انحراف ناتج عن عدم تجانس فى توزيع الكثافة فى داخل الأرض، وهذه تدل بالتالى على تغير فى التركيبات الجيولوجية، وهناك طريقتين للتفسير هما الطريقة النوعية qualitative method والطريقة الكمية quantitative method.

* الموهو هو الخط الفاصل بين الستار والقشرة.

1.6.3 الطريقة النوعية Qualitative Method:

فى هذه الطريقة يتم التعرف على نوع الجسم المسبب للشاذة هل هو جسم كثيف أو قليل الكثافة أو صدع أو طيه... الخ، بدون التعرف على الأبعاد والأعماق. وتعتمد هذه الطريقة على معرفة شكل الشاذات التثاقلية الناتجة من أجسام وتكوينات جيولوجية. وتحدد عادة شكل هذه الأجسام والتكوينات الجيولوجية من القراءة الجيدة للخرائط التثاقلية. عادة ما تعكس الأجسام وأغلب التكوينات الجيولوجية خطوط كنتورية مغلقة على خرائط الجاذبية وهناك تفسيرين لهذه الخطوط الكنتورية المغلقة (شكل 3-32).

1- إذا أشارت الخطوط الكنتورية المغلقة بالموجب فى إتجاه الداخل فعادة ما تدل على زيادة فى الكثافة مثل وجود ركاز كثيف كالماجنتيت والرصاص وغيرها شكل (3-32ج) أو لتركيب جيولوجى كطية محدبة* Anticline (3-32د): أو لنتق Horst (3-32هـ).

2- عندما تشير الشاذة للنقصان فى إتجاه الداخل فإنها تعكس نقص فى الكثافة كتداخل قبة ملحية** (شكل 3-33) 3فى صخور أكبر منها فى الكثافات شكل (3-32ج) كهف أو ما إلى ذلك أما من ناحية شكل التركيبات فهى غالبا ما تكون طيه مقعرة syncline شكل (3-32د) أو حوض تركيبى شكل (3-32هـ).

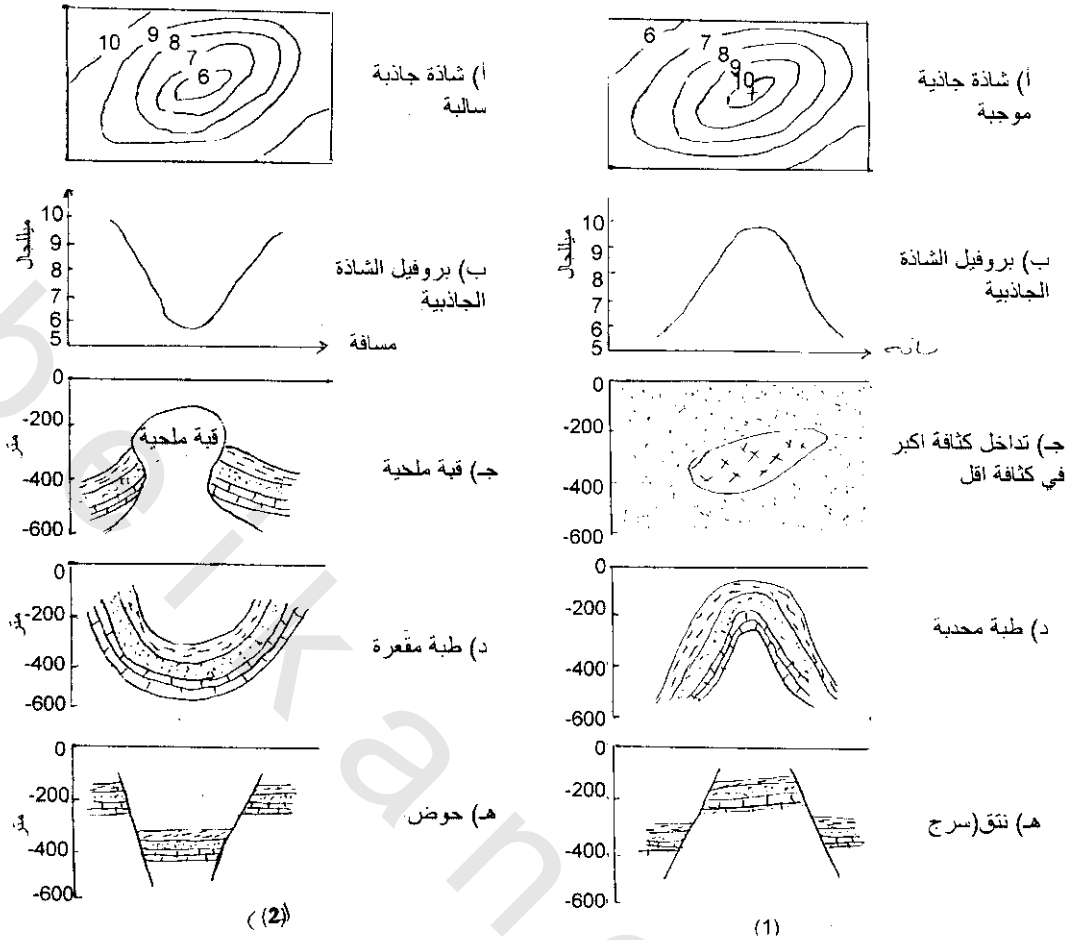
أما فى حالة تراكيب صدعية (فوالق) فيلاحظ على خرائط الجاذبية تغير مفاجئ فى خطوط الكنتور وتقاربها سواء فى الشاذات المغلقة أو المفتوحة ويوضح شكل (3-34) شاذة تثاقلية فوق صدع.

2.6.3 الطريقة الكمية Quantitative Method:

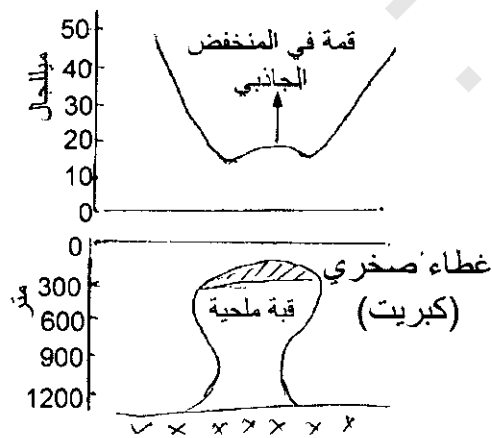
فى هذه الطريقة يمكن الحصول على مواصفات الجسم المسبب للشاذة التثاقلية أى إمتداده وعمقه وحجمه بالأرقام لذلك نلجأ لدراسة الشاذات التثاقلية الناتجة من أجسام هندسية منتظمة.

* تظهر الطيه المحدبة فى صورة جاذبية عالية إذا كانت كثافة التكوين أكبر من متوسط الكثافات الموجودة بالقرب من سطح قمة الطيه المحدبة حيث يكون خط القمة هو محور القيمة العليا للجاذبية وعكس هذه الظاهرة يكون مصاحب للطيه المقعرة.

** القبة الملحية Salt Dome: من أكبر المسح الجاذبى الذى يتم عمله على شواطئ الخليج للبحث عن خواص جانبية منخفضة لمصاحبتها للقيب الملحية (مصدر أساسى لتجمع البترول). وفى القيب الملحية عادة ما تكون قمة القبة مغطاة بصخور أكثر كثافة (كبريت) من القبة الملحية وتسبب هذه الصخور إرتفاع جانبى فى الإنخفاض الجاذبى للقبة الملحية (شكل 3-33).



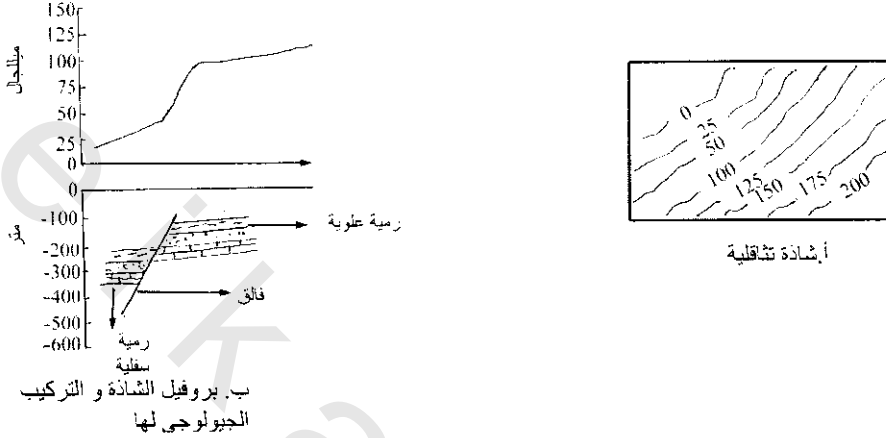
شكل (32-3):



شكل (34-3):

1.2.6.3 التأثير الجاذبي لأشكال كتلية بسيطة :Gravity Effects of Simple Shapes

إن تأثير حساب الجاذبية لبعض النماذج الهندسية تستخدم كمرشد جيد لتقدير قيمة وشكل الشاذات الجاذبية المتوقعة من التركيبات الجيولوجية حتى ولو كانت الأشكال الحقيقية للتركيبات نادرا ما ترى تقريبا مشابهة للأشكال الهندسية البسيطة. وهناك خمسة أشكال هندسية غالبا ما تستخدم تقريبا كمدى واسع للتركيبات الجيولوجية وهي الكرة، الأسطوانة الأفقية، الصفيحة الأفقية، المنشور الرباعي، الأسطوانة الرأسية.



شكل (34-3):

1.1.2.6.3 الكرة Sphere

ليس العديد من التركيبات الجيولوجية (ماعدا بعض القباب الملحية) يكون شكلها كروي تقريبا ومع ذلك يستخدم هذا النموذج البسيط غالبا كتقدير أولى لأجسام مدمجة (مضغوطة)، وغير متساوية الأبعاد والتي يكون شذوذها تقريبا دائري الشكل في الخرائط التثاقلية. وعندما تكون الكتلة الداخلية متمركزة عند المركز فإن جاذبية الكرة عند أى نقطة خارجية تكون متساوية وبدلالة شكل (35-3) فإن الشاذات الجاذبية للكرة تعطي عند النقطة P كالآتي:

$$\Delta g_2 = \gamma \frac{M}{r^2} = \gamma \frac{4/3 \pi R^3 \rho}{r^2} \quad (3-16)$$

$$r = \sqrt{Z^2 + X^2}$$

وحيث أن

$$\therefore \Delta g_2 = 4/3 \frac{\gamma \pi R^3 \rho}{(Z^2 + X^2)}$$

وحيث أن المركبة الرأسية

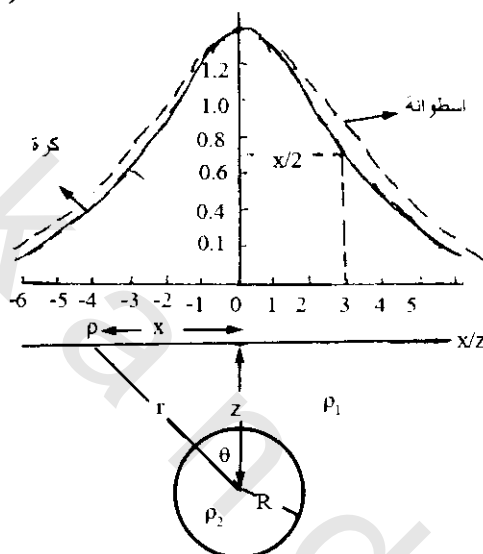
$$\Delta g_2 = g \cos \theta = g \cdot \frac{Z}{r}$$

$$\therefore \Delta g_z = 4/3 \frac{\gamma \pi R^3 \rho}{(Z^2 + X^2)} \cdot \frac{Z}{(Z^2 + X^2)^{3/2}}$$

$$= 4/3 \frac{\gamma \pi R^3 \rho}{Z^2} \cdot \frac{1}{\left(1 + \frac{X^2}{Z^2}\right)^{3/2}} \gamma \quad (3-17)$$

ويتضح من المنحنى أنه عندما تكون $X = 0$ تكون الجاذبية أكبر ما يمكن

$$\therefore \Delta g_z = \frac{\Delta g_{\max}}{\left(1 + \frac{X^2}{Z^2}\right)^{3/2}} \quad (3-18)$$



شكل (3-35): التغير الأفقى فى الجاذبية بسبب الكرة ومقطع الإسطوانة الأفقية بتباين كثافة $\Delta \rho = \rho_2 - \rho_1$ ، وأكبر قيمة عنده $X=0$ ونقل للنصف عند $X = \frac{X}{2}$

ويتضح من المنحنى أيضا تغير الجاذبية مع المسافة الأفقية وذلك للقيمة الخاصة $\frac{X}{Z}$. وتصل Δg لقيمة

تساوى $g_{\max}/2$ عند منتصف المسافة الأفقية X . وفى هذه الحالة تسمى المسافة الأفقية X/Z منتصف العرض Half width للشاذة التناقلية. هذه الإحداثيات تكون دالة نافعة لتقييم العمق. وبالنسبة للكرة فإن العمق للمركز Z_0 يساوى $1.305 X_{1/2}$. ويكون بذلك من الممكن تقييم العمق مباشرة لمركز جسم شبه كروى من بروفيل الشاذة الملاحظة بدون حسابات. وإذا أمكن تقييم تباين الكثافة $\Delta \rho$ فإنه يمكن تحديد حجم وكتلة الجسم من المعادلة السابقة.

2.1.2.6.3 الإسطوانة الأفقية Horizontal Cylinder

يمكن حساب جاذبية التركيب المطول فى اتجاه المضرب كحدود لتأثير عنصر الخط الأفقى أو إسطوانة أفقية طويلة، حيث يمكن تشبيه الطيات المحدبة شديدة الانحدار والأحرف المدفونة كإسطوانة أفقية طويلة. وباستخدام الدالات لشكل (3-35) تكون شاذة الجاذبية بسبب الطول اللانهائى للإسطوانة (مضربها عمودى على مستوى الورقة) هى

$$\Delta g = \frac{2\pi\gamma R^2 \Delta\rho}{Z} \left(\frac{1}{1 + \frac{X^2}{Z^2}} \right) \quad (3-19)$$

وفي هذه الحالة لا يكون منحنى الشاذة حاد كما في حالة الكرة عند نفس العمق. وعندئذ تختلف Δg هنا عكسياً مثل Z (مخالف لـ Z^2 للكرة) والتي تميز لكل بعدى التركيب وبالنسبة للاستطوانة الأفقية يكون العمق Z_0 مساوياً لنصف العرض $X_{1/2}$.

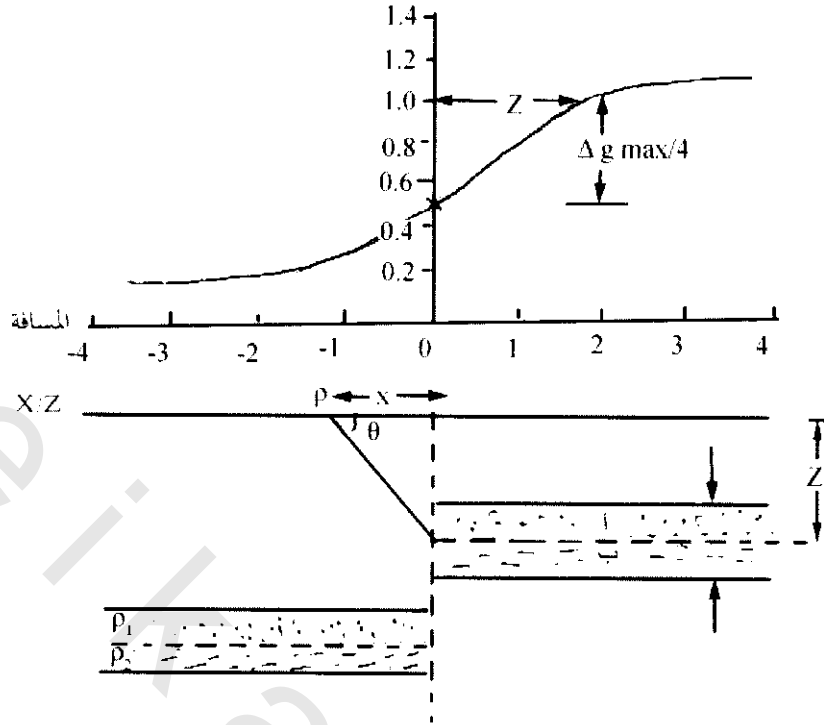
3.1.2.6.3 اللوح الأفقي Horizontal Slab:

هذا النموذج يكون نافع لتقريب تأثير الجاذبية للفوالق أو تركيب شبه درجي. في الحالة البسيطة شكل (3-36)، الحد الأفقي بين الطبقة العلوية ذات كثافة ρ_1 والطبقة السفلية التي كثافتها ρ_2 أزيحت رأسياً بمسافة t (رمية الفالق). ولذلك تكون شاذة الفالق مساوية لنصف امتداد الصفيحة والتي سمكها t وتباين الكثافة $\Delta\rho = (\rho_2 - \rho_1)$ والمنتهية عند درجة الفالق $(X=0)$. وبالنسبة لفالق صغير ($t < Z$) فمن الممكن اعتبار أن كتلة شذوذ اللوح ضغطت إلى لوح رفيع عند منتصف مستوى اللوح عند عمق Z ، ولذلك فإن الزيادة في الكتلة $\Delta\rho t$ لكل وحدة مساحة من اللوح وتكون $\gamma\Delta\rho t$ هي محصلة تأثير الجاذبية مضروبة في الزاوية المجسمة المقابلة بواسطة اللوح عند نقطة القياس. وبالنسبة لنصف امتداد اللوح وباستعمال دالة الشكل (3-35) فإن الزاوية المجسمة تكون θ_2 والتي تكون مرتين الزاوية المقاسة في مستوى الشكل وتبعاً لذلك يصبح تأثير الجاذبية كالآتي:

$$\Delta g = 2\gamma t \Delta\rho \theta = 2\gamma t \Delta\rho \left(\frac{\pi}{2} - \tan^{-1} \frac{X}{Z} \right) \quad (3-20)$$

حيث $2\pi\gamma t \Delta\rho$ هي التغير الكلي لشاذة الجاذبية عبر الفالق بدون اعتبار (النظر) إلى عمق الصفيحة. وبالنسبة للفالق الرأسي فإن تغير الجاذبية عبر جانبي أثر الفالق يكون نصف التغير الكلي لشاذة الجاذبية. عندئذ فإن محصلة $(t\Delta\rho)$ للصفيحة يحدد مباشرة من شذوذها الجاذبي. ويعطى عمق منتصف مستوى الصفيحة بواسطة المسافة الأفقية التي لها تغير جاذبي $\frac{1}{4}$ التغير الكلي للشاذة. وشدة إنحدار Δg من منحنى الشاذة يدل على عمق ضحل Z .

ومن الملاحظ أن التقريب لتكثيف كتلة اللوح إلى لوح رفيع فإنه يقترب من تطبيق هذه الطريقة حتى على الأجسام التي لها سمك اعتباري مثل أحواض الترسيب العميقة. وبالنسبة للألواح السمكية، والتي تمتد إلى السطح ($t = 2Z$) والتي لها امتداد أفقي من مرتبة ثلاث مرات السمك فإن نيتلتون 1971 Nettleton أعطى عدد عملي وسهل التذكر لـ 100 قدم (حوالي 30 متر) لمواد سمكية بتباين كثافة ($\Delta\rho = 1 \text{ gm/cm}^3$) فإنها تسبب تأثير جاذبي مقداره واحد ميللجال وتبعاً للقيمة النظرية للوح ذا امتداد لانهاى (لوح بوجير) فإن 24 متر تعطى شاذة مقدارها واحد ميللجال.



شكل (36-3): شذوذ الجاذبية عند فالق، عبر أثر الفالق فإن التغير الكلي في الجاذبية (Δg_{\max}) يقل إلى نصف قيمته والمسافة الأفقية (التي عبرها تتغير الشاذة من $0.5\Delta g_{\max}$ إلى $0.2\Delta g_{\max}$ تعبر عن العمق Z)

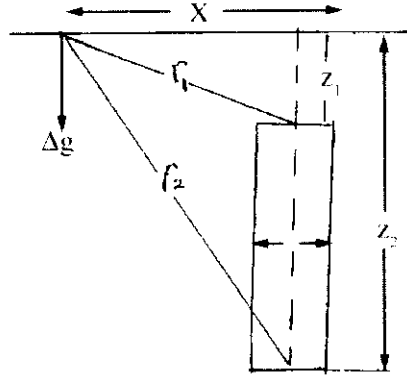
4.1.2.6.3 المنشور الرباعي الطويل Long Rectangular Prism:

يستخدم غالباً نموذج اللوح الرفيع الراسي كتقريب لتأثير الجاذبية للأجسام اللوحية (مثل سد Dike) الممتدة في اتجاه المضرب. وباستخدام دلالة شكل (37-3) فإن معادلة شذوذ الجاذبية للوح رأسى رفيع ($t < Z_1$) والذي مضربه عمودى على سطح الورقة تكون:

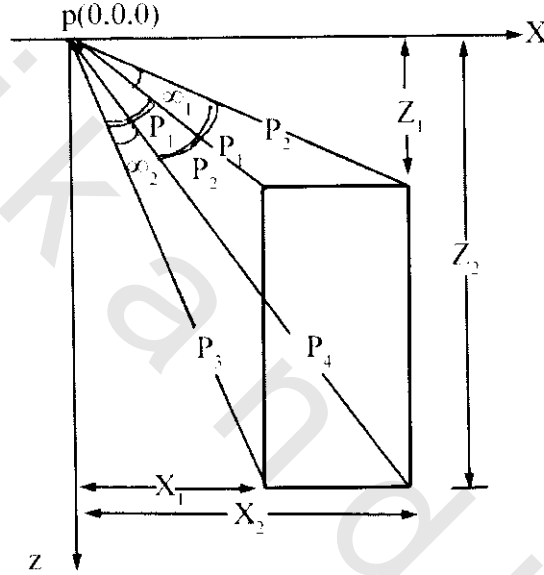
$$g = 2 \gamma t \Delta \rho \ln (r_2/r_1) \quad (3-21)$$

وبالنسبة للطول اللانهائى لمنشور رباعى سميك أو سد سميك ($t \leq Z_1$) فإن المعادلة التقريبية السابقة لا تكون كافية الإنضباط. وباستخدام دلالات شكل (38-3) فإن تأثير الجاذبية عند نقطة $P(0, 0, 0)$ بسبب منشور رباعى سميك هي:

$$\Delta g = 2\gamma\Delta\rho(X_2 \ln r_4/r_2 - X_1 \ln r_3/r_2 + (Z_2\alpha_2 - Z_{12}\alpha_1)) \quad (3-22)$$



شكل (37-3): نموذج للوح راسي غالبا يستخدم كتقريب لتأثير سد رفيع



شكل (38-3): الحساب الكمي لشذوذ الجاذبية عبر جسم لوحى طويل ومضربة عمودى على الصفحة

2.2.6.3 الأسطوانة الرأسية Vertical Cylinder:

هذا الشكل غالبا ما يكون ملائما لتقريب تأثير الجاذبية للقبب الملحية والمتداخلات (الرقاب) البركانية وباستخدام دلالة شكل (39-3) فإن شاذة الجاذبية بسبب اسطوانة قصيرة ($t < Z$) تكون ببساطة

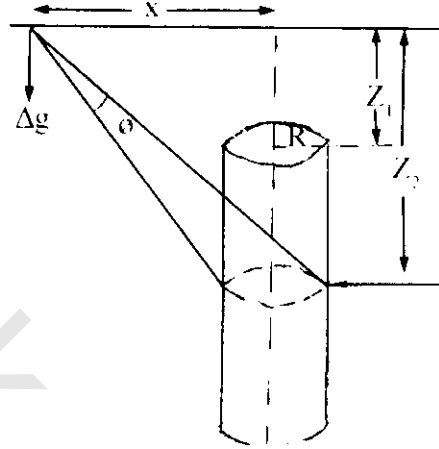
$$\Delta g = \gamma t \delta \rho \phi \quad (3-23)$$

حيث ϕ زاوية مجسمة وممتدة إلى نقطة القياس بواسطة مقطع الاسطوانة (فى وسط المستوى)، ويمكن تحديد ملائم للزاوية المجسمة وأطوال الأجسام شبه المدخلة (مثل رقاب البراكين والسداد الملحية الرفيعة). من اللوحة الخطية لنيتلتون 1971 Nettelton باستخدام نموذج بسيط لإسطوانة رأسية طويلة ($t > Z_1 > R$)، فى هذه الحالة فإن تأثير الجاذبية يكون قريبا لمعادلة عنصر الخط الرأسى وتعطى بواسطة

$$\Delta g = \pi R^2 \gamma \Delta R / \sqrt{X^2 + Z_1^2} \quad (3-24)$$

وبالنسبة لعنصر الخط الرأسى فإن العمق

$$Z_1 = X_1 \sqrt{3} \quad (3-25)$$

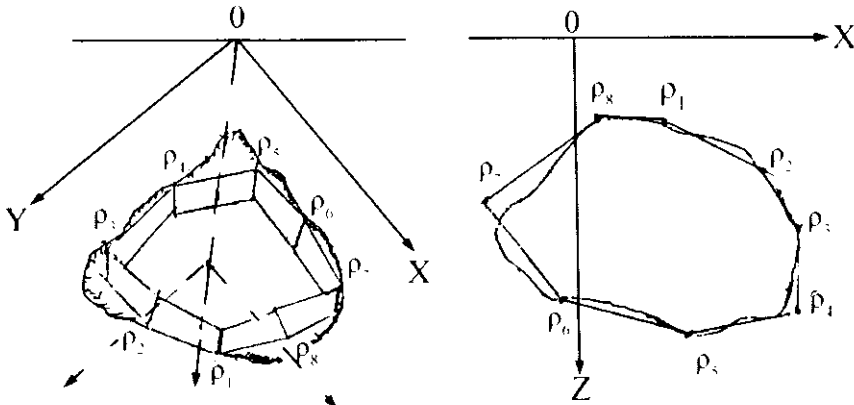
حيث $X_{1/2}$ نصف العرض الشاذة كما ذكر سابقا.

شكل (3-39): نموذج الاسطوانة الرأسية وتستخدم لتقريب تأثير جاذبية القباب الملحية والرقاب البركانية

مما سبق يتضح أن الطرق السابقة تفسر الطريقة الأولى فى عملية تفسير الشواذ الجاذبية. أما الطريقة الثانية فتتناول الظواهر الجيولوجية المعقدة لأشكال جيولوجية غير منتظمة والتي لا تقترب من أى شكل هندسى، وفى هذه الحالة يمكن إضافة تقريبين آخرين، فتتناول الظواهر الجيولوجية المعقدة لأشكال جيولوجية غير منتظمة والتي لا تقترب من أى شكل هندسى، وفى هذه الحالة يمكن إضافة تقريبين آخرين، الأول استخدام الطرق الخطية والثانى التقريب التحليلي.

فى الطرق الخطية توضع لوحات معايرة (والتي تقسم إلى قطع) على أى مقطع غير منتظم لنموذج ظاهرة جيولوجية وبذلك يمكن حساب الجاذبية عند أى نقطة على السطح بواسطة تأثير جميع القطع المغطاة لقطاع الظاهرة الجيولوجية ويمكن استخدام الطرق الخطية (المرسومة) للأجسام ثلاثية الأبعاد، وفى هذه الحالة توضع لوحة معايرة ملائمة على خطوط كنتور الظاهرة الجيولوجية فى المستوى الأفقى وتقسّم إلى مجموعات من الألواح الأفقية كل له سمك يساوى مسافة كنتورية.

أما الطرق التحليلية فمعظم حساباتها الموضوعية (بوت 1960 Bott) وضعت على المقدمة المقترحة بواسطة تلوان وآخرين Talwan et al 1959، والتي فيها يمكن تقريب المقطع لجسم ذى بعدين وذلك بتمثيله بواسطة مضلع متعدد الجوزان شكل (3-40 أ) وتطور هنا إلى أجسام ثلاثية الأبعاد شكل (3-39 ب) وفى هذه الحالة فإن تأثير الجاذبية يحسب لكل شريحة رقيقة ويجمع هذا ليعطى الشاذة الجاذبية الكلية، وتستخدم برامج الحاسب الألى لسهولة تطبيق هذه الطرق (بوسبى 1987 Bosbie).



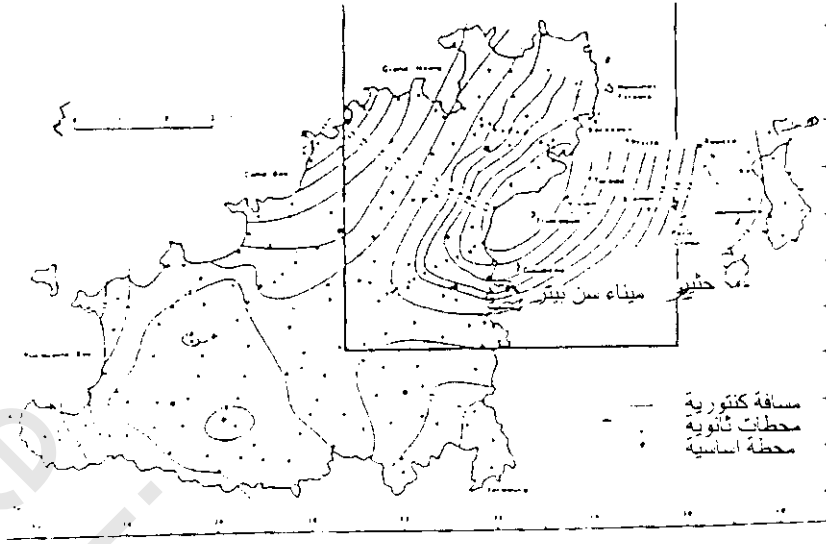
شكل (3-40 أ): مضلع يمثل قطاع رأسي غير منتظم شكل (3-40 ب): تمثيل لظاهرة جيولوجية ثلاثية الأبعاد
لبعدى ظاهرة جيولوجية بواسطة مضلع رقيق الشرائح

ولتطوير التوصل إلى ثلاثي الأبعاد فيعتبر الجسم الجيولوجي صفوف من بلوكات مكعبة متساوية الأحجام ولها تباين كثافي. حيث يعتبر كل مكعب صغير كإشارة كتلية ولذلك فإن الشاذة الجاذبية الكلية للجسم الكلي يحصل عليها بواسطة تجميع مكونات مركبات الجاذبية لكل مكعب صغير. وتقارن شذوذ الجاذبية المحسوبة مع المقاسة ويضبط النموذج بواسطة طرق التكرار الأوتوماتيكي. إلى أن يقل الفرق بين الشاذات المحسوبة والمقاسة إلى قيمة مقبولة بواسطة مستوى إحصائي محدد. واضبط مقارنة تتم بواسطة إقلال الحجم وزيادة عدد المكعبات الفردية خلال النموذج. يعتبر حساب الشاذات النظرية سهلا بواسطة حجم مكعب منتظم شكل (3-41).

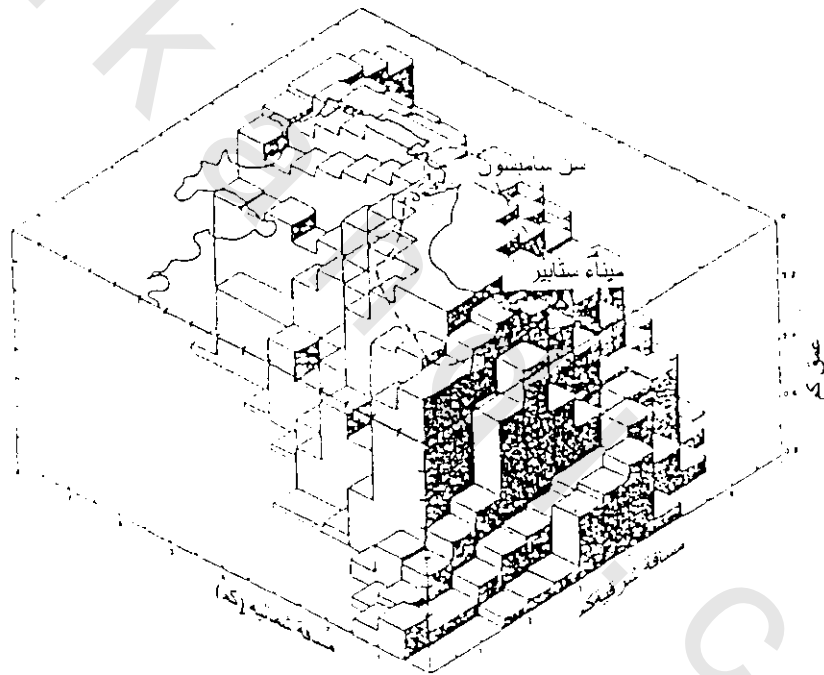
3.2.6.3 تحديد العمق Depth Determination

من أهم تفسيرات نتائج الجاذبية هو تحديد العمق لمركز الكتل أو إلى قمة الجسم المسبب للشاذة. وتعتمد طرق الحصول على هذه المعلومة على استخدام أسلوب تفسير تقني ونماذج. والطرق العامة للتطبيق تتفق مع استخدام نصف العرض للشذوذ ($X_{1/2}$) حيث السعة تكون نصف القيمة العظمى شكل (3-42).

وتحدد بعض الأعمال نصف العرض كعرض كلي عند منتصف قمة (ذروة السعة وصيغة معادلة العمق وتحديد الكتلة سوف تختلف تباعا. وأيضا كانت الصيغة المستخدمة يجب الأخذ في الاعتبار الإهتمام عند حساب العمق المحدد وذلك عندما يكون الجسم المسبب للشذوذ له حجم محدود وكتلته غير متركزة عند المركز، حيث سيكون أي تقدير للعمق فوق التقدير. وأيضا ستعطي قيمة تقريبية للعمق في حالات أخرى، عندما تكون جميع المركبات المكونة للصخور لها تقريبا نفس فروق الكثافة (جميعها سالبة أو جميعها موجبة). وأيضا هذه المعادلات لا تكون مؤثرة للأجسام المعدنية المضغوطة كما في جدول (3-3) هذا الجدول يمثل صيغ رياضية لأشكال هندسية مختارة. هناك عدة طرق لتحديد العمق منها



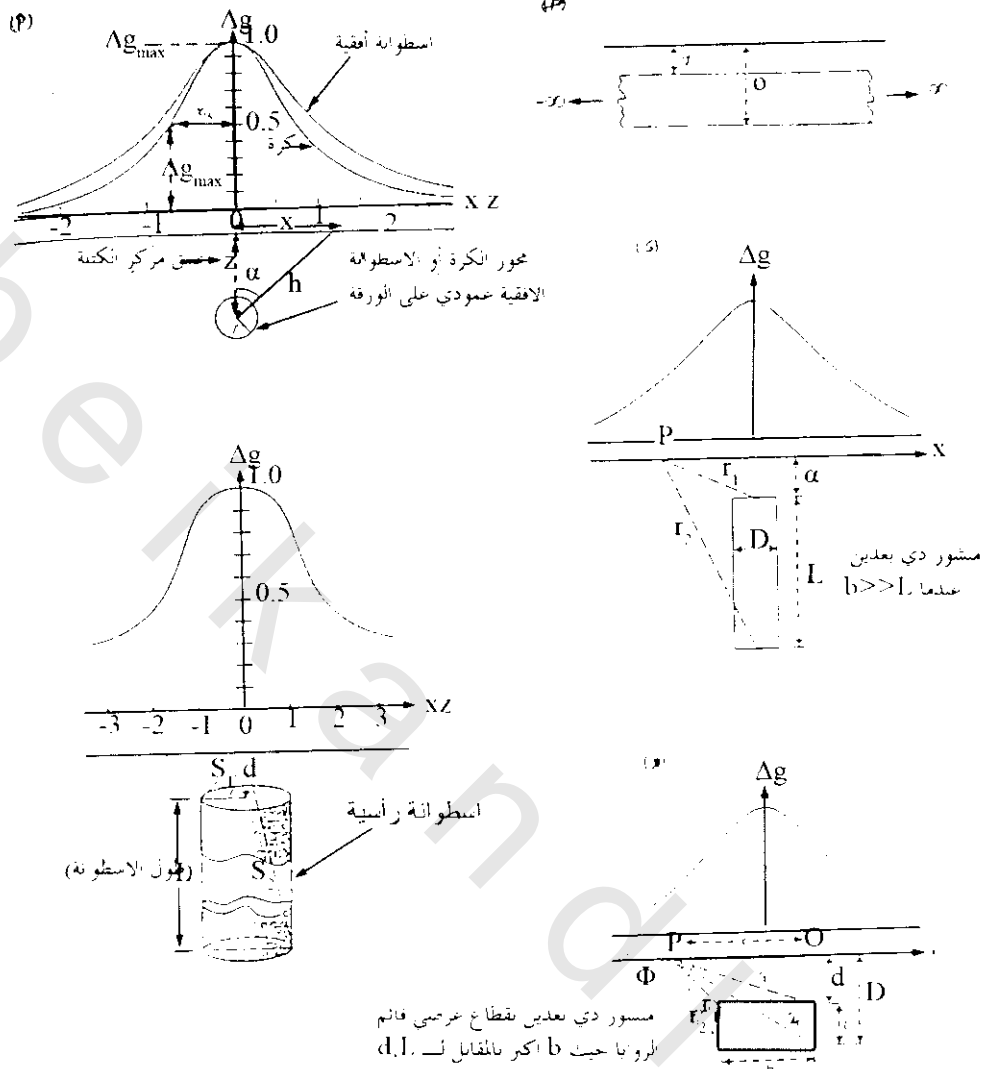
(أ)



(ب)

شكل (3-41 أ): خريطة شاذة بوجير لـ جيرني، هيرم، وجيتيو، قناة الجزر، (ب) نموذج ثلاثي الأبعاد لشكل أساسي (تلاسلها) ميناء ست بيتز (تباين كثافة 0.27 جم/سم³) تكبير التجمع الرأسى 1:5. استدل على خط الساحل وحدود منكشف الجابرو، لذلك فسر الجابرو كاكوليت (تداخل قبي) قطرة تقريبا 4 كم وسمكه 0.8 كم (بردن وآخرين Briden et al 1982)

al 1982



شكل (3-42): تمثيل شذات جاذبية عبر أشكال هندسية (أ) كرة أو اسطوانة أفقية محورها الطويل عمودي على الورقة، (ب) اسطوانة رأسية، (ج) نصف لوح أفقي لانهاى (شاذة بوجير تكون مسطحة عندما s' cord منشور رأسى قائم الزوايا، (هـ) منشور أفقى قائم للزوايا

1.3.2.6.3 المثال الآتي يوضح حساب عمق نموذج للكرة:

من شكل (3-43) وجدول (3-3)

$$\Delta g_{\max} = 0.048 \text{ ميلال}$$

$$X_{1/2} = 2.2 \text{ متر}$$

$$\delta\rho = 2.5 \text{ جم/سم}^3$$

$$\therefore Z = 1.305 \times 2.2 = 2.87 \text{ متر}$$

(3-26)

إيجاد نصف قطر الكرة

$$r^3 = 0.048 \times (2.87)^2 / (0.0286 \times 2.5)$$

$$= 5.53^3 \text{ متر}$$

$$\therefore r = 1.77 \text{ متر}$$

(3-27)

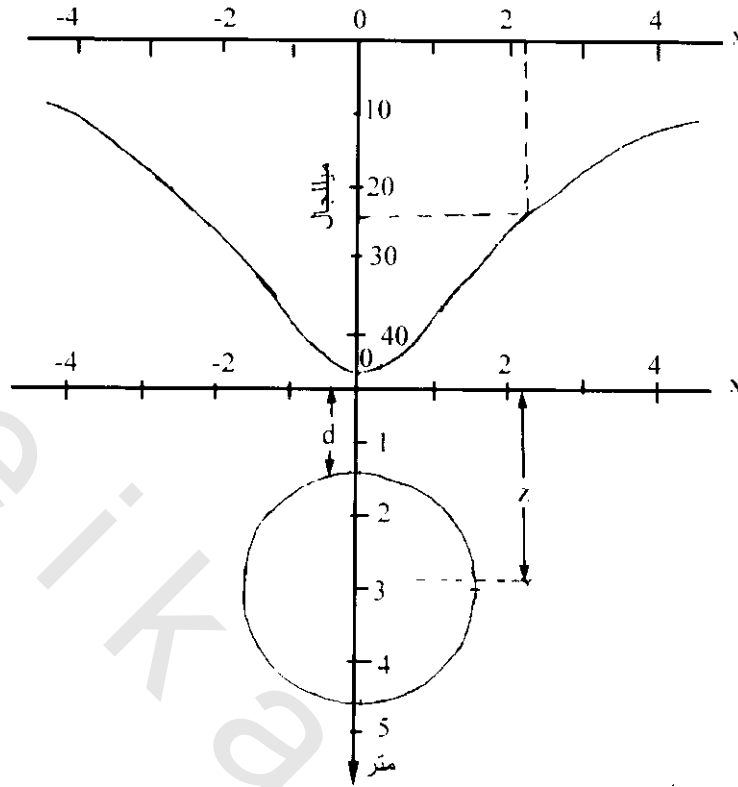
من المعادلتين (3-26)، (3-27)

$$\therefore \text{متر } 1.1 = 2.87 - 1.77 = \text{العمق لقمة الكرة (d)}$$

جدول (3-3) تحديد أعماق لبعض اشكال هندسية

الشكل	الصيغة	ملاحظات
كرة Sphere	$Z = 1.305 X_{1/2}$ $d = Z - r$	Z العمق لمركز الكرة، d العمق لقمة كرة نصف قطرها r $r^3 = Dg_{\max}(Z^2/0.028dr)^{***}$
الأسطوانة الأفقية Horizontal cylinder	$Z = X_{1/2}$ $d = Z - r$	Z العمق لمحور الأسطوانة، d العمق لقمة اسطوانة نصف قطرها r $r^2 = \Delta g_{\max}^{****} (Z/0.042\delta\rho)$
الأسطوانة الرأسية Vertical cylinder	$Z = 1.732 X_{1/2}$	Z العمق لقمة النهاية
لوح رفيع مائل Thin dipping sheet	$Z = 0.7 X_{1/2}$	Z العمق لقمة اللوح عندما Z ميل الطول للوح، $Z \ll$ ميل الطول للوح. عندما يكون الطول كبير جدا أو ميل اللوح أقل من 60°، لا يكون الحل ممكنا.
المنشور السميك Thick prism	$Z = 0.067 X_{1/2}$ $Z = 0.033 X_{1/2}$	Z عمق قمة المنشور = عرض المنشور والعمق لقاعدة المنشور تكون ضعف العرض، وذلك عندما يكون عمق قاعدة المنشور عشرة مرات عرض المنشور

* في كلا الحالات تدوير Z يكون غير معتمد عليه جيدا.
... جميع المسافات بالمتر إذا لم يوجد حالات خلاف لذلك
... كيلوجرام/متر³
... بالميليجال



شكل (3-43): نموذج شذوذ جاذبي عبر فجوة مملوءة هواء ذات نصف قطر 1.77 متر وعمق 2.87 متر للمركز في صخور ذات كثافة 2.5 جم/سم³

2.3.2.6.3 طرق سميث Smith Rules:

بعد إعادة تنظيم ما يعرف بقواعد سميث 1959, 1960, أصبحت هذه القواعد ملائمة لحساب الأعماق المحددة وفيما يلي هذه القواعد:

(i) عزل الشذوذ الكلي Isolated Entire Anomaly:

$$\Delta g_{\max} / \Delta g_{\max} \times C \geq d \text{ (العمق)}$$

حيث Δg_{\max} = الميل، Δg_{\max} = أكبر قيمة للشذوذ، $C = 0.65$ للبعد الثنائي، $C = 0.86$ للبعد الثلاثي.

(ii) عزل جزء عن الشذوذ الكلي عند نقطة X: Isolated Part of an Anomaly for Any Point X:

$$\Delta g_x / \Delta g_x \times K \geq d$$

حيث Δg_x قيمة الشذوذ عند النقطة المحددة، Δg_x = الميل عند هذه النقطة، $K = 1.00$ للبعد الثنائي، $K = 1.5$ للبعد الثلاثي.

(iii) عند أكبر قيمة لفرق الكثافة وأكبر قيمة للميل الأفقي الثاني

For a Maximum Density Contrast $\delta\rho_{\max}$ and Maximum Value of the Second Horizontal Gradient:

$$\delta\rho_{\max} / \Delta g''_{\max} G 5.4 \geq d$$

حيث $\delta p_{\max} = \text{فرق أكبر كثافة}$ ، $\Delta g_{\max}'' = \text{أكبر قيمة للميل الأفقى الثانى الطريقة i, ii}$ تستعمل طريقة نسبة التدرج السعوى. شكل (3-46) يعتبر أن أى جسم جيولوجى يعطى قيمة الشذوذ الجاذبى المستخلص الكلى لأى إشارة (سالبة أو موجبة) بقيمة جاذبية عظمى Δg_{\max} ، والذى يتغير على طول خط البروفيل، ولهذا فإن التدرج الأفقى يصل لأكبر قيمة عند Δg_{\max} . وتوضح طرق سميث العلاقات المختلفة بين العمق المحدد d لقمة أى جسم جيولوجى وأكبر قيمة للجاذبية Δg_{\max} وتدرجها الأفقى $\Delta g_{\max}'$ كما هو موضح فى i, ii, iii.

4.2.6.3 تحديد الكتلة Mass Determination:

الشذوذ الكتلى هو الاختلاف فى الكتلة بين الظاهرة الجيولوجية (المراد حسابها مثل الكرة) والصخور المحيطة. وهناك طريقتين أساسيتين للحساب. أحدهما من زيادة الكتلة إلى الكثافة العالية للجسم والأخرى لنقص الكتلة بسبب جسم له كثافة منخفضة.

الطريقة الأولى: تستخدم طريقة تقريبية على أساس شذوذ جاذبى لنصف العرض ($X_{1/2}$) وبفرض أن الظاهرة الجيولوجية تقريبا لها شكل هندسى مثل الكرة (الكتلة الكلية M = ثابت \times شذوذ جاذبى لنصف العرض \times مربع نصف العرض، والثابت = 255). فى المثال الآتى، الكتلة الحقيقية لهواء يملأ كهف مهمل، لذلك حساب نقص الكتلة يساوى كتلة الصخر الناقص.

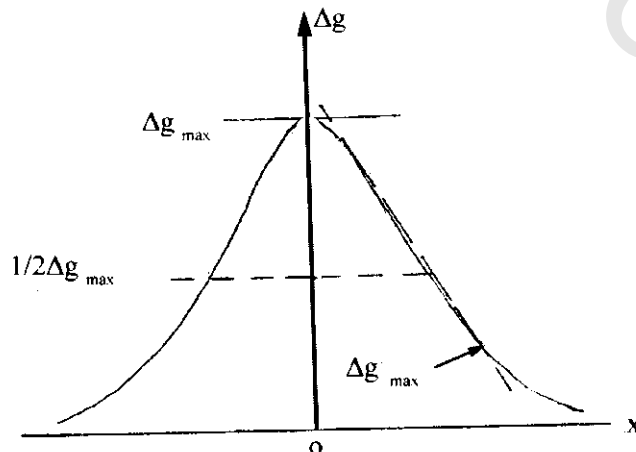
مثال: من المثال السابق لحساب العمق، فإن النقص الكلى لكتلة الكرة يساوى كتلة الصخر فى التجويف مضروبا فى كثافته (2.5 جم/سم³)

$$\text{الكتلة} = \text{الكثافة} \times \text{الحجم} = 1.77 \times \pi/3 \times 12.5 = (\text{نصف القطر}) = 58 \text{ طن}$$

$$\text{وباستخدام نتائج الجاذبية فإن الكتلة} = 255 \times 0.048 \times (2.2)^2 = 59 \text{ طن.}$$

الطريقة الثانية: موضوعه على نظرية جاوس Gauss's theorem فى نظرية الجهد (جرانت ووست Grant & West 1965) وهى مهمة للسببين التاليين:

(1) الشذوذ الكتلى الكلى للظاهرة الجيولوجية (مثل الكرة) يمكن حسابه من الشذوذ الجاذبى المصاحب بدون أى افتراضات.



شكل (3-44): حساب العمق، طريقة نصف العرض وطريقة نسبة التدرج السعوى

(2) الشذوذ الكتلي الكلى مهم فى تحديد الوزن بالطن لخاصات المعادن (همر 1945 Hammer) ولكى تكون هذه الطريقة مؤثرة فمن المهم إزالة المجال الإقليمى الجاذبى وعزل الشواذ المتبقية بوضوح. وتقسّم المنطقة الممسوحة جاذبيا إلى سلسلة من الحلقات وكل منها يقسم إلى قطع من المساحات δA . ويحدد التأثير الجاذبى لكل قطعة ثم يجمع هذا التأثير الكلى لجميع القطع ولتحديد الكتلة الزائدة (M) فأبسط طريقة لحسابها يجب معرفة كثافة الصخور المحيطة ρ_0 وكثافة جسم الكتلة ρ_1 .

مثال:

1) الشاذة الكلية للكتلة (Total Anomalies Mass M_E):

$$M_E = 23.9 \sum (\Delta g \delta A) \text{ طن}$$

حيث Δg ميللجال & δA قطع المساحات بالمتر.

(2) الكتلة الحقيقية للجسم الجيولوجى (M):

$$\therefore M = M_E \frac{\rho_1}{(\rho_1 - \rho_0)} (\rho_1 > \rho_0) \text{ طن}$$

7.3 تحليل وتفسير نتائج الجاذبى Analysis and Interpretation of Gravity Data

النتائج النهائية للمسح الجاذبى (بعد تطبيق جميع التصحيحات) عادة ما توضع فى صورة خرائط شذوذ جاذبية أو خرائط شذوذ بوجير (Gravity anomaly map or Bouguer anomaly map) وغاية تفسير خرائط الجاذبية هو إستنتاج التركيبات الجيولوجية التحت سطحية. وتعنى شاذات بوجير الموجبة والسالبة أكثر من مجرد دلالة على زيادة أو نقص الكتلة. والهدف النهائى للجيوفيزيائى هو أن يستنتج من الخواص المختلفة للشذوذ (السعة – الشكل – الحدة) مكان وشكل التركيب الجيولوجى التحت سطحى الذى ينتج الإضطراب الجاذبى. لذلك يجب تحليل نتائج الجاذبية بطرق تفسيرية ملائمة. ومن المهم لكل من يستخدم نتائج الجاذبية (خاصة الجيولوجيين) أن يتحقق بأنه بالرغم من الإستخدام الجيد لطرق ملائمة لتفسير النتائج فإنها ليست عملية قاطعة الوضوح والتي لايعتمد عليها لإجابة واحدة*.

1.7.3 صعوبات فى تفسير الجاذبية Difficultie sin Gravity Interpretation

يوجد خاصيتين للمجال الجاذبى تجعل التفسير الواحد غالبا مستحيل:

الأول: أن قيمة القياسات للجاذبية (g)، وبالتالي أيضا قيمة الشاذة المخففة (المصححة) Δg_B عند أى محطة تمثل تأثير كتل إضافية موزعة من أسفل لأعلى. وغالبا لا تكون خريطة الجاذبية (أو البوجير) فى صور مبسطة لشاذة مفردة معزولة (أو مستخلصة) ولكن عمليا دائما ما تكون مجمعة من الشاذات الحادة نسبيا والعريضة والتي يكون مصادرها عند أعماق مختلفة. ولذلك يكون التفسير المقدم والملائم يأتى بعد فصل هذه المصادر المختلفة بواسطة طرق مختلفة كما سيأتى بعد. ومن المشاكل

* نفس هذه المسألة تواجه عند تطبيق طريقة المغناطيسية ولذا فإن ما يطبق فى طريقة الجاذبية يطبق أيضا على طريقة المغناطيسية.

لأى طريقة تستخدم يكون من الصعوبة عملية فصل الشواذ عن حقيقة الواقع لأنه لا يمكن تقسيم الوحدة إلى أجزاء مدون حصر حالات الوضع.

الثانى: وهو أكثر أهمية حيث الصعوبة فى تفسير الجاذبية لتحديد المصدر من تأثيرها والتي يكون عكس مشكلة نظرية مجال الجهد. فمثلا لتوزيع كتلة معطاة (أو مصدر كتلى بسيط) يكون من السهولة تحديد التأثير الجاذبى لها ولكن عكس المشكلة (وجود مجال جهد ويراد تفسير مصدره) لا يوجد حل واحد. فمثلا إذا كان هناك توزيع شذوذ جاذبى على الأرض اوفوقها فإن هذا الشذوذ يكون له أكثر من توزيع كتلى ينتج هذا الشذوذ. شكل (3-45).

يوضح ميل لشاذة جاذبية لها أكثر من توزيع كتلى فى شكل (3-45) يمثل طبقة من الصخور لها كثافة أكبر من الصخور المحيطة بها. فى شكل (3-45 ب) يمثل تركيب سرج (نتق). Horst st.، حيث الرميح العليا بين الفالطين لها كثافة أكبر كما أنها أقرب من السطح. فى شكل (3-45 ج) يمثل تركيب طيه محدبة Anticline حيث قمة الطيه ذات كثافة أكبر من الصخور المحيطة بها وقريبة من السطح، وعامة فى تفسير خرائط الجاذبية (خريطة الجاذبية أو خرائط المتبقيات) أو البروفيلات عبر المساحات حيث التركيب تحت سطحى لا يكون معروف فإن المحاولة الوحيدة لاتعكس النتيجة. وهذه العملية لاتكون عكسية كلية فبينما تعطى الكتلة المدفونة تأثير جاذبى واحد متوقع عند أى نقطة مختارة على السطح فإن أى بروفيل جاذبى سينتج (بسبب فيزيائية فقط) بواسطة عدد من توزيعات الكتل الممكنة.

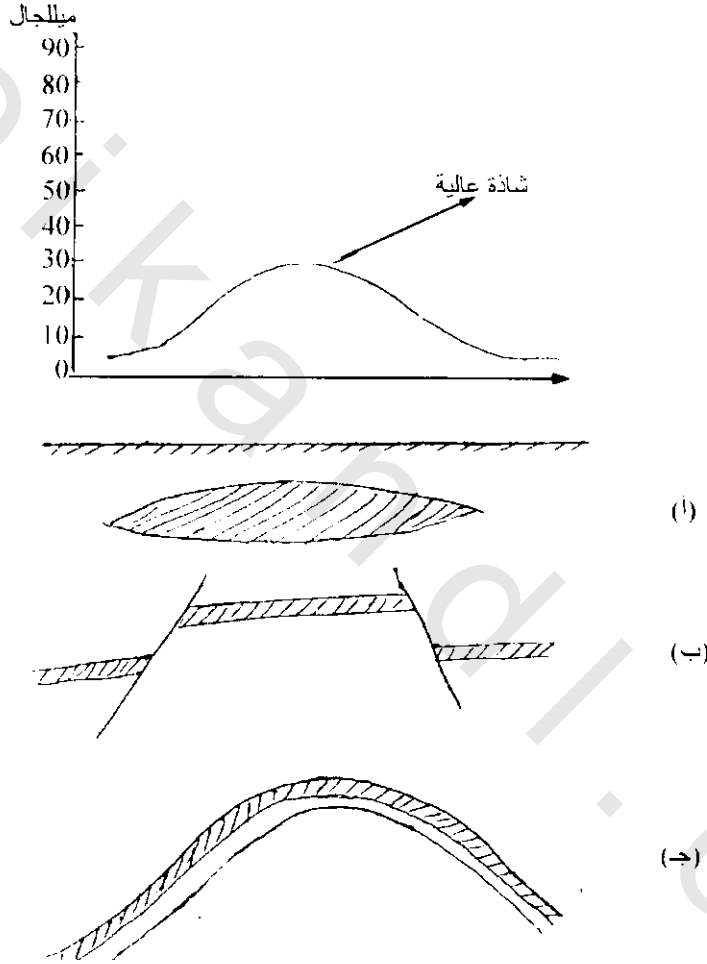
فى شكل (3-46) يلاحظ تركيبين مختلفين من التركيبات تحت سطحية (نفس الشاذة الجاذبية وذلك لغياب المعلومات الجيولوجية، حيث أنه فى النموذجين التركيبين (3-46 أ)، (3-46 ب) نجد أن فرق الكثافة بين الصخور ثابت. فى (3-46 أ) يشير النموذج لصخور قاعدة تعلوها صخور رسوبية بفرق كثافة بينهما 0.2، أما فى (3-46 ب) فإنه يدل على وضع جيولوجى مختلف حيث يخترق الشيست بواسطة تداخل صخرى ذا كثافة أعلى من كثافة الشيست ويعلوهم الصخور الرسوبية ومع ذلك يعطى هذا الشكل نفس الشاذة لأن فروق الكثافة بين الصخور 0.2. لذلك يكون نادرا أن يقوم الجيوفيزيقي بتفسير التركيب تحت سطحى من قيم الجاذبية فقط لهذا فإن الاعتماد على نتائج الحفر أو النتائج السيزمية يقلل من غموض التفسير.

بالإضافة لذلك، فإن هناك غموض آخر فى التفسير ناتج من عدة شاذات لشكل هندسى واحد، فمثلا كتلة كروية لها حجم معين وتباين كثافى فإنها من الممكن أن تعطى مجموعة من الشاذات من خلال قياسات مضبوطة. أى إذا كان هناك كرة لها حجم كبير وتباين كثافة نسبيا صغير فإنها تعطى مجموعة شاذات متساوية بوضوح تام مع كرة لها حجم صغير وتباين كثافى نسبيا كبير، أى أنه يوجد عدد من الشاذات لمثل هذه الكرات. وعن غموض التفسير للجاذبية (أو المغناطيسية) أن بعض الأشكال الهندسية لتوزيع الكتل تعطى نفس الشاذات. لذلك يجب تعيين هذا الغموض مسبقا بالاستعانة بالعاملين المؤثرين أحدهما تباين الكثافة والآخر حجم الأجسام المسببة لشاذات الجاذبية.

8.3 فصل الشاذات: الإقليمية والمتبقيات (المحليات)

Isolation of Anomalies: Regional and Residuals (Locals):

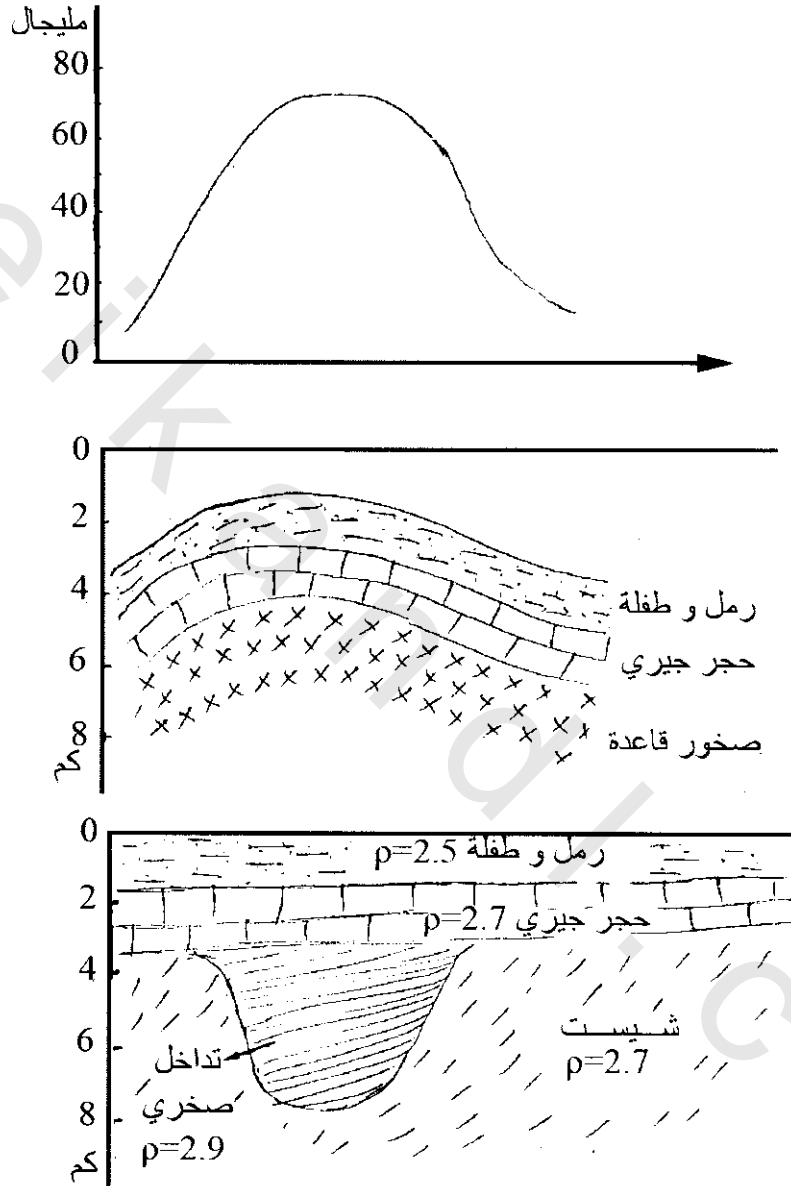
حيث أن الشاذات الجاذبية المفتوحة تدل على تركيبات جيولوجية مفتوحة ومن الصعب دراسة الجيولوجية تحت سطحية المحلية منها والتنبؤ بالخامات الموجودة بها. لذا نلجأ إلى طرق فصل الشاذات للحصول على شاذات جاذبية مقفلة (طيات - فوالق - قباب ملحية وغيرها) والتي تحتوى على المواد البترولية والخامات المعدنية والمياه الجوفية شكل (3-47).



شكل (3-45)

وعندما تكون الشاذة الجاذبية لظاهرة جيولوجية نسبياً صغيرة تظهر كتشوه (التواء) صغير لمجال الشاذة بسبب إتساع التركيب القشري. وهذا التأثير الأخير يمكن ملاحظته عبر مسافات كبيرة ولذلك يكون ما يسمى بالشواذ الإقليمية Regional anomalies، وعلى النقيض (على العكس) فإن الشواذ للتركيبات الصغيرة تكون ما يسمى بالشاذة المحلية (local anomalies). وفصل الشاذة المحلية من أهم الأوليات في التطبيق التنقيبي بينما الشواذ الإقليمية غالباً ما تكون هامة لدراسة القشرة الأرضية. ويوجد عدة مصادر للشواذ الإقليمية فبالإضافة إلى التركيبات الجيولوجية ذات المقاسات الكبيرة يوجد تأثيرات للكثافات الناتجة من التغير الليثولوجي لصخور

القاعدة، وفى مساحات معينة ربما يكون التغير الإقليمى بسبب تأثيرات توازن القشرة الأرضية isostatic المصاحبة لشواذ الكثافات العميقة والتي تنتج من سطح المو هو Moho (هو السطح الفاصل بين الستار والقشرة الأرضية).



شكل (3-46): تفسير تبادلى فرضى لشواذ جاذبى

- (أ) شكل سطح صخور القاعدة والتي حسب منها الشاذة إذا فرض أن تباين الشاذة ($\rho = 0.21$) عند الخط الفاصل
- (ب) تفسير آخر والذي يتفق مع نفس النتائج، تباين الشاذة ($\rho = 0.2$)
- (ج) خريطة شاذات جاذبية مقفلة المسافة الكنتورية 10 ميلجال

وغالبا ماتنتج صعوبات عندما تكون الشاذات لعدة كثافات إما من التركيبات المحلية أو الإمتدادات الإقليمية وتحديث تقارب لبعضها البعض ولذلك لايمكن تحليل تأثيراتها الفردية بسهولة.



شكل (3-47):

(أ) خريطة شاذات جاذبية مفتوحة

فى أغلب مناطق المسح الجاذبى للمساحات الممتدة والتى يكون بها ظواهر تركيبية عميقة مسببة بذلك تغيرات فى الجاذبية على السطح أكبر من التركيبات العادية الهامة فى التنقيب. والتدرج الإقليمى غالبا يشوه تأثيرات التركيبات المحلية مثل القبة الملحية أو المنحدرات المدفونة (الطيه المحدبة) والتى تعتبر مصائد بترولية هامة. ولهذا السبب يجب فصل التأثيرات الإقليمية لتوضيح الظواهر التركيبية المحلية الهامة من خرائط الجاذبية. يوجد عدة طرق لإزالة هذه الجاذبية الإقليمية لكى تظهر المتبقيات Residuals (تمثل الجاذبية المحلية)، بعض هذه الطرق خطى Graphical والآخر تحليلى Analytical.

1.8.3 الطريقة الخطية Graphical Method:

تعرف أحيانا كتصحيح إقليمي، وهى واحدة من أقدم وأكثر الطرق تقليدية لعمل هذا الفصل أو التصحيح، ويكون بتسوية خطوط كنتور الشذوذ ذات القيمة الواحدة، وذلك برسم خطوط كنتورية متساوية (تقريبا خطوط مستقيمة) وطرح قيمة مجموعة الكنتور المتساوية من خطوط الكنتور الملاحظة بالخريطة وذلك لإظهار خطوط الكنتورات المتبقية، وترسم بعد ذلك كنتورات جديدة بين تقاطعات الكنتورات الملاحظة والإقليمية* ويمثل الفرق المتساوى كنتورات المتبقيات. وتمثل هذه الكنتورات الناتجة أشكال مقفلة منخفضة القيمة شكل (3-48).

إذا رسم مقطع جانبي عبر مركز الشاذة الممثلة فى شكل (3-47) فإن الإتجاه الإقليمى يمثل بواسطة خط مستقيم متصل بنهاى البروفيل على جانبي ظاهرة الشاذات وهذا واضح فى شكل (3-49). وفى هذا الشكل يرسم بروفيل المتبقيات أسفل بروفيل المقطع الملاحظ (المقاس) وذلك بواسطة طرح القيمة الإقليمية المقدرة من الجاذبية الملاحظة عند كل النقط على طول البروفيل.

* خطوط الكنتور المتساوية

2.8.3 طرق التحليل Analytical Methods:

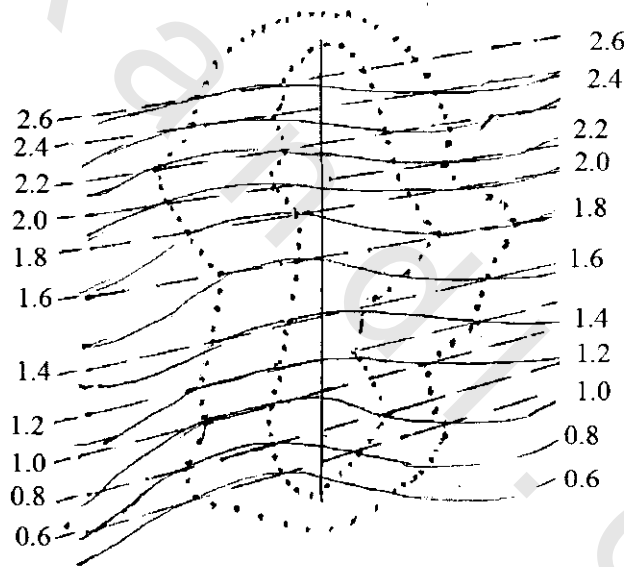
1.2.8.3 الطريقة المباشرة لحساب المتبقيات Direct Computation of Residuals:

إحدى هذه الطرق وصفت بواسطة جرفن Griffen وتشمل متوسط قيم الجاذبية على طول محيط دائرة أو ثماني منتظم (Regular Polyhedron) مركزها عند النقطة المراد حساب المتبقيات عندها. هذه الطريقة موضحة بشكل (3-50)، o النقطة المراد حساب المتبقيات عندها.

(قيمة الجاذبية عند المركز المراد حساب المتبقيات عندها) $\Delta g = g_o$ (المتبقيات)

$$-(g_1 + g_2 + g_3 + g_4 + g_5 + g_6 + g_7 + g_8)/8 \quad (3-28)$$

وبعد ذلك تنقل الدائرة إلى نقطة أخرى وهكذا إلى أن تنتهى نقط البروفيل الأفقى، ثم يبدأ نفس العمل على البروفيل الذى يليه إلى أن تنتهى الخريطة. ثم توصل نقط المتبقيات وتنتج بذلك خريطة المتبقيات Residual map.



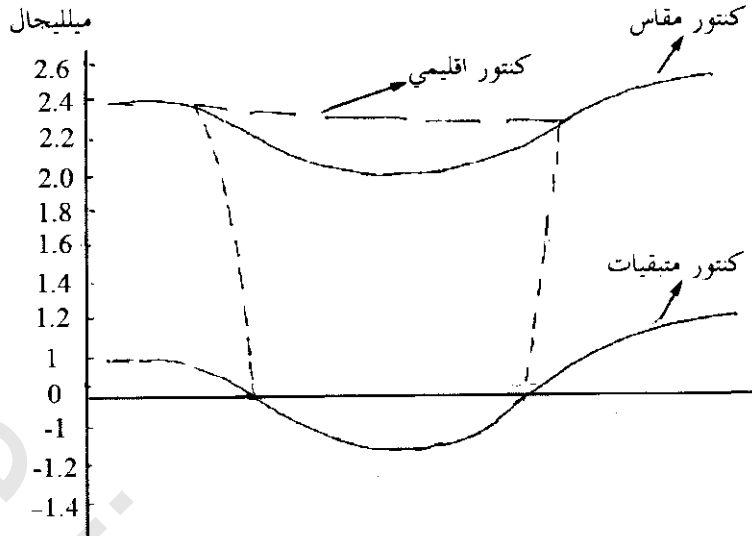
— الكنتور الملاحظ (المقاس) ميللجال

--- الكنتور المتساوى للاتجاه الإقليمى

.... كنتور متبقيات الجاذبية

0.6 ، ، 2.6 قيم بالميللجال

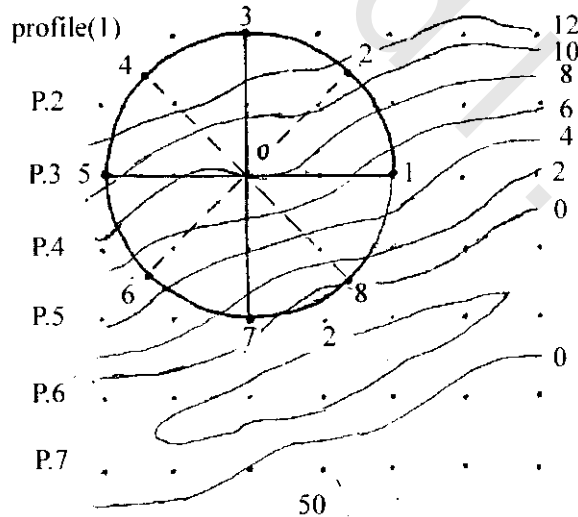
شكل (3-48):



شكل (3-49):

2.2.8.3 خرائط جاذبية المشتقة التفاضلية الرأسية الثانية :Second Vertical Derivative Gravity Map

تستخدم هذه الطريقة مباشرة لتعيين المتبقيات (الشاذات المحلية) من معدل التغير في الشاذة الإقليمية حيث أن معدل التغير فيها يكون ثابت تقريبا بينما يكون معدل التغير في الشاذة المحلية سريع، ذلك فإن المصادر القريبة حتى ولو كانت صغيرة يكون لها تأثير كبير على التدرج الجاذبي أكثر من الجاذبية نفسها. وهذا يعنى أنه لو حسب معدل التغير بالنسبة للمسافة لكان كبيرا للشاذة المحلية وصغيرا جدا للشاذة الإقليمية ولذلك فإن المشتقة الأولى أو الثانية تعتبر وسيلة جيدة للتخلص من الشاذة الإقليمية شكل (3-51).



شكل (3-50):

=0 النقطة المراد حساب المتبقيات عندها

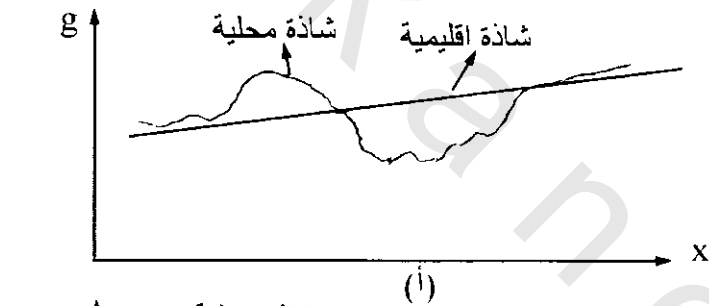
~ = الكتنور بالمليجال.

1, 2, 3, 8O النقاط التي أخذت عندها القراءات

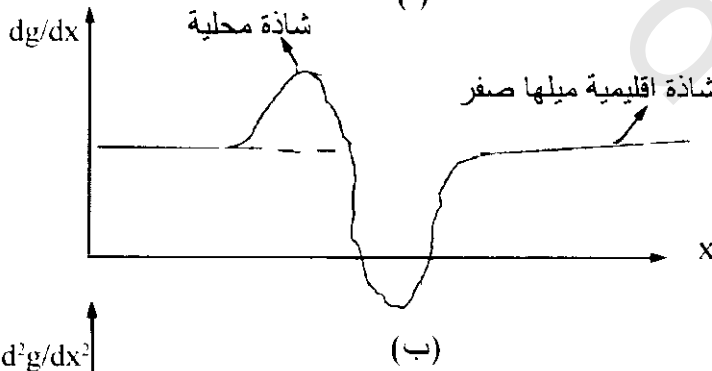
وتبعاً لذلك يوجد سبب جيد للتوقع بأن الظواهر المحلية local features سوف تكون أكثر سيادية على الخريطة الواحدة من مشتقات الجاذبية عن خريطة الجاذبية نفسها، ولهذا تشير خرائط المشتقات للأماكن الموجود بها الشواذ المتبقية. وتقوم أهمية هذه الطريقة على حقيقة أن تتابع التفاضل للمركبة الرأسية للجاذبية مع العمق تشير للتأكد بوضوح أكثر للشذات الجيولوجية الصغيرة والضحلة عبر الإمتداد الكبير للظواهر الإقليمية. وتوجد عدة أنظمة لحساب هذه الطريقة بواسطة تطبيق نظرية الجهد للمجال الجاذبي حول النقطة المراد الحساب عندها، والأنواع الشاملة للصيغ الرياضية اختزلت إلى خطط عملية للحساب. وتبعاً لهذه الخطط فإن القيم من الشبكة المنتظمة للنقط تستخدم لتحديد المتوسطات حول الدوائر المختلفة الأقطار من نقطة المركز كما في شكل (3-52) وأساس حساب معادلات الطرق المختلفة هي

حيث: D = قيمة المشتقة، C = ثابت لكل طريقة عملية، S = مسافة الشبكة، g_0 = قيمة الجاذبية عند o (نقط الحساب) g_2, g_1 = متوسط قيم الجاذبية حول حلقات المتتابعة.

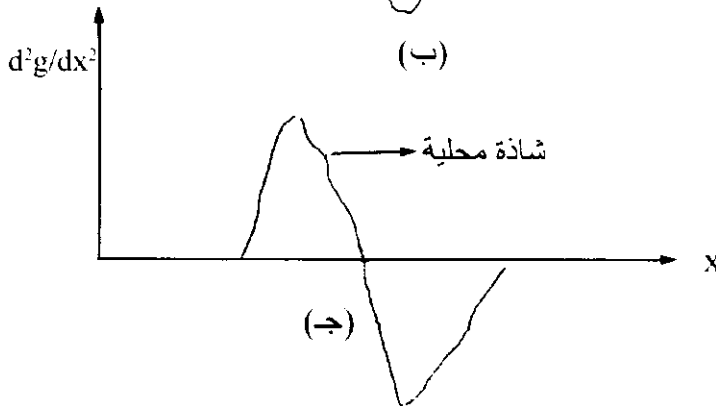
ومن أهم أمثلة الطرق المطبقة لحساب المشتقة الرأسية الثانية هي طريقة بيتر 1949 Peteris



شكل (3-51):



أ- شاذة تناقلية محلية وإقليمية، ب- المشتقة الأولى جعلت الشاذة الإقليمية ثابتة، ج- المشتقة الثانية ألغت الشاذة الإقليمية وجعلتها تساوى صفر وكبرت الشاذة المحلية

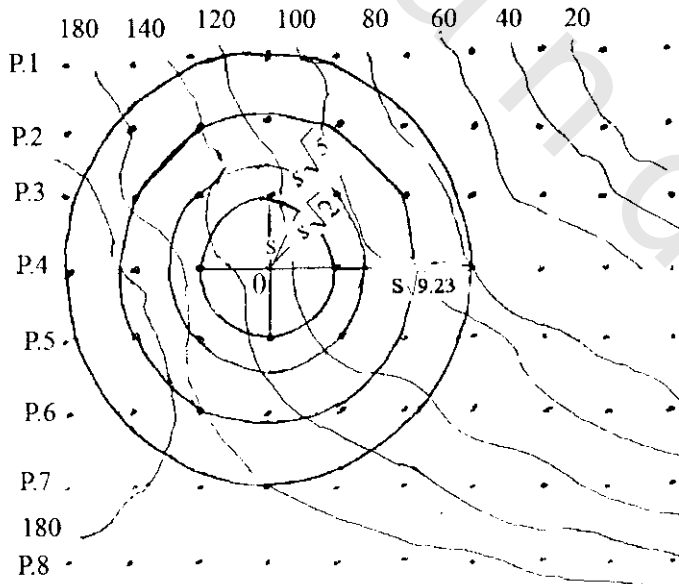


$$D = C/S^2(w_0g_0 + W_1g_1 + \dots W_ng_n)$$

method

$$\begin{aligned} \frac{\delta^2 g}{\partial Z} = & 1.156 g(o) + 0.2569 g_1(s) \\ & - 0.4459 g_2(S\sqrt{2}) - 1.359 g(S\sqrt{S}) \\ & + 0.392 g_4(S\sqrt{9.23}) \end{aligned} \quad (3-29)$$

حيث $\frac{\partial^2 g}{\partial Z^2}$ هي المشتقة التفاضلية الرأسية الثانية عند نقطة o (المتبقيات) \ddot{O} , 1.156 , 0.2569 ثوابت ،
 g_o = قيمة الجاذبية عند نقطة o المراد حساب المشتقة عندها، $g_1 S$ = متوسط قيمة الجاذبية لأربع نقط عند الدائرة التي نصف قطرها $S\sqrt{2}$ ،
 $g_2 S\sqrt{2}$ = متوسط قيمة الجاذبية لأربع نقط عند الدائرة التي نصف قطرها $S\sqrt{2}$ ،
 $g_4 S\sqrt{9.23}$ = متوسط قيمة الجاذبية لأربع نقط عند الدائرة التي نصف قطرها $S\sqrt{9.23}$ وبعد ذلك تنقل إلى نقطة أخرى إلى أن تنتهي نقط البروفيل الأفقي الأول، ثم يجرى نفس العمل على البروفيل الذي يليه وبعد إنتهاء حساب الخريطة توصل قيم النقط المحسوبة من معادلة المشتقة الرأسية الثانية فنتج بذلك خريطة المشتقة الرأسية التفاضلية الثانية (المتبقيات).

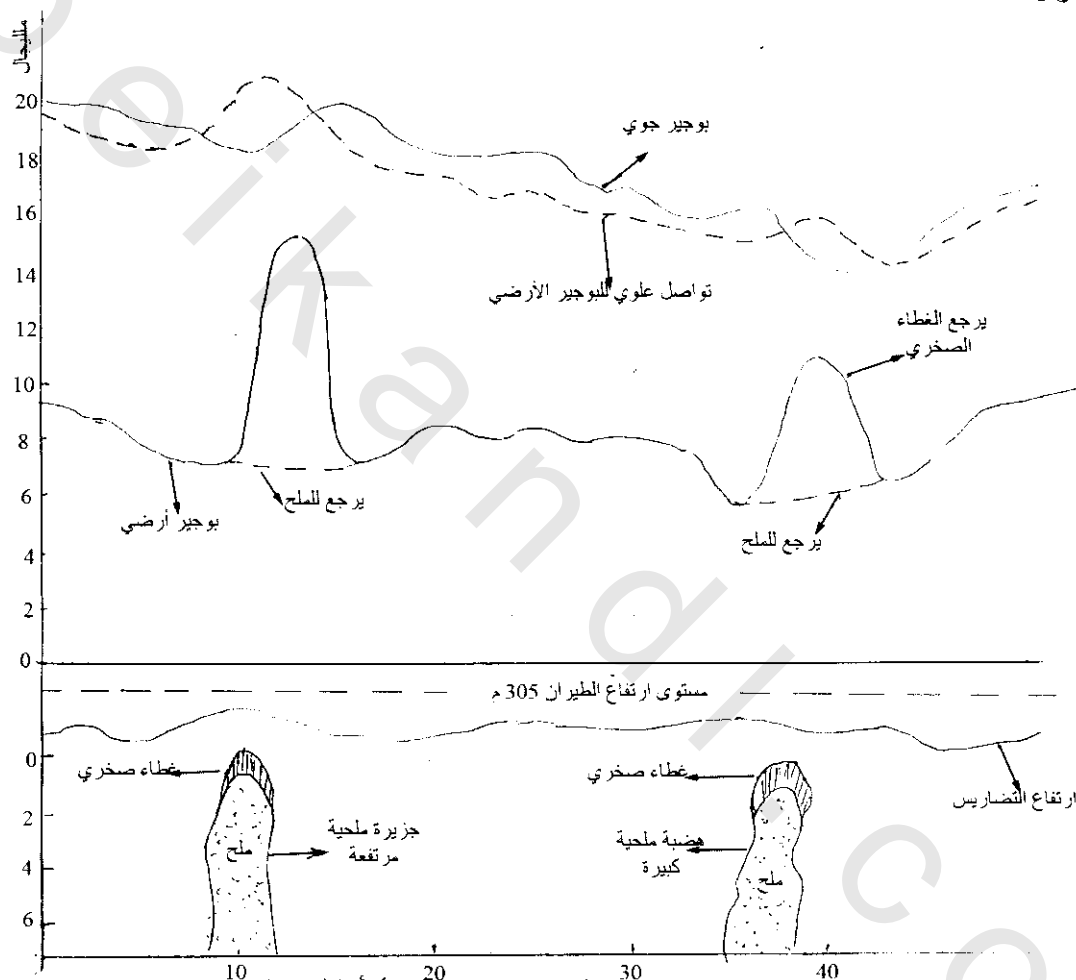


شكل (3-52): طريقة بيتر Petter لحساب المشتقة التفاضلية الرأسية الثانية، = النقطة المراد حساب المتبقيات عندها، S = نصف قطر الدائرة الأولى، $S\sqrt{2}$ = نصف قطر الدائرة الثانية، $S\sqrt{5}$ = نصف قطر الدائرة الثالثة، $S\sqrt{9.23}$ = نصف قطر الدائرة الرابعة، ~ = الكنتور بالميليجال (المسافة الكنتورية 20 ميليجال)

3.2.8.3 تحليل إستمرارية المجالات :Analytic Continuation of Field

بواسطة عمليات رياضية يمكن تحليل المجالات (جاذبية ومغناطيسية) إلى مستويات مجالية أعلى أو أسفل. وعادة ما يعطى تحليل الإستمرارية العلوية (upward continuation) خريطة تنعيمية (smoothly map) للخريطة الأصلية وبذلك يمكن استعمالها كطريقة تنعيمية مؤثرة لفصل الشاذات الناتجة من مصادر عميقة (فى المسح الجاذبي والمغناطيسى الجوى فإن التواصل العلوى يستخدم لحساب المجال عند المستوى الأعلى والنتائج

المحسوبة توافق باعتماد جيد للقياسات الحقيقية المأخوذة عند هذا المستوى). المثال الآتى شكل (3-53) يبين استخدام التواصل العلوى فى مقارنة شذات المسح الجاذبى الأرضى مع نتائج مسح الطيران وعادة تتواصل النتائج الأرضية لأعلى أكثر من عملها للتواصل السفلى حيث لاتكبر التشوهات (نتوءات) ويلاحظ من الشكل أنه يوجد قيمتين منخفضتين المصاحبتين لكثافة الملح المنخفضة لها موجات طويلة قصيرة يعلوها (يركب عليها) قيم عالية والتي ترجع لوجود غطاء صخرى ذا كثافة عالية فوق القبة الملحية. هذه الزيادة فى الشذوذ تقل بزيادة الإرتفاع ويتفق هذا بين الفواصل العلوى لنتائج المسح الأرضى والمسح الجوى ماعدا التجاور المباشر للغطاء الصخرى.



شكل (3-53): مقارنة بين المسح الجوى والتواصل العلوى لنتائج المسح الأرضى

أما التواصل السفلي downward continuation فيستخدم لتحويل نتائج المجال المقاس فيه كقياسات إلى مستوى قريب أو غير شاذة المصادر ولذلك فإنه تستخدم خاصة في تفريق (تحليل أو حل) التأثيرات المترتبة للمصادر القريبة من بعضها، وربما إذا استمر التواصل لأعماق أكبر من العمق للظاهرة الكبيرة المحددة، فإن مجال التواصل سوف يبدأ في إظهار تغيرات (تذبذب) قصوى. وربما يكون المستوى عند بداية هذه التذبذبات (التغيرات) في حالات معينة تعطى دلالة مباشرة لعمق قيمة ظاهرة الشاذات منتجة المجال المعطى ولكن حقيقة فإنها تمتد حدود لأكثر عمق مقبول (بيتر 1949 Peter، همر 1963 Hammer، ريو 1966 Roy، أندرسون

Anderson 1966، كونستنتنسكو Constantinsco 1966) وبهذه الطريقة يمكن حساب المجال عند العمق الحقيقي للتركيب المدفون. وحساب هذه الطريقة تشبه طريقة حساب المشتقة التفاضلية الرأسية الثانية (S.V.D) مع نفس اختيار الدوائر (شكل (3-52) مع تغير ثوابت الوزن كما في معادلة كونستنتنسكو Constantinsco 1966.

$$g(-d) = -8.395745 g(0) + 6.90410 \sum_{i=1}^4 g(s) - 4.51741 \sum_{i=1}^4 g(s\sqrt{2}) \quad (30)$$

حيث $g(-d)$ هي نتيجة الإستمرارية السفلى عند نقطة o ، 8.395745 و 6.90410 ثوابت

$g(o)$ = قيمة الجاذبية عند نقطة الحساب والمراد حساب التواصل السفلى عندها

$$\sum_{i=1}^4 g(s) = \text{متوسط قيمة الأربع نقط حول النقطة الأصلية والموجودة عند أطراف منتصف قطر الدائرة}$$

والذي مقداره S .

$$\sum_{i=1}^4 g S\sqrt{2} = \text{متوسط قيمة الأربع نقط حول النقطة الأصلية والموجودة عند أطراف منتصف قطر الدائرة}$$

الذي مقداره $S\sqrt{2}$.

9.3 التفسير بواسطة النماذج Interpretation by Models:

غالبا ما يكون جميع تفسيرات نتائج الجاذبية تتم بواسطة طرق غير مباشرة حيث لا توجد طريقة مباشرة لتحويل نتائج الجاذبية لجيولوجيا تحت سطحية. وتكون الطريقة العامة بفرض أشكال مختلفة بسيطة (موافقة مع القبول الجيولوجي) لمصدر الشاذة، وحساب تأثيرها الجاذبي عند السطح وتعديل هذه النماذج تدريجيا حتى يمكن الحصول على موافقة ملائمة مع الشاذة الملاحظة (المقاسة). وبدل التقارب الملائم فقط على أن النموذج المختار يكون الحل المقبول. وإذا كانت النتائج الجيولوجية غير كافية فربما لا يمكن عمل أكثر من محاولة تجارب (محاولات) لاختيار مدى الحلول المتقاربة حتى يكون الحل الأكثر تشابه هو المطلوب.

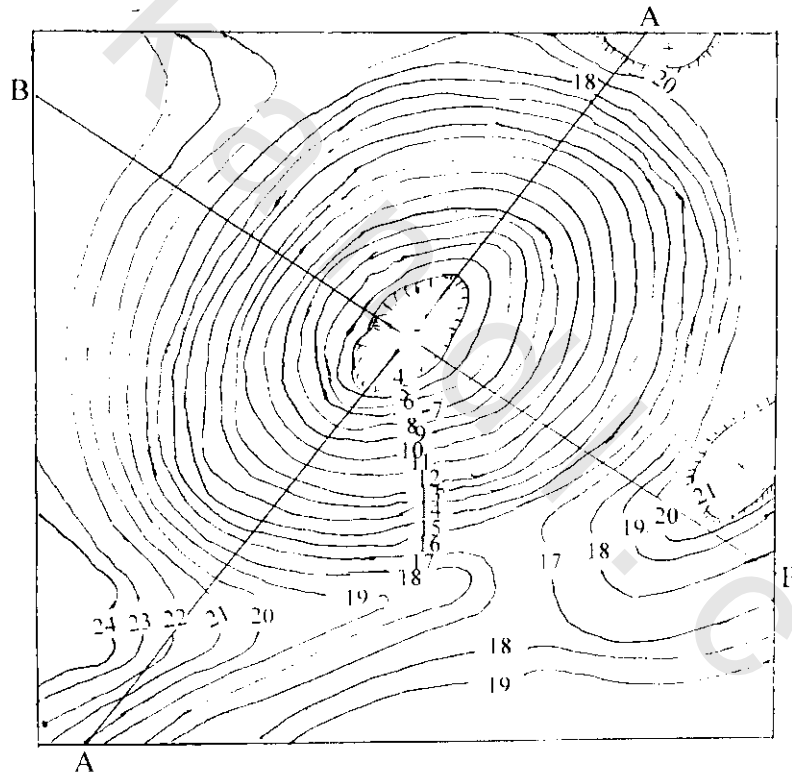
قبل إختيار النموذج لمحاولة الحسابات يكون من المهم فحص خريطة الشاذة الجاذبية بحرص لاستخراج لبعض الأدلة حول حجم وشكل الجسم الجيولوجي المسبب للشاذة. فعمليا الإستطالة لكتنور الشاذة يكون مفيد كدلالة لإتجاه وطول التركيب المسبب للشاذة. عند معرفة معلومات جيولوجية ملائمة لمساحة ما، لذلك عند إختيار نموذج لها يكون من العادة عمل شكل تقريبي هندسي بسيط للنموذج. وإستعمال نماذج معقدة للحصول على أحسن توافق بين الشاذة المحسوبة والمقاسة ربما تكون مبهمة إذا لم يوجد معلومات جيولوجية ملائمة أو تحكمات معتمد عليها. والتفسير باستخدام النماذج البسيطة يمكن توضيحه جيدا بواسطة المثال الحقلى الآتى شكل (3-54) فعادة ما تتميز الأجسام الملحية بجاذبية منخفضة (تقريبا 2.2 جم/سم³) أقل من كثافات الصخور الرسوبية المحيطة بها. ومن الشكل نلاحظ أن الشاذة دائرية الشكل تقريبا لذلك يكون تأثير القبة الملحية سائدا حيث يلاحظ تأثيرها العام جيدا. وتكون السعة الكلية للشاذة Δg_{max} حوالى 16 ميللجال ومنتصف العرض $X_{1/2}$ تقريبا 3700 متر محددة من البروفيل NE-SW (A-A') وبفرض الشكل الكروى لجسم الشاذات فيكون العمق لمركز كتلة

الملح Z_c حوالى 4800 متر وذلك بواسطة قاعدة نصف عرض $X_{1/2}$ 1.305. ومن السعة الكلية للشاذة يمكن تقدير نصف القطر R المكافئ للكرة ولذلك يتطلب بعض المعلومات عن متوسط تباين الكثافات للملح مع صخور الكريتالوى والرسوبيات القديمة عند عمق Z_c وإذا افترضنا أن هذا التباين يساوى 0.25 جم/سم³.

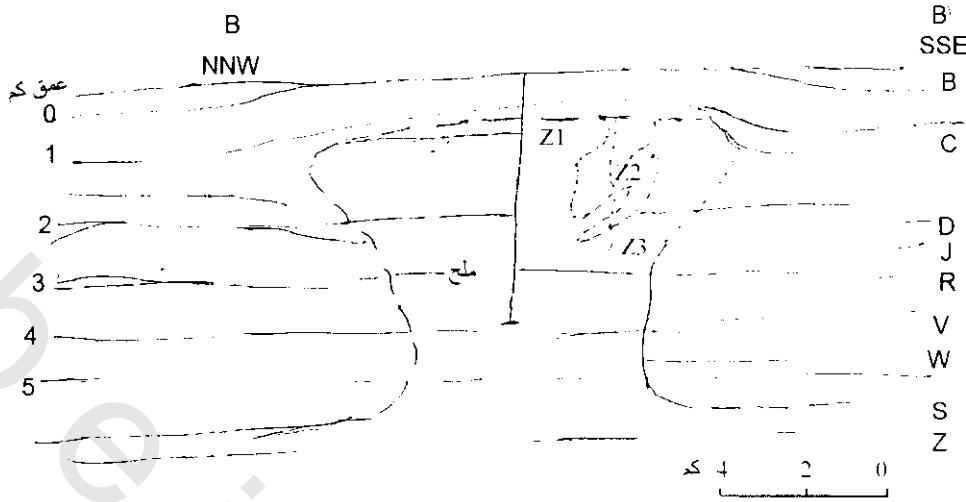
وباستعمال المعادلة

$$\Delta g = \frac{4\pi R^3 G \Delta \rho}{3Z^2} \frac{1}{(1 + X^2/Z^2)^{3/2}} = \frac{\Delta g_{\max}}{(1 + X^2/Z^2)^{3/2}}$$

يمكن الحصول على قيمة R والتي تساوى 3800 متر وقيمة العمق لقمة القبه المحية Z_T تعطى بواسطة Z_c . وفي هذه الحالة تساوى تقريبا 1000 متر. وإذا افترضنا أن تباين الكثافات = 0.2 جم/سم³ فإن $R = 4100$ متر والعمق للقمة $Z_T = 700$ متر. وهذا التفسير السابق من الجاذبية فقط يتفق مع نتائج طريقة الانعكاس السيزمية شكل (55-3) التي تمت بعدها على طول البروفيل $B-B'$ فى شكل (54-3).



المسافة الكنتروولية = 1 ميللجال شكل (54-3):



شكل (3-55) البروفيل السيزمي عبر بروفيل A-A' في شكل (3-54) ويوضح عمق القطاع حيث B قاعدة الترشيحي، C قاعدة الكريتاي العلوي، D قاعدة الكريتاي السفلي، J قاعدة الجيوراسي، R قاعدة الرياتيكي، V, W علامات الترياسك، S قمة زيشتاين، Z قاعدة زيشتاين

وهذا المثل يوضح أنه حتى بدون معلومات معينة على الكثافات أو على عمق القبة عند بعض النقاط (مثل التي يحصل عليها من الحفر أو النتائج السيزمية) فالحساب البسيط للنموذج الكروي قادر على مد معلومات جيولوجية معينة حول المكان والعمق التقريبي وقياس تقريبي للقطر والذي يحيط جوانب القبة الملحية.

10.3 استخدام الحسابات المساعدة وإعادة الطرق

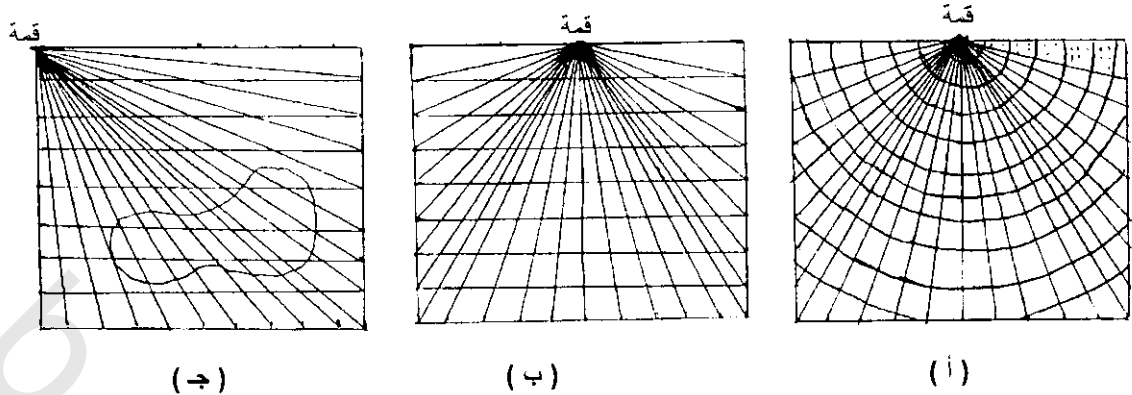
Use of Computational Aids and Iterative Techniques:

حساب الجاذبية لأجسام غير منتظمة الشكل تكون مطلوبة لتفسير مشاكل معينة. ويوجد عدد من الوسائل الخطية والطرق الميكانيكية القادرة على عمل تفسيرات حسابية بسرعة. وعامة تقسم الطرق المستخدمة كثنائي الأبعاد وثلاثي الأبعاد. وحسابات الثنائي الأبعاد تكون ملائمة لمواقع يكون شاذات الكنتورات مستطيلة ويوجد عدة شبكات (graticules) لهذا الغرض وشكل (3-56) يوضح شبكات بسيطة والتي تستخدم لهذا الغرض.

11.3 الشبكات Graticules:

بمقارنة تأثير الجاذبية من التركيب التحت سطحي المفترض مع قيم الجاذبية الحقيقية الملاحظة (المقاسة) لاتكون دائما ممكنة لحساب جاذبية الكتل الغير منتظمة بواسطة الوسائل التحليلية ولذلك تستخدم طبقات شفافة تسمى شبكات (Graticules) والتي توضع عبر مقطع عرضي للتركيب الذي حسب تأثير جاذبيته.

وتتكون الطبقات عامة من نموذج شكل مروحي من خطوط مكونة سلسلة من الحجرات وعبرها تزيد المساحات كلما زادت المسافة من قمة الطباعة. وتوضع القمة على محطة الجاذبية على القطاع والذي يمكن تحديده بعدد الحجرات المغطاة له على الطباعة. وفي معظم الشبكات، كل حجرة تمثل كثافة ثابتة والتي تساوي المشاركة للجاذبية عند المحطة. أنواع الشبكات.



شكل (3-56):

- (أ) شبكة منقطة تستخدم لحساب التأثير الجاذبى عند أى نقطة على السطح من جسم مدفون ثنائى الأبعاد.
 (ب) شبكة لحساب التأثير الجاذبى من تركيب ثنائى الأبعاد.
 (ج) شبكة لحساب التأثير الجاذبى الرأسى لجسم غير متساوى الشكل.

1.11.3 فى شكل (3-56) كل حجرة تمثل المشاركة الجاذبية الرأسية عند المحطة المقاس وقيمة التأثير تدل بواسطة عدد من النقط فى الحجرة والدائرة (التي لاتكون كاملة فى تغطيتها لجزء من التركيب) تمثل $1/10$ وحدة الجاذبية والحجرة المملوءة (التي تغطى تماما جزء من التركيب) تمثل وحدة جاذبية وقيمة كل وحدة بالميللجال تعتمد على مقياس القطاع العرضى والذى عليه وضعت الطابعة وأيضا على كثافة الجسم الذى يحدد تأثيره.

2.11.3 والشبكة الأخرى كما هى مبينة فى شكل (3-56ب)، وجميع الحجرات لها شكل شبه منحرف والخطوط الإشعاعية تخرج من القمة Vertex، ولذلك فإن كل خط يعمل زاوية مع الخط الذى يليه. وتستخدم كالشبكة السابقة ماعدا أنه ليس فى الحجرات نقط لتساعد فى عملية التفسير ولكن كل حجرة $5-10 \times p$ حيث p الكثافة وتكون الشاذة الكلية هى عدد الحجرات التى تقطع جزء من القطاع العرضى للنموذج الجيولوجى أى أن القيمة الكلية $t \times x \times 10^{-5}$ حيث t عدد الحجرات.

3.11.3 أما شكل (3-55ج) فتوضح استخدام الشبكة لحساب المجال الجاذبى الرأسى عند نقطة O لعينة جسم غير متساوى الشكل حيث تعد الحجرات المغطية للجسم وتقدر وتضاف للعدد الأصى للحجرات.

ملحوظة: تستخدم هذه الشبكات لتحديد شكل التركيب الجيولوجى المتوقع من افتراضات الأشكال المرسومة للبروفيلات المأخوذة من خرائط الجاذبية وذلك فى غياب المعلومات الجيولوجية كما فى شكل (3-45)، (3-46).

12.3 الشاذة الجاذبية والجيولوجيا التركيبية Gravity Anomalies and Geological Structures:

تستخدم القياسات لدراسة كثير من أنواع التراكيب الجيولوجية يتراوح مداها فى العمق والحجم من كتل قشرية عميقة إلى أجسام خامات قريبة من السطح. عامة فإن الاختلاف الإقليمى الكبير فى الجاذبية تتعلق مع التغير فى سمك القشرة الأرضية أو بسبب الفرق الكبير فى عدم تجانس الكتلة. ومن جهة أخرى فإن قيم شاذات الجاذبية المحلية تشترك مع كتلة السطح القريب للكتل الغير متجانسة. وتتطابق الشاذات السالبة مع أحواض

الترسيب، الملح، التركيبات الجرانيتية والأحواض بينما تتفق الشاذات الموجبة مع تقب (نتوءات القشرة الأرضية العليا-إرتفاعات)، هضبات إرتفاعية (سراجات) (نتوءات))، الكتل المافية، وسنتناول هنا بعض الأمثلة والتي توضح بعض دراسات الجاذبية لبعض المشاكل المتعلقة بالتركيبات الإقليمية والمحلية. وفي نفس الوقت فهذه الأمثلة سوف تدل بالرغم من مشاكل الغموض في التفسير على أن الشاذات الجاذبية تستطيع أن تعطى تفسيرات كافية حول التركيبات تحت سطحية وتوزيع الكثافات.

1.12.3 الأحواض الرسوبية أو البلوتن² الجرانيتي أو القبة الملحية

Sedimentary Basin or Granite Pluton or Salt Dome:

من المهم تفسير نتائج الجاذبية للبحث عن المواد الهيدروكربونية القدرة على التميز بين أحواض الترسيب (الحاوية على المواد الهيدروكربونية) والبلوتينات الجرانيتية (لاحتوى على مواد هيدروكربونية) حيث أن كلاهما ينتج شواذ جاذبية سالبة. وتوجد الأمثلة لبعض المواقع في العالم حققت هذه الظاهرة حيث وجد أن بعض الجرانيت الجوفي Granite pluton لها نفس القيمة المنخفضة المشتركة معها للأحواض الترسيبية. وقد اتفقت هذه الدراسات مع السيزمية الإنعكاسية. وفي عام 1962 وضع بوت Bott مقترحات لمجموعة من المعايير للتمييز بين الأحواض الرسوبية والكتل الجرانيتية كتفسيرات للجاذبية المنخفضة. وقد وضعت البراهين على أساس المشتقة الرأسية التفاضلية الثانية (S.V.D) للشاذات الجاذبية الناتجة من نصف إمتداد بعدين لانهائي للوح أفقي ذا حافة مسطوية. وقد وجد أن وحدة قياس النسبة لقيمة العظمى والصغرى للمشتقة الرأسية التفاضلية الثانية g_{max}/g_{min} تعطى معنى للتمييز بين التركيبين الجيولوجيين كالآتي:

1- بالنسبة لأحواض الترسيب (جوانب الحوض تميل للداخل) $g_{max}/g_{min} \geq 1.0$.

2- بالنسبة للكتل الجرانيتية (جوانبها تميل للخارج) $g_{max}/g_{min} \leq 1.0$.

وشكل (3-57) يوضح كيفية حساب هذه الطريقة. وهذه الطريقة غير مناسبة في حالة امتداد النشاط التكتوني حيث تتشوه الأحواض الرسوبية بواسطة أحواض صغيرة وكذلك البلوتن الجرانيتي (الجرانيت الجوفي) بواسطة فوالق معقدة ولذلك يتغير التدرج لجرانيت كلا النوعين.

وبالإضافة إلى الأحواض الرسوبية ومقارنة نتائجها بنتائج الكتل الجرانيتية فيشترك معهم في خاصية الشواذ المنخفضة القباب الملحية كما في شكل (3-58) كما تشترك معهم في التركيبات الجيولوجية والانحدار.

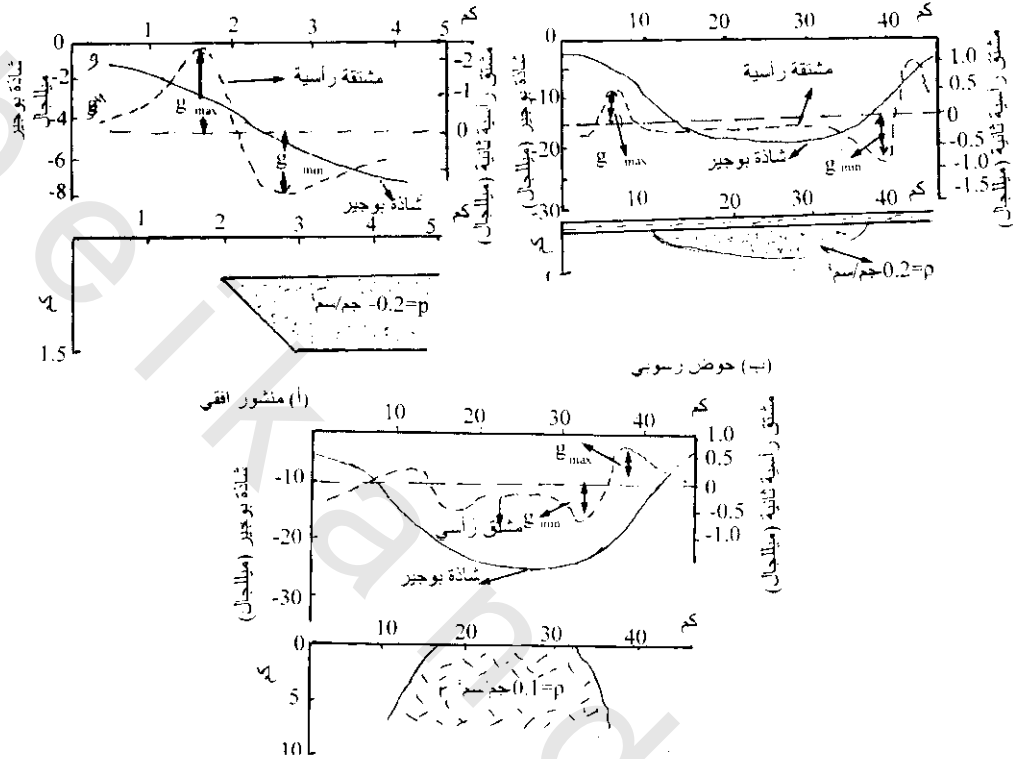
2.12.3 الوديان الخسيفة (الأخدودية) والأحواض الرسوبية Rift Valleys and Sedimentary Basins:

ويرى المسح الجاذبي شاذات سالبة كبيرة نسبيا تحدث محليا عبر الوديان الخسيفة. مثال ذلك في هضبة شرق أفريقيا فبعض الوديان الخسيفة يصل فيها الشذوذ الجاذبي إلى (-50 ميللجال) كما هو ملاحظ عبر بروفيل شاذة بحيرة البرت (جلدر 1964 Gilder) والنموذج المحسوب لها شكل (3-59)، ويتضح من الشكل أن القيمة المقاسة تتفق مع النموذج المحسوب (المنحنى المشروط) للرواسب المائلة لودى الخسف المتكون بواسطة فوالق عادية.

* الكتل التي يكثر فيها معادن الحديد والمغنسيوم mafic mass.

** أجسام الصخور النارية أو الشبيهة بالنارية تتكون إما من تصلب الصهارة أو التأثير الصهاري في صخور قديمة أي هي صخور جوفية ذات حبيبات خشنة.

تتكون الأخاديد بواسطة شد جانبي بالقشرة الأرضية، ويوضح شكل (3-59) بروفيل الشاذة بوجير عبر جزء مركز الأخدود وبمقارنة شكل (3-59) بشكل (3-57) يتضح أنهم يشتركان فى إنخفاض قيمة الشاذة الجاذبية وكذلك شكل البروفيل.



شكل (3-57): معايير بوت Bott للتمييز بين بروفيل الجاذبية

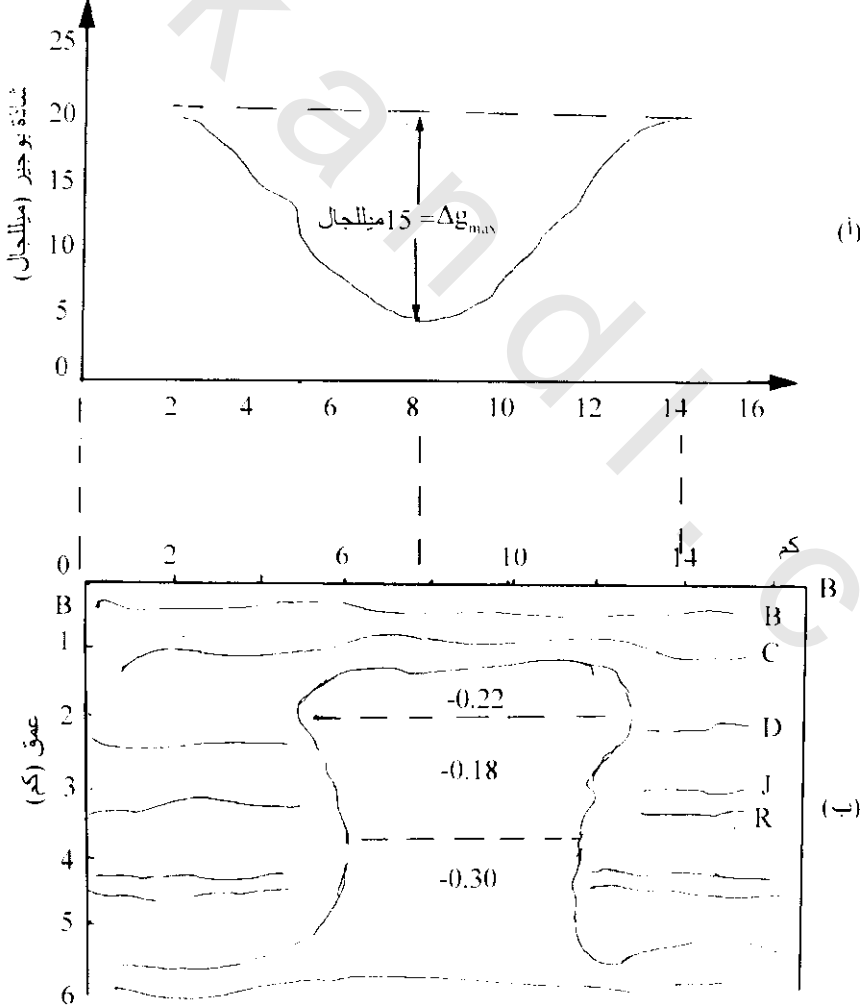
3.12.3 تركيبات الحواف الساحلية، نتوءات المحيطات، والأخاديد

Structure of Coastal Margins, Oceanic Ridges, and Trenches:

برهن المسح الجاذبى على أنه طريقة ملائمة لدراسة التركيبات العميقة للحواف الساحلية ووسط نتوءات المحيطات والأخاديد. ومن الأمثلة على ذلك دراسة الجاذبية مع نتائج الطريقة السيزمية والتي استخدمت لتجديد كيفية أن قشرة أنواع القارات والمحيطات اندمجت عند إنحدار الحافات. ويتضح التقارب العادى باستخدام محطات الإنكسارات السيزمية على جانبي الإنحدارات لتحديد سمك القشرة عند نقط قليلة. وعندئذ باستخدام نتائج الجاذبية لاستنتاج شكل الموهو (Moho) عبر الحافة، ويوضح شكل (3-60) قطاع قشرى لحافة بهاماس (Bahamas) بجوار جزيرة اليثرا (Eleuthra Island) من نتائج الجاذبية، وفيه ترفع (thins) الحافة القارية القشرة فجأة إلى قشرة محيطية عادية خلال مسافة 150 كم. ويلاحظ أيضا التغير الحاد فى الجاذبية (< 120 ميللجال) خلال مسافة 100 كم والميل الطوبوغرافى أحد الإنحدارات الحادة والمكتشفة فى مساحات محيطية، ويبرهن أنه أحد أهم أمثلة المضارب اللافتة للنظر لقطاع قارى تغير فجأة لقطاع محيطى، أوضح تلوانى Talwani 1970 العلاقة بين شاذة الجاذبية للتركيب القشرى عبر حافات منتصف المحيط حيث أن معظم الحافات تتميز بواسطة شاذات إرتفاعات صغيرة متسعة (موجبة الإتجاه) وبالعكس فإن شاذات بوجير تكون كبيرة وسالبة

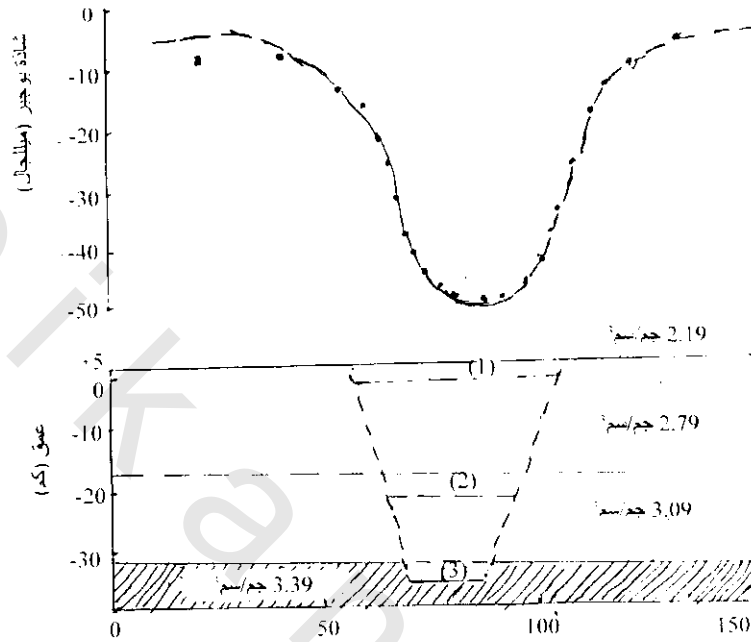
عبر قمم الحافات بسعات متشابهة مع الشاذات المقاسة عبر مناطق الجبال القارية. يوضح شكل (3-61) لشاذة عبر منتصف حافة الأطلنطي شمال 30° حيث يدل الصغر في شاذة بوجير عبر قمة الحافة عن التعويض الأيزوستس لها (للحافة)، ولكن الشاذة الجاذبية فقط لا تستطيع تعيين التعويض الميكانيكي. وعندما قام تلواني وآخرين Talwani et al 1965 لعمل نموذج للتركيب تحت الأخدود (ridg) وجدوا توافق لكلا من قراءات الجاذبية والسيزمية (المتاحة) مستخدمين العلاقة بين السرعة - الكثافة لناف ودراك Nafe and Darke 1963. وفي هذا النموذج يعتقد أن المواد المنخفضة الكثافة تحت النتوء المرتفعة في المحيطات لها علاقة بارتفاع تيارات حمل الصهير في الستار.

وأدى كثيرا من المسح الجاذبي البحري (الذي تم قريبا نتائج جديدة. وقد تميزت النتائج التي توصل إليها تالواني Talwani 1970 عبر بروفيلات لترنشات (أخدودات) مختلفة بأن الجاذبية القريبة من محاور هذه الترّنشات تكون قيمها منخفضة تتراوح من 150 إلى 350 ميللجال، وتكون مصاحبة لقيم جاذبية موجبة عبر الجزء البركانية المجاورة لهذه الترّنشات (أخاديد) وتتراوح قيم الجاذبية ما بين 200+ أو أكثر ميللجال. وعادة ما تكون النتائج السالبة للجاذبية عبر محاور الأخاديد راجعة إلى تواجد تجمعات رسوبية سميكة، والنتائج الموجبة ترجع إلى الكثافة العالية للوح القشرة الأرضية الممتدة عدة كيلومترات في داخل الستار كما يوضح شكل (3-62).

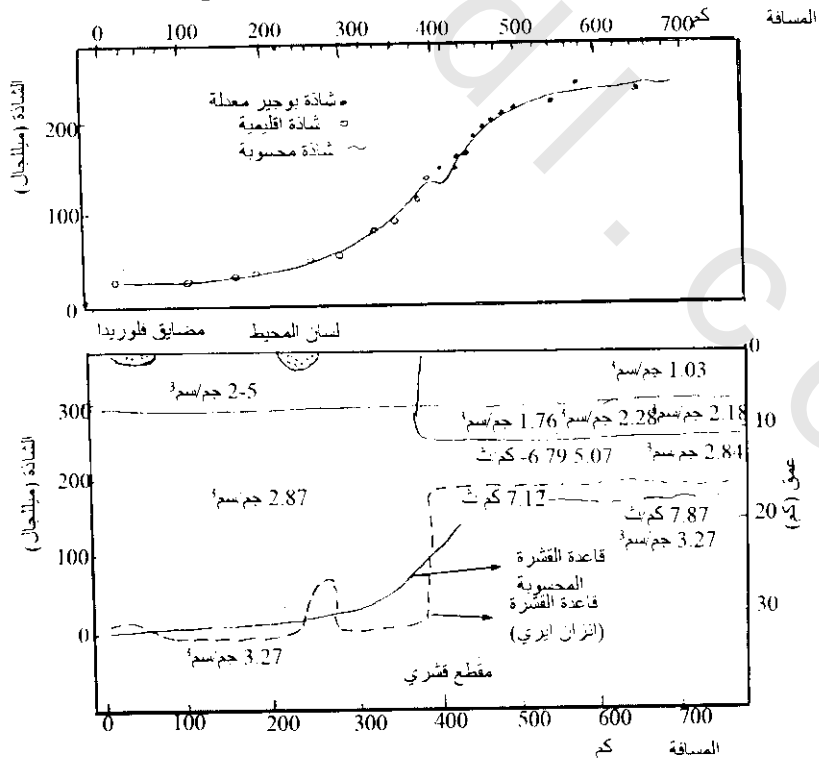


شكل (3-58): خط بروفييل الجاذبية (أ) والتابع له (ب) خط بروفييل السيزمي عبر B-B' في شكل (3-54، 3-55)

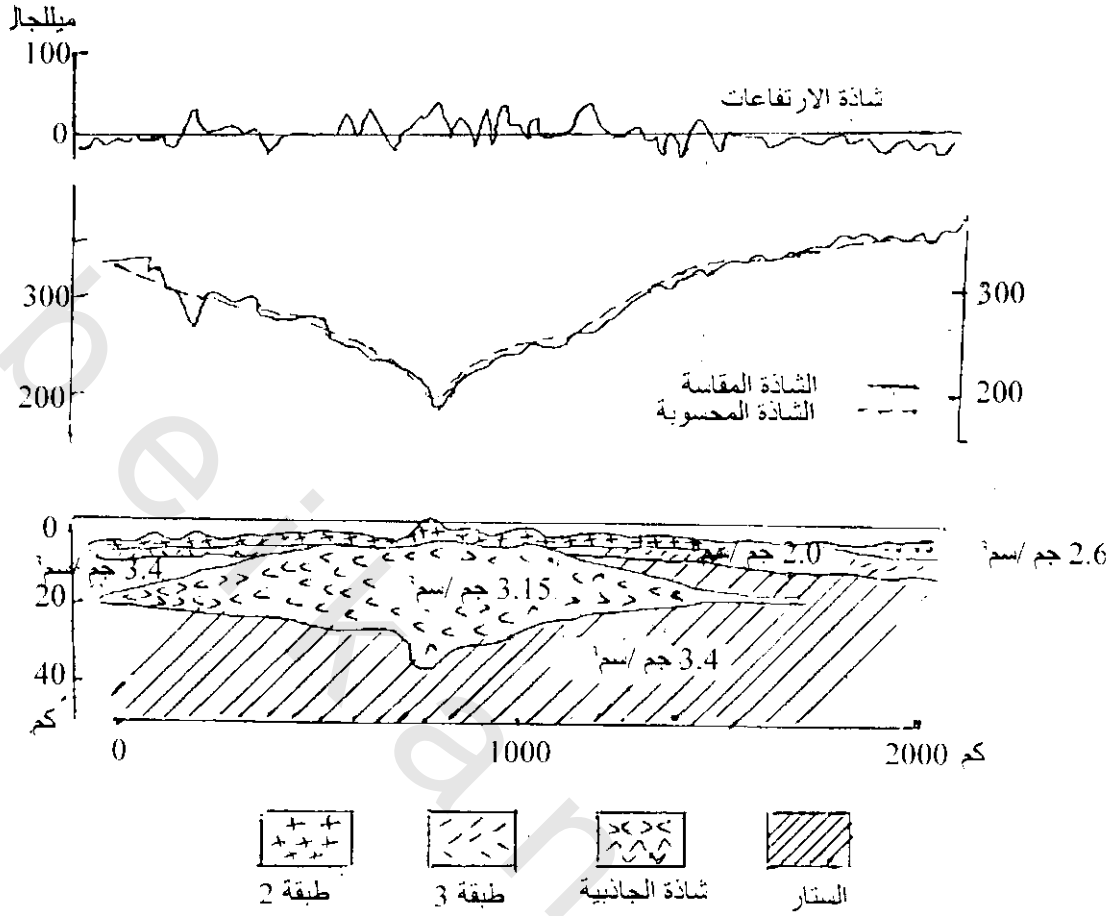
وقد لوحظ نماذج لشذات شبيهة بالمثل السابق مصاحبة لتراكيب أخاديد اليتيان، يابان، تنجا، Aleutian, Jaban, Tonag في المحيط الهادى. وقد وضع النموذج أولا وجهة نظر الدلائل السيزمولوجية شكل (3-63) حيث أن الأماكن تكونت عند أماكن يهبط عندها اللوح ذا الكثافة العالية من القشرة الأرضية عدة كيلومترات داخل الستار، ويكون التأثير الأولى للوح إنتاج شذات جاذبية موجبة عريضة.



شكل (3-59): بروفيل عبر وادى أخدود البرت Albert يوضح شذاة بوجير



شكل (3-60):

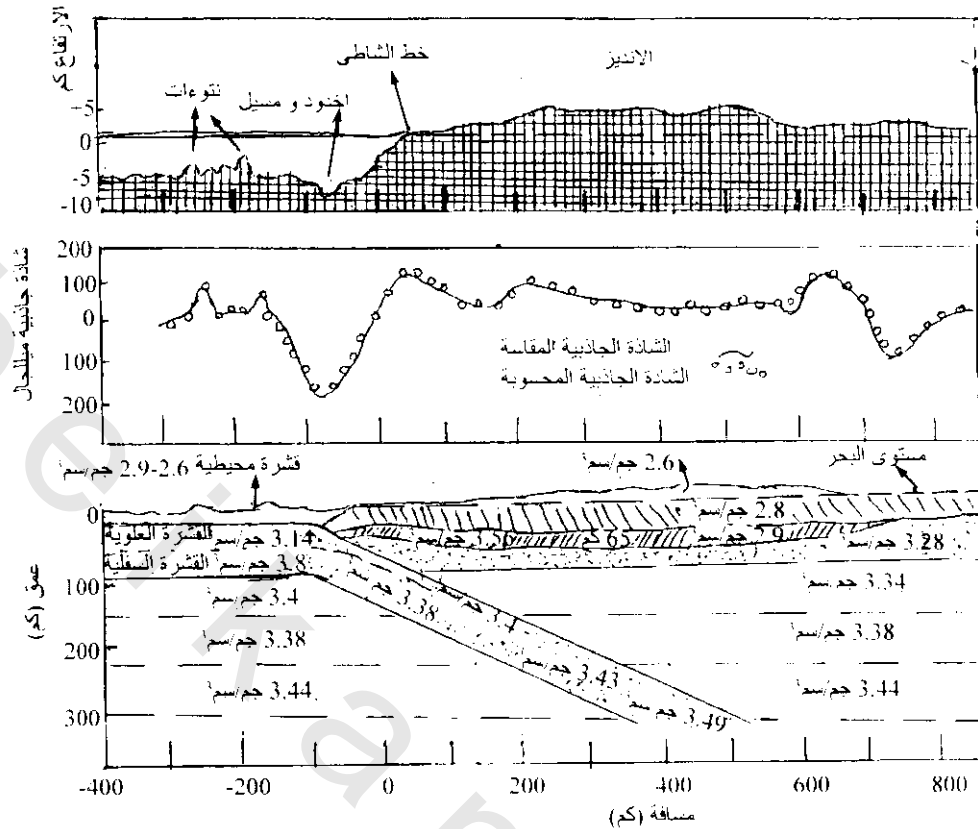


شكل (3-61):

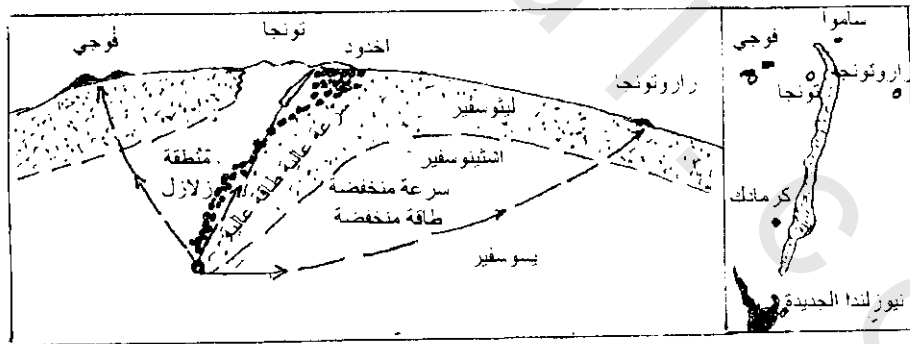
4.12.3 الجيولوجيا الإقليمية والتكتونية :Regional geology and Tectonics

عادة ما تعطى القياسات الجاذبية الإقليمية معلومات عن عناصر التركيبات الكبيرة وتعطى خلفية ممتازة لدراسة مناطق التركيبات الجيولوجية المتوسطة الواسعة. مثال لذلك شكل (3-64) والموضح لخريطة جاذبية مبسطة لمنطقة بحر الشمال. ومن هذه الخريطة يتضح وجود مناطق لجاذبية منخفضة ممثلة لثلاث أحواض رسوبية كما تشير إلى وجود ثلاث تركيبات مرتفعة فاصلة لهذه الأحواض الرسوبية كما أنها تدل على وجود صخور ما قبل الكامبري الضحلة وتتراوح قيم الجاذبية لمناطق أحواض بحر الشمال وحوض الشمال الغربي الألماني إلى حوالي 25- ميللجال وعلى المقابل تصل قيم الجاذبية الموجبة للمرتفعات ما بين 20-30 ميللجال وأما قيم الجاذبية والتي تتراوح ما بين 45-55 ميللجال فهذه مصاحبة لكتل رسوبية يتراوح سمكها ما بين 4500 متر*

* حسب الأسماك من تصحيح بروجير $\Delta g = 2\pi G t \rho_p$ للوح لانتهالي السمك t ويفرض أن فروق الكثافة هي 0.25 جم/سم³ وذلك ما بين أحواض الرسوبيات وصخور القاعدة المنضغطة.



شكل (3-62): بروفيل لنتائج قياسات وحسابات جاذبية الإرتفاعات عبر أخدود شيل Chile وجبال الأنديز. وخذت الحدود داخل القشرة الأرضية على أساس النتائج السيزمية. واستدل على كثافات اللوح المتجه لأسفل بتقديرات الحرارة والضغط تبعاً للأعماق.



شكل (3-63):

والمثال الثاني لجزء من منطقة تركيب تشرشل Churchill في الدرع الكندي، شكل (3-65) يوضح خريطة جيولوجية بسيطة مع شدة جاذبية. وتمثل الكتلة الكبيرة للحجر الرملي البروتوزوي والمعروف بتكوين أثاباسكا (Athabasca) ذات كثافة 2.4 جم/سم³ وسماك أقل من 1000 متر ظاهرة كبيرة. والظاهرة اللافتة للنظر بالخريطة هو الحزام المتوسط لشدة شاذية غير عادية باتجاه الشمال الغربي والجنوب الشرقي بمساحات حدود جاذبية منخفضة ويكون عرض الشاذات الجاذبية العالية والمنخفضة ما بين 40-70 كم وتدل على التغير في

الحسابات السابقة تتبع صيغة الجاذبية للوح لانهاى ($\Delta g = 2\pi G t \Delta \rho$). وفى الحقيقة فإن هذه الاقتراحات تبين أن شاذات الجاذبية عبر الحجر الرملى لها علاقة بصخور القاعدة المتحولة فالجاذبية العالية ترتبط بصخور النوريت والبركانيات المتحولة، بينما الجاذبية المنخفضة تبدو علاقتها بالجرانيت القلوى. وهذا المثال يوضح وجهة نظر أنه بالإضافة لنتائج الجاذبية يكون من المستطاع استقراء مساحات جيولوجية لصخور قاعية غير معروفة من المساحات المعلومة.

13.3 الكشف المعدنى Mineral Exploration:

يستخدم المسح الجاذبى لوظيفتين فى التنقيب المعدنى.

- 1- البحث والكشف عن جسم الخام.
- 2- تعيين جسم الخام لتحديد وزن الخام بالطن.

اكتشاف رسوبيان فارو للرصاص والزنك فى يوكون بشمال كندا

Discovery of Faro Lead-Zinc Deposit, Yukon:

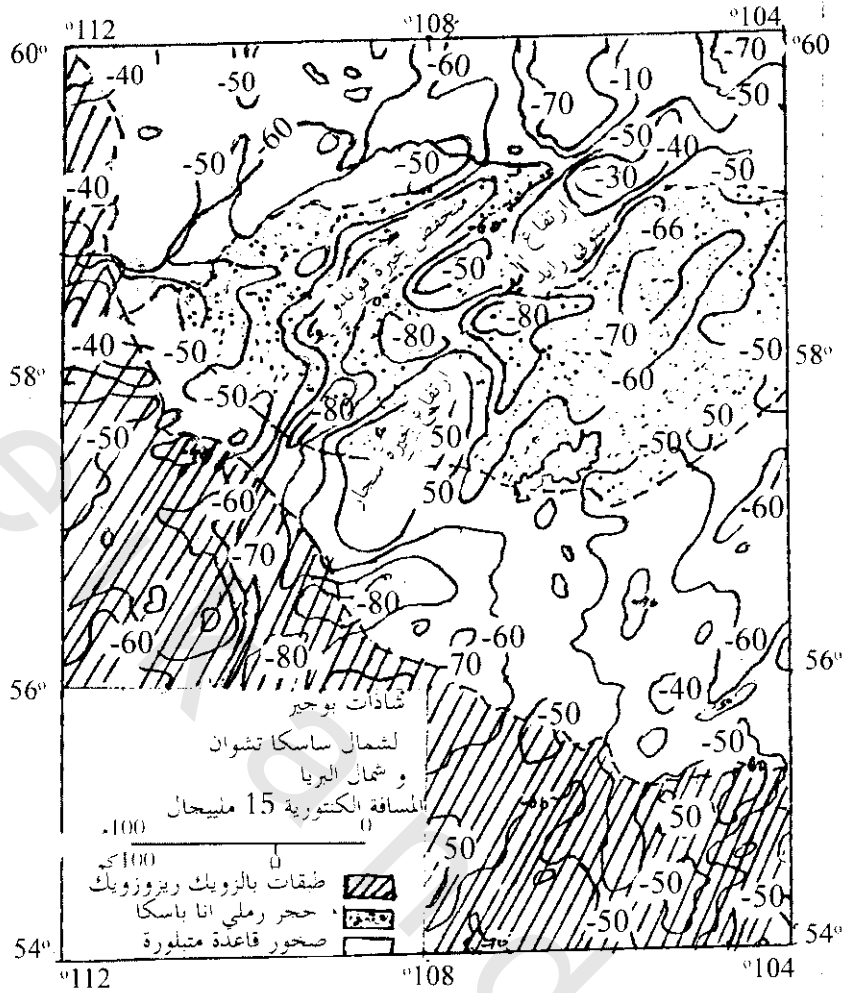
أدى التنقيب الجيوفيزيائى المجمع ما بين المسح الجوى والأرضى والتي منها المسح الجاذبى إلى إكتشاف رواسب فارو Faro للرصاص والزنك فى يوكون Yukon بشمال كندا. وقد وجد أن الجاذبية من أحسن الطرق الجيوفيزيائية المستخدمة لتعيين أجسام الخامات شكل (3-66) وقد إستخدمت أيضا لتحديد وزن الخام بالطن والتي قاربت قيمتها من القيمة المستنتجة من الحفر ويلاحظ أنه فى بعض المناطق (سورتون تورز، وارتمور Sourton Tores, Dartmor) بجنوب غرب إنجلترا لم تنجح طريقة الجاذبية فى إكتشاف الخامات للأسباب الآتية:

- 1- أن مقياس التمدن مركزة فى عروق ذات إتساع عدة أمتار قليلة شكل (3-67).
- 2- حساسية جهاز الجاذبية غير كاف لتوضيح فروق الكثافات الصغيرة بين تمعدن الكبريت والصخور المحيطة.

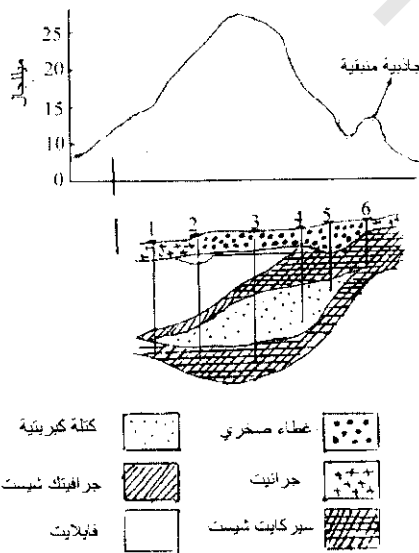
14.3 تحديد سمك التلجات Glacier Thickness Determination:

للحصول على معلومات عن عمق وحجم الثلج فى مناطق مثل انترككتا وجرين لاند (Antarctica and Greenland)، تم عمل مسح إقليمي جاذبى لها ثم عمل قياسات فوق الواح ووديان ثلجية، ويمكن بسهولة قياس الشاذات الجاذبية فوق هذه المناطق وذلك للفرق الكبير بين كثافة الثلج (0.92 جم/سم^3) ومتوسط كثافة الصخور المحيطة بها (2.67 جم/سم^3)، وبذلك يمكن قياس قاع بروفيل كتلة الثلج (تضاريس التلجات السفلية) والتي تأخذ شكل تضاريس الصخور أسفلها.

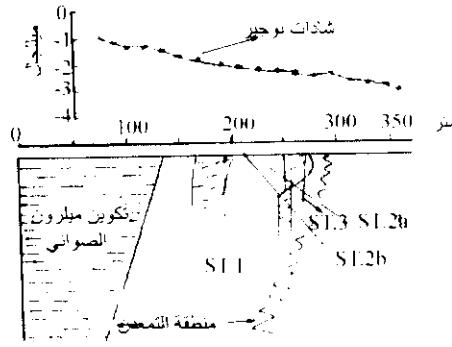
ومثال لذلك ثلجات سالمون (Salmon) فى برتس كولومبيا (British Columbia) شكل (3-68) والتي فيها تم المسح الجاذبى للتأكد من قاعدة بروفيل التلجات قبل حفر طريق نفق تحتها.



شكل (65-3):



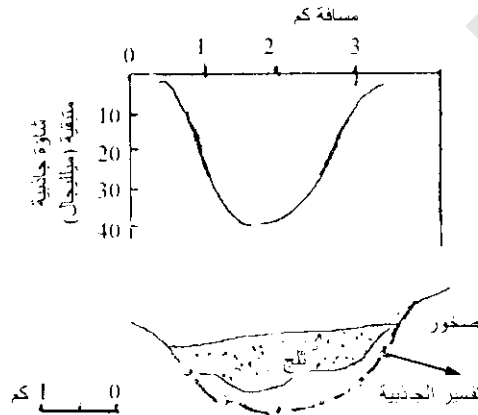
شكل (66-3): قطاع عرضي جيولوجي و بروفيل جانبي لرسوبيان فارو Faro في يوكون Yukon بشمال كندا



شكل (3-67): بروفيلات شادات الجاذبية عبر منطقة تمعدن في حجر صوان منطقة (سورتن تورز ، وأرتمور Sourton Tores) Dartmor & بجنوب غرب إنجلترا توضح عدم تفرق الشادات

من شكل (3-68) يلاحظ أن الشادة المتبقية عبر الثلجة تصل إلى قيمة صغرى مقدارها 40- ميللجال بدقة تصل إلى $2 \pm$ ميللجال بسبب التقدير الغير مضبوط لتصحيح التضاريس والكثافة المقدرة للصخور المحلية 2.6 جم/سم³ والعمق الناتج من هذه الكثافة عبر بروفيل الثلجة يعطى 10% بالمقارنة من القيمة المقدرة من الحفر وباعتبار التقريب المأخوذ في الحساب تكون النتيجة ملائمة. وبالإضافة فإنه وجد أن متوسط الكثافة المجاورة للصخور منخفضة نوعا ما (2.55 جم/سم³). وهذا يدل على وجود سمك معين لكثافات رسوبيات جليدية منخفضة بين أسفل الثلجات والصخور أسفلها. وربما بإتخاذ نماذج يفسره على نتائج مصححة تماما للتضاريس فإن الفرق يقل. وباستخدام طرق جيوفيزيائية أخرى وبالمقارنة بين نتائجهم ونتائج الجاذبية* إتضح أن سمك الثلج يتراوح 10% من السمك الحقيقي. أما إذا استخدمت طريقة الجاذبية عبر أسماك كبيرة للثلج فإنها تعطى نتائج أقل من الحقيقة للأسباب الآتية:

1- الأخطاء الكبيرة تعود إلى التحديد غير الدقيق لسطح الارتفاعات. وعموما هذه الارتفاعات يجب أن تحدد ما بين 5-10 متر.



شكل (3-68): بروفيل شادة متبقية عبر ثلجة سالمون (Salmon) بيرنش كولمبيا مع نتيجة بروفيل سمك الثلج (نتيجة الحفر)

* وحدة الجاذبية في هذه الحالة = 1/10 ميللجال.

2- فى التصحيحات المضبوطة للتضاريس السفلية للثلج تتغير بواسطة مئات الأمتار (فى المناطق التى لم يستخدم تحكم صدى موجات الراديو). وأى خطأ يحدد سمك الثلج لكل عمق 100 متر للقاعدة الصخرية فإنها تنتج خطأ مقداره ± 74 وحدة جاذبية**.

3- وكما فى جميع المسح الجاذبى فان تقدير تصحيح بوجير يكون ايضا ذات أهمية إنتقادية. وتعوق الألواح الثلجية جميع الصخور المحلية، ولكن محليات قليلة، وجيولوجية الثلج التحتية، والكثافات المصاحبة لها ربما تكون مهمة جدا.

ومن تطبيقات الجيولوجيا الثلجية الأخرى لطرق الجاذبية إستخدام مقياس الجاذبية (الجرافيمتر) لقياس نذبذة المد المحيطى بواسطة الحركات الرأسية لألواح الثلج العائمة فى الدائرة القطبية الجنوبية.

15.3 التطبيقات الهندسية Engineering Application:

عادة ما تكون المواقع الهندسية المراد فحصها جيولوجيا مساحتها صغيرة لانتجاوز مئات الأمتار المربعة وأعماقها ضحلة (أقل من 50 متر). وتبعاً لذلك يكون التحليل للقياسات الجاذبية المطلوبة من مرتبة ميكروجال. وعامة ما تستخدم الجاذبية لتحديد إمتداد الإضطرابات الأرضية حيث تفشل الطرق الجيوفيزيائية الأخرى بسبب الكهربية العالية أو الشوشرة الصوتية أو بسبب وجود عدد كبير من المنفعة العامة تحت الأرض. وبالإضافة لذلك تستخدم الجاذبية لتقدير حجم الشواذ الأرضية مثل حجم الكهوف تحت الأرض أو العدسات الثلجية فى مناطق دائمة التجمد.

ومن ضمن مشاكل الجيولوجيا الهندسية التى شاركت طرق الجاذبية وبعض الطرق الجيوفيزيائية الأخرى هي:

- 1- تحديد مواقع المحاجر والمناجم القديمة وكذلك التجويفات والتى تعتبر مخاطر للناس والأماكن وخاصة عندما لاتوجد تسجيلات لهذه المواقع.
- 2- دراسة المساحات المراد إقامة منشآت سكنية كبيرة أو مشاريع كبيرة عليها لمعرفة الظواهر الجيولوجية التى ستقام عليها.

1.15.3 إكتشاف المحاجر المملوءة مؤخرًا Detection of Back-Filled Quarres:

إذا وجد فرق فى الكثافة بين المادة المألنة للمحاجر القديمة والصخور المحيطة بها فمن الممكن بنجاح إستخدام مسح جاذبى بمقياس صغير (ملليجال أو ميكروجال) لتحديد تلك المحاجر والمثال التالى يبين ذلك. إقترح إنشاء خط حديدى بإنجلترا عبر منطقة تحتوى على عدة محاجر قديمة للحجر الرملى (من أواخر القرن التاسع عشر) وكانت مملوءة بالمواد الرخوة. وكتصميم القطاع للخط الحديدى يشمل قطع وتغطية نفق ولذلك كان من المهم جدا تحديد أوجه المحاجر بدقة جيدة.

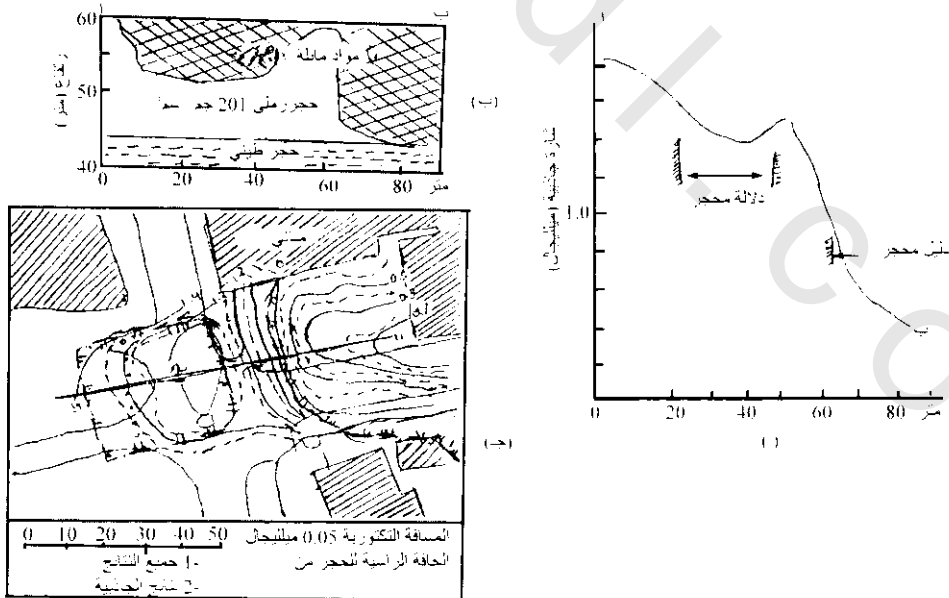
** وحدة الجاذبية فى هذه الحالة = 1/10 ميللجال.

كان للفرق الكبير للكثافة بين المواد المألنة الرخوة للحجر (1.65 جم/سم^3) والحجر الرملى المحلى (2.1 جم/سم^3) وأيضاً كان للتقاطع الصليبي للموقع بواسطة عدد هائل من الأنابيب والكابلات تحت الأرض والمواد السطحية الحاوية على كميات كبيرة من الخردة المعدنية، لذلك كان من الناحية الغير عملية إستخدام الطريقة الكهربية أو الكهرومغناطيسية أو المغناطيسية وأيضاً استخدام الطريقة السيزمية غير مجدى لوجود مستويات عالية من الشوشرة الصوتية الناتجة من الحجم الكبير لحركة المرور أثناء العمل اليومي والنقص الفراغى بسبب إمتداد التغطية البنائية. وعليه اختيرت طريقة الجاذبية وأجريت بين ساعات منتصف الليل إلى الساعة ٦ صباحاً وذلك لتجنب الذبذبات الناتجة من حركة المرور ومنشأة الصناعات الثقيلة. وأنتج الفرق فى الكثافة بين المواد المألنة والحجر الرملى المحلى (0.5 جم/سم^3) شاذة ثقافية متبقية من رتبة (0.7 ميللجال). وقد وضحت شاذات نتائج الجاذبية المتبقية مع نتائج بئر بالمنطقة ودراسة الآثار بها مكان لوجهى المحجر كما فى شكل (3-69).

2.15.3 كشف الكتل الثلجية فى تضاريس تربة دائمة التجمد

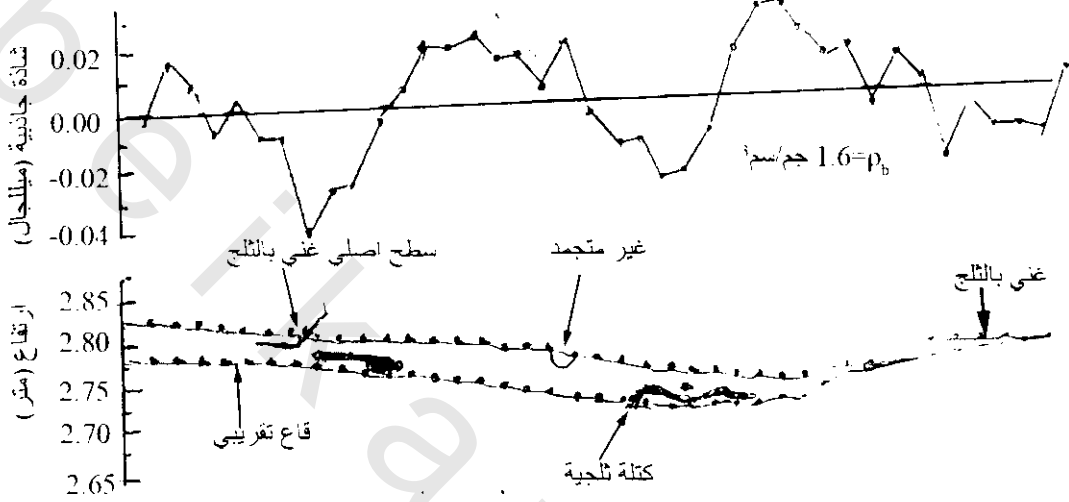
Detection of Massive Ice In Perma Frost Terrain:

عادة ما تشكل الكتل الثلجية المذابة المصاحبة للتربة المتجمدة مشاكل هندسية وبيئية حادة ولذلك فإنه من المهم جداً تعيين مثل هذه الظواهر الأرضية. وضح كوساكي وآخرين Kawasaki et al. 1983 مثال لإستخدام المسح الجاذبي لكشف وجود حجم الكتل الثلجية فى مساحة من تربة متجمدة عند منطقة كريك Creek الهندسية بالقرب من فيربانكس Fairbanks بالاسكا Alaska على طول مسار قاطع لطريق مقترح. فمن المعلوم أن الأجسام الكبيرة من الكتل الثلجية مثل الموجودة خلال الهضبات الثلجية الكبيرة تعطى دلالة للشاذات الجاذبية (ماكى 1967 Machay، رينتون وولكوت 1974 Ranptan and Walatt حيث أن التربة المتجمدة بدون تواصل تلجى متقاطع لها كثافة 1.6 جم/سم^3 بالمقارنة بكثافة الثلج



شكل (3-69): أ) بروفيل متبقيات جاذبية عبر محجر حجر رملى مملوء، ب) القطاع الجيولوجى، ج) رسم لحظة النفق

الصلب (0.88-0.9 جم/سم³) وبالنسبة للتربة الألسكن Alaskan النموذجية تكون الكثافة (1.35-1.7 جم/سم³) وهذا يعطى كشف الشاذات المتبقية إذا قيست بجرافيمتر ذات حساسية كافية. وقد وضع كواساكي Kawasaki وزملاءه أيضا أن الكتل الثلجية ممكن اكتشافها بواسطة المقارنة للجاذبية الصغيرة على طول البروفيل الموضح فى شكل (3-70) وأيضا كانت القياسات حساسة للتغير فى الكثافة خلال صخر الأساس (الشيست).



شكل (3-70): بروفيل جاذبى عبر كتلة ثلجية أرضية فى طريق مقطوع عند كريك الهندسى بالقرب من بالاسكا

وتعتبر طريقة الجاذبية أداة ممتازة لتفسير واضح لإنشاء مواقع لتوقعها وجود الكتل الثلجية ولكنها طريقة بطيئة جدا لإستخدامها كأداة إستطلاعية عبر البروفيلات الطويلة.

3.15.3 الكشف عن الكهوف تحت أرضية والآثار

Detection of Undergroudn Cavities and Arceology:

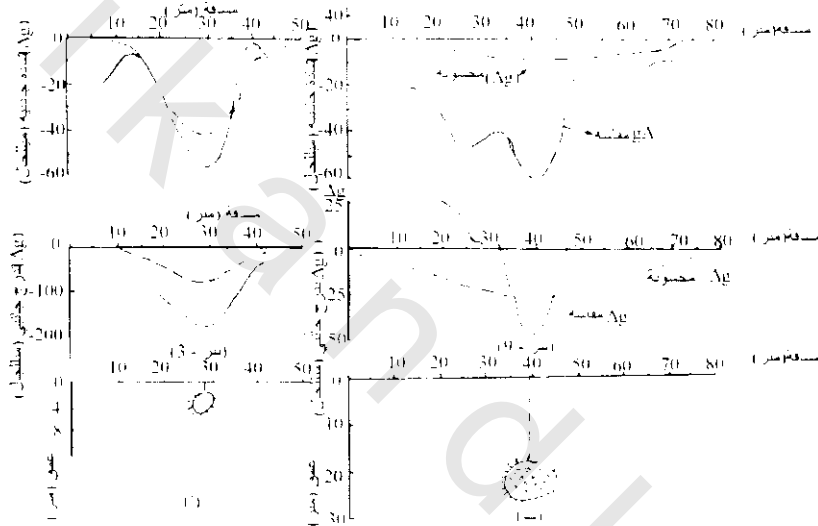
من الممكن أن تكون الفجوات الدقيقة القريبة من السطوح خطيرة جدا خلال أعمال الحفر فى مناطق غير معلومة أو إذا كانت واضحة بواسطة هبوط الأرض التى تعلوها. فى كثير من المسوح الهندسية والهيدروجيولوجية تم اكتشاف الكهوف المتوقعة بإستخدام طريقة الجاذبية (ميكوجرافتى) (كولى 1963 Kolley) وزادت أهمية هذه الطريقة فى البحوث الأثرية كما تم فى الكشف عن السرايب والممرات فى الأهرامات المصرية.

1.3.15.3 الكهوف الطبيعية المخفية Hidden Natural Cavities:

بواسطة مثال تطبيقى لمسح بالميكوجراف قام فكلنسز Fajklenaz 1986 باكتشاف كهف تحت أرضى. وكذلك عبر عدة سنوات فسر تأثير الجاذبية لكلا من الكهوف الطبيعية والصناعية وساعد فى تحسين طريقة للكشف، موضوع على أساس التدرج الرأسى لمجال الجاذبية. وقد وجد أن سعة الشاذة الجاذبية عامة أكبر من المتوقعة ومازالت أسباب هذا غير واضحة. وتمت عملية المسح الميكوجرافيتى لإندروكلو Inowroclaw ببولندا شكل (3-71) حيث توجد كهوف أحجار جيرية ذات مجار جوفية واسعة على أعماق حوالى 40 م فى

الجبس والأنهديريت والحجر الجيري والدولوميت وكان من نتائج نمو هذه الكهوف إتجاه سطح الأرض هو تلف وهدم حوالى 40 مبنى بالمدينة وفرق الكثافة الطفيف بين الكهوف والمواد المحيطة بها (1.8 جم/سم³، 1.0 جم/سم³) شكل (3-71) يرجع لوجود صخور البرشيا خلال الكهوف. وقد فسر فاجكليفز Faklewicz أن الكهف فى شكل (3-71ب) لم يكتشف بفرض أن مجاله الجاذبى يرجع كلية إلى كهف كروى كما فى الشكل.

وبرغم أن الشاذة الجاذبية النظرية من التدرج الجاذبى الرأسى مازالت غير كافية للدلالة على وجود كهف فإن شاذة الجاذبية الملاحظة لاتزال علامة كلية كافية. وينفس الاقتراح يمكن إستخدام التدرج الجاذبى الأفقى $\Delta g/\Delta y$ ، وفى هذه الحالة تصل نقطة الجاذبية لأقل أو أعلى قيمة. وعندما تصل نقطة التدرج للصفر فإن هذا يدل على أن هذه النقطة تمر عبر مركز الجسم المسبب للشاذة (بوتلر 1984 Butler)، ومثال ذلك شكل (3-72) والمعطى بواسطة جاستن وجرام Gasten and Gram 1984 لحالة اختبار حيث نتائج الجاذبية فى منجم



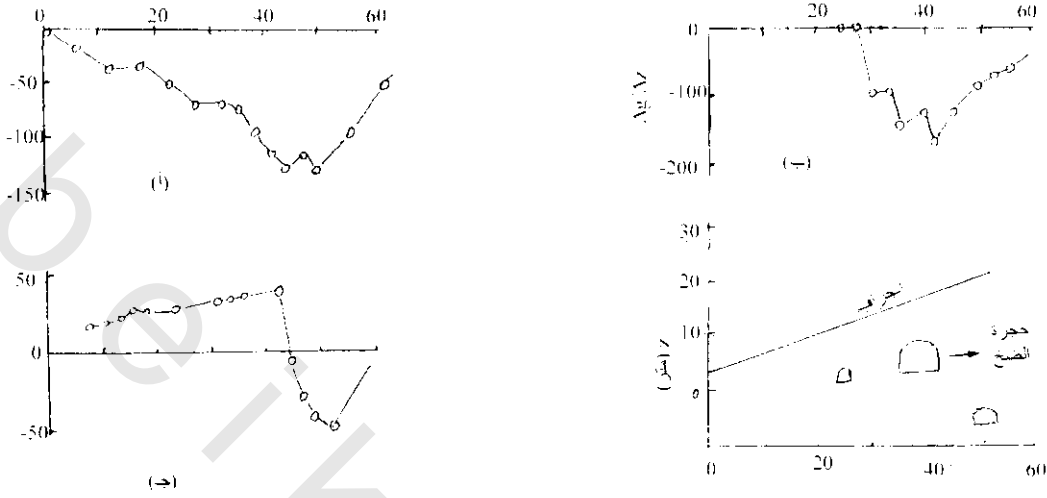
شكل (3-71): Δg_z ، Δg شاذات جاذبية (ميكروجال)، وشاذات تدرج جاذبى فى شكل أ الكهف مملوء هواء (بتر 3-71) وفى شكل ب الكهف مملوء بفتات صخرى (بتر 4)، (فاجكليفز 1986 Fagkiewicz)

فحم عميق على طول ميل جرف يمر بزاوية قائمة عبر فجوة الضخ. وأكثر من هذا، يمكن إستخدام الميكروجرافتى لتحديد معدل وامتداد نمو القوى المتراخية حول أعماق الحفر شكل (3-73) فاجكليفز 1986 & Gluskoetal 1981 حيث أن تشقق الصخور ينشأ من تراخيا ميكانيكى لذلك تقل كثافتها الحجمية وإذا استمرت ونمت التشققات فإن التغير فى الكثافة كمعامل زمن ممكن كشفه باستخدام ميكروجرافيمتر حساس وعندئذ يعمل نموذج لذلك.

2.3.15.3 البحث عن الآثار Archeological Investigations:

أعطى بلزموكوفسكى Blizkovsky مثال كيف أن المسح الميكوجرافيتى بعناية أشار لوجود سراديب متوقعة فى كنسية St. Venceslas بتوفاكوف بتشيلوسيوفاكيا والتي ثبتت أخيراً بأعمال الحفر، تتكون النتائج من 262 قيمة مقاسة بدقة بلغت 11 ميكروجال على شبكة 1 م² أو 4 م² مصححة بالنسبة لجاذبية حوائط المبنى

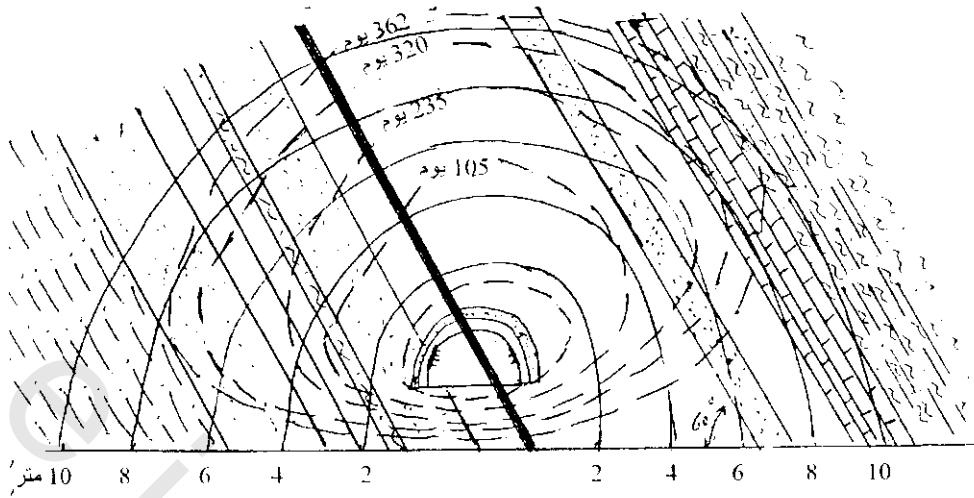
شكل (3-74) وحدد موقع جاذبيتين مهمتين منخفضتين بسعة نسبية قدرها 60 ميكروجال والتي دلت على قصور كتلى مصاحب للسراديب الغير معروفة سابقا.



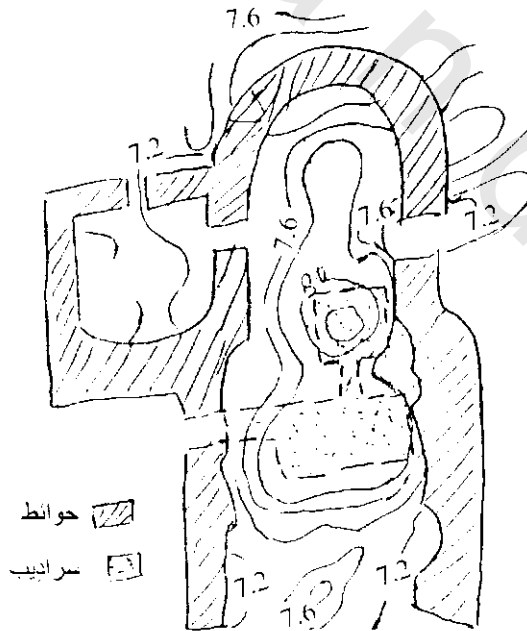
شكل (3-72): مسح ميكروجاذبي في منجم عميق للفحم مقاسة على طول جرف قاطع حجرة الضخ Pump room (أ) يوضح بروفيل لجاذبية ملاحظة متبقية، (ب) جاذبية رأسية مندرجة ملاحظة ومحسوبة، (ج) جاذبية أفقية مندرجة، (د) أماكن تحت أرضية لتجاويف معروفة من سطح المنجم (جاستن جرام 1984 Gasten and Gram)

16.3 التطبيق الهيدروجيولوجي:Hydrogeological Application

لاستخدم طرق الجاذبية بكثرة كالطرق الكهربائية في البحث والتنقيب عن المياه الجوفية ولكن مازالت تمثل أساس هام في ذلك (كارميشيل وهيني 1977 Carmichael and Henny). ويكون استخدامها العادي بكثرة للكشف عن الصخور ذات الكثافة المنخفضة والتي تعطي فكرة عن الطبقات الملائمة الحاملة للماء مثل الرواسب النهرية في صخور الوديان المدفونة (لوناكس وكاريسون 1967 Lonnax and Carison & فانأوفر ميرن Van Overmeern 1980). وقد عرفت وديان مدفونة والتي كانت مقطوعة مع صخور أساسية أخرى أو مع حدث جليدي مصاحبة لنهر ساسكششوان الجنوبي South Saskatchewan بواسطة تأثيراتها الجاذبية (هال وهاجنال Hall and Hajnal 1962). وتوضح الشاذة الجاذبية عبر مجرى وادي النهر أقل إتساع ملحوظ عن الموجود للوادي اليوم وأكثر من هذا يمكن استخدام شاذات جاذبية الجرافيمتر كمراقب لتأثير تغير مستوى المياه الجوفية فمثلا يكون التغير في الجاذبية بمقدار 170 ميللجال ناتج عن صخور ذات مسامية 33% ومعامل احتباس 20% وتغير في مستوى الماء الجوفي مقداره 30 متر. ولهذا يمكن استخدام الجرافيمتر لمراقبة هذا التغير الصغير في قيمة الجاذبية عند المكان المراد دراسته والتغير الوحيد في الجاذبية بعد تصحيح انحراف الجهاز والمد الأرضي يكون لكمية الماء المتخلخلة في الصخور. وتبعاً لذلك فإن أي طبقة حاملة للماء معروفة الشكل يكون تغير القياس في الجاذبية مع صلة ملاحظات محدودة لمستوى الماء الجوفي عند قليل من الآبار يمكن ترجمتها إلى تفجير معامل إنتاج الطبقات الحاملة للماء. وبالمثل يمكن إعادة قياسات الجاذبية لتقدير حجم درجة الإنخفاض (الهبوط)، ودرجة تشبع منطقة المجري (الس وهنت 1986 Allis and Hunt). وأمكن بنفس الطريقة تقدير حجم التغذية لحقل (وراكي Warakei الحراري شمال نيوزيلاندا Newzealand (هنت 1977 Hunt).

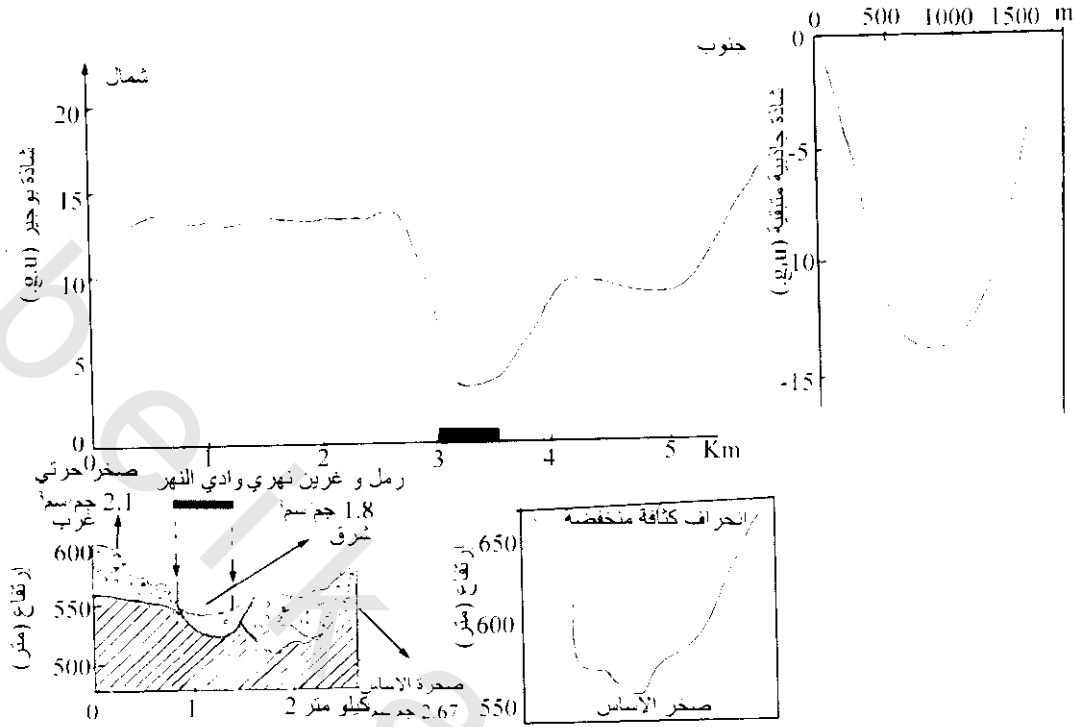


شكل (73-3): علاقة بين الوقت المعتمد على قوة تكسوكوف كليري في حوض دون الإرتخاء حول قاعة كبيرة تحت الأرض على عمق 540 متر والمستنتجة من مسح ميكروجرافيتي في Tckesnokov cColliery in the Don Basin عبر فترة بلغت 363 يوم (جليسكوتال 1981 ، فاجكسفز 1986 Fajklavicz)



شكل (74-3): خريطة ميكروجرافيتي على كنيسة Stivencelsas بترفاكوف بنشيكوسلواكيا توضح علامات الشاذات

شكل (75-3) وهذا يدل على وجود مواد أقل كثافة حيث وجد تتابع صخري (غرين وطمى ورمل) بواسطة الحفر.

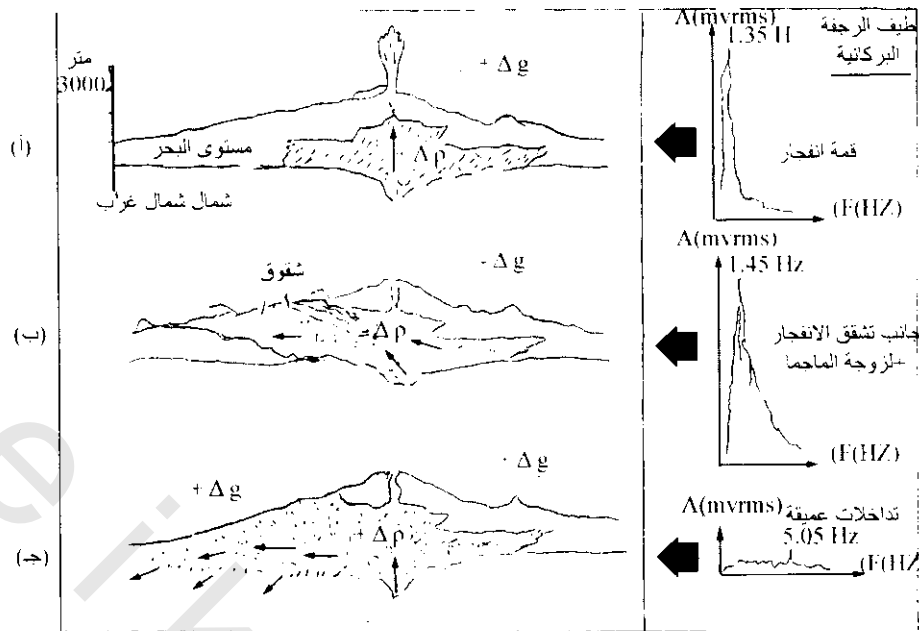


شكل (3-75): شاذة بوجير عبر وادي نهر جنوب ساسكاتشوان والقطاع الجيولوجي عبر الجاذبية المنخفضة (هال وهاجنال Hall and Hajnal 1962)

17.3 مخاطر البراكين Volcanic Hazards

بظهور أجهزة وطرق مسح عالية الدقة وبإمكانية جرافيمترات حساسة جدا أمكن مراقبة التغير في إرتفاع جوانب البراكين النشطة وأبعد من هذا يمكن توقع الاضطرابات المقبلة وغالبا ماتصاحب هذه الدراسة مراقبة سيزمية (كوسنتينو وآخرين 1989). وقد أجرى ساندerson وآخرين (Sanderson et al 1983) مثل هذه المراقبة الجاذبية مع برنامج قياس المناسيب على جبل إتنا Etna بـ Sicily خلال الفترة من أغسطس 1980 إلى أغسطس 1981 وخلال هذا الوقت أخذت جوانب الاضطراب البركاني مكانها (17-23 مارس 1981) وكان من نتائجها إنسياب الحمم وبالتضييق على إنسيابها لم تصل مدينة راندازو Randazzo. وقد وضح شكل (3-76) عدة قطاعات لرسم تخطيطي لثلاث مستويات من شقوق الاضطرابات.

وقد فسر التغير في الجاذبية المصاحبة لزيادة الإرتفاع كحقل (إنيتاس) لصهارة جديدة على عمق 1.5 كم خلال تداخل سد حديد (شكل 76أ). ويلاحظ النقص في الجاذبية عندما تأخذ الاضطرابات مكانها بسبب النقص في المواد (شكل 76ب). وكذلك تفسر الزيادة في الجاذبية بدون أى زيادة في الإرتفاع بسبب زيادة كثافة الصهير بواسطة فرض قوة موضعية جديدة عند الأعماق (شكل 76ج). أما ازدواجية تغير الجاذبية (≈ 2-25 ميللجال) مع التغير الجديد في الإرتفاع (> 20 سم) فهذا يبرهن على معنى التحديد خلال انفجار البركان بتداخل مواد جديدة أو التغير في الكثافة التي تأخذ مكانها.



شكل (3-76): رسم تخطيطى لمراحل اضطرابات تشقق على جبل إتنا Etna بـ Sicily مع اتجاهات الجاذبية، ومع تطابق رجفة شعاعية بركانية (ساندرسون وآخرين 1938 Sanderson et al، كوسنتينو وآخرين Cosentino et al)

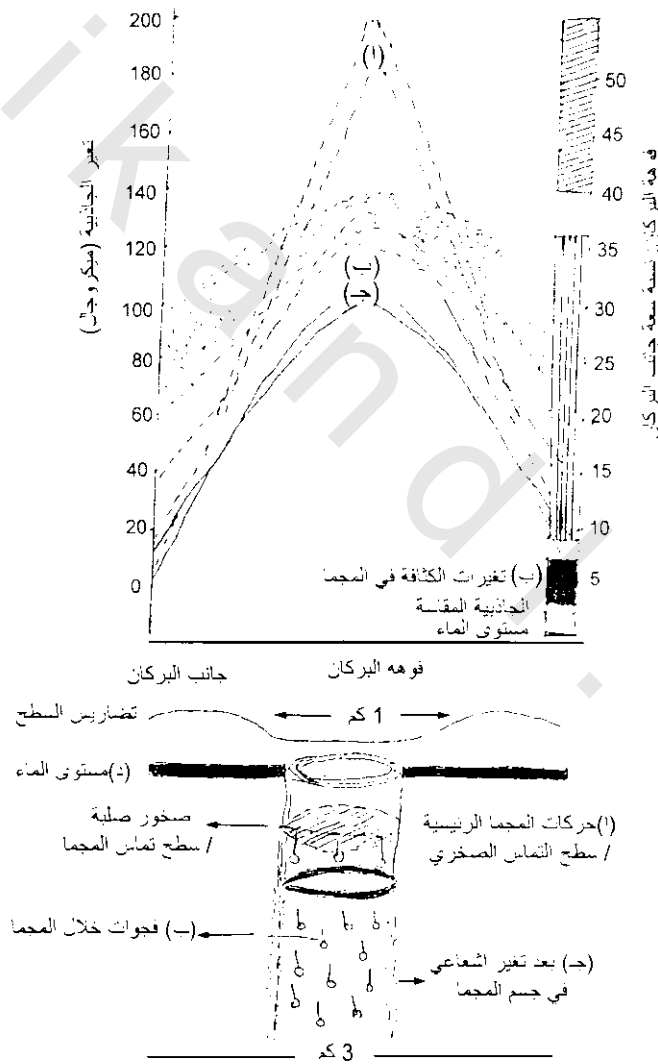
1989

لخص ريمر وبرو Rymer and Brow 1989 & 1987 تأثر الميكروجراف الناتج عن حركة الماجما على سطح التماس ودورة الفجوات مع عمود الماجما والتغير الشعاعى فى أبعاد جسم الماجما لبركان بواس Poas فى كوستاريكا Costa Rica فى شكل (3-77). ويمكن تمييز العمليات الفردية الداخلية فى هذه البراكين الخاصة بوضوح بواسطة استخدام نسبة تأثير الجاذبية عند كلا من جانب البركان والقمة، وأحيانا لا تكون كل الأنشطة تحت الأرض مصاحبة بعلامات سيزمية حيث دل تقرير الزيادة فى الجاذبية عند جبل إتنا Etna بين يونيو 1990 و 1991 عن الزيادة الكبيرة فى الجاذبية الملاحظة (من رتبة 10^{-7} ميللجال) حول قمة فوهة البركان وعلى طول منطقة استطالة تابعة لخط الشق المتكون أثناء الانفجار السابق 1989 حيث تداخلت المجما فى الشقوق بعد ثورة هذا البركان (تحرك الماجما قبل وجود الشقوق يعتبر غير ذى فاعلية) لذلك لا يوجد تبعية للنشاط الزلزالي شكل (3-78) وذلك بدون الإعتماد على النشاط الزلزالي. وكان التغير فى الارتفاع السطحى بين 1990 & 1991 أقل من 3 سم وقيمة تغير الجاذبية أكبر من المتوقع على أساس تغير الارتفاع فقط ويرجع ذلك لوجود بعض الزيادة فى الكتلة تحت سطحية. وتبعاً لذلك فإن قياسات الميكروجرافتى مع مسح الإرتفاعات تنتج دليل على تواعد (تهديد) بثورة بركانية مثل ثورة بركان جبل إتنا Etna الأخير (16 شهر من 1991-1993) خلال هذا الوقت اندفعت الماجما خارجاً من قسبة البركان بمعدل 10 م³/ث صانعة هذا الثوران الهائل (ريمر 1993 Rymer & ريمر وآخرين 1993 Rymer et al). وبدأ تزويد مراقبة ثورة البراكين عن طريق وضع زوج مراقبة من جهاز ميكروجرافى مع نموذج واضح لتردد نشاط زلزالي (طيف رجفة بركانية) مثل الذى يحدث عند جبل إتنا Etna وذلك لمصاحبة عملياته. والآن كثير من البراكين الأخرى لها برامج مراقبة نشطة باستخدام تفسيرات الجاذبية، والسيزمية، والحرارية. أيضاً، يكون مراقبة انبعاث غازى اختبارى إضافة إرشادية ملائمة لقرب نشاط بركانى مثال لذلك (عمل بندق 1995 Penick على أعمال وليمز S. Williams).

إذا كان من الممكن الحصول على هذه النتائج المسابقة لبراكين مفردة مع الإتصال بالإنبعاث الحرارى المقاس بواسطة الأقمار الصناعية عندئذ يمكن إدراك احتمال تجديد إندثار لثورة بركانية وهذا يؤدي لتوقع أحسن للنشاط البركانى وبذلك يمكن تقليل المخاطر (ريمر وبراون 1986 & Rymer and Brown 1986 Eggers (1987).

18.3 جاذبية بوجير وسمك القشرة :Bouguer Gravity and Crustal Thickness

فى الجزء الأول من القرن العشرين اكتشف السيزمولوجيين المناطق الأساسية الداخلية للأرض ودلت الموجات الزلزالية الإنكسارية والإنعكاسية على أن الأربع طبقات متمركزة كما فى شكل (3-79) حيث تكون النواة من منطقتين الداخلية صلبة والخارجية سائلة ثم الستار الصلب ثم الغلاف الخارجى المسمى القشرة. وقد وضحت ظواهر جاذبية بوجير أساس التغير فى سمك القشرة



شكل (3-77): يوضح الشكل العلوى مقطع لتأثيرات الجاذبية المختلفة الناتجة عند جوانب وقمة بركان بواس بكوستريكا والظل يمثل معدل التغير فى تأثير الجاذبية) والنسبة للأثنين (واضحة جنباً بجنب فى الرواسب الحساوية الرأسية) والنتائج بواسطة عمليات جيولوجية مختلفة خلال البركان (الشكل السفلى) وهذه العمليات هي: أ) الحركة الرأسية لمagma على صخور التماس، ب) دورة الفجوات خلال عمود magma، ج) التغير الشعاعى للأبعاد فى عمود magma، د) التغير فى منسوب المياه الجوفية (ريمر وبراون 1987 & Rymer and Brown 1987)

وبرغم أن الأفكار الأولية عن القشرة أتت أساساً من دراسة الموجات الزلزالية فقد عرف أن سمك القشرة تحت القارات يكون ما بين 30-60 كم والصخور المكونة للجزء العلوى يطلق عليها سيال (سيلكا والومنيوم) وكثافتها 2.1-3.8 جم/سم³ والصخور المكونة للجزء السفلى يطلق عليها سيما (حديد ومغنسيوم) وكثافتها 2.8-3.0 جم/سم³. وسمك القشرة تحت أحواض المحيطات ما بين 5-10 كم وتتكون كلية من صخور ماقنية mafic rocks (حديد - مغنسيوم). والحد بين القشرة والستار يسمى فاصل موهو ((Hohorovic (Moho).

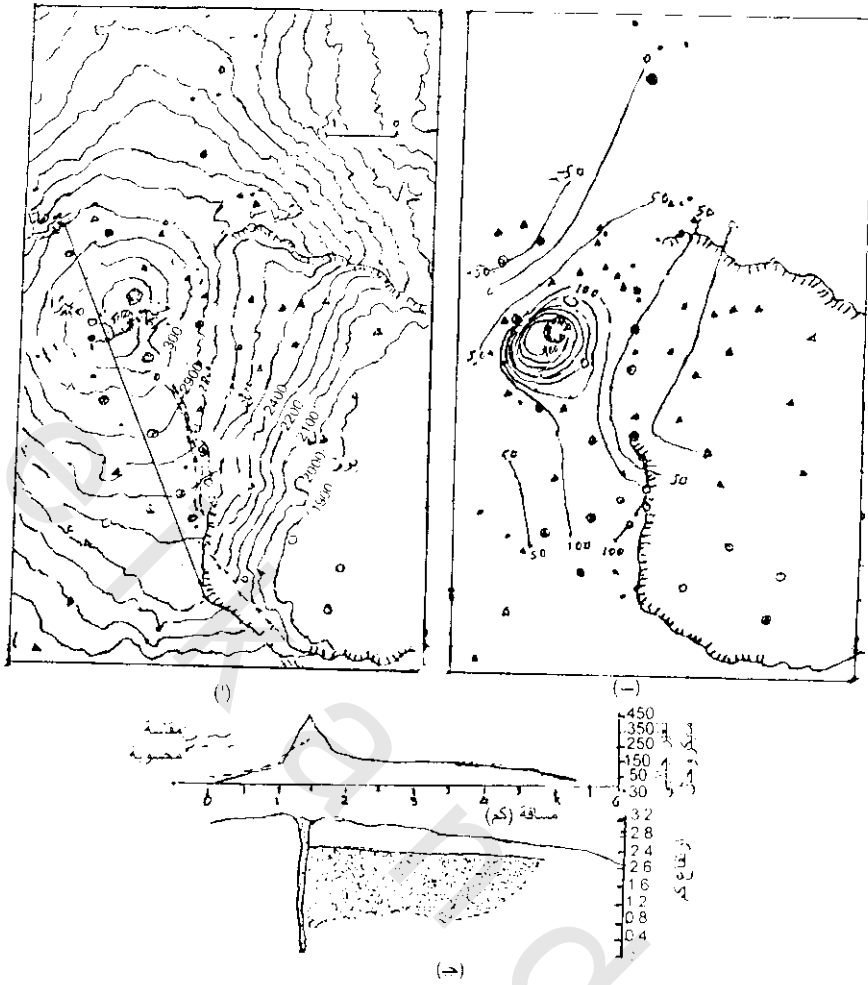
أهم ظاهرة للقشرة هي العلاقة بين متوسط السمك ومتوسط الارتفاع عن سطح الأرض وهذه واضحة فى شكل (3-80 أ) والذى يوضح أن سطح القشرة يكون نموذجى مع مناطق الارتفاعات. وأحيانا تكون القشرة رفيعة فى مساحات الأراضى المنخفضة وتصبح أقل سمكا تحت المحيطات حيث عند سطح الأرض الصلب عدة كيلومترات تحت مستوى سطح البحر. ويلاحظ أنه بالقرب من الشاطئ يقترب سمك القشرة إلى 32 كم. وتكون الظواهر المشاهدة فى شكل (3-80) نموذج للقشرة تحت القارات والمحيطات فى أجزاء أخرى من العالم.

من شكل (3-80) يلاحظ أن جاذبية بوجير تتأثر بواسطة التغير فى سمك القشرة، حيث أن الجاذبية المنخفضة (قيم سالبة كبيرة) تكون نموذج لمناطق القشرة السميكة والقيم الكبيرة والتي تقترب من صفر ميللجال موجودة فى مساحات الأراضى المنخفضة وتقترب إلى الشواطئ. وتميز القيم الموجبة الكبيرة مناطق المحيطات حيث تكون القشرة رفيعة جدا.

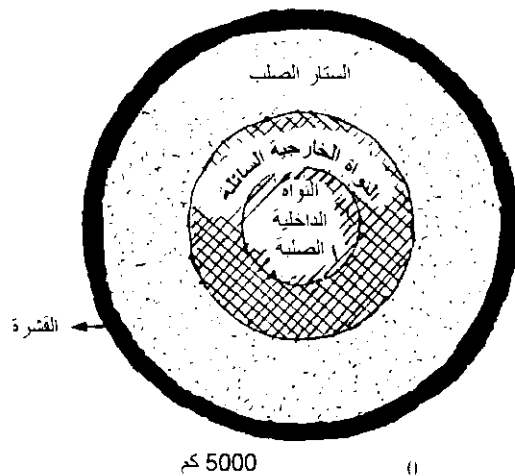
يساعد الشكل النموذجى شكل (3-81) فى كيفية تفسير أن الجاذبية تنحى للتغير العكسى مع سمك القشرة. وهنا وصفت القشرة كطبقة والتي تزيد فيها الكثافة من 2.67 جم/سم³ عند سطح الأرض إلى 3.0 جم/سم³ عند فاصل موهو وترتكز على ستار متجانس كثافته 3.3 جم/سم³. لذلك فإنه:

أولاً: بالنظر للقطاعات أ، ب والتي تقع عند ارتفاعات مختلفة لسطح الأرض فإن عملية حساب الجاذبية من القياسات الجاذبية عند هذه القطاعات تتم مع عمل الانضباطات التى تحسب لأى اختلافات ناتجة عن التسطح والدوران والارتفاع والكتلة فوق مستوى البحر، ولكن لا تجرى أى انضباطات للإختلافات الأخرى وهى متوسط الكثافة والتي تعتمد على التناسبات لكثافات صخور القشرة المنخفضة والكثافة العالية لصخور الستار تحت كل قطاع. لذلك فالخطوط الرأسية الممتدة لأسفل للقطاعات أ، ب لنفس العمق فى الستار أسفل مستوى سطح البحر، فيلاحظ أن الخط أ يمتد بنسبة أكبر خلال صخور القشرة من الخط ب دالاً بذلك على متوسط كثافة أقل تحت أ عن ب، وهذا يوضح أن جاذبية التناقل الناتجة من اشتراك كل من القشرة والستار ستكون أصغر من أ عن ب ولهذا السبب فإن قيمة الجاذبية عند أ أقل من قيمتها عند ب.

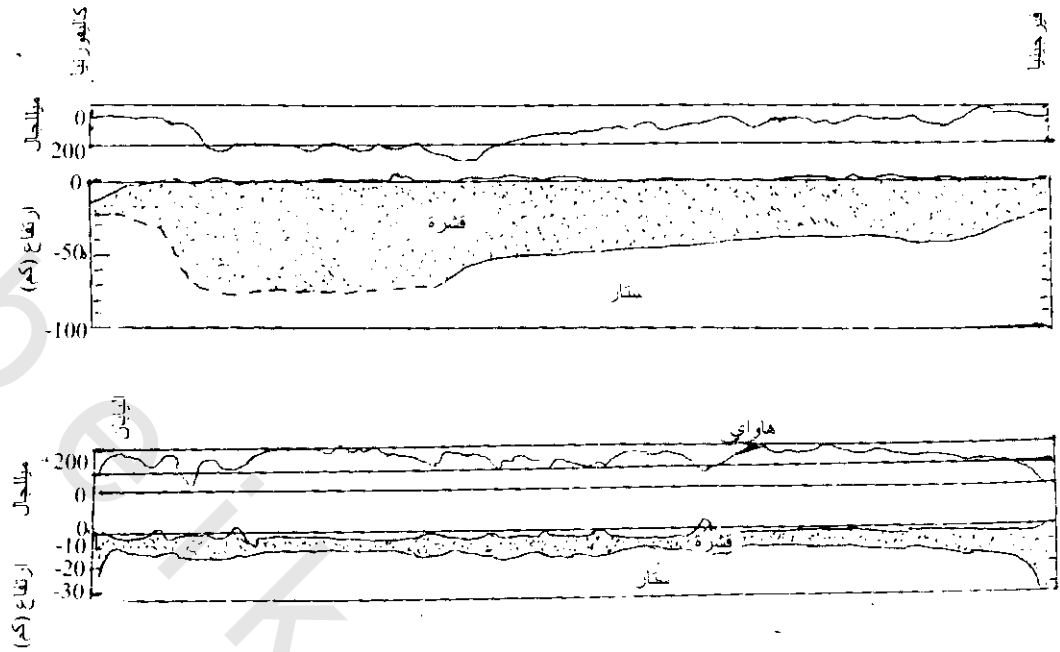
ثانياً: بالنظر بعد ذلك للقطاع د على جزء البروفيل عند المحيط وحيث أن القشرة رفيعة فإن الخط الرأسى يمتد خلال نسبة كبيرة من الكثافة العالية للستار. وينتج بذلك متوسط كثافة عالية لاشتراك القشرة والستار فيها بنسبة أقل للقشرة وأكبر للستار، وبالتالي تكون جاذبية بوجير عالية عند القطاع د بالمقارنة بقطاعى القارات أ، ب.



شكل (3-78): خرائط توضح: (أ) أماكن أجهزة الميكروجرافتي ومحطات مراقبة التشوه، (ب) خريطة ميكروجرافتي لمنطقة قمة بركان إتنا، المسافة الكنتورية 50 ميكروجال، (ج) أفضل نموذج لتغير الجاذبية المقاسة حيث تشمل 4 سدود وأنبوبة عميقة ذات قطر 50 متر مملوءة بالمجما عند بعض الوقت بين مجموعتين من القياسات في يونيو 1990 ويونيو 1991 (ريمر 1993 & ريمر وآخرين 1993 Rymer et al)



شكل (3-79): المناطق الداخلية للأرض.

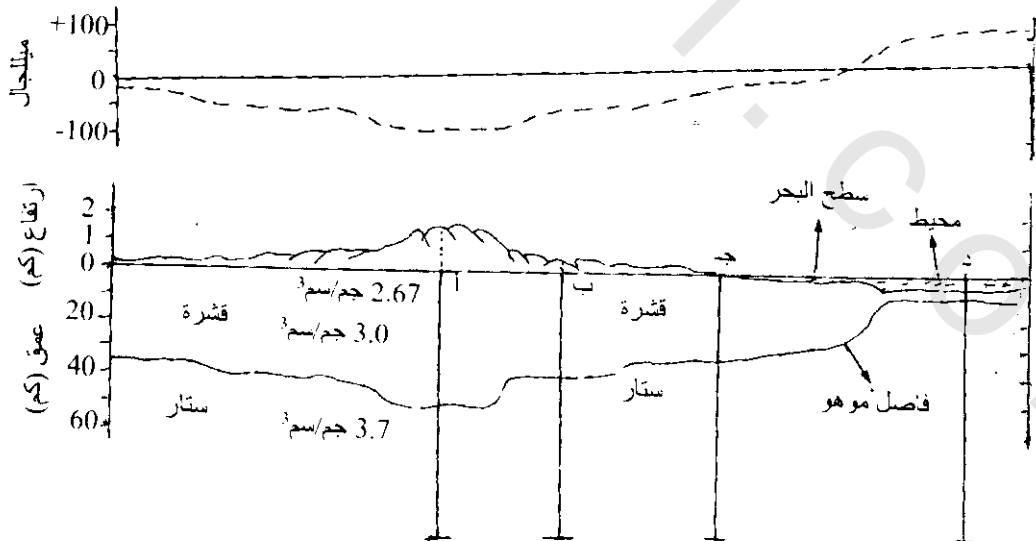


شكل (3-80): بروفيل لتغير جاذبية بوجير وسمك القشرة عبر (أ) الولايات المتحدة الأمريكية، (ب) شمال المحيط الهادى

ثالثاً: يقع المقطع ج على الشاطئ حيث يكون سمك القشرة حوالى 32 كم وتكون الجاذبية عنده مساوية للصفر لأن سطح الأرض يصل لمستوى سطح البحر عند الشاطئ ويختفى مصطلحى الكتلة والارتفاع من معادلة بوجير .

$$\Delta g_B = \Delta g_{obs} + \Delta g_p \pm (0.3086 h \mp 0.04193 \rho h)$$

حيث g_p تصحيح خط العرض، h الارتفاع بالمتر، ρ الكثافة (علاقتها بالكتلة).



شكل (3-81): بروفيل نموذجى يوضح العلاقة الإقليمية بين جاذبية بوجير وارتفاع سطح الأرض وسمك القشرة. يوضح الاتجاه عبر مناطق كبيرة لجاذبية بوجير إلى التغير العكسى مع الارتفاع وسمك القشرة

وقد دلت الدراسات السيزمية على أن سمك القشرة عند أغلب الشواطئ حوالى 32 كم وهذه توضح لماذا تتراوح قيم الجاذبية ما بين 20+ & 20- ميللجال حول الصفر عند المساحات الشاطئية، وعند بعض الأماكن الأخرى والتي تتراوح فيها سمك القشرة حوالى ٣٢ كم. وهذا يوضح أن القشرة لها تأثير عميق على تغير جاذبية بوجير الإقليمية. وقد تصل قيم الجاذبية إلى -2000 ميللجال أو أقل فى مساحات الأراضى العالية حيث يصل سمك القشرة لحوالى 60 كم ولكن تزيد قيمة الجاذبية إلى +200 ميللجال أو أكثر عند قشرة المحيط والتي يبلغ سمكها حوالى 5 كم. وتشارك ظواهر المقاييس الجيولوجية الكبيرة للقشرة فى تغير جاذبية بوجير الإقليمية حيث فروق الكثافة والتي لها علاقة بالفوالق الكبيرة والاختلاف الإقليمي فى سمك الرسوبيات المتجمعة فى أحواض واسعة ممكن أن تنتج نماذج لجاذبية بوجير كأنها عدة عشرات من الكيلومترات الواسعة.

الفصل الرابع

طريقة المغناطيسية

Magnetic Method

1.4 مقدمة Introduction:

تعتبر طريقة المغناطيسية أكثر عمومية من طريقة الجاذبية فى البحث والتنقيب عن الخامات والبتترول والإستخدامات الجيولوجية، برغم أن شادات كلاهما تنتج من التغير فى الخواص الطبيعية للصخور تحت سطحية كما أن تفسيراتهما تحتاج لنفس الأسس.

وربما تكون طريقة المغناطيسية أكثر تعقيدا من طريقة الجاذبية سواء فى الأساسيات والتطبيقات العملية. والسبب الأساسى فى ذلك أن تأثير خواص المغناطيسية للصخور وشدتها لها قيمة وإتجاه بينما الخواص المقابلة لها والمتحركة لمجال الجاذبية هى الكتلة ذات القيمة فقط. وربما أيضا يكون لأثار قليلة لمعادن معينة فى الصخور تأثيرات مغناطيسية كبيرة بينما تأثيرات الجاذبية تنتج أساسا من تكوينات الصخور الأولية. وبرغم من هذا فإن أهمية طريقة المغناطيسية يرجع لنجاح تطبيقاتها فى مناطق حيث يكون الزيت والتكوينات الحاملة له عادة غير مغناطيسية وبحكم تركيباتها الناتجة من صخور نارية أو صخور بللورية وحواف صخور نارية مدفونة تحتها والتي تشكل طيات محدبة أو كتل نارية وفوالق لها إزاحات وهذه التكوينات لها مغناطيسية ممكن الكشف عنها. وتعكس هذه التركيبات صورة للتركيبات الرسوبية التى فوقها والحاملة للزيت.

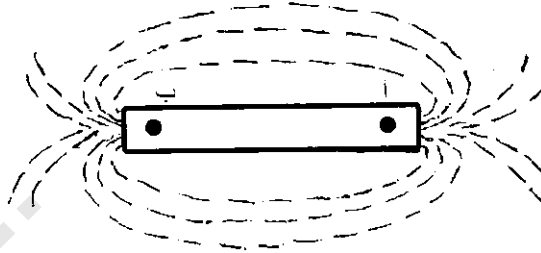
فى طريقة المغناطيسية يجب عزل التقلبات الدقيقة فى المجال المغناطيسى الأرضى الناتجة من الظواهر التركيبية الصغيرة والكبيرة ذات الأهمية الإقتصادية عن التقلبات الكبيرة والتى عادة ليس لها أهمية إقتصادية ويجب إزالتها من الشدة المغناطيسية المقاسة. ولكى يتم هذا يجب أولا معرفة المصطلحات والتعريفات التى تستخدم غالبا لوصف المغناطيسية والخواص المغناطيسية للمواد وأيضا للحصول على معرفة بالمغناطيسية الأرضية خاصة على مستوى الكرة الأرضية.

2.4 الأساسيات والتعريفات Basic Concepts and Definitions:

1.2.4 الأقطاب المغناطيسية (P) Magnetic Poles:

إذا نثرت برادة حديد بطريقة عشوائية على لوح من الورق والموضوع فوق قضيب مغناطيسى فإن هذه البرادة تتشكل على شكل خطوط شكل (1-4)، وهذه الخطوط التى ترتب البرادة نفسها عليها عادة تسمى (خطوط

القوى المغناطيسية)، والنقط التي من عندها تمتد هذه الخطوط من واحدة للأخرى تعرف بالأقطاب. ولذلك إذا علق قضيب مغناطيسي من منتصفه وترك يدور بحرية في جميع الاتجاهات فإنه يأخذ خط على طول المجال المغناطيسي الأرضي (خطوط القوى المغناطيسية الأرضية والتي هي نفسها مغناطيس كبير) وأحد أقطابه يتجه إلى القطب الشمالي الأرضي (يسمى القطب الشمالي للقضيب) والآخر للجنوب الأرضي (يسمى القطب الجنوبي للقضيب).



شكل (4-1): خطوط القوى حول القضيب المغناطيسي (أ، ب هي الأقطاب)

2.2.4 العزم المغناطيسي (Magnetic Moment (M):

حيث أنه لا توجد أقطاب مغناطيسية معزولة، فإن العزم المغناطيسي لقضيب مغناطيسي بسيط (PL) ينتج من حاصل ضرب قوة القطب المغناطيسي (P) والمسافة بين القطبين L أي أن $M = PL$ وهي كمية متجهة لدى القطبين وتكون في اتجاه القطب الشمالي (تمتد من القطب الشمالي للقطب الجنوبي) حيث أن المغناطيسية الفعلية عامة تعتبر ثنائيات القطب المغناطيسي. وإذا كان الجسم المغناطيسي اختياريا وحجمه (V) والمغناطيسية الكلية له (J) فإن العزم المغناطيسي له هو العزم المغناطيسي لوحدة الحجم أي $M = \frac{J}{V}$.

3.2.4 القوة المغناطيسية (Magnetic Force (F):

كما في حالة الكتلة في الجاذبية فإن القوة بين قطبين تعتمد على حاصل ضرب قوتهم وعكسيا مع مربع المسافة بينهم

$$\therefore F = C \frac{P_1 P_2}{r^2} \quad (4-1)$$

حيث C ثابت نسبي يعتمد على إختيار نظام الوحدات وخواص مغناطيسية الوسط. وعندما تكون وحداته من نظام (سنتيمتر-جرام-ثانية) فإن قيمته تساوى الوحدة عندما تكون F بوحدة الداين، P بوحدة أورستد، r بوحدة السنتيمتر.

4.2.4 المجال المغناطيسي (Magnetic Field (H):

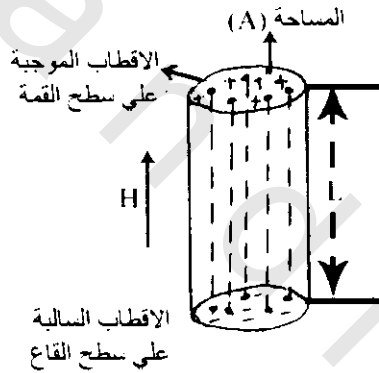
عادة ما يكون نظام شدة المجال المغناطيسي بوحدات (سنتيمتر-جرام-ثانية) عندما تكون قوة الأقطاب بالأورستد، والقوة بالداين فإن شدة المجال المغناطيسي تكون بالأورستد.

$$\therefore H = \frac{F}{P} \quad (4-2)$$

ويكون إتجاه المجال المغناطيسى فى إتجاه القطب المتحرك لإتجاه القطب الشمالى الأرضى. ومتوسط شدة المجال المغناطيسى عند سطح الأرض حوالى 0.5 أورستد وهذه القيمة كبيرة جدا عند إجراء المسح المغناطيسى التنقيبي لذلك فعادة ما تستخدم وحدة صغيرة جدا لهذا المسح تسمى الجاما (gamma) حيث أن وحدة الجاما 10^{-5} = أورستد.

5.2.4 شدة التمغنط أو الإستقطاب (I): Intensity of Magnetism or Polarization

إذا وضعت مادة مغناطيسية فى مجال مغناطيسى خارجى (H) فسوف يكون لها أقطاب مستحثة على سطوحها المستحثة (الإستقطاب) يكون فى إتجاه المجال الممغنط (المسلط) وشدته تتناسب مع شدة هذا المجال ويمكن اعتبار شدة التمغنط (I) هى شدة القطب المستحث لكل وحدة مساحة على السطح العمودى للمجال الحاث وهى أيضا تكافئ العزم المغناطيسى لكل وحدة حجم ويدل هذا النوع من التمغنط على اصطفاف لمغناطيسيات عنصرية أو ثنائيات قضيب ذات ترتيب عشوائى أصلا فى إتجاه المجال الممغنط وتعتمد عدد المغناطيسيات المصنوفة على شدة هذا المجال.



شكل (2-4): الإستقطاب المستحث فى إسطوانة لمادة متجانسة بواسطة مجال عمودى على الأطراف ، L المسافة بين الأقطاب وتستخدم فى حساب العزوم المغناطيسية الفعالة لمجال منتظم

6.2.4 القابلية المغناطيسية (K): Magnetic Susceptibility

عندما يوضع جسم قابل للتمغنط فى مجال مغناطيسى فيأخذ درجة معينة من المغناطيسية تتناسب مع المجال وأيضا تعتمد على حالة التمغنط، والقابلية المغناطيسية للجسم هى مقياس حالة التمغنط مع المجال الموضوع فيه أى

$$\begin{aligned} I &\propto H \\ \therefore I &= K H \\ \& K &= \frac{I}{H} \end{aligned} \quad (4-3)$$

حيث K تسمى القابلية المغناطيسية. فى حالة الفراغ K تساوى صفر وتعتبر القابلية المغناطيسية خاصية مهمة جدا للصخور فى طرق التنقيب المغناطيسى مثل الكثافة فى طرق التنقيب الثقافى (الجاذبى). وقد صنفت القابلية المغناطيسية للصخور المختلفة إلى المجموعات التالية:

- (1) ديامجنيٹك Daimagnetic
- (2) بارامجنيٹك Paramagnetic
- (3) فيرومجنيتك Ferromagnetic
- (4) العكسرومجنيتك Antiferromagnetic
- (5) الفيريمجنيتك Ferrimagnetic
- (6) الفوق بارامجنيٹك Super-paramagnetic

المواد المسماة ديامجنيٹك لها قابلية مغناطيسية (K) سالبة أما المجموعتين الأخرتين (بارامجنيٹك، فيرومجنيتك) فلها قابلية مغناطيسية (K) موجبة وهذا يرجع للتركيب الذرى للمواد.

وتبعاً لقوانين الكهرومغناطيسية فجميع الذرات لها عزم مغناطيسى، يرجع لحركة المدار ودوران الإلكترونات بها. فى أغلب المواد فإن العزم المغناطيسى للذرات الملتصقة تتحرك عشوائياً فى غياب المجال الخارجى ولذلك فإن العينة ليس لها نتيجة مغناطيسية. وينتج التمعنط نتيجة لتطبيق مجال مغناطيسى خارجى.

وفى المواد الديامغناطيسية فإن الحث المغناطيسى H يكون عكس المجال المطبق H وتتكون بذلك قابلية مغناطيسية سالبة وجميع المواد ديامغناطيسية ولكن كثير من المواد لها تأثيرات افتراضية كبيرة أخرى والتي تبهم هذه المغناطيسية الضعيفة. كثير من المعادن العامة مثل الكوارتز، فليسيار، جيبسم والحجر الملحى سائدة الديامغناطيسية وذات قيم سالبة صغيرة $K \approx -10^{-6}$ cgs.

وتسود البارامغناطيسية فى المواد التى تحتوى على إلكترونات غير مزدوجة وتعود أساساً إلى عدم إتران دوران العزوم المغناطيسية وتنتشر العزوم العشوائية ولكن فى وجود مجال مغناطيسى، وتتجه الخطوط فى اتجاه المجال ولكن تقاوم الإتجاهين بواسطة الآثار الحرارية. والقابلية المغناطيسية للمواد البارامغناطيسية موجبة وتقل عكسياً مع درجة الحرارة المطلقة (قانون كورى-فيس Curie-Weis Law)، وتوجد المعادن البارامغناطيسية مكررة فى الصخور الطبيعية مثل البايروكسينات، الأولوفينات، الجارينات، البيوتيتات والأمفيبولات.

فى بعض مواد معينة والمصنفة باتساع كفيرومغناطيسية وحديدومغناطيسية، تكون القابلية المغناطيسية أكبر فى القيمة بعدة درجات وأحياناً أكبر من 10 c.g.s. وهى ذات قيمة موجبة وتعتمد على درجة الحرارة وشدة المجال المطبق. وفى هذه المواد يكون عزم دوران الإلكترونات غير المزدوجة مزدوج المغناطيسية بين الذرات المتجاورة. ونتيجة لهذه التفاعلات القوية تنتج المغناطيسية اللحظية حتى فى غياب المجال الخارجى. والخاصية الملاحظة الأخرى هى قدرتها للعودة للتفاوت الصفى بواسطة المجال المطبق بعد إزالته.

1.6.2.4 مجموعة الديامجنيٹك Diamagnetic Group:

لها قابلية مغناطيسية سالبة مثل جرافيت، كوارتز، صخور الملح، كالسيت

$$K \approx -10 \cdot 10^{-6} \text{ c.g.s}$$

2.6.2.4 مجموعة البارامجنيتك Paramagnetic Group:

لها قابلية مغناطيسية موجبة ضعيفة مثل:

(1) حجر جيرى، فحم، بيريت، حجر رملى، طين

$$K \approx 10 \cdot 10^{-6} \text{ c.g.s}$$

(2) هاماليت، ليمونيت، دايوريت، جابروشيست، حجر جيرى أوليتى، كروميت

$$K \approx 10^{-4} \text{ c.g.s.}$$

(3) سربنتين، جرانت، نيس، إردواز، دولوريت، كوارتز حديدى

$$K \approx 10^{-3}$$

(4) كالكوبيريت، بازلت

$$K \approx 10^{-2} \text{ c.g.s}$$

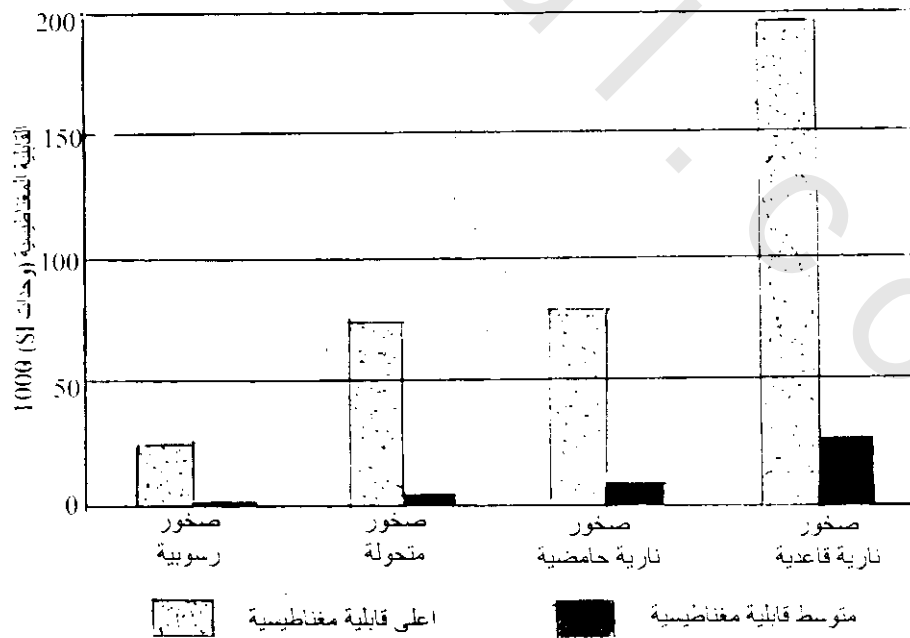
3.6.2.4 مجموعة الفيرومجنيتك Ferromagnetic Group:

لها قابلية مغناطيسية ذات قيمة كبيرة وهذه تحتوى أساسا على أكسيدات الحديد، ماجنتيت، بيرولينيت،

الومونيت

$$K \approx 10^{-1} \text{ c.g.s}$$

وتبعاً لذلك فإن الصخور النارية القاعدية وفوق القاعدية لها قابلية مغناطيسية عالية والصخور النارية الحامضية فلها قابلية مغناطيسية أقل تليها الصخور المحولة أما الصخور الرسوبية فلها عامة قابلية مغناطيسية صغيرة كما فى شكل (3-4).



شكل (3-4): القابلية المغناطيسية لمجموعة أنواع الصخور

4.6.2.4 العكسرومجنيتك Antiferromagnetic:

تنشأ هذه الظاهرة عندما تكون العزوم المغناطيسية لمواد فيها الوحدات البلورية المكونة للبلورة ذات اتجاهات متعاكسة بحيث يكون المجموع الكلى لهذه العزوم مساويا للصفر. وهذا يتأتى عندما تكون عزوم مجموعة من الذرات في هذه الوحدات مساو ومعاكس لمجموعة أخرى من الذرات. وهذه الحالة تتم في عدم وجود مجال مغناطيسي خارجي. وتكون لهذه المواد صفة البارامجنيتك paramagnetic في حالتين:

1- في مجال مغناطيسي خارجي وينشأ تمغنط ضعيف موجب.

2- إذا تغيرت درجة الحرارة إلى درجة حرارة نيل (Neel Temperature T_N).

في بعض الأحيان لا تكون العزوم المغناطيسية متعاكسة نتيجة لدوران إتجاه التمغنط حول أحرف الوحدة البلورية وينتج بذلك تمغنط ضعيف كلى يسمى نازع العكسرومجنيتك (conted antiferromagnetics) وأهم مثال لظاهرة العكسرومجنيتك هو الهيماتيت.

5.6.2.4 الفيريماجنيتك Ferrimagnetic:

تقع موادها في سلوكها المغناطيسي بين الفيروماجنيتك والعكسفيريماجنيتك فالعزوم المغناطيسية المتواجهة بجوار حوائط البلورات (الحيز المغناطيسية magnetic domains) متعاكسة في إتجاهها ولكن يكون مقدار أو طول متجه التمغنط غير متساوى بحيث ينتج تمغنطاً نهائياً كبيراً. وعدم التساوى هذا إما لعدم تساوى عزوم التمغنط أو لعدم تساوى المجموع الكلى لعزوم التمغنط داخل الوحدة البلورية أى لعدم تساوى عدد المغناطيسيات الثنائية (dipole magnets) نفسها. ولمواد هذه المجموعة تمغنط باقى (remanent) ينعلم عند رفع درجة الحرارة فوق درجة حرارة كورى (T_C Curie Temperature) حيث تتحول المادة إلى الخاصية البارامغناطيسية. ومن أمثلة هذه المواد الماجنتيت Fe_3O_4 والماجنتيت Fe_2O_3 وكثيراً من المواد الأخرى.

6.6.2.4 الفوق باراماجنيتك أو السوبر باراماجنيتك Superparamagnetic:

عندما تكون الحبيبات المغناطيسية متناهية فى الصغر أى حجمها أقل من 0.1 ميكرومتر أى أن حجمها فى حدود حجم الوحدة المغناطيسية البلورية الصغيرة المكونة للمادة Magnetic domains تكون العزوم المغناطيسية لهذه الوحدات البلورية سريعة الترتيب، عند فقدانها لطاقة الحركة سريعة وشديدة التبعثر فى المجال الخارجى، أى أنها تتعاون فيما بينها فترتب المغناطيسيات ثنائية القطب الذرية (atomic dipole moments) فى إتجاه متساوى فيحدث تمغنط عالى جداً. ولكن عند إكتساب المادة لأى طاقة (حرارية مثلاً) فإن هذه الطاقة تتحول لطاقة حركة تعمل على تدمير تراص وترتيب الحبيبات المغناطيسية وتصير العزوم المغناطيسية موزعة عشوائياً وتفقد بذلك المادة تمغنطها تماماً. فإذا وجد بعد ذلك مجال مغناطيسي خارجي فإن هذه الحبيبات تترتب مرة أخرى فى إتجاه هذا المجال وعادة ما يكون زمن الترتيب والإضطرابات صغير وهذا النوع من التمغنط متفاعل مع المجال المغناطيسي الخارجى.

7.2.4 الحث المغناطيسي Magnetic Induction:

هو قياس شدة المجال خلال الجسم الممغنط وفى حالة خطوط القوى المغناطيسية ربما يعتبر عدد الخطوط لكل سنتيمتر مربع هو الحث المغناطيسي ووحدة الحث المغناطيسي هو الجاوس والحث الكلى P خلال الجسم الممغنط ربما يعتبر خطوط مجال التمغنط الأصيلى H بالإضافة لهذه الناتجة من شدة التمغنط I (تعنى العزم

المغناطيسى لكل وحدة حجم) الناتجة بواسطة المجال المغناطيسى. لهذا فإن وحدة العزم وكذلك وحدة الشدة المغناطيسية (التي لها خطوط $4\pi I$ من الحث المغناطيسى) هي الحث المغناطيسى

$$\therefore B = H + 4\pi I \quad (4-4)$$

ولكن

$$\begin{aligned} I &= KH \\ \therefore B &= H + 4\pi KH \\ &= H(1 + 4\pi K) \end{aligned}$$

8.2.4 النفاذية المغناطيسية Magnetic Permeability:

إذا توازى المجال المغناطيسى H والحث الناتج β (وعادة هذا مايكون) فإن النفاذية تحدد بواسطة المعادلة

$$\begin{aligned} M &= \beta/H \\ &= \frac{H(1 + 4\pi K)}{H} = 1 + 4\pi K \end{aligned} \quad (4-5)$$

9.2.4 مغناطيسية ثنائى القطب Magnetic Dipole:

أساس مغناطيسية ثنائى القطب يكون قاعدة لفهم سلوك مغناطيسية جزيئات المواد ذات الأبعاد الصغيرة جدا إلى مغناطيسية الأرض ككل. رياضيا نعتبر ثنائى جزئ يتكون من قطبين مغناطيسين ذات قوة m و m وحجمه الطبيعى والمسافة بينهما متناهية الصغر ولكن له عزم مغناطيسى محدود $M = mL$ لهذا فإن ثنائى القطب يمثل مغناطيس مثالى أولى. سوف نشق التعبير للمجال المغناطيسى الناتج من ثنائى القطب (مغناطيسى أولى) عند نقطة أ بعيدة بمسافة r من مركز المغناطيس شكل (4-4) ويساعدنا هذا الحساب البسيط لفهم كمية المغناطيسية المؤثرة الناتجة بواسطة الأجسام المغناطيسية وحيث أن الجهد المغناطيسى W للنقطة أ لمغناطيس شدته m على مسافة r

$$\therefore W = \frac{\mu_o}{4\pi} \left(\frac{m}{r} \right) \quad (4-6)$$

μ_o ثابت عالمى للنفاذية المغناطيسية للفراغ وقيمته $4\pi \cdot 10^{-7} (SI)$ لذلك فإن الجهد المغناطيسى W عند P

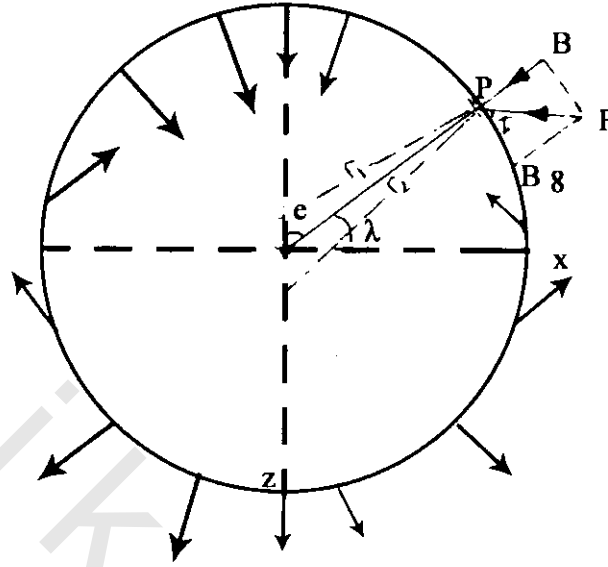
تكون مجموع القطبين الموجب والسالب

$$\therefore W = \frac{\mu_o}{4\pi} \left(\frac{m}{r_1} - \frac{m}{r_2} \right) = cm \frac{\alpha(1/r)}{\ell}$$

حيث c ثابت $\frac{\mu_o}{4\pi}$, $\partial(1/r)$ يمثل الفرق الصغير بين $r \left(\frac{1}{r_1} - \frac{1}{r_2} \right)$ وإذا كانت ℓ صغيرة جدا ، ℓ

$\partial(1/r)$ معدل التدرج لـ $1/r$ فى اتجاه ℓ وأخذنا نظام الإحداثيات طالما ℓ فى اتجاه Z ،
عندئذ يمكن كتابة التعبير لـ W كالآتى:
 $r = \sqrt{X^2 + Y^2 + Z^2}$

$$W = c m \frac{\partial}{\partial Z} \left(\frac{1}{r} \right) = \frac{cm}{r^2} \cos \theta \quad (4-7)$$



شكل (4-4): توزيع المجال المغناطيسي الناتج من ثنائي قطب رأسي. للتقريب الأولي يعتبر أن المجال الأرضي نموذج بواسطة وضع ثنائي قطب له عزم كبير كافي عند مركز الأرض.

وتبعاً لما يؤديه التفاضل السالب لجهد شدة المجال المغناطيسي في مناظرة الإتجاه يكون المجال المغناطيسي (B) في إتجاه r عند P كالآتي:

$$B_r = \frac{\partial W}{\partial r} = \frac{2cm}{r^3} \cos \theta \quad (4-8)$$

والمركبة العمودية للمجال تكون

$$B_\theta = \frac{1}{r} \frac{\partial W}{\partial \theta} = \frac{cm}{r^3} \sin \theta \quad (4-9)$$

ويعطى المجال الكلي F وميله I (بالنسبة B_0)

$$\begin{aligned} P &= \frac{cm}{r^3} (1 + 3 \cos^2 \theta) \\ &= \frac{cm}{r^2} (1 + 3 \sin^2 \lambda)^{1/2} \end{aligned} \quad (4-10)$$

$$\text{and } \tan I = \frac{B_r}{B_\theta} = 2 \cot \theta = 2 \tan \lambda \quad (4-11)$$

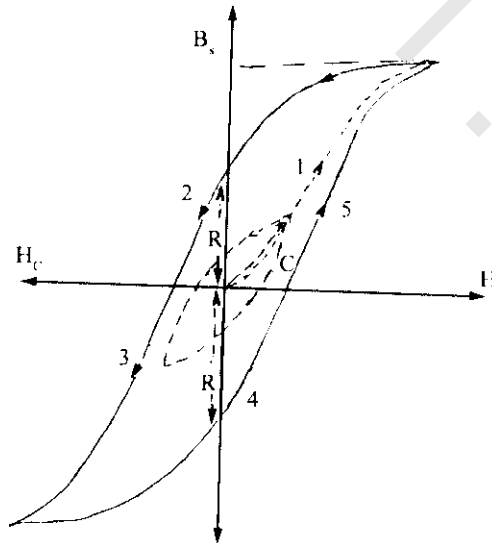
ويكون المجال أكبر ما يمكن ($= 2 cm/r^3$) عند P على طول محور ثنائي القطب ($\theta = 0^\circ, 180^\circ$) وأصغر ما يمكن عندما تقع P في منتصف المستوى العمودي على محور ثنائي القطب.

وإذا اعتبرت P على سطح الأرض وثنائي القطب الرأسي عند مركزها عندئذ تمثل β_0 & β_1 المركبة الرأسية والأفقية لمجال ثنائي القطب الأرضي ويكون m عزم ثنائي القطب لكل الأرض. وقد وجد أن ثنائي

القطب المغناطيسى يكون أحسن ملاءمة عندما يكون محور الميل للمجال الحاضر للأرض عند حوالى 11.5° من الرأسى.

10.2.4 المغناطيسية المتبقية Residual Magnetism:

العلاقة النسبية بين المجال والحث المغناطيسى الممثلة بالمعادلة $\mu = \frac{\beta}{H}$ حيث μ النفاذية المغناطيسية وهى قيمة تقريبية وتتلشى كلية فى المواد المغناطيسية العالية*. وسلوك مثل هذه المواد المغناطيسية والمسماه بالمواد الحديدية تذهب لدورة مغناطيسية ومغناطيسية عكسية كما هو موضح فى شكل (5-4) عند وضع عينة غير ممغنطة لمواد مغناطيسية بين قطبى الكتر ومغناطيسى واللذان ينتجان مجال خارجى (H) والذي يمكن التحكم فيه بواسطة الزيادة أو النقصان أو إتجاه تيار عكسى. يلاحظ من شكل (5-4) فى الخطوة (1) أنه بزيادة المجال المغناطيسى (H) من الصفر يزداد الحث المغناطيسى (β) والمقاس بواسطة جلفانومتر والموصل بملف حول العينة وهذه الزيادة تكون غالبا خطية تبعا للعلاقة $\beta = \mu H$ إلى أن تصل مغناطيسية العينة للتشبع حيث يقترب المنحنى للخط الأفقى وفى الخطوة (2) عندما يقل المجال الخارجى H ويصل للصفر فإن β لا ترتد للصفر تاركة قيمة مقدارها R فى العينة والتي تسمى المغناطيسية المتبقية. وفى الخطوة (3) إذا عكس المجال H ويصبح H_c (تسمى القوة الجبرية) فإن β تنقص حتى تكون أيضا معكوسة وتقترب للتشبع فى الإتجاه السالب. وفى الخطوة (4) ينقص المجال المعكوس إلى أن يصل للصفر وأيضا لا ترتد β للصفر تاركة قيمة مقدارها R' فى العينة والتي تسمى المغناطيسية المتبقية المعكوسة. وفى الخطوة (5) وبإعادة المجال المغناطيسى الموجب فإن إتجاه β سينعكس مرة ثانية وتكون النتيجة فى الطور الثانى تشبع موجب. ويسمى هذا النموذج الشامل للتمغنط بحلقة التخلف المغناطيسى ويوضح المنحنى كيف أن الجسم المغناطيسى يبقى مستقطب مغناطيسيا بعد اختفاء القوة الأصلية للتمغنط.



شكل (5-4): حلقة التخلف المغناطيسى لمادة فيرومغناطيسية، R، الحث المغناطيسى المتبقى

* هذه المواد تملك قابلية مغناطيسية عالية نسبيا وقادرة على الإحتفاظ بالمغناطيسية باستمرار.

وتوضح الحلقة الصغيرة c فى شكل (4-5) دورة التمغنط بدون تشبع. وتعتمد ظاهرة التخلف المغناطيسى على القابلية المغناطيسية الكلية لعينة الصخر وحالة التمغنط والحث المغناطيسى للمعادن المكونة لها. وتمتد أيضا لإحداثيات غير جوهرية (مثل حجم الحبيبات، الإجهاد الداخلى... إلخ) ويكون تأثيرها ممثل للقوة الجبرية H_c . وكقاعدة عامة تنتج القابلية المغناطيسية العالية من الحبيبات الكبيرة وكبر مجال التأثير الذى يحتوى عليه وسهولة التمغنط. وحيث أن الحبيبات الصغيرة صعبة مغناطيسيا لذلك تؤدي لقابلية مغناطيسية منخفضة ونسبيا لقوة جبرية عالية.

ومع أن الصخور عامة ضعيفة التمغنط فهذا لايعنى استبعادها لتوضيح المغناطيسية المتبقية، حيث أن كثير من مواد الصخور تتمغنط فى مكانها كحث استقطابى بواسطة المجال الأرضى الموجود. وغالبا ما يكون اتجاه التمغنط للصخور مختلف كلية (نهائيا) عن هذا المجال وهذا يقود لاستنتاج أن تمثيل محصلة تيار التمغنط والمغناطيسية المتبقية من المجال الحاضر مختلف كثيرا عن المجال أثناء تكون الصخر فى مرحلة الأولى.

ومنحنى التخلف المغناطيسى له تطبيقات كثيرة فى الصناعة أهمها الحصول على مادة (سبيكة معدنية) يكون لها منحنى التخلف قريب إلى العكس reversible أى H_c صغيرة جدا وكذلك R.

11.2.4 التمغنط الطبيعى الباقي Natural Remnant Magnetization NMR:

هو التمغنط الطبيعى الموجود بالطبيعة ويشمل تمغنط التكوين الجيولوجى وصخوره بما فيها من خليط.

يكون لبعض الصخور مجالا مغناطيسيا طبيعيا فيما حولها وهذا ناتج من أن لهذه الصخور تمغنطا طبيعيا باقيا فيها لوجود مواد مختلطة داخلية فى تركيب هذه الصخور وذات تمغنط وتسمى حوامل مغناطيسية (magnetic carriers) وغالبا ما تكون هذه المواد فريمغناطيسية وينقسم هذا التمغنط الباقي إلى:

1.11.2.4 التمغنط الحرارى الباقي Thermoremanent Magnetization TRM:

ينشأ هذا التمغنط فى عينات الصخور أو فى الصخور الطبيعية عند تبردها من درجة حرارة عالية أعلى من درجة الكورى T_c إلى درجة الحرارة العادية وفى وجود مجال مغناطيسى خارجى (مجال صناعى أو مجال مغناطيسية الأرض فى الصخور الطبيعية) وهذا النوع من التمغنط هو أهم أنواع التمغنط الباقي لأنه معروف الأصل وثابت ومنتشر بكثرة فى الصخور النارية بصورة عامة والبركانية بصورة خاصة. وهذا التمغنط هو أصل تمغنط الصخور الرسوبية ذات الأصل النارى، لذلك هو أصلح أنواع التمغنط للدراسات الباليومغناطيسية والأركيومغناطيسية.

2.11.2.4 التمغنط الحرارى الباقي الجزئى Partial Thermoremanent Magnetization (PTRM):

هو جزئية من التمغنط الحرارى الباقي (TRM) أى عندما تنخفض درجة الحرارة من درجة أعلى إلى درجة أقل (كلاهما تحت درجة الكورى) فى وجود مجال خارجى تعطى تمغنطا حراريا جزئيا نتيجة لذلك. أى أن التمغنط الحرارى الباقي (TRM) هو مجموع التمغنطات الجزئية (PTRM).

3.11.2.4 التمثغظ الحرارى الباقي العكسى (ITRM) Inverse Thermo remanent Magnetization:

ينتج هذا التمثغظ من تسخين العينة من درجة حرارة منخفضة (تحت الصفر المئوى مثلا إلى درجة الحرارة العادية في وجود مجال مغناطيسى خارجى).

4.11.2.4 التمثغظ الكيميانى البلورى

Chemical, Crystallization, Remanent Magnetization (CCRM):

ينتج هذا التمثغظ عندما يتغير التركيب الكيميانى أو البلورى في وجود مجال مغناطيسى خارجى (مجال مغناطيسى أرضى أو مجال صناعى) كحدوث أكسدة لمكونات الصخور أو إختزال أو تميؤ أو نقص التميؤ أو ترسيب مواد لاحمة بين الحبيبات أو ذوبان وإنصراف المواد اللاحمة أو إعادة تبلور أو نمو الحبيبات وهذا النوع من التمثغظ موجود بكثرة في بعض الرسوبيات الحمراء الغنية بالهيماتيت وأكاسيد الحديد الأخرى وكذلك في الصخور المتحولة.

5.11.2.4 التمثغظ الرسوبى (DRM) Depositional, or Detrital, Remanent Magnetization:

ينشأ هذا التمثغظ في الصخور الرسوبية وينتج من أن الفتات الناتج من عمليات التعرية والنحت والنقل يحتوى على حبيبات مغناطيسية صغيرة (لها طبيعة ثنائية القطب). وعند ترسبها في ماء البحار أو البرك (أو في كمية من الماء في المعمل) تميل هذه الحبيبات إلى ترتيب نفسها في إتجاه المجال المغناطيسى الخارجى السائد (المجال الأرضى في حالة الصخور الطبيعية أو في مجال صناعى في التجارب المعملية) فتتراص جزئيا وينشأ هذا التمثغظ الرسوبى (DRM). وهو عادة ما يكون مساويا في الإتجاه للمجال الخارجى ومتناسبا معه في الشدة. وهذا النوع من التمثغظ مهم جدا في الدراسات الباليو-الأركيو-مغناطيسية.

6.11.2.4 التمثغظ بالضغط (PRM) Pressure, or Piezo Remanent Magnetization:

ينتج هذا التمثغظ من التشوه الميكانيكى للصخور في وجود مجال مغناطيسى خارجى ويمكن تسميته تمثغظ الإنفعال strain remnant magnetization ويمكن أن يكون الجهد المؤثر في حيود مرونة الصخر أو خارجها. وتنشأ هذه الجهود من الحركات التكتونية أو الموجات الصدمية (shock impact) والتي بدورها تحدث تغير دائما irreversible في تركيب الجزيئات المغناطيسية المكونة للمواد. وهذا النوع من التمثغظ هام جدا في دراسة التكتونية المغناطيسية (Tectono magnetism).

7.11.2.4 التمثغظ الحرارى مع ثبات درجة الحرارة (IRM) Isothermal Remanent Magnetization:

ينشأ هذا التمثغظ في الجسم والعينة من وجود مجال خارجى في درجة حرارة معينة ثابتة وهو الجزيئية البدائية من منحني التخلف المغناطيسى ومن أمثلته في الطبيعة المجال الهائل الناتج من الصواعق والذى يحدث تمغظ كبير (lightning remanence).

8.11.2.4 التمثغظ اللزج (VRM) Viscous Remanent Magnetization:

يحدث هذا التمثغظ في الطبيعة تدريجيا في العينات أو الصخور مع مرور الزمن وفي وجود مجال خارجى ويكون معدل الزيادة في هذا التمثغظ لو غارتميا مع الزمن T أى أن

$$VRM = A \log T + \beta$$

(4-12)

حيث β , A ثوابت، β غالبا ما تكون مساوية لصفر وينتج هذا التمغنط من ترتيب بعض الجزيئات المغناطيسية في اتجاه المجال الخارجى نتيجة للتهيج الحرارى (thermal agitation) أى نتيجة لإعطاء طاقة لهذه الجزيئات فتهيج ثم تترتب في اتجاه المجال السائد عندما تبرد. تتغير درجة الحرارة فقط في حدود تغير درجة حرارة الجو أو الغرفة أو درجة الحرارة التى تكون قد تعرضت لها الصخور أثناء عمرها الجيولوجى. هذا النوع من التمغنط (VRM) مهم جدا إذ أنه يحتوى على تاريخ المجال المغناطيسى الأرضى منذ تكون الصخر وتمغنطه إما حرارى أو رسوبى. ويكون له طبقات مغناطيسية (overprints). وهذا التمغنط أيضا غير ثابت ويسهل إزالته عند إجراء القياسات الباليومغناطيسية.

9.11.2.4 التمغنط نتيجة لإثارة التيار المتردد (Anhyaterectic Remanent Magnetization (ARM))

هذا النوع من التمغنط يتم في المعمل فقط. ويحدث إذا وضعنا عينة من الصخور في مجالين مغناطيسين خارجيين أحدهما متردد (Alternating Field (AF)) وهذا الجهد عالى يصل لحوالى 0.2 تسلا ينتج من تيار متردد في ملف والآخر مجال مستمر (Direct Field (DF)) ينتج من تيار مستمر في ملف أو من مغناطيس قوى. والمجال المتردد يتناقص إلى الصفر بينما المجال المستمر ثابت. وعليه يعمل المجال المتردد على إثارة الجزيئات المغناطيسية مدمر التراص الأصلي للعزوم المغناطيسية ويتناقص تدريجيا إلى الصفر. بينما يعمل المجال المستمر على تراص هذه الجزيئات المغناطيسية في اتجاهه فتكتسب العينات بذلك تمغنطا قويا باقيا. وهذا التمغنط يستخدم أحيانا في تجارب تعيين شدة التمغنط القديم في عينات الصخور الأثرية.

10.11.2.4 التمغنط البكتيرى أو الحيوى (Biological, or Bacterial Magnetization (BM))

توجد أنواع من البكتريا تعيش عند الحد الفاصل بين الماء والطين في قاع البرك والمستطحات المائية. وهى بكتريا لاهوائية تقوم بجمع وبناء حبيبات الماغنيتيت في داخلها فيما يشبه العقد. هذه الحبيبات المغناطيسية هى بلورات مكعبية صغيرة جدا في حجم الحيز البلورى المغناطيسى المنفرد (single magnetic domain crystals) (sd)) أى أن هذه الحبيبات المغناطيسية تسلك سلوك السوبر بارامغناطيسية (super paramagnetics). وهذه البكتريا والتى تتفاعل مع المجال المغناطيسى الخارجى تسمى (magneto-tatic bacteria) وعند مشاهدتها تحت الميكروسكوب الضوئى أو الإلكترونى يلاحظ إندفاعها في أسراب في اتجاه المجال المغناطيسى الخارجى. وعند وضع مجالين مغناطيسيين متعامدين فإنها تدور حول خطوط القوى وتتحرك في حركة حلزونية وفى هذه الحركة يكون سعة نصف قطر الدوران يتناسب مع شدة المجال العمودى. ومن خصائصها أنها تتحرك دائما في اتجاه المجال المغناطيسى الخارجى في أسراب تشبه أسراب الطيور المهاجرة. ولذلك يعتقد أن مثل هذه البكتريا لابد أن تكون موجودة في مخ أو دماغ الطيور المهاجرة وأسراب الأسماك التى تسافر مسافات طويلة تزيد على آلاف الكيلومترات وتعمل هذه البكتريا كجهاز توجيه معتمدة على المجال المغناطيسى الأرضى.

11.11.2.4 تمغنط المواد الأثرية Archeomagnetism:

هو تمغنط باقى إما حرارى TRM أو رسوبى DRM ولكنه يستخدم فى دراسة عمر الآثار والتغير الحقيقى للمجال المغناطيسى الأرضى والتمغنط الحرارى ينتج من أن تكون هناك آثار محروقة مثل الطوب الأحمر والفخار أو يكون فى بركانيات حديثة تاريخية. أما النوع الرسوبى فيكون فى رسوبيات البرك ومسابيها.

12.11.2.4 التمكنط الكلى Total Magnetism:

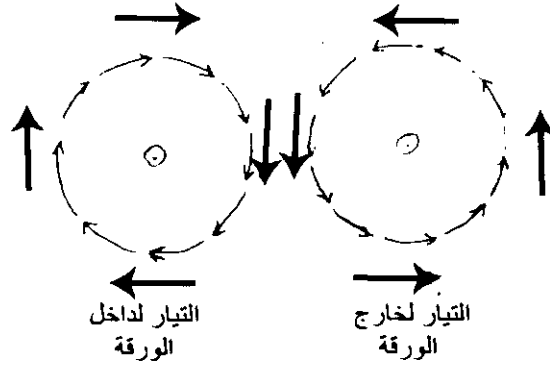
عند إجراء مسح مغناطيسى بقصد التنقيب فإن أى مادة منقبة عنها يكون لها تمغنط كلى ناتج من جزئين رئيسيين هما التمكنط الباقى remanence magnetism كما فى (11.11.2.4) والتمغنط الحثى induced magnetization وهو التمكنط الموجود فى الصخور نتيجة لوجودها حالياً فى المجال الخارجى أى فى المجال المغناطيسى الأرضى أى أن تمغنط أى نوع من الصخور هو

$$\vec{J} = \vec{J}_i + \vec{J}_r \quad (4-13)$$

حيث $J_r = HK$ هى القابلية المغناطيسية، H المجال الخارجى والنسبة بين التمكنط الباقى J_r والتمغنط الحثى J_i تسمى معامل كينجسبرجر ((Keenigsberger Factor (Q) وهذه القيمة مهمة فى معرفة شكل التمكنط النهائى للصخور فى عملية التنقيب المغناطيسى وخصوصاً إذا كان التمكنط الباقى سالبا أى عكس التمكنط الحثى. وهذا يعنى أن محصلة الجمع المتجهى للتمغنط الباقى والتمغنط الحثى تعطى فى النهاية قيمة وإتجاه التمكنط الكلى وبالتالي شكل وقيمة الشاذة الناتجة عن الجسم المنقبة عنه. هذا التمكنط الحثى الناتج من المجال الخارجى يتغير مع تغير المجال الخارجى والذى يتحكم فيه منحنى التخلف Hysteresis curve.

13.11.2.4 الكهرومغناطيسية Electromagnetic:

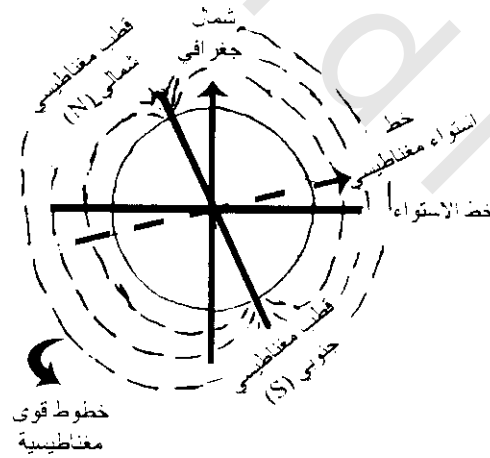
أى تيار كهربى يولد مجال مغناطيسى فى مستوى عمودى على التيار كما هو موضح بإتجاه إبرة البوصلة حول السلك شكل (4-6) فى هذا الشكل تشير الأسهم لإتجاه البوصلة حول سلك مستقيم (عمودى على الورقة) يحمل تيار ويدل هذا الشكل على أن التيار الكهربى ينتج مجال مغناطيسى له خطوط قوة دائرية ذات مركز فى السلك وتناسب شدة المجال مع شدة التيار. أما فى حالة سلك طويل مستقيم فتتناسب شدة المجال المغناطيسى عكسياً مع المسافة من السلك ويكون هذا المبدأ مهم ليس فقط فى البحث والتنقيب المغناطيسى ولكن أيضاً فى أساسيات تصنيع لبعض أجهزة المسح المعينة. ويمكن أيضاً تفسير المجال المغناطيسى الأرضى على أساس التيارات الكهربائية بداخلها.



شكل (4-6):

3.4 المغناطيسية الأرضية Earth's Magnetism:

المجال المغناطيسي الأرضي ضعيف جدا حتى إذا ما قورن بمغناطيس صغير جدا ولذا من الصعب تمثيله بالتجارب. وقد فرض ويليام جيلبرت William Gilbert أن داخل الأرض يتكون من مواد مغناطيسية وأن خطوط القوى تقريبا تشبه النموذج المشار إليه ببرادة الحديد حول كرة حديدية منتظمة التماثل شكل (4-7)، ومنذ هذا التفسير والمجال المغناطيسي الأرضي ممثل كما هو في شكل (4-7) حيث يوضح الشكل أن المجال المغناطيسي على الأرض له خواص الكرة المغناطيسية المتجانسة. وأصبحت الخاصية المغناطيسية أو المغناطيسية الأرضية مهم كجزء من الجيوفيزياء.



شكل (4-7):

1.3.4 سبب المغناطيسية الأرضية Cause of Earth's Magnetism:

1.1.3.4 أولا: مصدر خارجي External Source:

برغم الحقيقة بأن المجال المغناطيسي الأرضي واحد من أقدم الظواهر الجيوفيزيائية. فقد فرض لفترة طويلة أن أصل المجال المغناطيسي الأرضي طبيعيا من الخارج ومن هذه الافتراضات:

1.1.1.3.4 الغلاف الهوائى المتأين :Ionic Atmosphere:

فرض لفترة طويلة أن أصل المجال المغناطيسى الأرضى نتج أساسا من الغلاف الهوائى المتأين ثم أصبح طبيعيا خارجا عنها وأصبح هذا الغلاف هو مصدر للمجال المغناطيسى الأرضى وذلك للتأين المستمر لهذا الغلاف وكذلك لسرعة دورانه حول الأرض، وإذا كان ذلك صحيحا فيتوقع أن شدة المجال المغناطيسى سوف تقل مع العمق وتزيد مع الارتفاع عن سطح الأرض ولكن وجد أن هذا غير حقيقى*.

2.1.1.3.4 الشمس :Sun:

أيضا فرض أن الشمس هى مصدر للمجال المغناطيسى الأرضى، وقد استدل على ذلك بالعواصف المغناطيسية والتي تنشأ من الانفجارات داخل الشمس وتسبب العواصف المغناطيسية. وإذا كان هذا الفرض صحيحا فمن المتوقع أن تزيد المغناطيسية بالارتفاع عن سطح الأرض وهذا غير حقيقى.

2.1.3.4 مصدر داخلى :Internal Source:

يمكن توضيح أصل المجال المغناطيسى الأرضى فى ضوء الافتراضين الآتيين:

1.2.1.3.4 فرض الفيرومغناطيسية (الحديدية المغناطيسية) :Ferro Hypothesis:

1.1.2.1.3.4 القشرة :Crust:

لأن أغلب الصخور السطحية للقشرة الأرضية لاتحتوى على معادن مغناطيسية (Fe_2O_3 & Fe_3O_4) فإن معدل كثافتها المغناطيسية صغيرة وأقل من أن تنتج المجال المغناطيسى وأكثر من هذا فإذا كان المجال الأرضى يرجع لوجود المعادن المغناطيسية الحديدية خلال القشرة الأرضية فإنه يتوقع أن المجال فى المساحات المحيطية يكون أكبر من الموجود على القارات وهذا غير حقيقى.

2.1.2.1.3.4 الستار :Mantle:

من المعروف أن المعادن الحديدية المغناطيسية لها درجة حرارة حرجة (نقطة كورى 750°) بعدها تفقد خواصها المغناطيسية ولايمكن تمغنطها وهذه الدرجة الحرارية موجودة عند عمق 25 كم بداخل الأرض. ولهذا عند الأعماق الكبيرة لايتوقع وجود للمواد المغناطيسية الحديدية.

3.1.2.1.3.4 لب الأرض :Core:

أيضا لا يكون لب الأرض مصدرا للمغناطيسية لوجوده فى صورة شبه صلبة وسائل وذات درجة حرارة عالية جدا.

* المجال المغناطيسى أكبر مرتين عند الأقطاب (0.6 أورستد) من قيمتها عند خط الإستواء (0.3 أورستد) وهى تنقص بسرعة من البعد عن الأرض وعلى بعد حوالى مرتين ونصف قطر الأرض فإن شدة المجال 1/8 ما على سطح الأرض.

3.1.3.4 فرض نظرية التيارات :Current Hypothesis

1.3.1.3.4 فرض شحنات الغلاف الغازى :Hypothesis of Charges of atmosphere

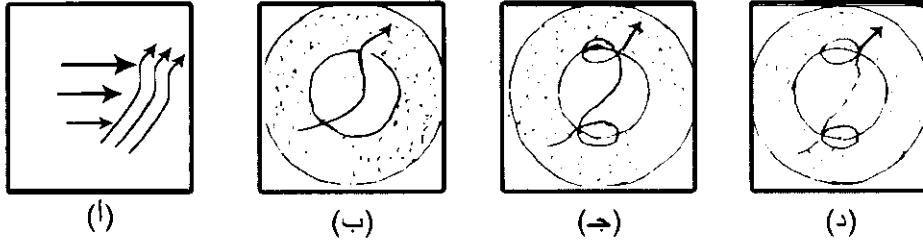
إذا احتوى الغلاف الغازى للأرض توزيعات من الشحنات السالبة فى الأجزاء الخارجية له ومساو لها شحنات موجبة على العمق فى داخله فسينتج مجال مغناطيسى بواسطة حركة الشحنات كنتيجة لدوران الأرض حول محورها. ولكن فى هذه الحالة فإن الشحنات الكهربائية يجب أن تكون كبيرة لكى تنتج معدل جهد رأسى والذى يكون كبير جدا عن الموجود والملاحظ بالغلاف الغازى.

2.3.1.3.4 فرض نظرية دينامو الموانع :Hydrodynamo Hypothesis

فى عام 1958 اقترح Elsasser أن المجال الأرضى ينتج بواسطة دينامو فى داخل اللب ولقى هذا كثيرا من التأثيرات. وأدى نموذج توزيع المجال بأربع شدات عظمى (اثنتين عند الأقطاب وإثنين عند أطراف خط الإستواء) لاقتراح بديهى بإمكانية نظام الإزدواج لديناموين للمغناطيسية الأرضية. ومازالت الضوابط الطبيعية وتفاصيل القوى التى تقود الدينامو غير معروفة. وعلى العموم فإن أى نتيجة تبد تأكيداً بأن ميكانيكية تحرك اللب بسبب حركة السائل داخله وبسبب دوران الأرض. ولذا اقترح أربع مصادر للطاقة والتى تحفظ اللب السائل فى حركة دوارة وتجعل المساند التحليلية كافية لدوام الحركة ذاتياً والحركة العكسية الذاتية الدينامويه وهذه المصادر هى:

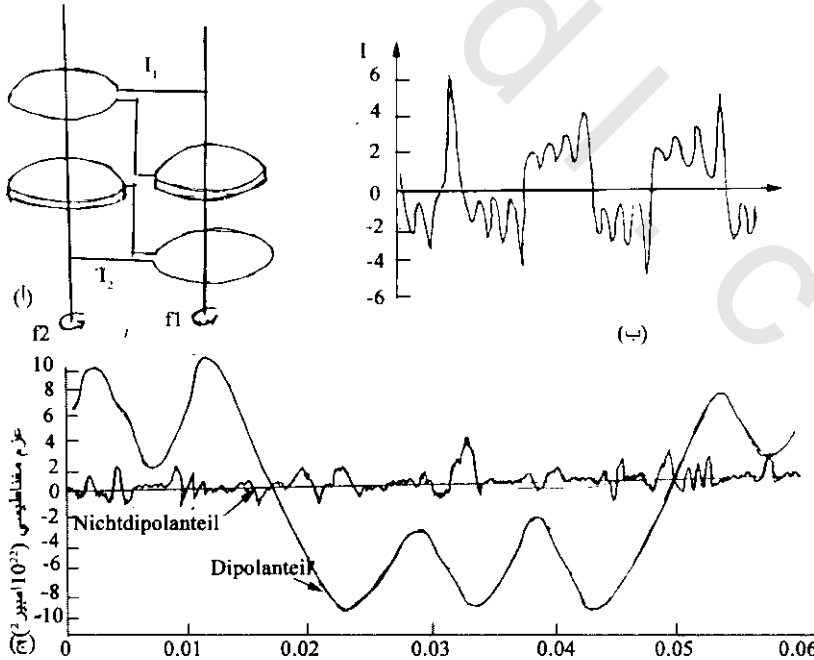
- (i) ربما مازال اللب الداخلى الصلب للأرض يكبر وتتطلق الحرارة الكافية فى عملية تحول السائل للصلب ومن الممكن أن يبرهن هذا على أن الطاقة الناتجة هى التى تحافظ على حركة السائل.
- (ii) التجمد المستمر لسائل الحديد على الحافة الداخلية والخارجية لللب السائل تسبب حركة المكونات الثقيلة باتجاه الداخل والسوائل المتبقية الخفيفة تتحرك للخارج.
- (iii) ربما لا تكون المواد السائلة للنواة قادرة لتتبع الحركة السابقة للأرض فى مدارها وينتج من ذلك تأخر حركتها مسببة تأثير حركى بواسطة الإحتكاك بين الستار والجز الخارجى للنواة.
- (iv) تنتج التيارات والخضخضة للجزء السائل من النواة من حرارة إشعاعية ، هذه الحرارة إما ناتجة عن إتجاه قطع من الستار الصلب للنواة أو أكثر إحتمالاً بواسطة المواد المشعة فى الجزء الداخلى للنواة.

مما سبق يتضح أنه بسبب فرق درجة الحرارة بين الجزء الداخلى من النواة والخارجى منها كبير جدا وكلاهما مختلف فى التركيب المعدنى لذلك ينتج تيار كهربى قوى مثل الذى ينتج من المزدوج الحرارى thermocouple ويسرى هذا التيار حول الجزء الداخلى الصلب من النواة وينتج عنه مجال مغناطيسى عمودى على مستواه وهذا المجال هو أصل المجال المغناطيسى الأرضى. وبزيادة معدل إنتاج الكهربى (الأسهم الأفقية) شكل (4-18) عن معدل سريان المجال المغناطيسى (diffusivity والأسهم الرأسية) فتتكاثر بذلك خطوط قوى المجال المغناطيسى الأرضى ثم نتيجة إختلاف سرعة دوران الباطن الصلب عن سرعة اللب السائل تلتوى خطوط المجال المغناطيسى ويصير لها مركبات عمودية وعكسية تجعل المجال الكلى يتناقص ويمكن أن تحدث المركبات العكسية انقلاب مغناطيسى.



شكل (4-8):

ونتيجة لالتواء خطوط المجال المغناطيسى تتكاثف فى مكان ما عنها فى آخر ويتشوه الجزء العلوى من الفيض كما فى شكل (4-8ب) وتتكون حلقات علوية كما فى شكل (4-8ج) وباستمرار دوران لب الأرض تعزل هذه الحلقات العلوية جزئيا شكل (4-8د) وبمجرد بناء وتهدم الحلقات العلوية يتولد مجال كهربي والذي بدوره ينتج مجال مغناطيسى مما يسبب أن المجال يصبح ثنائى القطب. وقد تلتوى الخطوط وتعود فتصبح حلزونية القطب وينشأ أحيانا مجالا غير ثنائى (non-dipole) ويحدث تغير حقيقيا غير منتظم الدورة هذا بالإضافة إلى أن بعض العلماء أوضحوا أن المجال المغناطيسى المنتج بالتالى مجال آخر يسمى ثنائى الدينامو (Two interconnected dynamics) حيث وضع هذا تجربة لويس ولكنسون 1968 Lowes and Wilkinson وذلك بدوران اسطوانتين فى زئبق أحدهما علوية والأخرى سفلية (بمثالان ديناموين) وأن المجال المغناطيسى الناتج عنها يمثل ما يمكن أن يحدث فى لب الأرض وسوف يستمر بذلك الدينامو الأرضى بالعمل وينتج المجال المغناطيسى الأرضى بذاته. وقد وضع كوكس 1968 Cox أن التيارين الناشئين عن كلا الدينامو الأول والثانى يمكن أن يكونا متضادين فى الإتجاه شكل (4-9) بحيث أن مجموعهما يتكون من جزئين أحدهما يتبع مجال ثنائى القطب dipole field والآخر له سلوك آخر non-dipole field وعندما يزيد الجزء الثانى كثيرا عن الجزء الأول يحدث انقلاب فى إتجاه المجال المغناطيسى الأرضى reversal of geomagnetic field polarity.



شكل (4-9): (أ) ثنائى الدينامو وكيف يغذى الآخر، (ب) مجموع التيارين الكهربيين الناتجين منهما وكيف يكونا متضادين فى بعض الأحيان، (ج) يتسبب زيادة الجزء الغير ثنائى القطب عن الجزء الثانى فى حدوث الانقلاب فى إتجاه المجال المغناطيسى الأرضى (سوفل 1991 Soffil)

2.3.4 عناصر المجال المغناطيسى الأرضى Elements of Earth's Magnetism:

يختلف شدة وإتجاه المجال المغناطيسى الأرضى على سطح الكرة الأرضية من نقطة إلى أخرى. لذلك إذا وضعت إبرة مغناطيسية حرة فإنها توجه نفسها حول نقطة عند مركزها إلى وضع فى الفراغ محدد بواسطة إتجاه المغناطيس الأرضى الكلى (total magnetic field F) عند هذه النقطة.

1.2.3.4 العلاقة بين عناصر المجال المغناطيسى

Relation Between Elements of Earth's Magnetism:

$$H = F \cos I \quad (4-14a) \quad \& \quad V = F \sin I \quad (4-14b)$$

$$\therefore V = H \tan I \quad (4-15a) \quad \& \quad I = \tan^{-1} V/H \quad (5-15b)$$

$$\& \quad X = H \cos D = F \cos I \cos D \quad (4-16)$$

$$\& \quad Y = H \sin D = F \cos I \sin D \quad (4-17)$$

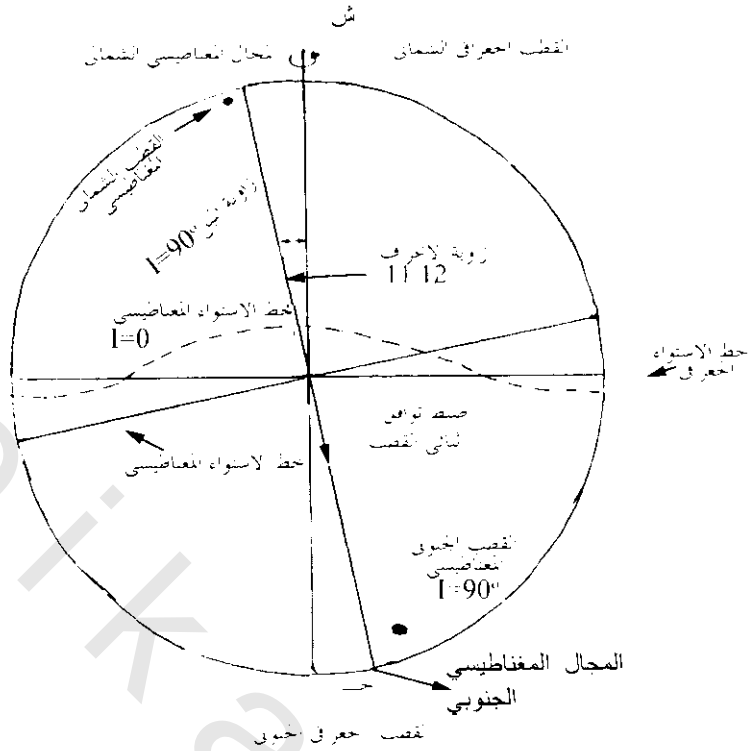
$$\& \quad X^2 + Y^2 = H^2 \quad (4-18)$$

$$\therefore X^2 + Y^2 + Z^2 = H^2 + V^2 = F^2 \quad (4-19)$$

مركبات المجال المغناطيسى شكل (10-4) D, I, H, Z, Y, X يمكن حسابها بمعرفة ثلاثة مركبات فقط باستخدام المعادلات السابقة، فمثلا فى مرصد المسلات بمصر تقاس المركبة الأفقية H، والرأسية Z وزاوية الانحراف D. وتوجد مراكز دولية لتجميع بيانات القياسات من المراصد المختلفة للعالم وبها يدرس المجال المغناطيسى الأرضى وتغيراته واختلافاته وتوزيعه بحيث يعطى صورة متكاملة عن سلوك هذا الجزء من فيزياء الأرض، ويتم كل مدة زمنية رسم خرائط توزيع شدة المجال المغناطيسى (F) وكذلك توزيع شدة المركبة الأفقية H وتوزيع شدة المركبة الرأسية (V) وتوزيع زاوية الانحراف D وتوزيع زاوية الميل I.

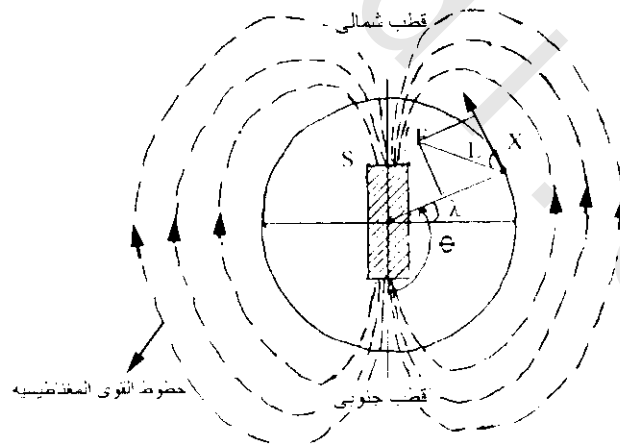
جمعت نتائج المغناطيسية من المراصد وعبر عشرات السنين فى جميع أنحاء العالم، ومن تحليل هذه النتائج المجمعة على خرائط عالمية وجد أن عزم ثنائى القطب والذي يعد أحسن ملائمة للمجال الحقيقى الأرضى يكون تقريبا $(8.10^{25} \text{ e.m.u})$ $8 \times 10^{22} \text{ Am}^2$ بميل محورى حوالى 11.5° مع المحور الجغرافى شكل (11-4) بشدة مغناطيسية أفقية H تقريبا $30 \mu\text{T} = 30,000 \gamma$ عند خط الإستواء المغناطيسى وشدة مغناطيسية رأسية Z تقريبا $60 \mu\text{T} = 60,000 \gamma$ عند كل قطب مغناطيسى للأرض.

ويتطلب تحديد الأقطاب المغناطيسية بعض الحذر. فمحور ثنائى القطب المركزى يقطع سطح الأرض عند نقطتين تشيران للأقطاب المغناطيسية الأرضية شكل (11-4) هذان القطبان يقعان تقريبا عند 71°E , 78.8°N (شمال غرب جرينلاند) 9°E , 78.8°S (فى أنتركتيكا). ومن جهة أخرى فهناك نقطتين أساسيتين على سطح الأرض حيث المجال المغناطيسى عندها يتجه رأسيا لأسفل ($I = 90^\circ$, $H = 0$) تسميان (أقطاب الميل Dip poles أو أقطاب الإنغماس). يقع هاتين القطبين تقريبا عند 76°N , 101°W , 66°S , 141° . ولا يوجد مقابل لقطب ولكن تقريبا يظل تابع له، وقطب ثنائى اختلاف المركز يقع على بعد 300 كم من مركز الأرض.



شكل (4-11): الانحراف بين المغناطيسية والمجال المغناطيسي والأقطاب الجغرافية (McElhinny 1973).

ملحوظة: القطب المغناطيسي الجنوبي يقع حول الشمال الجغرافي لذلك يجذب المؤشر الشمالي لإبرة البوصلة. وعرفيا فإن المجال المغناطيسي عند ($I = \pm 90^\circ$) حول الشمال الجغرافي يشار إليه كقطب شمالي مغناطيسي، والتي حول الجنوب الجغرافي يشار إليه كقطب جنوبي مغناطيسي.



شكل (4-12): ميل المجال المغناطيسي لقطب ثنائي المركز الأرضي

$$\tan i = 2 \tan \lambda = 90^\circ + \lambda$$

مع إعتبار أن المسافة الشمالية $r, rd\theta$ تتجه لأسفل وعلاقة خط العرض مع θ بواسطة $(90 + \lambda)$ لذلك فإن $\cos \theta = -\sin \lambda$. أيضا فإن اتجاه الشمال عكس ثنائي القطب المغناطيسي وللمحافظة على هذه الإتجاهات في خطوط مستقيمة فإن إتجاه الشمال يكون

$$X = -\frac{1}{r} \frac{\partial u}{\partial \theta} = \frac{\vec{M}}{r^3} \cos \lambda \quad (4-21)$$

والمركبة الرأسية

$$Z = -\frac{\partial u}{\partial r} = \frac{2\vec{M}}{r^3} \sin \lambda \quad (4-22)$$

من هاتين المعادلتين يلاحظ أن قوة المجال المغناطيسى الأرضى يكون عند الأقطاب ضعف ما عند خط الإستواء. ومن قيمة المجال المغناطيسى الأرضى الملاحظ عند خط الإستواء والذى قيمته 0.3 جاوس فيمكن حساب القيمة الصورية لمركز ثنائى القطب الأرضى وهى حوالى 8×10^{25} سم.جم.ث.

ملحوظة: جميع النقط على سطح الأرض والتي عندها المجال الكلى الأرضى يتجه رأسيا لأسفل ($I = 90^\circ$) أو لأعلى ($I = -90^\circ$) تسمى أقطاب الميل المغناطيسى. وللأرض قطبى ميل أساسين، الشمالى موجود فى جزر بافن Baffin فى نصف الكرة الأرضية الشمالى والجنوبى فى أنتاركتيكا Antarctica فى نصف الكرة الجنوبى.

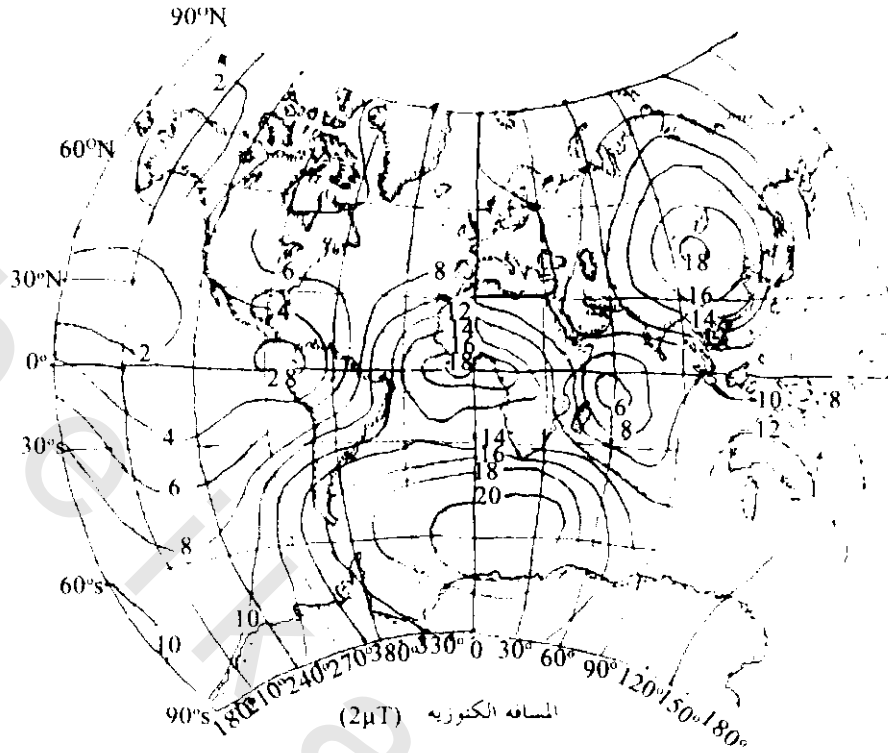
3.2.3.4 مجال عدم ثنائى القطب Nondipole Field:

برغم أن مجال ثنائى المركز (بميل 11.5° عن المحاور الجغرافى) مقارب للمجال الحقيقى الأرضى فإنه يوجد انحراف بينهم يجب مراعاته لذا فعند طرح مجال ثنائى القطب من المجال الملاحظ (المجال الحقيقى الأرضى) ينتج ما يسمى مجال عدم ثنائى القطب.

يوضح شكل (4-13) الشدة الكلية لمجال عدم ثنائى القطب عبر سطح الأرض. ومن أهم ظواهر هذه الخريطة هو أن لها شذوذ مقياسى واسع ممتد عدة آلاف من الكيلومترات بسعة تصل $20 \mu T$ (حوالى 30% من المجال الكلى الأرضى). وهذا المقياس الواسع لا يرى أى علاقة واضحة بين الجغرافيا أو الجيولوجيا. وغالبا ما يرجع هذا المجال لمصادر عميقة داخل الأرض. والذى يظهر بواسطة مجالات من 8-12 ثنائى أقطاب متشعبة السائل. هذا المجال مهم للإشارة بأن ثنائى القطب المغناطيسى يستخدم كتقريب للتيار الكهربى فى قلب الأرض والذى يكون الرأى لإنتاج المجال الأرضى الأساسى ونظرية الدينامو.

يوجد أيضا عدة مجالات محلية لعدم ثنائى القطب والتي لم تظهر على الخريطة شكل (4-13) سعتها حوالى $95 \mu T$ (أهمها عند كورسك Kursk جنوب موسكو) وأصل هذه الشواذ يرجع لتباين المغنطة المحلية فى صخور القشرة الأرضية (ربما للحث المغناطيسى أو المغناطيسية المتبقية أو كلاهما) وهى مغناطيسية سفلى لعمق حوالى 30-25 كم حيث تصل إلى درجة تساوى درجة حرارة نقطة كورى*.

* درجة حرارة نقطة كورى هى 750° وعندما تزال المغناطيسية.



شكل (4-13): الشدة الكلية لمجال غير مزدوج 1980 (بيدي 1982 Peddie)

4.4 تغيرات المجال المغناطيسي الأرضي Geomagnetic Field Variation

يوجد نوعين من هذه التغيرات:

1.4.4 أولاً: بالنسبة للمكان: Variation with Position (Latitude and Longitude Variation)

يرتبط هذا التغير بالتغير في عناصر المجال المغناطيسي، فتكون الشدة الرأسية قيمتها صفر عند خط الإستواء المغناطيسي* بينما تصل إلى أقصى قيمة لها حوالي 0.6 جاوس (أورستد) عند الأقطاب المغناطيسية للأرض. وعلى العكس فإن الشدة الأفقية تقل من أقصى قيمة لها 0.3 جاوس (أورستد) عند خط الإستواء المغناطيسي إلى الصفر عند الأقطاب المغناطيسية.

أما زاوية الميل المغناطيسي فتساوى تقريباً صفر عند خط الإستواء وتزداد حثيثاً في اتجاه الشمال أو الجنوب لتصل لقيمة مقدارها 90° عند الأقطاب المغناطيسية. جميع الخطوط المارة بجميع النقط على سطح الأرض والتي لها نفس زاوية الميل تسمى خطوط كنتور تساوى الميل isoclinic contour lines**.

تتغير زاوية الانحراف المغناطيسي من اتجاه الشرق للغرب وتسمى الخطوط المارة خلال النقط التي لها نفس قيمة زاوية الانحراف بخطوط الأزجونات isogonal liens.

* خط تصوري يسير بالقرب من خط الإستواء ولكن غير موازى له.
** خط الأستواء المغناطيسي هو خط تساوى الميل لقيمة مقدارها 90°.

2.4.4 ثانيا: تغير مع الزمن Variation with Time:

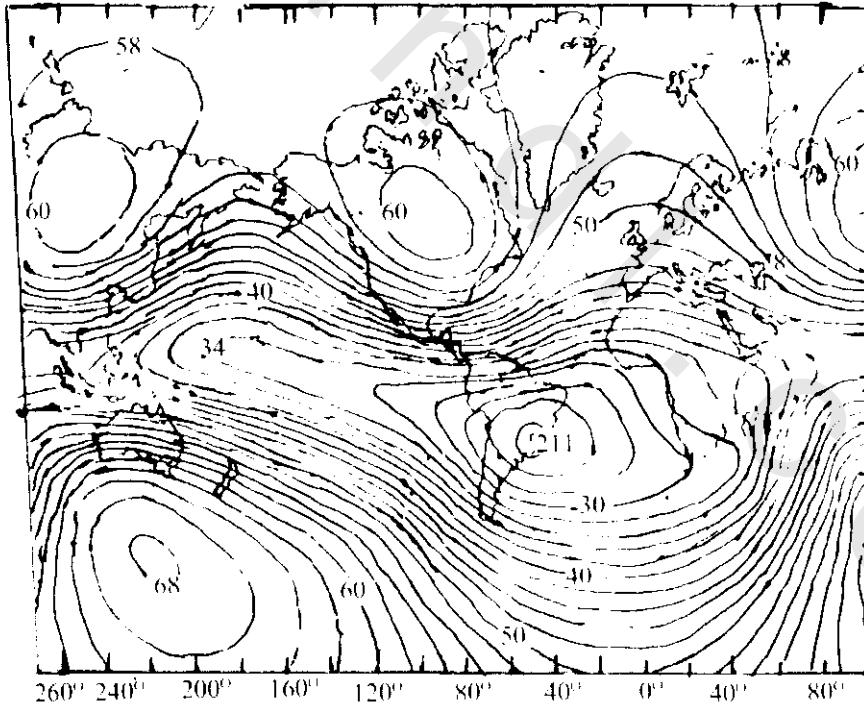
1.2.4.4 تغيرات على فترات طويلة Long-Period Changes:

تحدث هذه التغيرات في الجزء الكبير الرئيسي من المجال المغناطيسي للأرض وهو الجزء الداخلي.

1.1.2.4.4 تغير حقبى Secular Changes:

يأخذ هذا التغير شكل إنحراف للمجال المغناطيسي الأرضي بسبب التغير التدريجي لكل من الإنحراف والميل عند محطات قياس المغناطيسية الأرضية. مثل هذا التغير يتم لكل عشرات من السنين وكذلك القرون. وتسجل غالبا هذه النتائج على خرائط أيزوبورك Isoporic maps. وينتج هذا التغير أساسا من المجال المغناطيسي الإضافي بواسطة الحركة التفاوتية** داخل سائل قلب الأرض نفسه وبين قلب الأرض والستار الذي يعلوه، ويقاس هذا التغير بعدة طرق:

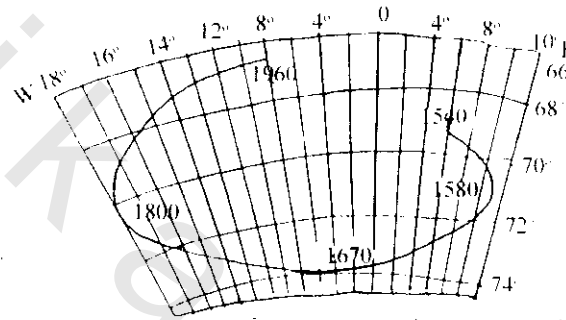
1.1.1.2.4.4 تكرار قياس المركبات المختلفة للمجال المغناطيسي الأرضي في نقطة ما يمر أزمدة طويلة والتغير المنتظم في القيم المطلقة لهذه المركبات هو التغير الحقبى وقياس هذا التغير عبر أزمدة وأماكن مختلفة تنتج خرائط أيزوبورك، ويوضح شكل (14-4) معدل المجال الكلي حول العالم 1965 ويلاحظ مساحة التغير الأعظم في المحيط الجنوبي. ويوضح شكل (15-4) أن الإنحراف والميل قد تغير دوريا في لندن خلال القرون الأربعة الماضية.



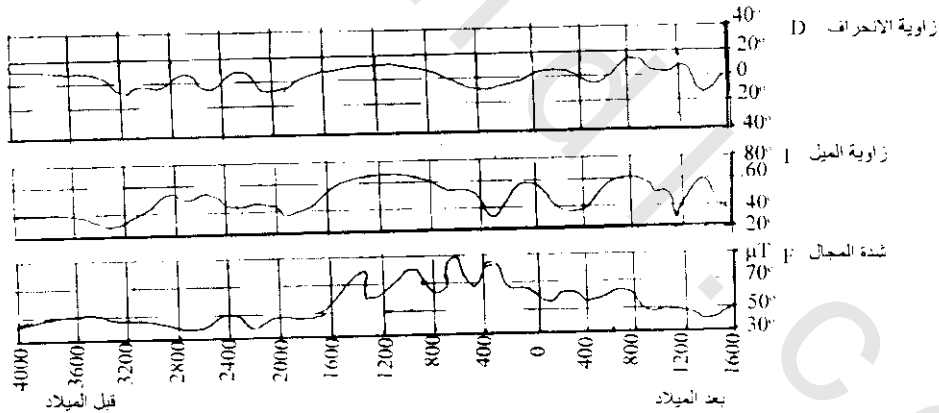
شكل (14-4) الشدة المغناطيسية الكلية عبر الأرض في عام 1965. الكنتور بالآلف جاما.

* خط أيزوبورك هو خط تساوي التغير السنوي للمغناطيسية (المجال الكلي، زاوية الإنحراف، زاوية الميل).
** تنتج الحركة في قلب الأرض من تيارات الحمل الناتجة من التدرج الحراري في داخل قلب الأرض. وحيث أن الجزيئات أكثر تأثرا على تيارات الحمل فإن الجزيئات ذات العزم الزاوي الكبير تتحرك في اتجاه الداخل بينما جزيئات العزم الزاوي الصغير تتحرك للخارج. ونتيجة لذلك فإن الجزء الخارجي للوضع يوضح انخفاض سرعة، بينما الجزء الداخلي يشير لارتفاع سرعة.

2.1.1.2.4.4 يقاس هذا التغير أيضا باستخدام تمغنط المواد الأثرية (Archaeo-magnetic data) وهذه البيانات تغطي أزمنة طويلة أقدم كثيرا من الأرصاد المغناطيسية في المراصد الجيوفيزيائية حيث أن المواد الأثرية والرسوبيات والبركانيات صنعت وحرقت وتكونت في وجود المجال المغناطيسي الأرضي، والذي كان موجودا أثناء تكوينها وبالتالي اكتسبت تمغنطا تساوى في الاتجاه ويتناسب في الشدة مع المجال المغناطيسي الأرضي الموجود وقت تكون هذه المواد وهذا التمغنط يسمى الحفرية المغناطيسية Magnetic fossil وبه يمكن قياس شدة المجال الأرضي القديم. شكل (4-16) يوضح التغير الحقبى للمجال المغناطيسي الأرضي بمصر عند خط عرض (28°N) مأخوذ من قياسات شدة المجال (F)، زاوية الميل (I) وزاوية الانحراف (D) استخدام عينات أثرية حيث تظهر المنحنيات أن التغير الحقبى له دورة كل 400 سنة ومضاعفاتها.



شكل (4-15): التغيرات في الانحراف والميل في لندن منذ عام 1580

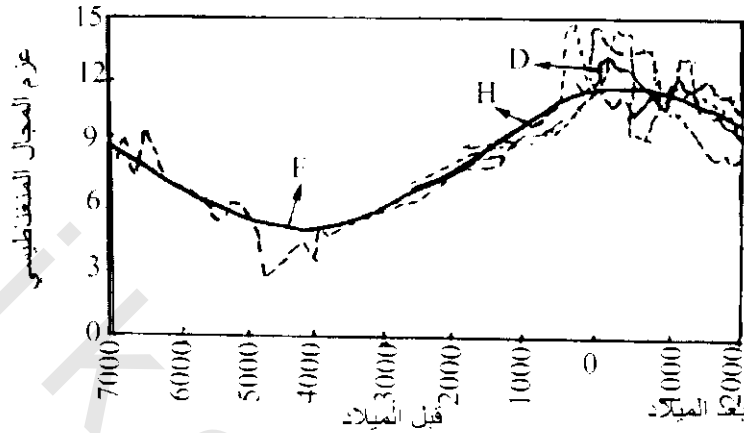


شكل (4-16): التغير الحقبى في اتجاه المجال المغناطيسي الأرضي زاوية الانحراف (D)، وزاوية الميل (I) وشدة (F) في مصر عند خط عرض متوسط (38° شمالا) خلال الستة آلاف سنة الماضية مأخوذة من دراسة التمغنط الأثرى (Hussuin, 1987) (Archaeomagnetism)

3.1.1.2.4.4 طريقة حساب عزم المجال المغناطيسي للكرة الأرضية (شدة المجال المغناطيسي * حجم الكرة الأرضية). يبين شكل (4-17) التغير الحقبى للأرض خلال 9 آلاف سنة ماضية. ومن هذا الشكل نجد أن المجال المغناطيسي الأرضي كان نهاية صغرى عند 4500 سنة قبل الميلاد. ونهاية عظمى عند سنة 200 ميلادية وأن التغير الحقبى له دورة طويلة طولها 9400 سنة ميلادية.

* شدة المجال المغناطيسي يحصل عليها من بيانات التغير الحقبى للأجهزة instrumental data وبيانات المغناطيسية الأثرية Archaeo-magnetic data.

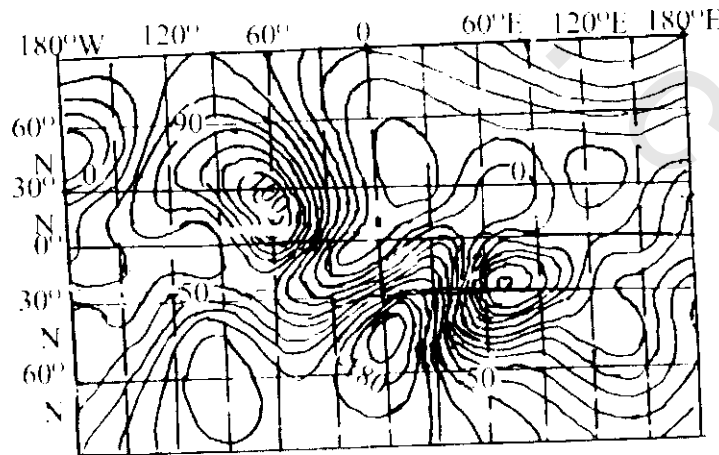
4.1.1.2.4.4 استخدام التحليل الهارمونى الكرى مع الإستفادة من البيانات المقاسة. يتم هذا لتغطية المناطق الشاسعة من الكرة الأرضية مثل المحيطات والصحراء والتي لا تجرى فيها قياسات مغناطيسية متكررة. والشكل (4-18) يبين خريطة كونتورية للتغير الحقبى فى المركبة الرأسية للمجال المغناطيسى الأرضى للحقبة ما بين 1942، 1995.



شكل (4-17): التغير الحقبى فى عزم المجال المغناطيسى الأرضى (محور الصادات القيم المعطاه 10×10^{22} بير.متر²) خلال التسعة آلاف سنة الماضية، إستخدمت البيانات المتوفرة لقيم شدة المجال المغناطيسى الأرضى (F) مأخوذة من دراسة مغناطيسية الآثار ومضروبة \times حجم الأرض (V) (العزم المغناطيسى = F.V) (بيوشا 1970 Bucha)

2.1.2.4.4 :Magnetic Polarity Reversals الإنتقلاب فى إتجاه الشمال

يغير المجال المغناطيسى الأرضى إتجاهه عبر الأعمار الجيولوجية المتتابة أى قد مرت فترات طويلة على إمتداد العمود الجيولوجى كان إتجاه المجال عكس إتجاهه الحال. ويتم دراسة ذلك بالطرق الآتية:



شكل (4-18): توزيع التغير الحقبى (نانوتسلا/سنة) ما بين 1942، 1995. المسافة الكنتورية 1000 نانوتسلا (بلا كلى Blakely 1995)

1.2.1.2.4.4 قياس اتجاه التمغنط في عينات صخرية:

تكتسب الصخور الرسوبية تمغنطاً له اتجاه المجال المغناطيسي الأرضي أثناء ترسبها ويسمى ذلك بالتمغنط الرسوبي الباقي (Deposition Remanent Magnetization (DRM)، وأيضاً عندما تبرد الصخور البركانية من درجة حرارة الصهير إلى درجة حرارة الجو تكتسب تمغنطاً له اتجاه المجال المغناطيسي الأرضي الموجود في وقت التبريد ويسمى هنا التمغنط Thermo-Remanent Magnetization (TRM). وبقياس اتجاه التمغنط في عينات من طبقات الصخور الرسوبية والصخور النارية ممكن معرفة اتجاه المجال المغناطيسي وقت تكون هذه الصخور. وبمعرفة عمر الطبقات الرسوبية (باستخدام الحفريات والتتابع الرسوبي) يمكن معرفة اتجاه المجال المغناطيسي في هذه الأعمار شكل (4-19) يوضح وضع تدرج (scale) للإنقلابات في اتجاه المجال المغناطيسي الأرضي خلال الأعمار الجيولوجية المختلفة فيما يعرف بتدرج الاستقطاب المغناطيسي (polarity scale) (geomagnetic time) ويستخدم هذا التدرج في دراسات التتابع الرسوبي والمقارنة بين القطاعات الرسوبية ويسمى هذا الفرع من العلوم المجنتوستراتجرافي (magnetostratigraphy).

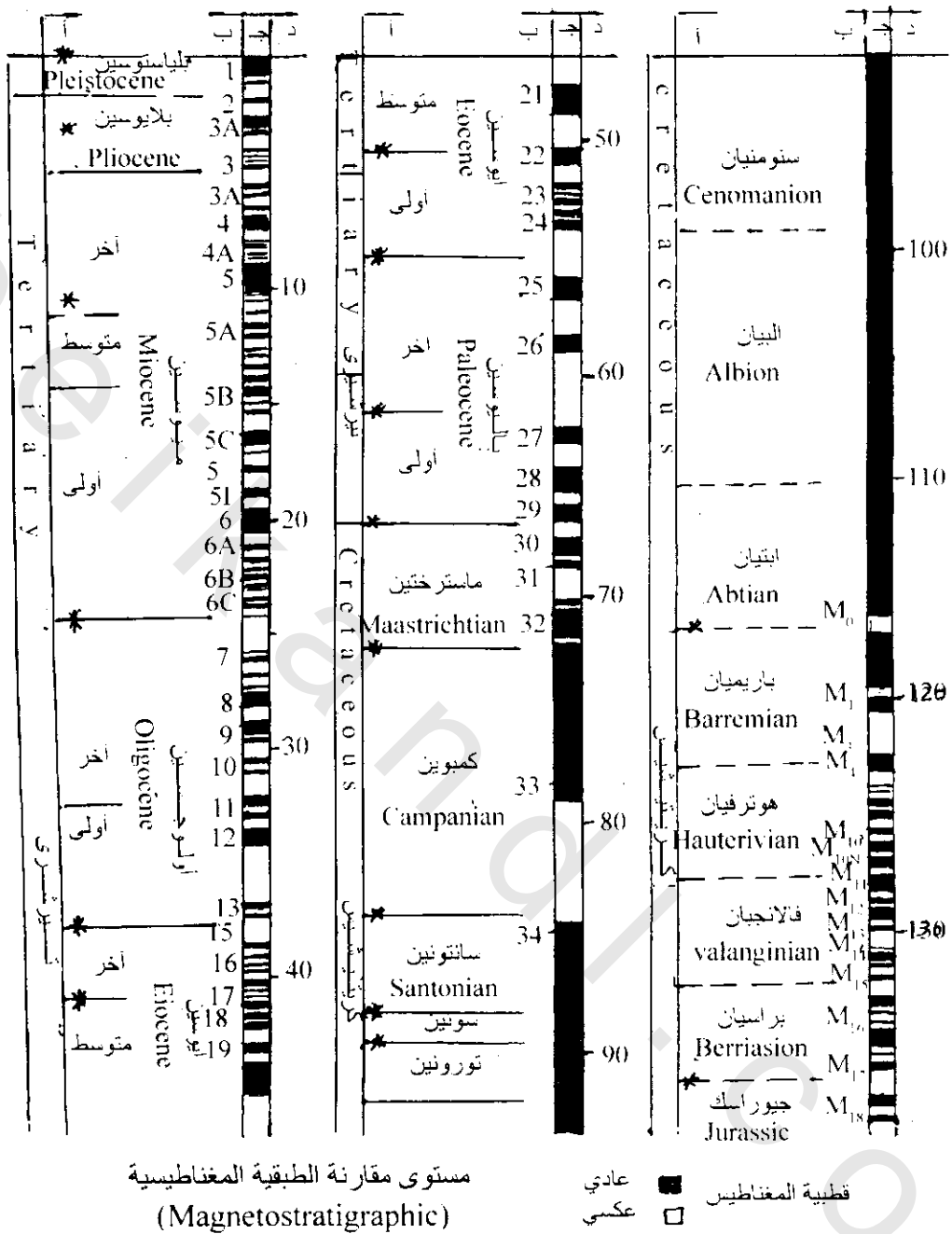
2.2.1.2.4.4 نظرية إنتشار قاع المحيط Sea Floor Spreading:

تنتج من حركة المسطحات مثل تباعد المسطح الإفريقي وسطح أمريكا الجنوبية وكذلك المسطح العربي والمسطح النوبي في أفريقيا وتكون بذلك القشرة المحيطية حيث أن إنتشار المحيط يعني خروج بركانيات في وسط البحر أو المحيط ثم يتسع البحر وتخرج بركانيات أخرى وسط البركانيات الأولى وهكذا وبالتالي ينتج تتابع من البركانيات ذات الأعمار المتتابعة أحدثها في الوسط وأقدمها على الجانبين.

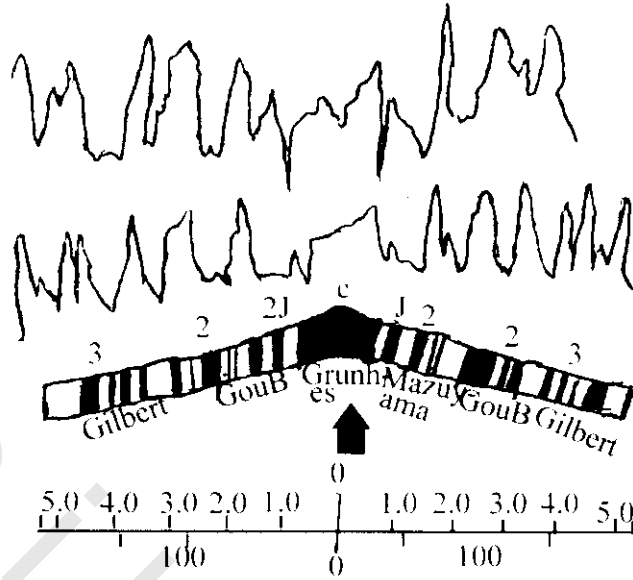
وبقياس المجال المغناطيسي في البحر عمودياً على اتجاه حركة الإتساع يمكن معرفة ما إذا كانت هذه البركانيات الموجودة في قاع المحيط موجبة (في اتجاه المجال الحالي) أم سالبة التمغنط (عكس الإتجاه الحالي للمجال المغناطيسي الأرضي) وبمعرفة عمرها يمكن إستنتاج تدرج الإنقلابات المغناطيسية وكذلك يمكن المقارنة مع التدرج المنتج بالطريقة السابقة (1) في معدل إنفتاح البحر أو المحيط. يوضح شكل (4-20) نموذج لتعيين تدرج الإنقلاب المغناطيسية من القياسات على خط منتصف البحر.

3.2.1.2.4.4 رحلة قصيرة Excursion Time:

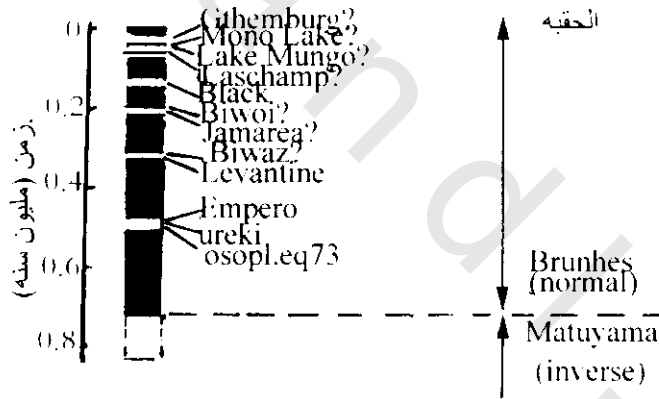
وهي طريقة عن آخر انقلاب مغناطيسي خلال البلاستوسين العلوي والهولوسين وفيها يقاس التتابع المغناطيسي في الرسوبيات الحديثة المأخوذة من قاع المحيط ومن رسوبيات البرك والبحيرات التي تصب فيها الأنهار وفي الرسوبيات الطينية الحديثة في اليابسة مثل رسوبيات دلتا الأنهار ومناشبه ذلك بقصد الحصول على هذه الإنقلابات المغناطيسية، شكل (4-21) يوضح هذه الإنقلابات.



شكل (4-19): مراجعة زمن القطبية المغناطيسية. مقياس زمن الجزء الحديث إلى الكابيان موضوع على أساس لويري والمفتيز Lowrie and Alvarez 1981 والجزء القديم معدل عن لارسون وهيلد Larson & Hilde 1975 (التوضيحات أ) الأحقاب الجيولوجية، ب) عدد شذوذ المحيط، ج) استقطاب المغناطيسية الأرضية، د) الزمن بمليون سنة (لويري Lowrie 1982)



شكل (20-4): تتابعات الانقلابات المغناطيسية من استنباط بيانات القياسات المغناطيسية عبر بروفييل عمودي على منتصف المحيط axial truff. اللون الأسود في إتجاه المجال الحالي normal. اللون الأبيض عكس المجال المغناطيسي الأرضي الحالي reversed (جوردن واكتون Gordon and Acton)



شكل (21-4): الانقلابات المغناطيسية خلال 0.7 مليون سنة الماضية (Excursion time). اللون الأسود: إتجاه المجال الحالي (normal polarity). الأبيض: عكس الإتجاه الحالي (inverse polarity) (Petersen 1986)

3.1.2.4.4 Short-Period Changes: تغيرات قصيرة الفترة

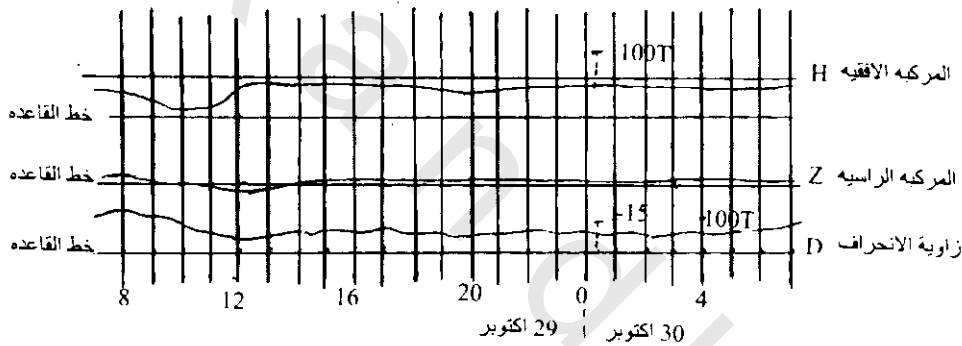
تحدث هذه التغيرات في الجزء الصغير من المجال المغناطيسي للأرض وهو الجزء الخارجي وهناك نوعين لهذا التغير.

1.3.1.2.4.4 Quite Change: تغير هادئ

وينشأ من تغير الأيونوسفير ionosphere أو من تأثير المد Tidal effect ويعمل هذا التغير بفترات (يومي - أسبوعي - شهري - 6 أشهر).

التغير اليومي الهادئ : Quiet Daily Variation

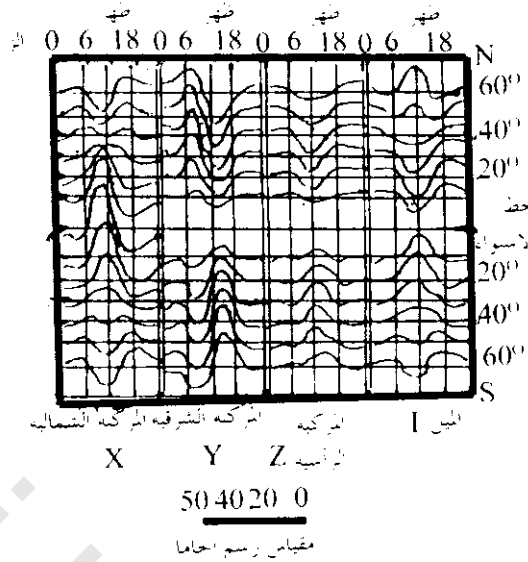
ينشأ هذا التغير من الحركة اليومية المنتظمة للغلاف الهوائى المتأين (أيونوسفير ionosphere) تبعاً لشرور الشمس وغروبها حيث يتمدد هذا الغلاف ويرتفع عن سطح الأرض بشرور الشمس وتسخينها له حسب ساعات النهار ثم يقترب لسطح الأرض لغروب الشمس وحلول الليل فيبرد وينكمش وهكذا. هذه الدورة التى تستغرق 24 ساعة يحدث خلالها تحرك أيونات الغازات فى الغلاف الهوائى محدثة تيارات كهربائية منتظمة تنتج مجالاً مغناطيسياً له دورة منتظمة مقدارها 24 ساعة هذا المجال هو ما تقيسه المراصد على أنه التغير اليومي الهادئ (Solar quite (sq)) وحيث أن هذا التغير الهادئ يعتمد على موقع الشمس بالنسبة لمكان القياس (مكان المراصد المغناطيسية) لذلك فإن هذا التغير ودورته تعتمد على خطوط العرض وكذلك فصول السنة. ونتيجة لذلك فإن كل مرصد على سطح الأرض له منحنيات قياسية خاصة به ويتم حساب هذا المنحنى بأخذ متوسط المجال خلال ساعة لأكثر من خمسة أيام هادئة فى كل شهر من فصول السنة. وتكون هذه المنحنيات هى التى تمثل التغير الشمسى الهادئ (Sq). وقد وجد أن هذا التغير حوالى 30 جاما. ويوضح شكل (4-22) التسجيل البياني فيوم هادئ المغناطيسى.



شكل (4-22): التسجيل البياني المغناطيسى لتغير يوم هادئ نموذجى فى الشدة الأفقية H، والرأسية Z، والانحراف D فى نيكسون-أريزونا (29، 30 أكتوبر 1947)

وهناك اختلاف فى الطور قدرة ونصف دورة (π) بين التغير فى المركبة الرأسية فى نصف الكرة الأرضية الشمالى عنه فى نصف الكرة الجنوبى شكل (4-23). وبالتحليل الهارمونى (Harmonic Analysis) للدورات فى اليوم الهادئ وجد أنه ينقسم لقسمين:

- دورة كبيرة فى السعة وتتم كل 24 ساعة وهذا يسمى بالتغير اليومي الشمسى الهادئ (sq).
- دورة أقل فى السعة ولها طول مقداره 25 ساعة وتسمى بالتغير القمري Lunar variation وتعتمد هذه الدورة على وجود القمر من هلال ونصف قمر وبدر... إلخ وسعة الدورة القمرية تكون أكبر ما يمكن عند اكتمال القمر وأقلها عندما يكون هلالاً.

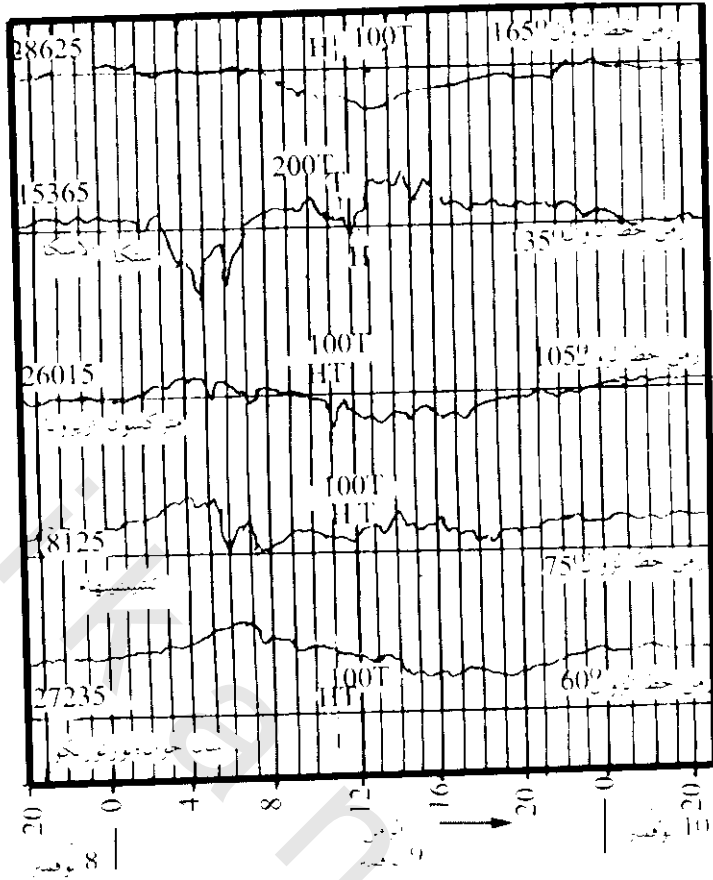


شكل (23-4): التغير اليومي الشمسي لأربعة عناصر مغناطيسية ذات 10° خط عرض بينها من 60° ش إلى 60° جنوبا في الإعتدال الربيعي (Oxford 1940)

2.3.1.2.4.4: Sudden Change تغير مفاجئ

وينشأ من نشاط الشمس المفاجئ (البقع الشمسية sun spots) والتي تسبب العواصف المغناطيسية* magnetic storms. وهذه العواصف تسبب انقطاعا في عمليات الاستكشاف المغناطيسي ولا يمكن توقعها لذلك من الصعب تصحيحها كما يتم بالنسبة للتغيرات اليومية، ويجب توقف المسح المغناطيسي خلالها من خط الإستواء حتى خط عرض 60° حيث تصل سعة الذبذبات خلالها 1000 جاما. أما في الأماكن القطبية وخاصة أثناء ظهور الشفق فإن هذه العواصف تكون مصحوبة بتغير مغناطيسي ذي سعة كبيرة. ولا يمكن التنبؤ بهذه العواصف ولكن يتوقع أن تحدث على فترات لحوالي 27 يوما. وترددها مرتبط بمدى نشاط البقع الشمسية. أكثر العواصف شدة تبدأ فجأة وتحدث في نفس الوقت على كل أجزاء العالم وتستمر عادة عدة أيام. ويوضح شكل (24-4) تسجيل بياني مغناطيسي للشدة الأفقية في خمس مرصد بعيدة عن بعضها تماما خلال اليوم الأول لعاصفة مغناطيسية في 9 نوفمبر 1947.

* خلال العواصف المغناطيسية فإن ابر جميع الأجهزة المغناطيسية تضطرب بشدة كبيرة مشيرة بذلك لقيم غير عادية لجميع عناصر المغناطيسية.



شكل (24-4): تسجيلات بيانية مغناطيسية لتغيرات المجال المغناطيسى فى خمس محطات خلال العاصفة المغناطيسية البادئة فى 9 نوفمبر 1947. الأزمنة كلها لمناطق الزمن المحلية المناظرة (دوبرن 1976) (Dobrin 1976)

5.4 التنقيب المغناطيسى Magnetic Prospecting:

لكى يتم هذا فإننا نواجه مشكلة قياسات مطلقة ونسبية للمجال المغناطيسى وتتم بعض القياسات المطلقة فى بعض المراصد، ولكن فى البحث الجيوفيزيائى فى قياس تغيرات صغيرة (قياسات نسبية) فى مركبات المجال بقيمة ضبط لزيادة عن واحد جاما تحت الظروف العادية.

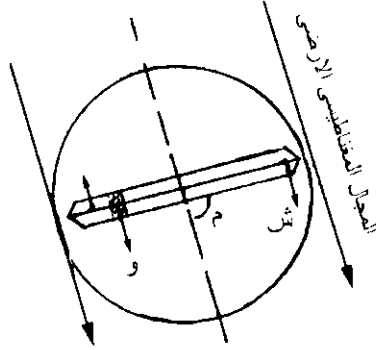
1.5.4 الأجهزة Instruments:

1.1.5.4 إبرة الميل Dip Needles:

1.1.1.5.4 إبرة الميل العادية Ordinary Dip Needle:

يوضح شكل (25-4) بوصلة ذات إبرة حرة الحركة فى المجال الرأسى بضابط وزنى (و) متصلة بجهة من محور المركز ويحرك الوزن حتى تكون الإبرة تقريبا أفقية وفى إتزان بين الإزدواج التناقل والمغناطيسى. بعد ذلك فإن أى تغير للمركبة الرأسية لمجال الأرض فإنه يغير عزم القوة المغناطيسية وبالتالي زاوية الميل للإبرة

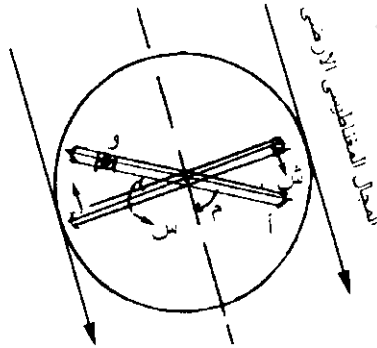
المغناطيسية. هذا الجهاز له حساسية كافية لقياس الشواذ الكبيرة للأنواع الناتجة من الرسوبيات المغناطيسية الضحلة.



شكل (25-4): إبرة الميل العادية في مجال خارجي بميل مقداره (م)، وضابط وزنى (و)، شدة قطب (ش)

2.1.1.5.4 هاتشكس فائق الميل Hatckiss Superdip:

يوضح شكل (26-4) تركيب هذا الجهاز حيث يتكون من إبرة مغناطيسية حرة تدور حول محور أفقي. وقضيب غير مغناطيسي أبعاد وزنى (و) في نهايته والذي يرتبط بالإبرة المغناطيسية عند المركز. ويوجد بين محوري الإبرة والقضيب زاوية متغيرة مقدارها (ر) ويضبط الجهاز حتى تكون الإبرة المغناطيسية متعامدة على المجال الكلي للأرض ويكون القضيب أفقيًا عندئذ فإن أى تغير في المجال المغناطيسي الكلي F سوف يسبب دوران للجهاز والذي يكون في حالة عدم اتزان وأقصى حساسية (في هذه الحالة إذا كانت الزاوية تكمل الميل م لمجال المغناطيسي الأرضي أى $r = (9^\circ - 10^\circ)$ ، فإن الحساسية ستكون لانهائية). في الحقل يفترض عدة درجات لكل جنب للزاوية التي تعطى أقصى حساسية. والزاوية التي تدور خلالها الأذرع بين قراءة وأخرى ممكن تحويلها للمجال الكلي باستخدام منحنيات تجريبية تحدد بواسطة المعايرة.



شكل (26-4): إبرة هاتشكس ش (شدة القضيب)، (وضابط وزنى) أ (قضيب غير مغنط)، س (الزاوية المغيرة بين الإبرة والقضيب غير المغنط)

2.1.5.4 أجهزة قياس شدة المجال المغناطيسي (المجناطومتترات Magnetometers):

يقاس شدة المجال المغناطيسي الأرضي بطريقتين:

1- موازنة المجال المغناطيسى الأرضى والمجال الصناعى = صفر. أى أن أجهزة قياس هذا النظام تعتمد على التوازن الميكانيكى Mechanical-system instruments ويمكن لهذه الأجهزة قياس القيمة المطلقة للمجال المغناطيسى وأيضاً قياس القيم النسبية.

2- تحويل شدة المجال المغناطيسى المقاس إلى إشارة كهربية (electrical signal) يتم تكبيرها وقراءتها عن طريق مجموعة من الدوائر الإلكترونية.

وتسمى الأجهزة المستخدمة فى هذه الطريقة بالأجهزة الإلكترونية Electronic System Magnetometers.

1.2.1.5.4 المغناطومتريات ذات النظام الميكانيكى Mechanical-System Magnetometers:

1.1.2.1.5.4 مغناطومتريات القيمة المطلقة Absolute Value Magnetometers:

1.1.1.2.1.5.4 جهاز الإيزان المغناطيسى (BMZ) Magnetic Zero Balance:

يستخدم لمقياس القيمة المطلقة للمركبة الرأسية Z للمجال المغناطيسى الأرضى. يتكون الجهاز من إبرتين مغناطيسيتين مثبتتان مع بعضهما البعض بمكعب من مادة غير مغناطيسية، هذا المكعب يتركز على سن مدبب من الكوارتز (د) بحيث يكون حر الحركة فقط فى اتجاه رأسى.

تشغيل الجهاز:

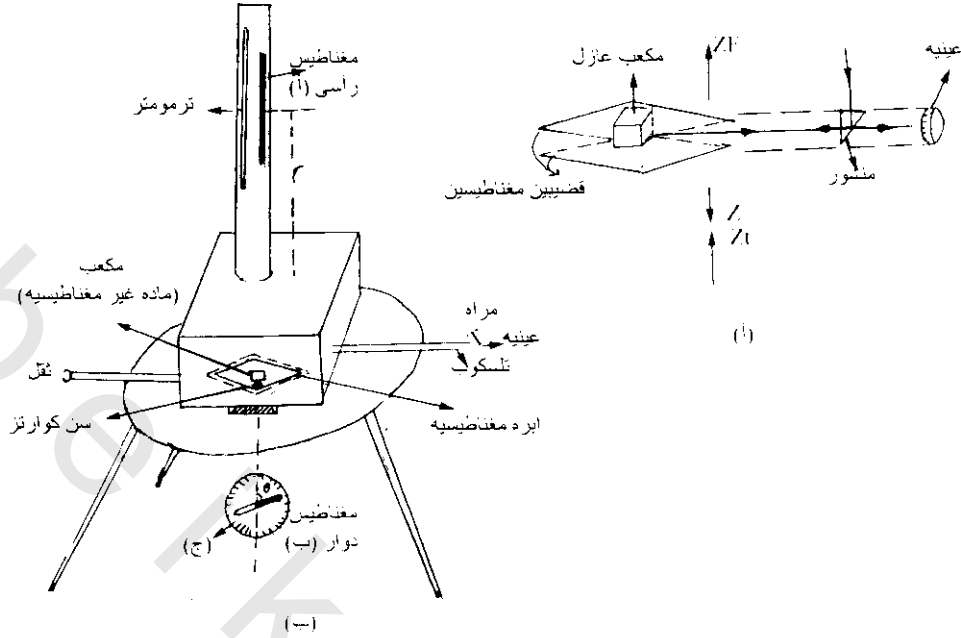
(1) يوضع الجهاز بحيث يكون امتداد المغناطيس المزدوج عمودى على مستوى الزوال المغناطيسى magnetic meridian فتكون المركبة الرأسية Z هى الوحيدة التى تؤثر فى القضيب المغناطيسى ويميل تحت تأثيرها لأسفل.

(2) تتم موازنة المركبة الرأسية بمجالات مغناطيسية معروفة بحيث تجعل الإبرة المغناطيسية أفقية ويتم ذلك بوضع مغناطيس ثابت أ فوق الإبرة المغناطيسية (Z_F) شكل (4-27).

(3) يبعد هذا المغناطيس بمسافة r تعتمد على شدة المركبة الرأسية فى منطقة القياس*.

(4) يوضع مغناطيس آخر (ب) تحت الإبرة المغناطيسية وثبت فوق قرص دوار حتى يسهل التحكم فى شدة مجاله عند موقع الإبرة المغناطيسية شكل (4-25) ويسهل بذلك وزن المركبة الرأسية. فإذا كان هذا المغناطيس رأسياً كان مجاله عند موقع الإبرة المغناطيسية أكبر ما يكون maximum وإذا كان أفقياً يكون مجاله = صفر.

* تزيد المركبة الرأسية كلما اقتربنا من قطبي الأرض وتكون r أصغر ما يكون. والعكس قرب مدار الإستواء. ويمكن إستخدام مغناطيس أقوى أو أضعف حسب المنطقة وقربها من القطب أو من مدار الإستواء.



شكل (4-27): توازن المركبة الرأسية Z مع: (أ) مجال مغناطيسية أحدهما ثابت يعطو الإبرة المغناطيسية والآخر دوار أسفل الإبرة المغناطيسية. (ب) شكل تخطيطي لجهاز BMZ يبين طريقة قياس القيمة المطلقة للمركبة الرأسية Z.

حساب المجال المغناطيسي:

1) حساب المجال المغناطيسي العلوى Z_F Field Magnet:

$$Z_F = 2 m \cdot r / (r^2 - \ell^2)^2 \quad (4-23)$$

حيث M عزم المغناطيس $= 2 m \ell$ ، شدة قطبه، ℓ طوله، r المسافة بين منتصفه ونقطة إرتكاز المغناطيس المزدوج (د).

2) حساب المجال المغناطيسي الدائري Turn Magnet:

شدة هذا المجال (Turn magnet) هو Z_T

$$Z_T = (2 M' / r^3) \cos \theta \quad (4-24)$$

حيث M' عزم المغناطيس القصير، r المسافة بين منتصفه ج والنقطة د، θ الزاوية التي يصنعها هذا المغناطيس مع الخط الرأسى ج د.

3) حساب محصلة المجالات:

إذا وضع القضيب المغناطيسى المزدوج حر الحركة عند النقطة د فإن محوره يميل على الأفقى تحت تأثير المركبة الرأسية للمجال المغناطيسى (Z component) فإذا عاد لنا هذه المركبة بمجالين هي المجال

المغناطيسى العلوى (أ) Z_F والمجال السفلى (ب) Z_T بحيث يرجع المغناطيس إلى الوضع الأفقى أى تصبح المحصلة عند د = صفر. أى

$$Z = Z_F + Z_T \quad (4-25)$$

حيث Z القيمة المطلقة للمجال المغناطيسى الأرضى.

ملحوظة:

قيمة المجال المغناطيسى الأرضى متغيرة من مكان لآخر ومن وقت لآخر لذا يجب التحكم فى مجال Z_T , T_F وتغيرهما حسب الحالة للحصول على التوازن المطلوب. ويمكن تغيير المجال المغناطيسى الرأسى برفع هذا المغناطيس لأعلى أو خفضه لأسفل أى تغيير البعد r . أما المجال المغناطيسى الدائرى فيمكن تغييره بإدارة المغناطيس السفلى (الصغير) حول منتصفه ج فإذا كان هذا المغناطيس أفقياً أى قيمة المجال عند د فى الإتجاه الرأسى = صفر أى $\theta = 90^\circ$ أى جتا $\theta =$ صفر.

ويمكن ملاحظة حركة المغناطيس المزوج عن طريق تلسكوب تحمل العدسة العينيه تدريجياً صغيراً ثابتاً. يسقط شعاع ضوئى على منشور قائم فينعكس كلياً ليسقط على المرآة التى يحملها المكعب الموجود بين المغناطيسين المزوجين وعن طريق الشعاع المنعكس يمكن مراقبة حركة الجهاز. وهناك تغير نتيجة لدرجة الحرارة فإذا كانت α هى معدل التغير فى المجال بالنسبة للحرارة تصبح معادلة الجهاز

$$Z = Z_F + Z_T \alpha t \times 2 \alpha \Delta t \quad (4-26)$$

2.1.1.2.1.5.4 جهاز مجنا تومتر الكوارتز الأفقى : Quartz Horizontal Magnetometer Q.H.M.

يستخدم هذا الجهاز لقياس القيمة المطلقة للمركبة الأفقية للمجال المغناطيسى الأرضى:

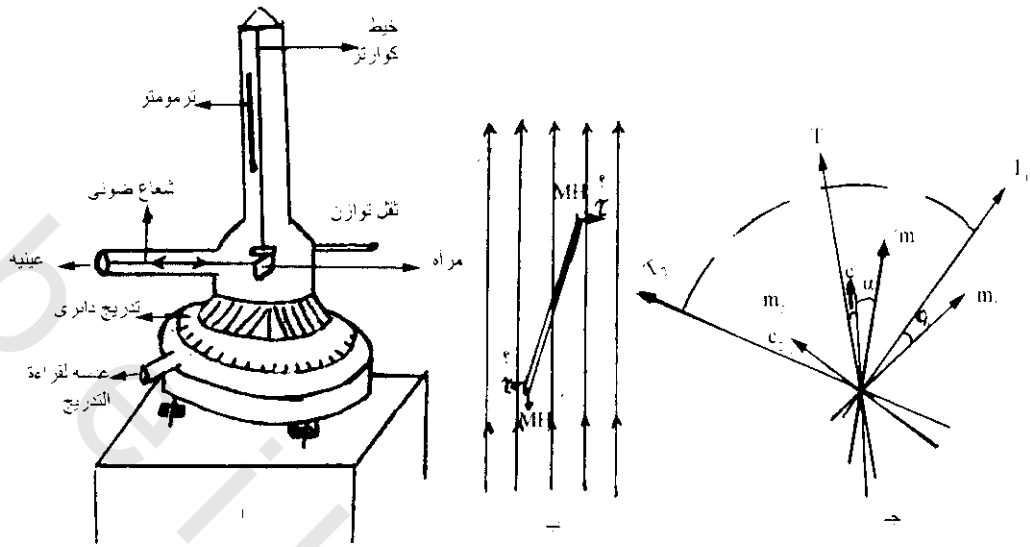
تركيب الجهاز: شكل (4-28) يوضح تركيب الجزء الأساسى للنظام المغناطيسى حيث يتكون من:

- (1) خيط من الكوارتز معروف معامل اللى له (η elastic torsion constant).
- (2) إبرة مغناطيسية قصيرة معلقة بهذا الخيط أفقياً تماماً حرة الحركة فى المستوى الأفقى.
- (3) مرآة صغيرة ملتصقة عمودياً بأسفل الإبرة المغناطيسية.
- (4) دائرة مدرجة بدقة موضوع عليها الجهاز ملتصق بها عدسة عينيه دقيقة.

تشغيل الجهاز:

فكرة تشغيل الجهاز هو إحداث توازن balancing بين تأثير المركبة الأفقية لمجال الأرض المغناطيسى على الإبرة المغناطيسية وبين اللى فى خيط الكوارتز المعلق فيه هذه الإبرة.

(1) قراءة قيمة التدرج عندما تكون الإبرة متجهة جهة الشمال المغناطيسى.



شكل (4-28): نظام قياس القيمة المطلقة للمركبة الأفقية H للمجال المغناطيسي الأرضي: (أ) تركيب جهاز مجناتومتر الكوارتز الأفقي (Quartz horizontal magnetometer (QHM)، (ب) يبين التوازن بين عزم اللي في خيط الكوارتز وعزم المركبة الأفقية، (ج) طريقة قياس الزاوية α بين الوضع بدون لى وبعد اللي في خيط كوارتز

(2) إحداث لى في خيط الكوارتز فتنحرف الإبرة عن إتجاهها نتيجة لعزم اللي وتتنز في وضع جديد يصنع زاوية α مع الشمال المغناطيسي شكل (4-26 ب) أى أن الإبرة تكون تحت تأثير عزمين.

(أ) العزم المغناطيسي ويساوى

$$MH \sin \alpha$$

(ب) عزم لى خيط الكوارتز ويعتمد على معامل مرونته η ومنتصف قطر مقطعة r

$$\tau = 2 \pi^2 r^3 \eta^* \quad (4-27)$$

(3) يحرك التلسكوب لى يسقط الشعاع الضوئي عمودى على المرآة ويرتد على نفسه لى تراه العين خلال التلسكوب شكل (4-26 ج) الوضع T وفي هذه الحالة تكون الإبرة متزنة تحت تأثير المركبة الأفقية واللى الموجود في خيط الكوارتز الذى قد يكون موجودا فيه قبل نتيجة الإستخدام. ويقرأ التدريج على القرص الدائري.

(4) يلف الجهاز بزاوية 2π فتتنز الإبرة في الوضع m_1 ويقرأ التدريج T_1 ويكون مختلفا عنه في الحالة الأولى بمقدار زاوية α .

(5) يلف الجهاز بزاوية 2π فى الإتجاه المضاد فتتنز الإبرة فى الوضع m_2 ويقرأ التدريج T_2 وتقاس α .

* قيمة ثابتة من ثوابت الجهاز فمثلا إذا أخذنا ليا مقداره 2π فإن قيمة τ تكون $2 \pi r^3 \eta$

(6) يؤخذ متوسط α فى الخطوة (4)، (5) ويكون

$$MH \sin \alpha = 2 \pi \tau \quad (4-28)$$

$$\& \quad H = (2 \pi \tau / M)(1 / \sin \alpha) \quad (4-29)$$

$$\therefore \log H = \log (2 \pi \tau / M) - \log \sin \theta$$

$$= C - \log \sin \theta \quad (4-30)$$

توجد بعض التصحيحات نتيجة لدرجة الحرارة t تجعل المعادلة النهائية للجهاز هي

$$\log H = C - \log \sin \theta + C_1 t - C_2 H \cos \theta \quad (4-31)$$

حيث C_2, C_1 ثوابت تعتمد على درجة الحرارة t .

قياس القيمة المطلقة لزاوية الإنحراف D : الطريقة:

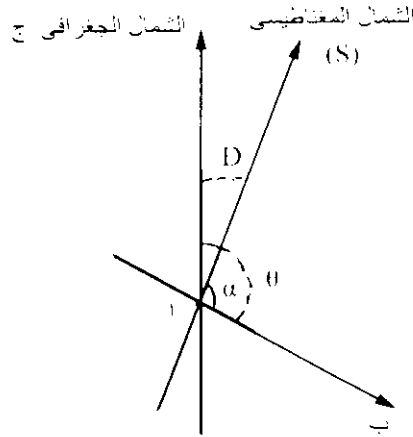
- (1) تحديد مكان القياس ولتكن النقطة أ لقياس زاوية الإنحراف شكل (4-29).
 - (2) قياس إتجاه هدف ما ثابت (علامة سمت Azimuth mark) من نقطة القياس وليكن هذا الهدف مثلا عمود تليفون (ب) وذلك باستخدام قرص تدريج زوايا.
 - (3) قياس إتجاه موقع الشمس (أو أى نجم ليلا) باستخدام تيديوليت فلكى مركب على نفس قرص التدريج السابق.
 - (4) من خط العرض ϕ لموقع نقطة القياس (أ) ومن تاريخ الرصد نحسب زاوية موقع الشمس 8^* .
 - (5) من زمن رصد الشمس** نحسب زاوية الوقت t .
 - (6) بعد ذلك نحسب إتجاه الشمال الجغرافى (ج) بالنسبة للعلامة الثابتة ولتكن هذه الزاوية θ من المعادلة
- $$\cot \theta = (\sin \phi \cos t - \cos \phi \tan \delta) / \sin t \quad (4-32)$$
- (7) بواسطة إبرة مغناطيسية حرة الحركة أفقيا يقاس إتجاه الشمال المغناطيسى (د).
 - (8) يقاس الزاوية بينه وبين إتجاه النقطة الثابتة ب.
 - (9) زاوية الإنحراف هي الفرق بين زاوية الشمال الجغرافى وزاوية الشمال المغناطيسى بالنسبة للنقطة الثابتة ب

أى

$$D = \theta - \alpha \quad (4-33)$$

* هي زاوية تعامد الشمس حسب الفصول (تقع بين 23.5° شمالا صيفا، 23.5° جنوبا شتاء).

** بدقة تصل لجزء من الثانية.



شكل (4-29): طريقة قياس القيمة المطلقة لزاوية الانحراف D

2.1.2.1.5.4 أجهزة القياس للقيم النسبية Relative Instruments:

المقصود بالقياس النسبي هو الفرق بين قيمة المجال المغناطيسي عند نقطة ما ثابتة (نقطة الأصل base point) وبين نقطة أخرى. معنى هذا أنه لا تقاس القيم المطلقة ولكن يقاس الفرق في تدرج القياس عند نقطة وأخرى، وهذه هي قيمة الشاذة المغناطيسية. الأجهزة التي تقيس هذه الشذوذ تعتمد على التوازن الميكانيكي منها:

1.2.1.2.1.5.4 أجهزة قياس التغير في المركبة الرأسية ΔZ:

من أهم الأجهزة المستخدمة لقياس هذه المركبة هو جهاز مغناطومتر شميدت Schmidt Type Magnetic Field Balance من أهم وأكثر الأجهزة المستخدمة للبحث والتنقيب عن الأرض باستخدام قياس المركبة الرأسية المغناطيسية (V) أو قياس المركبة الأفقية المغناطيسية H. شكل (4-30) يوضح هذا الجهاز ويتكون من:

- 1- نظام متحرك ويتكون من زوج مسطح شبه معين الشكل ولكل منهما عزم مغناطيسي ومصنوع من سبيكة (كوبلت - ستيل) مرتبطين من الوسط بمكعب عازل محمول بمحور ارتكاز أفقي من الكوارتز لجعل هذا النظام المتحرك حر الدوران على المحور الأفقي متصل بمركز هذا النظام عند المكعب العازل بضابطي وزن يتحركان على ذراعين محوريين وبواسطتهما يمكن تغيير الوضع الأفقي والرأسي لمركز الجاذبية بالنسبة لحافة محور الارتكاز** ويوجد أعلى مكعب التثبيت للمغناطيس مرآة صغيرة. والنظام مكافئ حرارياً.
- 2- تلسكوب وتدرج لقياس دوران الزاوية لحركة الجهاز الناتجة من التغيرات الصغيرة في الشدة المغناطيسية. ويصنع مدى النظام البصري للحفاظ على صورة المقياس في المستوى البؤري للعدسة العينية.

تضرب هذه القيم ثابت معايرة الجهاز.

عملية ضبط مركز ثقل النظام مهم جداً فإذا استخدم هذا الجهاز في منطقة شمالية (مثل السويد وإنجلترا) فسوف يميل النظام ميلاً كبيراً لأن المركبة الرأسية كبيرة وإذا استخدم في منطقة جنوبية مثل جنوب أفريقيا أو جنوب آسيا فتكون المركبة الرأسية أصغر بكثير. لذلك يتطلب الأمر استمرار إعادة ضبط الثقل لتغيير موضع ثقل المجموعة المغناطيسية magnetic syst. وجعل حدود قراءة الجهاز ضمن الحدود المتوقعة للمنطقة التي سيستخدم فيها الجهاز فيما يسمى مدى الضبط (range adjustment) وهذا الضبط يجهز بواسطة مصنع الجهاز للمنطقة التي سيورد الجهاز إليها (مثل أجهزة شميدت Schemidt، فانز لاد Fanslau، واسكانيا Askania torsion balance وغيرها مما يعتمد على نفس فكرة التوازن) وقد يستخدم بدلاً من الثقلين أو بالإضافة إليهما شريط من الكوارتز متصل بجانب المغناطيس ويضبط المغناطيس عن طريق اللي في هذا الشريط (Torsion).

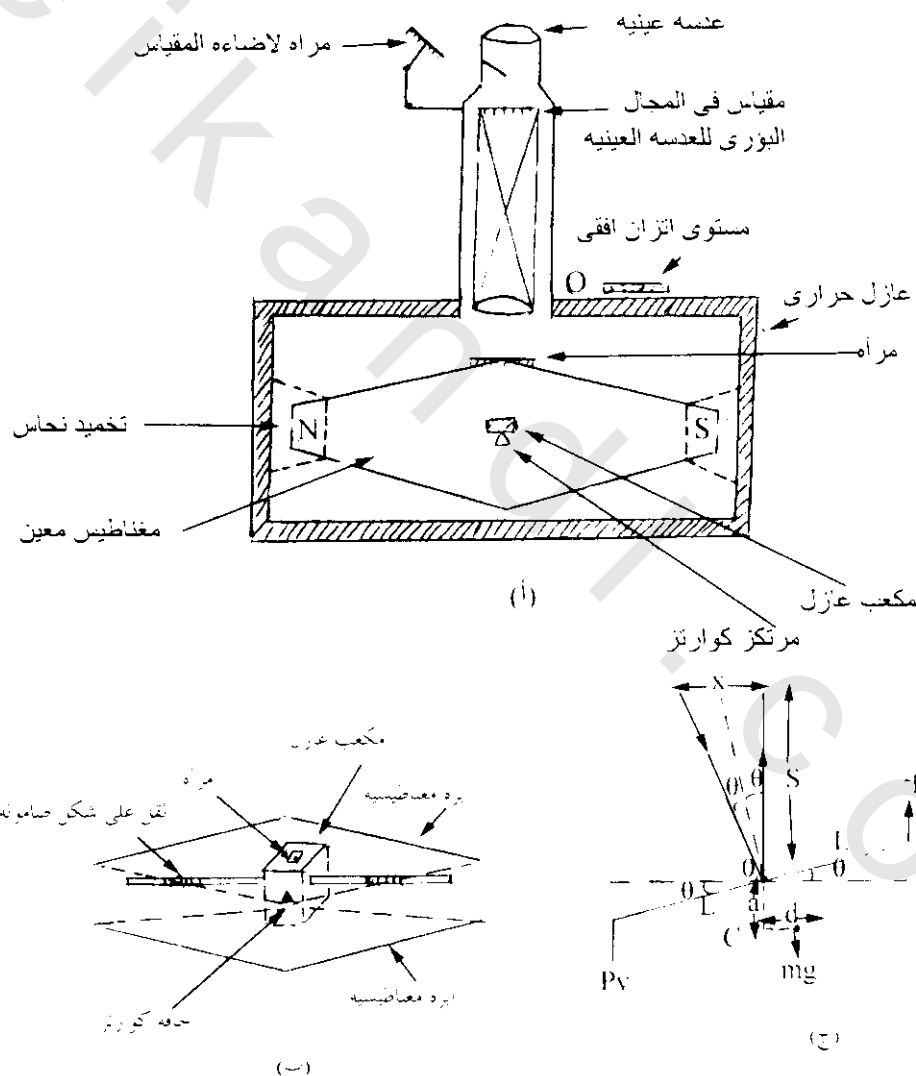
3- نظام التخميد (الكبت) وهو عبارة عن مقرنان (مضمدان) من نحاس ثقيل بينهما يوجد نهاية المغناطيس، هذا الوضع بدوره ينتج تيارات دوامية في النحاس مسببا سرعة دوران النظام الحركي للجهاز.

4- ميكانيكية الضبط والربط والتي بواسطتها يثبت جهاز الحركة خلال قراءة الجهاز.

5- عازل حراري و ترمومتر لقياس درجة الحرارة.

6- مسامير محورية لرفع وإدارة اللوح الموضوع عليه الجهاز بغرض التوجيه. أيضا يوجد مغناطيس دائم موضوع في مكان ضبط أسفل الجهاز في أنبوبة رأسية محمولة بواسطة جهاز تدعيم. وظيفة هذا المغناطيس هو معايرة الجهاز في موضع الصفر.

7- بوصلة إضافية لتحديد الزوال المغناطيسي وتوجيه الجهاز تبعاله.



شكل (4-30): مغناطومتر شميدت أ) قطاع عرضي، ب) المجموعة المغناطيسية، ج) التوازن بين عزوم القوى

قياس المركبة الرأسية (V):*

الطريقة:

- 1- يوجه** الجهاز لى يصبح مستوى الذبذبة (تأرجح الجهاز الحركى) عمودى على مستوى الزوال المغناطيسى*** (محور دوران الإبرة يكون الآن موازى للمركبة الأفقية H).
- 2- توضع الإبرة المغناطيسية للجهاز بحيث لا يكون مركز كتلتها على محور الدوران.
- 3- فى شكل (4-28 ج) يوجد زوجين من القوة المؤثرة على الإبرة
 - أ) عزم مغناطيسى مشير لدوران الإبرة فى عكس إتجاه الساعة نتيجة تأثير المركبة الرأسية المغناطيسية (V) على الأقطاب المغناطيسية وهذا العزم يساوى $2PVL \cos \theta$.
 - ب) عزم تتأقلى يشير لدوران الإبرة فى إتجاه عقرب الساعة وهذا العزم يساوى (الوزن المؤثر على مركز الجاذبية) $mg d \cos \theta + mga \sin \theta$.

وقبل التعرض لمعادلة الحركة لابد من تعريف بالجهاز حيث:

- $L = \frac{1}{2}$ طول المغناطيس
- $P =$ شدة القطب المغناطيسى
- $V =$ المركبة الرأسية للمجال المغناطيسى
- $o =$ مركز حافة المرتكز
- $C =$ مكان مركز جاذبية جهاز الحركة
- $a, d =$ مركبتى الإزاحة من مركز الجاذبية من حافة المرتكز وتوازى المحور المغناطيسى بالتتابع.
- $m =$ مركز جهاز الحركة
- $\theta =$ الزاوية بين المحور المغناطيسى والأفقى
- $g =$ عجلة الجاذبية
- $S =$ الطول البصرى للجهاز البصرى
- $X =$ المسافة على المقياس للأرقام المنعكسة

عند موضع الإتزان يوجد عزمين متساويين هما:

عزم المغناطيس = العزم التتأقلى للقضيب المغناطيسى

$$mg d \cos \theta + mg a \sin \theta = 2 PVL \cos \theta \quad (4-34)$$

* تستخدم هذه المركبة أساسا فى التنقيب المغناطيسى.

*** يمكن إتمام هذا بواسطة بوصلة عادية.

مستوى الزوال المغناطيسى هو مستوى رأسى بين المركبة الأفقية H والمجال الكلى T وإذا تأرجحت الإبرة فى هذا المستوى فإنها تتعرض لتأثير كلا من المركبة الرأسية V والأفقية H.

ولكن $p = \frac{M}{2L}$ حيث M العزم المغناطيسي

$$mg d \cos \theta + mg a \sin \theta = 2 \frac{M}{2L} VL \cos \theta$$

$$= MV \cos \theta$$

$$\therefore mgd \cos \theta - MV \cos \theta = -mga \sin \theta$$

$$(mgd - MV) \cos \theta = -mga \sin \theta$$

$$\therefore \frac{(mgd - MV)}{-mga} = \frac{\sin \theta}{\cos \theta}$$

$$\therefore \frac{\sin \theta}{\cos \theta} = \frac{mgd - MV}{-mga}$$

$$= \frac{MV - mgd}{mga}$$

$$\therefore \tan \theta = \frac{MV - mgd}{mga} \quad (4-35)$$

$$\therefore \tan 2\theta = 2 \tan \theta \quad (\theta \text{ صغيرة جدا (دائما أقل من)})$$

وحيث

$$X = S \tan 2\theta \quad \therefore X = 2S \tan \theta$$

$$\therefore \tan \theta = \frac{1}{2} \frac{X}{S} \quad (4-36)$$

من (4-33)، (4-35)

$$\therefore \tan \theta = \frac{MV - mgd}{mga} = \frac{1}{2} \frac{X}{S} \quad (4-37)$$

وواضح أن أى تغير فى V يقابله تغير فى θ , X

$$\therefore \tan \theta = \frac{MV - mgd}{mga} = \frac{1}{2} \frac{X}{S} \quad (4-38)$$

الفرق بين (4-38)، (4-37) يكون

$$\frac{MV - mgd}{mga} - \frac{MV - mgd}{mga} = \frac{1}{2} \frac{\bar{X}}{S} - \frac{1}{2} \frac{X}{S}$$

$$\therefore \frac{MV - mgd - MV + mgd}{mga} = \frac{\bar{X} - X}{2S}$$

$$\therefore \frac{MV - MV}{mga} = \frac{\bar{X} - X}{2S}$$

$$\therefore 2S(MV - MV) = mga(\bar{X} - X)$$

$$\therefore 2MS(\bar{V} - V) = mga(\bar{X} - X)$$

$$\therefore V - V = \frac{mga}{2MS} (\bar{X} - X) \quad (4-39)$$

حيث $K = \frac{mga}{2MS}$ ثابت مقياس الجهاز.

قياس المركبة الأفقية المغناطيسية H^* :

يدار الجهاز 90° من المكان السابق لقياس المركبة الرأسية المغناطيسية (V) وعند هذه الحالة سيكون هناك تأثير لكلا المركبتين H ، V ويكون لدينا ازدواجية مغناطيسية بدلا من واحد. وتكون معادلة الإتزان

$$2 VPL \cos \theta + 2 HPL \sin \theta = mg(d \cos \theta + a \sin \theta) \quad (4-40)$$

$$\therefore 2 HPL \sin \theta = mg(d \cos \theta + a \sin \theta) - 2 VPL \cos \theta$$

وبالتعويض عن قيمة $\frac{M}{2L} = p$ كما تم سابقا

$$\therefore 2H \frac{M}{2L} L \sin \theta = mg(d \cos \theta + a \sin \theta) - 2V \frac{M}{2L} L \cos \theta$$

$$HM \sin \theta = mg(d \cos \theta + a \sin \theta) - VL \cos \theta$$

$$H = \frac{mg}{M \sin \theta} (d \cos \theta + a \sin \theta) - VL \cos \theta$$

$$= \frac{mg}{M} (d \cot \theta + a) - VL \cot \theta \quad (4-41)$$

ويمكن الحصول على H بمعرفة V

وهذا يصعب إجراؤه في الحقل حيث يوجد تصميم لفصل H ، V

العمليات الحقلية:

- 1- يستوى الجهاز على قاعدة ثلاثية الأرجل باستعمال ميزان مائي صغير.
- 2- يحدد الزوال المغناطيسي بواسطة البوصلة الإضافية ثم يوضع الجهاز بحيث يكون محور النظام المتحرك في الجهاز عمودي على الزوال المغناطيسي.
- 3- تؤخذ قراءة الجهاز بعد إطلاق النظام المتحرك. ثم يدار الجهاز 180° ويكرر أخذ القراءة.
- 4- تؤخذ القراءة الحرارية لعمل التصحيح الحرارى.
- 5- بعد ذلك يقبض (يربط) النظام المتحرك بالجهاز. وبعد الجهاز بعد ذلك لأخذ قراءة أخرى. ويؤخذ فى الاعتبار احتياطات ضرورية أثناء عملية الحقل وهى:

* تستخدم قياسات H فى حالات كعمل الخرائط المعيارية وذلك بقياس القيم المطلقة لـ H لمنطقة كبيرة وبعد القياس تربط هذه القياسات بين محطات القياس والقيم المطلقة فى كل المحطات المقاسة لمركبات المجال المغناطيسى الكلى للأرض وبذلك يتم رسم الخرائط العيارية لهذه القيم المطلقة.

- (i) مواقع المحطات يجب أن تكون بعيدة عن أى مواد مغناطيسية مثل (خطوط السكك الحديدية، المصانع، المباني المسلحة، محطات الكهرباء... إلخ).
- (ii) يجب أن يكون الراصد نفسه محرر من المواد المغناطيسية الشخصية مثل الساعة وشمير النظارة المعدنى... إلخ.
- (iii) لا تقل المسافة بين محطتين عن 200
- (iv) نسخة من القراءات الأصلية.

معايرة الجهاز:

يتم هذا بوضع الجهاز فى مجال مغناطيسى منتظم. ومن أحسن هذه المجالات هو المجال المغناطيسى المنتظم بواسطة ملف هلمهولتز (Helmholtz coil)*.

3.1.5.4 الأجهزة الإلكترونية Electronic Magnetometer:

تقيس هذه الأجهزة مباشرة وبطريقة سريعة جدا وتحت كل الظروف القيمة المطلقة للمجال المغناطيسى الكلى T أو التغير فى ΔT وبعضها يقيس مركبات X, Y, Z.

مميزاتها:

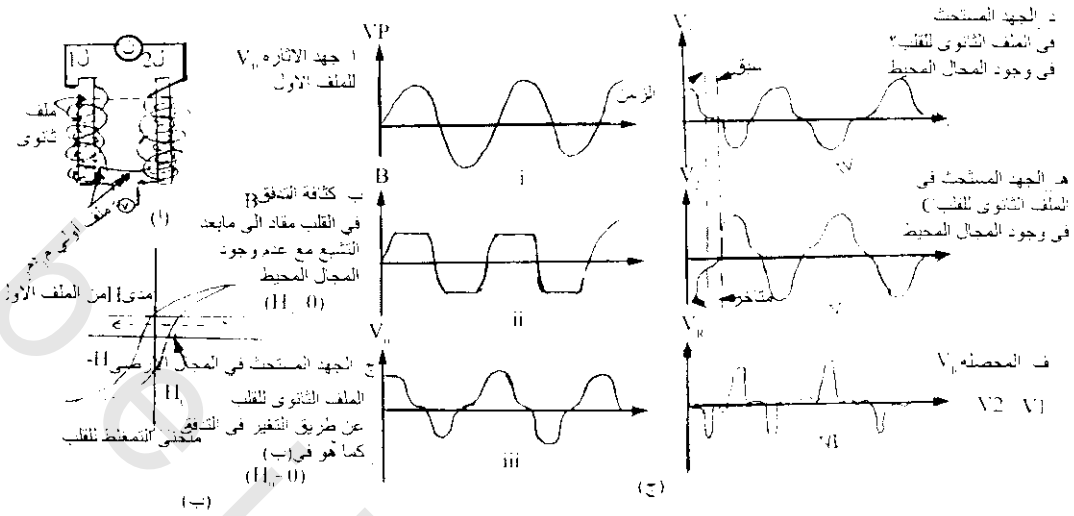
- 1- يمكن حملها فى طائرة أو سفينة والقياس بها على الأرض.
- 2- أكثر حساسية تبلغ حساسيتها 0.1 نانوتسلا (0.1 nT) وتصل فى بعض الأنواع الخاصة منها إلى 0.001 نانوتسلا.
- 3- يمكن بواسطتها اكتشاف المواد ذات التماغنط المنخفض جدا أو الأجسام الصغيرة للغاية.
- 4- تستخدم فى مجال البحث عن البرول وتوصيف شكل صخور القاع.
- 5- تستخدم فى التنقيب عن الآثار والمشاركة فى دراسة الجيولوجيا الهندسية.
- 6- جعلت التنقيب المغناطيسى سهلا ورخيص التكاليف ونتاجها مؤكدة.

1.3.1.5.4 مغناطومتر بوابة الفيض (ذو فتحة التدفق) Flux-Gate Magnetometer:

كان بداية استخدام هذا الجهاز فى الحرب العالمية الثانية وخاصة فى الغواصات. ثم كان من أول الأجهزة التى استخدمت فى القياسات المغناطيسية من الطائرة الثابتة الجناح. ثم استخدم بعد ذلك ولكن بدرجة أقل للمسح المغناطيسى على الأرض.

شكل (4-31) يوضح فكرة الجهاز وتركيبه ويتركب من:

* ملف هيلمهولتز: عبارة عن ملفين متساويين تماما فى القطر وعدد اللغات وكل منهما موازى للآخر والمسافة بينهما تساوى قطر الملف.



شكل (4-31):

- 1- قلبان متوازيان (L_1 ، L_2) من مغناطيس حديدي ذي نفاذية عالية أى أن المغناطيسية المتبقية له تكاد تكون صفر كما يوضح منحنى التمهغن شكل 9 ب أى أن قوة مجالهما المصغر (coercive force) صفر تقريباً.
- 2- على كلا القلبين ملفان أوليان (M_1 ، M_2) يتساويان فى كل شئ ولكن إتجاه لفهما منعكس ويسرى فى كل منهما تيار متردد عالى (حوالى 1000 هيرتز) وشدته كافية لإحداث التمهغن الحثى المشبع فى القلبين عند قمة التيار المتردد أو قاعه.
- 3- على الملفان الأوليان يوجد ملفان ثانويان متصلان بمقياس شدة الجهد الذى يقرأ الفرق بين الجهدين الخارجين.

فكرة التشغيل:

- 1- إذا ماركب المجال الأرضى على مجال دورى مستحث بواسطة تيار متردد فإن المجال الناتج سوف يشبع القلب.
- 2- يرصد الموضع فى دورة الإمداد بالطاقة التى يتم عندها الوصول للتشبع وهذا يعطى مقياساً للمجال الأرضى المحيط.

طريقة التشغيل (شكل 4-31 ج):

- 1- تمغنط أحد القلبين بالتيار المتردد فى غياب المجال الأرضى المحيط (عندما يكون محور القلب عمودى على مجال الأرض) المجال الناتج من هذا التمهغن ممثل بالمجال الجيبى H (شكل 4-31 ج).
- 2- التشبع للقلب يظهر بصورة قطع عند قمة المنحنى وقاعة (شكل 4-31 ج ii).
- 3- الجهد الناتج فى الملف الثانوى يتناسب مع معدل التغير فى الفيض المغناطيسى ولهذا فإن منحناه يتجه للصفر أثناء جزء من الدورة عندما يكون القلب مشبعاً (شكل 4-29 ج iii).

4- بإدخال مجال محيط (مجال الأرض المغناطيسى عندما يكون محاور القلبين فى إتجاهه) فذلك يساعد على التمكن من التيار الموجود. هذا يساعد نقطة التشعب على الإسراع فى وجود هذا المجال المحيط (شكل 4-31 (v, iv).

5- شكل (4-31ج iv) يمثل مخرج الملفين على التضاد مكونا أزواج من الأنايبب وإرتفاع وإنخفاض هذه الأنايبب يتناسب مع المجال المغناطيسى المحيط المؤثر فى الجهاز.

يوجد نوعان من أجهزة ذو فتحة التدفق أحدهما يحمل جوا وكان يستخدم سابقا للكشف عن الغواصات ثم طور للاستخدام فى المسح المغناطيسى الأرضى وصمم هذا الجهاز بحيث يكون سهل النقل وسرعة التشغيل وقياس المجال الرأسى.

2.3.1.5.4 المقاطومتر النووى Proton Magnetometer:

يوجد ثلاث نماذج لهذا النوع:

الأول للمسح الجوى والثانى للمسح البحرى والثالث للاستعمال على الأرض وجميعها تقيس المجال المغناطيسى الكلى للأرض بدلا من مركباته. ودقة النموذجين الأول والثانى أكبر بكثير من النموذج الثالث والذى يستخدم لقياس الشدة المغناطيسية على الأرض تلك الخاصة بمقياس الشدة المغناطيسية للأرض.

هذه الأجهزة مصممة على أن معظم العناصر الكيميائية لها عزم مغناطيسى، حيث أن نواة هذه العناصر يمكن اعتبارها مغناطيسيات صغيرة على هيئة كور تدور حول محورها المغناطيسى وطبقا لقوانين ميكانيكا الكم فإن مثل هذه الكور سوف تتجه لتنظم نفسها موازية أو عمودية على أى مجال مغناطيسى خارجى لذلك فإن هذه الأنوية تنفصل لمجموعتين دوارتين أحدهما موازية للمجال الخارجى وفى إتجاهه والأخرى موازية ومتضادة فى الإتجاه وهى تسلك بالتالى كثنائية القطب المغناطيسى. وتكون ثنائيات القطب (dipoles) هذه ذات إتجاهين متضادين وتكون المحصلة مساوية للصفر. أبسط نواة لها هذه الخاصية هى نواة الهيدروجين، وحيث أن الأوكسجين ليس له عزم مغناطيسى، فإن عينة الماء يمكن اعتبارها أنها مجموعة من البروتونات (نواة الهيدروجين). إذا وضعنا هذه العينة من الماء فى زجاجة وأحيطت بملف محوره عمودى على المجال المغناطيسى الأرضى ومرر فى هذا الملف تيارا كهربيا قويا بحيث ينتج عنه مجال مغناطيسى عالى يساوى 100 مرة قدر المجال الأرضى فإن عزوم البروتونات تتجه لإتجاه هذا المجال الخارجى فإذا قطع هذا المجال فإن البروتونات تصنع دورانا مغزليا (gyration) حول خطوط قوى المجال المغناطيسى الأرضى H_a بسرعة زاوية (W) أى أن

$$W = \gamma P H_a \quad (4-42)$$

حيث γP ثابت الغزل البروتونى (gyration constant)

ويكون التردد

$$F = \gamma P H_a / 2\pi \quad (4-43)$$

وحيث أن

$$\begin{aligned} \gamma P &= 6.7513 \times 10^4 \text{ (oe.sec)}^{-1} \\ &= 0.67513 \text{ /}\gamma\text{sec.} \quad (1\gamma = 1 \text{ nT}) \end{aligned}$$

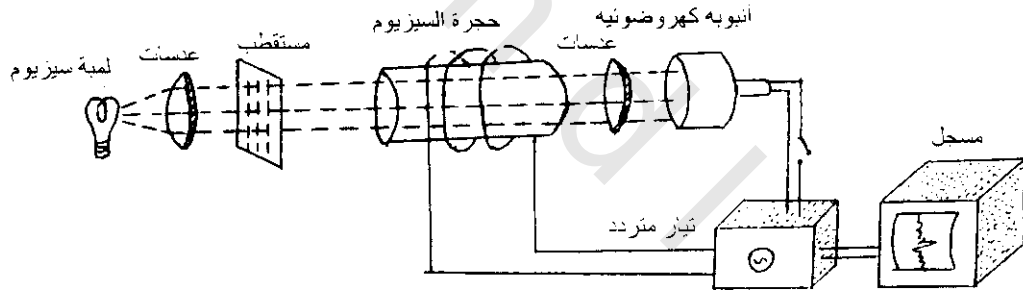
$$\therefore H_a = F \cdot 2\pi / 0.67513 \quad (4-44)$$

3.3.1.5.4 مغناطومتر الضخ الضوئى Optical Pumping Magnetometer :

يعتبر من أهم المغناطومترات الحساسة المخترع حتى الآن لقياس تقدم (دوران) الإلكترون لإيجاد شدة المجال المغناطيسى الأرضى.

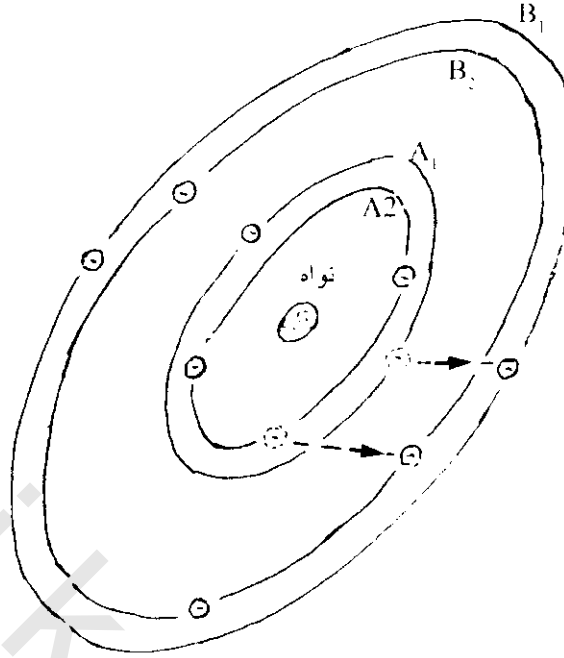
ينتج عن الحركة المغزلية للإلكترون (المشابه للبروتون) عزم زواوى وعزم مغناطيسى، إذا لم يكون المحور المغزلى منتظم (غير موازى) مع المجال الأرضى فإنه يتقدم بتردد يتناسب مع شدة المجال الأرضى. وصممت هذه المغناطومترات لقياس تردد تقدم الإلكترون بطريقة تختلف تماما عن المستخدمة فى مغناطومتر تقدم البروتون. وتوزيع الإلكترونات فى بخار السيزيوم من أكثر البراهين ملائمة لهذه القياسات. ويسمى الجهاز المستخدم فيه السيزيوم مغناطومتر بخار السيزيوم. وأيضا يستخدم بخار الربيديوم فى نفس الأجهزة ويسمى الجهاز فى هذه الحالة مغناطومتر بخار الربيديوم. وبالرغم أن المادتين تستخدم حاليا إلا أن السيزيوم أثبت إقناعا أكثر.

يوضح شكل (4-33) أساس تصميم هذا المغناطومتر ويتكون من ملف متصل بمصدر تيار متردد حول حجرة حاوية على بخار السيزيوم يمر ضوء مستقطب خلال الحجرة لخلية كهروضوئية والتي تكون حساسة للتغير فى شدة الضوء. ويمكن ضبط توزيع الإلكترونات فى البخار والمتأثر بشدة الضوء يتوافق التيار المتردد فى الملف مع تقدم تردد الإلكترون.



شكل (4-33): المكونات الأساسية لمغناطومتر بخار السيزيوم (يتأثر شدة شعاع الضوء الواصل للأنبوبة الكهروضوئية نتيجة لتقدم الكثرين السيزيوم بسبب تأثير المجال المغناطيسى الأرضى)

تتوزع الإلكترونات المكافئة فى ذرة السيزيوم فى مدارات مختلفة معتمدة على الطاقة التى نملكها. وتوزيع هذه الإلكترونات موضحة فى شكل (4-34). فباعتبار أربع مدارات فإن الإلكترونات الأقل طاقة تتبع المدار المنخفض A_2 بينما الذى لها طاقة أكبر تتبع المدارات الأعلى A_1 , B_2 , B_1 وبتغير طاقة الإلكترون يمكن إنتقاله لمدار آخر. وتبعاً لقوانين ميكانيكا الكم، ينتقل الإلكترون بإزاحة معنية. ويمكن أيضاً إنتقاله من مدار A_1 إلى مدار B_1 أو من مدار A_2 لمدار B_2 وذلك بامتصاص طاقة فوتونات الضوء. أما الإنتقالات الصغيرة من المدار A_2 للمدار A_1 أو من B_2 إلى B_1 فمن الممكن أن يكون هذا مصاحب للطاقة الإضافية المطلوبة لتوجيه المحور المغزلى للإلكترون.



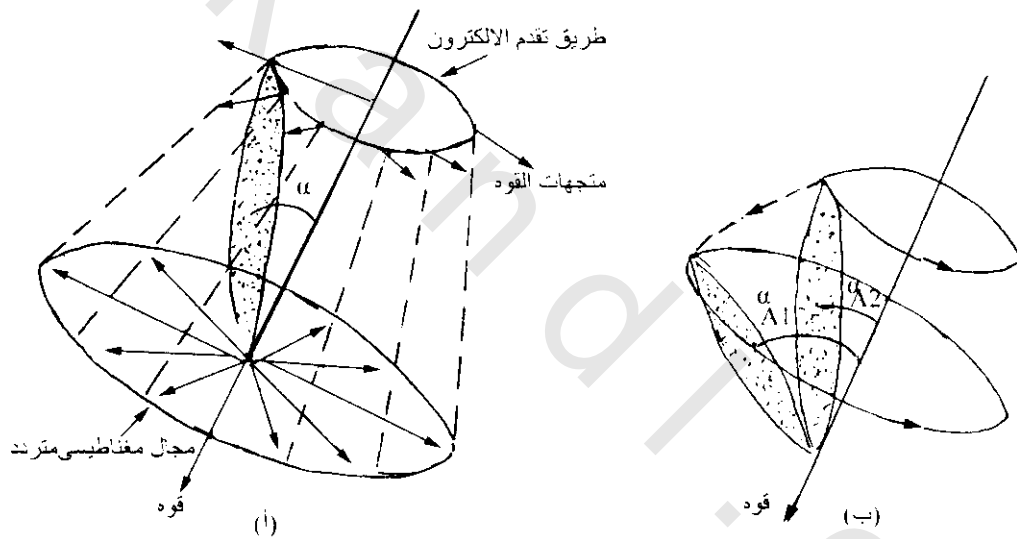
شكل (4-34): بعض ظواهر حركة الإلكترون في أربع مدارات لذرة سيزيوم. عندما تكتسب الإلكترونات طاقة في المدار A_1 فيمكن انتقالها إلى المدار B_1 . بالمثل الإلكترونات المكتسبة طاقة في المدار A_2 تنتقل للمدار B_2

ويمكن إمتصاص الطول الموجي للضوء الخارج من لمبة السيزيوم بواسطة الكترونات ذرات السيزيوم، وباستقطاب هذا الضوء يمكن إمتصاصه فقط بواسطة الكترونات مدارات A_1^* . وهناك أيضا بعض الفوتونات التي تمتص بواسطة الإلكترونات وعندئذ تزداد بين المدار A_1 للمدار B_1 ، وتسمى هذه العملية بالضخ الضوئي (optical pumping) حيث تضخ طاقة الضوء للحجرة (حجرة السيزيوم بالجهاز) وتبقى بواسطة طاقة الكترونات جديدة لذلك فإن مغناطومتر بخار السيزيوم وكذلك بخار الربيديوم تصنف كمغناطومترات ضخ ضوئي.

ولأن الفوتونات الممتصة بواسطة الإلكترونات لا تمر خلال حجرة بخار السيزيوم فإن شدة أشعة الضوء الواصلة للخلية الكهروضوئية تكون تقريبا منخفضة. وعندما تكتسب جميع الإلكترونات في المدارات A_1 طاقة وإزاحة لمدارات B_1 فإنها لا تمتص فوتونات أكثر وبعد ذلك يصل شعاع الضوء للخلية للضوئين ليصبح أكثر لمعانا لأن جميع الفوتونات تمر في هذه اللحظة خلال الحجرة. وعندما تكتشف الخلية الكهروضوئية أشعة ضوئية ذات شدة عالية فهي تنشط مصدر التيار المتردد لكي ينتج مجال مغناطيسي في الملف حول الحجرة. ويتغير تردد المجال أوتوماتيكيا عندما يتوافق مع تقدم تردد الإلكترونات. عند هذا التردد تمد الطاقة لإزاحة بعض الإلكترونات من المدارات A_2 عندئذ لمدارات مكافئة A_1 . لعمل هذه الإزاحة يجب توجيه محور المغزل بالنسبة للمجال المغناطيسي الأرضي من زاوية نموذجية صغيرة للإلكترونات منخفضة الطاقة في مدارات A_2 لزاوية كبيرة للإلكترونات في المدارات A_1 .

* تعمل مغناطومترات بخار السيزيوم بواسطة مرور ضوء سيزيوم مستقطب خلال حجرة البخار.

ويوضح شكل (4-35) تقدم محور الإلكترون والتي تعمل زاوية α مع اتجاه مجال الأرض، ايضا يوضح دوران المتجه الذى يوضح كيفية اتجاه تردد المجال المغناطيسى المتغير أثناء كل دورة تذبذبية. ويلاحظ أن هذا المتجه دائما يشير فى اتجاه مختلف عن اتجاه مجال الأرض. وعندما يضبط تردد التعاقب (التناوب) للمجال المغناطيسى لينتفك مع تقدم تردد الإلكترون فإن المتجه يدور عند نفس المعدل كحركة محور المغزل حول مخروط تقدمه. وتكون النتيجة قوة ثابتة فى اتجاه الخارج والتي تمثل دوران محور المغزل لزاوية كبيرة مميزة لمدار A_1 . لاي تردد آخر فإن القوة تبدو بواسطة تردد المجال المغناطيسى والتي تكون دوراتها من الاتجاه الداخلى للإتجاه الخارجى مسببة إرتجاج أكثر من إزاحة إستمرارية زاوية مغزل المحور. ولذلك عندما يتوافق التيار فى الملف بالضبط مع تقدم التردد فستزاح الإلكترونات من المدارات A_2 إلى A_1 . ويكتسب الإلكترون المزاح حديثا قدرة لإمتصاص طاقة ضوئية عند لحظة وصوله مدار A_1 . وتكون النتيجة المباشرة نقص فى شدة الشعاع المكتشف بواسطة الخلية الكهروضوئية. هذا التغير فى الشدة يشير لنظام تسجيل تردد التيار والذى يتفق الآن مع تقدم تردد الإلكترون. وتكبر هذه القيمة بواسطة بوصلة مغناطيسية (جبر مغناطيسية) الكترونية نسبية للحصول على شدة المجال المغناطيسى الأرضى.

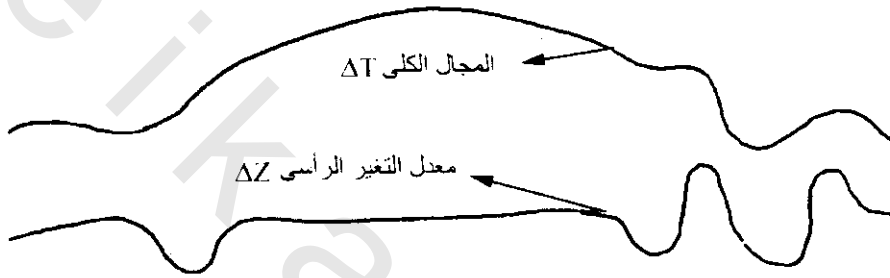


شكل (4-35): (أ) تغير زمن القوة بواسطة مجال مغناطيسى متردد على تقدم الإلكترون فى حجرة بخار السيزيوم، (ب) تأثير القوة على دوران محور مغزل الإلكترون من زاوية طاقة منخفضة A_2 لـ A_1 بمد تذبذب لمجال مغناطيسى متردد وبأنفس تقدم تذبذب الإلكترون لكى تؤثر قوة ثابتة متجه للخارج لتدوير محور مغزل الإلكترون

وقد صممت مغناطومترا ضخ ضوئى للمسح الجوى وكذلك لعمليات الرصد الدائم، وتقيس هذه الأجهزة المجال الكلى للأرض فقط. وتوجيه الوحدة الحساسة (سنسور sensor) غير مهم، ولكن المجال المغناطيسى المتردد يجب أن لا يكون موازى (فى صف) للمجال الأرضى. وبإمكانية هذه الأجهزة القياس فى أقل من ثانية، وذلك لأن الكتلة الصغيرة جدا للإلكترون تجعل تردد دورانه أعلى جدا من البروتون. وحيث أن المجال الأرضى يتراوح تقريبا ما بين 90 إلى 245 كيلوهرتز فإن هذا النظام يقيس بتوافق كاف شدة المجال بدقة تصل إلى 0.01 جاما.

4.3.1.5.4 مغناطومتريات معدل التغير Magnetic Gradiometers:

تستخدم هذه المغناطومتريات لقياس معدل التغير في المجال المغناطيسي وليس المجال نفسه أى يراد معرفة تغير المجال المغناطيسي مع الإرتفاع عن سطح الأرض أو التغير الأفقى على سطح الأرض لأن معدل التغير في الشاذة المغناطيسية يفصل بين الشاذة الإقليمية (regional) والمحلية (local)، فإذا كان الجسم المسبب للشاذة صغيرا وقريبا من السطح أحدث شاذة عالية القيمة (high amplitude) سريعة التذبذب (high frequency) بينما الشاذة الإقليمية تكون ناتجة من أجسام كبيرة ممتدة وعميقة (صخور القاع والألواح البازلتية) فإن الشاذة تكون منخفضة القيمة بطيئة التردد، ومعدل التغير الرأسى أو الأفقى هو الذى يفصل بين هذين النوعين من الشاذات كما فى شكل (36-4).



شكل (36-4):



شكل (37-4):

وتتكون الأجهزة (مغناطومتر بروتونى أو جهاز الضخ الضوئى أو شابه ذلك من الأجهزة) التى تقيس هذا المعدل من رأسين حساستين للقياس بوضع أحدهما أعلى من الآخر بمسافة ثابتة أو يبعد عن الآخر بمسافة أفقية ثابتة* (شكل 37-4). وفرق القرائتين بين الرأسين ثم القسمة على المسافة بينهما تعطى معدل التغير ويكون التغير الرأسى $\Delta T/\Delta Z$ والتغير الأفقى $\Delta T/\Delta X$ وتكون الشاذة فى هذه الحالة خالية من التغير اليومى والتغير عند نقطة الأصل وأى تغيرات أخرى، ويفضل القياس بالمعدلات gradiometer فى حالة القياسات المكثفة التى تحتاج لعدد كبير جدا من القراءات المغناطيسية كالتنقيب عن الآثار أو القياسات الجيوتقنية.

* فى الأجهزة البسيطة يمكن القراءة برأس واحدة حساسة مرتين على إرتفاعين مختلفين أو مسافتين أفقيتين مختلفتين وحساب الفرق بينهما.

2.5.4 طرق المسح المغناطيسى :Methods of Magnetic Survey

هناك ثلاثة طرق للمسح المغناطيسى:

- 1- المسح الأرضى Ground Magnetic Survey.
- 2- المسح الجوى Ground Magnetic Survey.
- 3- المسح البحرى Aeromagnetic Survey.
- 4- مسح مغناطيسى بالأقمار الصناعية Satellite Magnetic Survey*.

1.2.5.4 المسح الأرضى :Ground Magnetic Survey

من أهم الأجهزة والذى استعمل لزمن طويل هو الميزان المغناطيسى من نوع شميت Schmidt type (شكل 130أ)، وأيضا من أكثر الأنواع استعمالا للآن كوسيلة للمساحات الأرضية والمصمم لقياس المركبة الرأسية للمجال الأرضى، أو المركبة الأفقية عند خطوط عرض ذات مغناطيسية منخفضة. فى السنوات الحديثة زاد إستخدام جهاز بورتون للقياسات الأرضية.

العمليات الحقلية فى الإستكشافات المغناطيسية عن البترول عادة تكون مختلفة بعض الشيء عن تلك المستخدمة فى إستكشافات المعادن والآثار ودراسات الجيولوجيا الهندسية. ففى البحث عن البترول تكون المسافات بين المحطات أكبر منها كثيرا عن طرق البحث الأخرى كالبحث عن المعادن والآثار ودراسات الجيولوجيا الهندسية**. ويجب أن تقام محطات القياس على مسافات آمنة من جميع الأدوات الحديدية التى تتعارض مع المجال العادى فيجب أن تبعد محطات القياس عن هذه الأدوات بحوالى 125 متر والسيارات فى حدود 30 متر والأسوار السلكية (خاصة فى الإتجاه الشمالى-الجنوبى) فى حدود 35 متر. كذلك يجب الإبتعاد عن خطوط الكهرباء ومحطات الكهرباء والكبارى والبرابخ والمنازل. بالإضافة لذلك على القائم بالعمل المسحى أن يحمل أقل ما يمكن من المواد الحديدية والمغناطيسية الخاصة به.

1.1.2.5.4 العمليات الحقلية :Field Operation

- 1- يستوى الجهاز أفقيا على القاعدة ذات الأرجل الثلاثة بواسطة تحريك هذه الأرجل. ويضبط الوضع الأفقى بواسطة العين الفقاعية الموجودة على الجهاز (جهاز شميت). أما فى الأجهزة الإلكترونية فعملية الضبط هذه غير هامة.
- 2- يحدد الزوال المغناطيسى (إتجاه الشمال المغناطيسى) بواسطة بوصلة خارجية ويوضع الجهاز موازى للزوال المغناطيسى.
- 3- بعد ذلك تؤخذ قراءة الجهاز ثم يدار الجهاز 180° وتؤخذ قراءة أخرى.
- 4- تؤخذ بعد ذلك متوسط هاتين القراءتين.

* ويغطى هذا المسح الكرة الأرضية كلية.

** فى حالة البحث عن البترول، عادة تكون المسافة بين المحطات فى حدود 1 كيلومتر – 1.5 كيلومتر، فى حالة البحث المعدنى تكون المسافة بين المحطات حوالى 25 متر، أما فى حالة دراسة الجيولوجيا الهندسية والبحث عن الآثار فتقل القيمة بين المحطات كثيرا وقد تصل إلى ٥ متر.

- 5- تؤخذ قراءة درجة الحرارة لعمل تصحيح درجة الحرارة.
- 6- يربط النظام المتحرك بالجهاز ويعد للانتقال لمحطة أخرى. ومن الضروري أن تتم العمليات السابقة بدقة وعناية وأيضا تؤخذ صورة من القراءات الأصلية.

2.1.2.5.4 معايرة الجهاز Calibration of the Instrument:

يتم هذا بوضع الجهاز في مجال منتظم معروف. ومن أحسن الطرق للحصول على مجال مغناطيسي منتظم يتم بواسطة ملف هو لهمولتز Helmholtz coil*.

3.1.2.5.4 إختزال (تصحيح) النتائج المغناطيسية Reduction of Magnetic Data:

1.3.1.2.5.4 تصحيح درجات الحرارة Temperature Corrections:

ينتج التغير في قراءات الجهاز في المكان الواحد بوضعه خارج الحجرات (المعامل) وذلك لتغير درجات الحرارة من ارتفاع أو انخفاض. في الأنواع الأخرى الغير مكافئة للإتزان الحقل (جهاز شميدت)، يوجد معامل حراري حوال 8 جاما (γ) درجة حرارة $(8\gamma/10^\circ)$ والتي تنشأ من التمدد أو النقصان وكذلك بواسطة التغير الحراري في العزم المغناطيسي نفسه. في الأجهزة الحديثة المكافئة، فإن تأثير التغير الحراري يكون أقل من 1/10 القيمة الكبيرة السابقة. في حالة أخرى تصحح قراءة شدة المجال إلى درجة حرارة عيارية (20°) بواسطة استخدام معامل نظام حراري.

2.3.1.2.5.4 التغير اليومي Diurnal Correction:

هذا التغير تصل قيمته إلى أكثر من 100 γ ولذلك لابد من إختزاله (تصحيحه) من النتائج المأخوذة بالمغناطومترا الحقلية* وهذا يتم عمله بعدة طرق:

1.2.3.1.2.5.4 إذا إستخدم جهاز واحد للقياس A Single Instrument is Available:

(أ) إذا كانت الدقة العالية غير مطلوبة**، وفي هذه الحالة تحدد العودة التقريبية للمجال الأرضي*** عند أي وقت من منحنيات مقياس التغير (مغناطومتر) المحسوبة عند بعض الأماكن بالولايات المتحدة الأمريكية مع الأخذ في الاعتبار أن هذا التصحيح يعني أنه غير ملائم للعمل الدقيق في أي مكان ولكن في أماكن متجاورة لمحطتين (مكاني مراقبة). وهذا يأتي من حقيقة أن المنحنى مختلف غالبا عشرات الجاما عند أماكن فقط لقليل من أبعاد مئات الأميال.

(ب) باستخدام هذا الجهاز المفرد، يتم التصحيح بالرجوع إلى محطة القاعدة (المحطة الأولى) كل ساعتين وينشأ منحنى التغير لهذه المحطة ويتم هذا كل يوم عمل بواسطة رسم القراءات عند هذه المحطة مع الزمن. وربما يهمل عدم التغير لأكثر من 10 γ خلال الفترات بين إعادة العمل في محطة القاعدة ولهذا فإن هذه الطريقة لايعتمد عليها إذا كان الضبط ضروري لقليل من الجاما.

* يتكون ملف هو لهمولتز من ملفين متساويين ومتوازيين والمسافة بينهما تساوي قطر الملف.

** (γ) جاما هي وحدة القياس المغناطيسي حيث أن واحد أورستيد = 10⁵ جاما.

*** هذه العملية تقابل ضبط الانحراف في طريقة الجاذبية.

كما في المسح المنجمي.

محطة القاعدة (الأولى) Base Station.

2.2.3.1.2.5.4 إذا استخدم جهازين Two Instruments are Used :

يوضع أحد الأجهزة عند محطة القاعدة ويؤخذ القراءات على فترات منتظمة، وينشأ المنحنى اليومى لهذه القراءات بحيث تكون مرجعا للقراءات فى المحطات الأخرى.

3.2.3.1.2.5.4 إذا استخدم ثلاثة أجهزة Three Instruments are Used :

يوضع جهازين عند محطتين قاعدتين وتؤخذ القراءات على فترات منتظمة، وينشأ المنحنى اليومى **** لهذه القراءات لكل محطة قاعدة بحيث يكونين مرجعا للقراءات فى المحطات الأخرى.

4.1.2.5.4 التصحيح العادى Normal Correction :

يعمل هذا التصحيح للتغير الناتج من التغير الدائم فى القيمة والإتجاه للمجال المغناطيسى الاصلى والذى يحدث من مكان لآخر. هذا التغير تابع فى نفس الوقت للتغير فى الجاذبية مع خطوط العرض ولكن يختلف فى طريقتين:

أ- لا يوجد معاملات منتظمة لخطوط العرض والطول كما فى الجاذبية.

ب- تغير مغناطيسى عبر مسافات مأخوذة أكبر بكثير من وضع المجال الكلى.

وربما يهمل هذا التصحيح إذا كان المسح تفسيرياً حيث يتأثر هذا التصحيح بالمقياس الإقليمى. ويمكن عمل هذا التصحيح على المقياس الإقليمى بواسطة طرق تشبه تماماً التى تستخدم لإزالة الإتجاه الإقليمى فى التفسير الجاذبى وذلك بمساعدة خرائط وجداول منشأة ومقامة لهذه الأغراض.

ويمكن إجراء هذا التصحيح بطريقة أخرى وفيها تختار محطة مغناطيسية مثلاً لكل عشرة محطات منتظمة فى عملية التنقيب ثم يتم عمل خطوط كنتورية لقراءة هذه المحطات فقط، وفى النهاية تسوى (smoothing) خطوط الكونتور على أساس جميع القراءات. يطرح الفرق بين قراءة الكنتور الأساسى والكنتور المسوى، وتفسر الخريطة الناتجة بالشواذ الهامة.

5.1.2.5.4 تصحيح التضاريس Terrian Correction :

فى حالات نادرة يؤخذ هذا التصحيح فى الإعتبار عندما تكون الصخور السطحية مغناطيسية، ومسببة عدم إنتظام للتضاريس، نتيجة لذلك يوجد تغير فى قراءة المغناطيسية مشابهة للتغير فى الجاذبية الناتجة من تغير حدود التضاريس. فسر هايلاند 1968 Heiland كيفية تصحيح التضاريس المغناطيسية بنفس الطريقة العامة كالمستخدمة فى العمل الجاذبى مع افتراض أن الهضاب والوديان لها نفس الشكل الهندسى البسيط.

2.2.5.4 المسح الجوى Aeromagnetic Survey :

لعمل هذا المسح تستعمل الأجهزة الالكترونية التى غالباً لا تحتاج لتوجيه معين. وأيضاً تقيس هذه الأجهزة المجال الكلى Total Magnetic Field وأهم هذه الأجهزة:

**** إذا كان كلا من المنحنين موازى أو قريباً للتوازى من الآخر فهذا يدل على أن كلا المرجعين مضبوط ويتم التصحيح بإحدهما.
* على مسافات قصيرة.

Flux Gate Magnetometer

1- مغناطومتر ذو بوابة الفيض (ذو فتحة التدفق)

Proton Magnetometer

2- المغناطومتر النووي

Optical Pumping Magnetometer

3- مغناطومتر الضخ الضوئي

ويتم القياس بتعليق رأس المقياس (sensor) للأجهزة السابقة في كابل يبعد عن الطائر بحوالي 30 متر لكي لا تؤثر الطائرة والأجهزة بداخلها على المجال المغناطيسي عند رأس القياس، ويوضع الرأس في صندوق انسيابي يقلل من دفع الهواء أثناء الطيران ومزود أيضا بزعانف لكي لا يدور حول نفسه أثناء الطيران، ويسمى هذا الصندوق والرأس داخله (الطائر Bird). وأحيانا يوضع رأس الجهاز في مكان مثبت بعمود طويل غير مغناطيس ممتد من مؤخرة الطائرة. وغالبا ما يقاس مع المساحة المغناطيسية قياسات كهرومغناطيسية أو إشعاعية إستغلالا للطيران. وفي هذا المسح يجب أن تطير الطائرة بسرعة منتظمة أو أن تحسب سرعتها مع سرعة الجهاز في تسجيل القياسات بحيث تعرف قيمة المجال بالضبط عند النقط المختلفة على امتداد خطوط القياس أو أن يكون هناك أجهزة تحديد الموقع navigation بحيث نعرف موقع كل رصده على امتداد منطقة الرصد. وتسجل القياسات باستمرار على شريط مغناطيسي أو شريط متقرب أو راسم (قلم) يرسم على شريط ورقي متحرك بسرعة منتظمة شكل (4-38).

شكل (4-38): أنواع بسيطة لتغير مغناطومتر رنين نووي يوضح الجزء الأسفل شريط لتمثيل مستمر نسبي، والشريط الأعلى تسجيل عددي مكافئ في شكل علاقة نقطية

1.2.2.5.4 تحديد أماكن محطات الرصد :Determination of Position Location

لتخريط نتائج المغناطيسية الجوية من الضروري مقارنة جميع قراءات المجال الكلي مع مكان مستوى لحظة أخذ القراءة وهناك طريقتين لذلك:

1.1.2.2.5.4 طريقة شوران :Shoran Method

نظام إلكتروني لتحديد موقع أخذ القراءة المغناطيسية بالطائرة. في هذا النظام توضع محطتين أرضيتين لاستقبال الموجات النبضية أو المستمرة من محطة إرسال بالطائرة ثم بثها مرة أخرى من المحطتين الأرضيتين للمحطة بالطائرة والتي تستقبلها، ومن فرق زمن إرسال الأشعة (موجات دقيقة micro-waves) من محطة الطائرة ثم استقبالها وسرعة الطائرة يمكن حساب مكان الرصد. ومن ترددات الأشعة العائدة من المحطتين الأرضيتين للطائرة يمكن حساب سرعة الأرض. ويحدد اتجاه الموضع المأخوذ عنده القراءة المغناطيسية بواسطة نوع خاص من البوصلة المغناطيسية ويتم الحفاظ على هذا الاتجاه بواسطة جيروسكوب توجيهي. دقة هذا النظام تكون في أعلى مراتبها عندما يكون الخطأ جزء في الألف. ربما لا يكون هذا النظام بدقة عند الطيران بارتفاع أقل من 350 قدم.

2.1.2.2.5.4 طريقة التصوير الجوى Aerial Photography Method:

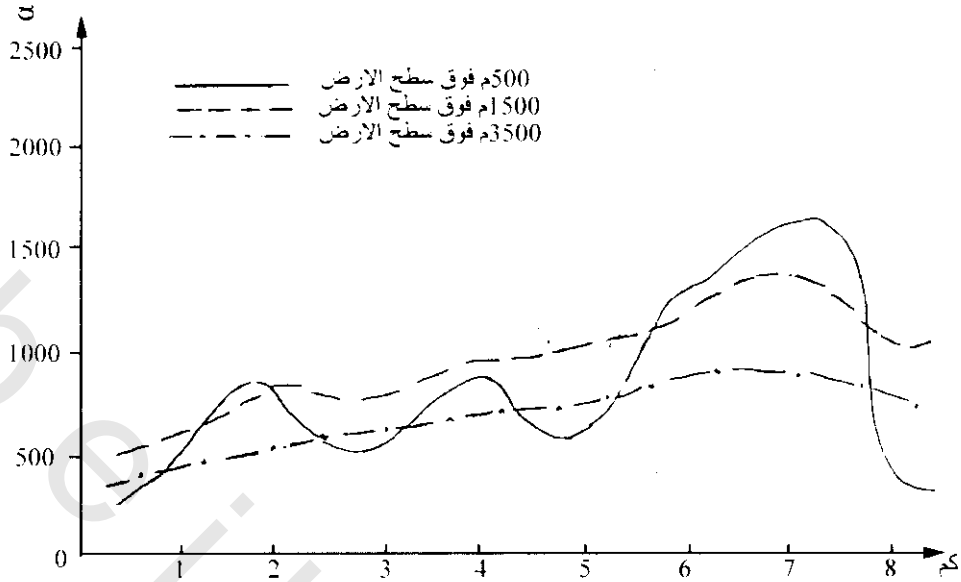
فى هذه الطريقة تستعمل عموما آلات تصوير ذات ترابط مستمر. فى أحد أنواع آلات التصوير يستعمل ميقته الكترونية لتحديد فترات الزمن على جميع التسجيلات. وهذا ينتج علامات إسناد عند أى فترة مطلوبة ابتداء 1-120 ثانية. وتطبع أيضا هذه العلامات على شرائط الورق المتحركة التى تحتوى على تسجيل الشدة المغناطيسية وتسجيل الارتفاع. وعندما تكون الظواهر المرسومة على الخرائط معروفة جيدا من الطائرة فإنه من الممكن توقيع المواقع على الخريطة بالقياس المباشر من الطائرة وتتم هذه العملية من تسجيل القيمة المغناطيسية مع تحديد الموقع الأرضى بواسطة طائرة ذات سرعة منخفضة على ارتفاعات قليلة من الأرض. هذه الطريقة غير مناسبة على المياه أو فى مجال القطب الشمالى والجنوبى أو مناطق الغابات الممطرة.

2.2.2.5.4 ارتفاع خط الطيران Heigh of Flight Path:

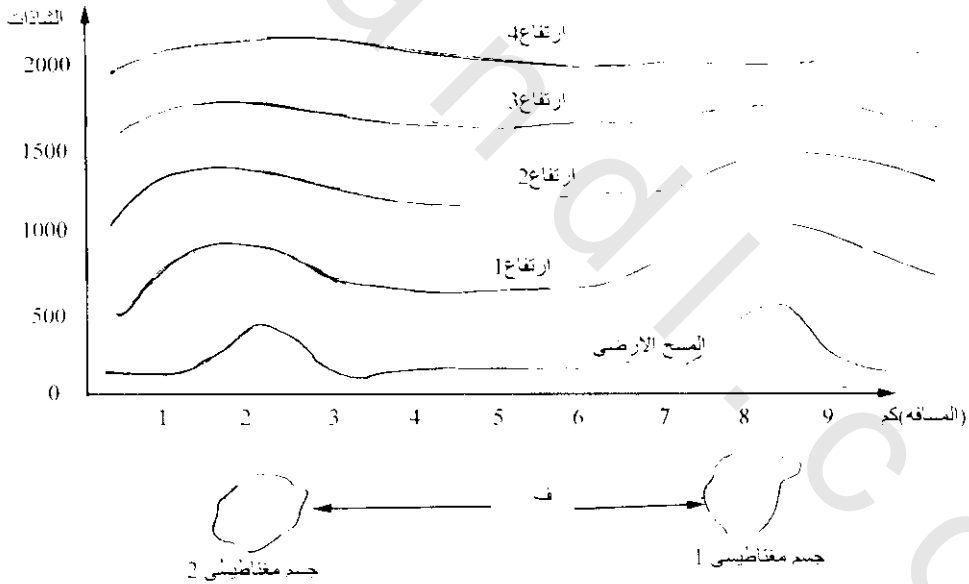
فى البحث والتنقيب عن البترول أو معرفة شكل صخور القاع والتركيبات العميقة، فعادة ما يكون ارتفاع الطيران تقريبا ثابتا من سطح البحر. وفى حالة البحث المنجمى (المعدنى) يجب أن يكون الارتفاع دقيقا ويكون عادة مرجع الارتفاع سطح الأرض. ومن المستحسن استخدام طائرة هيلوكبتر لكى يسهل ضبط ارتفاعها بحيث يكون متساويا تماما وموازيا لتضاريس المنطقة المسموح بها. ولو أنه من الصعوبة بمكان ضبط ارتفاع الطائرة، لهذا يجب أن تكون هناك أجهزة لتحديد ارتفاعها. لأنه عادة تتغير الارتفاعات تبعا لنوعية البحث، وفى حالة البحث عن البترول والتركيب العميقة فإن تذبذب الارتفاع بالقطع يكون صغيرا. أما فى حالة البحث المعدنى فإن تغير الارتفاعات يحدث كثيرا تبعا للتضاريس ويجب أن يكون التذبذب فى ارتفاع الطائرة أقل بكثير من الارتفاع عن سطح الأرض. يرى شكل (4-39) ثلاثة خطوط طيران عبر رسوبيات مغناطيسية عند ارتفاعات ما بين 500 متر إلى 3500 متر فوق سطح الأرض. تقاس القمة المغناطيسية الحادة جدا بالقرب من مركز البروفيل ذا ارتفاع 500 متر وتصبح الحادة غالبا غير ملاحظة عند ارتفاع 10,000 متر. وكلما زاد ارتفاع الطيران، تندمج الشاذات ويقل تأثيرها المغناطيسى من المصادر تحت سطحية القريبة. ويوضح شكل (4-40) التأثير المحدد لمجموعات الشاذات، ومن الشكل يمكن إستنتاج الارتفاع الذى يجب عنده الطيران لتجنب خطأ أعمال الظواهر الجيولوجية المفردة. النموذج الأكثر إستعمالا فى الطيران يتكون من شبكة مستطيلة، وتكون الخطوط متقاربة فى إتجاه أكثر من الإتجاه الآخر، وعادة ما تكون الخطوط المتقاربة عمودية على المضرب المغناطيسى للمنطقة أو مع الظواهر* التى يجرى رسمها. ويجب أن تكون الانحرافات حتى 30° من العمودى لكى تكون القراءات صحيحة.

بالقرب من خط الإستواء المغناطيسى فإن المجال المغناطيسى للأرض يكون تقريبا أفقيا، والأقطاب التأثيرية تكون موزعة بطول الأسطح المطولة فى إتجاه شرق-غرب. فإذا كانت الإتجاهات الجيولوجية شمال-جنوب فإن الشاذات المغناطيسية لن تعكس التركيب جيدا لأن السطوح المطولة فى المستويات الراسية الموجهة فى هذا الإتجاه لن تودى لتراكم الحفظ فى كثافة الأقطاب المغناطيسية.

* هذا المضرب والظواهر تتبع عامة الإتجاه التركيبى للصخور النارية أو المتبلورة فى المنطقة.



شكل (4-39): تأثير الارتفاعات على نتائج المسح الجوى المغناطيسى



شكل (4-40): تحليل الشاذات المغناطيسية من جسمين مغناطيسيين على بعد مسافة (ف)، بروفيل مغناطيسى عند سطح الأرض وأربع بروفيلات لارتفاعات طيران مختلفة

3.2.2.5.4 المسافات بين خطوط الطيران Distance Between Flight Lines:

هذه المسافات تكون محكومة الأشكال، والأبعاد، وأعماق الأهداف التى يجرى من أجلها المسح المغناطيسى الجوى فمثلا:

(أ) إذا كان مصدر الشاذة المغناطيسية محدود وضيق الموضع مثل عمود رأس (اسطوانة رأسية) أو جسم صغير من الخام على شكل كرة، سوف تظهر لشاذة على هيئة كنتورات دائرية، نصف عرضها سيكون تقريبا نصف عمق مركز الكرة. فى هذه الحالة يجب أن تكون المسافة بين خطوط الطيران تساوى أو تقل عن نصف قيمة الذروة للشاذة، لكى يكون تقدير الأعماق والمعاملات الأخرى للأجسام المدفونة صحيحة.

(ب) يمكن قياس الشاذات المطولة على أكثر من خط فى حالة إذا كنت الخطوط العرضية متعامدة مع المضرب وقد بين أجوكس Ajox 1955 نتيجة لدراسة إحصائية المسافات اللازمة لكشف شاذة لها حجم معين ومثال لذلك خام ماتاجامى Mattagami فى منطقة كوبيك Quebec بكندا حيث لم تظهر الشاذة بوضوح عندما كانت المسافة بين خطوط الطيران Ω ميل ولكن بخطوط طيران متباعدة بـ 5° ميل أعطت النتائج مؤشرا حسنا للشاذة. شكل (4-41) يحدد نموذج الطيران بطبيعة الشاذات التى يراد البحث عنها وكذلك بمواقع المحطات الأرضية للأسناد فى عملية تحديد المواقع وعلى الأخص بقيمة التغيرات اليومية التى تسبب اقلاقا خاطئا حول الحلقات أو الدورات.

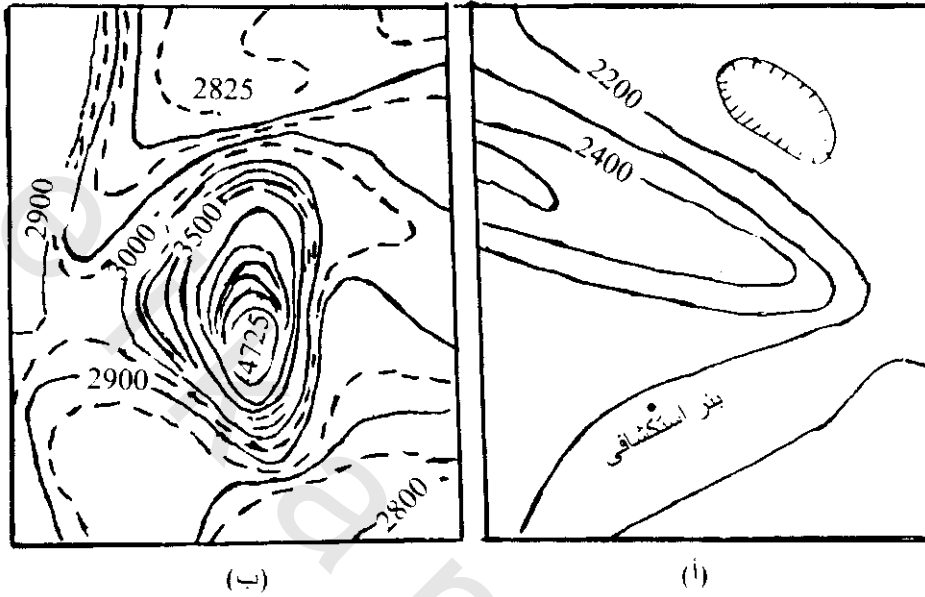
شكل (4-42) يوضح النموذج الأكثر شيوعا حيث يتكون من مجموعات متعامدة من اتجاهات الشمال-للجنوب والتى تبعد عن بعضها البعض بمسافة تتراوح عادة بين 5-10 ميل يتم الطيران فيها تباعا وبعدها يتم اجتيازها عموديا فى اتجاه شرق-غرب أو العكس بالعكس. يتم ضبط التغير اليومي عند التقاطعات بواسطة المربعات الصغرى للإقلال إلى الحد الأدنى للإقلال الخاطي حول الحلقات الفردية.

وهذا موضح فى الشكل الخاص بالحلقات الأربع فى الشمال الغربى من الشكل. الفروق فى المجال المغناطيسى المقاس يتم تعيينها من شرائط التسجيل لكل جانب من المستطيلات. إذا لم توجد إزاحة أو تغير يومي فإن الفروق سوف تكون صفرا حول الحلقة، الأقفال الخاطي الفعلى المكتوب داخل المستطيل تخرن فى الحاسب الآلى والضبط الخاص بها الذى يحدد بالمربعات الصغرى، يوزع بانتظام على مسار الطيران كله. وهناك عدة أساليب حسابية لعمل هذه التصحيحات منها طريقة جيبسون 1941 Gebson. هذه الطريقة لاتصحح الأخطاء التى تسببها التغيرات اليومية التى تحدث عند اجتياز الطيران نقط الربط* ويمكن التنبؤ بهذا الخطأ عن طريق الربط بين خط الربط وسرعة الطائرة.

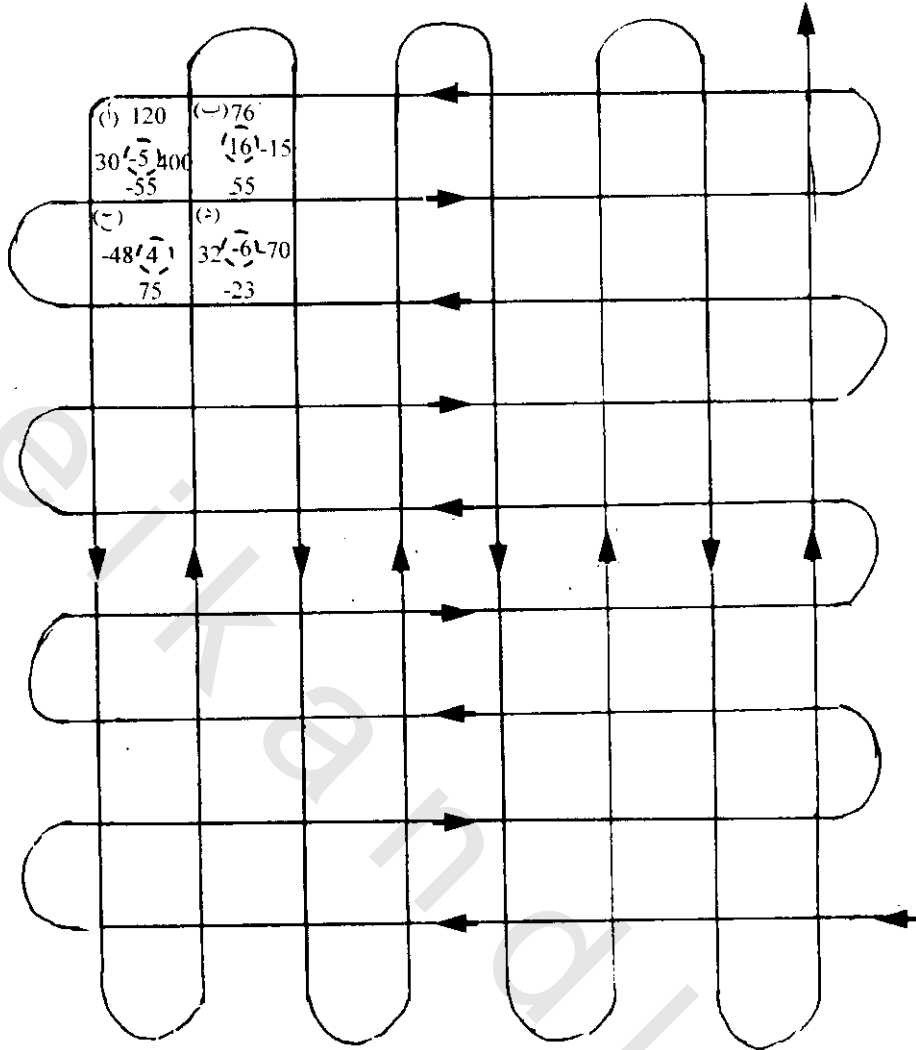
لمعظم العميات يوجد جهاز قياس مغناطيسية أرضى للتسجيل المستمر فى محطة قاعدة بالقرب من منطقة المساحة لمراقبة التغيرات المغناطيسية الأرضية المحيطة. وهذه المحطة يمكن استعمالها للتصحيحات اليومية، والوظيفة الأخرى لهذا الجهاز هى مراقبة العواصف المغناطيسية، عندما تبدأ هذه العاصفة فإن التسجيل من الجو

* يتم القياس مرتين عند نقط الربط (التقاطع) ويجب أن تكون القياسات متساوية فإذا لم تكن متساوية كان ذلك نتيجة للتغير اليومي فى المغناطيسية الأرضية.

يتوقف حتى تعود الأحوال إلى حالتها الطبيعية. وعندما يتطلب الأمر دقة عالية، فإن المراقبة الأرضية تستعمل للتأكد من أن معدل التغير اليومي هو معدل خطي أثناء الطيران، حتى يمكن توزيع الفروق حول الإطارات بدون خطأ كبير. إذا زاد الحيود من الخطية عن المواصفات فإن المساحة ربما يكون من الواجب إعادتها.



شكل (4-41): مقارنة الصور المغناطيسية التي تم الحصول عليها فوق منطقة الكريثور ماتاجامي في كويك بكندا بمسافات: (أ) 200 ميل أعطت شكلاً أفقياً عالياً لـ 200 جاما في اتجاه عكسي من الغرب، (ب) 0 ميل أظهرت شاذة مرتفعة وكانت هذه الشاذة مسنولة عن أكبر اكتشاف الكبريتورات في كندا



شكل (4-42): نموذج طيران قياس لإلغاء التغير اليومي والأخطاء الأخرى، الأرقام حول المستطيلات فى اليسار الأعلى (أ، ب، ج، د) تبين طريقة ضبط الأخطاء، الأرقام الموجودة فى الجوانب هى الفروق بالجاما للمجال الكلى بين الأركان المتجاورة. الأرقام فى الوسط تبين الأفعال الخطأ حول كل حلقة فمثلا فى المستطيل (أ) بالجمع الجبرى $-30+120=100-55$.

وفى المستطيل، (ب) بالجمع الجبرى $16=100+76-15+55$

وفى المستطيل، (ج) بالجمع الجبرى $4=48-55+32+75$

وفى المستطيل، (د) بالجمع الجبرى $-6=32+55-70-23$ ويتم ضبط القيم عند الأركان بالمربعات الصغرى للإقلال من الأفعال الخاطى

3.5.4 المسح المغناطيسى البحرى : Oceanic Magnetic Survey

تتم هذه المساحة فى المياه الإقليمية أو أعالي البحار* وذلك بوضع رأس الجهاز** فى صندوق صغير بواسطة كابل خلف السفينة وطول هذا الكابل يعتمد على حجم السفينة فهى تتراوح ما بين 30 متر، 300 متر، أى تحسب المسافة التى ينعدم عندها تأثير جسم السفينة مغناطيسيا. ويحمل الكابل على عوامات حتى لا يتدلى فى

* يتم هذا المسح تقريبا بنفس الطريقة التى يتم بها المسح المغناطيسى الجوى.
** يستخدم مقياس الشدة المغناطيسية البيروتونى فاربان (Varian) المصمم للسحب بالسفن.

الماء ويقطع بأى عوانق تحت سطح الماء. وتسجل القياسات بأجهزة الكترونية على السفينة نفسها. وقد يقاس أيضا معدل التغير الأفقى Horizontal gradient بواسطة رأسين يجران خلف بعضهما ويمكن قياس معدل التغير الرأسى vertical grad عن طريق تركيب عمود طويل فوق جسم السفينة يحمل رأسين أحدهما يعلو الآخر وعادة ما تكون السفينة مصنوعة من مواد قليلة أو منعدمة التمغنط.

وعادة ما يصاحب القياس فى السفينة إجراء قياسات سيزمية فى البحر أو قياسات جاذبية وغالبا ما تتحكم القياسات السيزمية فى مسار السفينة وشكل البروفيل المقاس. أما إذا كان الغرض الرئيسى من الرحلة هو إجراء القياسات المغناطيسية ففي هذه الحالة لا تختلف المساحة المغناطيسية فى البحر عنها فى الجو.

الفصل الخامس

طرق المغناطيسية القديمة (باليومجنيتيك)

Paleomagnetic Methods

1.5 مقدمة Introduction:

تهتم المغناطيسية القديمة (باليومجنيتيك paleomagnetic) بدراسة المتبقيات الطبيعية للمغناطيسية Natural Remanent Magnetization (NRM) للصخور لكي تقدم معلومات ملائمة حول المجال المغناطيسي الأرضي في الأزمنة الجيولوجية. ونتائج الدراسات الحديثة في هذا المجال من علم الجيوفيزياء أمدنا بمعرفة كبيرة حول تاريخ المجال المغناطيسي بما فيه انعكاس أقطابه. وقد قدمت تطبيقات المغناطيسية القديمة (باليومجنيتيك paleomagnetic) دلائل كمية عن نظريات هامة مثل إزاحة القارات (continental drift) تباعد قاع المحيطات (sea-floor spreading) وحركة الألواح (plate tectonics). وحديثا استخدمت المغناطيسية القديمة (باليومجنيتيك paleomagnetic) بكثرة كأداة لدراسة تركيب ومقارنة للمشاكل الجيولوجية المحلية.

2.5 المغناطيسية المتبقية في المعادن والصخور: Remanent Magnetization in Minerals and Rocks

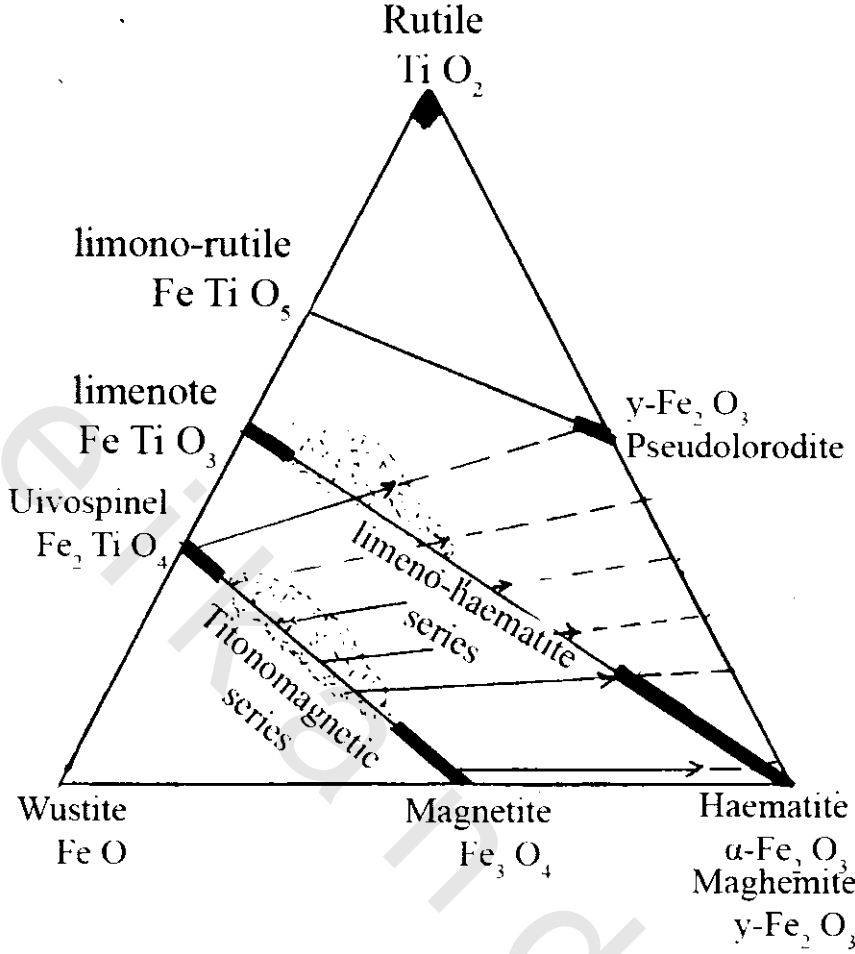
من بين الخواص الهامة للفيرومجنيتيك ferromagnetic في دراسات المغناطيسية القديمة (باليومجنيتيك paleomagnetic) هي المغناطيسية المتبقية (remanent magnetization) I_r ، والجبرية H_c (coercivity).

1.2.5 مغناطيسية المعادن Magnetic Mineralogy:

عملية، جميع المكونات التي تعطى مغناطيسية عالية للصخور تكون معادن حديدية أو محتوية على إضافات معادن حديدية هذه المعادن تنقسم إلى مجموعتين في الكيمياء الأرضية (جيوكيمياء Geochemical).

1.1.2.5 مجموعة حديد Iron - تيتانيوم Tetanium - أوكسجين Oxygen:

من الأفضل، تمثيل خواص هذه المجموعة الكيميائية والمغناطيسية في نظام ثلاثي (FeO-Fe₂O₃-TiO₂) كما في شكل (1-5).



شكل (1-5): شكل هندسي ثلاثي لتركيبات أكاسيد حديد تيتانيوم شائعة يوضح سلسلة محلول صلب (الخطوط الثقيلة). وتوضح اتجاه زيادة الأكسدة مع نسبة ثبات Fe/Ti

فى هذا الشكل الخط المستقيم الواصل بين Fe_2O_3 و $FeTiO_3$ والخط المستقيم الواصل بين Fe_3O_4 و Fe_2TiO_4 يمثلان أهم سلسلة صلبة-محلول مشاركة غالبية للمعادين المغناطيسية فى الصخور. هذه المجموعة، مسيبا، تدل كمجموعة α , β .

أعضاء مجموعة α تتراوح فى التركيب من هيماتيت ($\alpha-Fe_2O_3$) إلى المنيث ($FeTiO_3$) وتركيبها رومبوهدرال Rhombohedral. يكون تمغنط الهيماتيت عكسفير ومجنيتيك Antiferromagnetic مع تلاحم احتوائى من الفير ومجنيتيك ferromagnetic بينما يتميز الإلمنيث بأنه عكسفير ومجنيتيك. تكون المغناطيسية الذاتية (J) spontaneous magnetization للهيماتيت والألمنيث تكون ضعيفة جدا بالمقارنة بالمجنيتيت. ويمكن التعبير عن التركيب الكيميائى لسلسلة صلب-محلول كـ $(1-X)Fe_2O_3$, $(X)FeTiO_3$. وتتغير درجة كورى (نيل Neel) غالبا خطيا مع زيادة X من 675° درجة مئوية لـ $\alpha-Fe_2O_3$ إلى 215° درجة مئوية لـ $FeTiO_3$. وتكون الخواص المغناطيسية لمحلول الصلب معقد وحساس للمعالجة الحرارية، والتي تسبب إنعكاس ذاتى للمغناطيسية شكل (10-5).

أهم نقطة حول الهيماتيت هى التى لها قوة قهرية coercive force كبيرة ($H_c > 10^5 A/m$). لهذا السبب، برغم ضعفه المغناطيسى، يعتبر هام فى الباليومجنيتيك.

أعضاء سلسلة β تتراوح في التركيب من ماجنتيت Fe_3O_4 magnetite إلى يلفوسبيند $(\text{Fe}_2\text{TiO}_4)$ Ulvospind كلاهما يتكون من تركيب مغزلي عكسي ويشكل صلب سائل تماما عند درجات الحرارة العالية (لها درجة حرارة كورى تبلغ 580° درجة). وتكون القوة القهرية، H_C ، للحبيبات الكبيرة للماجنتيت منخفضة ($\sim 10^3 \text{ A/m}$) يكون لها استقرار مغناطيسى فى جزيئات الحجوم الدقيقة، لذلك يعتبر الماجنتيت أهم حامل للاستبقائية المستقرة. تقل درجة حرارة كورى T_C والمغناطيسية الذاتية خطيا كلما يتحرك التركيب من مذهب نقى إلى يلفوسبيند. ويمكن حدوث إحلال للكميات المعتبرة لأيونات التكافؤ المزدوج أو التكافؤ الثلاثى فى التركيب المغزلي. توجد سلسلة لها تصور شبه مستقر من أكسيد حديد-تيتانوم بتركيب مغزلي ما بين سلاسل α ، β ، ونهاية عضو هذه السلسلة هو ماجهيميت $(\gamma\text{-Fe}_2\text{O}_3)$ (Maghemite). يكون الماجهيميت النقى غير مستقر عند درجة حرارة فوق 300° بينما يتحول فى اتجاه واحد لليهماتيت، وربما تساعد بعض الشوائب لاستقرار تركيبه، ويوجد الماجهيميت فى كثير من أنواع الصخور المختلفة. يتكون الماجهيميت عادة فى الحمم المتدفقة عند درجات حرارة منخفضة 200° - 300° خلال عملية التبريد وذلك عندما تتفاعل السوائل المتبقية مع الماجنتيت، والذي يتأكسد لبعض امتداده بعد تكوينه عند درجات الحرارة العالية. أيضا يمكن أن يتكون فى بيئات رسوبية بواسطة تأكسد درجات الحرارة المنخفضة لأجزاء صغيرة من الماجنتيت فى وجود رطوبة. ظاهرا، يمكن أن يوجد غالبا تركيبات متوسطة والتي تسمى تيتانوماجهيميت (titanomaghemites).

مجموعة (حديد-كبريت) The Iron-Sulfur Group:

أكثر المعادن أهمية فى هذه المجموعة معدن بيرهوتيت (pyrrhotite) (FeS_{1-x}) ، $0 < x < 0.15$ ، وهو معدن فيرمجنتيك والذي يوجد أساسا فى الصخور الطبيعية. التركيب القياسى للفيرمجنيتك بيرهوتيت هو Fe_7S_8 وله نقطة كورى حوالى 320° ، أيضا تكون الخواص المغناطيسية معقدة وسريعة التأثير للتركيب والمعالجة الحرارية، عندما تكون $X > 0.1$ يكون المعدن عكسفير ومجنيتك، وعندما تكون $X = 1$ يكون المعدن بيريت Pyrite، والذي يكون تركيبه مكعبى وبارامجنيتك.

مجموعة المعادن التى تشير إلى أكسيدات هيدروس حديد (hydrous iron oxides) عادة تسمى ليمونيت (limonites) وتوجد عادة فى الصخور المتحولة. الجيوثيت (Goethite) $(\alpha\text{-FeOOH})$ هو أوكسيهيدروكسيد (oxyhydroxide) تبعا لليهماتيت بينما ليبيدوكروسييت (lepidocrocite) $(\gamma\text{-FeOOH})$ يكون أوكسيهيدروكسيد تبعا للماجهيميت. هذه المعادن غير مستقرة حراريا ولذلك لها أهمية محدودة منفردة. يحدث الجيوثيت عامة فى أجسام خامات الحديد، ومشارك مع هيماتيت ومجنيتيت فى الصخور المتجوية. عندما يسخن فوق 120° ويبرد فى المجال المحيط، فإنه يكتسب متبقيات مستقرة بخواص مشابهة لمثل خواص الهيماتيت.

2.2.5 إكتساب انواع مختلفة من المتبقيات الطبيعية للمغناطيسية بواسطة الصخور

Acquisition of Various Types of Natural Remanent and Magnetization (NRM) by Rocks:

تم عمل تقدم مهم خلال عشرات السنين الماضية فى تفسير العمليات المختلفة بواسطة المتبقيات الطبيعية للمغناطيسية (NRM) المكتسبة بواسطة الصخور وأغلب أهمية التفسير الجيوفيزيائى يكون كالآتى:

1.2.2.5 متبقيات مغناطيسية الأيزوثرمال متساوى الحرارة

Isothermal Remanent Magnetization (IRM):

متبقيات مغناطيسية الأيزوثرمات هي متبقيات مكتسبة بواسطة صخور عند درجات حرارة ثابتة. وعندما يطبق مجال خارجي لفترة زمنية قصيرة ويزال بعد ذلك كالتى تعطى أثناء ظهور حلقة التخلف المغناطيسي (شكل 4-5)، فإن هذه الخاصية تهمل إهمالا شديدا في المجالات المغناطيسية الضعيفة مثل المجال الأرضي. لذا تكون (IRM) هامة فقط في منكشف الصخور التي تظهر محليا، وشدة المجالات التي تنتج من خبطات خفيفة. حيث أن التأثير المغناطيسي الناتج بواسطة الخبطات الخفيفة يكون محلي جدا، ونتيجة لعدم انتظامية في شدة (IRM) الكبيرة لذلك من السهل إهماله.

2.2.2.5 متبقيات مغناطيسية لزجة (VRM) Viscous Remanet Magnetization

هذه المتبقيات تنتج من تجمع مغناطيسية ثانوية مكتسبة بواسطة صخور تعرضت طويلا لمجال محيط مشابه للمجال الأرضي. لذلك، عامة تكون زيادة (VRM) لوغارتمية مع الزمن وتزداد صلابة (VRM) عبر مرورها بالآزمنة الجيولوجية. اعتباريا، تكون علاقة مغناطيسية "الزوجة" الصخور، VRM المكتسبة عكسية مع اجبارية عدد الحبيبات المغناطيسية الموجودة. وقد أوضحت التجارب العملية أن VRM المكتسبة بواسطة الصخور النارية والرسوبية خلال 4-6 أسابيع تعتبر سلسلة في المجال الأرضي. جميع الصخور، التالية لتكوينها، والتي تعرضت للمجال المغناطيسي الأرضي لامتداد زمني كبير، عادة ما تملك بعض (VRM) بالإضافة لـ NRM الأولى المكتسبة منذ زمن تكوينها.

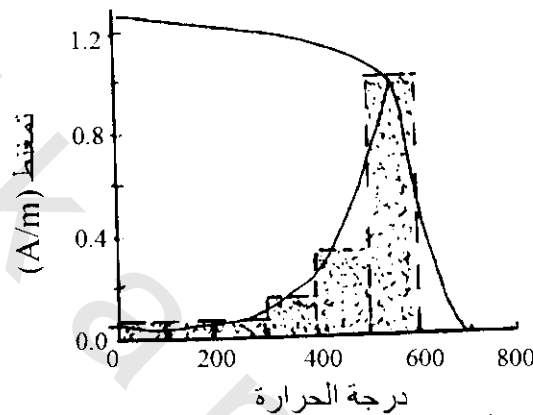
3.2.2.5 متبقيات مغناطيسية الحرارة (TRM) Thermoremanent Magnetization

تكتسب TRM بواسطة الصخور أثناء برودتها من درجة حرارة كوري (Curie) إلى درجة حرارة الجو العادية في وجود مجال مغناطيسي. نسبيا، هذا أهم تفسير ميكانيكي لقوة واستقرار NRM لكثير من الصخور النارية. عادة تكتسب أغلب TRM في فترات حرارة ما بين 100°-150° أسفل نقطة كوري (T_C). عندما تكون درجات الصخور قريبة من نقطة كوري فإن المغناطيسية المكتسبة تتناسب مع المجال المحيط، H_a ، وبالمثل فإن المغناطيسية الحثية \hat{I} Induction magnetization تختفي إذا أزيل المجال المحيط. ربما، عندما تبرد الصخور أسفل T_C في وجود المجال المحيط فإن مغناطيسيتها تصبح مستقرة عند درجات الحصر (blocking temperatures T_B) الواضحة، والتي تعتمد على تكوين وحجم الحبيبات المغناطيسية الموجودة. بعد ذلك بزيادة التبريد فإن المغناطيسية تستقر ولا يؤثر فيها أى تغير تابع في المجال المغناطيسي المحيط، أى تتجمد \hat{I} frozen in المغناطيسية بواسطة التبريد من درجات الحرارة العالية. وكقاعدة عامة، فإن ارتفاع T_B (الحرارة الحصرية) تكون الإستقرار الأكبر لـ TRM. في أغلب الصخور توازي TRM المجال المحيط (H_a) وبالنسبة للمجالات منخفضة الشدة فإنها تتناسب مع H_a .

TRM لها خاصية هامة هي أن TRM الكلية تنتج بواسطة تبريد (شكل 5-2) من T_C إلى درجة حرارة الحجرة T_0 نتيجة لمجموع جميع أجزاء تمغنط حراري جزئي partial thermoremanent magnetization

(PTRM) المكتسب في فترات T_0-T_1 ، T_2-T_1 ، T_0-T_1 عكسياً، بإعادة التسخين لدرجة حرارة $T_0 > T_1$ ثم يتبع تبريد في مجال صفر، ينهدم نقط جزء من TRM الأصلي والتي اكتسب تحت درجة حرارة T_1 . توجد هذه الخاصية المميزة لـ PTRM عند التطبيق في خرف جاف وكثير من (وليست الكل) الحمم. يمكن إستخدام الشدة القديمة في المجالات الملائمة للمجال الأرضي والذي ينتج أصل NRM.

في المجالات الضعيفة فإن TRM أكثر شدة واستقرار من IRM، VRM المكتسبة في نفس المجال. يسمح هذا الإستقرار لـ TRM بفصل التمغنط الثاني (التالي) (مثل VRM) المكتسب مؤخراً في حالات كثيرة (وليست الكل) من أصل TRM. يتناسب استقرار TRM تقريباً مع الإضطراب وعادة تقل مع زيادة حجم الحبيبات.



شكل (2-5): إكتساب تمغنط حراري جزئي (PTRM) في فترات درجات حرارة مختلفة بمجموع (PTRM) المفرد يعطى منحنى (TRM).

4.2.2.5 متبقيات مغناطيسية الترسيب أو الفتات

Depositional or Detrital Remanent Magnetization (DRM):

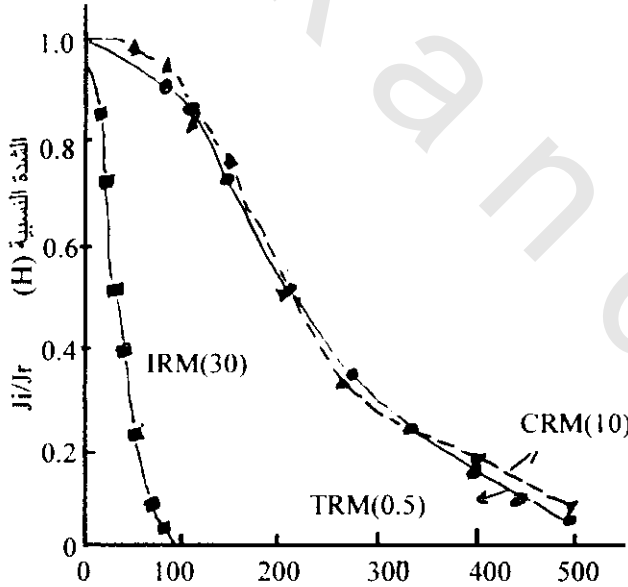
ربما تصبح حبيبات المعادن المغناطيسية التي تحمل المتبقيات مثل (TRM) المكتسبة أولاً (مبكراً) موجه بواسطة المجال الأرضي عندما تستقر في ماء هادئ (مستقر) وتصبح مطمورة في الرسوبيات تعطى بعد ذلك رسوبيات متماسكة لترسيب أو فتات متبقيات المغناطيسية، من أحسن الأمثلة لذلك الطين الموسمي. أوضحت الدراسات المعدنية أن الماجنتيت magnetite في حجم جزيئات فقط لقليل من الميكرونات أهم المواد المغناطيسية في الموسميات.

برغم أن DRM تسود عامة بواسطة حبيبات مجنتيت دقيقة، فبعض الدراسات أوضحت أن مغناطيسية الرسوبيات في بعض الحالات ترجع إلى حبيبات الهيماتيت السوداء. وفي حالات كثيرة فإن مغناطيسية الرسوبيات لا تكون مفتتة ولكن ذات أصل كيميائي ناتجة أثناء التحولات الكيميائية في عمليات التماسك. لذلك فإن دراسة DRM محصورة للرسوبيات الحديثة والتي لم تعاني أي تحول كيميائي.

5.2.2.5 متبقيات المغناطيسية البلورية أو الكيميائية

Crystallization or Chemical Remanent Magnetization (CRM):

تكتسب (CRM) أثناء التكون النووي والنمو أو إعادة تبلور لحبيبات مغناطيسية دقيقة بواسطة تفاعلات كيميائية معينة (عند درجات حرارة بعيدة أسفل نقطتها الكورية) في أي مجال محيط. وتظهر ميكانيكية هذه العمليات أن (CRM) تشبه كثيرا العمليات التي تنتج TRM من جزيئات فردية سائدة. ويوضح شكل (3-5) استقرار CRM بالنسبة لدرجة حرارة إزالة المغناطيسية أو إلى مجال إزالة مغناطيسية متردد مشابه جدا لمثل TRM، وذلك رغم أن الشدة لا تكون كبيرة. يبدو أن معظم الصخور الرسوبية والمتحولة تملك في الطبيعة CRM. ربما تكون بعض المغناطيسية المتبقية للصخور الرسوبية الحمراء قبل الترسيب CRM والمكتسبة بواسطة نزع الماء وإعادة التبلور من الجوثيت للهيماتيت أو من ليدوكرووسيت Lopidocrocite إلى الجوثيت. حتى في الصخور النارية فإن معادن أكسيدات الحديد ربما تتعرض للإنتقال من شكل لآخر أثناء خروج المحاليل ببطء أو عمليات درجات الأكسدة البطيئة وعندئذ تكتسب CRM. والعمليّة يمكن أن تنتج العمليّة العكسية (الإختزال) مغناطيسية كيميائية متبقية مستقرة مثل تحول الهيماتيت إلى مجنيتيت شكل (3-5).



شكل (3-5): منحنيات مجال إزالة مغناطيسية متردد لأنواع مختلفة من متبقيات تمغنط في عينات مجنيتيت اكتشفت

6.2.2.5 متبقيات المغناطيسية الإجهادية (PRM) Prezoremanent Magnetization (PRM)

(PRM) مغناطيسية متبقية إضافية تكتسب بواسطة تطبيق وإطلاق ميكانيكية الإجهاد في المجال المحيط عند درجة حرارة ثابتة. ربما تقل هذه المغناطيسية أيضا قبل وجود المتبقيات بواسطة ضغط أحادي المحور في اتجاه المغناطيسية في نفس طريق القابلية المغناطيسية. تكتسب حديثا دراسة PRM وعلاقة الظاهرة الطبيعية المغناطيسية الدقيقة (مجنيتوستركشن Magnetostriktion)) تعريفا خاصا، حيث يصاحب تأثير الإجهاد الحرج للصخور قبل حدوث الزلزال بعدة دقائق، ولكن قياسيا، فإن شادات السيزمومجنيتيك (seismomagnetic) ذات جامات قليلة، ربما تعطى هذه التأثيرات دلالة على قرب حدوث زلزال. وحديثا، وضعت مغنوطومترات حساسة جدا على طول فالتق سان أندريز San Andreas لإختيار تأثير السيزمومجنيتيك على حركة مستوى الفالق.

3.5 تكنولوجيا المغناطيسية القديمة :Techniques of Paleomagnetism

حقيقة القواعد الأساسية للمغناطيسية القديمة هي إستقرار NRM لوحدة صخرية غير مضطربة تكتونيا وتعطى تسجيل حقيقى للمجال المغناطيسى الأرضى (F_{anc}) القديم السائد عند زمن تكوين الصخر. ويعبر عن الفروض الأساسية بأن $F_{anc} \propto J_r$ و F_{anc}/J_r ولبعض تطبيقات التعاريف على مقياس عالمي، إتخذ افتراض إضافي بأن F_{anc} تتوافق مع محور ثنائي قطبي مركز الأرض. يعدل الإستخدام الأخير لمحور ثنائي قطبي المغناطيسية الأرضية تبعاً للمحور الجغرافي الأرضي.

1.3.5 عينات المغناطيسية القديمة وقياسها: Paleomagnetic Sampling and Measurements

معظم الصخور المستخدمة لدراسة المغناطيسية القديمة تكون إما لصخور نارية أو صخور رسوبية. يكون المتطلب الأول جمع مجموعة من العينات، محددة الإتجاهات في الفراغ، من وحدات الصخور المراد دراستها. ربما تؤثر NRM لصخور المكاشف، خاصة في مساحات مخارج الصخور القاعدية (أو تداخلها) على قراءة البوصلة المغناطيسية، ولذلك تستخدم البوصلة الشمسية بدلاً منها. من الواضح أن تكوينات الصخور تتجه للتحطم، كما في الطبقات المائلة، لذلك يستدل على المستوى الأفقي الأصلي بواسطة التطابق أما بالنسبة للتتابع الطبقي (مثل الطبقات الرسوبية، إنسياب الحجم). فعادة تؤخذ العينات من قطاع رأسي اعتباري تبعاً لبضعة آلاف من السنين الزمنية. لذلك عند قياس NRM للعينات تكون متوسطة، ويكون تأثير التغير الزهري في F_{anc} صغير جداً.

من كل عينة جمعت، يقطع عدد من العينات في صورة مكعبات أو تؤخذ محفورة في صورة إسطوانات. ولقياس NRM للعينات فإن ثلاثة أنواع من الأجهزة (ملانمة كوحدات تجارية) سائدة الإستخدام، المجنيتومتر الإستاتيكي المجنيتومتر المغزلي، ومجنيتومتر فائق التوصيل.

1.1.3.5 المجنيتومتر الإستاتيكي Static Magnetometer

من أوائل الأجهزة التي استخدمت في قياس NRM. يتكون من زوج مغناطيسي صغير متساوي ومتضاد العزم معلق على خيط التوائي. إذا وضعت العينة من المغناطيس السفلي فإن نظام المغناطيس ينحرف إستجابة للمجال الأفقي المنتج بواسطة العينة أسفل المغناطيس. ويكون إنحراف المجموعة علاقة للمسافة، الإتجاه، وشدة مغناطيسية العينة. تجرى القياسات بوضع العينة في إتجاهات مختلفة وعادة تأخذ من 10-20 دقيقة لتحديد إتجاه المغناطيسية المتبقية. لقياسات جيدة ($10^{-10} \text{ A/M} \leq \text{NRM}$)، وغالباً ما تصبح مشكلة بيئة الشوشرة حرجة للقياس، لذلك يكون مبنى المعمل بعيداً عن أى تأثير ميكانيكي أو مروري شكل (4-5 أ).

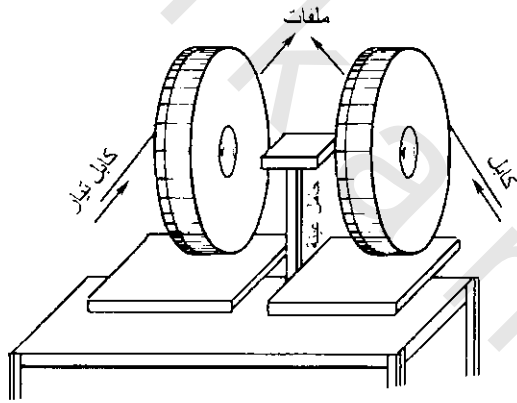
2.1.3.5 المجنيتومتر المغزلي Simple Magnetometer

من أهم الأجهزة الملانمة لقياس NRM لعينات الصخور سريعاً. تدور العينة النموذجية (عادة إسطوانية $2.2 \text{ cm} \times 2.5 \text{ cm}$) بالقرب من مركز ملف شاحن صغير لذلك ينتج جهد عند تردد الدوران. وتتناسب سعة الإشارة الناتجة مع مركبة المغناطيسية المتبقية والتي تتعتمد على محور الدوران. ولتحديد إتجاه المغناطيسية

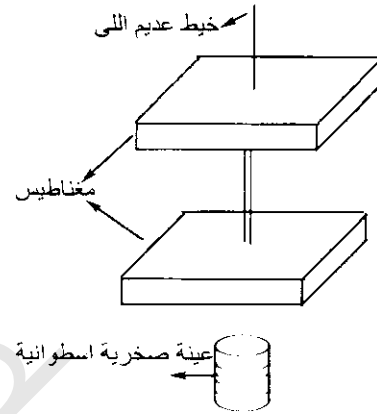
عادة تدار العينة حول الثلاثة محاور العمودية لها. وتستخدم واحدة من الوحدات التجارية حلقة فتحة تدفق نظام شاحن صغير وتكون متصلة بكمبيوتر صغير والذي يعدل خروج الإشارة من عدد كبير من اللف (الدوار). يمكن استخدام القياسات على المجنيتومترات المغزلية للعمل خلال 15 دقيقة لشدة متبقيات أقل من $A/M/O^{-4}$ لعينة ذات حجم نموذجي شكل (4-5 ب).

3.1.3.5 مجنيتوميتر فائق التوصيل (Superconducting Magnetometer (SQUID Magnetometer):

يستخدم لقياس NRM لصخور مغناطيسيتها ضعيفة (غالبا رسوبية) حيث أنه أسرع وأكثر حساسية من النوعين السابقين. في هذا الجهاز، تدخل العينة الصخرية إلى ملف محفوظ عند درجة حرارة (سائل الهليوم). وتنتج هذه العملية تيار دائم في الملف، وتعتمد قيمته على مركبة المغناطيسية على طول محور الملف. ولا يعتمد إنسياب التيار على المعدل عند دخول العينة التي تقاس بواسطة جهاز حس (SQUID). ويمكن قياس الثلاث



شكل (4-5 ب) مغناطومتر مغزلي

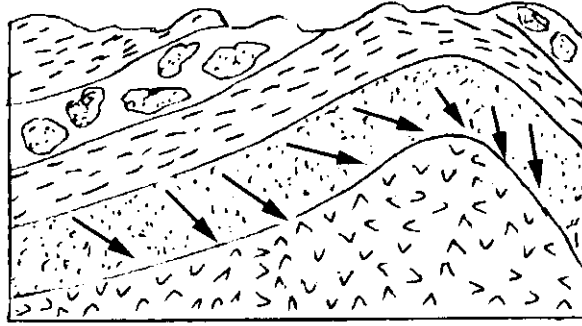


شكل (4-5 أ) مغناطومتر استاتيكي

مركبات للمغناطيسية القديمة (J_{rz} , J_{ry} , J_{rx}) لحظيا في نفس الوقت بواسطة ثلاثة أجهزة حس (SQUID) متبادلة عموديا نهائيا. تحاط ثلاثة دروع فائقة التوصيل بأجهزة حس (SQUID) لنقل المجال الخارجى إلى نانوتسلا nT قليلة. وقد أحدثت الحساسية العالية ($\sim 10^{-5} A/M$) وسرعة الزمن المطلوب لمجنيتوميتر SQUID ثورة في قياس المغناطيسية المتبقية الضعيفة.

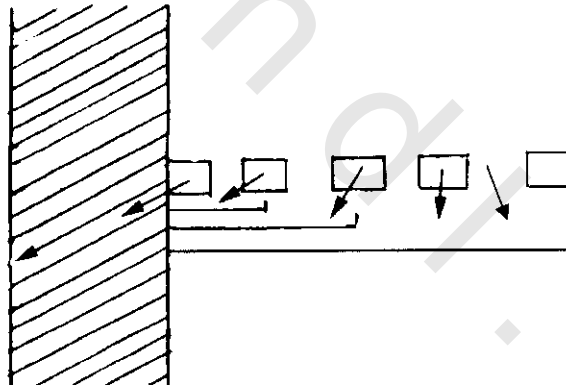
2.3.5 اختبارات حقلية الإستقرار :Field Tests of Stability

طبقت عدة اختبارات جيولوجية لتحديد إستقرار NRM، وأهم هذه التطبيقات هي اختبار الطي (Fold test) والتماس التخميص (baked contact) ويوضح شكل (5-5) أساس اختبار الطي. إذا كانت اتجاهات NRM في طبقة الطين، أخذت عينات من أماكن مختلفة، تختلف عن بعضها، ولكن توافقت بعد تطبيق تصحيح الميل. فإن NRM تؤرخ بتاريخ سابق التوزيع التكتوني وتبقى مستقرة منذ ذلك الزمن.



شكل (5-5): اختبار طى (جراهام 1949) إذا أصبحت اتجاهات التـمغنط القديم (الأسهم) متساوية بعد تطبيق تصحيحات الميل ، فإن التـمغنط القديم يكون قبل التوزيع التكتونى

يتم اختبار التماس اليابس على إستخدام حقيقة أنه أثناء تداخل صهير الصخور النارية فى الصخور المضيفة فإن الأخيرة تسخن وعند التبريد تكتسب NRM (افتراض TRM) فى نفس المجال المغناطيسى الذى فيه تصبح الصخور المتداخلة ممغنطة مع التبريد (شكل 5-6) وحيث أن الصخور النارية أو المحمصـة والصخور القارية المحمصـة تكون عامة مختلفة المعادن، فإنها تتفق فيما بين اتجاهات NRM لها، ولاتتفق مع اتجاهات NRM للصخور غير المحمصـة مؤدية دلالة جيدة لاستقرار المغناطيسية لكلا من صخور التداخل والصخور المحمصـة منذ زمن التبريد. ربما لا يتم اكتشاف أى تداخل أو إعادة تمغنط أقليمى بسبب تسخين عام، وأن عميق أو نشاط صخور نارية متسع بواسطة هذا الإختبار.



شكل (5-6): شكل تخطيطى يوضح نطاقات من التـمغنط بعد برودة الصخور النارية والصخور المجاورة المحمصـة (ولسون R.L. Wilson 1966)

3.3.5 طرق المغنطة والإزالة الحرارية: Magnetic and Thermal Cleaning Methods

قبل تفسير قياس NRM للصخور فى أزمنة اتجاه الميل القديم، يجب بعناية إزالة متبقيات المغناطيسية للزجة (VRM) أو تمغنط ثانوى آخر واللذان يتبادلان التركيب على المتبقيات الأولى. هذا التـمغنط الثانوى عادة (وليس دائماً) يكون رخوا (أو هشاً) بالمقارنة لـ TRM أو CRM الأولى وفى الحالات الملائمة يمكن هدم المركبات الرخوة بواسطة إزالة التـمغنط جزئياً، بينما يبقى قياس جزئى للمركبة الصلدة. عامة، تستخدم طريقتين فى معامل المغناطيسية القديمة.

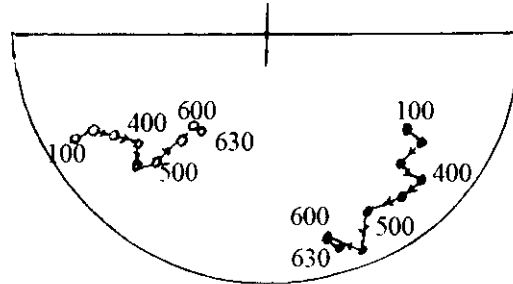
1.3.3.5 طريقة إزالة المغناطيسية في مجال متردد

In the Alternating Field (a.f.) Demagnetization Method:

تعرض العينة الصخرية إلى مجال متردد والذي يقل ببطء متساوي إلى الصفر من شدة قمة مختارة تعتمد على قوة قهرية (H_c) لمركبات هدمت. أساسا، يزال المجال الأرضي عبر العينة، وحيث أن المجال المتردد له شكل موجة خاصة فربما تكتسب العينة عكسيا متبقيات مغناطيسية للتخلف المغناطيسي (ARM) anhyseretic remanent magnetization أو تختفى متبقيات NRM. وعادة تقلب العينة عند مركز ملف إنتاج المجال المتردد لذلك تنتظم جميع الاتجاهات خلال العينة بنجاح مع المجال على طول المحور. ويشير نظام مجال إزالة المغناطيسية المتردد إلى زيادة الشوشرة عند بعض مجالات فوق 50 nT ($= 500 \text{ Oc.}$) بسبب تأثير إنتاجه بواسطة ARM ومصادر أخرى للاضطراب، ويعمل لبعض الصخور مجال دقيق عالي يصل إلى 150 mT ñ 100 mT. لذلك تكون الطريقة غير ملائمة لتكملة تحديد الغرض القهرى للعينات والتي فيها تحمل المتبقية بواسطة حبيبات الهيماتيت لقهر عالي. وعامة تطبق هذه الطريقة، غالبا لعينات حاملة مغناطيسية من الصخور النارية.

2.3.3.5 طريقة التسخين والتبريد بدرجة نمطية: Stepwise Heating and Cooling Method:

بهذه الطريقة يمكن إزالة مغناطيسية العينة الصخرية حراريا في مجال فراغ حر. يودى تسخين العينة إلى أن مغناطيسية الحبيبات تصبح عشوائية الاتجاه، معتمدة على درجة حرارة حصر مركبات المغناطيسية ولذلك يمكن تحديد طيف درجة حرارة الحصر للعينة بواسطة سلوك درجة حرارتها المغناطيسية، ويعزل استقرار مركبة NRM (التي ربما تكون TRM أو CRM) بواسطة تدمير المركبات الثانوية لثبات الإنخفاض النسبي الحرارى. يوجد خطر فى التحول الكيميائى أثناء إعادة التسخين، وهذا يعتبر عدم ميزة لتلك الطريقة. لذلك يجب قياس مجال القابلية المغناطيسية المنخفض قبل كل إعادة تسخين لضبط الثبات الكيميائى للمعادن المغناطيسية، حيث أن أى تغير فى القابلية المغناطيسية سوف يدل على التحول الكيميائى للمعادن. تقنية الإزالة الحرارية أكثر تطبيقا للصخور الحاملة للهيماتيت، والتي لها تمغنطات ثانوية والتي يكون من الصعب إزالتها بواسطة إزالة المجال المتردد (a.f.). ويوضح شكل (5-7) مثال للتغير فى اتجاه متجهات NRM فى عينيتين للحجر الرملى الحامل للهيماتيت. وهما يقاومان بشدة لإزالة المجال المتردد (a.f.) فى مجالات فوق 150 mT ($= 1500 \text{ oe}$) فى بعض الحالات، ربما يكون الغسل الحامضى للصخور أكثر نجاحا من المجال المتردد أو الإزالة الحرارية لعزل المتبقيات الأولية. ربما يكون للصخور التى تتعرض لحرارة معقدة وتواريخ كيميائية سلوك لانظامى خلال عملية الإزالة حيث لايمكن فصل المتبقيات الأولية خلال تحليل متبقيات مركباتها المغناطيسية.



شكل (5-7): تغيرات فى اتجاه NRM لعينتين حجر رملى نيكسو Nexo مع تقدم إزالة تمغنط حرارى يشاهد على شبكة قطبية متساوية المساحة. ويلاحظ أن الاتجاهات تصبح مستقرة بعد معالجة حرارية عند 600° (براسادوشارما Prasad and Sharma 1978).

3.3.3.5 Mean Directions, Poles, and Paleolatitudes: النطاقات القديمة، الأقطاب، الإتجاهات الأساسية،

عادة إزالة إتجاهات NRM لمجموعات عينات من عدة تجمعات مواقع، توضح إنتشارها، ويمكن تحديد متوسطهم بواسطة تجمع متجهي. يعين إتجاه لمتجه المتبقية عينة صخر بواسطة الإنحراف D_r (تقاس في إتجاه الساعة من الشمال الجغرافي) والميل I_r (يقاس موجبا لأسفل من الأفقى). ويمكن تحديد الناتج (متوسط) لـ N كإتجاهات بواسطة جمع إتجاهات جيوب تمام الزوايا (l, m, n) لمتجهات فردية لكل وحدة وزن. يعين الطول R واتجاه محصلة المتجه بواسطة إنحرافه D_r ، وميل I_r ويمكن الحصول عليه كالآتى:

$$l = \cos D_r \cos I_r \text{ \& } m = \sin D_r \cos I_r \text{ \& } n = \sin I_r \quad (5-1)$$

$$R^2 = (\sum l)^2 + (\sum m)^2 + (\sum n)^2 \quad (5-2)$$

$$\tan D_R = (\sum m)/(\sum l) \text{ \& } \sin I_R = (\sum n)/R \quad (5-3)$$

حيث Σ تشير إلى جمع عبر متجهات فردية N .

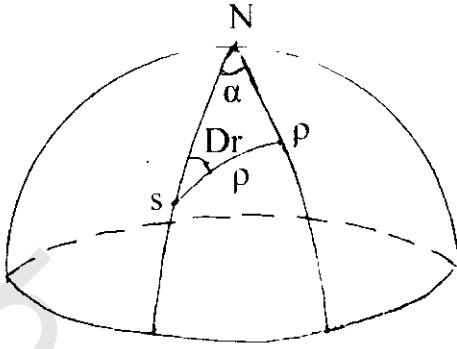
ومعاملى الدقة الأكثر شيوعا للاستخدام هما K ، α_{95} ، ويقاس المعامل K من الإنتشار العام لمتجهه N ، وقد أوضح فيشر 1953 Fisher أن أحسن تقدير لـ K هو

$$K = (N-1)/(N-R) \quad (5-4)$$

K تتراوح تقريبا من 1 لتوزيع عشوائى كامل للإتجاهات إلى مالانهاية لاتجاهات متطابقة، أيضا وضع فيشر Fisher أنه عند مستوى احتمال $(1-P)$ فإن متوسط الإتجاه الحقيقى لشيوعه إتجاهات N تقع خلال دائرة مخروطية والذي يكون محورها هو متوسط الإتجاه الملاحظ وزاويتها النصف رأسية تعطى كالآتى:

$$\cos \alpha_{(1-P)} = 1 - \frac{N-A}{R} \left[\left(\frac{1}{P} \right)^{1/(N-1)} - 1 \right] \quad (5-5)$$

فى معظم دراسات المغناطيسية القديمة فإن P تكون 0.05، لذلك يوجد 95% شيوعا، لمتوسط إتجاه حقيقى يقع خلال α_{95} درجة لمتوسط الإتجاه الملاحظ. عندئذ يمكن استخدام الإتجاه لـ NRM من مجموعة متماسكة (غير متناقضة) للاستدلال على مكان القطب المكافئ، على الغرض لمحور مجال ثنائى القضب. وهنا تشتق الصيغ الهامة لهذا التحول. وتشمل المشكلة الأساسية حل للمثلث الكروى NPS (شكل 5-8). الكميات المعروفة هى إتجاه متبقيات المجال (D_r, I_r) ، وخط العرض والطول الجغرافى لموقع العينة (λ, ϕ) . أما الإثنيين الغير معروفين المطلوب تحديدهما هما خطوط الطول والعرض للقطب القديم (λ', ϕ') فى نظام الاحداثيات الجغرافية الحاضر.



شكل (5-8): حساب مكان القطب القديم (P) من معرفة انحراف وميل NRM لعينات من موقع S شاملة حل للمثلث الكروي N - PPS تمثل القطب الجغرافي الحالي

تكون الخطوة الأولى تحديد زاوية الفصل (θ) للقطب P من الموقع S. ويمكن الحصول على هذا من الميل (I_r) من اتجاه الميل المقاس بواسطة العلاقة الآتية:

$$\tan I_r = 2 \tan \lambda = 2 \cot \theta \quad (0^\circ \leq \theta \leq 180^\circ) \quad (5-6)$$

ويمكن تعيين جوانب المثلث NPS (في عبارات لمسافة زاوية) حيث

$$SP = \theta, PN = (\pi/2 - \lambda'), NS = (\pi/2 - \lambda)$$

$$P, (D_r) = S, (\alpha =) N$$

وباستخدام العلاقة الجغرافية بين جوانب المثلث الكروي NPS نحصل على

$$\cos (\pi/2 - \lambda') = \cos \theta \cos (\pi/2 - \lambda) + \sin \theta \sin (\pi/2 - \lambda) \cos D_r$$

والتي يمكن كتابتها كالآتي:

$$\sin \lambda' = \cos \theta \sin \lambda + \sin \theta \cos \lambda \cos D_r \quad (5-7)$$

لحساب ϕ' ، تحدد α الأولى من العلاقة المعروفة من الهندسة الكروية

$$\begin{aligned} \sin \alpha / \sin \theta &= \sin D_r / \sin (\pi/2 - \lambda') \\ &= \sin D_r / \cos \lambda' \end{aligned} \quad (5-8)$$

لذلك يمكن تحديد λ' (-90° إلى $+90^\circ$) من المعادلة (7)، α (-90° إلى $+90^\circ$) من المعادلة (8)، ويوجد حلين لتحديد ϕ من α

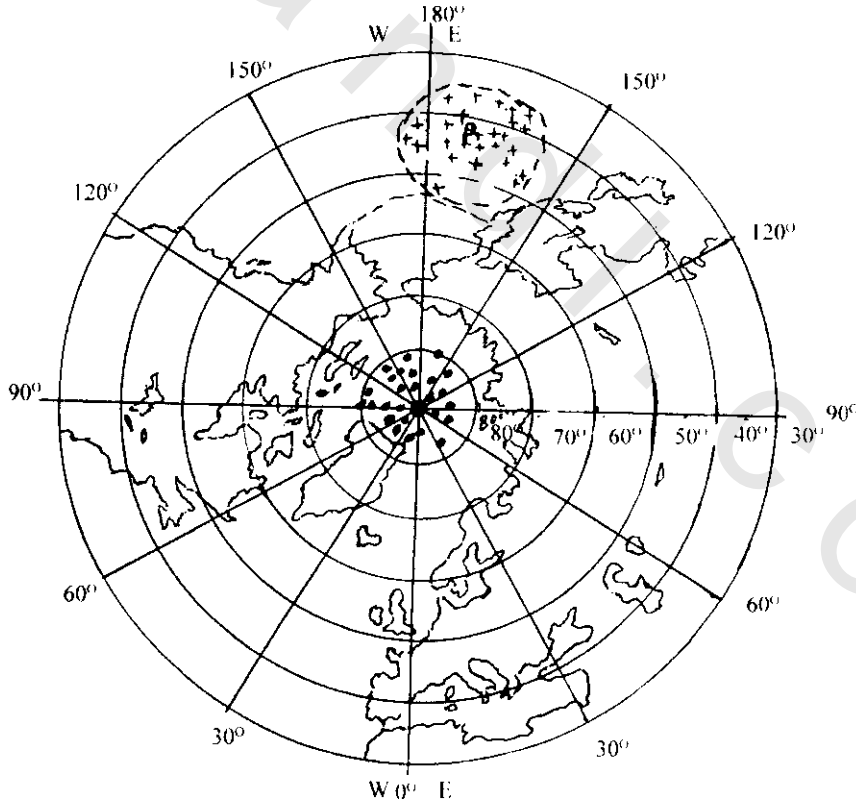
$$\left. \begin{aligned} \phi' &= \phi + \alpha \quad \text{عند } \cos \theta \geq \sin \lambda \sin \lambda' \\ \phi' &= \phi + 180 \quad \text{عند } \cos \theta < \sin \lambda \sin \lambda' \end{aligned} \right\} \quad (5-9)$$

حساب القطب من متوسط (معدل) اتجاه المغناطيسية القديمة (D_r, I_r) عبر فترات (10^4 - 10^6) كافية تماماً للسماح للمركبات غير المحورية للمجال الأرضي لتكون معدل الخرج لما يسمى قطب المغناطيسية القديمة. لذلك، فإن قطب المغناطيسية القديمة \approx القطب الجغرافي القديم. من هذا يتضح أن القطب المغناطيسي الحقيقي القديم (VGP) virtual geomagnetic pole يكون القطب المحسوب من نقطة (موقع) قراءة تجاه المجال (مثل،

التي تعطى بواسطة مجموعة من قياسات D_r ، J_r على انسياب حجمى فردى أو مجموعة من D من عرض مغناطيسى)، أما القول الجيولوجى، فإن VGP يمثل لحظة زمنية، تماما مثل ما تكون الأقطاب الجغرافية.

أماكن الأقطاب الجغرافية المحددة من صخور عصر البلايوسين Pliocene وعصر البلايستوسين Pleistocene يوضح فى شكل (5-9). مجموعة الأقطاب حول القطب الجغرافى (تاركة القطب المغناطيسى الحاضر، M أكثر بعدا) تدل بوضوح أن وجود المجال المغناطيسى على المعدل، له محور مجال ثنائى القطب على الأقل خلال الماضى القريب.

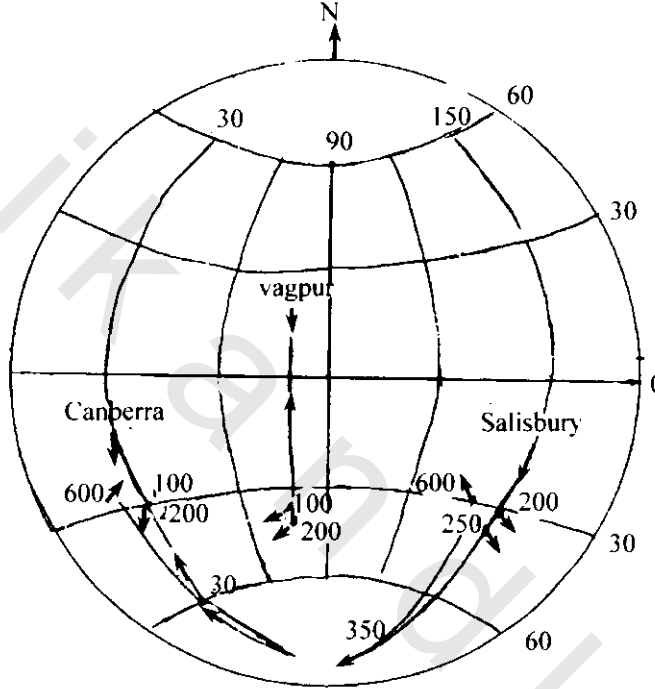
دلالة إرتباط محور ثنائى المجال الأرضى مع فترات الجيولوجيا القديمة ستوضح فى قسم (5،6) ولكن لمتابعة الشرح سنفرض صحة خاصية محور ثنائى القطب (مثل تطابق المحاور الجغرافية والجيومغناطيسية. بهذا الفرض فإن العلاقة المعطاه فى المعادلة رقم (5،6)، (5،7) تصبح هامة جدا فى المغناطيسية القديمة. باستخدام هذه العلاقة، فإن خط العرض القديم λ لموقع المكان يمكن تحديده مباشرة من قياس الميل λ للمتبقية، أيضا قياس إنحراف متبقى، D_r ، يعطى إتجاه الموقع بالنسبة للقطب، أى معرفة إنحراف D_r من الصفر تدل على أن الموقع دار بالنسبة للقطب. شكل (5-10) يوضح أن خطوط العرض القديمة والسمت (azimuths) لثلاثة أماكن مأخوذة كنقطة مرجع لاستراليا، الهند، أفريقيا. من المهم تأكيد أن خطوط العرض القديمة لايمكن تحديدها، لأن كتلية الأرض يمكن وضعها فى أى مكان على خط عرض معين.



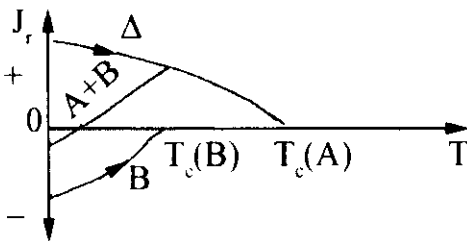
شكل (5-9): مسقط مجسم لنصف الكرة الشمالى. النقط السوداء المتجمعة حول القطب الشمالى تدل على مواقع البلايستوسين Pleistocene وأقطاب البلايوسين Pliocene محددة بالمغناطيسية القديمة، M تدل على الأماكن الحالية للقطب المغناطيسى. تعريف أقطاب البرمى Permian (المتجمعة حول P) سيفسر فى جزء (5،1،6) (هولمز 1965 Holmes)

4.5 إنعكاس المجال المغناطيسي الأرضي: Reversals of Geomagnetic Field

واحدة من أهم الاكتشافات في المغناطيسية القديمة حيث أن حوالي 50% من دراسة الصخور إلى الآن دلت تقريبا على وجود تمغنط في اتجاه عكسي للمجال الأرضي الحالي. وهذا يشارك بحقيقة أن المجال الأرضي عكس قطبيه أوقات كثيرة في الجيولوجيا الماضية. يدل وجود صخور ممغنطة عادية وعكسية مناصفة على أن المجال الأرضي ربما يكون له إحدى القطبين متساوي الإحتمالية. إذا كان التمكنط العكسي الذاتي شكل (5-11) حدث في أغلب 50% من الصخور، لذلك يجب بالأحرى ملاحظة التوافق.



شكل (5-10): خطوط العرض القديمة والسمت لثلاثة أماكن مأخوذة كنقطة مراجع لاستراليا، الهند، وأفريقيا. خطوط الطول ليس لها أهمية وتبدل اختياريًا. تدل اتجاهات الأسهم على دوائر خطوط الزوال القديمة، الأعداد بجوار الأسهم تدل على الزمن بملايين السنين (إرفنج 1964، مكلهاني 1973، معدل من كلارك 1971)

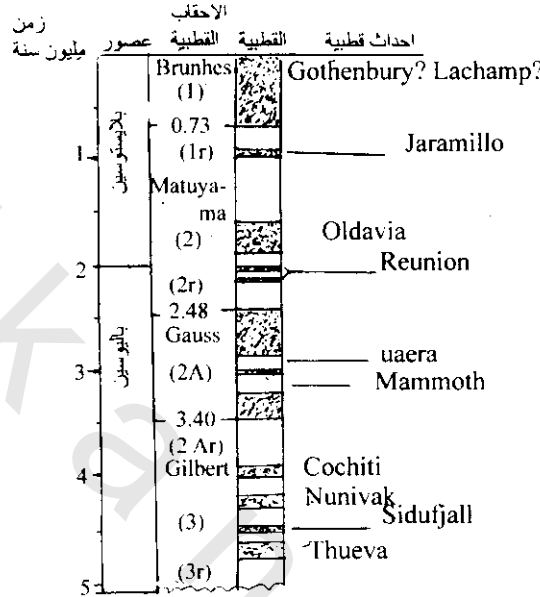


شكل (5-11): شكل هندسي يوضح ميكانيكية عكس ذاتي للمجنيوستيتك (نيل 1955). تحت شبكية اثنين فيرومجنيتك A, B, ربما يكون لهم شبكة عزوم باتجاهات عكسية. أثناء التبريد أسفل درجات حرارة كسرى المتوقعة $T_{c(A)}$ تكتسب في اتجاهات عكسية نتيجة التمكنط تعكس الشبكات (A+B) اتجاهاتها مع التغير في درجات الحرارة.

1.4.5 دلالة إنعكاسات المجال: Evidence for Field Reversals

توطدت حقيقة إنعكاس المجال بواسطة دلائل مستقلة مثل "أخذ المجال في تمثيل إنعكاس" في مواد صخرية مختلفة كلية من أماكن منفصلة باتساع مثل حمم من كاليفورنيا ورسوبيات بحرية من شمال الباسيفيكي. الحمم،

المنهجرة حراريا والمذابة، تكتشف مغناطيسية متبقية (TRM) بواسطة برودتها في المجال الأرضي، الرسوبيات المحيطة تكتسب مغناطيسية متبقية أخرى (DRM) بواسطة الترسيب البطيء والترسيب الكيميائي في مياه باردة. إذا أظهرت كلا من هاتين المادتين نفس التتابع الميقاتي (المرتب زمنيا) للانعكاس شكل (5-12، 5-13)، عندئذ يجب أن تكون نتيجة المجال الأرضي معكوس قطبه حقيقيا ولا يكون بسبب تيار تزامني لميكانيكية الانعكاس الذاتي في كلا المادتين.

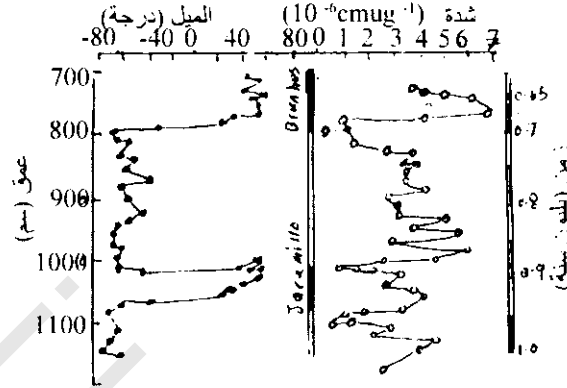


شكل (5-12): مقياس زمن قطب السينوزوي Conozoic الأخير موضح على تصحيح K-Ar لإنسياب حممي. المناطق المنقطعة (قطبية عادية) والبيضاء (قطبية عكسية) وسميت بالأحقاب القطبية (على يسار عمود القطبية) وإحداثيات قطبية مدة الدوام (على يمين عمود القطبية). تبادل التصميم العددي موضوع على عدد تتابع شاذات مغناطيسية بحرية معطاه في قوسين. شاذة 11 تتبع النطاق المركزي للتتابع عند محور النتوء (انظر شكل 5-13) والمكتسبة تمغنطها اثناء حقبة Brunhes العادي (مانكين ود لريميل 1979 Manknen & Dalrgmple) و(هارلاند وآخرين Harland et al., 1982).

وجزاء آخر مقنع البرهان، يكون اختبار قطبي من "تماس التحيص" (baked contact). تمت دراسة مناطق التماس في صخور مضيفة والتي حمصت بواسطة تداخل صخور نارية مؤخرًا. وقد وجد أن مناطق التحيص تكتسب TRM مع نفس القطب في أغلب حالات الصخور النارية، بصرف النظر عن القطبية للمتبقيات المغناطيسية في صخور مضيفة غير محمصة (شكل 5-14). وقد وجد من تقرير 157 حالة عدم اتفاق في القطبية فقط في ثلاث حالات كما في الجدول الآتي (5-1).

الحالات المشتبهة فيها للانعكاس الذاتي self-reversal قليلة جدا بالمقارنة مع 104 حالة حيث كلا من الصخور النارية والصخور المحمصة ترى توافق للمغناطيسية (R). عدد الاتجاهات المتوسطة (1) حوالي 2% من الكلية، ومن المحتمل ان تعكس هذه الاتجاهات سلوك انتقالي للمجال الأرضي اثناء إنعكاس القطبية شكل (5-13). وقد سجل الانقلاب القطبي خلال السجل الجيولوجي، بالرغم من أن النسبة المئوية للأقطاب العادية (N) والمعكوس (R) لأي زيادة في الزمن أيضا تختلف مع الزمن. في محاولة لفرض معدل قطبي للمجال المغناطيسي الأرضي خلال 600 مليون سنة الأخيرة، تمت تحليلات لمواقع لتقرير N أو R لها. وعلى هذه القواعد عينت أربع فترات.

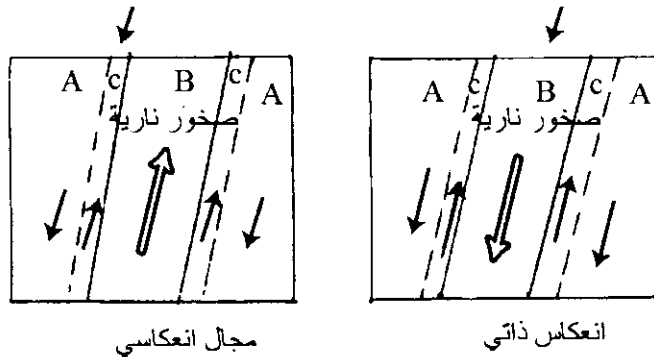
تميز الكريتايوى، الجوراس، أوردوفيشى والسيلورى المتأخر أساسا بواسطة القطب العادى N، وساد البلوزوى الأول والآخر بواسطة القطب المعكوس R.



شكل (13-5): تغير شدة التمنط والميل مع العمق كمسجل فى عينة بحرية رسوبية عميقة. الهبوط الواضح فى شدة NRM خلال الإنعكاس يدل على اقلال فى شدة المجال الأرضى خلال إنقلاب قطبى

جدول (1-5). قطبية المغناطيسية القديمة لصخور متداخلة وتماسها المحمص.

عدد الحالات	قطبية التماسات المحمصة	قطبية الصخور النارية
47	N	N
104	R	R
3	I	I
		متوسط بين العادى والعكسى
3	R	N
O	N	R



شكل (14-5): ترتيب أقطاب مغناطيسية لصخور متداخلة وصخور مضيئة محمصة (وإعادة تمنط) تمد دليل مفصل لمجال معكوس. ربما يدل عدم ترتيب فى الأقطاب (تلاحظ نادرا) على إنعكاس ذاتى. (A) صخور مضيئة غير محمصة، (C) تماس محمص (B) صخور متداخلة.

2.4.5 ترتيب وتحديد أزمنة انعكاسات القطب المغناطيسى الأرضى

Chronology of Geomagnetic Polarity Reversals:

بواسطة تزمين (توقيت) إنسياب الحمم بطريقة البوتاسيوم (K) الأرجون (A_r) K، يتعصد تزمين انعكاسات القطب المغناطيسى خلال 4-5 مليون سنة قبل الوقت الحاضر شكل (5-10). وقد وضحت النتائج تواجد دوران عالمى كبير (أحقاب) ثابت بحوالى 1 مليون سنة مع "أحداث" قطبية وجيزة خلال ثبوت هذه الأحقاب فقط ما بين 10,000 إلى 100,000 سنة.

يحتمل حدوث أغلب الانعكاسات الحديثة فقط منذ 10,000 سنة مثل حادثة جوتنبرج Gothenburg المكتشفة فى ترسيبات حولية السويد، ومازال صحة هذا مع عدة أحداث قطبية قصيرة أخرى (مثل لاسشامب Laschamp) ثابتة التأيد.

وقد قيم عدم التأكد فى التأرخ المطلق فى نتائج شكل (5-11) والتي تكون تقريبا 2% نتيجة من قياس العصر. ويكون هذا العائق الأساسى لإمتداد المقياس القطبى المفسر، وعند زمن 4 مليون عام فإن عدم التأكد فى زمن (~80,000 سنة) تصبح أكبر من بعض أحداث قطبية مدروسة ويمكن مد المقياس العكسى 10 مليون سنة بواسطة دراسات قطبية لعينات لبية (cores) من عمق البحار، والتي يمكن تأرخها بواسطة محتوياتها الحفرية. أيضا، وضعت إمتدادات لمقياس قطبى لعصور السينوزوى والميزيزوى على أساس تقييم عصور شادات المغناطيسية البحرية والتي نتجت من انفصال قاع المحيط.

3.4.5 سلوك المجال خلال انتقالات القطب: Field Behavior During Polarity Transitions:

يظهر سؤالين كبيرين لسلوك المجال المغناطيسى أثناء انعكاس القطب. أولا، لماذا تضمحل شدته إلى الصفر لتتمو مرة أخرى فى إتجاه معاكس. أو لماذا يغير قطب الأرض يعنى بذلك ثبات إتجاهه ب 180° بدون تغير فى شدته (يعنى ذلك عزم مغناطيسى). ثانيا ما هو الزمن المطلوب لتغير القطب (أو إنتقال قطبى)؟

ترى قياسات الشدة على الحجم وعينات البحر العميقة أنه بينما يتعرض القطب للإنتقال، فإن شدة المجال الأرضى تقل من 10%-20% من الشدة العادية (شكل 5-13). ويكون مثل هذا النقصان الشديد فى شدة المجال مناقض مع الدوران البسيط لثبات شدة مجال ثنائى القطب، لأن الأخير لايسبب مجال مزدوج أقل من مجال خط الإستواء، يعنى ذلك، نصف المجال المحورى.

يكون الزمن المأخوذ لانتقال القطبية المعينة من رتبة 2000-6000 سنة، بينما تغير الشدة (اضمحلالها وبنائيتها) تأخذ فترات أكثر طول. وبذلك يظهر نوعا ما لسؤال مثل ماذا يحدث لمركبة مجال غير مزدوج أثناء التغير القطبى. الملاحظ بأن عدم إنتهاء شدة المجال أثناء الإنتقال القطبى يفسر بالإقتراح بأى جزء عدم ثنائية القطب للمجال لا تنقل بنسبة إلى مجال ثنائى القطب الأساسى، لذلك فإن المجال الضعيف عند زمن الإنتقال القطبى يكون عدم سيادية ثنائية القطب. وقد قدر اختلاف دوران هذا المجال الضعيف من 10,000 إلى 20,000 سنة.

وقد تمت دراسات تفصيلية لسلوك إنتقال وتردد الانعكاسات القطبية بهدف نهائى إلزام نظريات الدينامو للمغناطيسية الأرضية والنماذج المقدمة لشرح انعكاسات المجال. وتشمل النتائج الهامة لهذه الدراسات تسجيلات مستمرة لطرق VGP أثناء الإنتقال القطبى ونماذج مختلفة للإنعكاسات القطبية.

5.5 المغناطيسية القديمة لأرضية البحار: Paleomagnetism of Sea Floor

1.5.5 انعكاسية المجال وتباعد أرضية البحار: Field Reversals and Sea-Floor Spreading

تطبيق انعكاس المجال الأرضي في مجال علوم الأرض خرج من المسح المغناطيسي للمحيطات. وكما ذكر سابقاً، أظهرت هذه المسوح شاذات مغناطيسية خطية موازية لنتوء الإرتفاعات في جميع المحيطات. وقد فسرت هذه الشواذ في حزمية خطية مترددة لمغناطيسية البازلت العادية والعكسية في الطبقة الثانية من قشرة المحيطات. وعرفت الآن كبرهان مباشر لتباعد قاع البحر من نتوء منتصف المحيط.

وقد نمت فروض تباعد قاع البحر من اقتراحات مؤلفين سابقين حيث أن القشرة الجديدة تتكون بتقدم بواسطة العمليات المغناطيسية في قمم نتوءات المحيط. يعطى تباعد أرضية البحار الأفقية في كلا الإتجاهين الشكل الجديد للقشرة، مسبباً الإزاحات القارية كتابع.

الفكرة المتعمقة لتوضيح أساس تباعد القشرة البحرية مع فترات انعكاس المجال المغناطيسي الأرضي صيغت عام 1963 اعتماداً على مجموعتي بحوث، واحدة منهم في كندا والأخرى في إنجلترا. اقترح مؤلفي المجموعتين أن نموذج أحزمة تبادل الشواذ المغناطيسية موجبة وسالبة ربما تكون نتيجة تباعد قاع البحر بعيداً عن النتوء خلال فترة الانعكاس للمجال المغناطيسي الأرضي. تأتي المواد البركانية الجديدة الساخنة والمذابة على طول قمة النتوء (معروف بمصحبته إنسياب درجات الحرارة العالية والتصدع الواسع، وعندئذ تبرد إلى درجة حرارة كوري Curie مكتسبة TRM والتي يعرف إتجاهها بواسطة المجال المغناطيسي الأرضي عند هذا الوقت. هذا المواد تتباعد جانبياً حاملة السجل المغناطيسي لقطبية الأرض المغناطيسية، خلاصة الفكرة موضحة في شكل (5-15) حيث تكون عملية الانفصال الجنوبي على هيئة تيارات حمل (حرارية) في الستار مكونة جزء جوهري للنموذج التكتوني الكروي.

2.5.5 معدل تباعد أرضية البحر: Rate of Sea Floor Spreading

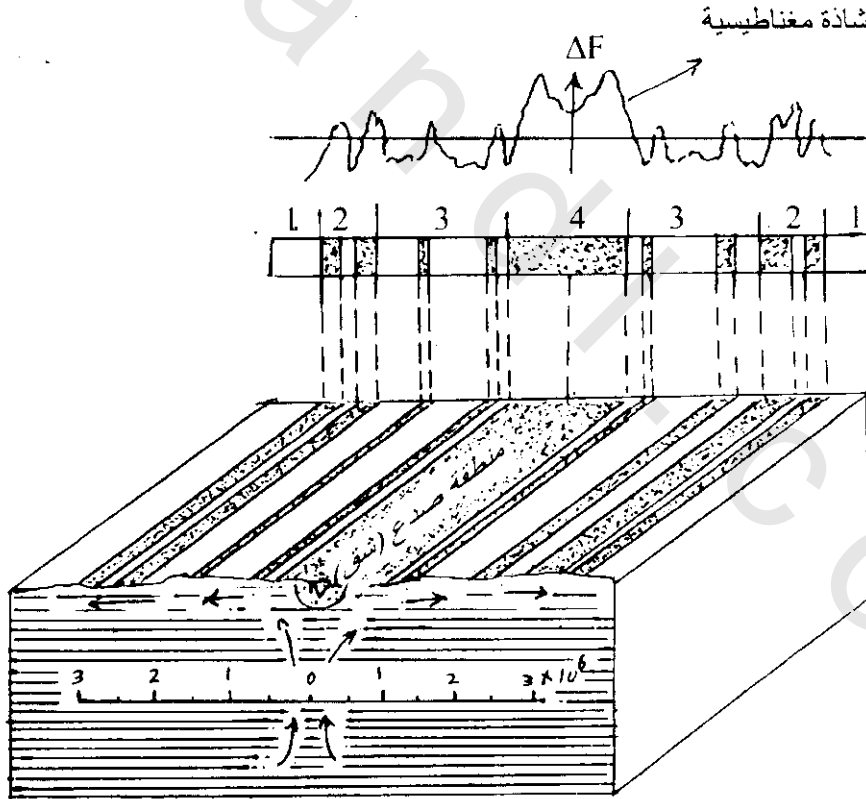
من المعروف أن Q^* لبازلت المحيطات أكبر من 1 والتي تدل على أن متبقياتها المغناطيسية تسود عبر الحث المغناطيسي ($J_r > J_c$). لذلك فإن نموذج شاذة المغناطيسية الخطية تفسر في عبارات لنموذج تداخل مغناطيسي عادي وعكسي في طبقة البازلت (طبقة 2) من قشرة المحيط. يوضح شكل (5-16) بروفيل لشاذة مغناطيسية مقاسة عبر شرق إرتفاع الباسيفيكي Pacific Rise وتفسيره في عبارات من نماذج كتلية. يتفق نصف العرض لتداخل مركز المغناطيسية العادية (حوالي 300 كم) في الزمن مع الحقب العادي الحاضر (حوالي 0.7 مليون سنة) (أنظر شكل 5-12). هذه تخضع لمعدل تباعد حوالي 4.3 سم/سنة على كلا جانبي محور الإرتفاع الآن، وعند مقارنة توضيحية لوحظت عبر المحيطات بين الشاذة المغناطيسية الخطية ومقياس قطبية المغناطيسية الأرضية على أساس جيد لـ 4.5 مليون سنة مضت، دلت على أن معدل التباعد على طول عدة نتوءات يكون من حوالي 1-5 مليون سنة لكل جانب نتوء.

* $Q =$ نسبة كونجسبرجر Königsberger ratio وهي نسبة NRH الحاضر في عينات الصخور إلى الحث المغناطيسي بواسطة المجال الأرضي الحاضر $F = J_r / K(F/\mu_0)$
حيث $J_r =$ المغناطيسية المتبقية، $K =$ القابلية المغناطيسية، $\mu_0 =$ النفاذية المغناطيسية

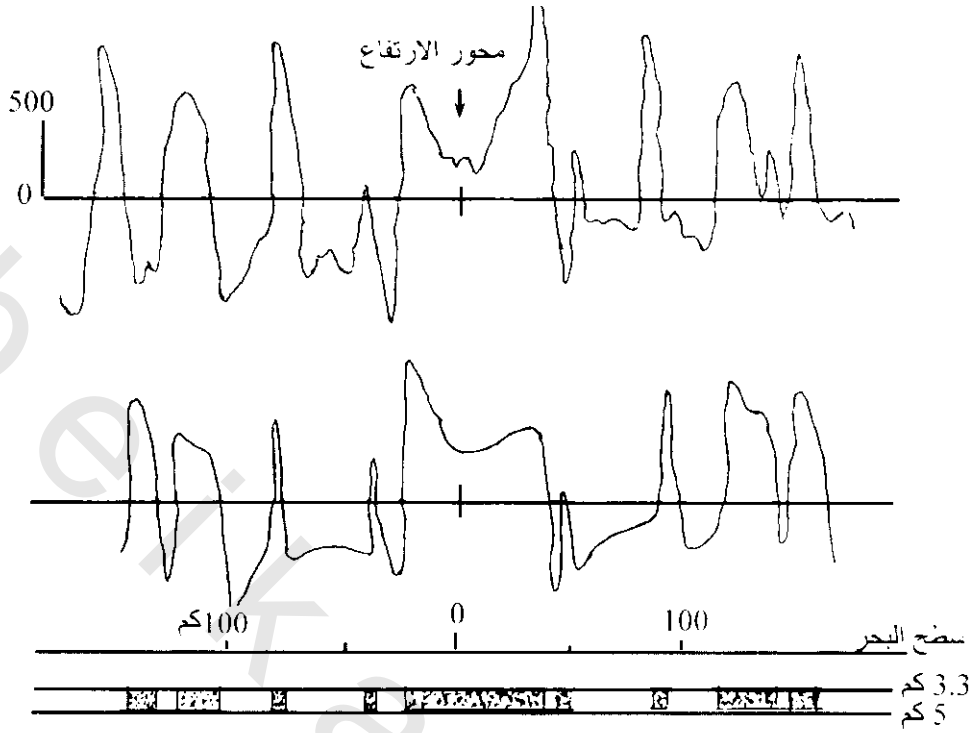
يوضح شكل (5-17): الصورة المبسطة للظواهر المغناطيسية الخطية الموجودة في محيطات العالم والتي تقودنا إلى بداية ملاحظة لحوالي 50% من تباعد قاع البحر العميق وهذا يعنى أن 1/3 سطح مساحة الأرض، خلقت خلال 65 مليون سنة الأخيرة، ممثلة أكثر حادثة 1.5% من مقياس الزمن الجيولوجي.

بإنشاء مقاييس مغناطيسية أرضية تعود إلى 80 مليون سنة، والتي فيها رقمت سيادة الأحقاب القطبية العادية من 1-32. وقد أدى هذا المقياس ببعض الباحثين الآخرين للرجوع لحوالي 160 مليون سنة على أساس تتابع شاذات هاواي Hawaiian في المحيط الباسيفيكي وعوريت باستخدام النتائج الزمنية من مشروع حفر بحري عميق (Deep Sea Drilling Project (DSDP) بالمنطقة. ويوضح شكل (4-19) مقياس مصحح للمغناطيسية الأرضية.

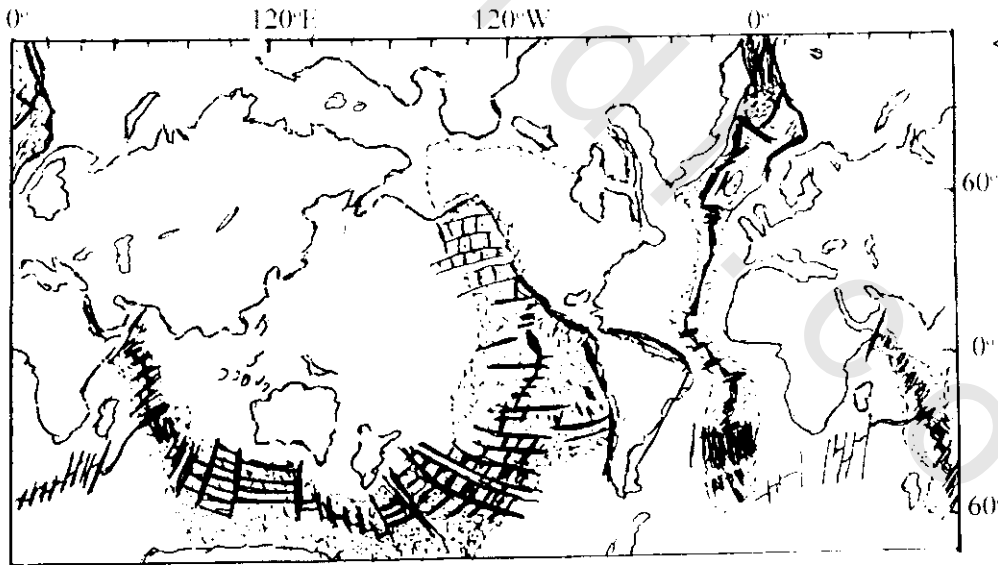
أيضا وجدت دلائل حركة أرضية البحار في الطبقات الرسوبية لقشرة المحيط. من قياس زاوية ميل المتبقيات المغناطيسية (J)، لعينات رسوبية لوبيه من عمق البحار، أمكن تحديد خطوط العرض القديمة (المعادلة 5-6) ويعطى الجدول (5-2) مثال لنتائج حصل عليها من مثل هذه الدراسات على عينات لوبية بحرية عميقة من شمال غرب الأطلنطي بواسطة تفسير الميل الضحل مع العمق والزمن الناتج من الإزاحة الشمالية لأرضية المحيط، أمكن الحصول على متوسط معدل إزاحة حوالي 2 سم/سنة منذ العصر الكريتاوى.



شكل (5-15): منظر تخطيطي لتباعد أرضية المحيط كدلالة بواسطة تتابع شاذات موجبة وسالبة والتي نتجت بواسطة مقاطع مغناطيسية عادية ومعكوسة لقشرة المحيط (ألن (Allan 1969). 1- جلبرت Gilbert، 2- جاوس Gauss، 3- ماتوياما Matuyama، 4- بريونسي Brunhes



شكل (5-16): المنحنى العلوى بروفيل مغناطيسى عبر ارتفاع شرق الباسيفيكي ونموذج التفسير ككتل مغناطيسية عادية ومنعكسة (منقط وأبيض) المنحنى السفلى محسوب من النموذج بفرض أن معدل التباعد 4.4 سم/سنة.



شكل (5-17): خريطة بسيطة لشاذات مغناطيسية محيطية. الخطوط الثقيلة تشير إلى مقارنة الشاذات الخطية بتوازي قمم النتوءات. وتشير المنطقة المنقطعة إلى فكرة تكون القشرة المحيطية خلال السينزوي Cenozoic (أى منذ 65 مليون سنة مضت) (فاين 1972 Vine)

جدول (2-5) ميل متبقيات المغناطيسية الطبيعية (NRM) كدالة عمر لعينات لوبية بحرية عميقة من بئر JOIDES رقم 10 (32° 52N 521° 3W) فى شمال غرب الأطلنطى.

خط العرض القديم (N°)	الانحراف المعيارى (درجة)	متوسط قيم الميل (درجة)	عدد القيم	العصر (مليون سنة)	العصور الجيولوجية
32.2	5.4	51.6	14	12	بلايوسين
27.1	5.0	45.7	10	30	أوليغوسين
24.2	4.8	42.0	6	45	اليوسين المتوسط
19.6	3.1	35.5	20	76	كمبيان

مصدر: نتائج (سكلاتر وكوكس 1970 Sclater and Cox) باستثناء قيمتين بشدة متناهية الانخفاض ($NRM < 10^{-4} A/m$).

3.5.5 إرتحال الجزر البركانية والجبال البحرية: Migration of Volcanic Islands and Seamounts

قدم ولسون 1973 Wilson خط برهان مستقل عضد نظرية التباعد التى أشارت إلى أن الجزر البركانية للأطلنطى تكونت أصلا عند منتصف نتوء المحيط وحملت الآن بعيدا بواسطة حركة أرضية البحر. ولذلك يزداد عمر الجزر مع زيادة المسافة من النتوء. تعضد أعمار جزر الأطلنطى والتى حددت للأن بالإستنتاج العام لولسون Wilson، ولكن لا تستطيع التوافق مع فرض معدل التباعد المتساوى.

إكتسبت كثير من الجبال البحرية الموجودة على أرضية البحار الأصلية مثل البركانيات تحت البحار TRM قوية بعد برودتها بواسطة درجة حرارة كورى. ولأن الجبال البحرية تقع على أعماق كبيرة على أرضية المحيط. فمن المستحيل أخذ عينات إتجاهية لدراسة مغناطيسيتها القديمة. ولكن يمكن تعيين الشدة والإتجاه لمتبقياتها المغناطيسية من تحليل الشاذات المغناطيسية المصاحبة لها. دلت النتائج التى حصل عليها من مثل هذه الدراسات على عدد من الجبال البحرية فى الشمال الغربى للباسيفيكى- والذى يعتبر من العصر الكريتاوى- إنها إرتحلت شمال غرب بأكثر من 50° لتباعد خطها العرضى من موقعها الأصلى. ويكون من غير المنطقى إرتحال الجبال البحرية بدون إرتحال أرضية البحار نفسها.

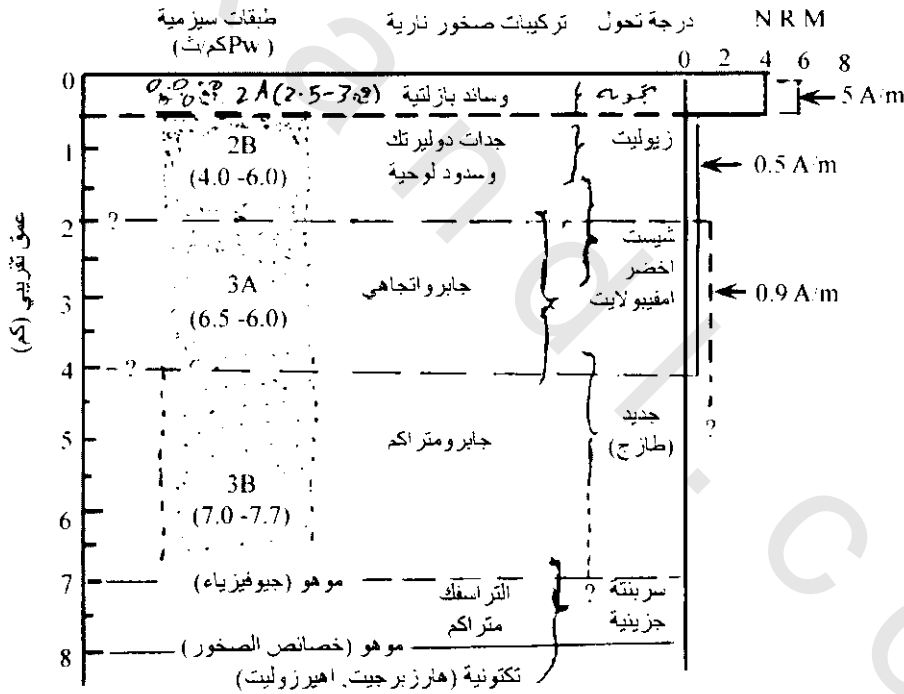
4.5.5 صعوبات بنماذج الكتل المغناطيسية: Difficulties with the Magnetic Block Model

لأن الحركة الحقيقية لأرضية البحر لم تكتشف مباشرة، لذلك سوف يوجد بعض تخطيط نموذج حول المغناطيسية (شكل 5-16). المراكز الغير مؤكدة حول ١) التركيب الصخرى والخواص المغناطيسية للطبقات 3، 2 (المحيطة، 2) التعرض فى اختيار النماذج لتفسيرات شاذات المغناطيسية البحرية.

فى عشرات السنين الماضية، تمت دراسة الخواص المغناطيسية بتوسع للعينات اللوبية لمشروع الحفر البحرى العميق (DSDP) للقشرة البازلتية (طبقة المحيط 2) من عدة مواقع. وقد أمد إستعراض المقالات بواسطة باحثين سابقين تفسيرات كبيرة حول هذه العينات اللوبية. وبرغم عدم إمكان عمل إتجاهى كامل للعينات اللوبية، فإن ميل المغناطيسية المتبقية أمكن تحديدها. مجازا، كانت مواقع الحفر قليلة ولكن أوضحت دراسات مغناطيسية قديمة نموذجية لهذه العينات اللوبية أن ميل NRM تكون ضحلة عن التى لمجال ثنائى القطب الأرضى عند المكان. وكان أكثر الإندهاش أن لوحظ التغير فى قطبية المغناطيسية من العادى للعكس خلال الـ 500 متر العلوية للقطاع اللوبى (Core section).

ايضا أوضحت عينات (DSDP) من الصخور القاعدية المغناطيسية نموذج لمتوسط تمغنط منخفض (NRM) $3-5 \text{ A/m}$ والتي تكون ضعيفة بحوالي خمس (5) مرات عن عينات الجرف من عدة مراكز متباعدة. ويكون احتمال اضمحلال التمكنط من نتائج انخفاض درجة حرارة التأكسد لمعادن التيتانومجنيتيت (titanomagnetites)، وتواجده يكون متعلق بالزمن (العصر). لكي تنتج شاذات ملاحظة السعة باستخدام هذه الشاذات المنخفضة للتمغنط، لذلك ضروريا يجب أن تكون الطبقة المغناطيسية عامة أكبر من المفروض لبعض 55 مترا (وسائد بازلتية) في تخطيط نموذج. تكون الطبقة اللابية (الناطقة) 2A فقط بعيدة الاحتمال عن كونها سمك كافي، لذلك فإن وحدات الصخور العميقة في طبقات 2، 3 (خاصة في الميتاجبرو) تصبح مرشحة لهذه المصادر شكل (18-5).

وضحت دراسات كثيرة لجابرو المحيطات ثبات NRM مع متوسط شدة 0.9 A/m ، والتي تكون حوالي $1/5$ الناتجة من طبقات البازلت الوساندية. وكذلك وجد أن متوسط قيمة NRM تكون تقريبا 0.5 A/m للأوفولايت جابرو. لذلك فإن طبقة الجابرو التي لها شدة NRM من 0.5 إلى 0.9 A/m تصبح منازع هام كمصدر طبقة إضافية للشاذة المغناطيسية البحرية، خاصة في رؤية لسمك أكبر من التي لطبقة الحمم الوساندية.



شكل (18-5): نماذج توزيع NRM مع العمق في قشرة محيطية (كنت وآخرين 1978)، بانيرجي 1984 (Banerjee)، الطبقات السيزمية (بتروسين وآخرين 1974) (Peterson et al 1974)

بينما مشكلة تعريف (تحقيق) "مصدر الطبقة المغناطيسية" للشاذات المحيطية، لم تحل لأن بواسطة عينات DSDP، فإن الإجماع العام بأن جميع عمليات الإنتاج والمغنطة لأرضية البحار تكون ظاهريا أكثر تعقيدا من التخطيط النموذجي لـ فين وماتويس 1963 Vine and Matthews نماذج المتابعة المقترحة لمؤلفين (مثل نموذج اللوح المائل لتداخل الحقن، نموذج إنتقال حد الانحدار القطبي، طبقتين نموذج معتمد على الزمن) غير

مؤكد استمالها على الفروض. للمصدر الرتبى، فإن الشاذات المغناطيسية المستمرة ذات البعدين تكون مشكلة للمغناطيسية القديمة البحرية.

6.5 دليل المغناطيسية القديمة للتباعد القارى: Paleomagnetic Evidence for Continental Drift

برغم أن فكرة تباعد القارات يرجع تاريخه إلى القرن السابع عشر، فإن الفريد ويجنر Alfred Wegener 1912 أول من عمل صياغة مفهومة لنظرية التباعد، حيث افترض أن جميع القارات الموجودة حالياً كانت متصلة مع بعضها فى قارة كبيرة (بانجيا Pangea) خلال البالوزوى العلوى upper Paleozoic وخلال الميزوزوى والثلاثى Mesozoic and tertiary. تكسرت بانجيا إلى قطع، وعندئذ تحركت القارات باتجاه الغرب وإتجاه خط الإستواء أو كلاهما. بعيداً عن التقارب التوافقى لخطوط الشواطئ المقابلة للقارات (مثل أفريقيا وأمريكا الجنوبية)، فإن ثلاثيات بيرموكربونى Permo-Carboniferous التى أثرت على أمريكا الجنوبية، جنوب أفريقيا، أستراليا والهند تمثل السند الرئيسى لهذا التوافق، وذلك باقتراح أن هذه الكتل الأرضية تجمعت حول القطب الجنوبى عند نفس الوقت شكل (5-18).

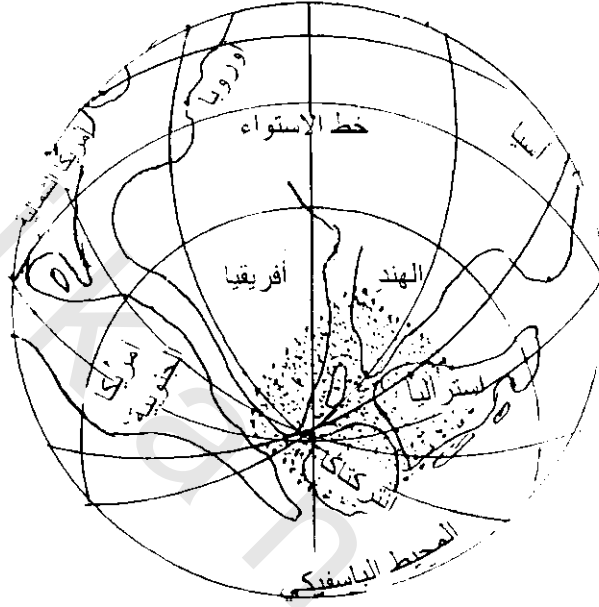
قدمت المغناطيسية القديمة الخط المهم للدلالة فى حل نتيجة هذه المجادلة الكبيرة. وللتعامل مع هذه المسألة يجب الإهتمام بمقياس الزمن لعدة ملايين من السنين لكى تقارن نتائج المغناطيسية القديمة مع تاريخ القارات. تكون قطبية مجال المغناطيسية الأرضية على مقياس هذا الزمن عديمة الأهمية، ولكن السؤال الأساسى ماذا يكون خاصية محور ثنائى القطب فى الجيولوجيا الماضية، بفرض أنه مفتاح هام.

1.6.5 دليل علاقة لفرض محور ثنائى القطب: Evidence Relating to the Axial Dipole Hypothesis

يوجد خطين لإقتراح دليل أن المجال الأرضى تابع لمحور ثنائى القطب فى الزمن البعيد: المغناطيسية القديمة والمناخ القديم. قد رأينا سابقاً فى شكل (5-9) أن المغناطيسية القديمة لعصر صخور البليستوسين Pleistocen والبليوسين Pliocene وضحت بإقناع خاصية محور ثنائى القطب للمجال الأرضى. فى نتائج الصخور القديمة، تصبح الحركات التكتونية أكثر معرفة، وتصبح فترات أقدم من الثلاثى Tertiary الأخير لجمع الأقطاب اضعف على مقياس ترابط القارات. ربما تمد المقياس القارى أو شبه قارى الدليل إلى فترات قديمة. وقد أعطت مجموعة ترابط متكاملة للأقطاب الترياسية Triassic من مساحات متسعة متباعدة فى أمريكا الشمالية ومن أقطاب ترياسى وبرمى Triassic and Permian (شكل 5-9) من أوروبا وسيبيريا (روسيا) تعضيد فسيح للنظريات بأن المجال المغناطيسى الأرضى كان ثنائى أقطاب ساند على الأقل لمدة 300 مليون سنة. ويكون لتوافق بين محور متوسط ثنائى القطب والمحور الجغرافى، ربما يكون صعب ثبوته بواسطة نتائج المغناطيسية القديمة وحدها، ويجب المعايرة باستخدام بعض مؤشرات أخرى لخطوط العرض القديمة.

إذا كان المجال الأرضى دائماً له خاصية محور ثنائى القطب، عندئذ تكون دلالة المناخ الماضى فى منطقة معينة متوافقة مع خطوط العرض القديمة للمنطقة المحددة بالمغناطيسية القديمة. يفرض فى المناخ القديم أن المناخ الماضى يمكن تحديده بمؤشرات معينة. بواسطة التشبيه مع المؤشرات للمناخ الحاضر، يمكن إستخدام مؤشرات المناخ القديم لأستنتاج المناخات الماضية والمناطق المناخية. مثلاً، تشير الكربونات والشعاب البحرية

إلى مناخ دافئ، مناخ استوائي، مناخ شبه مداري، المتبخرات والطبقات الحمراء الحارة، المناخات الجافة، والطفل الجليدي المتصلب لثلاجات بينية. وضحت خرائط المناخ القديمة التي أعدت بهذه الطريقة أن المساحات الآن الممتلئة بواسطة الأقطاب وخط الإستواء كانت دائما في أو قريب من وضعها الحالي، ولكن تغير مكانها على سطح الكرة الأرضية خلال مسلك التاريخ الجيولوجي. واحد من الأمثلة المشاهدة هي ثلاجات للبرمو-كربونيفرس Perm-Carboniferous الذي حدث مرة في مساحات هي الآن في أسفل خطوط العرض (شكل 20-5).



شكل (5-19): توزيع ثلاجات البرموكربوني Perm-Carboniferous مع إعادة تجمع القارات تبعا لنظرية وجنر Wegner لإزاحة القارات (مختارة من هولمز 1944)

لسوء الخط فإن تقدير نتائج المناخ القديم لكل نوع لا يؤكد تحديد خطوط العرض الجغرافية القديمة. ربما، يقل عدم التأكيد عندما تجمع الدلالات الملازمة بحكمة ويمكن بذلك مقارنة كمية لتحديد خطوط عرض المغناطيسية القديمة. دلت الدراسات في هذا المجال لعدة باحثين سابقين على توافق جيد نوعا ما بين خطوط العرض القديمة المحددة بالطريقتين السابقتين المختلفتين. هذه المقارنة بين المناخات القديمة وخطوط العرض القديمة، مع ذكر سابقا ملانما لأقطاب البرمي Permian والترياسي Triassic على مقياس شبه قاري، وقد ظهر هذا معضدا لنظريات ثنائي قطب مركزية الأرض على الأقل من الباليوزوي الأخير Late Paleozoic للحاضر.

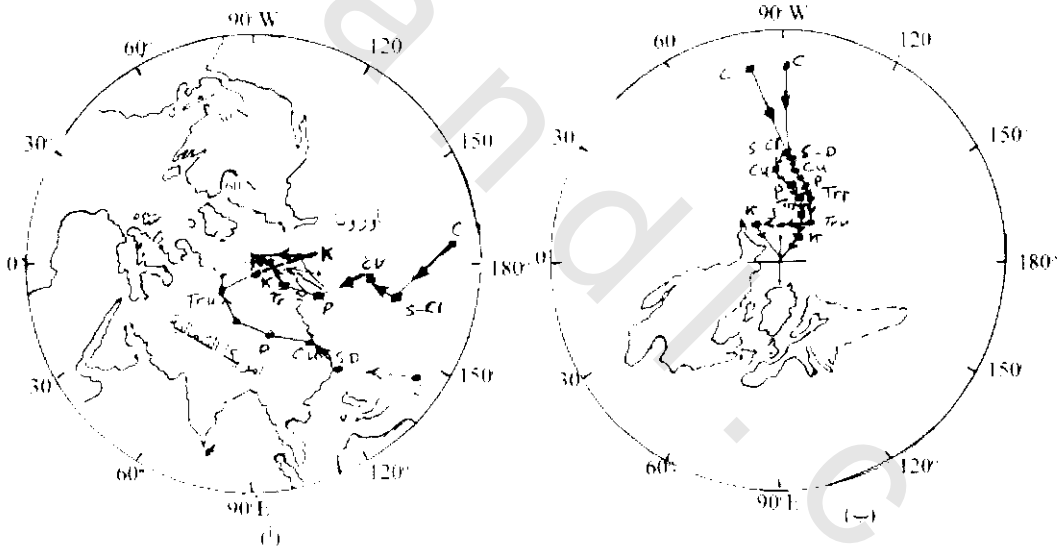
وكتحذير مضاد صارم جدا لقبول نظريات ثنائي القطب، فإن هناك باحثين اقترحوا وجود أساس لمركبات عدم ثنائية القطب أو شكل مجال إثنين ثنائي قطب معقد خلال فترات معينة.

2.6.5 تجوال القطب الظاهري وتباعد القارات: Apparent Polar Wander and Continental Drift

يوجد طريقتين أساسيتين لتمثيل نتائج المغناطيسية القديمة لمنطقة معطاه عبر عدد من الأحقاب الجيولوجية. في أحد التقارب، ترسم أماكن سابقة لكتل أرضية في حدود لخطوط عرض المغناطيسية القديمة وكذلك لسمات (azimuths) بالنسبة للشمال الجغرافي الأرضي شكل (5-10). في التقارب الآخر، والذي يكون بسيط وأكثر

نفعية، ترسم الأقطاب المحددة للمنطقة من حقب لآخر على الكرة الأرضية الحاضرة، أو على مساقط استرجرافية. يشير المنحنى خلال هذه الأقطاب إلى أن منحنى تجوال القطب الظاهري Apparent Polar Wander (APW) (لهذه المنطقة المخصوصة) هو طريق التآرخ الذى ربما تبعه القطب. تمثل حركة هذا القطب الظاهرية تجوال القطب الحقيقي أو تباعد القارات أو كلاهما، ولاتستطيع النتائج من منطقة قارة مفردة فقط التوضيح بين الإثنين (تجوال القطب الحقيقي وتباعد القارات). ربما لأن هجرة طريق القطب المغناطيسى (متطابق مع القطب الجغرافى تبعاً لنظرية محور ثنائى القطب) تكون ظاهرة كونية، ويجب أن يكون موقع الملاحظ مستقل. حقيقة أن منحنيات APW لأمريكا الشمالية وأوروبا شكل (5-19) لايتوافق أساساً مع دليل المغناطيسية القديمة لتباعد القارات ولوحظ هذا بواسطة رينكورن Runcorn 1956.

المنحنيات لشكل (5-20) يكون صالح إذا تحرك شمال أمريكا بالقرب من أوروبا في قبول مع نموذج وأحسن تناسب لحافة قارات المحيط الأطلنطى (شكل 12-9). عندئذ تتفق المنحنيات نوعاً ما جيداً (شكل 20-5ب) من البرموكربونى Permo-Carboniferous (~300 مليون سنة) إلى زمن الجوراسى Jurassic (~160 مليون سنة) دالة على أن الكتلتين الأرضيتين اتصالاً خلال هذه الفترة من الزمن. فى 150 مليون سنة الأخيرة، أو كذلك، فإن انفتاح الأطلنطى تسبب فى تباعد المنحنيين. حدث عند نهاية أقطاب الكمبرى Cambrian الأخرى لكلا القارتين تباعد، أدى هذا الإقتراح وجود قدم وإتساع الأطلنطى عند ذلك الوقت. وقد أدى قرب أقطاب الكمبرى قريباً من خط الإستواء لإقتراح أن القارات تحركت جنوباً من وضعها الحالى.



شكل (5-20): (أ) مقارنة التجوال الظاهري لطرق القطب لأمريكا الشمالية (دوائر) وأوروبا (مربعات) وتشير الرموز للعصور J جوراس، K كريتاسوى، Tr ترياسى، Tru تراس علوى، Tr P ترياس سفلى، P برمى، Cu كربونى علوى، S سلورى، D ديفونى، C كربونى، CL كربونى سفلى (ماكاليهينى 1973 McElhinny). (ب) اقترح أن طريقى تجوال القطب فى توافق مع تناسب لقارات شمال الأطلنطى (بيولار وآخرين 1965 Bullard et al). إسقاط القطب ستروجرافيا (ماكاليهينى 1973)

3.6.5 إعادة التركيب القديم للقارات :Paleoreconstruction of the Continents

أشار باحثين سابقين أن من نتائج نماذج النتائج من قارات مختلفة لأزمنة معاصرة، يظهر أن الكتل القارية ربما تكرر كسرهما وإعادة اتصالها فى عدة طرق. وتبعاً لإعادة التركيب (إرفنج 1981 Irving) للفانيروزوى (Phanerozoic) (600 مليون سنة مضت) (شكل 5-20)، يمكن تلخيص خطة تجمع وكسر القارات كالاتى:

1.3.6.5 تجمع القارات في العصر الكمبرى السابق لتكون بانجيا* (Pangaea) E وأحزمة طيات القشرة الصلبة التحت سطحية الأفريقية.

2.3.6.5 إنفتاح المحيط الأطلنطى III في الكمبرى واتساع تشتت القارات في الأوردوفيشى.

3.3.6.5 إنغلاق الأطلنطى III في السيلورى الأخير، منتجة بانجيا D وشبه حزام طيه كالدونيان (Caledonian).

4.3.6.5 حركة عرضية بين الشمال والجنوب القارى فى الديفونى الأول والمتوسط لتجمع لوراسيا** (Laurasia) وإنتاج بانجيا (C) (تشوه الباليوزوى المتوسط، خاصة شمال (نتوء جبال الأكاديان The Acadin Orogeny).

5.3.6.5 إنشقاق منفرد للوراسيا وجندوانا (Gondwana)* لتنتج أطلنطك II فى الديفونى الأخير.

6.3.6.5 تقارب أطلنطك II فى الكربونى المتوسط (حركة نتوء الجبال الهرسينية Hercynian) لتكوين بانجيا B.

7.3.6.5 إعادة ترتيب التراسى للوراسيا وجندوانا لإنتاج بانجيا A، والتي كسرت فى الجوراسى لتكون أطلنطا الحديثة، الهند، المحيطات القطبية الشمالية.

من المهم توضيح أن البانجيا (خاصة B إلى E) تكون فقط محاولات افتراضية لم تتعرض امدادات نتائج المغناطيسية القديمة نفسها لخطوط الطول، واختيرت خطوط الطول بواسطة الإضطراب لحركة نسبية صغيرة للقارات، وبواسطة اضطرابات أخرى مثل حركة أحزمة نتوء الجبال الكبيرة شكل (5-21).

4.6.5 أمثلة عن تصادم وتزايد القارات: Examples of Continental Collision and Accretion:

مثال الإقتراح الخاص لتجزئة وتصادم القارات هو شبه الجزيرة الهندية والتي نزعت نفسها من أرض جندوانا متحركة بسرعة باتجاه الشمال واندفعت بمقابلة آسيا، وقد اقترح أن الدفع مازال جارى بسبب الارتفاع المستمر لسلسلة الهيمالايا والانتشار الواسع للنشاط الزلزالي والتكتونى فى وسط منطقة الدفع. يوضح شكل (21-5) لحركة التدرجية باتجاه الشمال وعكس دوران الساعة للهند خلال الميزوزوى الأخير وعصر السينوزوى.

تطبيق مثال كورديليرا Cordillera لأمريكا الشمالية هام جدا فى كثير من الإزاحات الأرضية والألواح الصغيرة، والتي مغناطيسيتها القديمة واضحة الإزاحة المنظمة من منحى المرجع APW لراسخ** أمريكا الشمالية. يوضح شكل (5-22) أقطاب المغناطيسية القديمة للميزوزوى والمخالف حديثا لعدد من أراضى الحافة الغربية لأمريكا الشمالية. وقد حصل على كثير من هذه الأقطاب من وحدات صخرية طباقية، حيث لا يوجد غموض حول تصحيح ميل الطبقات. فى مثل هذه الحالات، فإن نتائج متبقيات الميل مسنولة حقيقة من خطوط العرض القديمة (المعطاء بالمعادلة (5-6)) عند زمن إكتساب التمعنط. إذا انحرفت خطوط العرض القديمة عن ماهو متوقع بالنسبة للمساحة فإنه يستدل على إزاحة المساحة بالنسبة للراسخ.

* أم القارات: الأرض المنضمة قبل زحزحة القارات.

** قارة قديمة كبيرة يعتقد أنها تولف وحدة برية واحدة، ونشأ عن تشققها وانجراف بقاياها القارات الحديثة الثلاث: أوروبا - آسيا وأمريكا الشمالية. جندوانا: قارة عظيمة يعتقد أنها كانت وحدة برية (فى الحقب القديم) ونشأ عن تشققها وانجراف النواتج قارات أفريقيا، أمريكا الجنوبية، استراليا، جنوب آسيا والقارة القطبية الجنوبية.

راسخ (craton) كتل صخرية راسخة تحدث بينها الطيات المقعرة.

يمكن رؤية اتجاه الإزاحة العامة فى اتجاه الشمال فى شكل (5-22)، بمعنى أن أغلب الأقطاب المخالفة تتحرك نوعا ما من مواقع الأقطاب المعاصرة لمنحنى مرجع أمريكا الشمالية. بالإضافة، بالنسبة للمواقع، فإن أغلب الأقطاب الحائدة زحبت فى اتجاه اليمين، دالة بذلك على دوران فى اتجاه عقارب الساعة. حقيقة، فإن أغلب الأراضي متحركة، ويبدو أغلبها كأجزاء قشرية غريبة تتصادم وتتزايد لحافة راسخ أمريكا الشمالية أثناء عصور الميزوزوى والسينوزوى المتقدم.

5.6.5 شبه قارات البروتروزوتك Proterozoic Supercontinent:

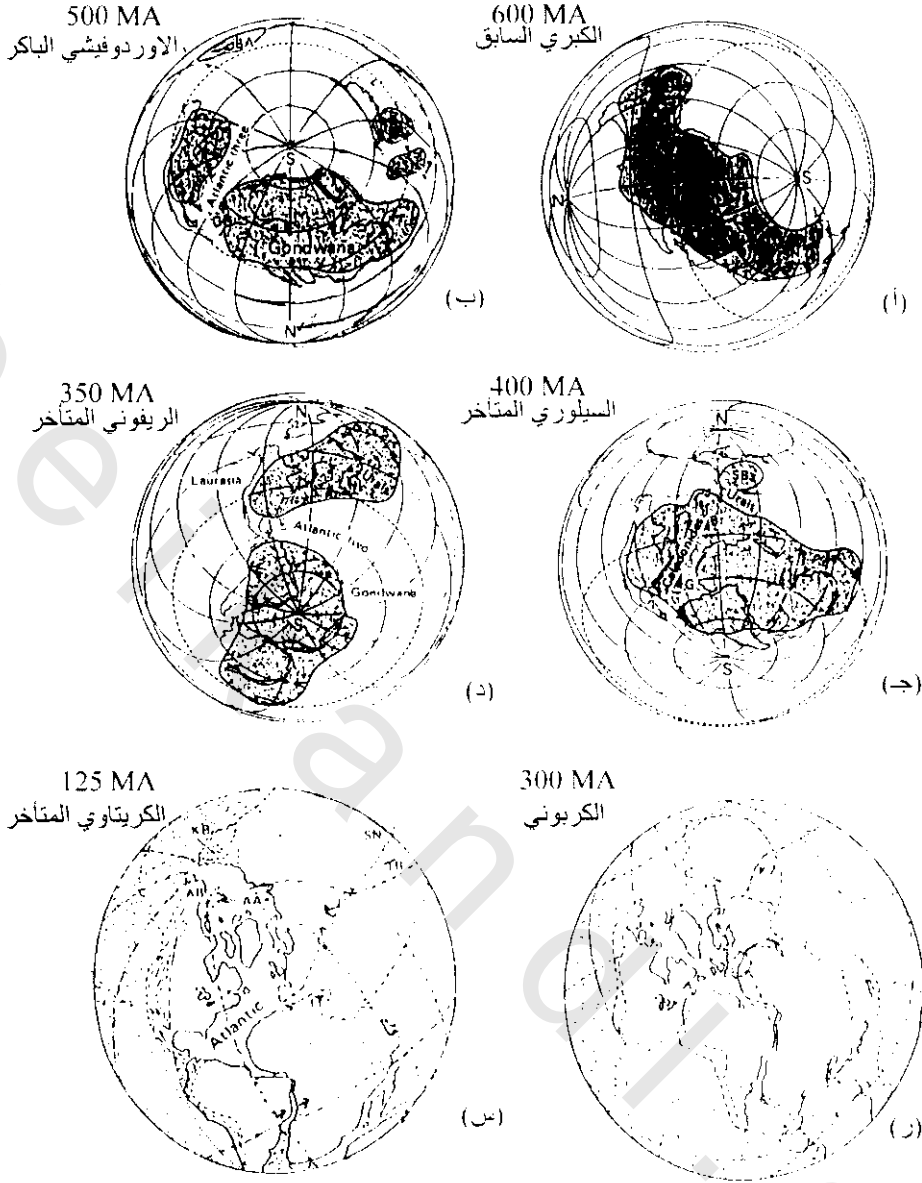
يكون إعادة شكل القارات فى عصر البريكامبرى صعب، وتزداد الصعوبة بازدياد الزمن. هذا لأن النتائج الإشعاعية الدقيقة التى تمثل عصر التمعنط يكون من الصعب الحصول عليها فى أغلب صخور البريكامبرى. عندما تكون النتائج أقل تأكيدا، فإن قطع من طرق التجوال الظاهرى للقطب APW غالبا ما تكون متصلة بطرق مختلفة، وهذه تؤدى إلى تنوع وموقع منحنيات APW. بالرغم من هذا التحديد، فإن نتائج المغناطيسية القديمة للبريكامبرى تكون نتائج معلومات كمية هامة على التوزيع الإحتمالى وتحركات المناطق القارية.

قدمت نتائج المغناطيسية القديمة من أمريكا الشمالية وأفريقيا رأيا بتقارب تشابه طرق APW من 1000 مليون سنة تقريبا إلى 2200 مليون سنة، والطرق تقريبا صالحة بواسطة اتصال مناطق أفرو-أريبيان وأمريكا الشمالية لتكون وحدة قارية متصلة شكل (5-23). نتائج المغناطيسية القديمة من القارات الجنوبية علاوة على أفريقيا-برغم من انفصالهم. تكون متوافقة مع تناسقهم (أشكالهم) بالنسبة لأفريقيا أثناء الفترة الأعلى. يوضح شكل (5-23) أيضا أن الأحزمة الأصلية الخاصة بـ 1150 ± 200 مليون سنة أمر ذو بال (قصة استطرادية)، تشتت الآن بواسطة الإزاحة الأخيرة، حيث يحتمل أن تكون ظاهرة متحدة موضوعة على طريقة قوس إتساع شبه قارة البروتوزوى. ومن المحتمل أن التفتت (التجزء) الكبير لشبه قارة البروتوزوى لم تبدأ حتى زمن البروتوزوى الأخير.

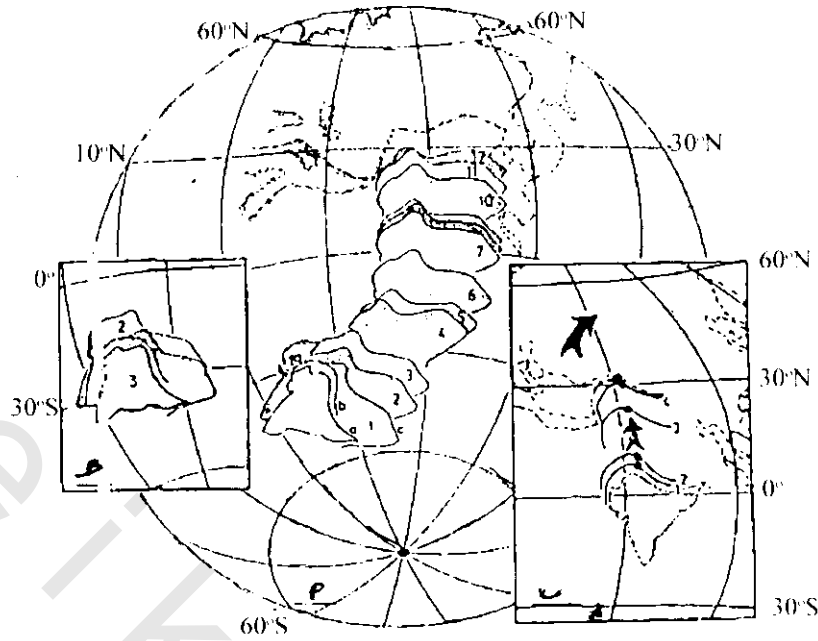
7.5 تطبيق لمسائل متنوعة Application to Miscellaneous Problems:

1.7.5 مقياس تركيبى صغير ومشاكل تكتونية: Small-Scale Structural and Tectonic Problems:

تزداد تطبيقات المغناطيسية القديمة لتفسير أنواع كثيرة لمسائل جيولوجية إقليمية متعلقة بالطبقية والتركيب أو التكتونية. اختبرت الأمثلة المشروحة هنا أولا لتوضيح إستخدامات الدراسات المغناطيسية القديمة فى إمداد معلومات جيولوجية.



شكل (5-21): خرائط إعادة تركيب قديم. (أ) تجمعات بانجيا عند نهاية البريكامبري، SB الدرع السيبيري، SN الدرع الصيني. (ب) افتتاح أطلنطي III وإتساع إنتشار القارات، BA البلطقي، G البريطاني، ليورنتيا. (ج) إنغلاق أطلنطي III وتكوين حزام الطي الزائد الكاليدوني وبانجيا الجديدة. (د) افتتاح أطلنطي II وإنشقاق تباعدى ليورسيا وجندوانا. (هـ) إنغلاق أطلنطي II فى منتصف الكربوني (حركة نتوء الجبال الهرسينية) وتجمع بانجيا أخرى. (و) أدى إنكسار البانجيا فى الجوراسى لتكوين الأطلنطي الحديث، الهند ومحيطات أركتك Arctic، نسيا كان إتساعها صغير فى أزمنة الكريتاوى [(أ-د) مورل وارنفتج 1979 Moral & Irving، (هـ) إرفنج 1981 Irving]



شكل (5-22): انحراف إتجاه الشمال ودوران عكس اتجاه الساعة للهند الكبرى (Greater India) تابع لإنكسار الميزوزوى الأوسط من جواندون لاند Gondwanaland (كلوتوجيك وآخرين 1981 Khoetwijk et al). (أ) إتجاه خط عرضى من الهند من الميزوزوى الأوسط إلى الميوسين الأخير (12a1) مستخرجة من دراسات المغناطيسية القديمة لصخور قارية وعينات لوبية من مشروع PSDP من المحيط الهندى. (ب) أماكن خطوط عرضية قديمة لتداخلات لاداك Ladakh عند حوالى 20-50 مليون سنة. (ج) أماكن خطوط عرض الميزوزوى الأوسط القديم لشبه قارة الهند الباكستانية IndoPakistan مستخرجة من تحول أقطاب الجوراسى الأوسط من أستراليا وأنتاركتيكا Australia & Anartica.

1.1.7.5 إنحنائية اليابان Bending of Japan

تعرضت جزر اليابان لكثير من تفسيرات المغناطيسية القديمة. وضع كاواى وآخرين Kawai et al 1961 أن إختلاف توافقى لحوالى 53° فى الإتجاهات الرئيسية (انحراف فقط) لـ NRM موجود من جانبي الشمال الشرقى والجنوب الغربى لقوس اليابان، بينما صخور الترشى وصخور ما قبل الترشى (الثلاثى) (Pre-Tertiary) وصخور الرباعى (Quaternary) من كلا جانبي طيه ترى الإتجاهات التى تقترب إلى الشمال الجغرافى وايضا كل للآخر. وقد علل بعض المؤلفين، أن الإختلاف فى الانحراف يعزى إلى التشوه الأساسى عند الوسط إلى إمتداد حوالى 53° فى الثلاثى المتقدم (المبدر). هذا الإستنتاج يتوافق مع الحقيقة إن المحاور الأساسية لجانبى الطيه غرب وشمال شرق مكونة زاوية على الخريطة الحالية حوالى 123° دالة على إنحناء تقريبي خلال 37° حول الوسط لجزيرة هونشو Honshu الأساسية.

2.1.7.5 دوران اسبانيا Rotation of Spain

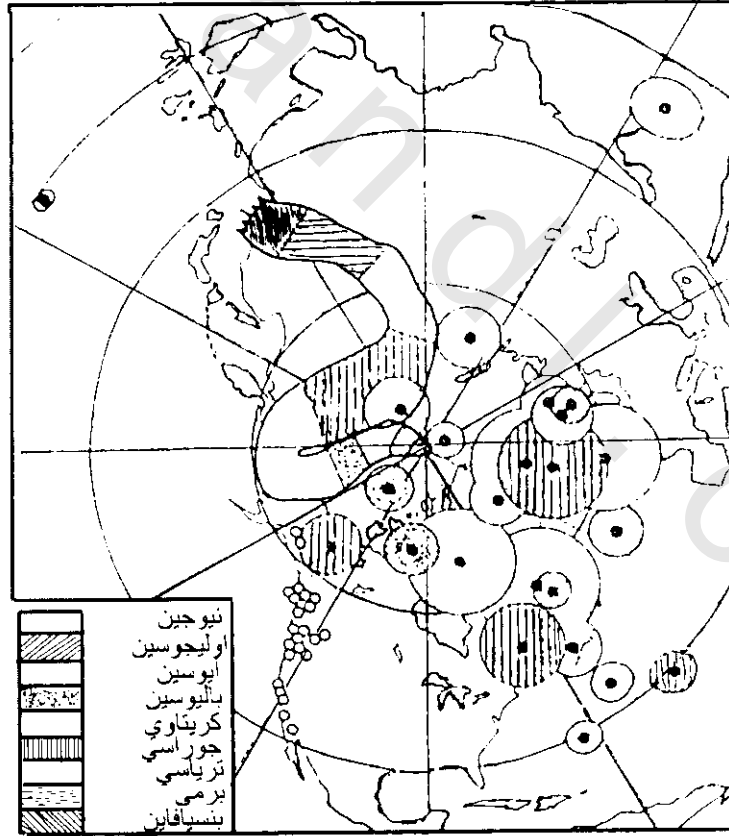
فكرة أن شبه جزيرة إيبريان Iberian عانت (كابتد) دوران عكسى مسار الساعة مشهورة بين كثير من مقترحي الإزاحة، وفى فرض خاص لكارى Carey 1958 على أسس جيولوجية فقط، بين أن شبه جزيرة إيبريان تعرضت لدوران عكس الساعة خلال 35° بالنسبة إلى مستقر (إضافى - ألين Alpine) أوروبا فى أزمنة الميزوزوى المتأخر. تمت عدة دراسات مغناطيسية قديمة متعلقة بدوران أسبانيا. وقد وضحت نتائج عينات صخرية من تداخل البرمى والكربونى (Permo-Carboniferous) تعرضت إلى إختبارات أنها رضخت

لإنحراف مغناطيسية قديمة التي تختلف بحوالى 35° من التي لأوروبا المستقرة. ويكون الإنحراف فى الميل غير ذات أهمية. وقد وضعت دلائل المغناطيسية القديمة صاعدا بواسطة فان درفو (VanderVoo) حيث عضدت بإقناع مواجه دوران ضد الساعة بواسطة كارى (Carey).

اتفقت النتائج الحديثة للمغناطيسية القديمة من رسوبيات الميزوزوى لأسبانيا مع الإستنتاجات الأولية حول الدوران واقتراح الدوران البادئ فى أزمنة الكريتائى المتوسط (Mid-Cretaceous).

3.1.7.5 الدوران النسبى لكتلة بوهيميان :Relative Rotation of Bohemian Massif

أنجز بركنجمير وآخرين Birkenmajer et al 1958 دراسات مغناطيسية قديمة للصخور النارية والرسوبية لزمى الكربونى العلوى من حوض سيودتك الداخلى Inner Sudetic كتلة بوهيميان Bohemian. وقد وجد اختلاف هام لحوالى 17° فى إنحراف المغناطيسية اقدية للمنطقتين شكل (5-25) مع وجود توافق كامل بين النتائج المقاسة على الصخور النارية والرسوبية. أيضا، الاختلاف فى الزمن، أو فى إعادة التماغنط الثانى، لاتظهر القدرة لتفسير الاختلاف الهام فى إنحراف المغناطيسية القديمة بين المنطقتين. لذلك استنتج بركنجمير وآخرين أن حوض سيودتك الداخلى وكتلة بوهيميان تعرضت نسبيا لدوران بعد الكربونى حول محور رأسى خلال 17°. بينما دليل المغناطيسية القديمة للدوران تظهر اقناع تام، بسهولة بسيطة تصميم أى مساحة دارت بالنسبة لأوروبا ككل.



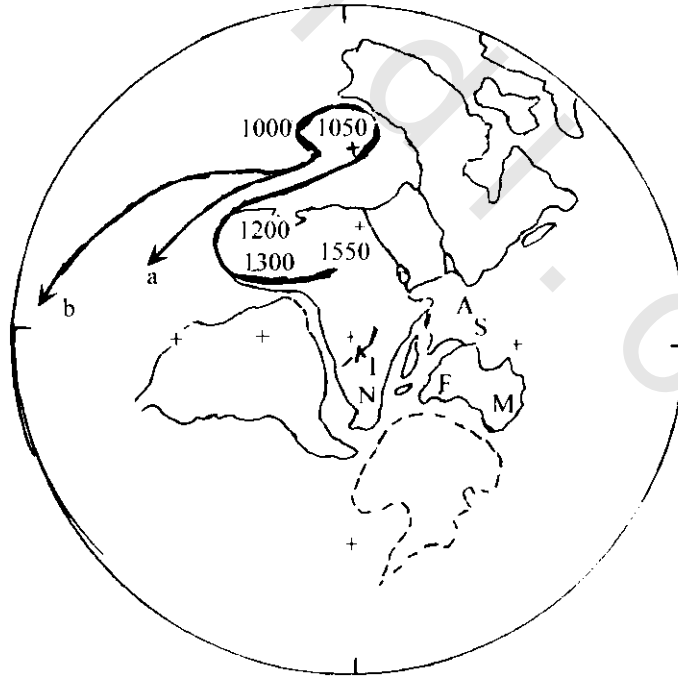
شكل (23-5): تنقيط لإنحراف للميزوزوى وأماكن أقطاب حديثه من غرب كورد يلليرا شمال أمريكا Cordillera N. America بمقارنة مع طريق تجوال القطبى الظاهرى لشمال الرواسخ الأمريكية إرفنج 1979 Irving. تشير الدوائر المفتوحة إلى مواقع العينات والمغلقة إلى الأقطاب بتوافق موثوق 95%. شارما أعاد الرسم من (فان درفوساتيل Candervoo and Channele 1980).

2.7.5 ترمين (تاريخ) المغناطيسية القديمة والإستراتجرافية المغناطيسية

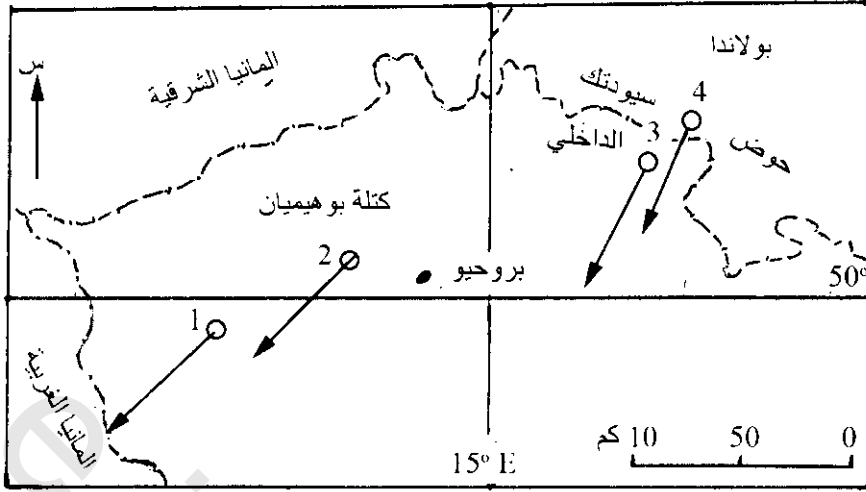
Paleomagnetic Dating and Magnetostratigraphy:

أنتج زيادة زمن الصخور من كتلة استقرار شبه قارى متوسط أماكن قطب المغناطيسية القديمة والتي زادت إزاحتها من مكان القطب الحالى. لذلك، يمكن تعيين زمن المتبقيات من أماكن الصخور بواسطة تحديد مكان متوسط قطب المغناطيسية القديمة على منحني تجوال القطب المعروف لنفس استقرار الكتلة تكتونيا. ومن الضروري التحديد الدقيق لمنحني تجوال القطب خلال قياسات يعتمد عليها قبل إستخدامها للتأريخ المغناطيسى للصخور الخاصة لنفس الوحدة التكتونية. ويكون لتطبيق الجهد للمغناطيسية القديمة كأداة تأريخ أهمية خاصة فى دراسة صخور رسوبية غير حفريّة.

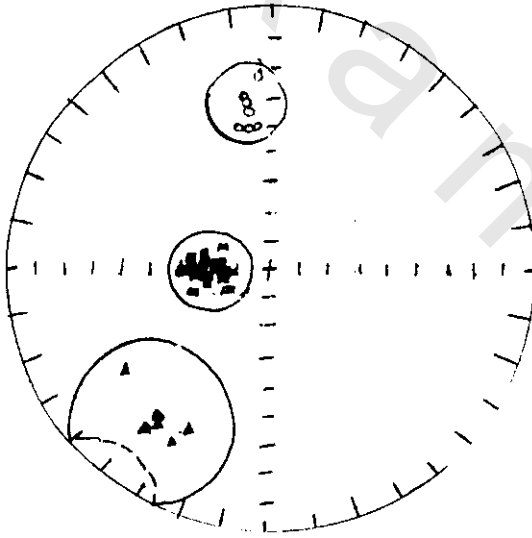
الإختلافات الواضحة فى إتجاهات المغناطيسية القديمة الناتجة من صخور تكونت أثناء إحداث كبيرة لصخور نارية فى مساحة تكون هامة جيولوجيا حتى عند عدم منشأ لمنحني تجوال القطب للمساحة. أيضا لا يمكن تقدير قيمة الإختلافات الزمنية الهامة فى إتجاهات المتبقيات. مثال ذلك، ترى سدود ما قبل الكمبرى لنفس الإتجاه (سلسلة أبينتى (Abitibi) فى الدرع الكندى، ثلاث مجموعات مختلفة الإتجاه شكل (5-26) ولذلك يحتمل أن تكون هذه المجموعات لثلاث عصور مختلفة. فى دراسة تمت بواسطة فاهرج وآخرين 1965 Fahrigr et al لسلسلة سدود ماكينز (Mackenz) (أيضا فى الدرع الكندى) حيث وجد أن إتجاه العينات المجمعة من سدود متباعدة باتساع وتختلف فى على الأقل بـ 30° أنها أحسن ما جمع. أدى هذا الإقتراح أن تداخل السلسلة حدث لصخور نارية لأجل قصير نسبيا.



شكل (5-24): إعادة تركيب قارات جندوانا وشمال أمريكا قبل حوالى 1000 مليون سنة. BP اشتقت من نتائج المغناطيسية القديمة. أحزمة حركات بنائية الجبال تختص بحوالى 1200 مليون سنة (A) أرافالى (Aravali)، (F) فرازر (Frazer)، (G) جرنفيللى (Gerenville)، (I) إريوميد (Irumide)، (K) كبران (Kibaran)، (M) موسجراف (Musgrave)، (N) ناماكيولاند (Namugualand)، وبدء تجمع طرق تجوال القطب الظاهرى من حوالى 1000 مليون سنة لشمال أمريكا (a) وأفريقيا (b) (بيبر 1974 Piper)



شكل (5-25): خريطة خطية توضح مناطق العينات في حوض سيوندك الداخلي (3, 4) وكتلة بوهيميان (1, 2) لصخور الكربوني العلوي. وأيضاً ترى اتجاهات المركبة الأفقية للمغناطيسية المتبقية القديمة للصخور المدروسة (بركنمجيور وآخرين Birkenmajoor et al 1968)

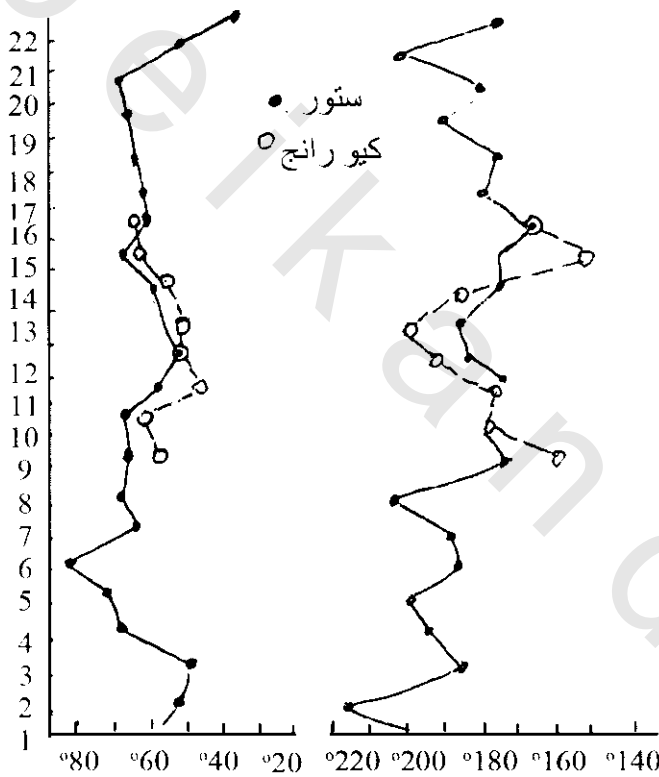


شكل (5-26): تأرخ نسبي بواسطة اتجاهات المغناطيسية المتبقية. سدود بنفس الاتجاه في كندا. سلسلة أبييتي (Abitibi)، ترى ثلاث اتجاهات واضحة ومن المحتمل لها ثلاثة عصور مختلفة (لاروسيللي Larochelle 1966، إعيد الرسم بواسطة تارلنج Tarling 1971)

توجد عدة تقارير مقارنة لتتبع حممى عند أماكن مختلفة بواسطة مطابقة اتجاهات NRM لها. مثال ذلك مقارنة استخدام اتجاهات المغناطيسية المتبقية كما في شكل (5-27) الذى يوضح تتابع حمم الثلاثى على منطقتى ستور Storr وكيورانج Quirang باسكتلاند Scotland المتباعدين بحوالى 15 كم. وعرف من الدلائل الحقلية أن لهم نفس العصر، ولكن لم تعمل مقارنة متتابعة بواسطة الطرق الجيولوجية العادية. بواسطة مطابقة الاختلافات لإتجاهات المغناطيسية القديمة فى كل قطاع، فقد وجدت مقارنة جيدة لإنسياب كيورانج Quirang (8 مع بعضهم) مع الإنسيابات من 10-17 عند ستور Storr.

يشير إستخدام قطب المغناطيسية الأرضية كعلاقات أفقية فى التكوينات البركانية والرسوبية لنتائج جزية الثلج Iceland التى تعود إلى سنة 1950. منذ ذلك، تستخدم الطريقة باتساع كإضافة إلى التخریط الحقلى فى جزيرة الثلج وأماكن أخرى.

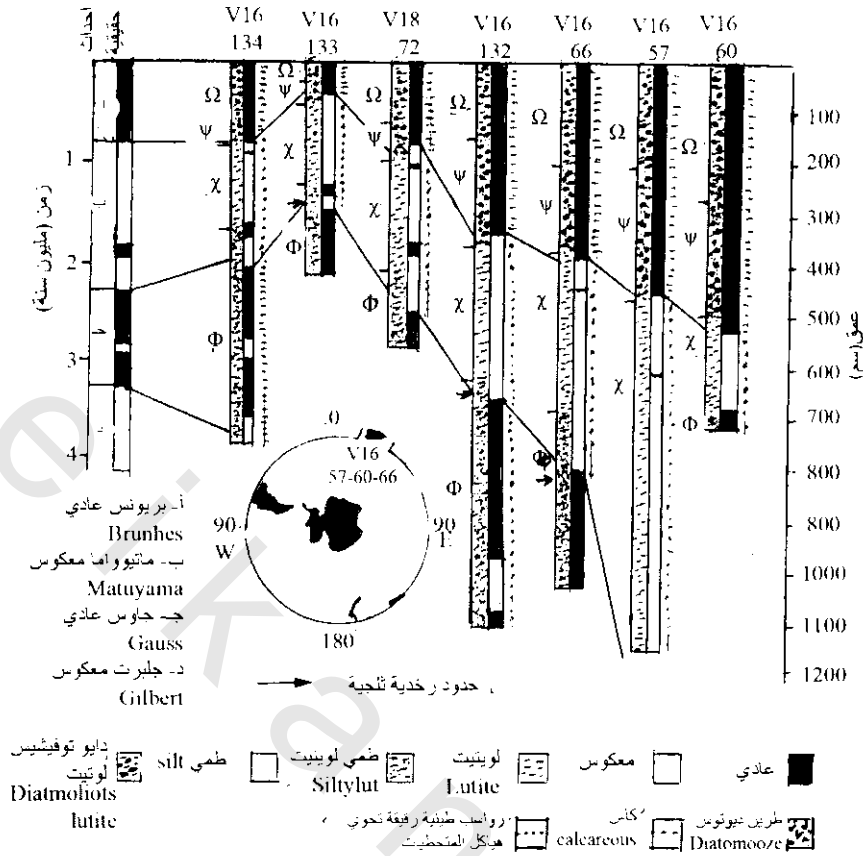
برهنت الإستراتجرافية المغناطيسية للرسوبيات على التقدم للأهمية الكبيرة فى الجيولوجيا البحرية. العينات اللوية (core) البحرية العميقة لها فائدة فى التسجيل الرسوبى الذى يعرف بالإستمرارية، والتاريخ النسبى للقطاعات يمكن عملها أكثر دقة. ويوضح شكل (5-28) مقارنة إستراتجرافية مغناطيسية لبعض عينات أنتاركتيك Antarctic. ويمكن أيضا حساب معدل الترسيب الذى يختلف فى العينات المدروسة من 1 إلى 8 مليمتر لكل ألف سنة. إستخدمت الانقلابات القطبية غالبا كأداة إستراتجرافية تامة، حيث تسمح ملاحظة وقت تزامن الطبقات فى قطاعات إستراتجرافية ذات اتساع تباعدى بدون حفريات شائعة وسحنات مختلفة.



شكل (5-27): مقارنة لميل المغناطيسية القديمة وانحراف معاصر لإتسباب حمى عند المكانين ستور Storr وكيورانج Quirang (خان Khan) 1960

إمتدت طريقة المقارنة هذه إلى الرسوبيات القديمة من كلا المحيطات والقارات. فى حالة خاصة ، درس بتفصيل كبير مجنوستراتجرافية قطاع جيوبو Gubio فى إيطاليا Italian فى إتصال بربط قاعدة الشذوذ رقم 29 شكل (4-19) مع تواريخ علم الحفريات القديم لتتابع معكوس يقطع حد الكريتارى - الثلاثى. إرتفع هذا الحد بمقدار جيد ذات أهمية بسبب انقراضات ذات إتساع عالمى لأنواع كبيرة من أصناف (شاملة مجموعات كبيرة من الحيوانات والنباتات) عند هذا الزمن والتي تختلف بريا وغير برى** باقتراح اسباب لذلك. تكون الدقة فى مقارنة مجنوستراتجرافية قطاعات رسوبية مثل علاقة حد كريتارى ثلاثى عند أماكن متباعدة حاسمة جدا لاختبار عصور منقرضة ، أعيد الإشارة إليها بواسطة تغير الفرومنيفرا فى قارات مختلفة وقطاعات بحرية.

* تشمل بركانيات ممتدة ومناخ قاسى وتغيرات جغرافية المحيطات.
** بين هذه أحداث كارثية لإنفجار النجم الكبير وكذلك أخذ فى الإعتبار تصادم الشهب.



شكل (28-5): مقارنة للمغناطيسية الإسترأجرافية فى سبع عينات لوبية Cores من أنتاركتك Antarctic ، ترى المواقع فى الإدخال. الحدود بين مناطق الحفريات ترى عند شمال كل قطاع (أوبديك 1968 Obdyke)

3.7.5 مغناطيسية الآثار والتغيرات القرنية: Archeomagnetism and Secular Variations:

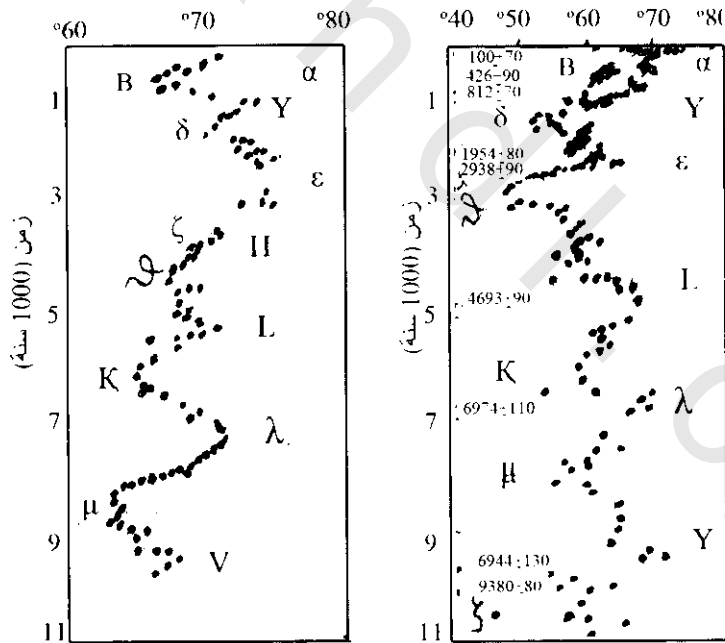
تعود تسجيلات المراسد المغناطيسية إلى 400 سنة، وهذه الفترة من الزمن قصيرة جداً للسماح بتوقع سلوك زمن طويل للمجال المغناطيسى الأرضى. تطبيق التسجيل الممتد بواسطة طرق المغناطيسية القديمة لتأريخ المواد الجيولوجية التاريخية، إلى تسجيل تاريخيا لإنسياب الحمم، وهى نوعا ما أقل دقة لتأريخ رسوبيات رقيقة. غالبا تستخدم قوالب طوب المبانى، جصاصة خزف، قراميد، خزف، طين رقيق، إلخ، فى امتداد التسجيل لأزمنة التاريخ وما قبل التاريخ، هذه الطريقة فرع من المغناطيسية القديمة ومغناطيسية الآثار حيث نشأ موضوعها على معرفة التغيرات القرنية لمجال المغناطيسية الأرضية لآلاف من السنين مضت. وقدمت عمل دراسات تغيرات قرنية لاتجاه المجال عند أماكن مختلفة لفترات معينة بواسطة باحثين من أوروبا، اليابان، الولايات المتحدة الأمريكية وروسيا. لخص تارلنج Tarling 1983 نتائج حديثة من مصادر مختلفة بسبب نقص نتائج مراجع منحنيات تغير قرنى المنشأ لبعض المناطق المحلية فقط. يمكن استخدام هذه المنحنيات كأداة تأريخ فى علم الآثار.

يمكن تتبع آثار التغير فى الانحراف والميل للمجال الأرضى خلال الأزمنة الحديثة فى بحيرات الترسيب الذى يكون معدل ترسيبها عادة أسرع من رسوبيات البحار العميقة. وقد أشار تومسون Thomson 1982 إلى أن أغلب التغيرات الحديثة يمكن مقارنتها مع تسجيلات مغناطيسية الآثار، ويمكن أن تمتد التغيرات القديمة نتائج ملائمة لدوران المتغير القرنى للمجال الأرضى. توجد الآن تسجيلات تفصيلية ملائمة من بحيرات عديدة فى

أوروبا، أمريكا الشمالية وأجزاء أخرى من العالم. بسبب تأثير التغيرات لقوى الترسيب ومقابل الترسيب، يكون هناك غابا صعوبة المقارنة للتأرجح فى الانحراف والميل من بحيرة لأخرى. يمكن إستخدام نتائج ^{14}C بدقة كافية، فقط لتسجيلات عينات لوبية قليلة كمؤشرات ملائمة لإتجاه المجال الحقيقى خلال فترات معينة من الزمن. يوضح شكل (29-5) تسجيلات ميل مغناطيسية قديمة لبحيرات ستروكس وكلين St. Crox and Kylene في منيسوتا Minnesota بالولايات المتحدة الأمريكية وبحيرة وندرمير بإنجلترا (U.S.A. 39° W, 46° N) Windermere (England)، يوجد بعض التشابه بين طرفى النماذج (الميل، الانحراف) ولكن يوجد طور ناقص فى حدوث الميل الأكبر والأصغر عند الموقعين. سجلت ظاهرة ترقيم (a, γ) مؤخرا فى أمريكا الشمالية أكثر من أوروبا. تشير ظاهرة النقص إلى أن هذا الطور الناقص يدل على أن إنحراف التغير القرنى يكون فى إتجاه الغرب. يوجد 90° اختلاف خط طول بين المكانين. حسب معدل متوسط إتجاه الانحراف للغرب من اختلافات فى عصر ظواهر الترقيم وقد وجد أنه حوالى 0.15° لكل سنة والذى قورن جيدا مع المعين بواسطة خرائط مجال عدم ثنائية القطب التى رسمت لأحقاب مختلفة.

4.7.5 شدة مجال المغناطيسية القديمة : Intensity of the Paleomagnetic Field

درست تغيرات ماضية فى شدة المجال المغناطيسى الأرضى من قياسات مغناطيسية الآثار خاصة فى فرنسا، اليابان، اليونان، وتشيكوفاكيا. العمل التقليدى فى الشدة القديمة أولا بواسطة تليير 1959 Thellier على طوب محمص وخرف لعصر آثار معلوم، وقد قبلت هذه الطريقة بإتساع كطريقة قياسية. وقد وضعت طريقة تليير



شكل (29-5): تسجيلات تغير قرنئى لميل المجال المغناطيسى الأرضى، حصل عليه من نتائج دراسات مغناطيسية قديمة (أ) بحيرة ستروكس وكلية فى منيسوتا، الولايات المتحدة الأمريكية، (ب) بحيرة وندرمير، إنجلترا Windermere England. منمقارنة تلك التسجيلات قدر معدل الانحراف إتجاه الغرب للتغير القرنئى بحوالى 0.15° لكل سنة.

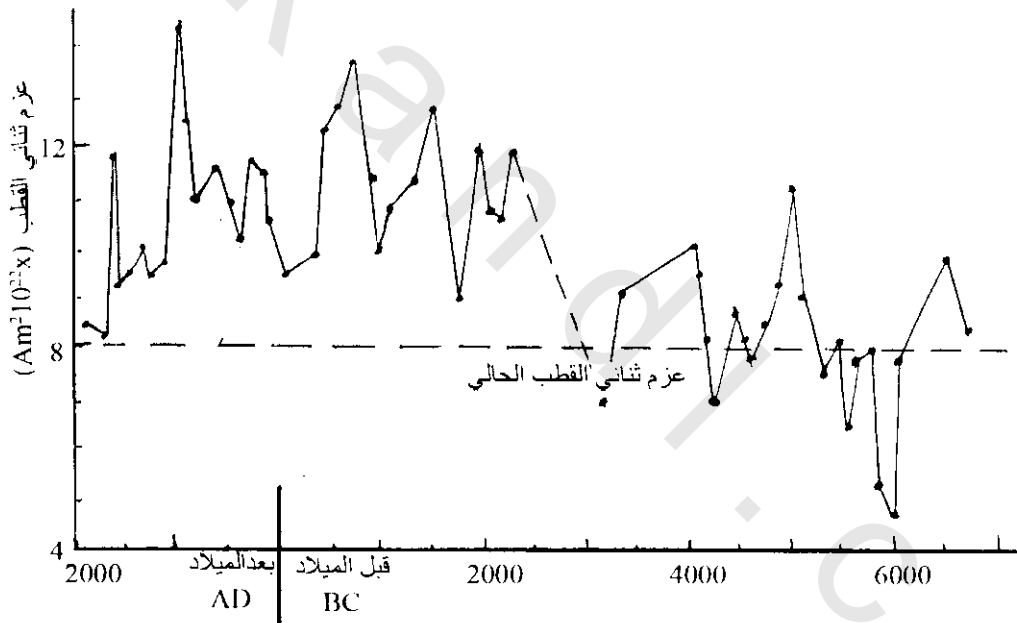
على أساس PTRM شكل (2-5) تكتسب T_1 إلى T_2 ، $(T_1 - T_2)J_L$ ، حيث تتحمل نسبة ثابتة لـ PTRM، $(T_1 - T_2)J_N$ التى تكتسب فى موقع عند أصل برود الصخر خلال نفس الفترة لاكتسابها تمغنط فى مجال شدة قيمة F_A . ويمكن بذلك تحديد الشدة القديمة للمجال من العلاقة الآتية:

$$J_N(T_2-T_1)/L(T_2-T_1) = F_A/F_L \quad (5-10)$$

تتطلب طريقة تليير تكرار التسخين والتبريد والتي تنتهي كل وقت. في السنوات الحديثة، جرب بعض الباحثين بنجاح متغير بعض الطرق المعدلة التي تحتاج تسخين مفرد. لخص بوشا 1970 Busha نتائج الشدة القديمة الأولى، والتي تدل على أن المجال الأرضي نقص في الشدة بواسطة معامل لحوالى 1.5 عبر 2000 سنة الماضية.

تشير تغيرات نتائج شدة المجال الأرضي التي حصل عليها في أوروبا الشرقية والتي وضعت على قياسات آثار المغناطيسية لمواقع (أهداف) تأرخ خلفى إلى 8000 سنة B.P. إلى ظاهرتين مهمتين شكل (5-30):
(أ) بالرجوع خلفا في الزمن إلى 4000 سنة B.P. اعتبر أن عزم ثنائي القطب الأرضي أكبر من الحاضر.
(ب) تغير شدة المجال الأرضي يكون نوعا ما معقدا عاكسا تراكم لعدة تغيرات مختلفة.

وقد أشارت دراسات جيمس 1980 Games لمجال مغناطيسية الآثار في مصر مستخدما قوالب طينية مجففة شمسيا إلى تراوح في شدة المجال بواسطة معامل تقريبي 4 بين 2000، 4000 سنة قبل الميلاد.



شكل (5-30): تغيرات في عزم ثنائي القطب الأرضي عبر 8000 سنة مضت مستنتجة من قياسات الشدة القديمة على عينات آثار (كوفاشيفا 1980 Kovacheva)

5.7.5 اختبارات المغناطيسية لنظريات الإمتداد: Paleomagnetic Test of the Expansion Hypothesis:

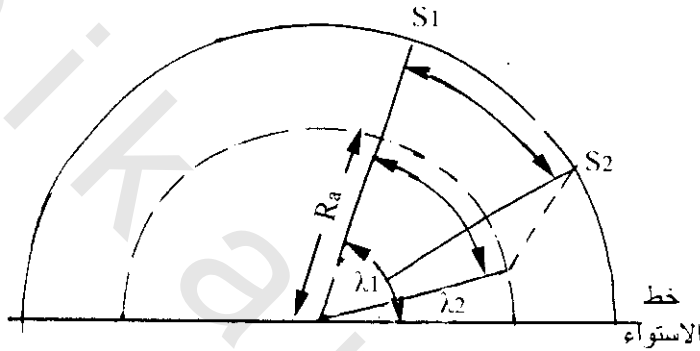
اقترح عدد من المؤلفين (أجيد 1957 Egyed، كاري 1976 Carey، أوين 1976 Owen) أن الأرض تمددت خلال الزمن الجيولوجي. وعامة ضمنت النظريات أن مساحة القارات بقيت حول الثبات وأن أحواض المحيطات نمت مع إمتداد إشعاعي (نصف قطري) للأرض.

يمكن إختبار فرض تغير نصف قطر الأرض بواسطة طريقة المغناطيسية القديمة. إذا لم تزداد القارات في المساحة خلال الإمتداد، فإن المسافة بين أى موقعين على الجزء الثابت لقارة واحدة يبقى نفسه. لهذا، إذا زاد

نصف قطر الأرض، فإن زاوية مركز الأرض بين الموقعين تنقص. بفرض أن مجال الأرض القديم يكون ثنائى القطب، فإن نصف قطر الأرض القديم R_a شكل (5-31) يمكن إيجاده من الصيغة الآتية:

$$R_a = \frac{\ell}{\lambda_1 - \lambda_2} = \frac{l}{\tan^{-1}\left(\frac{1}{2} \tan I_1\right) - \tan^{-1}\left(\frac{1}{2} \tan I_2\right)} \quad (5-11)$$

حيث ℓ التباعد الحاضر بين دوائر خطوط العرض للموقعين S_1 ، S_2 و I_1 ، I_2 زوايا الميل لإتجاه المجال المتبقى فى صخور الزمن المعاصر عند الموقعين.



شكل (5-31): اساس طريقة المغناطيسية القديمة لاختبار فرض تمدد الأرض بزيادة نصف قطر الأرض، فإن زاوية مركزية الأرض بين الموقعين S_1 ، S_2 تقل مع الزمن والتي أمكن ضبطها من تحديد خطوط العرض القديمة λ_1 ، λ_2 (معدله من مكافهينى 1973 McElhinny)

وقد تم تعيين نصف الأرض القديم بواسطة عدد من العاملين فى هذا المجال وارد Ward 1963، فان اندل وهوسبرس (Van Andel and Hospers 1968) ومكلهينى وآخرين (McElhinny et al 1978) من نتائج المغناطيسية القديمة للبالوزوى المتأخر والميزوزوى، وقد أظهرت قيم R_a أنها لا تختلف بأهمية عن نصف القطر الحالى. هذه النتائج لا تتوافق مع معدل الإمتداد السريع لكارى Cary وآخرين ولكن لا تكون كافية الدقة لنقص التقلص الخفيف أو امتداد لنسبة مئوية خلال 400 مليون سنة الأخيرة.

الفصل السادس

طرق الإستكشاف الكهربى

Electrical Prospecting Methods

1.6 مقدمة Introduction:

الإستكشاف الكهربى متنوع بدرجة أكبر من الطرق الجيوفيزيائية الأخرى. حيث تعتمد بعض طرقها على تأثير المجالات الناشئة طبيعياً مثل التيارات الكهربائية الأرضية الناتجة من تفاعلات كيميائية (الجهد الذاتى self potential)، موجات كهرومغناطيسية electromagnetic continuous waves، تيار عابر transient current و تيار أرضى telluric current وهى تشبه فى هذا الخصوص استكشاف الجاذبية والمغناطيسية. وطرق أخرى تحتاج تيارات أو مجالات كهربية تدخل فى الأرض صناعياً، وتشبه هذه الطرق الطريقة السيزمية وتشمل هذه الطرق طريقة المقاومة الكهربائية electrical resistivity method وطريقة الاستقطاب التآثيرى induced polarization methods.

تستخدم الطرق الكهربائية بكثرة فى البحث عن الفلزات والمعادن وذلك لفاعليتها فى الإستكشاف الضحل حيث نادراً ما تعطى معلومات عن ظواهر تحت سطحية أعمق من 1000-1500 قدم. طريقة الاستقطاب الذاتى تكون فعالة فقط لتحديد أماكن الخامات بجوار مستوى الماء الجوفى. أما طريقتى المقاومة الكهربائية والكهرومغناطيسية الأرضية فتستخدم لرسم خرائط أسطح صخور القاعدة الموجودة أسفل الأحواض الرسوبية وذلك لاختراقها الكافى للصخور. ولذا تستخدم كثيراً لاستكشاف البترول.

ايضا تستخدم طرق الاستكشاف الكهربى بدرجة متزايدة فى الجيولوجيا الهندسية، حيث تستخدم قياسات المقاومة النوعية لإيجاد عمق المصدر الصخرى، وكذلك فى الإستكشاف الجيولوجى الحرارى.

2.6 الخواص الكهربائية للصخور Electrical Properties of Rocks:

يستخدم الإستكشاف الكهربى ثلاث خواص أساسية للصخور:

1.2.6 الجهود الطبيعية Natural potential:

تشمل النشاط الكهروكيميائى electromagnetic activity والتيارات الكهربائية الأرضية telluric currents.

2.2.6 المقاومة النوعية (عكس التوصيل النوعى): Resistivity (opposite of conductivity):

تدل على التحكم فى كمية التيار أثناء مروره خلال الصخر عند تطبيق فرق جهد معلوم.

3.2.6 ثابت المعزل الكهربى (ε): Constant of electrical isolation:

يعطى معلومات عن سعة مادة الصخر لتخزين شحنة كهربية ويتحكم جزئيا فى تجاوب تكوينات الصخر للتيارات المترددة العالية التردد والداخلية فى الأرض بوسائل توصيلية أو حثية. وثابت العزل لمعظم الصخور الصلبة يتراوح من حوالى 6-10 وحدات كهروستاتيكية (esu) وللتربة المبتلة والطين يتراوح هذا الثابت من 40-50 (esu). وهذا الثابت يعتمد أيضا على تردد أعلى من 100 هرتز، وكذلك حساس للحرارة ويزداد ϵ للصخر كلما أصبح الصخر أكثر سخونة.

3.6 طرق الكهربية الذاتية Self-Electrical Methods:

1.3.6 النشاط الكهروكيميائى Electrochemical Activity:

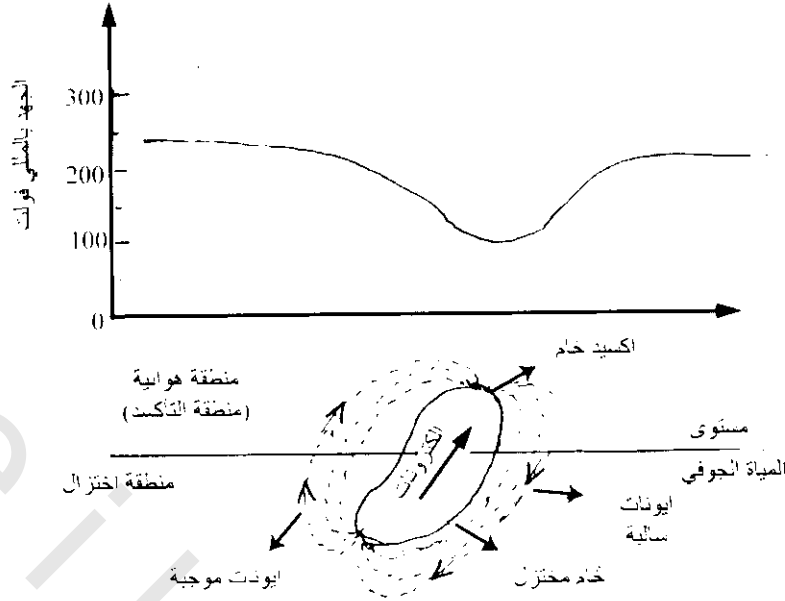
يعتمد النشاط الكهروكيميائى للصخور على تركيبها الكيميائى، وتركيز المحاليل الكهربية المذابة فى المياه الجوفية والتي تتلاشى معها. يحكم هذا النشاط قيمة وإشارة الجهد الناتج عندما تكون مادة الصخر فى إتزان مع المحلول الكهربى الموجودة فيه.

1.1.3.6 طريقة الجهد الذاتى Self-Potential Method:

تتضمن هذه الطريقة قياسات على السطح للجهود الكهربية الناشئة فى الأرض من التفاعل الكيميائى الكهربى بين المعادن والمحاليل الملامسة لها. عند تلامس أجزاء كتلة الخام مع محاليل ذات تراكيب مختلفة، تحدث تفاعلات كيميائية مسببة ضغوط مختلفة للمحلول على مناطق التلامس المناظرة. ويسبب الاختلاف فى ضغط المحلول اختلافا فى الجهد مما يسبب سريان التيار فى الأرض. أى تعتمد هذه الطريقة أساسا على النشاط الإلكتروكيميائى (electrochemical) المنتشر فى خامات معينة مثل الكبريتيدات والجرافيت والتي لها بريق معدنى كبير، وأيضاً جيدة التوصيل الكهربى، وتبعاً لذلك يكون لها مقاومة نوعية قليلة. مثل هذه الخامات لها سلوك مثل عناصر البطارية (معدن - أكسيد المعدن - حلول حمضى). فى الطبيعة، يكون نهاية الجسم المؤكسد قريباً من السطح بينما يكون الجزء الآخر من الجسم داخل المياه الجوفية.

بذلك يسمح الجزء العلوى السالب (المؤكسد) والجزء السفلى الموجب (المختزل) بانسياب التيار سفلها خلال جسم الخام. ويعود التيار لمحيطات حول الجسم لأعلى، وقياسات فرق الجهد بين النقط يكون على سطح الأرض، ويوضح شكل (1-6) نظام السريان الذى يمكن كشفه بالجهد السالب، والذى يدخله التيار بسريانه على السطح.

وبينما الجهود الأقوى من هذا النوع يتم تنشيطها فى خامات مثل الكبريتيدات فإن عدداً من المعادن الأخرى مثل البيروكسيدات والمجنتيت، تحدث أنظمة مميزة للجهد الذاتى. من الممكن أن تسبب كتلة الوثيت (خام الشبه) شاذة جهد تبلغ 1700 ميلل فولت بسبب تكون حامض خلال تكون الشب من الصخر المحيط. ليس كل كتل الكبريتيدات القريبة من السطح تحدث جهوداً شاذة بسبب وجود سطحية كثيرة تمنع التأكسد.



شكل (1-6): بروفييل جهد طبيعى عبر جسم كبريتى، مؤكسد أعلاه

هناك مصادر كاذبة للجهد تطمس تأثيرات التفاعل الكهروكيميائى التحت سطحى. حيث أن التغيرات فى ارتفاع المجال الطبيعى للجهد الجوى تحدث جهودا فى الأرض من الصعب التنبؤ بها. كذلك التيارات الكهربائية للأرض (تيارات طبيعة أرضية بامتداد كروى عالمى، ومتدفقة فى القشرة الأرضية) قد تحدث اختلافات فى الجهد يصعب أحيانا فصلها من الجهود الكهروكيميائية. الجهود السارية يمكن أيضا أن تسبب شاذات كبيرة، أكبر من تلك المصاحبة لأكسدة جسم الخام.

1.1.1.3.6 الطريقة الحقلية والتفسير Field Method and Interpretation

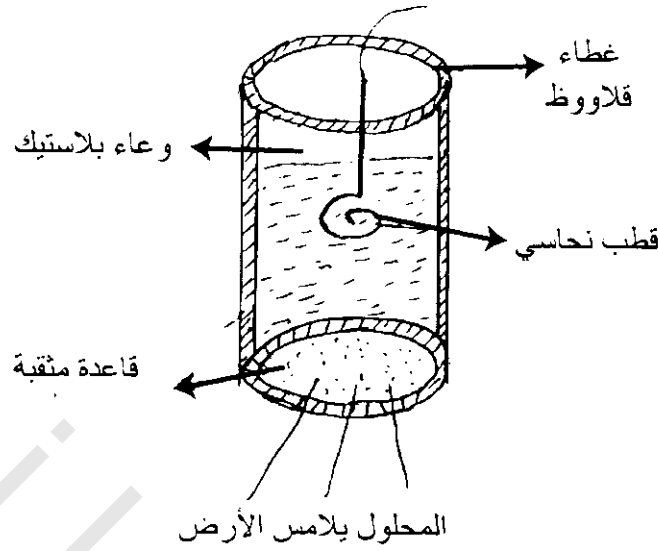
تكون قيمة شاذات الجهد الذاتى عادة بمنات الميللى فولت ويمكن تحديدها بواسطة أقطاب مسامية شكل (2-6) غير قابلة للإستقطاب متصلة بنهاية جهاز قياس الجهد (مقياس الميللى فولت)، ويتم قياس الجهود على بروفييلات بواسطة أزواج من هذه الأقطاب مع حفظ المسافة بينهم منتظمة. ومن مجموع عدة بروفييلات، ترسم نتائجها فى خريطة لتوضيح الفروق الحقيقية فى الجهد، من هذه الخريطة يمكن معرفة إتجاه إنسياب التيار وعندئذ يمكن توقيع جسم الخام كما فى شكل (3-6).

تنتج فروق الجهد على سطح الأرض من النشاط الكيميائى للخام الذى يتغير مع:

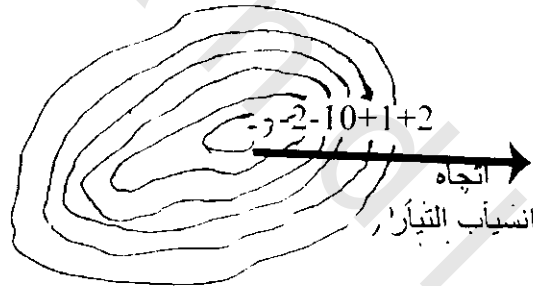
- الخواص للإلكترولىه.
- حجم وشكل جسم الخام.
- عمق الجسم أسفل سطح الأرض.

يحدد المركز السالب بواسطة قياسات عبر سطح الأرض بواسطة:

- توقيع نقط لنفس الجهد،
- قياس جهد الأرض عند مسافات منتظمة ورسم خطوط تساوى الجهد،
- عمل بروفييلات جهد فى إتجاهات عبر جسم الخام.



شكل (2-6): قطب قياس شاذات الجهد الذاتى



شكل (3-6): خريطة كنتورية توضح فروق الجهد ، واتجاه انسياب التيار (القيمة بالميللى فولت)

يمكن إكتشاف المركز السالب مباشرة عبر جسم الخام فقط، عندما تكون تضاريس المنطقة تحت الفحص نسبيا مسطحة.

2.1.1.3.6 قياس الجهد الذاتى Measurement of Self-Potential

1.2.1.1.3.6 طريقة تدرج الجهد Potential Gradient Method

فى هذه الطريقة يستخدم قطبى قياس عند أبعاد متساوية نموذجية من 5-10 متر، ويقسم خط المسح المراد قياس فرق الجهد له إلى أبعاد هذه الأقطاب لتعطى تدرج جهدى (ميللى فولت/متر). والنقطة التى تستخدم للرصد هى منتصف المسافة بين الأقطاب ثم تنقل الأقطاب لموقع آخر على طول خط المسح.

2.2.1.1.3.6 طريقة سعة الجهد Potential Amplitude Method:

في هذه الطريقة يثبت إحدى الأقطاب عند محطة القاعدة على أرض غير معدنية ويقاس فرق الجهد (ميلي فولت) عنده والقطب الآخر المتحرك على طول خط المسح. وتزيل هذه الطريقة مشاكل الإختلاط القطبي وتراكم الخطأ. ويجب الأخذ في الاعتبار التكفل بأن درجة حرارة المحلول الكهربى* فى القطب المتحرك لا تختلف عن فحوى من القطب الثابت (المرجع) او من نتائج اختلاف قطبي آخر. يتكون الجهد الذاتى من جهد ساكن ومركبة مترددة متغيرة**. وتنشأ الأخيرة بواسطة تأثيرات الأتموسفير، وبطول الوقت يكون للمركبة ساعات من نفس الرتبة كجهد معدنى ساكن. لذلك يجب أخذ أكثر من قراءة على طول نفس البروفيل فى أوقات مختلفة من النهار، ثم يؤخذ متوسط هذه النتائج. كذلك من الممكن أن تنتج شوشرة كهربية، إذا أخذت القياسات مباشرة بعد مطر كثيف أو بالقرب من أسطح مائية جارية. وكجهد للمجارى المائية، عندئذ ربما يكون للبحيرات جهد معدنى. عادة مايكون أكبر عمق جس لطريقة الجهد الذاتى حوالى 60-100 متر معتمدا على عمق جسم الخام وطبيعة الغطاء الرسوبى.

يوضح جدول (1-6) ملخص بعض الأنواع الشائعة لشواذ الجهد الذاتى والمصادر الجيولوجية المقابلة لها. بالإضافة لتصنيفات أخرى فإن الشكل الهندسى للتركيبات الجيولوجية يمكن أن يعطى أيضا شاذات جهد ذاتى. ولذلك فإن الجدول يستخدم كمرشد.

جدول (1-6) شاذات الجهد الذاتى ومصادرها الجيولوجية.

الشاذة	المصدر
سالب ≈ منات ميللى فولت	<p>i- جهود معادن</p> <p>أ- أجسام خامات كبريتيدات (بيريت، كلكوبيريت، بيروهوتيت، سفاليرايت، جالينا)</p> <p>ب- أجسام خامات الجرافيت</p> <p>ج- ماجنيتيت ومعادن ذات توصيل الكترونى</p> <p>د- فحم</p> <p>هـ- منجنيز</p> <p>و- عروق كوارتز</p> <p>ز- بجماتيت</p>
موجب ≈ عشرات ميللى فولت	
	ii- جهود خلفيه
موجب أو سالب ≥ 100 ميللى فولت	أ- مجاورى السوائل، تفاعلات كيمياء أرضية.. إلخ
سالب ≥ 300 ميللى فولت	ب- كهربية حيويه (بيوالكترىك) نبات وأشجار.
موجب أو سالب \geq منات ميللى فولت	ج- تحركات المياه الجوفيه
سالب ≤ 2 فولت	د- التضاريس

* معامل درجة حرارة النحاس - كبريتيد نحاس حوالى 0.5 ميللى فولت/درجة حرارة ، وحوالى 0.25 ميللى فولت /درجة حرارة للفضة - كلوريد فضة.

** حوالى 5-10 هرتز.

3.1.1.3.6 أصل الجهود الذاتية :Origin of Self-Potential

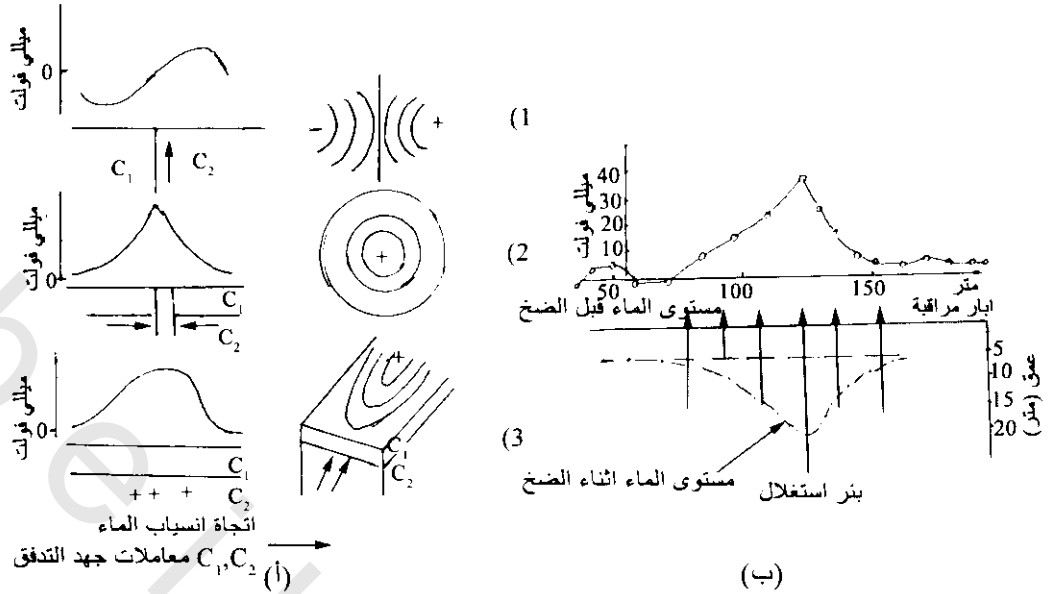
العامل الشائع بين العمليات المختلفة والمسئول عن الجهود الذاتية هى الماء الجوفى، حيث أن هذا الماء مذاب فيه معادن مختلفة، لذلك فإنه يعتبر وسط إلكترولى، أنواع هذه الجهود ممثلة فى الجدول (2-6) يوجد ثلاثة طرق توصيل كهربى خلال الصخور بواسطة توصيلات العازل الكهربى، الكتروليتى والكرونى (أوم). يعتمد التوصيل الكهربى (مقلوب المقاومة) على مسامية الصخور وترتيب الفراغات بها وكذلك على حركة الماء (أو سوائل أخرى) للمرور خلال مسافات المسام (عندئذ على حركة الأيونات، تركيز المحالول، اللزوجة، درجة الحرارة والضغط).

جدول (2-6). أنواع الجهود الذاتية وحالتها ومعادلتها الرياضية.

النوع	الحالة	المعادلة
i- كهربية حركية electrokinetic		$E_K = \frac{\epsilon \mu C_E \delta_p}{2\pi \eta}$
أ- ترشيح كهربى Electrofiltration		حيث ϵ ثابت عازل، μ مقاومة، C_E معامل ازدواج الترشيح δ_p فروق الضغط، η لزوجة ديناميكية.
ب- كهربية ميكانيكية Electrochemical ج- تدفقات Streamings		
ii- جهد كهروكيميائى electrochemical Potential		$E_d = \frac{RT(I_a - I_c)}{\eta F(I_a + I_c)} I_n (C_1 / C_2)$
1- جهد إنتشار Diffusion Potential أ- سوائل موصلة Liquid-Junction		حيث R ثابت الغاز العالمى، I_a حركة أنيونات (+) I_c حركة كاتيونات (-)، T درجة الحرارة المطلقة (K)، η تكافى أيونى، F ثابت فرادى (Faraday)، C_1 ، C_2 تركيزات المحاليل
2- جهد نرنست Nernst Potential أ- طفلة أشمت		$E_N = \frac{RT}{\eta F} \ln(C_1 / C_2)$
iii- جهد معدنى Mineral Potential	ثابت	عند $I_c = I_a$ فى جهد الإنتشار

3.1.1.3.6 جهود الكهربائية الحركية (E_K) :Electrokinetic Potential

تتكون هذه الجهود كنتيجة إنسياب الكتروليتى خلال الشعيرة أو وسط مسامى ويقاس الجهد عبر نهايات الشعيرة وتشمل هذه الجهود الترشيح الكهربى electrofiltration، الكهربائية الميكانيكية electrochemical وجهد التدفق streaming potential. وتبعاً لقانون هلمهولتز Helmholtz، فهناك علاقة بين التيار الكهربى والتدرج الهيدرولى ومعامل ازدواجية الترشيح الكهربى (C_E)، والتى تأخذ فى الاعتبار الخواص الكهربائية للمحلول الكهربى (الكتروليت) والشبكة التى يمر خلالها المحلول الكهربى. أيضاً، من المهم إنسياب المياه أما موازية للحدود الجيولوجية أو مستوى المياه الجوفى.



شكل (4-6): (أ) بروفيلات مثالية لجهد ذاتي كهربية ترشيح وتخطيط للنماذج (سيشافون وكوارتو Schia-Von and Quartz) 1984. 1- حد رأسي تابع على استقامته. 2- ضخ من بئر والإدخال في البئر سينتج معنى شاذة معاكس). 3- إنسياب حدودي أفقي تتميز سطوح التماس بواسطة بتاين في معامل جهد الترشيح (C, C2). (ب) مثال الشاذة SP ناتجة بواسطة ضخ من البئر (سيمونوف 1980 Semonov)

يوضح شكل (4-6) رسومات خطية لأوضاع جيولوجية مختلفة لقيم خواص معامل ازدواجية الترشيح الكهربية. CE لكل وحدة جيولوجية، أما شكل هب يوضح تزايد التدرج الهيدروليكي بواسطة استخراج مياه حيث زيادة معدل انسياب الماء في اتجاه البئر، عندئذ يلاحظ موجبة الشاذة.

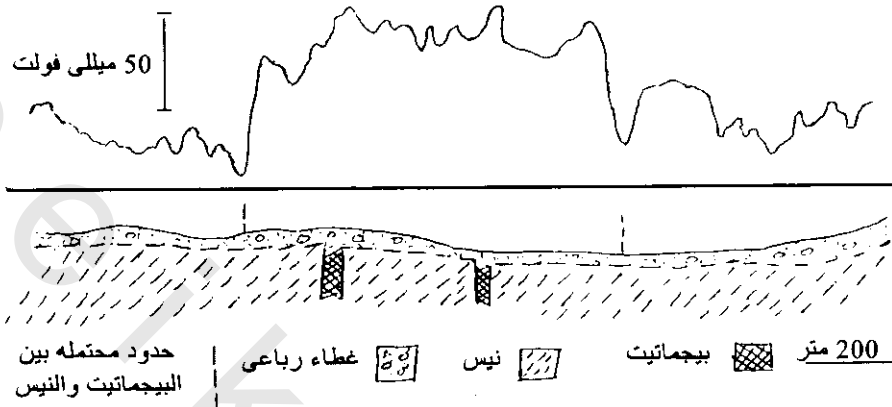
2.3.1.1.3.6 الجهود الكهروكيميائية Electrochemical Potential

ترتفع جهود الانتشار (جهود السوائل الموصلة) عبر خلفية عابرة إلى عشرات من الميلي فولت، ربما يعود ذلك إلى الاختلاف في حركة المحاليل الكهربية التي لها تركيزات مختلفة خلال المياه الجوفية. هذه الخلفية توضح استمرارية وجود خلفية الجهود، لذلك يحتاج إلى مقدرة المصدر لحفظ عدم التوازن في تركيزات المحلول الكهربى، وإلا فإن اختلاف التركيزات ستختفى مع الوقت بواسطة الانتشار.

يحدث جهد نرنست (جهد الطفلة) E_N عند وجود اختلاف جهد بين قطبين مغموسين في محلول متجانس والذي عنده تختلف تركيزات المحاليل موضعياً ويتضح من جدول (2-6) أن صيغة معادلة جهد نرنست تكون حالة خاصة لجهود الانتشار ويمكن بسهولة ضمها لصيغة الجهد الإلكتر وكيميائى.

يكون لجهد نرنست أهمية خاصة في تسجيلات الآبار حيث يشير في حالته لجهد الطفلة. ويتضح من جدول (2-6) أن الجهد الإلكتر وكيميائى يعتمد على اختلاف التركيزات C_1 , C_2 ودرجة الحرارة. ويحدث زيادة في الجهد الإلكتر وكيميائى عندما يكون الاختلاف في التركيزات كبير وكذلك إرتفاع درجة الحرارة. لذلك فإن قياس الجهد الذاتى يكون مهماً في اكتشاف مصادر الحرارة.

أيضا فإن الجهود الالكتروكيميائية تشارك فى جذب الأنيونات على سطوح عروق الكوارتز والبيجماتيت وتعرف بجهود الاستجذاب (جهود صفر الطاقة Zeta). مثال ذلك يوضحه شكل (5-6) حيث أن الشاذة أعلى من +100 ميللى فولت المقاسة عبر سد بجماتيت رأسى خلال النيس. إضافة لذلك، فإن جهد الإستجذاب يمكن حسابه للشاذات المرصودة عبر الطين حيث الجهود يولدها إزدواج الصلب-السائل.



شكل (5-6): بروفيل جهد ذاتى عبر سدود بيجماتيه فى نيس (سيمينوف 1980 Semenov)

4.1.1.3.6 الجهود المعدنية Mineral Potentials

الجهود المعدنية من اكثر استخدامات الجهود الذاتية فى إكتشافات المعادن كالتى تصاحب كتل أجسام خامات الكبريتيدات. ويمكن ملاحظة شاذات كبيرة سالبة خاصة عبر البيريت، كالكوبيريت وموصلات كهربية جيدة. أيضا يلاحظ الجهود المعدنية عبر خامات سفاليرايت برغم موصلات ضعيفة.

5.1.1.3.6 تصحيحات لنتائج الجهد الذاتى Corrections to SP Data

عادة ما تدل قياسات الجهد الذاتى عبر مساحات كبيرة (عدة كيلومترات مربعة) على الإتجاه الإقليمى بسبب تيارات الكهربية الأرضية (Telluric) والتى تبلغ أكثر من 100 ميللى فولت/كيلومتر. وربما تفرض الجهود المعدنية جدا على هذا التدرج الإقليمى. لذلك عند تفسير شاذة بسبب التمدن، تعزل هذه الشاذة بنفس الطريقة المستخدمة فى طريقة الجاذبية للحصول على شواذ المتبقيات. ويجب تطبيق التصحيح الإقليمى قبل أى ضبط للتضاريس. أما بالنسبة للمسح المحلى الصغير عادة ما تكون هذه التصحيحات هامة.

تبعاً لبهاتاشروا وروى Bhattacharya and Roy 1981 وبهاتاشاروا Bhattacharya 1986، إذا كان ميل سطح المسح أكبر من 20°، فإن أقل جهد ذاتى ينحرف عن المسبب له، وتبعاً لذلك فإن الحفر ربما يخطئ جسم الخام تماماً. فى أى محاولات لتصحيح النتائج للتأثيرات الإقليمية أو التضاريس، فإنه يجب عزل شاذة الجهد الذاتى لجسم مفرد مستقطب.

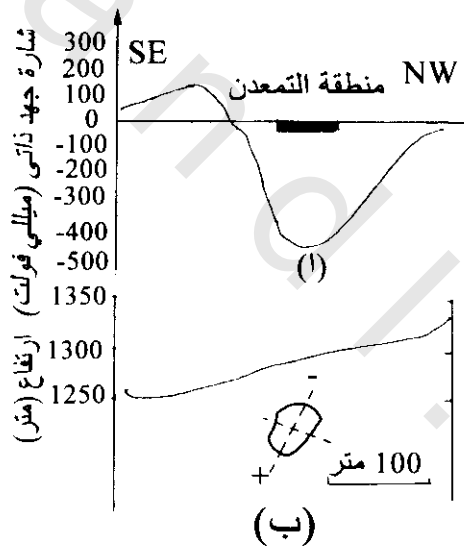
إذا كانت الشاذة المرصودة بسبب تجمعات لعدد من الشاذات من مصادر جيولوجية مختلفة (عندئذ يكون لها أشكال واستقطابات مختلفة)، فإن التصحيح لا يمكن اجراؤه وكذلك تحديد القمم لأجسام الخامات لذلك يجب أخذه بالتقريب، وتستخدم عدة طرق جيوفيزيائية لمحاولة تحديد التركيب الجيولوجى الأكثر وضوحاً.

ربما يكون من الضروري أيضا عمل مسح لتأثيرات جهود كهربية المياه المتسببة بواسطة النباتات. حيث ربما تسبب هذه الجهود مجالات سالبة لعدة مئات من الميلى فولت مقارنة بالجهد المعدنى الناتج من أجسام خامات الكبريتات. لذلك، فإن أساس الرصد الحقلى هو تصفية الموقع.

6.1.1.3.6 تفسير شاذات الجهد الذاتى Interpretation fo Self-Potential Nomalies:

غالبا ما تفسر شاذات الجهد الذاتى كيفيا بواسطة شكل البروفيل، السعة، القطبية (موجب أو سالب) وشكل الكنتور كما فى شكل (6-1، 3). يوضح شكل (6-6) قمة أى جسم خام يقع مباشرة تحت مكان أقل جهد، حيث أن محور الإستقطاب يميل عن الرأس، لذلك فإن شكل البروفيل يصبح غير متماثل بميل شديد وتقع نهايتى الموجب على جانب الميل السفلى.

يوضح شكل (6-7) تعقيدات قائمة عندما يعطى اثنين أو أكثر من الظواهر الجيولوجية تراكب شاذات جهود ذاتية. تتميز الشاذة عبر جرافيت فيليبتي* بالكبر السالب (-740 ميللى فولت) بسبب جهود كهربية المعادن الكيميائية، بينما تنتج الشاذة الثانية (-650 ميلليفولت بسبب جهود الكهربية الحركية المصاحبة لانسياب الماء خلال نفاذية الكونجولوميرات المفتتة.



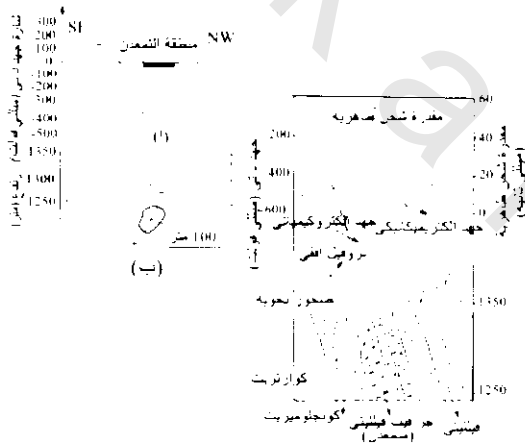
شكل (6-6): شاذة جهد ذاتى فى أرجانى، تركيا Ergani, Turkey، لجسم خام متداخل يرى بشكل تخطيطى فى (ب). يلاحظ أن محور الإستقطاب يميل صعودا (ينجل 1950 Yungul)

عندما توجد نفس حجوم الأجسام ولكن باختلاف الميل فيمكن استخدام الشاذة الناتجة للتفريق بينهم. يوضح هذا شكل (6-8) حيث يعبر عن جسمى جرافيت فى نيس لنموذجين مختلفين. يوضح شكل (6-8أ) اتجاهى ميل كل يبعد عن الآخر لجرافيت فى تركيب طيه مقعرة، فى هذه الحالة فإن المراكز السالبة المصاحبة لكل جسم مستقطب تكون منفصلة تماما، منتجة شاذة لقيمتى سالبتي منخفضتين. أما شكل (6-8ب) والتي توضح أن

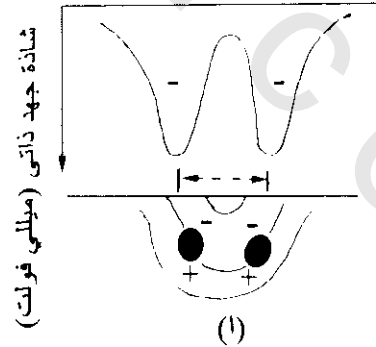
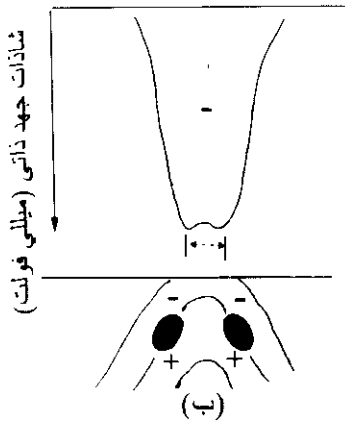
* ميلبيت: صخر بركانى متحول متجدد السطح.

اتجاهى ميل الجرافيت كل فى مقابل الآخر فى تركيب طيه محدبه، فى هذه الحالة فإن المركزين السالبيين يكونا متقاربين كلا للآخر وربما يتحدا أحيانا ليكونا قيمة واحدة منخفضة سالبة، فى هذه الحالة يكون الفصل بين القيمتين المنخفضتين مساويا لفصل قمم أجسام الجرافيت.

المستوى التالى للتفسير هو تقريب جسم الخام إلى واحد من الأشكال الهندسية المعروفة، عادة ما تكون كرة أو قضيب مائل، مع فرض اتجاه الإستقطاب. يكون التقريب المقدم هو حساب الجهد الكهربى التابع للنموذج ومقارنة الشاذة النموذجية مع المرصودة. وقد اشترك عدة باحثين لوضع القاعدة النظرية لتفسير شاذات الجهد الذاتى الكمى عبر كرة مستقطبة. وكذلك عبر لوح مائل. عموما، طورت أشكال نماذج أخرى وطرق حسابية منقحة. وعندئذ يضبط النموذجين إلى أن يتوافق البروفيلين خلال حدود افتراضية إحصائية. بينما تعمل هذه الطريقة بالنسبة لنتائج ملزمة جدا، عندما لا تتفق الظواهر الجيولوجية الحقيقية المسببة لشاذات الجهد الذاتى لإعطاء أشكال هندسية، تصبح المشكلة بذلك أكثر تعقيدا رياضيا وعدديا للحساب المطلوب. فى هذه الحالة يجب استخدام طرق جيوفيزيائية أخرى مثل الإستقطاب الحثى أو الجاذبية الدقيقة، مثلا، لتحديد الأجسام المؤثرة.

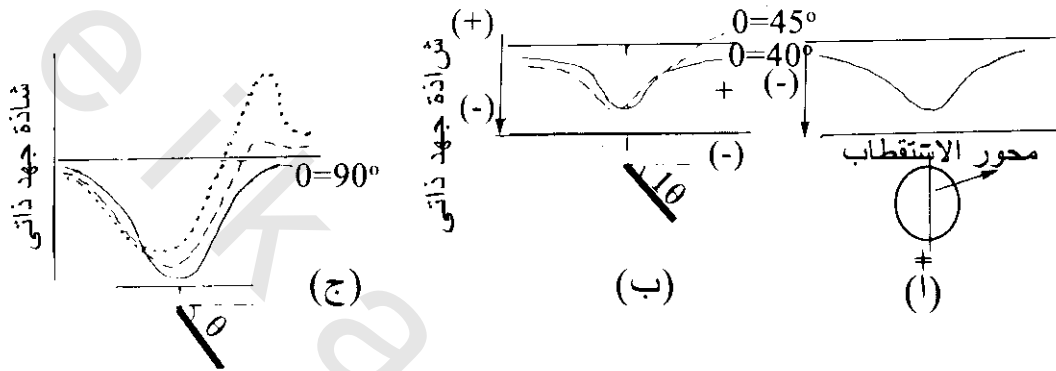


شكل (6-7): إثنين من الجهد الذاتى لحالات مختلفة :
أحدهما نتج بواسطة عمليات الكتروليمانية
المصاحبة لتمدن الجرافيت الفلتي
والآخر نشأ بواسطة عملية الكتروليمانية
بسبب إنسياب الماء فى كونجولوميريت
(نايك 1981)



شكل (6-8): شاذات جهد ذاتى ترجع لجسمين من الجرانيت بمحورى استقطاب يميل كل منهما بعيدا عن الآخر (طيه مقعرة) كما فى (أ) وفى (ب) يميل كل منهما فى اتجاه الآخر (طيه محدبة) (ميسر 1962)

في المقابل يكون التقريب ممارسة (حساب يدوي) للشاذة المرصودة لإنتاج النموذج. ربما تستخدم هذه الطريقة لتقييم حجم لظاهرة جيولوجية سابقة لأخرى، أكثر تفصيلاً، باستقصاءات جيولوجية وجيوفيزيائية. يكون التقريب لفرض أن الظاهرة الجيولوجية تتفق لإعطاء أشكال هندسية شكل (6-9) والتي تكون أعماقها لمركز الجسم، وربما يقدر هذا العمق باستخدام طريقة نصف العرض. لسوء الحظ، هذه الطريقة غير ملائمة في دقتها، حيث أن أهم تحديد لهذا التقريب يعتمد على عرض الشاذة التي ربما تكون أكثر دلالة للتوسع الطبيعي أكثر من عمق الجسم، وربما يصل الخطأ في تقدير العمق ($\pm 100\%$ يرى شكل 6-10) أمثلة من أجسام جرافيت حقيقية وشاذات الجهد الذاتي المقابل لها.



شكل (6-9): شاذات جهد ذاتي. (أ) كره، (ب) لوح مائل، (ج) قضيب مائل (بارانيس 1986، Telford et al 1990)

يوضح شكل (6-10) أمثلة من أجسام جرافيت حقيقية وشاذات الجهد الذاتي المقابل لها. يوضح شكل (6-10) الشاذة المرصودة المغطاة لشواذ ترجع إلى مركبات جيولوجية مفردة.

7.1.1.3.6 تطبيقات وحالات سيرية Application and Case Histories

1.7.1.1.3.6 أجسام الخامات Ore Bodies

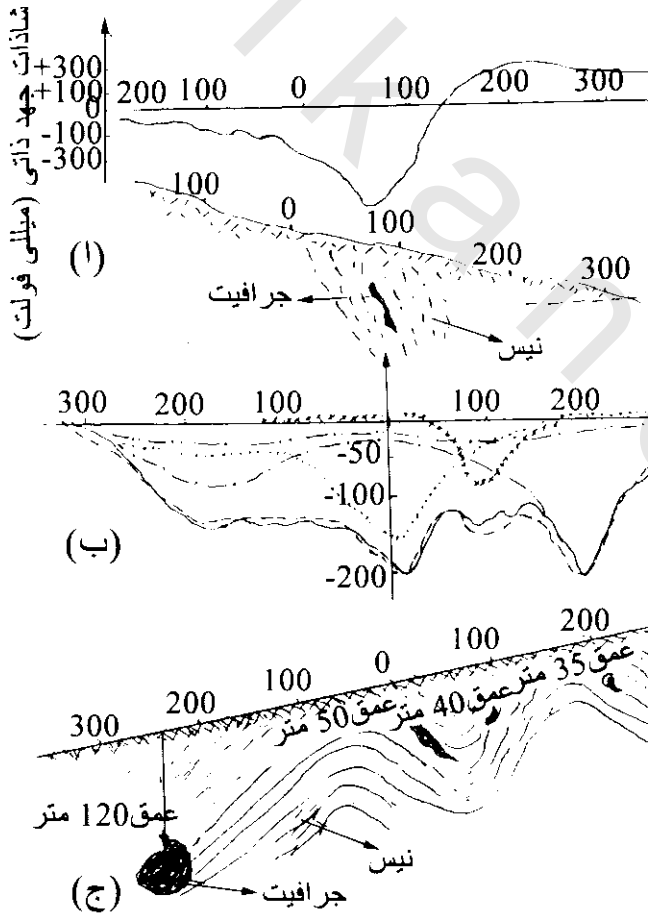
(i) خام كمهيدن بشمال السويد Kimheden Orve Body, Norther Sweden

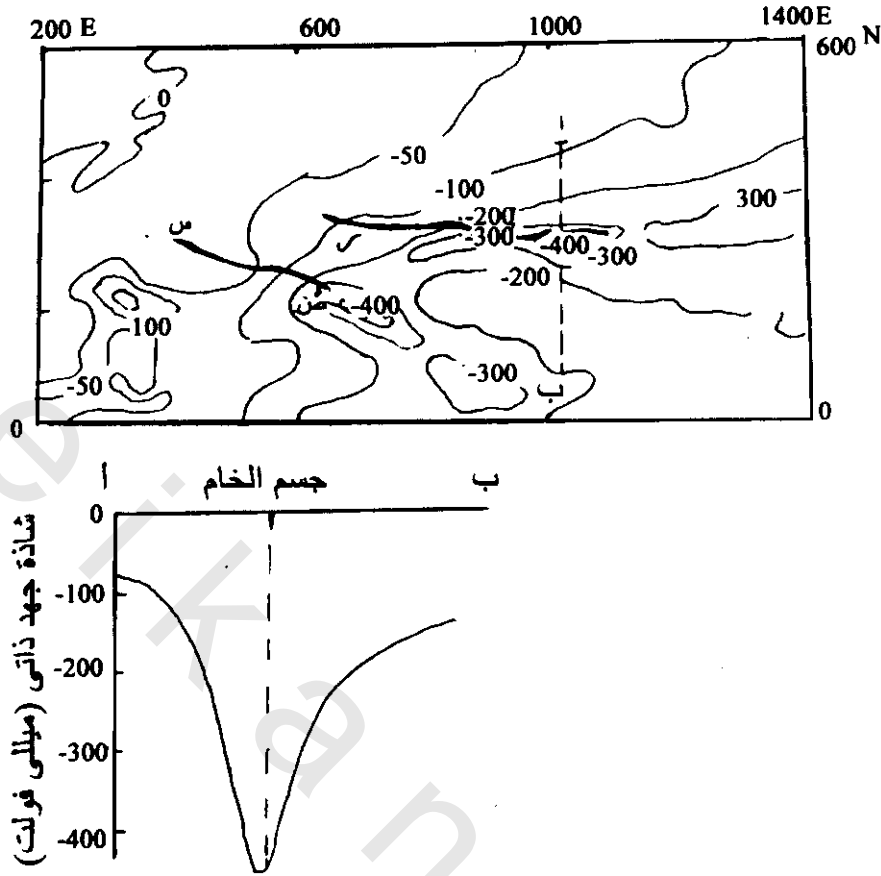
يوجد خام كمهيدن (أساساً بيريت Pyrite) في ألواح منحدرية مائلة على طول ركاب جليدي كواتزيت (يغطي سرسبت (ميكالوتاس)). لايزيد عمق قطع قمم الخام عن حوالي 10 متر. ويوضح كنتور الجهد الذاتي شكل (6-11) عدة ظواهر خطية واضحة والتي تقارن مع أماكن معروفة لأجسام الخام مع استثناء واحد هو عند أقصى قرب لجسم الخام (X) تكون له خاصية ارتفاع المقاومة التي ربما تفسر غياب أي شاذة.

(ii) خام النحاس عند شالكديكي، شمال اليونان Copper Ore at Chalkidiki, North Greece

تتكون هذه المنطقة من نيس وشيست والتي قطعت وأزاحت بقوة ملئت بواسطة تمعدن جرانيتي-جرانودايوريت وتركيبات فوق قاعدة شكل (6-12) يصاحب البيريت والجالينا وسفاليريت تداخلات حمضية، أما المجنيتيت والكروميت يكون مع تداخلات قاعدية. تنتج معادن النحاس والبيريت من نشاط

بركانى فى عصر الثلاثى حيث تكون مصاحبة مع إنسياب حمم تراكيب، أنديزيت وبرونورينيك جرانويد يوريت، وتكون مركزة خلال شبكة مكثفة من الشقوق والفوالق. يوجد ثلاثة مناطق ملاحظة لتعدد النحاس، تتكون المنطقة الضحلة الغربية من أوكسيد صافى (حوالى 1% نحاس) أسفلها يوجد المنطقة الثانية الأغنى وسمكها 2-3 متر والتي يكون تركيز النحاس على حوالى 20% (ملاكيت، أزوريت، كوبريت... إلخ)، والمنطقة السفلى، والتي تمثل التمدن الأولى للكالكوبيريت، بيريت، بورنيت ومجنتيت متزامن التكوين، يبلغ عمق هذه المنطقة من 20-30 متر وتمتد لأسفل على الأقل 300 متر أسفل السطح. يعطى الماجنتيت الموجود خلال الصخور البركانية شاذة مغناطيسية مميزة، وتوجد أقصاها خلال حواف قبة تراكيت (صخور نارية دقيقة الحبيبات). توجد شاذات الجهد الذاتى المنخفضة نوعيا عبر أجسام خامات النحاس. وحيث أن كبريتات النحاس تميز بإنتاج قابلية مغناطيسية منخفضة، لذلك يوجد تبعاً لذلك قرنه (رأس مؤنف (مدبب) فى بروفيل المغناطيسية.





شكل (11-6): (أ) خريطة جهد ذاتي لجسم خام بيريت كمهيدن (شمال السويد) بارازنس 1966 Parasnian (الكنترول بالميللي فولت). (ب) شاذة جهد ذاتي عبر البروفيل أب.

(iii) جسم خام كبريت عند ساريير، تركيا: Sulphide Ore Body at Sariyer, Turkey

يمثل شكل (6-13) مثال نموذجي لشاذة جهد ذاتي عبر هذا الخام. ويجد الكالكوبيريت والبيريت في تركيزات مختلفة خلال كتل رسوبية كبيرة في داخل انديزيت وأسفل شيست ديفوني. وحيث أن المنطقة تتميز بتدرج سطحي شديد، لذلك إذا لم يصحح هذا التدرج فسيحدث إزاحة لانحدار منخفض الجهد الذاتي. يشمل جسم الخام أربع مناطق، واحدة منهم ممتدة إنحدارياً مكونة كبريتور الحديد، والثلاثة المناطق الباقية يقل فيها تركيز النحاس من 14% على جانب المنحدر إلى 1%-2% على جانب أعلى الميل.

2.7.1.1.3.6 جيولوجية المياه Hydrogeology:

تستخدم طريقة الجهد الذاتي لاكتشاف الخزانات الطبيعية ومواقع تسرب المياه لعمل الإنسان وأيضاً لدراسة حركة المياه. مثال ذلك العمل الذي تم في منطقة بوسط فرنسا، حيث أمكن تحديد مستجمع لكل ينبوع، وقد وجد أن محور الحوض يكون طبقة المياه الأساسية وعرفت المناطق الممكنة القابلة لنقد التلوث. أيضاً وجد أن مستوى الماء هو مصدر إعطاء شاذات الجهد الذاتي، وشكلها يدل على شكل مستوى الماء (شكل 6-14).

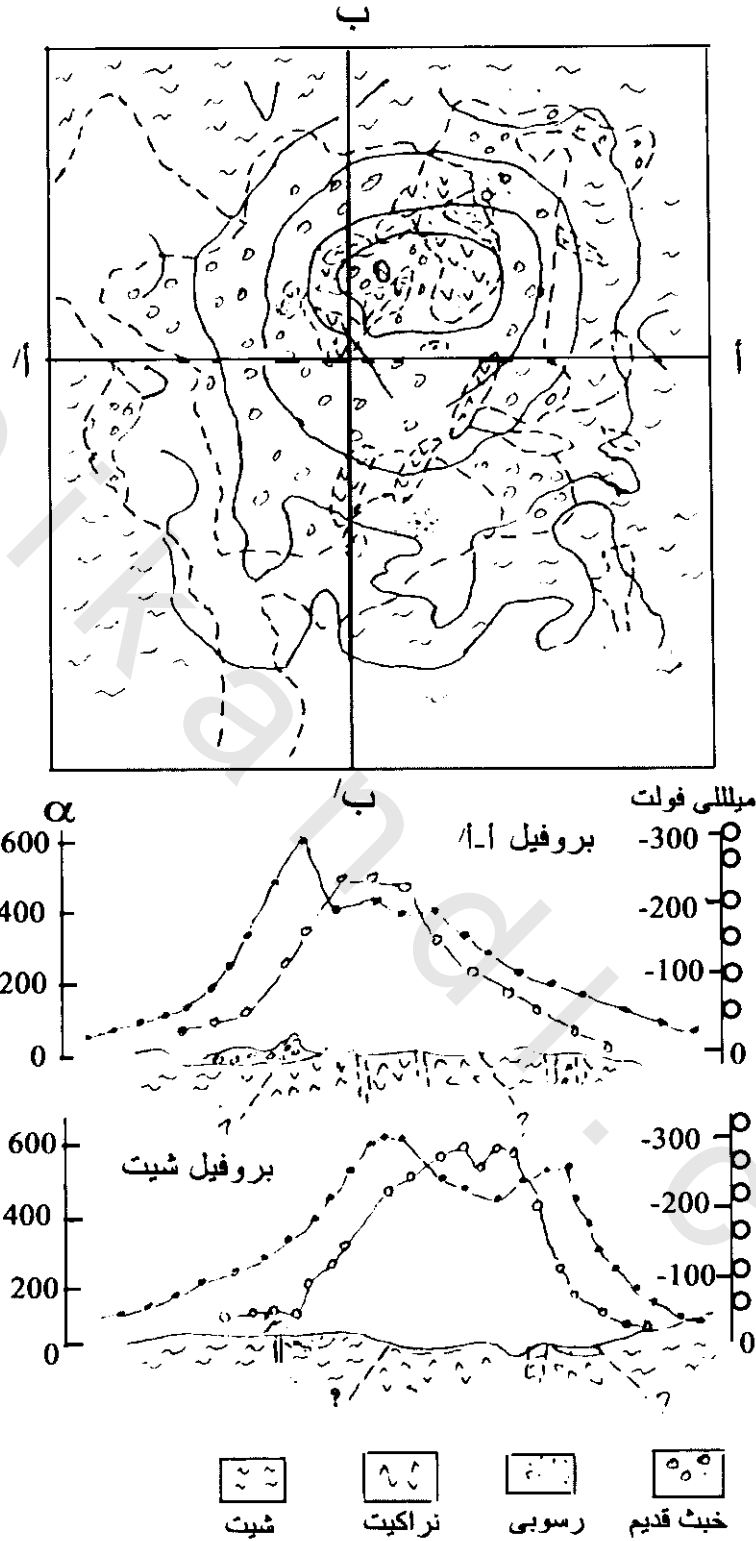
يوضح شكل (6-15) قطاع جيولوجى لجزء من سلسلة بيوز Puyس بوسط فرنسا مع الجهد الذاتى المقابل له. يلاحظ أن أكبر قيمة سالبة تتفق مع تضاريس عالية. وقد استطاع فورنير Fournier فى هذه المنطقة تقسيم شاذات الجهد الذاتى كمصطلحات دلالية هيدروجيولوجية كما فى جدول (6-3). وبقيت هذه الدلالات صالحة للإستخدام فى مناطق أخرى.

3.7.1.1.3.6 Landfills المدافن:

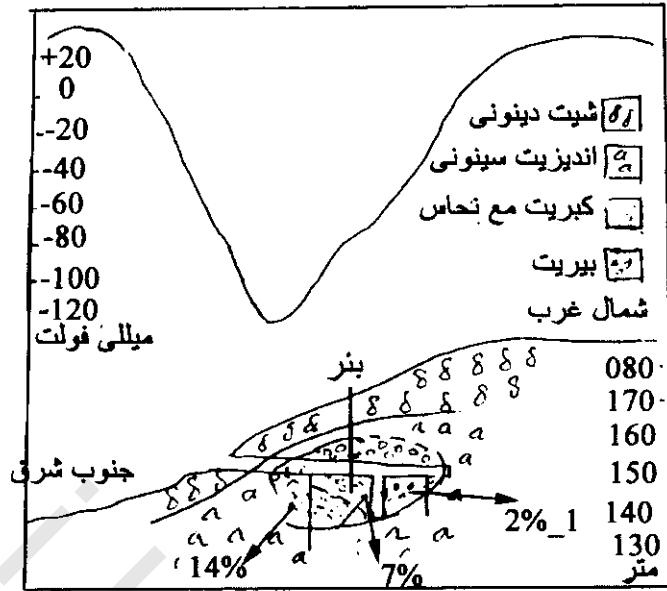
جوانب المدافن شديدة الإنحدار تحتوى على حجوم معينة لمحاليل غسيل عالية التوصيل والتي تتضح خلال الحواف والتي من المعروف أنها تولد شاذات جهد ذاتى معين. هذه الشاذات لها طيتين عند هذه الحواف شكل (6-16) يوضح هذا الشكل وجود شاذات صغيرة خلال المدفن بينما توجد شاذتان كبيرتان على حواف المدفن حيث يكون عدم الإتران الأيونى ومعدل إنسياب محلول الغسل يكون أكثر تحقيقاً.

جدول (6-3).

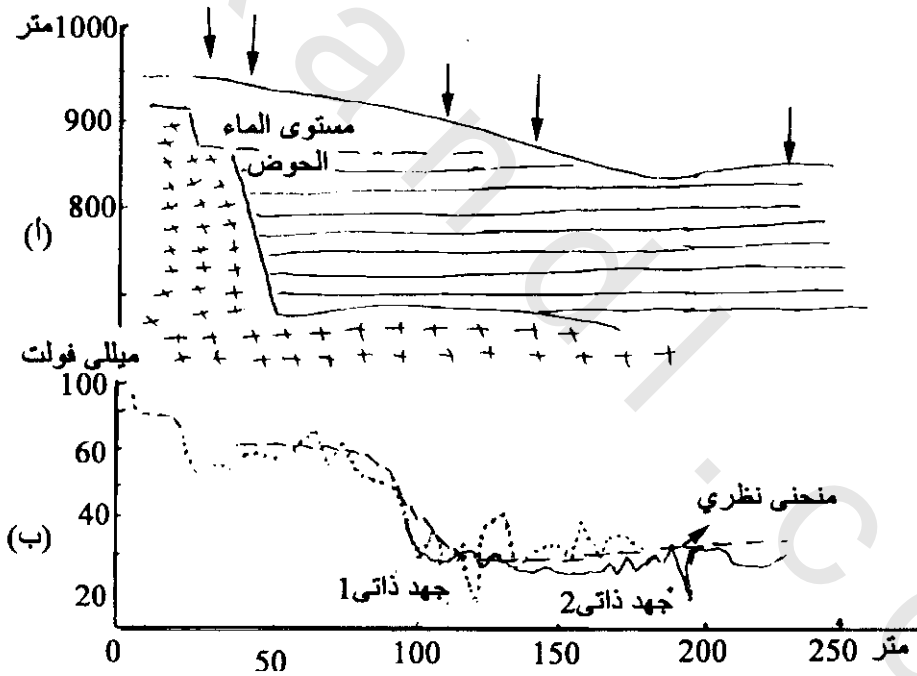
الهينة	الموقع	الدالة الهيدروجيولوجية
تدرج جهد ذاتى أفقى عالى	- على تضاريس مسطحة	- جانب محدد من مستودع ماء جوفى غير محصور
	- على جانب ذراع بركانى	- تصاعد مستوى الماء الجوفى فى مخروط بركانى
جهد ذاتى منخفض	- على تضاريس سطحية - على جانب بركانى أو على القمة	- محور وادى قديم - قمة مستوى الماء وخط حوض نهر جوفى
جهد ذاتى عالى	- فوق مستودع ماء جوفى غير محصور - بين مستودعين ماء جوفى غير محصور	- إنخفاض مستوى الماء بسبب صرف جيد - خط حوض نهر بسبب قمة صخور قاعدية غير منفذة



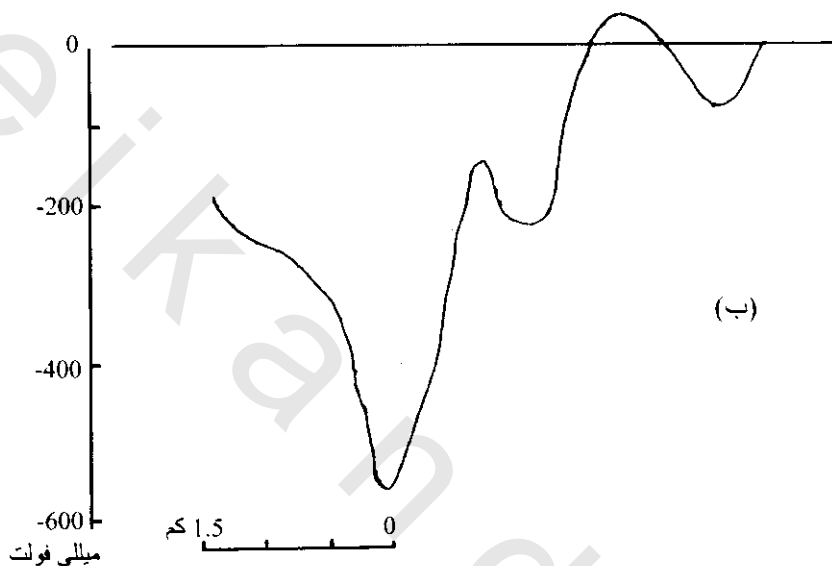
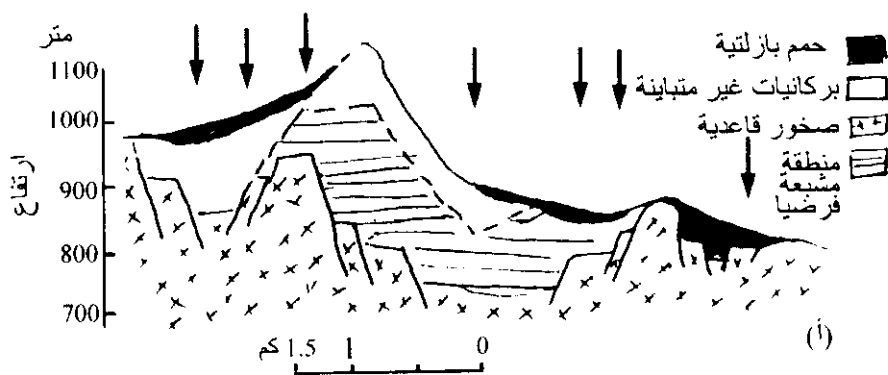
شكل (6-12): (أ) خريطة جيولوجية وقيم جهد ذاتي (ميللي فولت) في سالونكي شمال اليونان، (ب) برافيلان يمثلان شادات جهد ذاتي ومجال مغناطيسي كلي (nT) أ-أ'-ب-ب' (زاكوس 1963)



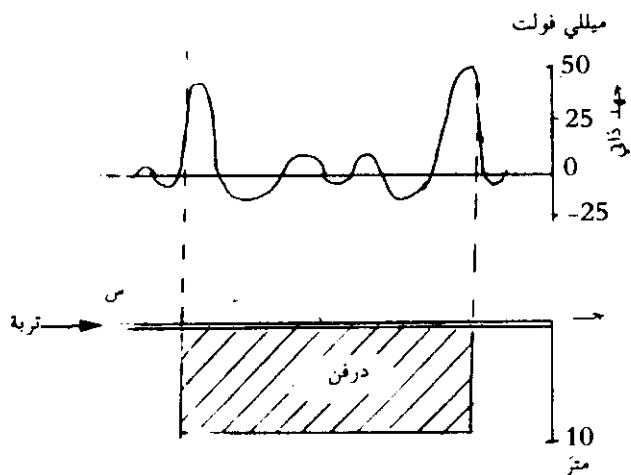
شكل (6-13): شاذة جهد ذاتى عبر خام بيريت عند سارير ، تركيا. يوجد مكان البئر عند طوبغرافية مصححة لأقل جهد ذاتى



شكل (6-14): (أ) قطاع جيولوجى لجزء من محور حوض فى وسط فرنسا مشتق من الجس الكهربى الرأسى (الأسهم) ، (ب) شاذات الجهد الذاتى المقابلة (فورنير 1989) (Fornier 1989)



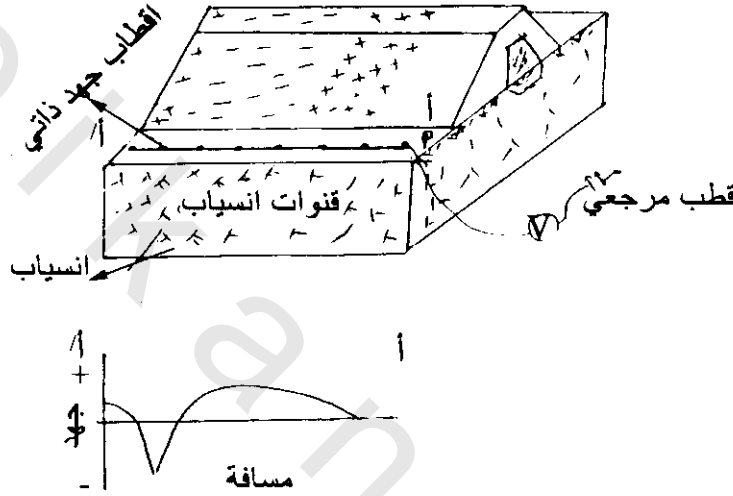
شكل (15-6): أ) قطاع جيولوجي عبر قمة بركانية في جزء شمال سلسلة بيوس Puys بوسط فرنسا مشتقة من جسات كهربية رأسية (أسهم) ، ب) شاذات الجهد الذاتي المقابلة (فورنير 1989 Fournier)



شكل (16-6): شاذة جهد ذاتي عبر مدفن مغلق توضح نموذج لكبير الشاذات مع جوانب المدفن بالمقارنة مع الملاحظة في داخله (كوليمان Coleman 1991)

4.7.1.1.3.6 إكتشاف الترشيح خلال السدود Leak Detection Within Embankments

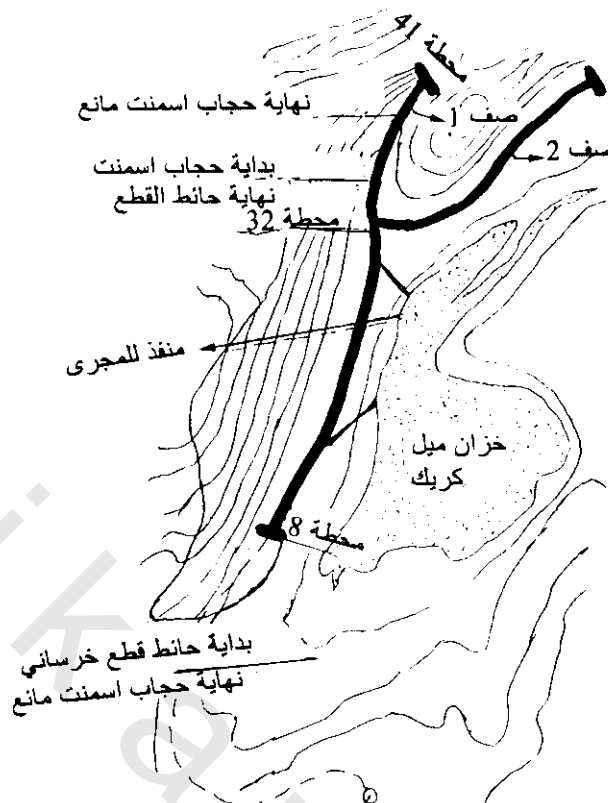
حيث أن المياه الأرضية تنساب خلال مثل هذه التركيبات بواسطة طرق قليلة المقاومة، لذلك ربما يولد جهد الترشيح كهربي حركية بكمية كافية للاكتشاف. يوضح الشكل التخطيطى (17-6) أساس تولد شادات الجهد الذاتى بواسطة الترشيح. تصاحب الشادات السالبة أماكن تواجد الترشيح فى السد، أو فوق طرق التز حيث يكون الإنسياب عامة أفقى أو منحدر. بالعكس فإن الشادات الموجبة توجد حيث يكون الإنسياب عامة صعدودا حيث يأخذ سطح التز مكانه. تبعا لذلك، فإن وجود كلا من الشادة السالبة أو الموجبة يكون هاما فيزيائيا.



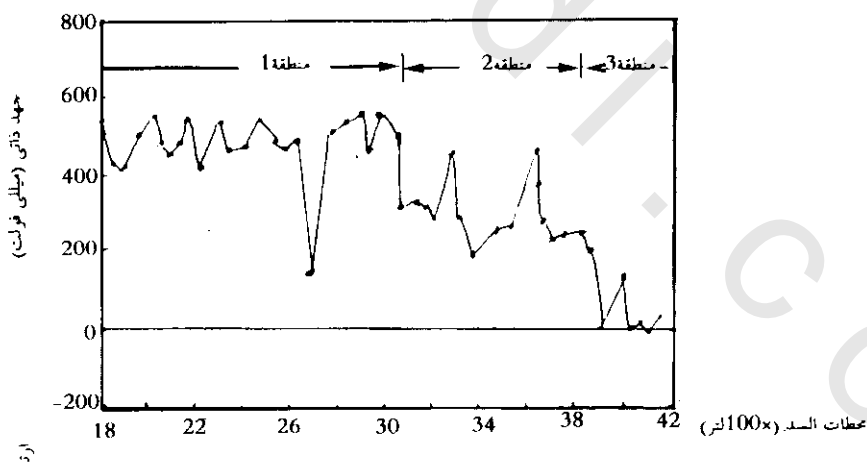
شكل (17-6): رسم تخطيطى لتصوير شادات جهد ذاتى متولدة بواسطة ظواهر مصاحبة للترشيح خلال أرضية سد (بوتلرولويس (Butler & Llopis 1990

يوضح شكل (18-6) مثال لمسح جهد ذاتى لإمكان اختبار الترشيح عند سد وخزان ميل كريك MillCreek واشنطن Washington بالولايات المتحدة الأمريكية منذ اختبار الملاء فى 1941، ولم تنجح محاولات تغيير أو وقف النزر عندما لوحظ فقد الماء المخزون. لذلك أقيمت حوائط قطع متحجر بجوانب الستائر (أسمنت مانع). بنيت هذه الحوائط على قمة كتلة بازلت والتي تقع تحت خط متغير جانبيا من الكونجولوميرائيت. وبرغم ذلك فمنذ إنشاء مثل هذه التركيبات فإن الخزان لم يملأ ولكن مازال النزر واضح.

وقد أجرى فحص جيوفيزيقي لاكتشاف شادات النزر قبل واثناء وبعد اختبارات ملئ الخزان. وقد وضعت أجهزة قياس الجهد الذاتى المكونة من 85 قضيب فلزى على بعد 15 متر بين كل قضيبين لمدة شهرين قبل أخذ قراءة المجموعة الأولى للجهد الذاتى وقبل أربعة أشهر لأول اختبار للملاء، وقد وضع القطب المرجعى أعلى المجرى. ارتفع مستوى الخزان بمقدار 10 متر أثناء الإختبار. يوضح شكل (19-6) شادات الجهد الذاتى عبر الصف 1 شكل (18-6). من شكل (19-6) وخط عدة ظواهر:

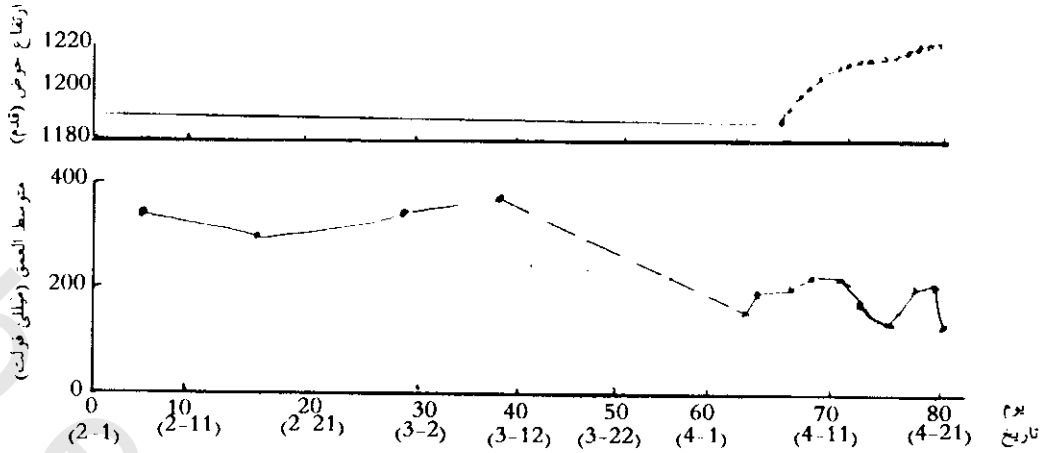


شكل (6-18): تخطيط لسد ميل كريك والخزان، وشنطن، الولايات المتحدة الأمريكية توضح أماكن لخطوط مسح الجهد الذاتي الكهربي صف 1، وصف 2، أحجية أسمنتية مانعة وقطع حائط خرساني (بوترولوبس 1990 Butler & Lopis)



شكل (6-19): نتائج جهد ذاتي للصف 1 قبل البدء في ملأ خزان ميل كريك

- 1- ثلاث مناطق منفصلة على طول الصف 1 ولوحظت بواسطة قواعد مستويات مختلفة.
- 2- اتفاق الحدود بين المناطق تقريبا مع تلامس دعامة السد اليمينية ونهاية القطع المتحجر بالتتابع. ويسبب التغير في نوع المواد الشاذة المصاحبة للحدود بين المناطق. ويكون الحد بين منطقتي 2، 3 بسبب التغير الجانبي ونظام إنسياب المياه الجوفية كنتيجة لوجود الحائط القاطع والقطع المتحجر.



شكل (20-6): مقارنة مستوى ماء الخزان مع متوسط جهد ذاتى لصف كدالة زمن (نظر شكل (6-18) إرتفاع مستوى الماء بدأ فى يوم 5 أبريل

لاختبار مسئولية الجهد الذاتى لارتفاع مستوى الخزان، فإن قيم متوسط الصفوف مسنولة مباشرة للزيادة فى مستوى الماء. وقد قيست قيم الجهد الذاتى فى فترة سابقة مباشرة لاختبار الملاء، لوحظ أن إتجاه شاذة الجهد الذاتى مع الزمن تكون سالبة.

2.3.6 التيارات الأرضية Telluric Currents:

تنشأ هذه التيارات أساسا من عاملين:

العامل الأول: من المعروف أن الجزيئات المأينة بواسطة الإشعاع الشمسى تنتج تيارات كهربية فى لآينوسفير (الغلاف الجوى المتأين). أيضا ترتبط هذه التيارات بالتغيرات اليومية فى مجال المغناطيسية الأرضية بنفس الطريقة، فإن التيار الكهربي المتردد مع تغير تردد لواحد هرتز أو أصغر يكون مستحث لانسياب أفقى فى الجزء الأعلى للقشرة الأرضية. وهكذا يتكون التيار الأرضى.

العامل الثانى: من المعروف أن المجال المغناطيسى له تغير يومى، برغم ذلك، فإن نظام التيارات الأرضية تظهر ثابتة بالمقابلة مع الشمس، ولكن تراج هذه التيارات على طول سطح الأرض طالما تدور الأرض. تتكون هذه التيارات من 8 حلقات تدور بتناوب فى إتجاه حركة الساعة وعكس إتجاه حركة الساعة. الحلقات القريبة للشمس تكون قوية فى شدة التيار، بينما الموجودة على الجانب المظلم للأرض تكون ضعيفة.

يعتقد عموما أن تيارات الكهربية الأرضية نتجت بالحث مباشرة أسفل سطح الأرض بواسطة التيارات الأيونوسفيرية والتي ترتبط بالتغيرات اليومية فى مجال المغناطيسية الأرضية. ولا يمكن قياس هذه التيارات مباشرة ولكن يقاس مجالات جهدها الأفقى التى تحدث عند السطح. وتختلف التيارات الأرضية تبعا لجغرافية المكان وفصول السنة وكذلك يوميا. تبدو هذه التيارات ثابتة بالنسبة للشمس ومزاحة على سطح الأرض أثناء دورانها.

وقد وجد أن الأحواض الرسوبية أقل مقاومة للتيارات الأرضية أكثر من مساحات الجرانيت الضحلة. وربما تستخدم طريقة التيارات الأرضية على مقياس كبير للدلالة لقياس كبير لعمق الظواهر الجيولوجية فى مواقع جيولوجية بسيطة.

يوجد عدد من الطرق مؤسسة على استعمال التيارات الكهربية الأرضية وتطبيقاتها على الإستكشافات البترولية وتعتبر طريقة التيارات الكهربائية الأرضية أقدمها. أما طريقة الكهرومغناطيسية فتعتبر أكثر تقدماً في نشأتها والتي فيها ترتبط التيارات الأرضية الطبيعية مع تذبذباتها المغناطيسية المصاحبة، وأصبحت الآن أوسع استخداماً.

في طبقة الصخور الأفقية المتساوية السمك، تعتبر كثافة التيار الكهربى الأرضى (μ_T) ثابتة لأن مصدر التيار يكون بعيداً جداً عن المساحة التى تتم فيها القياسات ، ويكون فرق الجهد بين قطبى القياس

$$U = \mu_T R L \quad (6-1)$$

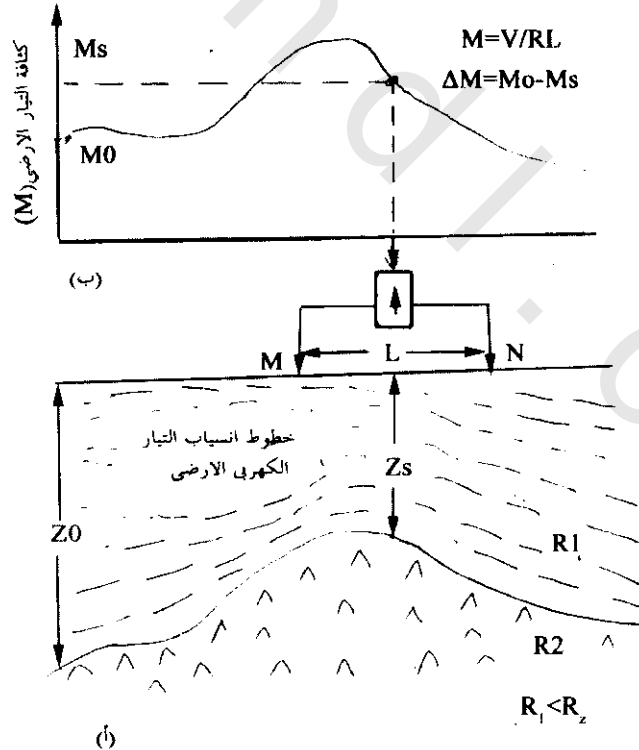
حيث L المسافة بين القطبين، R المقاومة الكهربية. إذا تغير سمك الطبقة، فإن كثافة التيار ستتغير أيضاً وكذلك الجهدين القطبيين شكل (21-6). يعتمد العمق الذى يخترقه التيار الأرضى فى الأرض على التردد F والمقاومة

$$h = \frac{1}{2} \sqrt{R/F} \quad (6-2)$$

حيث h بالكيلومتر، R بالأوم/متر، f بالهرتز.

1.2.3.6 مسح التيار الكهربى الأرضى : Telluric Current Surveying

الإستطلاع المسحى لتغير الأحواض الرسوبية يمكن معرفته بواسطة اختلاف الجهد المصاحب للتيارات الأرضية. هذه الطريقة استخدمت فى المراحل الأساسية للإستكشافات البترولية حيث يوجد معلومات قليلة عن سمك وتتابع الصخور الرسوبية.



شكل (21-6): (أ) خطوط إنسياب تيار كهربى أرضى فى طبقة قليلة المقاومة تعلو منطقة عالية المقاومة ، (ب) اختلاف الجهد الناتج بواسطة هذه التيارات. ترى الخطوط كيف أن كثافة التيار تزيد بسبب أن الطبقة أصبحت أرفع ، حيث يلاحظ اختلاف الجهود العالية

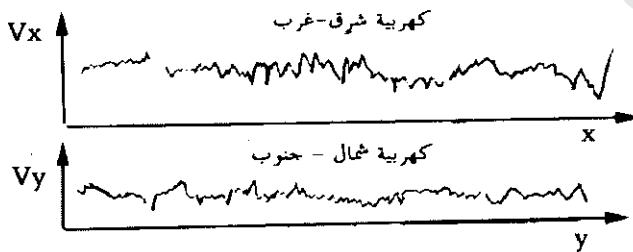
الفكرة الأساسية لمسح التيار الكهربى الأرضى تكون قياس الاختلاف فى الجهد عند محطة أساسية (حيث السمك Z_0 والمقاومة R لحوض الترسيب تكون معروفة) وعند محطات أخرى تابعة. عندئذ، وبواسطة فرض نفس قيمة R للمساحة الكلية الممسوحة، يمكن حساب كثافة التيار لكل محطة بواسطة المعادلة السابقة رقم (6-1) وشكل (21-6). ويكون التغير فى السمك ΔZ تقريبا متناسب مع التغير فى كثافة التيار $\Delta \mu$ بين المحطة الأساسية والتابعة. عندئذ يمكن حساب الأسماك Z_s للمحطات المتتابعة.

$$\therefore Z_s = Z_0 + \Delta Z = Z_0 + \frac{Z_0}{\mu_0} \Delta \mu \quad (6-3)$$

يختلف إتجاه التيار الأرضى من مكان لآخر، ويكون تردده غير منتظم، ولحساب إختلافات الإتجاه، يجب قياسات مركبات الجهد مع أقطاب موجهة فى اتجاهين عموديين، عادة شمال - جنوب، شرق-غرب لتغير التردد. لذلك يجب توصيل مخارج الفولتميتر إلى مجموعتين متعامدتين من الأقطاب، ويجب التسجيل فى نفس الوقت عند فترات معينة من الزمن شكل (22-6). مركبات الجهد الكهربى V_x ، V_y المقاسة عند نفس الزمن تكون عندئذ مشتركة للفرق فى الجهد V والذي يمكن استخدامه لتحديد كثافة التيار دقة الأعماق المعينة من المعادلة (6-2)

$$V = \sqrt{V_x^2 + V_y^2} \quad (6-4)$$

تكون محددة بواسطة تغيرات ممكنة فى المقاومة من مكان لمكان. وقد يلاحظ سلسلة أخطاء ناتجة من وجود تغيرات تركيبية وخواص صخرية فى أماكن مختلفة. من المهم أن يكون اختراق التيار كافيا "للولصول كلية" خلال تتابع الصخور الممسوحة، سواء كان الإختراق كافيا والذي يعين من المعادلة (6-1) والترددات الموجودة من تسجيلات الجهد كما فى شكل (22-6). ويوضح شكل (23-6) المنحنى اليومى لأربع محطات على خطوط عرض مختلفة. وغالبا ما تسرى هذه التيارات على سطح الأرض فى رقائق كبيرة متطابقة مع الطبقات الموصلة التى تغطى الجزء الخارجى من القشرة الأرضية.

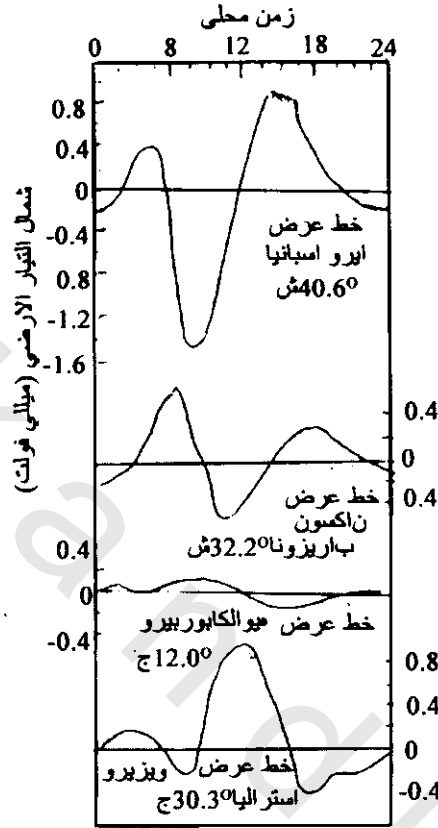


شكل (22-6): أمثلة من لوحات حصل عليها أثناء مسح تيار كهربى أرضى. توضح التغير مع زمن الجهد المقاس بين أزواج قطبية مصفوفة فى إتجاه شمال وشرق (فوزوف وآخرين (K.R. Vozoff et al 1964

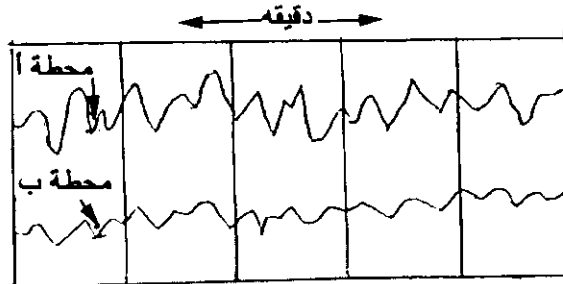
ويعتمد توزيع كثافة التيار خلال هذه الرقائق على المقاومة النوعية للتكوينات الحاملة للتيارات. فمثلا إذا كان هناك قبة ملحية منخفضة التوصيل وبها تكوينات مرتفعة التوصيل، ففي هذه الحالة تتجه خطوط سريان التيار لتخطى الملح وتظهر تشوهات فى مجالات الجهد على السطح مقترنة بهذه التيارات. عندما تقاس هذه التشوهات بواسطة أزواج قطبا كهربى بطريقة مناسبة وتفسر بعد ذلك بطريقة ملائمة، فيمكن بذلك تحديد مكان القبة الملحية.

غالبا ما تكون التيارات متذبذبة وذات دورات زمنية من بضعة ثوان إلى بضعة دقائق، ويلاحظ أن التذبذبات تكون متجانسة فى الشكل الموجى فوق مناطق واسعة (برغم أن ذلك لا يكون فى السعة والاتجاه). ويوضح شكل (24-6) تسجيل نموذجى لذلك حيث أن الرصد تم عند نقط تتباعد بمسافة عدة أميال. من هذه التسجيلات يمكن

رسم خريطة لتغيرات فى التيارات الأرضية من مكان لآخر ومضاهاة التذبذبات الفردية بمقارنة سعة التذبذبات المتزامنة عند موضعين. عادة ما تقارن الساعات عند عدد من الترددات المختلفة يصل فى بعض الأحيان إلى إثني عشرة. من الممكن فصل الترددات بالمرشحات التناظرية فى أجهزة التسجيل أو بالمعالجة اللاحقة للمعطيات الحقلية.



شكل (23-6): التغير اليومي فى مجالات جهد التيار الأرضى فى اتجاه شمال-جنوب عند أربع خطوط عرض (رونى 1939 W.J. Rooney)



شكل (24-6): تسجيلات الجهد الأرضى التى تمت متزامنة عند محطتين على بعد 10 أميال

تطبيقاً لذلك قام ماينجوى وجريبين Maingwy & Grepin 1953 بوصف عدد من مساحات التيار الأرضى الكهربى المستخدمة للاستكشاف البترولى لحوض اليسماريو حولى Ales Maruejols فى الجنوب الشرقى لفرنسا، حيث وجدوا أن المناطق الهامة تتكون من طبقات ذات مقاومة نوعية عالية مثل الحجر الجيرى الكثيف

المغطى بطبقات موصلة. فى هذه المنطقة أعطت المساحات السيزمية صورة مختلفة تماما عن تلك المعينة بالتيارات الأرضية، ولكن الحفر اللاحق الذى أدى لإكتشاف البترول أيدى الصورة المعينة بالتيار الكهربى الأرضى.

2.2.3.6 مسح التيار الأرضى المغناطيسى Magnetotelluric Surveying :

تبعاً لأساس الحث الكهرومغناطيسى electromagnetic induction فإن التيار الكهربى المتردد يصاحب المجال المغناطيسى المتردد. لذلك فإن قياس شدة مركبات هذا المجال فى نفس الاتجاهات كمركبات للجهد يعطى معنى آخر لتحديد الأسماك والمقاومة الظاهرية لتتابع طبقات الصخور يشمل مسح التيار الأرضى المغناطيسى هذه القياسات.

يمكن تقدير المقاومة الظاهرية فى منطقة ذات سمك Z من المعادلة الآتية:

$$R_a = \frac{0.2}{f} \left(\frac{H_N}{H_Y} \right)^2 \quad (6-5)$$

حيث f تردد التيار الكهربى الأرضى

H_Y شدة المجال المغناطيسى المصاحب فى اتجاه عمودى لشدة مركبة المجال الكهربى

E_x ويمكن تحديد شدة المجال كمتغير جهدى V عبر زيادة وحدات للمسافة X

$$E = V/X \quad (6-6)$$

وتكون سمك المنطقة علاقة مع التردد والمقاومة الظاهرية بواسطة التقريب

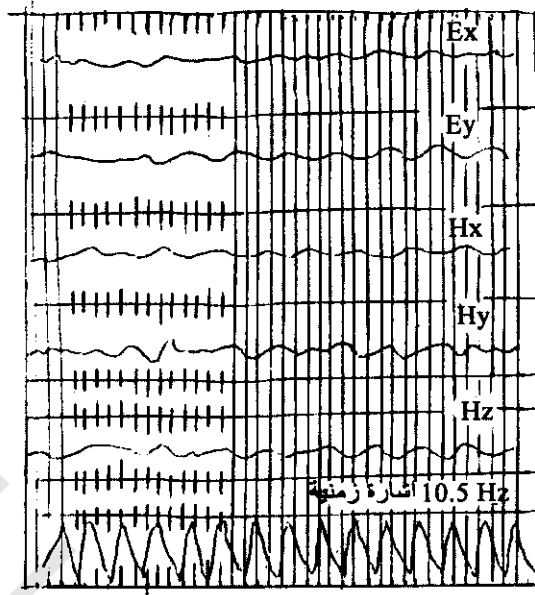
$$Z = \frac{1}{2\pi} \sqrt{5R_a / f} \quad (6-7)$$

حيث تكون Z بالكيلومترات عندما R_a بالأوم/متر، f بالهرتز.

ويوضح شكل (6-25) مجموعة من تسجيلات حصل عليها من قياسات مسح تيارات مغناطيسية أرضية. الصعوبة فى قياس هذه التيارات هى أنها ضعف المجال المغناطيسى الذى له شادات لأجزاء عشرية قليلة من الميللجرامات. ولذلك هناك أجهزة خاصة لهذا الغرض.

نوع المعلومات التى يمكن الحصول عليها من مسح التيارات المغناطيسية الأرضية موضحة فى شكل (6-26) وبرغم أن هذه الطريقة غير ملائمة لكشف الطبقات الرفيعة، فإنها تدل على التركيبات الطبقة الموجودة على طول البروفيل، كذلك يمكن الحصول على أعماق ملائمة للتركيب. لذلك نتائج هذه الطريقة تعتبر مرضية للاستكشاف الاستطلاعى الأولى.

عند وجود غطاء سطحى، ومقاومة نوعية عالية (مثل المواد البركانية السمكية)، فإن الأساليب الفنية التقليدية للمقاومة النوعية غير مناسبة للاستكشاف العميق. لذلك فإن طرق الكهرومغناطيسية الأرضية سوف تعطى أحيانا معلومات عن المقاومة النوعية للطبقات أسفل الغطاء. تعتبر طريقة التيار الأرضى المغناطيسى من الطرق المستخدمة لدراسة المقاومات لأعماق كبيرة خلال الأرض.



شكل (25-6): تسجيلات لحظية لمركبات شمالية وشرقية التغيرات فى الزمن فى مجال كهربي، ومركبات شمالية وشرقية ورأسية للتغير مع الزمن فى مجال مغناطيسى متردد. إستخدمت المعلومة فى هذه التسجيلات لحساب المقاومة الظاهرة.

3.2.3.6 إستطلاع (مسح) المجالات المغناطيسية المترددة الطبيعية

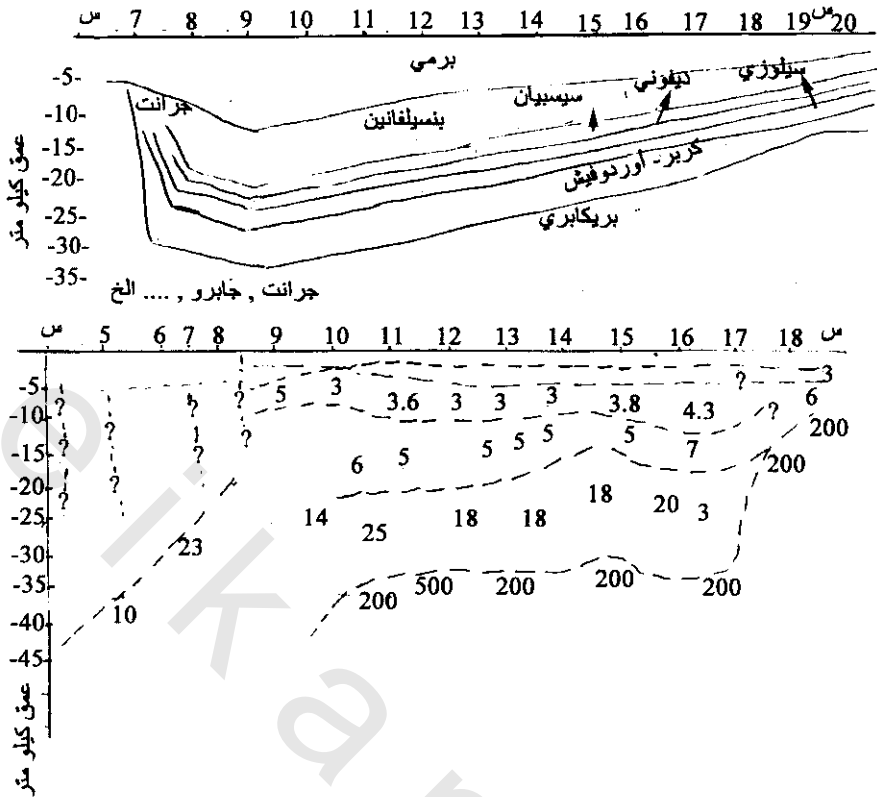
Alternating Magnetic Field Survey (AMFS):

أسلوب فنى ينتسب عن قرب إلى طرق التيار الأرضى والكهرومغناطيسى الأرضى، ويعتمد على قياس المجالات المغناطيسية المتذبذبة (الطبيعية عند ترددات سمعية ودون سمعية).

يغطى المجال الكهرومغناطيسى الطبيعى للأرض نطاق ترددات واسعة. أما المركبات التى توجد فى مدى التردد السمعى (من بضع عشرات إلى بضع آلاف هرتز) تنتج من إضطرابات كهربية فى الجو. فمن مصدر هذه الإضطرابات الكهربية، منذ المجالات التى تجعل المركبات الكهربية - تقريبا - رأسية وتجعل المركبات المغناطيسية تقريبا أفقية. عندما تصطدم هذه المركبات بمنطقة موصلة مع حد رأسى (كما فى حالة حاجز ينفذ تقريبا للسطح أو إلى السطح) فإن مستوى الإستقطاب للمجال المغناطيسى الأفقى المتعامد سوف يميل بطريقة ما تجعل له مركبة رأسية محسوسة. مثل هذا الميل للمتجه المغناطيسى يدل على عدم استمرارية جانبية فى المقاومة النوعية من النوع الذى يرصد غالبا عند الحواف لجسم خام.

فى عمليات المسح الحقلى لمعظم الحالات تستخدم ملفات كاشفة لقياس الميل وزاوية السمى للمجال المغناطيسى المتردد. عندما تكون زاوية السمى أقرب إلى 10° فإن دقة قياس الميل على طول زاوية السمى يصل إلى 1°-2°. والقيم النمطية للتردد هما 150، 510 هرتز.

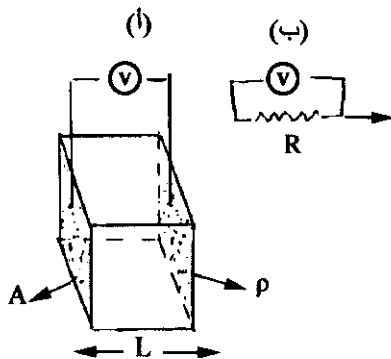
هذه الطريقة لها مدى أكبر للكشف أفقيا ورأسيا عن الطرق التى تستخدم مصادر طاقة صناعية ولذلك فهى مناسبة للكشف عن أجسام كبيرة غائرة. وتستخدم كذلك فى تحديد أماكن الفوالق والحواجز الرأسية المدفونة.



شكل (26-6): (أ) قطاع جيولوجى مجمع من نتائج الآبار، (ب) قطاع مقاومة محدد من نتائج مجنيتيوك عبر حوض أنا داركو، أوكلاهوما Anadark Oklahoma. قورنت نتائج مجنيتيوك مع حد فى مدى العمق للتماس بين صخور البريكامبرى البلورية والصخور الرسوبية الحديثة فيزوف كيفا 1972 Vessffekeva

4.6 طرق المقاومة النوعية Electrical Resistivity Methods

فى هذه الطرق يستخدم التيار المستمر أو التيار ذى التردد المنخفض. وبما أن المقاومة هى خاصية كهربية أساسية لمواد الصخر ومرتبطة بشدة مع الخواص الصخرية، فإن التوزيع التحت سطحى للمقاومة النوعية من قياسات على السطح يمكن أن يعطى معلومات مفيدة عن التراكيب التحت سطحية الجيولوجية أو محتوى التكوينات الجيولوجية المدفونة.



شكل (27-6): (أ) تحديد أساس للمقاومة عبر كتلة متجانسة طول جانبها L يمر به تيار I وانخفاض الجهد بين السطحين المتقابلين V ، (ب) الدائرة الكهربائية المكافئة حيث R المقاومة

1.4.6 قواعد أساسية Basic Principles:

1.1.4.6 المقاومة الحقيقية True Resistivity:

إذا مر تيار كهربائي في قطعة صخرية على هيئة مكعب (6-27) فإن المقاومة تتناسب طرديا مع الطول وعكسيا مع المساحة

$$\therefore R \propto L/A \quad (6-8)$$

حيث R المقاومة، L الطول، A المساحة

$$R = \rho L/A \quad (6-9)$$

حيث ρ المقاومة الحقيقية.

ولكن تبعا لقانون أوم Ohm law فإن

$$R = V/I \quad (6-10)$$

حيث V إنخفاض الجهد عند مرور التيار في المكعب ، I شدة التيار

من (6-9) & (6-10)

$$\therefore \rho L/A = V/I$$

$$\therefore \rho = \frac{VA}{IL} \quad (\text{أوم/متر } \Omega/\text{m}) \quad (11)$$

مقاومة المواد الجيولوجية تمثل واحد من أكبر مدى لجميع الخواص الفيزيائية تتراوح من 10^{-8} إلى 10^{16} أوم/متر للفضة الطبيعية إلى 10^{16} أوم/متر للكبريت النقي. أما الصخور الرسوبية فتشير غالبا إلى أنها موصلة وذلك لوجود ثقب محتوية سوائل، أما الصخور المتحولة لها وضع متوسط بينهما ولكن لها مقاومات متراكبة. أيضا فإن الزمن الجيولوجي له تأثير على المقاومة فمثلا الصخور البركانية الرباعية لها مقاومة في المدى من 10-200 أوم/متر بينما نفس هذه الصخور في زمن البريكامبرى لها رتبة لقيمة أكبر. وتبعا لذلك فإن الصخور القديمة لها بعد كبير للإستكشاف لملا فتحاتها ثانية بواسطة التمدن، والضغط يقلل المسامية والنفذية.

في الصخور الرسوبية فإن مقاومة السوائل الخلالية (بين الفتحات) نسبيا أكبر أهمية من الخصور المضيفة. فمثلا المياه الأرضية المالحة لها مقاومة أقل من 0.05 أوم متر، وبعض المياه الأرضية ومياه الثلجات المذابة يمكن أن يكون لها مقاومة أكبر من 1000 أوم متر. يوضح جدول (4-6) مقاومة بعض المعادن والصخور الشائعة.

جدول (4-6) مقاومة المواد الجيولوجية الشائعة.

المادة	مقاومة اعتبارية (Ωm)	المادة	مقاومة اعتبارية (Ωm)
كبريتيدات:		جابر و	$10^6 \times 10^3$
كالكوبريت	$10^1 \times 3 - 10^5 \times 1.2$	بازلت	$10^7 \times 1.3 - 10$
بيريت	$1.5 \times 10^{-5} - 10^2 \times 2.9$	شيست (جبرى وميكا)	$10^4 \times 10 - 20$
بير هونتيت	$10^2 \times 10^5 - 10^6 \times 7.5$	شيست (جرافيت)	$10^2 \times 10 - 10$
جالينا	$10^2 \times 10^3 - 10^5 \times 3$	اردواز	$10^7 \times 10^4 - 10^2 \times 6$
سفاليريت	$10^7 \times 1.5$	رخام	$10^{18} \times 10^2 \times 5 - 10$
أوكسيدات		كونجلوميرينات	$10^4 \times 10^{-3} \times 2$
هيماتيت	$10^7 \times 10^{-3} \times 3.5$	أحجار رملية	$10^8 \times 10^7 \times 4 - 1$
ليمونيت	$10^7 \times 10^{-3} \times 10$	أحجار جيرية	$10^7 \times 10^5 - 10^2 \times 3.5$
ماجنيتيت	$10^3 \times 10^5 \times 7 - 10^5 \times 5$	دولوميت	$10^3 \times 10^5 - 10^2 \times 3.5$
المنيت	$10^5 \times 10^{-3} \times 10$	مارل	$10 \times 10^7 - 3$
كوارتز	$10^6 \times 10^{-2} \times 3$	طين	$10^2 \times 10 - 1$
صخر ملحي	$10^{13} \times 10 - 10^3 \times 3$	غرين ورمل	$10^2 \times 10^8 - 10$
انتراسيت	$10^5 \times 10^2 - 10^3 \times 10$	ركام جليدى	$10^3 \times 10^5 - 10$
ليجنيت	$10^2 \times 10^2 - 9$	حجر جبرى غامق	400-100
جرانيت	$10^6 \times 10^{-2} \times 3$	تربة (40%) جليد	8
جرانيت (مجوى)	$10^2 \times 10^5 - 10^3 \times 3$	تربة (20%) طين	33
سينيت	$10^6 \times 10^{-2} \times 10$	أعلى التربة	1700-250
دايوريت	$10^5 \times 10^{-4} \times 10$	قطع طين	35-15
متوسط طبقة الفحم	$100 <$	طين (جاف جدا)	150-50
طباشير	150-50	حجر طيني	60-20
		فحم يحتوى طين	50
		البصرة (اللاتيرايت)	1500-800
حصى (جاف)	1400	تربة لاترينية (تربة شبه طينية)	750-120
حصى (مشبع)	100	حمراء حديدية	
رمل	100-50	تربة رملية جافة	1050-80
(رباعى/حديث)		رمل طينى/طينى رملى	215-30
ماء	4	رملى وحصى	225-30
نفايات فحمية	20-10	مدافن غير مشبعة	100-30
مياه حمضية لخشب	100	مدافن مشبعة	30-15
صخرى نصف متفحم			
مياه مناجم حمضية	20	صرف مياه أمطار	100-20
		صرف مدافن	50-10 <
		ثلج مجمد (معتدل الحرارة)	$10^8 \times 10^{-2} - 10^6 \times 2$
		ثلج مجمد (قطبى)	$10^5 \times 10^3 - 10^4 \times 5$
		تربة دائمة التجمد	$10^4 \times 10^{-3} \times 10$

* (10- درجة حرارة إلى 60 درجة حرارة).

بعض المعادن مثل بيريت، جالينا، ماجنيتيت تكون عامة فقيرة التوصيل فى الكتل عندما تكون بلورات مفردة لها توصيلات عالية. ويكون الهيماتيت وسفاليريت عازلا عندما يمر به التيار الكهربى أفقيا ولكن عندما يحتوى على شوائب فإنه يصبح موصل جيد (مقاومة أقل من 0.1 أوم متر). ويقلل الجرافيت المقاومة الكهربائية الكلية للمعادن الأخرى فقيرة للتوصيل الموجوده معه فى الكتل الصخرية. الصخور الأخرى التى لها تكوينات مختلفة لسحنات متدرجة مثل الصخور الرسوبية فإن المقاومة سوف تعكس تغير الخواص لمكونات المواد. هدف أغلب المسح الحديث للمقاومة الكهربائية الحصول على نماذج مقاومة حقيقية للتحث سطحية، حيث تؤدى هذه النماذج لمعنى جيولوجى.

2.1.4.6 المقاومة النوعية الظاهرية Apparent Resistivity:

عموما، تستخدم طرق المقاومة النوعية لقياس المقاومة النوعية الظاهرية. لتوضيح مفهوم المقاومة النوعية الظاهرية، إذا أدخل تيار I فى جسم صلب نصف لانهاى ذا مقاومة نوعية حقيقية منتظمة ρ عبر قطبين B, A على سطحه كما فى شكل (28-6)، وقيس الجهد المصاحب لهذا التيار عبر قطبين D, C على نفس السطح، يكون الجهد عند C

$$V_C = \frac{I\rho}{2\pi} \left(\frac{1}{r_1} - \frac{1}{r_2} \right) \quad (6-12)$$

حيث r_1, r_2 المسافات من نقطة قياس الجهد عند C إلى B, A على التوالى

$$V_D = \frac{I\rho}{2\pi} \left(\frac{1}{R_1} - \frac{1}{R_2} \right) \quad (6-13)$$

حيث R_1, R_2 المسافات من نقطة قياس الجهد عند D إلى B, A على التوالى

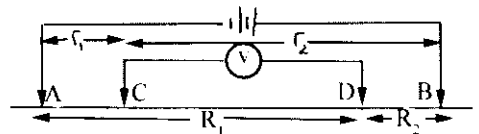
∴ فرق الجهد D, C

$$\Delta V = V_C - V_D = \frac{I\rho}{2\pi} \left(\frac{1}{r_1} - \frac{1}{r_2} - \frac{1}{R_1} + \frac{1}{R_2} \right) \quad (6-14)$$

وتكون ρ هى ρ_a فقط عندما تكون ρ منتظمة تحت السطح

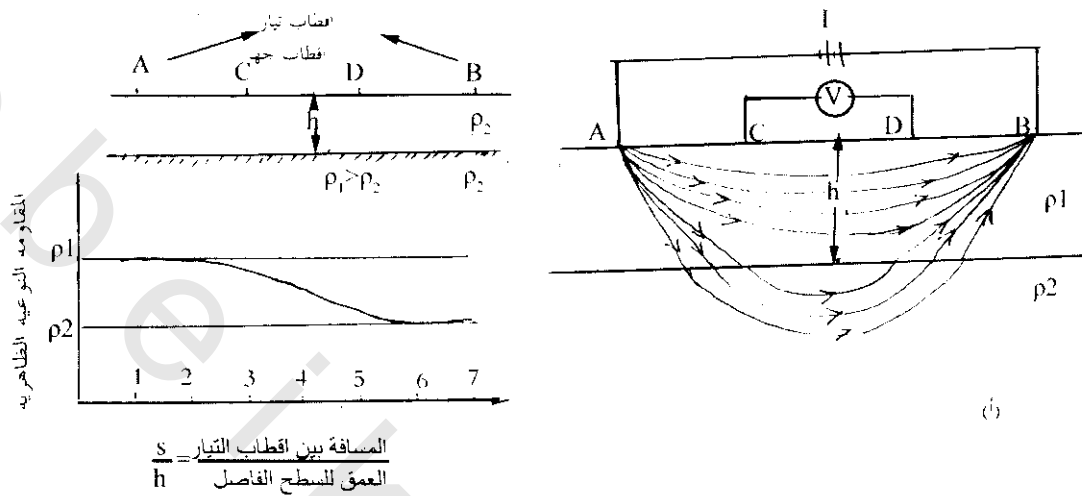
$$\therefore \rho_a = \frac{2\pi V}{I} \frac{1}{1/r_1 - 1/r_2 - 1/R_1 + 1/R_2} \quad (6-15)$$

النتيجة السابقة لاتتأثر بتبادل أقطاب التيار والجهد مع بعضها.



شكل (28-6): يوضح طريقة قياس المقاومة النوعية الظاهرية B, A أقطاب دخول التيار الكهربى فى الأرض، D, C أقطاب قياس الجهد الكهربى

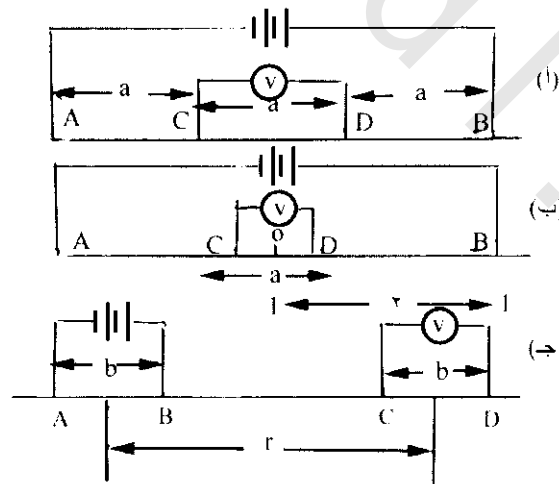
لذلك فإن المقاومة النوعية تنتج من مرور التيار الكهربى فى أكثر من طبقة غير متجانسة. ويوضح شكل (29-6) منحنى تخطيطى للمقاومة النوعية الظاهرية مقابل نسبة المسافة بين الأقطاب إلى العمق فى حالة طبقتين



شكل (6-29): أ) خطوط سريان التيار بين A, B في أرض ذات طبقتين بموصلين نوعيين مختلفين، ب) المقاومة النوعية الظاهرية كدالة للمسافة بين الأقطاب لحالة الطبقتين الموضحين في شكل أ.

2.4.6 الطرق الحقلية وترتيب الأقطاب: Field Methods and Electrodes Arrangements:

في جميع الطرق الحقلية تكون مجموعتين الأقطاب (أقطاب التيار والجهد) موضوعة على خط واحد. غالبا ما توضع أقطاب التيار على الخارج من أقطاب الجهد. ترتيب الأقطاب الأوسع استعمالا كالتى شكل (6-30).



شكل (6-30): أ) ترتيب وينر Wenner، ب) ترتيب لمبرجير Schlumberger، ج) ترتيب ثنائي القطب Dipole

1.2.4.6 ترتیب وینر Wenner:

من أكثر ترتيبات الأقطاب شيوعاً لقياسات المقاومة النوعية، في هذا الترتيب تكون الأبعاد بين القطب متساوية كما في شكل (6-30) في هذا النظام تصبح المعادلة (14-6) حيث a المسافة المتساوية بين الأقطاب.

$$\rho_a = 2\pi a \frac{V}{I} \quad (6-16)$$

2.2.4.6 ترتيب شلمبرجير Schlumberger :

فى هذا الترتيب توسع المسافة بين الأقطاب بزيادة المسافة بين قطبى التيار أو التى بين قطبى الجهد. ويفترض أن يكونا قطبى الجهد على بعد متناهى الصغر فيما بينهما. المقاومة النوعية الظاهرية عند المنتصف لترتيب شلمبرجير من المعادلة (6-14) هى

$$\rho_a = \frac{\pi r^2}{a} \frac{V}{I} \quad (6-17)$$

حيث a المسافة بين أقطاب قياس الجهد، وحيث تكون r المسافة بين منتصف أقطاب الجهد وأحد أقطاب التيار محددة فى الرسم البيانى، ولنتائج دقيقة يجب أن تكون a أقل من $\frac{r}{5}$.

3.2.4.6 ترتيب ثنائى القطب Dipole Arrangement :

أكثر تقدما من الترتيبين السابقين وتستخدم كثيرا فى الإتحاد السوفيتى للاختراق العميق. أقطاب التيار تكون عادة منفصلة جيدا عن أقطاب الجهد. إذا كانت المسافات a متساوية والمسافة بين مراكز الأزواج المناظرة هى r ، فإن المقاومة النوعية الظاهرية المحددة بواسطة هذا الترتيب هى

$$\rho_a = \pi \left(\frac{r^2}{a} - r \right) \frac{V}{I} \quad (6-18)$$

هذا فى حالة ما يكون الترتيب على خط مستقيم واحد.

3.4.6 إلغاء الجهود الزائفة عند الأقطاب: Cancel Counterfeit Potential at Electrodes :

بالإضافة إلى فرق الجهد المصاحب للتيار الداخلى إلى الأرض بواسطة أقطاب التيار، فإن قراءة الجهد قد تحتوى على جهود كهروكيميائية زائفة بين الأقطاب والمحاليل الكهربية فى الأرض، ولتلافى ذلك يمكن استخدام الآتى:

- أ- أقطاب غير مستقطبة (مثل وعاء مسامى، كبريتات نحاس، نحاس).
- ب- مبدل عكس اتجاهات التيار وكذلك إستعمال القطبين. فعندما يكون الجهد حوالى 30 مرة فى الثانية، وكل الجهود المستقطبة عند الأقطاب تكون معكوسة فى الإشارة مع كل نصف دورة فإن الجهود الزائفة تتلاشى.
- ج- حديثا تستخدم أنظمة تسليط نبضات تيار مستمر إلى الأرضية بقطبيه متغيرة ومعكوسة.
- د- إستخدام تيار متغير ذى تردد منخفض حوالى 5 هرتز.

4.4.6 البروفيل الكهربى Electric Profiling:

يطلق على هذه الطريقة أيضا (تشكيل البروفيل المستمر)، والهدف من هذه الطريقة هو كشف التغير الجانبي فى المقاومة للأرض.

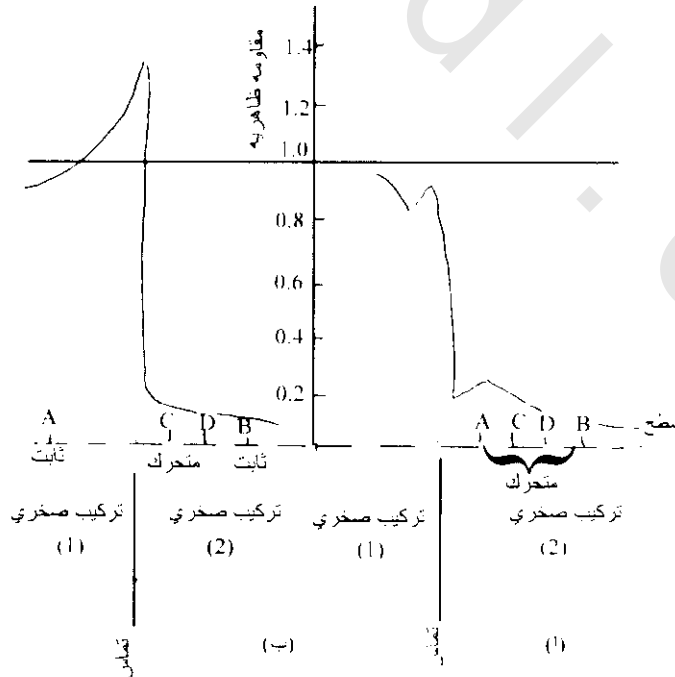
فى طريقة شلمبرجير (شكل 6-30 ب) تظل أقطاب التيار الكهربى ثابتة على مسافة كبيرة نسبيا، مثلا، لعدة مئات قليلة من الأمتار وتتحرك أقطاب الجهد ذات البعد الصغير الثابت، وتحسب المقاومة الظاهرية من المعادلة (6-16) لكل مكان تأخذه حركة زوج أقطاب الجهد. وفى نهاية البروفيل ينقل العمل لخط مجاور وهكذا إلى أن يتم تغطية فحص المنطقة. فى الحقيقة، تكون خطوط البروفيل عادة عمودية الزوايا على خط المضرب للتركيب الجيولوجى (مثل الفوالق والسدود) لتخطيطها لذلك يتوقع إيجاد شئ ما فى النتائج من بروفيل آخر.

فى طريقة ونر شكل (6-30 أ) تتحرك الأقطاب الأربعة كمجموعة بصفوف محددة بالبعد (a) الموجود بين الأقطاب فى خطوات ملائمة، مثلا، 10-20 متر على طول خط القياس. يعتمد اختيار مسافة الصفوف (a) على عمق ظاهرة شاذة المقاومة المنخرطة. يرى المنحنيان فى شكل (6-31) منحنيات المقاومة الظاهرية المحصول عليها بواسطة بروفيلات شلمبرجير وونر عبر تماس رأسى بين تكوينى صخرى. منحنى ونر يختلف فى أن له أربع مدببات مؤنفة، وربما لا تلاحظ هذه المدببات إذا لم تؤخذ القياسات عند فترات متقاربة جدا.

5.4.6 الإستطلاع الكهربى أو التثقيب الكهربى الرأسى

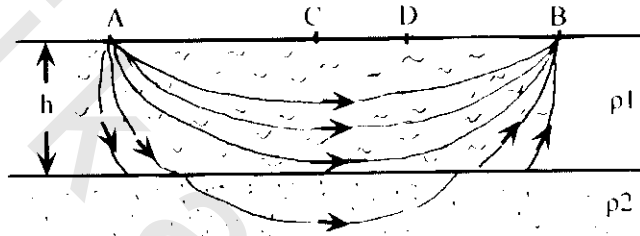
Electric Sounding (or Drilling) or Vertical Sounding:

عندما تتكون منطقة البحث من عدة طبقات أفقيه، فيكون المطلوب معرفة التغير الرأسى فى المقاومة. يكون هدف الاستطلاع الكهربى إستنتاج تغير المقاومة العمق أسفل النقطة المأخوذة على سطح الأرض ومقارنتها مع معلومات التغير الجيولوجى لكى تستنتج الأعماق والمقاومات للطبقات (التكوينات) الموجودة، والطريقة موضوعة على حقيقة أن



شكل (6-31): مقاومة ظاهرية عبر تماس رأسى بين تكوينين صخريين باستخدام تشكيلات قطبية مختلفة التركيب (1) له مقاومة (4) مرات التركيب الثانى. (أ) بروفيل ونر، (ب) بروفيل شلمبرجير حيث يرى أكثر انحدار تدريجى من بروفيل ونر.

التيار يخترق باستمرار الأعماق مع زيادة أبعاد أقطاب التيار. يوضح شكل (6-32) أساس تطبيق مسألة طبقتين فعندما يكون أبعاد أقطاب التيار AB صغير بالمقاومة السمك h للطبقة العلوية فإن المقاومة الظاهرية المحدد بواسطة ΔV بين أقطاب الجهد CD تدل على نفس مقاومة الطبقة العلوية ذات مقاومة p_1 . هذا بسبب الجزء الصغير للتيار الذى يخترق الطبقة السفلية أسفل الحد. وبزيادة أبعاد أقطاب التيار فإن جزء كبير من التيار يخترق أعماق، وتشوه خطوط إنسياب التيار عند الحد الفاصل. وعندما تكون أبعاد أقطاب التيار كبيرة بالمقارنة مع عمق الطبقة العلوية (h) فإن المقاومة الظاهرية تقترب من p_2 . حيث يهمل جزء من التيار المحدد (المحصور) للطبقة السطحية. ويوضح شكل (6-33) نموذج لمنحنيات طبقتين وثلاثة للتغير فى المقاومة الظاهرية كدالة لأبعاد أقطاب التيار لتتناسق طريقة استطلاع شلمبرجير الكهربائية والتي فيها أقطاب الجهد تحفظ ثابتة وأقطاب التيار تتحرك بتمائل للخارج فى خطوات.



شكل (6-32): أساس تنقيب كهربى لأصغر بعد أقطاب التيار (AB) ونعنى أن (h) العمق أكبر من المسافة. وبذلك يكون التيار قد حدد الطبقة السطحية ذات مقاومة p_1 . بزيادة المسافة AB فإن جزء كبير من التيار يخترق أعماق فى الطبقة السفلى ذات مقاومة p_2

فى طريقة ونر للاستطلاع الكهربى فإن صف المسافة (a) تزداد بخطوات مع الإحتفاظ بالنقط المتوسطة للشكل (نقط الثقب (drilling point) ثابتة. المجموعة النموذجية لتوزيع الأبعاد تكون

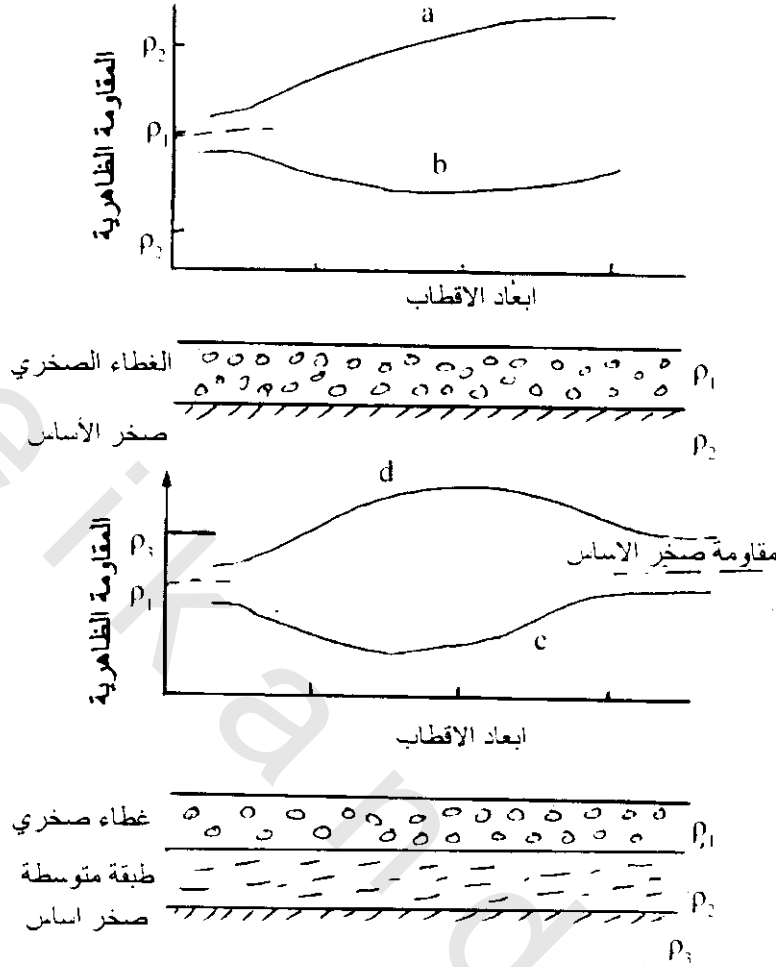
$$a = 2.6, 18.54, \infty . m$$

ومنحنيات المقاومة (المقاومة بالنسبة للمسافة a) لاستطلاع ونر تأخذ نفس الشكل العام ولكنها تختلف عن استطلاعات شلمبرجير شكل (6-33)

6.4.6 أجهزة مساحة المقاومة Resistivity Survey Instruemnts:

فى الحقل، يتم عمل مساحة المقاومة بأجهزة بسيطة تتكون من حزمة بطاريات ذات جهد عالى كمصدر للتيار المستمر، أربع أوتار معدنية، ميللى متر، فولتметр، وأربع بكرات كابل عازل. ويتم القياس باستخدام تيار مستمر أو تيار متردد (ذا منخفض جدا). الميزة المحددة لاستخدام تيار متردد هو تجنب الجهد الزائد مثل الذى يحدث باستقطاب الأقطاب أو بواسطة التيار الكهربى الأرضى. ويفضل استخدام تيار متردد ذو تردد منخفض معكوس، لأن التأثيرات السطحية على الأقطاب تقلل بسرعة شدة التيار مع العمق وتبعاً لذلك يقل عمق الفحص.

لاختراق أعماق كبيرة، فمن الضرورى استخدام مصدر تيار مباشر (مستمر)، واستخدام أقطاب غير مستقطبة لمصدر التيار المستمر لمنع تولد جهد الكتروليمائى بين الأرض ومعدن الأقطاب. وعامة واحداث المقياس التجارية متاحة، حيث أن أغلب المساحات المطلوبة هو إختراق عمق لبعض مئات الأمتار فى حالات ملائمة أرضية.



شكل (6-33): شكل تخطيطى لمنحنيات استطلاع كهربى عبر طباقية أفقية أرضية. ترى منحنيات المقاومة الظاهرية (ρ_a) للحالات الآتية

$\rho_2 > \rho_3 > \rho_1$ (d), $\rho_3 > \rho_1 > \rho_2$ (c & $\rho_1 > \rho_2$ (b & $\rho_2 > \rho_1$ (a).
يوجد تغير أكثر لمنحنيات الثلاث طبقات مثلاً: (أ) نموذج تصاعد مزدوج ($\rho_1 < \rho_2 < \rho_3$ ، ب) نموذج هبوط مزدوج $\rho_1 > \rho_2 > \rho_3$

7.4.6 التفسير الكمي للاستطلاع الكهربى الرأسى: Interpretation of Vertical Electrical Sounding:

العمق الذى يتم عنده الحصول على معلومات يكون تقريباً مساوياً للمسافة الفاصلة للأقطاب فى ترتيب وينر. معظم النظريات التى طورت لهذا الغرض كانت موجهة للتطبيق على نماذج بسيطة، كطبقات متعددة (أربعة على الأكثر) مفصولة عن بعضها بواسطة سطوح بينية (من الأفضل ان تكون أفقية، فوالق، منخفضات نصف كروية مملوءة). فى السنوات الأخيرة ظهرت أساليب فنية لعملية للتنبؤ بتأثيرات المقاومة النوعية لأجسام لها شكل اختياري لا يمكن وصفه تحليلياً.

كثير من الظواهر الجيولوجية ذات الأهمية الاقتصادية يمكن تمثيلها بصورة طباقية بسيطة، حيث يمكن تقدير عمق الأساس الموجود تحت الغطاء الرسوبى باستخدام معادلات تشكيل طبقتين أكثر من قياسات المقاومة النوعية. معظم مساحات المقاومة النوعية التى أجريت للأغراض الهندسية صممت لتعطى هذا النوع من

المعلومات. ويمكن تمثيل كتل الخامات التى لها مقاومة شاذة بكرات أو أجسام كروانية حيث يمكن حساب أبعادها وعمق دفنها من معطيات المقاومة النوعية باستخدام معادلات رياضية مشتقة لهذه الأشكال الهندسية. نفس الطريقة يمكن تطبيقها للدراسات الخاصة بالمنخفضات المملوءة.

فلطبقة سطحية ذات سمك h ومقاومة نوعية ρ_1 تغطى طبقة تحت سطحية ذات سمك لانهاى وذات مقاومة نوعية ρ_2 (شكل 29-6 أ أو ب) فإن المقاومة النوعية الظاهرية.

$$\rho_a = \rho_1 \left\{ 1 + 4 \left[\frac{K}{\sqrt{1 + (2h/a)^2}} - \frac{K}{\sqrt{4 + (2h/a)^2}} + \frac{K_2}{\sqrt{1 + (4h/a)^2}} - \frac{K_2}{\sqrt{4 + (4h/a)^2}} + \frac{K_3}{\sqrt{1 + (6h/a)^2}} - \frac{K_3}{\sqrt{4 + (6h/a)^2}} + \dots \right] \right\} \quad (6-19)$$

حيث a هى المسافة بين الأقطاب فى تشكيل وينر، K المقاومة النوعية الانعكاسية وهى $\frac{\rho_2 - \rho_1}{\rho_2 + \rho_1}$. وتعتبر

المعادلة (6-18) عن ρ_2 كمتسلسلة لانهاية ذات الحد n الذى له شكل

$$4\rho_1 \left[\frac{K_n}{1 + (2nh/a)^2} - \frac{K_n}{\sqrt{4 + (2nh/a)^2}} \right]$$

وحيث K دائما يكون أقل من الوحدة، فإن المتسلسلة تتقارب أى أن الحدود تقترب كلما زادت قيمة n وعدد محدود من الحدود فقط يكون لازما لإجراء الجمع.

التفسير الكمى لنتائج المقاومة واحدة من المسائل المعقدة ويجب على المفسر الاحتراس الثابت ضد القواعد البسيطة المبهمه فى هذا المقابل. برغم قيام عدة مؤلفين بدراسة رياضية متقنة، إلا أنه من الصعب الحصول على نتائج ملائمة بواسطة تطبيقات التحاليل النظرية لنتائج المقاومة المحصول عليها فى الحقل. هذا لأن التقدم النظرى يطبق فقط لنموذج سطحى طبقى بسيط بينما عمليا تغير المقاومة يكون عادة أكثر تعقيدا فى التغير الجانبى والرأسى.

يوجد حتى الآن دراسات قليلة لتوزيع المقاومة الظاهرية عبر ثلاث أبعاد غير متجانسة. مع أن هذه الدراسات تتم بصعوبة فإن بعض المواقع الجيولوجية يمكن تفسير تقريبي لها بدقة بواسطة تركيبات طبقية بسيطة لتقنية تفسيرية على أساس استخدام تطبيق منحنيات قياسية نظرية.

8.4.6 المنحنيات القياسية وتخريط الطبقات أفقية التركيب

Master Curves and Mapping of Layered Horizontal Structures:

مجموعة المنحنيات القياسية أكثر شيوعا لتفسير معطيات المقاومة النوعية لعدد صغير من الطبقات الأفقية. كل منحنى منها يمثل رسم للمقاومة النوعية مقابل المسافة القطبية لترتيب الأقطاب المستعمل فى الحقل.

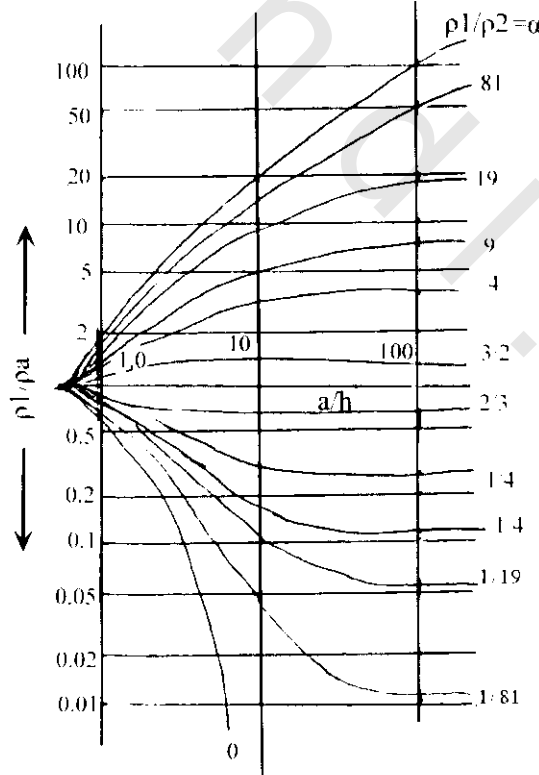
1.8.4.6 حالة طبقتين:

وفى هذه الحالة ترسم مجموعة منحنيات لقيم مختلفة لـ h ، K ، وترسم المقاومة النوعية الظاهرية ρ_a ومسافة الأقطاب a فى طريقة وينر. ثم تقارن منحنيات المعطيات المقاسة مع المنحنيات القياسية النظرية. بعد ذلك تحدد قيم h ، K من خصائص المنحنى القياسى الذى يعطى أفضل مقارنة.

عادة ترسم المنحنيات على مقياس لوغاريتمى مثل المبين فى شكل (6-34) لتشكيل شلمبرجير. يمثل المحور الأفقى فى الشكل نسبة المسافة بين قطبى الجهد إلى سمك الطبقة a/h ، والمحور الراسى يمثل المقاومة الظاهرية ρ_a إلى المقاومة الحقيقية الأولى ρ_1 (h/ρ_1). وبفرض أن الطبقتين أفقيا تماما فيمكن بذلك تحديد سمك الطبقة h (وهو المجهول الوحيد). وميزة توفعات لولو* للمعطيات المقاسة والمنحنيات القياسية هو أن المنحنى التجريبي الذى يعطى أفضل ملائمة للقياسات الحقلية موازى للمنحنى القياسى المطلق. وعادة ما تكون h غير معلومة لذلك يفرض قيمة للعمق (من المعلومات الجولوجية المتاحة) عند توقيع النقط التجريبية. ومن قيمة منحنى a/h للمنحنى القياسى الذى يكون أكثر توازيا مع منحنى القيم المقاسة، يمكن تعيين h .

2.8.4.6 حالة ثلاث طبقات أو أكثر:

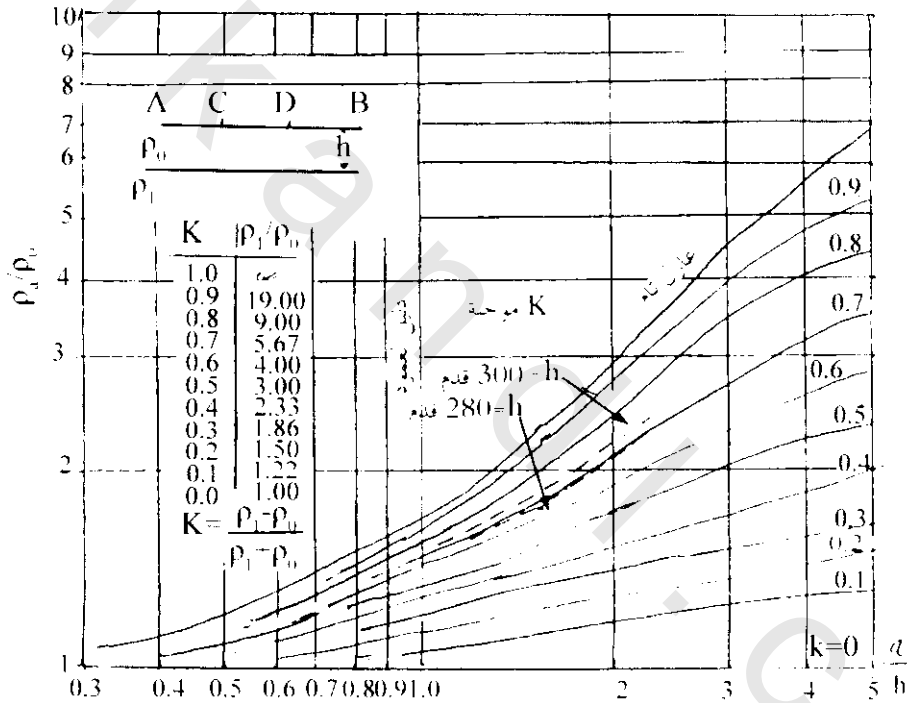
نشرت الشركة العامة للجيوفيزياء 1955 Compagnie Generale de Geophysique مجموعة من 480 منحنى قياس (لتشكيلات مقاومة نوعية لثلاث طبقات وذلك على أساس السمك النسبى للطبقات المختلفة ومقاومتها النوعية النسبية. وقد حسبت المنحنيات على ترتيب شلمبرجير القطبى بفرض تزايد تباعد الأقطاب.



شكل (6-34): منحنيات قياسية نموذجية لترتيب شلمبرجير حين تغطو طبقة بمقاومة نوعية ρ_1 وسمك h ، طبقة تحت سطحية بمقاومة نوعية ρ_2

ويوضح شكل (6-35) كيفية استخدام الثلاث طبقات لتفسير القياسات الحقلية بترتيب أقطاب بطريقة وينر، ترسم معطيات النقطة ρ_a مقابل $AB/2$ (AB مبادعة أقطاب التيار) على ورق لوغاريتمي شفاف. بعد ذلك توضع الورقة البيانية فوق اللوحة المحتوية على مجموعة المنحنيات المختارة للمقارنة ويحرك وضعها أفقياً ورأسياً للحصول على أكثر ملائمة ممكنة. في المثال المبين بشكل (6-35) تظهر معطيات النقطة لتلائم منحني الثلاث طبقات للحالة التي فيها الطبقة الثانية ذات مقاومة نوعية مقدارها $1/39$ من قيمة الأولى، وسمك قيمته Ω مرة في المقدار، حيث أن الطبقة الثالثة اللانهائية يكون لها مقاومة نوعية لانهاية.

مجموعة من المنحنيات الأكثر تفصيلاً، والتي تعطي تشكيلات ثلاث طبقات وكذلك أربع طبقات نشرت بواسطة موفي ووتزل 1956 Moovey and Wetzel، أوريلانا وموني 1966 Orellana and Mooney. حديثاً وضعت المجموعة الأوروبية لجيوفيزيائيو الاستكشاف European Association of Exploration Geophysicists 1963 منحنيات تسمح بمرونة أكبر في اختبار نماذج المقاومة النوعية.



شكل (6-35): منحنيات قياس لطبقتين للمقاومة النوعية الظاهرية المعيارية، مقابل مبادعة القطب بتشكيل وينر لحالة مقاومة ظاهرية ρ_a أكبر من المقاومة النوعية ρ_0 للطبقة السطحية، ρ_1 المقاومة النوعية لطبقة تحت سطحية لانهاية للنقطة الموقعة على الرسم البياني هي مجموعة من قيم المقاومة النوعية الظاهرية المقاسة على مختلف التباعدات. الخط العلوي المتقطع يبين توقعاً بسمك للطبقة 300 قدم والخط السفلي المتقطع يبين موقع نقط المعطيات بعد الإزاحة للحصول على أفضل ملائمة للمنحنيات القياسية. وهذه توضح أن السمك الحقيقي يكون 280 قدم (فان فوستران وأخريين 1966 Van Vostrad et al)

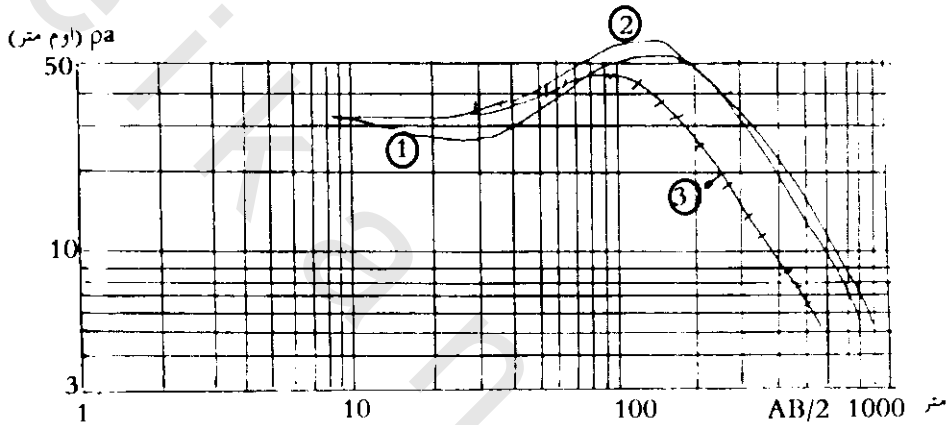
المنحنيات القياسية يمكن تصحيحها أثناء تفسير أي تتابع للطبقات عند استخدام برامج جاهزة للحاسب الآلي. وفي السنوات الأخيرة، تم عمل برامج للحاسب الآلي حلت محل مقارنة المنحنى في التفسير الروتيني.

المنحنيات الرأسية التي نوقشت هي لفواصل بينية مستوية وأفقية بين الطبقات، أما المستويات البينية المائلة فهي أكثر تعقيداً. يوجد في المراجع عدة أبحاث لتفسير معطيات المقاومة النوعية الظاهرية لطبقات مائلة.

كذلك ظهرت حلول للمعادلة الأساسية للجهد حيث تختلف المقاومة النوعية باستمرار مع العمق سواء كان التغير تدريجى أو فجائى. أيضا يستخدم الحاسب الآلى للحصول على استطلاعات العمق مباشرة من معطيات المقاومة النوعية الظاهرية مقابل مبادعة القطب والتي يحصل عليها فى الحقل.

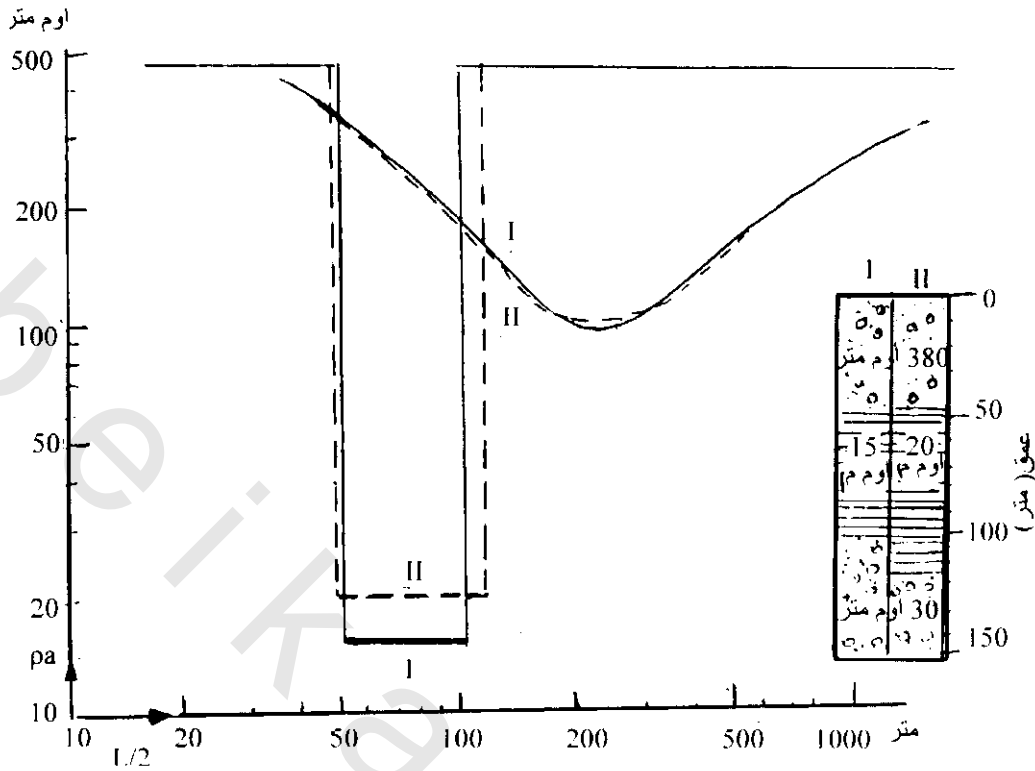
9.4.6 غموض فى تفسير المقاومة :Ambiguity in Resistivity Interpretation

المثال الحقلى الموضح فى شكل (36-6) يدل على أن معلومات التتابع الطبقي (استراتجرافى) حول طبقية الأرض يمكن الحصول عليها بواسطة قياسات تحت ظروف ملائمة. عامة، ربما يكون قوة التحليل فى هذه الطريقة ليست عالية جدا. وهذه حقيقة خاصة للطبقات العميقة، حيث يحدث التغير الأساسى فى المقاومة قبل تأثيرها ويتضح ملاحظتها من عدم الانتظام بسبب عدم التجانس قرب السطح.



شكل (36-6): مثال خطى يوضح طريقة المحاولة والخطأ لمطابقة منحنى المقاومة. تدل الحيات المائلة على $\pm 5\%$ قياس قيم ρ_a . AB ابعاد أقطاب التيار لتشكيل شلمبرجير. المنحنى 1، 2 حسب من تخمينات أساسية لنماذج جيولوجية قياسية لأربع طبقات المنحنى 3 والذي يوافق النتائج المقاسة حصل عليها بواسطة الحاسب الآلى باستخدام طريقة المربعات الدنيا. الأبعاد الطبقيّة التى حصل عليها هي $\rho_1 = 38$ متر أوم، $h_1 = 6$ متر (جوهانس 1975) $\rho_2 = 27$ أوم متر، $h_2 = 15$ متر، $\rho_3 = 160$ أوم متر، $h = 21$ أوم متر، $\rho = 3.5$ أوم متر.

بالإضافة فإن "أساس التكافؤ" وأساس الإخماد ينتج أنواع أخرى من غموض التفسير. مثال ذلك، وجود طبقة رفيعة موصلة نسبيا بين طبقتين عاليتين بالمقاومة سوف تودى لتركيز إنسياب التيار فيها. وسوف لا يبدل التيار الكلى المحمول بواسطتها إذا زادت مقاومتها ρ ، ولكن فى نفس الوقت يزيد سمكها h لذلك فإن النسبة h/ρ تكون ثابتة، ويوضح ذلك شكل (37-6). على الجانب الآخر، يتميز وجود طبقة ذات مقاومة كبيرة بين طبقات أكثر توصيلا بحاصل ضرب سمكها ومقاومتها. لهذا، فى هذه الحالة، تكون جميع الطبقات المتوسطة والتي حاصل ضرب $h\rho$ ثابت متكافئة كهربيا. فى حالة أخرى، من الصعب بل ومن المستحيل تحديد عدم تطابق h ، ρ . أيضا، الطبقة المتوسطة، والتي لها مقاومة متوسطة من المقاومات للطبقات الحاوية، سوف لا يكون لها تأثير عملى على منحنى المقاومة، طالما سمكها (بالمقارنة مع العمق) ذو كبر كافى. بالنسبة للطبقات صغيرة السمك فإن تأثيرها على منحنى المقاومة الظاهرة ρ_a لا يمكن تقديره لأن تأثير وجود الطبقة سوف يخمد. يوجد هذا القصور تبادليا لاكتشاف طبقات لمقاومات متوسطة فى دراسة المياه الجوفية عندما توجد غرينية مبللة بين طبقة غرينية (سطحية) جافة وطبقة طفيلية تحتية.

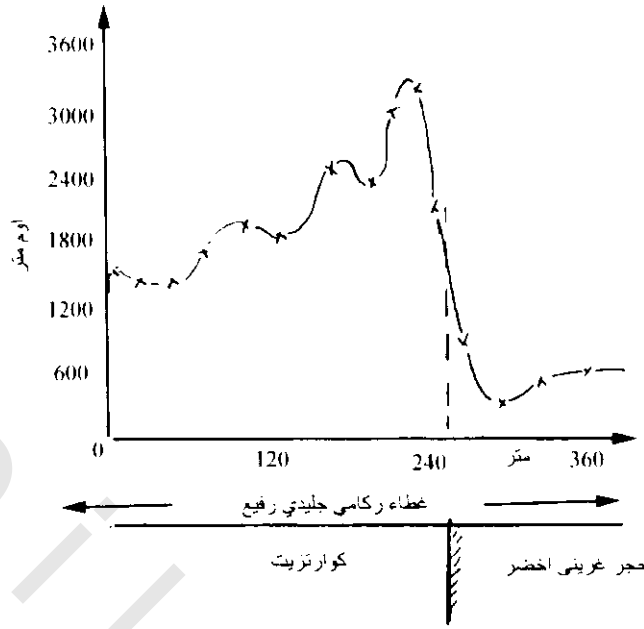


شكل (7-37): يوضح أساس تكافؤ طبقة بين طبقتين مقاومتين. في الشكل منحنيات المقاومة تكون عمليا نفس الموقعين. (II) طبقة متوسطة لمقاومة 15 متر أوم وسمك 15 مترا و (II) مقاومة 66 متر (بنتر 1961 Bentz)

10.4.6 تخريط التراكيب الرأسية Mapping of Vertical Structures:

بعكس دراسة تأثير الطبقات الأفقية، فإن تأثير التركيبات الرأسية (مثل فوالق، شقوق، سدود، عروق، نطاقات القص) تكون جانبية إذا ظهرت هذه الظواهر سطحيا، لذلك يحدث اضطرابات غير مستمرة في ميل منحنيات ρ_a شكل (6-31) طالما تتحرك شكل الأقطاب عبر حدالمقاومة الرأسى. عمليا، ربما، القمم الحادة ستكون عادة منسجمة بسبب تأثير التربة العادية أو الغطاء الركامى.

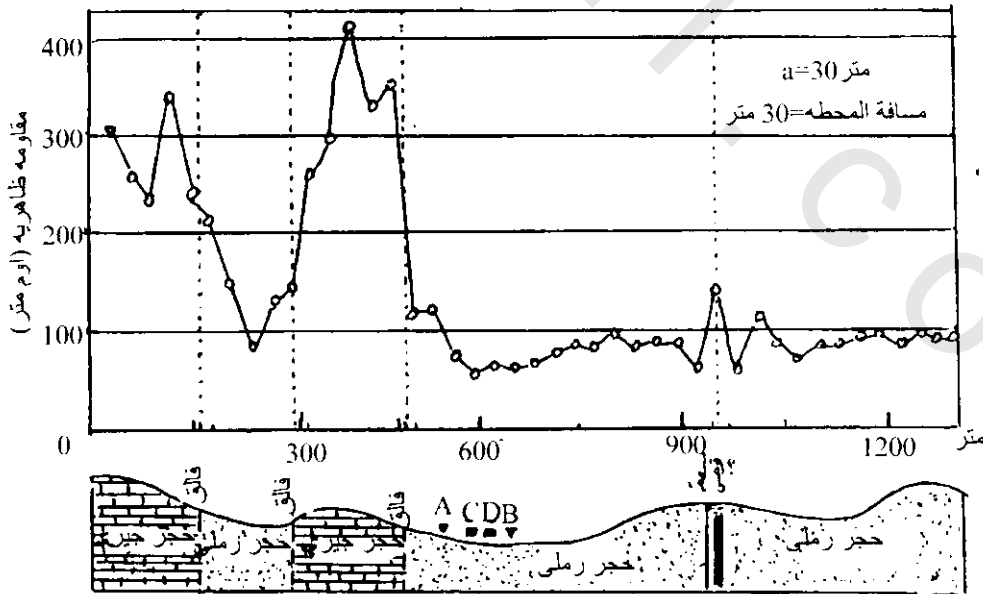
وحيث يعتبر الفالق من أغلب التركيبات الجيولوجية التى تدرس، فكثير من مفتاح الظواهر موجودة فى شذوذ المقاومة عبر الفالق الرأسى. وايضا توجد فى الشواذ عبر قرب التركيبات الرأسية. أبعد من هذا عندما تكون شاذة المقاومة ذات أهمية. فإن شاذة الفالق أحيانا تمثل مشكلة ماس رأسى بين وسطين مختلفى الكثافة. وقد حسبت نظريا بروفيلات للمقاومة الظاهرية عبر تماس رأسى لفوارق مقاومة مختلفة. وعندما تكون المنحنيات المحسوبة لـ ρ_a غير مستمرة عند الحد الرأسى فإنها تدل على عدم الإستمرارية عمليا كتدرج مفاجئ فى منحنى المقاومة. يرى شكل (6-38) منحنى حقل للمقاومة الظاهرية ρ_a حصل عليها بواسطة بروفيل أفقى بتشكيل وينر عبر قرب تماس رأسى بين بالك كوارتزيت Balk quartzite وحجر غرينى آخر فى جنوب بورنهولم Bornholm.



شكل (6-38): بروفيل مقاومة ظاهرية عبر تماس رأسى بين كوارتزيت وحجر غرينى أخضر فى جنوب بورنهولم Bornholm يقيس البروفيل بنظام وينر متحرك مع تثبيت صفوف المسافة ($a=12$ متر)

تفسير نتائج المقاومة الملاحظة عبر "مزدوج نحاس" تكون هامة لتخطيط ظواهر مثل سدود، عروق، مناطق بريشيا، وجميعها ربما تكون لها علاقة مباشرة أو غير مباشرة لرواسب معدنية.

يرى شكل (6-39) بروفيل مقاومة تقاس عبر منطقة قصية وكتل حجر جبرى بها فوالق باستخدام تشكيل وينر. المقاومة الحقيقية لمنطقة القص أكبر من الصخور المحيطة (حجر رملى). المقاومة عبر كتل الحجر الجبرى له خواص تشبه التى تكون عبر سد عريض، بينما منحنى المقاومة الظاهرية ρ_a عبر منطقة القص يشبه التى تكون عبر سد رفيع ذو مقاومة عالية.



شكل (6-39): بروفيل مقاومة أفقى عبر منطقة قص وفالق فى كتل الحجر الجبرى فى الينوس Illinois (ترتيب ونر) (هيوبرت (Hubbert 1932)

11.4.6 تأثير كتل الصخر المميزة لشاذات المقاومة النوعية

Effect of Characteristic Rock Masses for Resistivity Anomalies:

تحليل شاذات مجالات الجهد الناشئة من أجسام كتلية مدفونة مميزة مثل كتل الخام أكثر تعقيدا من تحليل شاذات الطبقات. لذلك لابد من تمثيل الكتلة بشكل هندسى عام ككرة. وقد تم التوصل إلى إمكانية تحديد المقاومة النوعية الظاهرية فوق كرة موصلة بواسطة طريقة وينر وتحليلها، وذلك بفرض أنها ذات سطح علوى على عمق أكبر من نصف قطرها.

وبقياس المقاومة النوعية فوق كرة موصلة بواسطة طريقة وينر وتحليلها أمكن التوصل إلى أن أى كرة ما ذات سطح علوى على عمق أكبر من نصف قطرها لا يمكن تحديدها بقياسات تقليدية للمقاومة النوعية وينطبق هذا أيضا على المنخفضات المملوءة القريبة من السطح، حيث مثلت هذه المنخفضات بأنصاف كرات وأنصاف أجسام شبه كروية مع وجود مستوياتها المحيطة على سطح الأرض. وقد حسبت المنحنيات النظرية بكل من الإستطلاع الأفقى (مباعدة قطبية ثابتة مع إزاحة المجموعة أفقيا على خط عرضى) والإستطلاع الكهرى الرأسى.

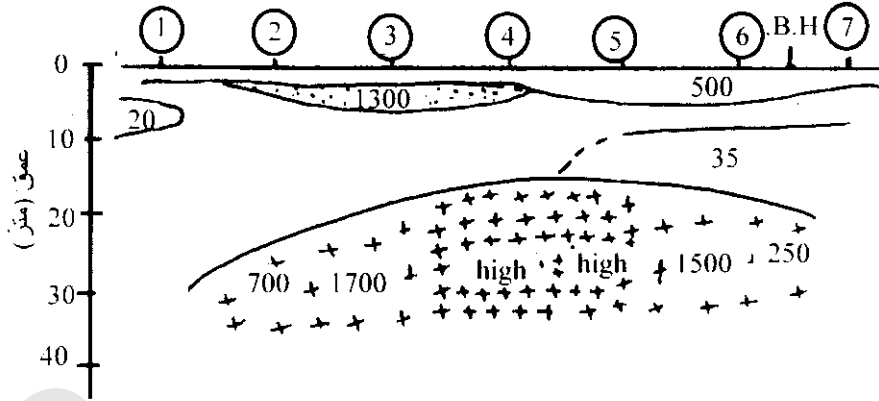
أما بالنسبة لأجسام خامات مرتفعة الموصلية مثل الكبريتيدات فيحفر أو لا حفر استكشافى ثم تتم قياسات المقاومة النوعية فى أماكن الحفر حتى يتلامس قطب أو أكثر مع جسم الخام وذلك لمحاولة تحديد أبعاد الجسم. هذه الطريقة من أكثر الطرق عمليا وذلك إذا أمكن تقريب الكتلة تحليليا بشكل هندسى مثل جسم كروى. وقد حسب بعض المؤلفون منحنيات مقاومة نوعية ظاهرية لجسم شبه كروى مفلطح حول مركز الكتلة. وكذلك نشرت منحنيات لجسم خام موصل يشبه الجذع ذى شكل شبه كروى متطاوول وشبه اسطوانة دائرية قائمة.

عامة يستحسن معرفة شواهد جيولوجية لتقريب مدى التفسيرات المختلفة سواء كانت طبقات أفقية أو أجسام شبه هندسية والتي لا يمكن أن تتحقق بنفس درجة الدقة على أساس معطيات كهربية مفردة.

12.4.6 تفسير خرائط المقاومة : Interpretation of Resistivity Maps

عادة يتم عمل خرائط المقاومة للحصول على صورة عامة لحالات تكوينات السطح القريب والتحت سطحي فى أى منطقة. بعكس بروفييلات المقاومة، فإن تفسير خرائط المقاومة تكون أكبر كفيًا. الأمثلة الآتية تستخدم لتوضيح إستخدام تخريط المقاومة فى دراسات جيولوجية وهيدروجيولوجية.

تعتبر طرق المقاومة ملائمة جدا لتحديد التداخلات، حيث أن فروق المقاومة بين التداخلات والصخور الإقليمية المحيطة تكون عادة عالية. ومن الممكن تمثيل الأجسام المتداخلة كحاملات مياه جوفية. كذلك يمكن تحديد تداخل جسم على هيئة قبة صغيرة فى الشيست كما فى شكل (6-40). يوضح الشكل أن الكتلة على هيئة قبة لها مقاومة عالية فى المركز مع علامة إقلال فى اتجاه الحواف حيث يوجد تحولات بسبب القص والكسر. وبحفر بئر بين جسات رقم 6، 7 عند حافة الجسم المتداخل ظهرت المياه عند أعماق 15، 26، 35 متر.



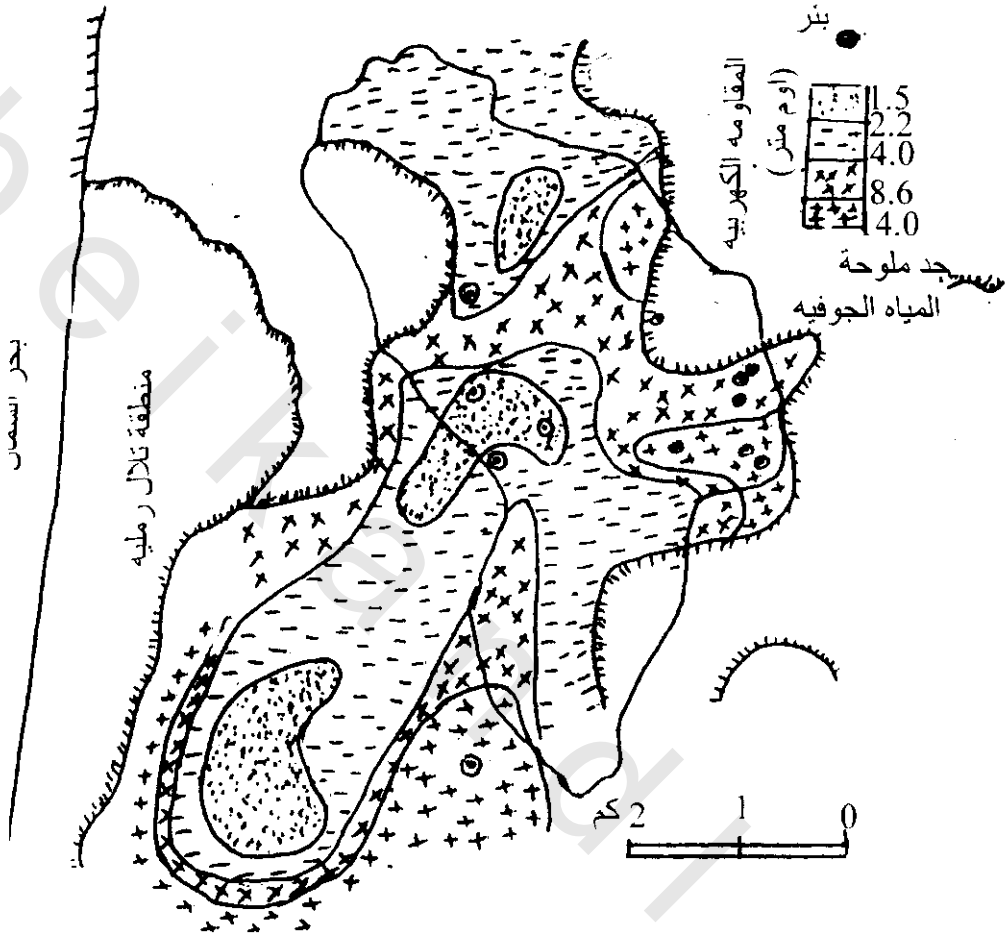
شكل (40-6): قطاع مفسر حصل عليه من 7 جسات جيوكهربية عبر تداخل جسم مدفون في منطقة ليوساكا-زامبيا Lusaka Zambia تدل الأعداد بالشكل على المقاومة بالأمم متر. أنتج البئر المحفور ماء عند حافة تداخل الجسم عند أعماق ما بين 15-35 متر

يمثل شكل (6-41) مثال آخر لخريطة مقاومة لمنطقة منخفضة مستصلحة من البحر في منطقة نوردهولاند Noord Holland. كان الهدف الأول من قياس المقاومة دراسة توزيع الملوحة للمياه الجوفية وبيئتها في المنطقة. دل تفسير القياسات على وجود مياه عذبة عند شرق وغرب حواف المنطقة بينما ظهر في نفس المنطقة 30 متر مياه مالحة تقع فوق بعض من عشرات الأمتار لمياه جوفية عذبة. يعزى التوزيع العكسي لهذه المقاومة إلى وجود طبقة غير مسامية من الطين لعصر الهولوسين، طوبق وجود مثل هذه الطبقة الطينية بواسطة بعض تسجيلات الأبار بالمنطقة. أيضا تمت تطبيقات واسعة لمساحات المقاومة في تفسيرات أعماق ضحلة لها علاقة مع الهندسة المدنية ومشاكل تقنية جيولوجية. وقد قدم تقريراً لمثل هذه التطبيقات المفيدة الهامة لمشرح تخريط مقاومة لأحواض ما بعد العصر الجليدي في الدانمارك. كذلك استخدمت أيضاً تطبيقات جسات الكهربائية في الاستكشاف الجيوحرارى.

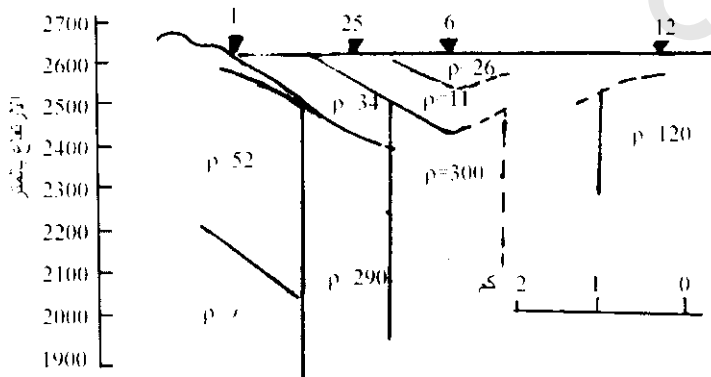
يعتبر النوع الأفقى هو أبسط أنواع مساحة المقاومة النوعية، ويتم باستخدام مبادئ قطبية ثابتة، وفيه يتم التعرف نوعياً على الظواهر التحت سطحية عن الشذافات فى المقاومات النوعية الظاهرية على طول بروفيل. وتوقع قيمة المقاومة النوعية مقابل المسافة على طول البروفيل عند موقع منتصف مجموعة القطب. وقد أشير إلى مساحة من هذا النوع فى كولومبيا Columbia لاختيار قيمة المقاومة النوعية لتحديد مكان خزان مياه حجر جبرى يعترضه فالق كما فى شكل (6-42). وقد تم مقارنة البروفيلات الأفقية للمقاومة النوعية المقاسة فوق منخفض طفلة مع المنحنيات النظرية (كتلة صخرية شاخص نصف كروية غائرة لها حد مستوى متساطح مع السطح الحر شكل (6-43).

وقد استخدمت المقاومة النوعية لحل مشكلة العمق الذى عنده يغزو الماء المالح الماء العذب فى خزانات المياه الجوفية. يبين شكل (6-44) أن نتائج المقاومة النوعية الظاهرية فى خزان الماء الجوفى للحجر الرملى تقل بسرعة مع زيادة مباعدة الأقطاب، والإنخفاض السريع المميز يظهر عندما تكون مباعدة الأقطاب أكثر من 50 متر يقابله عدم استمرارية فى المقاومة النوعية من 60 أوم متر إلى 10 أوم متر. وبالحفر اللاحق ظهر هذا الحد

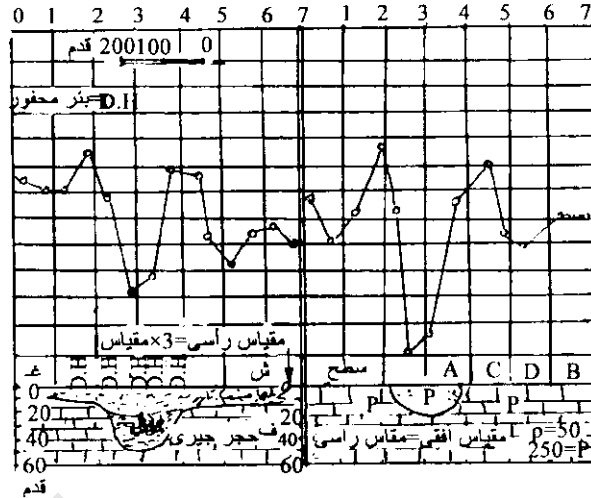
الممثل لتلامس الماء العذب والماء المالح. أيضا مساحة المقاومة النوعية تجعل من الممكن رسم خريطة للجزء المفيد من الخزان المائى الجوفى بدقة تامة.



شكل (41-6): مقاومة طبقة رملية بحدود مياه مالحة، كما حددت بواسطة قياسات جيوكهربية فى منطقة نوردهولاند Noord Holland ، الأرض المنخفضة Nether Lands (فان دام وميولنكاب 1967 Van Dam & Meulenka)



شكل (42-6): قطاع عرضى للمقاومة النوعية بوجوتا، كولومبيا (Columbia, Bogota)، لاختيار قيمة المقاومة النوعية لتحديد أماكن خزانات المياه ذات الفوالق (جنزبورج وآخرين 1974 Ginsburg et al)



شكل (6-43): مقارنة لبروفيلات المقاومة النوعية المقاسة والنظرية الأفقية فوق منخفض مملوء لتشكيل وينر (أ) منحني المجال المقاس مع القطاع الجيولوجى العرضى، (ب) المجال النظرى مع معطيات النقط المفروضة فقط عند مواقع القطب. قطر المنخفض 3a/2 القيمة المفروضة لـ $\rho_1/\rho_2 = \Omega$ (كوك وآخرين 1954 Cook et al)

13.4.6 تطبيقات وحالات سيرية :Application and Case Histories

1.13.4.6 إستقصاء المواقع الهندسية :Engineering Site Investigations

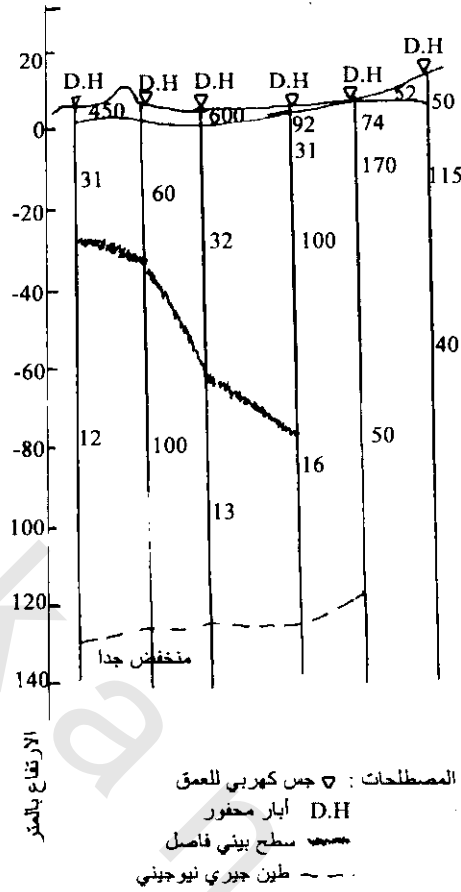
1.1.13.4.6 ظواهر الإنهيارات التحت سطحية :Subsurface Collapse Features

حدث إنهار أرضى فى قرية شرق ديفون Devon كحفرة بقطر 5 متر، لذلك بدأت بعض المباني فى التشققات وتكررت طوف الأساس، كذلك أخلت المساكن لتجنب الاخطار .

لتحديد إمتداد المشكلة التحت سطحية تم دراسة مسح المقاومة الكهربائية قبل بداية الحفر. لذلك تم عمل مجموعات أبعاد ثابتة بتشكيل وتر بأبعاد 10، 15، 20 متر. يوضح شكل (6-45) المقاومة الظاهرية كمسقط كنتورى للمقاومة النوعية الظاهرية. إتضح من الشكل ظهور الحفرة مع وجود عمق مملوء بالطين. لذلك حدث إنزلاق خلال شق عنق إلى كهفى تحتى سبب هبوط تحت أساسات المنازل وتصدع لخط الماء الرئيسى. عندما قل عمق الطين صعودا وزاد فجأة ثانيا، تبين ملأ الشقوق طينيا. وبالحفر على شذوذ المقاومة تأكد عمق الحجر الجيرى. إحدى الحفر اخترقت الكهف ولكن فشل فى تحديد العمق والذى يبلغ حوالى 20 متر.

2.1.13.4.6 دفن صندوق مجارى :Burial of Trunck sewer

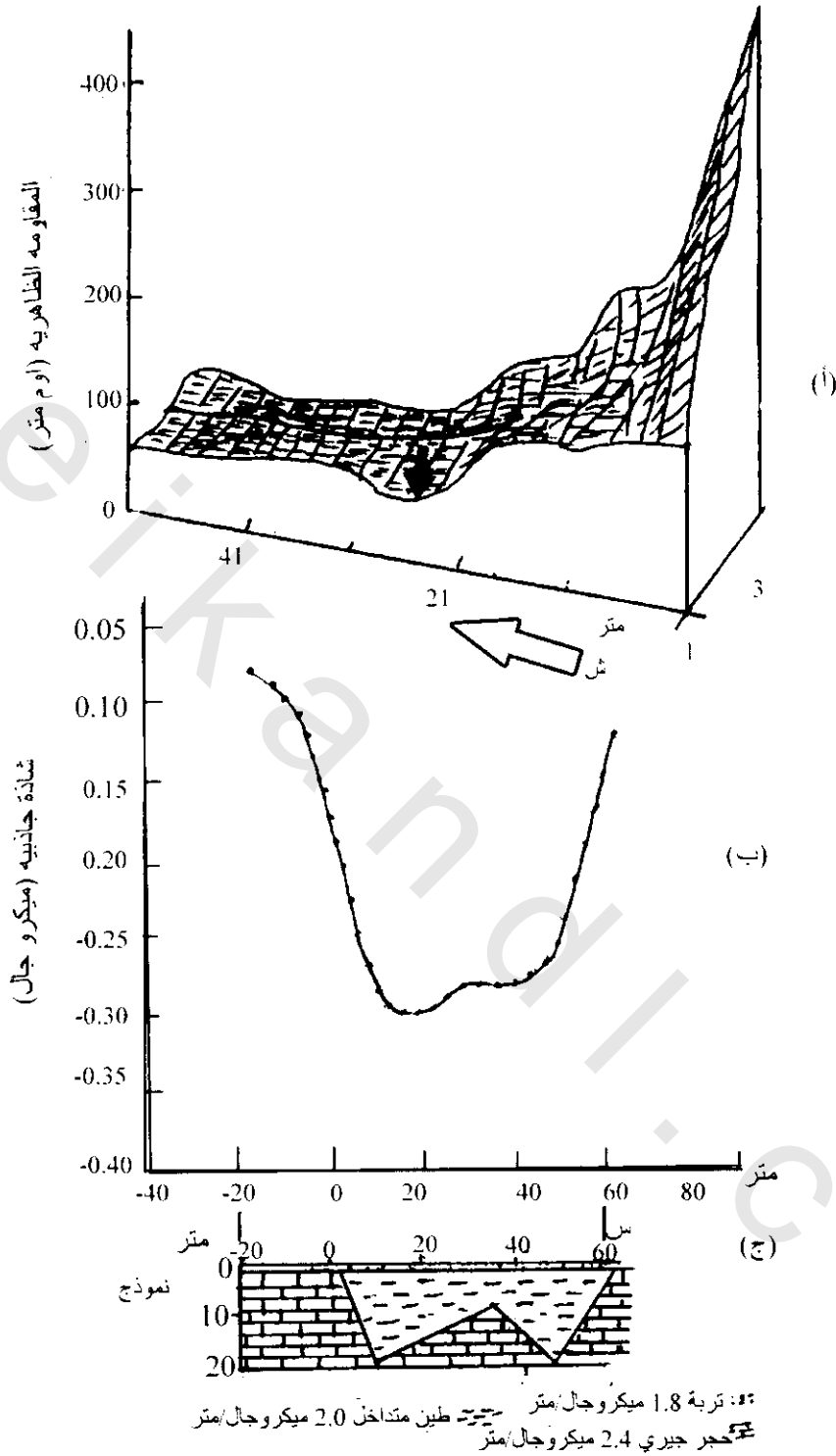
تمت خطة إقترح أماكن صناديق مجارى جديدة فى جنوب ويلز Wales بواسطة استخدام طرق المقاومة وبسبب عدم إمكانية استخدام أجهزة الحفر استخدمت كلا من طريقتى الجس الرأسى والأبعاد الثابتة الجانبية على طول مسار منطقة الدراسة وقورنت نتائج الآبار المتاحة، تتكون المادة التى تم حفر المجارى خلالها من رواسب سطحية تعلو حجر تكوين فحمى رملى Coal Measures وحجر طينى. كان من المتوقع أن تكون مواد التكوين الفحمى كتلة قوية ولهذا صعب إختراقها، بينما مدت الصخور السطحية وطفلة التكوين الفحمى برأى أن حوائط الصناديق ستكون غير مستقرة. وباستخدام نتائج طريقة وينر بأبعاد أقطاب 10 متر وأبعاد ومحطات 10 متر اشارت إلى مواقع فيها قاعدة الصخر للحجر الرملى قريبة إلى السطح المطلوب للتفجير لحفر أماكن مجارى جديدة شكل (6-46). أيضا استخدمت طريقة الإنكسار السيزمية لتأكيد النتائج.



شكل (44-6): قطاع عرضي يبين تغير المقاومة النوعية عند السطح البيني الفاصل بين الماء العذب والماء الملحي. الأرقام تشير للمقاومات النوعية (جونزبورج وآخرين 1974 Ginsburg et al)

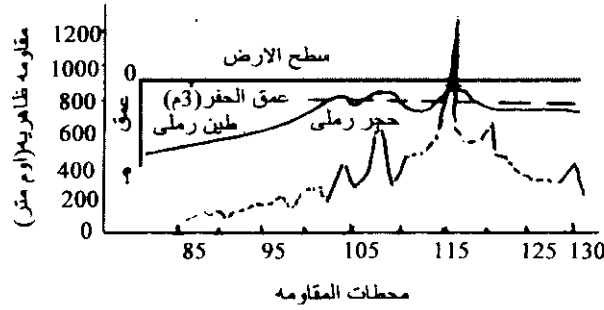
3.1.13.4.6 موقع الأراضى الجمودية (دائمة التجمد) Location of Permafrost:

وجود كتل أرضية جليدية وأراضى متجمدة تشير لمشاكل اعتبارية هندسية فى إنشاء المشروعات. أولاً، وجود صعوبات فى أعمال الحفر وثانياً، تظهر مشاكل أساسية مع ذوبان مثل هذه التأثيرات الأرضية. لهذا يكون حيويًا وفى مقدمة العمل تحديد حواف وعدسات الثلج وامتدادها ودرجة تجمد الأرض جيداً.



شكل (45-6): (أ) مسقط ايزومترى للمقاومة الظاهرية حصل عليها بواسطة أبعاد عرضية ثابتة بأبعاد أقطاب 10 متر ، (ب) نموذج لبروفيل ميكرو جال المتوقع للنموذج الجيولوجى. فى (ج) عمق الحجر الجيرى وضع فسر بواسطة الحفر (أوبلجر

(Oppliger 1984



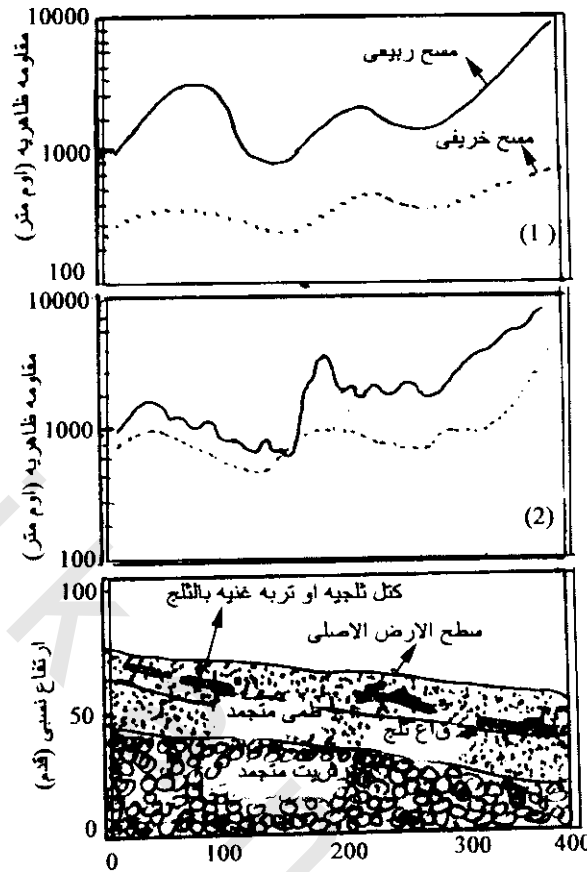
شكل (46-6): نتائج مسح إجتيازى لأبعاد متساوية على طول أساس مقترح لصندوق مجارى فى جنوب ويلز Wales ، مع تفسير للقطاع الجيولوجى (برنتك وماكدويل 1976 Bentice & McDowell)

الثلج له مقاومة كهربية عالية للتيار المستمر فى مدى من 1 ميللى أوم متر إلى 120 ميللى أوم متر، ولهذا يكون هدف خاصية قياس مقاومة كهربية له. ويوضح شكل (47-6) اختلاف بروفيلات الجيوفيزياء عبر طريق مقترح قاطع بالقرب من فيرباتكس، ألاسكا Fairbanks, Alaska. وترى النتائج التى تم الحصول عليها فى الربيع أكثر تغير وتحليل من تواجد طبقة نشطة من أرض مذابة، كما فى قياسات الخريف. تستخدم بنجاح طرق جيوفيزيائية أخرى فى هذه التطبيقات مثل مسح بروفيلات الكهرومغناطيسية والجاذبية الدقيقة والرادار الأرضى.

2.13.4.6 مواقع الأساسات المدفونة Location of Buried Foundation:

فى جزء من محاولة مساحية، إستخدم تصور مقاومة كهربية تحت سطحية عند حوش سكة حديد غير مستخدم لكى يحدد أساسات مخفية تحتى خطى سكة حديدية. وقد نفذ مسح كهربي بجوار سباح سلسلة حلقات معدنية وخزان ديزل قديم، وعلى بعد حوالى 3 متر من مبنى موجود. هذا المسح أعطى فكرة عن وجود مبنيين أوليين تحت حصى السكة الحديد غير المبنى الموجود.

الموقع كلية غير ملائم لبروفيل كهرومغناطيسى بسبب التركيبات الأرضية العلوية. وأيضا غير ملائم لإختراق الرادار الأرضى بسبب خشونة الحصى وجهد توصيل الرماد الموجود على الموقع. وقد أمدت الطريقة الكهربائية حل رأسى لنصف متر أو أكثر. رشحت نتائج المقاومة الظاهرية لإزالة شوشرة النتوءات الأرضية وظهرت كقطاع كاذب (غير حقيقى) شكل (48-6أ) والذى انقلب للعكس باستخدام تقنية إعادة اللفات. القطاع الكاذب النهاية للمقاومة الحقيقية المقابل للعمق يرى زيادة عامة فى المقاومة مع العمق شكل (48-6ب). فى خصوصية، أشير لمنطقتين لهما مقاومة عالية جدا أكبر من 12000 أوم متر على عمق 1 م والتى لهما قمم مستوية الشاذات.



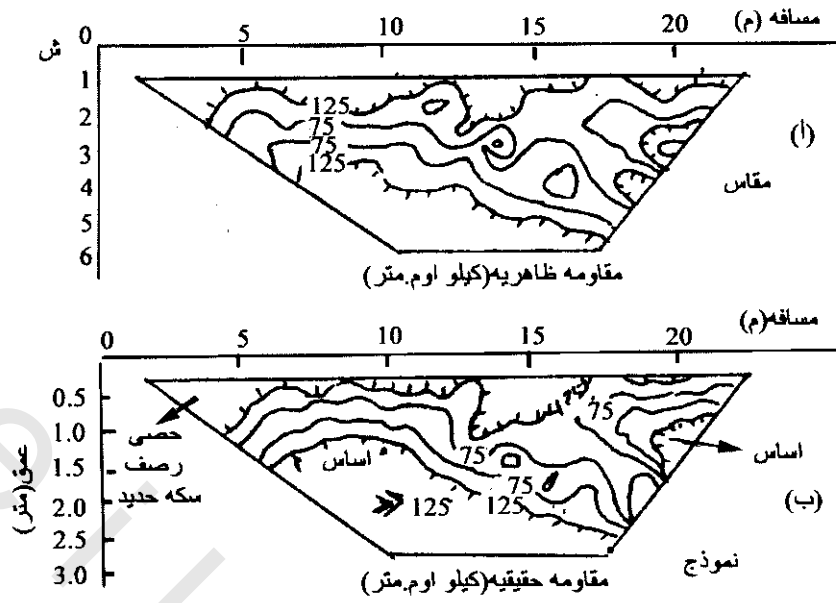
شكل (47-6): كتلة ثلجية وأرض متجمدة فى بروفيل تحت سطح لقطع طريق مقترح بالقرب من فيربانكس، ألاسكا، Fairbanks, Alaska أيضا ترى نتائج مسح ربيعى وخريفي حصل عليها باستخدام مسح كهربى بأبعاد متساوية لجس (1) اجتيازي، (2) حث الكترومغناطيسى. تقدم كتلة الثلج الأرضية دلالة على ارتفاع المقاومة الظاهرية (أوستركامب وجيورك Osterkamb & Jurich 1980)

وفسرت هذه بسبب أساسيات مدفونة. بمقارنة الشاذة الرئيسية (بين 6-11 متر على طول الصف) وجد أنها تتفق مع خط محيط لمبنى مزرعة على المسطح القديم. وعند حوالى 18 متر تكون رأى بوجود مبنى آخر قديم. ربما وجد هذا الموقع بعيد لعدة مترات عن المبنى الأول. بالمقارنة عن دلالتها على المسطحات يكون العمق للأساس فكرة معقولة كمجاورات بلاطات قريمية لطوب أحمر موجودة على بعد أعماق مقارنة لعدة مترات.

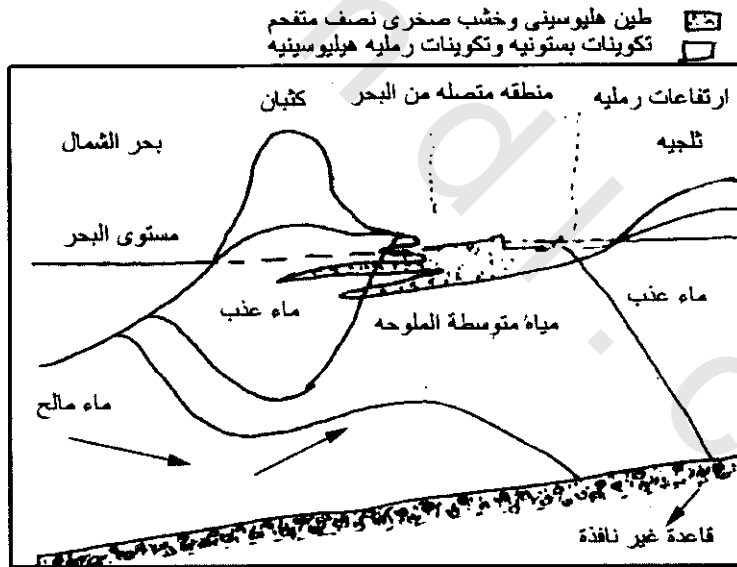
3.13.4.6 مسح المياه الجوفية ومدافن الزبالة :Ground Water and Landfill Surveys

1.3.13.4.6 إكتشاف المياه الجوفية المالحة :Detection of Saline Groundwater

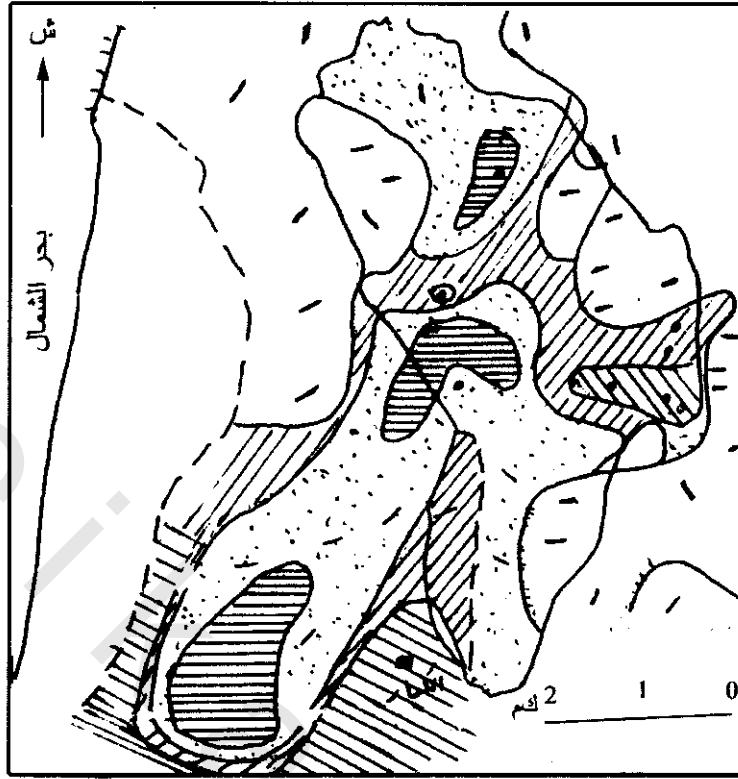
تم عمل برنامج مسح مقاومة كهربية شامل لتخطيط مياه مالحة جوفية فى مساحة من هولندا (نذرلاند Netherlands) تحت أو عند المستوى الأساسى لسطح البحر. يوضح شكل (49-6) رسم لقطاع عرضى لطبيعة هيدرولوجية فى الجزء الغربى من هولندا. وقد أمد الجس الكهربى الرأسى متوسطات الحصول على معلومات حول التوزيع الرأسى لأجسام المياه العذبة والمياه الخضمية (متوسطة الملوحة) والمياه المالحة وامتداداتها المساحية شكل (50-6).



شكل (6-48): تصور قطاعات كهربية غير حقيقية تحت سطحية. (أ) بروفييل مقاومة ظاهرية، (ب) بروفييل مقاومة حقيقية - عمق عبر الواح خرسانية مدفونة على عمق 1 متر (رينولدز وتيلور 1975 Reynolds & Taylor)



شكل (6-49): شكل تخطيطي لقطاع هيدروجيولوجي عرضي للجزء الغربي من هولندا (فان دام وميلينكامب Van Damp & Menlankamp 1967)



شكل (6-50): توزيع طبقة رمل بحدود مياه تحت أرضية مالحة فى شمال هولندا والتي خدّدت بواسطة جسّات كهربية رأسية كثيرة (فان دام وآخرين 1967 Van Damp et la)

من هذه المساحة وجدت جيوب مياه مالحة والتي يظن أنها متبقيات من قبل القرن الخامس عشر بعد تكون السد-البحرى الحالى المقطوع من البحر غرب الكمار Alkmaar. وقد وجد فوق عشرات من أمتار المياه المالحة (حوالى 30 متر) مياه عذبة مفصولة بواسطة طبقة طينية غير نافذة. أيضا قادت المطالب الكبيرة لرمّل الإنشاءات لبناء طرق جديدة ومساكن إلى إستخراج رمال مع متبقيات من الحواجز الطينية. أكثر من هذا، فإن مقارنة نتائج نماذج الجسّات الكهربائية الرأسية مع معلومات الآبار عن كيميائية المياه الجوفية أدت لعلاقة بين محتويات الكلوريدات والمقاومة. تبعاً لذلك من الممكن تحديد محتوى كلوريد المياه الجوفية من نتائج المقاومة.

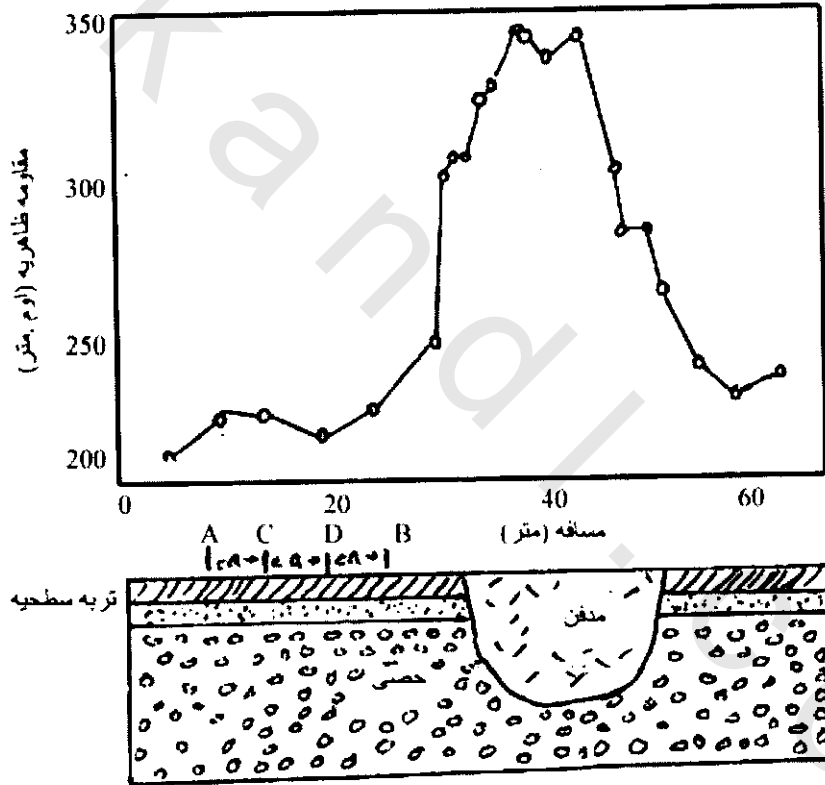
2.3.13.4.6 احتمالات المياه الأرضية Groundwater Potential:

فى ولاية كانو Kano شمال نيجيريا Nigeria، تمت عملية كبيرة لحفر آبار مياه ولكن 82% منها فشلت خاصة فى جنوب المنطقة. لذلك إستخدمت الطرق الجيوفيزيائية لتغطية معدل الفشل وإقلال التكاليف. وكانت طريقة الجس الكهربى الرأسى هى سائدة الإستخدام على مواقع مختارة تابعة لفحص هيدرولوجى وجيولوجى أولى. وقد أدى فحص نتائج الجسّات الكهربائية الرأسية مع معلومات آبار إلى تجميع قاعدة بيانات لتكوين نموذج مقاومة واحتمالات إمكانيات هيدرولوجية. وأصبح من الظاهر أن مناطق جغرافية لها أفضلية وأكثر سهولة لبيان مصادر المياه.

لذلك فإن استخدام الجيوفيزياء يساعد على تعريف احتمالات المياه الأرضية وتساعد فى برنامج تخطيط الحفر والذي يقلل من فشل الحفر بنسبة حوالى 15% حيث أن الحفر بدون دراسات جيوفيزية يتكلف حوالى عشرة مرات المسح الجيوفيزيقي.

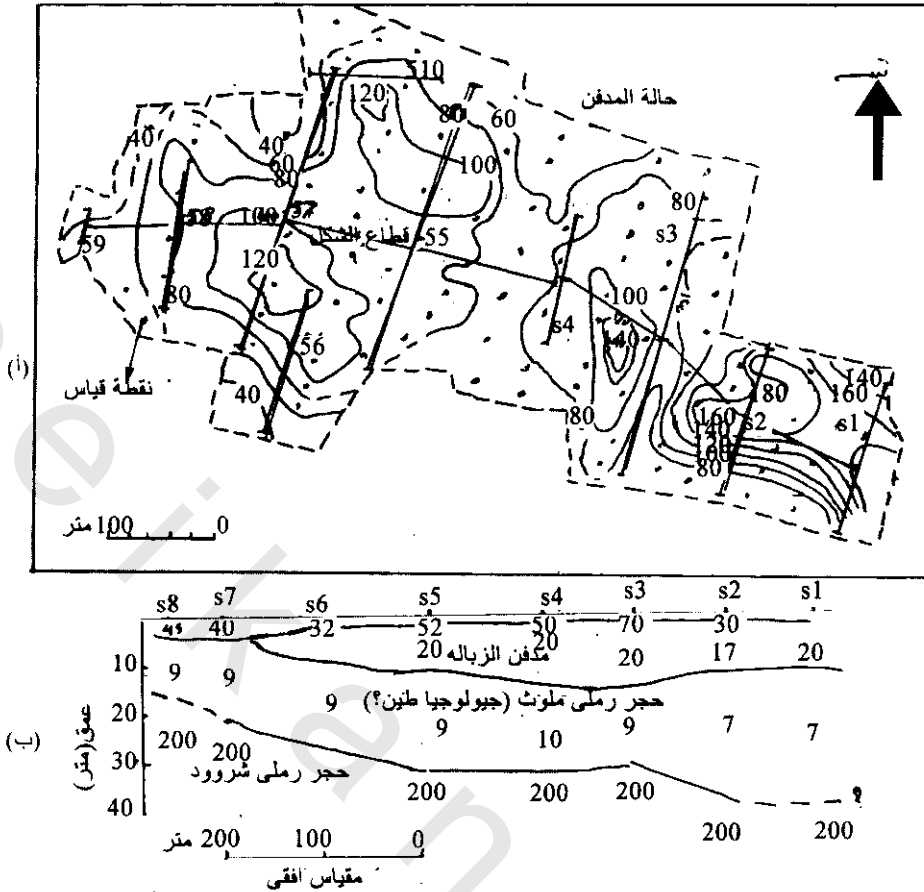
3.3.13.4.6 مدافن الزبالة Landfills:

يوجد زيادة فى استخدام مسح المقاومة الكهربائية ذا تحليل عالى فى التفسيرات بالقرب من مدافن الزبالة، خاصة المقابلة لإحتمالات هجرة غسيلها. وقد نجح استخدام التخليل التحت سطحي والجسات الكهربائية فى ذلك. لا يوجد مثال لمدفن زبالة نموذجي، حيث أن بعضها شديد التوصيل والأخرى ذات مقاومة عالية بالنسبة للأوساط المحيطة بها. لذلك يجب الأخذ فى الاعتبار طرق جيوفيزيائية مختلفة والحرص فى التفسير وعدم تخمين مسنولية طريقة جيوفيزيائية خاصة لأى موقع معطى. مثال ذلك ما قام به (فان نوستراند وكوك Van Nostrand & Cook 1966 بعمل بروفييل لمدفن مقاوم الكهربائية شكل (51-6)).



شكل (51-6): بروفييل مقاومة ظاهرية مرصود عبر مدفن مقاوم الكهربائية باستخدام ترتيب ونر (فان نوستراند وكوك Van Nostrand and Vook 1966)

وضح باركر Barker 1990 نتائج جسات كهربية عبر مدفن موصل من الحجر الرملى الملوث شكل (52-6) وقد استخدمت معادلة وينر فى هذا المثال.



شكل (6-52): (أ) خطوط كنتورية لقيم معاملات توصيل عبر مدفن الزبالة. الخطوط المستمرة تمثل أماكن واتجاهها جسات المقاومة (المسافة الكنتورية 20 أوم.متر)، (ب) قطاع جيوكهربى عبر مدفن الزبالة موضوع على جسات فى (أ) (باركر 1990)

استخدمت جاسات شلمبرجير بواسطة منير-وليمز وآخرين Monier-Williams et al 1990 كجزء من مسح جيوفيزيائى كبير حول مدفن نوفوهورنندونت فى البرازيل Nove Horizote, Barazil. أشارت التحليلات الكمية وتمثيلها كلوحة مقاومة إلى معرفة مناطق بشادات منخفضة المقاومة شكل (6-53). فسر ذلك على أنه تلوث شجرى نبت فوق مدفن الزبالة. المظاهر المشاهدة فى الشكل تكون إتجاه موازى لجناح المدافن ولكن على بعد من 10-15 متر منها.

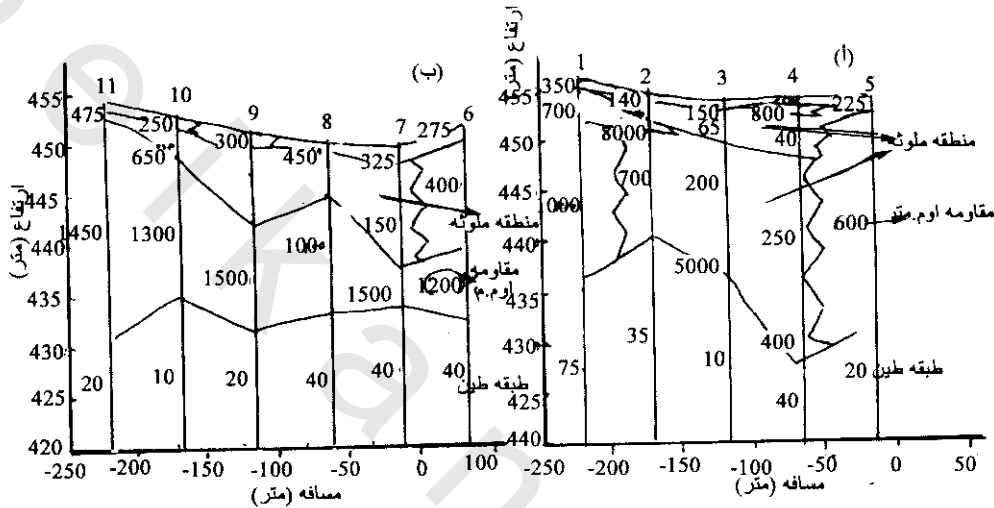
قطاعات التحت سطحية المتصورة عبر المقبرة يرى فى شكل (6-54). توضح اصتلاث لوحات نتائج المقاومة -العمق والتفسير الخطى. فى هذه الحالة، عمق وهندسة المدفن تكون معروفة عند الشروع فى العمل. منطقة إنخفاض المقاومة المصاحب للمدفن المشبه يمتد أكثر عمقا من المتوقع. هذا يفسر كدلالة على تسرب غسيل خلال قاعدة المدفن.

4.13.4.6 تطبيقات الثلجات Glaciological Applications

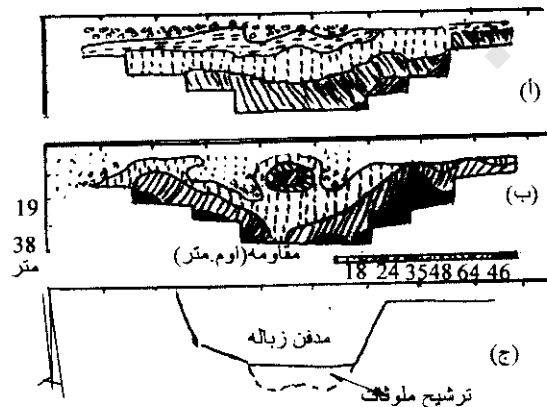
استخدمت طرق المقاومة الكهربائية منذ 1959 لتحديد سمك أنهار الثلج. حصل على القياسات أولا على ثلجات أوروبا ذات الثلج المعتدل (ثلج عند نقطة ضغط ذوبانه)، ثم نمت قياسات مقاومة كهربية على ثلج قطبى (ثلج أسفل تماما نقطة ضغط ذوبانه) حيث وجد إنخفاض الشاذة بواسطة إرتفاع إلى ثلاثة رتب للقيمة مقارنة مع

قيم تلج معتدل. بينما سلوك المقاومة الكهربائية للتلج القطبى يكون الآن واضح كما فى شكل (6-55)، إلا أن سلوك الكهرباء للتلج المعتدلة مازال قليل الإيضاح. تطورت طرق التفسير لتعطى معلومات عن بروفيلات حرارة رأسية خلال كتل التلج وأيهما أو لا تكون صفوف التلج الطافية على ماء البحر مذابة أو متجمدة عند قاعدتها. شاركت كل هذه النتائج على فهم ميكانيكية التلج. أما تركيبات كتل التلج فما زالت تحت الدراسة.

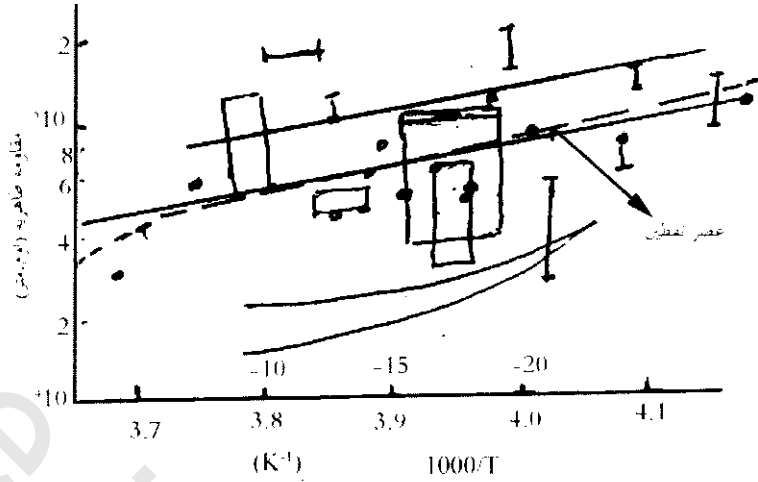
تم عمل سلسلة من الجسات الكهربائية الراسية فى شبه جزيرة أنتاركتك Anatractic Paninsula شكل (56-6). عدلت المنحنيات الحقلية للأخذ فى الاعتبار التأثيرات الحرارية ويوضح شكل (6-57) نتائج التفسيرات حيث اتفقت جيدا مع هذه المحددة مفردا.



شكل (53-6): قطاعين مقاومة متوازيين موضوعين على تفسيرات جسات شلمبرجير عند موقع مدافن زباله نوفوهوريزون ت بالبرازيل Novo Horizonte, Brazil. (أ) قريب من موقع مدفن الزباله أكثر من (ب). مرجع المقاومة فوق قاعدة طينية عالية. فرضت المقاومة المنخفضة فى متوسط القطاعات بسبب تلوثها وليس بأن المنطقة الموصلة هى (ب) تظهر أكثر ضخامة منها فى (أ). مونير-وليامز وآخرين Monie-Williams et al 1990



شكل (54-6): (أ) قطاع مقاومة ظاهرية ونر Wenner مقاس عبر مدفن زباله مسافة الأقطاب 10 متر، (ب) قطاع عمق مقاومة حصل عليه بعد 18 إعادة. (ج) قطاع تقريبي عبر مدفن الزباله موضوع على وجود معلومة (باركر 1992 Barker)

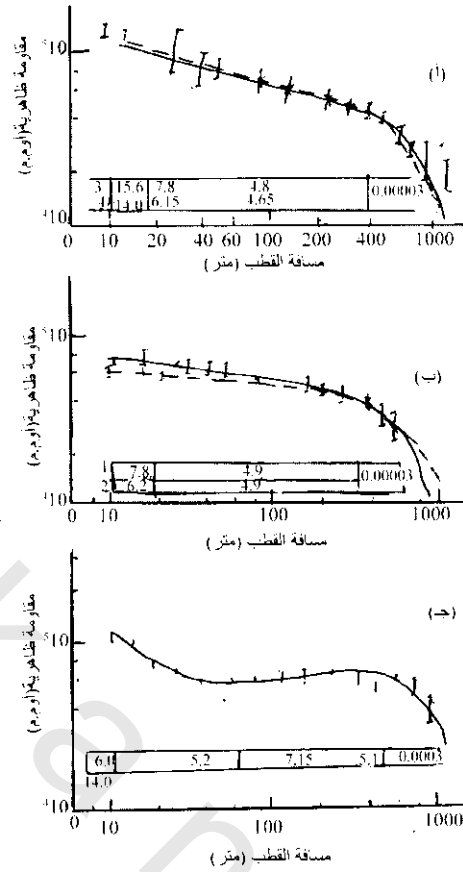


شكل (55-6): مقاومة ثلج كمعامل لدرجة الحرارة. والقيم الأساسية من جسات مقاومة أرضية للثلج عند 100 متر أو عمق نقطت مع تقدير غير موفن مقابل طبقة الحرارة المقيمة من اختلاف واسع للمصدر. القياسات المعملية على عينات ثلجية اسطوانية اختبرت عبر مدى من درجات الحرارة (الخطوط المستمرة). تراجع خط النتائج أعطى بواسطة خط مقطع. بإعطائه درجة حرارة معينة يمكن اكتشاف الثلج خلال معامل 2 أو أكثر (رينولد وبارن Reynolds and Paren)

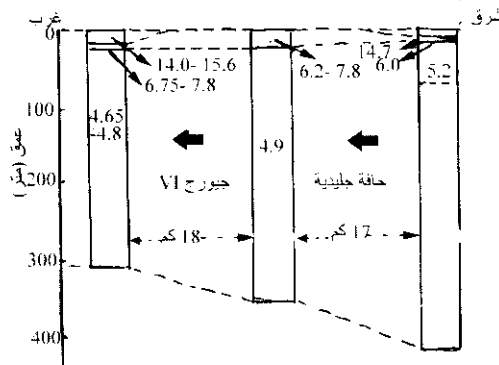
1984

تم حفر عدة آبار ببعث ماء ساخن خلال ثلاجة محلية (جربنجلتشر Grubenglestcher) بسويسرا Switzerland. بإستخدام أقطاب أرضية متحركة خلف خطم (خرطوم) الثلاجة وأمكن إكتشاف النقطة التي عندها كسرت رأس الحفر خلال ثلج على الكثافة إلى طبقة تحت سطحية أكثر توصيلاً شكل (58-6) تبعاً لذلك، أمكن تحديد سمك الثلج أكثر دقة من إستخدام الحفر أو صدى موجات الراديو السطحية. من الصعب معرفة حمل خطام الثلج عند قاعدة الثلاجة عند تمييزها بواسطة معدل الحفر الحرارى فقط. وجد أن معدل قياسات العمق بواسطة صدى موجات الراديو تكون مضبوطة خلال 5% ولكن عامة أقل من تقييم العمق. زرعت أقطاب عند فاصل طبقة الثلج عند نهاية كل من 14 بئر وأخذت جسات كهربية معيارية عميقة كأن الثلاجات غير موجودة.

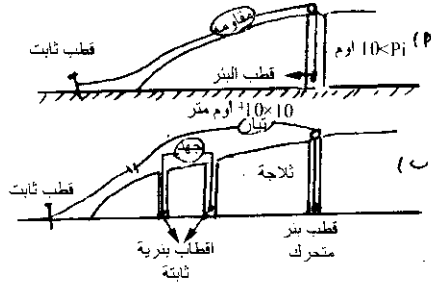
إكتشف بعد ذلك أن ثلاجات جروبنجلتشر Grabenglescher موجودة تحت أسفل 100 متر من الرسوبيات غير المتماسكة. وقد ذكر سابقاً أن الثلاجة تكون فى تماس مباشر مع صخور القاعدة. هذا العمل وضح انه بواسطة إستخدام أقطاب فوق الثلاجة، يمكن الحصول على معلومات جديدة حول طبيعة المواد أسفل الثلاجة. ويعتبر هذا مثال نافع عند محاولة فهم نظام هيدروجيولوجية ماتحت الثلاجة.



شكل (56-6): منحنيات جسات مقاومة ظاهرية حصل عليها باستخدام طريقة شلمبرجير عند ثلاث مواقع على طول خط إنسياب ثلاجة على حافة ثلج جيورج VI وAntarctica في أ، ب جسات ثمانية عند كل موقع تحت كل منحنى نموذج تفسيري في تعبيرات لمقاومة حقيقية مقابلة للعمق خلال لوح ثلجي. امتداد القيم المنخفضة للمقاومة أسفل اللوح الثلجي تدل على طفوه على ماء البحر نموذج المقاومات تعطى في وحدات 10 كيلو أوم.متر (رينولد، بارن 1984 Reynolds & Parn)



شكل (57-6): تركيب مقاومة كهربية خلال حافة جليدية جيورج VI على طول خط إنسياب، وحدات المقاومة 10 كيلو أوم.م، ورسمت بمقابلة العمق خلال لوح ثلجي (رينولدز & بارن 1984 Reynolds and Parn)



شكل (6-58): تصنيف أقطاب تستخدم لتحديد المكان المضبوط لطبقة التلابة (أ) ولجسات مقاومة طبقات التلابة (ب) (هابرلى و فيش 1984 Haeberli & Fisch)

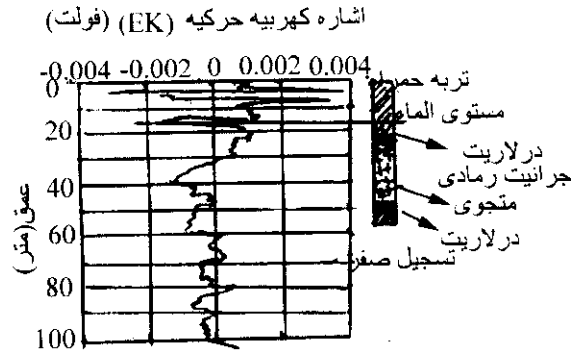
5.13.4.6 مسح الكهربائية الحركية فى مسوح المياه الأرضية

Electrokinetic (EK) Surveying in Groundwater Surveys:

توصل بعض الباحثين السابقين إلى أنه عندما تسير الموجات السيزمية خلال وسط مشبع جزئياً أو كلياً، فإن تأثير النضبات السيزمية تضغط على الصخور مسببة حركة سائل المسامات (الفراغات)، وهذه تولد إشارات كهربية أو كهربية حركية والتي يمكن إكتشافها باستخدام أقطاب تغرس على سطح الأرض. وقد فسر بعضهم دراسة منهجية لازدواجية سيزمولكترى Seismoelectric باستخدام تفجيرات عند أعماق مختلفة. كذلك وضحوا أن تحول الطاقة السيزمية إلى طاقة كهرومغناطيسية عند مستوى الأرضى يمكن إكتشافها باستخدام هوائيات سطحية.

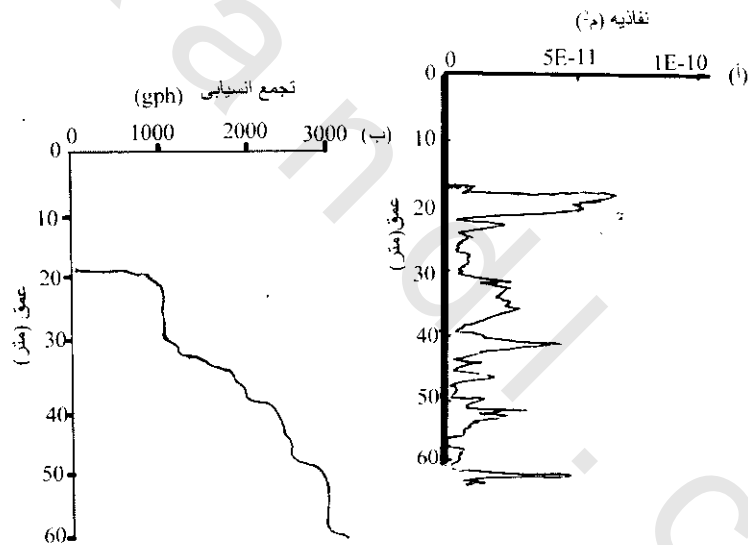
تولد منطقة تشبع الرش جزئياً إشارات مميزة للكهربية الشعرية electrocapillary وذلك بسبب حركة فواصل الهواء/الماء فى أعناق المسام، ويسبب إزاحة الفقايع خلال سائل المسام إشارات إرتحال الجزيئات المعلقة فى مجال كهربى electrophoretic. ربما تولد المستودعات المشبعة كلية بالماء إشارات كهربية حركية electrokinetic بواسطة إزاحة لسائل مفرد (ماء أو ماء شديد الملوحة) عندما يحفز بواسطة مرور موجات سيزمية. يؤدى تمييز الاختلاف بين نوعى الإشارات إلى تحديد عمق مستوى الماء الأرضى فى مستودعات مائية غير حبيسة unconfined aquifers. تتميز الصخور الجافة أو صخور القاعدة أو أى صخور غير حاوية للماء بواسطة نقص لأى إشارة.

برغم أن الطريقة توصف هنا تحت الطرق الكهربائية، لكنها ليست تقنية كهربية فعالة. لأنها طريقة سيزمية فقط. حديثاً تطورت هذه التقنية فى الولايات المتحدة الأمريكية تحت إسم التقىب الإلكتروسيزمى، ويوضح شكل (6-59) مثال لذلك. تم تحديد العمق باستخدام سرعة طوليه 1250 P.W. م/ث، ويلاحظ أن الكهربائية الحركية تتجاوب عند أحوال مستوى الماء الأرضى، تظهر إشارات الكهربائية الشعرية القوية من منطقة الرش فوق مستوى الماء بإشارات كهروحركية مشتقة من المنطقة المشبعة من 17-50 متر عند الأعماق الكبيرة، توجد إستجابة لإشارات قليلة جداً. يرى شكل (6-60) تناسب للعلاقة بين النفاذية والعمق وكذلك الإنسياب التجمعى مع العمق.



شكل (59-6): إشارة كهربية حركية نموذجية عند موقع بئر فى زمبابوى Zimbabwe

تدل مقارنة المتوقع ومعدل الإنسياب الحقيقى لماء البئر على أن قيم الكهربية الحركية المشتقة تمتد درلة معقولة (معتدلة) لمعدل إنسياب شبه حقيقى. ربما تكون هذه الطريقة فى شكلها الحديث فى بدايتها فقط. إذا عضدها النجاح للمحاولات الأولية، عندئذ توعد هذه الطريقة كأداة نافعة جدا فى البحث الهيدروجيولوجى.



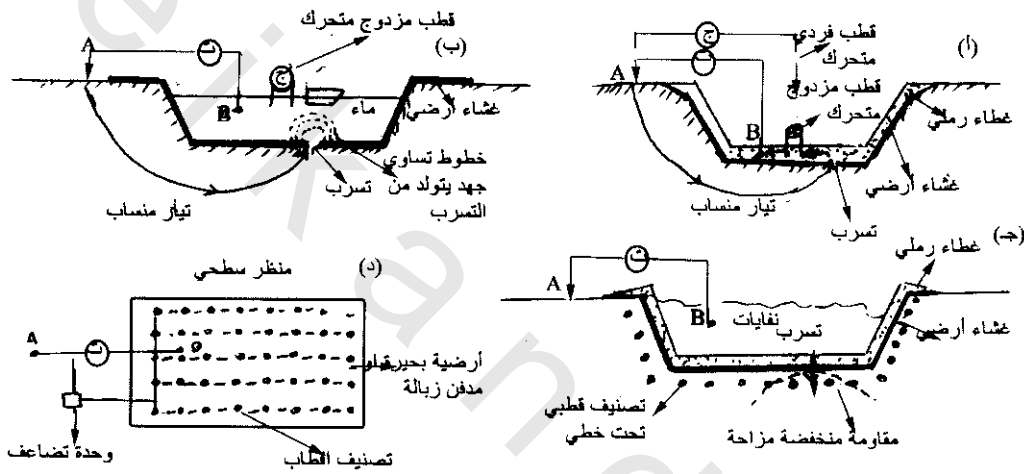
شكل (60-6): (أ) بروفيل نفاذية-عمق، (ب) إنسياب متوقع مشتق من نتائج الكهربية الحركية عند موقع بئر فى زمبابوى Zimbabwe

6.13.4.6 إكتشاف تسرب خلال أغشية صناعية: Leak Detection Through Artificial Membranes

زادت أهمية إكتشاف تسربات (الرشح) خلال تبطين المستنقعات ومدافن الزبالة فى السنين القليلة الأخيرة. وحيث أن المقصود من تبطين مواقع تصريف النفايات تجنب التلوث منها، فربما تؤدى تمزقات أو كسور صغيرة فى التبطين تسربات كبيرة للملوثات. وقد تطورت طرق مختلفة لمحاولة تحديد الثقوب فى التبطين لكى ترمم أو تتخذ تدابير لعلاج التلوث.

يكون الأساس العام خلف كل الطرق هو تبطين صناعى بعمل أغشية أرضية عالية الكثافة من مادة البوليثلين Polyethylene بحيث يكون حاجز عالى المقاومة طالما لا يوجد به ثقب، وتكون مقاومة الغشاء الأرضى البوليثلينى أكبر من 10^7 أوم.متر.

ويبين الشكل التخطيطى (6-61) مرور التيار الكهربى بين قطبين، أحدهما يكون خارج الغشاء ولكن فى تماس مع مياه أرضية محلية، والآخر يكون فى داخل النفايات أو فى طبقة رملية مبللة تعلو مباشرة الغشاء الأرضى. ويمكن إستخدام نفس النظام فى مستنقعات مملوءة بالماء شكل (6-61ب) حيث يستخدم إما زوج قطبى الجهد أو قطب جهد مفرد متجول الإكتشاف شذوذ الجهد الكهربى. يحدث هذا حيث يكون التيار الكهربى قادر على الإختراق خلال الثقب فى الغشاء الأرضى. وقد تم بنجاح تحديد تمرقات أقل من 1 ميلليمتر عند عمود 0.5 متر تحت طبقات رملية.



شكل (6-61): قطاعات أنظمة إكتشاف تسرب فى مخازن نفايات وبحيرات بأنابيب تغليف قاعدية الغشاء أرضى صناعى التخطيط المسطح فى حالة (أ): أنبوب التغليف القاعى مغطى بطبقة رقيقة (0.5 متر) من الرمل وينتويت، (ب) أنبوية التغليف مملوءة بالماء. (ج) نظام إكتشاف تسرب تحت خط الأنبوب تستخدم باستمرار لإنشاء صفوف الأقطاب تخطيط سطحى نموجى الموضع فى (د)

حديثا فإن مدافن الملوثات تبنى تحت نظام كشفى مستمر، تتصل صفوف الأقطاب بواسطة كابلات عازلة والتي تدفن على عمق حوالى 1 متر أسفل الغشاء الأرضى. عند وقت الإنشاء تعمل قياسات ضبطية للثقب فى التبطين لى يجهز قبل تصريف أى نفايات شكل (6-61ج، د). تسمح هذه التقنية بقياس جهد الشاذة تحت التبطين بدلا من قياسها فوق التبطين كحالات (6-61أ، ب). بالإضافة لذلك يمكن الحصول على قطاعات المقاومة مشابهة تقريبا للقطاعات الحقيقية بواسطة إستخدام صفوف تحت التبطين كتصور للصفوف التحت سطحية بدون إستخدام صفوف أقطاب مزدوجة كتيارات السطحية. عند إنشاء موقع تصريف يتأكد أنه لا يوجد تسربات بواسطة عمل قياسات خط القاعدة.

14.4.6 جسات الجيوكهربية العميقة Geoelectrical Deep Sounding:

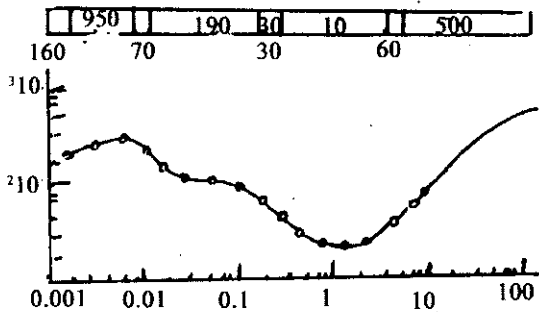
فى الطريقة العادية لجس المقاومة يقاس هبوط الجهد على السطح المتسبب بواسطة تطبيق التيار الخارجى. ويعتمد العمق المختار المطلوب الحصول عليه من هذه الطريقة أساسا على أبعاد أقطاب التيار. ولكى يحصل على معلومات للعمق لبعض آلاف من التيار بهذه الطريقة يتطلب خطوط تيار طويلة غير عملية وجزء من

امدادة قدرة كبيرة. ولكن عمليا، فإن حدود إستخدام الطريقة العادية للجسات تصل غالبا لعمق بضع مئات من الأمتار.

فى الوقت الحاضر ، يعطى أغلب التنقيب الكهربى العميق (خاصة فى روسيا) بواسطة جسات القطب المزدوج. عندما تكون المطالبية لعمق 300-500 متر فإن المسافة بين الأقطاب المزدوجة تكون من 1000-1500 متر. وعندما تكون المسافة بينهم 10-12 كم فمن الممكن الإستدلال عن عمق صخور القاعدة الذى يتراوح من 3-2.5 كم. والميزة الأخرى الكبيرة لطريقة القطب المزدوج هى إمكانية الجس على منحى البروفيل، بينما الجس التقليدى فإن أقطاب التيار والجهد يجب أن تقع على خط مستقيم. أيضا فى المناطق الصعبة (مثل الغابات والمستنقعات) لا يمكن الإحتفاظ ببروفيل مستقيم لمسافات طويلة، وكذلك ليس من الضرورى لمراكز الأقطاب المزدوجة أن تقع على نفس الخط المستقيم. وتمثل الأمثلة الآتية حساب جيوكهربية عميقة.

1.14.4.6 جسة عميقة فى حوض الراين Deep Sounding in the Rhine Grabens

تم عمل جسه جيوكهربية عميقة بمسافة أقطاب إنبعث للتيار تبلغ 150 كم، على طول وهى بين كارلسرو وساخنجن Karlsruhe and Sackingen كجزء من دراسة برنامج مشروع الستار العلوى. تمت العملية بقواعد ترتيبات شلمبرجير مع تسجيل مركز متوسط هو طريق خط الجهد العالى بين كارلسرو-ساخنجرز يرى شكل (62-6) منحى الجس مع إمكانية نموذج تفسير، وكذلك توزيع المقاومة فى الجزء العلوى من الشكل، كما أن الشكل يعطى تفسير واضح لتوصيلية جيدة للحوض المملوء (أقل من 10 أوم. متر). هذه التوصيلية الجيدة، والتى كانت متوقعة، تحجب تأثيرات تحت الأرض العميقة بطريقة حاسمة ولهذا تمنع أى معلومات مفسرة يمكن الحصول عليها خلال التغيرات فى صخور القاعدة.



شكل (62-6): مقارنة منحى مقاومة مقاسة (الخط المتصل) مع المنحنى النظرى (دوائر مفتوحة) فى حوض الراين Rhine Graben ، يرى الجزء العلوى من الشكل نموذج تفسير للمقاومة الحقيقية

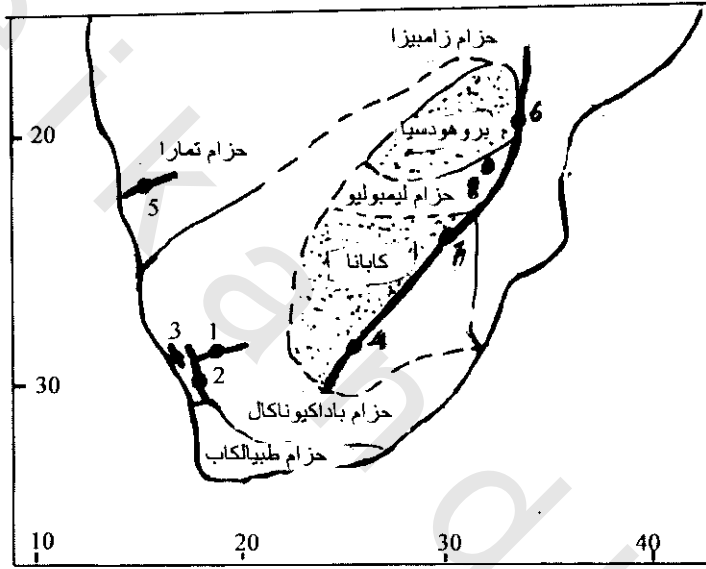
2.14.4.6 جسات فوق عميقة فى جنوب أفريقيا Ultradeep Sounding in Southern Africa:

أعطى هذا المثال نتائج لجسات كهربية فوق عميقة تمت فى جنوب أفريقيا لأبعاد أقطاب لحوالى 1000 كم. يتكون الجزء القديم لقشرة جنوب أفريقيا من رواسخ* والتى تحاط بواسطة أحزمة متحركة لعصور مختلفة ويعبر عن قدم هذه الرواسخ (أكثر من 2600 مليون سنة) نسبيا بقشرة مستقرة ومحتفظة بتكوين جرانينويد سائد والذى

* كتل صخرية راسخة تحدث بينها الطيات المقعرة.

استمر بعد أحداث تكتونية منذ عصر الأركيان Archaen. فى المقابل تعرضت الأحزمة المتحركة لتشوه شديد، شقوق، وتحول صخرى كبير شكل (6-63) .

الظاهرة المدهشة لنتائج الجسات العميقة تمت لجزء كبير من القشرة العلوية (فى حزام الحركة) وداخل القشرة السفلية إلى عمق 25-30 كم أن لها فقط مقاومة متوسطة، هذا الوضع يدل على وجود الماء فى هذه المناطق (منطقة 2) شكل (6-63)، الطبقة الموصلة السفلية (منطقة 3) لها إنتشار بواسطة التميؤ، وهذا يعطى خواص السربنتين الكهربائية عندما يكون صخور ستار مميأه. وتدل النتائج الكهربائية على وجود خلاف مهم فى إنتشار المسامية بين الرواسخ (مقاومة عالية) والأحزمة المتحركة (متوسطة المقاومة). الإتجاه العام لإنسياب الحرارة تكون كبيرة عبر الأحزمة المتحركة وتقود هذه الأفضلية الماء فى هذه المناطق.



شكل (6-63): وحدة تكتونية كبيرة لجنوب أفريقيا تدل المناطق المنقطعة على الرواسخ، والأحزمة المتحركة معروفة بأسمائها. يرى مواقع الجسات العميقة بواسطة الأرقام. تدل الخطوط الثقيلة على تباعد كبير لأقطاب التيار (فان ريجل Van Zijl 1977)

Zijl 1977

15.4.6 استخدام الطرق الكهربائية للإستكشاف البترولى

Using Electrical Methods for Petroleum Exploration:

أختبرت هذه الطرق مؤخرا فى الإستكشاف البترولى. وقد إستعمل بعض منها بصورة شاملة لهذا الغرض فى روسيا، حيث أن تباين المقاومة النوعية بين الملح والمواد الرسوبية يجعل من السهل تماما إكتشاف القباب الملحية الضحلة.

قابلية تطبيق الإستكشاف الكهربى للتنقيب عن البترول محدودة لوجود تباينات دلييلة ضعيفة فى الخواص الكهربائية للصخور الرسوبية التى تعطى معلومات الخواص الصخرية والتركيبية المفيدة فى البحث عن الهيدروكربونات. فمثلا يكون للصخور الجيرية الكتلية والأنهيدريت شاذات لمقاومات نوعية عالية، ولكن شواذ المقاومة النوعية للأبعاد (السلك على وجه الخصوص) التى تتركب من هذه المواد غالبا ما تكون صغيرة بالمقارنة للأعماق ذات الأهمية فى الإستكشاف البترولى ولذلك يكون تخريطها بالوسائل الكهربائية غير مشجع.

16.4.6 تحديد عمق صخور القاعدة Basement Depth Determination:

فى الغالب يكون للقطاع الرسوبى مدى مقاومات نوعية أصغر بكثير من المدى الخاص بصخور القاعدة، وبذلك يمكن عمل نماذج للأحواض الرسوبية على هيئة طبقة ذات مقاومة نوعية منخفضة (العمود الرسوبى) والتي تأتى فوق طبقة تحتية لها مقاومة نوعية أعلى بكثير (صخور القاعدة). وعلى ذلك، فإن أى أسلوب فنى للاستكشاف الكهربى يستطيع أن يستجيب لتغيرات المقاومة النوعية عند قاعدة القطاع الرسوبى، والتي تعطى بالتالى معلومات عن عمق صخور القاعدة. فى المناطق من العالم التى تستخدم هذه الطريقة، تكون الخطوة الأولى فى أسلوب الإستكشاف هى تحديد وجود حوض رسوبى من عدمه، وفى حالة وجوده يجب تحديد شكله الهندسى التقريبى.

فى روسيا حيث تستخدم هذه الطريقة، حددت بعض الأحواض الرسوبية، حيث يستعمل أسلوبان من الساليب الفنية الكهربائية على نطاق شامل لتحديد الوجود، العمق التقريبى، والحدود لمناطق أحواض جديدة، الأسلوب الأول هو طريقة ذات القطبين Dipole method. والآخر هو التيار الأرضى المغناطيسى Telluric current.

1.16.4.6 طريقة ثنائية القطب Dipole Method:

فى هذه الطريقة يدخل تيار كهربى كبير للأرض من خلال قطبين فى صورة موجة مربعة، ثم يقلل المفتاح بين المولد وقطبى التيار لمدة دقيقة واحدة. بذلك ينتج جهد مصاحب لنبضة التيار والتي تلتقط بوساطة كاشف (قطبى كشف) على بعد 20 كم، لاتشابه الإشارة المستقبلية موجة مربعة، ولكن سوف تكون مشوهة الشكل ومنتشرة الزمن. تعتمد طبيعية التشوه على توزيع المقاومة النوعية التحت سطحية ويزداد عمق الإختراق للإشارة مع زيادة تباعد المسافة بين المصدر والمستقبل (بفرض أن شدة التيار تكون كافية لتسمح بالإختراق اللازم).

بعد ذلك، تحسب الأشكال الموجبية لتغيرات المقاومة النوعية مع العمق، ومن الممكن عمل كتالوج للأشكال الموجية لمدى واسع للتشكيل الطباقى. يمكن تحديد التركيب التحت سطحى المقابل للمقاومة النوعية بمطابقة شكل الموجه المرصودة مع تلك الموجودة بالكتالوج والتي تعطى التوافق الأحسن. إذا وجدت طبقة فردية ذات مقاومة نوعية قليلة فوق طبقة تحت سطحية ذات مقاومة نوعية مرتفعة فإن نموذج التناظر يودى لإفترض بأن سمك الطبقة العلوية (فيما لو لم توجد دلائل جيولوجية) يمثل العمق للقطاع الرسوبى على طول البروفيل بين المصدر والمستقبل.

أشار كيلر Keller 1968 لمسوحات المقاومة النوعية المنفذة على نطاق محلى تجعل من الممكن رسم خرائط الأوساط القديمة وتعطى أدلة للتاريخ الجيولوجى لمنطقة بترولية يمكن الحصول عليها بالحفر الطباقى فقط. بسبب التحليل المقيد لقياسات المقاومة النوعية عند الأعماق المتضمنة، فإنه من المحتمل أن تكون التغيرات الكبيرة فقط للمقاومة النوعية المؤثرة على مسافة 1000 قدم أو أكثر من القطاع الرسوبى له دلالة جيدة عند تحليلها. يفيد مثل هذا النوع من المعلومات كثيرا فى البحث عن البترول المحتجز فى المصائد الطباقية. على سبيل المثال، أمكن بهذه التأثيرات المحيطية إكتشاف سمك كبير لقطاع من سحنات الرمل السائدة إلى سحنات طفلة سائدة. أيضا وضح كيلر Keller بوجود خط إتصال مفصلى ترسيبى رئيسى فى حوض دينفر-جيولسبرج

Denver-Gulesberg بكلورادو الشرقية من النوع الذى أمكن رسمه فى الخرائط بالأساليب الفنية الكهربائية السطحية بدون حفر آبار.

2.16.4.6 طريقة التيار الأرضى المغناطيسى Telluric Current Method :

لاحتياج هذه الطريقة لمصدر طاقة خارجى والترددات منخفضة بدرجة كافية لإعطاء الإختراق المطلوب (توجد غالبا فى المجالات المترددة الطبيعية). إستخدمت هذه الطريقة لرسم خرائط التركيبات فى القطاع الرسوبى التى لايمكن أن ترصد فى الحال بواسطة التقنيات الأخرى المستخدمة فى التنقيب عن البترول. فمثلا، فى هضبة نهر كولومبيا فى شمال غرب الباسفيك، فإن وجود الحمم البركانية عند أو بالقرب من السطح تجعل من غير الممكن الحصول على معلومات عن تشكيل الرسوبيات السفلية بواسطة الطرق السيزمية، الجاذبية، المغناطيسية.

عامة، فإن الإستعمال الأكثر إنتشارا للأساليب الفنية للاستكشاف الكهربى فى التنقيب عن البترول هى التسجيلات الكهربائية. فى بعض المناطق، فإن تسجيلات الآبار تقوم بين الجيولوجيا والجيوفيزياء وهندسة البترول، أغلب تطور هذه التقنية تنفذ فى الولايات المتحدة بمن يعتبرون أنفسهم مهندسى بترول أو جيولوجيين أكثر من جيوفيزيائيين. من ناحية أخرى، فى روسيا تصنف هذه التقنية كجيوفيزياء تطبيقية (جيوفيزياء صناعية).

5.6 طريقة الإستقطاب المستحث (IP): Induced Polarization Method :

اكتشفت ظاهرة الإستقطاب المستحث واكتسبت إنتشارا فى منتصف القرن العشرين كطريقة جيوفيزيائية. تستعمل الآن بتوسع فى البحث عن خامات الكريتيدات الموزعة والمياه الجوفية ذات الإمتداد الطفيف.

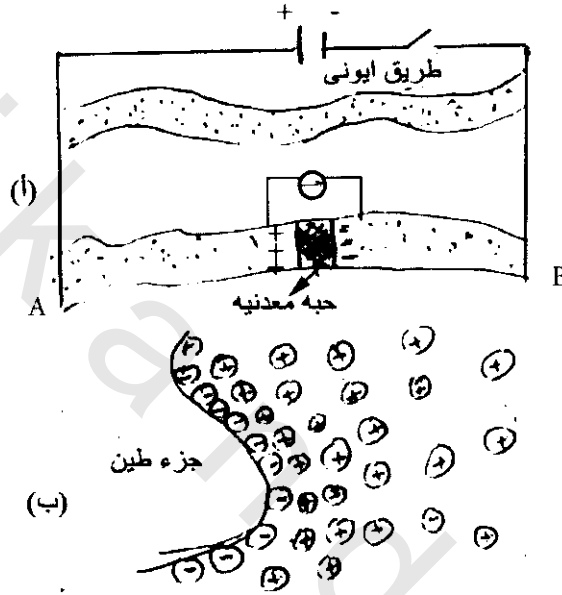
1.5.6 أساسيات الطريقة Principles of Method :

حالة الكهربائية فى معظم الصخور تكون أساسا الكتروليتية (محلول كهربى) بواسطة إنتقال الأيونات خلال الماء الموجود فى المسام. ربما، عند مرور التيار الكهربى خلال صخور حاوية معادن فلزية، فإن أيونات التوصيل يعاق امتدادها المتوقع بواسطة الحبوب المعدنية التى عبرها يكون إنسياب التيار الكترولنى. هذه تؤدى لتجمع الأيونات على الحد الفاصل بين المعدن والمحلول، منتجة نمو جهد الكهربائية الكيميائية عند سطوح حبوب الفلز شكل (6-64)، تشبه هذه الطريقة الإستقطاب القطبى الذى يحدث عند سطح القطب الفلزى المغموس فى محلول كهربى. عندما يتوقف التيار الخارجى المطبق، فإن الجهد الكهروكيميائى يتمدد، ولكن لا يهبط للصفر لحظيا. يلاحظ تغير الإضمحلال فى الجهد مع الزمن كما فى شكل (6-65) ويمكن قياسه كجزء من الجهد (V) والذى يكون موجودا عن إنسياب التيار الخارجى وتعطى النسبة $\frac{V\Delta}{V}$ قياس تركيز المعادن الفلزية فى صخر التكوين. وهذا باختصار، أساس الحث المستقطب (IP).

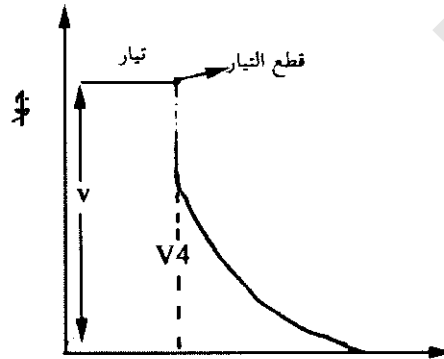
يلاحظ تأثير الحث المستقطب حتى عندما تكون المعادن الفلزية غير موجودة فى صخر المادة. ترى الصخور الرسوبية الحاوية خاصة على الطين قدر من الحث المستقطب. جزيئات سطح الطين لها شبكة سالبة

الشحنات والتي تجذب الأيونات الموجبة من المحلول الكهربى الموجود فى المسام (شكل 64ب). كنتيجة لتوزيع هذا الإستقطاب للأيونات (يسمى الإستقطاب الغشائى)، والذي يعوق إنسياب التيار. عند قطع التيار فإن الأيونات الموجبة تعيد توزيع نفسها لتعود لوضع الإتزان. توضح عملية إعادة توزيع الأيونات إضمحلال جهدى كتأثير للاستقطاب الحثى (IP). حتى الآن، عملت فقط تطبيقات محدودة جدا لتأثير الإستقطاب الحثى المصاحب لمعادن الطين.

الإستقطاب القطبى ظاهرة سطحية كالاستقطاب الغشائى. لذلك فإن تأثير الإستقطاب الحثى يكون كبير عندما يكون الخام الفلزى (الطين) منتشر أكثر منه مدمج (مضغوط).



شكل (64-6): ظاهرة استقطاب قطبى عند p، معدن الكتروليتى (أ) ظاهرة غشاء متقطب فى الطين ، (ب) أصل الإستقطاب المستحث (IP) المشارك فى الظاهرة (p)



شكل (65-6): اضمحلال جهدى لجسم صخرى يحتوى على معادن فلزية أوتراكم طينى عند قطع التيار الخارجى المطبق. يسمى الجهد المتبقى بعد قطع التيار الخارجى المطبق "بفوق الجهد" وتمد كنسبة $\frac{V_4}{V}$ قياس تأثير الاستقطاب الحثى

2.5.6 طريقتى مجال الزمن ومجال التردد: Time-Domain and Frequency-Domain Methods

يمكن قياس الإستقطاب الحثى باستخدام كلا التيار المستمر أو التيار المتردد. عندما يقاس بواسطة إرسال نبضات تيار مستمر (مثلا لمدة عشرة ثوان) فى الأرض فيعبر عن قيمة الإستقطاب الحثى بـ $\frac{V_1}{V_0}$ حيث V_1 الجهد المتبقى عند زمن t (مثلا فى ثانية) بعد قطع التيار، V_0 الجهد الموجود عند إنسياب التيار. النسبة V_1/V_0 يعبر عنها بالمليفلولت/فلولت أو كنسبة مئوية

$$IP\% = 100(V_1/V_0) \quad (6-20)$$

تجهيزات الاستقطاب الحثى عامة تسجل اضمحلال الجهد $V(t)$ عبر زمن محدد (t_1, t_2) . ويعبر عن النتيجة بواسطة تكامل الزمن المقاس من الإستقطاب الحثى

$$M = \frac{1}{V_0} \int_{t_1}^{t_2} V(t) dt. \quad (6-21)$$

تعرف الكمية M كقدرة شحن، عامة تستخدم فى قياسات دورة زمن الإستقطاب الحثى ووحدتها بالميللى ثانية.

عندما يوضع التيار المتردد فى داخل الأرض، فإن نسبة الجهد للتيار المقاس يصبح ممانع أكثر منه مقاوم. يعتمد تأثير ممانعة ومقاومة الأرض على التردد للتيار المتردد. إذا كانت المقاومات (الظاهرية) المقاسة ρ_{dc}, ρ_{ac} للتيار المتردد المستمر، عندئذ فإن نسبة مئوية تأثير تردد الإستقطاب الحثى (IP) يعبر عنه كالآتى:

$$PFE = 100 (\rho_{dc} - \rho_{ac}) / \rho_{ac} \quad (نسبة مئوية تأثير التردد) \quad (6-22)$$

عمليا يستبدل قياس التيار المتردد المنخفض (0.1 هرتز) بقياس تيار مستمر، يتم قياس التيار المتردد وعند تردد 1 أو 10 هرتز.

التقنية المستخدمة فى الحقل لقياس IP تشبه المستخدمة لقياس المقاومة، أى قطب تستخدم فى قياس المقاومة يمكن إستخدامه لقياس الإستقطاب الحثى (IP). وتوجد الآن عدة وحدات إستقطاب حثى تجاريه (مثل هنتك، سنتركس ومكفار Huntic, Scintrex and Mcphar) ملائمة لقياس دورة الزمن ودورة التردد بتسهيلات تسجيلات أوتوماتيكية.

3.5.6 تطبيق وتفسير نتائج IP: Application and Interpretation of IP Data

1.3.5.6 قاعدة التنقيب الفلزي Base Metal Exploration

المطلب الوحيد الملائم لهذه الطريقة هو البحث عن الرسوبيات الموزعة الحاوية على معادن موصلة، حيث لاتستطيع الطرق الجيوفيزيكية الأخرى تحديد مثل هذه الخامات. لاتستخدم هذه الطريقة لحل مسائل التركيبات، حيث الطرق الجيوكهربية الأخرى أفضل منها تقدا وتمد بنتائج أكثر ملائمة.

تم فى 1967 حالة إكتشاف فلزى بواسطة الإستقطاب الحثى فى منجم جورتدرم بأيرلندا Gortdrnm, Ireland، حيث دلت عينات جيوكيميائية اقليمية لمجارى الرسوبيات فى المنطقة على شاذة نحاس تربيته متوسطة القوة. وقد استخدمت خطوط مسح الإستقطاب الحثى وقياسات المقاومة حث وضعت عند مسافات 60 وأبعاد الأقطاب المستخدمة كانت 30 متر، نسبيا، دلت النتائج كما توقعت المصادر الضحلة للشاذة الجيوكيميائية. يمثل شكل (6-66) مقطع نموذجى لبروفيلات توضح كلا من قدرة شحن إستقطاب حثى ومقاومة، وكذلك القطاع الجيولوجى التابع لها. قمة شحن الإستقطاب الحثى الملاحظ عند حوالى 17 ميللى ثانية والذى نتج من حلقة عادية لـ 2-4 ميللى ثانية. أما بروفييل المقاومة يدل على أنه لا توجد مقاومة معبرة لمنطقة التمدن بل يرى أساسا تباين مقاومة عالية بين الحجر الجيرى الدولوميتى والحجر الرملى بمباشرة قليلة عبر الفالق.

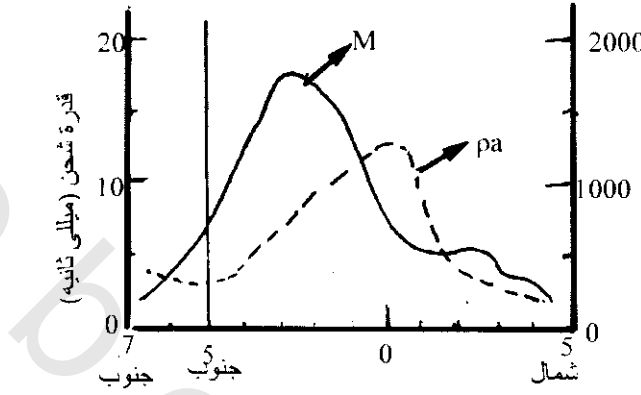
2.3.5.6 إستقصاءات المياه الأرضية Groundwater Investigation:

إستخدمت طريقة الإستقطاب الحثى فى البحث عن المياه الجوفية لأول مرة فى عام 1957، ووصفت أنها نافعة فى حالتين:

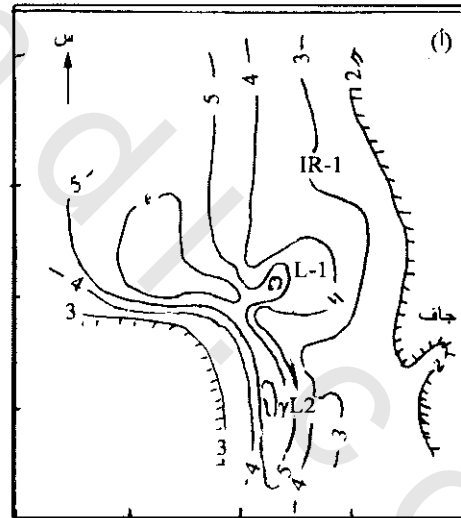
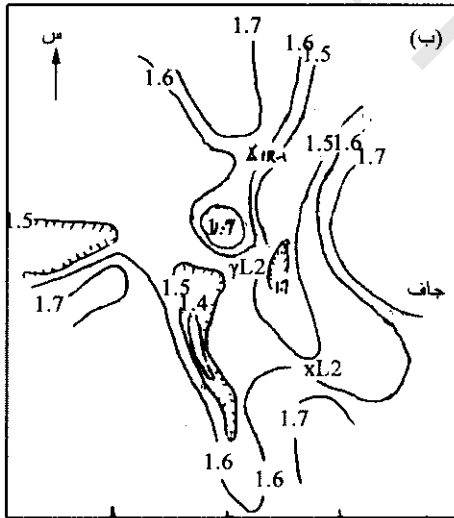
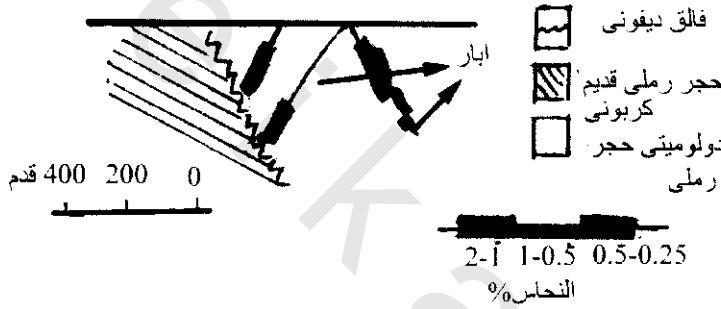
الأولى: بموقع بالقرب من كاريزوزو بنومكسيكو Carrizozo, New Mexico فى وادى محدد إلى الجنوب الشرقى بواسطة سيرابلانكا Sierra Blanca والذى يشمل صخور بركانية والتى منها استخرجت مياه أرضية صالحة للشرب. إلى الشمال والغرب لوئت رسوبيات الكرياتوى من وادى تولاروسا Tulorosa المياه الجوفية بالكوريدات والجبس مما جعلتها غير صالحة للإستخدام.

يوضح شكل (6-67 أ) خريطة لقيم الاستقطاب الحثى لمدة 10 ثوان بعد قطع التيار. تتجه الكنتورات تقريبا شمال-جنوب واضحة كمرأة لحدود نماذج الصرف والتى مرتبطة بكنتورات 2 ميللى /فولت فى الشرق، 3 ميلليوفولت/فولت فى الغرب. وينتج بئر المدى IR-1 بالمنطقة حوالى 4500 لتر/دقيقة لمياه رديئة النوعية نسبيا، وذلك عند استقطاب حثى ينخفض 1≈3 ميللوفولت/فولت). بالقرب من قيمة 6 ميللى فولت/فولت (L-1) ثم لاحقا حفر بئر أنتجت حوالى 450 لتر/دقيقة لنوعية مياه جيدة. ويوضح شكل (6-67 ب) خريطة لقيم الاستقطاب الحثى لمدة 5 ثوان بعد قطع التيار. فسرت الكنتورات بأنها أكثر وضوحا للقنوات المدفونة بنسب كبيرة مصاحبة لمواد حبيبية أكثر دقة.

الثانية: تمت تجربة معملية فى عام 1972 لمقياس نموذجى لاختيار قياسات تأثير دورة الزمن للاستقطاب الحثى فى تحديد تجمعات المياه الأرضية فى طبقة رملية تعلوها طينية. بينما بعد التقاطع كمييار ثابت عبر عدسات مائية عذبة نصف كروية تنتج شاذات مقاومة كهربية عريضة، فإن شاذات الإستقطاب الحثى تكون متقاربة وشديدة الإنحدار جانبا شكل (6-68أ)،



شكل (66-6): بروفيلات قدرة شحن استقطاب حث (M) ومقاومة p_a عبر رسوبيات جورتردم لتمعن كبريتيدى موزع



شكل (67-6): (أ) خريطة استقطاب حثى فوق جهدى بعد 10 ثانية (المسافة الكنتورية 1 ميللى فولت/فولت) ، (ب) خريطة نسبة نتائج للاستقطاب الحثى بعد 5 ثوان ، 10 ثانية بعد قطع التيار عبر وادى لطبقة حاملة للمياه مدفونة بالقرب من كاريزوزو ، نيو سيكو بالولايات المتحدة الأمريكية. Carrizozo, New Mexico, USA. أنتج البئر الغاطس عند 1-450 لتر/دقيقة لمياه صالحة للشرب (فاكور وآخرين 1957 Varquier et al)

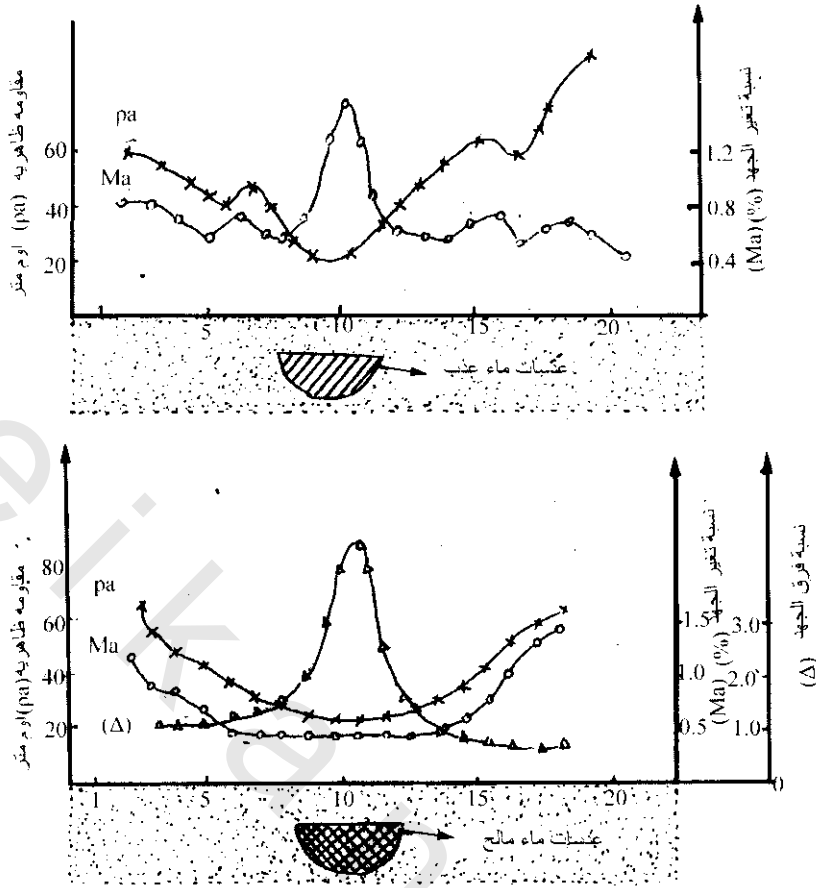
ربما، لنموذج بنفس الأبعاد والهندسية، ولكن لعدسات مياه صالحة، فإن كلا من شاذات المقاومة الظاهرية والاستقطاب الحثى يكونا عريضين فى تباين مع نسبة عبر جهود الاستقطاب الحثى بعد 0.5 إلى 5 ثانية بعد قطع التيار شكل (68-6).

من الحالتين يتضح أنه بالنسبة لخرائط دورة زمن الاستقطاب الحثى لنسبة فوق الجهد (Δ) لزمنين مختلفين يمكن أن يعطى حل دقيق للأجسام المياه التحت سطحية أكثر من خرائط فوق الجهد لقطع تيار لزمن منفرد. بينما يمكن أن تعطى طريقة الاستقطاب الحثى تفسير ناجح لأجسام المياه الأرضية، حيث أن الطريقة الحثية أقل عملياً من طرق الكهربية المغناطيسية الحثية، ولهذا اسبب فإنه من التآنى توقفت أمثلة حديثة فى استخدام الاستقطاب الحثى فى البحث عن المياه الأرضية.

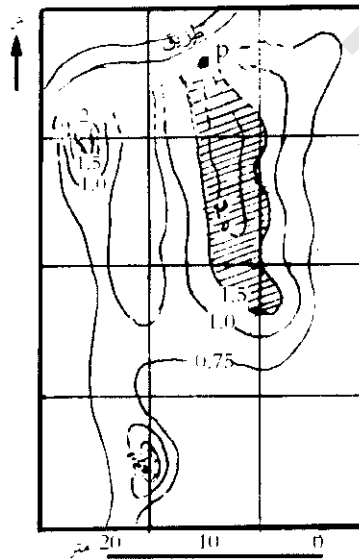
4.5.6 تطبيقات بيئية Environmental Applications:

منذ 1980 بدأ الإهتمام فى إمكانية الاستقطاب الحثى فى البحث عن المواقع الملوثة، وفى عام 1985 استخدمت خواص الاستقطاب الحثى كمثال للصخور الملوثة بمواد عضوية. حيث يمكن تمثيل الكيماويات العضوية بمواد طينية، لذلك فإن الاستقطاب الحثى المسنول عن معدن الطين يعامل كتغير لمخلوط محلول كهربى. وفسر بعض المؤلفين 1992 عينات معملية لعينات طينية جليدية ملوثة بـ جليكول* الإثيلين ethylene glycol باستخدام طرق الاستقطاب الحثى الطيفى. وقد وجدوا أن كلا من الطور وطيف المقاومة (كدالات التردد) للعينات الملوثة تختلف اختلافاً هاماً عن العينات الغير ملوثة. ولم تزل هذه التقنية أن تكون واضحة عند استخدامها لإنجاز مسح حثى تام.

فى عام 1990 أوضح بعض المؤلفين حالة دراسية، كان الحقل المستخدم فيها لمعيار استقطاب حثى فى اتصال مع قياسات معملية مناسبة، جهز هذا لتخطيط منطقة هامة ملوثة بمعدنات سيانيد والذى نشأ من نوع مادة خبث من أعمال لتغطية ألواح سابقة، واستعملوا فى دراستهم كلا من الجسات الكهربية (استخدام تصفيف شلمبرجير) ويتمثل بروفيل مقاومة بالاستقطاب الحثى (تسمى هذه الطريقة بروفيل تماثل المقاومة SRP-IP) والاستقطاب الحثى (IP) والتي تمت بهؤلاء المؤلفين. وقد فشلت طريقة المسح الكهربى فى اكتشاف التلوث حتى عند قياسها مباشرة عبر رسوبيات خبث معروفة. وبالعكس فإنه بمسح طريقة (IP-SRP) والتي استخدمت لقياس قدرة شحن، فقد تم بنجاح تحديد ليس فقط حدود الخبث المعروف ولكن تم بها أيضاً اكتشاف مساحة ملوثة غير معروفة سابقاً. وتم عمل خريطة قدرة الشحن (IP-SRP) (شكل 6-69) والتي عليها مراكز التلوث والمناطق المتأثرة ولها التى ظهرت بوضوح.



شكل (68-6): نتائج مقياس نموذج تجريبي للمقاومة الظاهرة ونسبة تغير الجهد ونسبة تغير الجهد ونسبة فوق الجهد (Δ) مقاسة بعد 0.5 ، 5 ثانية من قطع التيار حصل عليها عبر عدسات نصف كروية فى (أ) ماء عذب، (ب) ماء مالح (أوجلفى وكيورينا 1972) Ogilvy & Kuzmina



شكل (69-6): خريطة إعادة شحن عبر موقع ملوث بمركبات سيانيد، حيث الموقع المنكشف للخبث المعروف عند (p). خطوط كنتور وإعادة الشحن (المساحة المظلمة) تشير لتوضيح أرض ممتدة التلوث (كاهينا وآخرين 1990 Cahyna et al)،

الفصل السابع

الطريقة الكهرومغناطيسية

Electromagnetic Method (EM)

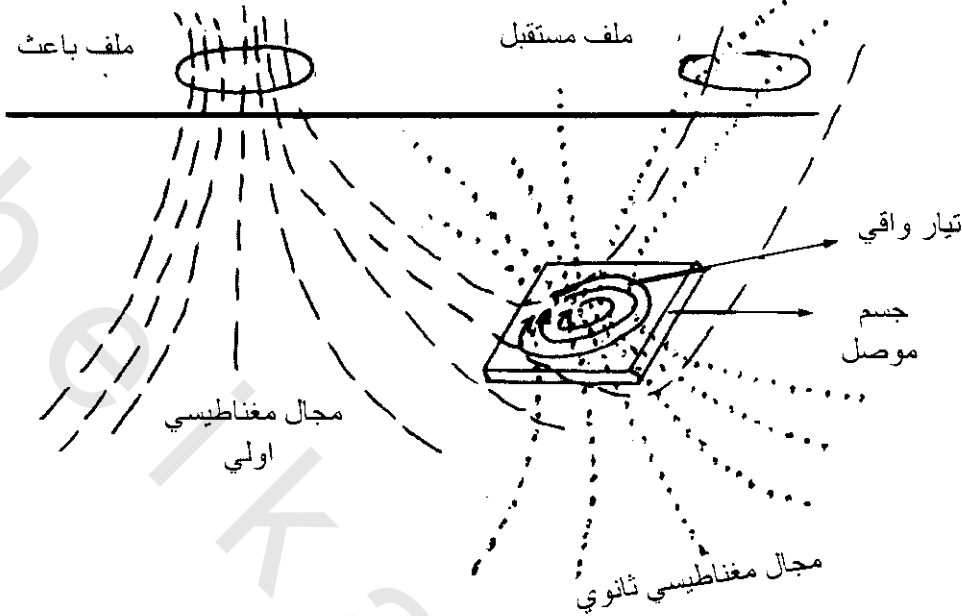
1.7 مقدمة Introduction:

من أهم الطرق الجيوفيزيائية التي تستخدم على نطاق واسع في استكشافات المعادن، حيث تعتمد على حث التيارات الكهربائية في الموصلات المدفونة، مثل بعض أجسام الخامات، بواسطة المركبات المغناطيسية للموجات الكهرومغناطيسية التي تتولد عند سطح الأرض. بالإضافة للاستكشاف المعدني فإن هذه الطريقة تستخدم لتقييم مورد المعدن، مسوحات المياه الجوفية، تخريط أماكن التلوث، استكشاف موارد الحرارة الأرضية، مسوحات مدافن الزبالة، اكتشاف الكهوف الطبيعية والصناعية، توقيع الفوالق الجيولوجية والتخريط الجيولوجي.

في هذه الطريقة، تستخدم ملفات تجبر التيارات الكهربائية الإنسياب في الأرض وتكتشف تأثيراتها. عادة يتم مسح الكهرومغناطيسية بملفين، أحدهما يسمى الباعث والآخر يسمى المستقبل. من الملف الباعث تنشأ موجات من ترددات تتراوح بين بضعة هيرتز إلى ميجاهيرتز والتي تمر من سلك ملف على الأرض أو في الهواء. تمتد المجالات المغناطيسية المتذبذبة المتولدة من التيار الكهربى كموجات داخل الأرض، وتخفف (توهن) هذه الموجات بمعدل يعتمد على التردد والخواص الكهربائية لمواد الصخر التي تمر من خلاله، حيث يصاحب التردد الأعلى معدل تخفيف أكبر. عندما تمر الموجات في جسم موصل فإنها تحث تيارات كهربية مترددة. تصبح هذه التيارات المصدر لموجات كهرومغناطيسية جديدة، والتي يمكن الكشف عنها بواسطة ملفات لاقطة مناسبة (المستقبل).

يوضح شكل (1-7) ملفي إرسال واستقبال لمسح كهرومغناطيسي وخطوط تابعة لمجالين مغناطيسيين أولى وثانوى، التيار المنبعث من المرسل يحث مجال مغناطيسي متردد، يسمى المجال الأولي والذي يمتد خلال المنطقة المحيطة والتي تحتوى على جسم موصل. يحث هذا المجال الأولي تيار متردد لينساب خلال حلقة مطوية (عروة) داخل الموصل. يحث هذا التيار الأرضى مجال مغناطيسى آخر يسمى المجال الثانوى، والذي يمتد أيضا خلال المنطقة التي تشمل المستقبل. المجال المغناطيسى المختلط H_s (النتائج من المجال المغناطيسى الأولي والمجال المغناطيسى الناتج من جسم موصل) يحث تيار متردد فى المستقبل، هذا التيار المقاس يمكن استخدامه لتحديد شدة المجال المغناطيسى المختلط H_s عند موقع المستقبل، ويكون التطبيق العادى هو مقارنة

قيمة H_s مع قيمة شدة المجال الأولى فقط H_p عند نفس موقع المستقبل وحيث أن أماكن الملف والتيار في ملف الإنبعاث يكونا معروفين، لذلك يمكن حساب قيمة المجال الناتج من الجسم الموصل.



شكل (7-1): ملفات إنبعاث واستقبال تستخدم للمسح الكهرومغناطيسي (EM)، وخطوط المجالات الأولية والثانوية التابعة لها. تحت المجال الثانوي بواسطة إنسياب التيار في الجسم الموصل

2.7 توهين مجالات الكهرومغناطيسية والعمق المخترق

Attenuation of EM Fields and Depth Penetration:

أى مجال كهرومغناطيسى ينتج خارج الموصل يوهن (يضعف أو يقل) مع المسافة داخل الموصل، ويعتمد معدل التوهين على التردد والتوصيل. يمكن إيجاد مستوى الموجه من المعادلة الآتية، لأن الإنتشار الرأسى بالاتجاه الأسفل فى نصف فراغ التوصيل σ

$$\nabla^2 H = i\omega\mu_0 H, \quad \nabla^2 E = i\omega\mu\sigma E \quad (7-1)$$

حيث $\omega = 2\pi f$ زاوية التردد للمجال

μ = النفاذية المغناطيسية (H/m)

σ = التوصيل الكهربى (mho/m) للوسط

القيمة النسبية للعبارة $\omega\mu\sigma$ تكون دلالة فيزيائية لكلا من ملاحظة توهين المجالات الكهرومغناطيسية وتولد مجالات الحث. النتائج الفيزيائية للحل هى أن المجال E أو H يوهن عند السطح فى سعة بواسطة $e^{-\alpha z}$ عند عمق Z حيث $\alpha = \sqrt{\omega\mu\sigma/2}$. العمق Z_0 التى عندها تقل السعة إلى $1/e$ (هذا يعنى 37%) من قيمة سطحها يعرف كعمق سطحى. فى بعض الأحيان ، يشير هذا العمق كعمق مخترق لموجات كهرومغناطيسية ويعطى بالمعادلة

$$Z_s = \frac{503.8}{\sqrt{\sigma F}} = 503.8 \sqrt{\rho / F} \quad (7-2)$$

حيث ρ = المقاومة في أوم متر = $\frac{1}{\sigma}$

F = تردد للموجة الكهرومغناطيسية (هرتز)

يرى جدول (1-7) تغير العمق السطحي مع التردد والمقاومة.

جدول (1-7). تغير العمق السطحي مع التردد F لمستوى إنتشار موجه كهرومغناطيسية في نصف فراغ مقاومة (ρ) أو

توصيل (σ).

عمق سطحي (متر)				تردد هيرتز (F)
10^4 أوم متر 10^4 متر/د	10^2 أوم متر 10^2 متر/د	1 أوم متر 1 متر/د	$\rho = 10^2$ أوم م $\sigma = 10^2$ م/د	
5×10^5	5×10^4	5000	500	0.01
1.6×10^5	1.6×10^4	1600	160	0.1
5×10^4	5000	500	50	1
1.6×10^4	1600	160	16	10
5000	500	50	5	10^2
1600	160	16	1.6	10^3
500	50	5	0.5	10^4
50	5	0.5	0.05	10^6

إذا كانت الصخور السطحية لها مقاومة منخفضة ($\rho \sim 100$ أوم متر) مثلاً بسبب وجود ماء حوى أملاح مذابة، فإن Z_s ستكون حوالي 160 متر عند تردد $F = 1000$ هرتز و 16 متر فقط عند $F = 100$ كيلوهرتز (ترددات راديو). في الأحواض الرسوبية التي لها مقاومات من رتب 1-10 أوم متر فإنها تتطلب تردد F يكون أقل من 0.1 هرتز لأعماق مخترقه لـ 1600 متر. يمكن ملاحظة أن العمق السطحي يعين فقط لتتابع طبيعي في المجال العملي، ربما، يتأثر أيضاً عمق الإختراق بواسطة عوامل أخرى مثل شوشرة الأجهزة، القيمة النسبية للشاذات المتناثرة المتسببة بواسطة قرب تغيرات سطح الموصل، والشكل الهندسي الموصل عميق.

3.7 علاقة الطور بين المجال الأولي والثانوي

Phase Relation between Primary and Secondary Fields:

يرى شكل (1-7) الصورة العامة لنظام التنقيب الحثي، حيث يدور تيار متردد ذا تردد $\omega/2\pi$ وشدة I_p في ملف المصدر منتجاً مجال أولي P في المنطقة المحيطة. يتناسب هذا المجال مع وفي الطور بـ I_p كما في العلاقة

$$P = K I_p \sin \omega t \quad (7-3)$$

حيث تعتمد K على هندسة الجهاز، عدد اللفات، مساحة الملف. عندما يمثل المجال الأولي على الدائرة الكهربائية، يعني موصل، فإن حث المجال الكهرومغناطيسي، E_s ، في الموصل يتناسب مع $\bar{n}P$ ، ويتأخر خلف P بواسطة ربع فترة هذه تتبع القانون الأساسي للملف (قانون فراداي)، ويكون تأخر الطور في تعبير زاوي كالاتي

* وحدة المعيار العالمي SIU للتوصيل هي سيمن (Siemen) لكل متر (S/m)، والتي تكون نفس mho/m المنتشرة الاستخدام في الجيوفيزياء.

$$(E_s \text{ بالنسبة لـ } P) = \pi/2 \text{ تأخر الطور} \quad (7-4)$$

باعتبار $Z_s = (R_s + j\omega L_s)$ الممانعة المؤثرة لموصل مقاومته R_s وحثه L_s ، فإن حث (دوامة) التيار المنساب في الموصل يكون

$$I_s = E_s/Z_s \quad (7-5)$$

ينتج التيار I_s والمجال المغناطيسي الثانوى بواسطة تأخر خلف مجال كهرومغناطيسى، E_s ، وذلك بواسطة تأخر طورى ϕ والذي يعتمد على خواص الموصل كما فى الدائرة الكهربية. وتعين ϕ من العلاقة

$$\tan \phi = \omega L_s/R_s$$

$$(6) \quad \phi = \tan^{-1}(\omega L_s/R_s) = \text{تأخر طور د (المجال الثانوى) بالنسبة لـ } E_s$$

ويمكن الحصول على الاختلاف الطورى الكلى بين المجال الأولى والثانوى بواسطة جمع المعادلة (7-4) ، (7-6) والتي تعطى

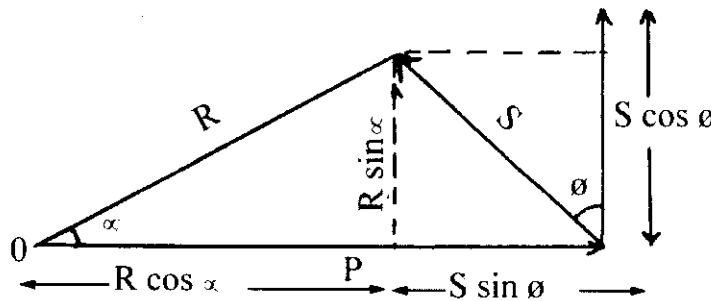
$$\begin{aligned} \phi + \tau/2 &= \text{تختلف طورى (S بالنسبة لـ } P) \\ &= \tau/2 + \tan^{-1}(\omega L_s + R_s) \end{aligned} \quad (7-7)$$

ويتبع ذلك أنه عندما يوجد موصل جيد فإنه عندما $\omega L_s/R_s \leftarrow \phi = \pi/2$ يكون طور S غالبا 180° خلف P. ولموصل ضعيف جدا $\omega L_s/R_s \leftarrow \phi = 0$ فإن تأخر طور S يكون 90° خلف P. هذا التأخر الطورى للمجال الثانوى S يقيس التوصيل.

4.7 المركبات الحقيقية والتخيلية لمجالات الكهرومغناطيسية

Real and Imaginary Components of EM Fields:

يعطى إشتراك المجال الأولى P والثانوى S محصلة (R)، والتي تقاس بواسطة الكاشف. ويوضح شكل (2-7) رسم متجهات العلاقة الجيدة بين P، S، R. تكون مركبة R المنطبقة الطور مع P هي $R \cos \alpha$ ، وهذه تسمى المركبة الحقيقية أو فى طور مركبة. عند 65° تكون المركبة خارج الطور هي $R \sin \alpha$ وتسمى المركبة التخيلية أو مركبة تربيعية. تعتبر المصطلحات الحقيقية والتخيلية أصلية فى نظرية دائرة الكهربية المترددة وبصرف النظر يستخدم معناها المعجمى.



شكل (2-7): العلاقات الطورية بين المجال الأولى P، والثانوى S والمحصلة R. من المهم ملاحظة أن المتجهات تمثل فقط علاقات زمنية متبادلة وليست اتجاهات خاصة للمجال

أيضا يمكن حل المجال الثانوى إلى مركبة حقيقية للقيمة $S \sin \phi$ والمركبة التخيلية للقيمة $S \cos \phi$. وتكون نسبة السعة للمركبات الحقيقية (R_e) والتخيلية (I_m) للمجال الثانوى علاقة لزاوية الطور ϕ ، وتبسط بواسطة

$$R_e/I_m = \tan \phi = \omega L_s/R_s \quad (7-8)$$

ويكون الموصل أفضل بزيادة نسبة R_e/I_m .

5.7 إستقطاب القطع الناقص للمجال الكهرومغناطيسى: Elliptic Polarization of EM Field

عندما يثار الموصل تحت سطحى بواسطة المجال الأولى فإن محصلة المجال المقاسة بواسطة الكاشف (الملف الباحث) تكون إشتراك للمجالين الأولى والثانوى. ومن المعادلات السابقة يمكن كتابة تعبيرين لهما كالآتى:

$$P = A \sin \omega t \quad (7-9)$$

$$S = B \sin (\omega t - \pi/2 - \phi)^2 \quad (7-10)$$

حيث A ، B دالات للشكل الهندسى للباعث والموصل، والكاشف، وبترتيب (7-9)، (7-10) وحذف ωt لصفر قيمتها بعد التربيع وحل المعادلتين تكون الصيغة النهائية هي

$$\frac{P^2}{A^2} + \frac{S^2}{B^2} - \frac{2PS \sin \phi}{AB} = \cos^2 \phi \quad (7-11)$$

وهذه معادلة القطع الناقص.

التحليل السابق حالة خاصة للمجالين P ، S المتجهين فى الفراغ عند زوايا قائمة من واحدة لأخرى. ربما، يمكن رؤية أنه بصرف النظر عن أعداد المجالات الثانوية وبصرف النظر عن سعتهم، أطوارها واتجاهاتها، فإن محصلة P ، S تمثل بواسطة متجه فردى R والذي ترسم راسه قطع ناقص $(\omega/2\pi)$ عدة مرات لكل ثانية.

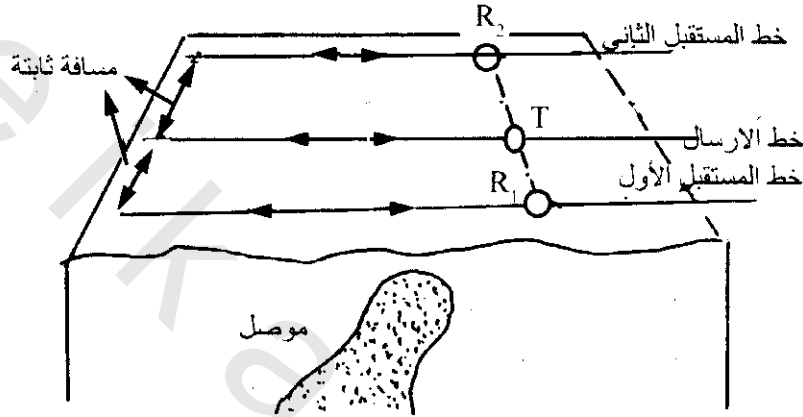
ربما يقع القطع الناقص فى أى مستوى فراغ مائل عن الأفقى أو الرأسى. لذلك يكون من الواضح توجيه الملف الباحث دائما حتى يقع فى مستوى القطع الناقص ويعرف ذلك عندما يحصل على إشارة الصفر الحقيقية. أيضا، يحصل على أكبر وأصغر محاور للقطع الناقص وذلك عند وضع الملف عمودى على مستوى القطع الناقص وقياس أكبر وأقل إشارات محثة فيه كلما أدير خلال انقلاب واحد كامل. تحدد هذه المحاور السعات للمركبات الحقيقية والتخيلية لمجال المحصلة. وقد وضعت بعض طرق الكهرومغناطيسية على تحديد القطع الناقص المستقطب.

هنا، سنلقى الضوء تقريبا على نوعين لتشكيلين مؤثرين للكهرومغناطيسية حيث أنهم أوسع إنتشارا للإستخدام.

- (1) قياسات زاوية الميل، والتي تعمل على الأرض بجهاز محمول خفيف الوزن.
- (2) إستخدام ملفات أفقية عند مسافات ثابتة وهى ملائمة للمساحة الأرضية والجوية.

1.5.7 مسح كهرومغناطيسي خط موازى ميل زاوية: Parallel-Line Dip Angle EM Surveying:

يقاس إتجاه المجال المغناطيسي المختلط بواسطة مسح خط كهرومغناطيسي موازى ميل الزاوية، حيث يوضع ملف الإنبعث (T) فى مكان عمودى على خط المستقبل (R_1) على أن يكون على بعد مسافى كما فى شكل (3-7)، عندئذ يدار ملف الإستقبال على محور باتجاه المصدر حتى يصل للمكان الذى لا يوجد فيه تيار يحث. فى هذا المكان يكون الملف موازى بالضبط لإتجاه المجال المغناطيسى المختلط، والذى لا يقطع أى نوع من خطوط القوى. عند هذا الوضع تقاس زاوية ملف المستقبل.

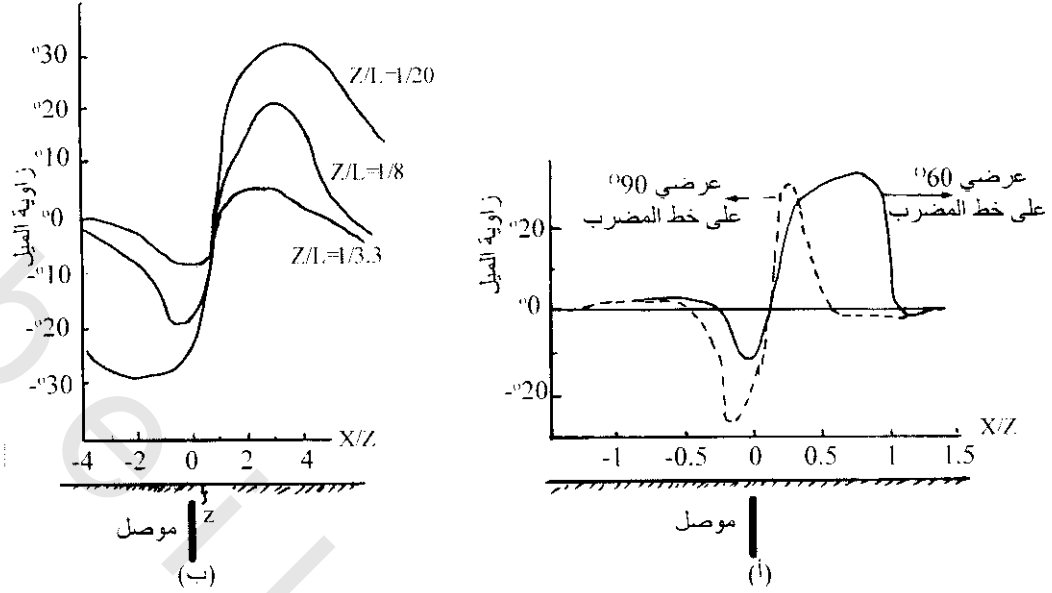


شكل (3-7): أماكن ملفات الإنبعث والإستقبال لمسح كهرومغناطيسى خط موازى ميل الزاوية ، بعد القياسات من هذه الأماكن ، تحرك الملفات بمسافات متساوية على طول بروفيلات مقابلة ، وتكرر الطريقة

بعد ذلك، يحرك الباعث والمستقبل بمسافات متساوية على طول خطوط بروفيلات متوازية وتتؤخذ قراءات أخرى. بهذه الطريقة يقدم المسح قراءات مأخوذة جميعها عند مسافات متساوية على طول بروفيل بينما تكون المسافة بين الباعث والمستقبل ثابتة. ولمسح أسرع يستخدم مستقطبين R_1 ، R_2 واللذان يعملان فى نفس اللحظة على طول بروفيلين على جانبي الباعث شكل (3-7).

لأن ملف الباعث يكون فى وضع رأسى، فإن المجال الأولى سيكون أفقيا عند مكان المستقبل. لذلك عند عدم وجود أجسام غير موصلة، فإنه سوف لا يحث تيار فى ملف المستقبل عندما يكون أفقيا، ولا يحث التيار إذا وضع المستقبل مباشرة فوق الجسم الموصل عندما يكون المجال الثانوى أيضا أفقيا. فى أماكن أخرى، عندما يكون المجال الثانوى مائلا، فإن زوايا ميل الملف تتغير على طول البروفيل القاطع فوق الجسم الموصل من موجب لسالب من جهة لأخرى. عادة، تحلل زوايا قياسات EM المقاسة بواسطة مقارنتها بالمنحنيات الخاصة لتركيبات مثالية، حيث أن العمليات الرياضية للتعبير عن هذه التأثيرات معقدة. توضح المنحنيات الخاصة فى شكل (4-7) كيف أن زاوية الميل تختلف عبر الموصل وذلك لتعادم مستوى اللوح.

هذه المنحنيات ترى أيضا أن عمق الموصل يمكن تحديده من مدى ميل الزوايا، المدى الصغير يتبع العمق الكبير، إذا كان العمق صغير جدا، فإن مدى الزوايا المقاسة على طول البروفيل تكون ± 30 درجة. عندما تكون نسبة العمق (Z) إلى مسافة الباعث L تزيد إلى الثلث فيكون مدى زوايا الميل أقل من ± 10 درجة. أيضا ترى هذه المنحنيات كيف أن النتائج تكون منحرفة إذا كان البروفيل غير عمودى على مضرب مستوى الموصل.

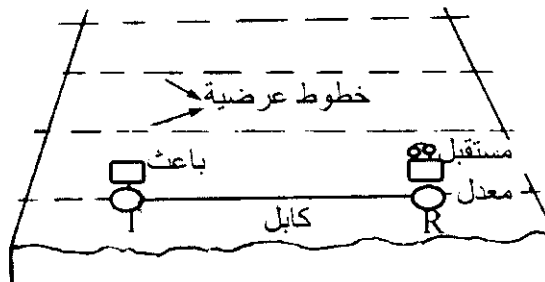


شكل (4-7): (أ) منحنيات توضح تغير زاوية الميل على طول بروفيلات تعبر لوح رأسى موصل عند زوايا مختلفة، (ب) منحنيات ترى تغير فى زاوية الميل عن لوح رأسى موصل عند أعماق مختلفة (Z/L) حيث L المسافة بين الباعث والمستقبل (تلفورد، جلدارت، شريف وكيز 1976 Telford, Geldart, Sherif and Keys)

أعطى كثير من مسوحات ميل زوايا بسيطة لـ EM لتحديد أهداف لاختبارات حفر أو أنواع أخرى من القياسات الجيوفيزيائية. مدت هذه المسوحات أساس معلومات دلالية عن مكان ومضرب الجسم وتعين عمقه.

2.5.7 مسح كهرومغناطيسى أفقى حلقى مطوى (عروة): Horizontal-Loop EM Surveying:

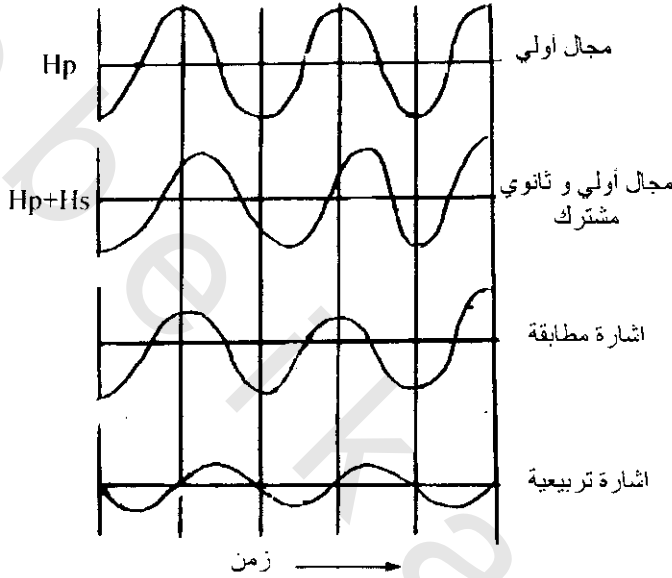
لهذا المسح توجه ملفات الإنبعث والإستقبال (تقريباً ذا حجم متساوى، أفقياً فى نفس المستوى. تؤخذ القراءة على طول بروفيل عندما يكون الباعث والمستقبل فى خط واحد وأبعاد ومسافات ثابتة شكل (5-7) للمسح الأرضى، يكون المقابل بين الملفين مفيد لحفظ نفس البعد للملفات وكموصل مرجع إشارة لتزامن الملفات.



شكل (5-7): طريقة مسح كهرومغناطيسى أفقى حلقى. بعد أخذ القراءة يحرك كلا من الباعث والمستقبل على طول الخطوط العرضية وتؤخذ قراءات أخرى. مع الأخذ فى الاعتبار ثبات المسافة بين الباعث والمستقبل

وكجميع أنظمة الكهرومغناطيسية فإن التيار المتردد يحث فى المستقبل بواسطة إشترك المجالات المغناطيسية الأولية والثانوية المترددة. يستخدم هذا التيار لتحديد شدة المجال المغناطيسى المشترك عند مكان معين. هذا القياس لشدة المجال يعالج بطريقة هامة للحصول على القراءة.

لتوضيح ماذا يعمل، يقارن شدة المجال المتراوح عند المستقبل بشدة المجال الأولى فقط. يرى شكل (6-7) أن المجال المشترك له سعة مختلفة، ولذلك قممه وقيعانه تزاوح بالنسبة للمجالات المزاحة في المجال الأولى. هذه الإزاحة تسمى إزاحة الطور.



شكل (6-7): مجالات مغناطيسية أولية وأولية ثانوية مشتركة متبادلة عند موقع ملف استقبال كهرومغناطيسي، وإشارات متطابقة وتربيعية مضافة مع بعضها لإنتاج مجال مشترك. قيست سعات الإشارات تبع شكل (6-7) المتطابقة والتربيعية عند كل موقع تسجيل على طول خطوط عرضية في منطقة المسح

يمكن إعادة إنتاج شكل المجال المشترك رياضياً بواسطة دالتى جيب زاوية المنحنيات والتي لها نفس التردد ولكن يكونا في طور 90° متفاوت الطور بالتتابع مع المجال الأولى. هذا يعنى أن القمم والقيعان لواحدة من هذه الموجات الصورية (المسماة إشارة في طور)، تكون في خط مع هؤلاء من المجال الأولى. وتكون القمم والقيعان للموجات الصورية الأخرى، المسماة إشارة مربعة، في خط مع النقط المتوسطة (المنصفة) بين القمم والقيعان للمجال الأولى. الإشارات منطبقة الطور أو المربعة ترى في شكل (6-7).

بواسطة التحليل الإلكتروني للدائرة الكهربائية والإشارة المرجعية الأولية الموصلة خلال الكابل من الباعث إلى المستقبل، يمكن تحديد سعات إشارات منطبقة الطور والمربعة. هذه القيم تصنع القراءات عند موقع معين بهذه الطريقة تعمل قراءات متتابعة حيث يحصل عليها بواسطة باعثات ومستقبلات متطورة على طول البروفيل، مع دوام المحافظة على نفس البعد.

عادة تحلل تغيرات إشارات منطبقة الطور والمربعة بواسطة مقارنتها مع المنحنيات الخاصة لنماذج مثالية لأجسام موصلة. يوضح شكل (7-7) أنماط تعبر عبر لوحة مستوى رأسى لمعاملات توصيل مختلفة. التركيبات البسيطة مثل ألواح رأسية أو مائلة فإن تعبيرات تطابق الطور والمربع يمكن التعبير عنها رياضياً، للتركيبات الأكثر إنعدام نظام الشكل، فإن العمليات الرياضية تصبح غير عملية ومعقدة. لذلك فإن مسئولية الحصول من التركيبات المعقدة على نتائج يمكن اختيارها بنماذج معملية احتمالية تقاس لإعادة إنتاج حالات طبيعية.

عادة وزن أجهزة هذه الطريقة طفيفة ومن السهل حملها، أيضاً أقطار الباعث والمستقبل حوالى 3 أقدام، ووحدات التحليل الإلكتروني يمكن حملها على الكتف لإثنين من الراصدين.

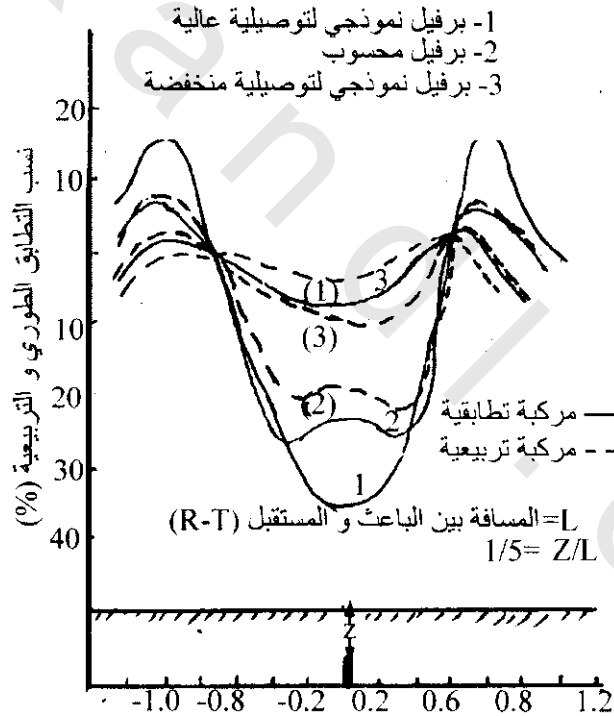
مما سبق يتضح أنه لقياس الأعماق بتطبيق طريقة الكهرومغناطيسية فإنه إما:

(1) تغير مسافة التباعد بين حلقة الإرسال وملف الإستقبال.

(2) تغير التردد مع الإحتفاظ بمواضع الإرسال والإستقبال ثابتة.

وعادة ما يفضل عامة تغيير التردد، حيث أن التغير فى المواضع للوحدات السطحية ربما يؤدي لتأثير غير مرغوب فيه.

يتضح أيضا مما سبق أن النظرية التى تفسر بواسطتها معلومات الإستطلاع الرأسى ليست صعبة التطبيق حيث يمكن ملائمة نماذج بسيطة مع التركيب التحت سطحى ويمكن إكتشاف العمق لقمة طبقة سميكة وموصلة تماما تأتى أسفل غطاء رسوبى ذى مقاومة غير محدودة وذلك بقياس نسبة السعات للمجالات المغناطيسية الأفقية إلى المجالات المغناطيسية الرأسية والتى ترصد على السطح. فى هذه الحالة، يعين العمق Z لشريحة أفقية موصلة بمقارنة هذه النسبة عند قيم متغيرة للمسافة الأفقية بين الإرسال والإستقبال (X) باستعمال منحنى لوغاريتمى يحسب لنسبة عمق (Z) مختلفة مع المسافة الأفقية (X).



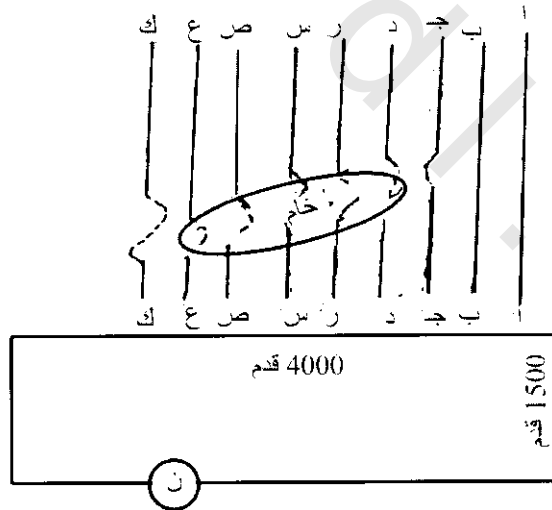
شكل (7-7): منحنيات توضح تغير إشارات تطابق طوري وتربيعي على طول بروفيل عابر للوح موصل رأسى شبه لانتهائي عند عمق ثابت وله قيم توصيلية مختلفة. قيم منحنيات 1، 3 مقياسة عبر نماذج ومنحنى فى محسوب من تعبيرات نظرية (تلفورد، جلدارت، شريف وكيس 1976 Telford, Geldart, Sheriff and Keys)

6.7 طرق الإستكشافات تحت سطحية: Subsurface Exploration Methods

1.6.7 طريقة صندبرج Sundeberg Method:

وصفت هذه الطريقة بواسطة زوشلاج Zuschlag 1932 وفي هذه الطريقة تفسر المعلومات باستعمال المعادلات والمنحنيات التي تحسب للوح أو عدة ألواح رقيقة موصلة. يسرى التيار من كابل نحاسي معزول، يتصل بمصدر لتيار متردد، ويمتد على طول السطح، إما كسلك طويل يتلامس مع الأرض، أو كحلقة كبيرة معزولة على شكل مستطيل. يوضع عدد من بروفيلات إستقبال مستعرضة عموديا على السلك المتلامس مع الأرض، أو إلى جانب واحد للحلقة. تقاس المركبة المغناطيسية للمجال الكهرومغناطيسي الذي يحدث عند نقطة متفرقة على طول البروفيل بواسطة ملفات بحث خاصة تتكون من عدة مئات من لفات سلكية. يستعمل على الأقل ترددان وتقاس الأعماق بمقارنة النتائج عند ترددات مختلفة. الكمية التي توقع فعليا في الخرائط هي النسبة لشدة المجال عند كل نقطة قياس إلى التيار في حلقة المصدر.

يوضح شكل (7-8) تطبيق طريقة صندبرج، حيث حلقة المصدر مستطيلة الشكل طول بعديها 1500، 4000 قدم، حيث يسرى التيار عبر حلقة أرضية، وتحرك ملفات البحث على طول خطوط مستعرضة مثل 'pp'، ب ب' وهكذا. وتبين الخطوط المتقطعة إستجابة نسبية لملفات البحث الرأسى كدالة للموقع على طول الخط الأرضى. وتدل الخطوط المتقطعة على موضع الجسم بالمنطقة حيث يسجل فوقها إستجابة مغناطيسية مميزة، وإذا أمكن تقريب الجسم الخام إلى شريحة ماء، فمن الممكن تعيين عمقه بقياس المركبات المناظرة للمجال متفقا أو متفاوتا في الطور مع إشارة المصدر.



مصدر تيار متردد قوي

شكل (7-8): الكشف عن جسم خام موصل أسفل غطاء رسوبي ضحل بواسطة الحث الكهرومغناطيسي

إستعملت هذه الطريقة لاستكشاف البترول على أعماق ضحلة قبل أن تتطور الطرق السيزمية لرسم خرائط فعالة للتركيبات الضحلة، وأيضا خطت لبعض الفوالق بهذا الأسلوب. تستعمل هذه الطريقة الآن في الإستكشاف المعدنى فقط.

2.6.7 طريقة تورام Turam Method :

تشبه طريقة صندبرج، ولكن تختلف عنها فى رصد النسبة لشدة المجال عند نقطتين بدلا من الشدة عند نقطة واحدة. وكما فى حالة صندبرج، يستعمل ترددان فى حدود من 100 إلى 800 هرتز. يطرح كابل بطول عدة كيلومترات كمصدر موازى لخط الإتجاه المتوقع ويتلامس مع الأرض عند نهايته. تقرأ ملفات القياس زوجيا على طول خطوط متعامدة مع الكابل، حيث تكون المسافة بينهما عامة فى حدود 25 متر. ثم بعد ذلك ترصد النسب المتطاورة والمتفاوتة طوريا، فضلا عن نسبة السعة واختلافات زاوية الطور.

3.6.7 طريقة المصدر المتحرك Moving Source Method :

تتطلب هذه الطريقة مولدات وحلقات مصدر أصغر وأكثر سهولة فى النقل عما يستعمل فى الأساليب الفنية للمصدر الثابت، التى يستخدم فيها غالبا ملفات كبيرة معزولة أو أسلاك طويلة تتلامس مع الأرض.

فى هذه الطريقة يستعمل تشكيل جانبي أفقى لتنفيذ معظم المساحات الكهرومغناطيسية بهدف تحديد مكان المواضع الأفقية للأجسام الموصلة المدفونة أفضل من تحديد أعماقها، وفيها يستعمل كلا المصدرين الثابت والمتحرك فى المساحات التى توصل لهذا الغرض. تتضمن طريقة المصدر المتحرك زحزحة كل من المصدر والمستقبل عادة بطريقة تحافظ على تباعد ثابت بينهما. المشكلة الرئيسية فى هذه الطريقة هو الإزدواج المتغير بين المصدر والموصل. وهذا يسبب تغيرات فى الإستجابة التى لا تقتصر بالموصل تحت سطح الأرض مما يسبب صعوبة التفسير.

ملحوظة:

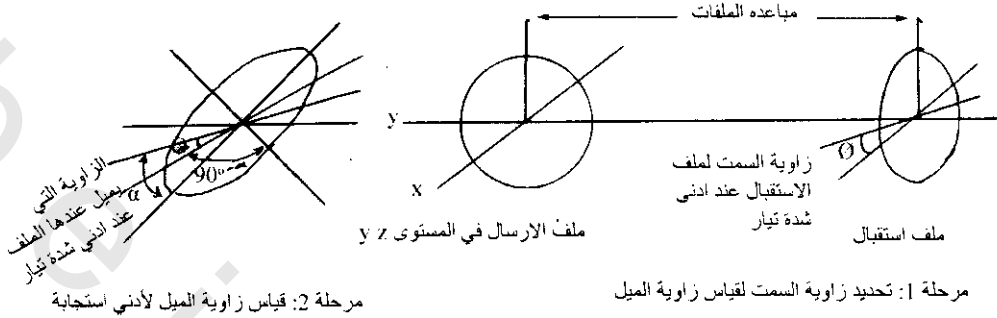
- 1- طرق المصدر الثابت تصمم عادة بطريقة تحفظ الإرسال عند موضع واحد وتحرك حلقة الإستقبال فوق المنطقة التى تستكشف.
- 2- تصمم بعض الطرق لقياس الإتجاه للمجال التأثيرى فقط، حيث تكون عالية الحساسية ولا تتطلب أجهزة معقدة.
- 3- تتجنب هذه الطرق الإحتياج لقياس إشارة مقارنة تفرق بالمصدر نفسه، وهذا مطلب صعب فى تحديد السعات النسبية للمجالات التأثيرية.
- 4- تعطى المجالات المرصودة عند موضعين أو النسبة لمركبتين ترصدان عند نفس المكان معلومات عن المقاومة النوعية لتحت السطح ولكن تكون النتائج صعبة التفسير.

4.6.7 طريقة زاوية الميل أو طريقة الحلقة الرأسية Dip Angle Method or Vertical Ring Method :

وفىها يقاس الإتجاه للمجال عامة، حيث توضع حلقة المصدر فى المستوى الرأسى وتوصل حلقة الإستقبال بمقياس يستخدم لقياس الزاوية مع الأفقى للمستوى الذى تقع فيه عندما يبلغ الجهد التأثيرى ذروته. تقاس أولا زاوية السميت لأدنى إستجابة لحلقة الإستقبال عندما تكون رأسية شكل (7-9) ويمكن إستخدام هذا الأسلوب الفنى إما مع تشكيل مصدر ثابت أو مصدر متحرك. عندما تفسر قياسات زاوية الميل بعناية، يمكن إن تعطى معلومات عن الموضع الأفقى، خط الإتجاه، الميل، العمق، الطول والموصلية لشريحة موصلة مدفونة.

5.6.7 طريقة سلينجرام Slingram Method:

فى هذه الطريقة تستعمل حلقات متنقلة تشابه تلك المستعملة لقياس زوايا الميل بمصدر متحرك، ولكن تقاس نسبة المركبات المتطاورة على المركبات المتفاوتة الطور للجهد التأثيرى



شكل (7-9): طريقة زاوية الميل أوتشكيل لملفات الإستقبال والإرسال للحلقة الرأسية لمسح كهرومغناطيسى، حيث نفذت القياسات على مرحلتين.

بمقياس النسب. غالبا ما تكون كلا الحلقتين فى مستوى أفقى وتستعمل واحدة أو إثنين من الترددات الثابتة مع تثبيت المسافة بين الحلقات، وعادة ما توضع خطوط اعتراضية عمودية على الإتجاهات الإقليمية. تشبه المعلومات التى يمكن الحصول عليها من قياسات سلينجرام تماما لتلك التى يحصل عليها بطريقة زاوية الميل عندما يكون الموصل شريحة ذات ميل فردى أو سلسلة رقائى متوازية وعلى مسافات متجاورة تكافئ فى الخواص الكهربائية حاجزا صحيحا عرضيا.

تدخل طرق المصدر المتحرك، زاوية الميل وصندبرج فى التشكيل الجانبى الأفقى حيث تنفذ بها معظم مساحات الكهرومغناطيسية بهدف تحديد مكان المواضع الأفقية للأجسام الموصلة المدفونة أفضل من تحديد أعماقها. والمصدر الأكبر فى صعوبة تفسير معطيات التشكيل الجانبى الأفقى هو تأثير المادة الموصلة فى الصخر المجاور جانبا لأجسام الخام المستكشفة وفى الغطاء الرسوبى الذى يعلوها. التغيرات فى الموصلية النوعية للغطاء الرسوبى يمكن أن تعطى شادات تشابه تلك المصحوبة بأجسام الخام والتى ربما تخفى تأثيرات موصلات عميقة ذات أهمية اقتصادية.

7.7 تفسيرات نتائج الكهرومغناطيسية Interpretation of EM Data:

عموما يكون تفسير نتائج مجال الكهرومغناطيسية نموذج ملائم لتفسير نتائج أنواع أخرى لمجالات الجهد. يتم هذا بواسطة مقارنة الشادات الملاحظة مع المحسوبة أو المقاسة المطابقة لنماذج موصلات لأشكال وأحجام ومعاملات توصيل مختلفة. يقارن التفسير الكمي الغير مباشر ببروفيل أو إثنين مختارين لشادة مع مجموعة من البروفيلات النظرية الناتجة من نماذج مختلفة. نظريا، التطبيقات المحسوبة العائدة لموصلات متساوية تكون محدودة بأشكال بسيطة كالكرة، لوح غير محدود وشكل طباقى نصف فراغ. لحسن الحظ لا يوجد اضطراب لإستخدام حلول نظرية تمنع فى إضافات تفسيرية مجمعة، طريقة النموذج للحصول على أعماق مطابقة نظرية جيدة جدا فى الممارسة.

8.7 تجارب نموذجية Model Experiments:

لإنشاء أنظمة نموذجية يكون من الضروري فهم القاعدة النظرية للقياس. ويكون من المفيد قياس متطلبات الكهرومغناطيسية (EM) فى أشكال غير بعدية (P/S) حيث P، S المجال الأولى والثانى عند نقطة الرصد. وكقاعدة يوجد أربع معاملات شاملة لإنتاج هذا المطلب: المقاومة ρ (أوم متر)، تردد F (S⁻¹)، النفاذية المطلقة μ (أوم ث/م) والقياس الخطى للنموذج (الطول ℓ) (متر). من اعتبارات الأبعاد تكون اقرار مباشر بأن نسبة $P \ell^2 F \mu / \rho$ = غير بعدية لنظام النموذج، وهذا يعنى نظامين بنفس نسبة P سوف تعيد إنتاج نفس المطلب (P/S) بصرف النظر عن القيم الحقيقية (ℓ, μ, F, ρ).

أيسا يمكن الإستغناء عن النفاذية المطلقة، حيث يكون الإهتمام عامة بموصلات غير ممغنطة ($\mu = \mu_0$). لذلك إذا إستخدم مقياس n:1 لإبعاد خطية لنموذج الموصل ضد هؤلاء لمقياس طبقة موصلة طبيعيا تامة فى الحقل سيحصل على العلاقة الآتية

$$(p/F)_N = n^2 (p/F)_M \quad (7-12)$$

حيث M، N (الدلائل السفلية) تستخدم لمقياس موصل طبقة طبيعية كامل ونموذج الموصل بالتتابع.

تكون 200 لمعامل مقياس N نموذجية لأنظمة نماذج الكهرومغناطيسية. وهذا تابع لمعادلة (7-12) حيث أن إقلال البعد الخطى بواسطة 200 يتطلب تغير معد لزيادة فى التردد بواسطة 200 وزيادة فى التوصيل (إقلال فى المقاومة) للنموذج بواسطة 200.

عمليا، يفضل حفظ نفس التردد فى النموذج كما فى نظام مقياس المجال الكامل ($F_N = F_M$)، وهذا يسمح أكثر باستخدام نفس الأجهزة فى المعمل والحقل، وكنتيجة تبسيط المعادلة (7-12) إلى $\rho_M n = \rho_N$ وعندما تكون $\eta = 200$ فإن هذا يتطلب ρ_M تكون 40,000 مرة أقل مقاومة من ρ_N . هذا المطلب للوح موصل سمكه 5 مم زنك ($\rho = 6 \times 10^{-8}$ أوم متر) سوف يكون هو نفسه لـ 1 مم سمك طبقة موصلة كاملة فى الحقل. مثال ذلك، عرق خام مقاومته $200 \times 6 \times 10^{-8} = 2.4 \times 10^{-3}$ أوم متر، عندئذ سيكون البعدين الباعث والمستقبل 0.50 متر بدلا من 100 متر، ويدل هذا البعد على عمق 10 متر للموصل وهكذا لجميع الأطوال المتضمنة.

يحدد إختيار النماذج للألواح الموصلة الأكثر أو الأقل فلية ($\rho \approx 10^{-6} - 10^{-8}$ أوم متر). ربما تستخدم ألواح فلية من الألومنيوم، النحاس الأصفر والزنك لمحاكاة أغلب أجسام الخامات الموصلة، وتجاريا يستخدم الجرافيت والكربون ($\rho \approx 10^{-4} - 10^{-6}$ أوم م) لمحاكاة أجسام التوصيل المنخفضة. وقد نفذت تجارب نموذجية لتجميع منحنيات الكهرومغناطيسية المطلوبة بواسطة أغلب شركات التعدين ومقاولى الجيوفيزياء. حاليا توجد كتالوجات لمثل هذه المنحنيات لجرانت وويست Grant and West 1965، وارد Ward 1967، تلفورد وآخرين Telford et al وفيرما Verma 1977.

9.7 غموض فى تفسير الكهرومغناطيسية EM: Ambiguity in EM Interpretation:

بعيدا عن الغموض الأساسى والذى يلزم تفسيرات جميع نتائج مجال الجهد، توجد بعض مشاكل معينة تسبب صعوبة فى تفسير مستقيم بروفيل الشادة الكهرومغناطيسية. عامة، تكون أحد المشاكل الكبيرة لجميع طرق

ميل الزاوية هي التمييز بين معامل توصيل كبير والعمق البسيط لمدفون، وهذه تشكل صعوبة لبيان أيهما شاذة ترجع إلى موصل متوسط عند عمق ضحل أو موصل جيد عند عمق كبير.

في كثير من الأحوال يمكن إزالة هذا الغموض بواسطة جعل القياسات عند ترددتين مفصولين جيدا كل عن الآخر. يحسن التردد العالي مطلب الظواهر السطحية (مثل الغطاء الموصل، تركيز المياه الجوفية)، بينما يحسن التردد المنخفض تأثيرات الموصلات التحت سطحية.

أحيانا، تظهر مشكلة أخرى وهي أن غطاءات معينة (مثل الطين) تظهر كأنها موصلات جيدة كبعض أجسام الخامات التي تشكل صعوبات للتمييز بين تأثيرهما. ربما يحل هذا الغموض بواسطة عمل قياسات بنظام مصدر ومستقبل متحركين مع اختلاف أبعاد الباعث والمستقبل. تدل تأثيرات غطاء الموصل الضحل على كبر نسبي للأبعاد الصغيرة وصغر للأبعاد الكبيرة، وسوف لا تتغير تأثيرات الموصلات العميقة بدلالة مع تغير متوسط بعد الباعث - المستقبل وربما تزيد أيضا بزيادة البعد. لذلك يكون جمع الترددتين وتقنيات تعدد البعد مفيد جدا في إزالة بعض الغموض.

10.7 الإستكشاف الكهرومغناطيسي الجوي Airborne EM Surveying:

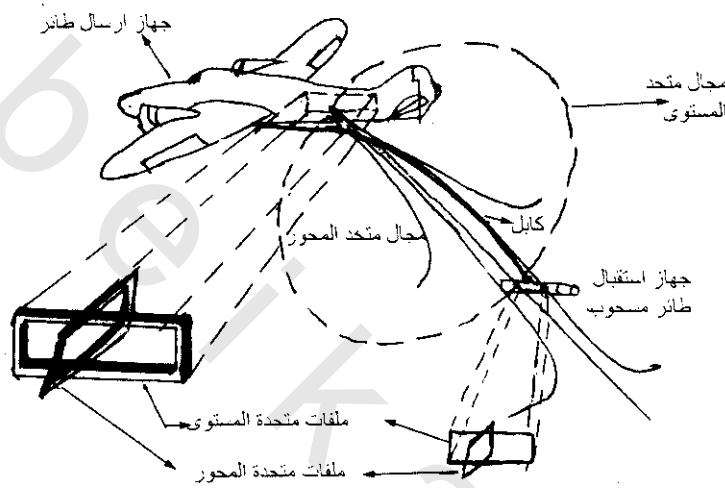
منذ بداية الخمسينات في القرن الماضي، تزايد استخدام المسح الكهرومغناطيسي بواسطة أجهزة محمولة جوا. وذلك بغية تحديد موقع خامات الكبريتيدات. وفائدة هذا المسح الجوي هو سرعة التغطية وتوفير النفقات، ولكن المشاكل الفنية أصعب من المسح الأرضي، ومن بين هذه المشاكل:

- (1) المبعاد المحدودة بين المصدر والمستقبل.
- (2) الحساسية الإستثنائية المطلوبة لالتقاط الإشارات الضعيفة العائدة للسطح عندما يجب أن يكون مصدر الطاقة الكهرومغناطيسية الأولية، لأسباب أمنية، على إرتفاع من 200 إلى 500 قدم فوق سطح الأرض.
- (3) مستوى التشويش الأعلى الذي يدخل حركة حلقة الإستقبال في المجال المغناطيسي الأرضي.

وصف بيمبرتون 1962 طرقا للحصول على الحساسية الضرورية في المسوحات الجوية، حيث وضح أن الترتيب الأسهل هو وصل كل من حلقتي الإرسال والإستقبال بطرفي الجناحين المتقابلين. ترتيب آخر هو أن جهاز الإستقبال مسحوب في طائرة يتصل بطائرة الإرسال بواسطة كابل طويل. أيضا ربما تكون حلقة الإستقبال في طائرة أخرى تطير عن قرب خلف الطائرة التي تحتوى على جهاز الإرسال. هناك نظام آخر مصمم لإرسال نبضات عابرة بطريقة متقطعة، ويقاس الإستقبال أثناء الفترات التي ينقطع عندها المجال الأولي.

تستعمل أنواع من الأنظمة للعمليات الكهرومغناطيسية الجوية، ففي طريقة تورنكفيست 1958 Torngvist توصّل حلقتي الإرسال إلى الطائرة، واحدة منها في المستوى الأفقي والأخرى في المستوى الرأسي. تسحب حلقتي الإستقبال من نفس الطائرة أو من طائرة ثانية توجه في نفس الإتجاهات المناظرة. يبين شكل (7-10) هذا الترتيب كما طبق بواسطة الشركة الدولية للنكل International Nickel Company. ترسل حلقتي الإرسال مجالات مغناطيسية مترددة لنفس التردد والسعة، ولكنها متعامدة الطور وبهذه الطريقة يتولد مجال مغناطيسي دوار. يسجل الفرق بين الإشارة من عنصر إستقبال واحد مزاح في الطور بزاوية 90° بالنسبة للآخر بواسطة

مسجل، فإذا لم يكون هناك موصل أسفل الطائرة، فإن الإشارتين تكونان متطابقتين، لدرجة أن الفرق بينهما بعد الإزاحة سوف يكون صفراً، وعلى ذلك فإن أثر المسجل سوف يعرض تشويشاً فقط. يسبب وجود موصل ماء، مثل جسم خام فرقا بين الإشارتين، ويرصد هذا الفرق على هيئة إشارة على التسجيل. ويسجل الفرق في السعة وزحزحة الطور برواسم منفصلة، وأى جسم خام موصل موجود أسفل الطائرة فإنه يظهر على كلا الرسمين.



شكل (7-10): ترتيب الملفات في تسجيل كهرومغناطيسي كما نفذ بواسطة الشركة العالمية للنكيل International Nickel Company (دوسست Dowsett) 1970

باستخدام طائرة واحدة، يسحب الطائرة الحامل لجهاز الإستقبال على بعد 500 قدم خلف الطائرة، وأيضا لمنع اصطدام الطائرة، يجب أن تطير الطائرة على ارتفاع لا يقل عن 400 قدم. أما في حالة استخدام طائرتين يمكن سحب الطائرة الحامل لجهاز الإستقبال على بعد 50-60 قدم ويمكن أيضا خفض ارتفاع الطيران إلى 300 قدم. عند هذا الارتفاع، ومباعدة بين الطائرتين حوالي 800 قدم، يمكن اكتشاف أجسام موصلة توجد على عمق يصل 1500 قدم تحت سطح الأرض بواسطة آثار الإشارة.

من الطرق الفنية الأخرى الشائعة للاستكشاف الكهرومغناطيسي، توفيق طريقة سلنجرام للاستكشاف الجوي بأساليب فنية ذات قياس عالي الحساسية. لذلك توصل الحلقات المثة إلى طرفي الجناحين المتقابلين (للتوجيه الراسي في نفس المستوى)، أو للمقدمة أو لذراع بارزة من الذيل (لترتيب رأسى متحد المحور). تستخدم هذه الطريقة ترددا فرديا يتراوح من 300 إلى 4000 هرتز. نظام الدخول يسجل على ست قنوات بطريقة أنية، بحيث تمثل كل منهما ترددات مختلفة. في حالة القياسات الأرضية، لا تكون المعلومات غالبا جيدة ما بسبب التشويش، وبالتالي فإن التفسير المحتمل ينتج بأسلوب نوعي. هذه المشكلة تعتبر مقبولة، حيث أن الهدف الأساسي لمثل هذه المساحة هو فصل الشاذات ذات القيمة الاقتصادية عن تلك التي تفقدها، وبذلك يتم تحديد مواقع المناطق الهامة للبحث المكثف.

11.7 الإستكشاف الكهرومغناطيسي البحري Sea Borne EM Surveying:

الفرق بين تطبيق الإستكشاف الكهرومغناطيسي الجوي والبحري يكون كبير من ناحية القياس، فبينما تشمل المسوح الجوية ارتفاعات طيران لعدة عشرات إلى مئات من المئات بمسافات باحث يستقبل من 20-135 متر فإن نظم المسح البحري ربما يكون له عشرات من الكيلومترات. عادة إنتشار نظم الإستكشاف الكهرومغناطيسي

البحرى يكون لمقاييس كبيرة لفحص القشرة الأرضية وتتطلب أجهزة خاصة مغلقة (شاف وآخريين Chave et al 1991). توجد أمثلة قليلة حيث إستخدمت أنظمة أرضية فى قوارب مطاطية مملوءة بالهواء ومقطورة عبر بحيرات مائية عذبة ضحلة وأنهار فى الفحوصات الهندسية.

الطرق الأساسية التى تطبق للاستخدام فى البيئة البحرية هى مجنيتو-تليورك (MT) Magneto-Telluric مقاومة مجنيتو مترك (MMR) Magnetometric Resistivity ومجال أنظمة التردد والزمن Frequency and Time-domain system (F,TDS). العامل الحرج فى جميع الجسات الكهرومغناطيسية البحرية هى أن الماء يكون موصلًا للغاية ويكون أكثر توصيل من المواد الأرضية الجيولوجية عند أو تحت سطح أرضية البحر. يعتمد توصيل مياه البحر على الملوحة ودرجة الحرارة. الجزء الأعلى للرسوبيات تحت المحيط عادة تكون مشبعة بالمياه ولها معاملات توصيل من رتبة 10^{-1} S/متر. تقل هذه القيم بزيادة التحجر والتغيرات الرسوبية التى تقلل المسامية فى موضعها. تتراوح معاملات توصيل القشرة البازلتية وبيروكسينيت أعلى من 0.1 S/متر عند قاعدة للرسوبيات الفوقية إلى ثلاث رتب لقيم أقل عند عمق حوالى 10 كم.

12.7 طرق تحكم مصدر الكهرومغناطيسية Controlled-Source EM Methods:

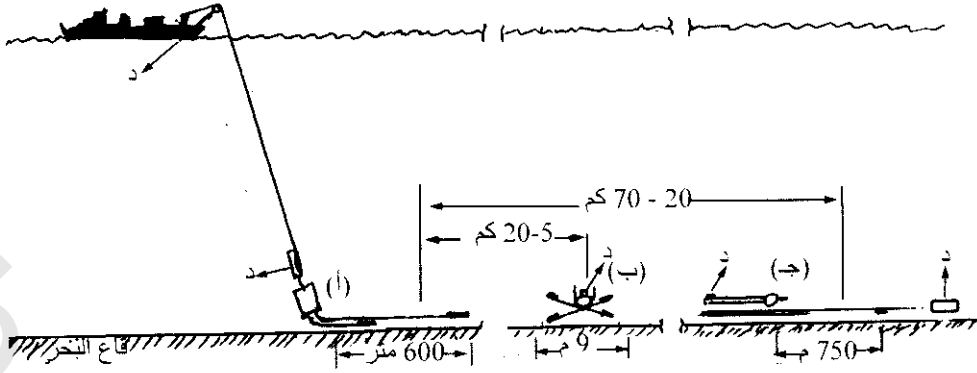
تستخدم أنظمة تحكم مصدر الكهرومغناطيسية مصادر تغير زمنى كهربى ومغناطيسية ثنائى القطب لأشكال هندسية معروفة ليحث تيارات كهربية فى أوساط توصيلية مختلفة موجودة. ويمكن تحديد صيغة الكهربائية أو المغناطيسية للتيار الحثى، من التى تعذر من تركيب موصل كهربى رأسى لمواد جيولوجية موجودة ممكن صنعها، يوجد أربع أنواع أساسية لمصدر-استقبال ولكن عديدة التجمع. الأربعة هى:

ثنائيات كهربى رأسى وأفقى (VED and HED) Vertical and Horizontal Electric Dipoles

ثنائيات مغناطيسية رأسية وأفقية (VMD and HMD) Vertical and Horizontal Magnetic Dipoles

فى تباين الأرض مكافئ أساسى فليتحكم مصدر EM البحرى فإن كلا من المصدر والمستقبل يغمر فى وسط موصل، والتركيب الكهربى فى كلا من ماء البحر والمواد تحت قاع البحر مؤثر فى إتمام الحث الكلى. ولذلك يجب إتخاذها فى الاعتبار فى التفسير النموذجى. فى الحالات التى تشمل مياه ضحلة مثال ذلك عبر إنحدار القارات، فإنه أيضا يجب الأخذ فى الاعتبار مكان تداخل الهواء مع سطح الماء.

سيوصف باختصار ثلاثة أنظمة، اثنين مجال-تردد، وواحد مجال-زمن، لتوضيح التباين لتيارات الأنظمة التى تتطور. الأول يكون نظام ثنائى مجال تردد كهربى أفقى تحت بحرى (HED) والذى أنتج بواسطة معهد سكريبس لعلوم المحيطات Scripps Institution of Oceanography للجساب العميقة لغلاف المحيط الصخرى. يكون المصدر كابل معزول طوله $(1-0.5)$ كم) نهايته أقطاب صلب لاتصدأ طولها 15 متر. توضع المستقبلات المكتشفة للمجال الكهربى الأفقى على قاع البحر على بعد من $1-200$ كم من المصدر كما فى شكل (7-11).

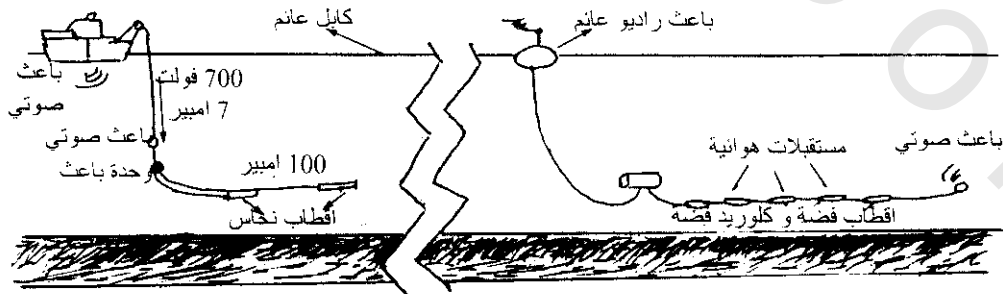


شكل (7-11): تخطيط نموذجي لثنائي قطب كهربى أفقى (HED) لتجربة جس عميق. تمد القوة من مصدر سطحي (مثل سفينة) إلى باعث (أ) أرضى بحرى خلال موصل مفرد مع توصيلية عودة مياه البحر، يشمل الباعث هوائى عازل (فى نهايات قضيب طوله حوالى 600 متر. توضع المستقبلات على مدى 5 إلى 70 كم من الباعث. ربما تكون المستقبلات إما مسجل مجال كهربى (ELF) (ب) مع زوج صلب هوائى متعامد بمسافة امتداد 9 متر. أو (ج) مسجل هوائى كهرومغناطيسى طويل (LEM) حيث يقاس الجهد بين نهايات من 200-300 متر لسلك نحاس معزول. يستخدم أثقال صوتية ناقلة (د) لتحديد جميع التركيبات على أرضية البحر من المركب الموجودة على سطح الماء (شاف وآخرين Chave et al 1991)

يسقط المجال الكهربى (ELF) الحر على مسجل يتكون من زوج لإيرىال متعامد صلب قوى طول كل منهم 9 متر إلى نهايات مثبتة من أقطاب فضة-كلوريد فضة. تنتشر مستقبلات المجال الكهربى (ELF) ما بين 5، 20 كم من الباعث.

يتكون طول إيرىال مسجل الكهرومغناطيسية من 200-3000 متر لسلك نحاس معزول ينتهى بواسطة أقطاب طولها نصف متر من فضة كلوريد فضة. ويوضع هذا الإيرىال على بعد 100 كم أو أكثر من المصدر.

يكون النظام الثانى أيضا لمجال التردد والمنتج بواسطة معهد سكريبس Scripps لاستخدامه عبر المنحدرات القارية الضحلة شكل (7-12). يصنع الباعث من أنبوبتين نحاسيتين طولهما 7 متر وقطرهما 7 سم متصلين بواسطة 50 متر من كابل مزود بطاقة مباشرة من مركب المسح. تتكون صفوف المستقبل من سلسلة أقطاب فضة كلوريد فضة على طول كابل ممتد لعدة مئات من الأمتار، جميعها فى تلامس مع قاع البحر. تكون مقدمة نهاية صفوف المستقبل وحدة تتصل بعائم وباعث راديو. يتصل العائم بقارب المسح بواسطة حبل عائم والذى يمكن تغيير طوله لتغير بعد المصدر-المستقبل. تسمح النقطة التى لها سطح إنبعث رديو لمبدل الزمن الحقيقى لقياس النتائج من وحدة التسجيل الغاطسة والتى أيضا تخزن النتائج على شريط لنقلها مباشرة لمركب المسح.



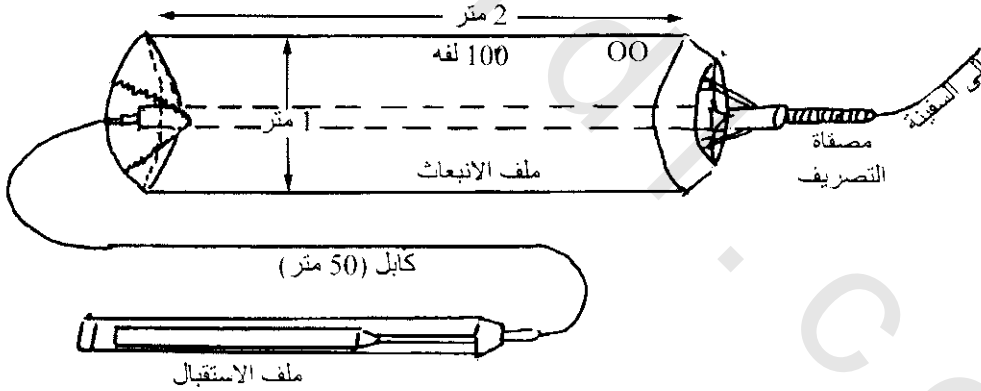
شكل (7-12): رسم تخطيطى يوضح مكونات نظام تردد-بروفيل مقطور. تقطر مصادر الهوائيات مباشرة خلف سفينة البحث وتعطى قوة بواسطة مولدات السفينة. تقطر هوائيات الإستقبال طافية خلف أجهزة الراديو وتتكون من أقطاب مصفوفة من الفضة وكلوريد الفضة. تستخدم البواعث الصوتية لتحديد المواقع (شاف وآخرين Chave et al 1991)

النظام الثالث، مجال-زمن، ثنائي قطب المغناطيسية الأفقية (Horizontal Magnetic Dipole HMD) شكل (13-7). طول الباعث الأسطوانى 2 متر، وقطره 1 متر (من ألياف زجاجية) والتي فيها يمدف بمنتظام 55 لفة سلك. يمد الباعث بتيار من بطارتي عرية موضوعة على قارب المسح. ويعكس التيار المستقطب كل 5 متر ليمد إشارات كهرومغناطيسية عابرة. يصنع المستقبل من قلب ملف حديد معدل مغلف في أنبوبة كربونية متعددة مربوطة خلف الباعث بـ 50 متر. توضع المجموعة الكلية للباعث -المستقبل على قاع البحر ويستقر خلال كل قياس والذي يؤخذ كل 90 ثانية يحفظ تقدم قارب المسح بواسطة مد كابل إضافي خلال فترات القياس ويلف الكابل الإضافي بين نقط المسح. ميزة هذا النظام أن نظام مجال المصدر-المستقبل يكون نسبيا صغير مع تقدم تابع في سهولة الإستخدام.

سهولة العمل يكون عامل كبير في الإعتبار لأى من هذه الأنظمة لكي تصبح عملية إقتصادية.

13.7 المسح الكهرومغناطيسى للآبار Borhole EM Surveying

بينما أنظمة المسح الكهرومغناطيسى (EM) الأرضى والجوى له أشكال هندسية منتظمة للمصادر والمستقبلات، فإنه في حالة المسح الكهرومغناطيسى للآبار يضاف بعد ثالث يؤدي لزيادة عدد الإمكانيات ولكن مع تعقيدات مضافة للتفسير. يختلف مسح الآبار كهرومغناطيسيا عن تسجيلات الآبار التأثيرية، والتي تستعمل بتوسع خلال صناعة الهيدروكربون، بواسطة خاصية القدرة لكشف الأجسام الموصلة عند مسافات معينة بعيدة عن البئر. هذه الظواهر تستشعرها أجهزة تسجيل الحث فقط من خلال مرورها الحقيقي بالآبار أو خلال حقل قريب حول البئر شكل (14-7).



شكل (13-7): رسم تخطيطي لباعث ثنائي قطب مغناطيسي أفقي (HMD) والمتصل بالسفينة بكابل. المستقبل مصنوع من ملف متخالف اللف على قلب حديد وموضوع في إسطوانة بلاستيكية للحماية ومسحوب خلف الباعث بـ 50 متر. (شاف وآخرون 1991 Chave et al)

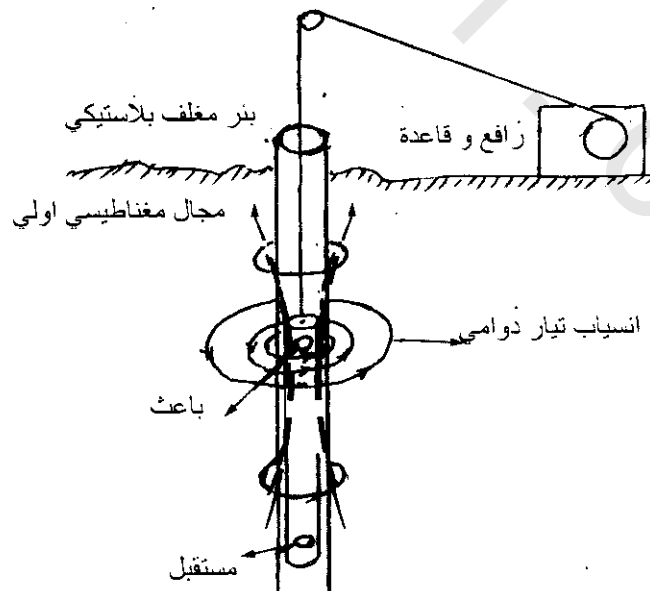
يكون أساس العمل كنفس قياسات التوصيلية الأرضية، حيث يقدر النظام لقياس توصيلية المواد خارج بئر مغلف بلاستيكي أو بئر بأقطار في مدى 5-20 سم. وتكون القياسات عادة حساسة أكثر لسوائل الآبار الأكثر توصيلية خلال الغلاف (ماكنايل وآخرون 1988 McNeil et al). يحث التيار الإضافي مركزيا حول البئر باستخدام لفة داخلية ذات بعد 0.5 متر. يمد هذا الشكل تحليل رأسى ملائم بينما يحفظ في نفس الوقت مدى إشعاعي كاف للفحص.

يوجد ثلاثة أنواع لأنظمة المسح البئر. طريقة ثنائى قطب. ثنائى قطب كهرومغناطيسى-طريقة باعث كهرومغناطيسى دوار وطريقة حلقة كبيرة كهرومغناطيسية وهذه الطريقة شائعة الإستخدام فى التنقيب المعدنى. قواعد الأشكال الهندسية لهذه الطريقة شكل (7-15)

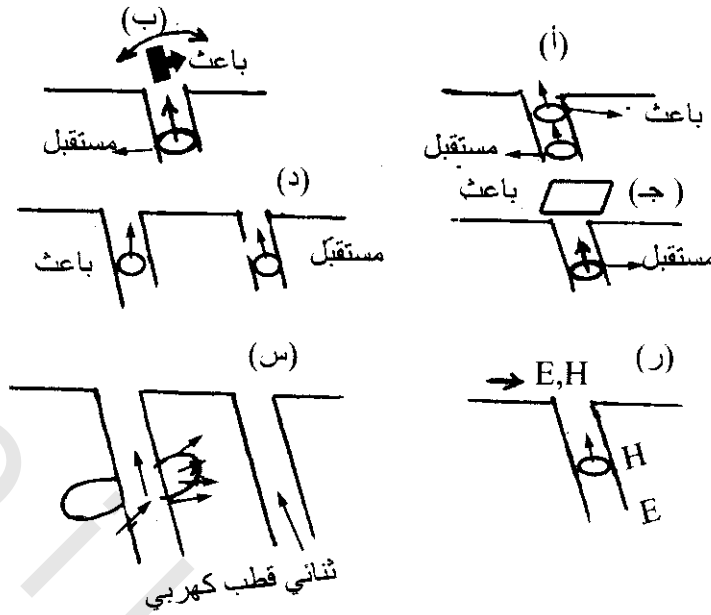
نظام ثنائى-ثنائى القطب له ملفات متحدة المحاور مفصولة بواسطة تجمع قضبان من ألياف زجاجية بباعث سابق المستقبل أسفل البئر المحفور. تؤخذ نقط القياس كنقطة متوسطة بين الباعث والمستقبل. تقاس مركبات الطور والمربعات للمجال المغناطيسى الثانوى كنسبة مئوية للمجال الأول، وذلك بنشر جهاز أسفل البئر على سلسلة من القضبان، يمكن إستخدام الطريقة فى قرب أفقى وميل أعلى الآبار، وعندئذ تحدد فقط بواسطة القدرة لحركة المسبارات خلال البئر.

يحول نظام الباعث الدوار لطريقة ثنائى القطب-ثنائى القطب، مع بقاء الباعث عند جابه الحفار خلال المسح بينما يحرك المستقبل أعلى وأسفل البئر شكل (7-16). يتحرك مسبار المستقبل أسفل البئر فى مسافات منفصلة لعدة أمتار لكل زمن. يدار سطح ملف الباعث عند كل نقطة قياس حتى وصول نقطة الصفر فى الحساس وتسجل زاوية الميل التابعة لذلك، وتشبه الطريقة تقنية زاوية الميل السطحية.

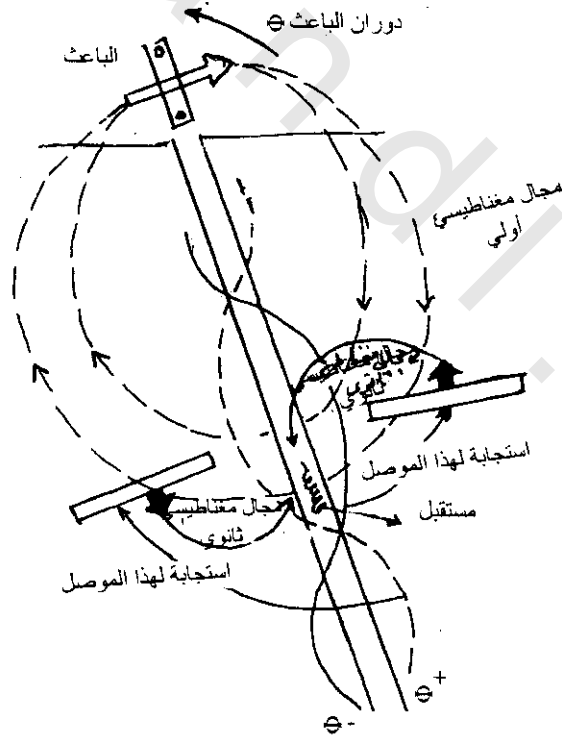
الترتيب العام لمسح الآبار يرى فى شكل (7-17) حيث تنتشر حلقة الباعث عند سطح الأرض المجاور لأسفل البئر ويحرك الكاشف للحصول على البروفيل. تتراوح أبعاد الحلقة الأرضية من 100 إلى 1000 متر وتقارن لعمق البئر المحقق فيه. يكون الحل كافياً يهدف موصل أسفل السطح بواسطة حلقة أرضية واحدة فى إتصال مع بروفيلات أسفل عدد من الآبار من السطح وذلك من خلال شرفة منجم. فى المقابل فإن شكل (7-18أ) يوضح أنه إذا كان بئر واحد ملائم فإن خاصية حلقة واحدة لاتمد بمعلومات سمّيته ضرورية لتحديد الهدف. تبعاً لذلك، توضع عدة أماكن حلقيه حول جلب البئر شكل (7-18 ب) يمكن إستخدامها لتمد بمعلومات إضافية مطلوبة.



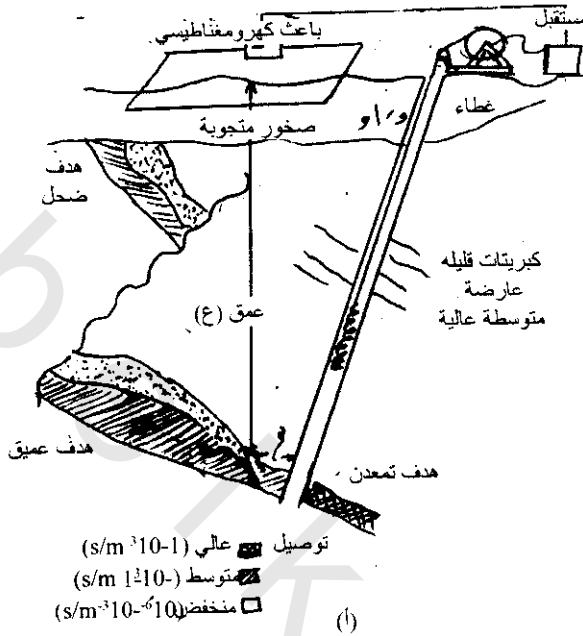
شكل (7-14): القاعدة الأساسية خلف تسجيل كهرومغناطيسية حثية لاستخدامها فى الآبار (ماكنيل 1990 McNeil)



شكل (15-7): نظام كهرومغناطيسي للآبار (أ) ثنائي قطب-ثنائي قطب كهرومغناطيسي، (ب) باعث كهرومغناطيسي دوار (يرى على الجانب)، (ج) حلقة كهرومغناطيسية كبيرة، (د) ثنائي قطب بنري كهرومغناطيسي، تغير مصدر راديو لـ (p) باعث استشعاري (مثل مصدر راديو VLE لقياسات أسفل البئر لمجالات كهربية أو مغناطيسية، س) إنتشار موجي من بئر لبئر



شكل (16-7): مجالات مغناطيسية منتجة بواسطة باعث دوار وهدف موصل . يدور ملف الباعث حول محور عمودي على مستوى الشكل الموصل اليميني للبئر ينتج مركبة سالبة للمجال المغناطيسي الثانوي عند المستقبل الموجود في البئر. دوران الباعث في اتجاه دوران الساعة (+o) يكون مطلوب لإنتاج صفر بواسطة تعادل المجال المغناطيسي الثانوي مع مركبة الأولى ، بفرض إهمال تغير إزدواج الباعث-الموصل عندما يميل الباعث (دايك 1991 Dyck)

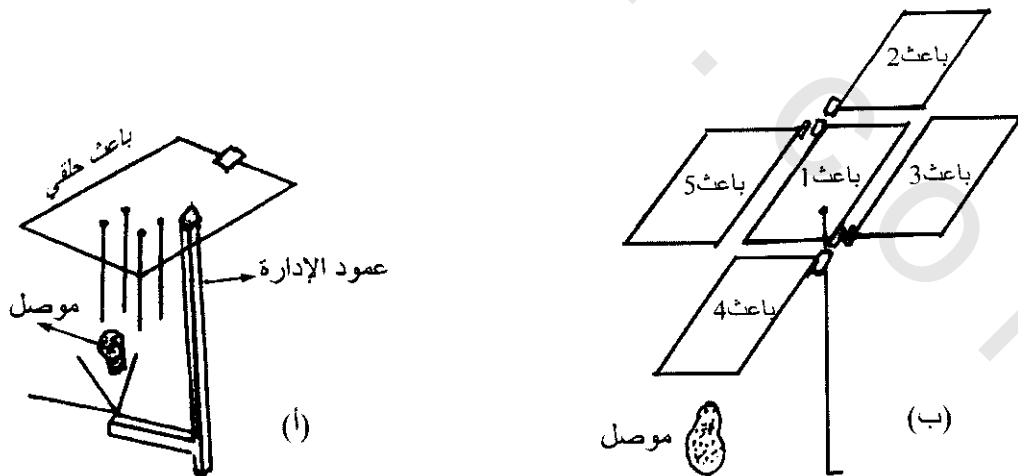


شكل (7-17): شكل تخطيطي يوضح طريقة حلقة كبيرة لحفر بئر لإستكشاف كبريتات فى بيئة مقاومة كبيرة مثل صخور ما قبل الكمبرى. يشمل النظام على باعث، وإعادة وضوح المسافة الحرجة (س) فى الإستكشاف البئر المحتمل شموله على هدف توصيلي على عند عمق (ع)، ربما يوجد أيضا أجسام أخرى موصلة (دايك 1991 Dyck)

14.7 طرق التفسير Interpretation Methods

1.14.7 طريقة البروفيل وجس العمق Profiling and Depth Sounding Method

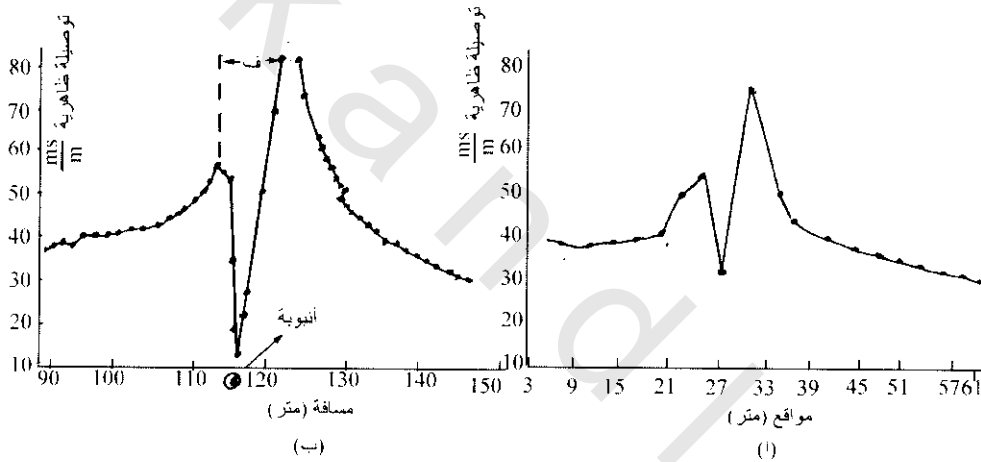
يمكن تحليل نتائج الكهرومغناطيسية بطرق عديدة مختلفة، تبعاً للهدف الذى هو فيه مطلوب. يمكن رسم المعاملات المقاسة كبروفيلات أو كشبكة ثم ترسم خرائط كنتورية والتي عليها يمكن تحديد مناطق الشواذ، وهذه تقرب الإتجاه إلى تفسير كمية والدرجة الأولى.



شكل (7-18): تخطيط مسح بواعث (أ) مجموعة من جلب حفر الآبار تحت الأرض ، (ب) بئر مفرد معزول. البواعث من 1-5 متتابعة المواقع لحلقة إنبعثات (كرون 1986 Crone)

للخرائط الاستطلاعية أو "شاذة إستطلاعية" ربما يكون التفسير الكمي لها كاف. ربما يوجد شراك معينة تحدث إهمال حيث لا توجد تسجيلات مطابقة (الإجابة) خاصة لظواهر محددة. مثلاً، يكون هناك خطأ عند استخدام نظام ثنائي الملف (مثل جيونكس EM31)، حيث ينتج الهدف قمة مفردة فقط عبر هدف موصل رفيع، وتكون الشاذة الاستطلاعية (عالية) مشحونة بخطأ التفسير.

باعتبار بروفيل موصل ظاهري نموذج منتج عبر أنبوبة غاز فلزية قطرها 10 سم مدفونة عند حوالي 1 متر شكل (7-19) فإنه يظهر وضوح لقمتين بانخفاض قوى أو حتى سالب حادثتين مباشرة عبر الهدف. يلاحظ أن المسافة (ف) بين قمتي الشاذة هي بعينها طول ثنائي القطب. دائماً تضبط مسافة القمة الداخلية، إذا أشار الإستطلاع إلى البعد الداخلي للملف المستخدم، عندئذ يكون الهدف المسبب للشاذة عند نقطة المنتصف بين الملفات. بالإعتماد على عينات مسامية نسبة إلى مكان الهدف، فربما تكون قمم وانخفاض الشاذة طفيفة العرض أو أضيق من طول واحد لثنائي القطب وذلك بواسطة اختيار عينة تكون مائلة نسبياً للهدف شكل (7-19ب). ربما تكون نفس التأثيرات أكثر خضوعاً مع أبعاد داخلية كبيرة للملفات.



شكل (7-19): (أ) شاذات توصيلية ظاهرية أفقية ملوثة بسبب عينات خاصة غير ملانمة، (ب) مثالي تأثير فلزية (أنبوبة غاز) على نتائج التوصيلية الظاهرية، المسافة (ف) تساوي البعد الداخلي للملف

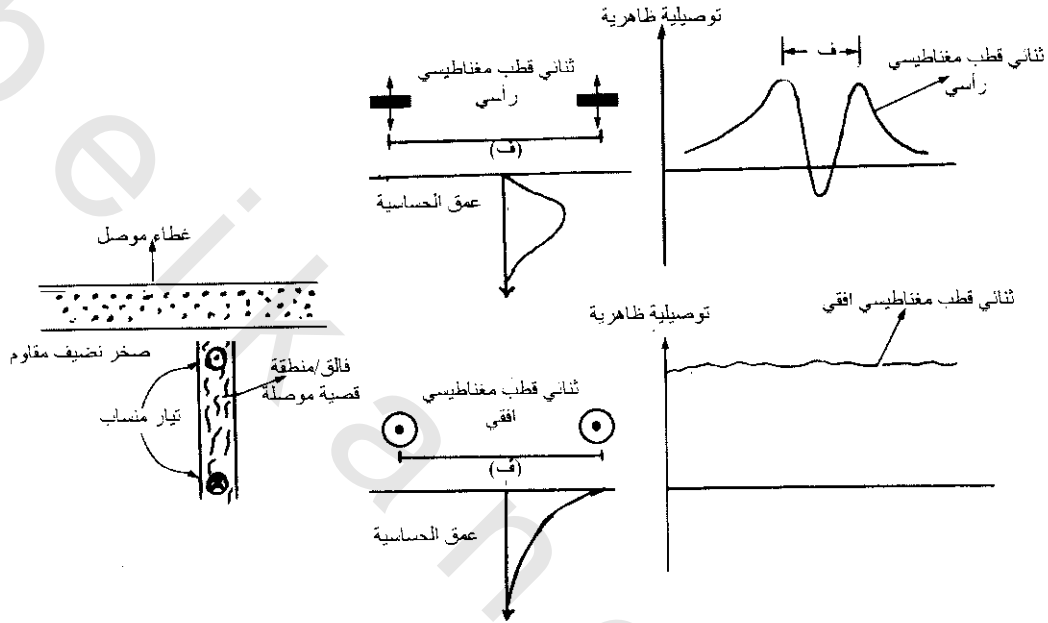
بالمثل، يعتمد جدا شكل الشاذة على كيفية استخدام إتجاه ثنائي القطب. مثال لمخارج مختلفة من كلا إتجاهات ثنائي القطب عبر موصل راسي لنفس بعد داخلي للملف شكل (7-20).

يلاحظ أيضا تأثير ملوث خاص في نتائج الشبكة. إذا كان تجهيز العينة خشنا جدا، فإن الشاذات الناتجة من اهداف (خاصة ثلاثية الأبعاد) ربما يكون تأثيرها ناعم ربما تخطى الأهداف.

2.14.7 تحليلات الحاسب الآلي Computer Analysis:

أكثر التحليلات الكمية تكفل خاصة باستخدام سوفت وير، ويمكن ذلك بواسطة تقديمين (أ) استخدام نتائج الكهرومغناطيسية لتشكيل حساب العمق عند مكان موقع مفرد & (ب) تكفل بروفيل كهرومغناطيسي على طول خط أو عبر شبكة لإنتاج قطاع جيوكهربى ذا بعدين.

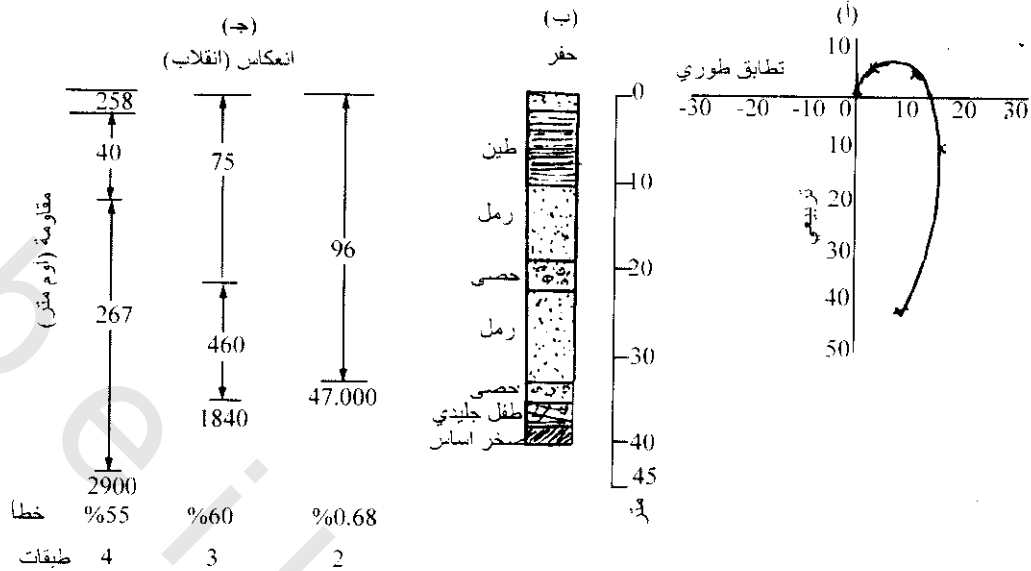
في حالة جس عمقى، يحصل عدد محدد من النتائج كدالة للبعد الداخلى للملف (والذى نفسه دالة للتردد، ويتم اختراق عمق كبير باستخدام تردد منخفض وأبعاد داخلية للملف كبيرة) وتوجيه ثنائى القطب. لهذا التفسير، فإن مدى قياس التوصيل الأرضى يعمل بواسطة استخدام أجهزة (جيونكس Geonics Ltd) ومثل هذه الأجهزة تستخدم بتوسع فى المسح البيئى والهندسى. وبنفس الطرق يمكن تفسير النتائج المحصول عليها مع أعمال أجهزة أخرى.



شكل (20-7): مثال لاختلاف فى الخروج من كلا ثنائى قطب مغناطيسى رأسى وأفقى عبر موصل رأسى لنفس بعد الملف الداخلى

إذا استخدم جهاز جيونكس M34-3 Geonics Ltd لقياس التوصيل الأرضى، والذى يكون ملائم لثلاثة أبعاد داخلية للملف واتجاهين لثنائى القطب، فإنه يعطى عدد كبير لنتائج 6 نقط حصل عليها باستخدام جهاز واحد عند إعطاء نقطة عينة. تدخل قيم التوصيلية الظاهرية المقاسة عند كل بعد داخلى للملف ومع كل إتجاه ثنائى القطب لبرنامج مثل EMIX-MM (Interpex Ltd, USA) إذا استخدم APEX Max Min¹⁻¹⁰. فإن عشرة أزواج لنتائج الطور الداخلى والمربع يمكن إدخالها إلى نفس السوفت وير. يستخدم البرنامج لتحويل النتائج لإنتاج نماذج طبقات أرضية والتي فيها يقدر التوصيل الحقيقى لكل طبقة والأسماك المصاحبة لها وتدخل للبرنامج. تحسب القيم الصناعية للتوصيلية الظاهرية لنموذج مختار ويقارن مع المرصودة حقيقيا. يضبط نموذج الحاسب الآلى أوتوماتيكيا حتى يكون الفرق بين التوصيلية الظاهرة المقاسة والمرصودة كافية لبعض معيار احصائى مثل خطأ RMS لأقل من 2%. يكون المخرج النهائى للبرنامج بروفيل لعمق رأسى-وتوصيلية حقيقية. وتساعد مقارنة الأبار لإنشاء نموذج أسماك الطبقات حيث يحصل على قيم أكثر حقيقة لموصلات طبقات حقيقية.

بينما النموذج المحصول عليه ربما يكون مناسب إحصائيا، فإن مسألة الجيولوجية السديدة مازالت مطلوبة. لنتائج APEX Max Min سلسلة لرسومات مطاورة لمنحنيات رئيسية يمكن إنتاجها حيث أن قيم عدد الطبقات والتوصيلية المقابلة لها وسمكها يمكن تقييمها من التوافق مع الرسومات التخطيطية المطورة المرصودة ويوضح شكل (21-7) مثال للتفسير.



شكل (7-21): استخدام أشكال نموذج طورية تخطيطية في تفسير نتائج كهرومغناطيسية أفقية منخفضة. (أ) نتائج ثمانية ترددات كهرومغناطيسية أفقية منخفضة باستخدام جهاز APEX Max Min. (ب) تسجيل بئر، (ج) نتائج انعكاسات مختلفة باستخدام نموذج 2، 3، 4 طبقات (بلاكى 1991 Palacky)

يكون إمتداد تفسير جس العمق بروفيل معكوس. بدلا من مجموعة نتائج الجسات فإنه يحصل على سلسلة من قيم التوصيل الظاهر لكل بعد داخلي للملف واتجاه ثنائي القطب على طول مسح خط عند فترات منفصلة. يمكن عكس بروفيل التوصيلية الظاهرية المستنتج باستخدام برنامج ميثيل لـ EMIX-MM يسمى EMIX34 (Interpex Ltd). يكون المخرج النهائي شبه قطاع جيولوجي ثنائي الأبعاد يظهر التوصيلية الحقيقية وأسماك الطبقات على طول خط البروفيل. لتجميع نتائج كافية يكون من المهم الحصول على عينات كافية لكل المكان وكدالة للعمق. ومطلوب على الأقل ثلاثة أبعاد داخلية للملفات لكلا من جسات العمق أو لإنجاز بروفيل عكسي. يمكن الحصول على نتائج إضافية مناسبة بواسطة تكملة جيونكس 34-3 Geonics EM 31 مع EM38. لابد من الأخذ في الاعتبار معايرة كل جهاز عند استخدام أكثر من نوع لنفس خط المسح للتأكد من توافقه.

3.14.7 دقة Resolution:

مثل أى تقنية جيوفيزيكية، تؤخذ دقة الإنجاز في الاعتبار. مثلا، في حالة أنظمة ثنائي الملف، تؤخذ عدة عوامل هامة لأى مسح إذا أريد أن يتم بنجاح.

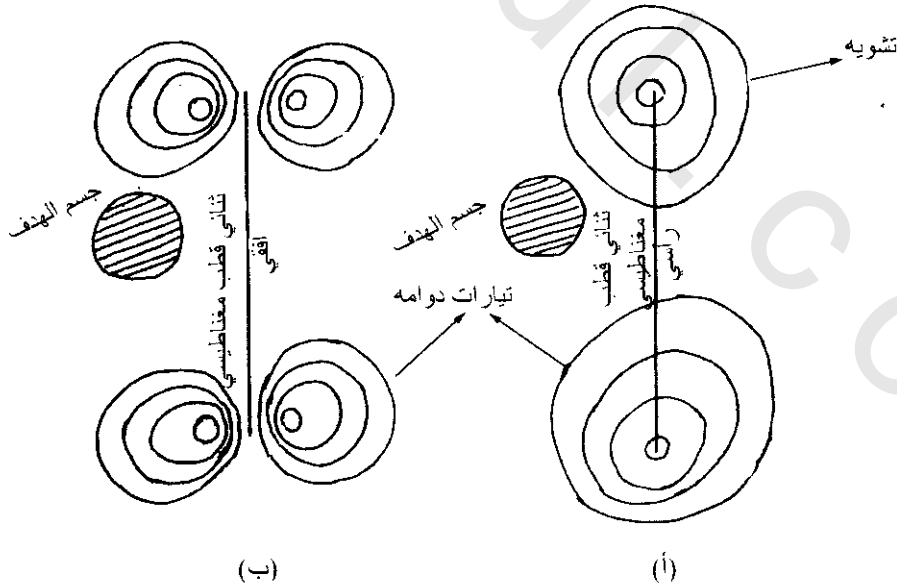
تكون جسات توصيلية العمق الأرضية والبروفيل أكثر ملائمة لتركيبات الطبقات الأفقية وتحت الأفقية حيث يكون تباين التوصيلية الرأسية بين الأفق هام. ربما، في الجيوفيزيكية البيئية والهندسية، يزداد استخدام تقنيات الكهرومغناطيسية على الأقل من مواقع مثالية.

المعيارية المعروضة سابقا نادرة التطبيق، ولمواد معقدة فإن المواقع ربما تكون غالبا ضجيج زائد عن التركيبات الأرضية. كلا من الأنابيب القديمة، الكابلات، المباني، التناكات، حواجز معدنية، أعمدة إشارة معدنية... إلخ تخفض من نوعية النتائج وتقلل من توقيتها لأى تحليل كمى، وذلك إذا كانت غير سالبة. في بعض الحالات، يمكن ترشيح تأثير خط القوى أو الأنابيب إذا كانت الشاذة تعود فقط لهذه الظاهرة التي يمكن تحديدها بوضوح.

مثلا، تؤثر أيضا الخامات المصاحبة مع تغيرات الميل، أو هوامش محتويات المواقع فى المحاجر القديمة على نوعية النتائج. يمكن تقليل هذه التأثيرات فى مرحلة تصميم مسمى إذا كان معروف وجود هذه الظواهر مقدما.

أيضا، تكون طريقة التحليل المحتملة عامل يؤخذ فى الاعتبار لإعطاء نوع من هدف تحت سطحى. ويكون الأكثر صعوبة فى الإكتشاف عندما يحيد الهدف عن أن يكون نصف-أفقى لانهائى نصف-فراغى (مثل هذا يوجد فقط فى كتب أصلية (شواهد). مثال ذلك اعتبار حالة برمى معدنى مدفون عند 2 متر فى أى أرض مختلفة التجانس. هذا الهدف يمكن تحديده سريعا باستخدام EM31 ليعطى شبكة مسح كافية تماما. بينما فى حالة إستخدام EM34-3 فربما يختفى البرمى تماما. بالمثل، هدف موصل قطره 1 م مدفون عند 10 متر يكون غير ملائم حله بطريقة الكهرومغناطيسية إذا لم يؤخذ أقصى إنتباه ويكون الموقع تقديريا خالى من الشوشرة. أكثر من هذا مسافات المحطات لتر واحد يجب إستخدامها لوقف أى فرصة من أخذ عينة قياسية خاصة.

هناك نوع ما فى تفسير نتائج الكهرومغناطيسية يعتبر موقع الهدف تحت سطحى مع مقابلة ثنائى ملفات الأقطاب. هذا يعنى أنه إذا أدير المسح بكلا ملفين مصفوفين على طول تقاطع المسح مع باعث مقابل المستقبل ورصدت شاذات التوصيل الظاهرى فإن مصدر هذه الشاذة ربما لايقع حقيقى فى خط التقاطع ولكن على أحد جوانبه شكل (22-7) هذا يجعل من الصعوبة الكبيرة تعيين مكان هدف تحت سطحى بدقة مثل مدخل المنجم. لهذا السبب فإنه غالبا لا تتفق مكان شاذة التوصيلية الظاهرية بالضرورة مع شاذة المغناطيسية التى تظهر من نفس الهدف الفلزى الموصل. يمكن أن يودى هذا الإتفاق لتفسير خاطئ وتخفى الظاهرة. للمساعدة فى تحديد تغير جانبى فى حالات أرضية يكون الإسترشاد لبعض المواقع لتدوير جهاز ثنائى الملف من كونه محاذى لجانب عريض.



شكل (22-7): رسم يوضح الاختلاف فى التيارات الدوامية (منظر مستوى) أنتج بواسطة ثنائى قطب مغناطيسى رأسى (أ) ، وأفقى (ب) (ستوير 1989 Stayer). الهدف الموصل (أو المقاوم) فى وسط مقاوم (أو موصل) سوف يشوه التيارات الدوامية حتى إذا كان بعيد عن قطاع خط المسح

في حالة EM31 يجب أن يتذكر الراصد بأن الجهاز له مطلب زمني دقيق إذا اختلفت التوصيلية الظاهرية بين اتجاهين، لذلك يسمح باستقرار الجهاز لتصحيح القيمة قبل التقدم لقياس محطة تالية. إذا تمت قياسات التوصيلية الظاهرة بسرعة شديدة، بينما الجهاز يستقر، فإنه يحصل على قيم غير صحيحة، لذلك تنخفض قيمة المسح الكهرومغناطيسي الكلي.

15.7 تطبيقات وحالات سيرية Applications and Case Histories:

1.15.7 تحديد أجسام الخامات Location of Ore Bodies:

تعتبر طريقة الكهرومغناطيسية من أهم الطرق للتنقيب عن رسوبيات المعادن. وقد كانت هذه الطريقة فعالة في تحديد كثير من أجسام الخامات الإقتصادية (فرسكشت وآخرين 1991 Frischknecht et al). أمثال رسوبيات فارو، يوكون، أو ننتاريو Faro deposit, Yukon, Ontario، ومنجم كدرك، أونتاريو Kidd Greek Mine, Ontario.

عادة لا تملك نتائج الكهرومغناطيسية تشخيص ما إذا كانت الأجسام الموصلة إقتصادية أم لا. مثال ذلك، صعوبة التمييز بين أجسام الفحم، جرافيت أو أجسام كبريتيدية نقية على قيم التوصيلات فقط. تبعاً لذلك تستخدم تقنيات جيوفيزيائية أخرى، تشمل طرق كهرومغناطيسية أخرى تضاف للتفسير.

توجد عدة حالات سيرية تصف المدى الواسع لطرق الكهرومغناطيسية في البحث المعدني وعدد آخر وصف جيداً بواسطة فيرشكنشيب وآخرين 1991 Frischknecht et al. من المهم ملاحظة أن المطلوبات الجيوفيزيائية الملائمة في بيئة جيولوجية واحدة تكون غير ضرورية بالضبط بالمثل في مناطق أخرى، فمثلاً المطلوبات الجيوفيزيائية المعنية بواسطة خليط معدني مستقل والتركيبات المصاحبة الموجودة عند الموقع المعطى، في بعض حالات أخرى ربما يكون غير ملائم لمواقع جغرافية مستقلة.

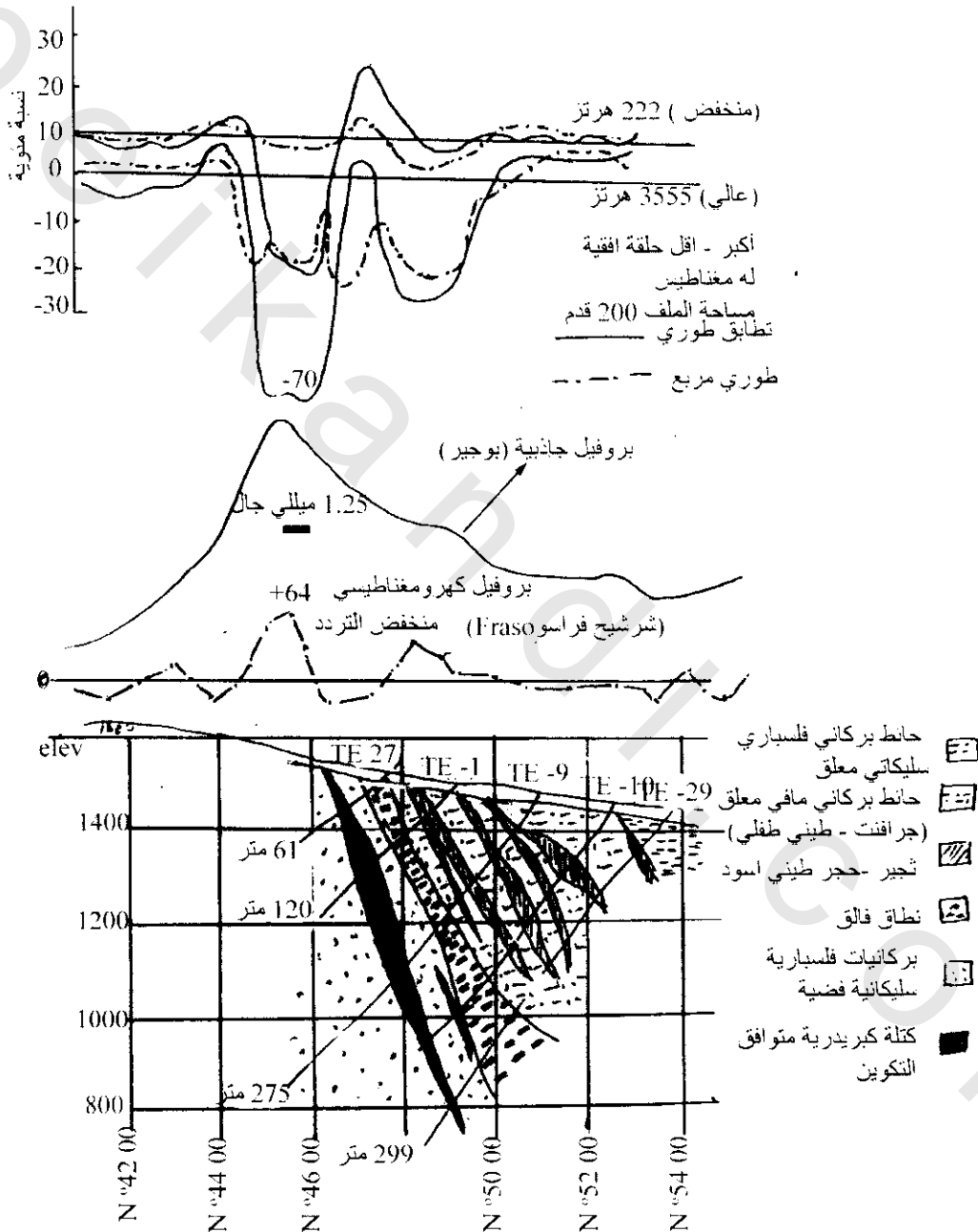
بعض الأمثلة الحقلية Some Field Examples:

1.1.15.7 المثال الآتي يوضح التقريب المطلوب للتفريق بين أنواع الأهداف. استخدمت طريقتي سلتنجرام Slingram وكهرومغناطيسية VLF بواسطة باربور ونيورلو 1982 Barbour and Thurlow في التنقيب لمناطق جرافيت طويلة شائعة في نيو فوندلاند New Found Land. بالإضافة، استخدمت طبقة الجاذبية للمساعدة للتفريق بين تواجد كبريتيدات محتملة وكتلة كبريتات رسوبية شكل (7-23). كلا من مركبات الكهرومغناطيسية التربيعية أو متطورة الطور (يعبر عنها كنسبة مئوية للمجال الأول) تقاس باستخدام حلقة أفقية لتردد عالي وتردد منخفض (VLF, VHF). 3555 هرتز، 222 هرتز هما الترددان المستخدمان ولكن يلاحظ الاختلاف الكبير بين أنواع الأهداف على قائمة النتائج للترددات العالية شكل (7-23).

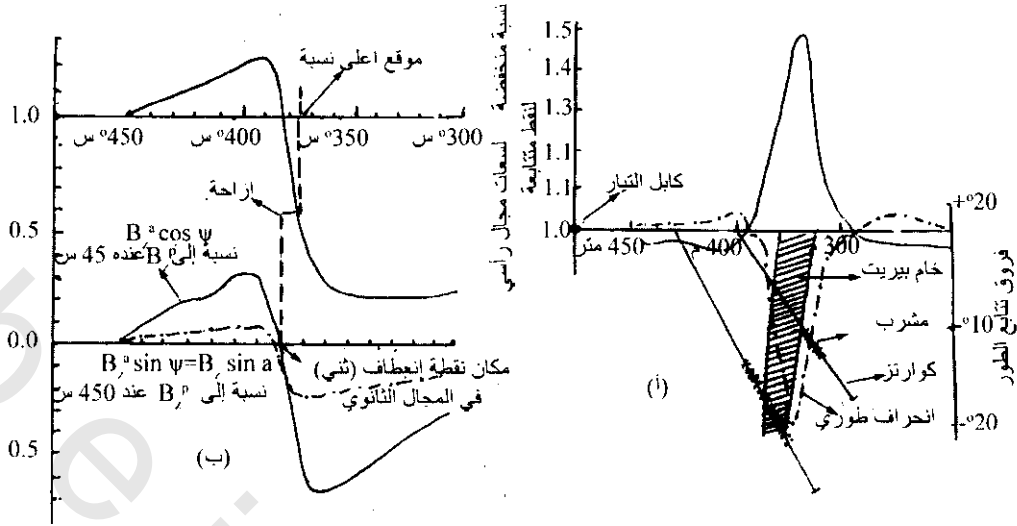
أيضاً تعطى كتل الكبريتيدات قمة في كلا من بروفييل الجاذبية وتقاطعات ترشحات فاسر لتردد منخفض جداً VLF.

2.1.15.7 ويرى المثال الثاني كيفية أهمية معالجة مناسبة للإشارة والتي بما تحدد الهدف المعدني بالضبط. يوضح شكل (7-24) بروفييل تورام Turam عبر جسم خام كيمهدن Kimheden في شمال السويد Sweden (بارازنس 1991 Paranis) حيث رسمت مركبتين، نسبة مخفضة (RR) (وإختلاف تتابع الطور) كدالة للمسافة وكلا المركبتين ترى شاذات موجبة مميزة جداً (نسبة مخفضة) وسالب (إختلاف

الطور) عبر ميل شديد لجسم خام بيريت. عادة، يؤخذ إتجاه التواجد لجسم الخام كتابع مع أعلى نسبة مخفضة وأقل إختلاف طور. عندما حسب المجال الثاني من بروفيل تورام Turam من شكل (7-24أ) وتحويل للمجال الأول للموقع شكل (7-24ب)، حلت النسبة الأكبر المخفضة بواسطة حوالي 4 متر بالنسبة للمكان الحقيقي للتيار كما ظهر بواسطة المجال الثاني. ربما يكون تناقص 4 متر في المكان قليل الإهتمام لحفر ضحل، أما في حالات الحفر العميق، فإن هذه الإزاحة تكون خطأ أو تعيين غير مناسب للهدف التحت سطحي.



شكل (7-23): بروفيلات لأكثر تردد كهرومغناطيسي وجاذبي عبر تيولكس نيوفوندلاند Tulex, New Found Lnad. ممكن تمييز كتلة الكبريتيدات عند 222 هرتز بواسطة التركيز الكبير للكبريتيدات (باربور وتيولو 1982 Barbour Thulow)



شكل (24-7): (أ) بروفييل تورام Turam عبر جسم خام كيمهدن Kimheden في شمال السويد Sweden يوضح نسبة الإقلال (RR) واختلاف تتابع الطور، (ب) المجال الثانوي المحسوب من بروفييل تورام في (أ). يلاحظ الإزاحة الخفيفة في موضع معين لأعلى نسبة أملا وكذلك نقطة الانقلاب في المجال الثانوي (بارازنس 1991 Parasnis)

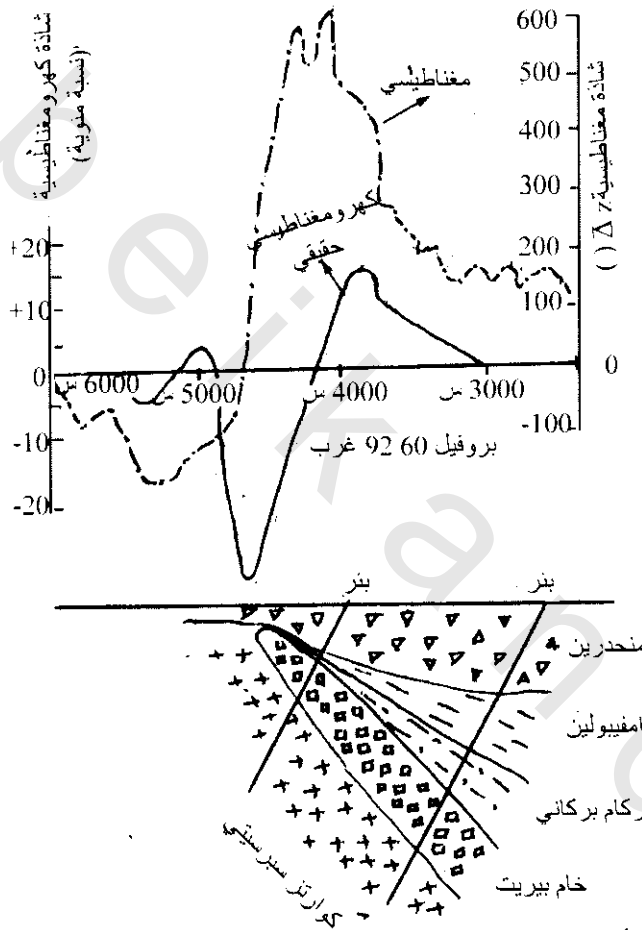
3.1.15.7 يوضح هذا المثال مساحة منجمية في شمال السويد لاكتشاف جسم خام بيريت وثق بالمساحة الكهرومغناطيسية الأرضية (بارازنس 1973 Parasnis). تم هذا المسح بنظام تساوي المستوى الأفقي بأبعاد ملف 60 متر وبتردد إثارة 3600 هرتز يرى شكل (25-7) بروفييل كهرومغناطيسي (EM) عبر جسم خام (سفانسيلي Svansele). دلت المركبة الحقيقية كما وضع سابقا على موصل جيد ممتاز (حيث أن المركبة التخيلية صغيرة جدا) والتي تشير إلى محتوى بيريت في جسم الخام. تأكدت هذه الحقيقة من قياسات عينات أبارية والتي أشارت إلى محتوى عالي من البيريت في جسم الخام. ويرى بروفييل المغناطيسية الرأسية تدرج حاد دالا على ضخالة عمق مصدر الشاذة.

4.1.15.7 أخذ المثال الرابع من تربة مدارية في حزام الحجر الأخضر من باهيا بالبرازيل Bahia, Barazil (بلاكى وسينا Palacky and Sena 1979) هذه المنطقة شديدة التجوية المدارية حيث أغلب تسجيلات الشاذات الجوية الكهرومغناطيسية تؤدي بفكرة أنها تسببت بواسطة الغطاء الموصل. وقد تم تحديد كتل أجسام كبريتية نتيجة للتفسيرات الأرضية (التي أجريت تابعا).

يرى شكل (26-7) نتائج مقاسات الجيوفيزياء الأرضية عبر منطقة موصلة ضيقة. تم عمل المسح الأرضي بنظام مضاعفة ترددات عروة أفقية. وقد وجد إتساع محيط الجسم 30 متر ويميل للشرق. ويقدر عمق الموصل على بعد 5 متر ومعامل توصيله 10 mhos تم عمل قياسات جيوفيزيائية إضافية شملت الجاذبية والإستقطاب الحثي على نفس الخط. قورن بروفييل الجاذبية المقاس مع نموذج السد المحسوب بفرض فرق كثافة 0.25 جم/سم³ فحصل على

تطابق جيد لسد عرضه 50 متر وعمق 10 متر. بعد ذلك، تم عمل قياسات الإستقطاب الحثي بتصنيف ازدواج القطب بمسافة بعده (أ) = 25 متر، وجد أن التأثير القوي للإستقطاب الحثي 90 ميلي فولت/فولت قريب مع الموصل، ولم تسجل علامة مسنولة عن الإستقطاب الحثي الذي يعود للطبقة المتجوية. بعد ذلك خطط

لمسح جيولوجى يفسر تتابعات الصخور البركانية، وقد قطع البئر المقترح على أسس نتائج الجيوفيزياء تتابع من فئات بركانى متحول مع طبقات رقيقة من كتل البيريت وبيروكسيت قليل. دلت التحليلات الكيميائية لعينات الآبار الإسطوانية على تلامس حافى من النحاس ولهذا كان تواجده غير إقتصادى.



شكل (25-7): بروفيل سلنجرام Slingram عبر جسم سفانسيلى Svansele - السويد (Sweden)، يرى تفسير مركبة كهرومغناطيسية حقيقية، وشاذة مجال مغناطيسى رأسى ونتائج آبار. الملف 60 متر والتردد 3600 هرتز (بارازنس Paraznis) 1973

5.1.15.7 استخدام الكهرومغناطيسية الأفقية المنخفضة Using Horizontal Low EM

(i) إستخدم بلاكى 1991 Palaky هذه الطريقة لفحص عبر موصل مدفون أسفل رسوبيات رباعى فى شمال-شرق أونتاريو، كندا Ontario، Canada، وذلك باستخدام جهاز Apex Max-Min (ثمانى-ترددات) ببعد ملف-داخلى 100 متر على طول بروفيل 1 كم لفراسردال Fraserda حيث قيست مركبات رباعية ومتطابقة الطور عند كل 8 ترددات. يرى شكل (٧-٢٦) مركبات رباعية ومتطابقة الطور قيست عند كل ٨ ترددات فى مجموعات رسم بيانى منفصلة. يتضح من الشكل أن المركبة المتطابقة السالبة توجد حول المحطة 600، وتبعاً لذلك فإن شاذة الشكل المنخفض تظهر كنتيجة مركبة رباعية. يكون عرض هذه الشاذة عند مستوى الصفر مكافئ لبعد الملف الداخلى بالإضافة إلى عرض الموصل، تكون صبغة هذه الشاذة الخاصة نموذجية لموصل صخر أساس ضيق شبه رأسى لمعامل توصيل عالى. فى حالة التنقيب المعدنى، فإن مثل هذه الشاذة تدل على إمكانية الإشارة لمنطقة هدف،

عكس شكل الشاذة القاعى على مربع النتائج عند 14080 هرتز حول المحطة 600 تكون هذه الشاذة ناتجة من وجود غطاء سطحى رسوبى متوسط التوصيل. تتكون رسوبيات الرباعى الموجودة محليا من تبادل وحدات طفلة-رمل بسبك 37 متر مع 2 متر من طفلة فوق 8 متر رمل، 22 متر من إنحدار جليدى، 5 متر رمل.

(ii) فى تباين للمثال السابق مثل ايضا بلاكى 1991 Palaky بروفيل الكهرومغناطيسية أفقية منخفضة (HLEM) عبر مناطق قصية مغطاة بطين كثيف شكل (7-28) على طول بروفيل 12 كم جنوب كابيو سكاكينج Kapuskasing، حوالى 80 كم جنوب -غرب فراسيردال، أونتاريو، Fraserdale، Ontario. دل البروفيل على منطقتين فصيتين حول محطات -375، -635. وقد مر مواقع الحفر عند محطة -500 خلال 35 متر كتل طينية كانت ساعات القياس لكلا المركبتين أكبر كثيرا من المثال السابق ويعود هذا لوجود طين موصل جدا. كانت النتائج الرباعية سالبة عند أربع ترددات عالية بينما مركبة التتابع سالبة عند 14080 هرتز.

كانت الأشكال المطاورة التى حصل عليها لنتائج الكهرومغناطيسية الأفقية المنخفضة عند ثلاث أماكن لأنواع رسوبية مختلفة والتى عندها كان اقتراح أماكن الآبار ملائما مع نتائج الآبار البسيطة كما فى شكل (29-7). يرى الشكل المطاور للبئر 42 (والذى يقع على البروفيل) أن التوافق بين نتائج القياس (كما دلت بواسطة علامات x فى شكل (7-29 أ) والحساب المطلوب للنموذج (خط متصل) يكون غير تام. حدد سمك الغطاء بـ 35 متر (عمق صخر الأساس كما حدد بواسطة الحفر). لنموذج طبقتين، ربما ينتج عكس عدم التحديد تفسير سمك 42 متر وقيم مقاومة 51 أوم متر للطبقة العلوية و8000 أوم متر للطبقة الأساسى. يمكن أن ينسب تقدير التناقص لـ 7 متر فى العمق لتأثير الكهرومغناطيسية المنخفضة الأفقية للمناطق القصية المجاورة.

يدل الشكل المطاور المصاحب لموقع بئر 67 (على البروفيل المشاهد فى شكل (7-26) على عمق غطاء 40 متر مع مقاومة 210 أوم متر من نموذج غير محدد شكل (7-28 ب)، وكان عمق الحفر لصخر الأساس (39 متر) قريبا جدا لموافقة النتائج المستنتجة. ربما، تكون مقاومة صخر الأساس فقيرة الحل.

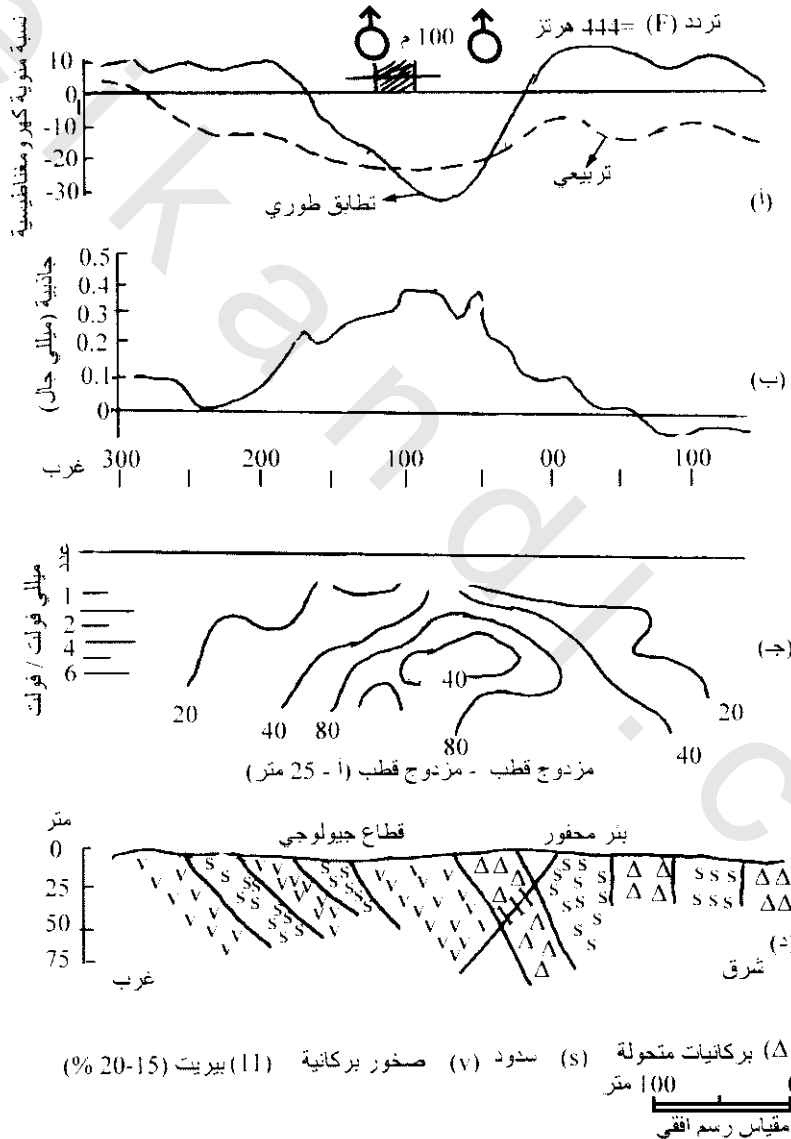
حصل على الشكل المطاور الثالث (شكل 7-28 ج) عبر رمل سميك، وعند غطاء سمكه 41 متر بمقاومة 350 أوم عبر صخر أساس بمقاومة 500 أوم متر نتج أحسن نموذج متوافق. ربما، عند قيم مقاومة كبيرة وتباين بين الطبقات صغير، فإن تحديد سمك الطبقات يصبح غير معتمد. فى هذه الحالة تم الحفر خلال 32 متر رمل وعندما انتهى حفر البئر، كان الإتجاه للتعميق قليل خلال إسك (كثيب جليدى طولى) حيث لا يتوقع طفل جليدى قاعدى.

وضحت الثلاثة أمثلة التى قدمت بواسطة بالاكى 1991 Palacky تأثيرات إستخدام بروفيل الكهرومغناطيسية الأفقية المنخفضة (HLEM) لتحديد مناطق القص والأهداف التوصيلية تحت رسوبيات الرباعى، حيث قدمت الطريقة رسومات بيانية مطاورة خاصة بأنواع رسوبيات موجودة مع مقاومات مصاحبة مختلفة. يمكن إستخدام أنواع الرسومات البيانية المطاورة للمساعدة فى التفريق بين أنواع مواد مختلفة لها فوائد واضحة فى التخریط الجيولوجى.

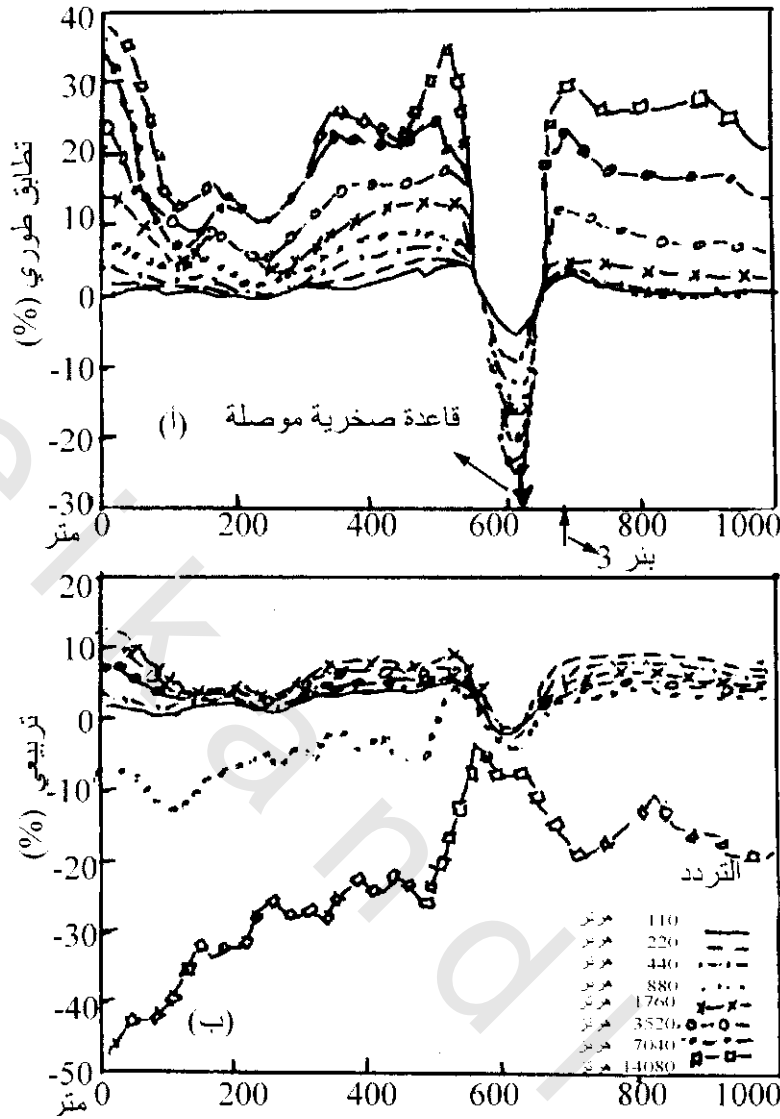
6.1.15.7 استخدام طريقة الكهرومغناطيسية منخفضة التردد جدا

Very-Low-Frequency of Electromagnetic (VLFEM):

يوضح شكل (7-30) بروفيل مأخوذ لكهرومغناطيسية منخفضة التردد جدا (VLFEM) عبر رسوبيات متمعدنة عند سورتون تورس Sourton Tors بجوار تداخل دارتمور Dartmor الجرانيتى، ديفون Devon. يرى بروفيل الكهرومغناطيسية المنخفضة التردد جدا تغير مميز فى القطبية عند حوالى 210 متر على طول خط المسح. قورن هذا الموقع بمعرفة منطقة نطاق طبقي التمعن خلال منطقة صوان/طفلة معلومة MZ. للمقارنة تم عمل بروفيلات جهد ذاتى (SP) ومغناطيسية كلية وكلا منهما أشار لشذات ملائمة حول نفس الموقع مع هدف موصل مغناطيسى مائل لإتجاه شمال-غرب.



شكل (7-26): قياسات جيوفيزيائية أرضية عبر قطاع فى تضاريس موصله لباهيا بالبرازيل Bahia, Brazil، (أ) مسح حلقى أفقى كهرومغناطيسى، (ب) جاذبية، (ج) بروفيل استقطاب مهنى، (د) قطاع جيولوجى. دلت الثلاث طرق (أ، ب، ج) على نفس عم التجانس. أخترق البئر المحفور بركانيات متحولة بأحزمة من كتلة بيريت (بالاكي وسنا Palaky and Sena 1979)



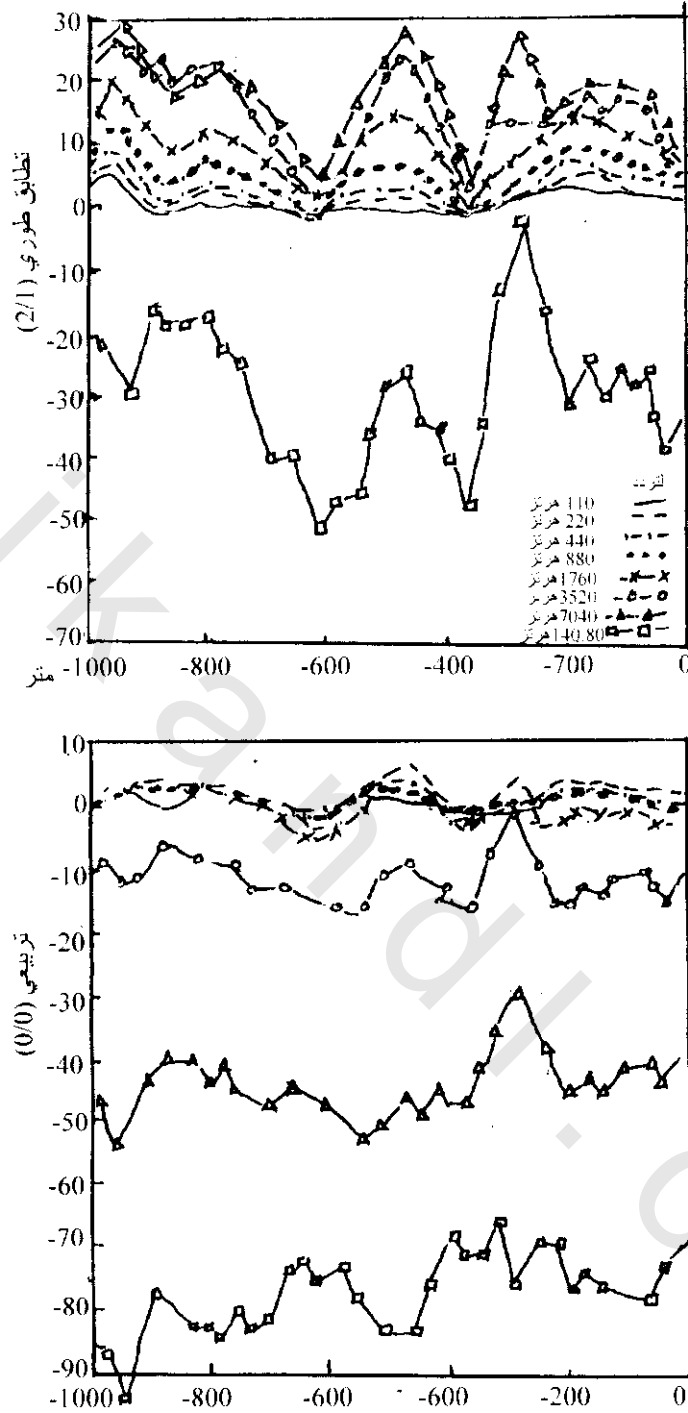
شكل (7-27): بروفيل كهرومغناطيسية أفقية منخفضة على طول 1000 متر، 20 كم جنوب فراسيردال، أونتاريو، Fraserdale, Ontario، عبر صخر قاعدة موصل (المحطة 600) مغطى برسوبيات الرباعي. (أ) نتائج تطابق طوري، (ب) نتائج تريبعية مكتسبة عند ترددات معينة، بعد الملف 100 متر وأشير لموقع البئر 3 (بلاكى 1991 Palaky)

7.1.15.7 استخدام طريقة نظام نبضات كهرومغناطيسية عابرة أوزمن مجال مغناطيسي للكشف المعدني

Using Method of Pulse-Transient EM (TEM) or Time-Domain EM (TDEM) Systems:

الكشف المعدني Mineral Exploration

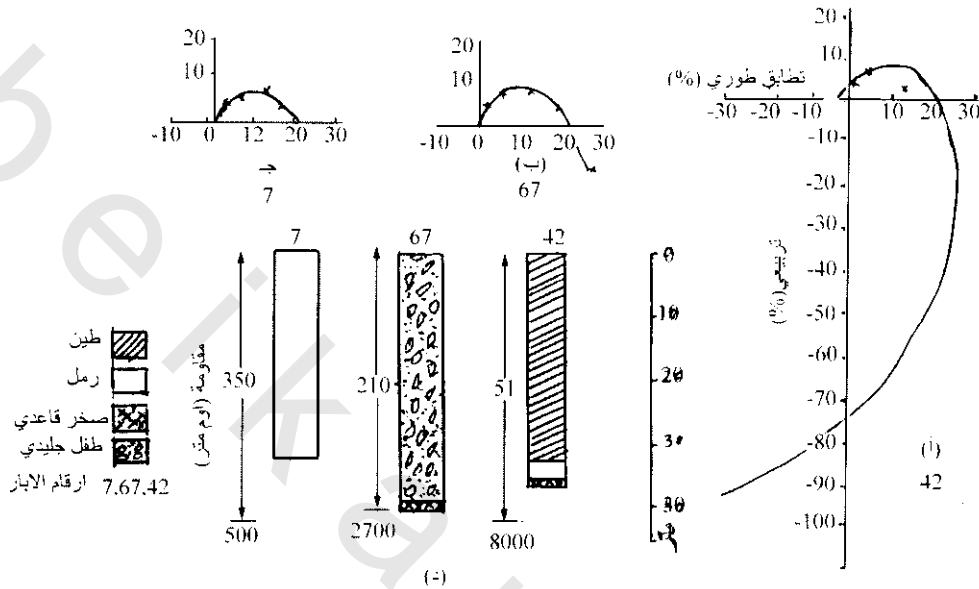
تم مسح كهرومغناطيسي عميق بواسطة كرون جيوفيزكس Cron Geophysics Ltd. لكوجيما كندا for Saskiatchewan, Canada. وكتابع لهذا المسح، وفي إتصال مع Cogema Canada Ltd. فى حوض اثابا Athabasca Basin، ساسكا تشوان، كندا.



شكل (28-7): بروفيل كهرومغناطيسى أفقية منخفضة (HLEM) عبر طول 1000 متر، 12 كم جنوب كابيوستانج، أونتاريو
Kapusksing, Ontario بنطاقات قصية مختلفة بطين سميك (بلاكى 1991 Palacky)

تقنيات أخرى، تم الكشف عن روسبيات يورانيوم ذات رتبة عالية (كرون 1991 Cron). تشمل رسوبيات اليورانيوم والتي تكون نموذجين لنوع أثاباسكا Athabasca، على أنبوبة أفقية طويلة لمقطع عرضي أقل من 100 متر لتمعدن رتبة يورانيوم عالية والتي تحدث عند قاعدة وضع حجر رملى مسطح. عامة، تكون أنبوبة

التمعدن مصاحبة لسطح التماس العلوى لتركيب جرافيت كبير شبه راسى والتي تمثله صخور قاعدة ما قبل الأركى Archaea (الحقب الجيولوجى السحيق (الأول)). إستخدم المسح الكهرومغناطيسى لتحديد الجرافيت الموصل. منطقة التماس بين صخور القاعدة والحجر الرملى تكون متحللة لأكثر من 100 متر سمك والمكونة من طفلة كثيرة والموجودة عامة فى مناطق تمعدن اليورانيم.

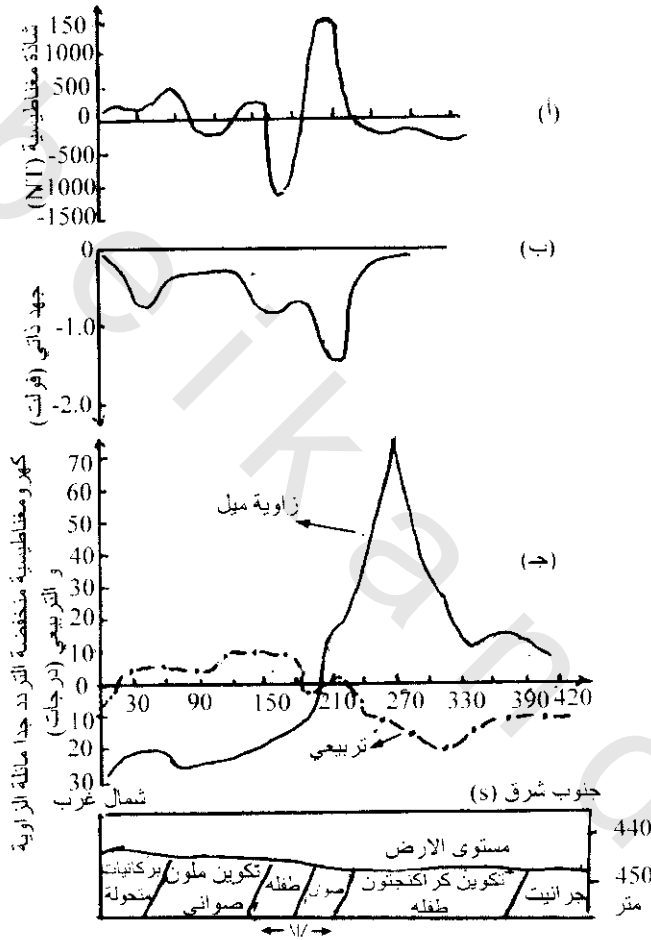


شكل (7-29): (أ- ج) رسوم بيانية طورية، (د) نتائج أبار تابعة لها، مع نماذج مستخرجة لكهرومغناطيسية أفقية منخفضة (HLEM) عبر ثلاث مواقع مقابلة لأنواع الرسوبيات. (أ) تمثل طير سميك مجاور لمنطقة قصى (لهذا يقدر الفرق فى العمق بين البئر ونموذج (HLEM)، (ب) تمثل طفلة جليدى، (ج) تمثل رمل سميك داخل (إسكر) (كثيب جليدى طولى) (بلاكى 1991 Palacky)

إستخدم فى هذا المسح حلقة كبيرة (800x400 متر) تدار بمولد قوة شكل موجى 2 كيلوات. تمت قياسات المركبتين الأفقية والرأسية بواسطة ملف إستقبال عند كل موقع مسح شكل (7-31). رشحت النتائج باستخدام مرشح فراسر Fraser لتأكيد إختيار المطلوب من التيار عند أعلى عمق وذلك خمس مرات لمسافة ترشيح المحطة، حيث إستخدمت مسافة 100 متر فى الترشيح لتعيين موقع الجرافيت بدقة. ويرى شكل (7-31 ب) نتائج المسح المرشحة. تشير نتائج المركبة الأفقية لخاصية موقع الجرافيت الموصل الدال بواسطة عقدة لمجموعة من خطوط بيانية كما فى الشكل (7-31 ج).

ليس كل كتل رسوبيات معادن الكبريتيدات هدف ضرورى جيد للكهرومغناطيسية. كمثال، رسوبيات كتل كبريتيدات نوع كيبوريوس Cyprus والذي يحدث كتمعدن سليكات محللة فى وسائل حممية محللة، تمثل عوامل فيزيائية صغيرة جدا مع الصخور المضيفة. فشل إستخدام تجارب نبضات كهرومغناطيسية TEM عبر رسوبيات معدنية معروفة لإكتشاف أجسام الخامات (كوبر وسويت 1994 Cooper & Swift). حتى فى إستخدام الحث القطبى، يميز فقط إمتداد الشحن الحقيقى بين تركيبات سليكاتية عالية وأهداف تمعدن. إذا وجد إمتداد شحن فإنه يكون معامل تنقيب لايعتمد عليه. للبحث عن وجود إمتدادات محلية لبيريت مختفى الإنتشار، فإنه تستخدم شادات كهربية التمدن لمسح قياس نموذجى مثل التى تستخدم فى التنقيب المعدنى. بما، وبالرغم من نقص النجاح

المباشر للكهرومغناطيسية النبضية فى تحديد أجسام الخامات فإنها تستخدم للمساعدة لتحديد تفسيرات جيولوجية (فوالق، تحديد أسماك ليثولوجية، إتجاهات... إلخ) والتي بدورها تستخدم لإنشاء تركيبات ثلاثية أبعاد المنطقة المعطاه (كوبر وسويقت 1994 Cooper & Swift).

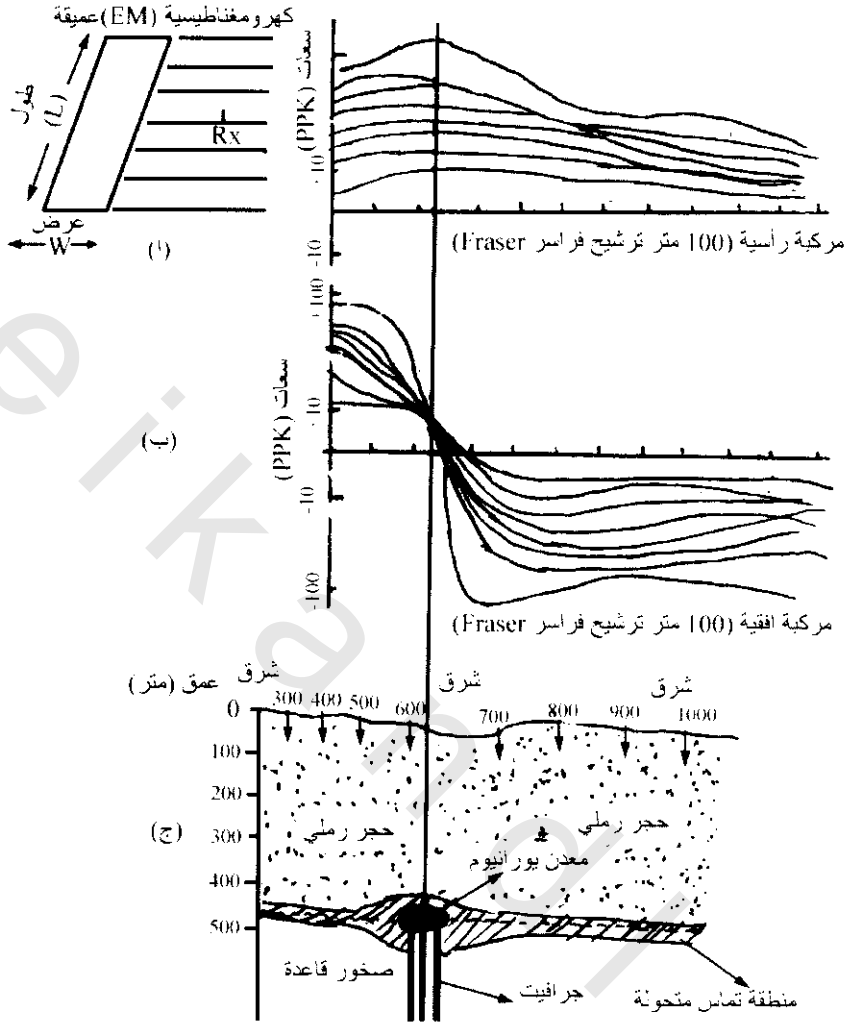


شكل (7-30): بروفيلات جيوفيزيائية مختلفة عبر رسوبيات متمعدنة عند سورتون تورس، ديفون (Sourton, Tors, Devon). (أ) مغناطيسية كلين (نان توسلا). (ب) جهد ذاتى وفولت، (ج) كهرومغناطيسية منخفضة التردد، (د) قطاع جيولوجى

2.15.7 استخدام طرق الكهرومغناطيسية لاستقصاءات المياه الأرضية

Using EM Methods for Groundwater Investigations:

أمدت الطرق الكهرومغناطيسية بقوة بمجموعة من أجهزة بحث هيدروجيولوجى منذ 1970. أعيرت نفس الأجهزة للاستخدام البينى حيث تباين معاملات التوصيل تكون كبيرة ولكن يكون سطح الأرض عائقا للاستخدامات البسيطة لطرق المقاومة الكهربائية بسبب المقاومة العالية للسطح مثل الذى يوجد فى مناطق جافة جدا. فى هذه الطريقة يوجد تقريبين أحدهما لنظام الاستقصاء العام للمياه الأرضية حيث تحفظ المياه الأرضية خلال طبقات حاملة للماء. والتقريب الآخر للبحث خلال تشققات صخر الأساس والتي يكون احتواءها صغير. ولكنها خزانات ملائمة يمكن استخدامها لمياه صالحة للشرب. عامة، تستخدم طرق مجال التردد الكهرومغناطيسى لتخطيط بحثى قرب السطح خلال الاستقصاء الهيدروجيولوجى. وللبحث العميق تستخدم طرق كهرومغناطيسية النبضات العابرة (المؤقتة) TEM.



شكل (31-7): (أ) تشكيل مسح كهرومغناطيسي عميق، (ب) ساعات إستجابة لكلا من المركبتين الرأسية والأفقية، (ج) قطاع جرافيت موصل في حوض أثاباسكا Athabasca عند عمق 450 متر (كرون 1991 Crone)

1.2.15.7 استخدام أنظمة كهرومغناطيسية النبضات الموقّعة للبحث عن المياه

Using Pulse-Transient EM (TEM) in Groundwater Investigations:

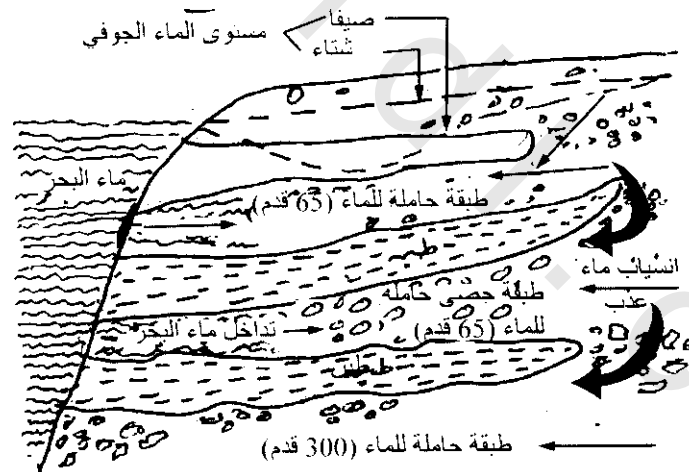
ربما أدى التقدم خلال عام 1980 لنظام (TEM) لزيادة استخدامه في الهيدروجيولوجي، إحدى ميزات هذا النظام أن أحجام حلقاته صغيرة وملامحه، لذلك يمكن عمل قياسات على مواقع مثل فراغات عامة مفتوحة وحقول رياضية والتي ربما يمنع حجمها استخدام الجسات الكهربائية. أكثر من هذا، في المناطق السكانية والمحاطة بشوشرة ديناميكية عالية، فإن قدرة تجمع الإشارة للأنظمة الرقمية الحديثة تساعد على تحسين إشارة نسبة الشوشرة ونستخلصها من جميع الإشارات الهامة من خلفية الشوشرة.

زادت تطبيقات قياسات TEM فى تخريط الحد الفاصل بين المياه المالحة والعذبة فى مناطق السواحل. من أحسن الحالات السيرية وصفا للتطبيق الفى فسر بواسطة ميلز وآخرين Mills et al 1988، هوكسترا وبلوهم Hoekstra and Blohm 1990. يصف شكل (32-7) تخريط لأربع طبقات حاملة لمياه متراكبة، حيث تشمل طبقة حاملة للمياه العلوية والتي فيها المياه الأرضية ملوثة جدا بواسطة الأسمدة، 60 متر سمك طبقة حاملة للماء التى فيها يخترق الماء المالح أقل بعد، وعند زمن المسح، وجد أن الطبقة الحاملة للماء الغير ملوث بواسطة ماء مالح هى الأعمق. يسبب تتابع ترانس الطبقات الحاملة للمياه الملوثة صعوبة اختراق الطبقة الأعلى والأكثر امتدادا والمتداخلة ملحيا لإكتشاف الطبقات السفلى الأخرى. لمثل هذه النهاية يستخدم نظام TEM ذى حلقات إنبعثات 100x100 متر لتخريط عمق 60 متر طبقات حاملة للماء، ولطبقات أعمق تستخدم حلقات انبعثات 200x200 متر.

بالإضافة للتفسيرات السابقة فإنه من نتائج مراقبة الآبار بالمنطقة واستخدام نظام TEM العميق فإنه امكن تخريط لتوزيع تركيز الكلوريدات على أعماق 60، 135 متر.

2.2.15.7 تطبيقات بيئية Environmental Applications

تم عمل قياسات توصيلية فى 1987 على طول سلسلة من مقاطعات شكل (33-7) بأجهزة GCM المصنوعة بواسطة شركة جيونكس Geonics (EM31, EM34) أنتجت خريطة توصيلية الظاهرية لكل جهاز وبعد ملفى (تشكيل ثنائى قطب مغناطيسى) شكل (32-7، ii, iii, iv). لإزالة تأثير ظواهر التوصيل القريبة من السطح فإن قيم



شكل (32-7): قطاع تخطيطى هيدروجيولوجى فى وادى ساليناز، كاليفورنيا Salinas, California (هوكسترا وبلوهم) (Hoekstra & Blehm 1990)

المقاومة الظاهرية الناتجة من إستخدام أبعاد ملفات 20، 40 متر عولجت بإستخدام تقنية وصفت بواسطة ماكنيل McNeill 1985. إزدوجت قيم التوصيلية الظاهرية المقاسة بإستخدام بعد ملف 40 متر وطرحت منها قيم التوصيلية الظاهرية المقاسة بإستخدام بعد ملف 20 لتعطى قيمة توصيلية ظاهرية جديدة والتي استخدمت أيضا فى تشكيل الخريطة شكل (32-7، v) ويمكن ملاحظة أن الشذات المرئية فى الخريطة من النتائج المعالجة تكون أكبر حدة فى كلا من خرائط التوصيلية الظاهرية لكل من الملفين مفردين. يرى شكل (32-7، vi) التفسير النهائى

للنتائج، تدل منطقة أ على قيم توصيلية خلفية عادية، هذه القيم (150-200 m/ms) تكون عالية ولكن مناسبة لنوع تربة الموقع الإقليمي والمعروف بإحاطة ملحية عالية. توجد القيم العالية التوصيل الظاهري ($m/ms < 400$) بجوار برك 1، 2 (منطقة ب في شكل 7-32vi). وفسرت الحافة الأمامية لتجمع التلوث حيث قيم التوصيلية الظاهرية المقاسة باستخدام بعد ملغى 40 متر تنحرف إلى القيم الخلفية، هذا يدل على أن مقدمة التجمع يكون حوالى 350 متر إلى الشرق منصرف سان لويس San Luis تشير شاذة ج إلى تربة عالية الملوحة وبمقارنتها بمنطقة واضحة على خريطة جوية في أثناء فصول ممطرة تبين أنها منطقة متقاطعة من الرمل والغرين. منطقة د جزء من تجمع ملحي محبوس بمنطقة مجاورة مباشرة لأرض صرف، وحددت منطقة منخفضة التوصيل (منطقة ر) بجوار البركة 1. هذه المنطقة لها تأثيرات لتجمع ملحي مخفف بواسطة مياه أمطار محلية كما أن مياه الصرف لم تضاف للبركة 1 خلال العامين السابقين للمسح. حيث أن منطقة س منطقة إحتراق توصيلية عالية عميقة، ولذلك تكون منطقة تجمع لمياه ملوثة والتي بقيت من مياه ملحية وصرف قبل 1985. تظهر المنطقة ص والمغطاه نباتات غير عادية بسبب ظاهرة توصيل قرب السطح وليس لها علاقة لتجمع التلوث ولكن من المحتمل أنها السبب لتملح التربة المحلية.

3.15.7 استخدام الكهرومغناطيسية لكشف الكهوف تحت سطحية

Using Electromagnetic Methods for Detecting Underground Cavities:

1.3.15.7 أنظمة الموجة المستمرة (CW) Systems:

أثناء البحث الكبير لتاريخ الإنسان البيولوجى فى الشرق، إستخدم على وجه التقريب مقياس التوصيلية الأرضية جيونكس Geonics EM-31 كجزء من دراسة الآثار عند باب دهره بالأردن Bab Dhra, Jordon (فروهلتنس ولانكستر 1986 Frohlich and Lancaster)، وكان الغرض من العمل تحديده بيان حالات مداخل وحجر الدفن. ويوضح شكل (7-34) مثال لبروفيل توصيلية ظاهرية والذي عبره اكتشف مدخل وحجرتى الدفن. وحيث أن الغرفة شيدت بالطين، لذلك لوحظ ارتفاع طفيف للتوصيلية الظاهرية، أما بالنسبة لخلفية القيمة، رصدت مقاومة ظاهرية منخفضة حيث أن الحجرة مملوء هواء. بواسطة تخريط موقع الحفر بجهاز EM-31، عينت مناطق شاذات مختلفة. أختبر منها سبعة أماكن بواسطة الحفر المباشر، وجدت جميعها مملوءة بمداخل قبور عرضها حوالى 1.5 متر وعمقها حوالى 2 متر.

وحيث أن الكهوف كبيرة بالنسبة لعمقها ويوجد تباين كهري جيد بين الكهوف والمواد المضيفة، لذلك فإن هذه الظاهرة يمكن إكتشافها بسهولة. ربما توجد كهوف صغيرة بتباينات قليلة فى التوصيلية مدفونة عند عمق غير ملائم للتحليل.

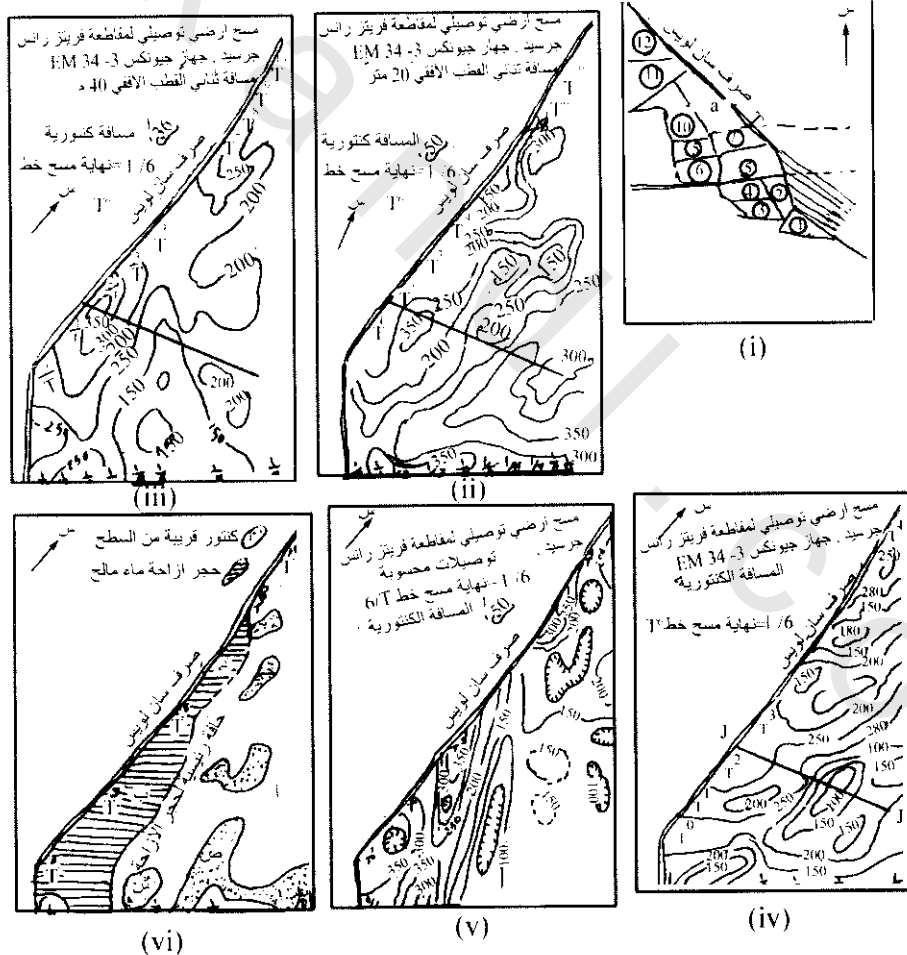
2.3.15.7 استخدام نبضات كهرومغناطيسية عابرة لتخريط الفجوات تحت سطحية

Using Pulse-Transient EM (TEM) for Mapping Sub-Surface Voids:

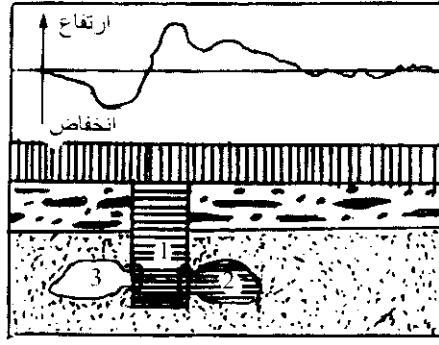
استخدمت هذه الطريقة فى التنقيب عن سلسلة من فجوات هابطة على طول مصدر ينابيع أليس Alice والذي اقترح لإنشاء خط حديد داروين Darwin عبر حوض ويسو Wiso شمال مقاطعات استراليا Australia (نلسون وهاي 1970 Nelson and Haigh). توجد الفجوات الغاطسة معروفة جيدا فى هذه المنطقة ولكن

السقوط المفاجئ لجزء من طريق بيوشانان Buchanan السريع فى فجوة غاطسة فى 1982، ألقت الضوء على خطر هندسى وحينئذ طلب سرعة عمل تنقيب قياسى كبير.

أختبر مدى تأثير طرق جيوفيزيائية مختلفة عبر التضاريس والتي كانت موجبه وغير منتظمة، ومغطاه بتربة لاتيرائيه (غنيه بالأوكسيدات). ومن البديهي فإن الهواء المالى للفراغات يسبب شاذات المقاومة، ولكن التباينات الموجودة قليلة الكفاية لأن الطرق لاتعتبر عملية لمتطلبات تغطية امتداد للأرض على طول أساس طريق السكة الحديد المقترح. ربما، أشارت حوائط وأرضيات الوديان المعروفة على احتوائها بمواد غنية بالطين الموصل كهربيا. أكثر من هذا، فإن تكوينات الفجوات المطموسة المعالجة بحقن من السليكا والتي تنتج أنابيب أو تركيبات بالترشيح، فإن التجويه تسبب ثقلا فتات محلل يكون أيضا مميز بالتوصيلية. تبعا لذلك فإن نوع الهدف الذى من أجله تختار الجيوفيزياء والذى لا يكون أكثر وضوحا بديها "كحراث للأرض"، ولكن تكون التوصيلية الثانوية هى الهدف. فى الحقيقة، لاتكون TEM ملائمة للفراغات المملوءة هواء بسبب سرعة إنتشاره خلال الفراغات وتكون رتبة هذه السرعة كسرعة الضوء. بالمثل هذه الظاهرة تشبه ظواهر ترشيح السليكا أيضا والتي تسبب دلالة وشاذات ملاحظة على تأخرات الزمن بالنسبة لتخفيف السعة والمحتوى الطيفى للموجات السيزمية.



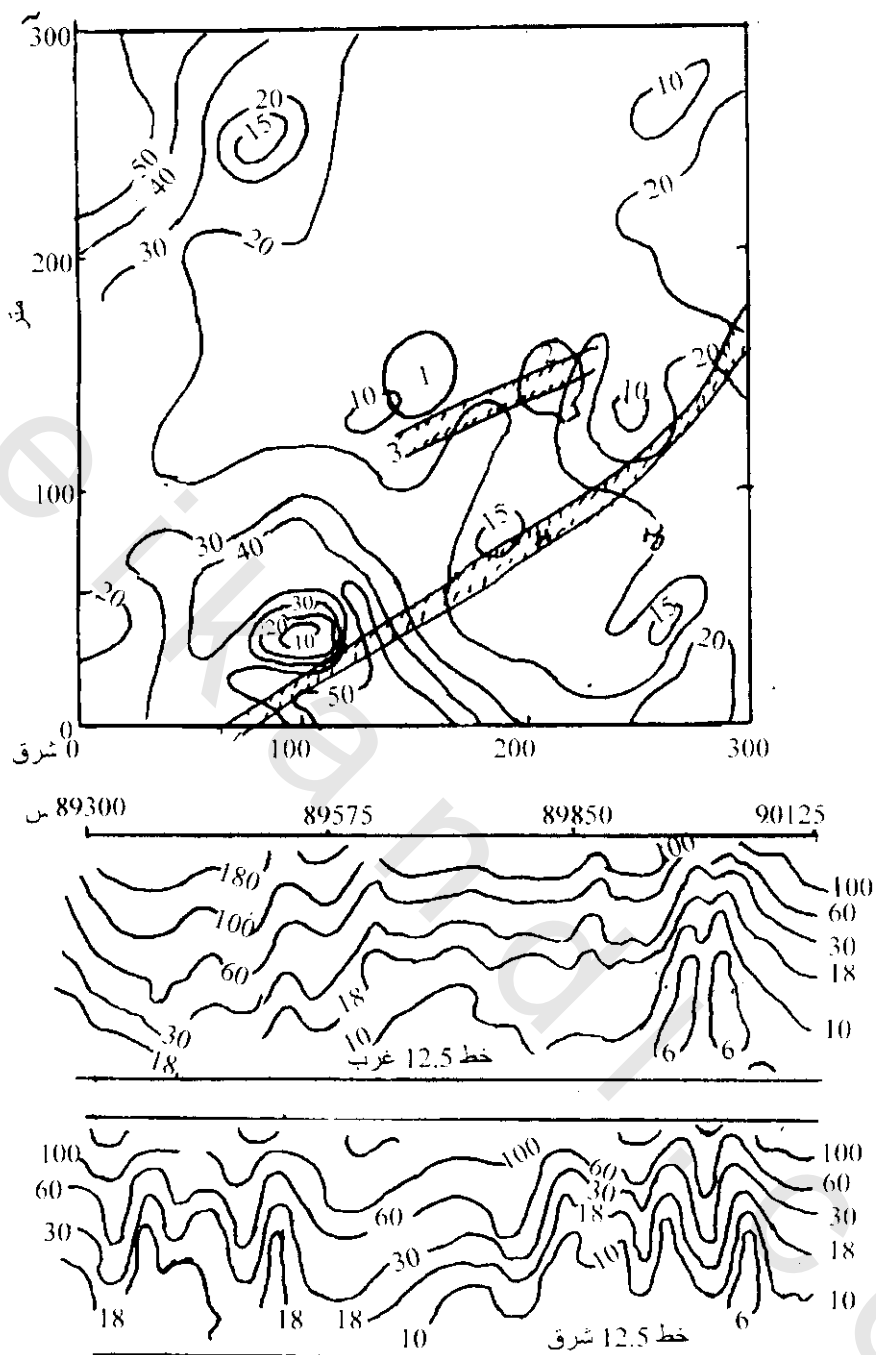
شكل (33-7): (i) خريطة الموقع ، iv-ii خرائط خطوط متساوية التوصيل، v خطوط متساوية التوصيل محسوبة، vi خريطة تفسيرية عند كسترتون، كاليفورنيا Kasteron, California (جولدشين وآخرين Goldstein et al 1990)



شكل (7-34): بروفيل توصيلية ظاهرية عبر مدخل مقبرة عند باب دهره Bab-Dahra بالأردن Jordan. يؤدي المدخل 1 إلى حجرات الدفن 2 ، 3 لرفع قيمة التوصيلية الظاهرية. يصاحب الحجرة الطينية 2 ، والحجرة 3 المملوءة هواء توصيلية ظاهرية متوسطة ومنخفضة بالتتابع (فورهلتنس ولانكستر 1986 Frohlich and Lancaster)

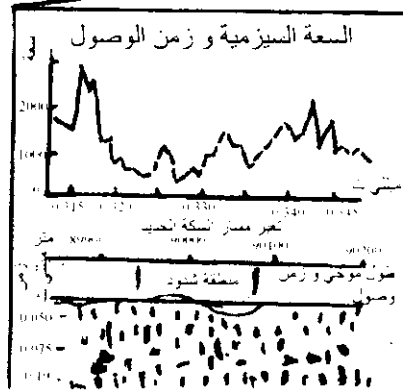
تبعاً لذلك تقرر أن طريقة حلقة تطابق SIROTEM هي الأحسن للتوافق السريع مع المسح السيزمي المستخدم عبر ظواهر معينة. وقد فسر نيلسون هاى Nelson and Haigh 1990 العمل السيزمي، بالإضافة لتفسير طريقة SIROTEM من عدة إختبارات مساحية أن طريق بيوشنان Buchanan الواقع غرب طريق سيتورت Stuart السريع عبارة عن نطاق كبير لتكوين وادى وذلك بواسطة مسح SIROTEM. دلت التواجدات العامة لتفسير SIROTEM أن الجيولوجيا المحلية تتميز بواسطة عمومية تساوى توزيع المقاومة، بمقارنة ظاهرية في مدى 50-100 أوم متر، وبميل خفيف مكونة طبقات تركيبية. في المقابل وجد أن المساحات المتأثرة بواسطة الوديان لها تموجات مقاومة جانبية أعلى من 20 أوم مع عدم تجانس هندسى معقد ظاهر. يوضح شكل (7-35) خريطة لقيم مقاومة ظاهرية حصل عليها باستخدام نظام SIROTEM لجزء من منطقة مختبرة معروف بها وجود وادين.

يرى شكل (7-36) منا نتائج مركبة من زوجين SIROTEM عرضين بأبعاد 25 متر ككتنورات تظهر قيم المقاومة الظاهرية. يتضح نطاق شاذة معقدة بين 90° شمالاً، 20° شمالاً على كلا العرضين، بالمقارنة مع شكل الشاذات عبر الوديين، تميز هذه الشاذة منخفض دائري منبسط (نوع من التضاريس النموذجية للحجر الجيري أو الجبس بواسطة الذوبان). أيضاً تتوافق شاذة SIROTEM مع تفسيرات نتائج السيزمية المنكسرة في فترة اضمحلال السعة وتأخر فترات الزمن عبر الظاهرة الشاذة. أمدت هذه المقارنة المزدوجة لنطاق الشاذة بزيادة الثقة في جميع التفسيرات. وقد ساعدت سلسلة من مواقع الآبار الملانة لإختيار النماذج الجيومورفولوجية لتكوينات هذه الظواهر. أدى الإعتبار لهذه الظواهر لمعرفة هندسية كبيرة عبر امتداد كبير جداً لأرض الإقليم الشمالي بأستراليا Australia.



شكل (7-35): خريطة شاذة مقاومة ظاهرية SIROTEM عبر جزء من موقع اختيار طريق بيوشنان Buchanan السريع. الأقليم الشمالي، استراليا Australia 1، 2 منخفض دائري لنوع من التضاريس النموذجية لحجر جيري أوجيس بواسطة الذوبان (Sinkhole) 3، 4 طريق بيوشنان Buchanan السريع المحول، (نلسون وهاي Nelson and Haigh)

1990



شكل (36-7): توافق حلقى 25 متر لـ SIROTEM لشبه قطاعات مقاومة ظاهرية على طول خطين على بعد 25 متر لكلا جانبي خط مركزى لخط سكة حديد مقترح عند طريق بوشنان Buchanan السريع. السعة السيزمية وقطاعات الشكل الموجى عبر مناطق شاذات STROTEM تتفق مع احتمالات لهذه المنطقة تدل على تضاريس منخفض دائرى لحجر جبرى أوجيس تكون بواسطة الذوبان

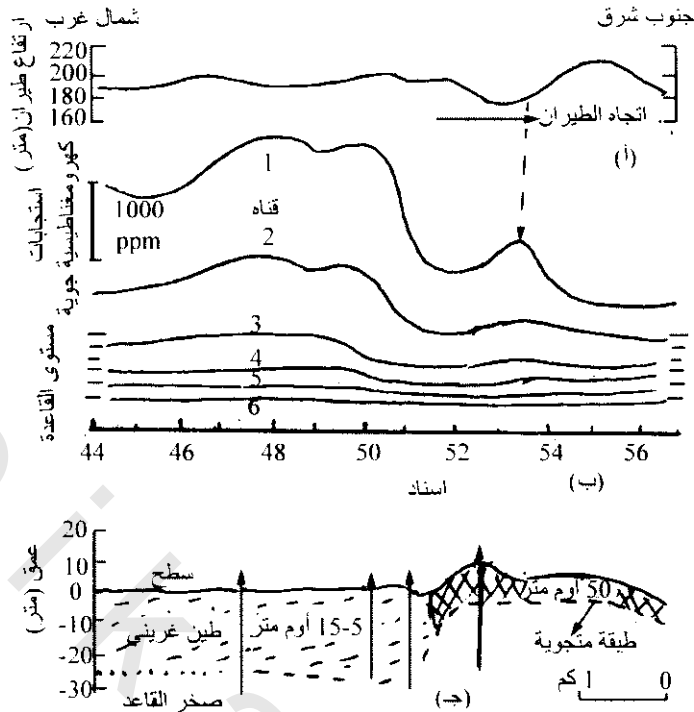
16.7 التخطيط الجيولوجى باستخدام المسح الجوى الكهرومغناطيسى

Geological Mapping using Airborne EM:

فى عام 1983 وصف هيونج وبلاكى Huang and Palaky 1991 استخدام المسح الجوى الكهرومغناطيسى لتخريط جيولوجى فى دونجلنج، منطقة أنهيو، الصين Dongling, Anhui province, China. إستخدم فى هذا المسح نوع نظام Input المصنع فى الصين.

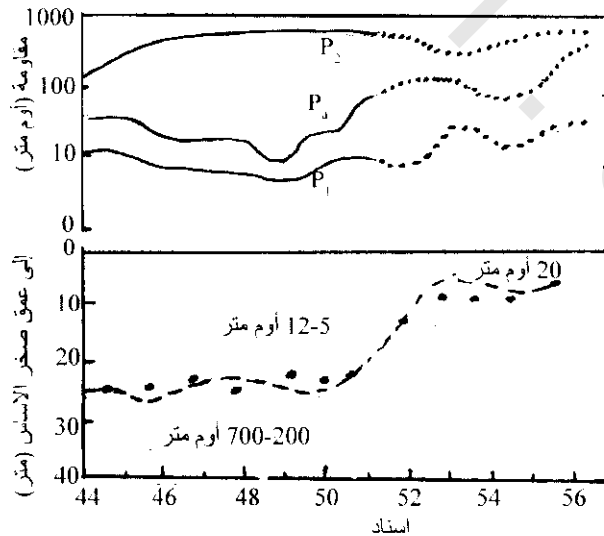
تعرف المنطقة الممسوحة باحتوائها على تمعدن رصاص وزنك المتكون بنوع الإحلال فى حجر جبرى ميزوزوى. كان هدف هذا المسح تحديد أجسام معدنية غير معروفة مسبقا وتحديد سمك الطين النهري فى نهر Yangtze وامتداد التجويه فى مساحات أسفل صخور الميزوزوى، وكانت مسافات خطوط المسح 500 متر مع إتجاه خط طيران شمال غرب - جنوب شرق.

يرى شكل (37-7) نتائج المسح الجوى الكهرومغناطيسى والقطاع الجيولوجى المقابل مع خط قياس الإرتفاع، وقياس السعات عند 6 قنوات مع الإشارة لقاعدة المستويات لكل منهم، والعلامات الإسنادية كانت لمسافات 500 متر. أستنتج القطاع الجيولوجى من إستكمال نتائج أبار. يظن أن القمة الملاحظة على نتائج الكهرومغناطيسية الجويه عند الإسناد 54 للقنوات 1، 2 (أسهم) أنها بسبب التغير فى إرتفاع الطيران، وتعود شاذات الكهرومغناطيسية الجويه الظاهرية على الزمن المبكر للقنوات إلى الطين النهري الموصل. مقاومة المواد الجيولوجية المحلية المأخوذة من جسات الكهربية الأرضية للطين النهري لها مقاومة تتراوح من 5-15 أوم متر، والمواد المتجويه تصل مقاومتها إلى 50 أوم متر مع طبقة الميزوزويك السفلية والتي لها مقاومة من مئات إلى آلاف الأوم متر. تشاهد النتائج المقابلة لنفس البيانات فى شكل (38-7). إشتقت المقاومة الظاهرية (ρ_a) من انعكاسات بيانات الكهرومغناطيسية الجويه من جميع الست قنوات بغرض نموذج متجانس نصف الفراغ. تزيد العلامة للمقاومة الظاهرية بالقرب من السند 51 حيث تكون مصاحبة للانتقال من الطين النهري إلى ترسيبات الميزوزويك. يدل الرسم البيانى للمقاومة (المنقط) على نتائج قليلة مناسبة بسبب مستويات الشوشرة العالية خلال النظام.



شكل (37-7): (أ) مسح مقياس خط ارتفاع الطيران للمسح الكهرومغناطيسي عند دونجلنج، أنهيو، الصين، Dongling, Anhui, China (ب) استجابات الكهرومغناطيسية الجوية عند 6 قنوات مع مستويات قاعدة لكل قناة مع اسناد أرقام ثابتة، (ج) قطاع جيولوجي مستنتج من نتائج الكهرومغناطيسية الجوية ومعلومات آبار مع الإشارة لمقاومات مواد ظاهرية (هونغ بلاكي 1991 Hunang and Palaky)

تم عمل الانقلاب باستخدام نموذج طبقتين لكل مقاومة موجودة بين 200-700 أوم متر لطبقات الميزوزوي، 5-12 أوم متر لطين السينوزوي النهري وحوالي 20 أوم متر لرسوبيات الميزوزوي المتجوية، وجميعهم في تطابق جيد مع نتائج قاعدة التفسيرات الأرضية. أكثر من هذا، الأعماق المستخرجة من الانقلاب (النقط) متفقة



شكل (38-7): مقاومة ظاهرية p_a وطبقات مقاومة p_2 , p_1 أخذت بواسطة عكس نتائج الكهرومغناطيسية الجوية، من شكل (37-36). وضع تفسير عمق صخور الأساس عند كل مكان إسناد أخذت من عكس الكهرومغناطيسية الجوية (فقط) ومن الحفر (خط شرط) للمقارنة (هونغ وبلاكي 1991 Huang and Palaky)

جدا مع التي وجدت من الحفر (خط مشرط) كما فى شكل (7-37). يفسر هذا المثال تأثيرات طريقة الكهرومغناطيسية الجوية المزدوجة مع عمليات انقلاب ملائمة فى معرفة تخريط الحواف الجيولوجية. توضح الطريقة مسئولية خاصية الزمن المبكر والذى يكون حساس لتباين التوصيلية فى الأسطح القريبة.



الفصل الثامن

الإستكشاف الرادارى

Radar Exploration

الإختراق الرادارى الأرضى

Ground Penetrating Radar (GPR)

1.8 مقدمة Introduction:

منذ منتصف الثمانينات (1980) فى القرن الماضى، أصبح شائعاً استخدام الإستكشاف الرادارى بتوسع خاصة خلال المجموعات الهندسية والآثار. بينما كان استخدامه للتطبيقات الجيولوجية منذ الستينات من القرن الماضى مع تقدم مسبار صدى الراديو الصوتى لألواح الثلج القطبى. الآن، تقدمت جدا التطبيقات الرادارية للجيولوجيا.

يمكن تقسيم الإختراق الرادارى الأرضى إلى ترتيب افتراضى منفصل موضوع على أساس تردد الهوائيات. التطبيقات الجيولوجية، حيث يكون الإختراق العميق أكثر أهمية من التحليل الدقيق جداً، لذلك تكون الهوائيات المستخدمة أقل من أو تساوى 500 ميغاهرتز للتطبيقات الهندسية أو للاختبارات عديمة الهدمية (non-destructive testing (NDT)) فيكون تردد الهوائيات 500 ميغا هرتز أو أكثر ويكون نموذجى عند 900 ميغاهرتز.

2.8 تطبيقات الإختراق الرادارى الأرضى (GRP) Applications of Ground Penetrating Radar (GRP)

أ- الجيولوجيا Geological:

- 1- إكتشاف الشقوق والكهوف الطبيعية.
- 2- خرائط الهبوط.
- 3- تخريط الأجسام الرملية هندسياً.
- 4- تخريط الرواسب السطحية.
- 5- تخريط طبقات التربة.
- 6- إستقصاء التلجالات الجيولوجية.
- 7- الإستكشاف المعدنى وتقدير المصدر.

- 8- تخريط سمك الفحم الخثى (خشب صخرى نصف متفحم) وتقييم الموارد.
- 9- إستقصاء الترب المتجمدة.
- 10- تحديد حواف الثلج.
- 11- تخريط الكسور فى صخور الملح.
- 12- تحديد مواقع الفوالق، الصدوع، راقات الفحم...إلخ.
- 13- تخريط التركيبات الجيولوجية.
- 14- تخريط رواسب البحيرات وقيعان الأنهار.

II- البيئى Environmental:

- 1- تخريط التداخلات الملوثة.
- 2- تخريط وإنذار التلوثات خلال المياه الأرضية.
- 3- إستقصاءات الردم الأرضى.
- 4- تحديد أماكن خزانات الوقود وبراميل الزيت المدفونة.
- 5- تحديد أماكن ترسيب الغازات.
- 6- إستقصاء المياه الأرضية.

III- الثلجات Glaciological:

- 1- تخريط سمك الثلج.
- 2- تحديد التركيبات الداخلية للثلجات.
- 3- دراسات حركة الثلج.
- 4- إكتشاف سطح وقاعدة أخاديد الثلجات.
- 5- تخريط مجارى المياه خلال الثلجات.
- 6- تحديد سمك ونوع البحر وبحيرة الثلج.
- 7- تحديد إتزان كتل مافوق الثلجات.
- 8- تحديد طبقات الثلج.

IV- الهندسة والإنشاءات Engineering and Construction:

- 1- تحليل رصف الطرق.
- 2- إكتشاف الفجوات.
- 3- تحديد أماكن التقوية فى الخرسانة.
- 4- تحديد أماكن الإستخدامات البشرية (أنابيب ، كابلات ...إلخ).
- 5- إختبار صلاحية مواد البناء.
- 6- إختبار الخرسانة.

V- الآثار Archaeology:

- 1- تحديد مواقع التراكيب المدفونة.
- 2- إكتشاف وتحديد الطرق الرومانية... إلخ.
- 3- تحديد مواقع دعائم الفتحات.... إلخ.
- 4- تخريط ما قبل الحفر.
- 5- إكتشاف الفجوات (القباءات... إلخ).
- 6- تحديد مواقع القبور.

VI- علم القضاء Forensic Science:

- ١ - تحديد أماكن أهداف مدفونة (الإجسام... إلخ):

وقد طور جيش الولايات المتحدة الأمريكية الرادار الأرضى نوعا ما خلال حرب فيتنام، وحيث أنشأت أنظمة لتحديد التتقيب عن الأنفاق المخفية. بعد إنتهاء الحرب إستخدم نظام الإختراق الرادارى الأرضى للأغراض المدنية بواسطة أنظمة المسح الجيوفيزيقي.

للإستقصاء الإقليمى ولمقاسات كبيرة، فإن قياسات الرادار تزداد من طائرات الهليكوبتر والأقمار الصناعية. مثال ذلك، إستخدمت صور رادارية القمر الصناعى للتخريط التحت سطحى فى مناطق حافة لتحديد مواقع ظواهر هامة للغرض الهيدروجيولوجى، والتي يكون من الصعوبة جدا تحديدها بإستخدام المسوحات الأرضية الأساسية. مثال آخر لذلك، تحديد نظام مصارف الأنهار القديمة المدفونة الآن تحت صحراء رملية فى أفريقيا والتي برهنت أخيرا أنها مصدر هام لمياه صالحة للشرب.

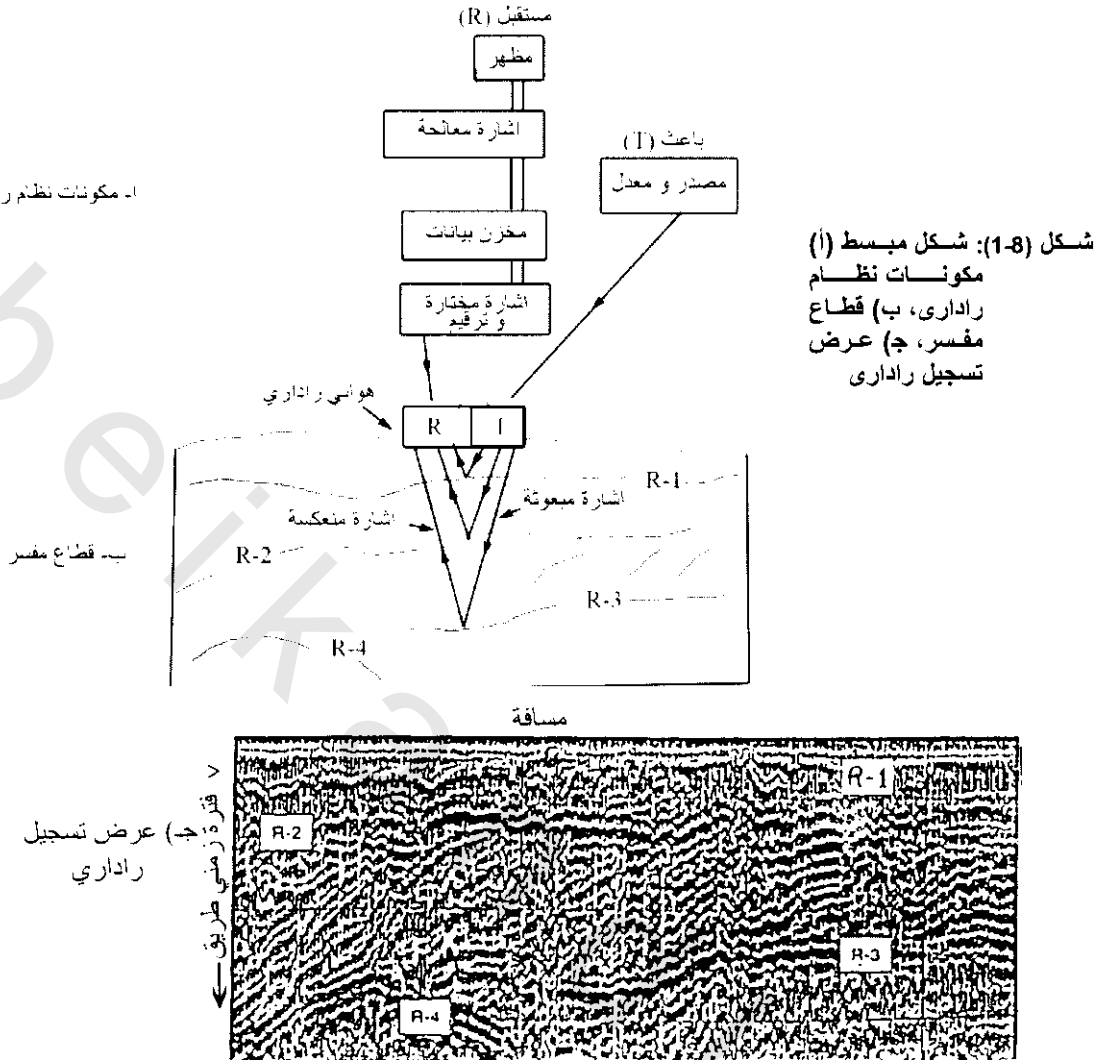
1.2.8 أساسيات العمل Principles of Operation:

يتكون نظام الرادار من مولد مفرد، هوائيات إنبعاث وإستقبال، بعض الأنظمة المتطورة متصلة بحاسب آلى لى يسهل معالجة النتائج المطلوبة فى الحقل أو لتسجيلها. ويوضح شكل (8-1) المكونات الأساسية لنظام الرادار. يولد هوائى الباعث سلسلة موجيه من موجات الراديو والتي تنتشر بعيدا كأشعة عريضة. عندما تصل موجات الراديو لأعلى سرعة (300,000 كم/نث أو 0.3 متر/نانو ثانية)* فإن زمن وصول موجة الراديو من لحظة الإنبعاث إلى هوائى المستقبل تكون من رتبة عشرات قليلة إلى عدة آلاف نانو ثانية. هذه تتطلب القياس بالآت دقيقة جدا لقياس لحظة الإنبعاث بالضبط الكافى من أجل الدقة النهائية للنظام، وذلك ليكون القياس معتدل بالمقابل لأزمنة الوصول فى الإستجابة، الهوائيات المستخدمة إما أن تكون أحادية النمط الإستاتيكي أو ثنائية الإستاتيكية. يكون نمط أحادية الإستاتيكية عند إستخدام جهاز هوائى كباعث ومستقبل بينما فى نمط ثنائية الإستاتيكية يكون هوائى الإنبعاث والإستقبال منفصلين. هناك حالات معينة يفضل فيها إستخدام ثنائى الإستاتيكية* عن أحادى الإستاتيكية كما فى قياس إتساع زاوية الإنعكاس والإنكسار (Wide-angle reflection and refraction VARR).

* نانو ثانية (نث): 10^{-9} ثانية.

* ويستخدم لهذا النمط جهاز نبضات نظام (EKKO) جهاز إختراق رادارى مصنع بواسطة (Sensor & Software Ltd., Canada)

أ- مكونات نظام راداري



تولد البواعث نبضات موجات راديو عند تردد يتحدد بواسطة خواص الهوائي المستخدم وذلك عند معدل تكرار نموذجي 50,000 مرة كل ثانية. عادة يضبط هوائي الاستقبال للمسح عند معدل ثابت أعلى من 32 فحص دقيق لكل ثانية، معتمدا على النظام المستخدم. يمكن ضبط أى تأخير مسح على طول مدى طريقي زمن الفترة الكلي وذلك من عشرات قليلة إلى عدة آلاف نانو ثانية. يمثل كل مسح على شاشة فيديو أو تسجيل خطي أو كليهما. طالما تتحرك الهوائيات على الأرض، فإن إشارات المستقبل تمثل كدالة لطريقي فترة الزمن، وهذا يعني أن التسجيل الراداري (يشبه التسجيل السيزمي) به الزمن المأخوذ من لحظة الإنبعث إلى زمن الإكتشاف بواسطة المستقبل.

لكي تمتد طول نبضة موجة الراديو المنبعثة بانعاكاسات يمكن تحليلها يجب أن تكون كافية القصر (نموذجيا >20 نانو ثانية معتمدة على تردد الهوائي ونوعه). كذلك من المهم تحديد شكل وخواص موجات رادارية الباعث على أن تكون عالية التكرار. مثلا تحدد الطريقة التي يمثل فيها تسجيل الإشارات على راسم التسجيل بواسطة الراصد ويوضح شكل (2-8) مخرج مبسط. أيضا، يوضح الشكل أن الإشارات ذات السعات الأكبر من البداية المضبوطة المطبوعة باللون الأسود على قطاع الرادار. في بعض الحالات، ربما يكون ملانما جدا طبع كلا من الموجب والسالب، أو عندما يكون مجرد موجب وسالب فإنه يمكن أيضا تمثيل المخرج بفترات من مساحات

2.2.8 إنتشار موجات الراديو Propagation of radiowaves :

تكون للخواص الإلكترومغناطيسية للمواد علاقة بمكوناتها واحتواءها للماء، وكلاهما يؤكد التحكم الأساسى لسرعة إنتشار موجات الراديو وتوهين (تخفيف) الموجات الإلكترومغناطيسية فى المواد. تعتمد سرعة موجات الراديو فى أى وسط على سرعة الضوء فى الفراغ ($V = 0.3$ متر/نانو ثانية = 300,000 كيلومتر/ثانية). أما سرعة موجات الراديو فى المادة (V_m) فتحدد من المعادلة الآتية:

$$V_m = C / \{(\epsilon_r \mu_{r/2}) [(1 + \rho^2) + 1]\}^{1/2} \quad (8-1)$$

حيث C = سرعة الضوء فى الفراغ، ϵ_r = الثابت النسبى للعازل الكهربى، μ_r = النفاذية المغناطيسية ($= 1$ للمواد الغير مغناطيسية)، ρ = معامل الفقد $\frac{\sigma}{\omega \epsilon}$ حيث σ = التوصيلية، $\omega = 2\pi f$ حيث f = التردد، (فى المواد قليلة الفقد فإن $\rho \approx 0$)، $\epsilon = \epsilon_r \epsilon_0$ = سماحية العازل حيث ϵ_0 سماحية العازل للفراغ ($8.854 \times 10^{-12} \text{ F/m}$).

$$\therefore V_m = C \sqrt{\epsilon_r} = 0.3 / \sqrt{\epsilon_r} \quad (8-2)$$

تعتمد طريقة الرادار الأرضى على قابلية تغير الأرض للسماح لإنبعاث موجات الراديو، وبعض المواد مثل الثلج القطبى ناقل حقيقى لموجات الراديو. هناك مواد أخرى تمتص أو تعكس موجات الراديو مثل الماء المشبع للطين وماء البحر لذلك فإن إمتدادها يكون معتم لموجات الراديو. يعطى التباين فى نسبة الثوابت للعوازل بين الطبقات المجاورة إنعكاس لإشعاعات الكهرومغناطيسية الساقطة كلما زاد التباين كلما كبرت كمية طاقة موجات الراديو المنعكسة. تعطى نسبة الطاقة المنعكسة بواسطة معامل الإنعكاس (R) والذى يحدد بواسطة التباين فى سرعات موجات الراديو، و، أكثر أساسية، بواسطة التباين فى ثوابت العوازل النسبى للأوساط المجاورة.

$$R = \frac{V_1 - V_2}{V_1 + V_2} \quad (8-3)$$

V_1, V_2 سرعتى موجات الراديو فى طبقة 1، 2 بالتتابع، $V_1 < V_2$ ايضا

$$R = \frac{\sqrt{\epsilon_2} - \sqrt{\epsilon_1}}{\sqrt{\epsilon_2} + \sqrt{\epsilon_1}} \quad (8-4)$$

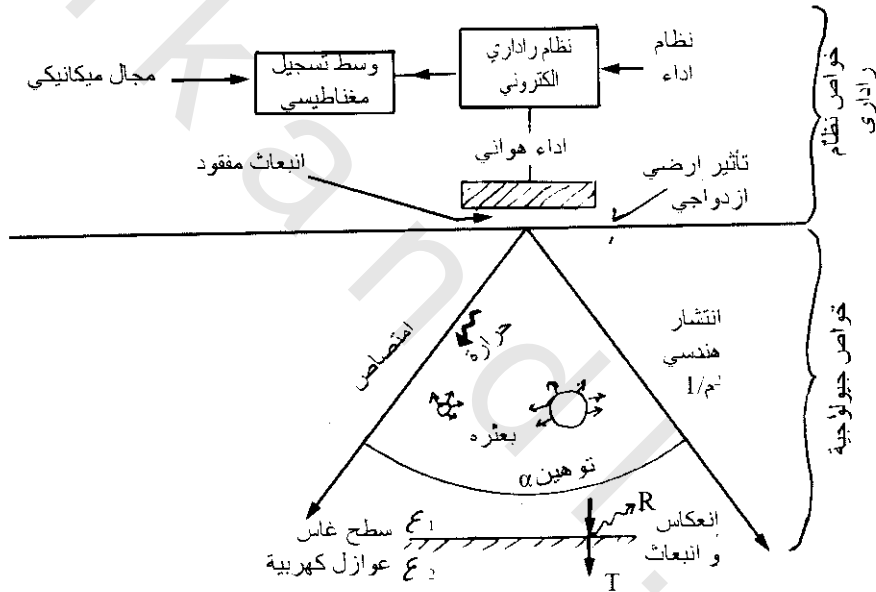
حيث ϵ_1, ϵ_2 ثوابت نسبىة لعوازل الطبقات 1، 2 بالتتابع والتى تكون مناسبة للتطبيق عند سقوط زاوية قائمة لمستوى العاكس. نمودجيا، ϵ_1 تزداد مع العمق. نسبة إنبعاث الطاقة تساوى ($R-1$). تطبق المعادلة (8-2)، (8-3) لإسقاط عمودى على مستوى السطح بفرض عدم فقد إشارة أخرى، وتشير قوة معامل الإنعكاس التى تساوى R^2 إلى سعة الإشارة.

يجب التذكر دائما عند التعامل مع الرادار الأرضى أن الإشعاع الكهرومغناطيسى وإنتشاره يوصف بواسطة معادلات ماكسويل Maxwell's equations بمركبة كهربية (E) عمودية على المركبة المغناطيسية (H). ويوجد خطورة عند عمل مقارنة لتسجيل الرادار إلى التسجيل السيزمى حيث ربما يتغاضى عن المتجه الطبيعى للرادار،

لذلك تكون الافتراضات خاطئة حول طريقة التصرفات لموجات الراديو في الوسط الجيولوجي. لذلك في أغلب الحالات تستخدم عمليات البيانات السيزمية لتأثيرها. من الخواص المميزة للأستقطاب الكهرومغناطيسي لموجات الراديو أنها أكثر تشابه للموجات السيزمية العرضية S_W من الموجات السيزمية الطولية P_W .

1.3.2.8 فقدان الطاقة وتوهينها (تخفيفها) Energy Loss and Attenuation:

يوضح شكل (3-8) العوامل التي تسبب في تقليل قوة إشارة موجات الراديو المنتشرة خلال الوسط تحت سطحى حيث يحدث إقلال الطاقة كتنابع إنعكاس /بالنسبة لفقد الإنتقال حول سطح تماس ويحدث لكل زمن مرور موجات الراديو خلال الحد. أكثر من هذا، يحدث هذا الإقلال إذا وجدت أشياء بأبعاد لنفس رتبة الطول الموجى بطريقة عشوائية، يعرف هذا بانتشار مى Mie ويسبب شوشرة (ضجيج) على قطاع الرادار، وتكون مشابهة للشوشرة المرئية على شاشات الرادار البحرية الناتجة بواسطة خلفية الإنتشار من الموجات البحرية فى الطقس الردى.



شكل (3-8): عمليات أدت إلى تقليل فى قوة الإشارة

بالإضافة للإنعكاس/فقد الإنتقال عند سطح التماس، تفقد الطاقة بواسطة الإمتصاص (تحويل الطاقة الكهرومغناطيسية إلى حرارة). وهناك نوع من فقد الطاقة بسبب الإنتشار الهندسى للطاقة. تنتقل إشارة الرادار فى شعاع بزواوية مخروطية 90° . عند إنتقال إشارات الراديو بعيدا عن الباعث، فإن إنتشارها يسبب إقلال فى الطاقة لكل وحدة مساحة بمعدل $1/r^2$ حيث r مسافة الإنتقال.

يكون التوهين السبب الأساسى لفقد الطاقة والذى يكون دالة معقدة للعازل والخواص الكهربية للوسط الذى فيه تنتقل إشارات الرادار. يعتمد معامل التوهين على التوصيل الكهبرى σ والنفاذية المغناطيسية μ وخواص سماحية العازل ϵ للوسط الذى خلاله تنتشر الإشارة، كذلك تردد الإشارة نفسها $2\pi F$. يتحدد سلوك كتلة المادة بواسطة تبعيتها للخواص الفيزيائية لمختلف المكونات الموجودة ونسبة تواجدتها.

وكموجات كهرومغناطيسية، فإن العمق الذى بواسطته تقل الإشارة فى السعة إلى $1/e$ (أى حوالى 37%) من القيمة الحقيقية يعرف بعمق السطح (δ) ويتناسب عكسيا مع معامل التوهين (التخفيف) $\left(\frac{1}{\alpha} = \delta\right)$. وتوضح المعادلة الآتية العلاقة بين عمق السطح ومعامل التخفيف.

$$E_0/E_x = \exp(-\alpha x) \quad (8-5)$$

حيث E_0 قمة قوة المجال الكهربى على النقل، E_x قوة المجال الكهربى المنخفض على بعد x ، α معامل التخفيف

$$\alpha = W \left\{ \left(\frac{\mu_\epsilon}{2} \right) \left[1 + \frac{\sigma^2}{W^2 \epsilon^2} \right]^{1/2} - 1 \right\}^{1/2} \quad (8-6)$$

حيث $W = 2\pi f$ تردد المركبة الرأسية المغناطيسية (H_z)،

μ النفاذية المغناطيسية: $4\pi \times 10^{-7}/m$

σ معامل التوصيل الكتلية عند ترجع معطى (S/m)،

ϵ معامل سماحية العازل $= F/m \times 10^{-12} \times 8.85 \times \epsilon_r$

ϵ_r معامل سماحية العازل الكتلية.

هذه الصيغة صالحة للمواد الغير مغناطيسية فقط المصطلح (σ/W) يكافى معامل الفقد (ρ) حيث

$$\rho = \sigma/W\epsilon = \tan D \quad (8-7)$$

أيضا

$$(\delta) = \frac{1}{\alpha} \quad (8-8)$$

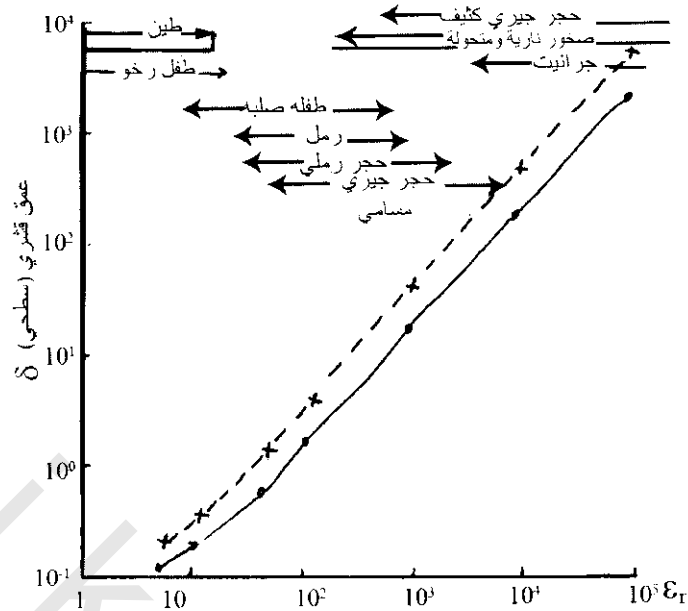
عندما $\tan D \gg 1$ فإنه عدديا $\delta = (2/\sigma)(\epsilon/\mu)^{1/2}$

$$\delta = (5.3) \sqrt{\epsilon_r / \sigma}$$

حيث $\sigma = m_s/m$

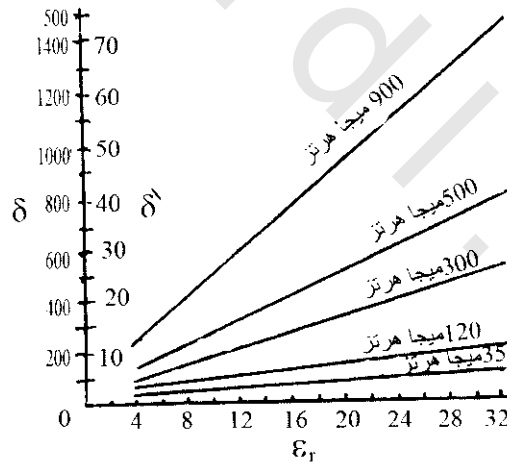
بإستخدام المصطلح النهائى للعمق السطحى، وبالتعويض بقيم نموذجية لماء البحر. وجد أن العمق السطحى فى ماء البحر 1 سم وبالنسبة للطين المبلول 0.3 م. عندما حسب العمق السطحى للصخور الجافة الغير متجوية، وجد أن مصطلح معامل التوصيل أساسا يقل وعندئذ يزيد العمق السطحى ويحتمل إختراق عمق أكبر. يوضح شكل (4-8) تغير عمق السطح كدالة للمقاومة الأرضية عند أقصى توقع فى مكان ثوابت نسبة الممانعة الكهربائية (مكان وآخرين 1988 McCann et al).

من المهم تذكر تحويل الإزاحة البسيطة للعمق السطحى تكون صحيحة فقط عندما يعتبر معامل الفقد أقل من 1، يستخدم شكل (5-8) لتحديد العمق السطحى عندما تكون مثل هذه الحالات صحيحة. مثال ذلك إذا كانت التوصيلية الحقيقية المرصودة $15ms/m$



شكل (4-8): تغير عمق قشري δ كدالة لمقاومة ϵ_r لـ 40, $\delta = \epsilon_r$ (مكان وآخرين McCann et al 1988)

عندئذ يحتاج معامل الفقد أن يعتبر فى صيغته النهائية فى جميع الأحوال الأخرى إلا عندما يستخدم تردد هوانى 900 ميگاهرتز، طالما ثابت العزل النسبى أكثر أو يساوى 6. إذا لم يستخدم الشكل النهائى لمعامل التخفيف تحت هذه الظروف، تكون القيمة المشتقة للعمق مبالغ فى تقدير قيمتها.



شكل (5-8): حالات التى أسفلها معامل $\tan D > 1$

يجب ملاحظة أن العمق السطحي لا يعادل عمق الإختراق للرادار الأرضى. لتحديد مدى الرادار، يؤخذ فى الإعتبار عوامل الجهاز بالإضافة إلى التى لها علاقة مع الهدف التحت سطحي والوسط الذى خلاله تسير موجات الراديو. طريق الفقد الكلى للمسافة المعطاه يعمل من خمس مصطلحات، مفقود الهوانيات، مفقود النقل بين الهواء والأرض، الفقد الناتج بواسطة المسافة الهندسية لأشعة الرادار، التوهين (التخفيف) خلال الأرض كدالة لخواص

المواد، والفقد بسبب تشتت إشارات الرادار من الهدف نفسه. العلاقة بين مدى الرادار وتحديد أداء نظام الرادار Q توضحها المعادلة الآتية:

$$Q = 10 \log \left\{ \frac{E_{Tx} E_{Rx} G_{Tx} G_{Rx} V^2 (gF) \exp(-4\alpha Z)}{64\pi^3 f^2 Z^4} \right\} \quad (8-9)$$

حيث:

E_{Tx}, R_x = كفاءة هوائيات الباعث والمستقبل

G_{Tx}, R_x = قرب الباعث والمستقبل

g = زيادة خلفية تشتت الهدف

f = مساحة مقطع تشتت الهدف

Z = مسافة الهدف من الهوائى

α = معامل التوهين (التخفيف) للوسط

F = تردد الإشارة

أيضا تحدد Q المتغير فى شكل (6-8)

$$Q = 10 \log (P_{min}/P_s) \quad (8-10)$$

حيث P_{min} أقل قوة إشارة مكتشفة، P_s مصدر القوة.

فى المواد الأقل فقد يكون مدى Z تقريبا D_2 10، وفى المواد الأعلى فقد يكون مدى Z تقريبا D_2/D_1 حيث

$$D_1 = 2A / (40 - 10 B_2) \quad (8-11)$$

$$D_2 = \left\{ \frac{Q + 10 \log(s) + 10 \log V^2 + 10(B_1 + (B_3 - 2) \log F)}{40 - 10 B_2} \right\} \quad (8-12)$$

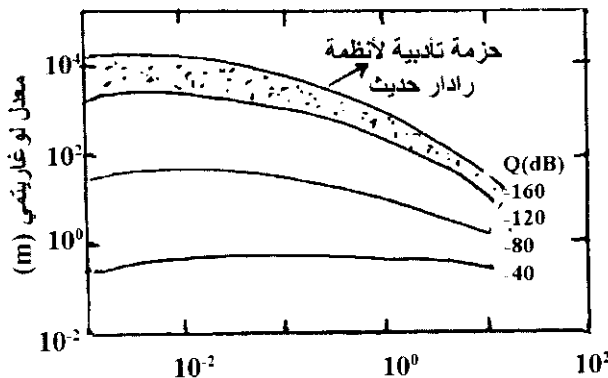
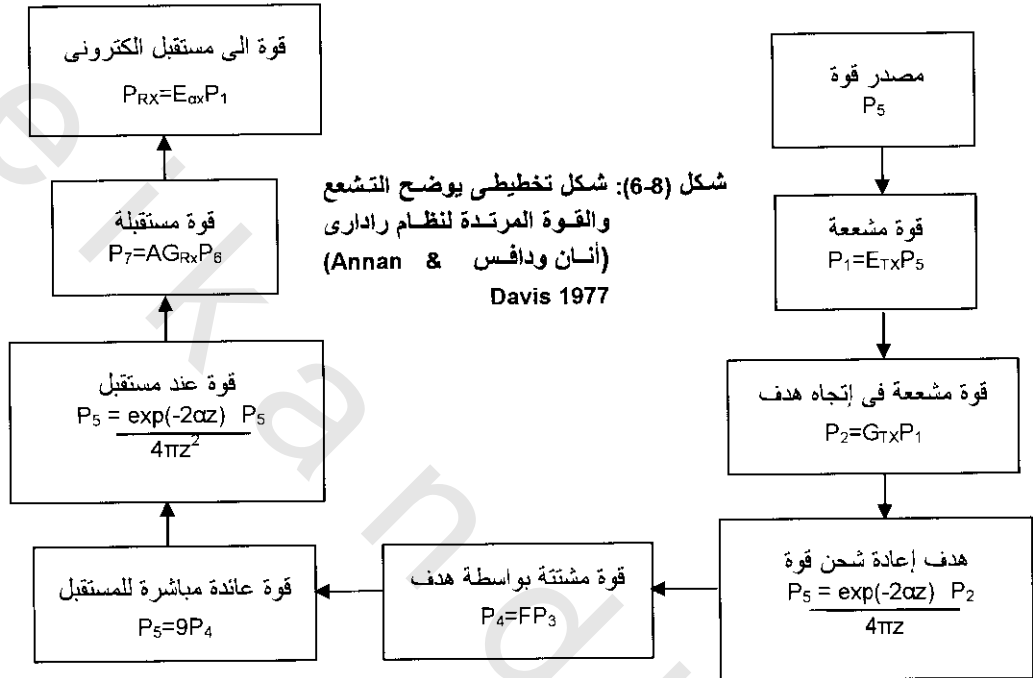
$$S = E_{Tx} E_{Rx} G_{Tx} G_{Rx} / 64\pi^3 \quad (8-13)$$

حيث $\beta_1, \beta_2, \beta_3$ قائمة فى الجدول الآتى:

β_3	β_2	β_1	gF	نوع الهدف
0	2		$\pi S^2 R$	مستوى عاكس ناعم
1-	1	$\log(\pi R)$	$\pi(V^2/16)f^2 + V_z/2f/R$	مستوى عاكس خشن
4	0	$\log(64\pi^5 a^6 f^4/V^4)$	$(64\pi^5 a^6 f^4/V^2)R$	نقطة هدف Rayleigh

يوضح شكل (6-8) المركبات المؤثرة على الإشعاع ومردود القوة. ويوضح شكل (7-8) التغير لمدى إشارة الرادار كدالة لكلا من التخفيف وأداء جهاز الرادار بالنسبة لسطح ناعم عاكس، فإن الإشارة العائدة من سقوطها على السطح تظهر كصورة للمصدر، وإذا كان التخفيض فى القوة بواسطة قوة الانعكاس R ($r^2 =$ حيث r سعة معامل الانعكاس) للسطح الفاصل، فإن الإشعاع من مسافة بعيدة يكون أعلى مرتين عن الحد.

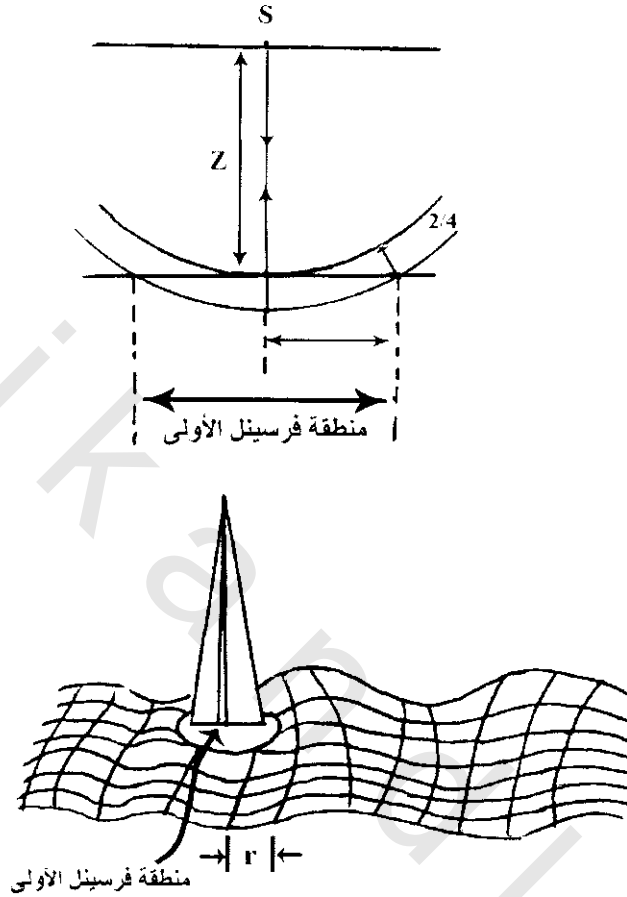
يوجد صعوبة في تحديد مساحة المقطع العرضي للهدف للعواكس اللامعة المضطربة. لذلك اقترح (كوك Cook 1975) أنه يتطلب مساحة لمنطقة فرسنيل الأولى شكل (8-8) وتبعاً لذلك، وحيث يكون الطول الموجي لخشونة السطح أكبر من قطر منطقة فرسنيل الأولى (مساحة المقطع العرضي) عندئذ يمكن تقدير gF الناتجة. بينما تكون طول موجة السطح الخشن أقل من قطر منطقة فرسنيل الأولى، وخاصة عندما تكون سعة الخشونة أكبر من $\frac{\lambda}{4}$ الطول الموجي، فإنه يكون من الصعب حساب مساحة المقطع العرضي للهدف. يقل قوة معامل الانعكاس كتابع للتشتت الكبير الناتج من مثل هذا السطح الخشن.



شكل (8-7): مدى راداري لرادارات مع أنظمة تأديبية مختلفة (Q) عبر مدى تخفيف (Davis and Annan 1989)

لهدف معين، توصف خواص الطاقة المرتدة بقانون رالي Rayleigh للتشتت الذي يكون فيه نتاج gF قوى جداً معتمد على التردد (للقوة الرابعة). للتعبير في المعادلات (8-9، 8-13) لنقطة المصدر، يفرض أن نصف قطر الهدف (a) أقل كثيراً من الطول الموجي للأشعة الساقطة. في المواد التي يتكون من الزلط والحصى أو

وحدات جيولوجية محطمة بشدة عبر مسافات أقصر من طول موجة الطاقة الساقطة، عندئذ يكون احتمال كمية الطاقة المشتتة كبير، وكذلك احتمال رؤية مسجل الرادار تكون قليلة جدا لأى أحداث انعكاسية ملائمة مصاحبة لهذه المواد. لا يمكن إستخدام هذه الخاصية نفسها مباشرة خلال التفسير لتشخيص أو وصف مميز لهذه المواد.



$$r = \left(\frac{\lambda^2}{16} - \frac{\lambda z}{2} \right)^{\frac{1}{2}}$$

شكل (8-8): إنعكاس من سطح فاصل خشن براق يكافئ هدف مساحة المقطع مساحة منطقة فرسينل الأولى (أنان ودافس Annan & Davis 1977)

من المعادلة (8-5) ومشتقاتها، يتضح أن التخفيف يتناسب مباشرة مع التردد. التردد العالى يقابله إرتفاع فى كمية التخفيف. من الواضح أيضا تأثير ثابت العازل الظاهر (ϵ_r)، والتوصيلية الظاهرة عند تردد معطى (σ) على نوعية التخفيف. يتأثر كل من هذه الخواص بواسطة تركيب المادة والسلوك الكهربى والكثرة النسبية لكل مكون. يتناسب معامل الفقد $\tan D$ طرديا مع التوصيل وعكسيا مع ثابت العزل النسبى والتردد. لوسط حبيبي مشبع، تسود التوصيلية وثابت العزل النسبى لسانل التشبع على قيم النسيج الأساسى المقابل. لاتساوى نسبة ثابت العزل الظاهرية (ϵ_r) بالضبط لنواتج المسامية (ϕ) ونسبة ثابت العزل الظاهرية للسانل (ϵ_F). نتيجة لهذا يكون أعلى تخفيف عند أكثر توصيلية للسانل المشبع، وأكبر نسبة لوجوده مع نسبة ثابت عزل عالية تابعة (ϵ_r للماء = 81). بالمثل يكون معامل فقد أكبر وأيضا التخفيف عند احتواء طين أعلى حيث ترجع أهمية الطين أنه يملك ربط مائى خلال نسيجه التركيبى. أيضا تظهر المعادن الطينية خواص كهربية معينة نتيجة لتركيبها الفيزيوكيميائى.

2.3.2.8 التحليل الأفقى والرأسى Horizontal and Vertical Resolution

يقيس التحليل الرأسى قدرة التفريق فى الزمن بين إشارتين متجاورتين. ببساطة، التحليل الرأسى دالة للتردد. تصمم هوائيات الرادار ليعمل عبر مدى تردد (عرض نطاق تردد) حيث تحدث ذروة القوة عند مركز تردد الهوائيات، يصنف المركز استقلالية الهوائيات، مثلا تردد هوائى 500 ميگاهرتز أى يكون مركز تردد 5000 ميگاهرتز. أيضا، يتناسب مركز التردد عكسيا مع فترة النبض (نانو ثانية). لذلك فإن تردد هوائى 500 ميگاهرتز تكون فترة نبضة $1/500$ ميگاهرتز = 2 نانو ثانية، ولتردد هوائى 35 ميگاهرتز فتكون فترة نبضة $\frac{1}{35 \times 10^6} = 28.6$ نانو ثانية. ويكون الطول المكافئ (متر) للنبضة هو حاصل ضرب فترة النبضة وسرعة

موجات الراديو الخاصة بالمادة. مثلا التربة المبللة (سرعة = 0.06 م/نانو ثانية) يتردد هوائى 100 ميگاهرتز (فترة النبضة = 10 نانو ثانية)، فإن طول النبضة (الموجه) تكون 10×0.06 متر أو 0.6 متر. ويمكن اعتبار التحليل ° الطول الموجى (h) للأشعة الساقطة. $\frac{V}{F} = h$ حيث V سرعة موجة الراديو، f التردد. فى الحالة الأخيرة إذا كان الطول الموجى 60 سم فإن التحليل الرأسى النظرى يساوى 15 سم. يحتوى الجدول (1-8) على أقل تحليل نظرى للمادتين عند ثلاث ترددات منفصلة.

جدول (1-8) تحليل رأسى نظرى لمادتين جيولوجيتين عند ثلاث ترددات.

المادة الجيولوجية	ترددات هوائية (ميگاهرتز)			المادة الجيولوجية	ترددات هوائية ميگاهرتز		
	120	500	900		120	500	900
تربة				صخر أساس:			
طول موجى (سم)	62.5	15	8	طول موجى (سم)	92	22	12
تحليل (سم)	15.6	3.75	2	تحليل (سم)	23	5.5	3

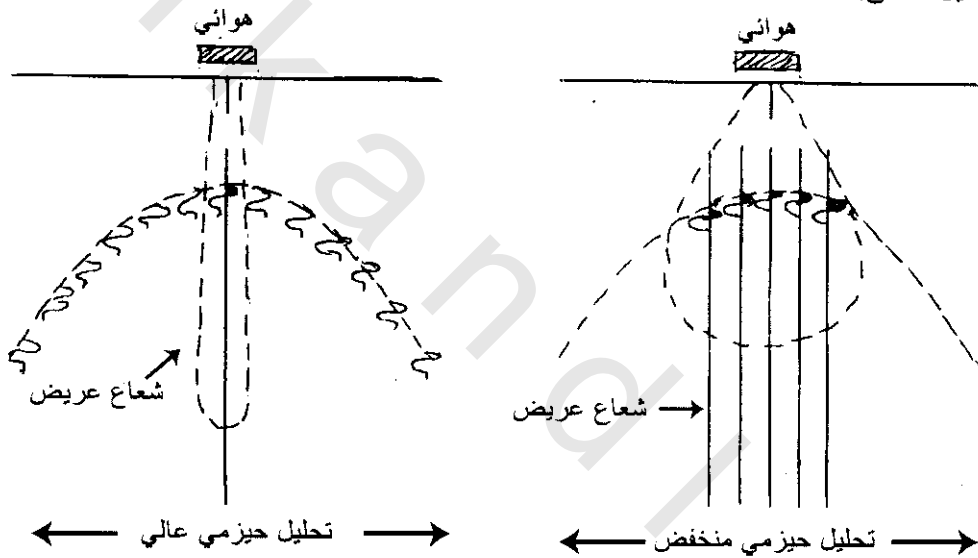
المثال الأول فى الجدول السابق يكون نموذجيا عندما تكون السرعة (V) = 0.75 متر/نانو ثانية والثانى بالنسبة لكتلة صخرية مثل الحجر الجيرى بسرعة (V) = 0.100 متر/نانو ثانية ويكون التحليل الرأسى المعطى حسن جدا إذا أنجز رياضيا. فى الحقيقة يكون التحليل أقل من هذه الأرقام بسبب تعقد مصدر شكل الموجة الطبيعى وتجاوب الأرض.

ينتج وضع الهوائى مباشرة على الأرض إشارة "مزدوجة أرضية" هذا يعنى أن شكل الموجه لأبعاد إنتاجها عندما تبعث للأرض. تؤثر المادة فى الشكل والنمط والسعة (القوة) لخفض مصدر مسار تتابع الموجه وتأثير الترشيح عليها. يقل طول مصدر النبضة بزيادة التردد، ولكن يمكن تفسير نتوء النبضة الأساسى فقط. هذا التعقيد لمصدر شكل الموجه له متابعة هامة للتفسير.

مثلا، إذا كان لإنخفاض موجة الرادار ثلاث دورات بفترة كلية 25 نانو ثانية، فهذا يعنى أن الإنعكاس من أى سطح تماس متساوى إذا لم يكن أكبر تعقيدا للشكل والفترة. ترجع الإستطالة لفقد ترددات عالية خلال الإشارة حيث تخفف الترددات العالية بنسبة أكبر من الترددات المنخفضة.

مثلا، إذا فصلا سطحى تماس بعدة عشرات قليلة من السنتيمترات، تكون سرعة موجة الراديو بينهم هى فترة الزمن بين الإنعكاس من سطح التماس الأول (غالبا الأعلى) ويكون زمن الإنعكاس الآخر من الثانى أقصر من فترة تتابع الموجه، لذلك سيختفى بداية الإنعكاس الثانى بواسطة مؤخرة الأول ولهذا ربما لا يحل.

الصعوبة الأخرى هي انخفاض فترات الإشارة عن الباعث في مخروط الإشعاع بأثر حجم أساسى محدد هو نصف منطقة فرنسيل الأولى وهي الأصغر والتي فيها لا يتصور ظواهر الأبعاد الصغيرة، ويشير شكل (8-8) إلى نصف قطر منطقة فرنسيل الأولى. يتأثر هذا الأثر بحجم الأساس لكلا من التحليل الرأسى لكلا من التحليل الرأسى (عندما تميل سطوح التماس بشدة أولها سطح سعوى كبير متعرج بالنسبة لطول موجة الراديو الساقطة) والتحليل الأفقى. يقابل منطقة فرنسيل الأولى انخفاض التحليل الأفقى فى التمييز بين الأهداف المجاورة. أكثر من هذا، يتأثر التحليل الخاص بواسطة عرض الشعاع المخروطى لإنخفاض موجات الراديو شكل (8-9)، ويقابل ضيق عرض الشعاع كبر التحليل الخاص. يتناسب التحليل الخاص عكسيا مع $\sqrt{\alpha}$ حيث α معامل التوهين (التخفيض). تبعا لذلك فإن التحليل الأفقى أفضل عبر مادة فقد كبير من وسط فقد منخفض، حيث تسمح أنظمة الرادار برص أفقى للمسوحات الجانبية لتحسين الإشارة إلى نسبة الشوشرة، يقل التحليل الأفقى كلما زادت كمية الرص الأفقى. يوجد توافق عملى يصل بين قوى الإشارات العائدة الملائمة بواسطة الصف الأفقى وإقلال التحليل الأفقى.



شكل (8-9): تحليل أفقى ناتج عن أشعة عريضة

عند استخدام فتحة رادار نموذجى (synthetic aperture, radar (SAR) (هولوجرافيك رادار holographic radar)، لعمل القياسات بواسطة هوائى مفرد عند عدد من الأماكن المختلفة وتكون النتائج المجمعة تظاهر بشعاع ضيق أكثر من التى أنجزت بواسطة استخدام هوائى مفرد عند موقع واحد.

5.2.8 خواص العوازل الكهربائية الأرضية لمواد الأرض: Dielectric Properties of Earth Materials

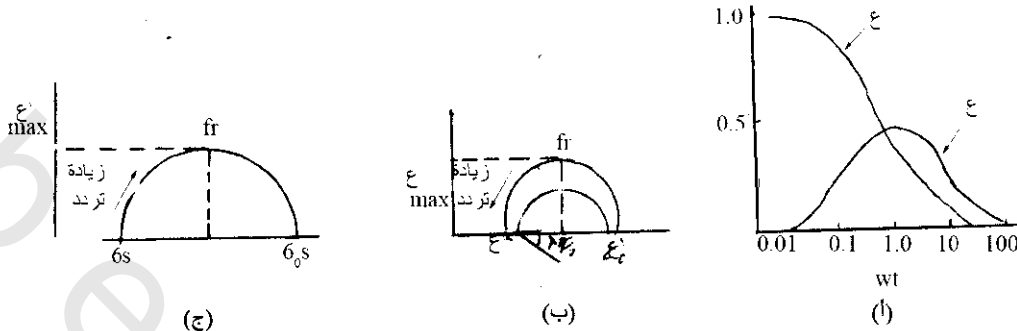
يوصف سلوك خواص العوازل الأرضية فى صيغ سماحية معقدة (ϵ^*) وتوصيلية معقدة (σ^*) والتى ترتبط بعلاقات متبادلة حيث تعطى السماحية المعقدة (ϵ^*) لمواد غير موصلة بواسطة

$$\epsilon^* = \epsilon' + i\epsilon'' \quad (8-14)$$

حيث ϵ'' تنقط (ترسم) كدالة لـ ϵ' ، ويكون محصلة الرسم البيانى نصف دائرى. يعرف هذا التنقيط بتنقيط كول-كول وذلك بعد عمل الأصليين كول وكول 1947 Cole and Cole. إذا كانت للمادة توصيلية σ ، عندئذ

$$\epsilon^* = \epsilon' + i(\epsilon'' + \sigma_s / \omega \epsilon_0) \quad (8-15)$$

حيث σ_s توصيلية ساكنة أو مستمرة (DC)، ϵ_0 سماحية الفراغ. عند ترددات منخفضة، يسود تعبير مستمر (DC) وتنتج نهايات ترددات منخفضة شكل (10-8)



شكل (10-8):

تكون علاقة ϵ'' (نقد التردد التابع) بالتراخي مسنولة عن الظاهرة المصاحبة لجزيئات الماء وتعطى التوصيلية المعقدة بالمعادلة الآتية:-

$$\sigma^* = \sigma' + i \sigma'' = j \omega \epsilon_0 \epsilon^* \quad (8-16)$$

لأغلب المواد الجيولوجية فإن ϵ_r تقع في مدى خواص عوازل كهربية من 3-30. تبعاً لذلك يكون مدى سرعة موجات الراديو كبيرة من حوالي 0.175-0.06 متر/نانو ثانية، شكل (8-11). سرعة موجات الراديو في الهواء 299.8 متر/نانو ثانية. لمحاولة تقدير أعماق أى أهداف معطاة، يكون هناك أساساً معلومات عن سرعات موجات الراديو خلال المواد التحت سطحية الموجودة.

يوضح جدول (8-2) ثوابت خواص العوازل النسبية وسرعات الراديو المصاحبة لها لمواد جيولوجية ومصنعة مختلفة.

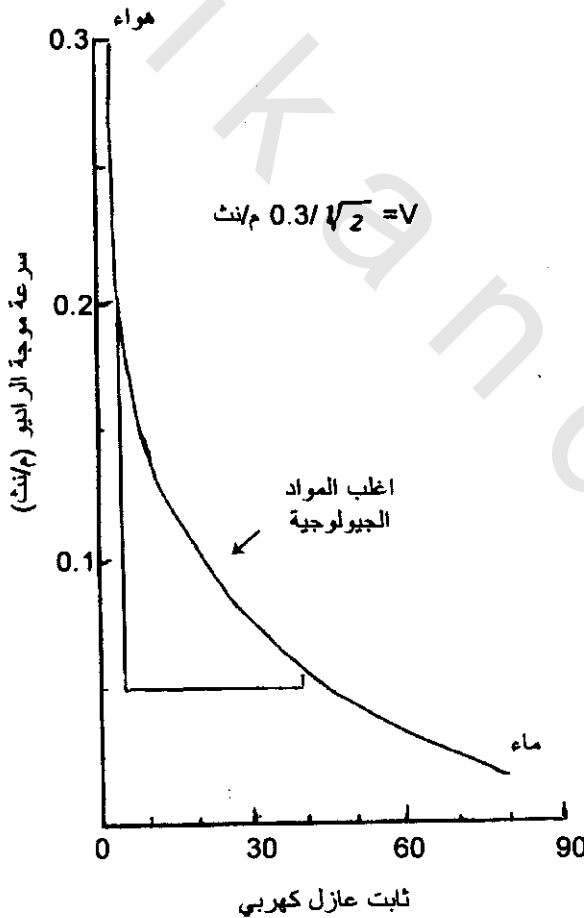
جدول (8-2)

المادة	ϵ_r	السرعة (م/ث)	المادة	ϵ_r	السرعة (م/ث)
هواء	1	300	مستنقعات	12	86
ماء (عذب)	81	33	أرض زراعية	15	77
ماء (بحر)	81	33	أرض رغوية	13	83
ثلج قطبي	3-1.4	252-194	تربة متوسطة	16	75
جليد قطبي	3.15-3	168	جرانيت	8-5	120-106
جليد معتدل	3-2	167	حجر جيرى	9-7	113-100
جليد نقي	3-2	167	دولوميت	8-6.8	115-106
جليد بحيرات ماء عذب	4	150	بازلت (مبلل)	8	106
جليد بخار	8-2.5	157-78	طفلة (مبللة)	7	113
تربة دائمة التجمد	8-1	300-106	حجر رملى (مبلل)	6	112
رمل شاطئ (جاف)	10	95	فحم	5-4	150-134
رمل جاف	6-3	170-120	كوارتز	4-3	145
رمل (مبلل)	30-25	60-55	خرسانة	30-6	112-55
غرين طمي (مبلل)	10	95	اسفلت	5-3	173-134
طين (مبلل)	15-8	110-86	بولى اثيلين	3	113
تربة طينية (جاف)	3	173	راتنجات بوليستر		

يجب التأكد على أن قيم كلا من ثابت العوازل الكهربائية وسرعة موجات الراديو تؤخذ فقط كأرقام مرشدة. ويرجع النقص لمدى بعض المواد لقلة القياسات المعمولة وهذا لايعنى شمولها لأنه لا يوجد تغير خلال هذه المواد والمدى المغطى سابقا لايعنى أيضا امتدادها.

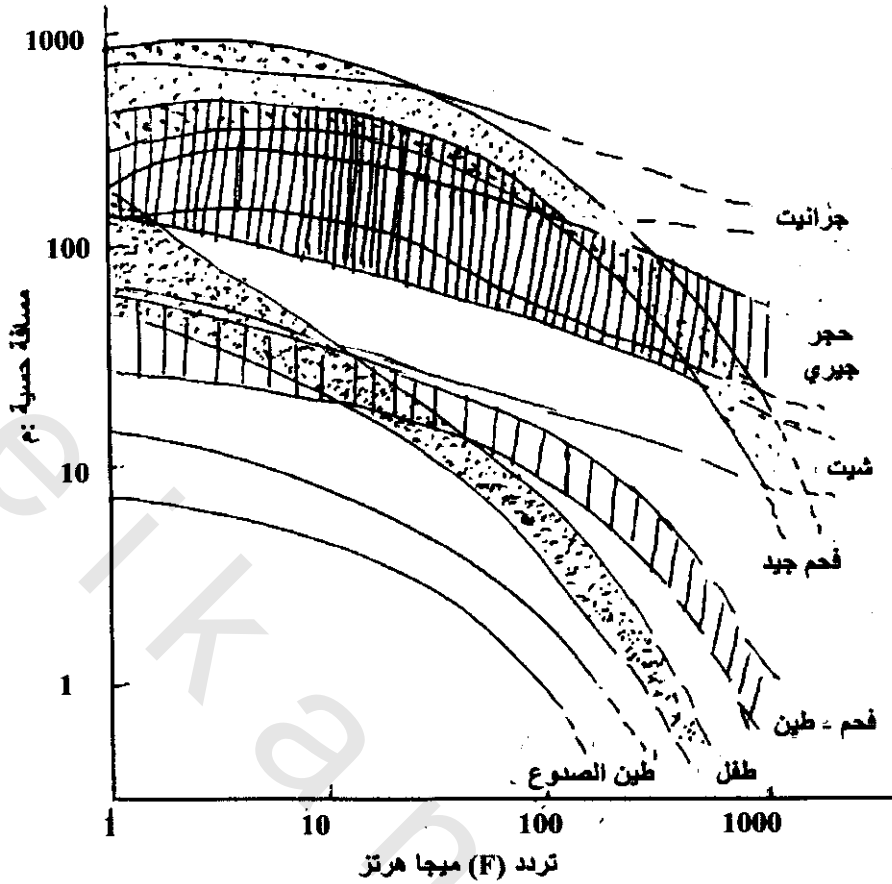
قام كوك 1975 Cook بعمل رسم تخطيطى توضيحي شكل (8-12) يوضح المجسات المسافية المنجزة للمواد الجيولوجية المختلفة عبر مدى تردد من 1 إلى 500 ميگاهرتز، الطين أكثر المواد الذى له أقصر مجسات مسافية أكثر من أغلب الصخور الكتلية مثل الجرانيت والحجر الجبرى.

عادة ما تكون أغلب المواد سواء جيولوجية أو من صنع الإنسان خليط معقد من مواد كل منها تتشابه فى اختلافه للخواص الكهربائية والعوازل الكهربائية، ويؤثر حجم وشكل الحبيبات على السلوك الظاهرى الكهربى والعازل الكهربى. تحتوى معظم الصخور على مدى من الرطوبة، أى تحتوى على سوائى خلال الفراغت الرقيقة أو خلال النسيج الشبكي المعدنى



شكل (8-11): سرعات موجات الراديو كدالة لعازل كهربى نسبى

كما فى أنواع كثيرة من معادن الطين. وحيث أن ثابت العازل الكهربى النسبى للماء أكثر من (81) بالنسبة للصخر الجاف فإن أى نسبة صغيرة للماء تزيد من السماحية الظاهرية للصخر. يرى شكل (8-12) تأثير محتويات رطوبة التربة للصخور المختلفة على الثابت النسبى للعوازل الكهربائية. أكثر من هذا فإن كمية الماء الموجودة خلال الصخر سوف تؤثر أيضا على سرعة إنتاش موجات الراديو. وقد وجد أن سرعة الرادار خلال الماء العذب 3.3×10^8 م/ث (0.033 م/ث) بينما تكون 1.2×10^8 م/ث خلال مسامية الحجر الرملى المنخفضة.



شكل (8-12): مسافات جسية كدالة للتردد لمواد جيولوجية مختلفة

توضح ثوابت العوازل الكهربائية النسبية لمواد الطبقات العلاقة مع المسامية (ϕ) بواسطة اعتبار نسبة المحتويات الموجودة وهذه الثوابت المقابلة لها. توضح المعادلة الآتية العلاقة بين ثوابت العوازل الكهربائية الظاهرية والمسامية.

$$\epsilon_r = (1-\phi)\epsilon_m + \phi\epsilon_w \quad (8-17)$$

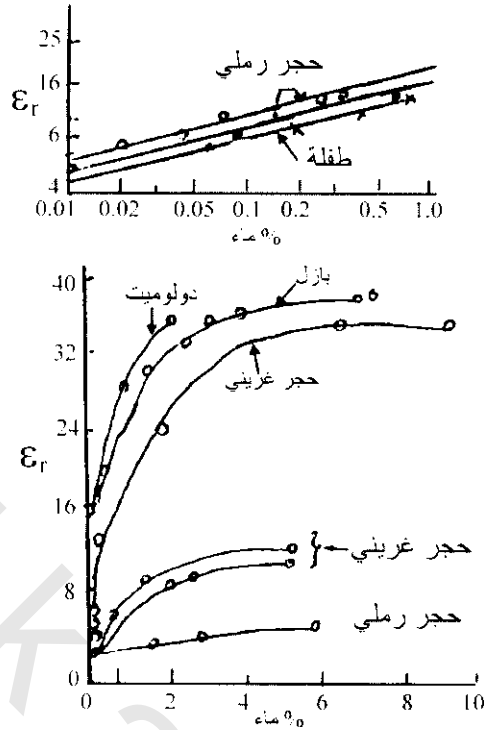
حيث ϕ المسامية، ϵ_m ثوابت العوازل الكهربائية النسبية للنسيج الصخري ϵ_w ثوابت العوازل الكهربائية النسبية للماء بالفراغات. تتلشى هذه المعادلة عند تطبيق المجال الخارجى موازى للتطابق الصخري. عند تطبيق المجال الخارجى عمودى على التطابق عندئذ

$$\epsilon_r = \epsilon_m \epsilon_w / [(1-\phi)\epsilon_m + \phi\epsilon_w] \quad (8-18)$$

باستخدام العلاقة المبسطة $v = c / \sqrt{\epsilon_r}$ لمواد قليلة الفقد، حيث c سرعة موجات الراديو فى الهواء وبالتعويض فى المعادلة (8-13)

$$\therefore V = C / [(1-\phi)\epsilon_m + \phi\epsilon_w]^{1/2} \quad (8-19)$$

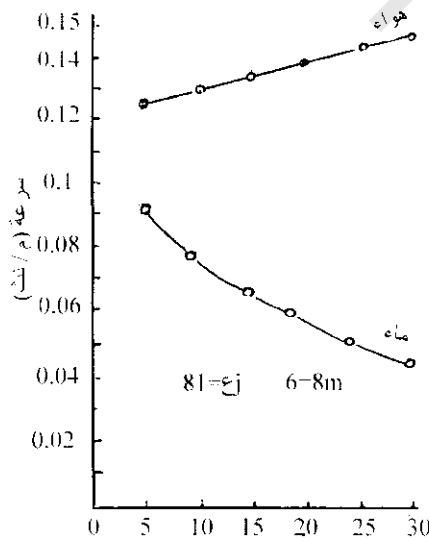
يوضح شكل (8-13) تغير موجات الراديو مع المسامية لأوساط مسامية مشبعة بالماء والهواء. إذا عرفت ثوابت نسبة العازل الكهربى لكل مكون للمادة وقيست المادة الظاهرية أو إستخرجت من سرعة موجات الراديو، عندئذ يمكن حساب المسامية.



شكل (8-13): تأثير المحتوى الرطوبى لتربة من صخور على ϵ_r (كنج وسمث 1981 King & Smith)

من شكل (8-14) يمكن رؤية أن سرعة موجات الراديو تقل بزيادة محتويات رطوبة التربة. تبعا لذلك فإن المواد المائية تحلل رأسيا أفضل من المواد الجافة. أيضا فإن التوهين (التخفيف) في المواد المائية أكبر من الجافة لذلك فإن اختراق العمق يكون صغير.

بفرض تحديد المسامية كمركتين فقط فإن هذا يعنى عمل واحدة للنسيج والأخرى للفراغات التى تكون مشبعة أما بالهواء اوسائل آخر معروف نسبة ثابت العازل الكهربى له. أيضا، يفرض أن جميع الفراغات مشبعة بسائل واحد، ربما، هذا الوضع لاينجز فى كثير من الحالات فى الطبيعة.



شكل (8-14): سرعة رادارية كدالة مسامية هواء، ومواد حبيبية مشبعة بالماء مسامية (٠/٠)

3.8 أنماط الحصول على النتائج Modes of Data Acquisition:

توجد حالتين لإستخدام أنظمة الرادار .

1.3.8 بروفييل رادارى عاكس Radar Reflection Profiling:

يمثل شكل (8-1) مثال رادارى يستخدم للحصول على بروفييل عاكس، يتحرك هوائى رادارى أو أكثر عبر سطح الأرض لحظياً، مع قياس فترات الزمن للعواكس الرادارية الموضوعة على محور راسى، بينما يرى مسار مسافات الهوائيات على محور افقى. يشبه شكل هذا المسح بروفييل الإنعكاس السيزمى المستمر. إذا قيست سرعات موجات الراديو مستقلة، أو مقارنة الإنعكاسات مع التغير فى خواص الأرض المرصودة من نتائج الآبار، عندئذ يمكن تحديد أعماق العواكس.

2.3.8 مدى استطلاع زاوية الإنعكاس والإنكسار

Wide-Angle Reflection and Refraction (WARR) Sounding:

يوضح شكل (8-15) توزيع هوائيات المستقبلات WARR، حيث يحفظ الباعث عند موقع ثابت وتقطر المستقبلات بعيداً بزيادة الإزاحة. يجب أن يعبر موقع استطلاع WARR مساحة تكون العواكس فيها سطحية أو أفقية أو مائلة بزاوية ضحلة جداً. أيضاً، يفرض أن خواص المواد متشابهة ولذلك تكون خواص العواكس هي نفسها عبر المساحات التحت سطحية والتي يؤخذ عبرها استطلاعات WARR. هذا الغرض ربما يكون غير حقيقى فى جميع الحالات.

لتنجنب هذا الافتراض الأخير، تكون إنتشار الإشارة التبادلية لنفس التحاليل هي نقط وسط الإستطلاع العام (common midpoint CMP) فى هذه الحالة، يتحرك كلا من الباعث والمستقبل بعيداً عن الآخر لى تبقى نقطة الوسط ثابتة الموقع بينهم (شكل 8-15ب) فى حالة نقطة الوسط، تستخدم نقطة الإنعكاس لكل العواكس عند كل إزاحة، ولهذا فإن التماسكية المساحية عند أى عمق غير مطلوبة شكل (8-15، iii, ii, i)، ولذلك تعطى الأماكن المكافئة بين CMP, WARR.

3.3.8 مابعد (تمبر) الإضاءة أو مسح ردارى غير عميق (ضحل)

Transillumination or radar tomography:

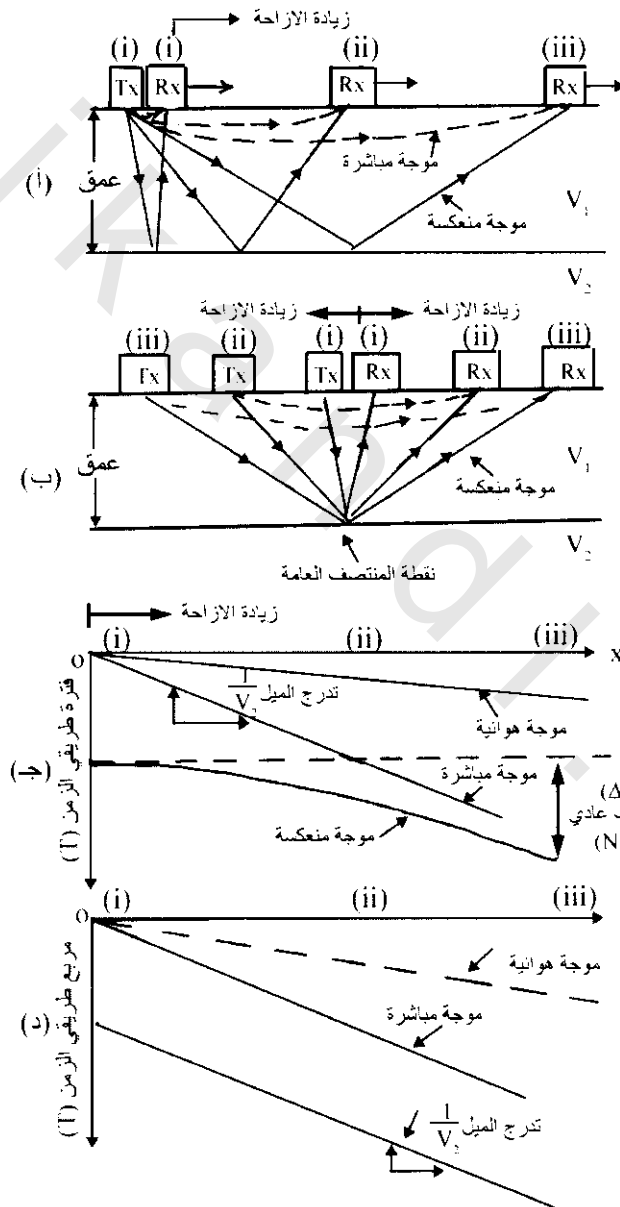
لإستخدام نمط تمبر الإضاءة أو المسح الردارى الضحل يوضع الباعث والمستقبل على جانبي متقابلى الوسط المراد فحصه شكل (8-16). تستخدم هذه الطريقة تحت الأرض خلال المناجم حيث يوضع الباعث فى شرفة والمستقبل فى شرفة أخرى مقابلة للباعث أو فى شرفة علوية وأخرى سفلية. يمكن وضع هوائى الرادار بالتبادل أسفل الفتحات وعندئذ تنتشر اشارات الرادار من واحد، خلال الوسط بينهم، الى الآخر أيضاً هذا النقط شائع الإستخدام فى إستقصاء التركيبات المصنعة بواسطة الإنسان غير التالفة خاصة بإستخدام ترددات عالية جداً لهذا تكون الهوائيات صغيرة (مركز تردد 900 ميغاهرتز). ويشمل هذا الإستخدام أمثلة أخرى كاختبارات الأعمدة الخرسانية والأعمدة البنائية.

يكون من البساطة حساب متوسط سرعة موجات الراديو لمسار الأشعة الملانم عند معرفة الأماكن النسبية للهوائيات عند كل الأزمنة المقاسة، وأيضاً المسافات بينها. أيضاً يمكن تحديد التوهين (التخفيف) بمقياس الإشارة بالإضافة لفترات الزمن.

4.8 معالجة البيانات Data Processing

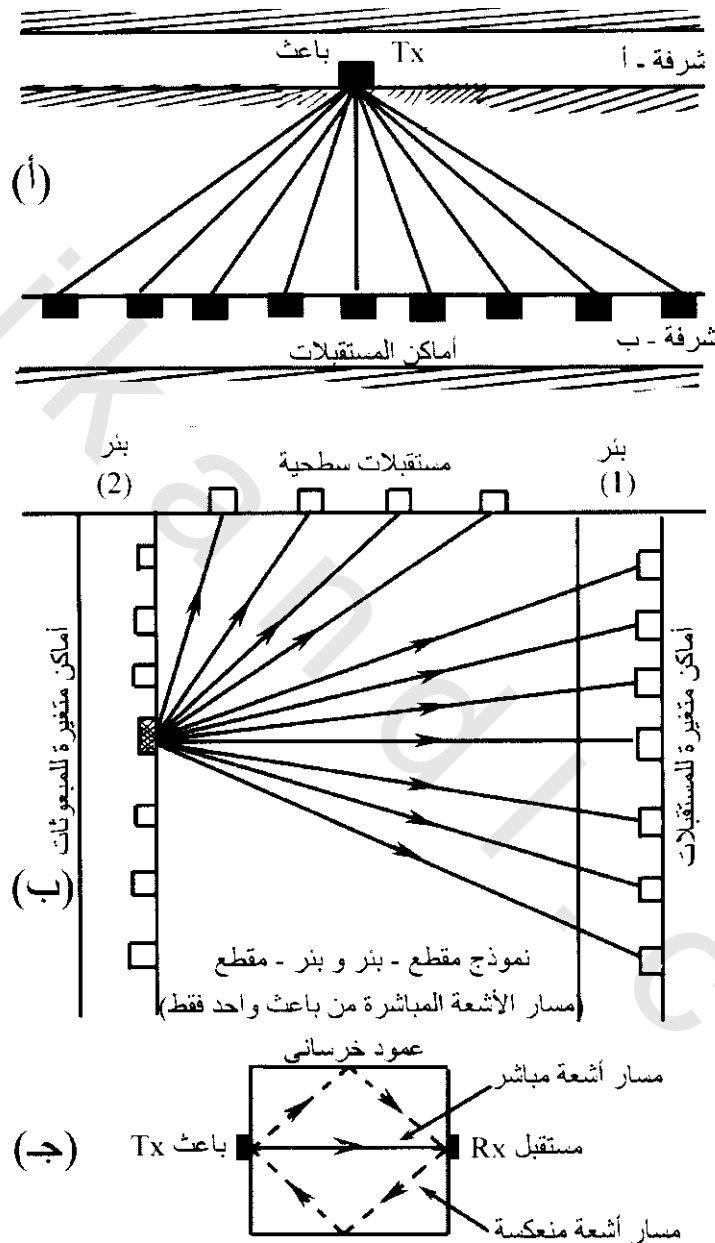
1.4.8 أثناء الحصول على بيانات During Data Acquisition

تمد جميع طرق الرادار الأرضي بأنظمة ترشيح للبيانات خلال الحصول عليها. عادة، من الممكن وضع مرشحات عالية ومنخفضة الإمرار لتحديد شكل موجة الإشارة عند زمن المسح. كما في الترشيح السيزمي أثناء الحصول على البيانات. يوجد عنصر مهم للحس الكيفي لإختيار أوضاع الترشيح الملائمة. أكثر من هذا تسمح الأنظمة الرقمية للترشيحات الرأسية والأفقية وكذلك اكتساب أكبر قوة لأوضاع اختيارات تكون فيها المعلومات



شكل (15-8): (أ) شكل استطلاع زاوية الإنعكاس والانعكاس (WARR)، (ب) استطلاع نقطة منتصف عامة (CMP) مع (ج) تخطيط زمن-مسافة (x-T) مع زمن تحرك عادي (MMO) و (د) الشكل التخطيط المقابل للتربيع (x^2, T^2)

الكيفية أفضل. وكقاعدة ايهام اليد يكون من المناسب حفظ أوضاع الفلاتر كنطاق موجى عريض كلما أمكن ذلك لكى لاتستبعد قيم المعلومات الممكنة أثناء الحصول على طورها. يكون ترشيح النطاق الموجى العريض قليل القيمة جدا بعد إتمام العمل الحقلى أكثر من التحقق بأن المعلومات الكيفية وفقت بواسطة إستخدام أوضاع المرشحات والتي تكون صعبة جدا، لذلك من الضرورى إعادة العمل الحقلى.



شكل (٨-١٦) نتائج حصل عليها لنماذج رادارية تمرير إضاءة ومقطع بنر (أ) بين شرفات منجم، (ب) بين آبار أو آبار - سطح، (ج) خلال عمود خرساني. فى جميع الحالات المسافة المباشرة بين هوائى الباعث والمستقبل معروفة. أيضا يعرف نموذج أ، ب بمسح ردارى ضحل.

تستخدم دالة الأنظمة الرقمية لاستخلاص عدد محدد من المقادير المجاورة لتحسين الإشارة إلى نسبة الشوشرة. هذه الأعمال جيدة في بعض المساحات عندما يكون التركيب كثيرا موازى أو نسبة موازى لسطح الأرض. تنتج تلوثات أفقية وصورة رادارية غير مركزة عندما يوجد تركيبات شديدة الانحدار وتكوينات أفقية مجاورة عبر مسوحات رادارية كثيرة جدا.

2.4.8 إستطلاع إتساع زاوية الإنعكاس والإتكسار

Wide-Angle Reflection and Refraction (WARR) Sounding:

إذا استخدم هوائين منفصلين واحد كباعث والآخر كمستقبل، في نمط ثنائى الإستاتيكية، فمن الممكن تحديد التغير الرأسى في سرعة موجات الراديو وأيضا نسبة ثابت العازل الكهربى. لا يمكن أخذ إستطلاع (WARR). إذا كان هوائى واحد ملائم في نمط أحادى الإستاتيكية، وعندئذ يمكن فقط تحديد السرعة بواسطة المقارنة المباشرة مع تسجيل بئر مجاورة أو بمعرفة أهداف لأعماق مدفونة، والأخيرة شائعة الإستخدام وربما تعطى أعماق صحيحة إلى $\pm 20\%$.

في أشكال كلا من WARR أو CMP (8-15) يمكن تعريف ثلاثة أنواع من الموجات.

(أ) موجات هوائية تسير من الباعث للمستقبل خلال الهواء عند سرعة موجات راديو في الهواء (0.3 م/نث).

(ب) موجة مباشرة، تسير مباشرة من الباعث خلال وسط قريب من سطح الأرض (V).

(ج) موجة منعكسة، من الباعث إلى اسطح الفاصل والتي تنعكس إلى المستقبل، أيضا عند سرعة موجات الراديو في الطبقة الأولى (V_i).

يظهر الرسم البيانى للعلاقة بين الزمن (T) والمسافة (X) كقطع خط مستقيم نتيجة تنقيط فترات الزمن لكلا من موجات الهواء والموجة المباشرة، ولكن يكون الشكل للموجات المنعكسة خط منحنى (مخروطى). يكون زمن الحركة العادية الخارجية (Normal Move Out NMO) هو الاختلاف في فترة الزمن بين زاوية الصفر وإزاحة محددة (شكل 8-15ج). عندما تنقط بيانات فترة الزمن على رسم بيانى مجاورة من الدرجة الثانية T²، X² تظهر جميع القطع كخط مستقيم (شكل 8-15د)، ويساوى التدرج العكسى لكل خط مربع سرعة موجة الراديو المقابلة.

عبر الفترة من صفر إلى t₀ تحدد سرعة الراديو لطبقة واحدة، عندئذ يؤدي جذر مربع السرعة V_{RMS} لقيمة متوسط الزمن. أيضا عندما يحصل على معلومات فترات الزمن للعواكس العميقة، فإن السرعات المحددة من التحليل السابق لكل طبقة هي قيم جذر مربع السرعات. للتحديد الجيولوجى أكثر من معنى سرعى لطبقة معينة، عندئذ يكون من الضرورى إستخدام معادلة دكس Dix لاستخراج "فترات السرعة". وهذا التحليل بالضبط نفس المستخدم مع نتائج السزمية المنعكسة.

3.4.8 مابعد تسجيل البيانات المعالجة Post-Recording Data Processing:

يمكن فقط معالجة البيانات الرقمية بعد التسجيل، وغالبا ما تحدد درجة المعالجة بواسطة: (أ) ميزانية ملائمة، (ب) زمن ملائم، (ج) نوعية البيانات، (د) قدرة معالجة ملائمة (سوفت وير، هاردوير)، (ر) ضبط التفسير النهائى بأكثر من تحليل، (س) التركيبات الواضحة على التسجيل الخام تميز معالجة واضحة البيانات كمي.

تكون الخطوة الأولى ترشيح البيانات لكى تركز الصورة، وهذه كافية لكثير من التطبيقات لكى توقع الظواهر تحت سطحية. لتحليلات أكثر وضوحاً، يكون من الملائم استخدام مدى واسع من المعالجة، لغاية وشمول نفس إنشاءات بيانات سيزمية الانعكاس المتعددة تكون شاملة صفة التحليل.

نظام الرادار المنتج بواسطة شركة أنظمة المسح الجيوفيزيائية التى لها مجموعة حقائب معالجة نتائج ملائمة تسمى محلات نتائج إدارية Radar Data Analyser RADANTM. يمكن تحويل هيئة المعلومات المسجلة على وسط مغناطيسى، نموذجياً 2-5 جيبوت Gbyte شريط مغناطيسى، أو فرص مجنيتوضوى من SEG2 إلى هيئة SEG1 لكى تكون متلائمة مع صناعة عمل المحطات السيزمية العيارية. تبسط أنماط ترتيب المعلومات فى ملف لبيانات الراديو بواسطة SEG الهندسية ولجان الجيوفيزياء. بالمثل، الحساسات والسوفت وير لها مدى لتصميمات سوفت وير الحاسب الآلى للاستخدام مع نظام نبض EKKO، والذى ينتج بيانات فى أنماط متلائمة مع معالجة سوفت وير للبيانات السيزمية.

من الأهمية الخاصة، القدرة على إعادة تخزين العلاقات الهندسية تحت سطحية خلال عملية الإزاحة. يمكن إزاحة حيود القطع المخروطى خلفاً إلى القمة من التى تنشأ منها الحيود. يمكن تصويب الخطوط السطحية المائلة لمكانها الصحيح بالنسبة لمواقعها الأرضية. خلافاً لذلك، من الممكن حل الأخطاء الهامة وذلك بالتأكد بأن ظاهر موقع تحت سطحية معينة يكون مضبوط على تسجيل الرادار الخام، بينما تكون فقط صورة مؤثرة وربما تكون منقولة من وضعها الحقيقى بواسطة مسافات أفقية ورأسية معينة. أساسيات الإزاحة موضح بتوسع فى السيزمية الانعكاسية.

طرق أخرى للتحليلات الكمية تكون ملائمة خلال التحليلات التخيلية، حيث يسمح التسجيل الرادارى لاتجاهات التحليل وذلك بالتحرى بأكثر من عملية على بيانات أشكال الموجات، فمثلاً يمكن إستخراج إتجاهات مثل الانعكاسات المائلة فى إتجاه معين. إحصائياً، يمكن تعريف إتجاهات معينة من التسجيل الكلى وتظهر أوتوماتيكياً كخطوط تفسر لتحليلات متتابعة يدوية.

5.8 تقنيات التفسير Interpretation Techniques:

1.5.8 التفسير التخطيطى Graphic Interpretation:

من كلا بيانات الرادار المماثلة والرقمية، يمكن تحليل نسخة تسجيلات الرادار الأصلية فى عبارات الانعكاسات والحيودات وقياس أزمنة انتقال الطريقتين لكل الأحداث المميزة بواسطة التحسين أو القياس لقيمة ثابت العازل الكهربى النسبية للملائمة. ومن ثم الحصول على سرعة موجة الراديو الحقيقية – يمكن تحويل طريقتى انتقال الأزمنة للأحداث المعينة إلى أعماق. ببيانات الرادار المطلوبة عبر شبكة منتظمة، والانعكاسات المعروفة عبر مساحات معينة، يمكن إنتاج خرائط موقع طريقتى انتقال الزمن، أو خرائط تساوى سمك الطبقة، الدالة على العمق أو سمك طبقة معينة، وكذلك إعطاء قياس حقيقى لسرعة موجة الراديو.

هذا التقريب خاصية سائدة فى الطرق المرصوفة المحللة، حيث يكون عدد الطبقات المميزة عادة مرتبطة مع الأعلى إلى اربع طبقات متوازية إلى شبه متوازية (طبقة بيتيومين مرتبطة أو خرسانة، طبقة حبيبية، أعلى

وأسفل شبه تدرج). يمكن ترقيم فترات الأزمنة لتفسير السطوح الفاصلة من ورق تسجيلات الرادار وباستخدام سرعة موجات الراديو الملائمة لكل من الطبقات المميزة فإنه يمكن تحديد الأعماق لكل سطح فاصل. هذه تتطلب اعتبارات حذرة من الدقة للتقاط علامات الانعكاسات المختلفة على تسجيلات الرادار وكذلك شبه الوثوق لسرعات موجات الراديو المستخدمة لاستخراج الأعماق. هناك اختلافات محلية فى سرعات موجات الراديو يمكن حدوثها خلال الخراسانات أو بسبب تغير محتوى الرطوبة. ربما تجهز المستويات الأفقية المفردة مثل التحت أساس فى طبقات، وهذه ربما تكتشف فى بعض الحالات ربما تختلط الحدود بين الطبقات ولذلك لايعرف من أين يأتى انعكاس الرادار. هذه الحالة تحتاج لإجابة فى عمل رصف الطريق قبل إنتاج الرسوم النهائية. فى جميع الحالات، يجب عمل تقرير يمثل الأخطاء وحدود القياسات. لا يوجد مثل هذا الشئ كقياس مطلق للعمق باستخدام طرق الإستشعار، خاصة الرادار.

من الممكن إظهار تفسيرات البيانات فى طرق واسعة المدى باستخدام أنظمة تصميمات حاسب آلى إضافية ((Comptuer-aided design (CAD) وأحزمة سوفت وير ثلاثية الأبعاد الخطية. عند عدم التأكد للتغير المحلى فى خواص العوازل الكهربائية للمواد الطبيعية لتحديد بداية مكان إتجاهات الانعكاسات، تعمل مطالب عدم تبرير الدقة. طالما أن الخواص الكهربائية والعازل الكهربى للمواد المستخدمة فى رصف الطريق معروفة جيدا، لذلك تتحسن الدقة والوثوق.

بالإضافة لتخطيط سطوح الفواصل، يمكن استخدام التغير فى مظهر الخواص على تسجيل الرادار كدلالة على الحالات التحت سطحية. فمثلا تشير المناطق عالية التوهين (التخفيض) إلى نطاقات بمستويات توصيلية والتي ربما تصاحب التلوث، أو جيوب طينية. ربما تتضح الكهوف التحت سطحية بواسطة التوافق خلال فراغات التجويف، حيث يستدل على التسجيل الرادارى كمجموعة من ساعات نبضات كبيرة والتي تكون محصورة جدا جانبيا. أيضا يستدل على نطاقات من أحجار صغيرة مدورة أو طبقات مشوهة بشدة بواسطة فقد الالتصاق لأحداث الانعكاسات الأولى. أيضا، ربما يستدل على انفصالات (تشققات) الطرق المرصوفة بواسطة تغيرات خواص مميزة على تسجيلات الرادار.

2.5.8 التحليلات الكمية Quantitative Analysis:

يعتمد أساس تحديد العمق على طلب معرفة سرعة موجات الراديو وتغيرها الرأسى والأفقى خلال منطقة المسح المعطاه. ويمكن الحصول على الصورة التفسيرية لمجال السرعة عند معرفة بيانات CMP/WARR. تبعا لذلك يستدل جيولوجيا من قيمة دالة سرعات موجات الراديو، أو بأكثر خصوصية يمكن استخدام ثابت العازل الكهربى النسبى للتفسير الإضافى.

يعين معامل الانعكاس وكذلك التغير فى ϵ_r من تفصيلات كمية منسوبة لتحليل من بيانات تسجيلات الراديو مثل تحليلات السعة، وعندئذ يكتسب كثير من الفهم الشامل للموقع. فى الحقيقة يأخذ نوعية بيانات مناسبة واستخدامها ومعالجتها بعناية، فإنه يمكن معرفة ملائمة كثيرة عن دراسة طبيعة الصخور للجيولوجيا المعطاه أو نظام هندسى مقارن. بخلاف ذلك، يحتاج لمستوى معادلة وتحليل عالى أكثر أهمية لتفسير تميز مطلوب، مثل التنقيب: **Wide-Angle Reflection and Refraction (WARR) Sounding** استخدام الرادار الأرضى تطور عبر السنوات القليلة القادمة.

3.5.8 تفسيرات انهيارات المناجم Interpretational Pitfalls:

تفسيرات بيانات الرادار تشارك فى عمومية انهيارات المناجم وأهمها:

1.3.5.8 عدم قدرة تميز سطح الأرض، وذلك لخطأ تميز كل من الشريط الأسود على تسجيلات الرادار السوداء والبيضاء المتسببة بواسطة مستوى منفصل. أسهل طريقة لتحديد مستوى الأرض، خاصة بهوائى تردد مركزه $500 \leq$ ميجاهرتز هى رفع وخفض الهوائى فوق سطح الأرض. تظهر القرنة (رأس مؤنق) المميزة على تسجيل الرادار وتدل بوضوح أين يمثل مستوى الأرض.

2.3.5.8 الصعوبة الحقيقية عبر تحديد عدد من طبقات ضوئية عالية، خاصة مع تشابه بيانات الرادار. كيف يمكن أولاً تعريف الانعكاسات المعرفة من التعددات، إحداث ثائية ونهايات الانعكاسات الأولى الأخرى؟ أكثر من هذا عندما تتقاطع الأشكال الموجية كل للآخر فإنها تسبب تداخل، الذى ربما يعطى ظهور "نهاية" شريط واحد أسود يقابل الآخر. جيولوجيا، ربما يكون هذا تفسير خطأ حيث مستوى واحد متناكب (متناس) المقابلة للآخر. باعتبار أن حالات الجيولوجيا غير واضحة التسجيل رادارياً، عند ذلك يوجد تبرير لتحليل كمى مفصل إذا سجلت البيانات رقمياً. إذا أنتجت فإن تواجد قليلها يعطى حل المشكلة. يمكن إستخراج التحليل الكمى كاحتمال أحداث متكررة (هذه الأحداث تكون زمنية فقط وتكرر لبداية الأحداث الأولى)، وبواسطة إعادة (الدورات) يمكن تحديد شكل إنخفاض تابع الموجه، وعندئذ يعرف أحداث الإنعكاس الأولى. يساعد تتابع الإزاحة على إقلال حيود المخروط، وبواسطة إعادة تخزين بعض الهندسة التحت سطحية للانعكاسات الأولية، يمكن أن تساعد كل تفاصيل جيولوجية هامة كانت مبهمه.

الصعوبة فى التميز بين انعكاسات الجيولوجيا الهامة وترديدات (صدى) دخيلة، تضاعفات، شوشرة، حيودات، قطاعات غير واضحة على بعد، ... إلخ، تجعل فى بعض الحالات صعوبة تحديد التربة والتتابع الصخرى. فى حالات أخرى أمكن التحديد الاستراتيجى بسهولة تماماً فى شكل (8-17) قورن التسجيل المشابه الذى حصل عليه فى 1976 مع تسجيل رادارى رقمى حصل عليه لنفس المنطقة أكثر حداثة. بينما يظهر التركيب الإجمالى فى 1976 يماثل التسجيل فإن التفاصيل تكون أكثر حدة فى التسجيل الرقمى.

توجد مواقع يكتشف عندها مستوى الماء على تسجيل الرادار وأخرى لا يكتشف عندها. هذا بسبب أن نسبة سمك نطاق الخاصية الشعرية إلى الطول الموجى لموجات الراديو تحتاج أن تكون صغيرة (السمك > الطول الموجى) لكى تمد تباين كافى فى ثابت العازل النسبى بين المواد المشبعة وغير المشبعة ليجمد جزء هام من الطاقة شكل (8-18). إذا كان نطاق الخاصية الشعرية سميك بالمقابل مع الطول الموجى، عندئذ يكون معدل تغير ثابت العازل النسبى مع العمق خلال هذا النطاق صغير.

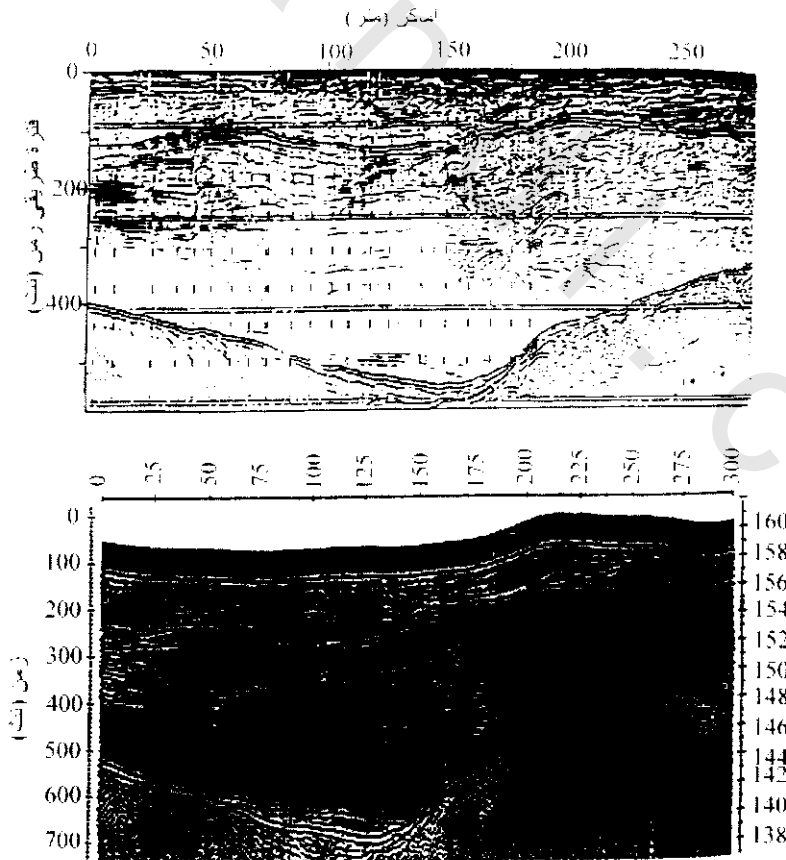
تأثير هذا أنه لكل زيادة تزايدية فى ثابت العازل النسبى، ينعكس جزء من الطاقة الساقطة كذلك تكون الطاقة الكلية المنعكسة ملوثة (متأثرة) من نطاق الخاصية الشعرية وعندئذ يكون سعة حصيلة الإنعكاس منخفضة جداً ولا تساعد فى توضيح أى اكتشاف. فى المقابل، إذا كان الانتقال من جاف إلى تشبع فإن التقدير اللحظى (مثل تغير فى ثابت العازل النسبى من 6-25)، عندئذ فإن معامل سعة الإنعكاس (R) تكون 0.34 والتي تعتبر مرجع (عائد) قوى.

6.8 تطبيقات وحالات سيرية Applications and Case Histories

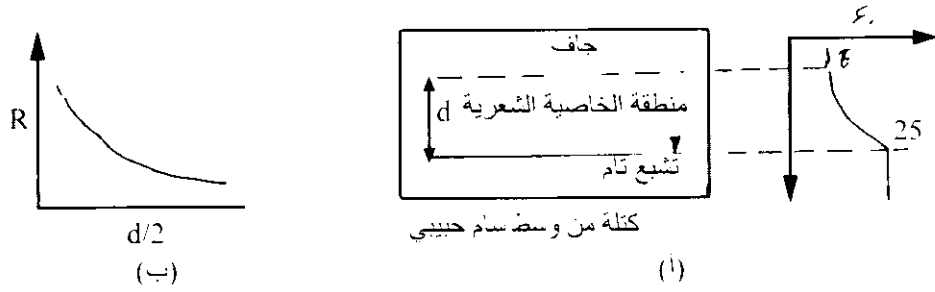
1.6.8 التتابع الرسوبى Sedimentary Sequences

من الواضح أن جهاز اختراق الرادار الأرضى ملائم لتخطيط التتابع الرسوبى بدرجة عالية من خصوصية تحليل على كلا من الأرض وخلال الماء العذب. ويوضح شكل (8-16) مثال إصلاح فى نوعية بيانات فى تخطيط استراتيجيات التربة. ينتج الفشل العام لتحليل تسجيل الرادار المطلوب فى الإستقصاء الاستراتيجى من زيادة تفسير البيانات. غالباً، تؤخذ الأحداث المتلاحمة الظاهرة كدلالة على سطوح فواصل رسوبية مفردة بدون الإعتبار المطلوب لطبيعة طبقة سطوح فواصل دقيقة، حدود التحليل الرأسى والأفقى، الحجم المحدد لنطاق فرسنل Fresnel الأول، تأثيرات الإزاحة، الشكل المعقد لتتابع الموجى الساقط... إلخ، تكون لعمليات البيانات السيزمية دور هام مناسب للتمثيل فى هذه التطبيقات.

يمكن نشر الرادار الأرضى عبر بحيرات متجمدة ويستخدم لإستقصاء رسوبيات تحت البحيرات خلال الماء العذب لأكثر من 27 متر عمق. يرى شكل (8-19) بحيرة الثلج كمنبسط صخرى متزن والذي عليه يقطر (يجر) الرادار. فى الواقع يكون الماء العذب خلال البحيرة ناقل لموجات الراديو وتكون رسوبيات البحيرة واضحة بجلاء خلال 4-8 متر من الماء العذب. لمثل ذلك يمكن إستخراج مستويات أفقية مفردة خلال الراسب من تحليل نظام هوائى 100 ميغا هرتز. يلاحظ أن الإنعكاسات المرتدة من قاع البحيرة تتكون على الأقل من أربع نطاقات بسبب حلقة المصدر. أكثر من هذا، فترة التقاطر الأصلية (حول 70 نت)، ربما

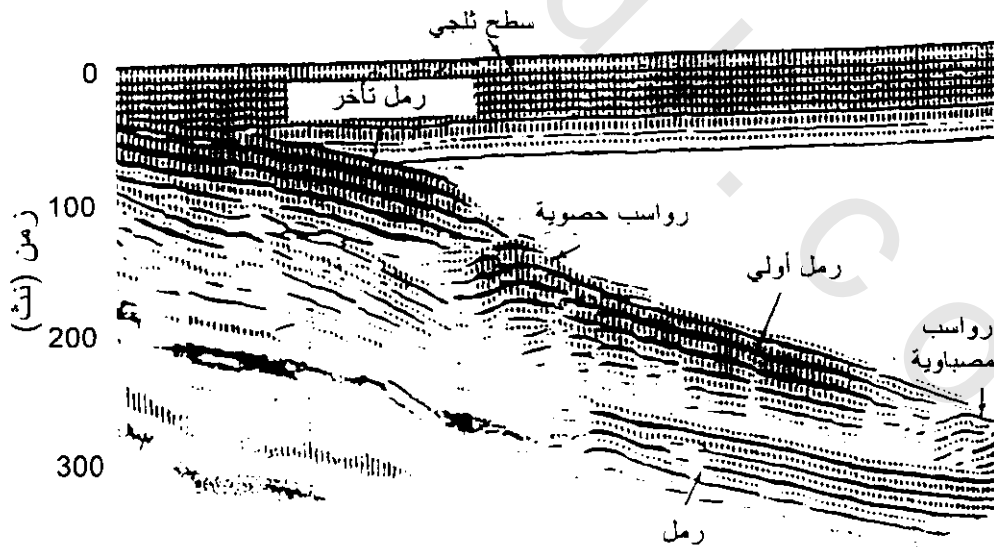


شكل (8-17): تسجيل رادارى حصل عليه فى 1976، قورن بأخر فى 1990 (بست وسبيس Best and Spies 1990)



شكل (8-18): تأثير سمك منطقة الخاصية الشعرية على قوة الانعكاس الناتج من مستوى الماء الجوفي. (أ) سمك منطقة الخاصية الشعرية أى فوق مستوى الماء الجوفي لها ثابت عازل نسبى (ϵ_r) والذي يزداد إلى أكبر قيمة عند التشبع التام ، (ب) معامل سعة الانعكاس يقل كنسبة لسمك منطقة الخاصية الشعرية إلى زيادة طول موجات الراديو الساقطة

يخطئ التفسير بواسطة بعض دلالات على وجود أكثر من 6 متر من الثلج (سرعة موجة الراديو خلال الثلج (0.167 متر/نث). السمك الحقيقي 0.15 متر فقط. فترة زمنى الانتقال خلال طبقة الثلج يكون حول 2 نث فقط. يرى هذا أن استخدام هوانى منخفض التردد (100 ميگاهرتز). بالقرب من ظواهر السطح لاتحل مطلقا حيث تكون مختفية كلية خلال التقاطر المزدوج الأرضى الأصلى. يمكن حساب سرعة موجات الراديو خلال الماء العذب بمعرفة عمق الماء (حوالى 4.8 متر) وفترة الزمن الكلى (حول 300 نث). هذه القيم تعطى سرعة موجات راديو 0.032 متر/نث (من $2 \times \frac{4.8}{300}$)، بإهمال طبقة الثلج وبفرض فقد وسط قليل. كتدقيقين، ثابت العازل الكهربى النسبى للماء 81 والذي يعطى سرعة موجات راديو $\sqrt{8.1}/0.3$ أو 0.33 متر/نث، أنظر معادلة (8-1).



شكل (8-19): تسجيل رادارى عبر ثلج مغطى بحيرة، حصل عليه باستخدام هوانى 100 ميگاهرتز. أكبر عمق للماء 48 متر، عرض البروفيل 25 متر ومدى فترة طريقى الزمن 500 نث (ميدللت 1993 Medllett)

2.6.8 هيدروجيولوجية الماء وتلوث الماء الأرضى: Hydrogeology and groundwater Contamination:

أصبحت قياسات الحماية البيئية أكثر صرامة (شدة)، ويزداد الضغط على حفظ نوعين من مصادر الماء الأرضى، لذلك ينمو احتياج تعيين تلوث المياه الأرضية. وقد وضع بعض المؤلفين كيفية استخدام الرادار الأرضى لتحديد وعمل خريطة إنتشار تسرب مياه ملوثة من مواقع الزبالة. يرى شكل (8-20أ) تخطيط خطى لموقع المنطقة. على طول خط الرادار المشاهد فى هذا الشكل يلاحظ أن التربة تتكون من رمل دقيق يعلو صخر أساسى والموجود على عمق حوالى 20 متر. ويرى شكل (8-20ب) تسجيل رادارى لمسح رادارى باستخدام نبض نظام رادار EKKOIII.

عندما يحدث اختراق لموجات الراديو فى رواسب سطحية، فترى إنعكاسات يظن أنها بسبب مستويات أفقية لحبيبات ذات أحجام وكثافات مختلفة، وعندئذ تختلف هذه الإنعكاسات عن إنعكاسات محتويات رطوبة التربة. أيضا يكون من الواضح جدا على هذا القطاع أنه توجد مناطق يحدث عندها أما إنعكاسات ضعيفة جدا فقط، مثل عند 150 متر على طول البروفيل حول 400 نث طريقى حركة الزمن، أو تخفض الإشارات تماما. يكون إنخفاض إشارات الرادار شديدة عند وجود تلوث مصاحب للتوصيلية الكهربائية العالية.

أنتشت عدة آبار على طول خط المسح وقيست توصيلية الماء الأرضى. يشير أسفل الخط المتصل فى شكل (8-20ب) الموصل لمجموعة نقط سوداء بأن توصيلية فراغات الموصل المملوءة بالماء تزيد عن (10 ms/m)، وهذا يدل على أن الرسوبيات سطحية. وكما أنه معروف أن الرسوبيات السطحية تكون معتدلة الإنسجام فى خواصها غير منطقة الموقع، لذلك يقترب إنتشار التلوث (شكل ريش) للسطح بين 40-60 متر (كما اتضح بواسطة بيانات الآبار) لذلك تمتد أيضا بين 100، 150 متر على طول خط البروفيل عند عمق حوالى 6 متر أسفل مستوى الأرض. الجزء الثانى من الإنتشار لم يتوقع، ولذلك فإن نتائج المسح الرادارى نافعة جدا فى تزويد هذه المعلومة الإضافية. يكمل المسح التوصيلى الأرضى عمل الرادار لتحديد تغيرات خاصة فى التوصيلات تحت سطحية بدون إضافة حفر آبار والتي ربما تعمل على نشر أكثر التلوث رداءة.

حيث أمكن توضيح أن المسح الرادارى نافعا للجيولوجيا التحتية الميحطة وحالات أرضية أخرى، لذلك يمكن إكتشاف التلوث بواسطة الرادار، وعندئذ يمكن تخريط إنتشار التلوث. بواسطة الأخذ فى الاعتبار إعادة المسوحات على طول نفس التقاطعات الأرضية، فإنه يمكن إكتشاف التغيرات كدالى للزمن. أكثر من هذا، حيث يؤخذ فى الاعتبار القياسات الإصلاحية، فيمكن مراقبة نجاح مثل هذه المعالجة بواسطة الرادار.

فى بعض الحالات المعينة، يمكن إكتشاف التلوث الحقيقى نفسه باستخدام الرادار، وربما تكتشف المحتويات التى منها ينشأ التلوث.

يوضح شكل (8-21) تسجيل رادارى عبر ثلاثة براميل مدفونة من حالة تسرب محتويات 55 برميل مدفونة. يلاحظ خاصية حيودات الناتج من البراميل والتى وضعت بجانب بعضها. أيضا، يلاحظ أن شكل موجات الرادار الساقطة تتكون من أكثر من شريط، ولذلك يعطى حيودات البراميل ظهور حيودات منخفضة، وهذه تكون نهايات الحيودات الأولى.

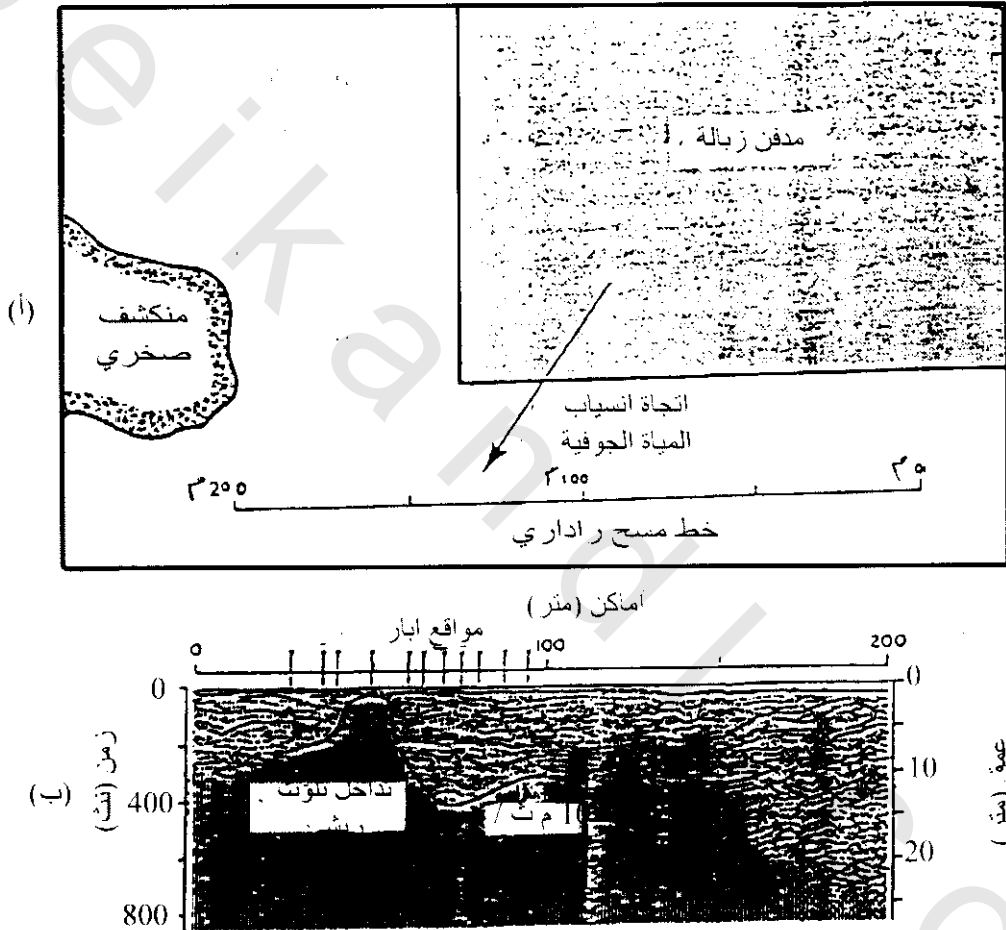
الزراعة والتحول الطبيعى وامتدادات المياه الصالحة للشرب، لذلك طبقت بعض الأمثلة على حالات هيدروجيولوجية فى نزرلاند Netherlands حيث يوجد أربعة أهداف رادارية رئيسية.

(أ) تكتونية وتركيبات الرسوبيات.

(ب) مستوى الماء خلال رسوبيات الرمل فى ركوميات جليدية مدفوعة، شرفات نهريّة وكثبان رملية.

(ج) مستويات مياه جائمة علوية مميزة من مستويات المياه الإقليمية.

(د) الإمتداد والإستمرار الخاص للطين المدفون وطبقات خشبية نصف متفحمة خلال الرسوبيات السطحية.



شكل (8-20): مقطع رادارى يرى تأثير تدخل تلوث ريشى بسبب هجرة رشح من مدفن زبالة (دافس وأنان Davis and Annan) 1989

حيث يؤثر هبوط مستويات الماء الجوفى ونوعية الماء الفاسد تأثيرا هاما على الزراعة والتحول الطبيعى وامتدادات المياه الصالحة للشرب، لذلك طبقت بعض الأمثلة على حالات هيدروجيولوجية فى نزرلاند Netherlands حيث يوجد أربعة أهداف رادارية رئيسية.

(أ) تكتونية وتركيبات الرسوبيات.

(ب) مستوى الماء خلال رسوبيات الرمل فى ركوميات جليدية مدفوعة، شرفات نهريّة وكثبان رملية.

(ج) مستويات مياه جاثمة علوية مميزة من مستويات المياه الإقليمية.

(د) الإمتداد والإستمرار الخاص للطين المدفون وطبقات خشبية نصف متفحمة خلال الرسوبيات السطحية.

يتطلب تسجيل الرادار استخدام نبض EKKOIV بتردد هوانى 25 ميگاهرتز ومسافات محطات 1 م كما فى شكل (8-22) البروفيل المحصول عليه كان عبر ركام جليدى مدفوع مقارن أساسا بالرمل، والقطاع المصحح طوبغرافيا له مقياس نموذجى أفقى ورأسى. يظهر مستوى الماء كإنعكاس أفقى بسعة عالية. فى الجزء الشمالى من القطاع يكون الإنعكاس مستمر بكثرة بينما يقل فى الجنوب (أكثر جزء مرتفع). أدى هذا لإقتراح أن عمق اختراق الرادار هنا يكون عند حدوده وأن العمق الأكبر يوجد تحت مستوى الأرض إلى مستوى الماء فى الجزء الجنوبى حيث فقر نوعية البيانات. مازال يظهر مستوى الماء عند 42 أسفل مستوى الأرض وذلك باستخدام سرعة موجات راديو 0.145 متر/نث (مشتقة من قياسات CMP). أيضا يشير تسجيل الرادار إلى إنعكاسات من سطوح فواصل فوق مستوى الماء. تصاحب الإنعكاسات المائلة سطوح فواصل بين طبقات رملية ذات أحجام حبيبات مختلفة أو بين الرسوبيات الرملية والطينية. فى كلا الحالتين تشير سطوح الفواصل لتغير فى محتوى الرطوبة وعندئذ يظهر تباين فى ثابت العزل الكهربى النسبى. يظهر بروز العاكس فى وسط القطاع بسعة كبيرة ومائل فى إتجاه الجنوب. توجد إزاحة رأسية (حول 2 متر) فى إنعكاس مستوى الماء حيث تقطع بواسطة واقعة ميل. يظن أن التدرج فى مستوى الماء بسبب طبقة الطين المائلة والتي تعطى عاكس شديد الميل.

بالإضافة لإستقصاءات لمصدر المياه الأرضية، يوجد إحتياج متنامى لتخريط لتلوث المياه الأرضية. هذا التلوث ينشأ من ترشحات مدافن الزبالة. يسبب دخول المياه المالحة فى الأرض وتلوث الهيدروكربون الطبيعى (عن طفلات الزيت... إلخ) وإنسياب كيميائى (تداول أو أشياء أخرى) عبر مقياس الزمن والتي مداها من ساعات قليلة إلى عدة سنوات تجاوز إستثمار المياه العذبة. مثال ذلك، إنسياب كيميائى من إنقلاب خزانات السكك الحديدية والتي روقبت (لوحظت) باستخدام الطرق الجيوفيزيائية وتسرب نواتج البترول من الأنابيب عند المصفاة والتي تتجمع تحت الأرض عند مستوى الماء المخروط.

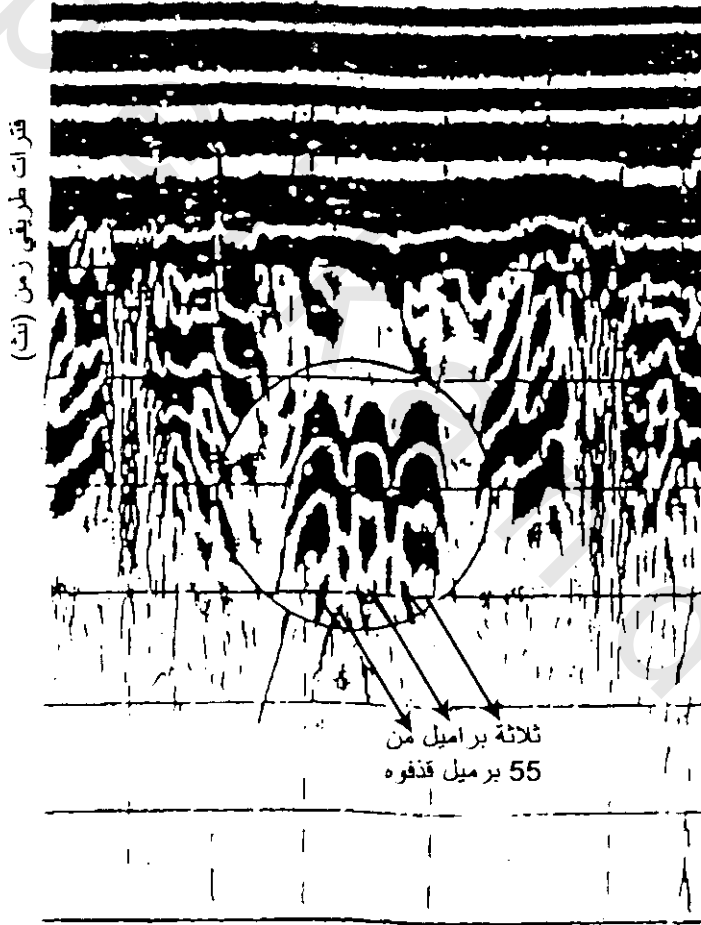
تهاجر بعض الكيماويات من مصدر التلوث بسرعة شديدة ومن الصعوبة إكتشافها بواسطة أى وسيلة. ربما يتطلب ذلك زيادة كمية البحث المأخوذة فى الإعتبار لاختبار إطالة تلوث الماء الأرضى، وذلك بسبب وجود كميات كبيرة من القشريات التى تلوث ماء عضوى ذا كثافة عالية وكذلك طور سائل غير مائى مثل الفوق كلورواثيلين (PCE) الكيمايى الأساسى الهام (أحد المركبات الأساسية للتنظيف الجاف ومنظف معدنى صناعى). أيضا من الكيماويات المعروفة جيدا ثلاثى كلورومثيلين (TCE) وثنائى كلوروميثان (DCM) المستخدم لدهان أعمدة فصل الأجزاء النفطية الخفيفة وإزالة الشحوم المعدنية. بمجرد إستخدام هذه المواد فإن كمية صغيرة منها تتسرب حول مخازن المنظفات الجافة، جراجت خدمة السيارات ونسبة معينة من أحجام هذه المواد يتم التخلص منها تحت الأرض فى مدافن الزبالة، والمستنقعات القذرة، وكمتبقيات على مواقع الصناعة القديمة.

3.6.8 تطبيقات هندسية على إنشاءات الإنسان

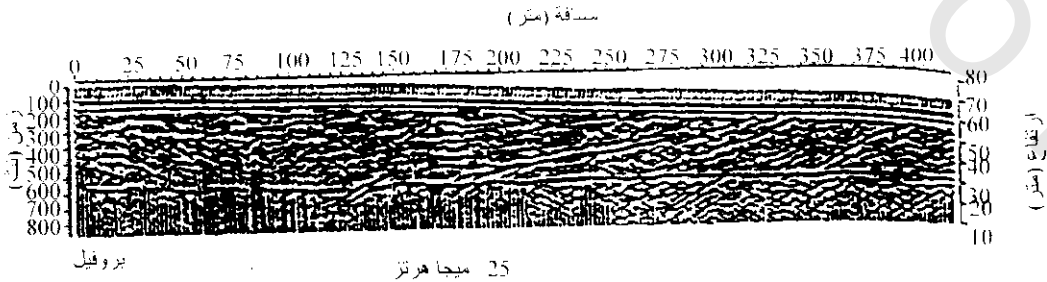
Engineering Applications on Man-Made Structures:

مثلا، يستخدم الرادار للتأكد بأن شبكة التقوية وضعت عند المستوى الصحيح خلال بلاطات (الواح) المسلح. فى بعض الحالات، تزيح عملية صب الخرسانة الشبكية. لذلك بدلا من وضعها خلال منتصف البلاطة تدفعها للقاع ولذلك لاتؤدى الوظيفة التى من أجلها قصدت. بالمثل، يمكن اختبار قضبان التقوية باستخدام رادار ذا تردد عالى (500 ميگاهرتز، 900 ميگاهرتز أو مركز تردد عالى) كما فى شكل (8-23).

أى شد يعمل لملا مواد، والذي يتكون كثيرا من الدولبرايت، يظن أنه متشابهة فى خواصه فى كل مكان. يشير إستخدام المسح الرادارى بهوانى 120 ميجاهرتز إلى شبه طبقة أفقيه خلال الملأ والتي فسترت طبقة مصاحبة للطبقات المدمجة. هذه الطبقات نتجت بواسطة عربات المقاولين الثقيلة عبر الملأ على طول الطريق. تظهر إنعكاسات مميزة من هذه المستويات والتي تحدث نتيجة أقلال محتويات رطوبة التربة (وعندئذ يتبدل ثابت العازل الكهربى) من المستويات المدمجة.

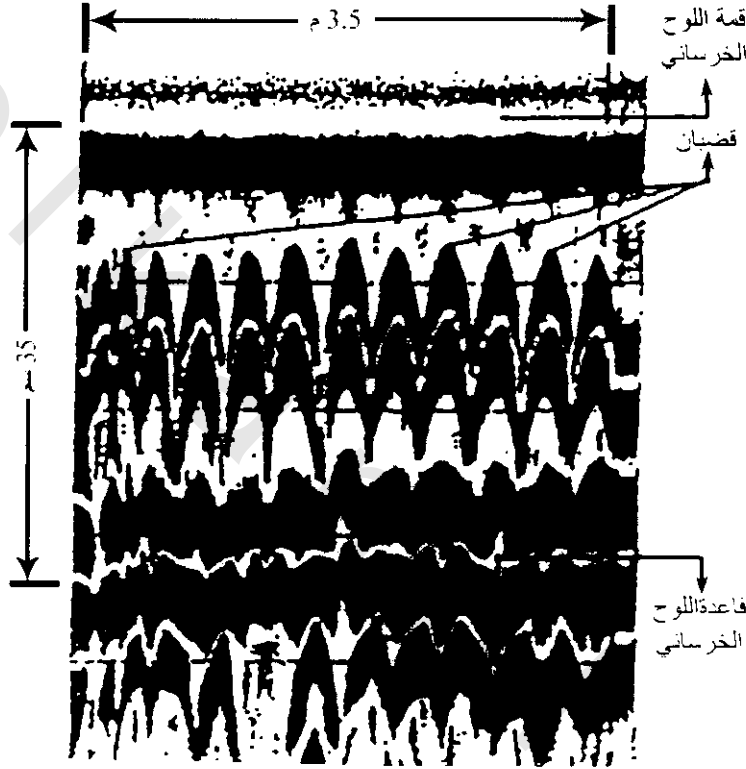


شكل (8-21): تسجيل رادارى فوق ثلاثة براميل موضوعة جنباً لجنب



شكل (8-21): تسجيل رادارى حصل عليه بهوانى (25 ميجاهرتز) عبر ثلج رملى - ركام جليدى مدفوع. إنعكاس مستوى الماء الجوفى يظهر عند إرتفاع 30 متر. يلاحظ أن الإزاحة الرأسية فى هذا الإنعكاس خفيفة بينما الإنعكاس المائل بسبب طبقة طينية قاطعة مستوى الماء الجوفى عند 185 متر

أقيمت سدود حجز المياه على طول أنهار ديوتش Dutch عند مواقع مختلفة بمرشحات حبيبية. غرض هذه المرشحات إقلال الماء الأرضى الكامن من داخل وأسفل السدود لكى يزيد الإلتزان وتمنع تحطم طبقة الطين عند الجانب المحجوب للسد شكل (8-24 أ). يجب أن يكون الحصى المائى للرشح فى تماس هيدروليكى مع الطبقات الرملية أسفله. عملت المرشحات لمدة عشر سنوات ولكن المعاناة أن تصبح سدود بواسطة الجزيئات الدقيقة. تبعا لذلك يكون ضرورى مراقبة المرشحات دوريا، ومن الأفضل إستخدام طرق غير هدمية. عادة يستخدم بنجاح إختراق الرادار الأرضى فى مثل هذه الإستقصاءات.

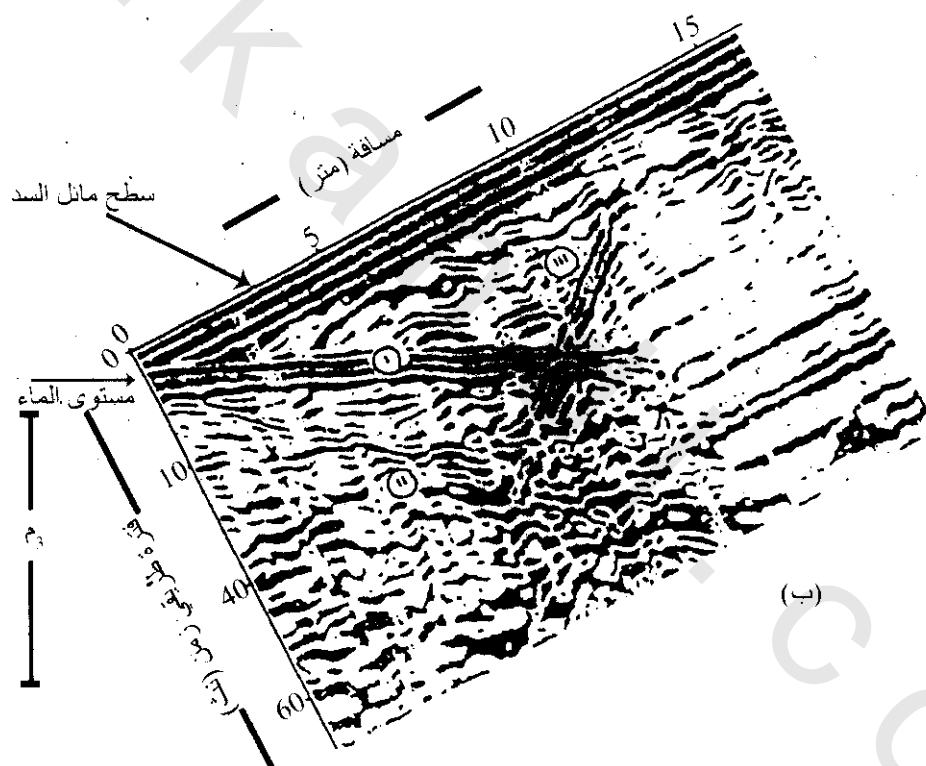
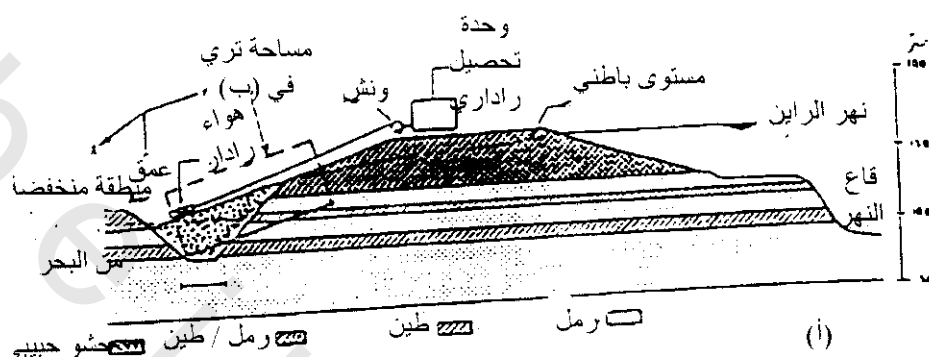


شكل (8-23): تسجيل رادارى نموذجى سجل ساتخدام حوالى 900 ميجاهرتز عبر قضبان تقوية خلال لوح مسلح

ينفذ المسح الرادارى عندما يكون مستوى الأرضى أقصاه وأيضا عند أدناه، عبر فترة الزمن لعدة سنوات. يوضح شكل (8-24ب) تسجيل رادارى بسيط والذى حصل عليه باستخدام هوانى 55 ميجاهرتز بنظام رادارى GSSI. ينتج مستوى الإنعكاس الأفقى من مستوى الماء (مع تعدده). يكون سبب ظهور الإنعكاس III بواسطة مرشح-حد فاصل السد. ربما، يلاحظ عدم تصوير أحد من مستويات الطبقات الأفقية خلال السد نفسه. فى الحقيقة، أكثر احتمالا، يرى النطاق يمين المرشح. حد فاصل السد لإنخفاض معين لطاقة الرادار، بسبب وجود رمل طينى مشبع بالماء وطين.

تساعد طريقة الرادار الأرضى جيدا لإكتشاف الطرق المرصوفة وغطائية الكبارى المصنوعة من طبقات منفصلة. أيضا، يمكن إستخدام الرادار لقياس اسماءك الطبقات وإكتشاف مناطق الانفصال، حيث يسبب انفصال طبقة واحدة عن الأخرى ضعف فى الطريق. عادة، تستخدم هوانيات عالية التردد نموذجيا مركز ترددها 900 ميجاهرتز، طالما يكون عمق الإستقصاء صغير (عادة > 1 متر)، حيث يثبت واحد أو أكثر من هوانى لهيكل على

عربة لكى يحفظ ثابت ويعرف هندسته. تساق العربى على طول الطريق الممسوح بسرعات تبلغ عدة عشرات كيلومتر/ساعة، يدل منظر الخط البياني الخارج لنطاقات الشذوذ والتي تدل على مشاكل كامنة خلال قاعدة الطريق. أيضاً، يمكن إستخدام الرادار للتأكد من وضع السمك المعين لمادة طبقة تحت الأساس أثناء الإنشاء أو وجود مساحات بطبقة تحت الأساس ناقصة أو معيبة.



شکل (24-8): (أ) قطاع لسد متماس للنهر الراين، يوضح هندسة تحت تركيب، وتنسيق لقطاع راداری یری فی (ب) تسجیل راداری (300 میجهرتز) مأخوذ عند مستوى ماء مرتفع (فیجتروفاندین Feijter and Van Deen 1990)

تعتبر تطبيقات طريقة الرادار من الأهمية للفحص خلال الأحجار وقوالب البناء؟ أيضا، تستخدم الطريقة لتوضيح التكوينات الداخلية لحالة وتاريخ بناء واجهات المبنى.

في أغلب هذه التطبيقات، تكمل طريقة الرادار طرق اختبارات أخرى غير هدمية، مثل الصوتيات (مثال ذلك في مسوحات غطاء الكباري)، قياسات كثافة نووية وتصوير حراري (مثال ذلك دراسة الطرق). وكمثل

طرق الجيوفيزياء، تؤخذ بعض نتائج أرضية حقيقية لتوضيح ملائمتها لعرض المقارنة. مثال ذلك فى دراسة الطرق الأسفلتية تستخدم عينات لوبية لتمد مقارنة نقطة لنقطة مع تسجيلات الرادار. أكبر ميزة لطريقة الرادار انها كلية غير هدمية.

4.6.8 الفجوات خلال تركيبات صنع الإنسان Voids Within Man-Made Structures:

يستخدم الرادار باتساع لفحص حالات طوب بطانة الأنفاق والمجارى. فى الحالة الأخيرة، غالبا يستخدم الرادار مع دائرة تليفزيونية مغلقة (CCTV).

هناك نمطين لطرق عمل الرادار خاصة لمثل الفحوصات السابقة:

الأولى: سرعة موجات الراديو فى الهواء أسرع حوالى ثلاثة مرات عنها فى المواد الصلبة ولهذا تقدم تأثير سرعة محققة فى الارتباط مع فجوات معينة.

الثانية: يحدث توافق لطاقة طول موجة الراديو الساقطة عندما يكون هذا الطول الموجى كما هو أو أقصر منأبعاد الفجوة.

يرى شكل (8-25) تسجيل مسح رادارى لمجرور. من الرسم يتضح وجود فجوات هوائية فوق قمة المجرور والتي استخرجت من تسجيل الرادار. يظهر على قطاع الرادار ظاهرتين، الأولى هى وضوح الاختلاف فى مكان قمة المجرور على كل جانب من الفجوة شكل (8-25ب). والثانية توضح شاذة معينة الشكل مصاحبة لهواء الفجوة. استخدمت راصدة رأسية لهوائى 500 ميهايرتز أنظام رادارى GSSISIR-3 لتوضيح البيانات المكتسبة.

يرى شكل (8-26) مثال جيد لتسجيل رادارى لموقع سرداب. عمل هذا المسح البروفيلى الخاص بزاوية عمودية على طول سطح كنيسة شارلن Charnal House. يتضح الحد الفاصل بين الحجر والهواء لسطح الكنيسة بانعكاسات لامعة شديدة السعة، كما يلاحظ أنه عند حوالى 6 نث عبر قمة إنعكاس سطح الكنيسة، يوجد إنعكاس أكثر ضعفا والذي مكون من الشكل كالإنعكاس من السرداب. هذا يفسر أن هذا الإنعكاس من قمة سطح خط الأحجار المستخدمة لإنشاء سقف قوس الكنيسة

الإنعكاس القبى اللامع عند قاعدة تسجيل الرادار ليس بسبب كوم الدبش على أرضية الكنيسة ولكن إنعكاس ناتج من الأرض نفسها. هذه القبة ترجع إلى تأثير السرعة المحققة من الهواء المالى للسرداب. عندما يملأ الهواء فجوة على عمق 2 متر فإن الإنعكاس من الأرض يحدث عند فترة طريقى زمن 26 نث أمام إنعكاس من عمق مقارن خلال التربة المجاورة. يلاحظ أيضا أن الإنعكاس من فاصل الحجر-الهواء عند سطح الكنيسة له شكل رصاص أبيض أى موجب ..إلخ، بينما الإنعكاس من الأرض (فاصل الحجر – الهواء) له شكل موجب عندئذ يكون سالب أبيض. يشارك التغير القطبى لمروور موجات الراديو من أ) وسط بطئ إلى سريع (حجر إلى هواء) وعندئذ، ب) وسط سريع إلى بطئ (هواء إلى حجر). تبعا لذلك، يتغير طور الإنعكاس كما تفعل إشارة معامل الإنعكاس.

في بعض المباني القديمة، تنتج تعقيدات إضافية في العلاقة بين أطوال موجات الراديو المنعكسة من أبعاد الحجر المستخدم في إنشاء البناء. عند استخدام هوائي 500 ميغاهرتز عبر كتل الأحجار فإن السرعة ≈ 0.1 متر/ث وتكون طول الموجه 0.2 متر والتي تقارن بأبعاد الكتل. تبعاً لذلك، فإن طور الفاصل العاكس ينتج من إنعكاسات داخلية من واجهات الكتل المفردة، تجعل التسجيل الراداري الكلي أكثر تشويشاً منه خلافاً لما يكون، بالمثل يحدث تشويشاً من مواد البناء المستخدمة لملي فراغات حوائط الأحجار من مواد واسعة الاختلاف، في مدى من ديش حجري والذي يضغط لكي يترك الهواء الفجوات.

5.6.8 إستقصاءات الآثار :Archaeological Investigation

تستخدم تطبيقات الرادار بكثرة للتنقيب عن الآثار التي لا يرد البحث عنها بالحفر، خاصة على أعماق اختراق مطلوبة عادة ما تكون صغيرة (عامة أقل من 3 متر). يمكن استخدام الرادار كتقنية النظرة الأولى. شكل (27-8) من أمثلة الاستخدامات الناجحة للرادار في تطوير ظواهر أثرية الرادار المستخدم ذا هوائي 300 ميغاهرتز (مدى وضع = 40 نث) بنظام GSSI SIR-3 عبر أرض منبسطة من طمي رسوبي، حصى عند موقع (سيرسوس، بوويز، ويلر Casersws, Powys, Wals). يرى تسجيل الرادار بوضوح الانعكاسات الناتجة من سطح طريق روماني بخنادق على الجانبين. تظهر لفافات وصلات الطريق كمناطق مركزية خفيفة الضغط.

تحديد أماكن التجويفات مهم إذا أريد استخدام الموقع لرسم أرضي ويتطلب ذلك تدريبات بعناية جيدة. أيضاً، ترجع أهميتها إذا كان هناك شك كبير في تواجد معلومات أثرية هامة مصاحبة لبقايا مدفونة، وهذا يؤدي لتحديد مواقع الفجوات بدون هدم. مثل هذا المسح للفجوات تم باستخدام رادار الإختراق الأرضي بين تقنيات أخرى لبعض الباحثين. يرى شكل (28-8) تسجيلات رادارية حصل عليها في اتجاهين متعامدين عبر تجويف محتمل. بالإضافة لنتائج الرادار استخدمت طريقتي الكهرومغناطيسية الأرضية والمغناطيسية للتعزيز. وكما يرى في شكل (28-8 ج، د) وضحت طرق التعزيز شذات جيوفيزيائية التي تقفل كنتواراتها المركزة حول مواقع التجويفات. يجب التأكد من أن الإضطرابات الأرضية المصاحبة للتجويفات يشار إليها على التسجيلات الرادارية وليس من الأجسام نفسها.

عند التفكير في تحديد بقايا إنسانية خاصة في مواقع محمية (أضرحة قديمة)، يمكن الكشف عنها بنجاح بالرادار.

6.6.8 تخطيط فتحات الرادار العريضة وعملية الإزاحة

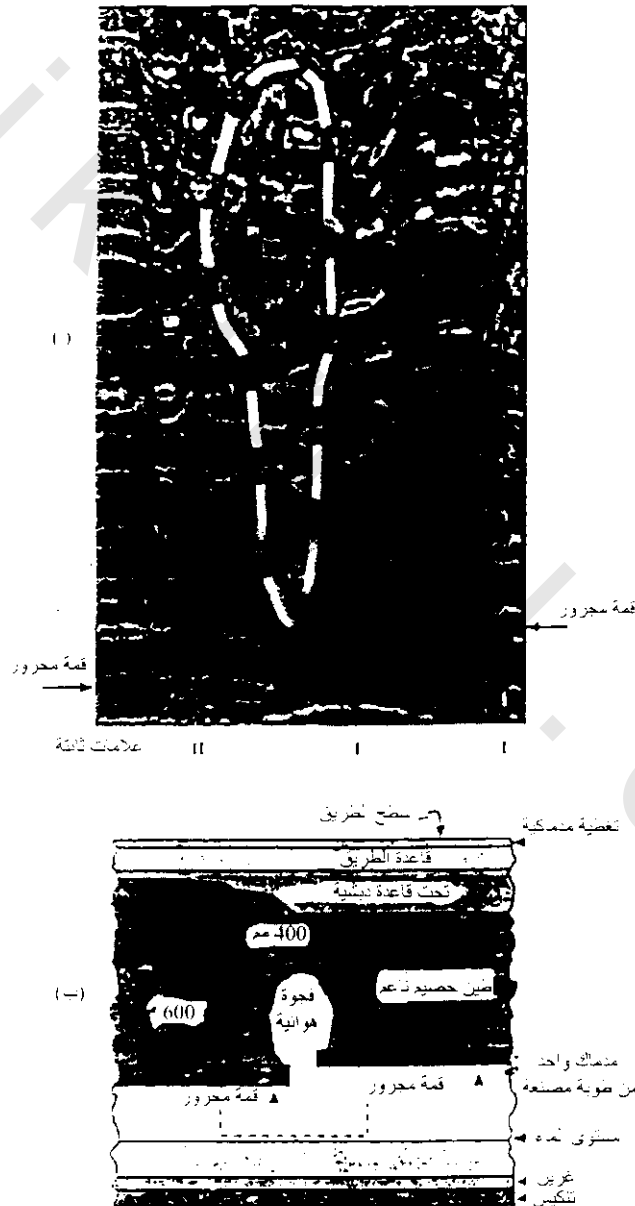
Wide-Aperture Radar Mapping and Migration Processing:

عادة، تنفذ مسوحات الرادار باستخدام هوائي أو اثنين في نسق بروفيلي كنظام مكتسب لقناة مفردة. نفذ بعض المؤلفين مسح اختراق راداري أرضي لأربعين قناة في بيئة نهريّة/ريحية في وادي نهر أوتاوا Ottawa تقريباً شمال وشمال شرق تورونتو، كندا Toronto-Canada. وضع هوائي الإستقبال عند كل من 441 نقطة مسح على مسافات 1 متر على طول خط البروفيل. لكل من مواقع الإستقبال هذه، تسجل البيانات مع هوائي باعث عند كل 40 مكان فصل على طول الخط، بمسافات 0.5 متر بين 0.5 متر، 20 متر من المستقبل شكل (29-8).

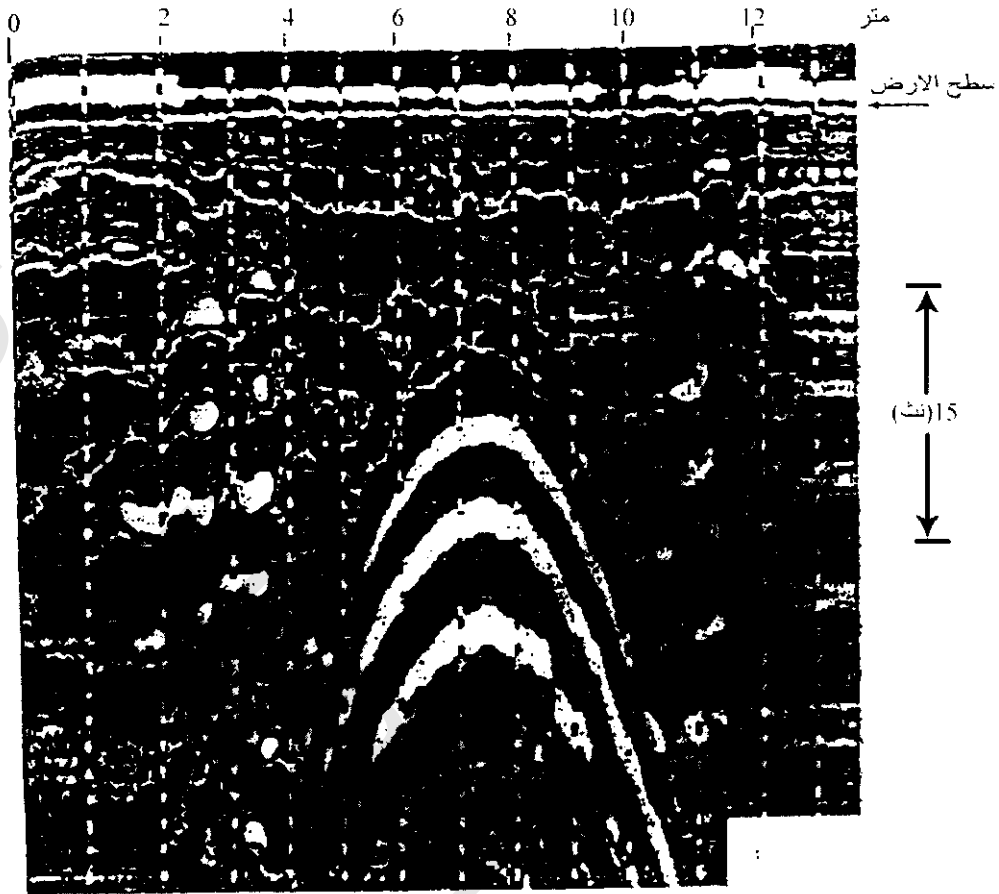
وجهت الهوائيات موازية كل للأخر مع المستوى E الثنائي المتعامد على خط المسح. بدلاً من التشبيه السيزمي العادي مع تسجيل المصدر المفرد لتجمعات المستقبلات (تجمعات مصدر عام Common-Source) Gathers، فإنه حصل على تجمعات مستقبل عام. جمعت الآثار (تتبعات لمقادير قليلة) المخزونة للمصدر العام،

المستقبل العام، الإزاحة العامة أو منتصف النقطة العام بدون الإلتفات للطريقة التى بواسطتها حرزت فى الحقل. بواسطة الحصول على البيانات لهذه الطريقة لابد من الأخذ فى الاعتبار العملية السيزمية التقليدية على تجمعات منتصف النقط العامة (CMP).

يستخدم نظام رادارى Pulse EKKO (حساسات وسوفت وير Inc) مع هوائى 100 ميگاهرتز، لإنتاج طاقة يمكن إستخدامها خلال إتساع النطاق الترددى 50-150 ميگاهرتز لكل تسجيل، يكرس 64 مصدر حث مولد نبضات 400 فولت لتحسين الإشارة-إلى نسبة الشوشرة سجل جملة 1280 عينة مع مسافات عينة زمنية لـ 800 نبضة لجميع زمن تسجيل 1024 نت. يأخذ سرعة موجات راديو نموذجية فى التربة 0.065 متر/نث، فإن مدى هذا الزمن يمد العمق الممكن للإختراق لأعلى من 33 متر.



شكل (8-25): (أ) تسجيل رادارى خلال مواد طينية رخصيم ناعم للرصف فوق مجرور مهدوم، تظهر الفجوة على القطاع بخطوط غير متصلة، (ب) القطاع الحقيقى

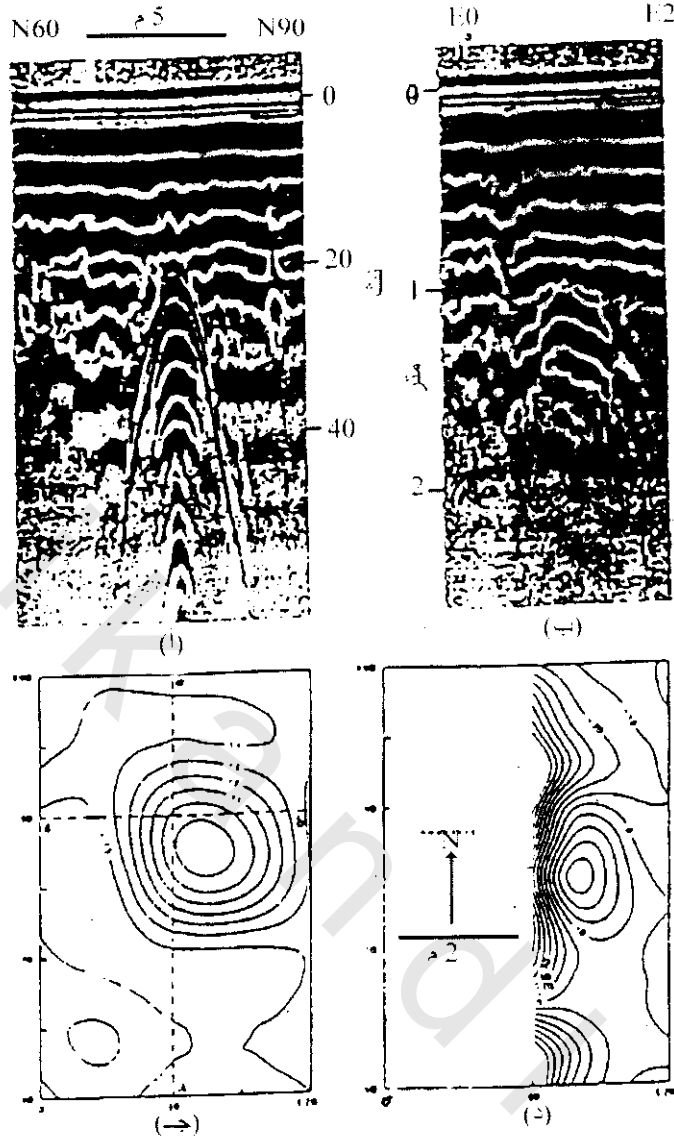


شكل (8-26): تسجيل رادارى عبر قبو مدفون بكنيسة شارلين هوس Charnel House. حدد قمة القبو بوضوح عند قمة الشاذة شديدة البياض والساندة فى القطاع



شكل (8-27): مثال لتسجيل رادارى عبر طريق روماني مدفون لحصن (موقع سيرسوس، بوويز، ويلز، Caersws, Powys, Wals)

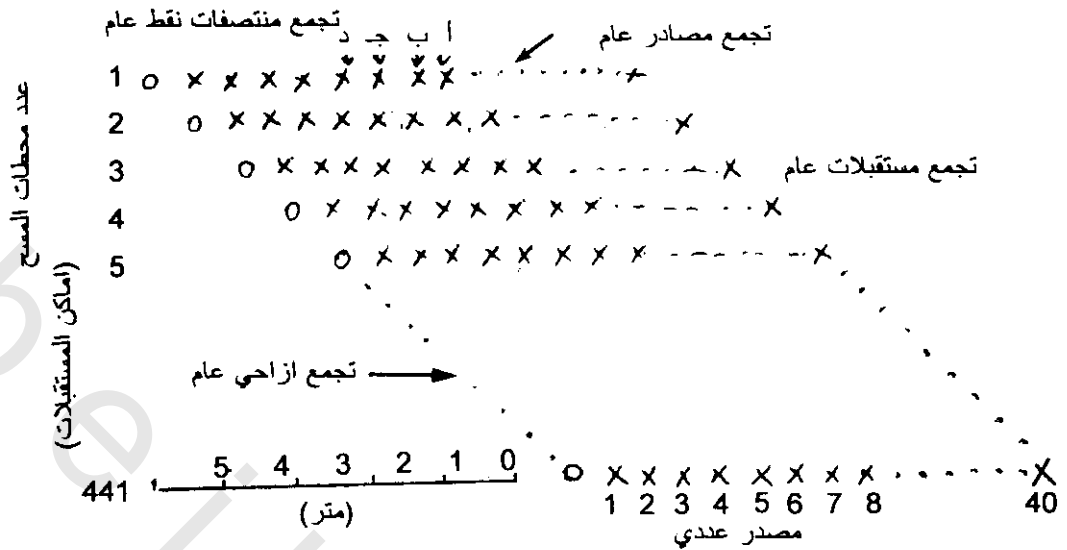
تدخل بيانات الرادار إلى عملية تتابعية سيزمية عيارية (ترشيح، تصحيحات إستاتيكية، تجميع منتصف النقطة العامة، تحليلات سرعة، تصحيحات حركة الخروج العادية والمائلة، تراكم وإزاحة العمق). وقد قام بعض المؤلفين بعمل تفسيرات أكثر للبيانات وطرق إزاحة. بينما المستقبل العمودى وتجمعات منتصف النقطة العامة لبيانات الرادار تظهر احتمال كبير جدا لتشابهما السيزمى، فإن متوسط الجذر التربيعى يقدر من ثلاث مراتب تمثيل له متوسط النقطة العامة لتجمعات متوسط النقطة العامة (CMP) كما فى شكل (8-30). بينما تشير السرعة السيزمية الزيادة مع العمق، فإن هذه الهيئات السرعة ترى أن العكس يكون حقيقى لموجات الرادار.



شكل (8-28): بروفيل رادارى شمال-جنوب عبر قبر محتمل، (ب) بروفيل شرق-غرب. يرى أن الهدف عريض فى هذا الإتجاه، (ج) خريطة توصيلية ظاهرية بمسافة كنتورية 1 م/م، يدل الخطوط المشرطة على إتجاه لبروفيل الرادار، (د) يوجد أيضا حديد مدفون أو قوالب محروقة بمسافة كنتورية لشواذ خريطة مغناطيسية 10 ننتسلا (بيفان 1991 Bevan)

شكلى (8-31)، (8-32) يوضحان أن نتائج عمليات البيانات فيرى شكل (8-31أ) قطاع مزاح قريب، عند كل موقع تسجل الأثر الموقع باصغر مسافة (0.5 متر) بين المصدر والمستقبل، أما فى شكل (8-31ب) فإن كل أربع آثار فى تراكم قطاع زمنى، عند كل موقع فإن الأثر المنقط هو التكدس عبر الآثار عند منتصف النقطة.

يلاحظ أن اللوحتين فى شكل (8-31) يشاهدان كقطاعين زمنين. بمقارنة هؤلاء باللوحة العلوية فى شكل (8-32) والتي تكون صورة إزاحة عمق، فإن التفسير المقابل يمد فى اللوحة السفلى. من الواضح أن التفصيل المعين حصل عليه لعمق يتجاوز 25 متر، كما قورن مع البئر المجاور. تكون بيانات الإزاحة النهائية مشهد (منظر) تام وترى كمنظر تحليل رأسى حتى مع هوائى 100 ميهايرتز لأعماق فى زيادة لـ 20 متر.



شكل (8-29): مسح هندسي وتجمعات بيانية مستبانة. تحتوى تجمعات المستقبلات العامة كل الآثار (تتبعات المقادير قليلة) عند مكان مستقبل واحد. تحتوى تجمعات المصادر العامة جميع الآثار المتولدة عند مكان مصدر واحد. تحتوى تجمعات الإزاحة العامة جميع آثار البعد بين المصدر-المستقبل. تحتوى تجمعات منتصفات النقط العامة جميع الآثار مع نفس مركز النقطة بين المصدر والمستقبل. للشكل الهندسي المستخدم، يوجد أربع منتصفات أماكن عامة (أ، ب، ج، د). لكل مكان استقبال، يوجد 40 أثر في كل تجمع مستقبلات عام. ماعدا نهاية المسح يوجد 10 آثار في كل تجمع منتصفات فقط عام (فيشر وآخرين 1990 Fisher et al)

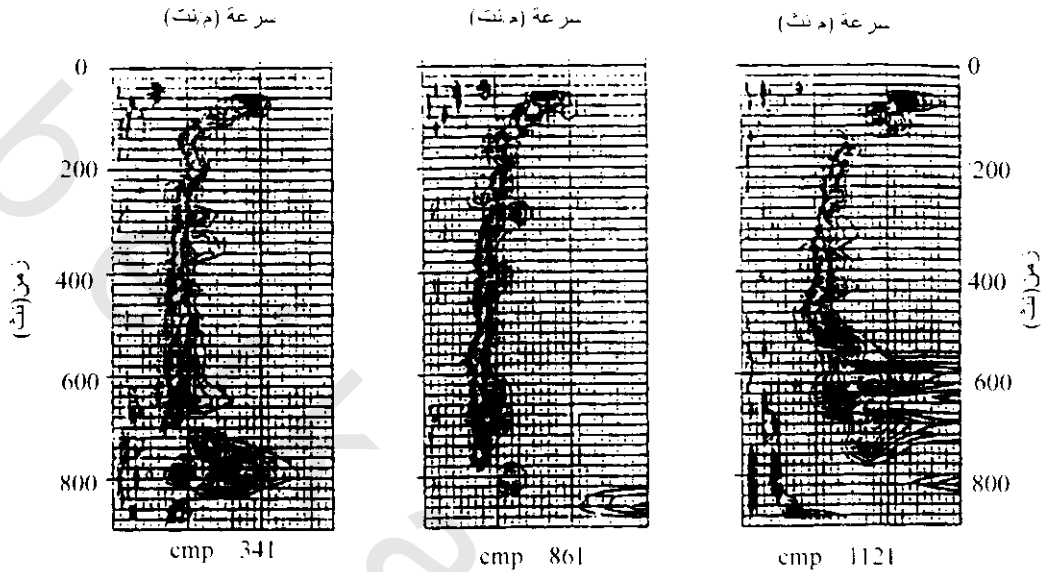
7.8 رادار الآبار Borehole Radar:

يستخدم هذا النظام منذ عام 1980 حيث ظهر نظام يسمى RAMA كجزء من مشروع ستربا العالمي International Stripa Project في السويد Sweden وفي الصناعة بواسطة فالاجيوسينس Mala Geoscience لكي تطور تقنيات ملائمة للاستخدام في مخازن تحت الأرض لنفايات الوقود النووي. يستخدم في رادار الآبار نبضات قصيرة أولا للحصول على معلومات عن تركيب وكمال كتل الصخور النارية (البلورية) على مسافة من الأنفاق والآبار بدون التأثير على الصخور بأى طريقة.

أشار مسح RAMAC في عام 1987 في سويسرا Switzerland إلى تشققات في الجرانيت على بعد 160 متر من البئر الممسوح. ومنذ هذه اللحظة، يستخدم RAMAC لتسجيل إنعكاسات ناتجة من تركيبات على بعد أكثر من 300 متر خلال صخور ملحية. الآن، يستخدم هذا النظام عالميا في التنجيم المعدني والاستقصاء الهيدروجيولوجي وميكانيكية الصخور، وأيضا لاستقصاء مواقع الأنفاق السدود، ومشاريع لأنواع من الإنشاءات.

يوضح شكل (8-33) أساس النظام خطيا مع تسجيل راداري بسيط. يستخدم الباعث لتوليد موجات رادار مع نبضات تردد 43 كيلوهرتز. يوضح مستقبل منفصل لمسافة قصيرة نوعا ما أسفل البئر. نمودجيا، يعمل المستقبل بعرض نطاق ترددي 10-200 ميغاهرتز عندما يكون المسح لصخور رسوبية من 2-6 متر ومن 5-15 متر لمسح الصخور البلورية. ويمكن استخدام هوائيات بترددات مختلفة أما 20 ميغاهرتز أو 60 ميغاهرتز لاستخدام نظام RAMC النموذجي أو 50، 100، 200 ميغاهرتز أو 400 ميغاهرتز لرؤية حديثة تحققت في عام 1994،

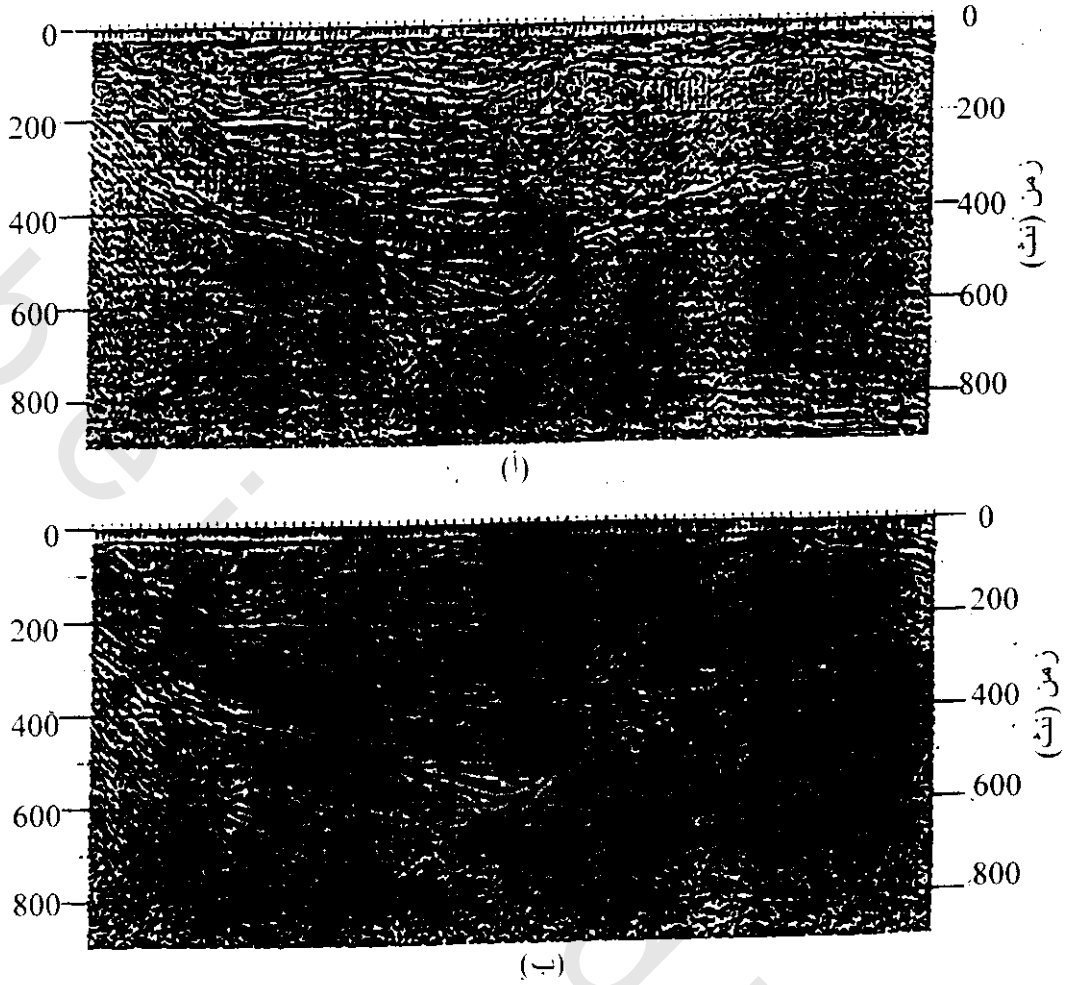
حيث تم عمل قياسات على مسافات ثابتة من 0.5-1 متر وذلك بأخذ أغلبها حول 30 ثانية عند كل موقع لعمل القياسات المطلوبة.



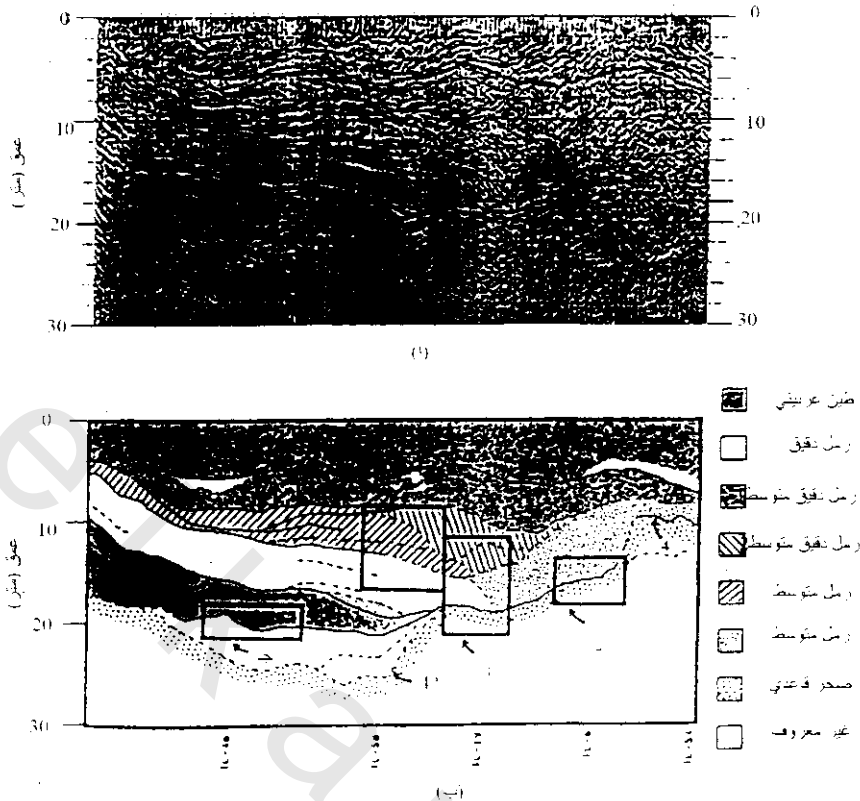
شكل (8-30): تقديرات لسرعات تتابعية سيزمية عيارية من ثلاث تجمدات لمتوسطات نقط عامة (CMP). عامة ، نقل السرعة بزيادة العمق (أي زيادة فترة الزمن). تكون تقديرات السرعة غير ملائمة عند أزمنة أكبر من التي يحدث عندها الانعكاس الأخير المتلاحم المتسق (فيشر وآخرين 1990 Fisher et al)

يمكن عمل نمطين في إحداهما استخدم كل اتجاهات ثنائية الهوائيات واستخدم في الآخر هوائى متجه، لذلك أمكن تعريف الانعكاسات من ربع دوائر (90°) منفصلة حول البئر. أيضا يمكن استخدام نظام RAMAC فى أشكال قطاع مسح سطحي للبئر بدون الدخول فى العمق مع هوائى باعث فى أحد الآبار والمستقبل أسفل الآخر. بالإضافة لذلك يمكن وضع المستقبل أسفل البئر بينما يوضع الباعث إما فى نفق منجم أو على سطح الأرض، كما هو موضح فى شكل (8-34). يمكن أن تجمع تسجيلات الرادار عمليا باستخدام شاشة تفسيرات لسوفت وير.

المثال البسيط لأنواع تسجيلات الرادار الناتجة باستخدام نظام RA.MAC ترى فى شكل (8-35) تسجيل الرادار الحاصل عليه من واحد من ثلاثة آبار مختلفة لتوقعي عمود (ماسورة) الحفر المتروك. لوحظ انعكاسات قوية من ماسورة الحفر على تسجيلات الرادار لسبب التصاق مواسير الحفر بجوانب الآبار (قطعت منطقة فائق كبير مائل).

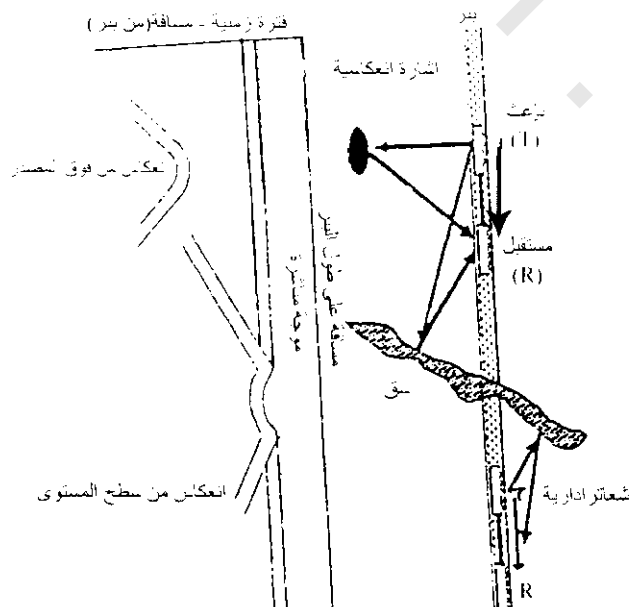


شكل (8-31): قطاع رادارى من مسح رادارى (40 قناة) فى وادى نهر أوتاوا، كندا Ottawa, Canada. (أ) بالقرب من قطاع مزاح، عند كل موقع يكون تسجيل رسم الأثر مع بعد أصغر من (0.5 متر) بين المستقبل والمصدر. (ب) يمثل مع كل رابع أثر قطاع لتراكم زمنى، عند كل موقع لرسم الأثر يكون التركيز عبر الأثار التى عند نقطة المنتصف. كلا من أ، ب ترسما بـ AGC بنافذة 200 نت. (فيشر وآخرين 1992a Fisher et al)

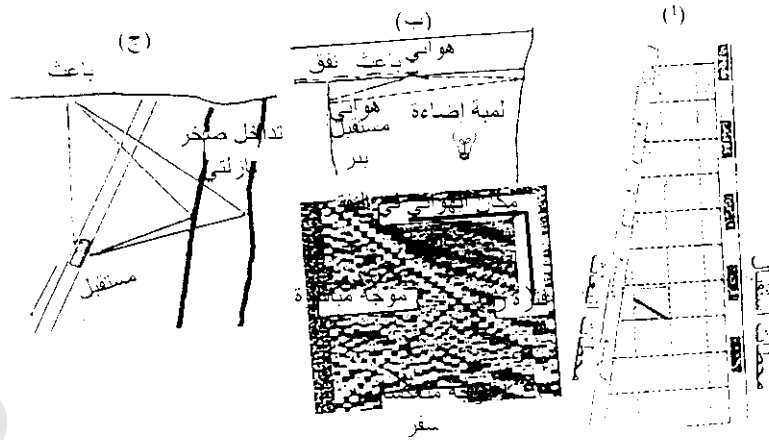


شكل (8-32): (أ) صورة عمق مرحل، (ب) تفسيره. رسمت الصورة فقط بـ AGC لكل أربع أثار. العينات اللويبة الملائمة للمواقع القريبة معنونة عند قاع (ب). العواكس: 1 = رمل جانت، 2 = طبقات غرينية، 3 = حصي رمل دقيق، 4 = صخر القاع (الأساس) (فيشر وآخرين Fisher et al 1992a)

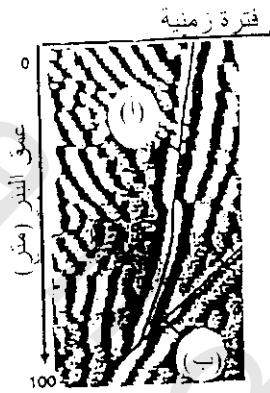
يرى شكل (8-36) تأثير السم في شكل (8-36) حيث وجه الهوائي اتجاه مغناطيسي 250° ويوضح السهم مستوى الإنعكاس. عندما ادير السم مغناطيسيا $\pm 90^\circ$ إلى 160° كان الإنعكاس أقل ما يمكن (شكل 8-36). باستخدام مثل هذه المعلومات، يمكن تحديد ظواهر الميل والمضرب.



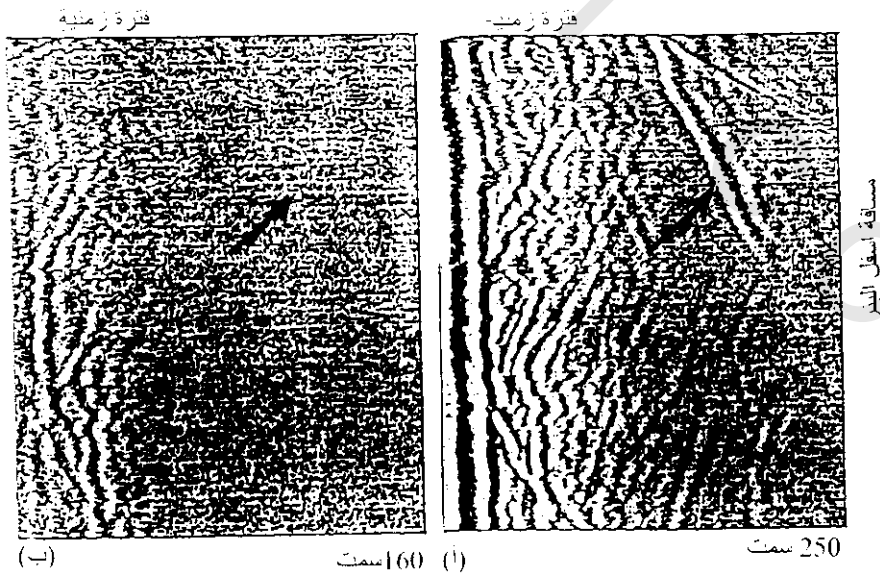
شكل (8-33): ترتيب أساس لنظام راداري بنرى مع صور نموذجية لقطاع راداري لسطح مستوى ونقط إنعكاس. بسبب التماثل الإسطواني لثنائي القطب الهوائي ردود شكل V من السطح العاكس. نتج القطع المخروطي من نقطة المصدر



شكل (8-34): ثلاث اشكال لانتظمة إدارية بئرية (أ) مقطع بئر قليل العمق، (ب) تصور نفق إلى بئر، (ج) بروفيل رادار رأسى حيث الباعث على سطح الأرض والمستقبل أسفل البئر



شكل (8-35): تسجيل رادارى بئر يرى موقع خط بئر مهجور، (أ) منطقة فائق كبير، (ب) مكان التصاق لقمة الحفر



شكل (8-36): تسجيلات آبار رادارية من نفس المكان ترى تأثير السمات باستخدام هوانى موجه. (أ) سمت مغناطيسى 250° مع انعكاس سطحي كبير قوى (السهم)، (ب) سمت مغناطيسى 160° يرى أن قوة الانعكاس السطحي تقل إلى أقل قيمة

الفصل التاسع

الطرق الإشعاعية

Radiometric Methods

1.9 مقدمة Introduction:

لكثير من دراسات إشعاعات اصخور والمعادن أهمية كبيرة فى الجيولوجيا والجيوفيزياء. أولا، يكون من المحتمل أن الحرارة الناتجة بواسطة التحطيم الإشعاعى هى أهم عامل فى رسوخ الحرارة فى داخل الأرض. ثانيا، تورخ الأحداث الجيولوجية بواسطة دراسة معدل التحلل الإشعاعى لطبيعة معينة تحدث فى بعض عناصر الصخور، خاصة فى أزمنة تكوين صخور القشرة الأرضية. بالإضافة لذلك، يمكن إستخدام المسح الإشعاعى بتميز فى البحث عن أجسام الخامات المشعة لأن أغلب الصخور تحتوى على آثار لعناصر مشعة فى تناسبات مختلفة.

2.9 أساسيات التفكك أو التحلل الإشعاعى

Fundamental of Radioactive Disintegration or Decay:

تعنى ظاهرة الإشعاع تفكك نواة الذرة بواسطة إنبعاث طاقة وكتل جزئية. يكون تفكك النواة A_ZX هو تحولها إلى نواة لعنصر آخر مع التغير فى الوزن الذرى A والعدد الذرى Z ، وتكون نواتج التفكك هى جزيئات α (نواة الهليوم $^4\text{He}_2$). جزيئات β (الكترونات) وأشعة جاما (γ) فى تجمعات مختلفة.

يكون التحلل أو التفكك الإشعاعى عملية عشوائية ويعبر عنها بمصطلحات الإحتمالية لأن الجزئ المحتوى فى النواة يهرب خلال عائق جهدى مقيد للنواة. لانتأثر إحتمالية التحلل بالحالات الطبيعية مثل الضغط والحرارة وتعتمد على عدد الذرات الموجودة. لذلك يتبع معدل التحلل لعدد نويات N لنوع خاص يكون متناسب مباشرة مع N حيث

$$\frac{dN}{dt} = -\lambda N \quad (9-1)$$

$$N = N_0 e^{-\lambda t} \quad (9-2)$$

حيث N_0 العدد الموجود عند زمن $t = 0$ ، λ ثابت التحلل غير متساوى النسبة لكل تحلل نواة.

غالباً يقتبس معدل التحلل في مصطلحات لها علاقة بالكمية، ونصف الزمن. وهذا الزمن هو المأخوذ لإقلال عدد الذرات الأم (النتوج*) بواسطة النصف

$$T = \ln(2/\lambda) = 0.69325/\lambda \quad (9-3)$$

بفرض أن تحلل الأم (النتوج) ينتج وليد (daughter) مولد بالإشعاع (radiogenic) وأن عدد ذرات الوليد تساوى صفر عند $t=0$. وتعطى عدد ذرات الوليد الناتجة بواسطة تحلل نتوج N عند أى زمن t بواسطة

$$D = N_0 \cdot \tilde{n} \cdot N \quad (9-4)$$

بالتعويض عن N_0 من المعادلة (9-2)

$$\therefore D = N_0 \cdot \lambda t \cdot \tilde{n} \cdot N = N(e^{\lambda t} - 1) \quad (9-5)$$

يرى جدول (1-9) التحلل الميكانيكى والتجارب لتحديد لثوابت (λ) للعناصر المشعة الهامة فى الأرض.

جدول (1-9) نهج تحلل لأهم العناصر المشعة فى الأرض

العنصر	نظير النتوج	نسبة مئوية العنصر الطبيعى	تحلل ميكانيكى	الوليد المستقر	ثابت التحلل سنة ⁻¹	نصف العمر (سنة)
يورانيوم	²³⁸ U	99.274	$(\beta + 8\alpha)$ تحلل تسلسلى إنشطار خطى	206 Pb	¹⁰ 10x1.55125	⁹ 10x4.68
	²³⁵ U	0.720	تحلل تسلسلى $(\beta + 7\alpha)$ نيترون - إنشطار حثى	207 Pb	¹⁰ 10x0.9185	⁸ 10x7.038
ثوريوم	²³² Tb	100	تحلل تسلسلى $(\beta + 6\alpha)$	²⁰⁸ Pb	¹¹ 10x4.9475	¹⁰ 10x1.401
ريوبيديوم	⁸⁷ Rb	27.85	إشعاع β	⁸⁷ Sr	¹¹ 10x1.420	¹⁰ 10x4.880
بوتاسيوم	⁴⁰ K	0.1167	أسر الكتروني K-11%	⁴⁰ Ar	¹⁰ 10x0.581 (λ_K)	⁹ 10x1.25
			أشعاع β 89%	⁴⁰ Ca	¹⁰ 10x4.962 (λ_B)	
كربون	¹⁴ C	¹⁰ 10x1.6 CO ₂	إشعاع β	¹⁴ N	⁴ 10x1.209	³ 10x3.73

إذا عرفت λ ، فإن قياس نسبة كبيرة من نظائر النقوق والنهائية أو الناتج الوليد يسمح لتحديد t من المعادلة (9-5). وهذه قاعدة طرق تأرخ القياس الإشعاعى.

عندما تتفتت نظائر النتوج، غالباً فإن الوليد الأصيل أيضاً ينتج إشعاع، وتحلل، ربما خلال سلسلة من إشعاعات نووية حتى يصل لإنتاج نهائية مستقرة. يمكن القول عن حالة الإتزان أنها توجد بين عناصر النتوج ونواتج الوليد عندما تتكون ذرات كثيرة من عضو فى السلسلة. عندما يكون التفتت لكل ثانية، تكون هذه الحقيقة

* ما ينتج مادة أخرى بالإنحلال الإشعاعى.

هامة خاصة عند البحث عن اليورانيوم. لا يمكن الاعتماد على أى تقدير لمحتوى اليورانيوم من رصد شدة الإشعاع أو توثيقه إذا لم تكن درجة الإتزان الإشعاعى فى الراسب مؤكدة.

تكون إشعاعات α ، β ، γ المصاحبة للتفتت اللحظى لمواد المحدث لإشعاعه طبيعى مباشرة هامة فى البحث عن أجسام الخامات المشعة. حيث أن التنقيب الإشعاعى موضوع على إكتشاف فيزيائى لهذا الإشعاع. ولأن جزيئات α ، β تقف مبكرا، حتى بواسطة أرفع غطاء للغطاء الرسوبى، لذلك غالبا يمكن تحديد الرسوبيات المشعة من خلال إكتشاف إشعاع بها.

الرونتجن (roentgen R) وحدة الإشعاع وهى الوحدة العيارية لقياس إشعاع γ وهى كمية الإشعاع التى سوف تنتج 10×2.083 زوج من الأيونات لكل متر مكعب من الهواء عند درجة الحرارة والضغط العاديين ميكرورونتجن ($10 \times R = 1 \mu R$).

3.9 إشعاعية الصخور Radioactivity of Rocks

يمثل توزيع وشدة إشعاع الصخور أهمية كبيرة للجيوفيزيائيين، خاصة فى اختيار مادة صخرية لتأرخ الجيولوجيا المطلقة وفى حساب الحرارة الناتجة خلال الأرض. أيضا هامة لجيوفيزيقي الإستكشاف فى البحث عن رسوبيات المعادن المشعة.

تدل قياسات الخواص الإشعاعية المواد طبيعية موجودة على أن المستوى المنخفض للنشاط موجود فى أغلب جميع الصخور والمعادن. يشترك بداية هذا النشاط غالبا كلية لآثار اليورانيوم والثوريوم ونواتج التحلل المشع. أيضا أوضحت آخر الإستكشافات أن نظائر البوتاسيوم (^{40}K) مشعة. برغم أن هذه النظائر تكون حوالى 0.012% من البوتاسيوم فى القشرة الأرضية، فإنها تشارك جيدا لمعرفة الصخور المشعة لأن وجود البوتاسيوم نفسه واسع الانتشار فى صخور القشرة الأرضية.

يعطى جدول (2-9) فكرة عن معدل احتواء أنواع الصخور العامة (الشائعة) على اليورانيوم والثوريوم والبوتاسيوم. يلاحظ أن الجرانيت والطفلة يريان أكبر إشعاع. أيضا يوجد إختلاف واضح فى الإشعاع بين صخور البازلت والجرانيت.

جدول (2-9). نماذج وفرة أهم العناصر المشعة فى أنواع صخور مختلفة

نوع الصخر	يورانيوم (ppm)	ثوريوم (ppm)	بوتاسيوم (%)	نوع الصخر	يورانيوم (ppm)	ثوريوم (ppm)	بوتاسيوم (%)
جرانيت	5	18	3.8	رمل شاطئ	3	6	0.3
حجر رملى	0.5	2	0.6	بازلت	0.6	3	0.8
طفلة	4	12	2.7	ديونيت	0.005	0.02	0.01
حجر جيرى	1.3	1	0.3	اكلوجيت	0.04	0.15	0.1

(موكسهام 1963 Moxham، ساس 1971 Sass).

4.9 الحرارة المسببة من الإشعاع Heating Due to Radioactivity:

ذكر سابقاً أن العناصر تشع جزيئات α ، β السريعة وأشعة γ ، وجميعها تمتص بواسطة الوسط المحيط منتجة حرارة. النظائر المشعة التي تشارك بأهمية لإنتاج الحرارة الحاضرة خلال الأرض هي ^{238}U ، ^{235}U هذه العناصر لها نصف عمر زمني مقابل لعمر الأرض ولذلك مازالت كافية بكثرة لأن تكون أهم مصدر للحرارة. في حالة سلسلة اليورانيوم والثوريوم. فإن 90% من الطاقة تمد بواسطة جزيئات α أما المشاركة الأصغر فتكون بجزيئات β وإشعاعات γ . في حالة تحلل ^{40}K ، فإن الطاقة تكون من كلا جزيئات β وانبعثات أشعة γ المصاحبة لعملية أسر الكترون K. يرى جدول 3 قيم الحرارة الناتجة بواسطة طول عمر النظائر.

جدول (3-9). معدلات الناتج الحراري بواسطة عناصر مشعة (برش 1954 Brich)

العنصر أو النظير	الوفرة % (الكثرة)	الحرارة الناتجة		العنصر أو النظير	الوفرة % (الكثرة)	الحرارة الناتجة	
		(وات كجم)	(كالموري جم/سنة)			(وات كجم)	(كالموري جم/سنة)
^{238}U	99.27	0.71	94	^{232}Th	100	0.20	26.6
^{235}U	0.27	4.30	527	^{40}K	0.012	0.32	29
U	طبيعي	0.73	97				

من هذا الجدول يتضح أن الناتج الحراري لليورانيوم والبوتاسيوم يكون على أساس معرفة نسبة كثرة النظائر لهذه العناصر. يعتمد الناتج الحراري من نوع الصخر المعطى (مثل الجرانيت والبازلت) على تركيز العناصر المشعة في الصخر (جدول 2-9). من بيانات جداول (2-9)، (3-9) يمكن تقدير الناتج الحراري الحاضر في الصخور.

5.9 طرق تأرخ الإشعاع Radiometric Dating Methods:

يعتمد أغلب تحديد عمر الإشعاع على الناتج، عند معدل معروف، من النظائر الوليدة من نتوجها المشع منذ أن كان المعدن متبلور. يكون تحديد ثوابت التحلل (λ) تجريبياً ملائمة لنويات تستخدم لتأرخ الإشعاع (جدول 1-9). يستخدم الإسبكتروسكوبي الكتلي لتحديد نسبة النتوج، N، والنواة الوليدة، D، في عينات المعدن أو الصخر ويمكن تحديد العمر من العلاقة الآتية

$$t = \frac{1}{\lambda} \ln \left(1 + \frac{D}{11} \right) \quad (9-6)$$

حيث t = عمر الإشعاع بالسنين لأي حدث مسجل في العينة.

أنواع الأحداث الجيولوجية والتي تؤرخ بواسطة هذه الطرق وهي:

- تبلور الصخور النارية من الصهير.
- إعادة تبلور لصخور موجودة سابقاً.
- إرتفاعات، تبريد، تجويه سلسلة الجبال.
- ترسيبات الصخور الرسوبية التي تمد معادن جديدة متكونة خلال أو بعد الترسيب مباشرة.

بناء على تحديد الأعمار يكون من المهم توضيح أن النتائج الجيدة تعتمد أولا وقبل أى شئ على تحليلات كيميائية ونظائرية يركن إليها، لعينات معدنية غير متغيرة (متجوية)، ولكن تكون هذه بعيدة جدا عن قاعدة المعيار. إذا أريد أن يكون التحديد نافع فيجب أن يكون مكان العينة معروفا بالضبط، وكذلك التفاصيل الدقيقة عن أصل الصخر وعلاقته الجيولوجية بما حوله. من الأفضل اختيار العينات بتعاون مع جيولوجى، والذى يضيف تفسير ملائم مع النتائج التى تم الوصول إليها.

1.5.9 طريقة بوتاسيوم-أرجون Potassium-Argon Method:

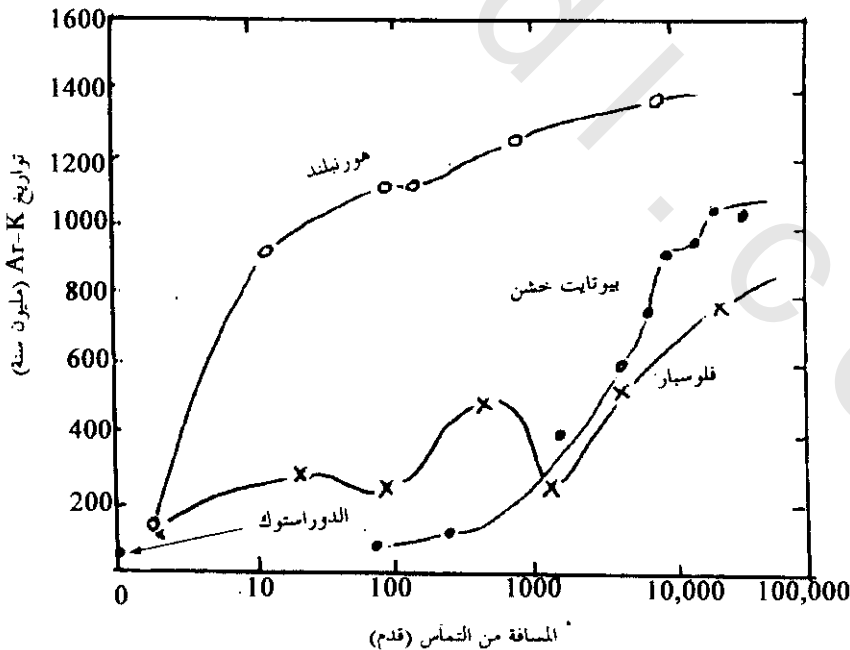
البوتاسيوم عنصر شائع وواسع الانتشار فى صخور القشرة الأرضية. يتحلل نظير البوتاسيوم ^{40}K (0.0117% من البوتاسيوم الطبيعى) فى طريقتين (جدول 1-9)، تستخدم عملية تحلل ^{40}K للتحليل فقط تعطى نسبة لحدث الانحلال للوليد Ar بالمعادلة الآتية:

$$^{40}\text{Ar} = (\lambda_{\text{K}}/\lambda) ^{40}\text{K}(e^{\lambda t}-1) \quad (9-7)$$

حيث $\lambda_{\text{B}} + \lambda_{\text{K}} = \lambda$ (جدول 1-9).

لاستخدام المعادلة السابقة لتأريخ بوتاسيوم - معادن المحامل (سبانك المحامل) فإنه يقاس تركيز البوتاسيوم وكمية محدث الانحلال ^{40}Ar التى تتجمع وذلك بواسطة الإسبكترومترى. عادة، تعمل التحليلات الكيميائية للبوتاسيوم الكلى، أما النسبة المئوية لـ ^{40}K فإنها تحسب من نسبة النظير. وحيث أن الأرجون غير شائع لتكون المعادن، لذلك فإن الأخطاء بسبب وجود الأرجون الأصيل ^{40}Ar تكون عادة (ولكن ليس دائما) صغيرة. ربما يكون من الضروري تصحيح شوائب أرجون الغلاف الهوائى، وتعمل بواسطة نسبة الغلاف الهوائى الموجود

$$295.5 = \frac{^{40}\text{Ar}}{^{36}\text{Ar}}$$



شكل (1-9): تغير تواريخ Ar-K لمعادن من تكوينات ينابيع إداو-كندا فى منطقة تماس تحول ناتج بواسطة تداخل للأدور ستوك Eldor stock فى الثلاثى المتقدم (55 بليون سنة) تكوين ينابيع إواهو تحولت ما بين 1400-1350 مليون سنة (هارت 1964 Hart)

يشير الأرجون الناتج بواسطة التحلل من ^{40}K إلى إنتشاره من الصخور المضيفة. ويكون معدل الإنتشار ملانما في أغلب المعادن فوق درجة 300°C مئوية. يأتى مثل هذا التسخين من تداخل تماس قريب، أو كنتيجة الدفن في القشرة الأرضية. يمثل شكل (9-1) توضيح جيد لتغير Ar-K بسبب تغير كمية الأرجون المفقودة من صخور البريكامبريان، المضيفة والتي تأثرت بواسطة تداخل حدث لزم من الثلاثى الأولى. تصل تواريخ Ar-K للهورملند لأكبر قيمة 1200 مليون سنة عند حوالى 30 متر من التماس وركزت بتقدم مؤخر. بالمقارنة بهذا فإن تواريخ البيوتيت والفلدسبار ترى تأثير فقد الأرجون حتى عند مسافات أكبر من 4000 متر.

عامة وجود معادن المايكا والهورينلند بالصخور النارية والمتحولة يكون ملانما لتأرخ Ar-K، أيضا تكون درجات الحرارة العالية للبوتاسيوم - فلدسبار (مثال، سانيدين) والفلدسبارات البلاجوكليزية ملانمة لهذا التأرخ. فى المقابل يكون أغلب بوتاسيوم - فلدسبارات، مثل أورثوكليس وميكروكلين ملانمة لأنها تستطيع فقد أرجون مبكرا حتى عند درجات حرارة الأتموسفير. جميع تحليلات الصخور مثل البازلت، تقدم تواريخ ملانمة حفظ إذا لم تحلل وتكون خالية من النسيج الزجاجى. حدث التأرخ يكون زمن البرودة النهائية أسفل تقريبا 200°C مئوية. أحيانا تحتوى الصخور البحرية، الحجر الجيرى، والحجر الرملى على البوتاسيوم - معدن الجلوكونيت المحامل، والذي يتكون عند زمن الترسيب ويمكن تأرخه بواسطة طريقة Ar-K.

أهم مميزات طريقة Ar-K كثرة البوتاسيوم ونسبيا قصر نصف عمر زمن ^{40}K . ويمكن استخدام الطريقة بتوسع لتأرخ صخور مختلفة. أغلب جميع الأزمنة الجيولوجية تتراوح من أقدم الصخور الأرضية (3700 مليون سنة) إلى أغلب الصخور الحديثة والتي تكون أحيانا أحدث من 30,000 سنة. تأرخ Ar-K للصخور الحديثة لها ميزة كبيرة. خاصة فى تأسيس علم الأزمنة للانعكاسات الحديثة للمجال المغناطيسى الأرضى، حيث لا توجد طريقة أخرى ملانمة لمثل هذه الصخور الحديثة. فى الحقيقة، توجد فجوة فى ملانمة الأزمنة المطلقة بين زمن تأرخ الصخور الحديثة بواسطة طريقة Ar-K وزمن أقدم المواد العضوية التى أرخت بواسطة طريقة الكربون ^{14}C .

فى المناطق المعقدة التاريخ، أشارت طريقة Ar-K أن هناك شك أو ظن بأن التحويلات الهامة تالية للتبلور الأصلى. ولأن الأرجون ربما يفقد بواسطة الإنتشار حتى عند درجات الحرارة الأقل جدا من نقطة الإنصهار، فإن تأرخ Ar-K يمثل الزمن المنقضى منذ التبريد إلى درجات الحرارة التى عندها يكون فقد الأرجون لايعتد به.

يمكن أن تتغلب طريقة $\frac{^{40}\text{Ar}}{^{39}\text{Ar}}$ على بعض تحديدات طريقة Ar-K العادية، وتعرف هذه الطريقة بطريقة

أرجون-أرجون، وتكون على أساس إنتاج ^{39}Ar من ^{40}K بواسطة تشعيع عينات بوتاسيوم مدفونه بنيتورانات فى مفاعل نووى. الميزة الأساسية للطريقة أن القياسات تكون فقط لنسب النظائر للأرجون المطلوب، ولذلك يبعد الإحتياج لقياس التركيزات المطلقة للبوتاسيوم. ولهذا تكون الطريقة مناسبة لتأرخ عينات صغيرة جدا أو قيمة مثل النيازك أو عينات صخرية هلالية. كان تأرخ زجاج برتقالى مشهور من القمر (17 عينة من أبولو Apollo) مثال لتطبيق هذه الطريقة، وقد وجد هيوساس وشيفر Husais and Shoeffler 1973 أن عمر هذه العينات 0.06 ± 3.71 بليون سنة.

2.5.9 طريقة روبيديوم - سترنشيوم Rubidium-Strontium Method

برغم أن الروبيديوم واسع الإنتشار بين المعادن مثل الميكات والفلدسبرات وكثرته فى الطبيعة لاتقارن باليوتاسيوم فإن النظير ^{87}Rb المشع يحتوى على 27.85% من تواجد الروبيديوم الطبيعى. يمثل التخطيط التحلى (جدول 1-9) أبسط تكون واحد من انبعاث ضعيف لجزئ β ليكون ^{87}Sr . تعطى المعادلة الآتية العلاقة بين المولد والوليد الناتج من معدن غنى فى Rb لزمن t سنه

$$^{87}\text{Sr} = (^{87}\text{Sr}) + ^{87}\text{Rb} (e^{\lambda t} - 1) \quad (9-8)$$

حيث (^{87}Sr) المحتوى الأساسى الذى أدمج فى المعدن عند زمن تكوينه.

لتحديد t يقاس كثرة ^{87}Sr و ^{87}Rb ومعرفة λ . ولايزال وجود عدم توافق على القيمة المطلوبة لنصف العمر الزمنى ^{87}Rb لوجود صعوبات فى تحديده بواسطة قياسات الأشعاع المباشر. القيمتين المستخدمتين بواسطة التقويم الجيولوجى هما 47,000، 50,000 مليون سنة. حدد تركيز البروبيديوم بواسطة تحليل المعدن، وحسب محتوى ^{87}Rb من نسبة الكثرة المعروفة، المقتبسة سابقا لتحديد محتوى ناتج الوليد، ^{87}Sr ، عزل الاسترنشيوم كيميائيا فى العينة وحلل بواسطة السبكترومترى الكتلى. بما أن الاسترنشيوم الشائع يحتوى على ثلاثة نظائر اخرى (^{88}Sr ، ^{86}Sr ، ^{84}Sr). لذلك يوجد دائما تعقيد لعمل تصحيح للمساهمة إلى ^{87}Sr الاسترنشيوم الشائع.

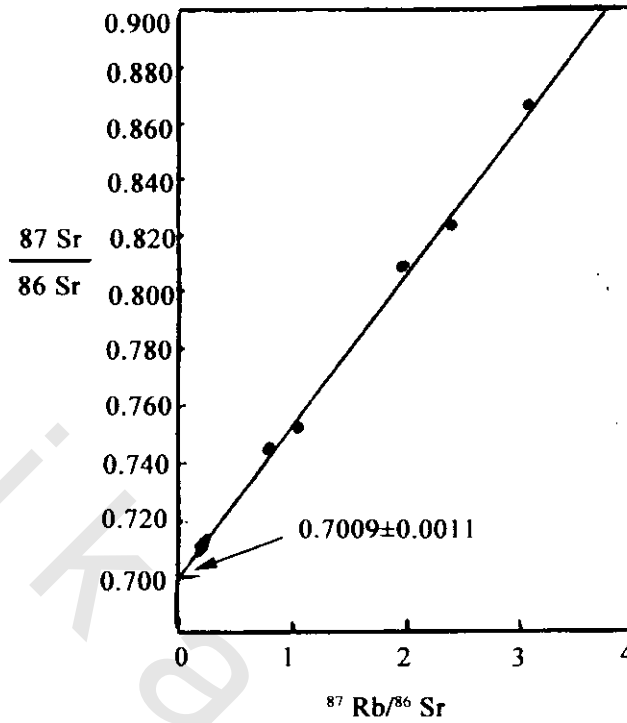
غالبا ماتستخدم جميع الصخور لتحديدات عمر $\text{Sr} - \text{Rb}$ لأنها تكون أكثر احتمالا لتحقيق متطلب النظام المغلق. لتصحيح المسبب بواسطة الاسترنشيوم الشائع. تعدل المعادلة (9-8) بواسطة قسمة كل حد بواسطة المحتوى المستقر لـ ^{86}Sr والذى يكون ثابت لأن هذا النظير غير مولد بالأشعاع، وتصبح المعادلة كالآتى:

$$\left(\frac{^{87}\text{Sr}}{^{86}\text{Sr}} \right) = \left(\frac{^{87}\text{Sr}}{^{86}\text{Sr}} \right) + \left(\frac{^{87}\text{Rb}}{^{86}\text{Sr}} \right) (e^{\lambda t} - 1) \quad (9-9)$$

وتكون نتيجة رسم العلاقة بين النسبة المرصودة $\frac{^{87}\text{Sr}}{^{86}\text{Sr}}$ مقابل $\frac{^{87}\text{Rb}}{^{86}\text{Sr}}$ لمجموعات من العينات خط

مستقيم. يسمى هذا الخط متساوى الزمن isochron ويعطى ميله $(e^{\lambda t} - 1)$ وفيها يمكن حساب t ، وكذلك يعطى الجزء المقطوع من الخط مباشرة النسبة الأصلية لـ $\frac{^{87}\text{Sr}}{^{86}\text{Sr}}$ ، للاسترنشيوم الشائع فى الصخور.

يمكن استخدام طريقة $\text{Sr}-\text{Rb}$ لتأريخ مثل هذه الصخور الشائعة المكونه من معادن كالميك، وجميع أنواع البوتاسيوم والفسبرات، وهذه الطريقة ملائمة لجميع تحليلات الصخور خاصة الجرانيتات والجرانيتات النيسبه. ويرى شكل (2-9) تساوى الزمن لنيس أميتسوك Amitsoq من منطقة جود ثاب Godthaab بغرب جرين لاند Greenland. ينتج ميل تساوى الزمن عمر 100 ± 3740 مليون سنة والتى توضح أن هذه الصخور واحدة من أقدم صخور القشرة الأرضية المعروفة، وقد فسر ها موريثا وآخرين Morbath et al 1972 على أنها تأريخ حدث التحول التى أنتجت نيس أميتسوك Amitsoq.



شكل (2-9): كل ثوابت المدة الصخرية لنيس أميتسوك Amitsoq من منطقة جودثاب Godthaab من جنوب غرب جرين لاند Greenland. تكون هذه بين صخور أرضية قديمة معروفة (موربات وأخرين Moorbat et al 1972)

أكبر ميزة لطريقة Sr-Rb أنها تمثل نظام صلب-صلب، ولذلك نسبيا توجد أقل فرصة لفقدان المنتج والوليد المنتج. ومن عدم ميزات هذه الطريقة أن عنصر Rb غير متكاثر في القشرة الأرضية، وطول نصف عمره الزمنى يجعله صعب التطبيق للصخور الحديثة، أيضا وجود Sr الغير مولد بالإشعاع فى معظم المعادن يتطلب تصحيح. ربما تكون هذه الطريقة نسبيا أكثر ملائمة لتأرخ مناطق دروع صخور البراكانيان.

3.5.9 طريقة اليورانيوم-الرصاص وتأرخ الأرض: Uranium-Lead Method and the Age of the Earth:

يوجد اليورانيوم والثوريوم (تواتريا) معا فى نفس المعادن وتحلل نظائره (238U، 235U، 232Th) (جدول 1-9) ليكونوا الرصاص (206Pb، 207Pb، 208Pb). يسمى تكوين هذا الرصاص برصاص مولد بالإشعاع، ويكون قاعدة طرق اليورانيوم لتحديد الزمن. علاوة على الثلاث نظائر المولدين بالإشعاع فإن للرصاص نظير آخر 204Pb غير مولد بالإشعاع. فى أى يورانيوم يكون ملائمة التدقق على ملائمة الأزمنة المستنتجة الممكنة كالنظائر المختلفة بثوابت تحلل مختلفة. وهذه ليست حالة فى طرق Ar-K، Sr-Rb.

أغلب المعادن شيوعا لإستخدام Pb-Th-U للتأرخ هو معدن الزركوندا ZrSiO₄ حيث يوجد كمعدن ثانوى فى أغلب الصخور ويحتوى على جزء صغير من ذرات اليورانيوم بديلا للزركونيوم. يصاد الرصاص الناتج من

تحلل اليورانيوم فى بلورة ويحفظ أثناء أحداث التحول. وصف تحول اليورانيوم والثوريوم فى نظام مغلق بواسطة المعادلة المشهورة الشكل كالآتى:

$$\frac{{}^{206}\text{Pb}}{{}^{204}\text{Pb}} = \left(\frac{{}^{206}\text{Pb}}{{}^{204}\text{Pb}} \right)_i + \frac{{}^{238}\text{U}}{{}^{204}\text{Pb}} (e^{\lambda t} - 1) \quad (9-10)$$

يشير المصطلح المقرون بـ i إلى النسبة الأساسية الموجودة فى النظام عند زمن تكوينه منذ t سنوات. يمكن كتابة نفس المعادلة لنظام يشمل ${}^{232}\text{Th}$ ، ${}^{235}\text{U}$.

يمكن تحديد الأزمنة من بسبب $\frac{{}^{206}\text{Pb}}{{}^{238}\text{U}}$ ، $\frac{{}^{207}\text{Pb}}{{}^{235}\text{U}}$ ، $\frac{{}^{208}\text{Pb}}{{}^{232}\text{Th}}$ ، ويقاس تركيز U، Th عادة بواسطة نظير

مخفف ويحدد التركيب النظائري للرصاص بواسطة السبكترومترى الكتلى. يمكن أن تحل المعادلات الشبيهة للمعادلة (9-10) بالنسبة للزمن باستخدام قيم ملائمة مفروضة لأساس نسب نظائر الرصاص الأصلية. الثلاثة تواريخ المحددة متوافقة وتمثل عمر المعدن، كذلك جميع الفروض الممدة الشاملة مرضية.

فى كثير من الحالات لا تكون التواريخ المحددة لا تكون متوافقة، وذلك لاحتمال أن معظم المعادن ليست أنظمة مغلقة، وربما تفقد أو تكتسب Pb، U، Th بعد التبلور. تتم الطرق المختلفة لتقليل تأثيرات اليورانيوم وفقد الرصاص وتفسير أنظمة Pb-U الغير متوافقة بواسطة رسومات بيانية توافقية (فورى 1977 Faure).

لاستنتاج عمر الأرض يمكن تتبع تاريخ عينة الرصاص من نسب نظائر الرصاص نفسه $\frac{{}^{206}\text{Pb}}{{}^{204}\text{Pb}}$ ،

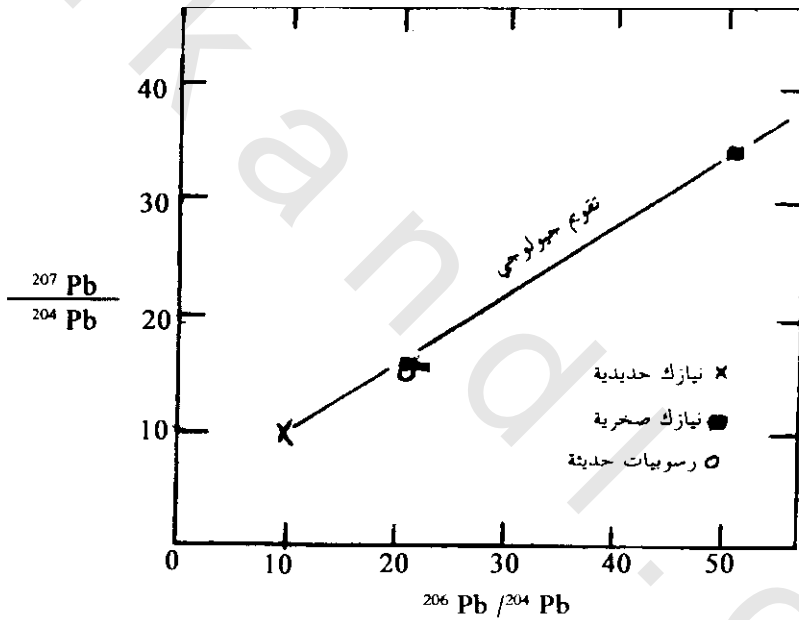
$$\frac{{}^{208}\text{Pb}}{{}^{204}\text{Pb}}، \frac{{}^{207}\text{Pb}}{{}^{204}\text{Pb}}. \text{ حيث أن الطريقة نوعا ما معقدة لذلك يعطى هنا ملخص موجز.}$$

فى بداية الأرض، كان الرصاص الموجود طبيعيا له كميات معينة من ${}^{208}\text{Pb}$ ، ${}^{207}\text{Pb}$ ، ${}^{206}\text{Pb}$ ، ${}^{204}\text{Pb}$. وبمرور الزمن الجيولوجى فإن كمية الرصاص ${}^{204}\text{Pb}$ (مولد غير إشعاعى) يجب بقاءه غير متحول بينما الثلاثة الأخرى يجب أن تزداد بسبب تفتت اليورانيوم والثوريوم. تشير المقارنة الحقيقية للمكونات النظائرية لمعدن الرصاص (مثل الجالينا) لأزمنة مختلفة إلى أن ${}^{208}\text{Pb}$ ، ${}^{207}\text{Pb}$ ، ${}^{206}\text{Pb}$ تزيد فى الحقيقة بكميات مع الزمن. بمجرد تحديد معدل الزيادة كميا فإنه يمكن استكمال الاستقراء لعمر الأرض، حيث تعطى هذه العملية فى الحقيقة نتائج غير مؤكدة لأن الكميات الأصلية لـ ${}^{208}\text{Pb}$ ، ${}^{207}\text{Pb}$ ، ${}^{206}\text{Pb}$ الموجودة عند زمن مولد الأرض غير معروفة.

للتغلب على هذه الصعوبة، وضع افتراض أن الأرض والكوكب النيركى سلفها ولدا عند قرب نفس الزمن. وحيث أن نيازك معينة، خاصة طور معدن كبريت الحديد FeS الموجود بكميات صغيرة فى أغلب جميع النيازك لنيازك الحديد، يحتوى على نسبة معينة من الرصاص ونسب مهمة لليورانيوم والثوريوم، لذلك يمكن ملاحظة نسب النظائر للرصاص على أنها غير متغيرة منذ تكون النيازك.

أول إقرار لأعمار النيازك تم بواسطة باتيرسون 1956 Patterson من دراسة مكونات نظير رصاص في نيزك تروليت (FeS) في ثلاث أحجار ونيازكين حديدين. يدل شكل (3-9) على العلاقة بين نسب $\frac{^{207}\text{Pb}}{^{204}\text{Pb}}$ ،

هي خط مستقيم والذي يتفق مع الفروض بأن النيازك لها تقريبا نفس العمر حيث تحتوى أصلا على رصاص بسيط من نفس تكوين النظير. أيضا أوضح باتيرسون Patterson باستخدام كثرة نظير الرصاص في رسوبيات المحيطات (لأنها تحتوى على رصاص أرضي) أنها تلائم تساوى عمر النيزك خلال تجارب الأخطاء. هذا الإنتاج أمد بأن عمر الرض متساوى نسبيا كعمر النيازك، والذي قدره باتيرسون Patterson بـ 70 ± 4550 مليون سنة، وأن نسبة الرصاص-النظير ثابتة في نيزك تروليت والممكن استخدامه كنسبة الرصاص-النظير في بداية الأرض. استخدمت تقنيات متقدمة لقيم أكثر حداثة حيث دلت على أن تقدير عمر الأرض تقترب من 4600 مليون سنة. وقد أعطت التحديدات المطلقة لعمر أحجار النيازك وعدة عينات قمرية نفس القيم.



شكل (3-9): دورة زمن الرصاص للنيزكات ورسوبيات محيطية حديثة تحتوى على رصاص أرضي. يدل ميل دورة الزمن على عمر عام حوالى 4550 مليون سنة للنيزكات والرصاص الأرضي (بارسون 1956 Patterson)

4.5.9 تأرخ تتبع الإشطار Fission-Track Dating:

طريقة يورانيوم أخرى للتأرخ على أساس الإشطار اللحظي لـ ^{238}U في المعادن والزجاجيات، فعندما تنتقل الجزيئات الناتجة من الإشطار خلال وسط فإنها تترك تسجيل أثر المسارات والتي تكبر بواسطة الحفر. يكون عدد أثر المسارات لكل وحدة مساحة دالة لعمر العينة وتركيز اليورانيوم بها، وإمدادها لايعيد تسخينها مؤخرا منذ تبريدها لأصلي. تستخدم هذه الطريقة الآن بتوسع لتأريخ معادن مختلفة مثل المايكا، أباتيت، أبيدوت – سفين والزيرون. بالإضافة، يمكن استخدامها لتأريخ النترات القمرية، وزجاجيات بركانية وبعض المشاريع الأثرية.

5.5.9 طرق الكربون المشع والترتيوم Radiocarbon and Tritium Methods:

وضع أساس هذه الطرق على إشعاعات النظائر، والتي لها اقصر عمر، ولكن توجد فى الطبيعة لأنها ذات إنتاج مستمر بواسطة العمليات الطبيعية.

من أكبر أهميتها إنتاج الكربون المشع ^{14}C فى أعلى الغلاف الجوى بواسطة تصادمات الأشعة الكونية (cosmic-ray) بـ ^{12}N . ^{14}C مشع بنصف عمر زمنى حوالى 5730 سنة، ويمتزج مبكرا مع الغلاف الجوى العادى وكربون المحيطات (^{12}C ، ^{13}C) ويؤخذ بواسطة النباتات والكانات العضوية الحية الأخرى. بعد موت الكائنات العضوية، يقف تبادل الكربون مع الغلاف الجوى وتنقطع امدادات ^{14}C . بعد ذلك يتحلل ^{14}C عند معادلة المميز، ويحسب عمر الكربون المشع من كثرة نسبة ^{14}C فى عينات الحفريات إلى كثرة ^{14}C فى مواد حيه مشابهة.

$$\frac{{}^{14}\text{C} \text{ (مواد حفريه)}}{{}^{14}\text{C} \text{ (مواد حيه)}} = e^{-\lambda t} \quad (9-11)$$

يجب أن تكون العينات المستخدمة لتأريخ الكربون المشع فرضية بحيث تكون الحالة التى عندها ^{14}C الموجود الآن نفس الكربون الموجود فى المادة عند وقت موتها، وقد وضع ليبي 1955 Libby الافتراضات الشاملة وتقنيات القياسات لهذه الطريقة. ولأن عمر ^{14}C قصيره لذلك لايمكن استخدامه لتأريخ أكثر من 30,000 سنة مضت، وايضا تقيد هذه الطريقة لدراسة الأحداث الجيولوجية الحديثة بتوسع، ولكن تستخدم أساسا لتأريخ مواد نباتية. الجزء الخاص من هذه الطريقة هو تأريخ أصداف المولاسكا Molluska فى شواطئ ما قبل ترسيب الجليد والذي يستخدم لتحديد مدى حركة سطح الأرض الراسية. ايضا نجحت هذه الطريقة لتأريخ ثلج الثلجات من كتل ثلجية عائمة فى جرين لاند Green Land. وحيث أن ثلج الثلجات يحتوى على فقائيع من هواء غلاف جوى محصورة عند زمن تكوين الثلج، لذلك فإن تأريخ ^{14}C لفقائيع محتوية على ثانى أكسيد الكربون يعطى عمر الثلج.

ينتج أيضا التريوم (نظير الهيدروجين المشع (^3H)) فى أعلى الغلاف الجوى كنتيجة لنشاط الأشعة الكونية، ونصف عمره الزمنى حوالى 12.5 سنة، فحتى فى هذا الزمن يمتزج التريوم بسرعة مع مخزن الهيدروجين النشط للأرض. وتحفظ دورات المياه نشاط التريوم بواسطة الإضافة المستمرة والخلط للمطر. فى الماء المعزول، يتحلل محتوى التريوم أسيا. تفتح هذه الطريقة إمكانية دراسة دورة الماء عبر القارات والمحيطات وتحديد خواص المياه تحت أرضية بالمقابل لمعدل العمر وإعادة شحنها. تحققت هذه الإمكانية بواسطة ليبي 1951 Libby والذي قام بعمل قياسات واسعة لمحتويات ^3H لمياه مختلفة. لسوء الحظ، يكون للتريوم المنتج من تفجيرات نووية حرارية عدم منفعة فى الدراسات الجيولوجية. فقط فى المناطق التى سبق قذف مستوياتها طبيعيا بـ ^3H ومازالت موجودة لليوم هى المياه القديمة العميقة على القارات أو فى أعماق المحيطات والتي لم تتأثر بواسطة نشاط الإنسان العائد إلى هجرة المياه.

6.9 مقياس تأريخ المياه الظاهرية Phanerozoic Time Scale:

يلخص هنا إشتراك التأريخ الإشعاعي لتوطيد مقياس التأريخ الجيولوجي مع العصور المطلقة. قبل ورود طرق التأريخ الإشعاعي، قورنت عصور التكوينات الجيولوجية في مناطق مختلفة من العالم باستخدام الحفريات المرشدة المحفوظة في الطبقات الرسوبية. إمتد السجل الحفرى فقط، مع استثناء لمدى محدد جدا للحفريات الدقيقة لغاية زمن الكامبرى الأولى، مغطية بذلك حقب الحياة الظاهرة لحوالى 600 مليون سنة.

عملت أولا محاولات لانتساب هذه العصور لمقياس الزمن الاستراتيجرافى من زمن العصور المطلقة الملائمة. لسوء الحظ، أمكن مباشرة تأريخ صخور رسوبية قليلة ومعادن قليلة موجودة فيها بواسطة الطرق الإشعاعية، تم أغلب التحديدات الحسنة للعصور على بلورات حصل عليها من بيجماتيتات موجودة حول حافات لأجسام كبيرة متداخلة. فى أغلب الحالات تقطع صخور البيجماتيت أوالنارية تكوينات الرسوبيات القديمة والتي تغطى بعد ذلك بواسطة تكوينات رسوبية حديثة، وهكذا أى عمر يحصل عليه يقع فى مكان ما فى الفجوة بين التكوينين لتتابع رسوبى. فى الأعوام الحديثة، أدت تكرارات فى طرق التأريخ الإشعاعى لتقديرات لبداية ودوام تقسيمات مختلفة للزمن الجيولوجى.

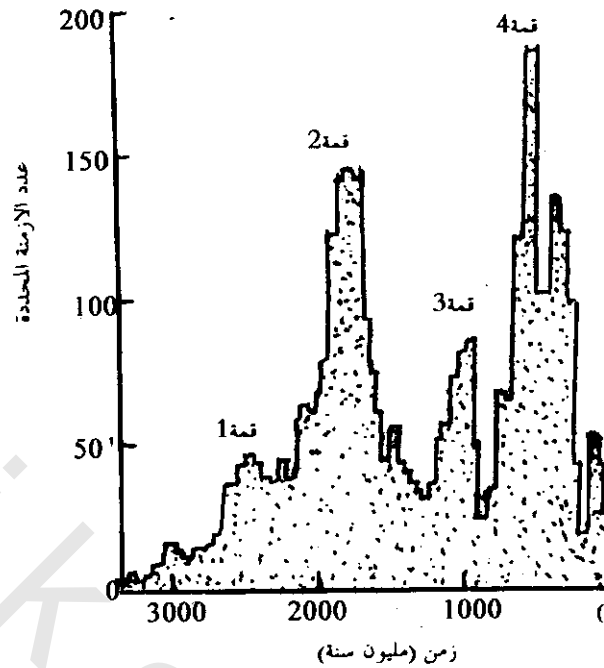
7.9 تحديد أزمنة وتسلسل البريكامبرى Precambrian Chronology:

معروف ان عمر البريكامبرى 400 مليون سنة ويمثل 87% من عمر الأرض الذى نعرفه الآن. بالتأكيد كان تأريخ أحداث صخور البريكامبرى (أقدم من 600 مليون سنة) واحدة من المشاركات الكبيرة لعلم تحديد الأزمنة الإشعاعية. مثل هذه البيانات كونت قاعدة تقسيم مناطق دروع البريكامبرى للقارات إلى مناطق كل منها يتميز بواسطة نشاط تكتونى.

من بيانات Ar-K تأريخت صخور البريكامبرى عبر كل الدرع الكندى. من هذه البيانات وجد ستوكويل Stokwell 1972 أربع مجموعات كبيرة للتأريخ والتي عرفها كأعمار أصلية، جرنفليان Grenvillian (1070 مليون سنة) - إلسونيان Elsonian (1370 مليون سنة)، هودسونيان Hudsonian (1850 مليون سنة)، كينوران Keonran (2700 مليون سنة). على هذه القاعدة قسم الدرع الكندى إلى مناطق تركيبية والتي تتفق بتوسع مع المناطق العصرية.

وضح ديرنلى Dearnely 1966 بأنه إذا عمل مخطط توزيع التواتر (هستوجرام) لجميع الأعمار الممكنة التحديد، فإنه يوجد ثلاث قمم (شكل 9-4) تبعا للنشاط التكتونى بداية من أعمار حوالى 2700 مليون سنة، 1900 م. سنة، 1000 م. سنة.

فى كل قارة، ماعدا انتراكاتا كان من الأهمية بمكان تعريف صخور عاشت بعد غيرها زمن كبير من الزمن (2000 مليون سنة) بدون تحول متأخر. قادت هذه المعرفة للتمعن على أن هذه المناطق الصغيرة ذات الصخور الأقدم تكون النواة التى نمت حولها القارات مع الوقت.



شكل (9-4): تواتر (هستوجرامات) مترددة لأزمنة محددة لصخور نارية ومتحولة. حدوث ثلاث قمم للبريكامبرى تبعا للنشاط التكتونى البادى منذ حوالى 2700، 1900، و 1000 مليون سنة (ديرنلى 1966 Dearnley)

8.9 نظائر الأوكسجين والمناخات القديمة Oxygen Isotopes and Paleoclimates

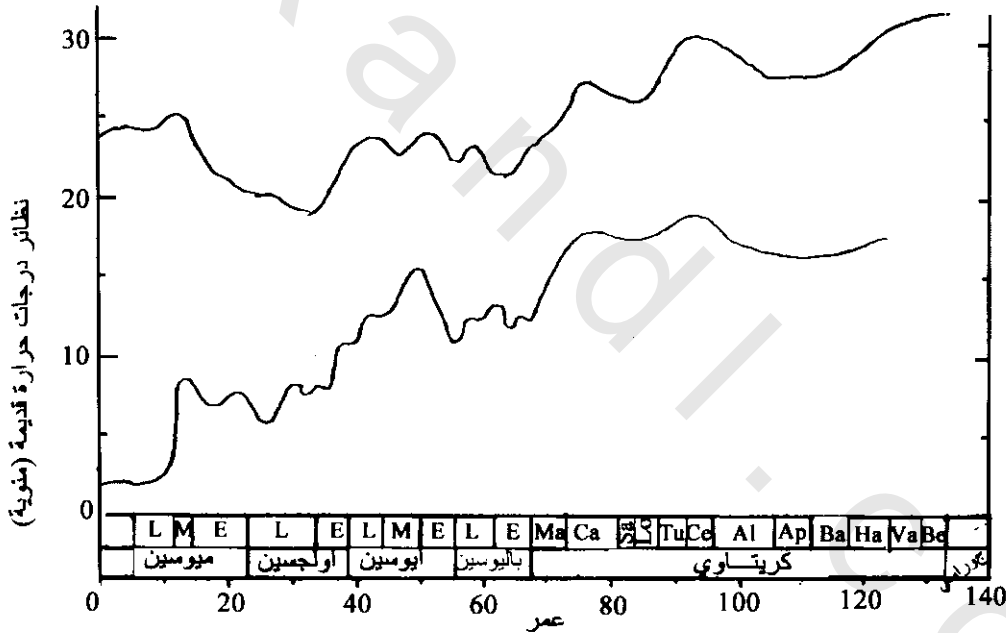
يكون لدراسة علم المناخ القديم جذور عميقة فى الجيولوجيا وفى العشر سنوات الحديثة وجدت مطبوعات مجمعة لبيانات دالة على المناخات القديمة المختلفة. أغلب هذه الأدلة تقدير كمى لطواهر مناخية قديمة هى درجات الحرارة القديمة المشتقة من تحليلات نظائر الأوكسجين فى أهداف الحفريات لعضويات بحرية معينة. تعتمد نسبة $^{18}\text{O}/^{16}\text{O}$ فى أهداف الفورامينفرا البحرية والقاعية على درجة حرارة التكوين والنظائر المكونة للمياه المحيطية. المعادلة المستخدمة لحساب درجة الحرارة القديمة (T) من مكونات نظير الأوكسجين هى حيث δ مقياس الانحراف فى كل ميل (%) لنسبة $^{18}\text{O}/^{16}\text{O}$ من المعيار (النموذج)، A الانحراف لكل ميل لماء المحيط من نفس المعيار.

$$T = 16.5 \bar{n} 4.3 (\delta - A) + 0.14 (\delta - A)^2 \quad (9-12)$$

قام ايميليانى 1955 Emiliani بأول دراسات تفضيلية على عينات بحار عميقة من محيطى الباسيفيى والأطلنطى وبحر الكاريبى، والذى قدر اختلافات درجات الحرارة لعمق المحيط عبر 300,000 سنة مضت. دلت تحليلات اختلافات درجات الحرارة على أن موجات المناخ المسؤولة لفترة البلايستوسين الجليدية كانت ظاهرة عالمية الإتساع. أيضا تمت دراسات نظائر درجات الحرارة القديمة لفرومينفرا الترياسى والكريتاوى وذلك بإمكانية أعداد كبيرة من عينات لوبيه لمشاريع حفر بحرى عميق من قاع المحيطات لمواقع مختلفة. دلت منحنيات درجات الحرارة شكل (9-5) للمحيط الباسيفيى الإستوائى على بداية التبريد العام لمياه المحيط منذ الكريتاوى الأوسط، مع موجات شديدة فى درجات حرارة سطح وقاع المياه فى الأيوسين-أولجوسين والميوسين

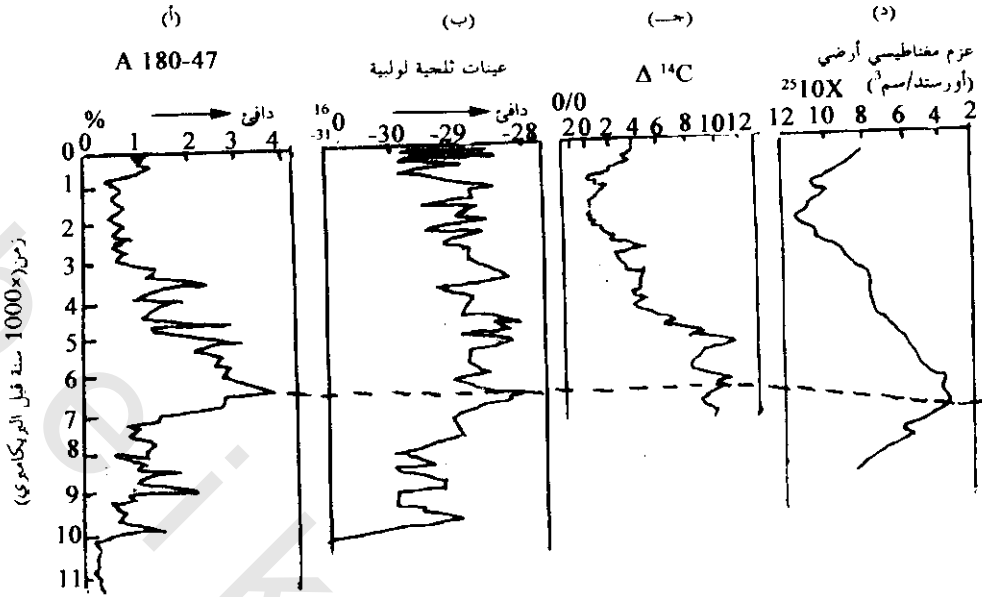
الأوسط حدثت درجات الحرارة العالية لقاع مياه الترياسى حول 14° خلال زمن الأيوسين، وقورنت هذه مع درجات الحرارة النموذجية لقاع المياه (1°-2°) في المحيطات الحديثة. كدلالة لإنحراف درجة الحرارة السريع، فإن تغير المناخ العالمى الهام حدث خلال الميوسين المتوسط، وهذا يدل على بداية أكبر مقياس زمنى للفترة الجليدية لقارة انترككتا Antarctica.

ايضا استخدم تركيز ^{18}O فى ثلج الثلجات لدراسة تغير درجات الحرارة القديمة (دانسمار وآخرين 1973 Dansgaard et al). فى شكل (9-6) قورن منحنى درجات الحرارة النسبى الموضوع على تحليلات ^{18}O لعينات لوبيه لثلج جرين لاند Green land ومنحنى مناخ الفورامينفرا فى عينات لوبيه لرسوبيات بحرية عميقة من قرب جزر كاب فردى Cape Verde مع نشاط كربون الغلاف الجوى المشع وتغير شدة المناخية الأرضية. دل أمثل مناخ عند حوالى 6500 قبل البريكامبرى حيث من المحتمل أن تكون الذبذبات المتوترة فى ^{18}O لها علاقة مع التموجات فى الإشعاع الشمسى، والذى يسبب أيضا تبعا لذلك تغيرات فى تركيز ^{14}C للغلاف الجوى. ملحوظة، العلاقة اللافتة للنظر بين المناخ الدافى وزيادة نشاط الكربون المشع، يقابله نقص شدة المجال المغناطيسى الأرضى حول 6500 قبل البريكامبرى.



شكل (9-5): منحنىات درجات حرارة قديمة موضوعة على أساس تحليلات نظائر الأوكسجين للحفريات الدقيقة من مواقع مشروع حفر بحرى عميق. المنحنى الطوى يمثل أحسن تقدير لدرجات حرارة الماء السطحية مشتقة من فورومينفرا البلاكتون وكوكولثس (أجسام دقيقة من قاع المحيط (سافن 1977 Savin). يدل المنحنى السفلى على درجات حرارة قاع الماء موضوع على أساس فورومينفراينتك (خاص بالأحياء المانية العميقة) (دوجلاس، وودرف Douglas and Woodruff 1981).

Woodruff 1981



شكل (9-6): مقارنة بين منحنى مناخ فورامينفرالى فى (أ) عينة بحرية عميقة لوبيه (A180-47)، (ب) مناخ منحنى نظير الأوكسجين فى عينة ثلجية لوبيه من جرين لاند (Green land، ج) التغير فى نشاط الإشعاع الكربونى الجوى، (د) التغيرات فى شدة المغناطيسية الأرضية (ولن وآخرين 1971 Wollin et al)

9.9 المسح الإشعاعى Radioactivity Surveying

أصبحت طرق التنقيب الإشعاعى هامة فى العشر سنوات الحديثة، ليس فقط لنمو الإحتياج لليورانيوم ولكن أيضا لتحديد مواقع المعادن وأجسام الخامات المصاحبة له. غالبا، يمكن أيضا استخدام الطرق بتميز فى الإستقصاء الجيولوجى والتركيبى.

ذكر سابقا أن البحث الجيوفيزيائى للعناصر المشعة فى قشرة الأرض تشمل أولا تحديد مواقع مناطق لشاذات عالية لأشعة γ ، هذا لأن إشعاعات α ، β أقل كثيرا نسبيا للاختراق، ولاكتشف بمجرد أن تعطى الرسوبيات الإشعاعية بقليل من السنتيمترات. الآتى شرح أولى ومختصر جدا للموضوع.

1.9.9 الأجهزة وطريقة الحقل Instruments and Field Procedure

من الأنواع الكثيرة المصممة للاستعمال الحقلى لإكتشاف الإشعاع، كلا من عداد جيجر والومضات التى تكون أكثر ملاءمة لعمل الإستكشاف.

يتكون عداد جيجر من أنبوبة زجاجية عازلة بكاثود اسطوانى حول سلك رفيع مركزى (أنون). الأنبوبة مملوءة بغاز (عادة أرجون مع كمية صغيرة من الكحول) ويطبق جهد على بين الأقطاب. عادة يكون الغاز غير موصل، ولكن عندما تمر أشعة بها خلال الغاز بتأين، وتعمل الأيونات والإلكترونات المنتجة فى إتجاه الأقطاب. ويمكن تكبير نبضات التيار الناتج وتسجل على مقياس أو تسمع "تكتكه" فى زوج من السماعات. يعمل الجهاز كمعدل قياس باستخدام دائرة كهربية ملائمة، حيث يقرأ معدل النبض فى تعداد لكل دقيقة. فى مقارنة لجزيئات α ، β ، فإن إشعاعات γ تكون ضعيفة التأين جدا. ولذلك فإن كفاءة إكتشاف أشعة γ بعدد جيجر منخفضة جدا.

العداد الوميضى أكثر الأنواع كفاءة للكشف، حيث ينتفع بالحقيقة أن بلورات معينة مثل تاليوم يشع أيوديد الصوديوم النشط الذى يبيت بريق ضوئى مرئى (ومضات) عندما يمتص أشعة γ . يمكن إكتشاف الوميض بواسطة أنابيب تعدد الضوء، وبعد تكبير ملائم يمكن قراءة شدة الوميض بقياس العد لكل دقيقة.

لأن كفاءة إكتشاف العداد الوميضى كبيرة جدا (غالبا 100% لاكتشاف اشعاع γ) لذلك يستخدم لحل كثير من الحالات بدلا من عداد جيجر فى الأعمال الحديثة. فى هذه الأيام غالبا تستخدم عدادات الوميض باتساع فى المسح بالطائرة لقياس سطح الإشعاع من الهواء. صممت أكثر كشافات الوميض حديثة للتفريق بين العدد الوميضى لإشعاعات γ من طاقات مختلفة، مثال لهذا، فإن لها القدرة للتمييز بين رسوبيات اليورانيوم والثوريوم.

يعمل المسح الأرضى الإشعاعى بواسطة السير على طول خطوط والكاشف ممسوك على إرتفاع حوالى نصف متر من سطح الأرض. إذا وجد دليل لتواجد إشعاع فى أى منطقة، تعمل قياسات تفصيلية فى نموذج شبكى لمسافات أمتار قليلة مقفلة. إذا سجل الكاشف مدى عد عدة مرات أكبر من "الخلفية" فهذا يدل على رسوبيات إشعاعية. يعود تأثير الخلفية أساسا للإشعاع الكونى والبوتاسيوم والذى يكثر نسبيا فى صخور الجرانيت. ربما يعطى منكشف لسد بيجميتيت بمحتوى عالى للبوتاسيوم-الفلندسبار مدى عد كراسب يورانيوم أقل من ثلث متر تحت الأرض، وباستخدام عداد ووميضى يمكن التفريق بينهم. قياسات الإسبكترومتر تجعل لأشعة γ إمكانية التمييز بين النشاطات الإشعاعية لمناطق مختلفة ولهذا يمكن القول عن اليورانيوم والثوريوم فى مكان المسح.

غالبا ما يصاحب عملية مسح الطيران الإشعاعى مسح طيران مغناطيسى وكهرومغناطيسى للتقريب المعدنى. يستخدم عدد من حساسات وميضية كبيرة، بتقارن فى ترتيب ملائم، لتعزيز حساسية الكشف لوحدة العد، ويسجل العد أتوماتيكيا على شريط الورق المتحرك. عادة لايزيد إرتفاع الطيران فوق سطح الأرض عن 100 متر، ويفضل أقل إذا كان المطلوب منكشفات حاوية ليورانيوم قليل جدا قام بمبرتون 1970 Pemberton ودارنلى 1972 Darnley بإعطاء مقالات تدريبية عن مسح الطيران الإشعاعى.

10.9 أمثلة للمسوحات الإشعاعية Examples of Radioactivity Surveys

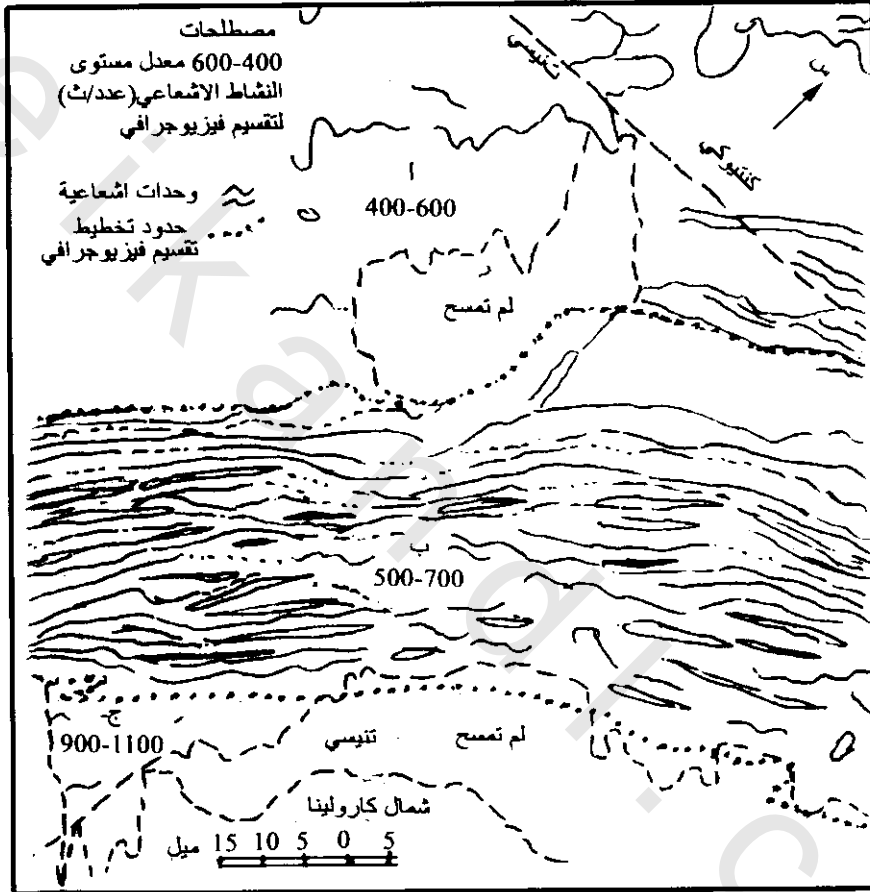
المسوحات الإشعاعية أداة نافعة جدا فى التخريط الجيولوجى والبرامج الاستكشافية. لتوضيح هذه المنافع يعطى مثالين:

المثال الأول:

يوضح شكل (7-9) المأخوذ من مقالة باتس 1966 Bates خريطة إشعاعية لمنطقة ينيس-كينيتيوكى Tennessee-Kentucky بالولايات المتحدة U.S. أهم ظاهرة ملحوظة للخريطة هى مناطق (أ، ب، ج) بنماذج ومستويات مختلفة للأشعة. تتفق هذه المناطق الثلاث تقريبا مع حدود ثلاث تقسيمات فرعية لتضاريس طوبغرافية مدروسة وموصوفة (فيزيوجرافى). المنطقة (ب) لها متوسط مستوى إشعاعى كلى مع نموذج خطى إشعاعى قوى. فى عدة حالات تحيط بدقة أحزمة مستويات إشعاعية خطية عالية أثار فوالق دسر (دفع). حدد بدقة الحد بين منطقتى ب، ج بواسطة إرتفاع حاد فى مستوى الإشعاع لطبقة النتوء الأزرق (بلورد Blue Ridge).

المثال الثانى:

تداخل البميوسا Ilimaussag القلوى فى هضبة كفافيفجلد Kvanefjeld بجنوب جرين لاند Greenland. أشار سورنس وآخرين Srensen et al 1969 لوجود تركيز عالى لليورانسيوم والثوريوم فى ليوجافريتس Lujavrites* بأقصى شمال منطقة التداخل، حيث يكون ليوجافريتس فى تماس مباشر مع سطح الصخور. يصاحب ستينستروبين Steenstrupine** (يورانيوم كثير التغير مع مونايت وثوريت) أغلب شدة تمعدن اليورانسيوم والثوريوم. يرى شكل (8-9) نتائج بأبعاد قياسات لشبكة أبعاد 1 متر بسبكترومتر.

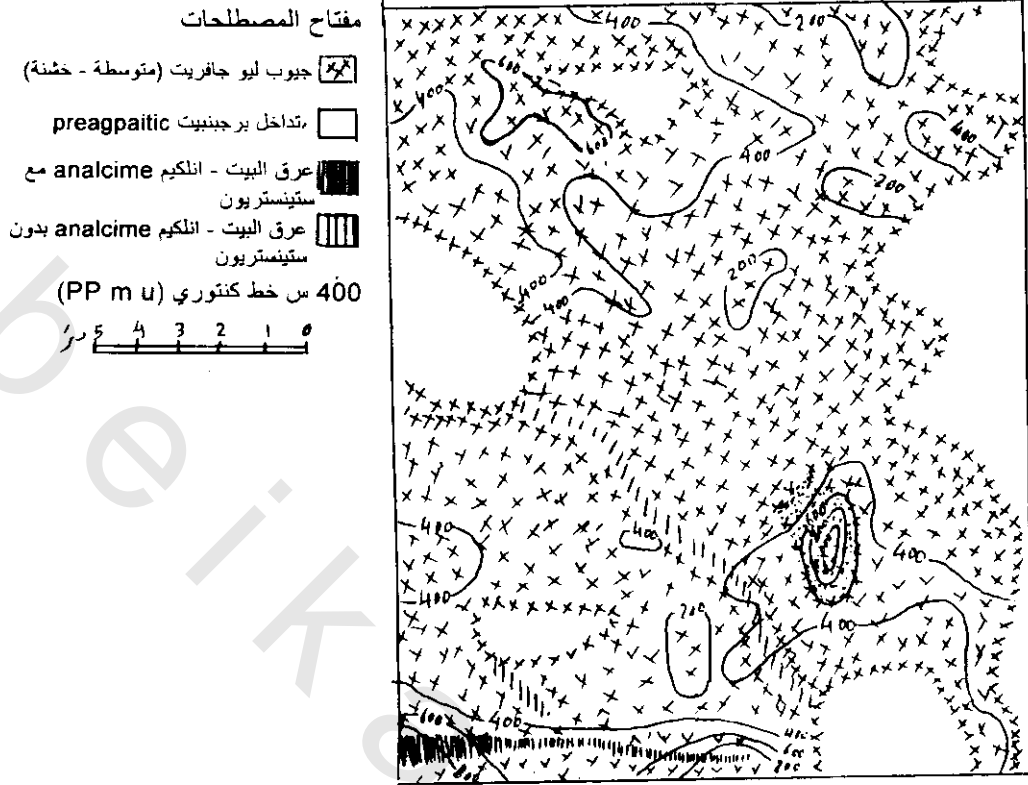


شكل (7-9): خريطة إشعاعية لشرق تنيس كوينتولى بالولايات المتحدة U.S, Tennessee and Kentucky ميزت ثلاث مناطق إشعاعية بواسطة معدل مستويات إشعاعية ونموذج واضح، وحدود التقسيمات الفيزيوجرافية. (أ) هضبة كمبرلاند (Cumberland، ب) منطقة وديان وبتوءات، (ج) منطقة النتوء الأزرق (بلوردج Blue Ridge) (باتس Bates 1966)

أشعة γ المحمول (لوفبرج 1972 Lovberg). توجد مقارنة جيدة بين كنتور الإشعاع والليثولوجى، ويوضح المثال ميزة فحص اليورانسيوم والثوريوم فى المكان، خاصة فى حالات حقلية صعبة.

* حبيبات خشنة من تركيز وراديو لايت حاملة نغفل ساينيت.

** معدن بنى غامق إلى أسود، معدن سداسى $(Ce, La, Na, Mn)_6(Si, P)_6O_{18}(OH)$



شكل (8-9): خطوط كنتورية لتركيزات يورانيوم (ppm) مركبة على خريطة جيولوجية لتمعدن المنطقة في تداخل ليمايوساك Ilimaussaq جنوب جرين لاند Greenland

الفصل العاشر

طرق الحرارة الأرضية Geothermal Methods

1.10 مقدمة Introduction:

دراسة السلوك الحرارى للأرض من أهم فروع الجيوفيزياء.

تأتى الحرارة التى يشعر بها عند سطح الأرض أساسا من الشمس. مع ذلك، فإن أغلب الحرارة الشمسية التى اكتسبها سطح الأرض تعود إلى الفراغ، ويستطيع جزء صغير جدا فقط اختراق عمق لعدة مئات الأمتار القليلة أسفل سطح الأرض. لذلك يكون تأثيره على داخل الأرض صغير جدا مقارنة بالحرارة التى تحدث داخل الأرض.

حاضرا، يعتقد أن المصدر الرئيسى للطاقة الحرارية فى داخل الأرض هى التحلل الإشعاعى لطول حياة النظائر. ربما تكون مصادر حرارية أخرى مثل الحرارة الأصلية وهى الحرارة المنطلقة بواسطة التجمع (بسبب عمل الجاذبية فى تجميع ودمج الأجسام من مكونات صغيرة) أساس أولى فى تاريخ الحرارة الأرضية.

فى بعض الأحيان، تتحول الحرارة تدريجيا من داخل الأرض للسطح، وأغلب الأمثلة لذلك هى البراكين والعيون الحارة. الحرارة المتسربة خلال الأرض، مباشرة أو غير مباشرة، تطلق عمليات جيولوجية مختلفة، والتى لها علاقة بالحركات التكتونية ونشاط الصخور النارية والمتحولة. يكون توزيع الحرارة أسفل عمق 100 كم غير مؤكد وتوزيع مصادرها وميكانيكية تحولها غير معروفة. برغم ذلك، يكون الموضوع كبير الأهمية لأنه إتجاه مهم للنظريات والفروض المتعلقة بأصل ونمو الأرض.

فى السنوات العشر الحديثة، أمدت الدراسات الواسعة للإنسياب الحرارى من الأرض بمعلومات عن خواص إقليمية واسعة لحالات حرارية أسفل الظواهر الجيولوجية الكبيرة للقارات والمحيطات. هذه المعلومات لها أهمية خاصة لنظرية تيارات الحمل فى الستار والتى بها فروض إنحراف القارات وتباعد أرضية البحار، وتطابق فواصل حركة الألواح. على المستوى المحلى، تستخدم القياسات الحرارية (خاصة شذوذ درجات الحرارة) للاستدلال عن مواقع التركيبات مثل قباب الأملاح الضحلة، الطيات المحدبة، الفوالق، الشقوق... إلخ. بالإضافة، تستخدم قياسات درجات الحرارة فى الآبار لمقارنة المستويات الاستراتيجية (الطبقية).

2.10 الخواص الحرارية للصخور Thermal Properties of Rocks:

يلاحظ في الآبار والمناجم، وغالبا في أى مكان على الأرض زيادة الحرارة مع العمق. لذلك تنساب الحرارة في الأرض من أسفل لأعلى. تعتمد كمية الإنسياب الحرارى iq_i على معامل التوصيل الحرارى لمادة الصخر والتدرج الحرارى الشامل له. وتبين المعادلة الآتية هذه العلاقة

$$q = -K \text{ grad. } T \quad (10-1)$$

حيث T التدرج الحرارى وهى معدل زيادة الحرارة مع العمق، وتقاس q بوحدة الطاقة لكل وحدة مساحة لكل وحدة زمن (W/m^2 بوحدة SI) وفى نظام c.g.s تكون وحدة الشغل (ميكروكالورى/سم²/ث).

قياس المعامل الحرارى للمادة هو سهولة الإنسياب الحرارى خلالها. تدل بعض الملاحظات البسيطة على أن المعامل الحرارى للأرض منخفض، مثال ذلك يكون التغير اليومي لدرجة الحرارة السطحية صعب الشعور به لعمق 1 م وتأثيراتها التى تخترق هذا العمق عند وصول نصف النهار أو أكثر تأخرا. يمكن إكتشاف تأثير درجات الحرارة لأمتار قليلة نوعا ما أسفل السطح فقط كتغيرات موسمية، وتصل لشهور متأخرة. مازال وجود دلالة عند عمق 1 كم تقريبا لبقاء درجات حرارة منخفضة من العصر الجليدى المتأخر (منذ حوالى 10,000 سنة)، حيث وضعت هذه التقديرات على عمق إختراق لموجه حرارية تمثل تغير (يومي، موسمي أو تغير فترة طويلة في درجة الحرارة السطحية) للأرض وأمكن الحصول عليها من حل معادلة إتجاه واحد لمعادلة معامل حرارى.

يعتمد تأثير تباطؤ درجة الحرارة مع الزمن على الإنتشارية الحرارية d وتتحدد كالاتى

$$d = K/\rho C_p \quad (10-2)$$

حيث K معامل التوصيل الحرارى، ρ الكثافة، C_p الحرارة النوعية عند ضغط ثابت. وحدة d بنظام SI هى متر²/ث.

تكون الإنتشارية الحرارية (وكذلك معامل التوصيل الحرارى) منخفض جدا لأغلب الصخور، حيث يكون مدى d ($10^{-6} \times 2.0.5$ متر²/ث) أو على المقياس الجيولوجى (15-60 كيلومتر²/مليون سنة). هذا يعنى أن حدوث نشأة الحرارة على عمق لبعض عشرات من الكيلومترات سوف لا تترك (تحس) بالقرب من السطح لمكان ما بين 10 & 100 مليون سنة، إذا انتقلت الحرارة بواسطة التوصيل مفردا.

يعطى جدول (1-10) قيم نموذجية لمعاملات التوصيل لصخور ومعادن مختلفة. تتحكم المعادن الموجودة في الصخور بامتداد كبير في معامل التوصيل، ولكن يكون من المهم أيضا تأثيرات المسامية وزيادة درجة الحرارة والضغط أحسن تقدير لمعامل التوصيل هو ($2.5 W/m^{\circ}C$) أسفل عمق حوالى 50 كم، أسفل هذا العمق يكون معامل التوصيل غير مؤكد.

جدول (10-1) معاملات توصيل حرارية عند درجة حرارة وضغط عادي (كلارك

Clark 1966، بارازنس 1971 (Parasnis).

المادة	معامل التوصيل بوحدات ($^{\circ}\text{W}/\text{mc}$) SI	المادة	معامل التوصيل بوحدات ($^{\circ}\text{W}/\text{mc}$) SI
جرانيت	3.2-1.9 (2.7)	حجر رملي	3.2-2.5
جرانودايوريت	3.5-2.6 (3.0)	طفلة	1.8-1.3 (1.4)
نيس	3.7-2.5 (3.1) 3.2-1.9 (2.7)	صخر جيري	3.0-2.0 (2.5)
(أ) موازي للتورق		صخر ملحي	7.2-5.3 (5.7)
(ب) عمودي على التورق		خام هيماتيت بلورة هيماتيت	10.5
بازالت	2.2-1.5	(أ) موازي محور ج	12.1
ديابيرز	2.3-2.1 (2.2)	(ب) عمودي على محور ج	14.8
		مجنيتيت	
جابر	2.3-2.0 (2.15)	(متعدد البلور)	5.3
سرينتين	3.8-2.0 (2.3)	ماء	0.59 عند 25 $^{\circ}$ مئوية
ديونيت	5.2-3.7	ثلج	2.2 عند صفر درجة مئوية

* لتحويل وحدات SI إلى وحدات c.g.s (10^{-3} كالوري/سم.ثانية (درجة حرارة) يضرب المقدار في 2.39.

3.10 إنسياب الحرارة الأرضية Terrestrial Heat Flow:

تطلق هذه التسمية على الحرارة التي تنساب من داخل الأرض للسطح وتتسرب للفراغ، وتعتبر هذه كمية الطاقة الحرارية التي تفقدها الأرض، بمعنى آخر، ميزانية الحرارة المستهلكة. يكون معدل فقد الحرارة من سطح الأرض حوالي 4×10^{13} وات أو 1.25×10^{21} جول/سنة. في مسطحات الطاقة يكون هذا الإنسياب المخرج للحرارة أكثر تأثيراً للعمليات الجيوفيزيائية، حيث تكون أنظمة الطاقة المحتوية المفقودة في الزلازل والبراكين قيمة منخفضة.

1.3.10 قياسات إنسياب الحرارة Heat Flow Measurements:

لتحديد إنسياب الحرارة يتطلب قياسين منفصلين، التدرج الحرارة $\frac{\partial T}{\partial Z}$ ومعامل التوصيل الحراري K

للصخور التي تقاس فيها درجات الحرارة. يحسب إنسياب الحرارة عبر وحدة مساحة بواسطة الصيغة (K-2)

$$(q-K \frac{\partial T}{\partial Z})$$

يوضح الشكل الخطى (1-10) جهاز حس (مسبار probe) لقياس إنسياب الحرارة فى رسوبيات لينة على أرضية المحيط. يلاحظ التدرج الحرارى فى الرسوبيات من قياسات درجة الحرارة على طول المسبار. بعد ذلك، يطبق التسخين الكهربى بأسفل المسبار عند معدل معروف، وبعد الوصول لحالة الثبات، يعاد قياس التدرج الحرارى. يحسب معامل التوصيل الحرارى K من الوضع الثانى للإرصادات ويكون الزمن المأخوذ لرصد إنسياب حرارى واحد 15 دقيقة.



شكل (1-10): جهاز حس يستخدم لقياس إنسياب الحرارة فى رواسب لينة لقاع المحيط

يستخدم على الأرض مسبار ثرمستور* (Thermistor) فى المناجم والآبار لقياس درجة الحرارة. ويمكن قراءة درجات الحرارة خلال 0.01 درجة الحرارة. ويمكن قراءة درجات الحرارة خلال 0.01 درجة مئوية بواسطة جهاز قنطرة مقاومة، ويمكن إعادة القراءات خلال أبعاد قصيرة للعمق. وحقيقة، فإن جميع الآبار تكون مملوءة بسائل، إذا مثلت حرارة السائل بدرجات غير مشوشة لصخور عند نفس العمق، فإنه يجب أن يكون السائل خالى من التوصيل وتنتج الشوشرة الحرارية الأخرى بواسطة الحفر. يحتاج ترك البئر لأزمة طالما تجرى عملية الحفر ليصل لتوازن حرارى. وتقاس معاملات التوصيل الحرارية لعينات البئر فى المعمل.

بدأت قياسات إنسياب الحرارة على الأرض فى عام 1930، وبعد عام 1980 بلغ عدد القياسات 2800، ووزعت هذه القياسات العشوائية برغم بداية القياسات عند أرضية المحيط فى عام 1950 بعمل راند لبيولارد ومساعدوه E.C. Bullard and his associates، فإن البيانات التى حصل عليها 1980 خارج العدد الذى أخذ على الأرض بأكثر من 6.0%. هذا يرجع لحقيقة أن القياسات أكثر سهولة للأخذ عند أرضية المحيط منها على الأرض، حيث تكون درجة حرارة الماء عادة مستقرة عند أرضية المحيط خلال طول العام، ولذلك لا يوجد احتياج لحفر بئر عميق. برغم التوزيع الكبير المتساوى لبيانات المحيط الملائمة فإنه يرى فجوات هامة فى مناطق كبيرة الإتساع.

2.3.10 بيانات إنسياب الحرارة العالمية Global Heat Flow Data:

قدم لى Lee 1970 تحاليل لحوالى 3130 قياسات إنسياب حرارى متاحة لهذا الوقت، حيث وجد أن معدل الإنسياب الحرارى العالمى من مساحة متساوية ($5 \times 5^\circ$) هو 61 ولا يوجد اختلاف لهم بين معدل الإنسياب الحرارى القارى والمحيطى.

* معامل ذو معامل مقاومة حرارى كبير سالب (تقل مقاومته بارتفاع الحرارة).

أشارت تحاليل بيانات الإنسياب الحرارى العالمى عام 1980 والمقارنة عبر 7200 قياس بواسطة دافس Davies 1980 وسكلاتر وآخرين Sclater et al 1980 أن معدل الإنسياب الحرارى المحيطى أكبر بحوالى 70-80% من الإنسياب الحرارى الأرضى وهذا اختلاف هام عن لى Lee 1970. لم يقدر فى الماضى بالضبط الإنسياب الحرارى المحيطى لملاحظة أن الفقد الحرارى بسبب النشاط الهيدروثرمل (حرمانى-الحرارة المائية) عند النتوءات نسبيا صغير. الآن، يلاحظ أن حوالى ثلث الإنسياب الحرارى المحيطى يعطى بواسطة دوران هيدروثرمل عند نتوءات المحيطات. يعطى جدول (2-10) قيم لإنسياب حرارى عالمى وإنخفاضه المفاجئ لمشاركات قارية وبحرية.

3.3.10 العلاقات بين العمر-الإنسياب الحرارى :heat Flow-Age Relationships

بنمو ملاحظات الإنسياب الحرارى عبر مناطق مختلفة التكتونية، أصبح من المظاهر مقارنة إتساع الإنسياب الحرارى مع عمر القشرة الأرضية لمكان الاقياس، هذا العمر للقشرة المائية فى المحيطات، حيث الوضع الماجمى والنقل بعيدا عن نتوءات المحيطات. وتكون علاقة العمر على القارات مع الحدث الأخير للحركات الحرارية المؤثر على مكان القياس. يكون نقص الإنسياب الحرارى مع زيادة عمر القشرة ظاهرة مميزة لكلا من المحيطات والقارات شكل (2-10).

جدول (2-10) قيم معدل الإنسياب الحرارى (q) والحرارة الكلية المفقودة (Q) من داخل الأرض.

نوع المنطقة	* (مت وات/متر ²)	Q (10 ¹³ W)	المرجع
قارات جافة	61	0.90	لى Lee 1970
محيطات ورنوف قارية (بواسطة التوصيل)	61	2.21	
إتساع عالمى	61	3.11	
قارات ورفوف	57	1.15	(سكلاترو وآخرين Sclater et al 1980)
محيطات (بواسطة توصيل)	66	2.03	
محيطات (حرمانى)	33	1.01	
محيطات (كلية)	99	3.04	
إتساع عالمى	82	4.20	
قشرة قارية (شابمان وبلاك Chapman & Pallach 1975)	53	1.09	دافيس Davies 1980
أحواض محيطية (توصيل + حرمانى)	100	3.06	
إتساع عالمى	81	4.15	

يتميز الإنسياب الحرارى المحيطى بواسطة كبر لافت للنظر وقيم عالية التغير حديثا مكونة القشرة عند حافات القمم، حيث يقل إلى معدل منخفض وقيم قليلة موزعة عبر أحواض المحيطات بعيدا عن النتوءات،

* يكون عدم التأكد فى تقدير معدل قيم q من المحتمل حوالى 10%. لتحويل هذه القيم لوحدات c.g.s (μ كالورى/سم².ث) يضرب فى 10^{23.9}.
 ** Q = sq حيث s المساحة السطحية. المساحة السطحية للأرض 5.1×10¹⁴ م²، أحواض المحيطات 3.06×10¹⁴ م² والقشرة القارية 0.4×10¹⁴ م².

ويحدث معدل القيم المنخفضة (~45 متر وات/م²) عند أخاديد المحيطات شكل (10-3). يتكون إنخفاض الإنسياب الحرارى المحيطى مع زيادة عمر أرضية المحيط مع الوضع الماجماتيكي لقشرة محيطية حديثة التى تبرد تدريجيا لكما إنتشرت بعيدة عن الفتوة. قدر بارسونس وسكلاتر Parsons and Sclatter 1977 الحرارة الداخلية لبرودة طبقة المحيط 1350 درجة مئوية وسمكها بحوالى 125 كم. يمكن إعتبار نموذج تبريد هذا النوع لحوالى 85% من الإنسياب الحرارى الكلى للمحيط، ويمكن توضيح أن 15% الباقية بواسطة الإنسياب الحرارى للغلاف الصخرى (الليثوسفير) من الستار الأسفل ونسبيا اشترك صغير من المولد بالحرارة الإشعاعية المنتجة خلال الغلاف الصخرى (ليثوسفير).

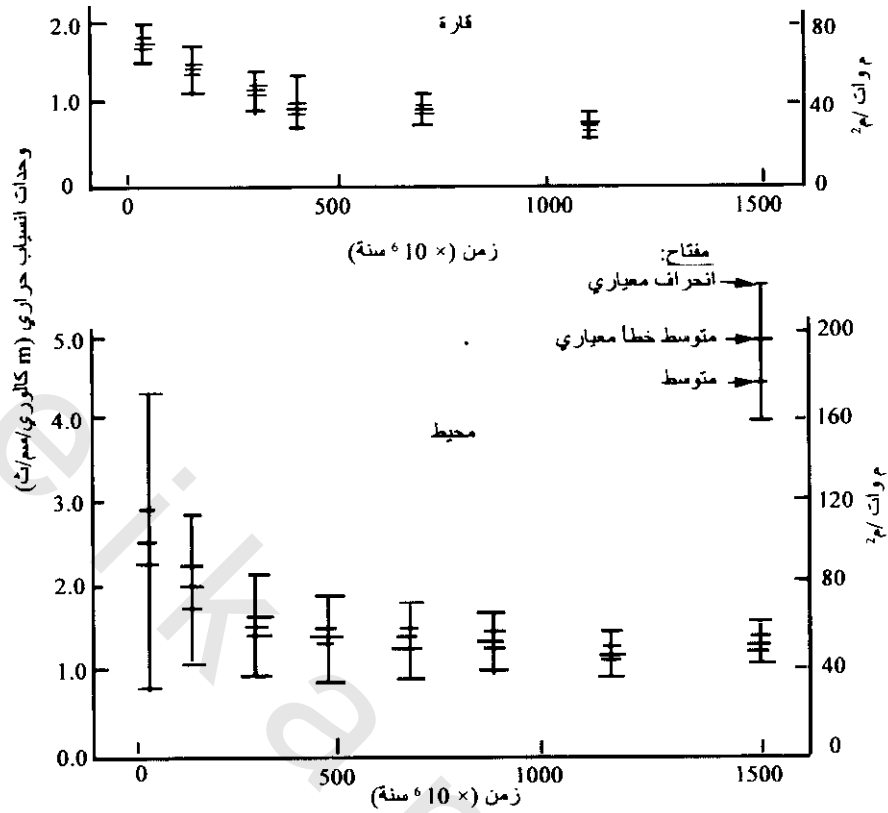
يمتد إنخفاض الإنسياب الحرارى القارى مع العمر (شكل 10-2) عبر فترات طويلة من الزمن ويكون أكثر تعقيدا من مثله للمحيطات. تكون أكبر قيمة ملاحظة (~90 م وات/م²) فى مناطق دروع البركامبرى القديم. يعمل النشاط الإشعاعى لصخور القشرة العلوية مشاركة هامة للإنسياب الحرارى القارى. يمكن فصل مشاركة النشاط الإشعاعى للقشرة العلوية للإنسياب الحرارى من عميقة المصدر ظاهريا بالطريقة الآتية.

إذا كانت A (وات/م³) الحرارة الناتجة من صخر لكل وحدة حجم. عندئذ، فإنه لعمود قشرة أرضية حيث تتسرب الحرارة للسطح عند نفس المعدل التى تنتج عندها، يكون إنسياب الحرارة السطحية زائدة فوق عمود متشابه (b) (بالمتر) bA (وات /م³) عند إنسياب الحرارة لقاعدة العمود حيث يتوقع علاقة خطية بين A, q من الصيغة

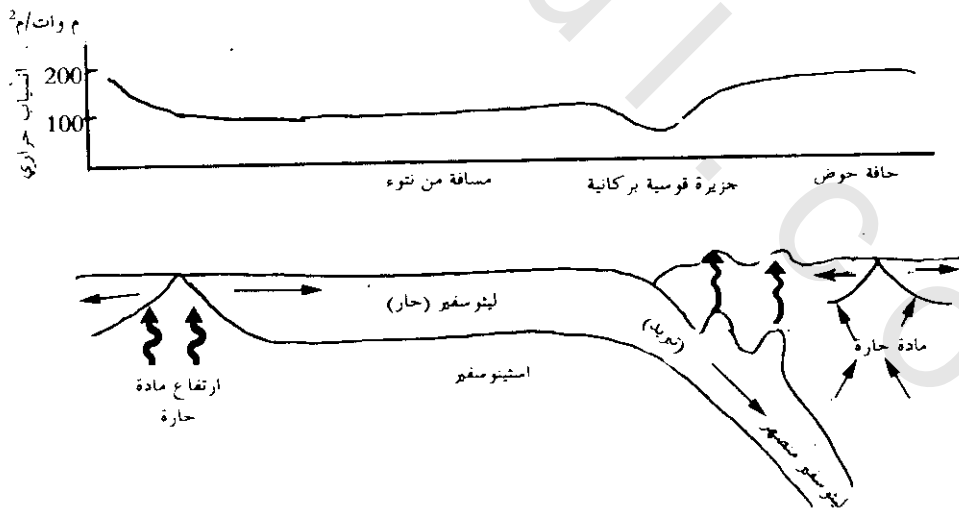
$$q = q_0 + bA \quad (10-3)$$

حيث يعطى الجزء المقطوع q_0 الفيض الحرارى من المصادر العميقة تحت طبقة السطح. يرى شكل (10-4) لتتقيط الملاحظ لأنسياب الحرارة السطحية (q) والمنتجة (A) لثلاث مناطق تكتونية مختلفة فى الولايات المتحدة. يعطى ميل الخط المستقيم الملائم لمجموعة الأرصاد السمك b لإشعاع "القوى" الطبقة السطحية، لخصت النتائج من مناطق إنسياب حرارى بواسطة فيتوريللو وبولاك Vitorella and Pollack 1980، أدرجت التحديدات الموضوعية فى جدول (10-3) على أربع أو أكثر إرصاد.

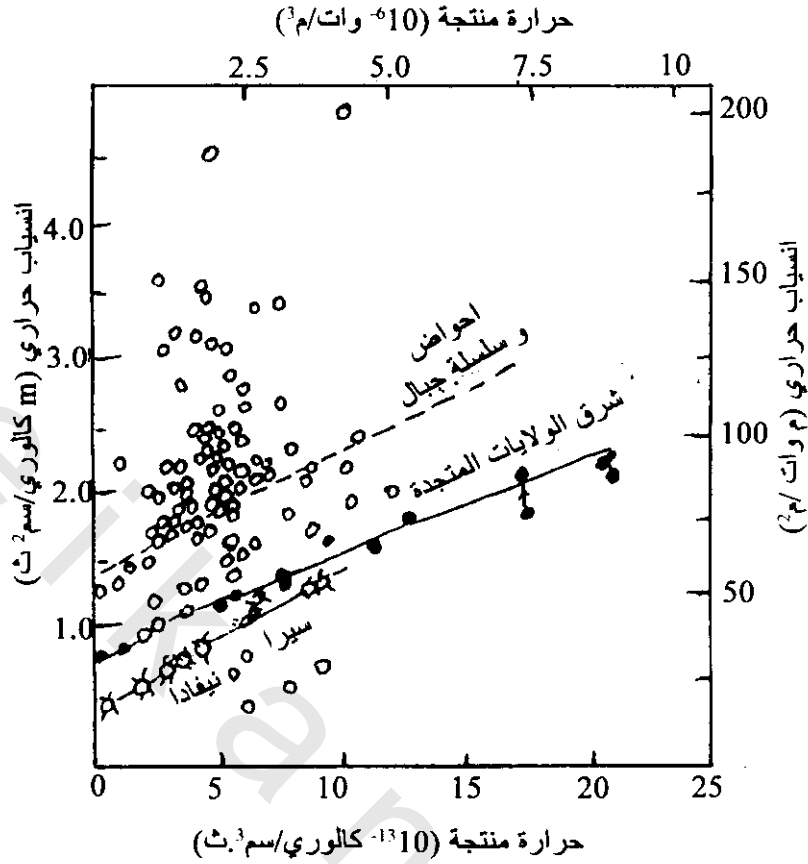
تبعاً لفيتوريللو وبولاك Vitorella & Pollack فسر تقليل الإنسياب الحرارى القارى مع العمر التكتونى فى مصطلحات لنموذج ثلاث مركبات. المركبة الأولى هى مولد إشعاع حرارى من منطقة غنية النظائر فى القشرة العلوية، والتى تشترك بحوالى 40% من الإنسياب الحرارى المرصود فى تضاريس لجميع الأعمار التكتونية. المركبة الثانية هى الحرارة المتبقية من الحرارة المضطربة العابرة المصاحبة لتقدم تبريد المحيط القارى التالى لحدث التكتونحرارية المتأخرة. هذا الإضطراب العابر يصل تقريبا إلى 30% من الإنسياب الحرارى المرصود فى مناطق تكتونية الثلاثى، بتأثير توصيل مستدق للصفر فى تضاريس البركامبرى الأقدم، المركبة الثالثة هى خلفية فيض حرارى لحوالى 27 متر وات/م² لمنطقة عميقة، محتمل آتيانها من مصادر مولد إشعاع حرارى أسفل القشرة العلوية الغنية بالمواد المشعة وبواسطة الإنسياب لأعلى الستار أسفل المحيط القارى الصخرى. وهى توضح أن هذه فقط نموذج تجريبي (غير نهائى).



شكل (2-10): رصد متغير لقيم إنسياب حراري في قارة ومحيط واعتماده على زمن صخور القشرة (شابمان وبلاك & Chapman) Pockack 1975.



شكل (3-10): نموذج لإنسياب حراري محيطي (المنحنى العلوي) يمكن توضيحه بواسطة نموذج لخلق لوح ليثوسفير حديث والذي يبرد تدريجياً كلما بعد عن النتوء وأخيراً انغمس أسفل الاستينوسفير. تنتج الحرارة العالية المناسبة في الجزيرة القوسية من ارتفاع المجامع من صهير الليثوسفير. (معدل من برس وسيفر Press & Siever 1978)



شكل (10-4): إرسادات لإنسياب حراري وحرارة إشعاعية منتجة من صخور بلورية في الولايات المتحدة. منحنيات التراجع الخطي من (روي وآخرين 1968 Roy et al) من مناطق أحواض وسلسلة جبال (الخط المقطع)، شرق الولايات المتحدة Eastern U.S.، وسيرانيفادا Sierra Nevada. الثلاث دوائر المفتوحة على منحنى شرق الولايات المتحدة عند حوالي الكالوري/سم².ث (= 42 م وات/م²) من جبال كلامات Kalamath في جنوب كاليفورنيا California (لاشينبروش وساس 1977 Lachenbruch & Sass)

4.3.10 مناطق شذوذ الإنسياب الحراري: Regions of Anomalous Heat Flow

في مناطق كثيرة حيث عملت قياسات كافية، لوحظ تغيرات هامة لمعدل الإنسياب الحراري. وكما هو متوقع فإن كثير من مناطق الإنسياب الحراري العالمي حددت مواقعها قرب تنوعات محيطية أساسية، حيث يكون الإنسياب الحراري عالي التغير في هذه المناطق. محليا، لوحظت قيم عالية خمس مرات للمعدل العالمي، وذلك لأن هذه المواقع تكافئ البراكين ومناطق الحرارة الأرضية على الأرض، وتشارك هذه المواقع في تحديد مصادر الحرارة (بقع حرارية) الواقعة عند أعماق ضحلة خلال عشرات كيلومترات قليلة من السطح. تتكون الماجما المنتجة لهذه البقع الحرارية عند أعماق كبيرة جدا، وذلك من المحتمل بواسطة إنشطار جزئي لمواد الستار في رفع تيار الحمل.

جدول (3-10) متوسط إنسياب حرارى (q)، تقليل الإنسياب الحرارى (%)، عمق مميز (b) لعدة مناطق إنسياب حرارى. N عدد نقط البيانات المستخدمة فى علاقة خطية بين الإنسياب الحرارى والحرارة الناتجة. (فيتوريللو & بولاك Vitorello & Polack)

قارات ومناطق	N	q (م/وات/م ²) ±s.d	q ₀ (م/وات/م ²) ± أمر غير محقق	b (كم)	قارات ومناطق	N	q (م/وات/م ²) ±s.d	q ₀ (م/وات/م ²) ± أمر غير محقق	b (كم)
أمريكا الشمالية					أوروبا				
حوض ونبوء	86	33±92	34±69	10	أوكرانيا	12	8±37	2±25	7.1
سيرانفادا	10	13±37	3±18	10.0	انجلترا وديلز	10	23±59	3±23	160
شرق الولايات المتحدة	15	17±57	4±33	7.5	أستراليا				
أعلى كندا	11	8±34	1±21	14.4	غرب	9	8±39	8±26	4.5
					وسط	10	21±83	6±27	11.1
جنوب أمريكا					الدرع الهندي				
الدرع الشاطئي البرازيلي	4	15±36	7±28	13.1	الروتوزدى المتأخر	4	(1±7)	2±38	14.8

* تقليل الإنسياب الحرارى (%) هو الإنسياب الحرارى المقطوع لصفر حرارة منتجة معادلة (٣-١٠)

كثير من مناطق شذوذ الإنسياب الحرارى على القارات بعيدة عن مناطق البراكين وأنظمة الوديان الأحادية. ترى أغلب مناطق الأنشطة التكتونية أعلى قيم، وأغلب مناطق الاستقرار (دروع البريكامبرى القديم) تشير لأقل القيم. تملك سلسلة الجبال الحديثة مثل الألب وأيضا بعض المناطق الغير تكتونية إنسياب حرارى حوالى 50% فوق معدل الإنسياب الحرارى للقارات. أساسا، ربما يكون الإنسياب الحرارى لمساحات نشوء الجبال الحديثة نتيجة تكتيف القشرة الأرضية خلال بناء الجبال. ترى بعض المناطق إنسياب حرارى عالى بدون دلالة لتكتيف القشرة الأرضية. مثلا فى جنوب شرق أستراليا يكون الإنسياب الحرارى المرصود حوالى 50% فوق معدل القيم القارية (ساس 1964 Sass). تكون هذه الشواذ الإقليمية بسبب التركيز العالى الغير عادى لمصادر الحرارة الإشعاعية فى القشرة أو فى أعلى الستار، والمثال الآخر موجود فى حوض هيونجاريان (المجر Hungarian) بمناطق أوربا. هذا الحوض لرسوبيات الثلاثى السميكة محاطة بكارباثيارس Carparthiaris ودينارك dinaric الألب، حيث يكون الإنسياب الحرارى المرتفع مشارك لمنشأ التكتونية البركانية للحوض. تكون المياه الحارة المسحوبة من أعماق 1000-2000 متر فى الحوض مصدر هام للطاقة الحرارية فى المجر Hungary.

فى الولايات المتحدة، يرى الحوض ومنطقة السلسلة شاذات إنسياب حرارى عالى مع تشتت كبير فى الأرصاد. هنا، يكون التغير فى الإنسياب الحرارى منسوب كبيرا للمصادر العميقة (مثل نقل الحرارة الحرمانية والمagma)، التى تكون مشاركة للإنسياب الحرارى أكثر من طبقة النشاط الإشعاعى المشع.

4.10 الحرارة المنتجة وانتقالها في الأرض: Heat Production and Transfer in the Earth

يعتقد أن النشاط الإشعاعي وتحول الجاذبية إلى طاقة حرارية هما أكبر مصادر للحرارة في داخل الأرض حقيقة أن جميع حرارة النشاط الإشعاعي تنتج بواسطة نظائر اليورانيوم والثوريوم والبوتاسيوم المتوافرة في أنواع صخر أساسية والتي تبني القشرة والستار كما هو موضح في جدول (4-10) والذي يعطى أيضا تقديرات للحرارة المنتجة لكل كيلوجرام لمادة الصخر. يشمل الجدول أيضا تقديرات من بعض مواد متعلقة بتاريخ الحرارة الأرضية.

حتى أواخر 1960 كان الإنسياب الحراري القاري مشاركا لسمك (30-35 كم) "السيليسيك Silicic" من طبقة القشرة الأرضية مع حرارة ناتجة مولدة بالإشعاع. منذ أن قدرت الحرارة الناتجة في قشرة المحيط (فرضت بـ 5 كم من البازلت) فقط بـ 3% من حرارة المحيط المرصودة، نوظرت بأن ستار المحيط ربما 500 كم لأسفل وله تركيز أكبر لعناصر نشاط إشعاعي من الستار القاري (ماكدونالد 1965 Macdoland). والآن عدلت هذه الأفكار. كما ذكر سابقا، أن متوسط حوالي 60% من إنسياب حراري القارات تأتي من الداخل العميق وحوالي 40% يشترك بواسطة النشاط الإشعاعي القشري. في المقابل، تكون القشرة البازلتية المحيطية الرفيعة غير محتملة الإشتراك بأكثر من نسبة مئوية قليلة للإنسياب الحراري المحيطي، لذلك فوق 95% من الإنسياب الحراري المحيطي الملاحظ يجب أن يأتي من تحت القشرة المحيطية. في كل الأحوال، فإن الإنسياب لأعلى من الستار أسفل القشرة يكون مطلوب. لهذا، فإن الستار يجب أن يتضمن في إنتاج الحرارة لتنفيذ رصد الإنسياب الحراري.

يوجد مصدرين محتملين كبيرين وكافيين لإنتاج حرارة أساسية في الستار. الأولى حرارة من النواة تسلم إلى قاعدة الستار. هذه لأن أي مصدر طاقة يحتاج لدوران دينامو جيومجنك (مغناطيسية أرضية) في النواة الخارجية. هذه ربما تكون بسبب إما إنحلال النشاط الإشعاعي للبوتاسيوم ^{40}K أو نمو النواة الداخلية. هذه التقديرات غير مؤكدة ولكن تتراوح من 10%-30% من الحرارة المفقودة من الأرض، (إلسر وآخرين Elasser

et al

جدول (4-10) تقديرات الحرارة المنتجة في مواد أرضية

منتج الحرارة الحاضرة (10 ⁻¹⁰ وات/كجم)	(تكون جزء لكل مليون (ppm))			المادة	منتج الحرارة الحاضرة (10 ⁻¹⁰ وات/كجم)	(تكون جزء لكل مليون (ppm)) ⁽¹⁾			المادة
	بوتاسيوم K	ثوريوم Th	يورانيوم U			بوتاسيوم K	ثوريوم Th	يورانيوم U	
2.7	100	0.06	0.015	بيرنوتيت (₃)	940	38000	18	5	جرانت
5.2	850	0.043	0.012	كهوندريت	170	8000	3	0.6	بازلت
4.2 ⁽⁴⁾	170	0.065	0.018	متوسط أرضي	390	19000	6	1.6	القشرة القارية العليا

١. أخذت القيم من جدول (2) مع إضافة بيانات من توركين 1972 Turekian وأندرس 1977 Anders

٢. حُصيت من معدل الحرارة الناتجة بواسطة نظائر النشاط الإشعاعي لليورانيوم (U) والثوريوم (Th) والبوتاسيوم (K) من جدول 3.

٣. ممثلة لمادة الستار.

٤. قورنت الحرارة الناتجة مع متوسط الحرارة المفقودة لكل كجم للأرض ($10^{-12} \times 7$ وات/كجم). حصل على هذا بواسطة ضرب إنسياب الحرارة

السطحية المرصودة (0.081 وات/م²) بواسطة المعامل (المساحة السطحية للأرض (د)) / (كتلة الأرض (M)). من المهم ملاحظة أن الحرارة

الحاضرة المفقودة للأرض أكبر من حرارتها الناتجة.

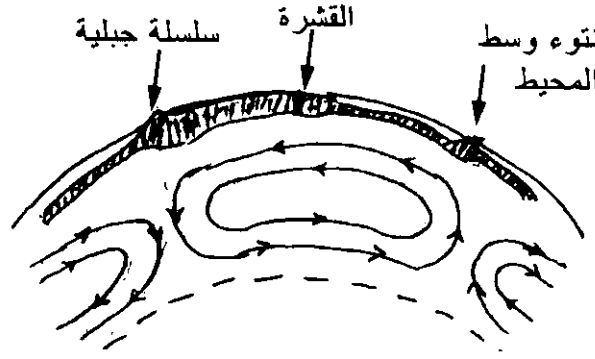
1979. المصدر الثانى هو حرارة مؤكدة إشعاعيا فى الستار. حيث أن النظائر الكبيرة لليورانيوم U، والثوريوم Th والبوتاسيوم K تكون قوية السيليكية، لذلك تكون مركزة جدا فى القشرة الأرضية العلوية كنتيجة أن الستار مستنفذ كثيرا فى العناصر الإشعاعية (جدول 10-4) بالمقارنة بالقشرة القارية. بما، لكبره الكتلى فإن الحرارة الكلية الناتجة فى الستار ربما تكون كافية لعمل مشاركة هامة للانسياب الحرارى الكلى المرصود. لذلك، فإن الانسياب الحرارى السطحي يكون أساسا مشاركا لإنتاج النشاط الحرارى الإشعاعى فى القشرة القارية والستار مع مشاركة من النواة.

غالبا تنقل الحرارة المتسربة خلال المحيط اليابس بواسطة التوصيل الحرارى. تكون حرارة الإشعاع منخفضة جدا لارتباطها الهام لانتقال الحرارة. يكون السماح بحدوث التوصيل للمحيط اليابس صعب جدا ماعدا عند نتوءات المحيطات فإن التوصيل يتم بواسطة دوائر حرمانية. مشكلة انتقال الحرارة أكثر تعقيدا فى الستار أسفل المحيط اليابس، حيث التوصيل الحرارى غير محتمل التأثير الميكانيكى لنقل الحرارة من عمق الأرض الداخلى. بسبب شموله ثبات زمن كبير. بفرض نفس الخواص الحرارية لصخور القشرة، فإن انتقال الحرارة بواسطة التوصيل خلال المائة كيلومتر الأعلى للأرض ستأخذ 5 بليون سنة، والتي تكون أكبر من مسافة امتداد الحياة للأرض. لذلك، لابد للنظر بقوة لميكانيزم آخر لانتقال الحرارة فى الستار. عند درجات الحرارة العالية، مثل السائدة فى الستار، فإن انتقال الحرارة بالإشعاع تسود على التوصيل. ربما، تكون المعادن المكونة للستار نسبيا معتمة، وربما تقلل زيادة العتمة مع العمق فاعلية الانتقال الإشعاعى. لذلك يكون الإشعاع غير محتمل الإرتباط الهام لانتقال الحرارة فى داخل الأرض.

وهذا يجعل اللجوء للتوصيل المعروف كميكانيزم مؤثر لانتقال الحرارة فى السوائل مطلوب. ومع أن علم الزلازل يشير إلى أن الستار أساسا متبلور، ولكن تحت حالات معينة من الممكن أن تسلك المواد الحالة الصلبة عبر أزمنة قصيرة وسوائل لزجة عبر فترات طويلة. وتحت حالات تحمل طويلة للضغط العالى ودرجات الحرارة العالية، ربما يتزحف الستار ويصبح نهائى شبه مادة لزجة. لذلك، فى الحقيقة يمكن أن يكون التوصيل ممكنا (محتملا). أدت هذه الفكرة الجاذبة لبيولارد وآخرين Bulard et al 1956 للاقتراح أن أغلب إنسياب حرارة المحيط المحمولة خلال الستار العلوى تكون بسبب التوصيل.

ربما يعتمد احتمال التوصيل الحادث فى الستار العلوى على أغلب عياريته اللزوجية η . حيث اقترح احتمالية أن اللزوجة للستار الأسفل لا يكون أكثر كبرا من التى للستار العلوى وهذا يؤدى لتوصيلية الستار، وإذا وجدت هذه الاحتمالية فإنها تشمل الستار ككل.

تفاصيل نموذج التوصيل، سواء كان الستار واسع أو محدد إلى عدة كيلومترات قليلة علوية فقط شكل (5-10) سوف تعتمد على تركيبات الستار، والتى تشمل وجود تغيرات طورية، كعلاقة اللزوجة والعمق وتوزيع حجم مصادر الحرارة. مازالت هذه التغيرات قليلة المعرفة، ولكن يوافق أغلب الجيوفيزيقيون اليوم على أن توصيل الستار، فى بعض الشكل، يكون ممكن ويظهر تأثيره الميكانيكى لنقله الحرارة من الستار أسفل المحيطات.



شكل (10-5): نموذج للحمل الحراري في الستار العلوي، ترتفع تيارات الحمل بالقرب من نتوءات المحيط والتفريغ الحراري كأنه ينساب باتجاه القارات

5.10 درجات الحرارة داخل الأرض: Temperatures Within The Earth

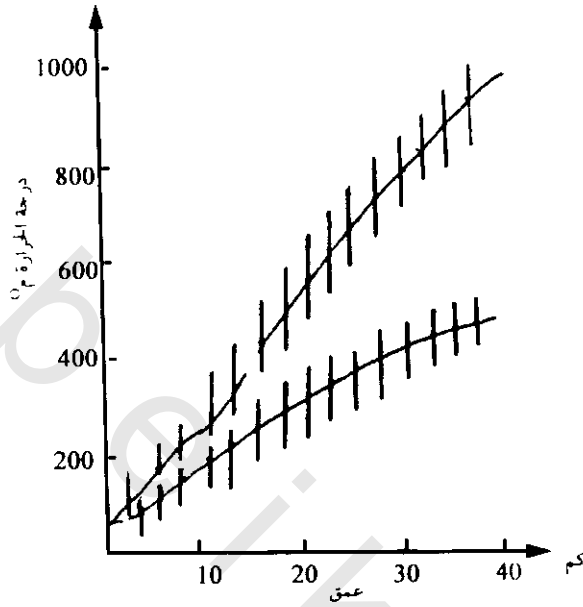
أبسط طريقة لدراسة درجات الحرارة الأرضية هي حفر بئر واستخدام قياس حراري حساس أو مسبار ثيرمستور^{*}، وليس من الضروري الحفر دائما، حيث يمكن استخدام وجود مداخل المناجم، الأنفاق وأبار البترول لهذا الغرض. أظهرت الدراسات التي حصل عليها بهذه الطريقة أن درجة الحرارة الأرضية عند أي موقع تزيد مع العمق، ويكون متوسط معدل الزيادة (المسمى بتدرج الحرارة الأرضية) حوالي 3 درجات مئوية لكل 100 متر عمق في المناطق الغير بركانية.

لتقدير درجة حرارة الأرض خلف عمق عدة كيلومترات فإن قياس إنسياب الحرارة السطحية q تكون الحل لهذا التقدير، ويمكن فصلها إلى مشتركات حرارة من صخور النشاط الإشعاعي السطحي ومن المناطق تحتها بواسطة رسومات خطية مثل التي في شكل (10-4). يكون معرفة هذين للحرارة كافيا للحصول على توزيع درجة الحرارة-العمق في القشرة الأرضية. يظهر شكل (10-6) تقديرات درجات حرارة تحت عمق 4 كيلومتر في منطقتين مختلفتين بالولايات المتحدة. ترى إنسياب الحرارة العالية في حوض نشاط تكتوني وسلسلة جبال (مرتفعات) زيادة سرعة أكثر للحرارة مع العمق. يكون معدل تدرج الحرارة في الجيولوجيا القديمة وشرق الولايات المتحدة المستقر أقل كثيرا من التي في منطقة الحوض وسلسلة الجبال.

سمك قشرة المحيط 6 كم فقط ويكون نتاج النشاط الإشعاعي منخفض التأثير جدا على تقدير التدرج الحراري. تكون درجات الحرارة أسفل سطح المحيط سائدة بواسطة الحرارة المتوالية في قاعدة المحيط اليابس من الستار أسفل. يكون أحسن تخمين لدرجة حرارة حوالي 1200 درجة مئوية عند قاعدة لوح المحيط اليابس عندما يكون في تلامس مع جزء الغلاف المائع المنصهر (من الستار). هذه تعطي تقديري لدرجات الحرارة عند أعماق 70-100 كم أسفل المحيطات العادية (بعيدة عن النتوءات المحيطية).

لتقدير درجة الحرارة في الستار والنواة يجب الرجوع إلى الطرق المباشرة، وضعت الاستنتاجات حول توزيع درجات الحرارة عند أعماق كبيرة على رصد السرعات السيزمية وتغيرات التوصيلية الكهربائية، ولكن تعتمد هذه على افتراضات الخواص الفيزيائية بافتراض أن مادة الستار (بيردوتيت؟) عند الضغوط ودرجات الحرارة العالية.

* مقاوم ذو معامل مقاومة سالبة حرارية كبيرة (تقل مقاومته بارتفاع الحرارة).



شكل (10-6): تقديرات درجات حرارة أسفل عمود 40 كم فى حوض - سلسلة جبال (BR) وشرق الولايات المتحدة (EUS) لمناطق بالولايات المتحدة الأمريكية. وضعت التقديرات على معرفة إنسياب حرارى وحرارة منتجة فى المنطقتين ، ترى الأعمدة الرأسية تقديرات غير مؤكدة (بلاكويل 1971 Blackwell ولاشنيروش و Lachenbruch & Sass 1997) وساس

تمد الزادتين السريعتين فى سرعة الموجات السيزمية عند أعماق 400، 600 كم دلالة هامة، حيث يظن أن قفزات هذه السرعة بسبب تغيرات طورية والتي تحدث عند الوصول للضغط ودرجات الحرارة الحرجة. حقق طول التغير عند عمق 400 كم فى المعمل بواسطة تجارب على معدن الأوليفين بواسطة تعريضه لزيادة الضغوط ودرجات الحرارة. تقرر هذه التجارب أن درجة الحرارة تقترب إلى 1500° مئوية عند عمق 400 كم، أما درجة الحرارة المطلوبة لتغير الطور عند 700 كم قدرت نظريا بالإضافة لبيانات السيزمية وطبيعة الحالة الصلبة لتكون حول 1900° مئوية. بالإتجاه عمقا للستار، عامة افترض أن درجات الحرارة ترتفع مع زيادة العمق أكثر إنحدارا من التدرج الأديباتيكي (تدرج حرارى يرجع لإنضغاط مواد الأرض).

أيضا عرف من علم الزلازل أن الستار يكون صلب وأن النواة الخارجية تكون سائلة. لذلك فإن درجة الحرارة خلال الستار تحت نقطة منحنى الصهير للستار، حيث يجب أن تزداد درجة الحرارة عند حد الستار - النواة عن نقطة انصهار الحديد لتقليل سيولة النواة، وتبقى أسفل درجة حرارة صهير الستار لتقلل صلابته، هذه الدرجة الأخيرة، تبعا لبعض تقديرات التصحيح، تكون مناسبة فى المدى من 3000°-3800° درجة مئوية.

مد الدليل الآخر لتقدير درجة الحرارة بواسطة الحد بين النواة الخارجية والنواة الداخلية والتي شدد على صلابتها بواسطة علماء الزلازل بفرض أن هذا الحد يميز صلابة خليط Fe-FeS، فقد قدرت درجة الحرارة عنده بواسطة ستاسى 1977 Stacey حول 4000° مئوية. يأخذ هذه كواحدة من نقط درجات الحرارة الثابتة وبفرض أن توزيع درجات الحرارة مع العمق فى النواة الخارجية تتبع التدرج الأديباتيكي، فإن درجة الحرارة عند الحد بين الستار والنواة يقدر حول 3000° مئوية.

بتلخيص المناقشة السابقة، فإن المنحنى المشروط لشكل (10-7) يستخدم لتقدير خام لتوزيع درجة الحرارة داخل الأرض.

6.10 طرق التنقيب الإشعاعي Thermal Prospecting Methods

تستخدم قياسات الحرارة الأرضية لاستطلاع مصادر الحرارة تحت سطحية والقريبة من السطح، حيث تجلب حول التغيرات المحلية في درجة الحرارة تحت الأرض بواسطة عدة أسباب

- (i) تأثير تحلل الماء الأرض
- (ii) التأثيرات الكيميائية الناتجة في تفاعل اكسوترومي (طارد للحرارة)
- (iii) وجود مصادر حرارة لنشاط إشعاعي محلي.
- (iv) الاختلاف في معاملات توصيل الصخور.
- (v) وجود مصادر بركانية وحرمانية (هيدروثيرمل)

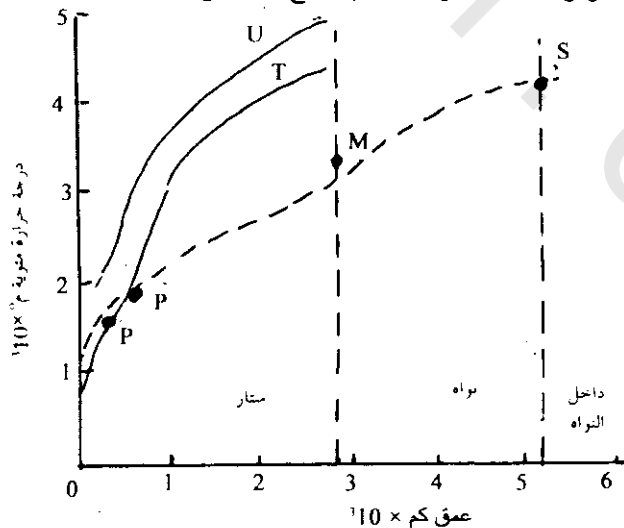
لاستطلاع مصادر الحرارة عند أعماق كبيرة، من المهم ان تشمل قياسات الإنسياب الحراري عبر المنطقة. ربما، في التنقيب لمصادر حرارية ضحلة، في أغلب الأحيان تكون قياسات درجات الحرارة عند عمق 2 متر كافية، وتفسير شذوذ درجات الحرارة نسبيا عادلة. هذه الظواهر تجعلها طريقة جاذبة للحصول على معلومات تحت سطحية للإستخدام الإقليمي للإضافة إلى البيانات السيزمية والمقاومة الكهربائية.

في السنوات الحديثة زاد استخدام الطرق الحرارية في التنقيب عن المياه الأرضية، الثلجات ومستودعات المياه الرسوبية، خزانات حرارية، قباب ملحية ضحلة، فوالق، شقوق... إلخ.

1.6.10 تقنيات القياس Measuring Techniques

صممت عدة وحدات للقياسات الحرارية (ثرمستور Thermisto) دقيقة للاستعمال الحقلى. وأحد من التصميمات (كركمار وماس 1970 Krckmar and Masin) قادر للقياس من 0° - 70° مئوية ودقته النسبية 0.01° مئوية. يحفظ (يحمى) العنصر الحساس بواسطة حقيبة صغيرة وتوصل لقضيب فلزى بطول 2-5 متر أو بطول الكابل إذا عملت القياسات في آبار عميقة.

تأخذ طرق القياسات وتصحيحاتها في الاعتبار بعض تأثيرات مضطربة، وأكثرها أهمية يكون بسبب التغيرات اليومية لدرجة الحرارة المسببة بواسطة الإشعاع الشمسى. لابد من ملاحظة التغيرات في التربة أسفل



شكل (10-7): توزيع مقترح لدرجات الحرارة في الأرض عند p ، p' موضوع على فرض تغير طوري عند أعماق تقترب من 400، 600 كم، U منحنى نقطة صهير للستار (يوفن 1952 Uffe)، T درجة حرارة مستنتجة من التوصيلية الكهربائية (توزر 1957 Tozer)، M درجة الحرارة عند الحد بين الستار-النواة (مكينزيس 1967 McKenzies) معدلة من منحنى توزر، S درجة الحرارة في داخل الحد الخارجى للنواة مميزة بواسطة صلابة Fe-FeS (سناسى 1977 Stacey)

عمق حوالى 1.5 متر. لإزالة تأثير التغير اليومي، تقاس درجات الحرارة فى الآبار الضحلة والمحفورة بواسطة جهاز حفر خفيف أو محفورة بواسطة قضيب صلب ومطرقة. خلال فصل الشتاء، تنجز قياسات فرضية بواسطة قياس تحت الغطاء الثلجى، كما أشار إليها كركمار 1968 Krckmar. للوصول لتماس حسن بين التربة ومسبار الحس، يدفع الأخير لحوالى 5 سم لقاع البئر إلى أن يصل ثبات درجة الحرارة فى أغلب الحالات خلال نصف ساعة.

حيث أن القياسات تأخذ عادة بعض الأسابيع لتغطية مساحة معينة، يكون من الضروري عمل التصحيحات لإراحة صغيرة منتظمة معينة، يكون من الضروري عمل التصحيحات لإراحة صغيرة منتظمة فى مستوى درجة الحرارة السنوى. لهذا الغرض تحفظ حساسات عند مواقع محطات مرجعية ملائمة، وتؤخذ القراءات منها كل يوم خلال المسح. حديثاً جداً تطور استخدام مقاسات الأشعة تحت حمراء (infrared radiometers IR) للطيران لتخطيط صورة تحت حمراء لمناطق حرارية كبيرة مثل الموجودة بجزر الثلج (بلماسون وآخرين 1970 Palmason et al). أيضاً استخدمت أقمار صناعية جوية مداراتها على ارتفاعات عالية وزودت بأجهزة تحليل عالية لقياسات الأشعة تحت الحمراء. ((High resolution to infrared radiometers (HRIR) لتسجيل انبعاث الأشعة تحت حمراء. المسح بواسطة الأقمار الصناعية الأرضية تقنية حديثة تنمو بأهمية، كمسجل طويل المدى جداً لدرجة الحرارة والذي يشير إلى شذات يكون من الصعب اكتشافها عند أرباع أخرى (مارش وآخرين 1976 Marsh et al).

2.6.10 أمثلة من المسح الحرارى الأرضى :Examples of Geothermal Surveys

1.2.6.10 رسوبيات خام الكبريت فى سولفاكيا :Sulfide Ore Deposits in Solvackia

أخذ هذا المثل من كركمار وماس 1970 Krckmar and Masin لمنطقة سبىس-جمر من سولفاكيا Spis-Gemer, Solvackia، حيث يوجد خامات كبريتيدات السديرايت فى بلورات صخور نارية متحولة (شبيست) من زمن الباليوزوى. مع طبقات جرافيت. عامة، لاتحتوى الخامات على معادن مغناطيسية ومعامل التوصيل الكهربى لها نفس معامل الجرافينات. لهذا السبب فإن كلا من المسح المغناطيسى والكهربى لم يعطيا نتائج مرضية. ربما، تحدث تفاعلات طرد الحرارة (أو كسوثرمى) فى منطقة التأكسد لرسوبيات الكبريت حيث تجعل من الممكن تطبيق استطلاعات الحرارة الأرضية.

يرى شكل (8-10) بروفيلات بشادة درجة حرارة مرصودة عبر جزء من المنطقة. تسبب التضاريس الغير منتظمة والغطاء النباتى المتغير اختلافات فى مستوى ا درجة الحرارة، ولذلك، ميزت فقط شذات محلية أعلى من أنبوبية، أختيرت منطقة شذات درجات الحرارة الموجيه بالتفصيل وطبقت بواسطة الحفر، وخلال الحفر قطع عرق بتمعدن كبريتى.



شكل (8-10): شذات حرارية (خط متصل ثقيل) عبر رسوبيات كبريت فى سولفاكيا (كركمار وماس 1970 Krckmar & Masin)

2.2.6.10 Thermal Mapping of Fissures and Cracks: لشقوق وشرخ

نجحت تطبيقياً عدد من طرق حالات الحرارة لإيجاد الشقوق والشرخ التي على طولها أخذ انتقال الحمل الحرارى للحرارة مكانه من عمق خلال فاعلية الماء أو الغاز. أعطى كابلميو وهانيل Kappelmeier and Haenel 1974 مثال لاستطلاع جيوب لمياه حرارية فى كهوف حجر جيري. يرى شكل (9-10) خريطة تساوى الحرارة الأرضية فى منطقة نكرتال (جنوب ألمانيا) (Nerkertal (S. Germany) حيث ينساب الماء الحار من عمق 100-150 متر لأعلى خلال الشقوق والشرخ ويشوش على إنتشار الحرارة الإقليمية. يوضح هذا المثال أنه من الممكن تحديد أماكن الشقوق التحت سطحية التى يرتفع خلالها الماء من عمق كبير ويدخل لمستودعات الماء تحت السطح بواسطة قياسات حرارية عند أعماق ضحلة.

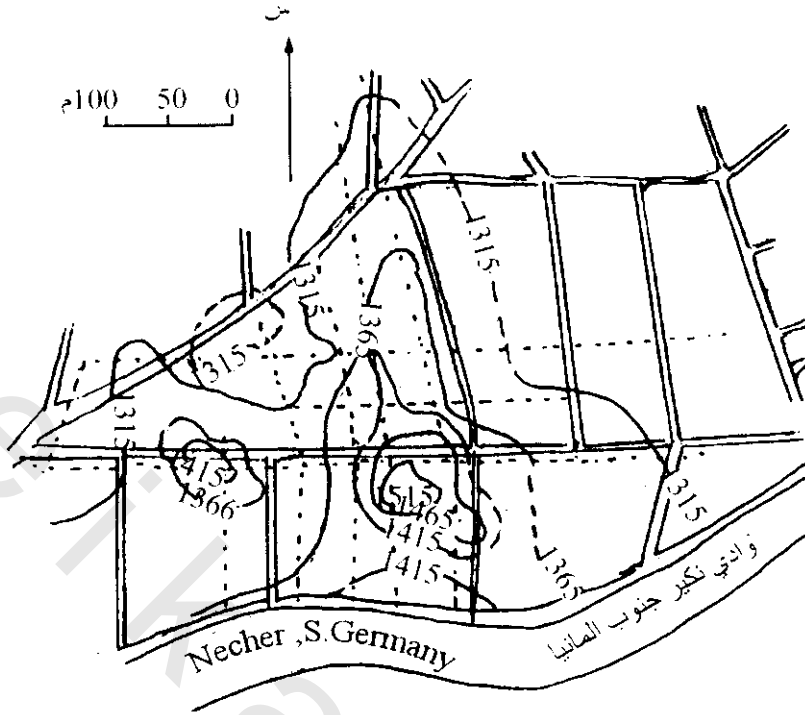
عندما تنتقل الحرارة بواسطة تسرب الغاز أو البخار، فإن شاذات درجات حرارة لقيم أكبر من 50° م تظهر عبر بعض مناطق الشقوق على جزيرة اسشيا فى إيطاليا Ischia in Italy.

3.2.6.10 تركيبات ملحية وجرانيتية :Salt and Granite Structures

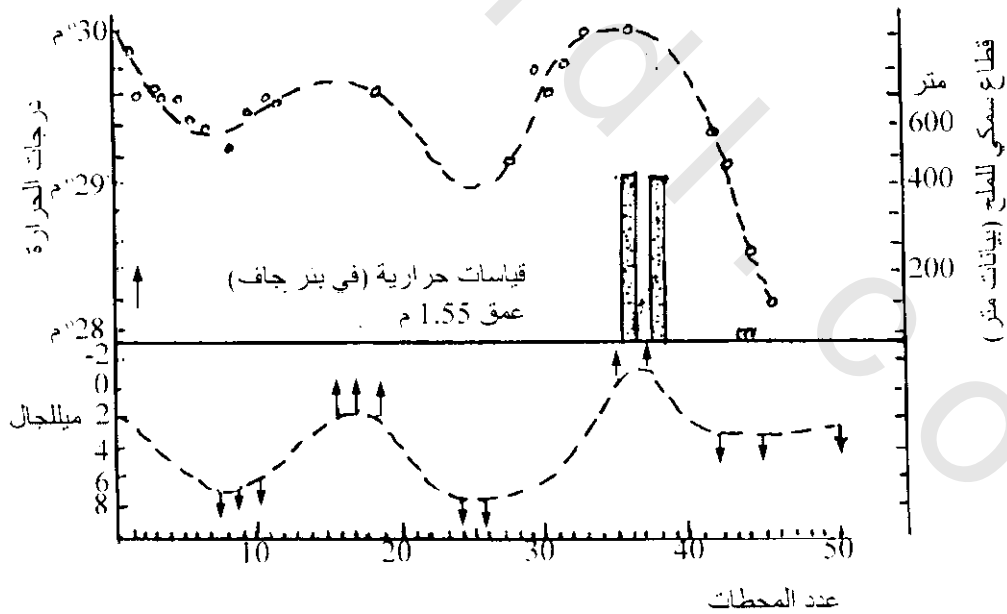
وضحت دراسات عديدة أن تداخل ملح عالى التوصيل تسبب اضطراب قوى فى درجات الحرارة للرسوبيات التى فوقها. مثال المسح الحرارى المستخدم لتحديد تركيبات الملح الخطية معطاه بواسطة بولى وفان ستيفينك Poly and Van Steveninch 1970. يرى شكل (10-10) بروفيل درجة حرارة على طول خط بروفيل طوله حوالى 10 كم، أكبر أبعاد المحطات 200 متر. يشمل الشكل بيانات الجاذبية على طول خط البروفيل، وكذلك أسماك طبقات الملح المواجهة فى الآبار العميقة. مقياس بروفيل الجاذبية معكوس ليرى التوافق أكثر وضوحاً. يرى أن المقارنة 1:1 توجد بين الحرارة العالية (أكبر ملح) وجاذبية منخفضة. توزيع الملح فى الآبار تؤكد التنبؤات الحرارية.

أخذ المثال فى شكل (10-11) من جاكوسكى Jaksoky 1950، حيث اكتشف فيه شاذة حرارة عبر تداخل الجرانيت فى تلامس مع الحجر الجيرى عند أعماق ضحلة. يشبه منحني الشاذة فى شكل بروفيل الجاذبية المتوقع عبر تركيب فائق. واضح من المثال أن شاذة درجة الحرارة تنسب أكثر إلى حرارة النشاط الإشعاعى العالى المولد فى الجرانيت أكثر من توصيلها.

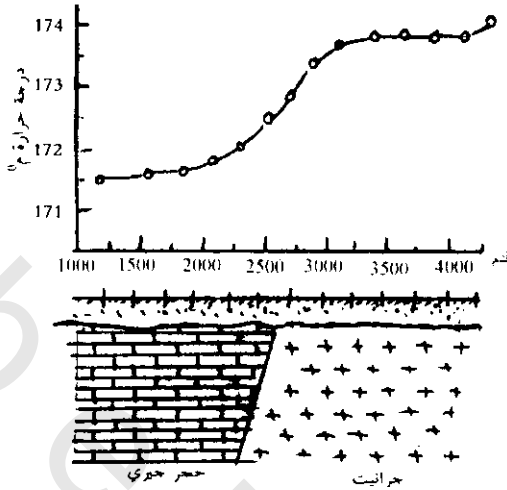
فى هذا الإرتباط، ربما يذكر بعض الملاحظات الهامة لتدرج درجات الحرارة التى حصل عليها خلال إنشاء النفق الكبير (ست جوتتارد فى سويسرا St. Gotthard in Switzerland). أثناء العمل فى النفق، عند المرور خلال النيس والشيست كان معدل تدرج الحرارة 1/47 م° متر وأصبح التدرج 1/21 م° متر عند قطع الجرانيت فى نهاية الشمال. من تحليلات عينات الصخور وجد أن الجرانيت يحتوى على غير العادة نسبة عالية من مواد نشاط أشعاعى، والتى تكون هامة لتسجيلات درجات الحرارة العالية، وضح ريباخ Rybach 1973 أن ناتج درجات الحرارة فى صخور الألب بسويسرا تحكم كلية بواسطة احتوائها للنشاط الإشعاعى، ولا تعتمد على التغير فى معامل التوصيل الحرارى.



شكل (9-10): شاذة حرارية عند عمق 1.5 متر في كينجين، وادي نكير (جنوب ألمانيا) Krabingen, Necker Vally (South Germany). المسافة الكنتورية 0.5 م. الشاذة بسبب ماء كارست Karst والذي برز من عمق عدة مئات من الأمتار في داخل المياه الأرضية. (كابلمير وهانيل 1974 Kappelmeier and Hanel)



شكل (10-10): تماثل بروفيلات الجاذبية (ميليجال) مع الحرارة (°م) عبر تركيب ملحي ضحل المسافة بين المحطات 200 م (بولى وفان ستيفينيك 1970 Polye & Steveninck)



شكل (10-11): بروفيل حراري ضحل عبر تداخل
جرانيتي في تلامس مع الحجر الجيري
(جاكوسكي 1950 Jakosky)

4.2.6.10 المعلومات الليثولوجية (علم وصف الصخور) من تسجيلات الحرارة

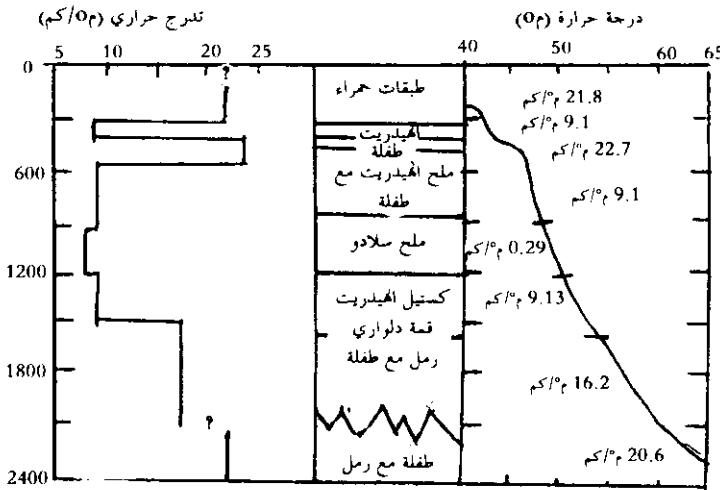
Lithology Information from Temperature Logs:

بتغير التدرج الرأسى لدرجات الحرارة فى الأرض خلال حدود واسعة (5-70°/كم)، معتمد على الخواص الحرارية للصخور، ويمكن استخدام درجات الحرارة فى الآبار العميقة فى مضاهاة المستويات الاستراتجرافية.

كمثال، يرى شكل (10-12) تسجيل لدرجة حرارة، تدرج حرارى، ليثولوجى فى بئر نوثراب Northrup غرب تكساس Texas، حيث يستدل على التغيرات الهامة بوضوح للتدرج الحرارى مع التغير الليثولوجى. يحدث التدرج الحرارى الكبير فى الطفلة والأقل فى طبقات الملح والأنهيدريت. هذا متوقع، حيث أن الملح والأنهيدريت له معامل توصيل عالى وتبعاً لذلك يظهر تدرج حرارى منخفض.

7.10 إستكشاف لمصادر الحرارة الأرضية: Exploration for Geothermal Resources:

يزداد إدراك مصادر الحرارة الأرضية كمصدر طاقة بديل فى مشهد متطلبات الطاقة العالمية، والتي تنمو كمعدل أسى. أعطى أرمستيد 1978 Armstead اعتبار عام لمصادر طاقة الحرارة الأرضية واستخداماتها. وجدت أكثر علاقة تطويرية حديثة تتعلق بالإستكشاف والاستثمار لحقول الحرارة الأرضية فى خط بياني أحادى monograph بواسطة جيوپتا 1980 Gupta، وأعطيت عدة حالات سيزمية (تاريخية) بواسطة ريباخ وموفلر Rybach and Muffler 1981.



شكل (10-12): درجات حرارة، تدرج
حرارى وليثولوجى لبئر
نوثراب، تكساس
Northrup, Texas
(هرن وكلارك 1956
Clark 1956)

ربما يحدد حقل الحرارة الأرضية كنظام مخزون حرارى والذى منه يمكن استخراج المتطلبات الاقتصادية والخدمية المنزلية والصناعية. الطرق الرئيسية التى تستخدم عامة لتحديد مواقع حقول الحرارة الأرضية المحتملة وهى:

(أ) الطرق الجيولوجية والهيدروجيولوجية

(ب) الطرق الجيوكيميائية

(ج) الطرق الجيوفيزيائية

ومن الطرق الجيوفيزيائية، الطرق الحرارية، الكهربائية، الكهرومغناطيسية، أما الطريقة السيزمية فهى محدودة للآن.

1.7.10 الطرق الحرارية Thermal Methods :

من أوائل الطرق أهمية للتقيب الحرارى هى مسبار درجة الحرارة فى الآبار وخرائط إنسياب الحرارة السطحية، حيث تكون قاعدة مكونات درجة الحرارة هى أهم الخواص الفيزيائية للتقيب عن الحرارة الأرضية، فقط، مازال قياس درجات الحرارة فى الآبار العميقة هى الطريقة الملائمة للحصول على معلومة عن درجة الحرارة الأساسية لخزان حرارة أرضية محتمل. أيضا، تمتد آبار الاستكشاف ببيانات عن الجيوكيميا والهيدروجيا والنفاذية، كذلك يساعد تخريط إنسياب الحرارة السطحية فى تحديد منطقة الحرارة المركزة للخزان وفى تقييم إنتاجه الحرارى.

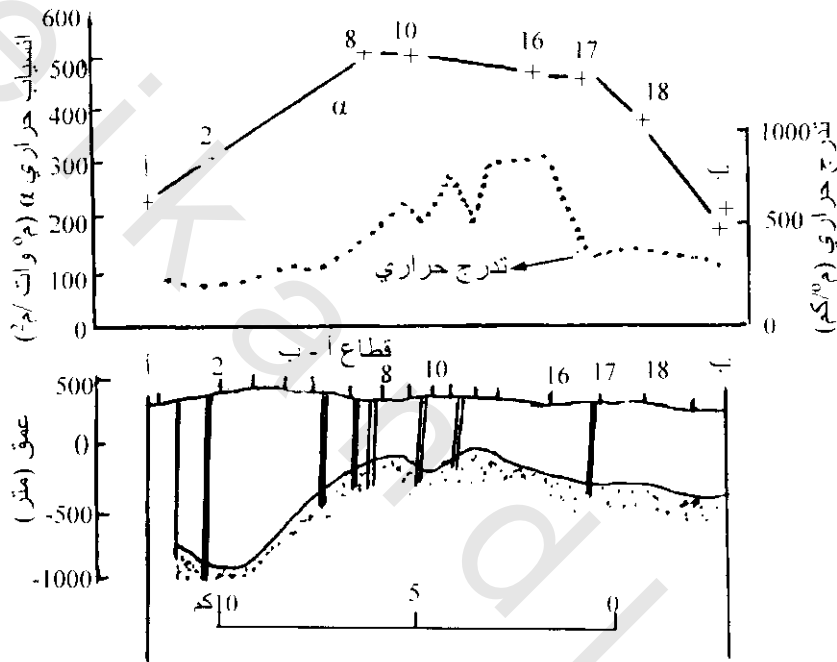
أعطى بولدزسار Boldizsal 1963 مثال لقياسات إنسيابات حرارية نافعة فى تحديد خطى لمنطقة مركز إنتاج فى حقل بخار طبيعى عند لارديرللو، إيطاليا Larderello, Italy. يرى شكل (10-13) قياسات نتائج تدرج حرارى وإنسياب حرارى عبر قطاع حقل إنتاج بخار. من الأهمية ذكر أن الإنسياب الحرارى يرتفع بين محطات أ، 8 بشدة وبعد ذلك يقل بثبات إلى ب. منحنى تدرج الحرارة غير منتظم يرى أكبر قيمة عند محطة 16 حيث أن معامل التوصيل الحرارى (محدد من قياسات معملية) صغيرة قيمة الإنسياب الحرارى 580 م/وات/م²، وهى أكثر حوالى 10 مرات من معدل الإنسياب الحرارى القارى. الصخور القريبة من السطح عبارة عن طفلة غير نافذة ذات معامل توصيل حرارى منخفض. وهذا يفسر الإنسياب الحرارى العالى وانخفاض معامل التوصيل ولماذا يكون تدرج الحرارة عاليا نوعا ما بين 300-800 م°/كم. وحيث أن الحجر الجيرى تحت الطفلة الغير منفذة مشقق لذلك ينقل الحرارة الآتية من أسفل. تتفق منطقة إنتاج البخار المركزة مع القطاع الموضح لقيم إنسياب حرارى عالى أكثر نوعا ما من تدرجات درجات الحرارة.

2.7.10 الطرق الكهربائية والكهرومغناطيسية: Electrical and Electromagnetic Methods :

وضعت تطبيقات طرق الكهربائية والكهرومغناطيسية لقياسات الحرارة الأرضية على حقيقة ان معامل التوصيل الكهربى للصخور يزداد بسرعة مع زيادة درجات الحرارة. عامة، يشار لظهور حقول المياه الحارة كمنطقة معامل توصيل عالية (مقاومة قليلة) باعتبار وجود أملاح مذابة، بينما يشار لظهور حقول البخار كمنطقة معامل توصيل منخفض (مقاومة عالية). ربما تحجب هذه الدلالات بواسطة عوامل خاطئة. فمثلا، وجود

تكوينات الطين تعطى إرتفاع للمقاومة المنخفضة ولهذا يحدث اضطراب فى تفسير النتائج. وبما أن الماء المالح البارد أو ماء البحر لهما مقاومة أقل من أوم متر، لذلك فإن كثير من الأحواض الرسوبية، حيث يتجمع الماء المالح، تبرز مقاومة منخفضة بدون أى إتصال مع درجات الحرارة تحت سطحية.

عملت مسوحات جيوفيزيائية لمناطق حرارة أرضية، خاصة بالطرق الكهربائية فى عدة أجزاء من العالم. أمدت هذه المسوحات لمنطقة الطين البركانى فى يلوستون ناشونال بارك، بالولايات المتحدة الأمريكية Yellow Stone National Park (U.S.A.) بمثال جيد لقياسات المقاومة، الاستقطاب الحثى (IP) والجهد الذاتى (SP) التى عملت لتقييم الخواص الكهربائية الأرضية لبخار حقل حرارة أرضية معروف وسائد.



شكل (10-13): إنسياب حرارى، تدرج حرارى وقطاع جيولوجى خلال حقل إنتاج بخار عند لاردريلو، إيطاليا Larderello, Italy (بولدزسار 1963 Boldrszar)

يرى شكل (10-14) بيانات الكهربائية الأرضية التى حصل عليها بواسطة زهدى وآخرين Zohdy et al 1973 عبر قطاع لحقل حرارة أرضية. قيست المقاومة الظاهرية والاستقطاب الحثى بأبعاد أقطاب من 180-300 متر بينما قيست أبعاد أقطاب الجهد الذاتى بـ 120 متر.

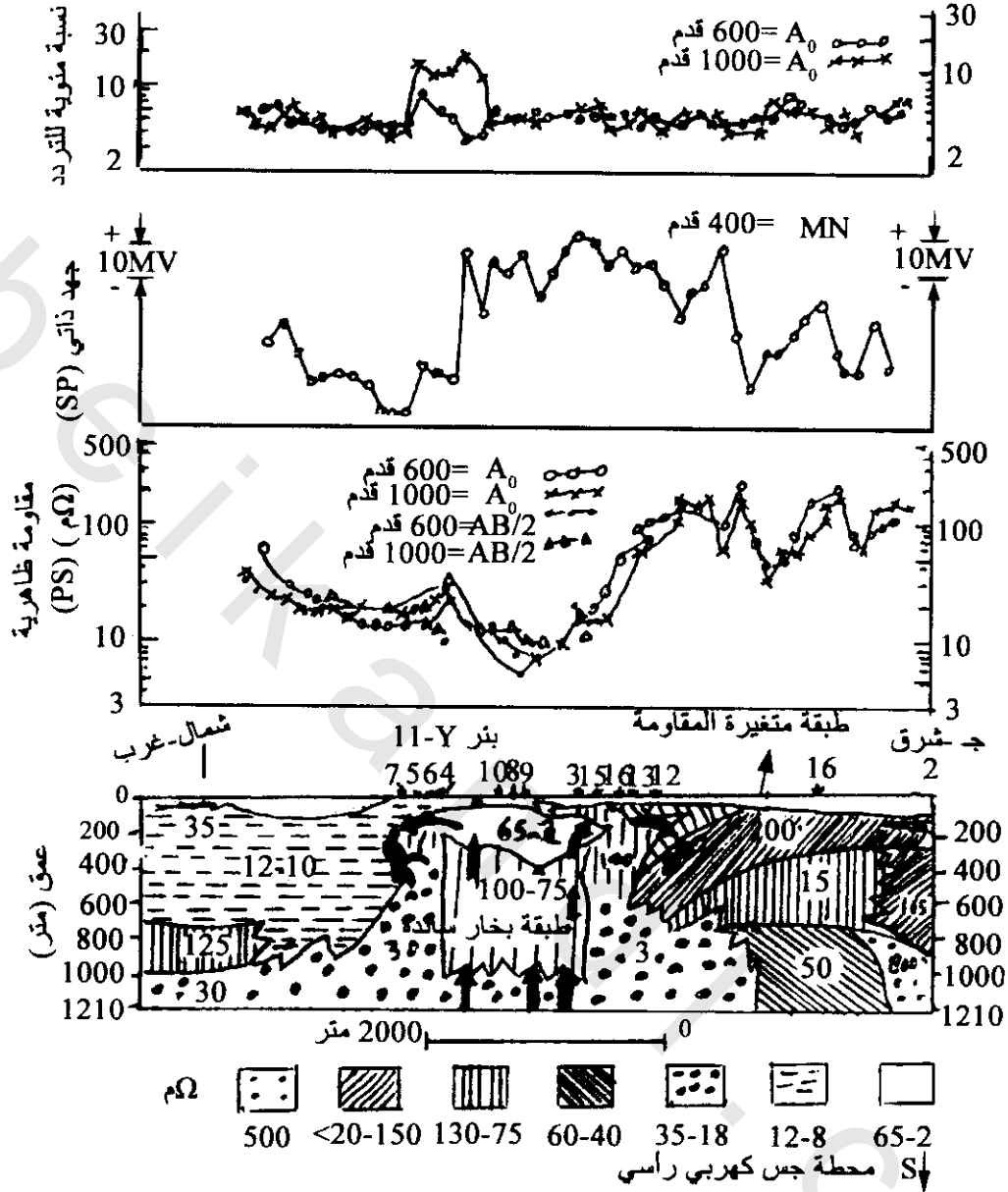
رصدت أقل قيم للمقاومة الظاهرية من بيانات البروفيل الأفقى عبر مركز الحقل الحرارى، بينما أسماك قيم 2-65 أوم تكون الأكبر. فسرت المقاومة الظاهرية عند أكبر مسافات أقطاب بعبارات عن وجود طبقات عميقة عالية المقاومة (بخار سائد) تمت طبقة ضخمة منخفضة المقاومة. أنتجت قياسات الجهد الذاتى شاذات عريضة موجبة عبر منطقة الحرارة والتى فسرت بعبارات لمياه متحركة لأعلى فى حركة متصلة بواسطة مصدر حرارى عميق.

تمت قياسات الجهد الذاتي في تردد سائد عند 0.1، 1.0 هرتز، وتأثير نسبة منوية التردد ورسمت هذه القياسات على مقياس لوغاريتمي. من المحتمل أن تكون الزيادة النسبية في تأثير الجهد الذاتي في الحد الشمالي الغربي المجاور للنطاق الحراري بسبب زيادة كمية إنتشار رسوبيات البيريت بواسطة دورة المياه الحرارية. عكس هذا التفسير بواسطة بيانات معدنية لبئر 11-7 والتي أشارت لوجود البيريت من أعماق 15 متر إلى قاع البئر عند 106 متر. والحقيقة، تغطي الأبعاد الكبيرة للأقطاب ($A^\circ = 1000$ قدم ≈ 300 متر) أكبر شاذة جهد ذاتي، لذلك اقترح ان البيريت وإنتشاره يزيد مع العمق عند حد نطاق الحرارة.

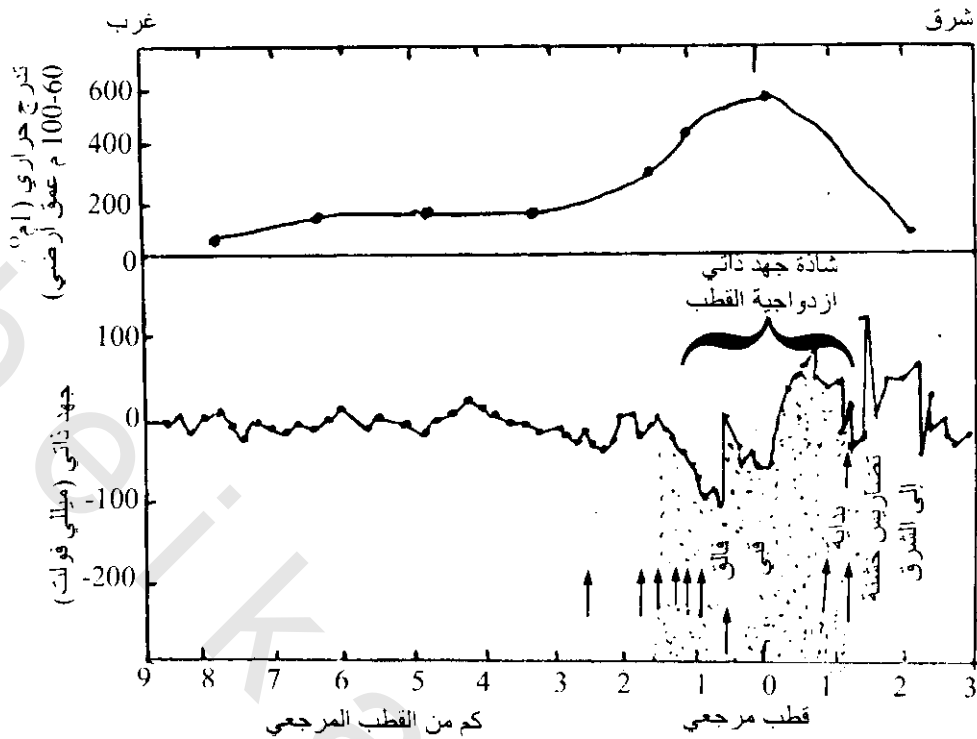
سجلت مدى شاذات للجهد الذاتي بسعة من حوالي 50 ميلي فولت إلى أعلى من 2 فولت عبر مسافات من 100 متر إلى عدة كيلومترات قليلة عبر اثني عشر منطقة حرارة أرضية. شكل (10-15) يوضح مثال لعلاقة شاذة الجهد الذاتي لنشاط الحرارة الأرضية الموجودة في منطقة عيون روزفلت الحارة، يوتاوا، الولايات المتحدة (Roosevelt Hot Spring Area, Utah, U.S.).

استعرضا وقدرنا كوروين وهوفر Corwin & Heover 1979 تطبيقات لطريقة الجهد الذاتي في استكشاف الحرارة الأرضية. تبعاً لهذين المؤلفين، فإن أغلب إستخدامات مسوحات الجهد الذاتي الواعدة في مناطق الحرارة الأرضية تظهر عند الكشف أو تتبع أثر الفوالق والتي تتحكم في إنسياب السوائل الحرارية. يكون غالباً للتدرج الحاد لشاذات الجهد الذاتي مصاحبة لنطاقات الفوالق الحاوية على السوائل الحرارية، بينما الإتساع، نسبياً يقارن بشاذات جهد ناعم مضطرب بمناطق الإنسياب الحراري.

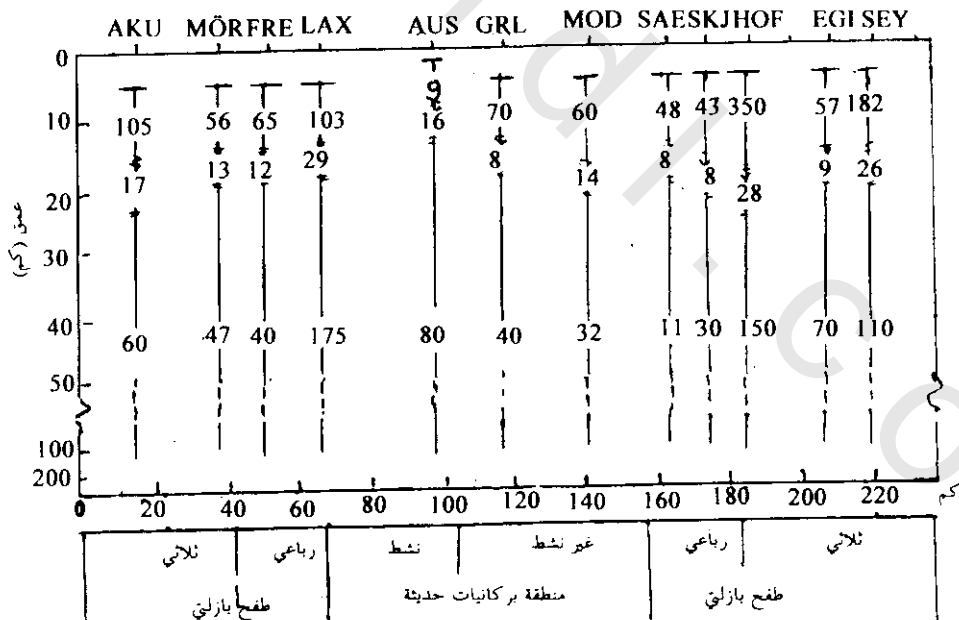
ساد إستخدام طرق للتنقيب عن الحرارة الأرضية في عدد من المناطق، حيث يمكن إستخدامها بميزات في مواقع لا يمكن استخدام الطرق الكهربائية بها بمفعولية، مثال ذلك، مناطق تكوينات السطوح العالية المقاومة. الميزة الأخرى، والتي لا تمتلك بواسطة طرق التيار المستمر، هي أن العمق المخترق يختلف بواسطة تبدل إشارة التردد بدون تغير هندسة نظام الحقل. أعطى كلر Keller 1971 وكلر ورايولا Keller and Rapella 1974 مراجع تطبيقات طرق الكهربائية والكهرومغناطيسية في إكتشاف الحرارة الأرضية. يمثل شكل (10-16) (شرق وغرب أيسلاند Iceland)، (10-17) (منطقة AFAR الحارة) جس ماجنتوتيليورك (MT) لدراسة تغيرات التوصيلية المسببة بواسطة مصادر حرارية عميقة في أماكن مختلفة.



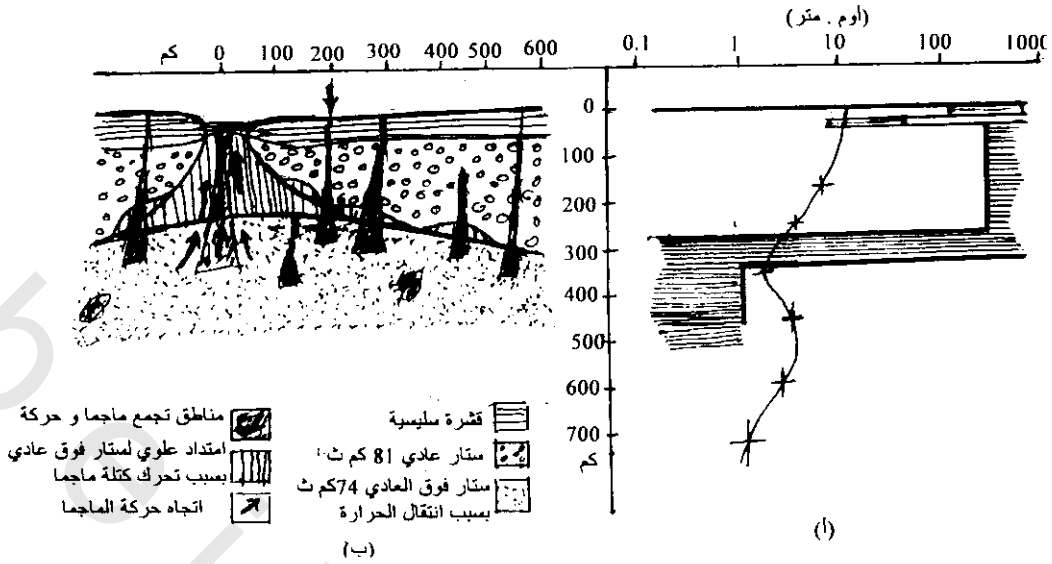
شكل (10-14): بيانات بروفيلات أفقية للمقاومة مع جهد ذاتي (SP)، حث ذاتي (IP) تشير الأسهم إلى حركة البخار والماء، AO أبعاد أقطاب التيار الكهربائي، MU أبعاد أقطاب الجهد، $AB/2$ أبعاد شلبرجير لمنحنيات جس رأسي (زهدي وآخرين (Zohedy et al 1973



شكل (10-15): بروفيلات تدرج حراري وجهد ذاتي عبر فائق قبلي، عين روزفلت الحرة، يوتاوا، Roselvelt Hots Spring، Utah، تشير الأسهم للنقط التي عندها خرطت الفوالق بواسطة المساحة الجيولوجية قاطعة خط مسح الجهد الذاتي (كوروين وهوفر 1979) (Corwin and Hoover 1979)



شكل (10-16): نماذج لثلاث طبقات على طول شرق-غرب بروفيل مجنتيورك (MT) محسوبة من فترة زمنية قصيرة (15 ثانية إلى 1 ساعة) لقياسات مقاومة ظاهرية. تدل المنطقة المبهرة على طبقة منخفضة المقاومة بالقرب من حد القشرة - الستار مقتربة من السطح الداخل في بركانيات حديثة. تدل الأرقام على المقاومة (أوم متر). (ببلو وبجورنسون 1978) (Beblo and Bjornsson 1978)



شكل (10-17): (أ) توزيع مقاومة-عمق مشتقة بواسطة قياسات ماجنيتو تيليورك (MT) طويلة الفترة. ترى المنطقة المهشمة حدود المقاومات الصغيرة والكبرى. للمقارنة، فإن يروفيل مقاومة العمق لمنطقة حرارة هواي Hawaii تدرج كمنحنى مسلسل (منتظم) (لارسن 1975). (ب) نموذج صخري مقترح بواسطة جاس 1975 Gass للقبعة الأفريقية - العربية (أفرو-أرابيان Afro-Arabian) في أثيوبيا Ethiopia. يشير السهم العلوي على المكان التقريبي لموقع قياس مقابل الأخدود الرئيسي (المركزي) (هاك 1980 Haak)

الفصل الحادى عشر

تسجيل الآبار

Well Logging

1.11 مقدمة Introduction:

يمكن الوصول مباشرة للصخور الموجودة تحت سطح الأرض بواسطة الحفر. ويحصل على أحسن العينات بواسطة الحفر اللبى (الجوفى) (core sample)، ولكن هذه الطريقة عالية التكاليف جدا وعمليا فإنها نادرة للأعماق القليلة التى لا تتجاوز عدد قليل من آلاف الأقدام*. وتنتج طرق الحفر الدائرى صخور مفتتة تخرج من الآبار بواسطة سوائل الحفر. وتكون هذه الصخور المفتتة مختلطة ببعضها ومحتوية على سوائل الحفر ولذلك يصعب تفسيرها. والأكثر من هذا فإن هذه القطع المفتتة لاتدل بوضوح عن المسامية والنفذية لنسيج الصخور المفتتة منها، أو تدل على السوائل الطبيعية الموجودة فى الفراغات الصخرية. لهذا فقد طورت الأجهزة لقياس خواص معينة مباشرة وذلك بعد إنزالها فى ثقب الحفر. وتسجل هذه الأجهزة الخواص المطلوبة أثناء سحبها لأعلى. تسمى هذه العملية تسجيلات القياسات البئرية، والشريط المرسوم عليه القياسات يسمى تسجيل البئر.

2.11 حفر الآبار: Well Drilling

يتم هذا بواسطة الحفر الدائرى أو الحفر الدقاق.

1.2.11 الحفر الدائرى Rotary Drilling:

يوجد نوعين من عينات الصخور التحت سطحية والتي تستخرج بهذه الطريقة تبعا لنوع لقمة الحفر.

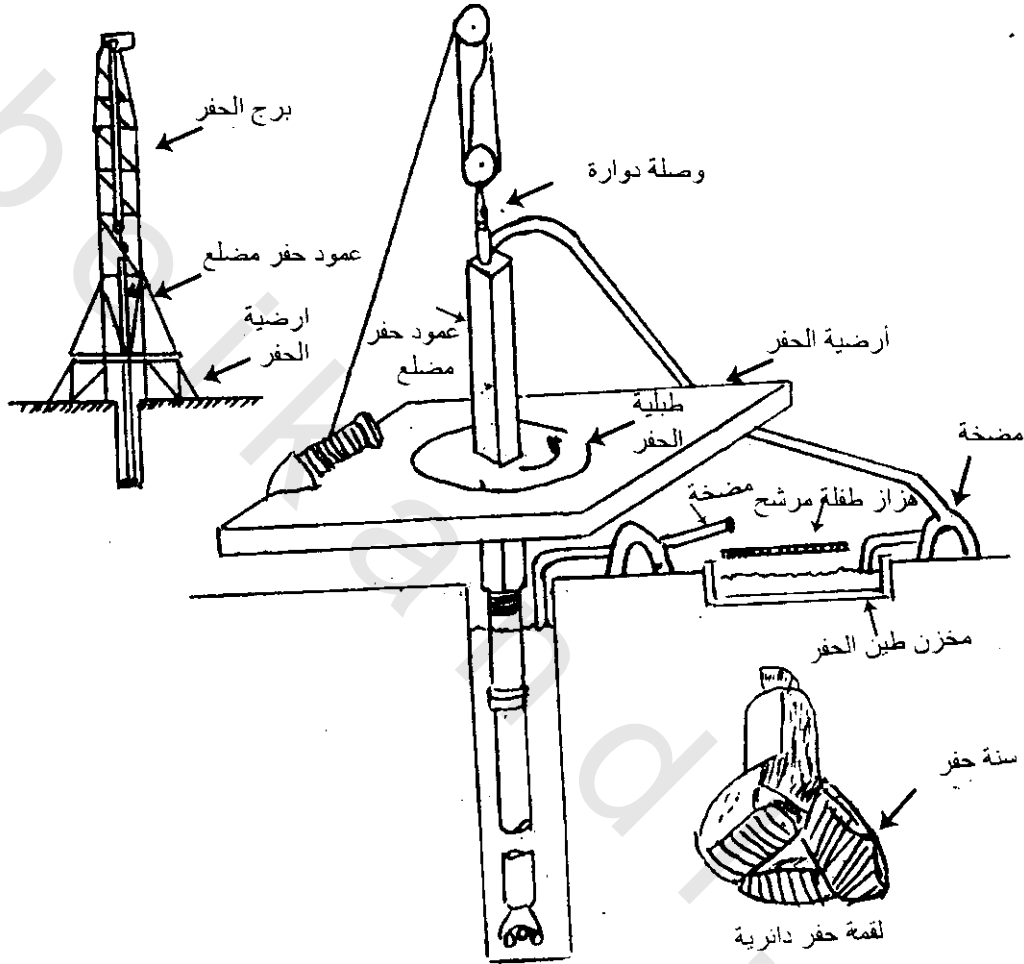
- (i) عينات فتاتية Detach sample: والتي تستخرج بواسطة لقمة حفر لها أسنان دائرية.
- (ii) عينات لبية (جوفية core sample) والتي تستخرج بواسطة لقمة حفر أنبوبية مجوفة.

1.1.2.11 الحفر لعينات مفتتة Drilling For Detach Samples:

تستخدم هذه الطريقة للآبار العميقة والضحلة. ويصل العمق بهذه الطريقة لأكثر من 40,000 قدم. ويوضح شكل (1-11) الأجزاء الرئيسية للحفر الدائرى. يتم الحفر بلقمة** مثبتة بنهاية عمود متصل بقضيب مربع أجوف، والمثبت خلال تجويف فى قاعدة دائرية. وتدار القاعدة الدائرية بواسطة آلة تسبب دوران العمود بسرعة أعلى

* تصل بعض أعماق الآبار العميقة لحوالى أكثر من 12 ألف قدم
** قطر لقمة الحفر أكبر من قطر الأنابيب المركبة عليها.

من 300 لفة فى الدقيقة. ونتيجة لذلك فإن الأسنان الموجودة على اللقمة الدائرية تطحن الصخور مسببة حفرة عميقة فى الأرض. وفى نفس الوقت يدفع سائل الحفر* الموجود فى الخزان** لأنابيب عمود الحفر. وينساب هذا السائل خارج أنابيب الحفر من بين أسنان لقمة الحفر ويرتفع فى جوانب البئر حامل الصخور المفتتة عالياً لسطح الأرض وعلى السطح يرشح الفتات الصخرى من سائل الحفر ويعود السائل مرة أخرى لخزان سائل الحفر.



شكل (1-11): أجزاء حفر أساسية للبئر الدائرى. تدير نظام القوة طبلية الحفر، والتي تدير العمود الداخلى لأنبوبة الحفر. تطحن لقمة الحفر صخور قاع الثقب. يضخ طين الحفر لأسفل خلال أنبوبة العمود، عندئذ ترتفع فى الثقب حاملة الفتات الصخرى للسطح.

وبتعميق البئر تضاف أنابيب دائرية لقطع الأنابيب الدائرية الماسكة للقمة الحفر من نهايتها العلوية والتي تدخل أسفل قاعدة الحفر لإطالة عمود الحفر. وتغير لقمة الحفر عندما تصبح غير صالحة وتسمى هذه العملية (عملية إزالة strip making)*. ويستخدم سائل الحفر لعدة أغراض:

- (i) حمل الصخور المفتتة خارج البئر.
- (ii) فى الآبار العميقة يجب أن يكون سائل الحفر لزج ليعلق به الفتات الصخرى لحين خروجه من البئر
- (iii) يقوم بعملية تشحيم أنابيب الحفر وتبريد لقمة الحفر

* طين، كلوريد صوديوم، يابرايت، ماء (يسمى هذا طين الحفر mud).

** حفرة بجوار البئر الجارى حفره.

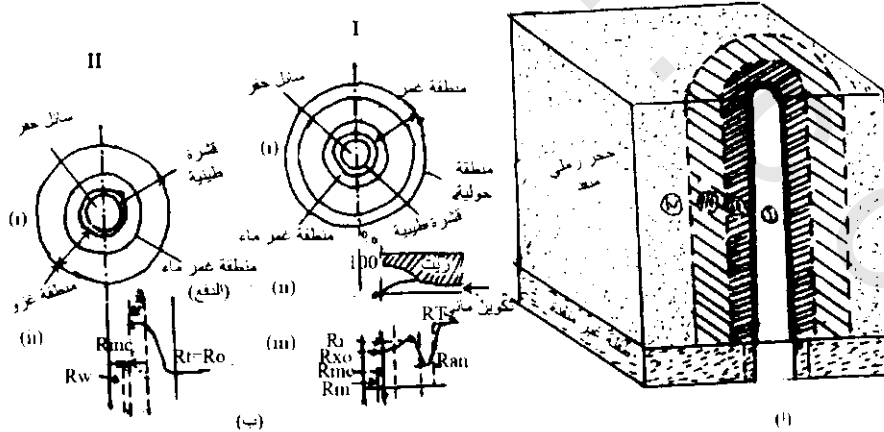
* فى الآبار العميقة تستغرق هذه العملية على الأقل عدة ساعات وربما أكثر من يوم.

- (iv) من أهم وظائفه منع إنسياب السوائل المائلة لفراغات البئر للبئر.
- (v) منع الإندفاع والتدفق المعاكس الذى يحدث عندما تخترق لقمة الحفر طبقات حاملة لزيت وغاز على الضغط.
- (vi) العمل على وجود ضغط معاكس لتأثير صعود سطح البئر والتي تزيد من ضغط المياه الجوفية والزيت والغاز الذى يملأ الفراغات فى الصخر.
- (vii) العمل على تسليح جدار البئر ويفيد ذلك فى حالة رفع أنابيب عمود الحفر لتغيير لقمة الحفر وتمنع بذلك هدم جدار البئر.

النطاق المحيط بالبئر والذى يتسرب إليه سائل الحفر يسمى بمنطقة الإكتساح invasion zone وتركيبها موضح فى شكل (2-11) حيث يبدأ أولا تسرب سائل الحفر للصخور عند جوانب البئر، فإن معظم الجزيئات الإضافية تترشح خارجا مكونة قشرة طينية (mud cake)، وتمر المرشحات الباقية بمكوناتها المذابة للصخور. بالقرب من جدار البئر يحل الترشيح لسائل الحفر تماما محل سائل الفراغات الطبيعية مكونة منطقة الدفع (غمر الماء) flushed zone، وخلفها منطقة حلقة الإكتساح (الغزو) annuus of invasion حيث ينخفض الترشيح نسبيا تدريجيا مع زيادة المسافة من البئر. وكلما تقدم التسرب يزداد بناء الجزيئات الإضافية للغطاء على سطح جدار البئر وبذلك يزيد سمك القشرة الطينية (mud cake) حتى تكون حاجز غير منفذ والذى يمنع اكتساح (غزو) أكثر.

الحفر الدائرى للعينات القلبية (الجوفية) Rotary Drilling For Core Samples:

يوضح شكل (3-11) لقمة الحفر الخاصة للحصول على عينات قلبية (جوفية) وهى أنبوبة مجوفة ومدعمة فى نهايتها بقطع من الماس الصناعى أو أى مادة أخرى شديدة الصلابة. عند دوران لقمة الحفر فإنها تقطع تجويف أنبوبي حول قلب الصخر الصلب والذى يتحرك لحاوية الأنبوبة القلبية لصخور أنبوبة الحفر. عندما تمتلئ الأنبوبة القلبية بالصخر القلبي تسترد بواسطة عملية الإزالة (making a trip)، تكرر عملية الإزالة تباعا لأن طول الأنبوبة القلبية عادة أقل من 20 قدم. يجب أن تتم عملية الحفر هذه ببطء وعناية لتقليل كسر الصخور القلبية. ولهذه الأسباب تكون هذه العملية غالية جدا ولكن تقدم أحسن عينات صخرية.

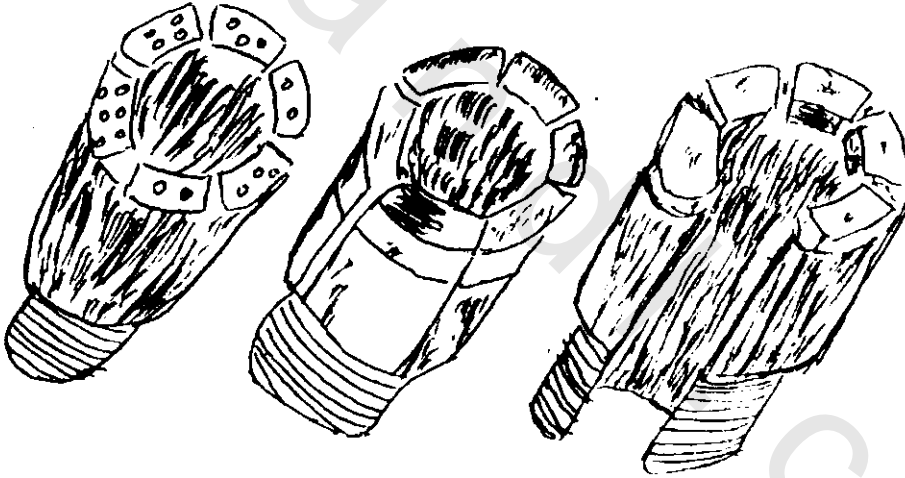


شكل (2-11): (أ) تشمل منطقة الغزو (الإكتساح) على i- قشرة طينية، ii- منطقة غمر الماء، iii- حولية جزء الغزو، iv- التكوين الثابت (غير مضطرب). عند منطقة الغزو أكثر من البئر فى الحجر الجيرى المنفذ أكثر نسبيا من الطفلة الغير منفذة، (ب) شكل نطاقات الغزو لطبقات حاملة للزيت إلى مستوى تركيب نطاق الغزو وحول محور البئر، (ii) مخطط عمق توزيع ترشيح، زيت، تكوين ماني فى نطاق الغزو وحول محور البئر فى الطبقة، (iii) شكل توزيع المقاومة فى نفس الاتجاه، (iii) شكل نطاق الغزو لطبقات حاملة للماء i) مستوى تركيب نطاق الغزو حول محور البئر، (ii) شكل توزيع المقاومة فى نطاق الغزو.

2.1.2.11 الحفر الدقى Percussion Drilling:

يشتمل الحفار شكل (4-11) على مطرقة متصلة بكباس يتحرك لأعلى وأسفل فى إسطوانة. يدفع هواء مضغوط لأعلى الحجرة لخفض الكباس لأسفل. فى هذه العملية يتسرب الهواء المضغوط لقاع الحجرة. عندما يدفع الكباس لأسفل بكمية كافية، ينسحب الهواء المضغوط لأعلى الحجرة خلال الفجوات الأنبوبية بجانب الأسطوانة. وعندئذ تنغلق الفجوات الجانبية، سامحة للضغط بالتجمع مرة أخرى أعلى الحجرة. تتكون هذه الدورة عدة مرات كل ثانية.

يسحق الدق السريع للمطرقة - والتي تكون مدعمة بعقد من كربيد التانجستون أو مواد أخرى صلبة - الصخور لتراب دقيق. ويسحب الهواء المتسرب من الحجرة العلوية التراب خارج البئر. ويتقدم الحفر تضاف أطوال من الأنابيب لعمود الحفر. أيضا تبلى المواد الصلبة المثبتة على المطرقة ويكون من الضروري عملية إزالة make a strip لإحلال لقم الحفر. عادة يكون الحفر الدقى اسرع من الحفر الدائرى، ولكن يصل لعمق بعده لايقدر الهواء المتسرب على إزالة تراب الصخر. كذلك، هذا الحفر محدود بتأثير تسرب المياه الجوفية والتي تعوق إنسياب الهواء وتراب الصخر لأعلى.



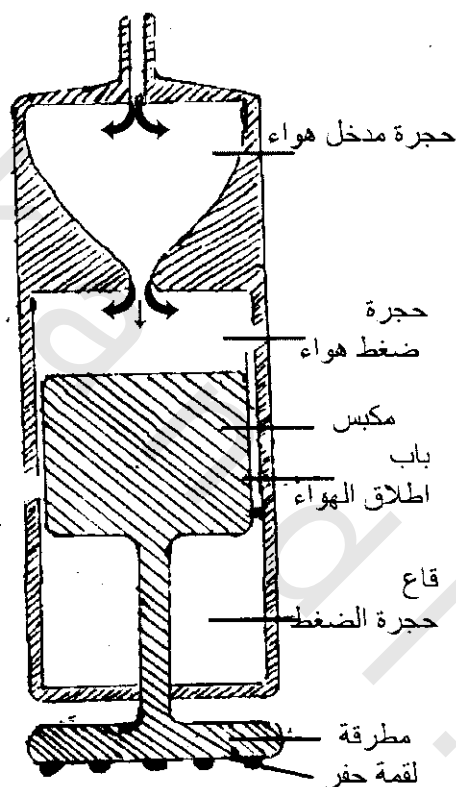
شكل (3-11):

3.1.2.11 التغطية Casing:

يغطى البئر بواسطة عمود من الأنابيب يسمى تغليفه (casing)، وينزل هذا العمود فى البئر بعد إزالة أنابيب الحفر. عندئذ يضغط السمنت داخل البئر لملأ الفراغات الموجودة بين جدار البئر وأنابيب التغطية لتثبيتها فى مكانها. تمنع هذه العملية إنسياب السوائل الطبيعية بالتكوينات للبئر وكذلك تمنع الصخور المفككة من الإنهيار وسد البئر. بعد إتمام التغطية، يمكن اختيار العمق المعين للسماح للماء أو الزيت والغاز من الطبقات الحاملة له (صخور الخزان Reservoir rocks) للإنسياب للبئر. أحيانا يجب عمل التغطية قبل إتمام حفر البئر مثال لذلك:

- i- عندما تغرق المياه الجوفية للبئر لا يمكن عمل الحفر الدقاق.
- ii- فى الحفر الدائرى مشكلة إنهيار الصخور والفقد الكبير لسائل الحفر فى النطاقات المشتقة تحل بواسطة التغطية.

بعد إتمام التغطية، يعاد الحفر بلقمة حفر صغيرة والتي تمر خلال أنابيب التغطية. تسبب التغطية بعض المشاكل الهامة لتسجيلات الآبار. فعادة، لا يمكن إتمام عملية التسجيلات الكهربائية فى بئر مغطى فلزياً. أيضاً تشوه التسجيلات الصوتية بشدة. ولكن يمكن إجراء التسجيلات المشعة التى لا تتأثر بهذه التغطية.



شكل (4-11): رسم تخطيطى لمجموعة لقمة تستخدم للحفر الدقيق، تعمل المطرقة بضغط الهواء والذي يضخ لأسفل خلال عمود أنبوبية الحفر من حجرة مدخل الهواء. الصخور المفتتة تسحب خارجاً من الحفرة بواسطة هواء مضغوط متسرب من أبواب إطلاق الهواء

3.11 التسجيلات الجيوفيزيائية Geophysical Logging:

تطورت حالياً الجيوفيزياء التطبيقية فى اتجاهين كبيرين هما:

أ- البحث والتنقيب الجيوفيزيائى.

ب- المسح البترولى والغازى الحقلى (تسجيلات الآبار).

تجرى تسجيلات الآبار بواسطة أجهزة إنزال ورفع لأجهزة كهربية خاصة فى داخل البئر لقياس العوامل الفيزيائية المختلفة (مثل المقاومة النوعية الظاهرية، الجهد الذاتى والتأثيرى المستقطب للصخور، الشدة الطبيعية والذاتية لإشعاعات جاما، كثافة النيوترونات، سرعة الصوت عبر صخور التكوين أثناء الحفر، قطر الثقب للبئر، محتويات غاز لهوب، المحتويات الزيتية والغازية فى الطفلة (الطين) ومكونات أخرى بالإضافة لقياسات سطحية دقيقة.

تسمح تسجيلات الآبار فى حقول الزيت بحل المشاكل الأساسية الآتية:

- i- التفريق بين الصخور المختلفة.
- ii- التفريق بين حدود الطبقات.
- iii- المقارنة وعمل تركيب تحت سطحى متوقع مميز.
- iv- تحديد السمك والإمتداد الجانبي للخزانات المختلفة،
- v- التمييز بين الطبقات الحاملة للزيت والغاز والماء وكذلك تحديد منطقة تماس الزيت والماء.
- vi- تقدير المسامية وتشبع الماء.

1.3.11 التسجيلات الكهربائية Electric Logging

التسجيلات الكهربائية طريقة لقياس الجهد الكهربائى الطبيعى والمقاومة فى التكوين المخترق بواسطة البئر. تتم القياسات بواسطة جهاز راصد (sond)* يتحرك فى البئر ومعلق على كابل حفر متصل بالأقطاب عليه فى دوائر كهربية مختلفة تبعا لغرض القياس والمصممة لقياس الجهد الطبيعى والمسمى عامة بالجهد الذاتى (spontaneous potential (sp)) وكذلك لاختبار المقاومة (Resistivity (R)) فى الطبقات المختلفة.

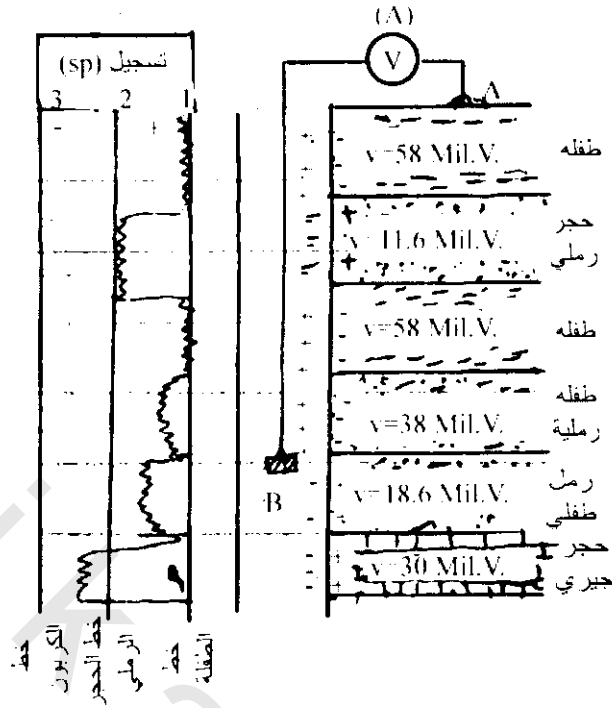
1.1.3.11 تسجيلات آبار الجهد الذاتى Self-Potential Well Logging (SP)

تتكون تسجيلات آبار الجهد الذاتى (SP) من قياس اختلافات الجهد الموجود طبيعيا بين الصخور المخترقة بواسطة حفر البئر. فى تسجيلات (SP) فإن القطب (B) الذى يقيس الجهد يتحرك فى داخل البئر ويستقر القطب المرجعى (A) على السطح شكل (5-11) يكون الجهد ثابت عند القطب المرجعى (المتسقر) ولكن (B) يقيس التغير فى الجهد الذاتى تبعا لنوع الصخور. ويكون الجهد عند (A) اختياري ولا يؤخذ فى الاعتبار عند تفسير الجهد الذاتى (ج.ذ). ويعتبر اختلاف الجهد على تسجيل (ج.ذ) موجبا من الشمال للجنوب.

من الممكن ملاحظة تحديد خط الأساس التابع لقطاعات الطفلة shale على تسجيلات (SP) لأنواع من الآبار والذى يقع أثره على الجهة اليمنى لتسجيل الجهد (SP) على قيم التسجيل. عامة النقص فى هذا الخط الأساسى تجاه اليسار (سالب) يدل على الطبقات المنفذة مثل الرمل. ويعتمد خواص منحنى (SP) بمقدار كبير على الطفلة والتكوينات المواجهة. من منحنى (SP) يمكن معرفة:

- i- إكتشاف الطبقات المنفذة.
- ii- تحديد حدود الطبقات (ما عدا فى حالة تكوينات لها مقاومة كبيرة).
- iii- الحصول على قيم جيدة لمقاومة التكوينات المائية.

* مسير بمرسمة كهربية



شكل (5-11): نموذج لتغير جهد ذاتي في تتابع طبقي من الطفلة والحجر الرملي والحجر الجيري. تحدث نطف الثنى على التسجيل بالقرب من حواف الطبقات. (1) خط الطفلة (يحدد القيمة الموجبة)، (2) خط الحجر الرملي (خط الصف)، (3) خط الكربون (يحدد القيمة السالبة)، (4) جهاز القياس

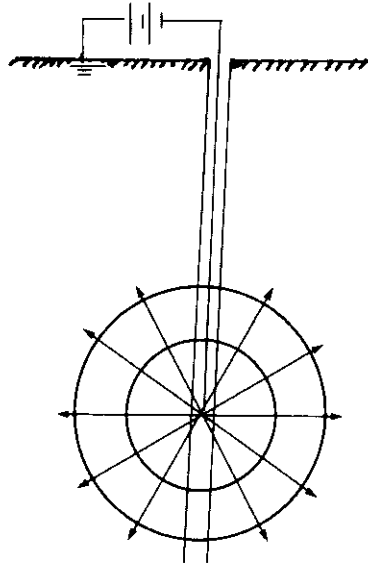
2.1.3.11 تسجيلات المقاومة Resistivity Logs:

قبل دراسة هذه الطرق يجب معرفة الأساسيات للصيغ الخاصة لقانون أوم. وحيث أن تسجيل المقاومة هو قانون أوم، فإن صيغة معادلة قانون أوم والمستخدم في تحليل قياسات المقاومة على سطح الأرض.

$$\Delta V = \frac{IR}{2\pi} \left(\frac{1}{d_1} - \frac{1}{d_2} \right) \quad (11-1)$$

حيث ΔV = الجهد، I = شدة التيار، R = المقاومة، d_1 ، d_2 = المسافات

وتستخدم هذه الصيغة أيضا في قياسات الآبار، ولكن يوجد في هذه الحالة اختلاف حيث توضع الأقطاب تحت سطح الأرض. لذلك ينتشر التيار خلال أغلفة مركزية كروية شكل (6-11) مختلفة بذلك نوعا ما عن الأغلفة النصف دائرية للقياس على الأرض. ولأن مساحة سطح الكرة لنصف قطر (r) يكون $2\pi r^2$ فإن معامل 2 ط في المعادلة السابقة (1) يجب تغييره إلى 4π في المعادلة المستخدمة في تحليل قياسات المقاومة المقاسة في الآبار. عندئذ يصبح قانون أوم



شكل (11-6): اشعة كروية لتيار كهربي خارجى داخل فى تكوين متجانس من مصدر قطب واقع تحت الأرض بعيدا عن القطب الغاطس على سطح الأرض

$$V_{MN} = \frac{IR}{4\pi} \left(\frac{1}{AM} - \frac{1}{AN} - \frac{1}{BM} + \frac{1}{BN} \right) \quad (11-2)$$

حيث V_{MN} التغير فى الجهد بين القطبين M ، N ،

I شدة التيار المنساب بين قطبى المصدر A ، B ،

R مقاومة المادة المغمور فيها الأقطاب،

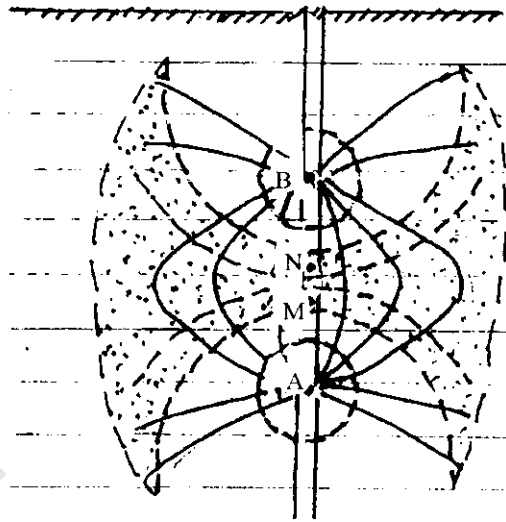
MA ، NA ، MB ، NB المسافات بين الأقطاب شكل (11-7)

ويمكن التعبير عن قانون أوم فى صيغ تبعا للترتيب الخاص للأقطاب.

1- فى هذا الترتيب يكون القطبين A ، M قريبين من بعضهما فى داخل البئر، وكلا من القطبين N ، B يوضعا بعيدين على السطح. ولأن NA يكون كبير جدا فإن العبارة $\frac{1}{NA}$ تكون صغيرة صغرا كافيا للإهمال ويمكن

تعديل المعادلة السابقة لنحصل على النطاق المختبر بواسطة هذا الترتيب القطبى يكون سميك الأغلفة بنصف

$$V_{MN} = \frac{IR}{4\pi AM} \quad (3)$$



شكل (7-11): توضح أشعة التيار (خطوط متصلة) وخطوط تساوى الجهد (خطوط متقطعة) إنسياب التيار والمجال الكهربى بين أقطاب مصدر التيار A، B الموضوع تحت الأرض فى تكوين متجانس. ويقاس اختلاف الجهد بين القطبين الآخرين M، N والذي يتأثر بواسطة المادة فى المنطقة المظللة بين أسطح تساوى الجهد على موقع القطبين M، N

قطر داخلي AM ونصف قطر خارجي كبير جدا شكل (8-11) وربما يحدث أغلب التغير في الجهد في أغلب الجزء الداخلي لهذا الغلاف ويعتمد هذا التغير في الجهد على موقع القطب N وتوضح الأمثلة التالية هذا التغير.

وهذا يدل على أن نصف التغير في الجهد المستنتج من المعادلة (4-11) يحدث خلال المسافة 2 AM من أقطاب المصدر.

(ii) إذا وضع القطب عند مسافة $10 \text{ AM} = \text{AN}$

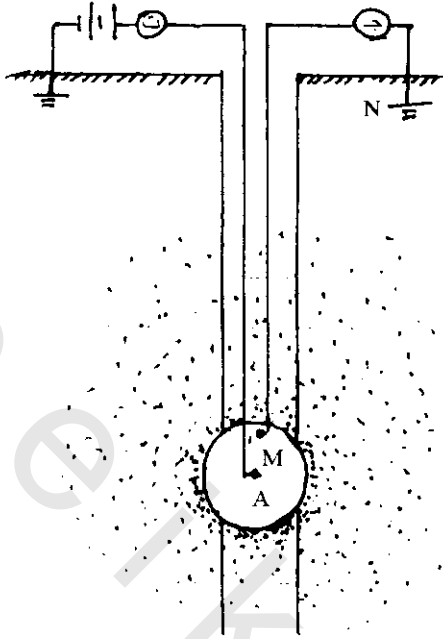
في هذه الحالة فإن بعض التحاليل يدل على ان 90% من التغير في الجهد المستنتج من المعادلة (3-11) يحدث خلال المسافة 10 AM من أقطاب المصدر.

(i) إذا وضع القطب N عند مسافة $2AM = NA$.

في هذه الحالة يمكن الحصول على نصف قيمة VMN تبعا للمعادلة (3-11) حيث

$$V_{MN} = 1/2 IR/4 \pi AM \quad (11-4)$$

عندئذ يتضح أنه حتى عند وضع القطب N بعيدا عن القطبين A، M فإن القياسات تكون أقوى تأثيرا بواسطة الصخور في غلاف كروى رفيع تقريبا بنصف قطر داخلي MA. يوضح شكل (11-8) التدرج الظلي وكيف أن تأثير الصخور داخل هذا النطاق يضمحل مع المسافة منتساوي الجهد الداخلي.



شكل (8-11): ترتيب أقطاب والتي فيها يقع القطب (B) بعيدا عن قطب القطب A وهما أقطاب المصدر الكهربى. ويقاس اختلاف الجهد (V) بين القطب (M) القريب من القطب (A) والقطب (N) الموضوع بعيدا عن (M). يتأثر فرق الجهد (V) بالمادة فى الغلاف الكروى لنصف القطر الداخلى MA ونصف القطر الخارجى NA ولكن المادة القريبة من (M) لها تأثير أكبر من المادة الأبعد من (M) والموضحة بالتدرج الظلى

II- فى هذا الترتيب، القطب (B) أحد أقطاب المصدر، يوضع على الأرض والقطب الآخر للمصدر (A) يدخل فى البئر مع قطبين القياس (M، N) واللذان يقيسان التغير فى الجهد شكل (9-11)

هذا الترتيب شائع عمليا فى التسجيلات الكهربائية. وحيث ان هذا التطبيق يجعل المسافتين MB، NB كبيرة جدا فتصبح بذلك العبارتين $1/BN$ ، $1/BM$ صغيرتين جدا ويمكن اهمالهما ويمكن تعديل المعادلة للصورة الآتية

$$V_{MN} = \frac{IR}{4\pi} \left(\frac{1}{AM} - \frac{1}{AN} \right) \quad (11-5)$$

فى هذا الترتيب يقع القطبين N، M تقريبا على سطوح كروية متساوية الجهد مركزها القطب A. وعلى ذلك فإن النطاق المختبر عبارة عن غلاف كروى نصف قطره الداخلى AM. ونصف قطره الخارجى AN شكل (9-11).

1.2.1.3.11 التسجيل العادى Normal Logs:

من أكثر الطرق المستخدمة إنتشارا لقياس المقاومة الكهربائية. ويوضح شكل (10-11) شكل توزيع الأقطاب، حيث يوضع كلا من القطبين A. مصدر التيار، M (قياس الجهد) على الراصد (Sonde)* ويوضح الآخر للمصدر الكهربى B والقطب الآخر لقياس الجهد (N) على الأرض بعيدا عن الراصد الموجود داخل البئر. يرسل قطبى المصدر A، B تيار ثابت (I) ويقاس التغير فى الجهد V_{MN} باستمرار بمقياس جهد (فولتامتر) متصل بين N & M. يسجل مخارج الفولتامتر على مخطط استخلاص (strip chart) للتسجيل العادى، طالما يتحرك الراصد فى البئر، فإنه يمكن تعيين (R) بواسطة إعادة ترتيب المعادلة (3-11) للصيغة الآتية

$$R = \frac{4\pi AM}{I} V_{MN} \quad (\text{ohm/m or ohm/ft}) \quad (11-6)$$

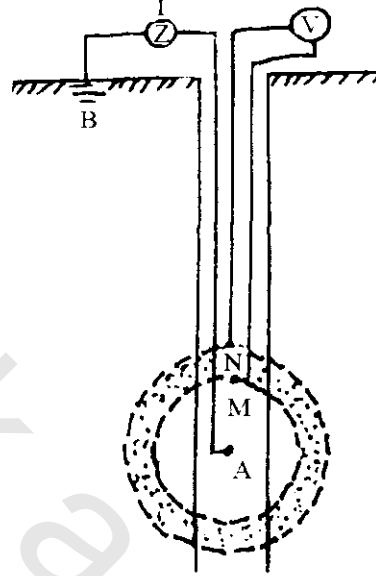
من هذه المعادلة يلاحظ أن المقاومة R تتغير مباشرة مع V_M لأن المسافة بين القطبين A، M على مسافة من الراصد كما أن ثابتة.

* فى صناعة البترول، يوجد نوعين للراصد تبعاً للمسافة AM.

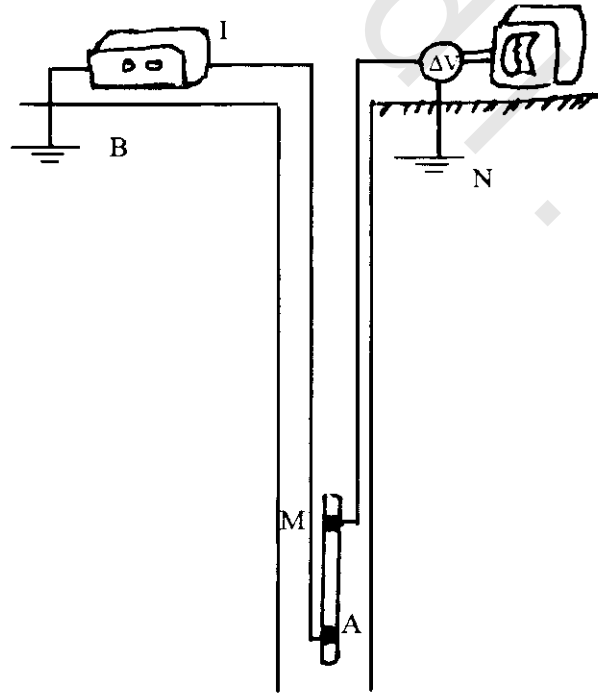
(أ) تسجيل عادى قصير (مسافة AM = 16 بوصة)

(ب) تسجيل عادى طويل (مسافة AM = 64 بوصة)

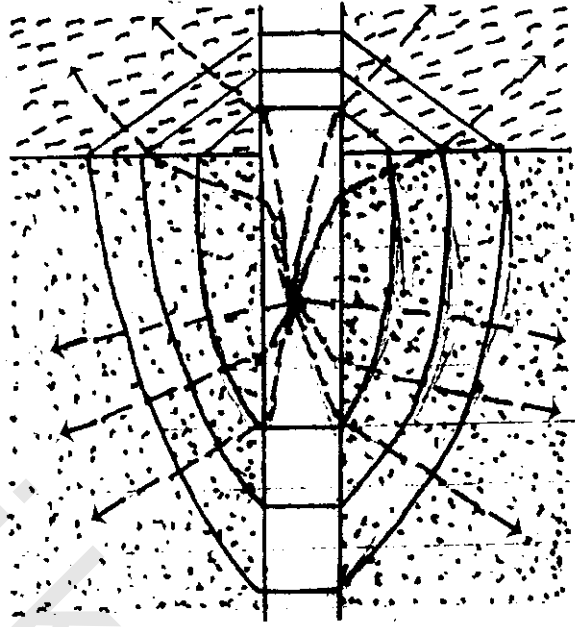
حيث أن هذا الطين له أيضا مقاومة أخرى. يوضح شكل (11-11) إنسياب أشعة التيار المنكسرة لاتجاهات مختلفة عند كل حد حيث تتغير المقاومة ويرى أيضا أن سطوح تساوى الجهد والتي تكون عمودية على شدة الأشعة الكهربية مشوهة لشكل شبه كروي، ولأن هذه السطوح المتساوية الجهد تدل على شكل النطاق المختبر، فإن يتضح أن هذا النطاق لا يكون متناسق كرويا ولذلك فإن شكله سوف يتغير بتحريك الراصد خلال البئر.



شكل (11-9): ترتيب الأقطاب التي فيها قطب المصدر (A) يقع بعيدا عن القطب الغاطس ب. ويقاس فرق الجهد (V) بالقرب من القطب (A) وبعيدا عن القطب (B) تتأثر قيمة الجهد (V) بواسطة جميع المواد في الغلاف الكروي والذي له نصف قطر داخلي MA ونصف قطر خارجي NA



شكل (11-10): رسم تخطيطي لدائرة تسجيل عادي. يبعد قطب المصدر (A) عن قطب الغاطس (B) وكذلك يبعد القطب (M) عن القطب (N) ويقاس فرق الجهد V_M بين (M)، (N)



شكل (11-11): إنكسار أشعة التيار على جانب البئر وعلى الحافة بين مكونين لمقاومات مختلفة

يجب إختبار النطاقات المتغيرة خلال التكوين المتجانس السميكة عند تحرك راصد التسجيل العادى بها. ولكن هذا التسجيل لايعمل فى البيئات المتجانسة. لذلك يجب أن يشمل اختبار النطاق طبقات متفاوتة المقاومة، ويجب أيضا عمل الراصد فى حقل البئر بطين الحفر

يوضح شكل (12-11) كيف أن المقاومة الظاهرية تتغير طالما يتحرك الراصد خلال البئر، ويدل أيضا على عدم وجود تغير مفاجئ فى المقاومة طالما الراصد يمر خلال حدود الطبقات والكن يوجد تغير تدريجى. هذا، لأن الأقطاب A، M تضع علامات لنصف القطر الداخلى للنطاق المختبر والتي تصل خلف أبعاد الراصد. لذلك يتحرك نطاق الإختبار خلال حد الطبقة قبل مرور حقيقى للراصد لهذا الحد. بناءا على ذلك، فإن الطبقة القريبة تؤثر على قياس المقاومة الظاهرية، حتى إذا تحرك الراصد خلال طبقة أخرى. من شكل (12-11) يمكن ملاحظة الآتى:

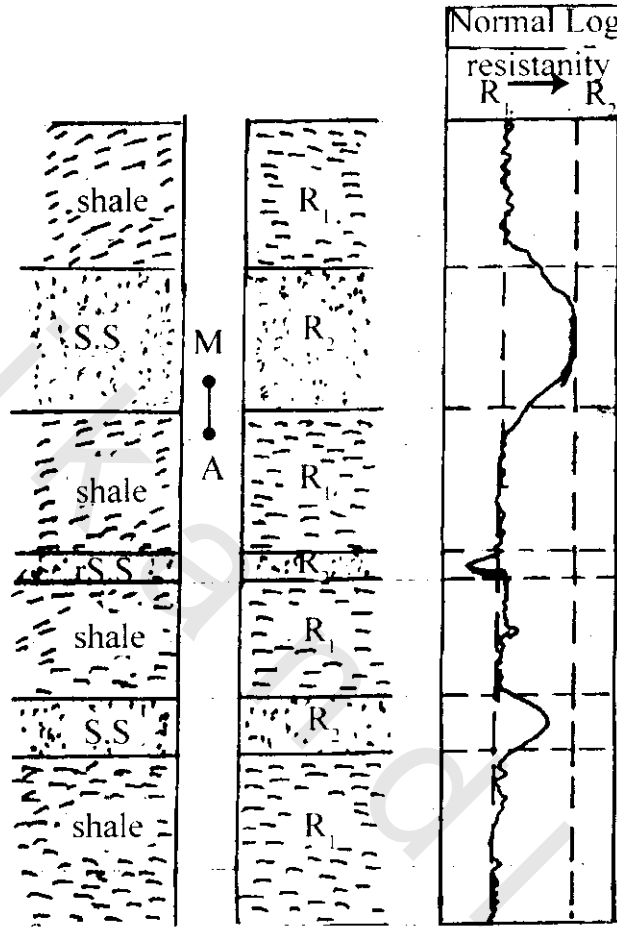
(i) قياس المقاومة الظاهرية بالراصد قريبا من منتصف الطبقة السميكة تأتى قريبة من المقاومة الحقيقية (R_i) للتكوين حيث تشغل الطبقة أغلب نطاق الإختبار.

(ii) عند الطبقات التى سمكها أقل من AM فإن التغير فى المقاومة الظاهرية بالقرب من هذه الطبقة يزيد فى حدودها العلوية والسفلية. ويوجد عند المنتصف مقاومة ظاهرية قليلة. وينتج من هذا التشويه إنكسارات أشعة التيار، والتي تحدث عند نزول القطب A لأسفل الطبقة ويبقى القطب M فوقها.

(iii) يؤثر غزو طين الحفر على قياس المقاومة الظاهرية. لذلك فإن المقاومة فى نطاق الغزو ستختلف عن المقاومة الحقيقية. (R_i). وإذا قيست المقاومة الظاهرية بالقرب من منتصف الطبقة السميكة عندما يكون الغزو عميق فإنها ستبقى مختلفة عن مقاومة التكوين الحقيقى. ويزيد تأثير الغزو مقاومة طبقة الغزو (R_i)

* تستخدم المقاومة الحقيقية لحساب المسامية والتشبع ونفاذية التكوين

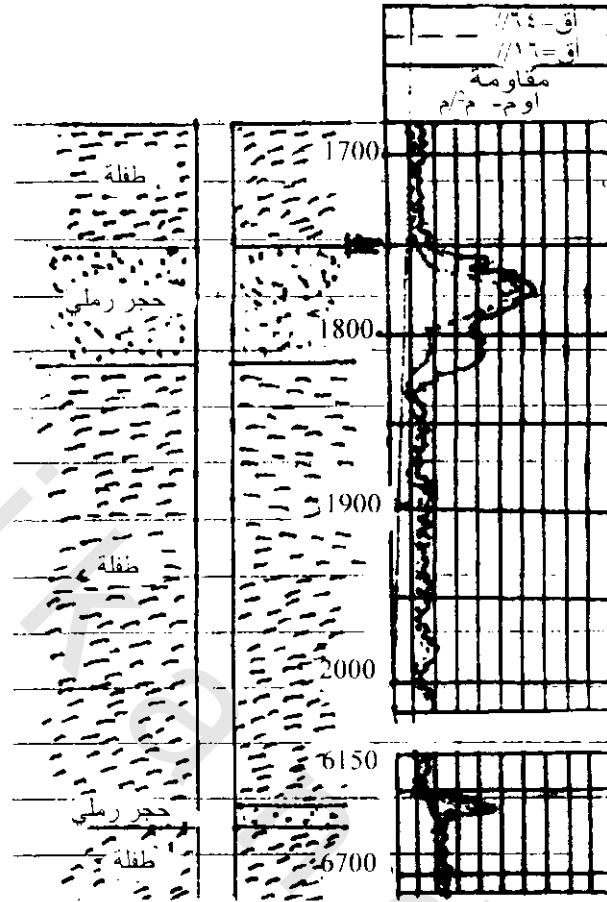
وتكون مقاومتها أكبر من المقاومة الحقيقية (R_t). وتكون المقاومة الظاهرية فى حالة التسجيل العادى القصير أكبر منها فى حالة التسجيل العادى الطويل هذا الاختلاف يتضح فى شكل (13-11) حيث يدل كلا من التسجيلين القصير والطويل على مقاومة كبيرة للطبقة بين عمق 1750-1820 قدم**.



شكل (13-11): تغير نموذجى لتسجيل عادى عند حواف بين طبقات مختلفة السمك والمقاومة. ربما يدل الاختلاف بين المقاومة المنخفضة والعالية على طبقات تعتبر أكبر سمكا من المسافة بين القطبين A, M. أما بالنسبة للطبقات الرفيعة، فإن منحنى الإستجابة يكون معكوس والذي يعطى دلالة على عدم صحة فروق المقاومة

حتى إذا كان التسجيل العادى القصير أكثر تأثيرا مخالفا لطبقة الغزو، فإنه نافع لإكتشاف الطبقة الرفيعة والتي تمثل بصورة غير صحيحة على التسجيل العادى الطويل. بمقارنة التسجيلين فى شكل (13-11) بالقرب من 6677 قدم، من المحتمل أن يكون التسجيل العادى القصير عندها دالا على وجود طبقة ذات كثافة عالية والتي يجب أن تكون بين سمك قدره 16، 64 بوصة.

** يمكن مقارنة المقاومة الظاهرية استرشادا بهذه التسجيلات من لوحات التصحيح العيارية والتي تستخدم لإستنتاج الأسماك المختلفة، تبين المقاوم، عمق طبقة الغزو.



شكل (11-13): قياس تأثير الغزو على المقاومة الظاهرية بأجهزة قياس عادية 16 بوصة، 64 بوصة، الـ 16 بوصة يكون أقوى تأثير بواسطة المقاومة العالية لنطاق الغزو فى طبقات الحجر الرملى السميك. ومن المحتمل عدم اكتشاف طبقة الحجر الرملى القريب من 6680 قدم بواسطة التسجيل العادى 16 بوصة

2.2.1.3.11 التسجيل الجانبى * The Lateral Log:

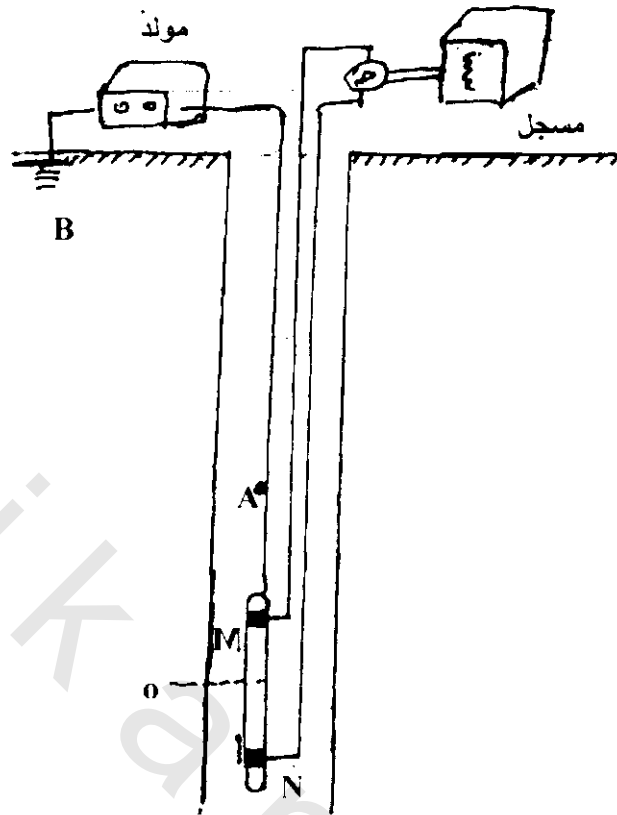
هذه طريقة أخرى لقياس المقاومة، ويوضح شكل (11-14) ترتيب الأقطاب بها. توضع الأقطاب ق، ر قريب كل منهما للآخر على الراصد** وتقع النقطة (0) بينهم. ويكون القطب A*** بعيدا عنهم فى البئر، والقطب B موضوع على بعد منهم على سطح الأرض.

يتم التسجيل بهذه الطريقة بمد تيار ثابت II من مولد متصل بين A، B. ويقاس فرق الجهد V_{MN} باستمرار بمقياس جهد (فولتامتر) متصل بين M، N طالما يتحرك الراصد خلال البئر. ولأن المسافة بين A، M، N تبقى ثابتة، فإن الاختلاف الجهدى يتغير فى اتجاه يتناسب مع المقاومة تبعاً للمعادلة (3-11) يحصل على التسجيل الجانبى بواسطة تسجيل مخرج الجهد على لوحة المخطط (strip chart) مقيس بوحدات المقاومة.

* غالبا ما يعمل التسجيل الجانبى بالاتحاد مع التسجيل العادى أو أنواع أخرى من التسجيلات الكهربائية.

** فى صناعة البترول تبعد الأقطاب N، M عادة بمقدار 52 بوصة.

*** القطب A مركب على كابل الحفر فوق الراصد بمسافة 18 قدم.



شكل (14-11): شكل تخطيطي لدائرة تسجيل جانبي. يوضع القطبين M ، N بالقرب من قطب المصدر A ولكن يبقى ببعدين من القطب الغاطس B

في التكوين المتجانس السميك جدا فإن نطاق المقاومة يمثل كغلاف كروي بنصف قطر داخلي AM ونصف قطر خارجي NA شكل (9-11)، بينما، في بيئة مكونة من طبقات متباينة المقاومة فإن نطاق المعيار يشوه إلى غلاف شبه كروي بسبب إنكسارات الأشعة التيارية شكل (11-11). بملاحظة هذا التشوه يصل نطاق المعيار بواسطة التسجيل الجانبي لنتائج جيدة أكثر من التسجيل العادي. لهذا السبب، فإن النسبة الكبرى من النطاق الجانبي تشغل التكوين الغير ملوث بالغزو. لذلك، فإن المقاومة الظاهرية في الطبقة السميكة المقاسة بواسطة التسجيل الجانبي تميل للقرب من $(R_1)_i$ ، وتكون أكبر من القيمة الناتجة من التسجيل العادي.

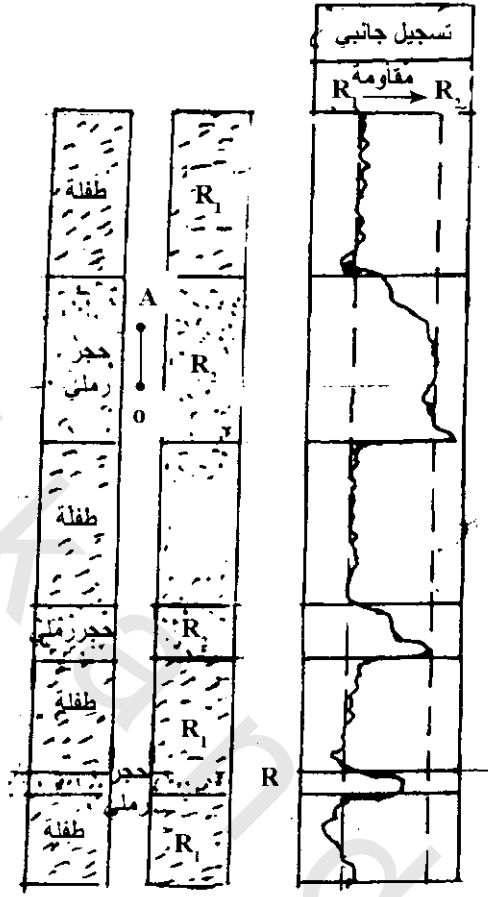
في التسجيل الجانبي تتغير المقاومة الظاهرية تغير خاص بالقرب من حدود الطبقة. ويتعلق هذا التشوه بانكسارات اشعة التيار والتي تحدث حيث تتحرك الأقطاب M ، N خلال الطبقة الواحدة بينما القطب A مازال يتحرك خلال الطبقة الفوقية. ينتج هذا الإنكسار ظواهر نموذجية للتسجيل الأفقي الموضحة في شكل (15-11).

مميزات التسجيل الأفقي بالمقارنة بالتسجيل العادي هي:

i- أكثر دقة لقياس المقاومة الحقيقية R_1 والموجودة في الجزء الأوسط من الطبقات السميكة.

ii- دلالة أكثر حدة للحد السفلي للطبقة.

iii- دلالة تماثل حاد للحد العلوي للطبقة إذا وضع القطب A تحت M ، N .



شكل (11-15): تغير نموذجي لتسجيل أفقي بين حواف طبقات لأسماك ومقاومات مختلفة. يقاس التأثير الغير حقيقي بالقرب من حواف الطبقات وعند مسافة أسفل الطبقة الرفيعة وهذه المسافة تساوي مسافة OA

iv- إمكانية الغزو العميق من إنتاج بعض التشويه في قراءة المقاومة ولكن أقل من التسجيل العادي.

v- ممكن تنقيح تصحيح تأثير الغزو من لوحات معايرة كما في التسجيل العادي بواسطة التحليلات.

التغير في المقاومة الزائفة (غير حقيقية) المسجلة أسفل الطبقة الرفيعة من الخواص الهامة الغير مميزة للتسجيل.

3.2.1.3.11 مقياس مقاومة الحفر. The Laterolog:

الطرق السابقة لاتأخذ في الاعتبار تحكم اتجاه أنسياب التيار. لذلك في هذه الطريقة، تصمم الدوائر الكهربائية لتركيز التيار في طرق معينة لكي يمر في الواح أفقية خارجة من البئر. يوضح شكل (11-16) واحد من هذه

الأجهزة. يتكون الراصد من قطب قصير بمركزه* بين قطبين طويلين تسمى أقطاب وقاية والتي تتصل ببعضها**.

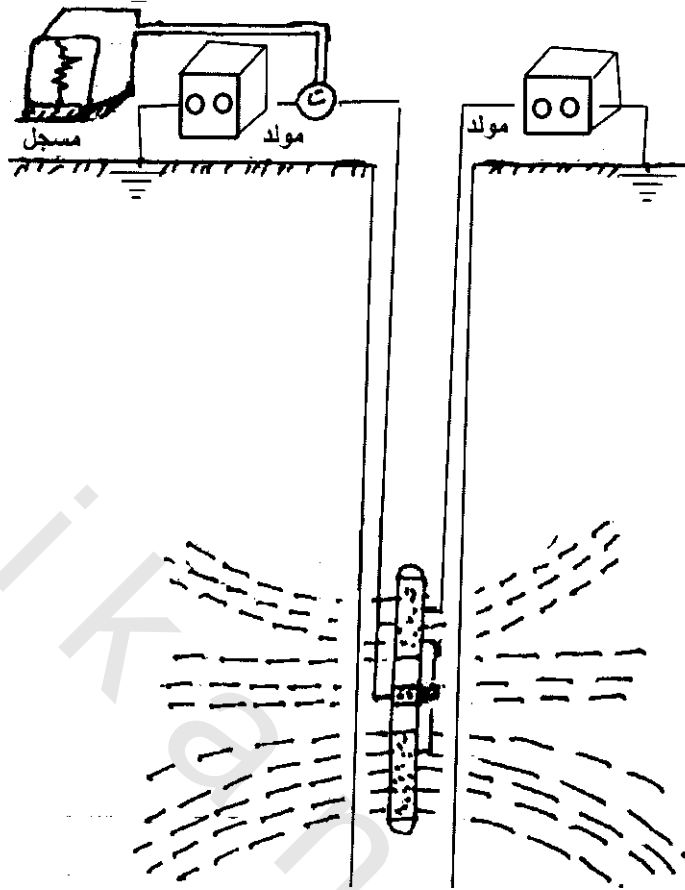
يتحكم فى إنتشار التيار بقطبى الحماية ويضبط قطب المركز أتوماتيكيا لحفظ كلا من هذين القطبين عند جهد ثابت. عندئذ يكون من المستحيل للتيار الإنسياب من أى قطب فى إتجاه الآخر. لذلك فإن التيار الخارج من قطب المركز يتحرك خارجا فى لوح أفقى. وحيث أن الجهد ثابت، فإن كمية التيار من قطب المركز تتغير نسبيا مع مقاومة التكوين الذى ينساب فيها. يسجل هذا التيار بيانيا على مخطط استخلاص (strip chart) مقياس بوحدات المقاومة للحصول على مقياس مقاومة الحفر. يكون شكل النطاق المختبر بواسطة مقياس مقاومة الحفر عبارة عن قرص دائرى بسمك يساوى تقريبا طول القطب المركزى شكل (11-17) فى هذا النطاق، يكون للصخور القريبة من البئر تأثيرا كبيرا على قياس المقاومة ويتلاشى تأثير الصخور البعيدة من البئر لإنتشار الأشعة بعيدا.

مميزات مقياس مقاومة الحفر:

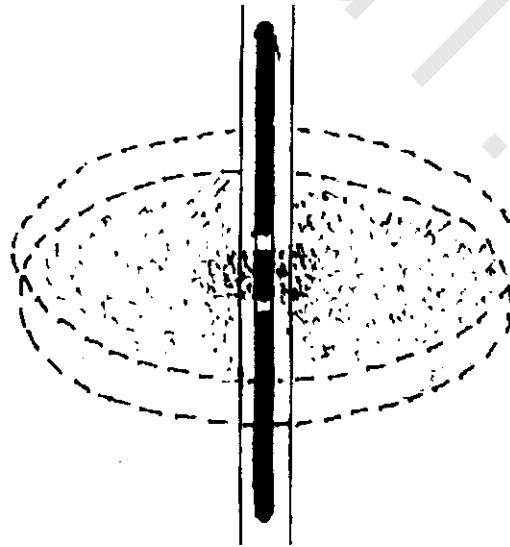
- i- أكثر حساسية للطبقات الرفيعة.
 - ii- بواسطته يمكن نسبيا إكتشاف طبقة أرفع من طول القطب المركزى.
 - iii- إذا كان تأثير الغزو صغير، فإن قراءة المقاومة الظاهرية من مقياس مقاومة الحفر يقترب من المقاومة الحقيقية R_1 .
 - iv- ينتج تشويه معين من الغزو العميق.
- من عيوب هذه الطريقة، عندما يقترب نطاق الغزو من البئر فإن تأثيرها على مقياس مقاومة الحفر يكون أكبر نسبيا من تسجيلات الكهربائية غير المركزة.
- يمكن تحديد تصحيح نطاق الغزو من لوحات معايرة، وذلك إذا كان عمق الغزو لايعتمد فى تعيينه من التسجيلات العادية والجانبية.

* طول هذا القطب يتراوح من 3 بوصات لأكثر من قدم.

** طول الثلاثة أقطاب أكثر من 5 أقدام.



شكل (11-16): رسم تخطيطى لدائرة مقاومة تعمل أقطاب الحماية العلوية والسفلية على تثبيت نفس الجهد لكى تعمل تيار تقريبا أفقى (خطوط غير متصلة) تنساب فى إتجاه خارجى من مركز مصدر القطب



شكل (11-17): يكون النطاق المختبر بواسطة مقياس مقاومة الحفر عبارة عن قرص دائرى بسمك يأسوى طول قطب المركز. المواد القريبة من البئر يكون لها تأثير قوى على قياس المقاومة. يضمحل التأثير تدريجيا كلما بعد عن البئر كما هو موضح بالتدرج الظلى

4.2.1.3.11 قياس الحثية Induction Logging:

انتشرت هذه الطريقة للعمل فى آبار مملوءة بسوائل غير موصلة. يتكون الجهاز من ملفات موضوعة على الراصد حيث يستخدم الحث الكهرومغناطيسى الناتج من هذه الملفات لإنتاج تيار يدخل التكوين، وقياس تأثيره يوجد نوعين من القياس الحثي:

(أ) تسجيل الحث الغير مركز (شكل (11-18) Unfocused Induction Logging:

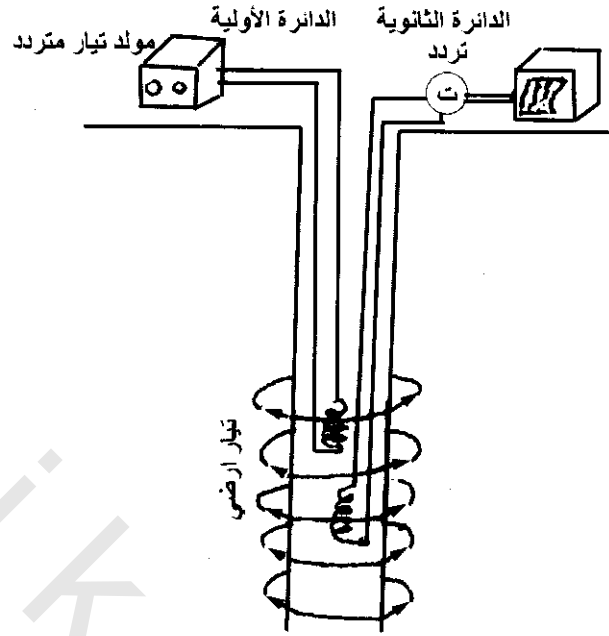
التكوين والعمل:

- i- ملفين على الراصد أحدهما يبعث التيار والآخر يستقبله.
- ii- ينتج المولد تيار متردد فى ملف الإنبعاث.
- iii- يولد التيار المتردد مجال مغناطيسى متردد فى المنطقة المحيطة بالملف والتي تصل للتكوين.
- iv- يلزم الحث الكهرومغناطيسى المصاحب لهذا المجال إنسياب التيار خلال التكوين فى طرق دائرية مركزة على البئر.
- v- يخلق التيار الأرضى المتردد مجال مغناطيسى ثانوى والذي يلزم التيار للإنسياب فى ملف الإستقبال مرة ثانية بواسطة الحث الكهرومغناطيسى
- vi- تغير شدة التيار الأرضى مع المقاومة يعمل على توليد شدة مجال مغناطيسى ثانوى وتيار حثى على ملف الإستقبال.
- vii- يسجل التيار الحثى فى ملف الإستقبال على مخطط استخلاص strip chart للحصول على تسجيل حثى غير مركز.

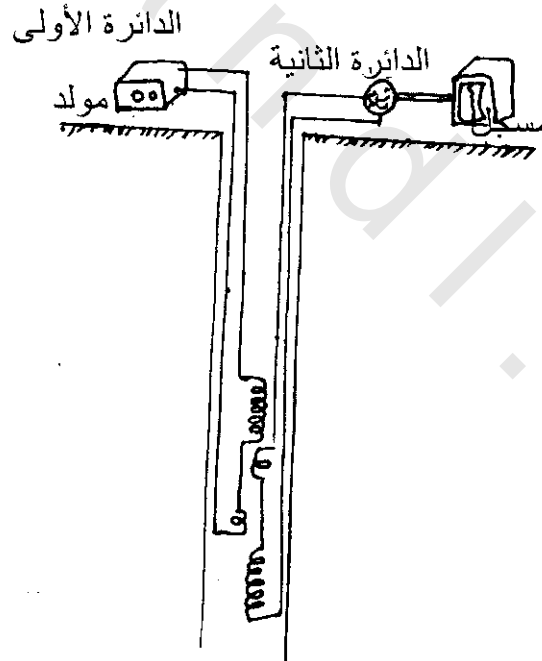
(ب) تسجيل الحث المركز Focused Induction Logging:

التكوين والعمل (شكل (11-19):

- i- ملف إضافى متسلسل مع ملف الإنبعاث الأصلى ويوضع بالقرب من ملف الإستقبال الأصلى.
 - ii- ملف إضافى آخر متسلسل مع ملف الإستقبال ويكون قريبا من ملف الإنبعاث الأصلى.
 - iii- تشغيله يكون بنفس تشغيل تسجيل الحث الغير مركز.
- يوضح شكل (11-20) تسجيلات الحث الغير مركز والحث المركز حيث يفسر التغير التدريجى فى المقاومة الظاهرية طالما الراصد يمر بالحد بين طبقتين متباينتين المقاومة فى طبقة سميكة طول الراصد فيها أكثر من ثلاث مرات مسافة الملف من كلا الحد العلوى والسفلى، وتقترب قياس المقاومة الظاهرية من المقاومة الحقيقية R_t إذا لم تشوه النتائج بواسطة الغزو. يرى شكل (11-20) أن نقطة الانقلاب على تسجيل المقاومة الحية تقع بالقرب من حدود الطبقة، هذه الطبقات من الصعب تحديدها.



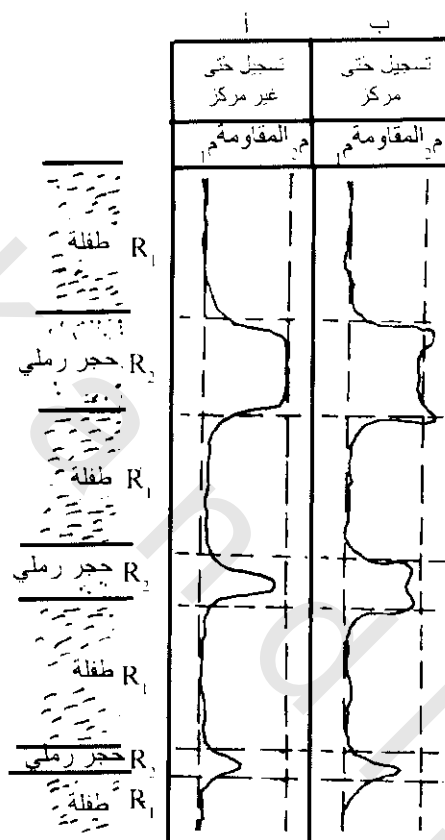
شكل (18-11): دائرة تسجيل حتى غير مركز



شكل (19-11): رسم تخطيطي لدائرة تسجيل حتى مركز مكون من أربع ملفات. كلا من الدائرة الأولى والثانية تحتوى على ملفات. الملف الثانوى الصغير يوضع بالقرب من الملف الأول الكبير والملف الأول الصغير يوضع بالقرب من الملف الثانوى الكبير

ويمكن الحصول على دلالة حادة لحدود الطبقة بواسطة تسجيل الحث المركز شكل (11-20ب) ولكن تنتج ذبذبة زائفة في المقاومة الظاهرية. هذه الذبذبات ممكن إخمادها (إيقافها) بواسطة ترتيب لملفات التركيز في أكثر من دوائر معقدة.

ويمكن تحديد تصحيح تأثير الغزو من لوحات معايرة، ولكن يتطلب ذلك معلومات إضافية والتي يمكن الحصول عليها من أنواع أخرى من التسجيلات. يستخدم التسجيل الحثي أساسا لإختبار بنر مملوء بطين حفر غير موصل. أيضا يمكن استخدامه في آبار حاوية على طين حفر موصل للتيار.



شكل (11-20): نموذج لتسجيل حثين أحدهما مركز والآخر غير مركز لتغيرات عند حدود طبقات مختلفة التكوين والمقاومة. عند قرب حدود الطبقات يظهر بعض التأثير غير الحقيقي

5.2.1.3.11 التسجيلات الدقيقة. Micrologs:

صممت راصدات خاصة لقياس المقاومة بمسافة قريبة جدا من الأقطاب توضع على مسند والذي يضغط بثبات مقابل جوانب البئر شكل (11-21). هذه الأقطاب، والتي يكون البعد بينهما عادة 1 أو 2 بوصة متصلة بدوائر مختلفة للحصول على تسجيلات عادية دقيقة، وتسجيلات جانبية دقيقة وتسجيلات مقياس مقاومة الحفر الدقيقة.

هذه التسجيلات الدقيقة بإمكانها إكتشاف الطبقات الدقيقة جدا. ربما لأن افتراضها الأساسي هو لقياس مقاومة القشرة الطينية (mud cake) المحيط بالبئر والمقاومة في منطقة الغزو. قياس التسجيلات الدقيقة مهمة حرجة لتحديد معاملات التصحيح والتي يحتاج لها لحساب المقاومة الحقيقية (R_t) من التسجيلات العيارية لكلا من التسجيلات العادية، جانبية، والحثية.

يتحرك الراصد ببطء شديد مقابل جانب البئر وذلك لأن أقطاب هذا النوع من التسجيل (التسجيل الدقيق) مضغوطة. عامة لا يطبق مرور التسجيلات الدقيقة خلال الأعماق الكلية للبئر ولكن تطبق فقط بالمناطق المعينة الهامة للتسجيل.

6.2.1.3.11 توليفات (تجمعات) التسجيلات الكهري Electric Log Combination:

تعتمد المقاومة الظاهرية المقاسة بواسطة التسجيلات الكهربائية على:

- i- المقاومة الحقيقية R_i فى الطبقة.
- ii- المقاومة فى نطاق الغزو.
- iii- المقاومات فى الطبقات الأخرى القريبة.



شكل (11-21): راصد تسجيلات دقيقة بأقطاب مركبة على مسند والذي يمر مقابل جوانب البئر

الأشكال المختلفة للأقطاب لقياس الطبقات المختبرة لها نسب مختلفة مع مقاومات هذه الطبقات. وتقاس قيم المقاومات الظاهرية بواسطة توليفات لأشكال أقطاب مختلفة وذلك لحساب المقاومة الحقيقية R_i . تتكون أجهزة التسجيلات النموذجية من راصد بعدة أقطاب والتي تربط أتوماتيكيا بدوائر مختلفة، لذلك يمكن تمثيل عدة تسجيلات فى نفس الوقت (لحظيا) على نفس مخطط الإتصال strip chart أثناء تحرك الراصد خلال البئر*.

* تسجل (ترسم) النتائج أثناء تحرك الراصد من أسفل لأعلى فى البئر.

يوضح شكل (11-22) تجمع التسجيلات الكهربائية:

(أ) تسجيل جهد ذاتى (SP)، عادى وجانبى.

(ب) تسجيل جهد ذاتى مقياس مقاومة الحفر وتسجيلين حثيين. فى كلا هذين التجمعين يمكن استخدام تسجيل الجهد الذاتى لتحديد حدود الطبقة. وتستخدم التسجيلات الأخرى لتقييم (R_1). إذا احتاج الأمر لقياسات مقاومة إضافية تجهز رواصل مختلفة للتسجيلات الدقيقة وتوصل بكابل الحفر wire line. العربة* المستخدمة للتسجيلات الكهربائية والمجهزة لذلك، تجهز أيضا لتسجيلات الأشعة والتسجيلات الصوتية.

2.3.11 تسجيل النشاط الإشعاعى Radioactivity Logging:

العملية التى تتبع بواسطتها الجزيئات من الكتلة أو الطاقة تلقائيا من الذرة تسمى النشاط الإشعاعى. تتكون هذه الانبعاثات من البروتونات، النيوترونات، الإلكترونات وفوتونات الطاقة الكهرومغناطيسية والتى تسمى أشعة جاما.

فى الطبيعة، تأتى هذه الجزيئات والفوتونات من النويات غير المستقرة أو عناصر ذات نشاط إشعاعى مثل اليورانيوم والثوريوم والربيدوم وبوتاسيوم 40. يحدث نفس الانبعاث من النويات المستقرة لعناصر أخرى بقذفها صناعيا بأشعة جاما أو نيوترونات. تتم طرق تسجيل النشاط الإشعاعى باستخدام الانبعاث الطبيعى أو الصناعى وتحتوى على ثلاث طرق:

1- قياس أشعة جاما الناتجة بواسطة العناصر المشعة فى التكوين.

2- استخدام أشعة جاما من مصدر التكوين.

3- استخدام القذف النيوترونى للتكوين صناعيا بأشعة جاما.

وعامة تسمى الأجهزة المستخدمة لقياس النشاط الإشعاعى للثلاث أنواع السابقة بعدادات الومضات والتى تتكون من بلورة خاصة وأنبوبة كهروضوئية. تثب البلورات وميض ضوئى كالأذى يمتص فوتونات أشعة جاما، وتتحول هذه الومضات إلى نبضات تيار كهربى. بواسطة أنبوبة كهروضوئية. تسجيلات النشاط الإشعاعى يمكن الحصول عليها بواسطة رسم مخرج عداد ومضات على لوحة استخلاص (strip chart).

1.2.3.11 تسجيلات إشعاع جاما الطبيعى Natural Gamma Radiation Logging:

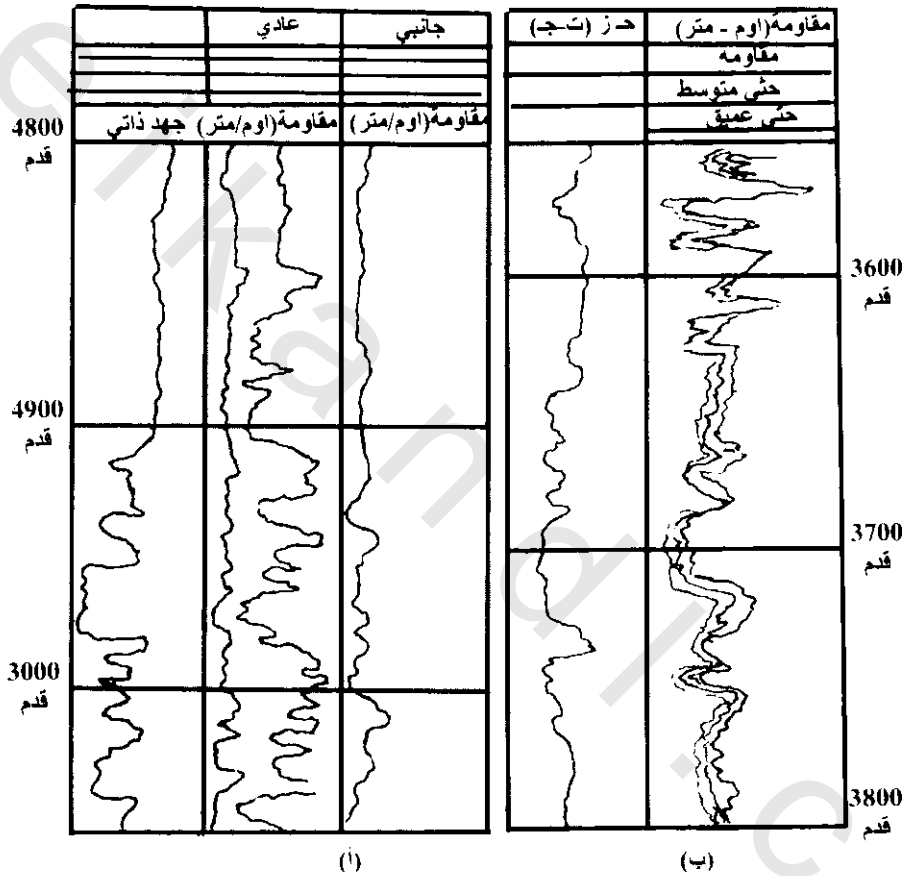
تنتج العناصر الغير مستقرة** مستويات قياسية لأشعة جاما. لذلك فالاستخدام الأساسى لتسجيلات أشعة جاما الطبيعية تلاحظ فى طبقات الطفلة وقيمة محتويات الطين فى الحجر الرملى والكربونات الغير نقية.

يعد عداد الومضات المستخدم لتسجيلات أشعة جاما الطبيعية عدد الومضات الضوئية الحادثة فى البلورة خلال فترة زمنية ثابتة. هذه القيم تسجل على لوحة الإستخلاص. تعتمد حساسية تسجيلات أشعة جاما الطبيعية

* العربة التى تحمل أجهزة التسجيلات تحمل أيضا وكابل الحفر لإنزال ورفع الراصد فى البئر وكل هذا يتحكم فيه الكرونيان. للعمل بالشواطين، نفس الأجهزة تتركب فى مركب صغير أو على رصيف الحفر البحرى.
تركيز صغير لعناصر مشعة بوجوده فى معظم طبقات الطفلة، البوتاسيوم فى الميكال، معاون الطين الشاملة على نسبة صغيرة من نظائر البوتاسيوم 40 المشع، آثار من اليورانيوم والثوريوم الموجودة فى الطفلة، الحجر الرملى الكواتترى، طبقات الكربون التى لها تركيز منخفض للشوائب المشعة.

للحدود بين الطبقة والأخرى الأقل منها إشعاعيا على زمن عد الجهاز وسرعة تحرك الراصد في البئر شكل (11-23). ويمكن استنتاج عدم الانتظام في التسجيل بسبب زيادة زمن العد، ولكن إذا تحرك الراصد سريعا جدا، سيدل التسجيل على التدرج أكثر من التغير الحاد في النشاط الإشعاعي بالقرب من حد الطبقة. ومن الممكن أن يكون هذا التغير التدريجي حادا وذلك بواسطة بطء سرعة الراصد، ولكن لأسباب عملية لا يمكن أن يعمل الراصد ببطء. لذلك يجب عمل الضبط باختيار زمن العد مع خضوع سرعة الراصد لاستخدام التسجيل العملية. نمونجيا يمكن الحصول على نتائج جيدة بزمن عد 2 ثانية وسرعة راصد 30 قدم/دقيقة.

من أهم مميزات هذه الطريقة عملها في الآبار المغلقة والتي لا تستطيع التسجيلات الكهربائية العمل بها.



شكل (11-22): تجمع تسجيلات كهربية نموذجية. (أ) جهد ذاتي، تسجيل عادي (16، 64 بوصة) تسجيل جانبي 16 قدم، 8 قدم، (ب) جهد ذاتي، تسجيل حثي، وتسجيل مقاومة

2.2.3.11 تسجيلات أشعة جاما Gamma-Ray Density Logging

أشعة جاما المنبعثة في جزء منفصل للطاقة الكهرومغناطيسية تسمى الفوتونات*. وأثناء انتقالها خلال المواد فإنها تتصادم تواتريا مع الإلكترونات، وينتج من هذا التصادم طاقة الفوتون، وتسمى هذه العملية الانتشار العدى Compton scattering**. تعتمد عدد التصادمات الحادثة أثناء فترة زمنية ثابتة على كثرة الإلكترونات والتي تتناسب مع كثافة المادة.

* الفوتونات أجزاء من الطاقة.

** تتم هذه العملية بواسطة الراصد، حيث يوجد في الجزء الأسفل منه لفرز المصدر الذي يبعث أشعة جاما. والجزء العلوي به عداد الوميض.

يستخدم تسجيل كثافة أشعة جاما لتعيين كثافة التكوين (ρ_0) بواسطة إشعاعات جاما المعرضة للإنتشار الحثي.

تعتمد العلاقة بين كثافة التكوين ρ_0 ومعامل كثافة الإلكترون على وجود عناصر كيميائية حيث أن عدد الإلكترونات لكل عنصر يختص بالعدد الذرى له ويجمع العدد الذى للعناصر فى التكوين يمكن حساب كثافة هذا التكوين.

$$\rho_0^* = \rho_0 w/2 \Sigma N \quad (11-7)$$

حيث (w) الوزن الجزيئى لمكونات التكوين، (ρ_0) تقرأ من التسجيل للحصول على نتائج جيدة، يمكن عمل الآتى:

- i- يضغط كلا من عنصر المصدر والكاشف بثبات مقابل جدار البئر.
- ii- يجب تجهيز الراصد بنصل (سكين) لقطع أى قشرة طينية (mud cake) لحفظ التماس مع سطح الصخر.
- iii- يجب تحريك الراصد ببطء شديد خلال البئر بسرعة أقل من 30 قدم/دقيقة.
- iv- فى الآبار العميقة، يقتصر تسجيلات كثافة اشعاعات جاما على النطاقات التى لها أهمية خاصة.

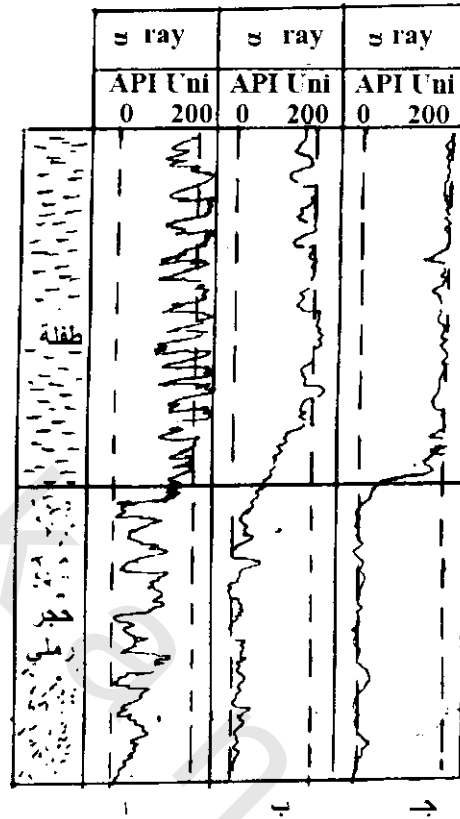
3.2.3.11 تسجيل نيوترونات أشعة جاما Neutron-Gamma-Ray-Logging:

من الممكن تحفيز العناصر الغير مشعة فى التكوين بواسطة قذفها بالنيوترونات. هذه العملية تجعل تسجيل نيوترونات أشعة جاما تعطى معلومات عن المسامية. يحتوى الراصد على مصدر نيتروني^{**}، ويوضع العداد الوميضى على مسافة ثابتة منه. عند عمل المصدر النيتروني، فإن إشعاعات جاما المأسورة (المحجوزة) تنبعث من التكونات وتكتشف عند الراصد. يعتمد هذا الاكتشاف على المسافة من أماكن النيوترونات المأسورة. إذا انتقلت هذه النيوترونات لمسافة كبيرة قبل الحجز، تعاد أجزاء صغيرة من أشعة جاما المحجوزة (المأسورة) لتصل للراصد، ولكن حينما تمتص النيوترونات بسرعة بالقرب من البئر فإنها تسجل مستوى أشعة جاما المحتجزة. يعتبر تركيز الهيدروجين فى التكوين أهم عامل يؤثر على المسافة التى ينتقل لها النيوترون قبل احتجازه. عندما يكون محتوى الهيدروجين عالياً، فإن النيوترون المحتجز يحدث بالقرب من البئر، ويكتشف بذلك المستوى العالى لأشعة جاما المحتجزة. عندئذ يشير تسجيل نيوترونات أشعة جاما للتغير فى تركيز الهيدروجين.

حيث أن الهيدروجين يوجد فى جزيئات الماء والبتترول وبلورات المعادن الممياة مثل سليكات الطين، الميكا، الأمفيبولات والجبس. لذلك فإنه فى الحجر الجيرى الكوارتزى وصخور الكربونيت فغالبا ما يوجد الهيدروجين كليا فى المياه والبتترول المالى للمسام. ويعتمد تركيزه على مسامية التكوين. تحتوى الطفلة على الهيدروجين وربما يشاركها فى ذلك الميكا والمعادن الطينية وأيضاً ماء المسام.

من الصعب تمييز طبقات الطفلة عن الحجر الرملى المسامى أو الطبقات الكربونية بواسطة تسجيل أشعة نيوترونات جاما وذلك لأن هذه الطبقات المختلفة تحتوى جميعها على نفس تركيز الهيدروجين. لذلك تستخدم الأنواع الأخرى من التسجيلات مثل أشعة جاما الطبيعية، لعمل تصنيف لخصائص هذه الصخور. ويكون

*كـ (ρ_0) تستخدم لقياس المسامية.
** كمية من المواد المشعة مثل البلوتونيوم، بريليوم والى تشع نيوترونات خلال عملية التحلل الإشعاعى.



شكل (23-11): شكل نموذجى يوضح التغير لأشعة جاما الطبيعية بالقرب من الحدود بين الطبقة والحجر الرملى. (أ) زمن عد قصير وسرعة حركة الراصد، (ب) زمن عد طويل وسرعة حركة الراصد، (ج) زمن عد طويل وبطء حركة الراصد

الإستخدام الأساسى لتسجيلات نيترونات أشعة جاما هو اكتشاف تغير المسامية خلال طبقات صخور الحجر الرملى أو طبقات الكربونات كما هو موضح فى شكل (24-11). ويمكن التحقق من طبقات الحجر الرملى أو الطبقة بواسطة تسجيلات أشعة جاما الطبيعية. ويمكن بعد ذلك ملاحظة التغير فى تسجيلات نيترونات أشعة جاما خلال كل طبقة على حدة لدراسة التغير فى المسامية. فمثلا فى شكل (24-11) يدل على نسبة احتواء عالية من الهيدروجين ولهذا فإن أعلى مسامية تكون قريبة من مركز الطبقة.

ويمكن إجراء تسجيل أشعة نيترونات جاما فى الآبار المغطاه (casing) والغير مغطاه. ونموذجيا يتحرك الراصد بسرعة 30 قدم/دقيقة والعد الزمنى لعداد الوميض يكون لكل 2 ثانية. تجهز عداد الوميض لاكتشاف الطول الموجى لأشعة جاما المحتجزة والتي تختلف عن الطول الموجى لأشعة جاما الطبيعية.

3.3.11 التسجيلات الصوتية Sonic Logging:

يتكون جهاز قياس هذه التسجيلات من مصدر صوتى ومستقبلين موضوعين جميعهم على راصد شكل (25-11). تتبع النبضات الصوتية من المصدر بفترات 0.1 ثانية. وبما أن سرعة الموجات الأولية فى التكوين الصخرى أسرع منها فى سائل الحفر للبنى، لذلك فإن هذه الموجات تنكسر فى الصخور عند جوانب البئر قبل

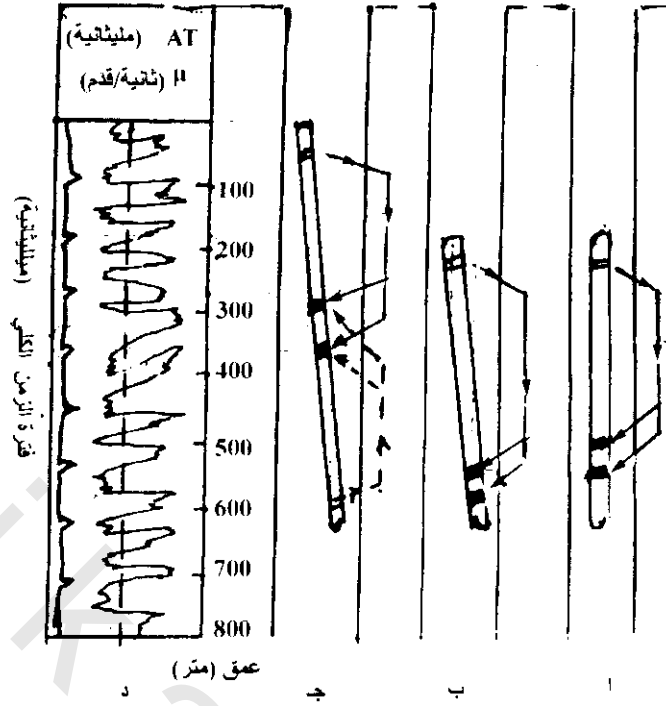
وصولها للمستقبلين. تنشط كل نبضة صوتية الدائرة الزمنية والتي تسجل الفرق في الفترات الزمنية للمستقبلين. هذه القيمة (الفرق) تسمى فترة زمن الانتقال (T_0 interval transit time). ترسم فترات زمن الانتقال على مخطط الاستخلاص للحصول على تسجيل صوتي.

إذا مال الراصد في البئر أو إذا تغير قطر البئر فإن طرق الانتقال خلال سائل حفر البئر للمستقبلين سوف تختلف أطوالها شكل (11-25ب). وهذا يعني أن قياس زمن فترة الانتقال الظاهرية أكبر من القيمة الحقيقية لـ T_0 في التكوين وللتغلب على هذه الصعوبة فإنه يركب مصدر نبضات صوتي آخر على الراصد يقع عكس الراصد الأصلي. شكل (11-25ج) في هذه الحالة تنبعث نبضات الصوت بالتبادل من المصدرين، ويكون زمن فترة الانتقال للموجات المنكسرة من الانتقالين المنعكسين عبارة عن متوسط الكتروني يمكن الحصول منه على القيمة الحقيقية T_0 يرسم متوسط زمن فترة الانتقال على لوحة المخطط للحصول على التسجيل الصوتي المكافئ للبئر Borehole-compensated (BHC).

الموجات الأولية (P-waves) الواصلة للمستقبلين تنكسر حرجيا على جانب البئر. لذلك، فإن التسجيل الصوتي يختبر فقط النطاق الواقع بالقرب جدا من البئر. تعتمد قراءة التسجيل لفترة زمن الانتقال T_0 على نسبة النسيج الصلب والسائل في هذا النطاق. تستخدم هذه القراءة مع قيمة زمن الانتقال في الأجزاء الصلبة (T_m) والسائلة (T_w) للحصول على قيمة مسامية التكوين. تقدر T_m على أساس معلومات عن التركيب الصخري



شكل (11-24): نموذج يوضح تأثير نوع الصخر والمسامية على تسجيل γ طبيعية. تعتمد أشعة جاما الطبيعية على العناصر المشعة (تركيز) في الصخور. وتعتمد تسجيلات نيترونات أشعة جاما على نسبة الماء المائي للفراغات في الصخور



شكل (11-25): نموذج شكل المصدر والمستقبلين. (أ) مصدر ومستقبلين رأسيين. (ب) مصدر ومستقبلين مائلين. (ج) مصدرين ومستقبلين مائلين. (د) شكل منحني التسجيل

المستنتج من عينات الحفر أو أنواع أخرى من التسجيلات. أما تقدير T_w في يتطلب بعض المعلومات عن وسائل التكوين والتي يمكن الحصول عليها من التسجيلات الكهربائية. وتعتبر هذه الطريقة ناعمة للحصول على:

i- المقارنات القريبة للآبار.

ii- اكتشاف الطبقات الرفيعة كالمسافة بين المستقبلين والتي تكون عادة واحد قدم.

iii- المساهمة في تفسير المسح السيزمي بالقرب من منطقة التسجيل.

iv- يشير التغير في فترة زمن الانتقال على الحدود التوقع على أماكن الانعكاسات.

4.11 تقييم التكوين Formation Evaluation :

تشمل خواص التكوين التي يمكن تقييمها من قياسات الآبار وصف التكوين الصخرى وسمك الطبقة، المسامية، النفاذية، ونسبة الماء والهيدروكربونات الشاغلة للفراغات المسامية.

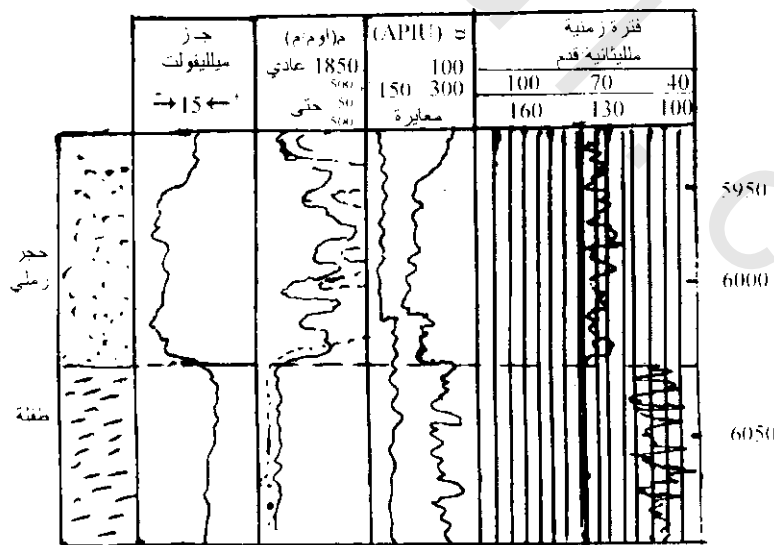
1.4.11 وصف التكوين الصخرى وسمك الطبقات Lithology and Bed Thickness Description of :

تساعد قياسات اختلاف الجهد الطبيعي، المقاومة الكهربائية، انبعاث الإشعاع الطبيعي، سرعة الموجات السيزمية في تمييز اختلافات التكوينات الصخرية. يوضح شكل (11-26) قطاع تتابعى لطبقات الحجر الرملى والطفلة وقيم الخواص الفيزيائية المقاسة، عبر فترة ثابتة، يقابل هذه الطبقات. هذه القياسات عالية في الطفلة ومنخفضة في الحجر الرملى. ويمكن استخدام التسجيلات لقياسات دقيقة لهذه الحدود والأسماء كما في شكل (11-26)، (11-24).

التطبيق العادى يكون لتفسير وصف التكوين الصخرى فى بئر بواسطة مقارنة التسجيلات لهذا البئر مع تسجيل مرجعى من بئر آخر فى منطقة يكون الوصف الصخرى معروف مبدئيا من دراسة تمت بعناية لعينات صخرية وربما لصخور لبية (core). ويلاحظ أيضا النماذج التابعة لوحداث الوصف الصخرى بواسطة المقارنة المرئية للتسجيلات شكل (11-27). ومن النافع معرفة أن الإرتفاعات والإنخفاضات على تسجيلات الآبار لاتسجل عادة بالضبط عند حواف الطبقات. أكثر من هذا، فإن هذه الحواف تحدد بواسطة الإنعكاسات الظاهرية بين نقط الإرتفاعات والإنخفاضات على التسجيل. ويكون عرض المقارنة أكثر أهمية عندما توفر الإمكانية لملاحظة النقطة الخاصة خلال النموذج الذى يعلم (يحدد) حد الطبقة. وحيث أن الأنواع المختلفة من أجهزة التسجيلات تسجل نماذج مختلفة من التغير، يكون صعب تماما للمقارنة أى، تسجيل المقاومة من بئر واحد مع تسجيل إشعاعى من بئر آخر. يكون التحديد المضبوط لنفس حافة الطبقة فى آبار مختلفة الأحسن عمل بواسطة مقارنة التسجيلات المسجلة بأنواع مختلفة من الأجهزة. وحيث لا يوجد نوع خاص من تسجيل يستخرج ليكون أساس (رئيسى). ففى بعض المناطق تسهل تسجيلات المقاومة المقارنة ولكن فى بعض الأماكن الأخرى يطرز نموذج المقارنة أوضح على تسجيلات الإشعاع.

2.4.11 المسامية Porosity:

تعرف المسامية فى عينة من صخر التكوين أنها نسبة حجم الفتحات بين الحبيبات، التشققات، الكهوف فى العينة للحجم الكلى لها. لمسامية صخور الخزان الحاوى للبتروول، الغاز الطبيعى أو مياه عذبة أهمية خاصة لأنها تشير لحجم السائل المخزون فى هذه الصخور. يوجد ثلاثة طرق لتقدير المسامية من تسجيلات الآبار تبعا للخواص الطبيعية:



شكل (11-26): يوضح هذا الشكل التغير فى الخواص المختلفة جهد ذاتى، مقاومة، اشعة جاما، فترة زمن الصوت (فترة زمن الموجة الأولية) عند الحد بين الحجر الرملى والطفلة

1.2.4.11 المقاومة الكهربائية Electrical Resistivity:

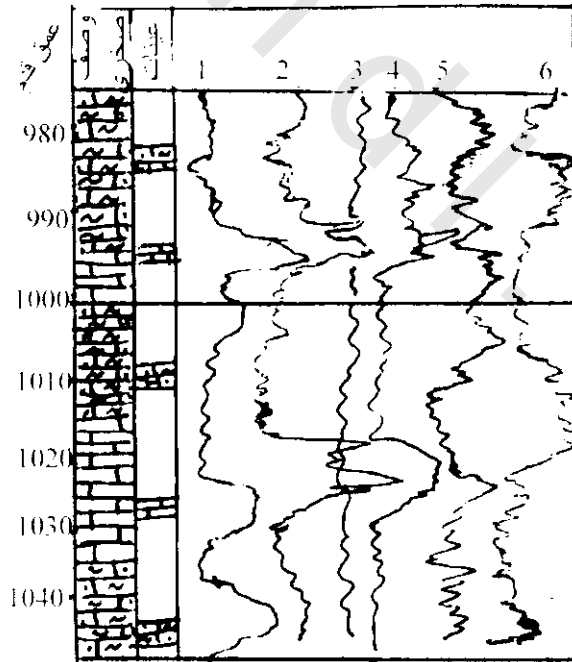
إلى حد ما تختلف مقاومة الفراغات المملوءة بالسوائل عن مقاومة النسيج الصلب، فإنه يتوقع وجود علاقة بين مقاومة التكوين والمسامية. اقترح (أرش Archie 1942) هذه العلاقة من القياسات المعملية لعينات لوبيه من الحجر الرملى والتي شبت بماء حاوى تركيزات مختلفة من كلوريد صوديوم مذاب. تسمى هذه العلاقة معامل مقاومة التكوين formation resistivity factor والتي تعتمد على مقاومة التكوين (R_o) ومقاومة فراغات السائل (R_w)

$$F = \frac{R_o}{R_w} \quad (11-8)$$

يوضح شكل (28-11) العلاقة بين (F) والمسامية (ϕ) والتي وجدت لعينات لوبيه مختلفة على لوحة لوغارتمية. من هذا الشكل، يمكن ملاحظة أن (ϕ)، (F) يرتبطا بعلاقة فى صورة معادلة هي

$$\phi = aF^m \quad (11-9)$$

حيث (m) ثابت يعتمد على تركيز الصخور الخزان وقيمتة غالبا بين (0.3-0.2)، (a) ثابت الذى يجب إيجاداه بواسطة اختبار الصخور فى منطقة الدراسة وقيمتة غالبا بين (1.0-0.62). هذه الصيغة غالبا تستخدم باتساع فى تقييم التكوين.



شكل (11-27): مثال لتفسير جيوفيزيائى تجميعى لوحدات صخرية (قطاع كربون). 1- مقاومة، 2- نيوترون، 3- أشعة γ ، 4- نيوترون جاما، 5- جاما-جاما، 6- نبضات نيوترون-نيوترون

2.2.4.11 فترة زمن الموجة الأولية P-wave Travel Time

في هذه الطريقة تحدد المسامية من سرعة الموجة التضاغطية ويسمى جهاز قياسها سرعة الموجات الصوتية. سرعة الموجة الصوتية خلال فراغت السوائل (V_w) عادة تختلف عنها خلال النسيج الصخري (V_m) ولأن سرعة الموجات الصوتية (V_o) المميزة لخواص التكوين تعتمد على نسبة هاتين الجزئين فتكون علاقة المسامية

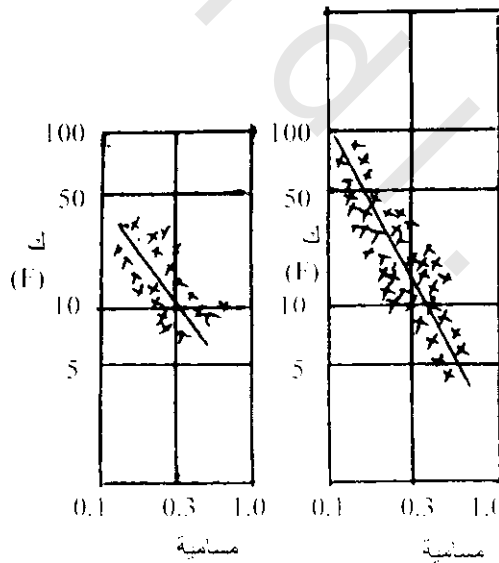
$$\frac{1}{V_o} = \frac{\phi}{V_w} + \frac{1-\phi}{V_m} \quad (11-10)$$

سرعة موجة التكوين (V_o) ممكن إيجادها من فترة الزمن (T_o) بين نقطتين المسافة بينهما معروفة*. لأن هذه النقطة تبقى المسافة بينهما ثابتة على جهاز التسجيل الصوتي، فمن المعادلة السابقة تكون المسامية لها علاقة مباشرة مع فترة الزمن.

$$T_o = \phi T_w + (1-\phi) T_m \quad (11-11)$$

حيث T_m , T_w فترات زمنية على نفس المسافة خلال السائل والذي سرعته V_w وخلال الصلب والذي سرعته V_m . ويمكن إعادة صياغة المعادلة السابقة.

$$\phi = \frac{T_o - T_m}{T_w - T_m} \quad (11-12)$$



شكل (11-28): علاقة بين معامل التكوين والمسامية على عينات حجر رملي منطقتين مختلفتين

$$V = \frac{D}{T}$$

3.2.4.11 الإنبعاث النووى Nuclear Emissions:

تستخدم الكثافة لتعين المسامية. تعتمد هذه الخاصية الطبيعية على نسبة فراغات السوائل والذى كثافته (ρ_w) ونسبة النسيج الصلبوالذى كثافته (ρ_m) لذلك فإن علاقة الكثافة

$$\rho_o = \phi \rho_w + (1-\phi)\rho_m \quad (11-13)$$

ويمكن إعادة ترتيب هذه المعادلة لتصبح

$$\phi = \frac{\rho_w - \rho_o}{\rho_m - \rho_w} \quad (11-14)$$

معروف أن كثافة التكوين المائى يقترب من 1 جم/سم³ والكثافة النموذجية للنسيج تكون ما بين 2.6 إلى 2.7 جم/سم³. ويمكن استخدام طريقة الإشعاع لتعين كثافة التكوين بطريقتين:

(أ) استخدام جهاز قذف التكوين بفوتونات كهرومغناطيسية والى تنتشر بتصادمها مع الإلكترونات فى التكوين. ونتيجة عملية الانتشار فإن نسبة معينة من هذه الفوتونات تعود للكاشف وتعتمد هذه النسبة على تركيز الإلكترونات، وبالتالي على كثافة التكوين (ρ_o).

(ب) قذف التكوين بنيوترونات والى تمتص فى نواة ذرات فى التكوين، والى تسبب إنبعاث أشعة جاما من النواة. ويعتمد مستوى إشعاع جاما الواصلة للكشاف على كثافة التكوين.

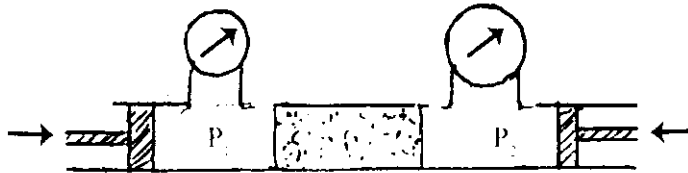
3.4.11 النفاذية Permeability:

تعتمد على الإمتداد الذى فيه تتصل الفراغات وعلى قطر الفتحات. وهى عبارة عن سعة التكوين لإنتقال السوائل. يرى شكل (11-29) الجهاز الذى يقيس النفاذية والمعادلة المستخدمة.

$$K = \frac{0.001L}{P_1 - P_2}$$

حيث (q) = حجم/وحدة زمن، (L) = طول العينة (لويبة)، μ = اللزوجة، $P_1 - P_2$ = اختلاف الضغط. وحدة قياس المسامية (دارسى Darcy) = $10^{-8} \times 0.98$ سم².

وضع ارش Archie 1942 العلاقة بين النفاذية ومعامل مقاومة التكوين (F) شكل (11-30). أيضا تؤثر قوة الخاصية الشعرية* فى صور سعة الصخور للماء الحقيقى. تسبب هجرة سائل لهيدروكربون احلاله بدلا من كمية كبيرة من الماء. ويسمى الجزء الباقى من الماء بالماء المشبع (المستعصى S_{irr}).



شكل (11-29): جهاز قياس النفاذية فى عينة صخرية لويبة، ضغط الكباس الأيسر وسحب الكباس الأيمن ينشأ الضغط P_1 فى يسار الحجرة والعكس ينشأ الضغط P_2 فى يمين الحجرة. يسبب فرق الضغط إنسياب السائل خلال العينة بالحجرة من اليسار لليمين

* تعتمد على أقطار قنوات الفراغات.

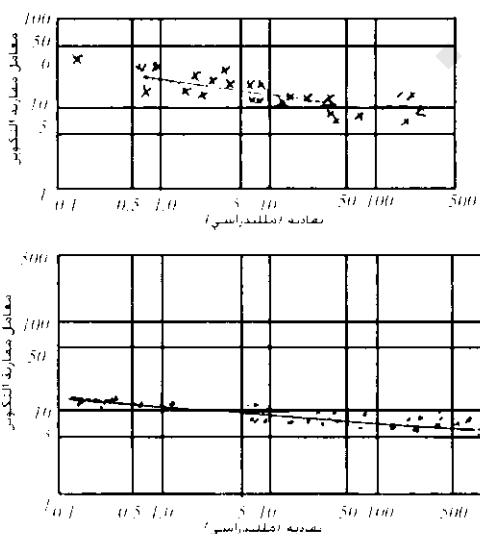
ويمكن تقدير قيمة (S_{irr}) من قياسات المقاومة خلال تكوين الخزان والذى فيه يقل تشبع الماء لأقل إستقصاء بواسطة احلال الهيدروكربون من المعادلة $\phi = a F^{-m}$ نجد أن معامل التكوين يعتمد على المسامية. ومن الحقيقتين قوة الخاصية الشعرية وتشبع الماء المستعصى تتأثر النفاذية بالمسامية وتوضح معادلة النفاذية. $K=(C\phi^3/S_{irr})^2$ العلاقة بين المسامية والنفاذية حيث C ثابت يعتمد على الوصف الصخرى ومتوسط حجم الحبيبات للصخور، قيمة ϕ , S_{irr} , C يجب تقديرها أولا من قياسات تسجيل البئر.

4.4.11 التشبع المائى والهيدروكربونى Water and Hydrocarbon Saturation:

غالبا ما تمتلئ مسافات الفراغات بالصخور بالماء. فى بعض الحالات، يحتوى هذا الماء على كلوريد صوديوم مذاب وأيونات أخرى. لذلك يصبح هذا الماء موصل جيد للكهربية بمقاومة قليلة ونسيج التكوين الصلب توصيل للكهربية قليل بمقاومة كبيرة. تبعا لذلك، فإن إنسياب التيار الكهربى فى التكوين يكون غالبا كليا خلال فراغات الماء.

يوجد البترول والغاز الطبيعى فى نطاقات صخور رسوبية. وحيث أن البترول والغاز الطبيعى قليل التوصيل لمقاومته الكبيرة. لذلك عندما تتخلل الهيدروكربونات صخور الخزان لتحل محل بعض من الماء القليل فإنها تزيد المقاومة الكهربائية للتكوين.

صخور الخزان النموذجية تحتوى على خليط من سوائى الماء والهيدروكربون. ولكتافتها القليلة تصبح أكثر تركيزا فى الجزء العلوى من الخزان. لذلك، فإن الخزان الحاوى على سوائى هيدروكربونية تشير لتدرج علوى يزيد من المقاومة الكهربائية ولتقدير جهد طاقة انتاج البئر، من المفيد تحديد نسبة الماء والهيدروكربونات فى اجزاء مختلفة من الخزان بواسطة قياسات المقاومة. أقترح أرش Arche 1942 صيغة لإيجاد نسبة الماء، والتي تسمى تشبع الماء (S). وضعت هذه الصيغة على قياسات معملية لمقاومة عينات لوبية من الحجر الرملى الحاوى على نسب مختلفة من البترول والماء الذى له ملوحة ثابتة. يضبط تشبع الماء (S) ونسبة المقاومات R_o/R_i بواسطة خط مستقيم على رسم لوغاريتمى دالا على أن $S = R_o/R_i$. حيث R_i مقاومة صخور حاوية على خليط من الهيدروكربون والماء، R_o مقاومة نفس نسيج صخرى مشبع تماما بالماء. ولأن معامل التكوين $R = R_o/R_w$ إذا $S=(FR_w/R_i)^{1/n}$ حيث R_w مقاومة الماء الذى يملأ جزئيا مسافة الفراغات. وحيث يقل تشبع الماء فى الخزان تدريجيا لأعلى، لذلك يجب أن تقاس R_o من قراءة تسجيل البئر المسجل فى الجزء الأسفل الذى يكون مشبعا تماما بالماء.



شكل (11-30): يوضح الشكل العلاقة بين معامل مقاومة التكوين (F) والنفاذية (K) موضوعة على قيم مقاسة فى عينات الحجر الرملى لمنطقتين.

الفصل الثاني عشر

تطبيقات جيوفيزيكية لحركات الألواح

*Geophysics Applied to Plate Tectonics

1.12 مقدمة Introduction:

من أواسط القرن العشرين، ازدادت المعرفة حول الظواهر الطبيعية للأرض، خاصة المعرفة حول تركيب وتطور القشرة الأرضية، وذلك نتيجة للاكتشافات الهامة من دراسات مقياس الأعماق، السيزمية، المغناطيسية، الجاذبية والإنسياب الحرارى. وقد أدت هذه الاكتشافات إلى قبول عام لنظرية إزاحة القارات ومهدت الطريقة لسفسة أكثر ومفهوم ثورى لتباعد الأرضية البحرية (شرحت فى المغناطيسية القديمة سابقا).

الغرض من هذا الفصل، عرض مختصر لدور الاكتشافات الجيوفيزيكية الحديثة فى تحويل مفاهيم لحركات الكرة الأرضية إلى نظرية موحدة لحركات الألواح، والتي أمدت برؤيا قيمة لميكانيكية تطور وإعادة القشرة الأرضية.

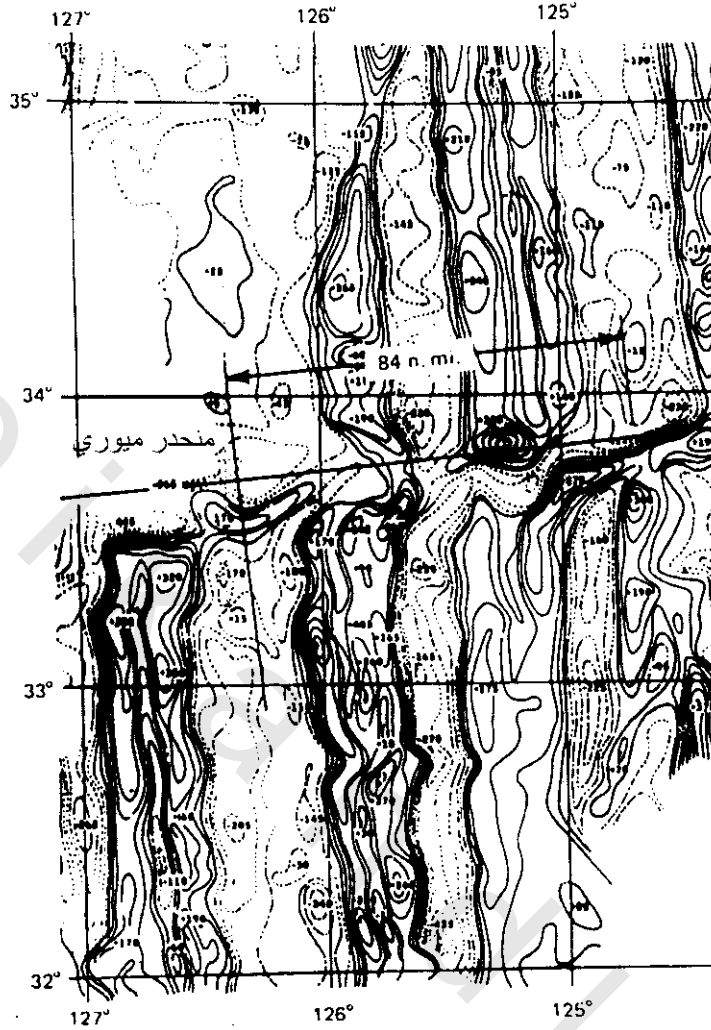
2.12 العناصر الأساسية لحركات الألواح Basic Elements of Plate Tectonics:

تطور مفهوم حركات الألواح من افتراضات تباعد الأرضية البحرية، بالإشتراك مع فكرة أول إقتراح ولسون 1965 J.T. Welson لنوع حديث "فالق متحول (مضربى الإزاحة)*.

1.2.12 فوالق متحولة (مضربية الإزاحة) Transform Faults:

هذه الفوالق ظاهرة لافتة للنظر فى عدد من الأماكن المقابلة للتواءات والأخاديد المحيطية حيث تلاحظ على طول مناطق الشقوق والتي رصدت بواسطة مسوحات المغناطيسية فى شرق المحيط الباسيفيكي حيث تشير لمقابلات كبيرة لنموذج شاذة المغناطيسية كما هو واضح فى شكل (1-12) على منطقة شق مندوكينو Mendocino حيث كان أكثر المقابلات كبرا والذي بلغ أكثر من 1000 كم. خاصة وأن هذه المتقابلات أصبحت لغزا يلاحظ وذلك لمصاحبتها لإزاحة قصية كبيرة المقياس تبدو لنهاية قطع مفاجئ على طول امتداده.

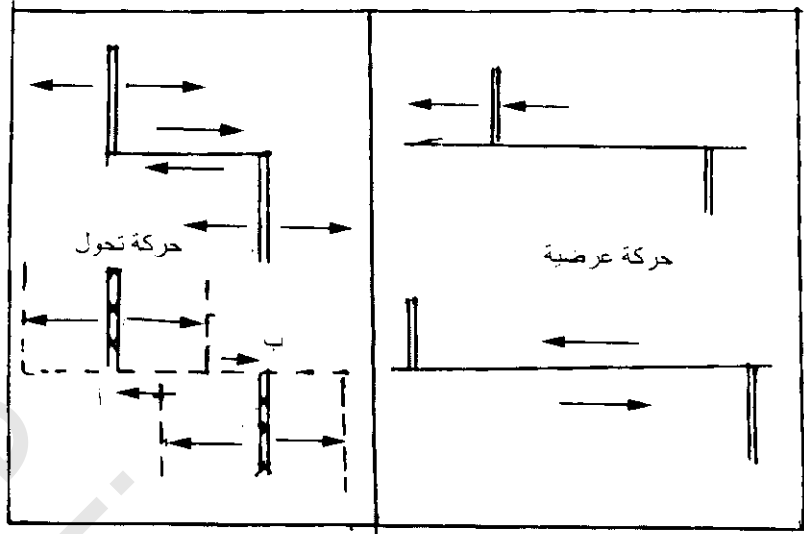
* هو الذى على طولته تقف الإزاحة فجأة أو تحول شكلها.



شكل (1-12): خريطة لشذوذ شدة مجال مغناطيسي كلي، الكنتور بالجاما. إزاحات شرائح الشاذات تدل على إزاحة أفقية 153 كم على طول كسر منطقة ميوري (ماسون 1958 Mason)

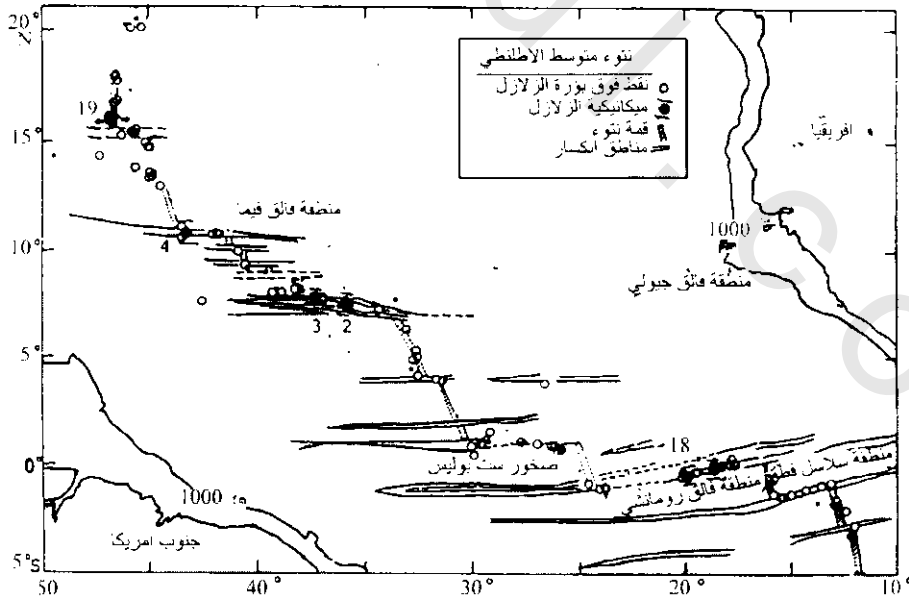
أيضا اقترح ولسون 1965 Wilson توضيح بتوسع بسيط كيف ان فوالق التحول ومضربية الإزاحة، حددت خلال نظرية نطاق تباعد أرض البحر، حيث فرض أن الشقوق التي أزاحت النتوءات المحيطية ووصلت الجزر عبارة عن سلاسل ليست فوالق مستعرضة* (trans current fault) "مضربية الإزاحة لمقياس واسع" ولكن فوالق تحول (مضرب الإزاحة) لبعض خواص مختلفة، ويوضح شكل (2-12) الفرق بينهما. في الفالق المستعرض، فإن الكتل على جانبي الفالق تتحرك في اتجاه الأسهم، لهذا، فإن الإزاحة تزداد مع الحركة العرضية كلما كان نشاط الفالق مستمر. في نتوء-نتوء فالق التحول (مضربي الإزاحة) تكون الإزاحة نشطة فقط في القطع الواقع بين النتوءات، وتبقى الإزاحة ثابتة وتكون اتجاه الحركة عكس المتوقعة بواسطة الحركة العرضية. تكون فوالق نتوء-نتوء التحول (مضربي الإزاحة) أكثر الأنواع شيوعا ولكن فوالق التحول (مضربية الإزاحة) يمكن أن توجد أيضا بين نتوء وأخدود أو بين أخدودين.

* فالق مضربي الإزاحة لمقياس واسع والذي فيه يميل سطح الفالق (دفع مستعرض) بشدة



شكل (2-12): الفرق بين نتوء-نموذج نتوء فالق (يسار) وفالق عرضي (يمين). تزيد الإزاحة مع الحركة العرضية بينما تبقى ثابتة مع حركة التحويل. يستدل على قمة النتوء بواسطة قضبان متوازية

أتى دليل مؤيد لنظرية فالق التحويل (مضربى الإزاحة) من علم الزلازل في طريقتين. الأولى، تصاحب فقط فوق البؤرة الزلزالية مع نظام نتوء منتصف المحيط تكون محاذية على قمم النتوءات وعلى أجزاء من مناطق التشقق تبعا للقطع أب، ليس خارج أب شكل (2-12). الثاني، من دراسة الحركة الأولى للزلازل على طول مناطق التشقق، يوجد اتجاه الحركة الأولى ليبرر ماذا يمكن توقعه على أساس تفلح تحولى (مضربى الإزاحة) مثال ذلك يوضح شكل (3-12) جزء من منتصف نتوء الأطلنطي، حيث ترى مواقع نقط فوق البؤرة واتجاه الإنزلاق المعطى بواسطة دراسة الحركة الأولى للزلازل على قطاعات منطقة تشقق مستعرضة، وتكون جميع الزلازل على نظام نتوء-شق بؤر زلزالية ضحلة والتي يمكن توقعها بواسطة عملية تباعد أرضية البحار.



شكل (3-12): مواقع فوق البؤرة (دوائر مفتوحة) على طول الجزء الاستوائي لنتوء منتصف الأطلنطي. ترى محطات ميكانيكية البؤرة لست زلازل (الدوائر السوداء 1، 2، 3، 4، 18، 19) على مناطق الإنكسار (شرق-غرب). تشير الأسهم لإزاحة قصية ومضرب مستوى استدلال الفالق علاوة على كل من هذه الميكانيكية (سيكس 1968 Sykes)

2.2.12 مفهوم الألواح والحركة النسبية :The Concept of Plates and Relative Motion

عمل أربع علماء ماكنز وباركر McKenzie and Parker 1967، مورجان Morgan 1968 ولى يكون Le Pichon 1968 على قبول الصياغة النظرية وتطور مفهوم حركات الألواح.

الفكرة الأساسية هي أن طبقة سطح الأرض الصلبة (ليثوسفير) تقاس من تحطيم قوى فقط نسبيا على طول خط تحرك الأحزمة الضيق. هذه الأحزمة المكونة من نتوءات وأخاديد والمترابطة بالفوالق المتحولة (مضربية الإزاحة) تقسم المحيط القارى (ليثوسفير) إلى عدد من الطبقات الصلبة، كتل زلزالية "ألواح" والتي لاتعانى تحطيم داخلى كبير، تكون الحركة النسبية بين الألواح ذات أهمية خاصة، كما أن هذه الحركة هي السبب الرئيسى لنشاط تكتونية الأرض، وهناك ثلاث أنواع ممكنة من حواف الألواح:

(i) إنشاء أو تباعد الإتصالات، حيث تتكون قشرة أرضية جديدة كألواح متحركة متباعدة (قمم منتصف المحيط).

(ii) هدم أو تقارب الإتصالات، حيث تنقلص القشرة (أحزمة ثنيات جبلية جديدة) كألواح يقترب كل للآخر، أو استهلاك لوح يدفع تحت الآخر (أخاديد محيطية).

(iii) محافظة أو إتصالات قصية (أو فوالق متحولة (مضربين الإزاحة))، حيث تنزلق الألواح أفقيا سالفة كل للآخر، وتحفظ القشرة.

تستخدم هندسة حركة اللوح على الكرة الأرضية كالاتى: إذا تحركت كتلتان بعيدان عن بعضهما، فيمكن وصف حركتهما النسبية كدوران أحدهما بالنسبة للآخرى، أو دوران الكتلتين فى إتجاه معاكس. ربما يتأكد قطب التباعد أو الدوران (لاتكون مختلطة أو مضطربة مع قطب الدوران الداخلى للأرض) تبعا لحركة فتح نتوء المحيط فى طريقتين.

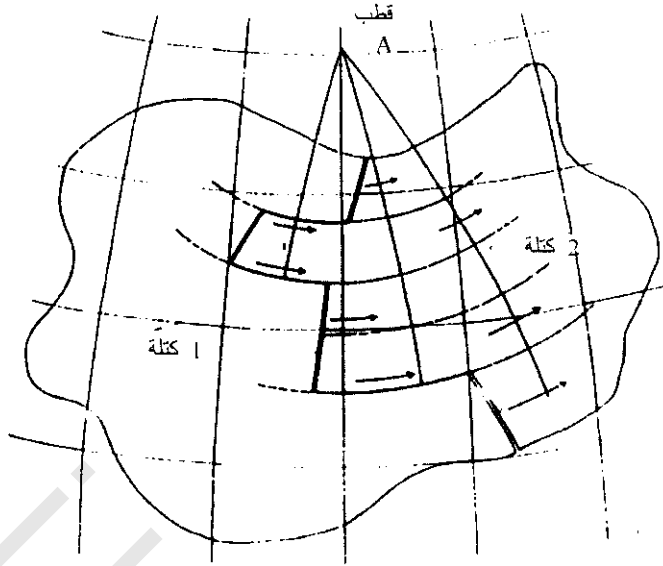
(i) حيث أن فوالق التحول (مضربين الإزاحة) التى قطعت النتوء تمثل إتجاه التباعد من محور النتوء، فإن مثل هذه الفوالق يجب أن تقع على دوائر خطوط عرضية صغيرة من مركز قطب التباعد A (شكل 4-12). من وجهة أخرى، الدوائر الكبيرة المتعامدة على فوالق مضربية التحول يجب تقاطعها عند قطب التباعد.

(ii) معدل التباعد (سرعة الحركة النسبية) عند النقطة على طول النتوء تتغير طالما جيب تمام الزاوية لخط العرض λ تتناسب لقضب التباعد A، وبذلك يكون معدل التباعد صفر عند A (حيث $\lambda = 90^\circ$) وعظمى عند مكان النتوء التى تقطع خط الإستواء المرسوم حول القطب A.

بينما يحدد معدل التباعد من تحديد أزمنة الإنعكاسات المغناطيسية (كرونولوجى) المعروفة جيدا، فإن مراكز الدوران تحدد بواسطة إحدى الطريقتين السابقتين المتوافقتين تقريبا جيدا (جدول 1-12). وقد وجد أن معدل دوران زوايا الكتل فى هذه الطريقة تكون من رتبة 1° أو أقل لكل مليون سنة.

3.2.12 الألواح سطح الأرض الكبيرة :Major Plates of the Earth's Surface

لمواجهة نشاط تكتونية الكرة الأرضية قسم لى يكون Le Pichon 1968 سطح الأرض إلى ستة ألواح كبيرة والتى يوجد بينها تأثيرات، وذلك من نظام سيزمية الأحزمة النشطة المحيطة بالعالم كما فى شكل (12-5). بعد ذلك ذكر أننى عشر لوحا بعد إضافة 6 ألواح إضافية لنموذج مورجان Morgan 1971. يلاحظ التوافق القريب لحدود الألواح مع توزيع نقط المركز الزلزالية. يرى فى شكل (2-26) اتجاهات الحركات النسبية عند



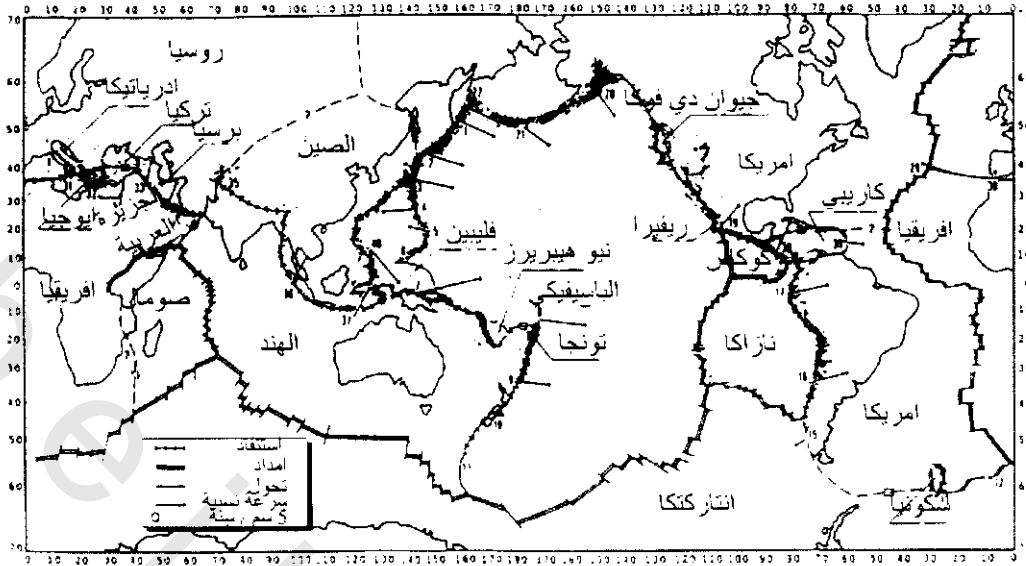
شكل (12-4): علاقات هندسية ترى دوران ألواح التتوءات حول (قطب التباعد) (مورجان 1968 Morgan)

جدول (12-1). أقطاب لحظية ومعدلات دوران بين أزواج مختلفة من ألواح متجاورة محددة بواسطة (لي بيكون 1968 Le Pickon) لنماذج ستة ألواح.

معدل الدوران (10^{-7} درجة/سنة)	خط طول	خط عرض	الزوج اللوحي والمعاملات المستخدمة
3.7	37 غرب 32 غرب	58 شمال 69 شمال	جنوب الأطلنطي (أمريكا - أفريقيا) خط مضرب لـ 18 منطقة تشققات 9 معدلات تباعد
6.0	47 غرب	35 شمال	شمال الباسيفيكي (أمريكا - باسيفيك) خط مضرب لـ 32 منطقة تشققات
4.0	21 شرق	26 شمال	المحيط الهندي (أفريقيا - الهند) خط مضرب لـ 5 مناطق تشققات
2.8	102 شرق	78 شمال	المحيط الأركتيكي (أمريكا - أوروبا) خط مضرب لـ 4 مناطق تشققات
10.8	118 شرق 123 شرق	70 شمال 68 جنوب	جنوب الباسيفيكي (أستراليا - باسيفيك) خط مضرب لـ 6 مناطق تشققات 11 معدل تباعد

يرى في شكل (26-2) اتجاهات الحركات النسبية عند نقط قليلة. يقع معدل الحركات النسبية بين 1، 10 سم/سنة، ولذلك تعطى معدل تباعد من 0.5-5 سم/سنة لكل جانب نتوء. بواسطة معدل التباعد، يعرف نصف معدل التباعد للوحين، ويفرض أن التباعد له تماثل جانبي والذي أويده بواسطة تسجيلات تباعد أرضية المحيط.

* القيم المصححة لأقطاب الدوران ومعدلات الدوران موضوعة على أساس نماذج إثني عشر لوحا المعطاه



شكل (12-5): نموذج كاتيماتيكى للوح إتساع العالم الحاضر. تشير النقط الصغيرة لنقط فوق البؤرة الزلزالية ، والخطوط المحيطية غير السوية للحواف الحاضرة لحركة الألواح. بالإضافة لست الألواح الكبيرة (أفريقيا – أمريكا – الباسيفيك – انتاركتكا – الهند – أوروبا) المستخدمة بواسطة لي بيكون 1968 Le Pichon ، سميت عدد من الألواح الصغيرة بواسطة مورجان 1971 Morgan. تبقى حواف الألواح الصغيرة خارج العمل فى بعض المناطق المعقدة. ترى منتهات حركات مختلفة عند نقط مختارة (لى بيكون وآخرين 1973 Le Pichon et al)

4.2.12 دلائل سيزمية لنموذج لوح ليثوسفيرى (المحيط اليابس)

Seismic Evidence for the Lithosphere Plate Model:

أمدت السيزمولوجية تعضيد مقنع لتوطيد تباعد أرضية البحر وحركات الألواح. فى الحقيقة، كما برهن من شكل (2-26)، (12-5) قصور حدوث الزلازل غالبا على حواف الألواح المفترضة حيث تحدث الحركات النسبية. حدد أساكس وآخرين 1968 Isacks et al اتجاهات متجهات الإنزلاق من دراسة الحركة الأولى لبؤر زلزالية ضحلة على طول نشاط أحزمة زلزالية. تبعا لملاحظة جيدة مع حركة الإتجاهات لشكل (12-5) استخرجت الإتجاهات التى حددها أساكس وآخرين 1968 Isacks et al بواسطة لي بيكون وآخرين 1968 LePichon et al من إتجاهات المناطق المشققة ومتجهات لحركات متباينة.

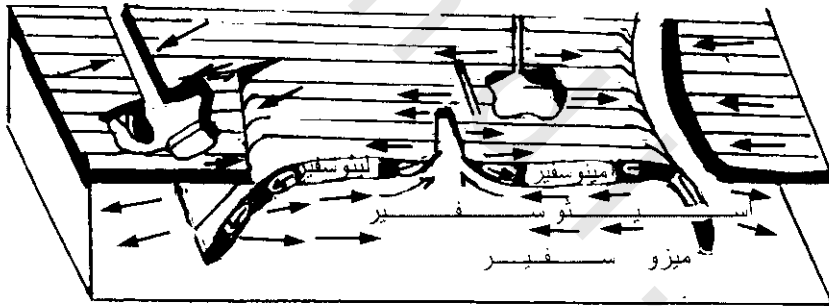
قدمت الدراسات السيزمولوجية أحسن الأدلة لسمك الألواح، حيث تعتمد سرعة الموجات السيزمية على الكثافة وخواص المرونة للصخور التى تمر بها. تتميز الطبقة الصلبة بالسرعة العالية والنقل الكافى للموجات السيزمية، أما فى الطبقة الضعيفة أو اللينة، فإن السرعة القصية تأخذ قيمة منخفضة وتضعف الموجات السيزمية بشدة. ويجب التذكر بأن سرعة الموجات القصية تبدأ فى الإقلال تحت سطح حوالى 70 كم تحت المحيطات وحوالى 120 كم أو أكثر تحت القارات شكل (2-20). هذا أدى للإقتراح بأن الطبقة الصلبة الخارجية سمكها حوالى 70-120 كم (ليثوسفير lithosphere)* تقع فوق طبقة أضعف وأسخن (أثينوسفير Asthenosphere)** والمحمتمل تكوينها للألواح.

* المحيط اليابس (القشرة الأرضية).
** نطاق الإنسياب الذى يلى القشرة الأرضية (الغلاف المائع)

عند أى معدل تدل هذه الأشكال على أن الألواح رفيعة بالمقارنة لأبعادها الأفقية. مثل هذه الألواح يجب أن تكون أسفل امتداد طبقي لين وقابل للسحب والتطريق إذا تحركت بدون تمزق أو انفصال.

يوضح شكل (6-12) شكل هندسى تخطيطى كئلى للظواهر الأساسية لحركة الألواح، حيث يرى هذا الشكل الهندسى حركة الألواح بعيدا عن نتوءات منتصف المحيط وتوجه أسفل الأثرينوسفير عند الجزر القوسية. أمد البرهان المعضد لانحدار ألواح الليثوسفير بواسطة حدوث بؤرات زلزالية عميقة على طول نطاق بنوف Benioff المائل شكل (2-27). يرى الإنسياب العائد المعادل لحركة الإتجاه السفلى لليثوسفير فى الأستينوسفير بارتفاع عند قمم النتوءات. الآن، من الإنسب أن مصطلحات "الأنحراف القارى" تباعد قاع المحيطات تكون غير ملائمة فى الألواح النموذجية المفردة الشاملة لكلا من القشرة المحيطية والقارية، بالرغم أن قليل منها يكون كلية محيطيا.

حيث أن سمك القشرة المحيطية حوالى 35 كم، بينما سمك الألواح حوالى 100 كم أو أكثر، لذلك تمتطى القارات كمسافرة على الألواح. تجيب هذه الحقيقة على أحد الإعتراضات التقليدية للإنحراف القارى، التى تسمى، الصعوبة الميكانيكية لطريقة حرث القارة عبر نتوء أرضية المحيط الصلبة. تتحرك القارات والمحيطات تبعا لوجهة نظر حركة الألواح كأجزاء بنفس صلابة الألواح. مع ذلك تفرض ضوابط هامة معينة على حركة الألواح للقارات والمحيطات غير المتشابهة. تدل الحدود الضيقة المعرفة بالأخاديد ومناطق الزلازل المائلة المنحدرة بعيدا عن الأخاديد على أن القشرة المحيطية تبدد بسهولة بواسطة السحب، ربما بسبب رفعها نسبيا وكثافتها



شكل (6-12): شكل هندسى كئلى يوضح تخطيطيا ترتيب شكل ودور الليثوسفير (طبقة شد) فى ترجمة التكتونية العالمية الحديثة. تدل الأسهم أعلى الليثوسفير على الحركات النسبية للكتل المتجاورة. وتمثل الأسهم فى الأستينوسفير الإنسياب المتعادل المحتمل فى تجاوب لحركة الإتجاه السفلى لقطع الليثوسفير (أساكس وآخرين 1968 Isacks et al)

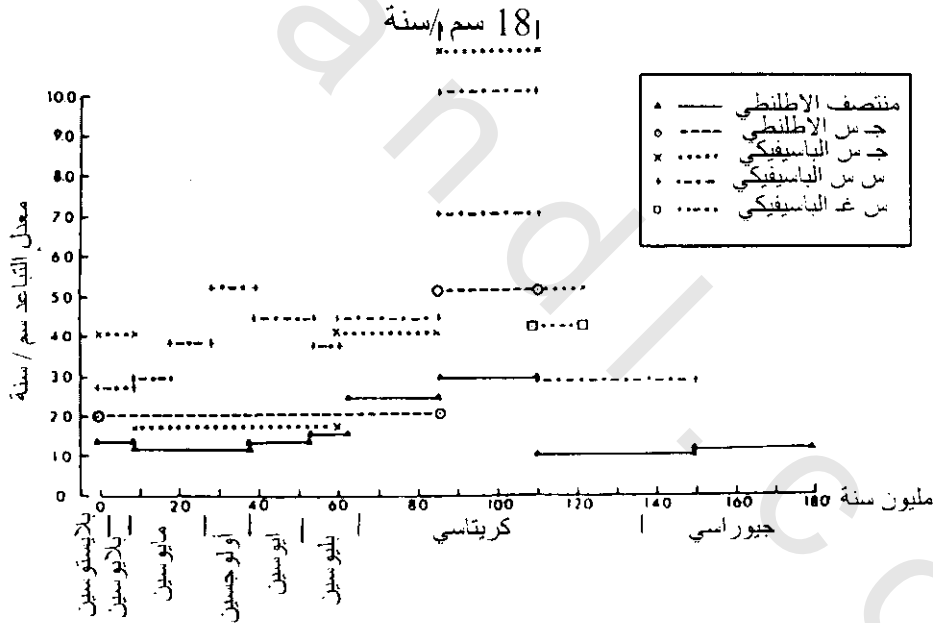
العالية. من وجهة أخرى، تظهر مناطق داخلية القارات السيزمية المصاحبة مع سلاسل الجبال تحطم تضاعطى غير مساحات شاسعة، والتى فيها ضمنا تكون القشرة القارية صلبة للاستنفاد لأنها سمكة نسبيا وخفيفة.

5.2.12 إعادة بناء الألواح القديمة Paleophate Reconstructions:

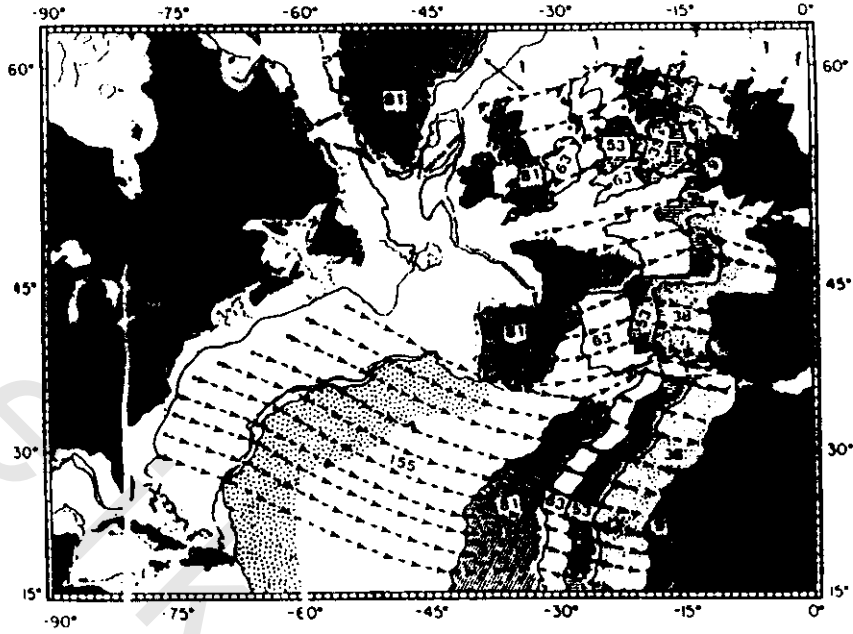
إبتداء من البيانات الحاضرة عن معدل دوران الأقطاب، يكون من الممكن الرجوع لخلفية الزمن الجيولوجى للإشارة لأماكن الألواح النسبية. أمتداد هذه الخلفية موضوع غالبا على أساس معدل الحسابات واتجاهات الأبعاد التى حصل عليها بواسطة تحليل أشكال شاذات المغناطيسية المرصودة للزمن القديم فى محيطات مختلفة (شكل 7-12).

يرى شكل (8-12) مثال إعادة مثل هذا البناء لفتحة شمال الأطلنطي. تشير الأسهم لإتجاهات حركة قارتي أفريقيا وأوروبا النسبية بالنسبة لأمريكا الشمالية. من الواضح من خطوط الإنسياب لدوران أقطاب أوروبا-أمريكا الشمالية وأفريقيا-أمريكا الشمالية مختلفة. كذلك يلاحظ أن التغيرات في اتجاه التباعد يبدو حدوثه منذ حوالي 60 مليون سنة. تشير الخطوط المشرطة لأمن ذو بال: (1) تباعد أفريقيا وشمال أمريكا غالبا بين 80-180 مليون سنة، بعد ذلك مثل معدل التباعد، (2) تباعد أوروبا عن أمريكا الشمالية غالبا في آخر 80 مليون سنة وتشمل مرحلتى حركة الجرين لاند Green land (الأسهم المزدوجة شكل 8-12). عامة، توافقت إعادة الحركة جيدا مع الملائمة الهندسية للقارات عبر الأتلانتك شكل (9-12).

وحيث أن تسجيل الشاذة المغناطيسية لتباعد أرضية المحيط ترجع خلفيا لأزمة الجوراس فقط (~160 مليون سنة)، لذلك لا يمكن استخدام تباعد أرضية المحيط لإعادة بناء تاريخ لوحى متقدم. ولكن إذا أريد تأرخ لوحى متقدم، يعاد لفترات متقدمة موضوعة أساسا على مطابقة أقطاب المغناطيسية القديمة وتجمعات صخرية معينة (تجمعات بداية تكتونية) التى تميز الحدود أو تركيبات داخلية لنوعية اللوح المراد تأرخه. وهذا يؤدى لأخذ فكرة بسيطة عن أن أحزمة جبال عديدة لها مناطق من أوفيوليت Ophiolite معقدة والتى فسرت على أنها تمثل



شكل (7-12): معدل التباعد فى المحيط الأطلنطي والباسيفيكي حصل عليه من تحليلات خطوط شاذات المغناطيسية. يلاحظ زيادة علامة معدل التباعد لجميع الأنظمة عند 110-85 مليون سنة قبل الميلاد (لارسون وبتمان Larson and Pitman 1972) مع مراجعة مقياس الزمن لهرتزليز وآخرين Heirtzler et al 1968، هذه المعدلات روجعت أيضا فى السنين الحديثة

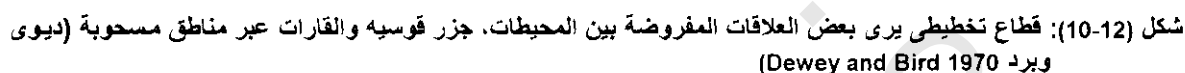


شكل (8-12): إعادة تركيب تباعد أرضية المحيط لشمال المحيط الأطلنطي (بتمان وتلواني 1972 pitman and Talwani) تمثل القارات السوداء الأماكن الحاضرة، تدل الأماكن الأولية بواسطة أزمنة بمليون من السنوات ترى الأسهم الطويلة مرحلتين لحركة الجرينلاند



شكل (9-12): تلازم القارات حول الأطلنطي حصل عليها بواسطة تناسب المربعات الدنيا عند خط عمق 500 قياس بحري (القياس البحري Fathom = 6 قدم = 1.982 متر) تمثل المساحات الغامقة تناسب خاطئ (بيولارد وآخرين Bullard et al 1965)

في العشرات السنين الأخيرة وجهت مجهودات كثيرة لإتجاه تطبيقات تكتونية الألواح لتوضيح دورات نشوء الجبال التي أدت لتكوين أحزمة جبالية مختلفة. أقترح ديوى وبرد Dewey & Bird 1970 إمكانية أربع أنواع من تفاعل بين حواف القارات والمحيطات. يعطى شكل (10-12) أمثلة حاضرة اليوم لكل من هذه الحالات الأربعة:



- 566

iv- تصادم قارى قارى Continent-continent collision: يمثل هذا الدفع السفلى للوح الأفريقى اسفل تركيا، أناتوليا Turkey Anatolia (س) وتصادم اللوح الهندى مع الأيورسياوى لتكون جبال الهمالايا وهضبة التبت (ص) برغم أن كثير من التفصيلات باقية خارج العمل، فإن القطاع التخطيطى شكل (10-12) يعطى إدراك للعمليات الأصلية التى حدثت عند حواف الألواح.

7.2.12 نشوء الجبال بواسطة تجمع لوحى دقيق: Orogenesis by Microplate Accretion

عرف الجيولوجيين لسنوات وجود كثير من أجسام دخيلة (غريبة) فى تجمعات كتلية فى حزام جبال الألب-هيمالايا Alpine-Himalaya حديثا، عرفت أيضا أعداد كبيرة من أجسام دخيلة فى أحزمة جبال حول الباسيفيكي (Circum Pacific). يتوقع أولا أن هذه الأجسام (عمامة تشير كأنها تربة) تكونت عندما كانت الحفريات أو تجمعات الصخور مختلفة الدلالة عن المناطق المجاورة.

يعتبر شمال غرب أمريكا حزام تراكمى هائل من التربة (كونى وآخرين 1980 Coney et al)، (جونيز وآخرين 1982 Jones et al)، حيث انتقلت كثير من التربة عبر مسافات كبيرة قبل إتمام شكلها الحاضر. تم تقدير حركتها العرضية ودوراتها خلال وبعد التصادم من قياسات المغناطيسية القديمة. تربة وranjilia (Warangellia) مثال خاص لافت للنظر. ترى الصخور التى حصل عليها من جزيرة فانكوفر Vancouvar فى كولومبيا البريطانية بكندا British Columbia-Canada ومن جبال وranjilia – ألaska Wrangellia-Alaska أن عينات صخور كلا الموقعين (مفصولين الآن بحوالى 555 كم) تكونا أصلا بالقرب من خط الإستواء فى زمن الترياسى.

إقترح شامبيرليا ولامبرت 1985 Chamberlain and Lambert، على أساس القياسات الحديثة للمغناطيسية القديمة ودلائل الجيولوجيا الحفيلة لعلاقة التربة الدخيلة فى غرب كورديليرا الكندى (Candian Cordillera)، وجود قارة دقيقة كورديليرا (Cordillera) والتى تصادمت مع راسخ* أمريكا الشمالية منذ حوالى 100 مليون سنة لتكون أولا جبال ماكينزى Mackenzie ثم جبال روكى Rockies.

فى المقابل بغرب أمريكا الشمالية، يعتقد بواسطة كثيرين أن عدد كبير من تجمعات أرضية فى سلسلة الألب-هيمالايا Alpine-Himalaya كانت فتاتات والتى جاءت من بداية قارة جوندوانا Gondwana (جبلى 1977 Gealy، ليث 1982 Leith). انفصال أشياء كثيرة من جندوانا (Gondwana) والتصادم مع طول كتلة أرضية إيروسيان (Euroasian) قبل الكسر، أدى هذا لتكوين الهند، استراليا، أفريقيا وأمريكا الجنوبية. فى كل مكان تام لسلسلة الألب. هيمالايا، يوجد تربة قارية عديدة، تتراوح فى الحجم من شبه قارية كالهند إلى قطع صغيرة كما فى تركيا والبلقان (Bulkans) وإيطاليا.

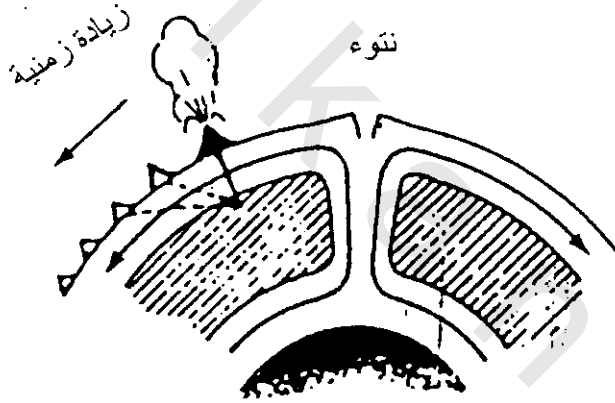
8.2.12 البقع الحارة وحركات الألواح المطلقة: Hot Spots and Absolute Plate Motions

فسرت نظرية تكتونية الألواح موقع ومسبب أغلب الزلازل والبراكين، ونشاط بناية الجبال، جميعهم مصاحبين مع حواف الألواح. ربما، يوجد عدة إستثناءات لافتة للنظر مثل حدوث أنشطة تكتونية بعيدة عن

* جزء من القشرة الأرضية يشمل أجزاء قارية ومحيطية.

حواف الألواح. المثال الملاحظ هو سلسلة جزر هاوى Hawaiian حيث حلق الإمتداد البركانى سلسلة جبال بالقرب من مركز أحد أكبر الألواح. يمكن حدوث مثل هذه الظاهرة "منتصف اللوح" أيضا فى مناطق قارية، كدلالة بواسطة الأحواض القارية ونطاقات نشاط زلزالي. مثال ذلك، يوجد فى الولايات المتحدة نطاق زلزالي كبير مركز بالقرب من نيومادريد New Madrid ربما، تعتبر هذه وظواهر أخرى تقريبا تناسب صغير للنشاط التكتونى الأرضى (الكرة الأرضية) ولكن لا يكون بواسطة معانى لايعتد بها وتكون من الصعوبة استبعادها كمحليا.

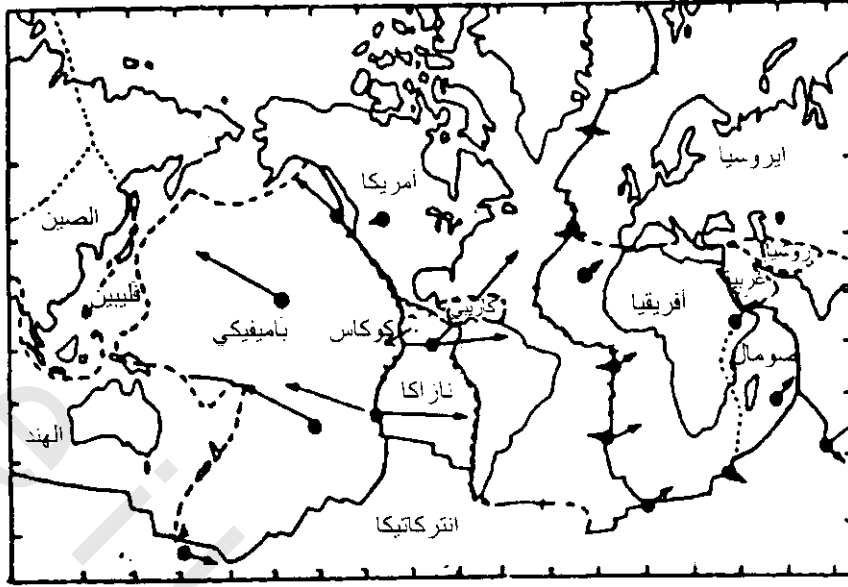
أعزى ولسون 1963 Wilson جزر هاوى البركانية لارتفاع من الماجما من بقعة حارة ثابتة تقريبا فى الستار العلوى. وأدت حركة إتجاه الغرب من لوح الباسيفيكي عبر مصدر الماجما فى تكوين سلسلة الجزر والتي أصبحت تقريبا أقدم من الشرق للغرب



شكل (11-12): مخطط لنموذج لتكوين جزء سلسلة هاوى بواسطة حركة لوح عبر منطقة مستقرة حراريا (ويلسون 1963)

فى الحقيقة، إذا كان مصدر الماجما ثابت (بالنسبة لصلابة وعمق الستار)، فإن طول وعمر سلسلة الجزر يجب أن تعطى الحركة المطلقة للوح. عندما تحدث مثل هذه البقعة الحارة تكون على نتوء تباعد نشط، مثل أيسلاند Iceland، وهى سلسلة جزر بركانية أو جبال بحرية تكونت على كلا جانبي النتوء بسبب الحركة الجانبية للألواح كل عن الآخر.

فيما بعد طور مورجان 1972 Morgan اساس استخدام هذه البقع كمرجع إطار عالمى ووضح أن السرعات (المطلقة) لحركات الألواح خلال السينوزوى تحدد كما فى شكل (12-12). هذه الحركات المطلقة تكون فى تبعية مع الحركات النسبية الكافية بين الألواح الكبيرة، وخلال حالة الحدود المتقاربة التى فيها تكون البقع الساخنة المفترضة ثابتة بالنسبة كل للآخر وإلى الستار. تبعا لولسون 1973 Wilson، فإن أعداد كبيرة من البقع الحارة ميزت بواسطة البركانية، إنسياب حرارى كبير، تقبب (نتوء قشرية أرضية وتعبيرات سطحية لمتغيرات أشكال ريشية مرتفعة فى الستار. أخذ مرجان Morgan هذه الفكرة كخطوة مساعدة مع تمنعه بأن البقع الساخنة حفظت بواسطة نوعا من التفجير المحلى لمواد التسار فى أشكال ريشية ومن الممكن أن تمد حرارة الحمل الريشية القوة البدائية لحركة الألواح.



شكل (12-12): حركات حاضرة للألواح الكبيرة عبر إطار مناطق حرارية ثابتة (مورجان 1972 Morgan)

9.2.12 دفع ميكانيكيات حركة الألواح Driving Mechanisms for Plate Motions:

يستمر السبب الأساسى لحركة الألواح باق كموضوع تأمل برغم الدلالات الكبيرة فى مجال تكتونية الألواح. عامة، عندما يوجد وفرة من البيانات فى بحث النظرية، فإن هذا يودى لتقدم الإفتراضات. عموماً. اقترح نوعين من القوة، (1) قوى الحواف المؤثرة عند حواف اللوح، (2) القوى الأساسية المؤثرة عند داخل قاعدة اللوح. يشمل النوع الأول تأثير قوة دفع نطاقات التباعد حيث تدفع الألواح على حدة بواسطة أندساس مواد جديدة، وقوة سحب الصفيحة فى نطاقات السحب حيث يسحب التكاثف النسبى الصفحى السفلى اللوح خلفه شكل (12-13). يكون النوع الثانى من القوة هى الإجهاد بواسطة تيارات الحمل اسفل القشرة الأرضية.

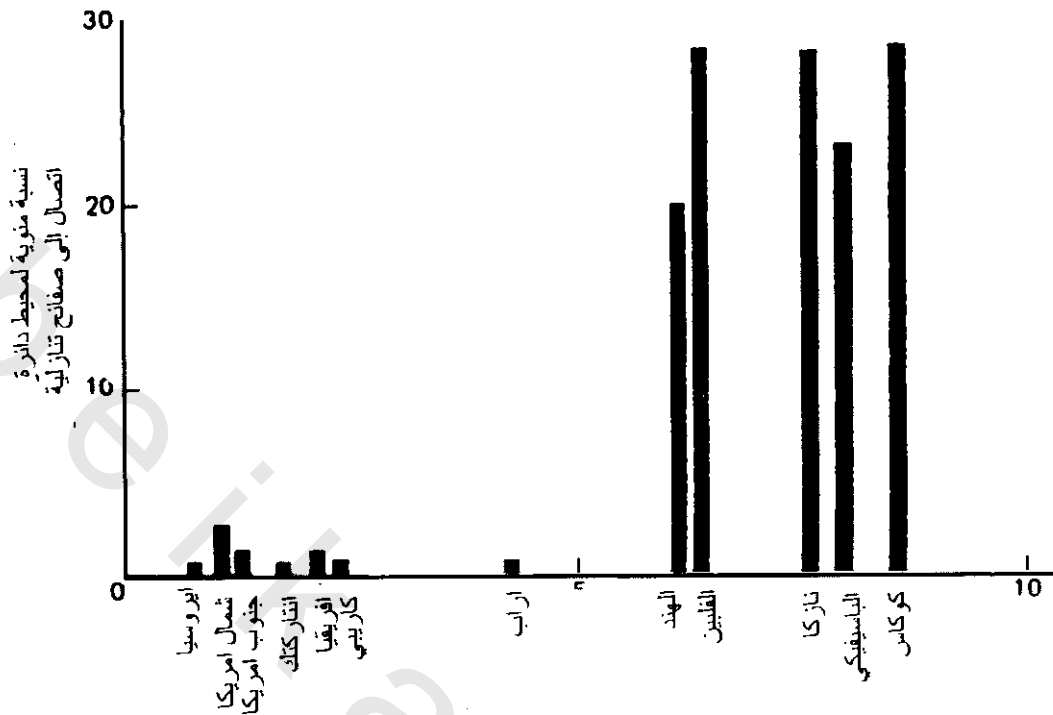
توجد دلالة هامة من الجاذبية والزلازلية حول الدفع بواسطة ضغط النتوء عند نتوءات متوسطات المحيطات وبواسطة سحب صفائحى عند الأخاديد العميقة، ولكن هذه الدلالة تعتبر مقارنة قليلة المعرفة حول القوى الأساسية المصاحبة مع تيارات الحمل فى الستار العلوى. إذا تحركت تيارات حمل الستار أسرع من اللوح الذى يعلوها، عندئذ سوف يؤثر سحب جهد اللزوجة بواسطة حركة الستار السريعة لدفع حركة اللوح. فى المقابل إذا تحرك اللوح أسرع من الستار سيؤثر سحب اللزوجة المسبب بواسطة اختلاف الحركة لمقاومة حركة اللوح. ظاهرياً، لا يوجد نقصان لقوى الضغط الممكنة، ولكن يكون الشئ المحير للمشكلة. أى من القوى الفوقية (الزائدة) تكون أكثر سيادة من الأخريات؟

النموذج البسيط من تيارات الحمل الحرارية داخل الستار (10-5) تكون مع نزوح القارات أو أرضية المحيط ازدواج مباشر لجوانب الطيات العلوية لحجيرات تيارات الحمل تحتها، ويكون التوافق صعباً مع ملاحظة نموذج لحركات الألواح الحالية. مثال ذلك، يكون من الصعب مواجهة كيفية كلا من إرتفاع وهبوط جوانب تيارات الحمل، التى تزاح فجأة بواسطة فوالق متغيرة (متحولة). الشكل الهندسى للنتوء-نتوءات فوالق التحول فى

الأطنطى الإستواءى المستخدم فى تفسيرها حجيرات تيارات الحمل تكون غير قابلة للتصديق عند مقارنة محصورة لامتداد أطواله وأعماقه.

أيضا، من الصعب رؤية كيفية استطاعة نموذج الحجيرة البسيطة لتوضيح سلوك اللوح الإفريقي شكل (12-5) الذي يكون الجزء الغالب مرتبط بواسطة نتوء منتصف الأطلنطي والنتوء في المحيط الهندي. هذا اللوح ينمو على كلا الجانبين، وحيث لا يوجد أخدود متوسط، لذلك يتحرك التنتوين بعيدا عن بعضهما. ومن الصعب تخيل أن ارتفاع جوانب الطيات لحجيرات تيارات الحمل يحفظ سرعة السير بالضبط مع حركة النتوءات. لذلك لا تمثل تيارات حمل الستار كوظيفة قوية لقوة دفع.

570



شكل (14-12): النسبة المئوية لآلاف محيطية دائرية متصلة لإتجاه سفلى صفائحى مقابل السرعة المطلقة للآلاف (فورسيث ويودا 1975 Forsyth and Uyeda)

الملاحق

ملحق (1) جداول

أ- جدول تحويل نظام الوحدات العالمية (SIU) الى وحدات (سم.جم.ث)
أو وحدات كهرومغناطيسية (سم.جم.ث)

المكافئ التابع في (سم.جم.ث) أو وحدات كهرومغناطيسية (سم.جم.ث)	نظام وحدات عالمية		
	رمز	اسم تميزها	كمية
10^3 جم	كجم	كيلوجرام	كتلة (ك)
10^2 سم	م	متر	طول (ل)
ث	ث	ثانية	زمن (ن)
10^2 جال = 10^2 سم ² /سم ²	م ² /ث ²	متر ² /ثانية ²	العجلة (ج)
10^1 ميلي جال	و.ج = 10^2 م ² /ث ²	وحدة الجاذبية	وحدة فرعية الجاذبية
10^3 جم/سم ³	كجم/م ³	كيلوجرام/متر ³	كثافة (ث)
10^5 دايين	كجم/م ³	نيوتن	قوة (ق)
10^2 دايين/سم ² = 10^5 بار	با = م ² /ن	باسكال	ضغط (ض)
10 بيوز (توازن)	با.ث	باسكال . ثانية	لزوجة (ز)
10^7 إرج = 0.24 كا	ج	جول	طاقة (ط)
10^7 إرج/ث	و = ج/ث	وات	قدرة (قد)
2.39×10^{-2} م كال/سم ² ث	و/م ²	وات/متر ²	انسياب حراري (نح)
2.39×10^{-3} ك/سم.ث.°ء	و/م ⁵	وات/متر . درجة حرارة	الموصلية (حرارة) (مو)
2.39×10^{-7} ك/سم ³ ث.°ء	و/م ³	وات/متر ³	منتج حراري (مح)
10^1 و.ك.م	أ	أمبير	تيار (ت)
10^8 و.ك.م	ف	فولت	فرق جهد
10^6 و.ك.م	ف/م	فولت/متر	مجال كهربى (مك)
10^1 و.ك.م	كو = أ.ث	كولوم	شحنة كهربية (ش.ك)
10^9 و.ك.م	ف = كو / ف	فاراد	سعة (س)
10^9 و.ك.م	$\Omega = \text{ف} / \text{أ}$	أوم	مقاومة (م)
10^{11} و.ك.م	م. Ω	أوم . متر	مقاومة نوعية (م.ن)
10^{11} و.ك.م	س/م (o)	سيمن/متر أو مو هو/متر	الموصلية (كهربية) (مو.ك)
10^8 ماكسويل	وب = ف.ث	وبر	فيض مغناطيسى (ف.م)
10^4 جاوس (جا)	تسى = وب/م ²	تسلا	كثافة الفيض المغناطيسى (ث.ف.م) (مجال- β)
10^5 جاوس	ناتس	نانو تسلا	وحدة فرعية (مجال- β)
$4\pi \times 10^{-3}$ أورستد	أ/م	أمبير/متر	مجال ممغنط (م.م) (مجال-H)
10^9 و.ك.م	ه = وب/أ	هنرى	حث
1 (لكل فراغ)	ه.م ($\mu = 4\pi \times 10^{-7}$)	هنرى متر	نفاذية مغناطيسية* (ن.م)
4π و.ك.م		بدون أبعاد	قابلية مغناطيسية (ق.م)
10 و.ك.م	أ.م	أمبير.متر	شدة القطب المغناطيسى (ش.ق.م)
10^3 و.ك.م	أ.م ²	أمبير.متر ²	العزم المغناطيسى (ع.م)
10^3 و.ك.م	أ/م	أمبير/متر	التمغنط (تم)

* نفاذية الفراغ

**ماركوفيتز (1973) Markowitz

كا = كالورى، كو = كولوم، و.ك.م = وحدة كهرومغناطيسية، ر = إرج

ب- جدول بيانات عديدة خاصة بالأرض

الكمية	نظام وحدات عالمي (SI)	الكمية	نظام وحدات عالمي (SI)
ثابت الجاذبية	$10 \times 6.670 \times 10^{-11} \text{ م}^3/\text{كجم ث}^2$	مساحة القارات (29% من S)	$10 \times 1.49 \times 10^{14} \text{ م}^2$
نصف قطر خط الإستواء (a)	6378 كم	متوسط ارتفاع الأرض	480 م
نصف قطر خط القطب (c)	6378 كم	متوسط عمق المحيطات	3800 م
فلطح الأرض	1298.25/1	كتلة الغلاف الغازي	$10 \times 5.1 \times 10^{18} \text{ كجم}$
حجم الأرض	$10 \times 1.083 \times 10^{21} \text{ م}^3$	كتلة المياه	$10 \times 1.4 \times 10^{21} \text{ كجم}$
نصف قطر الكرة المساوي لحجم الأرض	6371 كم	كتلة النواة	$10 \times 1.95 \times 10^{24} \text{ كجم}$
كتلة الأرض	$2410 \times 5.974 \text{ كجم}$	كتلة الستار	$10 \times 4.0 \times 10^{24} \text{ كجم}$
متوسط الكثافة	5.515 كجم/م ³	كتلة القشرة	$10 \times 2.4 \times 10^{22} \text{ كجم}$
الجاذبية عند خط الإستواء (مستوى البحر)	9.78032 م/ث ³	عزم مغناطيس ثنائي القطب	$10 \times 8.0 \times 10^{22} \text{ سعه/م}$
مساحة السطح الكلية (S)	$10 \times 5.10 \times 10^{14} \text{ م}^2$	المجال المغناطيسي الأرضي، أكبر قيمة سطحية	69 = 69000 nT
مساحة المحيطات - المياه - (71% من S)	$10 \times 3.61 \times 10^{14} \text{ م}^2$	متوسط الإنسياب الحراري	81 م وات/م ²
		الفيض الكلية للحرارة الأرضية	$10 \times 15 \times 10^{13} \text{ وات}$

ج - جدول تحويل نظام الوحدات العالمية (SI) الى وحدات (سم.جم.ث) أو وحدات الكتر ومجنيثيك (سم.جم.ث)

المكافئ التابع في (سم.جم.ث) أو وحدات الكتر ومجنيثيك (سم.جم.ث)	نظام وحدات عالمية (SI)		
	كمية	اسم تميزها	رمز
10^3 جم	كتلة (ك)	كيلوجرام	كجم
10^2 سم	طول (ل)	متر	م
ث	زمن (ن)	ثانية	ث
10^2 جال = 10^2 سم ² /سم ² ث	العللة (ج)	متر/ثانية ²	م/ث ²
10^{-1} ميللي جال	وحدة فرعية الجاذبية	وحدة الجاذبية	و.ج = $\mu\text{م/ث}^2$
10^3 جم/سم ³	كثافة (ث)	كيلوجرام/متر ³	كجم/م ³
10^5 دايين	قوة (ق)	نيوتن	كجم/م ³
10^5 دايين/سم ² = 10^5 بار	ضغط (ض)	باسكال	با = م ² /ن
10 بيور (توازن)	لزوجة (ز)	باسكال ثانية	باث
10^7 إرج = 0.24 كا	طاقة (ط)	جول	ج
10^7 إرج/ث	قدرة (قد)	وات	و = ج/ث
2.39×10^{-2} ك/سم ² ث	انسياب حراري (نج)	وات/متر ²	و/م ²
2.39×10^{-3} ك/سم ³ ث.ء°	الموصلية (حراري) (مو)	وات/متر. درجة حرارة	و/م ⁵
2.39×10^{-7} ك/سم ³ ث.ء°	منتج حراري (مح)	وات/متر ³	و/م ³
10^{-1} و.ك.م	تيار (ت)	أمبير	أ
10^{-6} و.ك.م	فرق جهد	فولت	ف
10^{-6} و.ك.م	مجال كهربائي (مك)	فولت/متر	ف/م
10^{-1} و.ك.م	شحنة كهربائية (ش.ك)	كولوم	كو = أ.ث
10^{-9} و.ك.م	سعة (س)	فاراد	ف = كو/ث
10^{-9} و.ك.م	مقاومة (م)	أوم	$\Omega = \text{ف}/\text{أ}$
10^{-11} و.ك.م	مقاومة نوعية (م.ن)	أوم. متر	م. Ω
10^{-11} و.ك.م	الموصلية كهربية- (مو.ك)	سيمن/متر أو مو.هو/متر	س/م (o)
10^{-8} ماكسويل	فيض مغناطيسي (ف.م)	ويبر	وب = ف.ث
10^{-4} جاوس (جا)	كثافة الفيض المغناطيسي	تسلا	تسي = وب/م ²
10^{-5} جاوس	(ث.ف.م) (مجال- β)	نانو تسلا	ناتس
$10^{-3} 4\pi$ أورستد	وحدة فرعية (مجال- β)	أمبير/متر	أ/م
10^{-9} و.ك.م	مجال ممغنط (م.م)	أمبير/متر	أ/م
10^{-9} و.ك.م	(مجال-H)	هنري	ه = وب/أ
1 (لكل فراغ)	نفاذية مغناطيسية (ن.م)	هنري/متر	ه/م ($\mu = 4\pi \times 10^{-7}$)
4π و.ك.م	قابلية مغناطيسية (ق.م)	بدون أبعاد	
10 و.ك.م	شدة القطب المغناطيسي	أمبير/متر	أ.م
10^{-3} و.ك.م	(ش.ق.م)	أمبير/متر ²	أ.م ²
10^{-3} و.ك.م	العزم المغناطيسي (ع.م)	أمبير/متر ²	أ.م ²
10^{-3} و.ك.م	التمغنط (تم)	أمبير/متر	أ/م

* نفاذية الفراغ

**ماركوفيتز (1973) Markowitz

كا = كالوري، كو = كولوم، و.ك.م = وحدة كهرومغناطيسية، ج = جاوس، ه = هنري،
با = باسكال، ث = تسلا، س = سيمن

٤- جدول قياس الزمن الجيولوجي بأحقاب مطلقة (مليون سنة)

الزمن (مليون سنة)	الأحقاب والعصور الجيولوجية
	سينوزويك (فقریات)
	الرابعی
0.1	هيلوسين
2.0	بلايستوسين
	الثلاثی
5.1	بليوسين
24.6	ميوسين
24.9	أولوجوسين
65	باليو سين
	ميزوزيك
	كريتاوی
89	العلوی
44	السفلی
	جیوراسی
163	العلوی
188	المتوسط
213	السفلی
	تریاسی
231243	العلوی
248	المتوسط
	السفلی
	الباکيوزی (اللافقاريات)
258	برمی
286	علوی
	سفلی
320	کربونی
360	علوی
408	سفلی
438	دیفونی
505	سیلوری
590	أوردو فيشي
	کمبری
2500-590	برونيزويك
4000-2500	أركی
5000-4000	
3750	
4600	

هارلاند وآخرين 1982 Harland et al

ملحق 2

التحليل الكروي التوافقي لمجال المغناطيسية الأرضية

يمكن استنتاج المجال المتوسط المغناطيسي الملاحظ عند سطح الأرض بواسطة عدة مصادر :-

- 1- مصادر داخل الأرض.
- 2- مصادر خارج سطح الأرض.
- 3- تيارات كهربية عابرة سطح الأرض.

إذا فرض أساسا أنه لا يوجد تيارات كهربية عابرة لسطح الأرض، عندئذ يمكن اشتقاق المجال المغناطيسي عند سطح الأرض من دالة الجهد، والتي تتفق مع معادلة لابلاس Laplace's equation.

$$\nabla^2 V = 0 \quad (1)$$

ويمكن كتابة حل المعادلة (1) في تعبيرات لسلسلة من توافق كروي في الصورة

$$V = a \sum_{n=1}^{\infty} \sum_{m=0}^n P_n^m(\cos \theta) \left\{ \left[C_n^m \left(\frac{r}{a} \right)^n + \left(1 - C_n^m \right) \left(\frac{a}{r} \right)^{n+1} \right] J_n^m \cos m\phi + \left[S_n^m \left(\frac{r}{a} \right)^n + \left(1 - S_n^m \right) \left(\frac{a}{r} \right)^{n+1} \right] K_n^m \sin m\phi \dots \dots \dots \right\} \quad (2)$$

حيث θ, ϕ خطوط جيوجرافية عرضية مشاركة مع خط طول شرقي، م المسافة من مركز الأرض بفرض أنها كروية نصف قطرها a ، C_n^m ، S_n^m معاملات (بين 0، 1) والتي تمثل أجزاء من تعبيرات توافقية $P_n^m(\theta)$ جتا $m\phi$ و $P_n^m(\theta)$ جتا $m\phi$ لأصل خارجي للأرض والمعاملات $(1 - C_n^m)$ ، $(1 - S_n^m)$ تدل على أجزاء للفترة التوافقية المصاحبة لمصادر لأصل داخلي ($r < a$). يمكن تقدير المعاملات J_n^m ، K_n^m والتي لها أبعاد المجال المغناطيسي. تعبير $n=0$ لا تظهر في المعادلة (2) في غياب مصدر مجال أحادي.

وطبعا لا يقاس الجهد V مباشرة. ربما يمكن تحديد إتجاهات الثلاث مركبات للمجال المغناطيسي. وأيضا يمكن قياسها مباشرة من العلاقة بين الجهد المغناطيسي β ($\beta = \text{grad} V$) ربما تمتد مركبة المجال الرأسى Z عند السطح ($r=a$) كسلسلة من توافق كروي معادلة (3)

$$Z = \frac{aV}{ar} - \sum_{n=1}^{\infty} \sum_{m=0}^n P_n^m(\cos \theta) (A_n^m \cos m\phi + B_n^m \sin m\phi) \quad (3)$$

ويمكن تحديد المعاملات A_n^m ، B_n^m من القيم المرصودة لـ Z بتفاضل المعادلة (3) بالنسبة لـ r ووضع $a=r$ ، فيمكن الحصول على تعبير لمركبة مجال شعاعي (معادلة 4)

$$\frac{\partial V}{\partial r} = \sum_{n=1}^{\infty} \sum_{m=0}^n P_n^m(\cos \theta) \left\{ \left[nc_n^m - (n+1)(1-c_n^m) \right] j_n^m \cos m\phi + \left[ns_n^m - (n+1)(1-s_n^m) \right] K_n^m \sin m\phi \right\} \quad (4)$$

يجب أن يتساوى معاملات كل من تعبير توافق منفصل لكل من m, n في امتداد $\partial V / \partial r$ المعطى بواسطة معادلات

3 و 4 لذا

$$\begin{aligned} A_n^m &= [nc_n^m - (n+1)(1-c_n^m)] j_n^m \\ B_n^m &= [ns_n^m - (n+1)(1-s_n^m)] \end{aligned} \quad (5)$$

يمكن الحصول على امتدادات مركبات المجال الأفقى كسلسلة من توافق كروى بواسطة إعادة تفاضل المعادلة 2

$$\begin{aligned} Y_{r=a} &= \left(\frac{-1}{r \sin \theta} \frac{\partial V}{\partial \phi} \right)_{r=a} \\ &= \frac{1}{\sin \theta} \sum_{n=1}^{\infty} \sum_{m=0}^n P_n^m(\cos \theta) (mj_n^m \sin \theta m \phi - mk_n^m \cos \theta m \phi) \end{aligned} \quad (6)$$

$$\begin{aligned} X_{r=a} &= \left(\frac{1}{r} \frac{\partial V}{\partial \theta} \right)_{r=a} \\ &= \sum_{n=1}^{\infty} \sum_{m=0}^n \frac{d}{d\theta} P_n^m(\cos \theta) (j_n^m \cos m \phi + k_n^m \sin m \phi) \end{aligned} \quad (7)$$

تحتوى هذه المعدلات على معاملات J_n^m ، K_n^m والتي يمكن من قيم X أو Y والتي تكون معروفة على جميع سطح الأرض من بيانات المراد. يشق التوافق بين المعاملات من خلال استخدام X أو Y موضحة بذلك تلاشى تعبير المجال كجهد وترى كذلك أنه لا يوجد تيارات كهربية عابرة لسطح الأرض. من معرفة المعاملات J_n^m ، K_n^m ، A_n^m ، B_n^m فإن المعادلات (5) تحدد S_n^m ، C_n^m . وقد وجد جاوس Gauss من البيانات المتاحة فى ١٨٣٥ أن $S_n^m \approx 0$ ، أى أن مصدر المجال المغناطيسى الأرضى كلية داخلية. معاملات أصل المجال الداخلى $g_n^m = (1 - C_n^m)$ and $h_n^m (1 - S_n^m) K_n^m$ معروف كمعاملات جاوس. فى الحقيقة، لا يكون المجال الخارجى غائب كلياً، حيث وجد اشتراك صغير من التيارات الكهربائية فى الأيونوسفير، حيث وجد لانج وآخرين Lang et al. 1980 مجال خارجى تقريباً حوالى 20 نانوتسلا (ηI) من بيانات MAGSAT يوضح جدول (1) قيم لبعض الحدود الهامة لمعاملات جاوس لبعض الأزمنة المختارة

جدول (1) تعبيرات هامة لمعاملات لجاوس - شمرت بوحدات نانوتسلا (ηI) وعزم ثنائى القطب (M) لمجال أرضى لأحقاب مختارة

أحقاب	g_1^0	g_1^1	g_2^0	g_2^1	h_1^1	h_2^1	M (x 10 ²² A/m)
1835 (Gauss)	-32350	-3110	510	2920	6250	120	8.558
1885 (Sehmidt)	-31740	-2360	500	2780	5980	-720	8.375
1935 (Vestine)	-30662	-2129	-1086	2959	5792	-1460	8.088
1960 (Jensen-Cain)	-30410	-2150	-1602	2960	5600	-1912	8.025
1980 (IGRF)	-30001	-1950	-2038	3035	5634	-2136	7.968

يتضح من الجدول أنه بواسطة بعد أغلب المشاركات الهامة لـ V تأتى من حد g_1^0 والذى يتناسب مع $\rho_1^0(\theta)/r$ أى $\cos(\theta)/r^2$ وكذلك من تبعية مجال عدم مركز ثنائى القطب الموجود عند مركز الأرض والذى يتجه على طول المحور المغزلى. تتبع الإضافة للحددين المتناسبين مع $\rho_1^0(\theta)$ أو $\sin \theta$ ميل محور ثنائى القطب. تتبع الحدود الأخرى إزاحة لمحور ثنائى القطب من مركز الأرض، ويكون أحسن إتفاق لثنائى القطب للمجال الملاحظ مزاح بحوالى 300 كم من مركز الأرض.

ويكون التغير الشمسى ظاهرة خارجة عن نتائج جدول (1)، أى أن التغير الملاحظ عبر عدة عشرات أو مئات من السنين يكون لقيم المعاملات المفردة. عامة، تظهر هذه نقصان حوالى 7% فى عزم ثنائى القطب للمجال الأرضى خلال الفترة 1835-180

ملحق 3

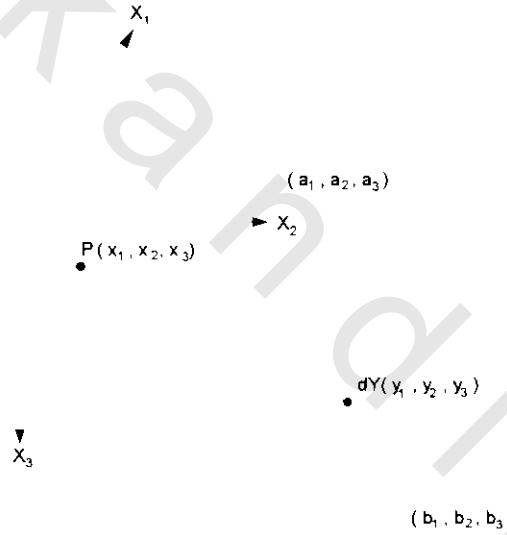
حسابات الشاذات المغناطيسية لأجسام رباعية قائمة بإتجاه مختار للمغناطيسية

تستخدم الألواح والمنشئير الرباعية كنماذج تفسيرية في تحليل الشاذات المغناطيسية بسبب عدة أجسام ثنائية الأبعاد وثلاثية الأبعاد (مثل السدود، أجسام سطحية طويلة وكتل الصخور النارية). تستخدم الأجسام اللوحية قائمة الزوايا لتقريب تأثيرات الفوالق الصغيرة وحدود صخور القاعدة. هنا الطريقة العامة لحساب شاذاتها مع إتجاه مغناطيسي مختار محيط بها.

يختار نظام اليد اليمنى للإحداثيات مع محاور (x_1, x_2, x_3) مشيرة لإتجاهات الشمال والشرق الجغرافي وإتجاه رأسى سفلى بالتتابع.

يعطى المجال المغناطيسي عند أى نقطة $P(x_1, x_2, x_3)$ بسبب الحجم والتمغنط $J(y_1, y_2, y_3)$ بالمعادلة التالية والمعروفة جيدا

$$B = c \operatorname{grad}^2 \int_V j(r)^{-1} \quad (3-1)$$



شكل (1-3)

$$r = \sqrt{(x_1 - y_1)^2 + (x_2 - y_2)^2 + (x_3 - y_3)^2} \text{ and } c = \mu_0 / 4\pi \quad \text{حيث}$$

انظر شكل (1-3)

نفرض J متساوية على جميع الجسم فإن المعادلة (3-1) يمكن كتابتها في حدود مركبات كالآتي:

$$B_i = c \sum_{k=1}^3 j_k T_{ik} \quad (3-2)$$

حيث

$$T_{ik} = \frac{\partial^2}{\partial x_i \partial x_k} \int_V \left(\frac{1}{r} \right) dV \quad (3-3)$$

بوضح $k, i = 1, 2, 3$ فإن معنى B_i, J_k تكون ذاتية الإيضاح لذا

$$\begin{aligned}
B_1 &= c(j_1 T_{11} + j_2 T_{12} + j_3 T_{13}) \\
B_2 &= c(j_1 T_{21} + j_2 T_{22} + j_3 T_{23}) \\
B_3 &= c(j_1 T_{31} + j_2 T_{32} + j_3 T_{33})
\end{aligned} \quad (3-4)$$

بسهولة من المعادلات (3-3) يمكن رؤية أن $T_{ik} = T_{ki}$ أكثر من هذا، بواسطة حقيقه معادلة لابلاس $T_{11} + T_{22} + T_{33} = 0$ لأي نقطة خارجة. لهذا، لتقدير B_3, B_2, B_1 يكفي حساب خمسة مركبات فقط (بدلاً من تسعة) لشكل ثماني مشدود تسمى T_{23}, T_{13}, T_{12} وأي اثنين من T_{33}, T_{22}, T_{11}

حساب المركبات سالفة الذكر لـ T_{ik} لحالة منشور قائم الزوايا ليست بصعوبة إعتبارية، كذلك بتطبيق نظرية تشتت (انحراف) جاوس فإنه بسهولة يمكن تحويل تكامل الحجم الى مجموعة تكاملات سطحية والتي يصبح تقييمها بسيط نسبياً. يمكن كتابة التعبيرات النهائية الحصول عليها لحالة منشور ذو الجوانب المتوازية الى ثلاثة محاور والممتدة من a_1 إلى b_1, a_2, b_2 إلى a_3, b_3 بالتتابع كالاتي

$$\begin{aligned}
T_{11} &= \arctan \left(\frac{v_2 w_2}{u_1 \sqrt{w_2^2 + R_2}} \right) - \arctan \left(\frac{v_1 w_2}{u_1 \sqrt{w_2^2 + R_1}} \right) + \arctan \left(\frac{v_1 w_1}{u_1 \sqrt{w_1^2 + R_1}} \right) \\
&- \arctan \left(\frac{v_2 w_1}{u_1 \sqrt{w_1^2 + R_2}} \right) + \arctan \left(\frac{v_1 w_2}{u_2 \sqrt{w_2^2 + R_3}} \right) - \arctan \left(\frac{v_2 w_2}{u_2 \sqrt{w_2^2 + R_1}} \right) \\
&+ \arctan \left(\frac{v_2 w_1}{u_2 \sqrt{w_1^2 + R_4}} \right) - \arctan \left(\frac{v_1 w_1}{u_2 \sqrt{w_1^2 + R_3}} \right) \quad (3.5a)
\end{aligned}$$

$$\begin{aligned}
T_{12} &= \log \left(\frac{w_2 + \sqrt{w_2^2 + R_1}}{w_1 + \sqrt{w_1^2 + R_1}} \right) - \log \left(\frac{w_2 + \sqrt{w_2^2 + R_2}}{w_1 + \sqrt{w_1^2 + R_2}} \right) \\
&+ \log \left(\frac{w_2 + \sqrt{w_2^2 + R_4}}{w_1 + \sqrt{w_1^2 + R_4}} \right) - \log \left(\frac{w_2 + \sqrt{w_2^2 + R_3}}{w_1 + \sqrt{w_1^2 + R_3}} \right) \quad (3.5b)
\end{aligned}$$

حيث $W_2, W_1, V_2, V_1, u_2, u_1$ قاعدة لـ $b_1 - x_1, a_1 - x_1, b_2 - x_2, a_2 - x_2, b_3 - x_3, a_3 - x_3$ تتابعياً و R_4, R_3, R_2, R_1 قاعدة لـ $(V_1^2 + u_1^2), (V_2^2 + u_1^2), (V_2^2 + u_2^2), (V_1^2 + u_2^2)$ تتابعياً.

تسمى T_{13}, T_{22} تعبيرات المركبات المتبقية ويمكن الحصول على T_{23} من المعادلات السابقة (3-5) مباشرة بواسطة دوران تقريبي لنظام الإحداثيات في كل حالة. لذلك يمكن تقييم جميع مركبات T_{ik} ، أيضاً يكون من السهل حساب المجال في أي إتجاه من المعادلات (3-4) وذلك لإتجاه إختياري لمتجه التمعنط.

في المعالجة السابقة، يفترض توازي ثلاث جوانب من المنشور قائم الزاوية لمحاور نظام الإحداثيات في أماكن لـ X_3, X_2, X_1 يحصل على التعبيرات لكل الحالات الممكنة لنماذج منشورية مباشرة من المعادلات المشتقة سابقاً، مثل حالات النماذج المهمة الآتية:

أ) نموذج منشور رأسى عديم القاعدة، يحصل على المعادلات بسهولة من نظام معادلات (3-5) بمجرد عمل البعد الرأسى الأسفل كبير لا نهائى.

ب) تعتبر المعادلات لصفحة أفقية رفيعة (لوح قائم الزوايا) بسيطة طالما السمك Δh صغير، لذلك يكون التكامل المقابل للمحور الرأسى غير ضرورى، تمثل المعادلات (3-6) تعبيرات لمركبات T_{ik} وتكتب كالاتي:

$$\begin{aligned}
 T_{11} &= \frac{u_1 \Delta h}{x_3^2 + u_1^2} \left(\frac{v_2}{\sqrt{x_3^2 + R_2}} - \frac{v_1}{\sqrt{x_3^2 + R_1}} \right) - \frac{u_2 \Delta h}{x_3^2 + u_2^2} \left(\frac{v_2}{\sqrt{x_3^2 + R_4}} - \frac{v_1}{\sqrt{x_3^2 + R_3}} \right) \\
 T_{22} &= \frac{v_1 \Delta h}{x_3^2 + v_1^2} \left(\frac{u_2}{\sqrt{x_3^2 + R_3}} - \frac{u_1}{\sqrt{x_3^2 + R_1}} \right) - \frac{v_2 \Delta h}{x_3^2 + v_2^2} \left(\frac{u_2}{\sqrt{x_3^2 + R_4}} - \frac{u_1}{\sqrt{x_3^2 + R_3}} \right) \\
 T_{33} &= \frac{x_3 \Delta h}{x_3^2 + u_1^2} \left(\frac{v_2}{\sqrt{x_3^2 + R_2}} - \frac{v_1}{\sqrt{x_3^2 + R_1}} \right) - \frac{x_2 \Delta h}{x_3^2 + u_2^2} \left(\frac{v_2}{\sqrt{x_3^2 + R_4}} - \frac{v_1}{\sqrt{x_3^2 + R_3}} \right) \\
 T_{23} &= \frac{x_3 \Delta h}{x_3^2 + v_1^2} \left(\frac{u_2}{\sqrt{x_3^2 + R_3}} - \frac{u_1}{\sqrt{x_3^2 + R_1}} \right) - \frac{x_3 \Delta h}{x_3^2 + v_2^2} \left(\frac{u_2}{\sqrt{x_3^2 + R_4}} - \frac{u_1}{\sqrt{x_3^2 + R_2}} \right) \\
 T_{12} &= \Delta h \left(\frac{1}{\sqrt{x_3^2 + R_3}} - \frac{1}{\sqrt{x_3^2 + R_1}} + \frac{1}{\sqrt{x_3^2 + R_4}} - \frac{1}{\sqrt{x_3^2 + R_2}} \right) \\
 T_{33} &= -(T_{11} + T_{22})
 \end{aligned} \tag{3.5a}$$

أيضا تحقق العلاقة الأخيرة من خلال تفاضل تعبير مستقل لمركبة T_{33} .

تبرمج المعادلات السابقة للوح رفيع قائم الزاوية بسهولة لحساب رقمى . تقدير أى شكل لجسم ثلاثى الأبعاد بواسطة تصنيف ملائم لمثل هذه الألواح تقريبا ناتج عن تأثيره المغناطيسى.

(ج) يمكن الحصول على معادلات الأجسام شبه اللوحية المائلة (مثل السود والعروق) من معادلات (3.6) بمجرد دوران نظام الأحداثيات.

تعطى B_3 مباشرة بتتبع حسابات شاذات المجال من المعادلة (3.4) لشاذة المجال الرأسى ΔZ ويمكن حساب الشاذة الأفقية ΔH من B_2 , B_1 معا مع معرفة زاوية الإنحراف D للمجال المغناطيسى. وبسهولة يمكن الحصول على شاذة المجال الكلى $T \ll \Delta T$ من العلاقة الآتية $\Delta T = B_1 \cos D \cos I + B_2 \sin D \cos I + B_3 \sin I$

حيث D زاوية الإنحراف للمجال المغناطيسى الأرضى

I زاوية الميل للمجال المغناطيسى الأرضى

ملحق 4

قاعدة رالي لنقل الحرارة (إصعاد حرارى)

ربما يحدث إصعاد حرارى فى طبقات سوانل عندما تُسخن من أسفل حيث تعمل على انسياب حرارى علوى يزيد عن الحد الحرج.

اشتقت الكمية المعيارية للإمكانية العملية للإصعاد الحرارى فى سائل نيوتن Newtonian بواسطة ج.و.س رايلى J.W.S.Rayleigh 1916 وقد وضح رايلى أن سلوك التوصيل يعتمد على نسبة عديمة الأبعاد R (تعرف الآن كعدد رايلى) وتعطى بواسطة المعادلة الآتية:

$$R = \alpha \beta g \rho d^4 / k \eta \quad (4-1)$$

حيث α = معامل امتداد حرارى

β = تدرج حرارى

g = عجلة الجاذبية

ρ = الكثافة

d = سمك الطبقة

k = الإنتشارية الحرارية

η = اللزوجة

بالنسبة لنظام بسيط، مثل تسخين سائل متجانس عند قاعدته، فإن بداية عدد رايلى للتوصيل تكون تقريبا (10^3) ولكن لتوصيل شديد فإن عدد رايلى (R) يجب أن يكون أكبر من 10^5

وباعتبار أن ستار الأرض سائل مضغوط، فإن صيغة رايلى يمكن تطبيقها بمد β باعتبارها كفرق بين تدرج الحرارة الحقيقية والتدرج الاديياتيكي (مكظوم الحرارة أو لا تبادل حرارى) بسبب الضغط. بفرض أن القيم المعتدلة للستار العلوى

$$\alpha \approx 10^{-5} / ^\circ \text{C}, \beta \approx 10^{-4} / \text{m}, \rho \approx 10^{-6} \text{ م}^3 / \text{ث}, \eta \approx 10^{20} \text{ باث} \text{ فى المعادلة (4.1) تُعطى } R \approx 10^9 \times 10^4.$$

فى هذا الحساب فإن التأكيد الأخير يكون لقيم β ، η والتي يُحتل وجود خطأ بواسطة معامل 5 أو 1- حتى إذا كانت β أقل بواسطة معامل 5، η أكبر بواسطة معامل 10، فبسهولة جدا فإن عدد رايلى (R) ستوافق حالة بداية توصيل حرارى. لهذا يتضح التوصيل الحرارى فى الستار العلوى.

للاستار الكلى ($d = 3 \times 10^6 \text{ م}$)، تكون قيم α ، ρ ، g ، k تقريبا نفسها للستار العلوى، ولكن قيم β ، η تكون من المحتمل قريبة لـ $10^{-4} / \text{م}$ ، 10^{12} باث بالتتابع وبالتعويض فى المعادلة (4.1) بهذه القيم فإن $R \approx 10^5 \times 10^6$ أيضا، لذلك من الممكن وجود نوع من التوصيل القوى.

ملحق 5

بفرض أن تأثير الجاذبية g (y_0, x_0) على $Z = 0$ (سطح الأرض) تنتج بواسطه توزيع غير معروف لكثا أسفل هذا المستوى شكل (1.5). عندئذ يكون توزيع الكتله حقيقى، ويمكن تحديد جهدها (u) وتأثير جاذبيتها (g_z) عند أى نقطة فى الفراغ الفوقى ($0 < z$) من المعادلات الآتية:

$$\begin{aligned} P(X, Y, Z) \\ g_u \end{aligned} \quad Z = -h$$

$$(X_0, Y_0, 0) \quad g_0 \quad \text{Plane } Z = 0$$

0

$$g_d \quad Z = h$$

شكل (1-5): تواصل علوى وسفلى لسطح جهد جاذبى (g_0)

$$\Delta Z(x, y, z) = \frac{1}{2\pi} \iint_{r^2}^{\frac{z}{r}} \Delta Z(x_0, y_0, 0) dS \quad (5.1)$$

$$g_z(x, y, z) = \frac{1}{2\pi} \iint g(x_0, y_0, 0) \frac{\partial}{\partial z} \left(\frac{1}{r} \right) dS \quad (5.2)$$

عمليا، يحل تكامل السطح بواسطه الجمع، حيث يفترض أن تكون g ($0, y_0, x_0$) قيمه متوسطه للجاذبية المرصودة خلال عنصر مساحى مختار ملائم ds على سطح الأرض

بالمثل، يمكن حساب المجال المغناطيسى الرأسى من بيانات شدة مجاله $g\Delta$ ($0, y_0, x_0$) على سطح الأرض حيث يكون المجال عند سطح عالى Z بواسطه المعادلة الآتية:

$$\Delta Z(x, y, z) = \frac{1}{2\pi} \iint_{r^2}^{\frac{z}{r}} \Delta Z(x_0, y_0, 0) dS \quad (5.3)$$

لذلك فإن مشكلة حساب المجال عند مستوى عال (الإستمراية لأعلى) من مجال معروف عند مستوى أسفل يكون فى إتجاه واحد من تكامل عددى لسطح النتائج ربما تكون العمليه العكسية (الإستمراية لأسفل) تشكل مشكلة لتحليل صعب وتشمل طرق مغناطيسية رياضية، ويشبه التقارب البسيط المعادلة:

$$\Delta gp = \frac{4}{s^2} (\Delta g_p - \overline{\Delta g})$$

حيث $\overline{\Delta g}$ متوسط الشاذات المرصودة عند أقرب أربعة محطات لـ $g\Delta, p$ الشاذة عند p , s المسافة الشبكية، وبإستخدام العلاقة الآتية يمكن الوصول للإستمراية السفلية

$$g_d = 6g_u - (g_1 + g_2 + g_3 + g_4 + g_u) \quad (5.4)$$

حيث g_u قيمة الإستمراية السفلية فى المستوى $g_0, Z = h$ قراءة المحطة الفوقية المباشرة لمستوى الإسناد ($0 = Z$) g_1, g_2, \dots, g_4 القيم عند اركان مربع أو على الدائرة المحيطة لـ g_0 ، أيضا فى المستوى $0 = Z$ تكون قيمة g_u قيمة جاذبية التواصل العلوى مباشرة فوق g_0 فى المستوى $h = Z$.

ملحق 6

العمق المخترق لتذبذب درجة الحرارة السطحية

لتفسير العمق المخترق اليومي، الفصلى أو تغير لفترة طويلة فى درجة الحرارة السطحية، يؤخذ سطح الأرض كمستوى $Z = 0$ حيث يكون محور Z الممتجه لأسفل موجب. لإنتشار تذبذب درجة الحرارة رأسياً فى تحت أرض متجانسه (بدون أى مصدر حرارى)، تكون المعادلة المستخدمة لبعده واح لمعامل توصيل حرارى هى:

$$\frac{\partial^2 T}{\partial Z^2} = \frac{1}{k} \frac{\partial T}{\partial t} \quad (6.1)$$

حيث T درجة الحرارة، t = الزمن، K = الإنتشار الحرارى (انظر 3-10)

ويكون نوع حل المعادلة السابقة $T = u(Z)e^{i\omega t}$

وبالتعويض فى المعادلة (6.1) وتطابق حالات الحد الفاصل (عند سطح الأرض $Z=0$ ، T تفرض كمتغير $A \cos \omega t$)، فإن الحل لـ T يكون

$$T = A e^{-\alpha z} \cos(\omega t - \alpha z) \quad (6.2)$$

حيث $\alpha = (W/2K)^{1/2}$

وتكون $(2K/W)^{1/2}$ هى النتيجة الطبيعية للحل لتذبذب درجة الحرارة عند السطح باضمحلل $1/e$ لسعة الأسطح عند عمق λ .

إذا أخذت قيمة ممثلة لـ $K = K_p c_p$ انظر معادلة (2-10) لسطح صخور مثل $10^6 \times 1 \text{ م}^2/\text{ث}$ ، تجد أن $\lambda = 16.5 \text{ سم}$ لأى دورة تردد واحدة لكل يوم ($W = 2\pi / \text{يوم واحد}$)، $\lambda = 3.2 \text{ سم}$ لأى دورة تردد واحدة لكل عام (تغير سنوى)، $\lambda = 3.2 \text{ كم}$ لأى دورة واحدة فى 10^4 سنة.

فى حالة تردد $T \propto A \cos Wt$ ، فإن درجة الحرارة السطحية تنتشر لأكبر وأقل لأسفل بسرعة تعطى بواسطة $(2KW)^{1/2}$.

ويعطى التأخر الطورى للزمن (λt) بواسطة $Z / (2KW)^{1/2}$.

وكسابقا $K = 10^6 \times 1 \text{ م}^2/\text{ث}$ فإن أزمنة التأخر تعطى فى جدول (1-6)

جدول (1-6)

التأخر الزمنى لإختراق تذبذب درجات الحرارة			العمق
تغير طويل	تغير سنوى	تغير يومى	
$W = 2\pi \setminus 10^4 \text{ سنة}$	$W = 2\pi \setminus \text{سنة واحدة}$	$W = 2\pi \setminus \text{يوم واحد}$	
5 سنة	18 يوم	23 ساعة	$Z = 1 \text{ م}$
50 سنة	180 يوم	---	$Z = 10 \text{ م}$
5000 سنة	---	---	$Z = 1 \text{ كم}$

قائمة المراجع التي استعين بها

Bibliography

أولا : كتب باللغة العربية

(أ)

- 1- أ. احمد شفيق الخطيب 1974: معجم مصطلحات البترول والصناعة
- 2- د. احمد مصطفى جودة 2003: الثقالية والمغناطيسية
- 3- د. احمد محمد صبرى 1997: تيسير الجيوفيزياء
- 4- د. احمد محمد صبرى 1998: هذه الأرض
- 5- د. أمينة محمد عبدالرحيم 1970: الطبيعة الذرية

(ب)

- 6- د. باكىروف وآخرين (ترجمة د. سمير رياض 1970)
الأسس النظرية للبحث والتنقيب عن البترول والغاز

(ج)

- 7- د. حسنى حمدان 2004: مقدمة الجيولوجيا
- 8- د. حكمت صبحى الداغستاني 2004: مبادئ التحسس النائي وتفسيرات مرئية

(د)

- 9- دوبرن ميلتون (ترجمة د. اسماعيل شعبان اسماعيل وآخرين 1984)
مقدمة فى الإستكشاف الجيوفيزيائى

(هـ)

- 10- د. رشدى سعيد 1964: جيولوجية مصر
- 11- د. رشدى سعيد 1982: جيولوجية النيل والدلتا

(س)

- 12- د. سعد الدين النقادى 1967: أسس الجيولوجيا

(ف)

- 13- د. فردريك هـ. لاهى (ترجمة د. فتح الله عوض وآخرين 1964): جيولوجيا الحقل

(م)

- 14- أ. محمد سميح عافيه 1996:
أضواء على استخراج المعادن والأحجار عبر الحضارات المصرية
- 15- د. محمد صبرى يوسف 1998: المياه الأرضية فى العالم العربى
- 16- د. محمد عز الدين حلمى - د. زكى محمد زغلول 1977: أسس بصريات المعادن
- 17- د. محمد عز الدين حلمى 1984: علم المعادن
- 18- د. محمد عز الدين حلمى 1986: جيولوجيا المعادن الإقتصادية
- 19- د. محمد كمال العقاد 1967: علم الصخور النارية
- 20- د. ملاك نصرالله مقار 1985: محاضرات فى الكهرومغناطيسية

(هـ)

- 21- د. هاول ويليامز وآخرين (ترجمة د. سلامة طوسون وآخرين 1971: علم الصخور
- 22- د. وليام هينمان (ترجمة د. حافظ شمس الدين عبدالوهاب 2002: البسيط فى الجيولوجيا

ثانيا : كتب باللغة الإنجليزية

- Asquith, George B., and Charles R. Gibson 1982: "Basic well log analysis for geologists", American association of petroleum geologists, Tulsa, OKla
- Bacon, M., Simm, R., Redd, T. 2003: "3-D seismic interpretation", Cambridge Univ. Press
- Badely, M.E 1985: "Practical seismic interpretation", IHRDC
- Barry, K.M., 1967: "Delay time and its application to refraction profile interpretation", "Seismic refraction prospecting", Soc. Of exploration geophysics, Tulsa, OKla
- Bird, J.M. 1980: "plate tectonics", 2nd Ed., Am. Geophys. Union. Washington, D.C.
- Braddick, H.J.J. 1965: "Vibrations, waves and diffraction", Mc Graw-Hill, New York
- Claerbout, J. F. 1976: "Fundamentals of Geophysical Data Processing", New York. Mc Graw-Hill
- Clark, Sydney P., Jr.(ed) 1996: "Handbook of geophysical constants", Rev., ed., Geol., Soc., Am., Mem., 97, New York
- Coffeen, J.A. 1984: "Interpreting seismic data", Penn well publishing com.
- Condie, K., C., 1982: "Plate tectonic and crustal evolution", Pergamon Press, New York.
- David, A. 1995: "Geophysical survey in Archaeological Field Evaluation", Research and Professional Services Guid Line no1 London. English Heritage
- David Keith todd 1980: "Ground water hydrology", 2nd ed. John wiley & Sons New York
- Dix, C. H. 1952: "Seismic prospecting for oil", Harper and Brothers, New York
- Dobrin, M.B. and Smit, C.H. 1988: "Introduction to geophysical exploration", 4th ed., MC. Grawhill Book Co.

- Dohr, Gerhad 1974: "Applied geophysics", Enke, Stuttgrat, Germany.
- Edwin S. Robinson, Cahit, Corouh 1988: "Basic exploration geophysics", Johi wiley and sans, New York chichester Brisbane, Tronto Singapore
- Faure, G. 1977: "Principles of isotope geology", John willey, New York
- Fitch, A.A., 1976: "Seismic reflection interpretation", Berlin, Gebruder Borntraeger
- Garland, G.D. 1965: "The earth's shope and gravity", Pergamon, OxFord.
- Garland, G.D. 1979: "Introduction to geophysics", W.B. Sounders Co., Philadelphia
- Grand, F.S., and G.F. west 1965: "Interpretation theory in applied geophysics", Mc graw Hill, New York.
- Green, W.B. 1983: "Digital image processing", New York: van Nostrand Trinhold.
- Griffiths, D.H. and king, R.E. 1981: "Applied geophysics for gedogists and engineers", Ox Ford: Pergamon
- Gubbins, D. 1990: "Seismology and Plate Tectonics", Cambridge Univ. Press
- Gupta, H.K., 1980: "Geothermal Tesources: An energy alternative", Elsevier, Amstrdam.
- Gatenberg, B. 1959: "Physics of the earth's interior", Academic Press, New York, P.104
- Hardaye, B.A. 1985: "Vertcal seismic profiling", Part A: Principles" 2nd (emlarged) edn., London: geophysical Press.
- Hatton pl., Worthington, M.H. and Making, J. 1986: "Seismic data processing: Theory and practice", OxFord: Blackwell Scientific.
- Heihes, R.R. and Ure, R.W. 1961: "Thermoelectricity: science and engineering", New York: Interscience
- Howeil, B.F. 1990: "An introduction to seismological research, history and development", Cambridge: Cambridge Univ. Press
- Itenberg, S.S. 1971: "study of oil and gas series from well logs", Mir publishers, Moscow.
- Jacobs, J.A. 1992: "Deep interior of the earth", London: Chapman & Hill
- Jakosky, J.J. 1950: "Exploration geophysics", Trija puplishing Co., Los Angeles
- Jennison, R.C. 1961: "Fourier Transforms and Convolutions for Experrim entalist" , Pergam, London.
- John Milson 1996: "Field geophysics", John wiley & Sans, New York
- Kanasewich, E.R. 1973: "Time sequence analysisin geophysics", Edmonton, Unv. Of Alberta Press
- Karmer, F.S., Peterson, R.A., and Walter 1968: "Seismic Energy Sources HandBook", Bendix United Geophysical Corporation, Pasadena, Calif.
- Kaufmann, A.A. and keller, G.V. 1981: "The magnetatelluric sounding method", Elsevier New York
- Kearey, P. and Brooks, M. 1991: "An Introduction to Geophysical Exploration", 2nd edu. OxFord: Blackwell Scientific

- Kearey, P. and Vine, F.J. 1990: "Global Tectonics", Oxford: Blackwell Scientific
- Keller, G.V. and Frischknecht, F.C. 1966: "Electrical methods in geophysical prospecting", Pergamon Press.
- Koefoed, O., 1979: "Geosounding principles", Elsevier, Amsterdam.
- Kulhanek, O., 1971: "Introduction to digital filtering in geophysics", Amsterdam, Elsevier
- Labo, J., A. 1986: "A practical introduction to borehole geophysics", Society of exploration geophysicists, Tulsa, Okla.
- Le Pichon, X., Francheteau, J. and Bonnin, J. 1973: "Plate tectonics", Elsevier, Amsterdam
- Lindsely, D.H., Andreasen, G.E and Balesley, J. R. 1966: "Magnetic properties of rocks and Mineral", Handbook of physical constants.
- Lynch Edward, J. 1962: "Formation evaluation", Harper and row, New York
- McElhinny, M.W. 1973: "Palaeomagnetism and plate Tectonics", Cambridge Univ. Press
- McQuillin, R.M., Bacon, M., and Barclay, W., 1984: "An Introduction to seismic Interpretation", London Graham & Trotman.
- Merrill, R.T. and McElhinny, M.W., 1983: "The earth's magnetic field", Academic Press, London
- Milson, J. 1989: "Field geophysics", Milton Keynes; Open Univ. Press
- Mooney, H.M. 1965: "Handbook of engineering geophysics", Minneapolis, Bison Instruments
- Mooney, H.M. and Wetzel, W.W. 1956: "The potential about a point Electrode", Minnesota: Univ. of Minnesota Press
- Nagata, T. 1961: "Rock magnetism", 2nd edn. Tokyo: Maruzen
- Nettelton, L.L. 1940: "Geophysics prospecting for Oil Exploration", New York, McGraw-Hill.
- Norman, H., and Kazuya 1977: "Geochronology", Blackwell Science, Fujita.
- O'Reilly, W. 1984: "Rock and Mineral Magnetism", Glasgow: Blackie
- Parasnis, D.S. 1973: "Mining Geophysics", Amsterdam: Elsevier
- Parasnis, D.S. 1986: "Principles of Applied Geophysics", 4th edn. London: Chapman & Hill
- Pehlinger, D. 1978: "Marine gravity", Elsevier, Amsterdam.
- Pikitate, T. 1966: "Electromagnetic and Earth's Interior", Elsevier, North-Holland.
- Pirson, S.J. 1963: "Handbook of well log analysis", Prentice Hall Englewood Cliffs, N.J.
- Rider, M.H., 1981: "The Geological Interpretation of Well Logs", John Wiley and sons Inc New York
- Nagata, T. 1961: "Rock Magnetism", 2nd edn. Tokyo: Maruzen
- Nettelton, L.L. 1976: "Geophysical Prospecting for Oil", New York: McGraw Hill
- Nettelton, L.L. 1976: "Gravity and Magnetism in oil Exploration", New York: McGraw Hill
- Norman, H., and Kazuya 1977: "Geochronology", Blackwell Science, Fujita.

- O' Reily ,W.1984: "Rock and Mineral Magnetism", Glasgow : Blacie
- Parasnis ,D.S.1973: "Mining Geophysics", Amsterdam: Elsevier
- Parasnis,D.S. 1986: "Principles of Applied Geophysics", 4th edn. London: Chapman & Hill
- Pehlinger, D. 1978: "Marine gravity", Elsevier, Amsterdam.
- Pikitake,T.1966: "Electromagnetic and Earth's Interior", Elsevier, North-Holland.
- Pirson,S.J.1963: "Handbook of well log analysis", Prentice Hall Englewood Cliffs, N.J.
- Rider,M.H.,1981: "the Geological Interpretation of well Log", John Wiley and sons inc New York
- Rikitak, T.1976: "Earthquake Predution", Amsterdam Elsevier
- Robinso, E.A.1967: "Multichannel Time Series Analysis with Digital Computer Programs", San Francisco, Holden- Day
- Robinson, E.A. and S. treitel 1980: "Geophysical Signal Analysis", Englewood Cliffs, N.J., Prentice-Hill.
- Runcorn, S.K. (ed) 1960: "Methods and Techniques in Geophysics", Interscience, New York.
- Rybeck, L. and Muffer, L.J.P. 1981: "Geothermal systems :principles and case Histories", John Wiley, New York.
- Savarensky, E.1975: "Seismic Waves, Translated from the Russian by Petrosyn, A.", Mirpublishers, Moscow.
- Schlumberger 1984: "Well Evaluation Conference", Egypt.
- Swenson, R.L. 1983: "Seismic Exploration Methods", Boston, IHRDC.
- Sharma.P.1986: "Geophysical Methods in Geology", Amsterdam, Elsevier
- Sheriff, R.E. 1980: "seismic Stratigraphy", IHRD, Boston, U.S.A.
- Sheriff, R.E and Geldart ,L.P.1982: "Exploration Seismology", Vol. 1 Cambridge: Cambridge Univ. Press
- Sjogren , B.1984: "Shallow Refraction Seismics", London: Chapman & Hill
- Sleep ,N.H. and Fujita ,K.1997: "principle of Geophysics", Blackwell science.
- Spoletto, Tongiorgi E (ed) 1963: "Nuclear Geology on geothermal area", Laboratorio di geologia nuclear Pisa
- Stacey, F.D and Banerjee S.K. 1974: "The physical principles of Rock Magnetism", Amsterdam, Elsevier
- Stangway, D.W. 1970: "History of the Earth's Magnetism field", McGraw Hill, New York.
- Strling ,S.G. and woodall, A.J.1957: "physics (2nd ed.)", Longmans, Green and co., London
- Summer, J.S.1976: "principles of Induced Polarization for Geophysical Exploration", Elsevier, Amsterdam.
- Tagg, G.F 1964: "Earth resistance", George Newnes Ltd. London

Tarling, d.h 1983: "Paleomagnetism", London, Chapman & Hill

Telford, W.M. L.P.Geldart,R.E. sheriff and D.A. keys 1993: "Applied Geophysics", 2nd edition
Cambridge Univ. Press.

Verma, R.K.1980: "Master Tables of Electromagnetic Deph Sounding Interpretation", Plenum
Publishers, New York.